

Anejo 6: Cálculo de la cimentación

Estudio técnico-económico para la cimentación y estructura de contención de un edificio de viviendas en Sant Adrià del Besós (Barcelona)

Valencia, septiembre de 2019

TITULACIÓN: Máster en Ingeniería de Caminos

Canales y Puertos

Curso: 2018/19

AUTOR: David Lago Naveiras

TUTOR: Víctor Martínez Ibáñez

ESCUELA: Escuela Técnica Superior de Ingenieros
de Caminos, Canales y Puertos, UPV

ÍNDICE

- 1. Introducción**
- 2. Datos de partida**
- 3. Normativa de aplicación**
- 4. Características de los pilotes**
- 5. Capacidad estructural de los pilotes**
 - 5.1. Capacidad frente a compresión centrada (Tope Estructural)**
 - 5.2. Capacidad frente a solicitaciones normales**
 - 5.3. Capacidad frente a cortante**
- 6. Distribución de esfuerzos en los pilotes**
- 7. Encepados y elementos de arriostramiento**
 - 7.1. Entrega de pilote dentro del encepado**
 - 7.2. Longitud de anclaje de las barras de los pilotes en encepados**
- 8. Apéndices**
 - 8.1. Apéndice 1: Curvas N-M, V-M**
 - 8.2. Apéndice 2: Solicitaciones en base de cimentación**
 - 8.3. Apéndice 3: Criterio de cálculo de los pilotes**
 - 8.4. Apéndice 4: Combinación de acciones**
 - 8.5. Apéndice 5: Reparto de esfuerzos en pilotes**
 - 8.6. Apéndice 6: Vigas**
 - 8.6.1. Viga VA**
 - 8.6.2. Viga VB**
 - 8.6.3. Viga VC**
 - 8.7. Apéndice 7: Encepados**
 - 8.8. Apéndice 8: Propuesta de solución de contención**

1. Introducción

En el presente anejo se presentará el cálculo de la cimentación de la estructura. Utilizando las solicitaciones en base de cimentación proporcionadas por el cliente en forma de hipótesis simples para cada pilar, se realizarán las combinaciones de acciones de acuerdo al Código Técnico de la Edificación. Una vez obtenidas las combinaciones, se realizarán los repartos de esfuerzos en los pilotes, probando con distintas configuraciones de encepados, variando el número de pilotes, la separación y la orientación de los mismos, con el objetivo de optimizar al máximo posible el pilotaje de la obra.

Una vez calculado el pilotaje, se dimensionarán los encepados y los elementos de arriostramiento de los pilotes, en este caso las vigas de cimentación. El dimensionamiento de estos elementos se realizará siguiendo la EHE 08.

Además, se calculará como solución de contención de tierras una pantalla de pilotes P400, con una excavación de 3,45 metros.

2. Datos de partida

Para el cálculo de la cimentación y de la solución de contención se parte de los siguientes datos, facilitados por el cliente:

- Planos de proyecto
- Informe Geotécnico de GEOPLANNING de fecha septiembre de 2017 y referencia 9888.
- Informe Geotécnico de GEOPLANNING de fecha septiembre de 2017 y referencia 9887. Este informe geotécnico pertenece a un estudio de caracterización del suelo de la parcela R-14 que está a escasos metros de la parcela objeto de estudio.
- Acciones a Cimentación (ANEJO 02) sobre cada nudo de la estructura a fecha de 22-03-2018.
- Pruebas de carga dinámicas realizadas en la Parcela R-14.

3. Normativa de aplicación

La presente memoria de cálculo se refiere a las características, tanto geométricas como mecánicas, de los pilotes prefabricados tipo P14 para el dimensionamiento de la estructura proyectada. Refleja, por tanto, los diferentes tipos de pilotes, su cuantía de armaduras, las características de los materiales constituyentes y su capacidad estructural.

La normativa utilizada es la siguiente:

- Norma UNE-EN 12.794:2.006+A1:2.008/AC de enero 2.009.
- Instrucción de Hormigón Estructural (EHE-08).
- Código Técnico de la Edificación. Documento Básico SE-Cimientos (marzo de 2.006).
- Guía de Cimentaciones en Obras de Carretera, GCOC (2.002).
- Recomendaciones Geotécnicas para Obras Marítimas y Portuarias, ROM 0.5-05 (2.005).
- Norma de Construcción Sismorresistente (NSCE-02/NCSP-07).
- Norma UNE-EN 12.699 de septiembre 2.016.

4. Características de los pilotes

Los pilotes tipo P14, Clase 1 según UNE-EN 12794+A1, se fabrican en las siguientes secciones:

SECCIONES NOMINALES	ÁREA REAL
P200: Sección Recta: 200 x 200 mm	413,1 cm ²
P235: Sección Recta: 235 x 235 mm	566,7 cm ²
P270: Sección Recta: 270 x 270 mm	746,6 cm ²
P300: Sección Recta: 300 x 300 mm	919,6 cm ²
P350: Sección Recta: 350 x 350 mm	1.251,4 cm ²
P400: Sección Recta: 400 x 400 mm	1.632,1 cm ²

Fabricados bajo un Sistema de Calidad UNE-EN ISO 9001:2000 certificado por AENOR, las longitudes de fabricación están comprendidas entre 5 y 12 m. Para longitudes mayores, se emplea la junta de unión tipo EMECA que cuentan con la clasificación según la norma UNE-EN 12794+A1.

Se fabrican con cemento N/SRC, según la Instrucción para la Recepción de Cementos RC-16, resistente tanto a los sulfatos como al agua de mar. Con hormigón de resistencia característica a 28 días no menor de 50 N/mm² (HA-50, según Instrucción EHE-08), con un contenido mínimo de cemento superior a 350 kg/m³, una relación agua/cemento inferior a 0,45 y una penetración de agua bajo presión máxima menor de 30 mm y media menor de 20 mm (hormigón apto para su empleo en clases de exposición IV+Qc ó inferiores).

Todas las secciones están armadas en toda su longitud mediante barras de acero corrugado de calidad B500SD, de límite elástico 500 N/mm², de la siguiente forma:

SECCIONES NOMINALES	ARMADO LONGITUDINAL
P200	4 Ø 12/16 mm
P235	4 Ø 16 mm
P270	4 Ø 16 mm
P300	4 Ø 20 mm
P350	4 Ø 20 mm
P400	8 Ø 16 mm

Se sitúan dos redondos en cada esquina para la sección P400 y uno en cada esquina para el resto de secciones.

Todas las secciones cuentan, también a lo largo de toda su longitud, con armadura transversal en forma cercos con acero B500SD de 6 mm de diámetro. El paso de hélice o separación entre cercos en cada una de ellas (St), cumpliendo con la cuantía mínima por cortante indicada en el artículo 44.2.3.4.1 de la EHE-08, es el siguiente:

Anejo 5: Cálculo de la cimentación

SECCIONES NOMINALES	SEPARACIÓN ARMADO TRANSVERSAL
P200	17 cm
P235	15 cm
P270	15 cm
P300	10 cm
P350	10 cm
P400	10 cm

La separación entre cercos se reduce en los 50 cm próximos a los extremos en todas las secciones, en cumplimiento del artículo B.9.5.3 de la norma UNE-EN 12794+A1 para dar cabida al número de vueltas o cercos que en él se prescriben.

El recubrimiento nominal de los pilotes entre el paramento y la armadura es el siguiente:

SECCIONES NOMINALES	RECUBRIMIENTO NOMINAL
P200	30 mm
P235	30 mm
P270	30 mm
P300	35 mm
P350	35 mm
P400	35 mm

En todos los casos el margen de recubrimiento es de 5mm.

5. Capacidad estructural de los pilotes

5.1. Capacidad frente a compresión centrada (Tope Estructural)

Las cargas estructurales máximas de compresión en servicio (tope estructural) se deducen a partir de lo indicado en el Código Técnico de la Edificación en su Documento Básico de Seguridad Estructural Cimientos (Tabla 5.1), en la Guía de Cimentaciones en Obras de Carretera (Tabla 5.5) y en la ROM 0.5-05 (Tabla 3.6.5):

$$Q_{TOPE} = \sigma \cdot A$$

Siendo:

Q_{TOPE} : Tope estructural

σ : $0,30 \cdot f_{ck}$

A : área de la sección transversal

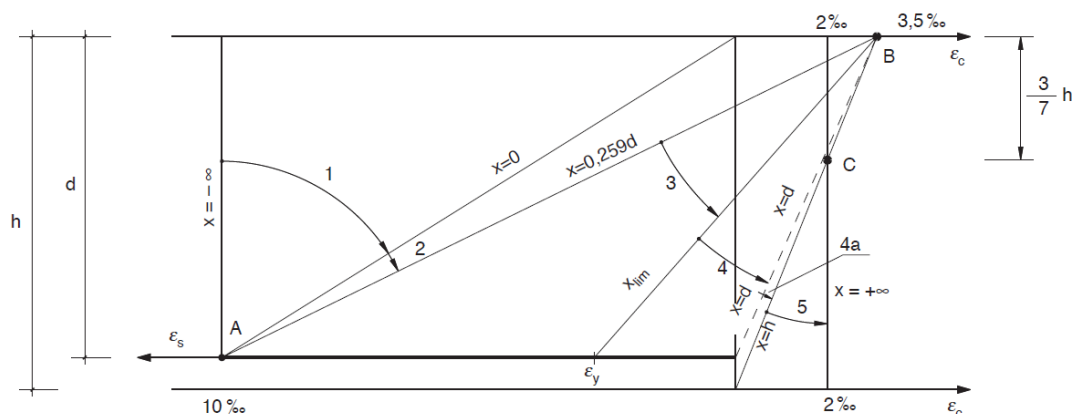
f_{ck} : resistencia característica del hormigón

Sustituyendo en los diferentes casos se tiene:

SECCIONES NOMINALES	AREA	TOPE ESTRUCTURAL
P200	413,1 cm ²	62,0 t
P235	566,6 cm ²	85,0 t
P270	746,6 cm ²	112,0 t
P300	919,6 cm ²	137,9 t
P350	1.251,4 cm ²	187,7 t
P400	1.632,1 cm ²	244,8 t

5.2. Capacidad frente a sollicitaciones normales

La capacidad de los pilotes para absorber esfuerzos combinados de axiles y momentos flectores se realiza conforme al artículo 42 de la EHE-08 para la obtención de las curvas de interacción (Anejo 1). Se contemplan por lo tanto todos los dominios de deformación.



Los cálculos se han realizado con la sección cuadrada orientada en cualquier según diferentes direcciones para contemplar cualquier esviaje en el momento flector actuante (flexión compuesta esviada). Las curvas reflejan la envolvente pésima y por tanto validan cualquier dirección en la actuación del momento flector.

5.3. Capacidad frente a cortante

La capacidad de los pilotes para absorber esfuerzos combinados de axiles y cortantes se realiza conforme al artículo 44 de la EHE-08 para la obtención de las curvas de interacción (Anejo 1).

En las curvas queda fijado, para cada valor de carga axil de diseño y habiendo tenido en cuenta el momento flector concomitante pésimo, el cortante último que resistiría cada sección.

Las curvas son válidas para cualquier dirección en la actuación del esfuerzo cortante total resultante.

6. Distribución de esfuerzos en los pilotes

La distribución de pilotes se obtiene de forma que en ningún caso se supere ni el tope estructural ni la carga admisible del terreno, de acuerdo con las solicitaciones actuantes a cota de cimentación. Para la comprobación de que los esfuerzos pésimos por pilote son admisibles hemos empleado las siguientes expresiones:

Carga vertical:

Dado que las distribuciones de pilotes propuestas para los pilares se han resuelto con encepados de 1 a n pilotes tipo P14, se ha empleado la siguiente expresión:

$$N_i = \frac{N_t}{n} \pm \frac{(M_L + Q_L \cdot L'/2) \cdot x_i}{\sum x_i^2} \pm \frac{(M_T + Q_T \cdot L'/2) \cdot y_i}{\sum y_i^2} \leq Q_{adm} \leq Q_{TOPE} \quad (1)$$

(1) Incluir el término $Q \cdot L'/2$ añadido al momento permite tener en cuenta el incremento de carga axil que genera el cortante (traslacionalidad). Alternativamente podría no incluirse, calculándose en ese caso el incremento de carga axil a partir del momento inducido en los pilotes: $\Delta N_i = x_i \cdot n \cdot M_{i,L} / \sum x_i^2 + y_i \cdot n \cdot M_{i,T} / \sum y_i^2$

siendo:

N_i : carga vertical pésima por pilote máxima y mínima.

N_t : carga vertical facilitada que transmiten los pilares a la cimentación.

N : número de pilotes por encepado.

M_L y M_T : momento longitudinal y transversal resultante en la base del encepado y el c.d.g. de los pilotes, obtenido a partir de las cargas facilitadas.

Q_L y Q_T : cortante longitudinal y transversal resultante en la base del encepado y el c.d.g. de los pilotes, obtenido a partir de las cargas facilitadas.

L' : longitud ficticia de empotramiento de los pilotes (ver flexión inducida)

$x_i - y_i$: coordenadas de los ejes de los pilotes con respecto al c.d.g. del grupo.

Carga horizontal:

Tras componer las acciones horizontales longitudinales y transversales facilitadas, empleamos la siguiente expresión:

$$Q_i = \frac{Q_{max}}{n} \leq \frac{V_{ult}}{\gamma_{cargas}} \quad (\text{cortante admisible en servicio de los pilotes})$$

Siendo:

Q_{\max} : acción horizontal máxima transmitida por el pilar a la cimentación.

n : número de pilotes por encepado.

En el caso de que existan encepados con pilotes inclinados, práctica común para absorber acciones horizontales y reducir el cortante y el momento inducido que reciben los pilotes, los cortantes longitudinal y transversal netos resultantes en la base del encepado y el c.d.g. de los pilotes se calculan según las siguientes expresiones:

$$Q_{L,Neto} = Q_L - \Sigma(N_i \cdot \tan \alpha_x^i) \quad Q_{T,Neto} = Q_T - \Sigma(N_i \cdot \tan \alpha_y^i)$$

Siendo:

$\alpha_x^i - \alpha_y^i$: inclinación de los pilotes respecto a la vertical según ejes longitudinal y transversal; ángulo positivo si la punta se desvía en sentido creciente de las coordenadas del eje respectivo (la coordenada de la punta es mayor que la de la cabeza) y viceversa.

Estos cortantes netos son los que se utilizan para el cálculo del reparto de cargas verticales.

Flexión inducida por el esfuerzo cortante:

Para determinar el momento flector pésimo en el pilote hay que calcular en primer lugar la longitud de empotramiento ficticia, para ello empleamos las siguientes expresiones (Carlos Oteo, Guía para el proyecto y la ejecución de micropilotes en obras de carretera):

$$L' = 1,2 \cdot L_e$$

$$L_e = \sqrt[4]{\frac{E_p \cdot I_p}{E_s / 3}}$$

siendo:

L' : Longitud de empotramiento ficticia.

L_e : Longitud elástica.

E_p : módulo de deformación del pilote = 8.500 (N/mm²).

f_{ck} : resistencia característica del hormigón del pilote.

f_{cm} : $f_{ck} + 8$ (N/mm²).

I_p : inercia del pilote = $D^4/12$

E_s = módulo de deformación del terreno.

Una vez obtenida la longitud de empotramiento ficticia, el momento flector inducido por el esfuerzo horizontal en cabeza de pilote (considerando al conjunto pilotes-encepado como un pórtico) es el siguiente:

$$M_i = \frac{Q_i \cdot L'}{2} \leq \frac{M_{ult}}{\gamma_{cargas}} \text{ (momento flector admisible en servicio de los pilotes)}$$

Los valores V_{ult} y M_{ult} a considerar en las curvas de interacción axil-momento y axil-cortante reflejadas en los Anejos 1 y 2 serán los correspondientes a los axiles de diseño máximo y mínimo de los pilotes del encepado, mayorando o no los axiles de servicio pésimos del lado de la seguridad según sea más desfavorable. Alternativamente, si los valores N_i , Q_i y M_i se han obtenido a partir de cargas a cimentación en Estado Límite Último, se compararán directamente dichos valores con los de las gráficas (sin el coeficiente γ_{cargas}). En todo caso el criterio $N_i \leq Q_{adm} \leq Q_{TOPE}$, se aplica con las cargas de servicio sin mayorar.

7. Encepados y elementos de arriostramiento

Los encepados son los elementos de unión y transición de los pilares con los pilotes. Como elementos de hormigón armado su cálculo se realiza, en el caso de encepados de más de un pilote, según lo indicado en el artículo 58 de la Instrucción EHE-08; los encepados de un pilote se comprueban de acuerdo al artículo 61 de la misma como macizos sometidos a cargas concentradas.

Las vigas de atado que arriostran los encepados individuales en dos direcciones y los dobles la dirección perpendicular al eje del encepado, han de estar dimensionadas para absorber, además de las cargas que graviten sobre ellas o que reciban de los pilares o muros, un momento adicional en sus extremos producido por una excentricidad accidental de los pilotes de hasta 10 cm.

Estas vigas de atado se dimensionan de acuerdo al cálculo simplificado de secciones en estado límite de agotamiento frente a sollicitaciones normales, descrito en el Anejo 8 de la EHE 08.

En ambos elementos el hormigón será al menos de 25 N/mm² de resistencia característica y el acero de calidad B500S (B500SD en zonas sísmicas), con 500 N/mm² de límite elástico.

7.1. Entrega de pilote dentro del encepado

La longitud de pilote sin descabezar dentro del encepado (entrega) será de al menos cincuenta milímetros (50 mm). De cara a tener en cuenta una posible desviación en el nivel de la cara superior de un pilote se establece una entrega nominal de pilote en el encepado de 100 mm.

7.2. Longitud de anclaje de las barras de los pilotes en los encepados

Desde la cara inferior del encepado, que es necesaria para garantizar la resistencia del anclaje por adherencia.

Según el artículo 69.5.1.2 de la EHE-08, posición I (ángulo respecto a la horizontal entre 45º y 90º), la longitud neta de anclaje en prolongación recta para poder agotar su límite elástico se define como:

$$l_{bl,neta} = m \cdot \sigma^2 \geq f_{yk} \cdot \sigma / 20$$

siendo:

m : 1,3 (coeficiente numérico según tabla 69.5.1.2.a de la EHE-08 para HA-30).

σ : diámetro de la barra en mm (12, 16 ó 20 según secciones).

f_{yk} : 500 N/mm² (límite elástico de la barra).

Anejo 5: Cálculo de la cimentación

Si por limitaciones de canto de la cimentación se dispusiera de un anclaje en patilla normalizada (figura 69.5.1.1 de la EHE-08), la longitud de anclaje a disponer será de un 70% de la neta calculada.

En zonas sísmicas en las que sea de aplicación la norma NCSE-02, esta longitud se aumentará en $10 \varnothing$.

Cuando se trate de grupos de 2 barras (pilotes P400 o de armado especial), la longitud neta de anclaje del grupo se multiplicará por 1,3 (después de la reducción por patilla y/o del aumento por efectos dinámicos en su caso).

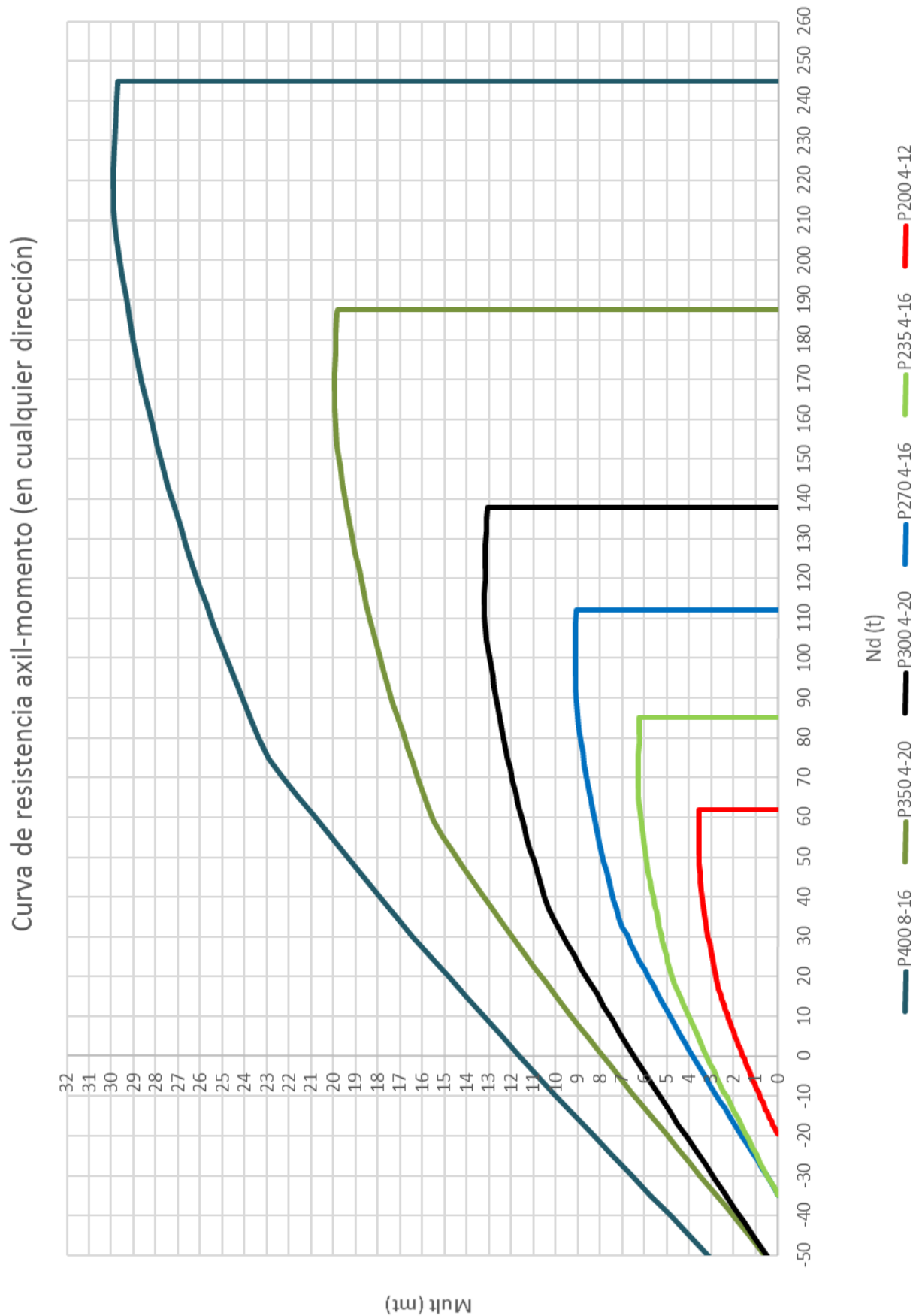
Sustituyendo en los diferentes casos se tiene:

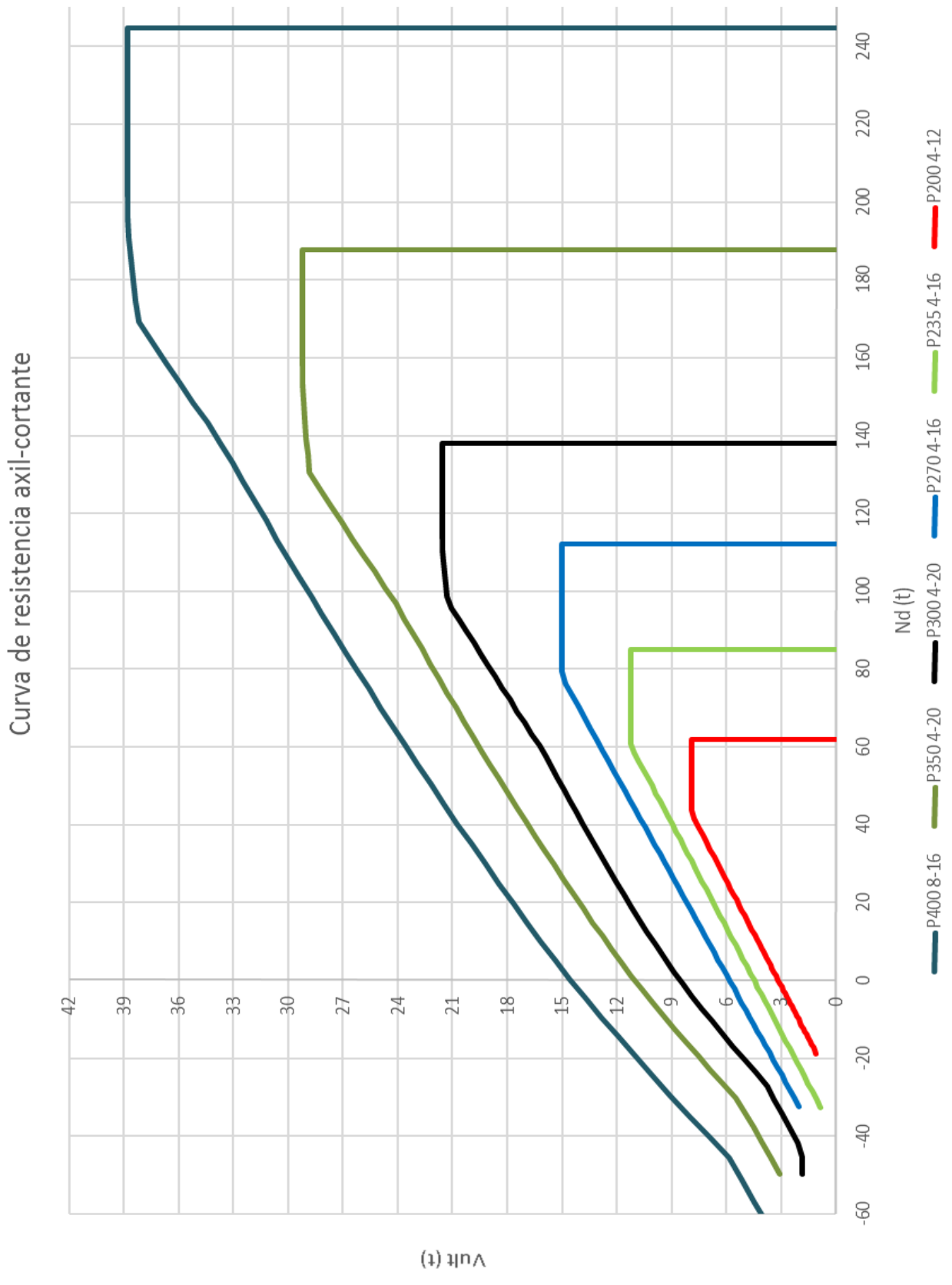
Sección	$l_{bI,net}$ prolongación recta (mm)		$l_{bI,net}$ patilla (mm)	
	Sin sismo	Con sismo	Sin sismo	Con sismo
P200 (12/16)	300/400	420/560	210/280	330/440
P235	400	560	280	440
P270	400	560	280	440
P300	520	720	364	564
P350	520	720	364	564
P400	520	728	364	572

Las longitudes indicadas en patilla corresponden a la distancia entre la cara inferior del encepado y la generatriz superior de la patilla, tras la cual aparecerá la patilla normalizada (1 radio de giro según tabla 69.3.4 de EHE-08 más $5 \varnothing$). Del lado de la seguridad, y también cuando no se cuenta con canto suficiente para la patilla normalizada o, el anclaje podrá disponerse como barra doblada con un tramo vertical reducido (para encajarlo en el canto) y una patilla mayor a la normalizada o un gancho de forma que la longitud total del desarrollo del anclaje (tramo vertical, más giro, más patilla o gancho) sea mayor o igual a la longitud de anclaje en prolongación recta indicada.

8. Apéndices

8.1. Curvas N-M; V-M





8.2. Apéndice 2: Solicitaciones en base de cimentación



1.- ARRANQUES DE PILARES, PANTALLAS Y MUROS POR HIPÓTESIS

■ Nota:

Los esfuerzos están referidos a ejes locales del pilar.

Soporte	Hipótesis	Esfuerzos en arranques					
		N (t)	Mx (t·m)	My (t·m)	Qx (t)	Qy (t)	T (t·m)
P1	Peso propio	32.16	-0.65	1.91	-0.42	1.27	0.00
	Cargas muertas	26.66	-0.65	2.53	-0.40	1.67	-0.00
	Sobrecarga de uso	19.70	-0.43	0.64	-0.30	0.44	0.00
	Viento +X exc.+	-1.02	-0.73	-0.38	-0.34	-0.20	0.00
	Viento +X exc.-	-0.95	-0.81	-0.02	-0.37	-0.03	-0.00
	Viento -X exc.+	1.02	0.73	0.38	0.34	0.20	-0.00
	Viento -X exc.-	0.95	0.81	0.02	0.37	0.03	0.00
	Viento +Y exc.+	-3.73	-0.94	-6.75	-0.44	-3.17	-0.01
	Viento +Y exc.-	-4.55	-0.03	-10.82	-0.02	-5.05	-0.00
	Viento -Y exc.+	3.73	0.94	6.75	0.44	3.17	0.01
	Viento -Y exc.-	4.55	0.03	10.82	0.02	5.05	0.00
	Sismo X Modo 1	-2.17	-0.75	-2.25	-0.34	-1.08	0.01
	Sismo X Modo 2	0.00	0.00	0.00	0.00	0.00	0.00
	Sismo X Modo 3	0.00	0.00	0.00	0.00	0.00	0.00
	Sismo X Modo 4	0.00	0.00	0.00	0.00	0.00	0.00
	Sismo X Modo 5	0.00	0.00	0.00	0.00	0.00	0.00
	Sismo X Modo 6	-1.21	-0.63	-0.99	-0.29	-0.48	-0.00
	Sismo X Modo 7	0.42	-0.56	2.29	-0.25	1.06	-0.00
	Sismo X Modo 8	0.23	0.71	0.58	0.33	0.26	-0.00
	Sismo X Modo 9	0.05	-0.14	0.63	-0.07	0.29	-0.00
	Sismo X Modo 10	0.00	0.00	0.00	0.00	0.00	0.00
	Sismo Y Modo 1	-0.67	-0.23	-0.70	-0.11	-0.34	0.00
	Sismo Y Modo 2	0.00	0.00	0.00	0.00	0.00	0.00
	Sismo Y Modo 3	0.00	0.00	0.00	0.00	0.00	0.00
	Sismo Y Modo 4	0.00	0.00	0.00	0.00	0.00	0.00
	Sismo Y Modo 5	0.00	0.00	0.00	0.00	0.00	0.00
	Sismo Y Modo 6	-2.45	-1.28	-1.99	-0.58	-0.97	-0.01
	Sismo Y Modo 7	0.59	-0.79	3.24	-0.36	1.50	-0.01
	Sismo Y Modo 8	0.00	0.01	0.00	0.00	0.00	-0.00
	Sismo Y Modo 9	0.09	-0.26	1.15	-0.12	0.53	-0.00
	Sismo Y Modo 10	0.00	0.00	0.00	0.00	0.00	0.00
	Bomberos	45.67	-1.27	-0.71	-0.87	-0.49	0.00



Esfuerzos y armados de pilares, pantallas y muros

PARCELA R-20, SECTOR LA CATALANA, SANT ADRIA DE BESOS

Fecha: 22/03/18

Soporte	Hipótesis	Esfuerzos en arranques					
		N (t)	Mx (t·m)	My (t·m)	Qx (t)	Qy (t)	T (t·m)
P2	Peso propio	27.84	0.10	0.95	0.09	0.63	0.00
	Cargas muertas	19.24	0.00	1.03	0.03	0.68	-0.00
	Sobrecarga de uso	12.58	0.16	0.30	0.11	0.20	0.00
	Viento +X exc.+	0.26	-0.55	-0.08	-0.26	-0.04	0.00
	Viento +X exc.-	0.45	-0.61	0.03	-0.29	0.02	-0.00
	Viento -X exc.+	-0.26	0.55	0.08	0.26	0.04	-0.00
	Viento -X exc.-	-0.45	0.61	-0.03	0.29	-0.02	0.00
	Viento +Y exc.+	-3.29	-0.69	-2.78	-0.33	-1.34	-0.01
	Viento +Y exc.-	-5.45	-0.02	-4.08	-0.01	-1.98	-0.00
	Viento -Y exc.+	3.29	0.69	2.78	0.33	1.34	0.01
	Viento -Y exc.-	5.45	0.02	4.08	0.01	1.98	0.00
	Sismo X Modo 1	-0.34	-0.57	-0.57	-0.27	-0.28	0.01
	Sismo X Modo 2	0.00	0.00	0.00	0.00	0.00	0.00
	Sismo X Modo 3	0.00	0.00	0.00	0.00	0.00	0.00
	Sismo X Modo 4	0.00	0.00	0.00	0.00	0.00	0.00
	Sismo X Modo 5	0.00	0.00	0.00	0.00	0.00	0.00
	Sismo X Modo 6	-0.29	-0.47	-0.41	-0.22	-0.20	-0.00
	Sismo X Modo 7	1.49	-0.41	0.79	-0.19	0.39	-0.00
	Sismo X Modo 8	-0.02	0.53	0.18	0.25	0.09	-0.00
	Sismo X Modo 9	0.09	-0.11	0.20	-0.05	0.10	-0.00
	Sismo X Modo 10	0.00	0.00	0.00	0.00	0.00	0.00
	Sismo Y Modo 1	-0.11	-0.18	-0.18	-0.08	-0.09	0.00
	Sismo Y Modo 2	0.00	0.00	0.00	0.00	0.00	0.00
	Sismo Y Modo 3	0.00	0.00	0.00	0.00	0.00	0.00
	Sismo Y Modo 4	0.00	0.00	0.00	0.00	0.00	0.00
	Sismo Y Modo 5	0.00	0.00	0.00	0.00	0.00	0.00
	Sismo Y Modo 6	-0.58	-0.94	-0.82	-0.45	-0.40	-0.00
	Sismo Y Modo 7	2.11	-0.58	1.12	-0.28	0.55	-0.00
	Sismo Y Modo 8	-0.00	0.00	0.00	0.00	0.00	-0.00
	Sismo Y Modo 9	0.17	-0.19	0.37	-0.09	0.17	-0.00
	Sismo Y Modo 10	0.00	0.00	0.00	0.00	0.00	0.00
	Bomberos	17.94	0.40	-0.35	0.26	-0.24	0.00



Esfuerzos y armados de pilares, pantallas y muros

PARCELA R-20, SECTOR LA CATALANA, SANT ADRIA DE BESOS

Fecha: 22/03/18

Soporte	Hipótesis	Esfuerzos en arranques					
		N (t)	Mx (t·m)	My (t·m)	Qx (t)	Qy (t)	T (t·m)
P3	Peso propio	51.24	-0.29	2.96	-0.18	1.96	0.00
	Cargas muertas	36.59	-0.29	2.87	-0.16	1.91	-0.00
	Sobrecarga de uso	26.20	-0.04	1.16	-0.03	0.75	0.00
	Viento +X exc.+	-0.04	-0.81	-0.16	-0.39	-0.08	0.00
	Viento +X exc.-	0.11	-0.90	0.05	-0.43	0.02	-0.00
	Viento -X exc.+	0.04	0.81	0.16	0.39	0.08	-0.00
	Viento -X exc.-	-0.11	0.90	-0.05	0.43	-0.02	0.00
	Viento +Y exc.+	-5.78	-1.00	-9.60	-0.48	-4.69	-0.01
	Viento +Y exc.-	-7.58	0.03	-11.95	0.02	-5.85	-0.00
	Viento -Y exc.+	5.78	1.00	9.60	0.48	4.69	0.01
	Viento -Y exc.-	7.58	-0.03	11.95	-0.02	5.85	0.00
	Sismo X Modo 1	-0.44	-0.83	-0.55	-0.40	-0.27	0.01
	Sismo X Modo 2	0.00	0.00	0.00	0.00	0.00	0.00
	Sismo X Modo 3	0.00	0.00	0.00	0.00	0.00	0.00
	Sismo X Modo 4	0.00	0.00	0.00	0.00	0.00	0.00
	Sismo X Modo 5	0.00	0.00	0.00	0.00	0.00	0.00
	Sismo X Modo 6	-0.97	-0.69	-1.59	-0.33	-0.78	-0.00
	Sismo X Modo 7	1.39	-0.63	1.76	-0.31	0.87	-0.00
	Sismo X Modo 8	0.19	0.77	0.36	0.37	0.18	-0.00
	Sismo X Modo 9	0.10	-0.16	0.43	-0.08	0.21	-0.00
	Sismo X Modo 10	0.00	0.00	0.00	0.00	0.00	0.00
	Sismo Y Modo 1	-0.14	-0.26	-0.17	-0.12	-0.08	0.00
	Sismo Y Modo 2	0.00	0.00	0.00	0.00	0.00	0.00
	Sismo Y Modo 3	0.00	0.00	0.00	0.00	0.00	0.00
	Sismo Y Modo 4	0.00	0.00	0.00	0.00	0.00	0.00
	Sismo Y Modo 5	0.00	0.00	0.00	0.00	0.00	0.00
	Sismo Y Modo 6	-1.95	-1.40	-3.21	-0.67	-1.57	-0.01
	Sismo Y Modo 7	1.97	-0.89	2.49	-0.43	1.23	-0.01
	Sismo Y Modo 8	0.00	0.01	0.00	0.00	0.00	-0.00
	Sismo Y Modo 9	0.18	-0.29	0.79	-0.14	0.38	-0.00
	Sismo Y Modo 10	0.00	0.00	0.00	0.00	0.00	0.00
	Bomberos	41.03	-0.09	-0.47	-0.08	-0.35	0.00



Esfuerzos y armados de pilares, pantallas y muros

PARCELA R-20, SECTOR LA CATALANA, SANT ADRIA DE BESOS

Fecha: 22/03/18

Soporte	Hipótesis	Esfuerzos en arranques					
		N (t)	Mx (t·m)	My (t·m)	Qx (t)	Qy (t)	T (t·m)
P4	Peso propio	37.05	-0.14	0.89	-0.08	0.58	0.00
	Cargas muertas	26.87	-0.23	1.01	-0.13	0.68	-0.00
	Sobrecarga de uso	21.57	0.02	0.43	0.01	0.27	0.00
	Viento +X exc.+	0.39	-0.59	0.00	-0.29	0.00	0.00
	Viento +X exc.-	0.47	-0.66	0.02	-0.32	0.02	-0.00
	Viento -X exc.+	-0.39	0.59	-0.00	0.29	-0.00	-0.00
	Viento -X exc.-	-0.47	0.66	-0.02	0.32	-0.02	0.00
	Viento +Y exc.+	-6.60	-0.75	-4.41	-0.37	-2.26	-0.01
	Viento +Y exc.-	-7.62	-0.02	-4.67	-0.01	-2.40	-0.00
	Viento -Y exc.+	6.60	0.75	4.41	0.37	2.26	0.01
	Viento -Y exc.-	7.62	0.02	4.67	0.01	2.40	0.00
	Sismo X Modo 1	0.96	-0.61	0.35	-0.30	0.18	0.01
	Sismo X Modo 2	0.00	0.00	0.00	0.00	0.00	0.00
	Sismo X Modo 3	0.00	0.00	0.00	0.00	0.00	0.00
	Sismo X Modo 4	0.00	0.00	0.00	0.00	0.00	0.00
	Sismo X Modo 5	0.00	0.00	0.00	0.00	0.00	0.00
	Sismo X Modo 6	-1.02	-0.51	-0.79	-0.25	-0.40	-0.00
	Sismo X Modo 7	1.18	-0.45	0.45	-0.22	0.24	-0.00
	Sismo X Modo 8	-0.18	0.57	0.04	0.28	0.02	-0.00
	Sismo X Modo 9	0.05	-0.11	0.09	-0.06	0.04	-0.00
	Sismo X Modo 10	0.00	0.00	0.00	0.00	0.00	0.00
	Sismo Y Modo 1	0.30	-0.19	0.11	-0.09	0.06	0.00
	Sismo Y Modo 2	0.00	0.00	0.00	0.00	0.00	0.00
	Sismo Y Modo 3	0.00	0.00	0.00	0.00	0.00	0.00
	Sismo Y Modo 4	0.00	0.00	0.00	0.00	0.00	0.00
	Sismo Y Modo 5	0.00	0.00	0.00	0.00	0.00	0.00
	Sismo Y Modo 6	-2.06	-1.03	-1.59	-0.51	-0.81	-0.00
	Sismo Y Modo 7	1.67	-0.64	0.64	-0.31	0.33	-0.00
	Sismo Y Modo 8	-0.00	0.00	0.00	0.00	0.00	-0.00
	Sismo Y Modo 9	0.09	-0.21	0.16	-0.10	0.08	-0.00
	Sismo Y Modo 10	0.00	0.00	0.00	0.00	0.00	0.00
	Bomberos	48.19	0.36	-0.04	0.23	-0.04	0.00



Esfuerzos y armados de pilares, pantallas y muros

PARCELA R-20, SECTOR LA CATALANA, SANT ADRIA DE BESOS

Fecha: 22/03/18

Soporte	Hipótesis	Esfuerzos en arranques					
		N (t)	Mx (t·m)	My (t·m)	Qx (t)	Qy (t)	T (t·m)
P5	Peso propio	20.54	-0.17	0.22	-0.11	0.14	0.00
	Cargas muertas	9.39	-0.14	0.17	-0.08	0.12	-0.00
	Sobrecarga de uso	15.27	-0.05	0.21	-0.05	0.13	0.00
	Viento +X exc.+	0.09	-0.44	0.01	-0.20	0.01	0.00
	Viento +X exc.-	0.09	-0.49	-0.00	-0.22	-0.00	-0.00
	Viento -X exc.+	-0.09	0.44	-0.01	0.20	-0.01	-0.00
	Viento -X exc.-	-0.09	0.49	0.00	0.22	0.00	0.00
	Viento +Y exc.+	-1.38	-0.55	-2.53	-0.25	-1.16	-0.00
	Viento +Y exc.-	-1.39	-0.00	-2.34	0.00	-1.08	-0.00
	Viento -Y exc.+	1.38	0.55	2.53	0.25	1.16	0.00
	Viento -Y exc.-	1.39	0.00	2.34	-0.00	1.08	0.00
	Sismo X Modo 1	0.32	-0.46	0.41	-0.21	0.19	0.00
	Sismo X Modo 2	0.00	0.00	0.00	0.00	0.00	0.00
	Sismo X Modo 3	0.00	0.00	0.00	0.00	0.00	0.00
	Sismo X Modo 4	0.00	0.00	0.00	0.00	0.00	0.00
	Sismo X Modo 5	0.00	0.00	0.00	0.00	0.00	0.00
	Sismo X Modo 6	-0.22	-0.38	-0.48	-0.17	-0.22	-0.00
	Sismo X Modo 7	0.14	-0.34	0.10	-0.15	0.05	-0.00
	Sismo X Modo 8	-0.07	0.42	-0.02	0.19	-0.01	-0.00
	Sismo X Modo 9	0.01	-0.09	0.01	-0.04	0.00	-0.00
	Sismo X Modo 10	0.00	0.00	0.00	0.00	0.00	0.00
	Sismo Y Modo 1	0.10	-0.14	0.13	-0.07	0.06	0.00
	Sismo Y Modo 2	0.00	0.00	0.00	0.00	0.00	0.00
	Sismo Y Modo 3	0.00	0.00	0.00	0.00	0.00	0.00
	Sismo Y Modo 4	0.00	0.00	0.00	0.00	0.00	0.00
	Sismo Y Modo 5	0.00	0.00	0.00	0.00	0.00	0.00
	Sismo Y Modo 6	-0.44	-0.76	-0.97	-0.35	-0.45	-0.00
	Sismo Y Modo 7	0.20	-0.48	0.15	-0.22	0.07	-0.00
	Sismo Y Modo 8	-0.00	0.00	-0.00	0.00	-0.00	-0.00
	Sismo Y Modo 9	0.02	-0.16	0.02	-0.07	0.01	-0.00
	Sismo Y Modo 10	0.00	0.00	0.00	0.00	0.00	0.00
	Bomberos	43.55	-0.19	0.07	-0.16	0.03	0.00



Esfuerzos y armados de pilares, pantallas y muros

PARCELA R-20, SECTOR LA CATALANA, SANT ADRIA DE BESOS

Fecha: 22/03/18

Soporte	Hipótesis	Esfuerzos en arranques					
		N (t)	Mx (t·m)	My (t·m)	Qx (t)	Qy (t)	T (t·m)
P6	Peso propio	19.43	0.01	0.37	0.03	0.23	0.00
	Cargas muertas	8.30	-0.08	0.24	-0.03	0.17	-0.00
	Sobrecarga de uso	14.84	0.09	0.38	0.06	0.24	0.00
	Viento +X exc.+	0.04	-0.53	0.04	-0.24	0.02	0.00
	Viento +X exc.-	0.01	-0.58	-0.01	-0.27	-0.01	-0.00
	Viento -X exc.+	-0.04	0.53	-0.04	0.24	-0.02	-0.00
	Viento -X exc.-	-0.01	0.58	0.01	0.27	0.01	0.00
	Viento +Y exc.+	-1.96	-0.68	-4.37	-0.31	-2.03	-0.01
	Viento +Y exc.-	-1.69	-0.02	-3.80	-0.01	-1.77	-0.00
	Viento -Y exc.+	1.96	0.68	4.37	0.31	2.03	0.01
	Viento -Y exc.-	1.69	0.02	3.80	0.01	1.77	0.00
	Sismo X Modo 1	0.44	-0.54	0.87	-0.25	0.41	0.01
	Sismo X Modo 2	0.00	0.00	0.00	0.00	0.00	0.00
	Sismo X Modo 3	0.00	0.00	0.00	0.00	0.00	0.00
	Sismo X Modo 4	0.00	0.00	0.00	0.00	0.00	0.00
	Sismo X Modo 5	0.00	0.00	0.00	0.00	0.00	0.00
	Sismo X Modo 6	-0.38	-0.45	-0.86	-0.21	-0.40	-0.00
	Sismo X Modo 7	0.02	-0.40	0.06	-0.18	0.03	-0.00
	Sismo X Modo 8	-0.06	0.50	-0.07	0.23	-0.03	-0.00
	Sismo X Modo 9	-0.01	-0.10	-0.02	-0.05	-0.01	-0.00
	Sismo X Modo 10	0.00	0.00	0.00	0.00	0.00	0.00
	Sismo Y Modo 1	0.14	-0.17	0.27	-0.08	0.13	0.00
	Sismo Y Modo 2	0.00	0.00	0.00	0.00	0.00	0.00
	Sismo Y Modo 3	0.00	0.00	0.00	0.00	0.00	0.00
	Sismo Y Modo 4	0.00	0.00	0.00	0.00	0.00	0.00
	Sismo Y Modo 5	0.00	0.00	0.00	0.00	0.00	0.00
	Sismo Y Modo 6	-0.77	-0.92	-1.72	-0.42	-0.80	-0.00
	Sismo Y Modo 7	0.03	-0.57	0.09	-0.26	0.04	-0.00
	Sismo Y Modo 8	-0.00	0.00	-0.00	0.00	-0.00	-0.00
	Sismo Y Modo 9	-0.01	-0.19	-0.04	-0.09	-0.02	-0.00
	Sismo Y Modo 10	0.00	0.00	0.00	0.00	0.00	0.00
	Bomberos	39.61	0.24	0.13	0.17	0.06	0.00



Esfuerzos y armados de pilares, pantallas y muros

PARCELA R-20, SECTOR LA CATALANA, SANT ADRIA DE BESOS

Fecha: 22/03/18

Soporte	Hipótesis	Esfuerzos en arranques					
		N (t)	Mx (t·m)	My (t·m)	Qx (t)	Qy (t)	T (t·m)
P7	Peso propio	25.20	-0.08	0.44	-0.04	0.28	0.00
	Cargas muertas	10.99	-0.11	0.25	-0.05	0.18	-0.00
	Sobrecarga de uso	19.57	0.03	0.46	0.02	0.29	0.00
	Viento +X exc.+	0.02	-0.55	0.07	-0.26	0.03	0.00
	Viento +X exc.-	-0.03	-0.61	-0.02	-0.29	-0.01	-0.00
	Viento -X exc.+	-0.02	0.55	-0.07	0.26	-0.03	-0.00
	Viento -X exc.-	0.03	0.61	0.02	0.29	0.01	0.00
	Viento +Y exc.+	-2.99	-0.70	-5.05	-0.33	-2.41	-0.01
	Viento +Y exc.-	-2.38	-0.01	-4.01	-0.01	-1.91	-0.00
	Viento -Y exc.+	2.99	0.70	5.05	0.33	2.41	0.01
	Viento -Y exc.-	2.38	0.01	4.01	0.01	1.91	0.00
	Sismo X Modo 1	0.71	-0.57	1.27	-0.27	0.61	0.01
	Sismo X Modo 2	0.00	0.00	0.00	0.00	0.00	0.00
	Sismo X Modo 3	0.00	0.00	0.00	0.00	0.00	0.00
	Sismo X Modo 4	0.00	0.00	0.00	0.00	0.00	0.00
	Sismo X Modo 5	0.00	0.00	0.00	0.00	0.00	0.00
	Sismo X Modo 6	-0.62	-0.47	-1.02	-0.22	-0.49	-0.00
	Sismo X Modo 7	-0.06	-0.42	-0.10	-0.20	-0.05	-0.00
	Sismo X Modo 8	-0.05	0.53	-0.13	0.25	-0.06	-0.00
	Sismo X Modo 9	-0.04	-0.11	-0.08	-0.05	-0.04	-0.00
	Sismo X Modo 10	0.00	0.00	0.00	0.00	0.00	0.00
	Sismo Y Modo 1	0.22	-0.18	0.39	-0.08	0.19	0.00
	Sismo Y Modo 2	0.00	0.00	0.00	0.00	0.00	0.00
	Sismo Y Modo 3	0.00	0.00	0.00	0.00	0.00	0.00
	Sismo Y Modo 4	0.00	0.00	0.00	0.00	0.00	0.00
	Sismo Y Modo 5	0.00	0.00	0.00	0.00	0.00	0.00
	Sismo Y Modo 6	-1.25	-0.95	-2.06	-0.45	-0.98	-0.00
	Sismo Y Modo 7	-0.09	-0.59	-0.14	-0.28	-0.07	-0.00
	Sismo Y Modo 8	-0.00	0.00	-0.00	0.00	-0.00	-0.00
	Sismo Y Modo 9	-0.07	-0.20	-0.14	-0.09	-0.07	-0.00
	Sismo Y Modo 10	0.00	0.00	0.00	0.00	0.00	0.00
	Bomberos	51.95	0.06	0.19	0.03	0.09	0.00



Esfuerzos y armados de pilares, pantallas y muros

PARCELA R-20, SECTOR LA CATALANA, SANT ADRIA DE BESOS

Fecha: 22/03/18

Soporte	Hipótesis	Esfuerzos en arranques					
		N (t)	Mx (t·m)	My (t·m)	Qx (t)	Qy (t)	T (t·m)
P8	Peso propio	27.40	-0.03	0.49	0.00	0.31	0.00
	Cargas muertas	11.97	-0.10	0.25	-0.04	0.18	-0.00
	Sobrecarga de uso	22.45	0.08	0.57	0.05	0.36	0.00
	Viento +X exc.+	-0.01	-0.58	0.10	-0.28	0.05	0.00
	Viento +X exc.-	-0.10	-0.64	-0.03	-0.31	-0.02	-0.00
	Viento -X exc.+	0.01	0.58	-0.10	0.28	-0.05	-0.00
	Viento -X exc.-	0.10	0.64	0.03	0.31	0.02	0.00
	Viento +Y exc.+	-3.51	-0.74	-5.80	-0.36	-2.84	-0.01
	Viento +Y exc.-	-2.47	-0.02	-4.22	-0.01	-2.06	-0.00
	Viento -Y exc.+	3.51	0.74	5.80	0.36	2.84	0.01
	Viento -Y exc.-	2.47	0.02	4.22	0.01	2.06	0.00
	Sismo X Modo 1	0.96	-0.60	1.72	-0.29	0.84	0.01
	Sismo X Modo 2	0.00	0.00	0.00	0.00	0.00	0.00
	Sismo X Modo 3	0.00	0.00	0.00	0.00	0.00	0.00
	Sismo X Modo 4	0.00	0.00	0.00	0.00	0.00	0.00
	Sismo X Modo 5	0.00	0.00	0.00	0.00	0.00	0.00
	Sismo X Modo 6	-0.78	-0.50	-1.21	-0.24	-0.59	-0.00
	Sismo X Modo 7	-0.24	-0.44	-0.29	-0.21	-0.14	-0.00
	Sismo X Modo 8	-0.05	0.55	-0.20	0.27	-0.10	-0.00
	Sismo X Modo 9	-0.09	-0.11	-0.14	-0.05	-0.07	-0.00
	Sismo X Modo 10	0.00	0.00	0.00	0.00	0.00	0.00
	Sismo Y Modo 1	0.30	-0.19	0.53	-0.09	0.26	0.00
	Sismo Y Modo 2	0.00	0.00	0.00	0.00	0.00	0.00
	Sismo Y Modo 3	0.00	0.00	0.00	0.00	0.00	0.00
	Sismo Y Modo 4	0.00	0.00	0.00	0.00	0.00	0.00
	Sismo Y Modo 5	0.00	0.00	0.00	0.00	0.00	0.00
	Sismo Y Modo 6	-1.58	-1.00	-2.43	-0.49	-1.19	-0.00
	Sismo Y Modo 7	-0.34	-0.62	-0.41	-0.30	-0.20	-0.00
	Sismo Y Modo 8	-0.00	0.00	-0.00	0.00	-0.00	-0.00
	Sismo Y Modo 9	-0.17	-0.21	-0.26	-0.10	-0.13	-0.00
	Sismo Y Modo 10	0.00	0.00	0.00	0.00	0.00	0.00
	Bomberos	56.74	0.18	0.25	0.12	0.13	0.00



Esfuerzos y armados de pilares, pantallas y muros

PARCELA R-20, SECTOR LA CATALANA, SANT ADRIA DE BESOS

Fecha: 22/03/18

Soporte	Hipótesis	Esfuerzos en arranques					
		N (t)	Mx (t·m)	My (t·m)	Qx (t)	Qy (t)	T (t·m)
P9	Peso propio	11.67	-0.48	0.48	-0.37	0.29	0.00
	Cargas muertas	8.26	-0.31	0.25	-0.21	0.18	-0.00
	Sobrecarga de uso	8.81	-0.30	0.57	-0.26	0.35	0.00
	Viento +X exc.+	0.15	-0.60	0.14	-0.29	0.07	0.00
	Viento +X exc.-	0.12	-0.66	-0.04	-0.32	-0.02	-0.00
	Viento -X exc.+	-0.15	0.60	-0.14	0.29	-0.07	-0.00
	Viento -X exc.-	-0.12	0.66	0.04	0.32	0.02	0.00
	Viento +Y exc.+	-1.40	-0.70	-6.48	-0.33	-3.20	-0.01
	Viento +Y exc.-	-1.02	0.02	-4.35	0.02	-2.15	-0.00
	Viento -Y exc.+	1.40	0.70	6.48	0.33	3.20	0.01
	Viento -Y exc.-	1.02	-0.02	4.35	-0.02	2.15	0.00
	Sismo X Modo 1	0.65	-0.63	2.17	-0.31	1.07	0.01
	Sismo X Modo 2	0.00	0.00	0.00	0.00	0.00	0.00
	Sismo X Modo 3	0.00	0.00	0.00	0.00	0.00	0.00
	Sismo X Modo 4	0.00	0.00	0.00	0.00	0.00	0.00
	Sismo X Modo 5	0.00	0.00	0.00	0.00	0.00	0.00
	Sismo X Modo 6	-0.23	-0.50	-1.38	-0.24	-0.68	-0.00
	Sismo X Modo 7	-0.04	-0.45	-0.48	-0.22	-0.24	-0.00
	Sismo X Modo 8	-0.17	0.57	-0.28	0.28	-0.14	-0.00
	Sismo X Modo 9	-0.03	-0.11	-0.21	-0.06	-0.10	-0.00
	Sismo X Modo 10	0.00	0.00	0.00	0.00	0.00	0.00
	Sismo Y Modo 1	0.20	-0.20	0.67	-0.10	0.33	0.00
	Sismo Y Modo 2	0.00	0.00	0.00	0.00	0.00	0.00
	Sismo Y Modo 3	0.00	0.00	0.00	0.00	0.00	0.00
	Sismo Y Modo 4	0.00	0.00	0.00	0.00	0.00	0.00
	Sismo Y Modo 5	0.00	0.00	0.00	0.00	0.00	0.00
	Sismo Y Modo 6	-0.47	-1.01	-2.77	-0.49	-1.37	-0.00
	Sismo Y Modo 7	-0.05	-0.63	-0.68	-0.31	-0.34	-0.00
	Sismo Y Modo 8	-0.00	0.00	-0.00	0.00	-0.00	-0.00
	Sismo Y Modo 9	-0.05	-0.21	-0.38	-0.10	-0.19	-0.00
	Sismo Y Modo 10	0.00	0.00	0.00	0.00	0.00	0.00
	Bomberos	22.33	-0.78	0.21	-0.66	0.09	0.00



Esfuerzos y armados de pilares, pantallas y muros

PARCELA R-20, SECTOR LA CATALANA, SANT ADRIA DE BESOS

Fecha: 22/03/18

Soporte	Hipótesis	Esfuerzos en arranques					
		N (t)	Mx (t·m)	My (t·m)	Qx (t)	Qy (t)	T (t·m)
P10	Peso propio	11.71	0.58	0.41	0.49	0.30	-0.00
	Cargas muertas	7.93	0.28	0.13	0.22	0.12	0.00
	Sobrecarga de uso	18.19	0.86	0.72	0.77	0.52	-0.00
	Viento +X exc.+	-0.17	-0.48	-0.31	-0.27	-0.17	0.00
	Viento +X exc.-	-0.14	-0.55	-0.11	-0.31	-0.06	0.00
	Viento -X exc.+	0.17	0.48	0.31	0.27	0.17	-0.00
	Viento -X exc.-	0.14	0.55	0.11	0.31	0.06	-0.00
	Viento +Y exc.+	-0.80	-0.53	-2.79	-0.31	-1.56	-0.00
	Viento +Y exc.-	-1.13	0.16	-4.72	0.07	-2.65	0.00
	Viento -Y exc.+	0.80	0.53	2.79	0.31	1.56	0.00
	Viento -Y exc.-	1.13	-0.16	4.72	-0.07	2.65	-0.00
	Sismo X Modo 1	0.00	0.00	0.00	0.00	0.00	0.00
	Sismo X Modo 2	-0.29	0.23	-1.36	0.12	-0.76	0.01
	Sismo X Modo 3	-0.29	-1.00	-0.35	-0.56	-0.20	-0.00
	Sismo X Modo 4	-0.21	0.42	-1.20	0.23	-0.67	0.00
	Sismo X Modo 5	0.05	-0.03	0.27	-0.02	0.15	-0.00
	Sismo X Modo 6	0.00	0.00	0.00	0.00	0.00	0.00
	Sismo X Modo 7	0.00	0.00	0.00	0.00	0.00	0.00
	Sismo X Modo 8	0.00	0.00	0.00	0.00	0.00	0.00
	Sismo X Modo 9	0.00	0.00	0.00	0.00	0.00	0.00
	Sismo X Modo 10	-0.07	-0.47	0.08	-0.26	0.04	-0.00
	Sismo Y Modo 1	0.00	0.00	0.00	0.00	0.00	0.00
	Sismo Y Modo 2	-0.10	0.08	-0.47	0.04	-0.26	0.00
	Sismo Y Modo 3	-0.22	-0.79	-0.27	-0.44	-0.15	-0.00
	Sismo Y Modo 4	-0.38	0.75	-2.15	0.41	-1.20	0.00
	Sismo Y Modo 5	0.01	-0.00	0.03	-0.00	0.02	-0.00
	Sismo Y Modo 6	0.00	0.00	0.00	0.00	0.00	0.00
	Sismo Y Modo 7	0.00	0.00	0.00	0.00	0.00	0.00
	Sismo Y Modo 8	0.00	0.00	0.00	0.00	0.00	0.00
	Sismo Y Modo 9	0.00	0.00	0.00	0.00	0.00	0.00
	Sismo Y Modo 10	-0.00	-0.03	0.00	-0.01	0.00	-0.00
	Bomberos	29.08	1.13	1.59	1.08	1.08	-0.00



Esfuerzos y armados de pilares, pantallas y muros

PARCELA R-20, SECTOR LA CATALANA, SANT ADRIA DE BESOS

Fecha: 22/03/18

Soporte	Hipótesis	Esfuerzos en arranques					
		N (t)	Mx (t·m)	My (t·m)	Qx (t)	Qy (t)	T (t·m)
P11	Peso propio	27.34	0.04	0.48	-0.00	0.37	-0.00
	Cargas muertas	8.94	0.08	0.12	0.03	0.11	0.00
	Sobrecarga de uso	47.93	-0.11	0.87	-0.11	0.67	-0.00
	Viento +X exc.+	-0.12	-0.49	-0.23	-0.28	-0.13	0.00
	Viento +X exc.-	-0.02	-0.57	-0.08	-0.32	-0.05	0.00
	Viento -X exc.+	0.12	0.49	0.23	0.28	0.13	-0.00
	Viento -X exc.-	0.02	0.57	0.08	0.32	0.05	-0.00
	Viento +Y exc.+	-1.94	-0.52	-3.22	-0.29	-1.84	-0.00
	Viento +Y exc.-	-2.88	0.21	-4.67	0.12	-2.66	0.00
	Viento -Y exc.+	1.94	0.52	3.22	0.29	1.84	0.00
	Viento -Y exc.-	2.88	-0.21	4.67	-0.12	2.66	-0.00
	Sismo X Modo 1	0.00	0.00	0.00	0.00	0.00	0.00
	Sismo X Modo 2	-0.63	0.25	-0.98	0.14	-0.56	0.01
	Sismo X Modo 3	-0.26	-1.02	-0.52	-0.58	-0.30	-0.00
	Sismo X Modo 4	-0.72	0.44	-1.12	0.25	-0.64	0.00
	Sismo X Modo 5	0.12	-0.03	0.19	-0.02	0.11	-0.00
	Sismo X Modo 6	0.00	0.00	0.00	0.00	0.00	0.00
	Sismo X Modo 7	0.00	0.00	0.00	0.00	0.00	0.00
	Sismo X Modo 8	0.00	0.00	0.00	0.00	0.00	0.00
	Sismo X Modo 9	0.00	0.00	0.00	0.00	0.00	0.00
	Sismo X Modo 10	0.05	-0.48	0.05	-0.27	0.03	-0.00
	Sismo Y Modo 1	0.00	0.00	0.00	0.00	0.00	0.00
	Sismo Y Modo 2	-0.22	0.09	-0.33	0.05	-0.19	0.00
	Sismo Y Modo 3	-0.20	-0.80	-0.41	-0.45	-0.23	-0.00
	Sismo Y Modo 4	-1.30	0.79	-2.00	0.45	-1.14	0.00
	Sismo Y Modo 5	0.01	-0.00	0.02	-0.00	0.01	-0.00
	Sismo Y Modo 6	0.00	0.00	0.00	0.00	0.00	0.00
	Sismo Y Modo 7	0.00	0.00	0.00	0.00	0.00	0.00
	Sismo Y Modo 8	0.00	0.00	0.00	0.00	0.00	0.00
	Sismo Y Modo 9	0.00	0.00	0.00	0.00	0.00	0.00
	Sismo Y Modo 10	0.00	-0.03	0.00	-0.01	0.00	-0.00
	Bomberos	72.16	-0.33	1.74	-0.26	1.26	-0.00



Esfuerzos y armados de pilares, pantallas y muros

PARCELA R-20, SECTOR LA CATALANA, SANT ADRIA DE BESOS

Fecha: 22/03/18

Soporte	Hipótesis	Esfuerzos en arranques					
		N (t)	Mx (t·m)	My (t·m)	Qx (t)	Qy (t)	T (t·m)
P12	Peso propio	25.45	0.14	0.48	0.08	0.38	-0.00
	Cargas muertas	8.59	0.12	0.15	0.07	0.13	0.00
	Sobrecarga de uso	44.45	0.06	0.86	0.04	0.67	-0.00
	Viento +X exc.+	-0.07	-0.49	-0.14	-0.28	-0.08	0.00
	Viento +X exc.-	-0.01	-0.57	-0.05	-0.32	-0.03	0.00
	Viento -X exc.+	0.07	0.49	0.14	0.28	0.08	-0.00
	Viento -X exc.-	0.01	0.57	0.05	0.32	0.03	-0.00
	Viento +Y exc.+	-2.17	-0.53	-3.60	-0.30	-2.06	-0.00
	Viento +Y exc.-	-2.70	0.20	-4.52	0.12	-2.59	0.00
	Viento -Y exc.+	2.17	0.53	3.60	0.30	2.06	0.00
	Viento -Y exc.-	2.70	-0.20	4.52	-0.12	2.59	-0.00
	Sismo X Modo 1	0.00	0.00	0.00	0.00	0.00	0.00
	Sismo X Modo 2	-0.32	0.25	-0.56	0.14	-0.32	0.01
	Sismo X Modo 3	-0.39	-1.03	-0.68	-0.58	-0.39	-0.00
	Sismo X Modo 4	-0.62	0.44	-1.01	0.25	-0.58	0.00
	Sismo X Modo 5	0.06	-0.03	0.12	-0.02	0.07	-0.00
	Sismo X Modo 6	0.00	0.00	0.00	0.00	0.00	0.00
	Sismo X Modo 7	0.00	0.00	0.00	0.00	0.00	0.00
	Sismo X Modo 8	0.00	0.00	0.00	0.00	0.00	0.00
	Sismo X Modo 9	0.00	0.00	0.00	0.00	0.00	0.00
	Sismo X Modo 10	0.02	-0.48	0.02	-0.27	0.01	-0.00
	Sismo Y Modo 1	0.00	0.00	0.00	0.00	0.00	0.00
	Sismo Y Modo 2	-0.11	0.09	-0.19	0.05	-0.11	0.00
	Sismo Y Modo 3	-0.31	-0.81	-0.54	-0.45	-0.31	-0.00
	Sismo Y Modo 4	-1.11	0.79	-1.81	0.44	-1.04	0.00
	Sismo Y Modo 5	0.01	-0.00	0.01	-0.00	0.01	-0.00
	Sismo Y Modo 6	0.00	0.00	0.00	0.00	0.00	0.00
	Sismo Y Modo 7	0.00	0.00	0.00	0.00	0.00	0.00
	Sismo Y Modo 8	0.00	0.00	0.00	0.00	0.00	0.00
	Sismo Y Modo 9	0.00	0.00	0.00	0.00	0.00	0.00
	Sismo Y Modo 10	0.00	-0.03	0.00	-0.01	0.00	-0.00
	Bomberos	66.50	-0.07	1.66	-0.03	1.22	-0.00



Esfuerzos y armados de pilares, pantallas y muros

PARCELA R-20, SECTOR LA CATALANA, SANT ADRIA DE BESOS

Fecha: 22/03/18

Soporte	Hipótesis	Esfuerzos en arranques					
		N (t)	Mx (t·m)	My (t·m)	Qx (t)	Qy (t)	T (t·m)
P13	Peso propio	18.32	-0.01	0.46	-0.06	0.36	-0.00
	Cargas muertas	6.28	0.07	0.17	0.02	0.15	0.00
	Sobrecarga de uso	31.66	-0.21	0.82	-0.21	0.64	-0.00
	Viento +X exc.+	-0.06	-0.49	-0.06	-0.28	-0.04	0.00
	Viento +X exc.-	-0.05	-0.57	-0.02	-0.32	-0.01	0.00
	Viento -X exc.+	0.06	0.49	0.06	0.28	0.04	-0.00
	Viento -X exc.-	0.05	0.57	0.02	0.32	0.01	-0.00
	Viento +Y exc.+	-1.58	-0.51	-3.90	-0.28	-2.21	-0.00
	Viento +Y exc.-	-1.73	0.22	-4.30	0.13	-2.44	0.00
	Viento -Y exc.+	1.58	0.51	3.90	0.28	2.21	0.00
	Viento -Y exc.-	1.73	-0.22	4.30	-0.13	2.44	-0.00
	Sismo X Modo 1	0.00	0.00	0.00	0.00	0.00	0.00
	Sismo X Modo 2	-0.07	0.25	-0.15	0.14	-0.09	0.01
	Sismo X Modo 3	-0.39	-1.02	-0.83	-0.57	-0.47	-0.00
	Sismo X Modo 4	-0.34	0.44	-0.89	0.25	-0.51	0.00
	Sismo X Modo 5	0.02	-0.03	0.04	-0.02	0.02	-0.00
	Sismo X Modo 6	0.00	0.00	0.00	0.00	0.00	0.00
	Sismo X Modo 7	0.00	0.00	0.00	0.00	0.00	0.00
	Sismo X Modo 8	0.00	0.00	0.00	0.00	0.00	0.00
	Sismo X Modo 9	0.00	0.00	0.00	0.00	0.00	0.00
	Sismo X Modo 10	-0.04	-0.48	-0.01	-0.27	-0.01	-0.00
	Sismo Y Modo 1	0.00	0.00	0.00	0.00	0.00	0.00
	Sismo Y Modo 2	-0.02	0.09	-0.05	0.05	-0.03	0.00
	Sismo Y Modo 3	-0.31	-0.80	-0.65	-0.45	-0.37	-0.00
	Sismo Y Modo 4	-0.61	0.79	-1.59	0.45	-0.90	0.00
	Sismo Y Modo 5	0.00	-0.00	0.00	-0.00	0.00	-0.00
	Sismo Y Modo 6	0.00	0.00	0.00	0.00	0.00	0.00
	Sismo Y Modo 7	0.00	0.00	0.00	0.00	0.00	0.00
	Sismo Y Modo 8	0.00	0.00	0.00	0.00	0.00	0.00
	Sismo Y Modo 9	0.00	0.00	0.00	0.00	0.00	0.00
	Sismo Y Modo 10	-0.00	-0.03	-0.00	-0.01	-0.00	-0.00
	Bomberos	47.28	-0.48	1.54	-0.40	1.14	-0.00



Esfuerzos y armados de pilares, pantallas y muros

PARCELA R-20, SECTOR LA CATALANA, SANT ADRIA DE BESOS

Fecha: 22/03/18

Soporte	Hipótesis	Esfuerzos en arranques					
		N (t)	Mx (t·m)	My (t·m)	Qx (t)	Qy (t)	T (t·m)
P14	Peso propio	20.78	0.31	0.48	0.24	0.39	-0.00
	Cargas muertas	7.11	0.18	0.18	0.12	0.16	0.00
	Sobrecarga de uso	36.28	0.37	0.86	0.33	0.69	-0.00
	Viento +X exc.+	-0.04	-0.49	-0.02	-0.28	-0.01	0.00
	Viento +X exc.-	-0.04	-0.57	-0.01	-0.32	-0.01	0.00
	Viento -X exc.+	0.04	0.49	0.02	0.28	0.01	-0.00
	Viento -X exc.-	0.04	0.57	0.01	0.32	0.01	-0.00
	Viento +Y exc.+	-1.11	-0.53	-4.07	-0.31	-2.30	-0.00
	Viento +Y exc.-	-1.13	0.20	-4.18	0.11	-2.36	0.00
	Viento -Y exc.+	1.11	0.53	4.07	0.31	2.30	0.00
	Viento -Y exc.-	1.13	-0.20	4.18	-0.11	2.36	-0.00
	Sismo X Modo 1	0.00	0.00	0.00	0.00	0.00	0.00
	Sismo X Modo 2	0.01	0.25	0.07	0.14	0.04	0.01
	Sismo X Modo 3	-0.32	-1.03	-0.91	-0.58	-0.52	-0.00
	Sismo X Modo 4	-0.20	0.44	-0.82	0.25	-0.46	0.00
	Sismo X Modo 5	0.00	-0.03	0.00	-0.02	0.00	-0.00
	Sismo X Modo 6	0.00	0.00	0.00	0.00	0.00	0.00
	Sismo X Modo 7	0.00	0.00	0.00	0.00	0.00	0.00
	Sismo X Modo 8	0.00	0.00	0.00	0.00	0.00	0.00
	Sismo X Modo 9	0.00	0.00	0.00	0.00	0.00	0.00
	Sismo X Modo 10	-0.01	-0.49	-0.03	-0.27	-0.02	-0.00
	Sismo Y Modo 1	0.00	0.00	0.00	0.00	0.00	0.00
	Sismo Y Modo 2	0.00	0.09	0.02	0.05	0.01	0.00
	Sismo Y Modo 3	-0.25	-0.81	-0.72	-0.46	-0.41	-0.00
	Sismo Y Modo 4	-0.36	0.79	-1.47	0.44	-0.83	0.00
	Sismo Y Modo 5	0.00	-0.00	0.00	-0.00	0.00	-0.00
	Sismo Y Modo 6	0.00	0.00	0.00	0.00	0.00	0.00
	Sismo Y Modo 7	0.00	0.00	0.00	0.00	0.00	0.00
	Sismo Y Modo 8	0.00	0.00	0.00	0.00	0.00	0.00
	Sismo Y Modo 9	0.00	0.00	0.00	0.00	0.00	0.00
	Sismo Y Modo 10	-0.00	-0.03	-0.00	-0.01	-0.00	-0.00
	Bomberos	54.27	0.39	1.57	0.40	1.19	-0.00



Esfuerzos y armados de pilares, pantallas y muros

PARCELA R-20, SECTOR LA CATALANA, SANT ADRIA DE BESOS

Fecha: 22/03/18

Soporte	Hipótesis	Esfuerzos en arranques					
		N (t)	Mx (t·m)	My (t·m)	Qx (t)	Qy (t)	T (t·m)
P15	Peso propio	21.59	0.12	0.49	0.07	0.40	-0.00
	Cargas muertas	7.26	0.12	0.18	0.07	0.15	0.00
	Sobrecarga de uso	37.61	0.03	0.89	0.01	0.73	-0.00
	Viento +X exc.+	-0.10	-0.47	0.06	-0.26	0.03	0.00
	Viento +X exc.-	-0.12	-0.56	0.02	-0.32	0.01	0.00
	Viento -X exc.+	0.10	0.47	-0.06	0.26	-0.03	-0.00
	Viento -X exc.-	0.12	0.56	-0.02	0.32	-0.01	-0.00
	Viento +Y exc.+	-1.08	-0.63	-4.41	-0.36	-2.49	-0.00
	Viento +Y exc.-	-0.88	0.24	-4.02	0.13	-2.26	0.00
	Viento -Y exc.+	1.08	0.63	4.41	0.36	2.49	0.00
	Viento -Y exc.-	0.88	-0.24	4.02	-0.13	2.26	-0.00
	Sismo X Modo 1	0.00	0.00	0.00	0.00	0.00	0.00
	Sismo X Modo 2	0.13	0.37	0.48	0.21	0.27	0.01
	Sismo X Modo 3	-0.47	-1.07	-1.07	-0.61	-0.61	-0.00
	Sismo X Modo 4	-0.08	0.47	-0.71	0.26	-0.40	0.00
	Sismo X Modo 5	-0.01	-0.06	-0.07	-0.03	-0.04	-0.00
	Sismo X Modo 6	0.00	0.00	0.00	0.00	0.00	0.00
	Sismo X Modo 7	0.00	0.00	0.00	0.00	0.00	0.00
	Sismo X Modo 8	0.00	0.00	0.00	0.00	0.00	0.00
	Sismo X Modo 9	0.00	0.00	0.00	0.00	0.00	0.00
	Sismo X Modo 10	-0.08	-0.49	-0.06	-0.28	-0.03	-0.00
	Sismo Y Modo 1	0.00	0.00	0.00	0.00	0.00	0.00
	Sismo Y Modo 2	0.05	0.13	0.16	0.07	0.09	0.00
	Sismo Y Modo 3	-0.37	-0.84	-0.84	-0.48	-0.48	-0.00
	Sismo Y Modo 4	-0.14	0.84	-1.28	0.47	-0.72	0.00
	Sismo Y Modo 5	-0.00	-0.01	-0.01	-0.00	-0.00	-0.00
	Sismo Y Modo 6	0.00	0.00	0.00	0.00	0.00	0.00
	Sismo Y Modo 7	0.00	0.00	0.00	0.00	0.00	0.00
	Sismo Y Modo 8	0.00	0.00	0.00	0.00	0.00	0.00
	Sismo Y Modo 9	0.00	0.00	0.00	0.00	0.00	0.00
	Sismo Y Modo 10	-0.00	-0.03	-0.00	-0.01	-0.00	-0.00
	Bomberos	56.00	-0.14	1.55	-0.08	1.21	-0.00



Esfuerzos y armados de pilares, pantallas y muros

PARCELA R-20, SECTOR LA CATALANA, SANT ADRIA DE BESOS

Fecha: 22/03/18

Soporte	Hipótesis	Esfuerzos en arranques					
		N (t)	Mx (t·m)	My (t·m)	Qx (t)	Qy (t)	T (t·m)
P16	Peso propio	29.19	0.35	0.59	0.28	0.51	-0.00
	Cargas muertas	11.19	0.21	0.27	0.15	0.23	0.00
	Sobrecarga de uso	50.12	0.43	1.03	0.39	0.87	-0.00
	Viento +X exc.+	0.02	-0.47	0.16	-0.26	0.09	0.00
	Viento +X exc.-	-0.02	-0.56	0.06	-0.31	0.03	0.00
	Viento -X exc.+	-0.02	0.47	-0.16	0.26	-0.09	-0.00
	Viento -X exc.-	0.02	0.56	-0.06	0.31	-0.03	-0.00
	Viento +Y exc.+	-1.63	-0.64	-4.81	-0.36	-2.71	-0.00
	Viento +Y exc.-	-1.27	0.24	-3.82	0.13	-2.15	0.00
	Viento -Y exc.+	1.63	0.64	4.81	0.36	2.71	0.00
	Viento -Y exc.-	1.27	-0.24	3.82	-0.13	2.15	-0.00
	Sismo X Modo 1	0.00	0.00	0.00	0.00	0.00	0.00
	Sismo X Modo 2	0.33	0.37	0.95	0.21	0.54	0.01
	Sismo X Modo 3	-0.49	-1.07	-1.24	-0.60	-0.70	-0.00
	Sismo X Modo 4	-0.18	0.47	-0.59	0.26	-0.33	0.00
	Sismo X Modo 5	-0.05	-0.06	-0.16	-0.03	-0.09	-0.00
	Sismo X Modo 6	0.00	0.00	0.00	0.00	0.00	0.00
	Sismo X Modo 7	0.00	0.00	0.00	0.00	0.00	0.00
	Sismo X Modo 8	0.00	0.00	0.00	0.00	0.00	0.00
	Sismo X Modo 9	0.00	0.00	0.00	0.00	0.00	0.00
	Sismo X Modo 10	-0.06	-0.49	-0.09	-0.28	-0.05	-0.00
	Sismo Y Modo 1	0.00	0.00	0.00	0.00	0.00	0.00
	Sismo Y Modo 2	0.11	0.13	0.33	0.07	0.18	0.00
	Sismo Y Modo 3	-0.39	-0.84	-0.98	-0.47	-0.55	-0.00
	Sismo Y Modo 4	-0.32	0.84	-1.05	0.47	-0.59	0.00
	Sismo Y Modo 5	-0.00	-0.01	-0.02	-0.00	-0.01	-0.00
	Sismo Y Modo 6	0.00	0.00	0.00	0.00	0.00	0.00
	Sismo Y Modo 7	0.00	0.00	0.00	0.00	0.00	0.00
	Sismo Y Modo 8	0.00	0.00	0.00	0.00	0.00	0.00
	Sismo Y Modo 9	0.00	0.00	0.00	0.00	0.00	0.00
	Sismo Y Modo 10	-0.00	-0.03	-0.00	-0.01	-0.00	-0.00
	Bomberos	74.41	0.47	1.69	0.48	1.38	-0.00



Esfuerzos y armados de pilares, pantallas y muros

PARCELA R-20, SECTOR LA CATALANA, SANT ADRIA DE BESOS

Fecha: 22/03/18

Soporte	Hipótesis	Esfuerzos en arranques					
		N (t)	Mx (t·m)	My (t·m)	Qx (t)	Qy (t)	T (t·m)
P17	Peso propio	51.72	-0.21	-1.59	-0.11	-1.07	0.00
	Cargas muertas	61.99	-0.32	-1.94	-0.18	-1.32	-0.00
	Sobrecarga de uso	19.32	-0.18	-0.66	-0.12	-0.43	0.00
	Viento +X exc.+	-4.06	-0.75	-0.17	-0.34	-0.06	0.00
	Viento +X exc.-	-3.77	-0.79	0.19	-0.36	0.11	-0.00
	Viento -X exc.+	4.06	0.75	0.17	0.34	0.06	-0.00
	Viento -X exc.-	3.77	0.79	-0.19	0.36	-0.11	0.00
	Viento +Y exc.+	-13.77	-0.42	-6.22	-0.19	-2.82	-0.01
	Viento +Y exc.-	-17.15	-0.03	-10.30	-0.02	-4.71	-0.00
	Viento -Y exc.+	13.77	0.42	6.22	0.19	2.82	0.01
	Viento -Y exc.-	17.15	0.03	10.30	0.02	4.71	0.00
	Sismo X Modo 1	-8.99	-1.13	-1.86	-0.52	-0.82	0.01
	Sismo X Modo 2	0.00	0.00	0.00	0.00	0.00	0.00
	Sismo X Modo 3	0.00	0.00	0.00	0.00	0.00	0.00
	Sismo X Modo 4	0.00	0.00	0.00	0.00	0.00	0.00
	Sismo X Modo 5	0.00	0.00	0.00	0.00	0.00	0.00
	Sismo X Modo 6	-4.68	-0.48	-0.75	-0.22	-0.32	-0.00
	Sismo X Modo 7	1.63	-0.35	2.29	-0.16	1.06	-0.00
	Sismo X Modo 8	0.27	0.77	0.63	0.35	0.29	-0.00
	Sismo X Modo 9	0.20	-0.08	0.67	-0.04	0.31	-0.00
	Sismo X Modo 10	0.00	0.00	0.00	0.00	0.00	0.00
	Sismo Y Modo 1	-2.79	-0.35	-0.58	-0.16	-0.26	0.00
	Sismo Y Modo 2	0.00	0.00	0.00	0.00	0.00	0.00
	Sismo Y Modo 3	0.00	0.00	0.00	0.00	0.00	0.00
	Sismo Y Modo 4	0.00	0.00	0.00	0.00	0.00	0.00
	Sismo Y Modo 5	0.00	0.00	0.00	0.00	0.00	0.00
	Sismo Y Modo 6	-9.43	-0.97	-1.51	-0.44	-0.65	-0.01
	Sismo Y Modo 7	2.30	-0.50	3.24	-0.23	1.50	-0.01
	Sismo Y Modo 8	0.00	0.01	0.01	0.00	0.00	-0.00
	Sismo Y Modo 9	0.37	-0.15	1.22	-0.07	0.57	-0.00
	Sismo Y Modo 10	0.00	0.00	0.00	0.00	0.00	0.00
	Bomberos	-0.06	-0.09	0.04	-0.07	0.02	0.00



Esfuerzos y armados de pilares, pantallas y muros

PARCELA R-20, SECTOR LA CATALANA, SANT ADRIA DE BESOS

Fecha: 22/03/18

Soporte	Hipótesis	Esfuerzos en arranques					
		N (t)	Mx (t·m)	My (t·m)	Qx (t)	Qy (t)	T (t·m)
P18	Peso propio	87.61	-0.02	-2.22	0.01	-1.49	0.00
	Cargas muertas	81.54	-0.10	-2.38	-0.04	-1.61	-0.00
	Sobrecarga de uso	27.91	0.08	-0.79	0.05	-0.53	0.00
	Viento +X exc.+	0.87	-0.79	-0.25	-0.37	-0.12	0.00
	Viento +X exc.-	1.61	-0.83	0.03	-0.39	0.01	-0.00
	Viento -X exc.+	-0.87	0.79	0.25	0.37	0.12	-0.00
	Viento -X exc.-	-1.61	0.83	-0.03	0.39	-0.01	0.00
	Viento +Y exc.+	-14.15	-0.41	-7.16	-0.19	-3.31	-0.01
	Viento +Y exc.-	-22.64	0.02	-10.44	0.01	-4.82	-0.00
	Viento -Y exc.+	14.15	0.41	7.16	0.19	3.31	0.01
	Viento -Y exc.-	22.64	-0.02	10.44	-0.01	4.82	0.00
	Sismo X Modo 1	-1.47	-1.19	-1.50	-0.55	-0.70	0.01
	Sismo X Modo 2	0.00	0.00	0.00	0.00	0.00	0.00
	Sismo X Modo 3	0.00	0.00	0.00	0.00	0.00	0.00
	Sismo X Modo 4	0.00	0.00	0.00	0.00	0.00	0.00
	Sismo X Modo 5	0.00	0.00	0.00	0.00	0.00	0.00
	Sismo X Modo 6	-1.46	-0.51	-1.06	-0.24	-0.49	-0.00
	Sismo X Modo 7	5.96	-0.39	1.95	-0.18	0.89	-0.00
	Sismo X Modo 8	0.13	0.81	0.52	0.38	0.25	-0.00
	Sismo X Modo 9	0.17	-0.08	0.59	-0.04	0.28	-0.00
	Sismo X Modo 10	0.00	0.00	0.00	0.00	0.00	0.00
	Sismo Y Modo 1	-0.46	-0.37	-0.47	-0.17	-0.22	0.00
	Sismo Y Modo 2	0.00	0.00	0.00	0.00	0.00	0.00
	Sismo Y Modo 3	0.00	0.00	0.00	0.00	0.00	0.00
	Sismo Y Modo 4	0.00	0.00	0.00	0.00	0.00	0.00
	Sismo Y Modo 5	0.00	0.00	0.00	0.00	0.00	0.00
	Sismo Y Modo 6	-2.94	-1.02	-2.14	-0.48	-0.99	-0.01
	Sismo Y Modo 7	8.43	-0.55	2.76	-0.26	1.26	-0.01
	Sismo Y Modo 8	0.00	0.01	0.00	0.00	0.00	-0.00
	Sismo Y Modo 9	0.31	-0.15	1.08	-0.07	0.51	-0.00
	Sismo Y Modo 10	0.00	0.00	0.00	0.00	0.00	0.00
	Bomberos	-3.73	0.10	0.26	0.06	0.15	0.00



Esfuerzos y armados de pilares, pantallas y muros

PARCELA R-20, SECTOR LA CATALANA, SANT ADRIA DE BESOS

Fecha: 22/03/18

Soporte	Hipótesis	Esfuerzos en arranques					
		N (t)	Mx (t·m)	My (t·m)	Qx (t)	Qy (t)	T (t·m)
P19	Peso propio	166.83	-1.19	-4.24	-0.71	-2.92	0.00
	Cargas muertas	149.74	-1.11	-4.66	-0.64	-3.18	-0.00
	Sobrecarga de uso	57.59	-0.33	-1.44	-0.21	-1.03	0.00
	Viento +X exc.+	0.77	-2.21	-0.32	-1.03	-0.15	0.00
	Viento +X exc.-	1.44	-2.32	0.11	-1.08	0.06	-0.00
	Viento -X exc.+	-0.77	2.21	0.32	1.03	0.15	-0.00
	Viento -X exc.-	-1.44	2.32	-0.11	1.08	-0.06	0.00
	Viento +Y exc.+	-23.09	-1.04	-20.43	-0.46	-9.72	-0.03
	Viento +Y exc.-	-30.88	0.23	-25.35	0.15	-12.05	-0.00
	Viento -Y exc.+	23.09	1.04	20.43	0.46	9.72	0.03
	Viento -Y exc.-	30.88	-0.23	25.35	-0.15	12.05	0.00
	Sismo X Modo 1	-0.28	-3.28	-1.07	-1.52	-0.49	0.03
	Sismo X Modo 2	0.00	0.00	0.00	0.00	0.00	0.00
	Sismo X Modo 3	0.00	0.00	0.00	0.00	0.00	0.00
	Sismo X Modo 4	0.00	0.00	0.00	0.00	0.00	0.00
	Sismo X Modo 5	0.00	0.00	0.00	0.00	0.00	0.00
	Sismo X Modo 6	-3.45	-1.40	-3.36	-0.65	-1.59	-0.01
	Sismo X Modo 7	6.28	-1.13	3.66	-0.54	1.73	-0.01
	Sismo X Modo 8	-0.35	2.20	0.75	1.03	0.35	-0.00
	Sismo X Modo 9	0.20	-0.24	1.00	-0.11	0.48	-0.00
	Sismo X Modo 10	0.00	0.00	0.00	0.00	0.00	0.00
	Sismo Y Modo 1	-0.09	-1.02	-0.33	-0.47	-0.15	0.01
	Sismo Y Modo 2	0.00	0.00	0.00	0.00	0.00	0.00
	Sismo Y Modo 3	0.00	0.00	0.00	0.00	0.00	0.00
	Sismo Y Modo 4	0.00	0.00	0.00	0.00	0.00	0.00
	Sismo Y Modo 5	0.00	0.00	0.00	0.00	0.00	0.00
	Sismo Y Modo 6	-6.94	-2.82	-6.76	-1.31	-3.21	-0.02
	Sismo Y Modo 7	8.88	-1.59	5.17	-0.76	2.45	-0.02
	Sismo Y Modo 8	-0.00	0.02	0.01	0.01	0.00	-0.00
	Sismo Y Modo 9	0.37	-0.43	1.82	-0.20	0.88	-0.01
	Sismo Y Modo 10	0.00	0.00	0.00	0.00	0.00	0.00
	Bomberos	-3.28	0.06	0.51	0.02	0.27	0.00



Esfuerzos y armados de pilares, pantallas y muros

PARCELA R-20, SECTOR LA CATALANA, SANT ADRIA DE BESOS

Fecha: 22/03/18

Soporte	Hipótesis	Esfuerzos en arranques					
		N (t)	Mx (t·m)	My (t·m)	Qx (t)	Qy (t)	T (t·m)
P20	Peso propio	102.15	-0.30	-1.50	-0.13	-1.10	0.00
	Cargas muertas	115.81	-0.28	-2.42	-0.11	-1.66	-0.00
	Sobrecarga de uso	38.69	0.15	-0.39	0.11	-0.34	0.00
	Viento +X exc.+	-1.57	-1.55	-0.21	-0.67	-0.13	0.00
	Viento +X exc.-	-1.24	-1.62	-0.16	-0.70	-0.11	-0.00
	Viento -X exc.+	1.57	1.55	0.21	0.67	0.13	-0.00
	Viento -X exc.-	1.24	1.62	0.16	0.70	0.11	0.00
	Viento +Y exc.+	-39.42	-0.99	-14.39	-0.47	-6.96	-0.03
	Viento +Y exc.-	-43.20	-0.14	-15.00	-0.09	-7.22	-0.00
	Viento -Y exc.+	39.42	0.99	14.39	0.47	6.96	0.03
	Viento -Y exc.-	43.20	0.14	15.00	0.09	7.22	0.00
	Sismo X Modo 1	-0.25	-2.29	0.85	-0.98	0.37	0.02
	Sismo X Modo 2	0.00	0.00	0.00	0.00	0.00	0.00
	Sismo X Modo 3	0.00	0.00	0.00	0.00	0.00	0.00
	Sismo X Modo 4	0.00	0.00	0.00	0.00	0.00	0.00
	Sismo X Modo 5	0.00	0.00	0.00	0.00	0.00	0.00
	Sismo X Modo 6	-8.24	-1.03	-2.68	-0.45	-1.31	-0.01
	Sismo X Modo 7	4.88	-0.75	1.25	-0.32	0.58	-0.01
	Sismo X Modo 8	2.76	1.56	0.28	0.68	0.16	-0.00
	Sismo X Modo 9	-0.20	-0.17	0.30	-0.07	0.15	-0.00
	Sismo X Modo 10	0.00	0.00	0.00	0.00	0.00	0.00
	Sismo Y Modo 1	-0.08	-0.71	0.27	-0.31	0.12	0.01
	Sismo Y Modo 2	0.00	0.00	0.00	0.00	0.00	0.00
	Sismo Y Modo 3	0.00	0.00	0.00	0.00	0.00	0.00
	Sismo Y Modo 4	0.00	0.00	0.00	0.00	0.00	0.00
	Sismo Y Modo 5	0.00	0.00	0.00	0.00	0.00	0.00
	Sismo Y Modo 6	-16.58	-2.07	-5.40	-0.91	-2.64	-0.01
	Sismo Y Modo 7	6.91	-1.06	1.76	-0.46	0.82	-0.01
	Sismo Y Modo 8	0.02	0.01	0.00	0.01	0.00	-0.00
	Sismo Y Modo 9	-0.36	-0.30	0.56	-0.13	0.27	-0.01
	Sismo Y Modo 10	0.00	0.00	0.00	0.00	0.00	0.00
	Bomberos	5.53	0.36	0.15	0.22	0.03	0.00



Esfuerzos y armados de pilares, pantallas y muros

PARCELA R-20, SECTOR LA CATALANA, SANT ADRIA DE BESOS

Fecha: 22/03/18

Soporte	Hipótesis	Esfuerzos en arranques					
		N (t)	Mx (t·m)	My (t·m)	Qx (t)	Qy (t)	T (t·m)
P21	Peso propio	64.18	2.76	-0.69	2.97	-0.66	0.00
	Cargas muertas	52.81	2.80	-1.30	3.03	-1.16	-0.00
	Sobrecarga de uso	19.75	1.72	-0.18	1.62	-0.21	0.00
	Viento +X exc.+	0.72	-6.06	-0.16	-3.03	-0.13	0.00
	Viento +X exc.-	0.65	-6.27	-0.13	-3.12	-0.11	-0.00
	Viento -X exc.+	-0.72	6.06	0.16	3.03	0.13	-0.00
	Viento -X exc.-	-0.65	6.27	0.13	3.12	0.11	0.00
	Viento +Y exc.+	15.21	-4.13	-8.75	-2.65	-5.82	-0.02
	Viento +Y exc.-	15.95	-1.73	-9.06	-1.57	-6.00	-0.00
	Viento -Y exc.+	-15.21	4.13	8.75	2.65	5.82	0.02
	Viento -Y exc.-	-15.95	1.73	9.06	1.57	6.00	0.00
	Sismo X Modo 1	0.10	-9.41	0.49	-4.67	0.29	0.02
	Sismo X Modo 2	0.00	0.00	0.00	0.00	0.00	0.00
	Sismo X Modo 3	0.00	0.00	0.00	0.00	0.00	0.00
	Sismo X Modo 4	0.00	0.00	0.00	0.00	0.00	0.00
	Sismo X Modo 5	0.00	0.00	0.00	0.00	0.00	0.00
	Sismo X Modo 6	3.03	-3.97	-1.65	-2.08	-1.11	-0.01
	Sismo X Modo 7	-1.27	-2.44	0.72	-1.11	0.46	-0.01
	Sismo X Modo 8	-0.94	6.23	0.19	3.15	0.15	-0.00
	Sismo X Modo 9	-0.44	-0.55	0.18	-0.27	0.12	-0.00
	Sismo X Modo 10	0.00	0.00	0.00	0.00	0.00	0.00
	Sismo Y Modo 1	0.03	-2.92	0.15	-1.45	0.09	0.01
	Sismo Y Modo 2	0.00	0.00	0.00	0.00	0.00	0.00
	Sismo Y Modo 3	0.00	0.00	0.00	0.00	0.00	0.00
	Sismo Y Modo 4	0.00	0.00	0.00	0.00	0.00	0.00
	Sismo Y Modo 5	0.00	0.00	0.00	0.00	0.00	0.00
	Sismo Y Modo 6	6.10	-7.99	-3.32	-4.19	-2.23	-0.01
	Sismo Y Modo 7	-1.80	-3.45	1.02	-1.57	0.65	-0.01
	Sismo Y Modo 8	-0.01	0.05	0.00	0.03	0.00	-0.00
	Sismo Y Modo 9	-0.80	-1.01	0.32	-0.50	0.21	-0.01
	Sismo Y Modo 10	0.00	0.00	0.00	0.00	0.00	0.00
	Bomberos	-2.97	0.89	0.08	0.68	0.02	0.00



Esfuerzos y armados de pilares, pantallas y muros

PARCELA R-20, SECTOR LA CATALANA, SANT ADRIA DE BESOS

Fecha: 22/03/18

Soporte	Hipótesis	Esfuerzos en arranques					
		N (t)	Mx (t·m)	My (t·m)	Qx (t)	Qy (t)	T (t·m)
P22	Peso propio	113.61	0.37	-0.23	0.48	-0.24	0.00
	Cargas muertas	118.09	0.43	-0.23	0.54	-0.21	-0.00
	Sobrecarga de uso	44.11	0.42	-0.50	0.37	-0.46	0.00
	Viento +X exc.+	1.58	-3.28	-0.01	-1.88	-0.01	0.00
	Viento +X exc.-	1.65	-3.40	-0.03	-1.95	-0.02	-0.00
	Viento -X exc.+	-1.58	3.28	0.01	1.88	0.01	-0.00
	Viento -X exc.-	-1.65	3.40	0.03	1.95	0.02	0.00
	Viento +Y exc.+	-13.35	-1.51	-5.01	-0.89	-2.81	-0.01
	Viento +Y exc.-	-14.20	-0.09	-4.74	-0.08	-2.65	-0.00
	Viento -Y exc.+	13.35	1.51	5.01	0.89	2.81	0.01
	Viento -Y exc.-	14.20	0.09	4.74	0.08	2.65	0.00
	Sismo X Modo 1	4.28	-5.11	0.69	-2.93	0.38	0.01
	Sismo X Modo 2	0.00	0.00	0.00	0.00	0.00	0.00
	Sismo X Modo 3	0.00	0.00	0.00	0.00	0.00	0.00
	Sismo X Modo 4	0.00	0.00	0.00	0.00	0.00	0.00
	Sismo X Modo 5	0.00	0.00	0.00	0.00	0.00	0.00
	Sismo X Modo 6	-1.95	-2.02	-0.96	-1.16	-0.54	-0.00
	Sismo X Modo 7	1.99	-1.44	0.23	-0.82	0.12	-0.01
	Sismo X Modo 8	-0.77	3.35	0.01	1.93	0.01	-0.00
	Sismo X Modo 9	0.01	-0.31	0.03	-0.18	0.02	-0.00
	Sismo X Modo 10	0.00	0.00	0.00	0.00	0.00	0.00
	Sismo Y Modo 1	1.33	-1.59	0.21	-0.91	0.12	0.00
	Sismo Y Modo 2	0.00	0.00	0.00	0.00	0.00	0.00
	Sismo Y Modo 3	0.00	0.00	0.00	0.00	0.00	0.00
	Sismo Y Modo 4	0.00	0.00	0.00	0.00	0.00	0.00
	Sismo Y Modo 5	0.00	0.00	0.00	0.00	0.00	0.00
	Sismo Y Modo 6	-3.93	-4.06	-1.92	-2.34	-1.08	-0.01
	Sismo Y Modo 7	2.82	-2.03	0.33	-1.16	0.17	-0.01
	Sismo Y Modo 8	-0.01	0.03	0.00	0.02	0.00	-0.00
	Sismo Y Modo 9	0.01	-0.56	0.06	-0.32	0.03	-0.00
	Sismo Y Modo 10	0.00	0.00	0.00	0.00	0.00	0.00
	Bomberos	3.32	0.21	-0.41	0.13	-0.37	0.00



Esfuerzos y armados de pilares, pantallas y muros

PARCELA R-20, SECTOR LA CATALANA, SANT ADRIA DE BESOS

Fecha: 22/03/18

Soporte	Hipótesis	Esfuerzos en arranques					
		N (t)	Mx (t·m)	My (t·m)	Qx (t)	Qy (t)	T (t·m)
P23	Peso propio	131.49	-0.54	-1.11	-0.36	-1.27	0.00
	Cargas muertas	129.72	-0.76	-1.28	-0.55	-1.20	-0.00
	Sobrecarga de uso	51.91	-0.13	-1.52	-0.10	-1.63	0.00
	Viento +X exc.+	0.25	-1.92	0.18	-1.16	0.08	0.00
	Viento +X exc.-	0.15	-1.99	-0.07	-1.20	-0.03	-0.00
	Viento -X exc.+	-0.25	1.92	-0.18	1.16	-0.08	-0.00
	Viento -X exc.-	-0.15	1.99	0.07	1.20	0.03	0.00
	Viento +Y exc.+	-10.11	-0.92	-20.07	-0.58	-9.36	-0.02
	Viento +Y exc.-	-8.90	-0.11	-17.26	-0.09	-8.03	-0.00
	Viento -Y exc.+	10.11	0.92	20.07	0.58	9.36	0.02
	Viento -Y exc.-	8.90	0.11	17.26	0.09	8.03	0.00
	Sismo X Modo 1	2.56	-3.00	4.09	-1.80	1.91	0.02
	Sismo X Modo 2	0.00	0.00	0.00	0.00	0.00	0.00
	Sismo X Modo 3	0.00	0.00	0.00	0.00	0.00	0.00
	Sismo X Modo 4	0.00	0.00	0.00	0.00	0.00	0.00
	Sismo X Modo 5	0.00	0.00	0.00	0.00	0.00	0.00
	Sismo X Modo 6	-2.20	-1.19	-3.92	-0.72	-1.81	-0.01
	Sismo X Modo 7	0.25	-0.83	0.19	-0.50	0.08	-0.01
	Sismo X Modo 8	-0.32	1.96	-0.33	1.18	-0.16	-0.00
	Sismo X Modo 9	0.06	-0.18	-0.13	-0.11	-0.06	-0.00
	Sismo X Modo 10	0.00	0.00	0.00	0.00	0.00	0.00
	Sismo Y Modo 1	0.79	-0.93	1.27	-0.56	0.59	0.01
	Sismo Y Modo 2	0.00	0.00	0.00	0.00	0.00	0.00
	Sismo Y Modo 3	0.00	0.00	0.00	0.00	0.00	0.00
	Sismo Y Modo 4	0.00	0.00	0.00	0.00	0.00	0.00
	Sismo Y Modo 5	0.00	0.00	0.00	0.00	0.00	0.00
	Sismo Y Modo 6	-4.42	-2.39	-7.88	-1.45	-3.65	-0.01
	Sismo Y Modo 7	0.35	-1.18	0.27	-0.70	0.11	-0.01
	Sismo Y Modo 8	-0.00	0.02	-0.00	0.01	-0.00	-0.00
	Sismo Y Modo 9	0.10	-0.32	-0.23	-0.19	-0.12	-0.01
	Sismo Y Modo 10	0.00	0.00	0.00	0.00	0.00	0.00
	Bomberos	3.33	0.13	-0.67	0.08	-0.83	0.00



Esfuerzos y armados de pilares, pantallas y muros

PARCELA R-20, SECTOR LA CATALANA, SANT ADRIA DE BESOS

Fecha: 22/03/18

Soporte	Hipótesis	Esfuerzos en arranques					
		N (t)	Mx (t·m)	My (t·m)	Qx (t)	Qy (t)	T (t·m)
P24	Peso propio	116.65	-0.32	-1.21	-0.21	-1.47	0.00
	Cargas muertas	117.88	-0.17	-1.37	-0.08	-1.31	-0.00
	Sobrecarga de uso	46.70	-0.00	-1.49	0.01	-1.74	0.00
	Viento +X exc.+	-0.16	-1.50	0.37	-0.95	0.19	0.00
	Viento +X exc.-	-0.75	-1.56	-0.06	-0.99	-0.01	-0.00
	Viento -X exc.+	0.16	1.50	-0.37	0.95	-0.19	-0.00
	Viento -X exc.-	0.75	1.56	0.06	0.99	0.01	0.00
	Viento +Y exc.+	-29.33	-0.79	-24.03	-0.53	-11.37	-0.02
	Viento +Y exc.-	-22.52	-0.12	-19.02	-0.10	-9.00	-0.00
	Viento -Y exc.+	29.33	0.79	24.03	0.53	11.37	0.02
	Viento -Y exc.-	22.52	0.12	19.02	0.10	9.00	0.00
	Sismo X Modo 1	7.53	-2.32	6.10	-1.46	2.90	0.01
	Sismo X Modo 2	0.00	0.00	0.00	0.00	0.00	0.00
	Sismo X Modo 3	0.00	0.00	0.00	0.00	0.00	0.00
	Sismo X Modo 4	0.00	0.00	0.00	0.00	0.00	0.00
	Sismo X Modo 5	0.00	0.00	0.00	0.00	0.00	0.00
	Sismo X Modo 6	-7.02	-0.94	-4.80	-0.61	-2.25	-0.00
	Sismo X Modo 7	-1.32	-0.66	-0.47	-0.42	-0.21	-0.01
	Sismo X Modo 8	0.03	1.52	-0.70	0.97	-0.36	-0.00
	Sismo X Modo 9	0.13	-0.14	-0.39	-0.09	-0.19	-0.00
	Sismo X Modo 10	0.00	0.00	0.00	0.00	0.00	0.00
	Sismo Y Modo 1	2.34	-0.72	1.89	-0.45	0.90	0.00
	Sismo Y Modo 2	0.00	0.00	0.00	0.00	0.00	0.00
	Sismo Y Modo 3	0.00	0.00	0.00	0.00	0.00	0.00
	Sismo Y Modo 4	0.00	0.00	0.00	0.00	0.00	0.00
	Sismo Y Modo 5	0.00	0.00	0.00	0.00	0.00	0.00
	Sismo Y Modo 6	-14.14	-1.90	-9.66	-1.22	-4.52	-0.01
	Sismo Y Modo 7	-1.87	-0.94	-0.67	-0.60	-0.30	-0.01
	Sismo Y Modo 8	0.00	0.01	-0.01	0.01	-0.00	-0.00
	Sismo Y Modo 9	0.23	-0.25	-0.72	-0.16	-0.35	-0.00
	Sismo Y Modo 10	0.00	0.00	0.00	0.00	0.00	0.00
	Bomberos	4.06	0.08	-0.60	0.05	-0.86	0.00



Esfuerzos y armados de pilares, pantallas y muros

PARCELA R-20, SECTOR LA CATALANA, SANT ADRIA DE BESOS

Fecha: 22/03/18

Soporte	Hipótesis	Esfuerzos en arranques					
		N (t)	Mx (t·m)	My (t·m)	Qx (t)	Qy (t)	T (t·m)
P25	Peso propio	137.94	-0.35	0.54	-0.16	-0.19	0.00
	Cargas muertas	134.87	-0.77	0.35	-0.50	0.16	-0.00
	Sobrecarga de uso	56.84	0.11	-0.97	0.12	-1.58	0.00
	Viento +X exc.+	0.08	-3.04	0.76	-1.85	0.41	0.00
	Viento +X exc.-	-0.76	-3.14	-0.03	-1.91	0.06	-0.00
	Viento -X exc.+	-0.08	3.04	-0.76	1.85	-0.41	-0.00
	Viento -X exc.-	0.76	3.14	0.03	1.91	-0.06	0.00
	Viento +Y exc.+	-33.68	-0.90	-33.46	-0.46	-15.28	-0.04
	Viento +Y exc.-	-24.06	0.22	-24.55	0.19	-11.32	-0.00
	Viento -Y exc.+	33.68	0.90	33.46	0.46	15.28	0.04
	Viento -Y exc.-	24.06	-0.22	24.55	-0.19	11.32	0.00
	Sismo X Modo 1	10.33	-4.89	9.98	-3.00	4.58	0.03
	Sismo X Modo 2	0.00	0.00	0.00	0.00	0.00	0.00
	Sismo X Modo 3	0.00	0.00	0.00	0.00	0.00	0.00
	Sismo X Modo 4	0.00	0.00	0.00	0.00	0.00	0.00
	Sismo X Modo 5	0.00	0.00	0.00	0.00	0.00	0.00
	Sismo X Modo 6	-8.13	-1.75	-6.77	-1.04	-3.02	-0.01
	Sismo X Modo 7	-2.45	-1.28	-1.45	-0.76	-0.57	-0.01
	Sismo X Modo 8	0.72	3.13	-1.33	1.93	-0.67	-0.01
	Sismo X Modo 9	0.19	-0.27	-0.84	-0.16	-0.39	-0.00
	Sismo X Modo 10	0.00	0.00	0.00	0.00	0.00	0.00
	Sismo Y Modo 1	3.21	-1.52	3.10	-0.93	1.42	0.01
	Sismo Y Modo 2	0.00	0.00	0.00	0.00	0.00	0.00
	Sismo Y Modo 3	0.00	0.00	0.00	0.00	0.00	0.00
	Sismo Y Modo 4	0.00	0.00	0.00	0.00	0.00	0.00
	Sismo Y Modo 5	0.00	0.00	0.00	0.00	0.00	0.00
	Sismo Y Modo 6	-16.37	-3.53	-13.64	-2.10	-6.08	-0.02
	Sismo Y Modo 7	-3.46	-1.81	-2.05	-1.08	-0.81	-0.02
	Sismo Y Modo 8	0.01	0.03	-0.01	0.02	-0.01	-0.00
	Sismo Y Modo 9	0.34	-0.49	-1.53	-0.30	-0.71	-0.01
	Sismo Y Modo 10	0.00	0.00	0.00	0.00	0.00	0.00
	Bomberos	5.49	0.26	-0.46	0.18	-0.94	0.00



Esfuerzos y armados de pilares, pantallas y muros

PARCELA R-20, SECTOR LA CATALANA, SANT ADRIA DE BESOS

Fecha: 22/03/18

Soporte	Hipótesis	Esfuerzos en arranques					
		N (t)	Mx (t·m)	My (t·m)	Qx (t)	Qy (t)	T (t·m)
P26	Peso propio	74.24	-1.47	-0.21	-1.21	-0.41	0.00
	Cargas muertas	85.25	-0.92	-0.51	-0.72	-0.49	-0.00
	Sobrecarga de uso	27.40	-0.93	-0.57	-0.80	-0.74	0.00
	Viento +X exc.+	3.95	-1.56	0.24	-1.00	0.11	0.00
	Viento +X exc.-	3.81	-1.62	-0.09	-1.03	-0.05	-0.00
	Viento -X exc.+	-3.95	1.56	-0.24	1.00	-0.11	-0.00
	Viento -X exc.-	-3.81	1.62	0.09	1.03	0.05	0.00
	Viento +Y exc.+	-8.92	-0.62	-11.87	-0.38	-5.91	-0.02
	Viento +Y exc.-	-7.36	0.02	-8.04	0.02	-4.03	-0.00
	Viento -Y exc.+	8.92	0.62	11.87	0.38	5.91	0.02
	Viento -Y exc.-	7.36	-0.02	8.04	-0.02	4.03	0.00
	Sismo X Modo 1	10.38	-2.47	3.87	-1.58	1.88	0.01
	Sismo X Modo 2	0.00	0.00	0.00	0.00	0.00	0.00
	Sismo X Modo 3	0.00	0.00	0.00	0.00	0.00	0.00
	Sismo X Modo 4	0.00	0.00	0.00	0.00	0.00	0.00
	Sismo X Modo 5	0.00	0.00	0.00	0.00	0.00	0.00
	Sismo X Modo 6	0.02	-0.94	-2.50	-0.59	-1.24	-0.00
	Sismo X Modo 7	1.02	-0.68	-0.83	-0.43	-0.40	-0.01
	Sismo X Modo 8	-0.85	1.60	-0.51	1.03	-0.25	-0.00
	Sismo X Modo 9	0.19	-0.14	-0.39	-0.09	-0.20	-0.00
	Sismo X Modo 10	0.00	0.00	0.00	0.00	0.00	0.00
	Sismo Y Modo 1	3.22	-0.77	1.20	-0.49	0.58	0.00
	Sismo Y Modo 2	0.00	0.00	0.00	0.00	0.00	0.00
	Sismo Y Modo 3	0.00	0.00	0.00	0.00	0.00	0.00
	Sismo Y Modo 4	0.00	0.00	0.00	0.00	0.00	0.00
	Sismo Y Modo 5	0.00	0.00	0.00	0.00	0.00	0.00
	Sismo Y Modo 6	0.04	-1.89	-5.04	-1.20	-2.49	-0.01
	Sismo Y Modo 7	1.44	-0.96	-1.18	-0.60	-0.56	-0.01
	Sismo Y Modo 8	-0.01	0.01	-0.00	0.01	-0.00	-0.00
	Sismo Y Modo 9	0.35	-0.26	-0.72	-0.17	-0.36	-0.00
	Sismo Y Modo 10	0.00	0.00	0.00	0.00	0.00	0.00
	Bomberos	1.67	-0.19	-0.20	-0.18	-0.35	0.00



Esfuerzos y armados de pilares, pantallas y muros

PARCELA R-20, SECTOR LA CATALANA, SANT ADRIA DE BESOS

Fecha: 22/03/18

Soporte	Hipótesis	Esfuerzos en arranques					
		N (t)	Mx (t·m)	My (t·m)	Qx (t)	Qy (t)	T (t·m)
P27	Peso propio	71.21	1.30	0.02	1.29	-0.24	-0.00
	Cargas muertas	81.80	0.49	-0.36	0.43	-0.40	0.00
	Sobrecarga de uso	39.34	2.10	0.52	2.23	0.08	-0.00
	Viento +X exc.+	-3.94	-1.21	-0.76	-0.77	-0.47	0.00
	Viento +X exc.-	-3.77	-1.25	-0.30	-0.80	-0.20	0.00
	Viento -X exc.+	3.94	1.21	0.76	0.77	0.47	-0.00
	Viento -X exc.-	3.77	1.25	0.30	0.80	0.20	-0.00
	Viento +Y exc.+	-6.55	-0.46	-6.49	-0.33	-3.85	-0.01
	Viento +Y exc.-	-8.08	-0.02	-11.03	-0.07	-6.55	0.00
	Viento -Y exc.+	6.55	0.46	6.49	0.33	3.85	0.01
	Viento -Y exc.-	8.08	0.02	11.03	0.07	6.55	-0.00
	Sismo X Modo 1	0.00	0.00	0.00	0.00	0.00	0.00
	Sismo X Modo 2	-3.24	-0.33	-3.21	-0.22	-1.92	0.01
	Sismo X Modo 3	-6.36	-1.83	-0.86	-1.16	-0.54	-0.00
	Sismo X Modo 4	-0.22	0.67	-2.77	0.41	-1.62	0.00
	Sismo X Modo 5	-0.12	0.09	0.65	0.06	0.39	-0.00
	Sismo X Modo 6	0.00	0.00	0.00	0.00	0.00	0.00
	Sismo X Modo 7	0.00	0.00	0.00	0.00	0.00	0.00
	Sismo X Modo 8	0.00	0.00	0.00	0.00	0.00	0.00
	Sismo X Modo 9	0.00	0.00	0.00	0.00	0.00	0.00
	Sismo X Modo 10	-0.39	-0.97	0.15	-0.62	0.07	-0.00
	Sismo Y Modo 1	0.00	0.00	0.00	0.00	0.00	0.00
	Sismo Y Modo 2	-1.11	-0.11	-1.10	-0.08	-0.66	0.00
	Sismo Y Modo 3	-4.99	-1.44	-0.68	-0.91	-0.42	-0.00
	Sismo Y Modo 4	-0.39	1.20	-4.95	0.73	-2.91	0.01
	Sismo Y Modo 5	-0.01	0.01	0.07	0.01	0.04	-0.00
	Sismo Y Modo 6	0.00	0.00	0.00	0.00	0.00	0.00
	Sismo Y Modo 7	0.00	0.00	0.00	0.00	0.00	0.00
	Sismo Y Modo 8	0.00	0.00	0.00	0.00	0.00	0.00
	Sismo Y Modo 9	0.00	0.00	0.00	0.00	0.00	0.00
	Sismo Y Modo 10	-0.02	-0.05	0.01	-0.03	0.00	-0.00
	Bomberos	16.10	1.51	-0.35	1.67	-1.67	-0.00



Esfuerzos y armados de pilares, pantallas y muros

PARCELA R-20, SECTOR LA CATALANA, SANT ADRIA DE BESOS

Fecha: 22/03/18

Soporte	Hipótesis	Esfuerzos en arranques					
		N (t)	Mx (t·m)	My (t·m)	Qx (t)	Qy (t)	T (t·m)
P28	Peso propio	136.08	-0.18	0.71	-0.47	-0.00	-0.00
	Cargas muertas	134.25	0.36	1.35	0.18	1.48	0.00
	Sobrecarga de uso	78.35	-1.71	-0.41	-1.98	-1.96	-0.00
	Viento +X exc.+	-1.02	-2.56	-1.60	-1.65	-0.91	0.01
	Viento +X exc.-	-0.08	-2.66	-0.63	-1.71	-0.40	0.00
	Viento -X exc.+	1.02	2.56	1.60	1.65	0.91	-0.01
	Viento -X exc.-	0.08	2.66	0.63	1.71	0.40	-0.00
	Viento +Y exc.+	-22.03	-0.89	-21.13	-0.61	-11.32	-0.02
	Viento +Y exc.-	-30.68	0.11	-30.63	0.03	-16.38	0.01
	Viento -Y exc.+	22.03	0.89	21.13	0.61	11.32	0.02
	Viento -Y exc.-	30.68	-0.11	30.63	-0.03	16.38	-0.01
	Sismo X Modo 1	0.00	0.00	0.00	0.00	0.00	0.00
	Sismo X Modo 2	-6.52	-0.66	-6.41	-0.43	-3.41	0.03
	Sismo X Modo 3	-2.82	-3.87	-3.54	-2.48	-1.98	-0.01
	Sismo X Modo 4	-8.58	1.46	-7.20	0.92	-3.77	0.01
	Sismo X Modo 5	-0.28	0.18	1.33	0.12	0.74	-0.01
	Sismo X Modo 6	0.00	0.00	0.00	0.00	0.00	0.00
	Sismo X Modo 7	0.00	0.00	0.00	0.00	0.00	0.00
	Sismo X Modo 8	0.00	0.00	0.00	0.00	0.00	0.00
	Sismo X Modo 9	0.00	0.00	0.00	0.00	0.00	0.00
	Sismo X Modo 10	0.11	-2.06	0.27	-1.34	0.11	-0.00
	Sismo Y Modo 1	0.00	0.00	0.00	0.00	0.00	0.00
	Sismo Y Modo 2	-2.23	-0.23	-2.19	-0.15	-1.17	0.01
	Sismo Y Modo 3	-2.21	-3.04	-2.78	-1.95	-1.56	-0.01
	Sismo Y Modo 4	-15.35	2.62	-12.88	1.65	-6.74	0.01
	Sismo Y Modo 5	-0.03	0.02	0.14	0.01	0.08	-0.00
	Sismo Y Modo 6	0.00	0.00	0.00	0.00	0.00	0.00
	Sismo Y Modo 7	0.00	0.00	0.00	0.00	0.00	0.00
	Sismo Y Modo 8	0.00	0.00	0.00	0.00	0.00	0.00
	Sismo Y Modo 9	0.00	0.00	0.00	0.00	0.00	0.00
	Sismo Y Modo 10	0.01	-0.11	0.01	-0.07	0.01	-0.00
	Bomberos	42.22	-0.97	-1.44	-1.03	-5.43	-0.01



Esfuerzos y armados de pilares, pantallas y muros

PARCELA R-20, SECTOR LA CATALANA, SANT ADRIA DE BESOS

Fecha: 22/03/18

Soporte	Hipótesis	Esfuerzos en arranques					
		N (t)	Mx (t·m)	My (t·m)	Qx (t)	Qy (t)	T (t·m)
P29	Peso propio	121.28	0.61	-3.02	0.46	-4.22	-0.00
	Cargas muertas	125.85	0.42	-3.26	0.31	-3.79	0.00
	Sobrecarga de uso	60.87	0.37	-3.54	0.30	-5.53	-0.00
	Viento +X exc.+	-0.06	-2.01	-1.06	-1.36	-0.59	0.00
	Viento +X exc.-	0.59	-2.10	-0.42	-1.42	-0.26	0.00
	Viento -X exc.+	0.06	2.01	1.06	1.36	0.59	-0.00
	Viento -X exc.-	-0.59	2.10	0.42	1.42	0.26	-0.00
	Viento +Y exc.+	-20.40	-0.56	-24.92	-0.35	-13.03	-0.02
	Viento +Y exc.-	-26.48	0.28	-31.28	0.23	-16.33	0.01
	Viento -Y exc.+	20.40	0.56	24.92	0.35	13.03	0.02
	Viento -Y exc.-	26.48	-0.28	31.28	-0.23	16.33	-0.01
	Sismo X Modo 1	0.00	0.00	0.00	0.00	0.00	0.00
	Sismo X Modo 2	-4.08	-0.50	-3.85	-0.33	-2.00	0.02
	Sismo X Modo 3	-2.40	-3.04	-4.81	-2.05	-2.56	-0.01
	Sismo X Modo 4	-7.45	1.20	-6.90	0.82	-3.54	0.01
	Sismo X Modo 5	0.01	0.14	0.85	0.09	0.47	-0.00
	Sismo X Modo 6	0.00	0.00	0.00	0.00	0.00	0.00
	Sismo X Modo 7	0.00	0.00	0.00	0.00	0.00	0.00
	Sismo X Modo 8	0.00	0.00	0.00	0.00	0.00	0.00
	Sismo X Modo 9	0.00	0.00	0.00	0.00	0.00	0.00
	Sismo X Modo 10	-0.17	-1.62	0.10	-1.10	0.03	-0.00
	Sismo Y Modo 1	0.00	0.00	0.00	0.00	0.00	0.00
	Sismo Y Modo 2	-1.40	-0.17	-1.32	-0.11	-0.69	0.01
	Sismo Y Modo 3	-1.89	-2.39	-3.77	-1.61	-2.01	-0.01
	Sismo Y Modo 4	-13.33	2.15	-12.34	1.47	-6.34	0.01
	Sismo Y Modo 5	0.00	0.01	0.09	0.01	0.05	-0.00
	Sismo Y Modo 6	0.00	0.00	0.00	0.00	0.00	0.00
	Sismo Y Modo 7	0.00	0.00	0.00	0.00	0.00	0.00
	Sismo Y Modo 8	0.00	0.00	0.00	0.00	0.00	0.00
	Sismo Y Modo 9	0.00	0.00	0.00	0.00	0.00	0.00
	Sismo Y Modo 10	-0.01	-0.09	0.01	-0.06	0.00	-0.00
	Bomberos	35.77	-0.12	-3.02	-0.11	-7.20	-0.01



Esfuerzos y armados de pilares, pantallas y muros

PARCELA R-20, SECTOR LA CATALANA, SANT ADRIA DE BESOS

Fecha: 22/03/18

Soporte	Hipótesis	Esfuerzos en arranques					
		N (t)	Mx (t·m)	My (t·m)	Qx (t)	Qy (t)	T (t·m)
P30	Peso propio	151.05	0.92	-2.69	0.79	-3.77	-0.00
	Cargas muertas	157.97	0.63	-3.50	0.53	-4.09	0.00
	Sobrecarga de uso	74.59	0.76	-3.32	0.72	-5.14	-0.00
	Viento +X exc.+	0.26	-2.02	-0.43	-1.37	-0.22	0.00
	Viento +X exc.-	0.42	-2.10	-0.16	-1.43	-0.09	0.00
	Viento -X exc.+	-0.26	2.02	0.43	1.37	0.22	-0.00
	Viento -X exc.-	-0.42	2.10	0.16	1.43	0.09	-0.00
	Viento +Y exc.+	-11.42	-0.64	-27.27	-0.43	-14.18	-0.02
	Viento +Y exc.-	-12.92	0.18	-29.94	0.12	-15.52	0.01
	Viento -Y exc.+	11.42	0.64	27.27	0.43	14.18	0.02
	Viento -Y exc.-	12.92	-0.18	29.94	-0.12	15.52	-0.01
	Sismo X Modo 1	0.00	0.00	0.00	0.00	0.00	0.00
	Sismo X Modo 2	-0.56	-0.51	-0.94	-0.34	-0.45	0.02
	Sismo X Modo 3	-1.91	-3.07	-5.80	-2.07	-3.02	-0.01
	Sismo X Modo 4	-3.41	1.18	-6.13	0.80	-3.14	0.01
	Sismo X Modo 5	0.06	0.14	0.28	0.09	0.14	-0.00
	Sismo X Modo 6	0.00	0.00	0.00	0.00	0.00	0.00
	Sismo X Modo 7	0.00	0.00	0.00	0.00	0.00	0.00
	Sismo X Modo 8	0.00	0.00	0.00	0.00	0.00	0.00
	Sismo X Modo 9	0.00	0.00	0.00	0.00	0.00	0.00
	Sismo X Modo 10	0.07	-1.62	-0.09	-1.10	-0.05	-0.00
	Sismo Y Modo 1	0.00	0.00	0.00	0.00	0.00	0.00
	Sismo Y Modo 2	-0.19	-0.18	-0.32	-0.12	-0.15	0.01
	Sismo Y Modo 3	-1.50	-2.41	-4.55	-1.63	-2.37	-0.01
	Sismo Y Modo 4	-6.11	2.12	-10.97	1.43	-5.62	0.01
	Sismo Y Modo 5	0.01	0.01	0.03	0.01	0.02	-0.00
	Sismo Y Modo 6	0.00	0.00	0.00	0.00	0.00	0.00
	Sismo Y Modo 7	0.00	0.00	0.00	0.00	0.00	0.00
	Sismo Y Modo 8	0.00	0.00	0.00	0.00	0.00	0.00
	Sismo Y Modo 9	0.00	0.00	0.00	0.00	0.00	0.00
	Sismo Y Modo 10	0.00	-0.09	-0.00	-0.06	-0.00	-0.00
	Bomberos	38.48	0.58	-3.50	0.64	-7.33	-0.01



Esfuerzos y armados de pilares, pantallas y muros

PARCELA R-20, SECTOR LA CATALANA, SANT ADRIA DE BESOS

Fecha: 22/03/18

Soporte	Hipótesis	Esfuerzos en arranques					
		N (t)	Mx (t·m)	My (t·m)	Qx (t)	Qy (t)	T (t·m)
P31	Peso propio	102.70	-1.60	-0.15	-2.23	-0.24	-0.00
	Cargas muertas	99.78	-1.11	-0.02	-1.57	-0.05	0.00
	Sobrecarga de uso	51.17	-2.17	-0.98	-2.63	-1.19	-0.00
	Viento +X exc.+	-5.39	-3.71	0.11	-2.35	0.10	0.00
	Viento +X exc.-	-5.68	-3.87	0.08	-2.45	0.08	0.00
	Viento -X exc.+	5.39	3.71	-0.11	2.35	-0.10	-0.00
	Viento -X exc.-	5.68	3.87	-0.08	2.45	-0.08	-0.00
	Viento +Y exc.+	-14.93	-0.84	-6.54	-0.34	-4.61	-0.01
	Viento +Y exc.-	-12.05	0.71	-6.22	0.62	-4.40	0.00
	Viento -Y exc.+	14.93	0.84	6.54	0.34	4.61	0.01
	Viento -Y exc.-	12.05	-0.71	6.22	-0.62	4.40	-0.00
	Sismo X Modo 1	0.00	0.00	0.00	0.00	0.00	0.00
	Sismo X Modo 2	-0.16	-0.92	0.53	-0.60	0.38	0.01
	Sismo X Modo 3	-12.54	-5.55	-1.45	-3.44	-0.99	-0.00
	Sismo X Modo 4	0.83	2.25	-1.18	1.45	-0.84	0.00
	Sismo X Modo 5	0.14	0.25	-0.08	0.16	-0.06	-0.00
	Sismo X Modo 6	0.00	0.00	0.00	0.00	0.00	0.00
	Sismo X Modo 7	0.00	0.00	0.00	0.00	0.00	0.00
	Sismo X Modo 8	0.00	0.00	0.00	0.00	0.00	0.00
	Sismo X Modo 9	0.00	0.00	0.00	0.00	0.00	0.00
	Sismo X Modo 10	-1.23	-3.02	-0.03	-1.94	-0.01	-0.00
	Sismo Y Modo 1	0.00	0.00	0.00	0.00	0.00	0.00
	Sismo Y Modo 2	-0.05	-0.32	0.18	-0.21	0.13	0.00
	Sismo Y Modo 3	-9.85	-4.36	-1.14	-2.70	-0.78	-0.00
	Sismo Y Modo 4	1.49	4.03	-2.11	2.60	-1.51	0.01
	Sismo Y Modo 5	0.01	0.03	-0.01	0.02	-0.01	-0.00
	Sismo Y Modo 6	0.00	0.00	0.00	0.00	0.00	0.00
	Sismo Y Modo 7	0.00	0.00	0.00	0.00	0.00	0.00
	Sismo Y Modo 8	0.00	0.00	0.00	0.00	0.00	0.00
	Sismo Y Modo 9	0.00	0.00	0.00	0.00	0.00	0.00
	Sismo Y Modo 10	-0.07	-0.16	-0.00	-0.10	-0.00	-0.00
	Bomberos	30.09	-3.11	-1.63	-3.41	-2.10	-0.00



Esfuerzos y armados de pilares, pantallas y muros

PARCELA R-20, SECTOR LA CATALANA, SANT ADRIA DE BESOS

Fecha: 22/03/18

Soporte	Hipótesis	Esfuerzos en arranques					
		N (t)	Mx (t·m)	My (t·m)	Qx (t)	Qy (t)	T (t·m)
P32	Peso propio	50.05	0.59	0.36	0.39	0.32	-0.00
	Cargas muertas	49.63	0.40	0.05	0.25	0.03	0.00
	Sobrecarga de uso	12.37	0.02	0.45	-0.10	0.36	-0.00
	Viento +X exc.+	-0.03	-2.35	0.07	-1.56	0.04	0.00
	Viento +X exc.-	0.03	-2.44	0.01	-1.62	-0.00	0.00
	Viento -X exc.+	0.03	2.35	-0.07	1.56	-0.04	-0.00
	Viento -X exc.-	-0.03	2.44	-0.01	1.62	0.00	-0.00
	Viento +Y exc.+	4.91	-0.67	-6.06	-0.39	-4.42	-0.01
	Viento +Y exc.-	4.21	0.30	-5.41	0.24	-3.94	0.00
	Viento -Y exc.+	-4.91	0.67	6.06	0.39	4.42	0.01
	Viento -Y exc.-	-4.21	-0.30	5.41	-0.24	3.94	-0.00
	Sismo X Modo 1	0.00	0.00	0.00	0.00	0.00	0.00
	Sismo X Modo 2	-0.63	-0.58	0.72	-0.39	0.52	0.01
	Sismo X Modo 3	1.15	-3.54	-1.51	-2.32	-1.11	-0.00
	Sismo X Modo 4	0.70	1.39	-0.93	0.92	-0.67	0.00
	Sismo X Modo 5	0.09	0.16	-0.12	0.11	-0.08	-0.00
	Sismo X Modo 6	0.00	0.00	0.00	0.00	0.00	0.00
	Sismo X Modo 7	0.00	0.00	0.00	0.00	0.00	0.00
	Sismo X Modo 8	0.00	0.00	0.00	0.00	0.00	0.00
	Sismo X Modo 9	0.00	0.00	0.00	0.00	0.00	0.00
	Sismo X Modo 10	1.16	-1.89	-0.11	-1.26	-0.09	-0.00
	Sismo Y Modo 1	0.00	0.00	0.00	0.00	0.00	0.00
	Sismo Y Modo 2	-0.22	-0.20	0.25	-0.13	0.18	0.00
	Sismo Y Modo 3	0.90	-2.78	-1.18	-1.82	-0.87	-0.00
	Sismo Y Modo 4	1.25	2.49	-1.67	1.65	-1.20	0.00
	Sismo Y Modo 5	0.01	0.02	-0.01	0.01	-0.01	-0.00
	Sismo Y Modo 6	0.00	0.00	0.00	0.00	0.00	0.00
	Sismo Y Modo 7	0.00	0.00	0.00	0.00	0.00	0.00
	Sismo Y Modo 8	0.00	0.00	0.00	0.00	0.00	0.00
	Sismo Y Modo 9	0.00	0.00	0.00	0.00	0.00	0.00
	Sismo Y Modo 10	0.06	-0.10	-0.01	-0.07	-0.00	-0.00
	Bomberos	-5.90	-0.73	0.78	-0.78	0.55	-0.00



Esfuerzos y armados de pilares, pantallas y muros

PARCELA R-20, SECTOR LA CATALANA, SANT ADRIA DE BESOS

Fecha: 22/03/18

Soporte	Hipótesis	Esfuerzos en arranques					
		N (t)	Mx (t·m)	My (t·m)	Qx (t)	Qy (t)	T (t·m)
P33	Peso propio	48.21	-0.29	-0.49	-0.38	-0.62	-0.00
	Cargas muertas	55.24	0.03	-0.15	-0.03	-0.19	0.00
	Sobrecarga de uso	34.11	-0.99	-0.99	-1.09	-1.24	-0.00
	Viento +X exc.+	-2.98	-0.76	0.18	-0.54	0.14	0.00
	Viento +X exc.-	-3.56	-0.82	0.09	-0.58	0.08	0.00
	Viento -X exc.+	2.98	0.76	-0.18	0.54	-0.14	-0.00
	Viento -X exc.-	3.56	0.82	-0.09	0.58	-0.08	-0.00
	Viento +Y exc.+	-27.67	-0.37	-7.92	-0.23	-5.59	-0.01
	Viento +Y exc.-	-22.10	0.24	-7.06	0.20	-4.98	0.00
	Viento -Y exc.+	27.67	0.37	7.92	0.23	5.59	0.01
	Viento -Y exc.-	22.10	-0.24	7.06	-0.20	4.98	-0.00
	Sismo X Modo 1	0.00	0.00	0.00	0.00	0.00	0.00
	Sismo X Modo 2	3.92	0.02	1.00	0.01	0.71	0.01
	Sismo X Modo 3	-13.82	-1.29	-1.86	-0.91	-1.29	-0.00
	Sismo X Modo 4	-1.67	0.55	-1.25	0.39	-0.89	0.00
	Sismo X Modo 5	-0.04	0.01	-0.16	0.01	-0.12	-0.00
	Sismo X Modo 6	0.00	0.00	0.00	0.00	0.00	0.00
	Sismo X Modo 7	0.00	0.00	0.00	0.00	0.00	0.00
	Sismo X Modo 8	0.00	0.00	0.00	0.00	0.00	0.00
	Sismo X Modo 9	0.00	0.00	0.00	0.00	0.00	0.00
	Sismo X Modo 10	0.20	-0.66	-0.09	-0.47	-0.05	-0.00
	Sismo Y Modo 1	0.00	0.00	0.00	0.00	0.00	0.00
	Sismo Y Modo 2	1.34	0.01	0.34	0.00	0.24	0.00
	Sismo Y Modo 3	-10.86	-1.01	-1.46	-0.71	-1.01	-0.00
	Sismo Y Modo 4	-2.99	0.98	-2.24	0.70	-1.59	0.00
	Sismo Y Modo 5	-0.00	0.00	-0.02	0.00	-0.01	-0.00
	Sismo Y Modo 6	0.00	0.00	0.00	0.00	0.00	0.00
	Sismo Y Modo 7	0.00	0.00	0.00	0.00	0.00	0.00
	Sismo Y Modo 8	0.00	0.00	0.00	0.00	0.00	0.00
	Sismo Y Modo 9	0.00	0.00	0.00	0.00	0.00	0.00
	Sismo Y Modo 10	0.01	-0.04	-0.00	-0.03	-0.00	-0.00
	Bomberos	38.77	-1.80	-1.15	-1.90	-1.64	-0.00



Esfuerzos y armados de pilares, pantallas y muros

PARCELA R-20, SECTOR LA CATALANA, SANT ADRIA DE BESOS

Fecha: 22/03/18

Soporte	Hipótesis	Esfuerzos en arranques					
		N (t)	Mx (t·m)	My (t·m)	Qx (t)	Qy (t)	T (t·m)
P34	Peso propio	119.94	2.00	-0.44	1.79	-0.53	-0.00
	Cargas muertas	117.12	1.16	-0.23	0.95	-0.27	0.00
	Sobrecarga de uso	55.28	2.16	-1.11	2.21	-1.31	-0.00
	Viento +X exc.+	3.32	-2.86	0.22	-1.50	0.16	0.00
	Viento +X exc.-	3.24	-3.10	0.10	-1.62	0.08	0.00
	Viento -X exc.+	-3.32	2.86	-0.22	1.50	-0.16	-0.00
	Viento -X exc.-	-3.24	3.10	-0.10	1.62	-0.08	-0.00
	Viento +Y exc.+	-15.86	-1.88	-6.57	-1.10	-4.41	-0.01
	Viento +Y exc.-	-15.13	0.42	-5.45	0.12	-3.66	0.00
	Viento -Y exc.+	15.86	1.88	6.57	1.10	4.41	0.01
	Viento -Y exc.-	15.13	-0.42	5.45	-0.12	3.66	-0.00
	Sismo X Modo 1	0.00	0.00	0.00	0.00	0.00	0.00
	Sismo X Modo 2	3.28	0.09	1.13	0.07	0.76	0.01
	Sismo X Modo 3	0.17	-4.91	-1.60	-2.55	-1.05	-0.00
	Sismo X Modo 4	-4.79	1.94	-0.90	0.98	-0.61	0.00
	Sismo X Modo 5	0.07	0.04	-0.19	0.01	-0.13	-0.00
	Sismo X Modo 6	0.00	0.00	0.00	0.00	0.00	0.00
	Sismo X Modo 7	0.00	0.00	0.00	0.00	0.00	0.00
	Sismo X Modo 8	0.00	0.00	0.00	0.00	0.00	0.00
	Sismo X Modo 9	0.00	0.00	0.00	0.00	0.00	0.00
	Sismo X Modo 10	-0.03	-2.54	-0.09	-1.36	-0.05	-0.00
	Sismo Y Modo 1	0.00	0.00	0.00	0.00	0.00	0.00
	Sismo Y Modo 2	1.12	0.03	0.39	0.02	0.26	0.00
	Sismo Y Modo 3	0.13	-3.86	-1.26	-2.01	-0.83	-0.00
	Sismo Y Modo 4	-8.58	3.47	-1.61	1.76	-1.09	0.01
	Sismo Y Modo 5	0.01	0.00	-0.02	0.00	-0.01	-0.00
	Sismo Y Modo 6	0.00	0.00	0.00	0.00	0.00	0.00
	Sismo Y Modo 7	0.00	0.00	0.00	0.00	0.00	0.00
	Sismo Y Modo 8	0.00	0.00	0.00	0.00	0.00	0.00
	Sismo Y Modo 9	0.00	0.00	0.00	0.00	0.00	0.00
	Sismo Y Modo 10	-0.00	-0.13	-0.00	-0.07	-0.00	-0.00
	Bomberos	26.60	2.04	-1.72	2.40	-2.11	-0.00



Esfuerzos y armados de pilares, pantallas y muros

PARCELA R-20, SECTOR LA CATALANA, SANT ADRIA DE BESOS

Fecha: 22/03/18

Soporte	Hipótesis	Esfuerzos en arranques					
		N (t)	Mx (t·m)	My (t·m)	Qx (t)	Qy (t)	T (t·m)
P35	Peso propio	157.46	-1.04	-1.36	-2.76	-1.52	-0.00
	Cargas muertas	141.82	-0.85	-0.57	-2.22	-0.65	0.00
	Sobrecarga de uso	81.77	-1.15	-3.08	-2.02	-3.42	-0.00
	Viento +X exc.+	0.31	-7.83	0.49	-3.27	0.33	0.00
	Viento +X exc.-	-0.29	-8.45	0.19	-3.53	0.13	0.00
	Viento -X exc.+	-0.31	7.83	-0.49	3.27	-0.33	-0.00
	Viento -X exc.-	0.29	8.45	-0.19	3.53	-0.13	-0.00
	Viento +Y exc.+	-19.36	-4.43	-10.50	-1.73	-6.92	-0.02
	Viento +Y exc.-	-13.81	1.69	-7.50	0.78	-4.94	0.01
	Viento -Y exc.+	19.36	4.43	10.50	1.73	6.92	0.02
	Viento -Y exc.-	13.81	-1.69	7.50	-0.78	4.94	-0.01
	Sismo X Modo 1	0.00	0.00	0.00	0.00	0.00	0.00
	Sismo X Modo 2	5.54	0.09	2.71	0.00	1.78	0.02
	Sismo X Modo 3	-7.33	-13.25	-2.79	-5.33	-1.82	-0.01
	Sismo X Modo 4	-1.59	5.40	-1.00	2.20	-0.66	0.01
	Sismo X Modo 5	0.05	0.13	-0.48	0.03	-0.32	-0.00
	Sismo X Modo 6	0.00	0.00	0.00	0.00	0.00	0.00
	Sismo X Modo 7	0.00	0.00	0.00	0.00	0.00	0.00
	Sismo X Modo 8	0.00	0.00	0.00	0.00	0.00	0.00
	Sismo X Modo 9	0.00	0.00	0.00	0.00	0.00	0.00
	Sismo X Modo 10	0.52	-6.87	-0.24	-2.95	-0.15	-0.00
	Sismo Y Modo 1	0.00	0.00	0.00	0.00	0.00	0.00
	Sismo Y Modo 2	1.90	0.03	0.93	0.00	0.61	0.01
	Sismo Y Modo 3	-5.76	-10.40	-2.19	-4.19	-1.43	-0.01
	Sismo Y Modo 4	-2.84	9.66	-1.80	3.94	-1.19	0.01
	Sismo Y Modo 5	0.01	0.01	-0.05	0.00	-0.03	-0.00
	Sismo Y Modo 6	0.00	0.00	0.00	0.00	0.00	0.00
	Sismo Y Modo 7	0.00	0.00	0.00	0.00	0.00	0.00
	Sismo Y Modo 8	0.00	0.00	0.00	0.00	0.00	0.00
	Sismo Y Modo 9	0.00	0.00	0.00	0.00	0.00	0.00
	Sismo Y Modo 10	0.03	-0.37	-0.01	-0.16	-0.01	-0.00
	Bomberos	47.88	-2.36	-4.96	-2.27	-5.58	-0.01



Esfuerzos y armados de pilares, pantallas y muros

PARCELA R-20, SECTOR LA CATALANA, SANT ADRIA DE BESOS

Fecha: 22/03/18

Soporte	Hipótesis	Esfuerzos en arranques					
		N (t)	Mx (t·m)	My (t·m)	Qx (t)	Qy (t)	T (t·m)
P36	Peso propio	33.95	-0.15	0.78	-0.09	0.64	0.00
	Cargas muertas	37.48	-0.22	1.02	-0.14	0.83	-0.00
	Sobrecarga de uso	10.18	-0.12	0.23	-0.09	0.19	0.00
	Viento +X exc.+	-3.05	-0.81	-0.25	-0.48	-0.17	0.00
	Viento +X exc.-	-3.50	-0.82	0.00	-0.49	-0.01	-0.00
	Viento -X exc.+	3.05	0.81	0.25	0.48	0.17	-0.00
	Viento -X exc.-	3.50	0.82	-0.00	0.49	0.01	0.00
	Viento +Y exc.+	6.13	-0.12	-4.67	-0.07	-2.91	-0.01
	Viento +Y exc.-	11.28	0.04	-7.53	0.03	-4.67	-0.00
	Viento -Y exc.+	-6.13	0.12	4.67	0.07	2.91	0.01
	Viento -Y exc.-	-11.28	-0.04	7.53	-0.03	4.67	0.00
	Sismo X Modo 1	-4.33	-1.39	-1.56	-0.83	-0.98	0.01
	Sismo X Modo 2	0.00	0.00	0.00	0.00	0.00	0.00
	Sismo X Modo 3	0.00	0.00	0.00	0.00	0.00	0.00
	Sismo X Modo 4	0.00	0.00	0.00	0.00	0.00	0.00
	Sismo X Modo 5	0.00	0.00	0.00	0.00	0.00	0.00
	Sismo X Modo 6	-1.06	-0.43	-0.66	-0.25	-0.42	-0.00
	Sismo X Modo 7	-4.10	-0.28	1.59	-0.17	0.98	-0.00
	Sismo X Modo 8	-0.44	0.84	0.42	0.50	0.26	-0.00
	Sismo X Modo 9	-0.26	-0.05	0.46	-0.03	0.29	-0.00
	Sismo X Modo 10	0.00	0.00	0.00	0.00	0.00	0.00
	Sismo Y Modo 1	-1.34	-0.43	-0.48	-0.26	-0.31	0.00
	Sismo Y Modo 2	0.00	0.00	0.00	0.00	0.00	0.00
	Sismo Y Modo 3	0.00	0.00	0.00	0.00	0.00	0.00
	Sismo Y Modo 4	0.00	0.00	0.00	0.00	0.00	0.00
	Sismo Y Modo 5	0.00	0.00	0.00	0.00	0.00	0.00
	Sismo Y Modo 6	-2.14	-0.86	-1.33	-0.51	-0.84	-0.00
	Sismo Y Modo 7	-5.80	-0.40	2.25	-0.24	1.39	-0.00
	Sismo Y Modo 8	-0.00	0.01	0.00	0.00	0.00	-0.00
	Sismo Y Modo 9	-0.47	-0.09	0.84	-0.06	0.52	-0.00
	Sismo Y Modo 10	0.00	0.00	0.00	0.00	0.00	0.00
	Bomberos	-0.16	0.02	0.01	0.01	0.00	0.00



Esfuerzos y armados de pilares, pantallas y muros

PARCELA R-20, SECTOR LA CATALANA, SANT ADRIA DE BESOS

Fecha: 22/03/18

Soporte	Hipótesis	Esfuerzos en arranques					
		N (t)	Mx (t·m)	My (t·m)	Qx (t)	Qy (t)	T (t·m)
P37	Peso propio	83.37	0.09	1.36	0.14	1.13	0.00
	Cargas muertas	57.27	-0.01	1.41	0.06	1.16	-0.00
	Sobrecarga de uso	25.95	0.09	0.48	0.09	0.40	0.00
	Viento +X exc.+	1.19	-1.19	-0.21	-0.69	-0.13	0.00
	Viento +X exc.-	0.86	-1.21	0.04	-0.70	0.03	-0.00
	Viento -X exc.+	-1.19	1.19	0.21	0.69	0.13	-0.00
	Viento -X exc.-	-0.86	1.21	-0.04	0.70	-0.03	0.00
	Viento +Y exc.+	9.31	-0.26	-6.14	-0.16	-3.86	-0.01
	Viento +Y exc.-	13.17	-0.08	-9.00	-0.07	-5.66	-0.00
	Viento -Y exc.+	-9.31	0.26	6.14	0.16	3.86	0.01
	Viento -Y exc.-	-13.17	0.08	9.00	0.07	5.66	0.00
	Sismo X Modo 1	3.64	-2.06	-1.29	-1.20	-0.81	0.01
	Sismo X Modo 2	0.00	0.00	0.00	0.00	0.00	0.00
	Sismo X Modo 3	0.00	0.00	0.00	0.00	0.00	0.00
	Sismo X Modo 4	0.00	0.00	0.00	0.00	0.00	0.00
	Sismo X Modo 5	0.00	0.00	0.00	0.00	0.00	0.00
	Sismo X Modo 6	2.05	-0.64	-0.91	-0.37	-0.57	-0.00
	Sismo X Modo 7	-2.33	-0.38	1.71	-0.21	1.07	-0.00
	Sismo X Modo 8	-0.44	1.25	0.44	0.74	0.28	-0.00
	Sismo X Modo 9	-0.37	-0.07	0.47	-0.04	0.30	-0.00
	Sismo X Modo 10	0.00	0.00	0.00	0.00	0.00	0.00
	Sismo Y Modo 1	1.13	-0.64	-0.40	-0.37	-0.25	0.00
	Sismo Y Modo 2	0.00	0.00	0.00	0.00	0.00	0.00
	Sismo Y Modo 3	0.00	0.00	0.00	0.00	0.00	0.00
	Sismo Y Modo 4	0.00	0.00	0.00	0.00	0.00	0.00
	Sismo Y Modo 5	0.00	0.00	0.00	0.00	0.00	0.00
	Sismo Y Modo 6	4.13	-1.29	-1.83	-0.75	-1.15	-0.01
	Sismo Y Modo 7	-3.30	-0.54	2.42	-0.30	1.52	-0.01
	Sismo Y Modo 8	-0.00	0.01	0.00	0.01	0.00	-0.00
	Sismo Y Modo 9	-0.67	-0.13	0.86	-0.08	0.54	-0.00
	Sismo Y Modo 10	0.00	0.00	0.00	0.00	0.00	0.00
	Bomberos	0.38	0.06	0.01	0.04	-0.00	0.00



Esfuerzos y armados de pilares, pantallas y muros

PARCELA R-20, SECTOR LA CATALANA, SANT ADRIA DE BESOS

Fecha: 22/03/18

Soporte	Hipótesis	Esfuerzos en arranques					
		N (t)	Mx (t·m)	My (t·m)	Qx (t)	Qy (t)	T (t·m)
P38	Peso propio	89.49	-0.62	1.52	-0.48	1.26	0.00
	Cargas muertas	45.37	-0.60	1.19	-0.47	0.98	-0.00
	Sobrecarga de uso	28.51	-0.23	0.64	-0.18	0.52	0.00
	Viento +X exc.+	-0.35	-0.98	-0.13	-0.61	-0.07	0.00
	Viento +X exc.-	-0.48	-1.00	0.09	-0.63	0.07	-0.00
	Viento -X exc.+	0.35	0.98	0.13	0.61	0.07	-0.00
	Viento -X exc.-	0.48	1.00	-0.09	0.63	-0.07	0.00
	Viento +Y exc.+	3.98	-0.03	-9.67	0.02	-6.37	-0.01
	Viento +Y exc.-	5.47	0.23	-12.15	0.19	-8.00	-0.00
	Viento -Y exc.+	-3.98	0.03	9.67	-0.02	6.37	0.01
	Viento -Y exc.-	-5.47	-0.23	12.15	-0.19	8.00	0.00
	Sismo X Modo 1	-0.23	-1.67	-0.54	-1.04	-0.34	0.01
	Sismo X Modo 2	0.00	0.00	0.00	0.00	0.00	0.00
	Sismo X Modo 3	0.00	0.00	0.00	0.00	0.00	0.00
	Sismo X Modo 4	0.00	0.00	0.00	0.00	0.00	0.00
	Sismo X Modo 5	0.00	0.00	0.00	0.00	0.00	0.00
	Sismo X Modo 6	0.33	-0.50	-1.57	-0.31	-1.03	-0.00
	Sismo X Modo 7	-1.01	-0.38	1.82	-0.25	1.20	-0.00
	Sismo X Modo 8	-0.06	1.00	0.34	0.63	0.21	-0.00
	Sismo X Modo 9	-0.41	-0.07	0.47	-0.04	0.31	-0.00
	Sismo X Modo 10	0.00	0.00	0.00	0.00	0.00	0.00
	Sismo Y Modo 1	-0.07	-0.52	-0.17	-0.32	-0.10	0.00
	Sismo Y Modo 2	0.00	0.00	0.00	0.00	0.00	0.00
	Sismo Y Modo 3	0.00	0.00	0.00	0.00	0.00	0.00
	Sismo Y Modo 4	0.00	0.00	0.00	0.00	0.00	0.00
	Sismo Y Modo 5	0.00	0.00	0.00	0.00	0.00	0.00
	Sismo Y Modo 6	0.67	-1.01	-3.16	-0.62	-2.07	-0.01
	Sismo Y Modo 7	-1.43	-0.54	2.57	-0.35	1.70	-0.01
	Sismo Y Modo 8	-0.00	0.01	0.00	0.01	0.00	-0.00
	Sismo Y Modo 9	-0.75	-0.12	0.86	-0.08	0.57	-0.00
	Sismo Y Modo 10	0.00	0.00	0.00	0.00	0.00	0.00
	Bomberos	0.25	0.02	0.16	0.01	0.10	0.00



Esfuerzos y armados de pilares, pantallas y muros

PARCELA R-20, SECTOR LA CATALANA, SANT ADRIA DE BESOS

Fecha: 22/03/18

Soporte	Hipótesis	Esfuerzos en arranques					
		N (t)	Mx (t·m)	My (t·m)	Qx (t)	Qy (t)	T (t·m)
P39	Peso propio	68.82	0.97	0.22	0.62	0.17	-0.00
	Cargas muertas	46.04	0.70	0.12	0.46	0.10	0.00
	Sobrecarga de uso	20.99	0.41	0.40	0.20	0.29	-0.00
	Viento +X exc.+	-1.35	-2.89	0.13	-1.36	0.08	0.00
	Viento +X exc.-	-1.66	-2.92	0.03	-1.36	0.01	0.00
	Viento -X exc.+	1.35	2.89	-0.13	1.36	-0.08	-0.00
	Viento -X exc.-	1.66	2.92	-0.03	1.36	-0.01	-0.00
	Viento +Y exc.+	-25.08	-0.33	-6.92	-0.11	-4.81	-0.01
	Viento +Y exc.-	-21.97	-0.08	-5.86	-0.09	-4.07	0.00
	Viento -Y exc.+	25.08	0.33	6.92	0.11	4.81	0.01
	Viento -Y exc.-	21.97	0.08	5.86	0.09	4.07	-0.00
	Sismo X Modo 1	0.00	0.00	0.00	0.00	0.00	0.00
	Sismo X Modo 2	2.77	-1.35	1.06	-0.68	0.73	0.01
	Sismo X Modo 3	-9.63	-3.85	-1.77	-1.71	-1.24	-0.00
	Sismo X Modo 4	-3.21	1.39	-0.95	0.60	-0.65	0.00
	Sismo X Modo 5	0.33	0.32	-0.18	0.17	-0.12	-0.00
	Sismo X Modo 6	0.00	0.00	0.00	0.00	0.00	0.00
	Sismo X Modo 7	0.00	0.00	0.00	0.00	0.00	0.00
	Sismo X Modo 8	0.00	0.00	0.00	0.00	0.00	0.00
	Sismo X Modo 9	0.00	0.00	0.00	0.00	0.00	0.00
	Sismo X Modo 10	-2.59	-2.24	-0.14	-1.10	-0.11	-0.00
	Sismo Y Modo 1	0.00	0.00	0.00	0.00	0.00	0.00
	Sismo Y Modo 2	0.95	-0.46	0.36	-0.23	0.25	0.00
	Sismo Y Modo 3	-7.56	-3.03	-1.39	-1.34	-0.97	-0.00
	Sismo Y Modo 4	-5.75	2.49	-1.70	1.07	-1.17	0.01
	Sismo Y Modo 5	0.03	0.03	-0.02	0.02	-0.01	-0.00
	Sismo Y Modo 6	0.00	0.00	0.00	0.00	0.00	0.00
	Sismo Y Modo 7	0.00	0.00	0.00	0.00	0.00	0.00
	Sismo Y Modo 8	0.00	0.00	0.00	0.00	0.00	0.00
	Sismo Y Modo 9	0.00	0.00	0.00	0.00	0.00	0.00
	Sismo Y Modo 10	-0.14	-0.12	-0.01	-0.06	-0.01	-0.00
	Bomberos	-1.36	0.11	1.12	0.07	0.88	-0.00



Esfuerzos y armados de pilares, pantallas y muros

PARCELA R-20, SECTOR LA CATALANA, SANT ADRIA DE BESOS

Fecha: 22/03/18

Soporte	Hipótesis	Esfuerzos en arranques					
		N (t)	Mx (t·m)	My (t·m)	Qx (t)	Qy (t)	T (t·m)
P39a	Peso propio	94.46	3.77	0.19	3.71	0.13	-0.00
	Cargas muertas	62.84	2.32	0.18	2.24	0.16	0.00
	Sobrecarga de uso	35.37	1.87	0.38	1.81	0.27	-0.00
	Viento +X exc.+	4.18	-3.64	0.26	-2.19	0.18	0.00
	Viento +X exc.-	4.23	-3.68	0.11	-2.21	0.08	0.00
	Viento -X exc.+	-4.18	3.64	-0.26	2.19	-0.18	-0.00
	Viento -X exc.-	-4.23	3.68	-0.11	2.21	-0.08	-0.00
	Viento +Y exc.+	-3.48	-0.22	-7.09	0.01	-4.88	-0.01
	Viento +Y exc.-	-4.15	0.17	-5.62	0.18	-3.87	0.00
	Viento -Y exc.+	3.48	0.22	7.09	-0.01	4.88	0.01
	Viento -Y exc.-	4.15	-0.17	5.62	-0.18	3.87	-0.00
	Sismo X Modo 1	0.00	0.00	0.00	0.00	0.00	0.00
	Sismo X Modo 2	2.21	-1.69	1.41	-1.05	0.97	0.01
	Sismo X Modo 3	5.07	-4.93	-1.79	-2.89	-1.22	-0.00
	Sismo X Modo 4	-3.18	1.86	-0.87	1.11	-0.61	0.00
	Sismo X Modo 5	-0.23	0.39	-0.25	0.25	-0.17	-0.00
	Sismo X Modo 6	0.00	0.00	0.00	0.00	0.00	0.00
	Sismo X Modo 7	0.00	0.00	0.00	0.00	0.00	0.00
	Sismo X Modo 8	0.00	0.00	0.00	0.00	0.00	0.00
	Sismo X Modo 9	0.00	0.00	0.00	0.00	0.00	0.00
	Sismo X Modo 10	2.70	-2.75	-0.12	-1.66	-0.08	-0.00
	Sismo Y Modo 1	0.00	0.00	0.00	0.00	0.00	0.00
	Sismo Y Modo 2	0.76	-0.58	0.48	-0.36	0.33	0.00
	Sismo Y Modo 3	3.98	-3.87	-1.41	-2.27	-0.96	-0.00
	Sismo Y Modo 4	-5.69	3.32	-1.56	1.99	-1.08	0.01
	Sismo Y Modo 5	-0.02	0.04	-0.03	0.03	-0.02	-0.00
	Sismo Y Modo 6	0.00	0.00	0.00	0.00	0.00	0.00
	Sismo Y Modo 7	0.00	0.00	0.00	0.00	0.00	0.00
	Sismo Y Modo 8	0.00	0.00	0.00	0.00	0.00	0.00
	Sismo Y Modo 9	0.00	0.00	0.00	0.00	0.00	0.00
	Sismo Y Modo 10	0.14	-0.15	-0.01	-0.09	-0.00	-0.00
	Bomberos	-2.37	-0.08	0.98	-0.14	0.76	-0.00



Esfuerzos y armados de pilares, pantallas y muros

PARCELA R-20, SECTOR LA CATALANA, SANT ADRIA DE BESOS

Fecha: 22/03/18

Soporte	Hipótesis	Esfuerzos en arranques					
		N (t)	Mx (t·m)	My (t·m)	Qx (t)	Qy (t)	T (t·m)
P40	Peso propio	101.87	-0.12	0.45	-0.87	0.42	-0.00
	Cargas muertas	66.89	0.19	0.18	-0.30	0.15	0.00
	Sobrecarga de uso	38.79	0.11	0.73	-0.28	0.65	-0.00
	Viento +X exc.+	-0.83	-4.22	0.42	-1.80	0.29	0.00
	Viento +X exc.-	-0.89	-4.27	0.16	-1.80	0.11	0.00
	Viento -X exc.+	0.83	4.22	-0.42	1.80	-0.29	-0.00
	Viento -X exc.-	0.89	4.27	-0.16	1.80	-0.11	-0.00
	Viento +Y exc.+	-1.15	-0.63	-8.66	-0.29	-5.86	-0.01
	Viento +Y exc.-	-0.76	-0.22	-6.06	-0.25	-4.10	0.01
	Viento -Y exc.+	1.15	0.63	8.66	0.29	5.86	0.01
	Viento -Y exc.-	0.76	0.22	6.06	0.25	4.10	-0.01
	Sismo X Modo 1	0.00	0.00	0.00	0.00	0.00	0.00
	Sismo X Modo 2	-0.05	-1.95	2.32	-0.89	1.56	0.01
	Sismo X Modo 3	-1.71	-5.69	-2.33	-2.29	-1.56	-0.01
	Sismo X Modo 4	0.34	2.03	-0.78	0.77	-0.53	0.00
	Sismo X Modo 5	0.14	0.46	-0.42	0.21	-0.29	-0.00
	Sismo X Modo 6	0.00	0.00	0.00	0.00	0.00	0.00
	Sismo X Modo 7	0.00	0.00	0.00	0.00	0.00	0.00
	Sismo X Modo 8	0.00	0.00	0.00	0.00	0.00	0.00
	Sismo X Modo 9	0.00	0.00	0.00	0.00	0.00	0.00
	Sismo X Modo 10	-0.39	-3.26	-0.21	-1.45	-0.14	-0.00
	Sismo Y Modo 1	0.00	0.00	0.00	0.00	0.00	0.00
	Sismo Y Modo 2	-0.02	-0.67	0.80	-0.30	0.54	0.01
	Sismo Y Modo 3	-1.34	-4.47	-1.83	-1.80	-1.23	-0.00
	Sismo Y Modo 4	0.61	3.63	-1.40	1.38	-0.95	0.01
	Sismo Y Modo 5	0.01	0.05	-0.04	0.02	-0.03	-0.00
	Sismo Y Modo 6	0.00	0.00	0.00	0.00	0.00	0.00
	Sismo Y Modo 7	0.00	0.00	0.00	0.00	0.00	0.00
	Sismo Y Modo 8	0.00	0.00	0.00	0.00	0.00	0.00
	Sismo Y Modo 9	0.00	0.00	0.00	0.00	0.00	0.00
	Sismo Y Modo 10	-0.02	-0.17	-0.01	-0.08	-0.01	-0.00
	Bomberos	-4.80	0.49	1.23	0.47	1.05	-0.00



Esfuerzos y armados de pilares, pantallas y muros

PARCELA R-20, SECTOR LA CATALANA, SANT ADRIA DE BESOS

Fecha: 22/03/18

Soporte	Hipótesis	Esfuerzos en arranques					
		N (t)	Mx (t·m)	My (t·m)	Qx (t)	Qy (t)	T (t·m)
P41	Peso propio	52.43	-1.05	0.01	-0.64	-0.00	0.00
	Cargas muertas	65.91	-1.45	0.16	-1.00	0.10	-0.00
	Sobrecarga de uso	18.07	-0.59	0.08	-0.39	0.07	0.00
	Viento +X exc.+	-3.95	-2.63	-0.12	-1.26	-0.06	0.00
	Viento +X exc.-	-3.92	-2.56	0.03	-1.22	0.01	-0.00
	Viento -X exc.+	3.95	2.63	0.12	1.26	0.06	-0.00
	Viento -X exc.-	3.92	2.56	-0.03	1.22	-0.01	0.00
	Viento +Y exc.+	0.93	0.93	-2.59	0.47	-1.33	-0.01
	Viento +Y exc.-	0.54	0.12	-4.19	0.07	-2.14	-0.00
	Viento -Y exc.+	-0.93	-0.93	2.59	-0.47	1.33	0.01
	Viento -Y exc.-	-0.54	-0.12	4.19	-0.07	2.14	0.00
	Sismo X Modo 1	-8.91	-5.40	-0.82	-2.58	-0.42	0.01
	Sismo X Modo 2	0.00	0.00	0.00	0.00	0.00	0.00
	Sismo X Modo 3	0.00	0.00	0.00	0.00	0.00	0.00
	Sismo X Modo 4	0.00	0.00	0.00	0.00	0.00	0.00
	Sismo X Modo 5	0.00	0.00	0.00	0.00	0.00	0.00
	Sismo X Modo 6	-1.96	-0.99	-0.35	-0.47	-0.18	-0.00
	Sismo X Modo 7	-1.07	-0.41	0.89	-0.19	0.45	-0.00
	Sismo X Modo 8	-0.04	2.89	0.25	1.42	0.13	-0.00
	Sismo X Modo 9	-0.00	0.00	0.26	0.00	0.14	-0.00
	Sismo X Modo 10	0.00	0.00	0.00	0.00	0.00	0.00
	Sismo Y Modo 1	-2.77	-1.68	-0.25	-0.80	-0.13	0.00
	Sismo Y Modo 2	0.00	0.00	0.00	0.00	0.00	0.00
	Sismo Y Modo 3	0.00	0.00	0.00	0.00	0.00	0.00
	Sismo Y Modo 4	0.00	0.00	0.00	0.00	0.00	0.00
	Sismo Y Modo 5	0.00	0.00	0.00	0.00	0.00	0.00
	Sismo Y Modo 6	-3.94	-2.00	-0.70	-0.94	-0.36	-0.01
	Sismo Y Modo 7	-1.52	-0.58	1.26	-0.27	0.64	-0.01
	Sismo Y Modo 8	-0.00	0.02	0.00	0.01	0.00	-0.00
	Sismo Y Modo 9	-0.00	0.01	0.48	0.00	0.25	-0.00
	Sismo Y Modo 10	0.00	0.00	0.00	0.00	0.00	0.00
	Bomberos	0.01	0.00	0.02	0.00	0.01	0.00



Esfuerzos y armados de pilares, pantallas y muros

PARCELA R-20, SECTOR LA CATALANA, SANT ADRIA DE BESOS

Fecha: 22/03/18

Soporte	Hipótesis	Esfuerzos en arranques					
		N (t)	Mx (t·m)	My (t·m)	Qx (t)	Qy (t)	T (t·m)
P42	Peso propio	111.03	-0.33	0.14	-0.11	0.09	0.00
	Cargas muertas	78.47	-0.45	0.02	-0.23	0.00	-0.00
	Sobrecarga de uso	36.47	-0.14	0.04	-0.05	0.03	0.00
	Viento +X exc.+	1.83	-1.90	-0.09	-0.88	-0.04	0.00
	Viento +X exc.-	1.76	-1.84	0.01	-0.85	0.00	-0.00
	Viento -X exc.+	-1.83	1.90	0.09	0.88	0.04	-0.00
	Viento -X exc.-	-1.76	1.84	-0.01	0.85	-0.00	0.00
	Viento +Y exc.+	0.16	0.68	-2.43	0.33	-1.19	-0.01
	Viento +Y exc.-	0.99	0.06	-3.49	0.03	-1.70	-0.00
	Viento -Y exc.+	-0.16	-0.68	2.43	-0.33	1.19	0.01
	Viento -Y exc.-	-0.99	-0.06	3.49	-0.03	1.70	0.00
	Sismo X Modo 1	4.28	-3.90	-0.47	-1.81	-0.23	0.01
	Sismo X Modo 2	0.00	0.00	0.00	0.00	0.00	0.00
	Sismo X Modo 3	0.00	0.00	0.00	0.00	0.00	0.00
	Sismo X Modo 4	0.00	0.00	0.00	0.00	0.00	0.00
	Sismo X Modo 5	0.00	0.00	0.00	0.00	0.00	0.00
	Sismo X Modo 6	0.93	-0.71	-0.36	-0.32	-0.18	-0.00
	Sismo X Modo 7	0.08	-0.28	0.63	-0.12	0.30	-0.00
	Sismo X Modo 8	-0.69	2.06	0.17	0.97	0.09	-0.00
	Sismo X Modo 9	0.02	0.01	0.19	0.00	0.09	-0.00
	Sismo X Modo 10	0.00	0.00	0.00	0.00	0.00	0.00
	Sismo Y Modo 1	1.33	-1.21	-0.15	-0.56	-0.07	0.00
	Sismo Y Modo 2	0.00	0.00	0.00	0.00	0.00	0.00
	Sismo Y Modo 3	0.00	0.00	0.00	0.00	0.00	0.00
	Sismo Y Modo 4	0.00	0.00	0.00	0.00	0.00	0.00
	Sismo Y Modo 5	0.00	0.00	0.00	0.00	0.00	0.00
	Sismo Y Modo 6	1.87	-1.43	-0.73	-0.64	-0.36	-0.01
	Sismo Y Modo 7	0.12	-0.39	0.89	-0.17	0.43	-0.01
	Sismo Y Modo 8	-0.01	0.02	0.00	0.01	0.00	-0.00
	Sismo Y Modo 9	0.03	0.01	0.34	0.01	0.17	-0.00
	Sismo Y Modo 10	0.00	0.00	0.00	0.00	0.00	0.00
	Bomberos	0.08	0.00	0.03	0.00	0.02	0.00



Esfuerzos y armados de pilares, pantallas y muros

PARCELA R-20, SECTOR LA CATALANA, SANT ADRIA DE BESOS

Fecha: 22/03/18

Soporte	Hipótesis	Esfuerzos en arranques					
		N (t)	Mx (t·m)	My (t·m)	Qx (t)	Qy (t)	T (t·m)
P43	Peso propio	144.39	0.32	0.49	0.51	0.36	0.00
	Cargas muertas	107.13	0.58	0.32	0.68	0.23	-0.00
	Sobrecarga de uso	49.01	0.10	0.20	0.17	0.14	0.00
	Viento +X exc.+	0.48	-3.05	-0.08	-1.36	-0.04	0.00
	Viento +X exc.-	0.20	-3.01	-0.00	-1.34	-0.01	-0.00
	Viento -X exc.+	-0.48	3.05	0.08	1.36	0.04	-0.00
	Viento -X exc.-	-0.20	3.01	0.00	1.34	0.01	0.00
	Viento +Y exc.+	9.79	0.71	-3.67	0.38	-1.87	-0.01
	Viento +Y exc.-	13.00	0.19	-4.53	0.12	-2.30	-0.00
	Viento -Y exc.+	-9.79	-0.71	3.67	-0.38	1.87	0.01
	Viento -Y exc.-	-13.00	-0.19	4.53	-0.12	2.30	0.00
	Sismo X Modo 1	1.72	-5.98	-0.21	-2.67	-0.11	0.01
	Sismo X Modo 2	0.00	0.00	0.00	0.00	0.00	0.00
	Sismo X Modo 3	0.00	0.00	0.00	0.00	0.00	0.00
	Sismo X Modo 4	0.00	0.00	0.00	0.00	0.00	0.00
	Sismo X Modo 5	0.00	0.00	0.00	0.00	0.00	0.00
	Sismo X Modo 6	1.92	-1.27	-0.61	-0.55	-0.31	-0.00
	Sismo X Modo 7	-2.37	-0.64	0.63	-0.28	0.31	-0.01
	Sismo X Modo 8	-1.31	3.25	0.15	1.47	0.08	-0.00
	Sismo X Modo 9	-0.08	-0.05	0.17	-0.02	0.09	-0.00
	Sismo X Modo 10	0.00	0.00	0.00	0.00	0.00	0.00
	Sismo Y Modo 1	0.53	-1.86	-0.07	-0.83	-0.03	0.00
	Sismo Y Modo 2	0.00	0.00	0.00	0.00	0.00	0.00
	Sismo Y Modo 3	0.00	0.00	0.00	0.00	0.00	0.00
	Sismo Y Modo 4	0.00	0.00	0.00	0.00	0.00	0.00
	Sismo Y Modo 5	0.00	0.00	0.00	0.00	0.00	0.00
	Sismo Y Modo 6	3.88	-2.55	-1.24	-1.10	-0.63	-0.01
	Sismo Y Modo 7	-3.36	-0.91	0.89	-0.39	0.45	-0.01
	Sismo Y Modo 8	-0.01	0.03	0.00	0.01	0.00	-0.00
	Sismo Y Modo 9	-0.15	-0.09	0.32	-0.04	0.16	-0.00
	Sismo Y Modo 10	0.00	0.00	0.00	0.00	0.00	0.00
	Bomberos	0.04	0.03	0.08	0.02	0.04	0.00



Esfuerzos y armados de pilares, pantallas y muros

PARCELA R-20, SECTOR LA CATALANA, SANT ADRIA DE BESOS

Fecha: 22/03/18

Soporte	Hipótesis	Esfuerzos en arranques					
		N (t)	Mx (t·m)	My (t·m)	Qx (t)	Qy (t)	T (t·m)
P44	Peso propio	145.00	0.29	0.91	0.31	0.85	0.00
	Cargas muertas	91.27	0.07	0.58	0.09	0.54	0.00
	Sobrecarga de uso	52.05	0.22	0.74	0.23	0.66	0.00
	Viento +X exc.+	2.73	-0.43	0.01	-0.24	0.01	0.00
	Viento +X exc.-	2.69	-0.42	-0.01	-0.23	-0.00	0.00
	Viento -X exc.+	-2.73	0.43	-0.01	0.24	-0.01	-0.00
	Viento -X exc.-	-2.69	0.42	0.01	0.23	0.00	-0.00
	Viento +Y exc.+	2.09	0.15	-2.26	0.08	-0.98	-0.00
	Viento +Y exc.-	2.60	-0.02	-2.09	-0.02	-0.89	-0.00
	Viento -Y exc.+	-2.09	-0.15	2.26	-0.08	0.98	0.00
	Viento -Y exc.-	-2.60	0.02	2.09	0.02	0.89	0.00
	Sismo X Modo 1	5.86	-0.90	0.35	-0.51	0.16	0.00
	Sismo X Modo 2	0.00	0.00	0.00	0.00	0.00	0.00
	Sismo X Modo 3	0.00	0.00	0.00	0.00	0.00	0.00
	Sismo X Modo 4	0.00	0.00	0.00	0.00	0.00	0.00
	Sismo X Modo 5	0.00	0.00	0.00	0.00	0.00	0.00
	Sismo X Modo 6	1.87	-0.16	-0.41	-0.09	-0.18	-0.00
	Sismo X Modo 7	0.35	-0.05	0.08	-0.02	0.03	-0.00
	Sismo X Modo 8	1.34	0.50	-0.01	0.28	-0.01	-0.00
	Sismo X Modo 9	0.02	0.00	0.01	0.00	0.00	-0.00
	Sismo X Modo 10	0.00	0.00	0.00	0.00	0.00	0.00
	Sismo Y Modo 1	1.82	-0.28	0.11	-0.16	0.05	0.00
	Sismo Y Modo 2	0.00	0.00	0.00	0.00	0.00	0.00
	Sismo Y Modo 3	0.00	0.00	0.00	0.00	0.00	0.00
	Sismo Y Modo 4	0.00	0.00	0.00	0.00	0.00	0.00
	Sismo Y Modo 5	0.00	0.00	0.00	0.00	0.00	0.00
	Sismo Y Modo 6	3.77	-0.32	-0.83	-0.18	-0.35	-0.00
	Sismo Y Modo 7	0.49	-0.07	0.11	-0.03	0.04	-0.00
	Sismo Y Modo 8	0.01	0.00	-0.00	0.00	-0.00	-0.00
	Sismo Y Modo 9	0.03	0.01	0.02	0.01	0.01	-0.00
	Sismo Y Modo 10	0.00	0.00	0.00	0.00	0.00	0.00
	Bomberos	-0.39	0.00	0.09	0.00	0.04	0.00



Esfuerzos y armados de pilares, pantallas y muros

PARCELA R-20, SECTOR LA CATALANA, SANT ADRIA DE BESOS

Fecha: 22/03/18

Soporte	Hipótesis	Esfuerzos en arranques					
		N (t)	Mx (t·m)	My (t·m)	Qx (t)	Qy (t)	T (t·m)
P45	Peso propio	209.74	-0.36	0.86	-0.10	0.79	0.00
	Cargas muertas	127.39	-0.02	0.43	0.14	0.39	0.00
	Sobrecarga de uso	76.60	-0.08	0.66	0.01	0.58	0.00
	Viento +X exc.+	-1.01	-2.13	0.04	-0.71	0.02	0.00
	Viento +X exc.-	-0.95	-2.05	0.01	-0.68	0.01	0.00
	Viento -X exc.+	1.01	2.13	-0.04	0.71	-0.02	-0.00
	Viento -X exc.-	0.95	2.05	-0.01	0.68	-0.01	-0.00
	Viento +Y exc.+	1.71	1.10	-1.98	0.53	-0.97	-0.01
	Viento +Y exc.-	1.04	0.16	-1.66	0.11	-0.81	-0.00
	Viento -Y exc.+	-1.71	-1.10	1.98	-0.53	0.97	0.01
	Viento -Y exc.-	-1.04	-0.16	1.66	-0.11	0.81	0.00
	Sismo X Modo 1	-2.79	-4.57	0.45	-1.61	0.23	0.01
	Sismo X Modo 2	0.00	0.00	0.00	0.00	0.00	0.00
	Sismo X Modo 3	0.00	0.00	0.00	0.00	0.00	0.00
	Sismo X Modo 4	0.00	0.00	0.00	0.00	0.00	0.00
	Sismo X Modo 5	0.00	0.00	0.00	0.00	0.00	0.00
	Sismo X Modo 6	-0.15	-0.70	-0.37	-0.19	-0.18	-0.00
	Sismo X Modo 7	-0.07	-0.20	0.00	-0.03	0.00	-0.00
	Sismo X Modo 8	-1.27	2.47	-0.06	0.87	-0.04	-0.00
	Sismo X Modo 9	0.02	0.02	-0.02	0.02	-0.01	-0.00
	Sismo X Modo 10	0.00	0.00	0.00	0.00	0.00	0.00
	Sismo Y Modo 1	-0.87	-1.42	0.14	-0.50	0.07	0.00
	Sismo Y Modo 2	0.00	0.00	0.00	0.00	0.00	0.00
	Sismo Y Modo 3	0.00	0.00	0.00	0.00	0.00	0.00
	Sismo Y Modo 4	0.00	0.00	0.00	0.00	0.00	0.00
	Sismo Y Modo 5	0.00	0.00	0.00	0.00	0.00	0.00
	Sismo Y Modo 6	-0.29	-1.42	-0.75	-0.39	-0.36	-0.00
	Sismo Y Modo 7	-0.10	-0.29	0.01	-0.04	0.00	-0.00
	Sismo Y Modo 8	-0.01	0.02	-0.00	0.01	-0.00	-0.00
	Sismo Y Modo 9	0.04	0.04	-0.04	0.03	-0.02	-0.00
	Sismo Y Modo 10	0.00	0.00	0.00	0.00	0.00	0.00
	Bomberos	-0.52	-0.01	0.09	-0.01	0.04	0.00



Esfuerzos y armados de pilares, pantallas y muros

PARCELA R-20, SECTOR LA CATALANA, SANT ADRIA DE BESOS

Fecha: 22/03/18

Soporte	Hipótesis	Esfuerzos en arranques					
		N (t)	Mx (t·m)	My (t·m)	Qx (t)	Qy (t)	T (t·m)
P46	Peso propio	110.68	0.10	0.81	0.13	0.79	0.00
	Cargas muertas	67.40	0.04	0.75	0.06	0.79	0.00
	Sobrecarga de uso	38.96	0.08	0.75	0.10	0.69	0.00
	Viento +X exc.+	1.22	-0.40	0.10	-0.27	0.06	0.00
	Viento +X exc.-	1.37	-0.38	0.02	-0.26	0.02	0.00
	Viento -X exc.+	-1.22	0.40	-0.10	0.27	-0.06	-0.00
	Viento -X exc.-	-1.37	0.38	-0.02	0.26	-0.02	-0.00
	Viento +Y exc.+	6.75	0.11	-3.71	0.06	-1.98	-0.00
	Viento +Y exc.-	4.96	-0.03	-2.71	-0.03	-1.46	-0.00
	Viento -Y exc.+	-6.75	-0.11	3.71	-0.06	1.98	0.00
	Viento -Y exc.-	-4.96	0.03	2.71	0.03	1.46	0.00
	Sismo X Modo 1	0.78	-0.82	1.13	-0.56	0.61	0.00
	Sismo X Modo 2	0.00	0.00	0.00	0.00	0.00	0.00
	Sismo X Modo 3	0.00	0.00	0.00	0.00	0.00	0.00
	Sismo X Modo 4	0.00	0.00	0.00	0.00	0.00	0.00
	Sismo X Modo 5	0.00	0.00	0.00	0.00	0.00	0.00
	Sismo X Modo 6	2.23	-0.15	-0.73	-0.11	-0.38	-0.00
	Sismo X Modo 7	0.74	-0.05	-0.15	-0.03	-0.07	-0.00
	Sismo X Modo 8	1.49	0.45	-0.17	0.31	-0.10	-0.00
	Sismo X Modo 9	0.01	0.00	-0.11	0.00	-0.06	-0.00
	Sismo X Modo 10	0.00	0.00	0.00	0.00	0.00	0.00
	Sismo Y Modo 1	0.24	-0.25	0.35	-0.17	0.19	0.00
	Sismo Y Modo 2	0.00	0.00	0.00	0.00	0.00	0.00
	Sismo Y Modo 3	0.00	0.00	0.00	0.00	0.00	0.00
	Sismo Y Modo 4	0.00	0.00	0.00	0.00	0.00	0.00
	Sismo Y Modo 5	0.00	0.00	0.00	0.00	0.00	0.00
	Sismo Y Modo 6	4.49	-0.30	-1.47	-0.22	-0.77	-0.00
	Sismo Y Modo 7	1.05	-0.07	-0.21	-0.05	-0.10	-0.00
	Sismo Y Modo 8	0.01	0.00	-0.00	0.00	-0.00	-0.00
	Sismo Y Modo 9	0.02	0.00	-0.19	0.00	-0.10	-0.00
	Sismo Y Modo 10	0.00	0.00	0.00	0.00	0.00	0.00
	Bomberos	-0.45	0.00	0.18	0.00	0.10	0.00



Esfuerzos y armados de pilares, pantallas y muros

PARCELA R-20, SECTOR LA CATALANA, SANT ADRIA DE BESOS

Fecha: 22/03/18

Soporte	Hipótesis	Esfuerzos en arranques					
		N (t)	Mx (t·m)	My (t·m)	Qx (t)	Qy (t)	T (t·m)
P47	Peso propio	95.19	-0.83	0.60	-0.83	0.59	0.00
	Cargas muertas	81.50	-0.56	0.66	-0.56	0.69	0.00
	Sobrecarga de uso	30.66	-0.56	0.50	-0.59	0.47	0.00
	Viento +X exc.+	4.23	-0.84	0.07	-0.44	0.05	0.00
	Viento +X exc.-	4.11	-0.82	0.01	-0.43	0.01	0.00
	Viento -X exc.+	-4.23	0.84	-0.07	0.44	-0.05	-0.00
	Viento -X exc.-	-4.11	0.82	-0.01	0.43	-0.01	-0.00
	Viento +Y exc.+	-2.79	0.34	-2.24	0.17	-1.34	-0.00
	Viento +Y exc.-	-1.44	0.01	-1.57	-0.01	-0.94	-0.00
	Viento -Y exc.+	2.79	-0.34	2.24	-0.17	1.34	0.00
	Viento -Y exc.-	1.44	-0.01	1.57	0.01	0.94	0.00
	Sismo X Modo 1	10.20	-1.77	0.74	-0.94	0.44	0.00
	Sismo X Modo 2	0.00	0.00	0.00	0.00	0.00	0.00
	Sismo X Modo 3	0.00	0.00	0.00	0.00	0.00	0.00
	Sismo X Modo 4	0.00	0.00	0.00	0.00	0.00	0.00
	Sismo X Modo 5	0.00	0.00	0.00	0.00	0.00	0.00
	Sismo X Modo 6	1.54	-0.30	-0.45	-0.16	-0.26	-0.00
	Sismo X Modo 7	0.75	-0.10	-0.12	-0.05	-0.06	-0.00
	Sismo X Modo 8	0.32	0.96	-0.12	0.51	-0.07	-0.00
	Sismo X Modo 9	0.07	0.01	-0.08	0.00	-0.05	-0.00
	Sismo X Modo 10	0.00	0.00	0.00	0.00	0.00	0.00
	Sismo Y Modo 1	3.17	-0.55	0.23	-0.29	0.14	0.00
	Sismo Y Modo 2	0.00	0.00	0.00	0.00	0.00	0.00
	Sismo Y Modo 3	0.00	0.00	0.00	0.00	0.00	0.00
	Sismo Y Modo 4	0.00	0.00	0.00	0.00	0.00	0.00
	Sismo Y Modo 5	0.00	0.00	0.00	0.00	0.00	0.00
	Sismo Y Modo 6	3.10	-0.61	-0.90	-0.32	-0.53	-0.00
	Sismo Y Modo 7	1.07	-0.14	-0.17	-0.06	-0.09	-0.00
	Sismo Y Modo 8	0.00	0.01	-0.00	0.00	-0.00	-0.00
	Sismo Y Modo 9	0.12	0.01	-0.14	0.01	-0.08	-0.00
	Sismo Y Modo 10	0.00	0.00	0.00	0.00	0.00	0.00
	Bomberos	-0.20	0.00	0.11	-0.00	0.07	0.00



Esfuerzos y armados de pilares, pantallas y muros

PARCELA R-20, SECTOR LA CATALANA, SANT ADRIA DE BESOS

Fecha: 22/03/18

Soporte	Hipótesis	Esfuerzos en arranques					
		N (t)	Mx (t·m)	My (t·m)	Qx (t)	Qy (t)	T (t·m)
P48	Peso propio	92.14	0.57	0.39	0.53	0.41	0.00
	Cargas muertas	79.08	0.33	0.47	0.31	0.52	0.00
	Sobrecarga de uso	43.79	0.29	0.36	0.21	0.33	0.00
	Viento +X exc.+	-4.66	-0.65	-0.10	-0.30	-0.05	0.00
	Viento +X exc.-	-4.57	-0.61	-0.05	-0.28	-0.03	0.00
	Viento -X exc.+	4.66	0.65	0.10	0.30	0.05	-0.00
	Viento -X exc.-	4.57	0.61	0.05	0.28	0.03	-0.00
	Viento +Y exc.+	-0.90	0.37	-0.66	0.25	-0.34	-0.00
	Viento +Y exc.-	-1.86	-0.01	-1.10	0.05	-0.55	0.00
	Viento -Y exc.+	0.90	-0.37	0.66	-0.25	0.34	0.00
	Viento -Y exc.-	1.86	0.01	1.10	-0.05	0.55	-0.00
	Sismo X Modo 1	0.00	0.00	0.00	0.00	0.00	0.00
	Sismo X Modo 2	-3.44	-0.62	-0.31	-0.30	-0.15	0.00
	Sismo X Modo 3	-6.10	-0.61	-0.13	-0.25	-0.08	-0.00
	Sismo X Modo 4	1.61	0.22	-0.25	0.10	-0.12	0.00
	Sismo X Modo 5	-0.06	0.13	0.07	0.07	0.04	-0.00
	Sismo X Modo 6	0.00	0.00	0.00	0.00	0.00	0.00
	Sismo X Modo 7	0.00	0.00	0.00	0.00	0.00	0.00
	Sismo X Modo 8	0.00	0.00	0.00	0.00	0.00	0.00
	Sismo X Modo 9	0.00	0.00	0.00	0.00	0.00	0.00
	Sismo X Modo 10	0.27	-0.44	0.00	-0.20	0.00	-0.00
	Sismo Y Modo 1	0.00	0.00	0.00	0.00	0.00	0.00
	Sismo Y Modo 2	-1.18	-0.21	-0.11	-0.10	-0.05	0.00
	Sismo Y Modo 3	-4.79	-0.48	-0.10	-0.19	-0.06	-0.00
	Sismo Y Modo 4	2.88	0.39	-0.45	0.18	-0.21	0.00
	Sismo Y Modo 5	-0.01	0.01	0.01	0.01	0.00	-0.00
	Sismo Y Modo 6	0.00	0.00	0.00	0.00	0.00	0.00
	Sismo Y Modo 7	0.00	0.00	0.00	0.00	0.00	0.00
	Sismo Y Modo 8	0.00	0.00	0.00	0.00	0.00	0.00
	Sismo Y Modo 9	0.00	0.00	0.00	0.00	0.00	0.00
	Sismo Y Modo 10	0.01	-0.02	0.00	-0.01	0.00	-0.00
	Bomberos	-1.14	0.11	0.39	0.05	0.21	-0.00



Esfuerzos y armados de pilares, pantallas y muros

PARCELA R-20, SECTOR LA CATALANA, SANT ADRIA DE BESOS

Fecha: 22/03/18

Soporte	Hipótesis	Esfuerzos en arranques					
		N (t)	Mx (t·m)	My (t·m)	Qx (t)	Qy (t)	T (t·m)
P49	Peso propio	115.78	-0.00	0.66	-0.04	0.70	0.00
	Cargas muertas	73.54	0.07	0.68	0.06	0.77	0.00
	Sobrecarga de uso	61.51	0.09	0.69	0.06	0.64	0.00
	Viento +X exc.+	-1.41	-0.32	-0.14	-0.21	-0.07	0.00
	Viento +X exc.-	-1.57	-0.30	-0.08	-0.20	-0.05	0.00
	Viento -X exc.+	1.41	0.32	0.14	0.21	0.07	-0.00
	Viento -X exc.-	1.57	0.30	0.08	0.20	0.05	-0.00
	Viento +Y exc.+	3.35	0.15	-1.18	0.11	-0.46	-0.00
	Viento +Y exc.-	4.73	-0.02	-1.77	-0.01	-0.69	0.00
	Viento -Y exc.+	-3.35	-0.15	1.18	-0.11	0.46	0.00
	Viento -Y exc.-	-4.73	0.02	1.77	0.01	0.69	-0.00
	Sismo X Modo 1	0.00	0.00	0.00	0.00	0.00	0.00
	Sismo X Modo 2	0.06	-0.29	-0.41	-0.20	-0.16	0.00
	Sismo X Modo 3	-1.46	-0.31	-0.25	-0.20	-0.12	-0.00
	Sismo X Modo 4	1.94	0.11	-0.38	0.07	-0.13	0.00
	Sismo X Modo 5	-0.20	0.06	0.10	0.04	0.04	-0.00
	Sismo X Modo 6	0.00	0.00	0.00	0.00	0.00	0.00
	Sismo X Modo 7	0.00	0.00	0.00	0.00	0.00	0.00
	Sismo X Modo 8	0.00	0.00	0.00	0.00	0.00	0.00
	Sismo X Modo 9	0.00	0.00	0.00	0.00	0.00	0.00
	Sismo X Modo 10	1.60	-0.22	-0.01	-0.14	-0.01	-0.00
	Sismo Y Modo 1	0.00	0.00	0.00	0.00	0.00	0.00
	Sismo Y Modo 2	0.02	-0.10	-0.14	-0.07	-0.06	0.00
	Sismo Y Modo 3	-1.15	-0.24	-0.20	-0.16	-0.10	-0.00
	Sismo Y Modo 4	3.46	0.19	-0.69	0.12	-0.24	0.00
	Sismo Y Modo 5	-0.02	0.01	0.01	0.00	0.00	-0.00
	Sismo Y Modo 6	0.00	0.00	0.00	0.00	0.00	0.00
	Sismo Y Modo 7	0.00	0.00	0.00	0.00	0.00	0.00
	Sismo Y Modo 8	0.00	0.00	0.00	0.00	0.00	0.00
	Sismo Y Modo 9	0.00	0.00	0.00	0.00	0.00	0.00
	Sismo Y Modo 10	0.09	-0.01	-0.00	-0.01	-0.00	-0.00
	Bomberos	-1.95	0.04	0.63	0.03	0.30	-0.00



Esfuerzos y armados de pilares, pantallas y muros

PARCELA R-20, SECTOR LA CATALANA, SANT ADRIA DE BESOS

Fecha: 22/03/18

Soporte	Hipótesis	Esfuerzos en arranques					
		N (t)	Mx (t·m)	My (t·m)	Qx (t)	Qy (t)	T (t·m)
P50	Peso propio	184.49	-2.88	6.12	-3.35	6.70	0.00
	Cargas muertas	118.85	-2.05	3.76	-2.37	4.16	0.00
	Sobrecarga de uso	72.76	-0.73	3.31	-0.98	3.38	0.00
	Viento +X exc.+	1.47	-1.20	-0.06	-0.62	-0.01	0.00
	Viento +X exc.-	1.47	-1.13	-0.00	-0.58	0.02	0.00
	Viento -X exc.+	-1.47	1.20	0.06	0.62	0.01	-0.00
	Viento -X exc.-	-1.47	1.13	0.00	0.58	-0.02	-0.00
	Viento +Y exc.+	-1.41	0.61	-3.65	0.40	-1.78	-0.01
	Viento +Y exc.-	-1.24	-0.09	-4.21	-0.01	-2.05	0.00
	Viento -Y exc.+	1.41	-0.61	3.65	-0.40	1.78	0.01
	Viento -Y exc.-	1.24	0.09	4.21	0.01	2.05	-0.00
	Sismo X Modo 1	0.00	0.00	0.00	0.00	0.00	0.00
	Sismo X Modo 2	1.04	-1.14	-0.26	-0.63	-0.11	0.01
	Sismo X Modo 3	1.31	-1.16	-0.70	-0.56	-0.31	-0.00
	Sismo X Modo 4	-0.85	0.39	-0.87	0.20	-0.43	0.00
	Sismo X Modo 5	-0.03	0.24	0.08	0.13	0.04	-0.00
	Sismo X Modo 6	0.00	0.00	0.00	0.00	0.00	0.00
	Sismo X Modo 7	0.00	0.00	0.00	0.00	0.00	0.00
	Sismo X Modo 8	0.00	0.00	0.00	0.00	0.00	0.00
	Sismo X Modo 9	0.00	0.00	0.00	0.00	0.00	0.00
	Sismo X Modo 10	-0.88	-0.77	-0.03	-0.38	-0.03	-0.00
	Sismo Y Modo 1	0.00	0.00	0.00	0.00	0.00	0.00
	Sismo Y Modo 2	0.36	-0.39	-0.09	-0.22	-0.04	0.00
	Sismo Y Modo 3	1.03	-0.91	-0.55	-0.44	-0.25	-0.00
	Sismo Y Modo 4	-1.53	0.71	-1.56	0.36	-0.77	0.00
	Sismo Y Modo 5	-0.00	0.03	0.01	0.01	0.00	-0.00
	Sismo Y Modo 6	0.00	0.00	0.00	0.00	0.00	0.00
	Sismo Y Modo 7	0.00	0.00	0.00	0.00	0.00	0.00
	Sismo Y Modo 8	0.00	0.00	0.00	0.00	0.00	0.00
	Sismo Y Modo 9	0.00	0.00	0.00	0.00	0.00	0.00
	Sismo Y Modo 10	-0.05	-0.04	-0.00	-0.02	-0.00	-0.00
	Bomberos	-1.93	0.23	1.11	0.15	0.53	-0.00



Esfuerzos y armados de pilares, pantallas y muros

PARCELA R-20, SECTOR LA CATALANA, SANT ADRIA DE BESOS

Fecha: 22/03/18

Soporte	Hipótesis	Esfuerzos en arranques					
		N (t)	Mx (t·m)	My (t·m)	Qx (t)	Qy (t)	T (t·m)
P51	Peso propio	187.59	0.17	1.20	-0.03	1.24	0.00
	Cargas muertas	111.51	0.13	0.68	0.02	0.70	0.00
	Sobrecarga de uso	71.72	0.14	1.25	-0.07	1.06	0.00
	Viento +X exc.+	-4.22	-1.51	0.03	-0.74	0.01	0.00
	Viento +X exc.-	-4.17	-1.42	0.02	-0.69	0.01	0.00
	Viento -X exc.+	4.22	1.51	-0.03	0.74	-0.01	-0.00
	Viento -X exc.-	4.17	1.42	-0.02	0.69	-0.01	-0.00
	Viento +Y exc.+	4.99	0.78	-3.44	0.50	-1.10	-0.01
	Viento +Y exc.-	4.49	-0.10	-3.38	0.00	-1.08	0.01
	Viento -Y exc.+	-4.99	-0.78	3.44	-0.50	1.10	0.01
	Viento -Y exc.-	-4.49	0.10	3.38	-0.00	1.08	-0.01
	Sismo X Modo 1	0.00	0.00	0.00	0.00	0.00	0.00
	Sismo X Modo 2	-2.91	-1.43	0.18	-0.76	0.06	0.01
	Sismo X Modo 3	-3.99	-1.45	-0.73	-0.66	-0.22	-0.00
	Sismo X Modo 4	2.81	0.50	-0.62	0.24	-0.19	0.00
	Sismo X Modo 5	-0.22	0.31	-0.03	0.17	-0.01	-0.00
	Sismo X Modo 6	0.00	0.00	0.00	0.00	0.00	0.00
	Sismo X Modo 7	0.00	0.00	0.00	0.00	0.00	0.00
	Sismo X Modo 8	0.00	0.00	0.00	0.00	0.00	0.00
	Sismo X Modo 9	0.00	0.00	0.00	0.00	0.00	0.00
	Sismo X Modo 10	0.99	-1.03	-0.02	-0.51	-0.00	-0.00
	Sismo Y Modo 1	0.00	0.00	0.00	0.00	0.00	0.00
	Sismo Y Modo 2	-1.00	-0.49	0.06	-0.26	0.02	0.00
	Sismo Y Modo 3	-3.13	-1.14	-0.57	-0.52	-0.17	-0.00
	Sismo Y Modo 4	5.03	0.89	-1.12	0.42	-0.34	0.00
	Sismo Y Modo 5	-0.02	0.03	-0.00	0.02	-0.00	-0.00
	Sismo Y Modo 6	0.00	0.00	0.00	0.00	0.00	0.00
	Sismo Y Modo 7	0.00	0.00	0.00	0.00	0.00	0.00
	Sismo Y Modo 8	0.00	0.00	0.00	0.00	0.00	0.00
	Sismo Y Modo 9	0.00	0.00	0.00	0.00	0.00	0.00
	Sismo Y Modo 10	0.05	-0.05	-0.00	-0.03	-0.00	-0.00
	Bomberos	-1.77	0.19	0.91	0.07	0.36	-0.00



Esfuerzos y armados de pilares, pantallas y muros

PARCELA R-20, SECTOR LA CATALANA, SANT ADRIA DE BESOS

Fecha: 22/03/18

Soporte	Hipótesis	Esfuerzos en arranques					
		N (t)	Mx (t·m)	My (t·m)	Qx (t)	Qy (t)	T (t·m)
P52	Peso propio	132.37	1.01	4.27	0.81	4.34	-0.00
	Cargas muertas	119.10	0.69	2.85	0.56	3.00	0.00
	Sobrecarga de uso	60.91	0.77	5.68	0.65	5.56	-0.00
	Viento +X exc.+	5.24	-2.22	0.82	-1.27	0.48	0.00
	Viento +X exc.-	5.32	-2.16	0.36	-1.23	0.24	0.00
	Viento -X exc.+	-5.24	2.22	-0.82	1.27	-0.48	-0.00
	Viento -X exc.-	-5.32	2.16	-0.36	1.23	-0.24	-0.00
	Viento +Y exc.+	5.13	0.28	-24.13	0.18	-12.30	-0.02
	Viento +Y exc.-	4.34	-0.30	-19.57	-0.20	-9.97	0.01
	Viento -Y exc.+	-5.13	-0.28	24.13	-0.18	12.30	0.02
	Viento -Y exc.-	-4.34	0.30	19.57	0.20	9.97	-0.01
	Sismo X Modo 1	0.00	0.00	0.00	0.00	0.00	0.00
	Sismo X Modo 2	2.26	-1.60	4.47	-0.93	2.29	0.02
	Sismo X Modo 3	8.82	-2.61	-5.97	-1.45	-2.93	-0.01
	Sismo X Modo 4	-1.98	0.87	-3.13	0.47	-1.61	0.01
	Sismo X Modo 5	0.19	0.34	-0.77	0.20	-0.40	-0.00
	Sismo X Modo 6	0.00	0.00	0.00	0.00	0.00	0.00
	Sismo X Modo 7	0.00	0.00	0.00	0.00	0.00	0.00
	Sismo X Modo 8	0.00	0.00	0.00	0.00	0.00	0.00
	Sismo X Modo 9	0.00	0.00	0.00	0.00	0.00	0.00
	Sismo X Modo 10	-0.35	-1.53	-0.45	-0.87	-0.24	-0.00
	Sismo Y Modo 1	0.00	0.00	0.00	0.00	0.00	0.00
	Sismo Y Modo 2	0.77	-0.55	1.53	-0.32	0.79	0.01
	Sismo Y Modo 3	6.93	-2.05	-4.69	-1.14	-2.30	-0.01
	Sismo Y Modo 4	-3.54	1.55	-5.60	0.84	-2.88	0.01
	Sismo Y Modo 5	0.02	0.04	-0.08	0.02	-0.04	-0.00
	Sismo Y Modo 6	0.00	0.00	0.00	0.00	0.00	0.00
	Sismo Y Modo 7	0.00	0.00	0.00	0.00	0.00	0.00
	Sismo Y Modo 8	0.00	0.00	0.00	0.00	0.00	0.00
	Sismo Y Modo 9	0.00	0.00	0.00	0.00	0.00	0.00
	Sismo Y Modo 10	-0.02	-0.08	-0.02	-0.05	-0.01	-0.00
	Bomberos	0.13	0.25	2.90	0.16	1.60	-0.01



Esfuerzos y armados de pilares, pantallas y muros

PARCELA R-20, SECTOR LA CATALANA, SANT ADRIA DE BESOS

Fecha: 22/03/18

Soporte	Hipótesis	Esfuerzos en arranques					
		N (t)	Mx (t·m)	My (t·m)	Qx (t)	Qy (t)	T (t·m)
P53	Peso propio	168.75	-4.70	0.42	-5.85	0.32	-0.00
	Cargas muertas	117.82	-3.18	0.35	-3.90	0.30	0.00
	Sobrecarga de uso	74.20	-2.62	0.69	-3.32	0.49	-0.00
	Viento +X exc.+	-0.56	-4.73	0.81	-2.55	0.54	0.00
	Viento +X exc.-	-0.66	-4.51	0.34	-2.43	0.24	0.00
	Viento -X exc.+	0.56	4.73	-0.81	2.55	-0.54	-0.00
	Viento -X exc.-	0.66	4.51	-0.34	2.43	-0.24	-0.00
	Viento +Y exc.+	-4.28	1.35	-15.38	0.86	-9.67	-0.02
	Viento +Y exc.-	-3.37	-0.73	-10.73	-0.36	-6.75	0.01
	Viento -Y exc.+	4.28	-1.35	15.38	-0.86	9.67	0.02
	Viento -Y exc.-	3.37	0.73	10.73	0.36	6.75	-0.01
	Sismo X Modo 1	0.00	0.00	0.00	0.00	0.00	0.00
	Sismo X Modo 2	0.46	-4.00	4.19	-2.22	2.63	0.02
	Sismo X Modo 3	-2.97	-5.09	-4.06	-2.65	-2.49	-0.01
	Sismo X Modo 4	0.00	1.64	-1.41	0.86	-0.90	0.01
	Sismo X Modo 5	0.12	0.83	-0.75	0.46	-0.48	-0.00
	Sismo X Modo 6	0.00	0.00	0.00	0.00	0.00	0.00
	Sismo X Modo 7	0.00	0.00	0.00	0.00	0.00	0.00
	Sismo X Modo 8	0.00	0.00	0.00	0.00	0.00	0.00
	Sismo X Modo 9	0.00	0.00	0.00	0.00	0.00	0.00
	Sismo X Modo 10	-0.08	-3.10	-0.33	-1.67	-0.19	-0.00
	Sismo Y Modo 1	0.00	0.00	0.00	0.00	0.00	0.00
	Sismo Y Modo 2	0.16	-1.37	1.43	-0.76	0.90	0.01
	Sismo Y Modo 3	-2.33	-3.99	-3.19	-2.08	-1.96	-0.01
	Sismo Y Modo 4	0.00	2.94	-2.52	1.55	-1.62	0.01
	Sismo Y Modo 5	0.01	0.09	-0.08	0.05	-0.05	-0.00
	Sismo Y Modo 6	0.00	0.00	0.00	0.00	0.00	0.00
	Sismo Y Modo 7	0.00	0.00	0.00	0.00	0.00	0.00
	Sismo Y Modo 8	0.00	0.00	0.00	0.00	0.00	0.00
	Sismo Y Modo 9	0.00	0.00	0.00	0.00	0.00	0.00
	Sismo Y Modo 10	-0.00	-0.16	-0.02	-0.09	-0.01	-0.00
	Bomberos	0.48	0.64	1.16	0.37	0.72	-0.01



Esfuerzos y armados de pilares, pantallas y muros

PARCELA R-20, SECTOR LA CATALANA, SANT ADRIA DE BESOS

Fecha: 22/03/18

Soporte	Hipótesis	Esfuerzos en arranques					
		N (t)	Mx (t·m)	My (t·m)	Qx (t)	Qy (t)	T (t·m)
P54	Peso propio	68.08	-2.29	-0.36	-1.48	-0.30	0.00
	Cargas muertas	98.04	-3.09	-0.48	-2.25	-0.41	-0.00
	Sobrecarga de uso	24.43	-1.29	-0.33	-0.85	-0.25	0.00
	Viento +X exc.+	-2.53	-3.82	-0.20	-1.74	-0.10	0.00
	Viento +X exc.-	-2.80	-3.54	0.03	-1.61	0.01	-0.00
	Viento -X exc.+	2.53	3.82	0.20	1.74	0.10	-0.00
	Viento -X exc.-	2.80	3.54	-0.03	1.61	-0.01	0.00
	Viento +Y exc.+	9.06	3.10	-4.15	1.37	-2.04	-0.02
	Viento +Y exc.-	12.13	-0.13	-6.70	-0.16	-3.29	-0.00
	Viento -Y exc.+	-9.06	-3.10	4.15	-1.37	2.04	0.02
	Viento -Y exc.-	-12.13	0.13	6.70	0.16	3.29	0.00
	Sismo X Modo 1	-4.80	-9.19	-1.32	-4.20	-0.65	0.02
	Sismo X Modo 2	0.00	0.00	0.00	0.00	0.00	0.00
	Sismo X Modo 3	0.00	0.00	0.00	0.00	0.00	0.00
	Sismo X Modo 4	0.00	0.00	0.00	0.00	0.00	0.00
	Sismo X Modo 5	0.00	0.00	0.00	0.00	0.00	0.00
	Sismo X Modo 6	0.17	-0.90	-0.56	-0.41	-0.28	-0.01
	Sismo X Modo 7	-3.28	0.24	1.42	0.14	0.69	-0.01
	Sismo X Modo 8	-0.40	4.31	0.40	2.01	0.21	-0.00
	Sismo X Modo 9	0.17	0.26	0.42	0.12	0.21	-0.00
	Sismo X Modo 10	0.00	0.00	0.00	0.00	0.00	0.00
	Sismo Y Modo 1	-1.49	-2.85	-0.41	-1.30	-0.20	0.01
	Sismo Y Modo 2	0.00	0.00	0.00	0.00	0.00	0.00
	Sismo Y Modo 3	0.00	0.00	0.00	0.00	0.00	0.00
	Sismo Y Modo 4	0.00	0.00	0.00	0.00	0.00	0.00
	Sismo Y Modo 5	0.00	0.00	0.00	0.00	0.00	0.00
	Sismo Y Modo 6	0.34	-1.81	-1.14	-0.82	-0.56	-0.01
	Sismo Y Modo 7	-4.63	0.34	2.00	0.20	0.97	-0.01
	Sismo Y Modo 8	-0.00	0.03	0.00	0.02	0.00	-0.00
	Sismo Y Modo 9	0.31	0.47	0.76	0.22	0.38	-0.00
	Sismo Y Modo 10	0.00	0.00	0.00	0.00	0.00	0.00
	Bomberos	0.01	-0.13	0.02	-0.06	0.01	0.00



Esfuerzos y armados de pilares, pantallas y muros

PARCELA R-20, SECTOR LA CATALANA, SANT ADRIA DE BESOS

Fecha: 22/03/18

Soporte	Hipótesis	Esfuerzos en arranques					
		N (t)	Mx (t·m)	My (t·m)	Qx (t)	Qy (t)	T (t·m)
P55	Peso propio	142.32	3.23	-0.65	3.22	-0.55	0.00
	Cargas muertas	135.19	3.48	-0.39	3.24	-0.34	-0.00
	Sobrecarga de uso	47.35	0.83	-0.19	0.98	-0.16	0.00
	Viento +X exc.+	0.64	-5.53	-0.18	-2.37	-0.09	0.00
	Viento +X exc.-	0.25	-5.15	0.00	-2.20	-0.01	-0.00
	Viento -X exc.+	-0.64	5.53	0.18	2.37	0.09	-0.00
	Viento -X exc.-	-0.25	5.15	-0.00	2.20	0.01	0.00
	Viento +Y exc.+	8.88	5.07	-5.52	2.32	-2.66	-0.03
	Viento +Y exc.-	13.44	0.72	-7.57	0.49	-3.63	-0.00
	Viento -Y exc.+	-8.88	-5.07	5.52	-2.32	2.66	0.03
	Viento -Y exc.-	-13.44	-0.72	7.57	-0.49	3.63	0.00
	Sismo X Modo 1	3.11	-13.19	-0.85	-5.61	-0.43	0.02
	Sismo X Modo 2	0.00	0.00	0.00	0.00	0.00	0.00
	Sismo X Modo 3	0.00	0.00	0.00	0.00	0.00	0.00
	Sismo X Modo 4	0.00	0.00	0.00	0.00	0.00	0.00
	Sismo X Modo 5	0.00	0.00	0.00	0.00	0.00	0.00
	Sismo X Modo 6	1.76	-1.21	-0.86	-0.48	-0.42	-0.01
	Sismo X Modo 7	-3.13	0.12	1.29	0.02	0.61	-0.01
	Sismo X Modo 8	0.04	6.15	0.35	2.66	0.18	-0.00
	Sismo X Modo 9	0.23	0.38	0.37	0.17	0.18	-0.00
	Sismo X Modo 10	0.00	0.00	0.00	0.00	0.00	0.00
	Sismo Y Modo 1	0.96	-4.09	-0.27	-1.74	-0.13	0.01
	Sismo Y Modo 2	0.00	0.00	0.00	0.00	0.00	0.00
	Sismo Y Modo 3	0.00	0.00	0.00	0.00	0.00	0.00
	Sismo Y Modo 4	0.00	0.00	0.00	0.00	0.00	0.00
	Sismo Y Modo 5	0.00	0.00	0.00	0.00	0.00	0.00
	Sismo Y Modo 6	3.55	-2.43	-1.74	-0.97	-0.84	-0.01
	Sismo Y Modo 7	-4.42	0.17	1.82	0.02	0.86	-0.01
	Sismo Y Modo 8	0.00	0.05	0.00	0.02	0.00	-0.00
	Sismo Y Modo 9	0.41	0.69	0.67	0.31	0.32	-0.01
	Sismo Y Modo 10	0.00	0.00	0.00	0.00	0.00	0.00
	Bomberos	0.02	-0.19	0.08	-0.08	0.04	0.00



Esfuerzos y armados de pilares, pantallas y muros

PARCELA R-20, SECTOR LA CATALANA, SANT ADRIA DE BESOS

Fecha: 22/03/18

Soporte	Hipótesis	Esfuerzos en arranques					
		N (t)	Mx (t·m)	My (t·m)	Qx (t)	Qy (t)	T (t·m)
P56	Peso propio	122.69	-1.82	-1.10	-1.21	-0.94	0.00
	Cargas muertas	132.32	-1.18	-1.03	-0.78	-0.86	-0.00
	Sobrecarga de uso	42.74	-0.72	-0.24	-0.45	-0.24	0.00
	Viento +X exc.+	-2.51	-2.65	-0.08	-1.24	-0.04	0.00
	Viento +X exc.-	-2.57	-2.45	0.01	-1.14	0.00	-0.00
	Viento -X exc.+	2.51	2.65	0.08	1.24	0.04	-0.00
	Viento -X exc.-	2.57	2.45	-0.01	1.14	-0.00	0.00
	Viento +Y exc.+	13.34	2.52	-6.84	1.22	-3.25	-0.02
	Viento +Y exc.-	13.95	0.26	-7.86	0.17	-3.71	-0.00
	Viento -Y exc.+	-13.34	-2.52	6.84	-1.22	3.25	0.02
	Viento -Y exc.-	-13.95	-0.26	7.86	-0.17	3.71	0.00
	Sismo X Modo 1	-6.81	-6.39	0.05	-2.97	0.04	0.02
	Sismo X Modo 2	0.00	0.00	0.00	0.00	0.00	0.00
	Sismo X Modo 3	0.00	0.00	0.00	0.00	0.00	0.00
	Sismo X Modo 4	0.00	0.00	0.00	0.00	0.00	0.00
	Sismo X Modo 5	0.00	0.00	0.00	0.00	0.00	0.00
	Sismo X Modo 6	1.44	-0.54	-1.18	-0.24	-0.56	-0.01
	Sismo X Modo 7	-2.23	0.13	0.93	0.06	0.43	-0.01
	Sismo X Modo 8	-1.52	2.99	0.19	1.42	0.09	-0.00
	Sismo X Modo 9	0.23	0.19	0.24	0.09	0.11	-0.00
	Sismo X Modo 10	0.00	0.00	0.00	0.00	0.00	0.00
	Sismo Y Modo 1	-2.11	-1.98	0.02	-0.92	0.01	0.01
	Sismo Y Modo 2	0.00	0.00	0.00	0.00	0.00	0.00
	Sismo Y Modo 3	0.00	0.00	0.00	0.00	0.00	0.00
	Sismo Y Modo 4	0.00	0.00	0.00	0.00	0.00	0.00
	Sismo Y Modo 5	0.00	0.00	0.00	0.00	0.00	0.00
	Sismo Y Modo 6	2.90	-1.09	-2.37	-0.48	-1.12	-0.01
	Sismo Y Modo 7	-3.16	0.19	1.32	0.08	0.60	-0.01
	Sismo Y Modo 8	-0.01	0.02	0.00	0.01	0.00	-0.00
	Sismo Y Modo 9	0.42	0.35	0.44	0.17	0.21	-0.00
	Sismo Y Modo 10	0.00	0.00	0.00	0.00	0.00	0.00
	Bomberos	-0.02	-0.10	0.17	-0.05	0.08	0.00



Esfuerzos y armados de pilares, pantallas y muros

PARCELA R-20, SECTOR LA CATALANA, SANT ADRIA DE BESOS

Fecha: 22/03/18

Soporte	Hipótesis	Esfuerzos en arranques					
		N (t)	Mx (t·m)	My (t·m)	Qx (t)	Qy (t)	T (t·m)
P58	Peso propio	52.14	0.12	-0.43	0.14	-0.45	0.00
	Cargas muertas	97.26	0.05	-0.44	0.06	-0.45	0.00
	Sobrecarga de uso	25.55	0.08	-0.26	0.10	-0.31	0.00
	Viento +X exc.+	-3.97	-0.28	0.01	-0.14	0.01	0.00
	Viento +X exc.-	-3.76	-0.26	0.00	-0.13	0.01	0.00
	Viento -X exc.+	3.97	0.28	-0.01	0.14	-0.01	-0.00
	Viento -X exc.-	3.76	0.26	-0.00	0.13	-0.01	-0.00
	Viento +Y exc.+	12.83	0.29	-1.93	0.16	-0.55	-0.00
	Viento +Y exc.-	10.31	0.07	-1.85	0.05	-0.49	-0.00
	Viento -Y exc.+	-12.83	-0.29	1.93	-0.16	0.55	0.00
	Viento -Y exc.-	-10.31	-0.07	1.85	-0.05	0.49	0.00
	Sismo X Modo 1	-11.50	-0.66	0.27	-0.33	0.12	0.00
	Sismo X Modo 2	0.00	0.00	0.00	0.00	0.00	0.00
	Sismo X Modo 3	0.00	0.00	0.00	0.00	0.00	0.00
	Sismo X Modo 4	0.00	0.00	0.00	0.00	0.00	0.00
	Sismo X Modo 5	0.00	0.00	0.00	0.00	0.00	0.00
	Sismo X Modo 6	0.88	-0.05	-0.34	-0.02	-0.09	-0.00
	Sismo X Modo 7	-0.96	0.00	0.09	-0.00	0.00	-0.00
	Sismo X Modo 8	1.13	0.34	0.00	0.17	-0.01	-0.00
	Sismo X Modo 9	0.22	0.02	0.03	0.01	0.00	-0.00
	Sismo X Modo 10	0.00	0.00	0.00	0.00	0.00	0.00
	Sismo Y Modo 1	-3.57	-0.21	0.08	-0.10	0.04	0.00
	Sismo Y Modo 2	0.00	0.00	0.00	0.00	0.00	0.00
	Sismo Y Modo 3	0.00	0.00	0.00	0.00	0.00	0.00
	Sismo Y Modo 4	0.00	0.00	0.00	0.00	0.00	0.00
	Sismo Y Modo 5	0.00	0.00	0.00	0.00	0.00	0.00
	Sismo Y Modo 6	1.77	-0.10	-0.68	-0.05	-0.18	-0.00
	Sismo Y Modo 7	-1.35	0.00	0.12	-0.00	0.00	-0.00
	Sismo Y Modo 8	0.01	0.00	0.00	0.00	-0.00	-0.00
	Sismo Y Modo 9	0.39	0.04	0.05	0.02	0.01	-0.00
	Sismo Y Modo 10	0.00	0.00	0.00	0.00	0.00	0.00
	Bomberos	-0.06	-0.01	0.10	-0.01	0.04	0.00



Esfuerzos y armados de pilares, pantallas y muros

PARCELA R-20, SECTOR LA CATALANA, SANT ADRIA DE BESOS

Fecha: 22/03/18

Soporte	Hipótesis	Esfuerzos en arranques					
		N (t)	Mx (t·m)	My (t·m)	Qx (t)	Qy (t)	T (t·m)
P59	Peso propio	92.52	-0.10	-0.84	-0.01	-0.89	0.00
	Cargas muertas	97.89	-0.18	-0.55	-0.14	-0.58	0.00
	Sobrecarga de uso	34.60	-0.03	-0.50	0.02	-0.61	0.00
	Viento +X exc.+	0.75	-0.71	0.01	-0.35	0.00	0.00
	Viento +X exc.-	0.65	-0.66	-0.02	-0.33	-0.01	0.00
	Viento -X exc.+	-0.75	0.71	-0.01	0.35	-0.00	-0.00
	Viento -X exc.-	-0.65	0.66	0.02	0.33	0.01	-0.00
	Viento +Y exc.+	7.38	0.70	-3.90	0.35	-1.28	-0.01
	Viento +Y exc.-	8.54	0.13	-3.59	0.07	-1.14	-0.00
	Viento -Y exc.+	-7.38	-0.70	3.90	-0.35	1.28	0.01
	Viento -Y exc.-	-8.54	-0.13	3.59	-0.07	1.14	0.00
	Sismo X Modo 1	1.39	-1.69	0.59	-0.83	0.21	0.01
	Sismo X Modo 2	0.00	0.00	0.00	0.00	0.00	0.00
	Sismo X Modo 3	0.00	0.00	0.00	0.00	0.00	0.00
	Sismo X Modo 4	0.00	0.00	0.00	0.00	0.00	0.00
	Sismo X Modo 5	0.00	0.00	0.00	0.00	0.00	0.00
	Sismo X Modo 6	1.96	-0.14	-0.71	-0.07	-0.23	-0.00
	Sismo X Modo 7	-1.09	0.01	0.12	0.00	0.01	-0.00
	Sismo X Modo 8	1.37	0.85	-0.02	0.43	-0.01	-0.00
	Sismo X Modo 9	0.18	0.05	0.02	0.02	0.00	-0.00
	Sismo X Modo 10	0.00	0.00	0.00	0.00	0.00	0.00
	Sismo Y Modo 1	0.43	-0.53	0.18	-0.26	0.07	0.00
	Sismo Y Modo 2	0.00	0.00	0.00	0.00	0.00	0.00
	Sismo Y Modo 3	0.00	0.00	0.00	0.00	0.00	0.00
	Sismo Y Modo 4	0.00	0.00	0.00	0.00	0.00	0.00
	Sismo Y Modo 5	0.00	0.00	0.00	0.00	0.00	0.00
	Sismo Y Modo 6	3.95	-0.29	-1.44	-0.14	-0.46	-0.00
	Sismo Y Modo 7	-1.53	0.02	0.17	0.01	0.02	-0.00
	Sismo Y Modo 8	0.01	0.01	-0.00	0.00	-0.00	-0.00
	Sismo Y Modo 9	0.33	0.09	0.04	0.04	0.01	-0.00
	Sismo Y Modo 10	0.00	0.00	0.00	0.00	0.00	0.00
	Bomberos	0.09	-0.03	0.20	-0.01	0.09	0.00



Esfuerzos y armados de pilares, pantallas y muros

PARCELA R-20, SECTOR LA CATALANA, SANT ADRIA DE BESOS

Fecha: 22/03/18

Soporte	Hipótesis	Esfuerzos en arranques					
		N (t)	Mx (t·m)	My (t·m)	Qx (t)	Qy (t)	T (t·m)
P60	Peso propio	137.23	0.18	-0.95	0.27	-1.00	0.00
	Cargas muertas	131.87	0.07	-0.41	0.12	-0.44	0.00
	Sobrecarga de uso	49.44	0.20	-0.57	0.25	-0.67	0.00
	Viento +X exc.+	1.12	-0.86	0.03	-0.40	0.01	0.00
	Viento +X exc.-	1.07	-0.80	-0.01	-0.37	-0.01	0.00
	Viento -X exc.+	-1.12	0.86	-0.03	0.40	-0.01	-0.00
	Viento -X exc.-	-1.07	0.80	0.01	0.37	0.01	-0.00
	Viento +Y exc.+	6.19	0.86	-3.82	0.40	-1.40	-0.01
	Viento +Y exc.-	6.70	0.18	-3.33	0.10	-1.20	-0.00
	Viento -Y exc.+	-6.19	-0.86	3.82	-0.40	1.40	0.01
	Viento -Y exc.-	-6.70	-0.18	3.33	-0.10	1.20	0.00
	Sismo X Modo 1	1.76	-2.05	0.73	-0.94	0.27	0.01
	Sismo X Modo 2	0.00	0.00	0.00	0.00	0.00	0.00
	Sismo X Modo 3	0.00	0.00	0.00	0.00	0.00	0.00
	Sismo X Modo 4	0.00	0.00	0.00	0.00	0.00	0.00
	Sismo X Modo 5	0.00	0.00	0.00	0.00	0.00	0.00
	Sismo X Modo 6	1.94	-0.17	-0.72	-0.08	-0.26	-0.00
	Sismo X Modo 7	-0.46	0.01	0.05	-0.00	0.01	-0.00
	Sismo X Modo 8	-0.34	1.02	-0.06	0.48	-0.03	-0.00
	Sismo X Modo 9	-0.02	0.06	-0.02	0.03	-0.01	-0.00
	Sismo X Modo 10	0.00	0.00	0.00	0.00	0.00	0.00
	Sismo Y Modo 1	0.55	-0.64	0.23	-0.29	0.08	0.00
	Sismo Y Modo 2	0.00	0.00	0.00	0.00	0.00	0.00
	Sismo Y Modo 3	0.00	0.00	0.00	0.00	0.00	0.00
	Sismo Y Modo 4	0.00	0.00	0.00	0.00	0.00	0.00
	Sismo Y Modo 5	0.00	0.00	0.00	0.00	0.00	0.00
	Sismo Y Modo 6	3.90	-0.34	-1.44	-0.16	-0.52	-0.00
	Sismo Y Modo 7	-0.65	0.02	0.07	-0.00	0.01	-0.00
	Sismo Y Modo 8	-0.00	0.01	-0.00	0.00	-0.00	-0.00
	Sismo Y Modo 9	-0.05	0.11	-0.03	0.05	-0.02	-0.00
	Sismo Y Modo 10	0.00	0.00	0.00	0.00	0.00	0.00
	Bomberos	0.14	-0.03	0.20	-0.02	0.09	0.00



Esfuerzos y armados de pilares, pantallas y muros

PARCELA R-20, SECTOR LA CATALANA, SANT ADRIA DE BESOS

Fecha: 22/03/18

Soporte	Hipótesis	Esfuerzos en arranques					
		N (t)	Mx (t·m)	My (t·m)	Qx (t)	Qy (t)	T (t·m)
P61	Peso propio	107.62	0.12	-0.73	0.40	-0.75	0.00
	Cargas muertas	119.18	0.73	-0.41	0.87	-0.42	0.00
	Sobrecarga de uso	42.66	-0.22	-0.46	-0.07	-0.52	0.00
	Viento +X exc.+	-1.75	-1.94	0.05	-0.76	0.02	0.00
	Viento +X exc.-	-1.39	-1.80	0.00	-0.71	0.00	0.00
	Viento -X exc.+	1.75	1.94	-0.05	0.76	-0.02	-0.00
	Viento -X exc.-	1.39	1.80	-0.00	0.71	-0.00	-0.00
	Viento +Y exc.+	14.06	2.06	-2.59	0.90	-1.11	-0.01
	Viento +Y exc.-	9.92	0.49	-2.10	0.29	-0.90	-0.00
	Viento -Y exc.+	-14.06	-2.06	2.59	-0.90	1.11	0.01
	Viento -Y exc.-	-9.92	-0.49	2.10	-0.29	0.90	0.00
	Sismo X Modo 1	-8.19	-4.64	0.63	-1.82	0.27	0.01
	Sismo X Modo 2	0.00	0.00	0.00	0.00	0.00	0.00
	Sismo X Modo 3	0.00	0.00	0.00	0.00	0.00	0.00
	Sismo X Modo 4	0.00	0.00	0.00	0.00	0.00	0.00
	Sismo X Modo 5	0.00	0.00	0.00	0.00	0.00	0.00
	Sismo X Modo 6	2.54	-0.35	-0.49	-0.12	-0.21	-0.00
	Sismo X Modo 7	0.60	0.04	-0.02	0.00	-0.01	-0.00
	Sismo X Modo 8	-1.46	2.29	-0.08	0.93	-0.04	-0.00
	Sismo X Modo 9	-0.17	0.14	-0.04	0.05	-0.02	-0.00
	Sismo X Modo 10	0.00	0.00	0.00	0.00	0.00	0.00
	Sismo Y Modo 1	-2.54	-1.44	0.19	-0.56	0.08	0.00
	Sismo Y Modo 2	0.00	0.00	0.00	0.00	0.00	0.00
	Sismo Y Modo 3	0.00	0.00	0.00	0.00	0.00	0.00
	Sismo Y Modo 4	0.00	0.00	0.00	0.00	0.00	0.00
	Sismo Y Modo 5	0.00	0.00	0.00	0.00	0.00	0.00
	Sismo Y Modo 6	5.12	-0.70	-1.00	-0.24	-0.42	-0.00
	Sismo Y Modo 7	0.85	0.05	-0.04	0.00	-0.01	-0.00
	Sismo Y Modo 8	-0.01	0.02	-0.00	0.01	-0.00	-0.00
	Sismo Y Modo 9	-0.31	0.25	-0.07	0.10	-0.03	-0.00
	Sismo Y Modo 10	0.00	0.00	0.00	0.00	0.00	0.00
	Bomberos	0.00	-0.08	0.14	-0.03	0.07	0.00



Esfuerzos y armados de pilares, pantallas y muros

PARCELA R-20, SECTOR LA CATALANA, SANT ADRIA DE BESOS

Fecha: 22/03/18

Soporte	Hipótesis	Esfuerzos en arranques					
		N (t)	Mx (t·m)	My (t·m)	Qx (t)	Qy (t)	T (t·m)
P62	Peso propio	53.36	-0.32	-0.56	-0.27	-0.62	0.00
	Cargas muertas	97.20	-0.12	-0.64	-0.10	-0.66	0.00
	Sobrecarga de uso	27.61	-0.18	-0.25	-0.16	-0.35	0.00
	Viento +X exc.+	3.96	-0.35	0.05	-0.20	0.01	0.00
	Viento +X exc.-	3.90	-0.32	-0.01	-0.19	-0.01	0.00
	Viento -X exc.+	-3.96	0.35	-0.05	0.20	-0.01	-0.00
	Viento -X exc.-	-3.90	0.32	0.01	0.19	0.01	-0.00
	Viento +Y exc.+	9.14	0.36	-3.02	0.22	-1.11	-0.00
	Viento +Y exc.-	9.78	0.07	-2.37	0.05	-0.88	-0.00
	Viento -Y exc.+	-9.14	-0.36	3.02	-0.22	1.11	0.00
	Viento -Y exc.-	-9.78	-0.07	2.37	-0.05	0.88	0.00
	Sismo X Modo 1	7.53	-0.83	0.76	-0.49	0.26	0.00
	Sismo X Modo 2	0.00	0.00	0.00	0.00	0.00	0.00
	Sismo X Modo 3	0.00	0.00	0.00	0.00	0.00	0.00
	Sismo X Modo 4	0.00	0.00	0.00	0.00	0.00	0.00
	Sismo X Modo 5	0.00	0.00	0.00	0.00	0.00	0.00
	Sismo X Modo 6	4.11	-0.07	-0.59	-0.04	-0.22	-0.00
	Sismo X Modo 7	0.14	0.01	-0.06	0.00	-0.02	-0.00
	Sismo X Modo 8	-0.83	0.41	-0.10	0.25	-0.04	-0.00
	Sismo X Modo 9	-0.20	0.02	-0.06	0.01	-0.02	-0.00
	Sismo X Modo 10	0.00	0.00	0.00	0.00	0.00	0.00
	Sismo Y Modo 1	2.34	-0.26	0.24	-0.15	0.08	0.00
	Sismo Y Modo 2	0.00	0.00	0.00	0.00	0.00	0.00
	Sismo Y Modo 3	0.00	0.00	0.00	0.00	0.00	0.00
	Sismo Y Modo 4	0.00	0.00	0.00	0.00	0.00	0.00
	Sismo Y Modo 5	0.00	0.00	0.00	0.00	0.00	0.00
	Sismo Y Modo 6	8.27	-0.13	-1.19	-0.08	-0.44	-0.00
	Sismo Y Modo 7	0.19	0.01	-0.09	0.01	-0.03	-0.00
	Sismo Y Modo 8	-0.01	0.00	-0.00	0.00	-0.00	-0.00
	Sismo Y Modo 9	-0.36	0.04	-0.11	0.03	-0.04	-0.00
	Sismo Y Modo 10	0.00	0.00	0.00	0.00	0.00	0.00
	Bomberos	0.04	-0.01	0.16	-0.01	0.07	0.00



Esfuerzos y armados de pilares, pantallas y muros

PARCELA R-20, SECTOR LA CATALANA, SANT ADRIA DE BESOS

Fecha: 22/03/18

Soporte	Hipótesis	Esfuerzos en arranques					
		N (t)	Mx (t·m)	My (t·m)	Qx (t)	Qy (t)	T (t·m)
P63	Peso propio	57.22	0.10	-0.73	0.13	-0.85	0.00
	Cargas muertas	103.97	0.02	-1.24	0.04	-1.31	0.00
	Sobrecarga de uso	29.02	0.05	-0.30	0.07	-0.44	0.00
	Viento +X exc.+	-4.07	-0.32	0.15	-0.18	0.11	0.00
	Viento +X exc.-	-3.49	-0.30	0.03	-0.17	0.03	0.00
	Viento -X exc.+	4.07	0.32	-0.15	0.18	-0.11	-0.00
	Viento -X exc.-	3.49	0.30	-0.03	0.17	-0.03	-0.00
	Viento +Y exc.+	13.92	0.36	-5.28	0.22	-3.34	-0.00
	Viento +Y exc.-	7.26	0.09	-3.98	0.07	-2.51	-0.00
	Viento -Y exc.+	-13.92	-0.36	5.28	-0.22	3.34	0.00
	Viento -Y exc.-	-7.26	-0.09	3.98	-0.07	2.51	0.00
	Sismo X Modo 1	-14.52	-0.77	1.57	-0.44	1.02	0.00
	Sismo X Modo 2	0.00	0.00	0.00	0.00	0.00	0.00
	Sismo X Modo 3	0.00	0.00	0.00	0.00	0.00	0.00
	Sismo X Modo 4	0.00	0.00	0.00	0.00	0.00	0.00
	Sismo X Modo 5	0.00	0.00	0.00	0.00	0.00	0.00
	Sismo X Modo 6	1.58	-0.05	-1.03	-0.03	-0.64	-0.00
	Sismo X Modo 7	1.28	0.01	-0.17	0.00	-0.10	-0.00
	Sismo X Modo 8	0.61	0.39	-0.22	0.23	-0.14	-0.00
	Sismo X Modo 9	-0.25	0.02	-0.12	0.01	-0.08	-0.00
	Sismo X Modo 10	0.00	0.00	0.00	0.00	0.00	0.00
	Sismo Y Modo 1	-4.51	-0.24	0.49	-0.14	0.32	0.00
	Sismo Y Modo 2	0.00	0.00	0.00	0.00	0.00	0.00
	Sismo Y Modo 3	0.00	0.00	0.00	0.00	0.00	0.00
	Sismo Y Modo 4	0.00	0.00	0.00	0.00	0.00	0.00
	Sismo Y Modo 5	0.00	0.00	0.00	0.00	0.00	0.00
	Sismo Y Modo 6	3.19	-0.11	-2.07	-0.06	-1.29	-0.00
	Sismo Y Modo 7	1.80	0.01	-0.23	0.00	-0.14	-0.00
	Sismo Y Modo 8	0.00	0.00	-0.00	0.00	-0.00	-0.00
	Sismo Y Modo 9	-0.46	0.04	-0.22	0.03	-0.14	-0.00
	Sismo Y Modo 10	0.00	0.00	0.00	0.00	0.00	0.00
	Bomberos	-0.01	-0.01	0.27	-0.01	0.18	0.00



Esfuerzos y armados de pilares, pantallas y muros

PARCELA R-20, SECTOR LA CATALANA, SANT ADRIA DE BESOS

Fecha: 22/03/18

Soporte	Hipótesis	Esfuerzos en arranques					
		N (t)	Mx (t·m)	My (t·m)	Qx (t)	Qy (t)	T (t·m)
P64	Peso propio	99.18	0.12	-0.43	0.22	-0.61	0.00
	Cargas muertas	111.17	0.16	-0.62	0.22	-0.72	0.00
	Sobrecarga de uso	38.21	0.15	-0.14	0.21	-0.34	0.00
	Viento +X exc.+	1.71	-0.79	0.13	-0.47	0.07	0.00
	Viento +X exc.-	1.96	-0.73	0.01	-0.44	0.01	0.00
	Viento -X exc.+	-1.71	0.79	-0.13	0.47	-0.07	-0.00
	Viento -X exc.-	-1.96	0.73	-0.01	0.44	-0.01	-0.00
	Viento +Y exc.+	12.94	0.74	-5.02	0.42	-2.74	-0.01
	Viento +Y exc.-	10.04	0.12	-3.69	0.07	-2.03	-0.00
	Viento -Y exc.+	-12.94	-0.74	5.02	-0.42	2.74	0.01
	Viento -Y exc.-	-10.04	-0.12	3.69	-0.07	2.03	0.00
	Sismo X Modo 1	0.04	-1.86	1.51	-1.09	0.81	0.00
	Sismo X Modo 2	0.00	0.00	0.00	0.00	0.00	0.00
	Sismo X Modo 3	0.00	0.00	0.00	0.00	0.00	0.00
	Sismo X Modo 4	0.00	0.00	0.00	0.00	0.00	0.00
	Sismo X Modo 5	0.00	0.00	0.00	0.00	0.00	0.00
	Sismo X Modo 6	4.07	-0.16	-1.00	-0.10	-0.54	-0.00
	Sismo X Modo 7	1.07	0.01	-0.20	0.00	-0.10	-0.00
	Sismo X Modo 8	0.15	0.93	-0.23	0.56	-0.13	-0.00
	Sismo X Modo 9	-0.26	0.05	-0.14	0.03	-0.08	-0.00
	Sismo X Modo 10	0.00	0.00	0.00	0.00	0.00	0.00
	Sismo Y Modo 1	0.01	-0.58	0.47	-0.34	0.25	0.00
	Sismo Y Modo 2	0.00	0.00	0.00	0.00	0.00	0.00
	Sismo Y Modo 3	0.00	0.00	0.00	0.00	0.00	0.00
	Sismo Y Modo 4	0.00	0.00	0.00	0.00	0.00	0.00
	Sismo Y Modo 5	0.00	0.00	0.00	0.00	0.00	0.00
	Sismo Y Modo 6	8.19	-0.33	-2.01	-0.20	-1.08	-0.00
	Sismo Y Modo 7	1.52	0.02	-0.28	0.00	-0.14	-0.00
	Sismo Y Modo 8	0.00	0.01	-0.00	0.00	-0.00	-0.00
	Sismo Y Modo 9	-0.47	0.10	-0.26	0.06	-0.14	-0.00
	Sismo Y Modo 10	0.00	0.00	0.00	0.00	0.00	0.00
	Bomberos	0.07	-0.03	0.27	-0.02	0.16	0.00



Esfuerzos y armados de pilares, pantallas y muros

PARCELA R-20, SECTOR LA CATALANA, SANT ADRIA DE BESOS

Fecha: 22/03/18

Soporte	Hipótesis	Esfuerzos en arranques					
		N (t)	Mx (t·m)	My (t·m)	Qx (t)	Qy (t)	T (t·m)
P65	Peso propio	65.23	-0.31	-0.28	-0.30	-0.38	0.00
	Cargas muertas	80.86	-0.24	-0.52	-0.24	-0.60	0.00
	Sobrecarga de uso	22.11	-0.25	-0.11	-0.25	-0.22	0.00
	Viento +X exc.+	3.07	-0.29	0.08	-0.17	0.05	0.00
	Viento +X exc.-	3.14	-0.27	0.01	-0.15	0.01	0.00
	Viento -X exc.+	-3.07	0.29	-0.08	0.17	-0.05	-0.00
	Viento -X exc.-	-3.14	0.27	-0.01	0.15	-0.01	-0.00
	Viento +Y exc.+	6.63	0.30	-2.75	0.18	-1.43	-0.00
	Viento +Y exc.-	5.84	0.06	-1.93	0.05	-1.02	-0.00
	Viento -Y exc.+	-6.63	-0.30	2.75	-0.18	1.43	0.00
	Viento -Y exc.-	-5.84	-0.06	1.93	-0.05	1.02	0.00
	Sismo X Modo 1	5.11	-0.69	0.89	-0.40	0.46	0.00
	Sismo X Modo 2	0.00	0.00	0.00	0.00	0.00	0.00
	Sismo X Modo 3	0.00	0.00	0.00	0.00	0.00	0.00
	Sismo X Modo 4	0.00	0.00	0.00	0.00	0.00	0.00
	Sismo X Modo 5	0.00	0.00	0.00	0.00	0.00	0.00
	Sismo X Modo 6	3.23	-0.05	-0.55	-0.03	-0.28	-0.00
	Sismo X Modo 7	0.86	0.01	-0.14	0.00	-0.06	-0.00
	Sismo X Modo 8	0.03	0.34	-0.15	0.20	-0.08	-0.00
	Sismo X Modo 9	-0.18	0.02	-0.09	0.01	-0.05	-0.00
	Sismo X Modo 10	0.00	0.00	0.00	0.00	0.00	0.00
	Sismo Y Modo 1	1.59	-0.21	0.28	-0.12	0.14	0.00
	Sismo Y Modo 2	0.00	0.00	0.00	0.00	0.00	0.00
	Sismo Y Modo 3	0.00	0.00	0.00	0.00	0.00	0.00
	Sismo Y Modo 4	0.00	0.00	0.00	0.00	0.00	0.00
	Sismo Y Modo 5	0.00	0.00	0.00	0.00	0.00	0.00
	Sismo Y Modo 6	6.50	-0.11	-1.11	-0.06	-0.57	-0.00
	Sismo Y Modo 7	1.22	0.01	-0.20	0.00	-0.09	-0.00
	Sismo Y Modo 8	0.00	0.00	-0.00	0.00	-0.00	-0.00
	Sismo Y Modo 9	-0.33	0.04	-0.17	0.02	-0.09	-0.00
	Sismo Y Modo 10	0.00	0.00	0.00	0.00	0.00	0.00
	Bomberos	0.07	-0.01	0.15	-0.01	0.09	0.00



Esfuerzos y armados de pilares, pantallas y muros

PARCELA R-20, SECTOR LA CATALANA, SANT ADRIA DE BESOS

Fecha: 22/03/18

Soporte	Hipótesis	Esfuerzos en arranques					
		N (t)	Mx (t·m)	My (t·m)	Qx (t)	Qy (t)	T (t·m)
P66	Peso propio	65.94	0.33	-0.41	0.33	-0.47	0.00
	Cargas muertas	78.85	0.27	-0.61	0.28	-0.65	0.00
	Sobrecarga de uso	32.02	0.22	-0.08	0.21	-0.17	0.00
	Viento +X exc.+	-3.74	-0.27	-0.13	-0.16	-0.07	0.00
	Viento +X exc.-	-3.73	-0.24	-0.07	-0.14	-0.05	0.00
	Viento -X exc.+	3.74	0.27	0.13	0.16	0.07	-0.00
	Viento -X exc.-	3.73	0.24	0.07	0.14	0.05	-0.00
	Viento +Y exc.+	4.84	0.14	-0.86	0.07	-0.39	-0.00
	Viento +Y exc.-	4.64	-0.13	-1.43	-0.09	-0.64	0.00
	Viento -Y exc.+	-4.84	-0.14	0.86	-0.07	0.39	0.00
	Viento -Y exc.-	-4.64	0.13	1.43	0.09	0.64	-0.00
	Sismo X Modo 1	0.00	0.00	0.00	0.00	0.00	0.00
	Sismo X Modo 2	-2.30	-0.32	-0.41	-0.19	-0.18	0.00
	Sismo X Modo 3	-3.93	-0.22	-0.18	-0.13	-0.10	-0.00
	Sismo X Modo 4	2.98	0.04	-0.32	0.02	-0.13	0.00
	Sismo X Modo 5	0.19	0.07	0.10	0.04	0.05	-0.00
	Sismo X Modo 6	0.00	0.00	0.00	0.00	0.00	0.00
	Sismo X Modo 7	0.00	0.00	0.00	0.00	0.00	0.00
	Sismo X Modo 8	0.00	0.00	0.00	0.00	0.00	0.00
	Sismo X Modo 9	0.00	0.00	0.00	0.00	0.00	0.00
	Sismo X Modo 10	0.45	-0.16	-0.01	-0.10	-0.01	-0.00
	Sismo Y Modo 1	0.00	0.00	0.00	0.00	0.00	0.00
	Sismo Y Modo 2	-0.79	-0.11	-0.14	-0.07	-0.06	0.00
	Sismo Y Modo 3	-3.09	-0.18	-0.14	-0.10	-0.08	-0.00
	Sismo Y Modo 4	5.33	0.08	-0.58	0.04	-0.24	0.00
	Sismo Y Modo 5	0.02	0.01	0.01	0.00	0.01	-0.00
	Sismo Y Modo 6	0.00	0.00	0.00	0.00	0.00	0.00
	Sismo Y Modo 7	0.00	0.00	0.00	0.00	0.00	0.00
	Sismo Y Modo 8	0.00	0.00	0.00	0.00	0.00	0.00
	Sismo Y Modo 9	0.00	0.00	0.00	0.00	0.00	0.00
	Sismo Y Modo 10	0.02	-0.01	-0.00	-0.01	-0.00	-0.00
	Bomberos	0.54	0.09	0.57	0.06	0.33	-0.00



Esfuerzos y armados de pilares, pantallas y muros

PARCELA R-20, SECTOR LA CATALANA, SANT ADRIA DE BESOS

Fecha: 22/03/18

Soporte	Hipótesis	Esfuerzos en arranques					
		N (t)	Mx (t·m)	My (t·m)	Qx (t)	Qy (t)	T (t·m)
P67	Peso propio	102.37	-0.01	-0.62	-0.08	-0.71	0.00
	Cargas muertas	110.04	-0.08	-0.76	-0.11	-0.81	0.00
	Sobrecarga de uso	57.04	0.13	-0.11	0.06	-0.28	0.00
	Viento +X exc.+	-1.42	-0.66	-0.18	-0.37	-0.08	0.00
	Viento +X exc.-	-1.69	-0.60	-0.10	-0.33	-0.05	0.00
	Viento -X exc.+	1.42	0.66	0.18	0.37	0.08	-0.00
	Viento -X exc.-	1.69	0.60	0.10	0.33	0.05	-0.00
	Viento +Y exc.+	9.06	0.41	-1.53	0.23	-0.56	-0.00
	Viento +Y exc.-	11.53	-0.21	-2.28	-0.11	-0.83	0.00
	Viento -Y exc.+	-9.06	-0.41	1.53	-0.23	0.56	0.00
	Viento -Y exc.-	-11.53	0.21	2.28	0.11	0.83	-0.00
	Sismo X Modo 1	0.00	0.00	0.00	0.00	0.00	0.00
	Sismo X Modo 2	1.10	-0.78	-0.52	-0.43	-0.19	0.00
	Sismo X Modo 3	-0.86	-0.55	-0.32	-0.30	-0.14	-0.00
	Sismo X Modo 4	4.07	0.14	-0.49	0.08	-0.16	0.00
	Sismo X Modo 5	0.06	0.17	0.13	0.10	0.05	-0.00
	Sismo X Modo 6	0.00	0.00	0.00	0.00	0.00	0.00
	Sismo X Modo 7	0.00	0.00	0.00	0.00	0.00	0.00
	Sismo X Modo 8	0.00	0.00	0.00	0.00	0.00	0.00
	Sismo X Modo 9	0.00	0.00	0.00	0.00	0.00	0.00
	Sismo X Modo 10	0.51	-0.41	-0.01	-0.23	-0.02	-0.00
	Sismo Y Modo 1	0.00	0.00	0.00	0.00	0.00	0.00
	Sismo Y Modo 2	0.38	-0.27	-0.18	-0.15	-0.06	0.00
	Sismo Y Modo 3	-0.67	-0.43	-0.25	-0.24	-0.11	-0.00
	Sismo Y Modo 4	7.29	0.24	-0.88	0.14	-0.28	0.00
	Sismo Y Modo 5	0.01	0.02	0.01	0.01	0.01	-0.00
	Sismo Y Modo 6	0.00	0.00	0.00	0.00	0.00	0.00
	Sismo Y Modo 7	0.00	0.00	0.00	0.00	0.00	0.00
	Sismo Y Modo 8	0.00	0.00	0.00	0.00	0.00	0.00
	Sismo Y Modo 9	0.00	0.00	0.00	0.00	0.00	0.00
	Sismo Y Modo 10	0.03	-0.02	-0.00	-0.01	-0.00	-0.00
	Bomberos	0.56	0.21	0.92	0.13	0.49	-0.00



Esfuerzos y armados de pilares, pantallas y muros

PARCELA R-20, SECTOR LA CATALANA, SANT ADRIA DE BESOS

Fecha: 22/03/18

Soporte	Hipótesis	Esfuerzos en arranques					
		N (t)	Mx (t·m)	My (t·m)	Qx (t)	Qy (t)	T (t·m)
P68	Peso propio	56.38	-0.13	-0.53	-0.18	-0.63	0.00
	Cargas muertas	102.38	-0.14	-0.69	-0.16	-0.74	0.00
	Sobrecarga de uso	33.21	-0.04	-0.05	-0.08	-0.23	0.00
	Viento +X exc.+	4.71	-0.31	-0.14	-0.17	-0.06	0.00
	Viento +X exc.-	4.04	-0.28	-0.08	-0.15	-0.05	0.00
	Viento -X exc.+	-4.71	0.31	0.14	0.17	0.06	-0.00
	Viento -X exc.-	-4.04	0.28	0.08	0.15	0.05	-0.00
	Viento +Y exc.+	7.03	0.17	-1.25	0.08	-0.17	-0.00
	Viento +Y exc.-	13.16	-0.12	-1.75	-0.07	-0.25	0.00
	Viento -Y exc.+	-7.03	-0.17	1.25	-0.08	0.17	0.00
	Viento -Y exc.-	-13.16	0.12	1.75	0.07	0.25	-0.00
	Sismo X Modo 1	0.00	0.00	0.00	0.00	0.00	0.00
	Sismo X Modo 2	7.40	-0.36	-0.35	-0.20	-0.07	0.00
	Sismo X Modo 3	5.38	-0.26	-0.29	-0.14	-0.09	-0.00
	Sismo X Modo 4	2.29	0.06	-0.36	0.03	-0.02	0.00
	Sismo X Modo 5	0.12	0.08	0.09	0.05	0.02	-0.00
	Sismo X Modo 6	0.00	0.00	0.00	0.00	0.00	0.00
	Sismo X Modo 7	0.00	0.00	0.00	0.00	0.00	0.00
	Sismo X Modo 8	0.00	0.00	0.00	0.00	0.00	0.00
	Sismo X Modo 9	0.00	0.00	0.00	0.00	0.00	0.00
	Sismo X Modo 10	0.64	-0.19	-0.02	-0.11	-0.02	-0.00
	Sismo Y Modo 1	0.00	0.00	0.00	0.00	0.00	0.00
	Sismo Y Modo 2	2.53	-0.12	-0.12	-0.07	-0.02	0.00
	Sismo Y Modo 3	4.23	-0.20	-0.22	-0.11	-0.07	-0.00
	Sismo Y Modo 4	4.09	0.10	-0.64	0.05	-0.04	0.00
	Sismo Y Modo 5	0.01	0.01	0.01	0.00	0.00	-0.00
	Sismo Y Modo 6	0.00	0.00	0.00	0.00	0.00	0.00
	Sismo Y Modo 7	0.00	0.00	0.00	0.00	0.00	0.00
	Sismo Y Modo 8	0.00	0.00	0.00	0.00	0.00	0.00
	Sismo Y Modo 9	0.00	0.00	0.00	0.00	0.00	0.00
	Sismo Y Modo 10	0.03	-0.01	-0.00	-0.01	-0.00	-0.00
	Bomberos	-0.19	0.10	0.76	0.06	0.33	-0.00



Esfuerzos y armados de pilares, pantallas y muros

PARCELA R-20, SECTOR LA CATALANA, SANT ADRIA DE BESOS

Fecha: 22/03/18

Soporte	Hipótesis	Esfuerzos en arranques					
		N (t)	Mx (t·m)	My (t·m)	Qx (t)	Qy (t)	T (t·m)
P69	Peso propio	55.81	0.23	-0.60	0.21	-0.71	0.00
	Cargas muertas	101.18	0.06	-0.69	0.05	-0.76	0.00
	Sobrecarga de uso	29.62	0.19	-0.13	0.17	-0.32	0.00
	Viento +X exc.+	-4.23	-0.33	-0.09	-0.19	-0.03	0.00
	Viento +X exc.-	-4.19	-0.30	-0.04	-0.17	-0.01	0.00
	Viento -X exc.+	4.23	0.33	0.09	0.19	0.03	-0.00
	Viento -X exc.-	4.19	0.30	0.04	0.17	0.01	-0.00
	Viento +Y exc.+	10.38	0.19	-1.51	0.11	-0.41	-0.00
	Viento +Y exc.-	9.80	-0.11	-1.96	-0.06	-0.53	0.00
	Viento -Y exc.+	-10.38	-0.19	1.51	-0.11	0.41	0.00
	Viento -Y exc.-	-9.80	0.11	1.96	0.06	0.53	-0.00
	Sismo X Modo 1	0.00	0.00	0.00	0.00	0.00	0.00
	Sismo X Modo 2	-3.09	-0.38	-0.28	-0.22	-0.07	0.00
	Sismo X Modo 3	-3.17	-0.27	-0.30	-0.16	-0.08	-0.00
	Sismo X Modo 4	4.32	0.07	-0.41	0.04	-0.10	0.00
	Sismo X Modo 5	0.38	0.08	0.07	0.05	0.02	-0.00
	Sismo X Modo 6	0.00	0.00	0.00	0.00	0.00	0.00
	Sismo X Modo 7	0.00	0.00	0.00	0.00	0.00	0.00
	Sismo X Modo 8	0.00	0.00	0.00	0.00	0.00	0.00
	Sismo X Modo 9	0.00	0.00	0.00	0.00	0.00	0.00
	Sismo X Modo 10	-0.43	-0.20	-0.00	-0.12	-0.01	-0.00
	Sismo Y Modo 1	0.00	0.00	0.00	0.00	0.00	0.00
	Sismo Y Modo 2	-1.06	-0.13	-0.10	-0.08	-0.02	0.00
	Sismo Y Modo 3	-2.49	-0.21	-0.23	-0.12	-0.06	-0.00
	Sismo Y Modo 4	7.73	0.12	-0.74	0.07	-0.18	0.00
	Sismo Y Modo 5	0.04	0.01	0.01	0.01	0.00	-0.00
	Sismo Y Modo 6	0.00	0.00	0.00	0.00	0.00	0.00
	Sismo Y Modo 7	0.00	0.00	0.00	0.00	0.00	0.00
	Sismo Y Modo 8	0.00	0.00	0.00	0.00	0.00	0.00
	Sismo Y Modo 9	0.00	0.00	0.00	0.00	0.00	0.00
	Sismo Y Modo 10	-0.02	-0.01	-0.00	-0.01	-0.00	-0.00
	Bomberos	0.20	0.10	0.74	0.06	0.35	-0.00



Esfuerzos y armados de pilares, pantallas y muros

PARCELA R-20, SECTOR LA CATALANA, SANT ADRIA DE BESOS

Fecha: 22/03/18

Soporte	Hipótesis	Esfuerzos en arranques					
		N (t)	Mx (t·m)	My (t·m)	Qx (t)	Qy (t)	T (t·m)
P70	Peso propio	95.97	0.29	-0.64	0.23	-0.79	0.00
	Cargas muertas	103.98	0.05	-0.35	0.02	-0.39	0.00
	Sobrecarga de uso	39.25	0.30	-0.09	0.23	-0.41	0.00
	Viento +X exc.+	0.66	-0.85	-0.13	-0.49	-0.05	0.00
	Viento +X exc.-	0.40	-0.76	-0.06	-0.44	-0.03	0.00
	Viento -X exc.+	-0.66	0.85	0.13	0.49	0.05	-0.00
	Viento -X exc.-	-0.40	0.76	0.06	0.44	0.03	-0.00
	Viento +Y exc.+	6.99	0.52	-2.96	0.31	-0.94	-0.00
	Viento +Y exc.-	9.17	-0.26	-3.59	-0.14	-1.15	0.00
	Viento -Y exc.+	-6.99	-0.52	2.96	-0.31	0.94	0.00
	Viento -Y exc.-	-9.17	0.26	3.59	0.14	1.15	-0.00
	Sismo X Modo 1	0.00	0.00	0.00	0.00	0.00	0.00
	Sismo X Modo 2	1.88	-0.99	-0.36	-0.57	-0.12	0.01
	Sismo X Modo 3	1.41	-0.70	-0.60	-0.40	-0.19	-0.00
	Sismo X Modo 4	2.54	0.18	-0.73	0.10	-0.21	0.00
	Sismo X Modo 5	0.62	0.22	0.10	0.13	0.04	-0.00
	Sismo X Modo 6	0.00	0.00	0.00	0.00	0.00	0.00
	Sismo X Modo 7	0.00	0.00	0.00	0.00	0.00	0.00
	Sismo X Modo 8	0.00	0.00	0.00	0.00	0.00	0.00
	Sismo X Modo 9	0.00	0.00	0.00	0.00	0.00	0.00
	Sismo X Modo 10	-0.79	-0.52	-0.01	-0.31	-0.01	-0.00
	Sismo Y Modo 1	0.00	0.00	0.00	0.00	0.00	0.00
	Sismo Y Modo 2	0.64	-0.34	-0.12	-0.19	-0.04	0.00
	Sismo Y Modo 3	1.11	-0.55	-0.47	-0.32	-0.15	-0.00
	Sismo Y Modo 4	4.54	0.32	-1.31	0.19	-0.38	0.00
	Sismo Y Modo 5	0.07	0.02	0.01	0.01	0.00	-0.00
	Sismo Y Modo 6	0.00	0.00	0.00	0.00	0.00	0.00
	Sismo Y Modo 7	0.00	0.00	0.00	0.00	0.00	0.00
	Sismo Y Modo 8	0.00	0.00	0.00	0.00	0.00	0.00
	Sismo Y Modo 9	0.00	0.00	0.00	0.00	0.00	0.00
	Sismo Y Modo 10	-0.04	-0.03	-0.00	-0.02	-0.00	-0.00
	Bomberos	0.52	0.25	1.29	0.15	0.64	-0.00



Esfuerzos y armados de pilares, pantallas y muros

PARCELA R-20, SECTOR LA CATALANA, SANT ADRIA DE BESOS

Fecha: 22/03/18

Soporte	Hipótesis	Esfuerzos en arranques					
		N (t)	Mx (t·m)	My (t·m)	Qx (t)	Qy (t)	T (t·m)
P71	Peso propio	128.72	0.34	-0.91	0.26	-1.08	0.00
	Cargas muertas	130.71	0.09	-0.41	0.05	-0.48	0.00
	Sobrecarga de uso	49.25	0.37	-0.24	0.28	-0.53	0.00
	Viento +X exc.+	1.11	-1.02	-0.04	-0.55	-0.01	0.00
	Viento +X exc.-	0.94	-0.92	-0.02	-0.50	-0.00	0.00
	Viento -X exc.+	-1.11	1.02	0.04	0.55	0.01	-0.00
	Viento -X exc.-	-0.94	0.92	0.02	0.50	0.00	-0.00
	Viento +Y exc.+	7.25	0.59	-2.63	0.31	-0.83	-0.00
	Viento +Y exc.-	8.86	-0.34	-2.91	-0.18	-0.92	0.00
	Viento -Y exc.+	-7.25	-0.59	2.63	-0.31	0.83	0.00
	Viento -Y exc.-	-8.86	0.34	2.91	0.18	0.92	-0.00
	Sismo X Modo 1	0.00	0.00	0.00	0.00	0.00	0.00
	Sismo X Modo 2	1.57	-1.18	-0.10	-0.63	-0.04	0.01
	Sismo X Modo 3	2.71	-0.86	-0.54	-0.47	-0.16	-0.00
	Sismo X Modo 4	1.90	0.21	-0.57	0.12	-0.17	0.00
	Sismo X Modo 5	-0.05	0.26	0.04	0.14	0.01	-0.00
	Sismo X Modo 6	0.00	0.00	0.00	0.00	0.00	0.00
	Sismo X Modo 7	0.00	0.00	0.00	0.00	0.00	0.00
	Sismo X Modo 8	0.00	0.00	0.00	0.00	0.00	0.00
	Sismo X Modo 9	0.00	0.00	0.00	0.00	0.00	0.00
	Sismo X Modo 10	0.19	-0.62	-0.01	-0.34	-0.00	-0.00
	Sismo Y Modo 1	0.00	0.00	0.00	0.00	0.00	0.00
	Sismo Y Modo 2	0.54	-0.40	-0.04	-0.21	-0.01	0.00
	Sismo Y Modo 3	2.12	-0.67	-0.42	-0.37	-0.12	-0.00
	Sismo Y Modo 4	3.40	0.38	-1.02	0.21	-0.31	0.00
	Sismo Y Modo 5	-0.01	0.03	0.00	0.01	0.00	-0.00
	Sismo Y Modo 6	0.00	0.00	0.00	0.00	0.00	0.00
	Sismo Y Modo 7	0.00	0.00	0.00	0.00	0.00	0.00
	Sismo Y Modo 8	0.00	0.00	0.00	0.00	0.00	0.00
	Sismo Y Modo 9	0.00	0.00	0.00	0.00	0.00	0.00
	Sismo Y Modo 10	0.01	-0.03	-0.00	-0.02	-0.00	-0.00
	Bomberos	0.31	0.30	0.97	0.17	0.47	-0.00



Esfuerzos y armados de pilares, pantallas y muros

PARCELA R-20, SECTOR LA CATALANA, SANT ADRIA DE BESOS

Fecha: 22/03/18

Soporte	Hipótesis	Esfuerzos en arranques					
		N (t)	Mx (t·m)	My (t·m)	Qx (t)	Qy (t)	T (t·m)
P72	Peso propio	99.23	-0.02	-0.90	-0.11	-1.09	0.00
	Cargas muertas	105.61	0.18	-0.48	0.16	-0.59	0.00
	Sobrecarga de uso	43.00	-0.02	-0.12	-0.12	-0.45	0.00
	Viento +X exc.+	-1.98	-0.83	0.04	-0.47	0.02	0.00
	Viento +X exc.-	-1.81	-0.75	0.03	-0.42	0.02	0.00
	Viento -X exc.+	1.98	0.83	-0.04	0.47	-0.02	-0.00
	Viento -X exc.-	1.81	0.75	-0.03	0.42	-0.02	-0.00
	Viento +Y exc.+	9.68	0.52	-3.21	0.30	-0.92	-0.00
	Viento +Y exc.-	8.35	-0.26	-3.12	-0.14	-0.89	0.00
	Viento -Y exc.+	-9.68	-0.52	3.21	-0.30	0.92	0.00
	Viento -Y exc.-	-8.35	0.26	3.12	0.14	0.89	-0.00
	Sismo X Modo 1	0.00	0.00	0.00	0.00	0.00	0.00
	Sismo X Modo 2	-2.58	-0.98	0.20	-0.55	0.06	0.01
	Sismo X Modo 3	0.88	-0.68	-0.66	-0.38	-0.16	-0.00
	Sismo X Modo 4	2.45	0.17	-0.57	0.10	-0.16	0.00
	Sismo X Modo 5	-0.15	0.21	-0.03	0.12	-0.01	-0.00
	Sismo X Modo 6	0.00	0.00	0.00	0.00	0.00	0.00
	Sismo X Modo 7	0.00	0.00	0.00	0.00	0.00	0.00
	Sismo X Modo 8	0.00	0.00	0.00	0.00	0.00	0.00
	Sismo X Modo 9	0.00	0.00	0.00	0.00	0.00	0.00
	Sismo X Modo 10	0.23	-0.51	-0.02	-0.29	-0.00	-0.00
	Sismo Y Modo 1	0.00	0.00	0.00	0.00	0.00	0.00
	Sismo Y Modo 2	-0.88	-0.33	0.07	-0.19	0.02	0.00
	Sismo Y Modo 3	0.69	-0.54	-0.52	-0.30	-0.12	-0.00
	Sismo Y Modo 4	4.39	0.30	-1.02	0.18	-0.28	0.00
	Sismo Y Modo 5	-0.02	0.02	-0.00	0.01	-0.00	-0.00
	Sismo Y Modo 6	0.00	0.00	0.00	0.00	0.00	0.00
	Sismo Y Modo 7	0.00	0.00	0.00	0.00	0.00	0.00
	Sismo Y Modo 8	0.00	0.00	0.00	0.00	0.00	0.00
	Sismo Y Modo 9	0.00	0.00	0.00	0.00	0.00	0.00
	Sismo Y Modo 10	0.01	-0.03	-0.00	-0.02	-0.00	-0.00
	Bomberos	0.45	0.26	0.97	0.16	0.46	-0.00



Esfuerzos y armados de pilares, pantallas y muros

PARCELA R-20, SECTOR LA CATALANA, SANT ADRIA DE BESOS

Fecha: 22/03/18

Soporte	Hipótesis	Esfuerzos en arranques					
		N (t)	Mx (t·m)	My (t·m)	Qx (t)	Qy (t)	T (t·m)
P73	Peso propio	48.94	-0.09	-0.37	-0.13	-0.46	0.00
	Cargas muertas	90.74	-0.04	-0.30	-0.05	-0.38	0.00
	Sobrecarga de uso	29.32	0.02	0.18	-0.02	0.02	0.00
	Viento +X exc.+	4.76	-0.33	0.04	-0.19	0.01	0.00
	Viento +X exc.-	4.48	-0.30	0.03	-0.17	0.01	0.00
	Viento -X exc.+	-4.76	0.33	-0.04	0.19	-0.01	-0.00
	Viento -X exc.-	-4.48	0.30	-0.03	0.17	-0.01	-0.00
	Viento +Y exc.+	8.36	0.21	-1.64	0.12	-0.27	-0.00
	Viento +Y exc.-	11.20	-0.10	-1.48	-0.05	-0.24	0.00
	Viento -Y exc.+	-8.36	-0.21	1.64	-0.12	0.27	0.00
	Viento -Y exc.-	-11.20	0.10	1.48	0.05	0.24	-0.00
	Sismo X Modo 1	0.00	0.00	0.00	0.00	0.00	0.00
	Sismo X Modo 2	4.61	-0.39	0.19	-0.22	0.03	0.00
	Sismo X Modo 3	7.83	-0.27	-0.34	-0.16	-0.04	-0.00
	Sismo X Modo 4	0.70	0.07	-0.25	0.04	-0.03	0.00
	Sismo X Modo 5	-0.13	0.09	-0.04	0.05	-0.01	-0.00
	Sismo X Modo 6	0.00	0.00	0.00	0.00	0.00	0.00
	Sismo X Modo 7	0.00	0.00	0.00	0.00	0.00	0.00
	Sismo X Modo 8	0.00	0.00	0.00	0.00	0.00	0.00
	Sismo X Modo 9	0.00	0.00	0.00	0.00	0.00	0.00
	Sismo X Modo 10	-0.09	-0.21	-0.01	-0.12	0.01	-0.00
	Sismo Y Modo 1	0.00	0.00	0.00	0.00	0.00	0.00
	Sismo Y Modo 2	1.58	-0.13	0.06	-0.08	0.01	0.00
	Sismo Y Modo 3	6.15	-0.21	-0.27	-0.12	-0.03	-0.00
	Sismo Y Modo 4	1.25	0.12	-0.46	0.07	-0.06	0.00
	Sismo Y Modo 5	-0.01	0.01	-0.00	0.01	-0.00	-0.00
	Sismo Y Modo 6	0.00	0.00	0.00	0.00	0.00	0.00
	Sismo Y Modo 7	0.00	0.00	0.00	0.00	0.00	0.00
	Sismo Y Modo 8	0.00	0.00	0.00	0.00	0.00	0.00
	Sismo Y Modo 9	0.00	0.00	0.00	0.00	0.00	0.00
	Sismo Y Modo 10	-0.00	-0.01	-0.00	-0.01	0.00	-0.00
	Bomberos	-0.35	0.10	0.46	0.06	0.20	-0.00



Esfuerzos y armados de pilares, pantallas y muros

PARCELA R-20, SECTOR LA CATALANA, SANT ADRIA DE BESOS

Fecha: 22/03/18

Soporte	Hipótesis	Esfuerzos en arranques					
		N (t)	Mx (t·m)	My (t·m)	Qx (t)	Qy (t)	T (t·m)
P75	Peso propio	115.63	6.22	-2.58	6.15	-2.92	-0.00
	Cargas muertas	121.76	5.28	-2.61	5.46	-2.86	0.00
	Sobrecarga de uso	68.73	3.53	-2.84	3.37	-3.35	-0.00
	Viento +X exc.+	5.98	-5.60	0.33	-3.26	0.17	0.00
	Viento +X exc.-	5.78	-5.05	0.08	-2.93	0.02	0.00
	Viento -X exc.+	-5.98	5.60	-0.33	3.26	-0.17	-0.00
	Viento -X exc.-	-5.78	5.05	-0.08	2.93	-0.02	-0.00
	Viento +Y exc.+	10.69	3.93	-13.85	2.58	-8.65	-0.02
	Viento +Y exc.-	12.82	-1.50	-11.37	-0.68	-7.14	0.01
	Viento -Y exc.+	-10.69	-3.93	13.85	-2.58	8.65	0.02
	Viento -Y exc.-	-12.82	1.50	11.37	0.68	7.14	-0.01
	Sismo X Modo 1	0.00	0.00	0.00	0.00	0.00	0.00
	Sismo X Modo 2	4.50	-6.84	2.38	-4.04	1.42	0.02
	Sismo X Modo 3	10.63	-4.46	-3.58	-2.46	-2.26	-0.01
	Sismo X Modo 4	0.30	1.18	-1.79	0.71	-1.11	0.01
	Sismo X Modo 5	-0.16	1.41	-0.44	0.86	-0.28	-0.00
	Sismo X Modo 6	0.00	0.00	0.00	0.00	0.00	0.00
	Sismo X Modo 7	0.00	0.00	0.00	0.00	0.00	0.00
	Sismo X Modo 8	0.00	0.00	0.00	0.00	0.00	0.00
	Sismo X Modo 9	0.00	0.00	0.00	0.00	0.00	0.00
	Sismo X Modo 10	-0.95	-3.36	-0.19	-2.05	-0.09	-0.00
	Sismo Y Modo 1	0.00	0.00	0.00	0.00	0.00	0.00
	Sismo Y Modo 2	1.54	-2.34	0.82	-1.38	0.49	0.01
	Sismo Y Modo 3	8.35	-3.50	-2.81	-1.93	-1.77	-0.01
	Sismo Y Modo 4	0.54	2.12	-3.20	1.26	-1.99	0.01
	Sismo Y Modo 5	-0.02	0.15	-0.05	0.09	-0.03	-0.00
	Sismo Y Modo 6	0.00	0.00	0.00	0.00	0.00	0.00
	Sismo Y Modo 7	0.00	0.00	0.00	0.00	0.00	0.00
	Sismo Y Modo 8	0.00	0.00	0.00	0.00	0.00	0.00
	Sismo Y Modo 9	0.00	0.00	0.00	0.00	0.00	0.00
	Sismo Y Modo 10	-0.05	-0.18	-0.01	-0.11	-0.00	-0.00
	Bomberos	-0.15	1.36	1.73	0.84	1.16	-0.01



Esfuerzos y armados de pilares, pantallas y muros

PARCELA R-20, SECTOR LA CATALANA, SANT ADRIA DE BESOS

Fecha: 22/03/18

Soporte	Hipótesis	Esfuerzos en arranques					
		N (t)	Mx (t·m)	My (t·m)	Qx (t)	Qy (t)	T (t·m)
P76	Peso propio	152.97	-1.43	-0.67	-2.01	-0.89	-0.00
	Cargas muertas	147.78	-1.57	-0.28	-1.94	-0.40	0.00
	Sobrecarga de uso	66.56	-0.99	-0.18	-1.41	-0.50	-0.00
	Viento +X exc.+	-0.90	-3.71	0.88	-2.17	0.59	0.00
	Viento +X exc.-	-0.30	-3.36	0.37	-1.96	0.26	0.00
	Viento -X exc.+	0.90	3.71	-0.88	2.17	-0.59	-0.00
	Viento -X exc.-	0.30	3.36	-0.37	1.96	-0.26	-0.00
	Viento +Y exc.+	20.20	2.14	-17.68	1.27	-11.05	-0.02
	Viento +Y exc.-	14.91	-1.26	-12.64	-0.78	-7.91	0.01
	Viento -Y exc.+	-20.20	-2.14	17.68	-1.27	11.05	0.02
	Viento -Y exc.-	-14.91	1.26	12.64	0.78	7.91	-0.01
	Sismo X Modo 1	0.00	0.00	0.00	0.00	0.00	0.00
	Sismo X Modo 2	-6.11	-4.36	4.57	-2.57	2.86	0.02
	Sismo X Modo 3	6.91	-3.16	-4.63	-1.82	-2.83	-0.01
	Sismo X Modo 4	2.29	0.76	-1.72	0.42	-1.10	0.01
	Sismo X Modo 5	-0.49	0.90	-0.82	0.54	-0.52	-0.00
	Sismo X Modo 6	0.00	0.00	0.00	0.00	0.00	0.00
	Sismo X Modo 7	0.00	0.00	0.00	0.00	0.00	0.00
	Sismo X Modo 8	0.00	0.00	0.00	0.00	0.00	0.00
	Sismo X Modo 9	0.00	0.00	0.00	0.00	0.00	0.00
	Sismo X Modo 10	-0.35	-2.11	-0.36	-1.22	-0.20	-0.00
	Sismo Y Modo 1	0.00	0.00	0.00	0.00	0.00	0.00
	Sismo Y Modo 2	-2.09	-1.49	1.57	-0.88	0.98	0.01
	Sismo Y Modo 3	5.43	-2.48	-3.64	-1.43	-2.22	-0.01
	Sismo Y Modo 4	4.10	1.37	-3.09	0.75	-1.96	0.01
	Sismo Y Modo 5	-0.05	0.10	-0.09	0.06	-0.05	-0.00
	Sismo Y Modo 6	0.00	0.00	0.00	0.00	0.00	0.00
	Sismo Y Modo 7	0.00	0.00	0.00	0.00	0.00	0.00
	Sismo Y Modo 8	0.00	0.00	0.00	0.00	0.00	0.00
	Sismo Y Modo 9	0.00	0.00	0.00	0.00	0.00	0.00
	Sismo Y Modo 10	-0.02	-0.11	-0.02	-0.07	-0.01	-0.00
	Bomberos	-0.20	0.88	1.55	0.55	1.01	-0.01



Esfuerzos y armados de pilares, pantallas y muros

PARCELA R-20, SECTOR LA CATALANA, SANT ADRIA DE BESOS

Fecha: 22/03/18

Soporte	Hipótesis	Esfuerzos en arranques					
		N (t)	Mx (t·m)	My (t·m)	Qx (t)	Qy (t)	T (t·m)
PAN1	Peso propio	138.76	0.61	0.72	0.60	0.22	0.00
	Cargas muertas	128.92	0.62	0.95	0.60	0.58	0.00
	Sobrecarga de uso	45.35	0.21	1.54	0.20	0.57	0.00
	Viento +X exc.+	-3.24	-0.37	-0.41	-0.24	-0.17	0.00
	Viento +X exc.-	-3.23	-0.36	-0.33	-0.23	-0.20	0.00
	Viento -X exc.+	3.24	0.37	0.41	0.24	0.17	-0.00
	Viento -X exc.-	3.23	0.36	0.33	0.23	0.20	-0.00
	Viento +Y exc.+	1.59	0.04	-35.05	-0.01	-6.10	-0.01
	Viento +Y exc.-	1.47	-0.09	-35.85	-0.09	-5.64	-0.00
	Viento -Y exc.+	-1.59	-0.04	35.05	0.01	6.10	0.01
	Viento -Y exc.-	-1.47	0.09	35.85	0.09	5.64	0.00
	Sismo X Modo 1	-7.41	-0.76	2.55	-0.48	0.54	0.00
	Sismo X Modo 2	0.00	0.00	0.00	0.00	0.00	0.00
	Sismo X Modo 3	0.00	0.00	0.00	0.00	0.00	0.00
	Sismo X Modo 4	0.00	0.00	0.00	0.00	0.00	0.00
	Sismo X Modo 5	0.00	0.00	0.00	0.00	0.00	0.00
	Sismo X Modo 6	-1.57	-0.16	-6.26	-0.10	-1.09	-0.00
	Sismo X Modo 7	-0.96	-0.04	2.47	-0.02	0.02	-0.00
	Sismo X Modo 8	-2.99	0.40	0.58	0.25	0.15	-0.00
	Sismo X Modo 9	-0.10	0.00	0.77	0.00	0.12	-0.00
	Sismo X Modo 10	0.00	0.00	0.00	0.00	0.00	0.00
	Sismo Y Modo 1	-2.30	-0.24	0.79	-0.15	0.17	0.00
	Sismo Y Modo 2	0.00	0.00	0.00	0.00	0.00	0.00
	Sismo Y Modo 3	0.00	0.00	0.00	0.00	0.00	0.00
	Sismo Y Modo 4	0.00	0.00	0.00	0.00	0.00	0.00
	Sismo Y Modo 5	0.00	0.00	0.00	0.00	0.00	0.00
	Sismo Y Modo 6	-3.16	-0.32	-12.60	-0.21	-2.19	-0.00
	Sismo Y Modo 7	-1.35	-0.06	3.50	-0.03	0.02	-0.00
	Sismo Y Modo 8	-0.02	0.00	0.00	0.00	0.00	-0.00
	Sismo Y Modo 9	-0.18	0.00	1.41	0.00	0.22	-0.00
	Sismo Y Modo 10	0.00	0.00	0.00	0.00	0.00	0.00
	Bomberos	-0.19	0.00	1.48	0.00	0.47	0.00



Esfuerzos y armados de pilares, pantallas y muros

PARCELA R-20, SECTOR LA CATALANA, SANT ADRIA DE BESOS

Fecha: 22/03/18

Soporte	Hipótesis	Esfuerzos en arranques					
		N (t)	Mx (t·m)	My (t·m)	Qx (t)	Qy (t)	T (t·m)
PAN2	Peso propio	135.20	-0.04	1.52	-0.02	1.18	0.00
	Cargas muertas	114.21	-0.11	1.60	-0.09	1.49	0.00
	Sobrecarga de uso	43.25	0.02	2.13	0.02	1.19	0.00
	Viento +X exc.+	2.06	-0.32	-0.22	-0.18	-0.07	0.00
	Viento +X exc.-	2.08	-0.31	-0.25	-0.18	-0.12	0.00
	Viento -X exc.+	-2.06	0.32	0.22	0.18	0.07	-0.00
	Viento -X exc.-	-2.08	0.31	0.25	0.18	0.12	-0.00
	Viento +Y exc.+	1.87	0.19	-35.53	0.15	-4.64	-0.01
	Viento +Y exc.-	1.56	0.08	-35.03	0.07	-3.97	-0.00
	Viento -Y exc.+	-1.87	-0.19	35.53	-0.15	4.64	0.01
	Viento -Y exc.-	-1.56	-0.08	35.03	-0.07	3.97	0.00
	Sismo X Modo 1	4.07	-0.66	3.67	-0.39	0.68	0.00
	Sismo X Modo 2	0.00	0.00	0.00	0.00	0.00	0.00
	Sismo X Modo 3	0.00	0.00	0.00	0.00	0.00	0.00
	Sismo X Modo 4	0.00	0.00	0.00	0.00	0.00	0.00
	Sismo X Modo 5	0.00	0.00	0.00	0.00	0.00	0.00
	Sismo X Modo 6	1.39	-0.10	-6.41	-0.05	-0.80	-0.00
	Sismo X Modo 7	0.66	-0.04	2.01	-0.03	-0.13	-0.00
	Sismo X Modo 8	2.25	0.38	0.30	0.22	0.05	-0.00
	Sismo X Modo 9	-0.19	-0.00	0.56	-0.00	0.05	-0.00
	Sismo X Modo 10	0.00	0.00	0.00	0.00	0.00	0.00
	Sismo Y Modo 1	1.26	-0.21	1.14	-0.12	0.21	0.00
	Sismo Y Modo 2	0.00	0.00	0.00	0.00	0.00	0.00
	Sismo Y Modo 3	0.00	0.00	0.00	0.00	0.00	0.00
	Sismo Y Modo 4	0.00	0.00	0.00	0.00	0.00	0.00
	Sismo Y Modo 5	0.00	0.00	0.00	0.00	0.00	0.00
	Sismo Y Modo 6	2.80	-0.20	-12.91	-0.10	-1.62	-0.00
	Sismo Y Modo 7	0.93	-0.06	2.84	-0.04	-0.18	-0.00
	Sismo Y Modo 8	0.02	0.00	0.00	0.00	0.00	-0.00
	Sismo Y Modo 9	-0.34	-0.00	1.02	-0.00	0.09	-0.00
	Sismo Y Modo 10	0.00	0.00	0.00	0.00	0.00	0.00
	Bomberos	-0.40	0.00	1.55	0.00	0.43	0.00



Esfuerzos y armados de pilares, pantallas y muros

PARCELA R-20, SECTOR LA CATALANA, SANT ADRIA DE BESOS

Fecha: 22/03/18

Soporte	Hipótesis	Esfuerzos en arranques					
		N (t)	Mx (t·m)	My (t·m)	Qx (t)	Qy (t)	T (t·m)
PAN3	Peso propio	148.52	-0.34	3.10	-0.30	1.68	0.00
	Cargas muertas	126.72	-0.15	1.87	-0.13	1.61	0.00
	Sobrecarga de uso	50.69	-0.27	3.90	-0.25	1.69	0.00
	Viento +X exc.+	-4.17	-0.32	1.07	-0.19	0.24	0.00
	Viento +X exc.-	-3.96	-0.31	0.08	-0.18	0.11	0.00
	Viento -X exc.+	4.17	0.32	-1.07	0.19	-0.24	-0.00
	Viento -X exc.-	3.96	0.31	-0.08	0.18	-0.11	-0.00
	Viento +Y exc.+	10.65	0.03	-50.37	-0.01	-7.32	-0.01
	Viento +Y exc.-	8.33	-0.07	-39.20	-0.07	-5.83	-0.00
	Viento -Y exc.+	-10.65	-0.03	50.37	0.01	7.32	0.01
	Viento -Y exc.-	-8.33	0.07	39.20	0.07	5.83	0.00
	Sismo X Modo 1	-11.34	-0.65	13.49	-0.37	1.96	0.00
	Sismo X Modo 2	0.00	0.00	0.00	0.00	0.00	0.00
	Sismo X Modo 3	0.00	0.00	0.00	0.00	0.00	0.00
	Sismo X Modo 4	0.00	0.00	0.00	0.00	0.00	0.00
	Sismo X Modo 5	0.00	0.00	0.00	0.00	0.00	0.00
	Sismo X Modo 6	0.02	-0.14	-9.80	-0.09	-1.27	-0.00
	Sismo X Modo 7	-0.90	-0.04	-1.12	-0.02	-0.04	-0.00
	Sismo X Modo 8	-2.07	0.37	-1.86	0.22	-0.40	-0.00
	Sismo X Modo 9	0.31	-0.00	-1.04	-0.00	-0.19	-0.00
	Sismo X Modo 10	0.00	0.00	0.00	0.00	0.00	0.00
	Sismo Y Modo 1	-3.52	-0.20	4.19	-0.12	0.61	0.00
	Sismo Y Modo 2	0.00	0.00	0.00	0.00	0.00	0.00
	Sismo Y Modo 3	0.00	0.00	0.00	0.00	0.00	0.00
	Sismo Y Modo 4	0.00	0.00	0.00	0.00	0.00	0.00
	Sismo Y Modo 5	0.00	0.00	0.00	0.00	0.00	0.00
	Sismo Y Modo 6	0.03	-0.27	-19.74	-0.17	-2.56	-0.00
	Sismo Y Modo 7	-1.28	-0.06	-1.59	-0.03	-0.05	-0.00
	Sismo Y Modo 8	-0.02	0.00	-0.01	0.00	-0.00	-0.00
	Sismo Y Modo 9	0.56	-0.00	-1.89	-0.00	-0.34	-0.00
	Sismo Y Modo 10	0.00	0.00	0.00	0.00	0.00	0.00
	Bomberos	-0.71	0.00	2.59	0.00	0.64	0.00



Esfuerzos y armados de pilares, pantallas y muros

PARCELA R-20, SECTOR LA CATALANA, SANT ADRIA DE BESOS

Fecha: 22/03/18

Soporte	Hipótesis	Esfuerzos en arranques					
		N (t)	Mx (t·m)	My (t·m)	Qx (t)	Qy (t)	T (t·m)
PAN4	Peso propio	138.14	0.14	4.08	0.17	2.89	0.00
	Cargas muertas	120.05	0.14	3.20	0.16	3.58	0.00
	Sobrecarga de uso	44.41	0.16	4.74	0.16	2.62	0.00
	Viento +X exc.+	2.49	-0.37	1.27	-0.24	0.33	0.00
	Viento +X exc.-	2.57	-0.36	0.14	-0.24	0.18	0.00
	Viento -X exc.+	-2.49	0.37	-1.27	0.24	-0.33	-0.00
	Viento -X exc.-	-2.57	0.36	-0.14	0.24	-0.18	-0.00
	Viento +Y exc.+	4.01	0.15	-53.69	0.10	-7.98	-0.01
	Viento +Y exc.-	3.01	0.01	-40.92	0.01	-6.34	-0.00
	Viento -Y exc.+	-4.01	-0.15	53.69	-0.10	7.98	0.01
	Viento -Y exc.-	-3.01	-0.01	40.92	-0.01	6.34	0.00
	Sismo X Modo 1	4.42	-0.77	15.10	-0.51	2.25	0.00
	Sismo X Modo 2	0.00	0.00	0.00	0.00	0.00	0.00
	Sismo X Modo 3	0.00	0.00	0.00	0.00	0.00	0.00
	Sismo X Modo 4	0.00	0.00	0.00	0.00	0.00	0.00
	Sismo X Modo 5	0.00	0.00	0.00	0.00	0.00	0.00
	Sismo X Modo 6	2.11	-0.13	-10.49	-0.09	-1.36	-0.00
	Sismo X Modo 7	0.86	-0.04	-1.51	-0.03	-0.00	-0.00
	Sismo X Modo 8	2.02	0.43	-2.17	0.29	-0.48	-0.00
	Sismo X Modo 9	0.18	0.00	-1.26	0.00	-0.23	-0.00
	Sismo X Modo 10	0.00	0.00	0.00	0.00	0.00	0.00
	Sismo Y Modo 1	1.37	-0.24	4.69	-0.16	0.70	0.00
	Sismo Y Modo 2	0.00	0.00	0.00	0.00	0.00	0.00
	Sismo Y Modo 3	0.00	0.00	0.00	0.00	0.00	0.00
	Sismo Y Modo 4	0.00	0.00	0.00	0.00	0.00	0.00
	Sismo Y Modo 5	0.00	0.00	0.00	0.00	0.00	0.00
	Sismo Y Modo 6	4.24	-0.27	-21.13	-0.17	-2.73	-0.00
	Sismo Y Modo 7	1.22	-0.06	-2.14	-0.04	-0.00	-0.00
	Sismo Y Modo 8	0.02	0.00	-0.02	0.00	-0.00	-0.00
	Sismo Y Modo 9	0.33	0.00	-2.30	0.00	-0.42	-0.00
	Sismo Y Modo 10	0.00	0.00	0.00	0.00	0.00	0.00
	Bomberos	-0.56	0.00	2.81	0.00	0.71	0.00



Esfuerzos y armados de pilares, pantallas y muros

PARCELA R-20, SECTOR LA CATALANA, SANT ADRIA DE BESOS

Fecha: 22/03/18

Soporte	Hipótesis	Esfuerzos en arranques					
		N (t)	Mx (t·m)	My (t·m)	Qx (t)	Qy (t)	T (t·m)
PAN5	Peso propio	138.14	-0.03	1.18	-0.06	0.66	0.00
	Cargas muertas	122.47	-0.08	0.24	-0.11	1.16	0.00
	Sobrecarga de uso	51.05	0.01	4.64	-0.02	1.69	0.00
	Viento +X exc.+	-3.61	-0.34	-2.25	-0.22	-0.58	0.00
	Viento +X exc.-	-3.70	-0.32	-1.14	-0.21	-0.41	0.00
	Viento -X exc.+	3.61	0.34	2.25	0.22	0.58	-0.00
	Viento -X exc.-	3.70	0.32	1.14	0.21	0.41	-0.00
	Viento +Y exc.+	1.33	0.09	-28.50	0.04	-3.81	-0.00
	Viento +Y exc.-	2.13	-0.11	-39.26	-0.11	-5.35	0.00
	Viento -Y exc.+	-1.33	-0.09	28.50	-0.04	3.81	0.00
	Viento -Y exc.-	-2.13	0.11	39.26	0.11	5.35	-0.00
	Sismo X Modo 1	0.00	0.00	0.00	0.00	0.00	0.00
	Sismo X Modo 2	-1.68	-0.32	-7.16	-0.22	-1.09	0.00
	Sismo X Modo 3	-4.44	-0.34	-5.61	-0.22	-1.08	-0.00
	Sismo X Modo 4	2.10	0.09	-8.56	0.05	-0.90	0.00
	Sismo X Modo 5	-0.42	0.07	1.67	0.05	0.35	-0.00
	Sismo X Modo 6	0.00	0.00	0.00	0.00	0.00	0.00
	Sismo X Modo 7	0.00	0.00	0.00	0.00	0.00	0.00
	Sismo X Modo 8	0.00	0.00	0.00	0.00	0.00	0.00
	Sismo X Modo 9	0.00	0.00	0.00	0.00	0.00	0.00
	Sismo X Modo 10	2.00	-0.24	0.01	-0.16	-0.14	-0.00
	Sismo Y Modo 1	0.00	0.00	0.00	0.00	0.00	0.00
	Sismo Y Modo 2	-0.58	-0.11	-2.45	-0.08	-0.37	0.00
	Sismo Y Modo 3	-3.49	-0.27	-4.41	-0.17	-0.85	-0.00
	Sismo Y Modo 4	3.76	0.17	-15.33	0.09	-1.60	0.00
	Sismo Y Modo 5	-0.04	0.01	0.18	0.01	0.04	-0.00
	Sismo Y Modo 6	0.00	0.00	0.00	0.00	0.00	0.00
	Sismo Y Modo 7	0.00	0.00	0.00	0.00	0.00	0.00
	Sismo Y Modo 8	0.00	0.00	0.00	0.00	0.00	0.00
	Sismo Y Modo 9	0.00	0.00	0.00	0.00	0.00	0.00
	Sismo Y Modo 10	0.11	-0.01	0.00	-0.01	-0.01	-0.00
	Bomberos	-1.78	0.06	12.92	0.04	3.95	-0.00



Esfuerzos y armados de pilares, pantallas y muros

PARCELA R-20, SECTOR LA CATALANA, SANT ADRIA DE BESOS

Fecha: 22/03/18

Soporte	Hipótesis	Esfuerzos en arranques					
		N (t)	Mx (t·m)	My (t·m)	Qx (t)	Qy (t)	T (t·m)
PAN6	Peso propio	146.60	0.35	1.44	0.34	1.11	0.00
	Cargas muertas	123.47	0.18	0.35	0.17	1.12	0.00
	Sobrecarga de uso	52.58	0.32	4.85	0.31	2.07	0.00
	Viento +X exc.+	4.62	-0.35	-1.91	-0.23	-0.47	0.00
	Viento +X exc.-	4.52	-0.33	-0.94	-0.22	-0.32	0.00
	Viento -X exc.+	-4.62	0.35	1.91	0.23	0.47	-0.00
	Viento -X exc.-	-4.52	0.33	0.94	0.22	0.32	-0.00
	Viento +Y exc.+	5.14	0.22	-29.40	0.18	-4.16	-0.00
	Viento +Y exc.-	6.54	0.05	-38.76	0.07	-5.63	0.00
	Viento -Y exc.+	-5.14	-0.22	29.40	-0.18	4.16	0.00
	Viento -Y exc.-	-6.54	-0.05	38.76	-0.07	5.63	-0.00
	Sismo X Modo 1	0.00	0.00	0.00	0.00	0.00	0.00
	Sismo X Modo 2	3.22	-0.30	-6.02	-0.20	-0.98	0.00
	Sismo X Modo 3	6.65	-0.34	-5.83	-0.21	-1.02	-0.00
	Sismo X Modo 4	-0.65	0.14	-8.33	0.10	-0.99	0.00
	Sismo X Modo 5	-0.17	0.07	1.43	0.05	0.31	-0.00
	Sismo X Modo 6	0.00	0.00	0.00	0.00	0.00	0.00
	Sismo X Modo 7	0.00	0.00	0.00	0.00	0.00	0.00
	Sismo X Modo 8	0.00	0.00	0.00	0.00	0.00	0.00
	Sismo X Modo 9	0.00	0.00	0.00	0.00	0.00	0.00
	Sismo X Modo 10	-2.63	-0.25	-0.02	-0.16	-0.12	-0.00
	Sismo Y Modo 1	0.00	0.00	0.00	0.00	0.00	0.00
	Sismo Y Modo 2	1.10	-0.10	-2.06	-0.07	-0.34	0.00
	Sismo Y Modo 3	5.22	-0.27	-4.58	-0.17	-0.80	-0.00
	Sismo Y Modo 4	-1.16	0.24	-14.90	0.17	-1.77	0.00
	Sismo Y Modo 5	-0.02	0.01	0.15	0.00	0.03	-0.00
	Sismo Y Modo 6	0.00	0.00	0.00	0.00	0.00	0.00
	Sismo Y Modo 7	0.00	0.00	0.00	0.00	0.00	0.00
	Sismo Y Modo 8	0.00	0.00	0.00	0.00	0.00	0.00
	Sismo Y Modo 9	0.00	0.00	0.00	0.00	0.00	0.00
	Sismo Y Modo 10	-0.14	-0.01	-0.00	-0.01	-0.01	-0.00
	Bomberos	-3.03	0.04	12.46	0.02	3.88	-0.00



Esfuerzos y armados de pilares, pantallas y muros

PARCELA R-20, SECTOR LA CATALANA, SANT ADRIA DE BESOS

Fecha: 22/03/18

Soporte	Hipótesis	Esfuerzos en arranques					
		N (t)	Mx (t·m)	My (t·m)	Qx (t)	Qy (t)	T (t·m)
PAN7	Peso propio	116.93	-0.00	1.80	-0.04	1.32	0.00
	Cargas muertas	106.43	0.10	1.92	0.09	1.90	0.00
	Sobrecarga de uso	41.77	0.06	5.21	0.03	2.59	0.00
	Viento +X exc.+	-2.73	-0.35	1.01	-0.23	0.34	0.00
	Viento +X exc.-	-2.75	-0.33	0.62	-0.22	0.28	0.00
	Viento -X exc.+	2.73	0.35	-1.01	0.23	-0.34	-0.00
	Viento -X exc.-	2.75	0.33	-0.62	0.22	-0.28	-0.00
	Viento +Y exc.+	0.10	0.09	-34.99	0.04	-2.89	-0.00
	Viento +Y exc.-	0.02	-0.09	-31.33	-0.08	-2.32	0.00
	Viento -Y exc.+	-0.10	-0.09	34.99	-0.04	2.89	0.00
	Viento -Y exc.-	-0.02	0.09	31.33	0.08	2.32	-0.00
	Sismo X Modo 1	0.00	0.00	0.00	0.00	0.00	0.00
	Sismo X Modo 2	-1.18	-0.31	4.28	-0.21	0.60	0.00
	Sismo X Modo 3	-2.88	-0.37	-7.54	-0.24	-0.16	-0.00
	Sismo X Modo 4	0.95	0.11	-5.50	0.07	-0.36	0.00
	Sismo X Modo 5	0.01	0.07	-0.77	0.05	-0.15	-0.00
	Sismo X Modo 6	0.00	0.00	0.00	0.00	0.00	0.00
	Sismo X Modo 7	0.00	0.00	0.00	0.00	0.00	0.00
	Sismo X Modo 8	0.00	0.00	0.00	0.00	0.00	0.00
	Sismo X Modo 9	0.00	0.00	0.00	0.00	0.00	0.00
	Sismo X Modo 10	0.34	-0.24	-0.26	-0.16	0.08	-0.00
	Sismo Y Modo 1	0.00	0.00	0.00	0.00	0.00	0.00
	Sismo Y Modo 2	-0.40	-0.11	1.47	-0.07	0.20	0.00
	Sismo Y Modo 3	-2.26	-0.29	-5.92	-0.19	-0.12	-0.00
	Sismo Y Modo 4	1.69	0.19	-9.84	0.12	-0.65	0.00
	Sismo Y Modo 5	0.00	0.01	-0.08	0.00	-0.02	-0.00
	Sismo Y Modo 6	0.00	0.00	0.00	0.00	0.00	0.00
	Sismo Y Modo 7	0.00	0.00	0.00	0.00	0.00	0.00
	Sismo Y Modo 8	0.00	0.00	0.00	0.00	0.00	0.00
	Sismo Y Modo 9	0.00	0.00	0.00	0.00	0.00	0.00
	Sismo Y Modo 10	0.02	-0.01	-0.01	-0.01	0.00	-0.00
	Bomberos	-1.23	0.06	7.80	0.04	2.11	-0.00



Esfuerzos y armados de pilares, pantallas y muros

PARCELA R-20, SECTOR LA CATALANA, SANT ADRIA DE BESOS

Fecha: 22/03/18

Soporte	Hipótesis	Esfuerzos en arranques					
		N (t)	Mx (t·m)	My (t·m)	Qx (t)	Qy (t)	T (t·m)
PAN8	Peso propio	103.96	-0.38	1.31	-0.44	0.34	0.00
	Cargas muertas	106.41	-0.45	1.52	-0.50	0.90	0.00
	Sobrecarga de uso	43.76	-0.14	4.77	-0.18	1.75	0.00
	Viento +X exc.+	0.22	-0.39	1.38	-0.27	0.51	0.00
	Viento +X exc.-	0.45	-0.37	0.82	-0.26	0.39	0.00
	Viento -X exc.+	-0.22	0.39	-1.38	0.27	-0.51	-0.00
	Viento -X exc.-	-0.45	0.37	-0.82	0.26	-0.39	-0.00
	Viento +Y exc.+	17.02	0.20	-36.56	0.16	-4.48	-0.00
	Viento +Y exc.-	14.80	-0.00	-31.27	0.01	-3.44	0.00
	Viento -Y exc.+	-17.02	-0.20	36.56	-0.16	4.48	0.00
	Viento -Y exc.-	-14.80	0.00	31.27	-0.01	3.44	-0.00
	Sismo X Modo 1	0.00	0.00	0.00	0.00	0.00	0.00
	Sismo X Modo 2	-2.42	-0.35	5.60	-0.25	1.04	0.00
	Sismo X Modo 3	4.91	-0.38	-7.94	-0.26	-0.44	-0.00
	Sismo X Modo 4	2.57	0.14	-5.31	0.10	-0.55	0.00
	Sismo X Modo 5	0.46	0.07	-1.05	0.05	-0.25	-0.00
	Sismo X Modo 6	0.00	0.00	0.00	0.00	0.00	0.00
	Sismo X Modo 7	0.00	0.00	0.00	0.00	0.00	0.00
	Sismo X Modo 8	0.00	0.00	0.00	0.00	0.00	0.00
	Sismo X Modo 9	0.00	0.00	0.00	0.00	0.00	0.00
	Sismo X Modo 10	-1.31	-0.26	-0.30	-0.18	0.09	-0.00
	Sismo Y Modo 1	0.00	0.00	0.00	0.00	0.00	0.00
	Sismo Y Modo 2	-0.83	-0.12	1.92	-0.08	0.36	0.00
	Sismo Y Modo 3	3.86	-0.30	-6.24	-0.21	-0.35	-0.00
	Sismo Y Modo 4	4.60	0.25	-9.51	0.17	-0.99	0.00
	Sismo Y Modo 5	0.05	0.01	-0.11	0.01	-0.03	-0.00
	Sismo Y Modo 6	0.00	0.00	0.00	0.00	0.00	0.00
	Sismo Y Modo 7	0.00	0.00	0.00	0.00	0.00	0.00
	Sismo Y Modo 8	0.00	0.00	0.00	0.00	0.00	0.00
	Sismo Y Modo 9	0.00	0.00	0.00	0.00	0.00	0.00
	Sismo Y Modo 10	-0.07	-0.01	-0.02	-0.01	0.00	-0.00
	Bomberos	-0.95	0.04	7.43	0.03	2.22	-0.00



Esfuerzos y armados de pilares, pantallas y muros

PARCELA R-20, SECTOR LA CATALANA, SANT ADRIA DE BESOS

Fecha: 22/03/18

Soporte	Hipótesis	Esfuerzos en arranques					
		N (t)	Mx (t·m)	My (t·m)	Qx (t)	Qy (t)	T (t·m)
R1	Peso propio	4.53	-0.02	-0.06	0.02	-0.04	0.00
	Cargas muertas	15.95	0.06	-0.22	0.06	-0.16	-0.00
	Sobrecarga de uso	7.53	-0.00	-0.14	0.02	-0.10	0.00
	Viento +X exc.+	-0.80	-0.44	-0.05	-0.18	-0.02	0.00
	Viento +X exc.-	-0.75	-0.41	0.02	-0.17	0.01	-0.00
	Viento -X exc.+	0.80	0.44	0.05	0.18	0.02	-0.00
	Viento -X exc.-	0.75	0.41	-0.02	0.17	-0.01	0.00
	Viento +Y exc.+	0.81	0.38	-1.03	0.16	-0.42	-0.00
	Viento +Y exc.-	0.31	0.03	-1.84	0.02	-0.75	-0.00
	Viento -Y exc.+	-0.81	-0.38	1.03	-0.16	0.42	0.00
	Viento -Y exc.-	-0.31	-0.03	1.84	-0.02	0.75	0.00
	Sismo X Modo 1	-1.88	-1.05	-0.43	-0.44	-0.17	0.00
	Sismo X Modo 2	0.00	0.00	0.00	0.00	0.00	0.00
	Sismo X Modo 3	0.00	0.00	0.00	0.00	0.00	0.00
	Sismo X Modo 4	0.00	0.00	0.00	0.00	0.00	0.00
	Sismo X Modo 5	0.00	0.00	0.00	0.00	0.00	0.00
	Sismo X Modo 6	-0.18	-0.10	-0.12	-0.04	-0.05	-0.00
	Sismo X Modo 7	-0.05	0.01	0.43	0.00	0.18	-0.00
	Sismo X Modo 8	0.79	0.47	0.12	0.20	0.05	-0.00
	Sismo X Modo 9	0.05	0.03	0.13	0.01	0.05	-0.00
	Sismo X Modo 10	0.00	0.00	0.00	0.00	0.00	0.00
	Sismo Y Modo 1	-0.58	-0.32	-0.13	-0.14	-0.05	0.00
	Sismo Y Modo 2	0.00	0.00	0.00	0.00	0.00	0.00
	Sismo Y Modo 3	0.00	0.00	0.00	0.00	0.00	0.00
	Sismo Y Modo 4	0.00	0.00	0.00	0.00	0.00	0.00
	Sismo Y Modo 5	0.00	0.00	0.00	0.00	0.00	0.00
	Sismo Y Modo 6	-0.36	-0.20	-0.25	-0.09	-0.10	-0.00
	Sismo Y Modo 7	-0.08	0.02	0.61	0.01	0.25	-0.00
	Sismo Y Modo 8	0.01	0.00	0.00	0.00	0.00	-0.00
	Sismo Y Modo 9	0.09	0.05	0.23	0.02	0.09	-0.00
	Sismo Y Modo 10	0.00	0.00	0.00	0.00	0.00	0.00
	Bomberos	-0.02	-0.01	-0.00	-0.01	-0.00	0.00



Esfuerzos y armados de pilares, pantallas y muros

PARCELA R-20, SECTOR LA CATALANA, SANT ADRIA DE BESOS

Fecha: 22/03/18

Soporte	Hipótesis	Esfuerzos en arranques					
		N (t)	Mx (t·m)	My (t·m)	Qx (t)	Qy (t)	T (t·m)
R2	Peso propio	4.71	0.00	0.04	0.03	0.02	0.00
	Cargas muertas	18.01	0.04	0.30	0.05	0.20	-0.00
	Sobrecarga de uso	8.80	0.01	0.12	0.02	0.09	0.00
	Viento +X exc.+	-0.73	-0.42	-0.06	-0.18	-0.02	0.00
	Viento +X exc.-	-0.71	-0.41	0.01	-0.18	0.01	-0.00
	Viento -X exc.+	0.73	0.42	0.06	0.18	0.02	-0.00
	Viento -X exc.-	0.71	0.41	-0.01	0.18	-0.01	0.00
	Viento +Y exc.+	0.09	0.14	-1.04	0.06	-0.42	-0.00
	Viento +Y exc.-	-0.18	0.01	-1.85	0.00	-0.76	-0.00
	Viento -Y exc.+	-0.09	-0.14	1.04	-0.06	0.42	0.00
	Viento -Y exc.-	0.18	-0.01	1.85	-0.00	0.76	0.00
	Sismo X Modo 1	-1.58	-0.88	-0.44	-0.37	-0.18	0.00
	Sismo X Modo 2	0.00	0.00	0.00	0.00	0.00	0.00
	Sismo X Modo 3	0.00	0.00	0.00	0.00	0.00	0.00
	Sismo X Modo 4	0.00	0.00	0.00	0.00	0.00	0.00
	Sismo X Modo 5	0.00	0.00	0.00	0.00	0.00	0.00
	Sismo X Modo 6	-0.32	-0.17	-0.13	-0.07	-0.05	-0.00
	Sismo X Modo 7	-0.08	-0.07	0.44	-0.03	0.18	-0.00
	Sismo X Modo 8	0.66	0.44	0.12	0.19	0.05	-0.00
	Sismo X Modo 9	0.01	0.00	0.13	0.00	0.05	-0.00
	Sismo X Modo 10	0.00	0.00	0.00	0.00	0.00	0.00
	Sismo Y Modo 1	-0.49	-0.27	-0.14	-0.12	-0.06	0.00
	Sismo Y Modo 2	0.00	0.00	0.00	0.00	0.00	0.00
	Sismo Y Modo 3	0.00	0.00	0.00	0.00	0.00	0.00
	Sismo Y Modo 4	0.00	0.00	0.00	0.00	0.00	0.00
	Sismo Y Modo 5	0.00	0.00	0.00	0.00	0.00	0.00
	Sismo Y Modo 6	-0.64	-0.33	-0.25	-0.14	-0.10	-0.00
	Sismo Y Modo 7	-0.12	-0.10	0.62	-0.04	0.25	-0.00
	Sismo Y Modo 8	0.01	0.00	0.00	0.00	0.00	-0.00
	Sismo Y Modo 9	0.02	0.00	0.23	0.00	0.10	-0.00
	Sismo Y Modo 10	0.00	0.00	0.00	0.00	0.00	0.00
	Bomberos	-0.05	0.00	0.00	-0.00	0.00	0.00



Esfuerzos y armados de pilares, pantallas y muros

PARCELA R-20, SECTOR LA CATALANA, SANT ADRIA DE BESOS

Fecha: 22/03/18

Soporte	Hipótesis	Esfuerzos en arranques					
		N (t)	Mx (t·m)	My (t·m)	Qx (t)	Qy (t)	T (t·m)
R3	Peso propio	4.08	-0.02	0.01	0.01	0.01	0.00
	Cargas muertas	10.43	-0.02	-0.00	0.01	-0.01	-0.00
	Sobrecarga de uso	5.62	0.01	-0.04	0.01	-0.03	0.00
	Viento +X exc.+	-0.50	-0.38	-0.05	-0.15	-0.02	0.00
	Viento +X exc.-	-0.51	-0.39	0.02	-0.16	0.01	-0.00
	Viento -X exc.+	0.50	0.38	0.05	0.15	0.02	-0.00
	Viento -X exc.-	0.51	0.39	-0.02	0.16	-0.01	0.00
	Viento +Y exc.+	-0.10	-0.06	-1.00	-0.02	-0.40	-0.00
	Viento +Y exc.-	0.06	0.02	-1.77	0.01	-0.71	-0.00
	Viento -Y exc.+	0.10	0.06	1.00	0.02	0.40	0.00
	Viento -Y exc.-	-0.06	-0.02	1.77	-0.01	0.71	0.00
	Sismo X Modo 1	-0.85	-0.66	-0.42	-0.27	-0.17	0.00
	Sismo X Modo 2	0.00	0.00	0.00	0.00	0.00	0.00
	Sismo X Modo 3	0.00	0.00	0.00	0.00	0.00	0.00
	Sismo X Modo 4	0.00	0.00	0.00	0.00	0.00	0.00
	Sismo X Modo 5	0.00	0.00	0.00	0.00	0.00	0.00
	Sismo X Modo 6	-0.29	-0.20	-0.12	-0.08	-0.05	-0.00
	Sismo X Modo 7	-0.22	-0.14	0.42	-0.06	0.17	-0.00
	Sismo X Modo 8	0.42	0.39	0.11	0.16	0.04	-0.00
	Sismo X Modo 9	-0.02	-0.02	0.12	-0.01	0.05	-0.00
	Sismo X Modo 10	0.00	0.00	0.00	0.00	0.00	0.00
	Sismo Y Modo 1	-0.27	-0.20	-0.13	-0.08	-0.05	0.00
	Sismo Y Modo 2	0.00	0.00	0.00	0.00	0.00	0.00
	Sismo Y Modo 3	0.00	0.00	0.00	0.00	0.00	0.00
	Sismo Y Modo 4	0.00	0.00	0.00	0.00	0.00	0.00
	Sismo Y Modo 5	0.00	0.00	0.00	0.00	0.00	0.00
	Sismo Y Modo 6	-0.58	-0.41	-0.24	-0.17	-0.10	-0.00
	Sismo Y Modo 7	-0.31	-0.19	0.60	-0.08	0.24	-0.00
	Sismo Y Modo 8	0.00	0.00	0.00	0.00	0.00	-0.00
	Sismo Y Modo 9	-0.04	-0.04	0.22	-0.02	0.09	-0.00
	Sismo Y Modo 10	0.00	0.00	0.00	0.00	0.00	0.00
	Bomberos	0.38	0.01	-0.03	0.00	-0.02	0.00

8.3. Apéndice 3: Criterio de cálculo de pilotes

DISPOSICIÓN DE PILOTES EN PLANTA

La configuración geométrica de la cimentación por pilotes se realiza tanteando las diferentes disposiciones de los pilotes hasta alcanzar una situación óptima.

Los datos geométricos de mayor interés para analizar el comportamiento de un grupo de pilotes son la longitud, sección, distribución geométrica y separación entre pilares.

De cada pilote se debe conocer su sección transversal y su ubicación dentro del encepado. Normalmente, los pilotes de un mismo encepado son de igual longitud.

ACCIONES SOBRE LOS PILOTES

Para realizar el cálculo de los pilotes se han tenido en cuenta las siguientes consideraciones:

PILOTAJE DEL EDIFICIO

- Las solicitudes en base de cimentación proporcionadas por el CLIENTE son las indicadas en el ANEJO 02.
- Por indicaciones del cliente, para el cálculo del pilotaje de las pantallas PANTALLA 1A, PANTALLA 1B, PANTALLA 2A, PANTALLA 2B, PANTALLA 3A, PANTALLA 3B, PANTALLA 4A y PANTALLA 4B, se han tomado los valores de las solicitudes en base de cimentación (Anejo 2) de las pantallas PAN1, PAN2, PAN3, PAN4, PAN5, PAN6, PAN7 y PAN8 respectivamente.
- Efecto de grupo

EFECTO DE GRUPO (según CTE-DB-SE-C 5.3.4.1.4)			
De forma general, para el cálculo de los pilotes, no se considerará el efecto de grupo para una separación entre ejes de pilotes mayor o igual a 3 diámetros.			
a = Longitud lado pilote	$\phi_{eq} = \frac{2 \cdot a}{\sqrt{\pi}}$	Separación entre ejes de pilotes (cm)	3 x Diámetro equivalente pilote (cm)
Encepados tipo con pilotes P200		≥ 90	68
Encepados tipo con pilotes P235		≥ 95	80
Encepados tipo con pilotes P270		≥ 100	91
Encepados tipo con pilotes P300		≥ 120	102
Encepados tipo con pilotes P350		≥ 125	118
Encepados tipo con pilotes P400		≥ 135	135
Los encepados tipo propuestos en esta memoria de cálculo cumplen las condiciones para que no sea necesario considerar el efecto de grupo.			

- Para los pilotes situados junto o bajo muro, el cliente ha facilitado los siguientes datos para el cálculo de la carga que reciben:

MURO

Peso específico del hormigón:	$\gamma_h := 25 \frac{kN}{m^3}$
Altura del muro:	$H_{muro} := 3.5 \text{ m}$
Espesor del muro:	$e_{muro} := 0.3 \text{ m}$
Longitud tramo de muro:	$L_{muro} := 6 \text{ m}$
Peso del tramo de muro:	$PP_{muro} := \gamma_h \cdot H_{muro} \cdot e_{muro} \cdot L_{muro} = 157.5 \text{ kN}$

FORJADO

Ancho del tramo de forjado:	$A_{forjado} := 3.5 \text{ m}$
Largo del tramo de forjado:	$B_{forjado} := 6 \text{ m}$
Espesor del forjado:	$e_{forjado} := 0.3 \text{ m}$
Peso del tramo de forjado:	$PP_{forjado} := \gamma_h \cdot A_{forjado} \cdot B_{forjado} \cdot e_{forjado} = 157.5 \text{ kN}$

CARGA DE BOMBEROS SOBRE EL FORJADO

Ancho del tramo de forjado:	$A_{forjado} := 3.5 \text{ m}$
Largo del tramo de forjado:	$B_{forjado} := 6 \text{ m}$
Carga de bomberos:	$SC_{bomberos} := 20 \frac{kN}{m^2}$
Carga vertical debida a bomberos:	$Q_{bomberos} := A_{forjado} \cdot B_{forjado} \cdot SC_{bomberos} = 420 \text{ kN}$

Carga máxima sobre la cimentación: $Q_{max} := PP_{muro} + PP_{forjado} + Q_{bomberos} = 735 \text{ kN}$

8.4. Apéndice 4: Combinación de acciones

Anejo 5: Cálculo de la cimentación

Como acciones de cálculo se han tomado las indicadas en el Anejo 03. y para el análisis frente a la Capacidad Portante se combinan las acciones según indicaciones del CTE DB-SE y, en cumplimiento del Apto 2.3.2.2 Acciones del Edificio sobre la cimentación del DB-SE-C, tomamos los Coeficientes Parciales de Seguridad iguales a la unidad:

2.3.2.2 Acciones del edificio sobre la cimentación

- 1 Para situaciones persistentes y transitorias, y a efectos de aplicación de este DB, se considerará el valor de cálculo de los efectos de las acciones sobre la cimentación a los determinados de acuerdo con la expresión (4.3) del DB-SE, asignando el valor unidad a todos los coeficientes parciales para las acciones permanentes y variables desfavorables y cero para las acciones variables favorables.

y aplicando los valores de la Tabla 4.2 coeficientes de simultaneidad (Ψ) del DB-SE:

Tabla 4.2 Coeficientes de simultaneidad (Ψ)			
	Ψ_0	Ψ_1	Ψ_2
Sobrecarga superficial de uso (Categorías según DB-SE-AE)			
• Zonas residenciales (Categoría A)	0,7	0,5	0,3
• Zonas administrativas (Categoría B)	0,7	0,5	0,3
• Zonas destinadas al público (Categoría C)	0,7	0,7	0,6
• Zonas comerciales (Categoría D)	0,7	0,7	0,6
• Zonas de tráfico y de aparcamiento de vehículos ligeros con un peso total inferior a 30 kN (Categoría E)	0,7	0,7	0,6
• Cubiertas transitables (Categoría F)	⁽¹⁾		
• Cubiertas accesibles únicamente para mantenimiento (Categoría G)	0	0	0
Nieve			
• para altitudes > 1000 m	0,7	0,5	0,2
• para altitudes ≤ 1000 m	0,5	0,2	0
Viento	0,6	0,5	0
Temperatura	0,6	0,5	0
Acciones variables del terreno	0,7	0,7	0,7

⁽¹⁾ En las cubiertas transitables, se adoptarán los valores correspondientes al uso desde el que se accede.

Obteniéndose así la siguiente distribución de cargas para la combinación pésima, en base a la cual se realizará la distribución de pilotes:

PILAR	HIPÓTESIS	N (T)	Mx (T*m)	My(T*m)	Qx (T)	Qy (T)	T (T*m)
P1	G	58,82	-1,3	4,44	-0,82	2,94	0
xxx	G+Q	78,52	-1,73	5,08	-1,12	3,38	0
xxx	G+V1	57,8	-2,03	4,06	-1,16	2,74	0
xxx	G+V2	57,87	-2,11	4,42	-1,19	2,91	0
xxx	G+V3	59,84	-0,57	4,82	-0,48	3,14	0
xxx	G+V4	59,77	-0,49	4,46	-0,45	2,97	0
xxx	G+V5	55,09	-2,24	-2,31	-1,26	-0,23	-0,01
xxx	G+V6	54,27	-1,33	-6,38	-0,84	-2,11	0
xxx	G+V7	62,55	-0,36	11,19	-0,38	6,11	0,01
xxx	G+V8	63,37	-1,27	15,26	-0,8	7,99	0
xxx	G+Q+0,6*V1	77,908	-2,168	4,852	-1,324	3,26	0
xxx	G+Q+0,6*V2	77,95	-2,216	5,068	-1,342	3,362	0
xxx	G+Q+0,6*V3	79,132	-1,292	5,308	-0,916	3,5	0
xxx	G+Q+0,6*V4	79,09	-1,244	5,092	-0,898	3,398	0
xxx	G+Q+0,6*V5	76,282	-2,294	1,03	-1,384	1,478	-0,006
xxx	G+Q+0,6*V6	75,79	-1,748	-1,412	-1,132	0,35	0
xxx	G+Q+0,6*V7	80,758	-1,166	9,13	-0,856	5,282	0,006
xxx	G+Q+0,6*V8	81,25	-1,712	11,572	-1,108	6,41	0
xxx	G+V1+0,7*Q	71,59	-2,331	4,508	-1,37	3,048	0
xxx	G+V2+0,7*Q	71,66	-2,411	4,868	-1,4	3,218	0
xxx	G+V3+0,7*Q	73,63	-0,871	5,268	-0,69	3,448	0
xxx	G+V4+0,7*Q	73,56	-0,791	4,908	-0,66	3,278	0
xxx	G+V5+0,7*Q	68,88	-2,541	-1,862	-1,47	0,078	-0,01
xxx	G+V6+0,7*Q	68,06	-1,631	-5,932	-1,05	-1,802	0
xxx	G+V7+0,7*Q	76,34	-0,661	11,638	-0,59	6,418	0,01
xxx	G+V8+0,7*Q	77,16	-1,571	15,708	-1,01	8,298	0
xxx	G+Sx	61,3507706	0,04041038	7,90698716	-0,20681161	4,57465593	0,01
xxx	G-Sx	56,2892294	-2,64041038	0,97301284	-1,43318839	1,30534407	-0,01
xxx	G+Sy	61,4291378	0,24372925	8,4736336	-0,11821656	4,83404329	0,01414214
xxx	G-Sy	56,2108622	-2,84372925	0,4063664	-1,52178344	1,04595671	-0,01414214
xxx	G+Sx+0,3*Sy	62,133512	0,50352916	9,11707724	0,00372342	5,14286892	0,01424264
xxx	G+Sx-0,3*Sy	60,5680293	-0,42270839	6,69689709	-0,41734664	4,00644294	0,00575736
xxx	G-Sx+0,3*Sy	57,0719707	-2,17729161	2,18310291	-1,22265336	1,87355706	-0,00575736
xxx	G-Sx-0,3*Sy	55,506488	-3,10352916	-0,23707724	-1,64372342	0,73713108	-0,01424264
xxx	G+Sy+0,3*Sx	62,188369	0,64585237	9,51372975	0,06573996	5,32444007	0,01714214
xxx	G+Sy-0,3*Sx	60,6699066	-0,15839386	7,43353745	-0,30217307	4,34364652	0,01114214
xxx	G-Sy+0,3*Sx	56,9700934	-2,44160614	1,44646255	-1,33782693	1,53635348	-0,01114214
xxx	G-Sy-0,3*Sx	55,451631	-3,24585237	-0,63372975	-1,70573996	0,55555993	-0,01714214
xxx	G+Sx+0,3*Q	67,2607706	-0,08858962	8,09898716	-0,29681161	4,70665593	0,01
xxx	G-Sx+0,3*Q	62,1992294	-2,76941038	1,16501284	-1,52318839	1,43734407	-0,01
xxx	G+Sy+0,3*Q	67,3391378	0,11472925	8,6656336	-0,20821656	4,96604329	0,01414214
xxx	G-Sy+0,3*Q	62,1208622	-2,97272925	0,5983664	-1,61178344	1,17795671	-0,01414214
xxx	G+Sx+0,3*Sy+0,3*Q	68,043512	0,37452916	9,30907724	-0,08627658	5,27486892	0,01424264
xxx	G+Sx-0,3*Sy+0,3*Q	66,4780293	-0,55170839	6,88889709	-0,50734664	4,13844294	0,00575736
xxx	G-Sx+0,3*Sy+0,3*Q	62,9819707	-2,30629161	2,37510291	-1,31265336	2,00555706	-0,00575736
xxx	G-Sx-0,3*Sy+0,3*Q	61,416488	-3,23252916	-0,04507724	-1,73372342	0,86913108	-0,01424264
xxx	G+Sy+0,3*Sx+0,3*Q	68,098369	0,51685237	9,70572975	-0,02426004	5,45644007	0,01714214
xxx	G+Sy-0,3*Sx+0,3*Q	66,5799066	-0,28739386	7,62553745	-0,39217307	4,47564652	0,01114214
xxx	G-Sy+0,3*Sx+0,3*Q	62,8800934	-2,57060614	1,63846255	-1,42782693	1,66835348	-0,01114214
xxx	G-Sy-0,3*Sx+0,3*Q	61,361631	-3,37485237	-0,44172975	-1,79573996	0,68755993	-0,01714214
xxx	G+BOMB	104,49	-2,57	3,73	-1,69	2,45	0
xxx	G+BOMB+0,5*Q	114,34	-2,785	4,05	-1,84	2,67	0
xxx	G+BOMB+0,5*V1	103,98	-2,935	3,54	-1,86	2,35	0
xxx	G+BOMB+0,5*V2	104,015	-2,975	3,72	-1,875	2,435	0
xxx	G+BOMB+0,5*V3	105	-2,205	3,92	-1,52	2,55	0
xxx	G+BOMB+0,5*V4	104,965	-2,165	3,74	-1,505	2,465	0
xxx	G+BOMB+0,5*V5	102,625	-3,04	0,355	-1,91	0,865	-0,005
xxx	G+BOMB+0,5*V6	102,215	-2,585	-1,68	-1,7	-0,075	0
xxx	G+BOMB+0,5*V7	106,355	-2,1	7,105	-1,47	4,035	0,005
xxx	G+BOMB+0,5*V8	106,765	-2,555	9,14	-1,68	4,975	0

xxx	G+BOMB+0,5*V1+0,3*Q	109,89	-3,064	3,732	-1,95	2,482	0
xxx	G+BOMB+0,5*V2+0,3*Q	109,925	-3,104	3,912	-1,965	2,567	0
xxx	G+BOMB+0,5*V3+0,3*Q	110,91	-2,334	4,112	-1,61	2,682	0
xxx	G+BOMB+0,5*V4+0,3*Q	110,875	-2,294	3,932	-1,595	2,597	0
xxx	G+BOMB+0,5*V5+0,3*Q	108,535	-3,169	0,547	-2	0,997	-0,005
xxx	G+BOMB+0,5*V6+0,3*Q	108,125	-2,714	-1,488	-1,79	0,057	0
xxx	G+BOMB+0,5*V7+0,3*Q	112,265	-2,229	7,297	-1,56	4,167	0,005
xxx	G+BOMB+0,5*V8+0,3*Q	112,675	-2,684	9,332	-1,77	5,107	0
P2	G	47,08	0,1	1,98	0,12	1,31	0
xxx	G+Q	59,66	0,26	2,28	0,23	1,51	0
xxx	G+V1	47,34	-0,45	1,9	-0,14	1,27	0
xxx	G+V2	47,53	-0,51	2,01	-0,17	1,33	0
xxx	G+V3	46,82	0,65	2,06	0,38	1,35	0
xxx	G+V4	46,63	0,71	1,95	0,41	1,29	0
xxx	G+V5	43,79	-0,59	-0,8	-0,21	-0,03	-0,01
xxx	G+V6	41,63	0,08	-2,1	0,11	-0,67	0
xxx	G+V7	50,37	0,79	4,76	0,45	2,65	0,01
xxx	G+V8	52,53	0,12	6,06	0,13	3,29	0
xxx	G+Q+0,6*V1	59,816	-0,07	2,232	0,074	1,486	0
xxx	G+Q+0,6*V2	59,93	-0,106	2,298	0,056	1,522	0
xxx	G+Q+0,6*V3	59,504	0,59	2,328	0,386	1,534	0
xxx	G+Q+0,6*V4	59,39	0,626	2,262	0,404	1,498	0
xxx	G+Q+0,6*V5	57,686	-0,154	0,612	0,032	0,706	-0,006
xxx	G+Q+0,6*V6	56,39	0,248	-0,168	0,224	0,322	0
xxx	G+Q+0,6*V7	61,634	0,674	3,948	0,428	2,314	0,006
xxx	G+Q+0,6*V8	62,93	0,272	4,728	0,236	2,698	0
xxx	G+V1+0,7*Q	56,146	-0,338	2,11	-0,063	1,41	0
xxx	G+V2+0,7*Q	56,336	-0,398	2,22	-0,093	1,47	0
xxx	G+V3+0,7*Q	55,626	0,762	2,27	0,457	1,49	0
xxx	G+V4+0,7*Q	55,436	0,822	2,16	0,487	1,43	0
xxx	G+V5+0,7*Q	52,596	-0,478	-0,59	-0,133	0,11	-0,01
xxx	G+V6+0,7*Q	50,436	0,192	-1,89	0,187	-0,53	0
xxx	G+V7+0,7*Q	59,176	0,902	4,97	0,527	2,79	0,01
xxx	G+V8+0,7*Q	61,336	0,232	6,27	0,207	3,43	0
xxx	G+Sx	48,6383004	1,10344407	3,07064201	0,59159304	1,84721504	0,01
xxx	G-Sx	45,5216996	-0,90344407	0,88935799	-0,35159304	0,77278496	-0,01
xxx	G+Sy	49,2776123	1,23512114	3,42779142	0,66350713	2,01675314	0
xxx	G-Sy	44,8823877	-1,03512114	0,53220858	-0,42350713	0,60324686	0
xxx	G+Sx+0,3*Sy	49,2975841	1,44398041	3,50497944	0,75464518	2,05924098	0,01
xxx	G+Sx-0,3*Sy	47,9790167	0,76290773	2,63630459	0,42854091	1,6351891	0,01
xxx	G-Sx+0,3*Sy	46,1809833	-0,56290773	1,32369541	-0,18854091	0,9848109	-0,01
xxx	G-Sx-0,3*Sy	44,8624159	-1,24398041	0,45502056	-0,51464518	0,56075902	-0,01
xxx	G+Sy+0,3*Sx	49,7451024	1,53615436	3,75498403	0,80498504	2,17791765	0,003
xxx	G+Sy-0,3*Sx	48,8101222	0,93408792	3,10059882	0,52202922	1,85558863	-0,003
xxx	G-Sy+0,3*Sx	45,3498778	-0,73408792	0,85940118	-0,28202922	0,76441137	0,003
xxx	G-Sy-0,3*Sx	44,4148976	-1,33615436	0,20501597	-0,56498504	0,44208235	-0,003
xxx	G+Sx+0,3*Q	52,4123004	1,15144407	3,16064201	0,62459304	1,90721504	0,01
xxx	G-Sx+0,3*Q	49,2956996	-0,85544407	0,97935799	-0,31859304	0,83278496	-0,01
xxx	G+Sy+0,3*Q	53,0516123	1,28312114	3,51779142	0,69650713	2,07675314	0
xxx	G-Sy+0,3*Q	48,6563877	-0,98712114	0,62220858	-0,39050713	0,66324686	0
xxx	G+Sx+0,3*Sy+0,3*Q	53,0715841	1,49198041	3,59497944	0,78764518	2,11924098	0,01
xxx	G+Sx-0,3*Sy+0,3*Q	51,7530167	0,81090773	2,72630459	0,46154091	1,6951891	0,01
xxx	G-Sx+0,3*Sy+0,3*Q	49,9549833	-0,51490773	1,41369541	-0,15554091	1,0448109	-0,01
xxx	G-Sx-0,3*Sy+0,3*Q	48,6364159	-1,19598041	0,54502056	-0,48164518	0,62075902	-0,01
xxx	G+Sy+0,3*Sx+0,3*Q	53,5191024	1,58415436	3,84498403	0,83798504	2,23791765	0,003
xxx	G+Sy-0,3*Sx+0,3*Q	52,5841222	0,98208792	3,19059882	0,55502922	1,91558863	-0,003
xxx	G-Sy+0,3*Sx+0,3*Q	49,1238778	-0,68608792	0,94940118	-0,24902922	0,82441137	0,003
xxx	G-Sy-0,3*Sx+0,3*Q	48,1888976	-1,28815436	0,29501597	-0,53198504	0,50208235	-0,003
xxx	G+BOMB	65,02	0,5	1,63	0,38	1,07	0
xxx	G+BOMB+0,5*Q	71,31	0,58	1,78	0,435	1,17	0

xxx	G+BOMB+0,5*V1	65,15	0,225	1,59	0,25	1,05	0
xxx	G+BOMB+0,5*V2	65,245	0,195	1,645	0,235	1,08	0
xxx	G+BOMB+0,5*V3	64,89	0,775	1,67	0,51	1,09	0
xxx	G+BOMB+0,5*V4	64,795	0,805	1,615	0,525	1,06	0
xxx	G+BOMB+0,5*V5	63,375	0,155	0,24	0,215	0,4	-0,005
xxx	G+BOMB+0,5*V6	62,295	0,49	-0,41	0,375	0,08	0
xxx	G+BOMB+0,5*V7	66,665	0,845	3,02	0,545	1,74	0,005
xxx	G+BOMB+0,5*V8	67,745	0,51	3,67	0,385	2,06	0
xxx	G+BOMB+0,5*V1+0,3*Q	68,924	0,273	1,68	0,283	1,11	0
xxx	G+BOMB+0,5*V2+0,3*Q	69,019	0,243	1,735	0,268	1,14	0
xxx	G+BOMB+0,5*V3+0,3*Q	68,664	0,823	1,76	0,543	1,15	0
xxx	G+BOMB+0,5*V4+0,3*Q	68,569	0,853	1,705	0,558	1,12	0
xxx	G+BOMB+0,5*V5+0,3*Q	67,149	0,203	0,33	0,248	0,46	-0,005
xxx	G+BOMB+0,5*V6+0,3*Q	66,069	0,538	-0,32	0,408	0,14	0
xxx	G+BOMB+0,5*V7+0,3*Q	70,439	0,893	3,11	0,578	1,8	0,005
xxx	G+BOMB+0,5*V8+0,3*Q	71,519	0,558	3,76	0,418	2,12	0
P3	G	87,83	-0,58	5,83	-0,34	3,87	0
xxx	G+Q	114,03	-0,62	6,99	-0,37	4,62	0
xxx	G+V1	87,79	-1,39	5,67	-0,73	3,79	0
xxx	G+V2	87,94	-1,48	5,88	-0,77	3,89	0
xxx	G+V3	87,87	0,23	5,99	0,05	3,95	0
xxx	G+V4	87,72	0,32	5,78	0,09	3,85	0
xxx	G+V5	82,05	-1,58	-3,77	-0,82	-0,82	-0,01
xxx	G+V6	80,25	-0,55	-6,12	-0,32	-1,98	0
xxx	G+V7	93,61	0,42	15,43	0,14	8,56	0,01
xxx	G+V8	95,41	-0,61	17,78	-0,36	9,72	0
xxx	G+Q+0,6*V1	114,006	-1,106	6,894	-0,604	4,572	0
xxx	G+Q+0,6*V2	114,096	-1,16	7,02	-0,628	4,632	0
xxx	G+Q+0,6*V3	114,054	-0,134	7,086	-0,136	4,668	0
xxx	G+Q+0,6*V4	113,964	-0,08	6,96	-0,112	4,608	0
xxx	G+Q+0,6*V5	110,562	-1,22	1,23	-0,658	1,806	-0,006
xxx	G+Q+0,6*V6	109,482	-0,602	-0,18	-0,358	1,11	0
xxx	G+Q+0,6*V7	117,498	-0,02	12,75	-0,082	7,434	0,006
xxx	G+Q+0,6*V8	118,578	-0,638	14,16	-0,382	8,13	0
xxx	G+V1+0,7*Q	106,13	-1,418	6,482	-0,751	4,315	0
xxx	G+V2+0,7*Q	106,28	-1,508	6,692	-0,791	4,415	0
xxx	G+V3+0,7*Q	106,21	0,202	6,802	0,029	4,475	0
xxx	G+V4+0,7*Q	106,06	0,292	6,592	0,069	4,375	0
xxx	G+V5+0,7*Q	100,39	-1,608	-2,958	-0,841	-0,295	-0,01
xxx	G+V6+0,7*Q	98,59	-0,578	-5,308	-0,341	-1,455	0
xxx	G+V7+0,7*Q	111,95	0,392	16,242	0,119	9,085	0,01
xxx	G+V8+0,7*Q	113,75	-0,638	18,592	-0,381	10,245	0
xxx	G+Sx	89,5942846	0,89661776	8,32853957	0,37295161	5,10073149	0,01
xxx	G-Sx	86,0657154	-2,05661776	3,33146043	-1,05295161	2,63926851	-0,01
xxx	G+Sy	90,6112587	1,12408333	9,97212506	0,47719031	5,90189567	0,01414214
xxx	G-Sy	85,0487413	-2,28408333	1,68787494	-1,15719031	1,83810433	-0,01414214
xxx	G+Sx+0,3*Sy	90,4286622	1,40784276	9,57117709	0,6181087	5,71030019	0,01424264
xxx	G+Sx-0,3*Sy	88,7599069	0,38539276	7,08590206	0,12779452	4,49116279	0,00575736
xxx	G-Sx+0,3*Sy	86,9000931	-1,54539276	4,57409794	-0,80779452	3,24883721	-0,00575736
xxx	G-Sx-0,3*Sy	85,2313378	-2,56784276	2,08882291	-1,2981087	2,02969981	-0,01424264
xxx	G+Sy+0,3*Sx	91,1405441	1,56706866	10,7216869	0,69107579	6,27111511	0,01714214
xxx	G+Sy-0,3*Sx	90,0819733	0,681098	9,22256319	0,26330482	5,53267622	0,01114214
xxx	G-Sy+0,3*Sx	85,5780267	-1,841098	2,43743681	-0,94330482	2,20732378	-0,01114214
xxx	G-Sy-0,3*Sx	84,5194559	-2,72706866	0,93831307	-1,37107579	1,46888489	-0,01714214
xxx	G+Sx+0,3*Q	97,4542846	0,88461776	8,67653957	0,36395161	5,32573149	0,01
xxx	G-Sx+0,3*Q	93,9257154	-2,06861776	3,67946043	-1,06195161	2,86426851	-0,01
xxx	G+Sy+0,3*Q	98,4712587	1,11208333	10,3201251	0,46819031	6,12689567	0,01414214
xxx	G-Sy+0,3*Q	92,9087413	-2,29608333	2,03587494	-1,16619031	2,06310433	-0,01414214
xxx	G+Sx+0,3*Sy+0,3*Q	98,2886622	1,39584276	9,91917709	0,6091087	5,93530019	0,01424264
xxx	G+Sx-0,3*Sy+0,3*Q	96,6199069	0,37339276	7,43390206	0,11879452	4,71616279	0,00575736

xxx	G-Sx+0,3*Sy+0,3*Q	94,7600931	-1,55739276	4,92209794	-0,81679452	3,47383721	-0,00575736
xxx	G-Sx-0,3*Sy+0,3*Q	93,0913378	-2,57984276	2,43682291	-1,3071087	2,25469981	-0,01424264
xxx	G+Sy+0,3*Sx+0,3*Q	99,0005441	1,55506866	11,0696869	0,68207579	6,49611511	0,01714214
xxx	G+Sy-0,3*Sx+0,3*Q	97,9419733	0,669098	9,57056319	0,25430482	5,75767622	0,01114214
xxx	G-Sy+0,3*Sx+0,3*Q	93,4380267	-1,853098	2,78543681	-0,95230482	2,43232378	-0,01114214
xxx	G-Sy-0,3*Sx+0,3*Q	92,3794559	-2,73906866	1,28631307	-1,38007579	1,69388489	-0,01714214
xxx	G+BOMB	128,86	-0,67	5,36	-0,42	3,52	0
xxx	G+BOMB+0,5*Q	141,96	-0,69	5,94	-0,435	3,895	0
xxx	G+BOMB+0,5*V1	128,84	-1,075	5,28	-0,615	3,48	0
xxx	G+BOMB+0,5*V2	128,915	-1,12	5,385	-0,635	3,53	0
xxx	G+BOMB+0,5*V3	128,88	-0,265	5,44	-0,225	3,56	0
xxx	G+BOMB+0,5*V4	128,805	-0,22	5,335	-0,205	3,51	0
xxx	G+BOMB+0,5*V5	125,97	-1,17	0,56	-0,66	1,175	-0,005
xxx	G+BOMB+0,5*V6	125,07	-0,655	-0,615	-0,41	0,595	0
xxx	G+BOMB+0,5*V7	131,75	-0,17	10,16	-0,18	5,865	0,005
xxx	G+BOMB+0,5*V8	132,65	-0,685	11,335	-0,43	6,445	0
xxx	G+BOMB+0,5*V1+0,3*Q	136,7	-1,087	5,628	-0,624	3,705	0
xxx	G+BOMB+0,5*V2+0,3*Q	136,775	-1,132	5,733	-0,644	3,755	0
xxx	G+BOMB+0,5*V3+0,3*Q	136,74	-0,277	5,788	-0,234	3,785	0
xxx	G+BOMB+0,5*V4+0,3*Q	136,665	-0,232	5,683	-0,214	3,735	0
xxx	G+BOMB+0,5*V5+0,3*Q	133,83	-1,182	0,908	-0,669	1,4	-0,005
xxx	G+BOMB+0,5*V6+0,3*Q	132,93	-0,667	-0,267	-0,419	0,82	0
xxx	G+BOMB+0,5*V7+0,3*Q	139,61	-0,182	10,508	-0,189	6,09	0,005
xxx	G+BOMB+0,5*V8+0,3*Q	140,51	-0,697	11,683	-0,439	6,67	0
P4	G	63,92	-0,37	1,9	-0,21	1,26	0
xxx	G+Q	85,49	-0,35	2,33	-0,2	1,53	0
xxx	G+V1	64,31	-0,96	1,9	-0,5	1,26	0
xxx	G+V2	64,39	-1,03	1,92	-0,53	1,28	0
xxx	G+V3	63,53	0,22	1,9	0,08	1,26	0
xxx	G+V4	63,45	0,29	1,88	0,11	1,24	0
xxx	G+V5	57,32	-1,12	-2,51	-0,58	-1	-0,01
xxx	G+V6	56,3	-0,39	-2,77	-0,22	-1,14	0
xxx	G+V7	70,52	0,38	6,31	0,16	3,52	0,01
xxx	G+V8	71,54	-0,35	6,57	-0,2	3,66	0
xxx	G+Q+0,6*V1	85,724	-0,704	2,33	-0,374	1,53	0
xxx	G+Q+0,6*V2	85,772	-0,746	2,342	-0,392	1,542	0
xxx	G+Q+0,6*V3	85,256	0,004	2,33	-0,026	1,53	0
xxx	G+Q+0,6*V4	85,208	0,046	2,318	-0,008	1,518	0
xxx	G+Q+0,6*V5	81,53	-0,8	-0,316	-0,422	0,174	-0,006
xxx	G+Q+0,6*V6	80,918	-0,362	-0,472	-0,206	0,09	0
xxx	G+Q+0,6*V7	89,45	0,1	4,976	0,022	2,886	0,006
xxx	G+Q+0,6*V8	90,062	-0,338	5,132	-0,194	2,97	0
xxx	G+V1+0,7*Q	79,409	-0,946	2,201	-0,493	1,449	0
xxx	G+V2+0,7*Q	79,489	-1,016	2,221	-0,523	1,469	0
xxx	G+V3+0,7*Q	78,629	0,234	2,201	0,087	1,449	0
xxx	G+V4+0,7*Q	78,549	0,304	2,181	0,117	1,429	0
xxx	G+V5+0,7*Q	72,419	-1,106	-2,209	-0,573	-0,811	-0,01
xxx	G+V6+0,7*Q	71,399	-0,376	-2,469	-0,213	-0,951	0
xxx	G+V7+0,7*Q	85,619	0,394	6,611	0,167	3,709	0,01
xxx	G+V8+0,7*Q	86,639	-0,336	6,871	-0,193	3,849	0
xxx	G+Sx	65,7610052	0,71245092	2,87918333	0,32188345	1,76199602	0,01
xxx	G-Sx	62,0789948	-1,45245092	0,92081667	-0,74188345	0,75800398	-0,01
xxx	G+Sy	66,5903183	0,87527105	3,62493478	0,40180062	2,14034084	0
xxx	G-Sy	61,2496817	-1,61527105	0,17506522	-0,82180062	0,37965916	0
xxx	G+Sx+0,3*Sy	66,5621007	1,08603224	3,39666377	0,50542363	2,02609827	0,01
xxx	G+Sx-0,3*Sy	64,9599097	0,33886961	2,3617029	0,13834326	1,49789376	0,01
xxx	G-Sx+0,3*Sy	62,8800903	-1,07886961	1,4382971	-0,55834326	1,02210624	-0,01
xxx	G-Sx-0,3*Sy	61,2778993	-1,82603224	0,40333623	-0,92542363	0,49390173	-0,01
xxx	G+Sy+0,3*Sx	67,1426199	1,20000633	3,91868978	0,56136565	2,29093965	0,003
xxx	G+Sy-0,3*Sx	66,0380168	0,55053578	3,33117978	0,24223559	1,98974204	-0,003

xxx	G-Sy+0,3*Sx	61,8019832	-1,29053578	0,46882022	-0,66223559	0,53025796	0,003
xxx	G-Sy-0,3*Sx	60,6973801	-1,94000633	-0,11868978	-0,98136565	0,22906035	-0,003
xxx	G+Sx+0,3*Q	72,2320052	0,71845092	3,00818333	0,32488345	1,84299602	0,01
xxx	G-Sx+0,3*Q	68,5499948	-1,44645092	1,04981667	-0,73888345	0,83900398	-0,01
xxx	G+Sy+0,3*Q	73,0613183	0,88127105	3,75393478	0,40480062	2,22134084	0
xxx	G-Sy+0,3*Q	67,7206817	-1,60927105	0,30406522	-0,81880062	0,46065916	0
xxx	G+Sx+0,3*Sy+0,3*Q	73,0331007	1,09203224	3,52566377	0,50842363	2,10709827	0,01
xxx	G+Sx-0,3*Sy+0,3*Q	71,4309097	0,34486961	2,4907029	0,14134326	1,57889376	0,01
xxx	G-Sx+0,3*Sy+0,3*Q	69,3510903	-1,07286961	1,5672971	-0,55534326	1,10310624	-0,01
xxx	G-Sx-0,3*Sy+0,3*Q	67,7488993	-1,82003224	0,53233623	-0,92242363	0,57490173	-0,01
xxx	G+Sy+0,3*Sx+0,3*Q	73,6136199	1,20600633	4,04768978	0,56436565	2,37193965	0,003
xxx	G+Sy-0,3*Sx+0,3*Q	72,5090168	0,55653578	3,46017978	0,24523559	2,07074204	-0,003
xxx	G-Sy+0,3*Sx+0,3*Q	68,2729832	-1,28453578	0,59782022	-0,65923559	0,61125796	0,003
xxx	G-Sy-0,3*Sx+0,3*Q	67,1683801	-1,93400633	0,01031022	-0,97836565	0,31006035	-0,003
xxx	G+BOMB	112,11	-0,01	1,86	0,02	1,22	0
xxx	G+BOMB+0,5*Q	122,895	0	2,075	0,025	1,355	0
xxx	G+BOMB+0,5*V1	112,305	-0,305	1,86	-0,125	1,22	0
xxx	G+BOMB+0,5*V2	112,345	-0,34	1,87	-0,14	1,23	0
xxx	G+BOMB+0,5*V3	111,915	0,285	1,86	0,165	1,22	0
xxx	G+BOMB+0,5*V4	111,875	0,32	1,85	0,18	1,21	0
xxx	G+BOMB+0,5*V5	108,81	-0,385	-0,345	-0,165	0,09	-0,005
xxx	G+BOMB+0,5*V6	108,3	-0,02	-0,475	0,015	0,02	0
xxx	G+BOMB+0,5*V7	115,41	0,365	4,065	0,205	2,35	0,005
xxx	G+BOMB+0,5*V8	115,92	0	4,195	0,025	2,42	0
xxx	G+BOMB+0,5*V1+0,3*Q	118,776	-0,299	1,989	-0,122	1,301	0
xxx	G+BOMB+0,5*V2+0,3*Q	118,816	-0,334	1,999	-0,137	1,311	0
xxx	G+BOMB+0,5*V3+0,3*Q	118,386	0,291	1,989	0,168	1,301	0
xxx	G+BOMB+0,5*V4+0,3*Q	118,346	0,326	1,979	0,183	1,291	0
xxx	G+BOMB+0,5*V5+0,3*Q	115,281	-0,379	-0,216	-0,162	0,171	-0,005
xxx	G+BOMB+0,5*V6+0,3*Q	114,771	-0,014	-0,346	0,018	0,101	0
xxx	G+BOMB+0,5*V7+0,3*Q	121,881	0,371	4,194	0,208	2,431	0,005
xxx	G+BOMB+0,5*V8+0,3*Q	122,391	0,006	4,324	0,028	2,501	0
P5	G	29,93	-0,31	0,39	-0,19	0,26	0
xxx	G+Q	45,2	-0,36	0,6	-0,24	0,39	0
xxx	G+V1	30,02	-0,75	0,4	-0,39	0,27	0
xxx	G+V2	30,02	-0,8	0,39	-0,41	0,26	0
xxx	G+V3	29,84	0,13	0,38	0,01	0,25	0
xxx	G+V4	29,84	0,18	0,39	0,03	0,26	0
xxx	G+V5	28,55	-0,86	-2,14	-0,44	-0,9	0
xxx	G+V6	28,54	-0,31	-1,95	-0,19	-0,82	0
xxx	G+V7	31,31	0,24	2,92	0,06	1,42	0
xxx	G+V8	31,32	-0,31	2,73	-0,19	1,34	0
xxx	G+Q+0,6*V1	45,254	-0,624	0,606	-0,36	0,396	0
xxx	G+Q+0,6*V2	45,254	-0,654	0,6	-0,372	0,39	0
xxx	G+Q+0,6*V3	45,146	-0,096	0,594	-0,12	0,384	0
xxx	G+Q+0,6*V4	45,146	-0,066	0,6	-0,108	0,39	0
xxx	G+Q+0,6*V5	44,372	-0,69	-0,918	-0,39	-0,306	0
xxx	G+Q+0,6*V6	44,366	-0,36	-0,804	-0,24	-0,258	0
xxx	G+Q+0,6*V7	46,028	-0,03	2,118	-0,09	1,086	0
xxx	G+Q+0,6*V8	46,034	-0,36	2,004	-0,24	1,038	0
xxx	G+V1+0,7*Q	40,709	-0,785	0,547	-0,425	0,361	0
xxx	G+V2+0,7*Q	40,709	-0,835	0,537	-0,445	0,351	0
xxx	G+V3+0,7*Q	40,529	0,095	0,527	-0,025	0,341	0
xxx	G+V4+0,7*Q	40,529	0,145	0,537	-0,005	0,351	0
xxx	G+V5+0,7*Q	39,239	-0,895	-1,993	-0,475	-0,809	0
xxx	G+V6+0,7*Q	39,229	-0,345	-1,803	-0,225	-0,729	0
xxx	G+V7+0,7*Q	41,999	0,205	3,067	0,025	1,511	0
xxx	G+V8+0,7*Q	42,009	-0,345	2,877	-0,225	1,431	0
xxx	G+Sx	30,3488078	0,5	1,02953108	0,17496575	0,55512709	0
xxx	G-Sx	29,5111922	-1,12	-0,24953108	-0,55496575	-0,03512709	0

xxx	G+Sy	30,4239636	0,61368826	1,38030298	0,23508823	0,7194562	0
xxx	G-Sy	29,4360364	-1,23368826	-0,60030298	-0,61508823	-0,1994562	0
xxx	G+Sx+0,3*Sy	30,4969969	0,77710648	1,32662197	0,30249222	0,69296395	0
xxx	G+Sx-0,3*Sy	30,2006188	0,22289352	0,73244018	0,04743928	0,41729023	0
xxx	G-Sx+0,3*Sy	29,6593812	-0,84289352	0,04755982	-0,42743928	0,10270977	0
xxx	G-Sx-0,3*Sy	29,3630031	-1,39710648	-0,54662197	-0,68249222	-0,17296395	0
xxx	G+Sy+0,3*Sx	30,5496059	0,85668826	1,57216231	0,34457795	0,80799433	0
xxx	G+Sy-0,3*Sx	30,2983212	0,37068826	1,18844366	0,1255985	0,63091807	0
xxx	G-Sy+0,3*Sx	29,5616788	-0,99068826	-0,40844366	-0,5055985	-0,11091807	0
xxx	G-Sy-0,3*Sx	29,3103941	-1,47668826	-0,79216231	-0,72457795	-0,28799433	0
xxx	G+Sx+0,3*Q	34,9298078	0,485	1,09253108	0,15996575	0,59412709	0
xxx	G-Sx+0,3*Q	34,0921922	-1,135	-0,18653108	-0,56996575	0,00387291	0
xxx	G+Sy+0,3*Q	35,0049636	0,59868826	1,44330298	0,22008823	0,7584562	0
xxx	G-Sy+0,3*Q	34,0170364	-1,24868826	-0,53730298	-0,63008823	-0,1604562	0
xxx	G+Sx+0,3*Sy+0,3*Q	35,0779969	0,76210648	1,38962197	0,28749222	0,73196395	0
xxx	G+Sx-0,3*Sy+0,3*Q	34,7816188	0,20789352	0,79544018	0,03243928	0,45629023	0
xxx	G-Sx+0,3*Sy+0,3*Q	34,2403812	-0,85789352	0,11055982	-0,44243928	0,14170977	0
xxx	G-Sx-0,3*Sy+0,3*Q	33,9440031	-1,41210648	-0,48362197	-0,69749222	-0,13396395	0
xxx	G+Sy+0,3*Sx+0,3*Q	35,1306059	0,84168826	1,63516231	0,32957795	0,84699433	0
xxx	G+Sy-0,3*Sx+0,3*Q	34,8793212	0,35568826	1,25144366	0,1105985	0,66991807	0
xxx	G-Sy+0,3*Sx+0,3*Q	34,1426788	-1,00568826	-0,34544366	-0,5205985	-0,07191807	0
xxx	G-Sy-0,3*Sx+0,3*Q	33,8913941	-1,49168826	-0,72916231	-0,73957795	-0,24899433	0
xxx	G+BOMB	73,48	-0,5	0,46	-0,35	0,29	0
xxx	G+BOMB+0,5*Q	81,115	-0,525	0,565	-0,375	0,355	0
xxx	G+BOMB+0,5*V1	73,525	-0,72	0,465	-0,45	0,295	0
xxx	G+BOMB+0,5*V2	73,525	-0,745	0,46	-0,46	0,29	0
xxx	G+BOMB+0,5*V3	73,435	-0,28	0,455	-0,25	0,285	0
xxx	G+BOMB+0,5*V4	73,435	-0,255	0,46	-0,24	0,29	0
xxx	G+BOMB+0,5*V5	72,79	-0,775	-0,805	-0,475	-0,29	0
xxx	G+BOMB+0,5*V6	72,785	-0,5	-0,71	-0,35	-0,25	0
xxx	G+BOMB+0,5*V7	74,17	-0,225	1,725	-0,225	0,87	0
xxx	G+BOMB+0,5*V8	74,175	-0,5	1,63	-0,35	0,83	0
xxx	G+BOMB+0,5*V1+0,3*Q	78,106	-0,735	0,528	-0,465	0,334	0
xxx	G+BOMB+0,5*V2+0,3*Q	78,106	-0,76	0,523	-0,475	0,329	0
xxx	G+BOMB+0,5*V3+0,3*Q	78,016	-0,295	0,518	-0,265	0,324	0
xxx	G+BOMB+0,5*V4+0,3*Q	78,016	-0,27	0,523	-0,255	0,329	0
xxx	G+BOMB+0,5*V5+0,3*Q	77,371	-0,79	-0,742	-0,49	-0,251	0
xxx	G+BOMB+0,5*V6+0,3*Q	77,366	-0,515	-0,647	-0,365	-0,211	0
xxx	G+BOMB+0,5*V7+0,3*Q	78,751	-0,24	1,788	-0,24	0,909	0
xxx	G+BOMB+0,5*V8+0,3*Q	78,756	-0,515	1,693	-0,365	0,869	0
P6	G	27,73	-0,07	0,61	0	0,4	0
xxx	G+Q	42,57	0,02	0,99	0,06	0,64	0
xxx	G+V1	27,77	-0,6	0,65	-0,24	0,42	0
xxx	G+V2	27,74	-0,65	0,6	-0,27	0,39	0
xxx	G+V3	27,69	0,46	0,57	0,24	0,38	0
xxx	G+V4	27,72	0,51	0,62	0,27	0,41	0
xxx	G+V5	25,77	-0,75	-3,76	-0,31	-1,63	-0,01
xxx	G+V6	26,04	-0,09	-3,19	-0,01	-1,37	0
xxx	G+V7	29,69	0,61	4,98	0,31	2,43	0,01
xxx	G+V8	29,42	-0,05	4,41	0,01	2,17	0
xxx	G+Q+0,6*V1	42,594	-0,298	1,014	-0,084	0,652	0
xxx	G+Q+0,6*V2	42,576	-0,328	0,984	-0,102	0,634	0
xxx	G+Q+0,6*V3	42,546	0,338	0,966	0,204	0,628	0
xxx	G+Q+0,6*V4	42,564	0,368	0,996	0,222	0,646	0
xxx	G+Q+0,6*V5	41,394	-0,388	-1,632	-0,126	-0,578	-0,006
xxx	G+Q+0,6*V6	41,556	0,008	-1,29	0,054	-0,422	0
xxx	G+Q+0,6*V7	43,746	0,428	3,612	0,246	1,858	0,006
xxx	G+Q+0,6*V8	43,584	0,032	3,27	0,066	1,702	0
xxx	G+V1+0,7*Q	38,158	-0,537	0,916	-0,198	0,588	0
xxx	G+V2+0,7*Q	38,128	-0,587	0,866	-0,228	0,558	0

xxx	G+V3+0,7*Q	38,078	0,523	0,836	0,282	0,548	0
xxx	G+V4+0,7*Q	38,108	0,573	0,886	0,312	0,578	0
xxx	G+V5+0,7*Q	36,158	-0,687	-3,494	-0,268	-1,462	-0,01
xxx	G+V6+0,7*Q	36,428	-0,027	-2,924	0,032	-1,202	0
xxx	G+V7+0,7*Q	40,078	0,673	5,246	0,352	2,598	0,01
xxx	G+V8+0,7*Q	39,808	0,013	4,676	0,052	2,338	0
xxx	G+Sx	28,3148932	0,88608577	1,83694743	0,44090815	0,97445626	0,01
xxx	G-Sx	27,1451068	-1,02608577	-0,61694743	-0,44090815	-0,17445626	-0,01
xxx	G+Sy	28,5132624	1,04189028	2,35384632	0,50842895	1,21172655	0
xxx	G-Sy	26,9467376	-1,18189028	-1,13384632	-0,50842895	-0,41172655	0
xxx	G+Sx+0,3*Sy	28,5498719	1,21965285	2,36010133	0,59343684	1,21797423	0,01
xxx	G+Sx-0,3*Sy	28,0799144	0,55251869	1,31379353	0,28837947	0,7309383	0,01
xxx	G-Sx+0,3*Sy	27,3800856	-0,69251869	-0,09379353	-0,28837947	0,0690617	-0,01
xxx	G-Sx-0,3*Sy	26,9101281	-1,35965285	-1,14010133	-0,59343684	-0,41797423	-0,01
xxx	G+Sy+0,3*Sx	28,6887304	1,32871601	2,72193055	0,6407014	1,38406343	0,003
xxx	G+Sy-0,3*Sx	28,3377945	0,75506455	1,98576209	0,37615651	1,03938968	-0,003
xxx	G-Sy+0,3*Sx	27,1222055	-0,89506455	-0,76576209	-0,37615651	-0,23938968	0,003
xxx	G-Sy-0,3*Sx	26,7712696	-1,46871601	-1,50193055	-0,6407014	-0,58406343	-0,003
xxx	G+Sx+0,3*Q	32,7668932	0,91308577	1,95094743	0,45890815	1,04645626	0,01
xxx	G-Sx+0,3*Q	31,5971068	-0,99908577	-0,50294743	-0,42290815	-0,10245626	-0,01
xxx	G+Sy+0,3*Q	32,9652624	1,06889028	2,46784632	0,52642895	1,28372655	0
xxx	G-Sy+0,3*Q	31,3987376	-1,15489028	-1,01984632	-0,49042895	-0,33972655	0
xxx	G+Sx+0,3*Sy+0,3*Q	33,0018719	1,24665285	2,47410133	0,61143684	1,28997423	0,01
xxx	G+Sx-0,3*Sy+0,3*Q	32,5319144	0,57951869	1,42779353	0,30637947	0,8029383	0,01
xxx	G-Sx+0,3*Sy+0,3*Q	31,8320856	-0,66551869	0,02020647	-0,27037947	0,1410617	-0,01
xxx	G-Sx-0,3*Sy+0,3*Q	31,3621281	-1,33265285	-1,02610133	-0,57543684	-0,34597423	-0,01
xxx	G+Sy+0,3*Sx+0,3*Q	33,1407304	1,35571601	2,83593055	0,6587014	1,45606343	0,003
xxx	G+Sy-0,3*Sx+0,3*Q	32,7897945	0,78206455	2,09976209	0,39415651	1,11138968	-0,003
xxx	G-Sy+0,3*Sx+0,3*Q	31,5742055	-0,86806455	-0,65176209	-0,35815651	-0,16738968	0,003
xxx	G-Sy-0,3*Sx+0,3*Q	31,2232696	-1,44171601	-1,38793055	-0,6227014	-0,51206343	-0,003
xxx	G+BOMB	67,34	0,17	0,74	0,17	0,46	0
xxx	G+BOMB+0,5*Q	74,76	0,215	0,93	0,2	0,58	0
xxx	G+BOMB+0,5*V1	67,36	-0,095	0,76	0,05	0,47	0
xxx	G+BOMB+0,5*V2	67,345	-0,12	0,735	0,035	0,455	0
xxx	G+BOMB+0,5*V3	67,32	0,435	0,72	0,29	0,45	0
xxx	G+BOMB+0,5*V4	67,335	0,46	0,745	0,305	0,465	0
xxx	G+BOMB+0,5*V5	66,36	-0,17	-1,445	0,015	-0,555	-0,005
xxx	G+BOMB+0,5*V6	66,495	0,16	-1,16	0,165	-0,425	0
xxx	G+BOMB+0,5*V7	68,32	0,51	2,925	0,325	1,475	0,005
xxx	G+BOMB+0,5*V8	68,185	0,18	2,64	0,175	1,345	0
xxx	G+BOMB+0,5*V1+0,3*Q	71,812	-0,068	0,874	0,068	0,542	0
xxx	G+BOMB+0,5*V2+0,3*Q	71,797	-0,093	0,849	0,053	0,527	0
xxx	G+BOMB+0,5*V3+0,3*Q	71,772	0,462	0,834	0,308	0,522	0
xxx	G+BOMB+0,5*V4+0,3*Q	71,787	0,487	0,859	0,323	0,537	0
xxx	G+BOMB+0,5*V5+0,3*Q	70,812	-0,143	-1,331	0,033	-0,483	-0,005
xxx	G+BOMB+0,5*V6+0,3*Q	70,947	0,187	-1,046	0,183	-0,353	0
xxx	G+BOMB+0,5*V7+0,3*Q	72,772	0,537	3,039	0,343	1,547	0,005
xxx	G+BOMB+0,5*V8+0,3*Q	72,637	0,207	2,754	0,193	1,417	0
P7	G	36,19	-0,19	0,69	-0,09	0,46	0
xxx	G+Q	55,76	-0,16	1,15	-0,07	0,75	0
xxx	G+V1	36,21	-0,74	0,76	-0,35	0,49	0
xxx	G+V2	36,16	-0,8	0,67	-0,38	0,45	0
xxx	G+V3	36,17	0,36	0,62	0,17	0,43	0
xxx	G+V4	36,22	0,42	0,71	0,2	0,47	0
xxx	G+V5	33,2	-0,89	-4,36	-0,42	-1,95	-0,01
xxx	G+V6	33,81	-0,2	-3,32	-0,1	-1,45	0
xxx	G+V7	39,18	0,51	5,74	0,24	2,87	0,01
xxx	G+V8	38,57	-0,18	4,7	-0,08	2,37	0
xxx	G+Q+0,6*V1	55,772	-0,49	1,192	-0,226	0,768	0
xxx	G+Q+0,6*V2	55,742	-0,526	1,138	-0,244	0,744	0

xxx	G+Q+0,6*V3	55,748	0,17	1,108	0,086	0,732	0
xxx	G+Q+0,6*V4	55,778	0,206	1,162	0,104	0,756	0
xxx	G+Q+0,6*V5	53,966	-0,58	-1,88	-0,268	-0,696	-0,006
xxx	G+Q+0,6*V6	54,332	-0,166	-1,256	-0,076	-0,396	0
xxx	G+Q+0,6*V7	57,554	0,26	4,18	0,128	2,196	0,006
xxx	G+Q+0,6*V8	57,188	-0,154	3,556	-0,064	1,896	0
xxx	G+V1+0,7*Q	49,909	-0,719	1,082	-0,336	0,693	0
xxx	G+V2+0,7*Q	49,859	-0,779	0,992	-0,366	0,653	0
xxx	G+V3+0,7*Q	49,869	0,381	0,942	0,184	0,633	0
xxx	G+V4+0,7*Q	49,919	0,441	1,032	0,214	0,673	0
xxx	G+V5+0,7*Q	46,899	-0,869	-4,038	-0,406	-1,747	-0,01
xxx	G+V6+0,7*Q	47,509	-0,179	-2,998	-0,086	-1,247	0
xxx	G+V7+0,7*Q	52,879	0,531	6,062	0,254	3,073	0,01
xxx	G+V8+0,7*Q	52,269	-0,159	5,022	-0,066	2,573	0
xxx	G+Sx	37,1366784	0,81757134	2,32908511	0,38571	1,24733728	0,01
xxx	G-Sx	35,2433216	-1,19757134	-0,94908511	-0,56571	-0,32733728	-0,01
xxx	G+Sy	37,4643233	0,96021737	2,79592023	0,45350713	1,46314505	0
xxx	G-Sy	34,9156767	-1,34021737	-1,41592023	-0,63350713	-0,54314505	0
xxx	G+Sx+0,3*Sy	37,5189754	1,16263655	2,96086118	0,54876213	1,5482808	0,01
xxx	G+Sx-0,3*Sy	36,7543814	0,47250613	1,69730904	0,22265786	0,94639377	0,01
xxx	G-Sx+0,3*Sy	35,6256186	-0,85250613	-0,31730904	-0,40265786	-0,02639377	-0,01
xxx	G-Sx-0,3*Sy	34,8610246	-1,54263655	-1,58086118	-0,72876213	-0,6282808	-0,01
xxx	G+Sy+0,3*Sx	37,7483269	1,26248877	3,28764576	0,59622013	1,69934624	0,003
xxx	G+Sy-0,3*Sx	37,1803198	0,65794597	2,30419469	0,31079413	1,22694387	-0,003
xxx	G-Sy+0,3*Sx	35,1996802	-1,03794597	-0,92419469	-0,49079413	-0,30694387	0,003
xxx	G-Sy-0,3*Sx	34,6316731	-1,64248877	-1,90764576	-0,77622013	-0,77934624	-0,003
xxx	G+Sx+0,3*Q	43,0076784	0,82657134	2,46708511	0,39171	1,33433728	0,01
xxx	G-Sx+0,3*Q	41,1143216	-1,18857134	-0,81108511	-0,55971	-0,24033728	-0,01
xxx	G+Sy+0,3*Q	43,3353233	0,96921737	2,93392023	0,45950713	1,55014505	0
xxx	G-Sy+0,3*Q	40,7866767	-1,33121737	-1,27792023	-0,62750713	-0,45614505	0
xxx	G+Sx+0,3*Sy+0,3*Q	43,3899754	1,17163655	3,09886118	0,55476213	1,6352808	0,01
xxx	G+Sx-0,3*Sy+0,3*Q	42,6253814	0,48150613	1,83530904	0,22865786	1,03339377	0,01
xxx	G-Sx+0,3*Sy+0,3*Q	41,4966186	-0,84350613	-0,17930904	-0,39665786	0,06060623	-0,01
xxx	G-Sx-0,3*Sy+0,3*Q	40,7320246	-1,53363655	-1,44286118	-0,72276213	-0,5412808	-0,01
xxx	G+Sy+0,3*Sx+0,3*Q	43,6193269	1,27148877	3,42564576	0,60222013	1,78634624	0,003
xxx	G+Sy-0,3*Sx+0,3*Q	43,0513198	0,66694597	2,44219469	0,31679413	1,31394387	-0,003
xxx	G-Sy+0,3*Sx+0,3*Q	41,0706802	-1,02894597	-0,78619469	-0,48479413	-0,21994387	0,003
xxx	G-Sy-0,3*Sx+0,3*Q	40,5026731	-1,63348877	-1,76964576	-0,77022013	-0,69234624	-0,003
xxx	G+BOMB	88,14	-0,13	0,88	-0,06	0,55	0
xxx	G+BOMB+0,5*Q	97,925	-0,115	1,11	-0,05	0,695	0
xxx	G+BOMB+0,5*V1	88,15	-0,405	0,915	-0,19	0,565	0
xxx	G+BOMB+0,5*V2	88,125	-0,435	0,87	-0,205	0,545	0
xxx	G+BOMB+0,5*V3	88,13	0,145	0,845	0,07	0,535	0
xxx	G+BOMB+0,5*V4	88,155	0,175	0,89	0,085	0,555	0
xxx	G+BOMB+0,5*V5	86,645	-0,48	-1,645	-0,225	-0,655	-0,005
xxx	G+BOMB+0,5*V6	86,95	-0,135	-1,125	-0,065	-0,405	0
xxx	G+BOMB+0,5*V7	89,635	0,22	3,405	0,105	1,755	0,005
xxx	G+BOMB+0,5*V8	89,33	-0,125	2,885	-0,055	1,505	0
xxx	G+BOMB+0,5*V1+0,3*Q	94,021	-0,396	1,053	-0,184	0,652	0
xxx	G+BOMB+0,5*V2+0,3*Q	93,996	-0,426	1,008	-0,199	0,632	0
xxx	G+BOMB+0,5*V3+0,3*Q	94,001	0,154	0,983	0,076	0,622	0
xxx	G+BOMB+0,5*V4+0,3*Q	94,026	0,184	1,028	0,091	0,642	0
xxx	G+BOMB+0,5*V5+0,3*Q	92,516	-0,471	-1,507	-0,219	-0,568	-0,005
xxx	G+BOMB+0,5*V6+0,3*Q	92,821	-0,126	-0,987	-0,059	-0,318	0
xxx	G+BOMB+0,5*V7+0,3*Q	95,506	0,229	3,543	0,111	1,842	0,005
xxx	G+BOMB+0,5*V8+0,3*Q	95,201	-0,116	3,023	-0,049	1,592	0
P8	G	39,37	-0,13	0,74	-0,04	0,49	0
xxx	G+Q	61,82	-0,05	1,31	0,01	0,85	0
xxx	G+V1	39,36	-0,71	0,84	-0,32	0,54	0
xxx	G+V2	39,27	-0,77	0,71	-0,35	0,47	0

xxx	G+V3	39,38	0,45	0,64	0,24	0,44	0
xxx	G+V4	39,47	0,51	0,77	0,27	0,51	0
xxx	G+V5	35,86	-0,87	-5,06	-0,4	-2,35	-0,01
xxx	G+V6	36,9	-0,15	-3,48	-0,05	-1,57	0
xxx	G+V7	42,88	0,61	6,54	0,32	3,33	0,01
xxx	G+V8	41,84	-0,11	4,96	-0,03	2,55	0
xxx	G+Q+0,6*V1	61,814	-0,398	1,37	-0,158	0,88	0
xxx	G+Q+0,6*V2	61,76	-0,434	1,292	-0,176	0,838	0
xxx	G+Q+0,6*V3	61,826	0,298	1,25	0,178	0,82	0
xxx	G+Q+0,6*V4	61,88	0,334	1,328	0,196	0,862	0
xxx	G+Q+0,6*V5	59,714	-0,494	-2,17	-0,206	-0,854	-0,006
xxx	G+Q+0,6*V6	60,338	-0,062	-1,222	0,004	-0,386	0
xxx	G+Q+0,6*V7	63,926	0,394	4,79	0,226	2,554	0,006
xxx	G+Q+0,6*V8	63,302	-0,038	3,842	0,016	2,086	0
xxx	G+V1+0,7*Q	55,075	-0,654	1,239	-0,285	0,792	0
xxx	G+V2+0,7*Q	54,985	-0,714	1,109	-0,315	0,722	0
xxx	G+V3+0,7*Q	55,095	0,506	1,039	0,275	0,692	0
xxx	G+V4+0,7*Q	55,185	0,566	1,169	0,305	0,762	0
xxx	G+V5+0,7*Q	51,575	-0,814	-4,661	-0,365	-2,098	-0,01
xxx	G+V6+0,7*Q	52,615	-0,094	-3,081	-0,015	-1,318	0
xxx	G+V7+0,7*Q	58,595	0,666	6,939	0,355	3,582	0,01
xxx	G+V8+0,7*Q	57,555	-0,054	5,359	0,005	2,802	0
xxx	G+Sx	40,6341994	0,92744976	2,87686687	0,47107729	1,53316825	0,01
xxx	G-Sx	38,1058006	-1,18744976	-1,39686687	-0,55107729	-0,55316825	-0,01
xxx	G+Sy	41,0225435	1,08020659	3,27406788	0,55008474	1,73120909	0
xxx	G-Sy	37,7174565	-1,34020659	-1,79406788	-0,63008474	-0,75120909	0
xxx	G+Sx+0,3*Sy	41,1299624	1,29051174	3,63708723	0,64810272	1,90553098	0,01
xxx	G+Sx-0,3*Sy	40,1384363	0,56438778	2,1166465	0,29405187	1,16080552	0,01
xxx	G-Sx+0,3*Sy	38,6015637	-0,82438778	-0,6366465	-0,37405187	-0,18080552	-0,01
xxx	G-Sx-0,3*Sy	37,6100376	-1,55051174	-2,15708723	-0,72810272	-0,92553098	-0,01
xxx	G+Sy+0,3*Sx	41,4018033	1,39744152	3,91512794	0,70340793	2,04415956	0,003
xxx	G+Sy-0,3*Sx	40,6432837	0,76297167	2,63300782	0,39676155	1,41825861	-0,003
xxx	G-Sy+0,3*Sx	38,0967163	-1,02297167	-1,15300782	-0,47676155	-0,43825861	0,003
xxx	G-Sy-0,3*Sx	37,3381967	-1,65744152	-2,43512794	-0,78340793	-1,06415956	-0,003
xxx	G+Sx+0,3*Q	47,3691994	0,95144976	3,04786687	0,48607729	1,64116825	0,01
xxx	G-Sx+0,3*Q	44,8408006	-1,16344976	-1,22586687	-0,53607729	-0,44516825	-0,01
xxx	G+Sy+0,3*Q	47,7575435	1,10420659	3,44506788	0,56508474	1,83920909	0
xxx	G-Sy+0,3*Q	44,4524565	-1,31620659	-1,62306788	-0,61508474	-0,64320909	0
xxx	G+Sx+0,3*Sy+0,3*Q	47,8649624	1,31451174	3,80808723	0,66310272	2,01353098	0,01
xxx	G+Sx-0,3*Sy+0,3*Q	46,8734363	0,58838778	2,2876465	0,30905187	1,26880552	0,01
xxx	G-Sx+0,3*Sy+0,3*Q	45,3365637	-0,80038778	-0,4656465	-0,35905187	-0,07280552	-0,01
xxx	G-Sx-0,3*Sy+0,3*Q	44,3450376	-1,52651174	-1,98608723	-0,71310272	-0,81753098	-0,01
xxx	G+Sy+0,3*Sx+0,3*Q	48,1368033	1,42144152	4,08612794	0,71840793	2,15215956	0,003
xxx	G+Sy-0,3*Sx+0,3*Q	47,3782837	0,78697167	2,80400782	0,41176155	1,52625861	-0,003
xxx	G-Sy+0,3*Sx+0,3*Q	44,8317163	-0,99897167	-0,98200782	-0,46176155	-0,33025861	0,003
xxx	G-Sy-0,3*Sx+0,3*Q	44,0731967	-1,63344152	-2,26412794	-0,76840793	-0,95615956	-0,003
xxx	G+BOMB	96,11	0,05	0,99	0,08	0,62	0
xxx	G+BOMB+0,5*Q	107,335	0,09	1,275	0,105	0,8	0
xxx	G+BOMB+0,5*V1	96,105	-0,24	1,04	-0,06	0,645	0
xxx	G+BOMB+0,5*V2	96,06	-0,27	0,975	-0,075	0,61	0
xxx	G+BOMB+0,5*V3	96,115	0,34	0,94	0,22	0,595	0
xxx	G+BOMB+0,5*V4	96,16	0,37	1,005	0,235	0,63	0
xxx	G+BOMB+0,5*V5	94,355	-0,32	-1,91	-0,1	-0,8	-0,005
xxx	G+BOMB+0,5*V6	94,875	0,04	-1,12	0,075	-0,41	0
xxx	G+BOMB+0,5*V7	97,865	0,42	3,89	0,26	2,04	0,005
xxx	G+BOMB+0,5*V8	97,345	0,06	3,1	0,085	1,65	0
xxx	G+BOMB+0,5*V1+0,3*Q	102,84	-0,216	1,211	-0,045	0,753	0
xxx	G+BOMB+0,5*V2+0,3*Q	102,795	-0,246	1,146	-0,06	0,718	0
xxx	G+BOMB+0,5*V3+0,3*Q	102,85	0,364	1,111	0,235	0,703	0
xxx	G+BOMB+0,5*V4+0,3*Q	102,895	0,394	1,176	0,25	0,738	0
xxx	G+BOMB+0,5*V5+0,3*Q	101,09	-0,296	-1,739	-0,085	-0,692	-0,005

xxx	G+BOMB+0,5*V6+0,3*Q	101,61	0,064	-0,949	0,09	-0,302	0
xxx	G+BOMB+0,5*V7+0,3*Q	104,6	0,444	4,061	0,275	2,148	0,005
xxx	G+BOMB+0,5*V8+0,3*Q	104,08	0,084	3,271	0,1	1,758	0
P9	G	19,93	-0,79	0,73	-0,58	0,47	0
xxx	G+Q	28,74	-1,09	1,3	-0,84	0,82	0
xxx	G+V1	20,08	-1,39	0,87	-0,87	0,54	0
xxx	G+V2	20,05	-1,45	0,69	-0,9	0,45	0
xxx	G+V3	19,78	-0,19	0,59	-0,29	0,4	0
xxx	G+V4	19,81	-0,13	0,77	-0,26	0,49	0
xxx	G+V5	18,53	-1,49	-5,75	-0,91	-2,73	-0,01
xxx	G+V6	18,91	-0,77	-3,62	-0,56	-1,68	0
xxx	G+V7	21,33	-0,09	7,21	-0,25	3,67	0,01
xxx	G+V8	20,95	-0,81	5,08	-0,6	2,62	0
xxx	G+Q+0,6*V1	28,83	-1,45	1,384	-1,014	0,862	0
xxx	G+Q+0,6*V2	28,812	-1,486	1,276	-1,032	0,808	0
xxx	G+Q+0,6*V3	28,65	-0,73	1,216	-0,666	0,778	0
xxx	G+Q+0,6*V4	28,668	-0,694	1,324	-0,648	0,832	0
xxx	G+Q+0,6*V5	27,9	-1,51	-2,588	-1,038	-1,1	-0,006
xxx	G+Q+0,6*V6	28,128	-1,078	-1,31	-0,828	-0,47	0
xxx	G+Q+0,6*V7	29,58	-0,67	5,188	-0,642	2,74	0,006
xxx	G+Q+0,6*V8	29,352	-1,102	3,91	-0,852	2,11	0
xxx	G+V1+0,7*Q	26,247	-1,6	1,269	-1,052	0,785	0
xxx	G+V2+0,7*Q	26,217	-1,66	1,089	-1,082	0,695	0
xxx	G+V3+0,7*Q	25,947	-0,4	0,989	-0,472	0,645	0
xxx	G+V4+0,7*Q	25,977	-0,34	1,169	-0,442	0,735	0
xxx	G+V5+0,7*Q	24,697	-1,7	-5,351	-1,092	-2,485	-0,01
xxx	G+V6+0,7*Q	25,077	-0,98	-3,221	-0,742	-1,435	0
xxx	G+V7+0,7*Q	27,497	-0,3	7,609	-0,432	3,915	0,01
xxx	G+V8+0,7*Q	27,117	-1,02	5,479	-0,782	2,865	0
xxx	G+Sx	20,6418989	0,2992199	3,36935598	-0,04698968	1,77172962	0,01
xxx	G-Sx	19,2181011	-1,8792199	-1,90935598	-1,11301032	-0,83172962	-0,01
xxx	G+Sy	20,4456549	0,43519386	3,68442042	0,01682493	1,93201915	0
xxx	G-Sy	19,4143451	-2,01519386	-2,22442042	-1,17682493	-0,99201915	0
xxx	G+Sx+0,3*Sy	20,7965953	0,66677806	4,25568211	0,1320578	2,21033536	0,01
xxx	G+Sx-0,3*Sy	20,4872024	-0,06833825	2,48302986	-0,22603716	1,33312387	0,01
xxx	G-Sx+0,3*Sy	19,3727976	-1,51166175	-1,02302986	-0,93396284	-0,39312387	-0,01
xxx	G-Sx-0,3*Sy	19,0634047	-2,24677806	-2,79568211	-1,2920578	-1,27033536	-0,01
xxx	G+Sy+0,3*Sx	20,6592246	0,76195983	4,47622721	0,17672803	2,32253804	0,003
xxx	G+Sy-0,3*Sx	20,2320853	0,10842789	2,89261362	-0,14307816	1,54150027	-0,003
xxx	G-Sy+0,3*Sx	19,6279147	-1,68842789	-1,43261362	-1,01692184	-0,60150027	0,003
xxx	G-Sy-0,3*Sx	19,2007754	-2,34195983	-3,01622721	-1,33672803	-1,38253804	-0,003
xxx	G+Sx+0,3*Q	23,2848989	0,2092199	3,54035598	-0,12498968	1,87672962	0,01
xxx	G-Sx+0,3*Q	21,8611011	-1,9692199	-1,73835598	-1,19101032	-0,72672962	-0,01
xxx	G+Sy+0,3*Q	23,0886549	0,34519386	3,85542042	-0,06117507	2,03701915	0
xxx	G-Sy+0,3*Q	22,0573451	-2,10519386	-2,05342042	-1,25482493	-0,88701915	0
xxx	G+Sx+0,3*Sy+0,3*Q	23,4395953	0,57677806	4,42668211	0,0540578	2,31533536	0,01
xxx	G+Sx-0,3*Sy+0,3*Q	23,1302024	-0,15833825	2,65402986	-0,30403716	1,43812387	0,01
xxx	G-Sx+0,3*Sy+0,3*Q	22,0157976	-1,60166175	-0,85202986	-1,01196284	-0,28812387	-0,01
xxx	G-Sx-0,3*Sy+0,3*Q	21,7064047	-2,33677806	-2,62468211	-1,3700578	-1,16533536	-0,01
xxx	G+Sy+0,3*Sx+0,3*Q	23,3022246	0,67195983	4,64722721	0,09872803	2,42753804	0,003
xxx	G+Sy-0,3*Sx+0,3*Q	22,8750853	0,01842789	3,06361362	-0,22107816	1,64650027	-0,003
xxx	G-Sy+0,3*Sx+0,3*Q	22,2709147	-1,77842789	-1,26161362	-1,09492184	-0,49650027	0,003
xxx	G-Sy-0,3*Sx+0,3*Q	21,8437754	-2,43195983	-2,84522721	-1,41472803	-1,27753804	-0,003
xxx	G+BOMB	42,26	-1,57	0,94	-1,24	0,56	0
xxx	G+BOMB+0,5*Q	46,665	-1,72	1,225	-1,37	0,735	0
xxx	G+BOMB+0,5*V1	42,335	-1,87	1,01	-1,385	0,595	0
xxx	G+BOMB+0,5*V2	42,32	-1,9	0,92	-1,4	0,55	0
xxx	G+BOMB+0,5*V3	42,185	-1,27	0,87	-1,095	0,525	0
xxx	G+BOMB+0,5*V4	42,2	-1,24	0,96	-1,08	0,57	0
xxx	G+BOMB+0,5*V5	41,56	-1,92	-2,3	-1,405	-1,04	-0,005

xxx	G+BOMB+0,5*V6	41,75	-1,56	-1,235	-1,23	-0,515	0
xxx	G+BOMB+0,5*V7	42,96	-1,22	4,18	-1,075	2,16	0,005
xxx	G+BOMB+0,5*V8	42,77	-1,58	3,115	-1,25	1,635	0
xxx	G+BOMB+0,5*V1+0,3*Q	44,978	-1,96	1,181	-1,463	0,7	0
xxx	G+BOMB+0,5*V2+0,3*Q	44,963	-1,99	1,091	-1,478	0,655	0
xxx	G+BOMB+0,5*V3+0,3*Q	44,828	-1,36	1,041	-1,173	0,63	0
xxx	G+BOMB+0,5*V4+0,3*Q	44,843	-1,33	1,131	-1,158	0,675	0
xxx	G+BOMB+0,5*V5+0,3*Q	44,203	-2,01	-2,129	-1,483	-0,935	-0,005
xxx	G+BOMB+0,5*V6+0,3*Q	44,393	-1,65	-1,064	-1,308	-0,41	0
xxx	G+BOMB+0,5*V7+0,3*Q	45,603	-1,31	4,351	-1,153	2,265	0,005
xxx	G+BOMB+0,5*V8+0,3*Q	45,413	-1,67	3,286	-1,328	1,74	0
P10	G	19,64	0,86	0,54	0,71	0,42	0
xxx	G+Q	37,83	1,72	1,26	1,48	0,94	0
xxx	G+V1	19,47	0,38	0,23	0,44	0,25	0
xxx	G+V2	19,5	0,31	0,43	0,4	0,36	0
xxx	G+V3	19,81	1,34	0,85	0,98	0,59	0
xxx	G+V4	19,78	1,41	0,65	1,02	0,48	0
xxx	G+V5	18,84	0,33	-2,25	0,4	-1,14	0
xxx	G+V6	18,51	1,02	-4,18	0,78	-2,23	0
xxx	G+V7	20,44	1,39	3,33	1,02	1,98	0
xxx	G+V8	20,77	0,7	5,26	0,64	3,07	0
xxx	G+Q+0,6*V1	37,728	1,432	1,074	1,318	0,838	0
xxx	G+Q+0,6*V2	37,746	1,39	1,194	1,294	0,904	0
xxx	G+Q+0,6*V3	37,932	2,008	1,446	1,642	1,042	0
xxx	G+Q+0,6*V4	37,914	2,05	1,326	1,666	0,976	0
xxx	G+Q+0,6*V5	37,35	1,402	-0,414	1,294	0,004	0
xxx	G+Q+0,6*V6	37,152	1,816	-1,572	1,522	-0,65	0
xxx	G+Q+0,6*V7	38,31	2,038	2,934	1,666	1,876	0
xxx	G+Q+0,6*V8	38,508	1,624	4,092	1,438	2,53	0
xxx	G+V1+0,7*Q	32,203	0,982	0,734	0,979	0,614	0
xxx	G+V2+0,7*Q	32,233	0,912	0,934	0,939	0,724	0
xxx	G+V3+0,7*Q	32,543	1,942	1,354	1,519	0,954	0
xxx	G+V4+0,7*Q	32,513	2,012	1,154	1,559	0,844	0
xxx	G+V5+0,7*Q	31,573	0,932	-1,746	0,939	-0,776	0
xxx	G+V6+0,7*Q	31,243	1,622	-3,676	1,319	-1,866	0
xxx	G+V7+0,7*Q	33,173	1,992	3,834	1,559	2,344	0
xxx	G+V8+0,7*Q	33,503	1,302	5,764	1,179	3,434	0
xxx	G+Sx	20,1087217	2,06461612	2,40852883	1,38	1,46431796	0,01
xxx	G-Sx	19,1712783	-0,34461612	-1,32852883	0,04	-0,62431796	-0,01
xxx	G+Sy	20,0904442	1,95265731	2,75747604	1,31282667	1,65713378	0
xxx	G-Sy	19,1895558	-0,23265731	-1,67747604	0,10717333	-0,81713378	0
xxx	G+Sx+0,3*Sy	20,2438549	2,39241331	3,07377165	1,560848	1,83545809	0,01
xxx	G+Sx-0,3*Sy	19,9735884	1,73681893	1,74328602	1,199152	1,09317782	0,01
xxx	G-Sx+0,3*Sy	19,3064116	-0,01681893	-0,66328602	0,220848	-0,25317782	-0,01
xxx	G-Sx-0,3*Sy	19,0361451	-0,67241331	-1,99377165	-0,140848	-0,99545809	-0,01
xxx	G+Sy+0,3*Sx	20,2310607	2,31404215	3,31803469	1,51382667	1,97042917	0,003
xxx	G+Sy-0,3*Sx	19,9498277	1,59127247	2,19691739	1,11182667	1,3438384	-0,003
xxx	G-Sy+0,3*Sx	19,3301723	0,12872753	-1,11691739	0,30817333	-0,5038384	0,003
xxx	G-Sy-0,3*Sx	19,0489393	-0,59404215	-2,23803469	-0,09382667	-1,13042917	-0,003
xxx	G+Sx+0,3*Q	25,5657217	2,32261612	2,62452883	1,611	1,62031796	0,01
xxx	G-Sx+0,3*Q	24,6282783	-0,08661612	-1,11252883	0,271	-0,46831796	-0,01
xxx	G+Sy+0,3*Q	25,5474442	2,21065731	2,97347604	1,54382667	1,81313378	0
xxx	G-Sy+0,3*Q	24,6465558	0,02534269	-1,46147604	0,33817333	-0,66113378	0
xxx	G+Sx+0,3*Sy+0,3*Q	25,7008549	2,65041331	3,28977165	1,791848	1,99145809	0,01
xxx	G+Sx-0,3*Sy+0,3*Q	25,4305884	1,99481893	1,95928602	1,430152	1,24917782	0,01
xxx	G-Sx+0,3*Sy+0,3*Q	24,7634116	0,24118107	-0,44728602	0,451848	-0,09717782	-0,01
xxx	G-Sx-0,3*Sy+0,3*Q	24,4931451	-0,41441331	-1,77777165	0,090152	-0,83945809	-0,01
xxx	G+Sy+0,3*Sx+0,3*Q	25,6880607	2,57204215	3,53403469	1,74482667	2,12642917	0,003
xxx	G+Sy-0,3*Sx+0,3*Q	25,4068277	1,84927247	2,41291739	1,34282667	1,4998384	-0,003
xxx	G-Sy+0,3*Sx+0,3*Q	24,7871723	0,38672753	-0,90091739	0,53917333	-0,3478384	0,003

xxx	G-Sy-0,3*Sx+0,3*Q	24,5059393	-0,33604215	-2,02203469	0,13717333	-0,97442917	-0,003
xxx	G+BOMB	48,72	1,99	2,13	1,79	1,5	0
xxx	G+BOMB+0,5*Q	57,815	2,42	2,49	2,175	1,76	0
xxx	G+BOMB+0,5*V1	48,635	1,75	1,975	1,655	1,415	0
xxx	G+BOMB+0,5*V2	48,65	1,715	2,075	1,635	1,47	0
xxx	G+BOMB+0,5*V3	48,805	2,23	2,285	1,925	1,585	0
xxx	G+BOMB+0,5*V4	48,79	2,265	2,185	1,945	1,53	0
xxx	G+BOMB+0,5*V5	48,32	1,725	0,735	1,635	0,72	0
xxx	G+BOMB+0,5*V6	48,155	2,07	-0,23	1,825	0,175	0
xxx	G+BOMB+0,5*V7	49,12	2,255	3,525	1,945	2,28	0
xxx	G+BOMB+0,5*V8	49,285	1,91	4,49	1,755	2,825	0
xxx	G+BOMB+0,5*V1+0,3*Q	54,092	2,008	2,191	1,886	1,571	0
xxx	G+BOMB+0,5*V2+0,3*Q	54,107	1,973	2,291	1,866	1,626	0
xxx	G+BOMB+0,5*V3+0,3*Q	54,262	2,488	2,501	2,156	1,741	0
xxx	G+BOMB+0,5*V4+0,3*Q	54,247	2,523	2,401	2,176	1,686	0
xxx	G+BOMB+0,5*V5+0,3*Q	53,777	1,983	0,951	1,866	0,876	0
xxx	G+BOMB+0,5*V6+0,3*Q	53,612	2,328	-0,014	2,056	0,331	0
xxx	G+BOMB+0,5*V7+0,3*Q	54,577	2,513	3,741	2,176	2,436	0
xxx	G+BOMB+0,5*V8+0,3*Q	54,742	2,168	4,706	1,986	2,981	0
P11	G	36,28	0,12	0,6	0,03	0,48	0
xxx	G+Q	84,21	0,01	1,47	-0,08	1,15	0
xxx	G+V1	36,16	-0,37	0,37	-0,25	0,35	0
xxx	G+V2	36,26	-0,45	0,52	-0,29	0,43	0
xxx	G+V3	36,4	0,61	0,83	0,31	0,61	0
xxx	G+V4	36,3	0,69	0,68	0,35	0,53	0
xxx	G+V5	34,34	-0,4	-2,62	-0,26	-1,36	0
xxx	G+V6	33,4	0,33	-4,07	0,15	-2,18	0
xxx	G+V7	38,22	0,64	3,82	0,32	2,32	0
xxx	G+V8	39,16	-0,09	5,27	-0,09	3,14	0
xxx	G+Q+0,6*V1	84,138	-0,284	1,332	-0,248	1,072	0
xxx	G+Q+0,6*V2	84,198	-0,332	1,422	-0,272	1,12	0
xxx	G+Q+0,6*V3	84,282	0,304	1,608	0,088	1,228	0
xxx	G+Q+0,6*V4	84,222	0,352	1,518	0,112	1,18	0
xxx	G+Q+0,6*V5	83,046	-0,302	-0,462	-0,254	0,046	0
xxx	G+Q+0,6*V6	82,482	0,136	-1,332	-0,008	-0,446	0
xxx	G+Q+0,6*V7	85,374	0,322	3,402	0,094	2,254	0
xxx	G+Q+0,6*V8	85,938	-0,116	4,272	-0,152	2,746	0
xxx	G+V1+0,7*Q	69,711	-0,447	0,979	-0,327	0,819	0
xxx	G+V2+0,7*Q	69,811	-0,527	1,129	-0,367	0,899	0
xxx	G+V3+0,7*Q	69,951	0,533	1,439	0,233	1,079	0
xxx	G+V4+0,7*Q	69,851	0,613	1,289	0,273	0,999	0
xxx	G+V5+0,7*Q	67,891	-0,477	-2,011	-0,337	-0,891	0
xxx	G+V6+0,7*Q	66,951	0,253	-3,461	0,073	-1,711	0
xxx	G+V7+0,7*Q	71,771	0,563	4,429	0,243	2,789	0
xxx	G+V8+0,7*Q	72,711	-0,167	5,879	-0,167	3,609	0
xxx	G+Sx	37,2799	1,35604207	2,18864722	0,73128454	1,38895544	0,01
xxx	G-Sx	35,2801	-1,11604207	-0,98864722	-0,67128454	-0,42895544	-0,01
xxx	G+Sy	37,6136041	1,24831733	2,66818761	0,66843559	1,65843116	0
xxx	G-Sy	34,9463959	-1,00831733	-1,46818761	-0,60843559	-0,69843116	0
xxx	G+Sx+0,3*Sy	37,6799812	1,69453727	2,80910351	0,92281521	1,74248479	0,01
xxx	G+Sx-0,3*Sy	36,8798188	1,01754687	1,56819094	0,53975386	1,0354261	0,01
xxx	G-Sx+0,3*Sy	35,6801812	-0,77754687	-0,36819094	-0,47975386	-0,0754261	-0,01
xxx	G-Sx-0,3*Sy	34,8800188	-1,45453727	-1,60910351	-0,86281521	-0,78248479	-0,01
xxx	G+Sy+0,3*Sx	37,9135741	1,61912995	3,14478178	0,87882095	1,93111779	0,003
xxx	G+Sy-0,3*Sx	37,3136341	0,87750471	2,19159345	0,45805023	1,38574453	-0,003
xxx	G-Sy+0,3*Sx	35,2463659	-0,63750471	-0,99159345	-0,39805023	-0,42574453	0,003
xxx	G-Sy-0,3*Sx	34,6464259	-1,37912995	-1,94478178	-0,81882095	-0,97111779	-0,003
xxx	G+Sx+0,3*Q	51,6589	1,32304207	2,44964722	0,69828454	1,58995544	0,01
xxx	G-Sx+0,3*Q	49,6591	-1,14904207	-0,72764722	-0,70428454	-0,22795544	-0,01
xxx	G+Sy+0,3*Q	51,9926041	1,21531733	2,92918761	0,63543559	1,85943116	0

xxx	G-Sy+0,3*Q	49,3253959	-1,04131733	-1,20718761	-0,64143559	-0,49743116	0
xxx	G+Sx+0,3*Sy+0,3*Q	52,0589812	1,66153727	3,07010351	0,88981521	1,94348479	0,01
xxx	G+Sx-0,3*Sy+0,3*Q	51,2588188	0,98454687	1,82919094	0,50675386	1,2364261	0,01
xxx	G-Sx+0,3*Sy+0,3*Q	50,0591812	-0,81054687	-0,10719094	-0,51275386	0,1255739	-0,01
xxx	G-Sx-0,3*Sy+0,3*Q	49,2590188	-1,48753727	-1,34810351	-0,89581521	-0,58148479	-0,01
xxx	G+Sy+0,3*Sx+0,3*Q	52,2925741	1,58612995	3,40578178	0,84582095	2,13211779	0,003
xxx	G+Sy-0,3*Sx+0,3*Q	51,6926341	0,84450471	2,45259345	0,42505023	1,58674453	-0,003
xxx	G-Sy+0,3*Sx+0,3*Q	49,6253659	-0,67050471	-0,73059345	-0,43105023	-0,22474453	0,003
xxx	G-Sy-0,3*Sx+0,3*Q	49,0254259	-1,41212995	-1,68378178	-0,85182095	-0,77011779	-0,003
xxx	G+BOMB	108,44	-0,21	2,34	-0,23	1,74	0
xxx	G+BOMB+0,5*Q	132,405	-0,265	2,775	-0,285	2,075	0
xxx	G+BOMB+0,5*V1	108,38	-0,455	2,225	-0,37	1,675	0
xxx	G+BOMB+0,5*V2	108,43	-0,495	2,3	-0,39	1,715	0
xxx	G+BOMB+0,5*V3	108,5	0,035	2,455	-0,09	1,805	0
xxx	G+BOMB+0,5*V4	108,45	0,075	2,38	-0,07	1,765	0
xxx	G+BOMB+0,5*V5	107,47	-0,47	0,73	-0,375	0,82	0
xxx	G+BOMB+0,5*V6	107	-0,105	0,005	-0,17	0,41	0
xxx	G+BOMB+0,5*V7	109,41	0,05	3,95	-0,085	2,66	0
xxx	G+BOMB+0,5*V8	109,88	-0,315	4,675	-0,29	3,07	0
xxx	G+BOMB+0,5*V1+0,3*Q	122,759	-0,488	2,486	-0,403	1,876	0
xxx	G+BOMB+0,5*V2+0,3*Q	122,809	-0,528	2,561	-0,423	1,916	0
xxx	G+BOMB+0,5*V3+0,3*Q	122,879	0,002	2,716	-0,123	2,006	0
xxx	G+BOMB+0,5*V4+0,3*Q	122,829	0,042	2,641	-0,103	1,966	0
xxx	G+BOMB+0,5*V5+0,3*Q	121,849	-0,503	0,991	-0,408	1,021	0
xxx	G+BOMB+0,5*V6+0,3*Q	121,379	-0,138	0,266	-0,203	0,611	0
xxx	G+BOMB+0,5*V7+0,3*Q	123,789	0,017	4,211	-0,118	2,861	0
xxx	G+BOMB+0,5*V8+0,3*Q	124,259	-0,348	4,936	-0,323	3,271	0
P12	G	34,04	0,26	0,63	0,15	0,51	0
xxx	G+Q	78,49	0,32	1,49	0,19	1,18	0
xxx	G+V1	33,97	-0,23	0,49	-0,13	0,43	0
xxx	G+V2	34,03	-0,31	0,58	-0,17	0,48	0
xxx	G+V3	34,11	0,75	0,77	0,43	0,59	0
xxx	G+V4	34,05	0,83	0,68	0,47	0,54	0
xxx	G+V5	31,87	-0,27	-2,97	-0,15	-1,55	0
xxx	G+V6	31,34	0,46	-3,89	0,27	-2,08	0
xxx	G+V7	36,21	0,79	4,23	0,45	2,57	0
xxx	G+V8	36,74	0,06	5,15	0,03	3,1	0
xxx	G+Q+0,6*V1	78,448	0,026	1,406	0,022	1,132	0
xxx	G+Q+0,6*V2	78,484	-0,022	1,46	-0,002	1,162	0
xxx	G+Q+0,6*V3	78,532	0,614	1,574	0,358	1,228	0
xxx	G+Q+0,6*V4	78,496	0,662	1,52	0,382	1,198	0
xxx	G+Q+0,6*V5	77,188	0,002	-0,67	0,01	-0,056	0
xxx	G+Q+0,6*V6	76,87	0,44	-1,222	0,262	-0,374	0
xxx	G+Q+0,6*V7	79,792	0,638	3,65	0,37	2,416	0
xxx	G+Q+0,6*V8	80,11	0,2	4,202	0,118	2,734	0
xxx	G+V1+0,7*Q	65,085	-0,188	1,092	-0,102	0,899	0
xxx	G+V2+0,7*Q	65,145	-0,268	1,182	-0,142	0,949	0
xxx	G+V3+0,7*Q	65,225	0,792	1,372	0,458	1,059	0
xxx	G+V4+0,7*Q	65,165	0,872	1,282	0,498	1,009	0
xxx	G+V5+0,7*Q	62,985	-0,228	-2,368	-0,122	-1,081	0
xxx	G+V6+0,7*Q	62,455	0,502	-3,288	0,298	-1,611	0
xxx	G+V7+0,7*Q	67,325	0,832	4,832	0,478	3,039	0
xxx	G+V8+0,7*Q	67,855	0,102	5,752	0,058	3,569	0
xxx	G+Sx	34,8418105	1,50430704	1,97569685	0,85128454	1,28194559	0,01
xxx	G-Sx	33,2381895	-0,98430704	-0,71569685	-0,55128454	-0,26194559	-0,01
xxx	G+Sy	35,1977565	1,39542943	2,52839406	0,78142696	1,60082538	0
xxx	G-Sy	32,8822435	-0,87542943	-1,26839406	-0,48142696	-0,58082538	0
xxx	G+Sx+0,3*Sy	35,1891374	1,84493587	2,54521506	1,04071262	1,60919321	0,01
xxx	G+Sx-0,3*Sy	34,4944835	1,16367821	1,40617863	0,66185645	0,95469798	0,01
xxx	G-Sx+0,3*Sy	33,5855165	-0,64367821	-0,14617863	-0,36185645	0,06530202	-0,01

xxx	G-Sx-0,3*Sy	32,8908626	-1,32493587	-1,28521506	-0,74071262	-0,58919321	-0,01
xxx	G+Sy+0,3*Sx	35,4382996	1,76872154	2,93210311	0,99181232	1,83240905	0,003
xxx	G+Sy-0,3*Sx	34,9572133	1,02213732	2,124685	0,57104159	1,3692417	-0,003
xxx	G-Sy+0,3*Sx	33,1227867	-0,50213732	-0,864685	-0,27104159	-0,3492417	0,003
xxx	G-Sy-0,3*Sx	32,6417004	-1,24872154	-1,67210311	-0,69181232	-0,81240905	-0,003
xxx	G+Sx+0,3*Q	48,1768105	1,52230704	2,23369685	0,86328454	1,48294559	0,01
xxx	G-Sx+0,3*Q	46,5731895	-0,96630704	-0,45769685	-0,53928454	-0,06094559	-0,01
xxx	G+Sy+0,3*Q	48,5327565	1,41342943	2,78639406	0,79342696	1,80182538	0
xxx	G-Sy+0,3*Q	46,2172435	-0,85742943	-1,01039406	-0,46942696	-0,37982538	0
xxx	G+Sx+0,3*Sy+0,3*Q	48,5241374	1,86293587	2,80321506	1,05271262	1,81019321	0,01
xxx	G+Sx-0,3*Sy+0,3*Q	47,8294835	1,18167821	1,66417863	0,67385645	1,15569798	0,01
xxx	G-Sx+0,3*Sy+0,3*Q	46,9205165	-0,62567821	0,11182137	-0,34985645	0,26630202	-0,01
xxx	G-Sx-0,3*Sy+0,3*Q	46,2258626	-1,30693587	-1,02721506	-0,72871262	-0,38819321	-0,01
xxx	G+Sy+0,3*Sx+0,3*Q	48,7732996	1,78672154	3,19010311	1,00381232	2,03340905	0,003
xxx	G+Sy-0,3*Sx+0,3*Q	48,2922133	1,04013732	2,382685	0,58304159	1,5702417	-0,003
xxx	G-Sy+0,3*Sx+0,3*Q	46,4577867	-0,48413732	-0,606685	-0,25904159	-0,1482417	0,003
xxx	G-Sy-0,3*Sx+0,3*Q	45,9767004	-1,23072154	-1,41410311	-0,67981232	-0,61140905	-0,003
xxx	G+BOMB	100,54	0,19	2,29	0,12	1,73	0
xxx	G+BOMB+0,5*Q	122,765	0,22	2,72	0,14	2,065	0
xxx	G+BOMB+0,5*V1	100,505	-0,055	2,22	-0,02	1,69	0
xxx	G+BOMB+0,5*V2	100,535	-0,095	2,265	-0,04	1,715	0
xxx	G+BOMB+0,5*V3	100,575	0,435	2,36	0,26	1,77	0
xxx	G+BOMB+0,5*V4	100,545	0,475	2,315	0,28	1,745	0
xxx	G+BOMB+0,5*V5	99,455	-0,075	0,49	-0,03	0,7	0
xxx	G+BOMB+0,5*V6	99,19	0,29	0,03	0,18	0,435	0
xxx	G+BOMB+0,5*V7	101,625	0,455	4,09	0,27	2,76	0
xxx	G+BOMB+0,5*V8	101,89	0,09	4,55	0,06	3,025	0
xxx	G+BOMB+0,5*V1+0,3*Q	113,84	-0,037	2,478	-0,008	1,891	0
xxx	G+BOMB+0,5*V2+0,3*Q	113,87	-0,077	2,523	-0,028	1,916	0
xxx	G+BOMB+0,5*V3+0,3*Q	113,91	0,453	2,618	0,272	1,971	0
xxx	G+BOMB+0,5*V4+0,3*Q	113,88	0,493	2,573	0,292	1,946	0
xxx	G+BOMB+0,5*V5+0,3*Q	112,79	-0,057	0,748	-0,018	0,901	0
xxx	G+BOMB+0,5*V6+0,3*Q	112,525	0,308	0,288	0,192	0,636	0
xxx	G+BOMB+0,5*V7+0,3*Q	114,96	0,473	4,348	0,282	2,961	0
xxx	G+BOMB+0,5*V8+0,3*Q	115,225	0,108	4,808	0,072	3,226	0
P13	G	24,6	0,06	0,63	-0,04	0,51	0
xxx	G+Q	56,26	-0,15	1,45	-0,25	1,15	0
xxx	G+V1	24,54	-0,43	0,57	-0,32	0,47	0
xxx	G+V2	24,55	-0,51	0,61	-0,36	0,5	0
xxx	G+V3	24,66	0,55	0,69	0,24	0,55	0
xxx	G+V4	24,65	0,63	0,65	0,28	0,52	0
xxx	G+V5	23,02	-0,45	-3,27	-0,32	-1,7	0
xxx	G+V6	22,87	0,28	-3,67	0,09	-1,93	0
xxx	G+V7	26,18	0,57	4,53	0,24	2,72	0
xxx	G+V8	26,33	-0,16	4,93	-0,17	2,95	0
xxx	G+Q+0,6*V1	56,224	-0,444	1,414	-0,418	1,126	0
xxx	G+Q+0,6*V2	56,23	-0,492	1,438	-0,442	1,144	0
xxx	G+Q+0,6*V3	56,296	0,144	1,486	-0,082	1,174	0
xxx	G+Q+0,6*V4	56,29	0,192	1,462	-0,058	1,156	0
xxx	G+Q+0,6*V5	55,312	-0,456	-0,89	-0,418	-0,176	0
xxx	G+Q+0,6*V6	55,222	-0,018	-1,13	-0,172	-0,314	0
xxx	G+Q+0,6*V7	57,208	0,156	3,79	-0,082	2,476	0
xxx	G+Q+0,6*V8	57,298	-0,282	4,03	-0,328	2,614	0
xxx	G+V1+0,7*Q	46,702	-0,577	1,144	-0,467	0,918	0
xxx	G+V2+0,7*Q	46,712	-0,657	1,184	-0,507	0,948	0
xxx	G+V3+0,7*Q	46,822	0,403	1,264	0,093	0,998	0
xxx	G+V4+0,7*Q	46,812	0,483	1,224	0,133	0,968	0
xxx	G+V5+0,7*Q	45,182	-0,597	-2,696	-0,467	-1,252	0
xxx	G+V6+0,7*Q	45,032	0,133	-3,096	-0,057	-1,482	0
xxx	G+V7+0,7*Q	48,342	0,423	5,104	0,093	3,168	0

xxx	G+V8+0,7*Q	48,492	-0,307	5,504	-0,317	3,398	0
xxx	G+Sx	25,1240229	1,29604207	1,85686593	0,6530368	1,20971423	0,01
xxx	G-Sx	24,0759771	-1,17604207	-0,59686593	-0,7330368	-0,18971423	-0,01
xxx	G+Sy	25,2845436	1,18831733	2,34845861	0,59843559	1,4835502	0
xxx	G-Sy	23,9154564	-1,06831733	-1,08845861	-0,67843559	-0,4635502	0
xxx	G+Sx+0,3*Sy	25,329386	1,63453727	2,37240351	0,84456747	1,50177929	0,01
xxx	G+Sx-0,3*Sy	24,9186598	0,95754687	1,34132834	0,46150612	0,91764917	0,01
xxx	G-Sx+0,3*Sy	24,2813402	-0,83754687	-0,08132834	-0,54150612	0,10235083	-0,01
xxx	G-Sx-0,3*Sy	23,870614	-1,51453727	-1,11240351	-0,92456747	-0,48177929	-0,01
xxx	G+Sy+0,3*Sx	25,4417505	1,55912995	2,71651839	0,80634663	1,69346447	0,003
xxx	G+Sy-0,3*Sx	25,1273368	0,81750471	1,98039883	0,39052455	1,27363594	-0,003
xxx	G-Sy+0,3*Sx	24,0726632	-0,69750471	-0,72039883	-0,47052455	-0,25363594	0,003
xxx	G-Sy-0,3*Sx	23,7582495	-1,43912995	-1,45651839	-0,88634663	-0,67346447	-0,003
xxx	G+Sx+0,3*Q	34,6220229	1,23304207	2,10286593	0,5900368	1,40171423	0,01
xxx	G-Sx+0,3*Q	33,5739771	-1,23904207	-0,35086593	-0,7960368	0,00228577	-0,01
xxx	G+Sy+0,3*Q	34,7825436	1,12531733	2,59445861	0,53543559	1,6755502	0
xxx	G-Sy+0,3*Q	33,4134564	-1,13131733	-0,84245861	-0,74143559	-0,2715502	0
xxx	G+Sx+0,3*Sy+0,3*Q	34,827386	1,57153727	2,61840351	0,78156747	1,69377929	0,01
xxx	G+Sx-0,3*Sy+0,3*Q	34,4166598	0,89454687	1,58732834	0,39850612	1,10964917	0,01
xxx	G-Sx+0,3*Sy+0,3*Q	33,7793402	-0,90054687	0,16467166	-0,60450612	0,29435083	-0,01
xxx	G-Sx-0,3*Sy+0,3*Q	33,368614	-1,57753727	-0,86640351	-0,98756747	-0,28977929	-0,01
xxx	G+Sy+0,3*Sx+0,3*Q	34,9397505	1,49612995	2,96251839	0,74334663	1,88546447	0,003
xxx	G+Sy-0,3*Sx+0,3*Q	34,6253368	0,75450471	2,22639883	0,32752455	1,46563594	-0,003
xxx	G-Sy+0,3*Sx+0,3*Q	33,5706632	-0,76050471	-0,47439883	-0,53352455	-0,06163594	0,003
xxx	G-Sy-0,3*Sx+0,3*Q	33,2562495	-1,50212995	-1,21051839	-0,94934663	-0,48146447	-0,003
xxx	G+BOMB	71,88	-0,42	2,17	-0,44	1,65	0
xxx	G+BOMB+0,5*Q	87,71	-0,525	2,58	-0,545	1,97	0
xxx	G+BOMB+0,5*V1	71,85	-0,665	2,14	-0,58	1,63	0
xxx	G+BOMB+0,5*V2	71,855	-0,705	2,16	-0,6	1,645	0
xxx	G+BOMB+0,5*V3	71,91	-0,175	2,2	-0,3	1,67	0
xxx	G+BOMB+0,5*V4	71,905	-0,135	2,18	-0,28	1,655	0
xxx	G+BOMB+0,5*V5	71,09	-0,675	0,22	-0,58	0,545	0
xxx	G+BOMB+0,5*V6	71,015	-0,31	0,02	-0,375	0,43	0
xxx	G+BOMB+0,5*V7	72,67	-0,165	4,12	-0,3	2,755	0
xxx	G+BOMB+0,5*V8	72,745	-0,53	4,32	-0,505	2,87	0
xxx	G+BOMB+0,5*V1+0,3*Q	81,348	-0,728	2,386	-0,643	1,822	0
xxx	G+BOMB+0,5*V2+0,3*Q	81,353	-0,768	2,406	-0,663	1,837	0
xxx	G+BOMB+0,5*V3+0,3*Q	81,408	-0,238	2,446	-0,363	1,862	0
xxx	G+BOMB+0,5*V4+0,3*Q	81,403	-0,198	2,426	-0,343	1,847	0
xxx	G+BOMB+0,5*V5+0,3*Q	80,588	-0,738	0,466	-0,643	0,737	0
xxx	G+BOMB+0,5*V6+0,3*Q	80,513	-0,373	0,266	-0,438	0,622	0
xxx	G+BOMB+0,5*V7+0,3*Q	82,168	-0,228	4,366	-0,363	2,947	0
xxx	G+BOMB+0,5*V8+0,3*Q	82,243	-0,593	4,566	-0,568	3,062	0
P14	G	27,89	0,49	0,66	0,36	0,55	0
xxx	G+Q	64,17	0,86	1,52	0,69	1,24	0
xxx	G+V1	27,85	0	0,64	0,08	0,54	0
xxx	G+V2	27,85	-0,08	0,65	0,04	0,54	0
xxx	G+V3	27,93	0,98	0,68	0,64	0,56	0
xxx	G+V4	27,93	1,06	0,67	0,68	0,56	0
xxx	G+V5	26,78	-0,04	-3,41	0,05	-1,75	0
xxx	G+V6	26,76	0,69	-3,52	0,47	-1,81	0
xxx	G+V7	29	1,02	4,73	0,67	2,85	0
xxx	G+V8	29,02	0,29	4,84	0,25	2,91	0
xxx	G+Q+0,6*V1	64,146	0,566	1,508	0,522	1,234	0
xxx	G+Q+0,6*V2	64,146	0,518	1,514	0,498	1,234	0
xxx	G+Q+0,6*V3	64,194	1,154	1,532	0,858	1,246	0
xxx	G+Q+0,6*V4	64,194	1,202	1,526	0,882	1,246	0
xxx	G+Q+0,6*V5	63,504	0,542	-0,922	0,504	-0,14	0
xxx	G+Q+0,6*V6	63,492	0,98	-0,988	0,756	-0,176	0
xxx	G+Q+0,6*V7	64,836	1,178	3,962	0,876	2,62	0

xxx	G+Q+0,6*V8	64,848	0,74	4,028	0,624	2,656	0
xxx	G+V1+0,7*Q	53,246	0,259	1,242	0,311	1,023	0
xxx	G+V2+0,7*Q	53,246	0,179	1,252	0,271	1,023	0
xxx	G+V3+0,7*Q	53,326	1,239	1,282	0,871	1,043	0
xxx	G+V4+0,7*Q	53,326	1,319	1,272	0,911	1,043	0
xxx	G+V5+0,7*Q	52,176	0,219	-2,808	0,281	-1,267	0
xxx	G+V6+0,7*Q	52,156	0,949	-2,918	0,701	-1,327	0
xxx	G+V7+0,7*Q	54,396	1,279	5,332	0,901	3,333	0
xxx	G+V8+0,7*Q	54,416	0,549	5,442	0,481	3,393	0
xxx	G+Sx	28,2676242	1,7381987	1,88731414	1,06128454	1,24570109	0,01
xxx	G-Sx	27,5123758	-0,7581987	-0,56731414	-0,34128454	-0,14570109	-0,01
xxx	G+Sy	28,3282921	1,62542943	2,29697892	0,9985922	1,47579695	0
xxx	G-Sy	27,4517079	-0,64542943	-0,97697892	-0,2785922	-0,37579695	0
xxx	G+Sx+0,3*Sy	28,3991118	2,07882753	2,37840782	1,2528622	1,52344017	0,01
xxx	G+Sx-0,3*Sy	28,1361365	1,39756987	1,39622046	0,86970688	0,967962	0,01
xxx	G-Sx+0,3*Sy	27,6438635	-0,41756987	-0,07622046	-0,14970688	0,132038	-0,01
xxx	G-Sx-0,3*Sy	27,3808882	-1,09882753	-1,05840782	-0,5328622	-0,42344017	-0,01
xxx	G+Sy+0,3*Sx	28,4415794	1,99988904	2,66517317	1,20897756	1,68450728	0,003
xxx	G+Sy-0,3*Sx	28,2150049	1,25096982	1,92878468	0,78820684	1,26708663	-0,003
xxx	G-Sy+0,3*Sx	27,5649951	-0,27096982	-0,60878468	-0,06820684	-0,16708663	0,003
xxx	G-Sy-0,3*Sx	27,3384206	-1,01988904	-1,34517317	-0,48897756	-0,58450728	-0,003
xxx	G+Sx+0,3*Q	39,1516242	1,8491987	2,14531414	1,16028454	1,45270109	0,01
xxx	G-Sx+0,3*Q	38,3963758	-0,6471987	-0,30931414	-0,24228454	0,06129891	-0,01
xxx	G+Sy+0,3*Q	39,2122921	1,73642943	2,55497892	1,0975922	1,68279695	0
xxx	G-Sy+0,3*Q	38,3357079	-0,53442943	-0,71897892	-0,1795922	-0,16879695	0
xxx	G+Sx+0,3*Sy+0,3*Q	39,2831118	2,18982753	2,63640782	1,3518622	1,73044017	0,01
xxx	G+Sx-0,3*Sy+0,3*Q	39,0201365	1,50856987	1,65422046	0,96870688	1,174962	0,01
xxx	G-Sx+0,3*Sy+0,3*Q	38,5278635	-0,30656987	0,18177954	-0,05070688	0,339038	-0,01
xxx	G-Sx-0,3*Sy+0,3*Q	38,2648882	-0,98782753	-0,80040782	-0,4338622	-0,21644017	-0,01
xxx	G+Sy+0,3*Sx+0,3*Q	39,3255794	2,11088904	2,92317317	1,30797756	1,89150728	0,003
xxx	G+Sy-0,3*Sx+0,3*Q	39,0990049	1,36196982	2,18678468	0,88720684	1,47408663	-0,003
xxx	G-Sy+0,3*Sx+0,3*Q	38,4489951	-0,15996982	-0,35078468	0,03079316	0,03991337	0,003
xxx	G-Sy-0,3*Sx+0,3*Q	38,2224206	-0,90888904	-1,08717317	-0,38997756	-0,37750728	-0,003
xxx	G+BOMB	82,16	0,88	2,23	0,76	1,74	0
xxx	G+BOMB+0,5*Q	100,3	1,065	2,66	0,925	2,085	0
xxx	G+BOMB+0,5*V1	82,14	0,635	2,22	0,62	1,735	0
xxx	G+BOMB+0,5*V2	82,14	0,595	2,225	0,6	1,735	0
xxx	G+BOMB+0,5*V3	82,18	1,125	2,24	0,9	1,745	0
xxx	G+BOMB+0,5*V4	82,18	1,165	2,235	0,92	1,745	0
xxx	G+BOMB+0,5*V5	81,605	0,615	0,195	0,605	0,59	0
xxx	G+BOMB+0,5*V6	81,595	0,98	0,14	0,815	0,56	0
xxx	G+BOMB+0,5*V7	82,715	1,145	4,265	0,915	2,89	0
xxx	G+BOMB+0,5*V8	82,725	0,78	4,32	0,705	2,92	0
xxx	G+BOMB+0,5*V1+0,3*Q	93,024	0,746	2,478	0,719	1,942	0
xxx	G+BOMB+0,5*V2+0,3*Q	93,024	0,706	2,483	0,699	1,942	0
xxx	G+BOMB+0,5*V3+0,3*Q	93,064	1,236	2,498	0,999	1,952	0
xxx	G+BOMB+0,5*V4+0,3*Q	93,064	1,276	2,493	1,019	1,952	0
xxx	G+BOMB+0,5*V5+0,3*Q	92,489	0,726	0,453	0,704	0,797	0
xxx	G+BOMB+0,5*V6+0,3*Q	92,479	1,091	0,398	0,914	0,767	0
xxx	G+BOMB+0,5*V7+0,3*Q	93,599	1,256	4,523	1,014	3,097	0
xxx	G+BOMB+0,5*V8+0,3*Q	93,609	0,891	4,578	0,804	3,127	0
P15	G	28,85	0,24	0,67	0,14	0,55	0
xxx	G+Q	66,46	0,27	1,56	0,15	1,28	0
xxx	G+V1	28,75	-0,23	0,73	-0,12	0,58	0
xxx	G+V2	28,73	-0,32	0,69	-0,18	0,56	0
xxx	G+V3	28,95	0,71	0,61	0,4	0,52	0
xxx	G+V4	28,97	0,8	0,65	0,46	0,54	0
xxx	G+V5	27,77	-0,39	-3,74	-0,22	-1,94	0
xxx	G+V6	27,97	0,48	-3,35	0,27	-1,71	0
xxx	G+V7	29,93	0,87	5,08	0,5	3,04	0

xxx	G+V8	29,73	0	4,69	0,01	2,81	0
xxx	G+Q+0,6*V1	66,4	-0,012	1,596	-0,006	1,298	0
xxx	G+Q+0,6*V2	66,388	-0,066	1,572	-0,042	1,286	0
xxx	G+Q+0,6*V3	66,52	0,552	1,524	0,306	1,262	0
xxx	G+Q+0,6*V4	66,532	0,606	1,548	0,342	1,274	0
xxx	G+Q+0,6*V5	65,812	-0,108	-1,086	-0,066	-0,214	0
xxx	G+Q+0,6*V6	65,932	0,414	-0,852	0,228	-0,076	0
xxx	G+Q+0,6*V7	67,108	0,648	4,206	0,366	2,774	0
xxx	G+Q+0,6*V8	66,988	0,126	3,972	0,072	2,636	0
xxx	G+V1+0,7*Q	55,077	-0,209	1,353	-0,113	1,091	0
xxx	G+V2+0,7*Q	55,057	-0,299	1,313	-0,173	1,071	0
xxx	G+V3+0,7*Q	55,277	0,731	1,233	0,407	1,031	0
xxx	G+V4+0,7*Q	55,297	0,821	1,273	0,467	1,051	0
xxx	G+V5+0,7*Q	54,097	-0,369	-3,117	-0,213	-1,429	0
xxx	G+V6+0,7*Q	54,297	0,501	-2,727	0,277	-1,199	0
xxx	G+V7+0,7*Q	56,257	0,891	5,703	0,507	3,551	0
xxx	G+V8+0,7*Q	56,057	0,021	5,313	0,017	3,321	0
xxx	G+Sx	29,3506995	1,56151428	2,04400873	0,89039989	1,32942286	0,01
xxx	G-Sx	28,3493005	-1,08151428	-0,70400873	-0,61039989	-0,22942286	-0,01
xxx	G+Sy	29,248748	1,43544971	2,20938299	0,81549981	1,42	0
xxx	G-Sy	28,451252	-0,95544971	-0,86938299	-0,53549981	-0,32	0
xxx	G+Sx+0,3*Sy	29,4703239	1,92014919	2,50582363	1,09304984	1,59042286	0,01
xxx	G+Sx-0,3*Sy	29,2310751	1,20287937	1,58219384	0,68774995	1,06842286	0,01
xxx	G-Sx+0,3*Sy	28,4689249	-0,72287937	-0,24219384	-0,40774995	0,03157714	-0,01
xxx	G-Sx-0,3*Sy	28,2296761	-1,44014919	-1,16582363	-0,81304984	-0,49042286	-0,01
xxx	G+Sy+0,3*Sx	29,3989579	1,83190399	2,62158561	1,04061978	1,65382686	0,003
xxx	G+Sy-0,3*Sx	29,0985382	1,03899542	1,79718037	0,59037985	1,18617314	-0,003
xxx	G-Sy+0,3*Sx	28,6014618	-0,55899542	-0,45718037	-0,31037985	-0,08617314	0,003
xxx	G-Sy-0,3*Sx	28,3010421	-1,35190399	-1,28158561	-0,76061978	-0,55382686	-0,003
xxx	G+Sx+0,3*Q	40,6336995	1,57051428	2,31100873	0,89339989	1,54842286	0,01
xxx	G-Sx+0,3*Q	39,6323005	-1,07251428	-0,43700873	-0,60739989	-0,01042286	-0,01
xxx	G+Sy+0,3*Q	40,531748	1,44444971	2,47638299	0,81849981	1,639	0
xxx	G-Sy+0,3*Q	39,734252	-0,94644971	-0,60238299	-0,53249981	-0,101	0
xxx	G+Sx+0,3*Sy+0,3*Q	40,7533239	1,92914919	2,77282363	1,09604984	1,80942286	0,01
xxx	G+Sx-0,3*Sy+0,3*Q	40,5140751	1,21187937	1,84919384	0,69074995	1,28742286	0,01
xxx	G-Sx+0,3*Sy+0,3*Q	39,7519249	-0,71387937	0,02480616	-0,40474995	0,25057714	-0,01
xxx	G-Sx-0,3*Sy+0,3*Q	39,5126761	-1,43114919	-0,89882363	-0,81004984	-0,27142286	-0,01
xxx	G+Sy+0,3*Sx+0,3*Q	40,6819579	1,84090399	2,88858561	1,04361978	1,87282686	0,003
xxx	G+Sy-0,3*Sx+0,3*Q	40,3815382	1,04799542	2,06418037	0,59337985	1,40517314	-0,003
xxx	G-Sy+0,3*Sx+0,3*Q	39,8844618	-0,54999542	-0,19018037	-0,30737985	0,13282686	0,003
xxx	G-Sy-0,3*Sx+0,3*Q	39,5840421	-1,34290399	-1,01458561	-0,75761978	-0,33482686	-0,003
xxx	G+BOMB	84,85	0,1	2,22	0,06	1,76	0
xxx	G+BOMB+0,5*Q	103,655	0,115	2,665	0,065	2,125	0
xxx	G+BOMB+0,5*V1	84,8	-0,135	2,25	-0,07	1,775	0
xxx	G+BOMB+0,5*V2	84,79	-0,18	2,23	-0,1	1,765	0
xxx	G+BOMB+0,5*V3	84,9	0,335	2,19	0,19	1,745	0
xxx	G+BOMB+0,5*V4	84,91	0,38	2,21	0,22	1,755	0
xxx	G+BOMB+0,5*V5	84,31	-0,215	0,015	-0,12	0,515	0
xxx	G+BOMB+0,5*V6	84,41	0,22	0,21	0,125	0,63	0
xxx	G+BOMB+0,5*V7	85,39	0,415	4,425	0,24	3,005	0
xxx	G+BOMB+0,5*V8	85,29	-0,02	4,23	-0,005	2,89	0
xxx	G+BOMB+0,5*V1+0,3*Q	96,083	-0,126	2,517	-0,067	1,994	0
xxx	G+BOMB+0,5*V2+0,3*Q	96,073	-0,171	2,497	-0,097	1,984	0
xxx	G+BOMB+0,5*V3+0,3*Q	96,183	0,344	2,457	0,193	1,964	0
xxx	G+BOMB+0,5*V4+0,3*Q	96,193	0,389	2,477	0,223	1,974	0
xxx	G+BOMB+0,5*V5+0,3*Q	95,593	-0,206	0,282	-0,117	0,734	0
xxx	G+BOMB+0,5*V6+0,3*Q	95,693	0,229	0,477	0,128	0,849	0
xxx	G+BOMB+0,5*V7+0,3*Q	96,673	0,424	4,692	0,243	3,224	0
xxx	G+BOMB+0,5*V8+0,3*Q	96,573	-0,011	4,497	-0,002	3,109	0
P16	G	40,38	0,56	0,86	0,43	0,74	0

xxx	G+Q	90,5	0,99	1,89	0,82	1,61	0
xxx	G+V1	40,4	0,09	1,02	0,17	0,83	0
xxx	G+V2	40,36	0	0,92	0,12	0,77	0
xxx	G+V3	40,36	1,03	0,7	0,69	0,65	0
xxx	G+V4	40,4	1,12	0,8	0,74	0,71	0
xxx	G+V5	38,75	-0,08	-3,95	0,07	-1,97	0
xxx	G+V6	39,11	0,8	-2,96	0,56	-1,41	0
xxx	G+V7	42,01	1,2	5,67	0,79	3,45	0
xxx	G+V8	41,65	0,32	4,68	0,3	2,89	0
xxx	G+Q+0,6*V1	90,512	0,708	1,986	0,664	1,664	0
xxx	G+Q+0,6*V2	90,488	0,654	1,926	0,634	1,628	0
xxx	G+Q+0,6*V3	90,488	1,272	1,794	0,976	1,556	0
xxx	G+Q+0,6*V4	90,512	1,326	1,854	1,006	1,592	0
xxx	G+Q+0,6*V5	89,522	0,606	-0,996	0,604	-0,016	0
xxx	G+Q+0,6*V6	89,738	1,134	-0,402	0,898	0,32	0
xxx	G+Q+0,6*V7	91,478	1,374	4,776	1,036	3,236	0
xxx	G+Q+0,6*V8	91,262	0,846	4,182	0,742	2,9	0
xxx	G+V1+0,7*Q	75,484	0,391	1,741	0,443	1,439	0
xxx	G+V2+0,7*Q	75,444	0,301	1,641	0,393	1,379	0
xxx	G+V3+0,7*Q	75,444	1,331	1,421	0,963	1,259	0
xxx	G+V4+0,7*Q	75,484	1,421	1,521	1,013	1,319	0
xxx	G+V5+0,7*Q	73,834	0,221	-3,229	0,343	-1,361	0
xxx	G+V6+0,7*Q	74,194	1,101	-2,239	0,833	-0,801	0
xxx	G+V7+0,7*Q	77,094	1,501	6,391	1,063	4,059	0
xxx	G+V8+0,7*Q	76,734	0,621	5,401	0,573	3,499	0
xxx	G+Sx	41,002495	1,88151428	2,53985118	1,17229374	1,68926287	0,01
xxx	G-Sx	39,757505	-0,76151428	-0,81985118	-0,31229374	-0,20926287	-0,01
xxx	G+Sy	40,8963332	1,75544971	2,33383853	1,098431	1,56649864	0
xxx	G-Sy	39,8636668	-0,63544971	-0,61383853	-0,238431	-0,08649864	0
xxx	G+Sx+0,3*Sy	41,1573949	2,24014919	2,98200274	1,37282304	1,93721246	0,01
xxx	G+Sx-0,3*Sy	40,847595	1,52287937	2,09769963	0,97176444	1,44131328	0,01
xxx	G-Sx+0,3*Sy	39,912405	-0,40287937	-0,37769963	-0,11176444	0,03868672	-0,01
xxx	G-Sx-0,3*Sy	39,6026051	-1,12014919	-1,26200274	-0,51282304	-0,45721246	-0,01
xxx	G+Sy+0,3*Sx	41,0830817	2,15190399	2,83779388	1,32111912	1,8512775	0,003
xxx	G+Sy-0,3*Sx	40,7095847	1,35899542	1,82988317	0,87574288	1,28171978	-0,003
xxx	G-Sy+0,3*Sx	40,0504153	-0,23899542	-0,10988317	-0,01574288	0,19828022	0,003
xxx	G-Sy-0,3*Sx	39,6769183	-1,03190399	-1,11779388	-0,46111912	-0,3712775	-0,003
xxx	G+Sx+0,3*Q	56,038495	2,01051428	2,84885118	1,28929374	1,95026287	0,01
xxx	G-Sx+0,3*Q	54,793505	-0,63251428	-0,51085118	-0,19529374	0,05173713	-0,01
xxx	G+Sy+0,3*Q	55,9323332	1,88444971	2,64283853	1,215431	1,82749864	0
xxx	G-Sy+0,3*Q	54,8996668	-0,50644971	-0,30483853	-0,121431	0,17450136	0
xxx	G+Sx+0,3*Sy+0,3*Q	56,1933949	2,36914919	3,29100274	1,48982304	2,19821246	0,01
xxx	G+Sx-0,3*Sy+0,3*Q	55,883595	1,65187937	2,40669963	1,08876444	1,70231328	0,01
xxx	G-Sx+0,3*Sy+0,3*Q	54,948405	-0,27387937	-0,06869963	0,00523556	0,29968672	-0,01
xxx	G-Sx-0,3*Sy+0,3*Q	54,6386051	-0,99114919	-0,95300274	-0,39582304	-0,19621246	-0,01
xxx	G+Sy+0,3*Sx+0,3*Q	56,1190817	2,28090399	3,14679388	1,43811912	2,1122775	0,003
xxx	G+Sy-0,3*Sx+0,3*Q	55,7455847	1,48799542	2,13888317	0,99274288	1,54271978	-0,003
xxx	G-Sy+0,3*Sx+0,3*Q	55,0864153	-0,10999542	0,19911683	0,10125712	0,45928022	0,003
xxx	G-Sy-0,3*Sx+0,3*Q	54,7129183	-0,90290399	-0,80879388	-0,34411912	-0,1102775	-0,003
xxx	G+BOMB	114,79	1,03	2,55	0,91	2,12	0
xxx	G+BOMB+0,5*Q	139,85	1,245	3,065	1,105	2,555	0
xxx	G+BOMB+0,5*V1	114,8	0,795	2,63	0,78	2,165	0
xxx	G+BOMB+0,5*V2	114,78	0,75	2,58	0,755	2,135	0
xxx	G+BOMB+0,5*V3	114,78	1,265	2,47	1,04	2,075	0
xxx	G+BOMB+0,5*V4	114,8	1,31	2,52	1,065	2,105	0
xxx	G+BOMB+0,5*V5	113,975	0,71	0,145	0,73	0,765	0
xxx	G+BOMB+0,5*V6	114,155	1,15	0,64	0,975	1,045	0
xxx	G+BOMB+0,5*V7	115,605	1,35	4,955	1,09	3,475	0
xxx	G+BOMB+0,5*V8	115,425	0,91	4,46	0,845	3,195	0
xxx	G+BOMB+0,5*V1+0,3*Q	129,836	0,924	2,939	0,897	2,426	0
xxx	G+BOMB+0,5*V2+0,3*Q	129,816	0,879	2,889	0,872	2,396	0

xxx	G+BOMB+0,5*V3+0,3*Q	129,816	1,394	2,779	1,157	2,336	0
xxx	G+BOMB+0,5*V4+0,3*Q	129,836	1,439	2,829	1,182	2,366	0
xxx	G+BOMB+0,5*V5+0,3*Q	129,011	0,839	0,454	0,847	1,026	0
xxx	G+BOMB+0,5*V6+0,3*Q	129,191	1,279	0,949	1,092	1,306	0
xxx	G+BOMB+0,5*V7+0,3*Q	130,641	1,479	5,264	1,207	3,736	0
xxx	G+BOMB+0,5*V8+0,3*Q	130,461	1,039	4,769	0,962	3,456	0
P17	G	113,71	-0,53	-3,53	-0,29	-2,39	0
xxx	G+Q	133,03	-0,71	-4,19	-0,41	-2,82	0
xxx	G+V1	109,65	-1,28	-3,7	-0,63	-2,45	0
xxx	G+V2	109,94	-1,32	-3,34	-0,65	-2,28	0
xxx	G+V3	117,77	0,22	-3,36	0,05	-2,33	0
xxx	G+V4	117,48	0,26	-3,72	0,07	-2,5	0
xxx	G+V5	99,94	-0,95	-9,75	-0,48	-5,21	-0,01
xxx	G+V6	96,56	-0,56	-13,83	-0,31	-7,1	0
xxx	G+V7	127,48	-0,11	2,69	-0,1	0,43	0,01
xxx	G+V8	130,86	-0,5	6,77	-0,27	2,32	0
xxx	G+Q+0,6*V1	130,594	-1,16	-4,292	-0,614	-2,856	0
xxx	G+Q+0,6*V2	130,768	-1,184	-4,076	-0,626	-2,754	0
xxx	G+Q+0,6*V3	135,466	-0,26	-4,088	-0,206	-2,784	0
xxx	G+Q+0,6*V4	135,292	-0,236	-4,304	-0,194	-2,886	0
xxx	G+Q+0,6*V5	124,768	-0,962	-7,922	-0,524	-4,512	-0,006
xxx	G+Q+0,6*V6	122,74	-0,728	-10,37	-0,422	-5,646	0
xxx	G+Q+0,6*V7	141,292	-0,458	-0,458	-0,296	-1,128	0,006
xxx	G+Q+0,6*V8	143,32	-0,692	1,99	-0,398	0,006	0
xxx	G+V1+0,7*Q	123,174	-1,406	-4,162	-0,714	-2,751	0
xxx	G+V2+0,7*Q	123,464	-1,446	-3,802	-0,734	-2,581	0
xxx	G+V3+0,7*Q	131,294	0,094	-3,822	-0,034	-2,631	0
xxx	G+V4+0,7*Q	131,004	0,134	-4,182	-0,014	-2,801	0
xxx	G+V5+0,7*Q	113,464	-1,076	-10,212	-0,564	-5,511	-0,01
xxx	G+V6+0,7*Q	110,084	-0,686	-14,292	-0,394	-7,401	0
xxx	G+V7+0,7*Q	141,004	-0,236	2,228	-0,184	0,129	0,01
xxx	G+V8+0,7*Q	144,384	-0,626	6,308	-0,354	2,019	0
xxx	G+Sx	123,980944	0,96301708	-0,35006289	0,3944706	-0,94826493	0,01
xxx	G-Sx	103,439056	-2,02301708	-6,70993711	-0,9744706	-3,83173507	-0,01
xxx	G+Sy	123,816231	0,62585466	0,29133485	0,23630789	-0,63928586	0,01414214
xxx	G-Sy	103,603769	-1,68585466	-7,35133485	-0,81630789	-4,14071414	-0,01414214
xxx	G+Sx+0,3*Sy	127,012814	1,30977348	0,79633756	0,55236297	-0,42305069	0,01424264
xxx	G+Sx-0,3*Sy	120,949075	0,61626068	-1,49646335	0,23657823	-1,47347918	0,00575736
xxx	G-Sx+0,3*Sy	106,470925	-1,67626068	-5,56353665	-0,81657823	-3,30652082	-0,00575736
xxx	G-Sx-0,3*Sy	100,407186	-2,36977348	-7,85633756	-1,13236297	-4,35694931	-0,01424264
xxx	G+Sy+0,3*Sx	126,897514	1,07375979	1,24531598	0,44164907	-0,20676534	0,01714214
xxx	G+Sy-0,3*Sx	120,734947	0,17794954	-0,66264629	0,03096672	-1,07180638	0,01114214
xxx	G-Sy+0,3*Sx	106,685053	-1,23794954	-6,39735371	-0,61096672	-3,70819362	-0,01114214
xxx	G-Sy-0,3*Sx	100,522486	-2,13375979	-8,30531598	-1,02164907	-4,57323466	-0,01714214
xxx	G+Sx+0,3*Q	129,776944	0,90901708	-0,54806289	0,3584706	-1,07726493	0,01
xxx	G-Sx+0,3*Q	109,235056	-2,07701708	-6,90793711	-1,0104706	-3,96073507	-0,01
xxx	G+Sy+0,3*Q	129,612231	0,57185466	0,09333485	0,20030789	-0,76828586	0,01414214
xxx	G-Sy+0,3*Q	109,399769	-1,73985466	-7,54933485	-0,85230789	-4,26971414	-0,01414214
xxx	G+Sx+0,3*Sy+0,3*Q	132,808814	1,25577348	0,59833756	0,51636297	-0,55205069	0,01424264
xxx	G+Sx-0,3*Sy+0,3*Q	126,745075	0,56226068	-1,69446335	0,20057823	-1,60247918	0,00575736
xxx	G-Sx+0,3*Sy+0,3*Q	112,266925	-1,73026068	-5,76153665	-0,85257823	-3,43552082	-0,00575736
xxx	G-Sx-0,3*Sy+0,3*Q	106,203186	-2,42377348	-8,05433756	-1,16836297	-4,48594931	-0,01424264
xxx	G+Sy+0,3*Sx+0,3*Q	132,693514	1,01975979	1,04731598	0,40564907	-0,33576534	0,01714214
xxx	G+Sy-0,3*Sx+0,3*Q	126,530947	0,12394954	-0,86064629	-0,00503328	-1,20080638	0,01114214
xxx	G-Sy+0,3*Sx+0,3*Q	112,481053	-1,29194954	-6,59535371	-0,64696672	-3,83719362	-0,01114214
xxx	G-Sy-0,3*Sx+0,3*Q	106,318486	-2,18775979	-8,50331598	-1,05764907	-4,70223466	-0,01714214
xxx	G+BOMB	113,65	-0,62	-3,49	-0,36	-2,37	0
xxx	G+BOMB+0,5*Q	123,31	-0,71	-3,82	-0,42	-2,585	0
xxx	G+BOMB+0,5*V1	111,62	-0,995	-3,575	-0,53	-2,4	0
xxx	G+BOMB+0,5*V2	111,765	-1,015	-3,395	-0,54	-2,315	0

xxx	G+BOMB+0,5*V3	115,68	-0,245	-3,405	-0,19	-2,34	0
xxx	G+BOMB+0,5*V4	115,535	-0,225	-3,585	-0,18	-2,425	0
xxx	G+BOMB+0,5*V5	106,765	-0,83	-6,6	-0,455	-3,78	-0,005
xxx	G+BOMB+0,5*V6	105,075	-0,635	-8,64	-0,37	-4,725	0
xxx	G+BOMB+0,5*V7	120,535	-0,41	-0,38	-0,265	-0,96	0,005
xxx	G+BOMB+0,5*V8	122,225	-0,605	1,66	-0,35	-0,015	0
xxx	G+BOMB+0,5*V1+0,3*Q	117,416	-1,049	-3,773	-0,566	-2,529	0
xxx	G+BOMB+0,5*V2+0,3*Q	117,561	-1,069	-3,593	-0,576	-2,444	0
xxx	G+BOMB+0,5*V3+0,3*Q	121,476	-0,299	-3,603	-0,226	-2,469	0
xxx	G+BOMB+0,5*V4+0,3*Q	121,331	-0,279	-3,783	-0,216	-2,554	0
xxx	G+BOMB+0,5*V5+0,3*Q	112,561	-0,884	-6,798	-0,491	-3,909	-0,005
xxx	G+BOMB+0,5*V6+0,3*Q	110,871	-0,689	-8,838	-0,406	-4,854	0
xxx	G+BOMB+0,5*V7+0,3*Q	126,331	-0,464	-0,578	-0,301	-1,089	0,005
xxx	G+BOMB+0,5*V8+0,3*Q	128,021	-0,659	1,462	-0,386	-0,144	0
P18	G	169,15	-0,12	-4,6	-0,03	-3,1	0
xxx	G+Q	197,06	-0,04	-5,39	0,02	-3,63	0
xxx	G+V1	170,02	-0,91	-4,85	-0,4	-3,22	0
xxx	G+V2	170,76	-0,95	-4,57	-0,42	-3,09	0
xxx	G+V3	168,28	0,67	-4,35	0,34	-2,98	0
xxx	G+V4	167,54	0,71	-4,63	0,36	-3,11	0
xxx	G+V5	155	-0,53	-11,76	-0,22	-6,41	-0,01
xxx	G+V6	146,51	-0,1	-15,04	-0,02	-7,92	0
xxx	G+V7	183,3	0,29	2,56	0,16	0,21	0,01
xxx	G+V8	191,79	-0,14	5,84	-0,04	1,72	0
xxx	G+Q+0,6*V1	197,582	-0,514	-5,54	-0,202	-3,702	0
xxx	G+Q+0,6*V2	198,026	-0,538	-5,372	-0,214	-3,624	0
xxx	G+Q+0,6*V3	196,538	0,434	-5,24	0,242	-3,558	0
xxx	G+Q+0,6*V4	196,094	0,458	-5,408	0,254	-3,636	0
xxx	G+Q+0,6*V5	188,57	-0,286	-9,686	-0,094	-5,616	-0,006
xxx	G+Q+0,6*V6	183,476	-0,028	-11,654	0,026	-6,522	0
xxx	G+Q+0,6*V7	205,55	0,206	-1,094	0,134	-1,644	0,006
xxx	G+Q+0,6*V8	210,644	-0,052	0,874	0,014	-0,738	0
xxx	G+V1+0,7*Q	189,557	-0,854	-5,403	-0,365	-3,591	0
xxx	G+V2+0,7*Q	190,297	-0,894	-5,123	-0,385	-3,461	0
xxx	G+V3+0,7*Q	187,817	0,726	-4,903	0,375	-3,351	0
xxx	G+V4+0,7*Q	187,077	0,766	-5,183	0,395	-3,481	0
xxx	G+V5+0,7*Q	174,537	-0,474	-12,313	-0,185	-6,781	-0,01
xxx	G+V6+0,7*Q	166,047	-0,044	-15,593	0,015	-8,291	0
xxx	G+V7+0,7*Q	202,837	0,346	2,007	0,195	-0,161	0,01
xxx	G+V8+0,7*Q	211,327	-0,084	5,287	-0,005	1,349	0
xxx	G+Sx	175,46347	1,45822685	-1,80811891	0,70382559	-1,81038766	0,01
xxx	G-Sx	162,83653	-1,69822685	-7,39188109	-0,76382559	-4,38961234	-0,01
xxx	G+Sy	178,095177	1,10572428	-0,91428433	0,54602083	-1,40406368	0,01414214
xxx	G-Sy	160,204823	-1,34572428	-8,28571567	-0,60602083	-4,79593632	-0,01414214
xxx	G+Sx+0,3*Sy	178,147023	1,82594414	-0,70240421	0,87663184	-1,30160676	0,01424264
xxx	G+Sx-0,3*Sy	172,779916	1,09050957	-2,91383361	0,53101934	-2,31916855	0,00575736
xxx	G-Sx+0,3*Sy	165,520084	-1,33050957	-6,28616639	-0,59101934	-3,88083145	-0,00575736
xxx	G-Sx-0,3*Sy	160,152977	-2,06594414	-8,49759579	-0,93663184	-4,89839324	-0,01424264
xxx	G+Sy+0,3*Sx	179,989218	1,57919233	-0,07672	0,76616851	-1,01717998	0,01714214
xxx	G+Sy-0,3*Sx	176,201137	0,63225622	-1,75184866	0,32587316	-1,79094738	0,01114214
xxx	G-Sy+0,3*Sx	162,098863	-0,87225622	-7,44815134	-0,38587316	-4,40905262	-0,01114214
xxx	G-Sy-0,3*Sx	158,310782	-1,81919233	-9,12328	-0,82616851	-5,18282002	-0,01714214
xxx	G+Sx+0,3*Q	183,83647	1,48222685	-2,04511891	0,71882559	-1,96938766	0,01
xxx	G-Sx+0,3*Q	171,20953	-1,67422685	-7,62888109	-0,74882559	-4,54861234	-0,01
xxx	G+Sy+0,3*Q	186,468177	1,12972428	-1,15128433	0,56102083	-1,56306368	0,01414214
xxx	G-Sy+0,3*Q	168,577823	-1,32172428	-8,52271567	-0,59102083	-4,95493632	-0,01414214
xxx	G+Sx+0,3*Sy+0,3*Q	186,520023	1,84994414	-0,93940421	0,89163184	-1,46060676	0,01424264
xxx	G+Sx-0,3*Sy+0,3*Q	181,152916	1,11450957	-3,15083361	0,54601934	-2,47816855	0,00575736
xxx	G-Sx+0,3*Sy+0,3*Q	173,893084	-1,30650957	-6,52316639	-0,57601934	-4,03983145	-0,00575736
xxx	G-Sx-0,3*Sy+0,3*Q	168,525977	-2,04194414	-8,73459579	-0,92163184	-5,05739324	-0,01424264

xxx	G+Sy+0,3*Sx+0,3*Q	188,362218	1,60319233	-0,31372	0,78116851	-1,17617998	0,01714214
xxx	G+Sy-0,3*Sx+0,3*Q	184,574137	0,65625622	-1,98884866	0,34087316	-1,94994738	0,01114214
xxx	G-Sy+0,3*Sx+0,3*Q	170,471863	-0,84825622	-7,68515134	-0,37087316	-4,56805262	-0,01114214
xxx	G-Sy-0,3*Sx+0,3*Q	166,683782	-1,79519233	-9,36028	-0,81116851	-5,34182002	-0,01714214
xxx	G+BOMB	165,42	-0,02	-4,34	0,03	-2,95	0
xxx	G+BOMB+0,5*Q	179,375	0,02	-4,735	0,055	-3,215	0
xxx	G+BOMB+0,5*V1	165,855	-0,415	-4,465	-0,155	-3,01	0
xxx	G+BOMB+0,5*V2	166,225	-0,435	-4,325	-0,165	-2,945	0
xxx	G+BOMB+0,5*V3	164,985	0,375	-4,215	0,215	-2,89	0
xxx	G+BOMB+0,5*V4	164,615	0,395	-4,355	0,225	-2,955	0
xxx	G+BOMB+0,5*V5	158,345	-0,225	-7,92	-0,065	-4,605	-0,005
xxx	G+BOMB+0,5*V6	154,1	-0,01	-9,56	0,035	-5,36	0
xxx	G+BOMB+0,5*V7	172,495	0,185	-0,76	0,125	-1,295	0,005
xxx	G+BOMB+0,5*V8	176,74	-0,03	0,88	0,025	-0,54	0
xxx	G+BOMB+0,5*V1+0,3*Q	174,228	-0,391	-4,702	-0,14	-3,169	0
xxx	G+BOMB+0,5*V2+0,3*Q	174,598	-0,411	-4,562	-0,15	-3,104	0
xxx	G+BOMB+0,5*V3+0,3*Q	173,358	0,399	-4,452	0,23	-3,049	0
xxx	G+BOMB+0,5*V4+0,3*Q	172,988	0,419	-4,592	0,24	-3,114	0
xxx	G+BOMB+0,5*V5+0,3*Q	166,718	-0,201	-8,157	-0,05	-4,764	-0,005
xxx	G+BOMB+0,5*V6+0,3*Q	162,473	0,014	-9,797	0,05	-5,519	0
xxx	G+BOMB+0,5*V7+0,3*Q	180,868	0,209	-0,997	0,14	-1,454	0,005
xxx	G+BOMB+0,5*V8+0,3*Q	185,113	-0,006	0,643	0,04	-0,699	0
P19	G	316,57	-2,3	-8,9	-1,35	-6,1	0
xxx	G+Q	374,16	-2,63	-10,34	-1,56	-7,13	0
xxx	G+V1	317,34	-4,51	-9,22	-2,38	-6,25	0
xxx	G+V2	318,01	-4,62	-8,79	-2,43	-6,04	0
xxx	G+V3	315,8	-0,09	-8,58	-0,32	-5,95	0
xxx	G+V4	315,13	0,02	-9,01	-0,27	-6,16	0
xxx	G+V5	293,48	-3,34	-29,33	-1,81	-15,82	-0,03
xxx	G+V6	285,69	-2,07	-34,25	-1,2	-18,15	0
xxx	G+V7	339,66	-1,26	11,53	-0,89	3,62	0,03
xxx	G+V8	347,45	-2,53	16,45	-1,5	5,95	0
xxx	G+Q+0,6*V1	374,622	-3,956	-10,532	-2,178	-7,22	0
xxx	G+Q+0,6*V2	375,024	-4,022	-10,274	-2,208	-7,094	0
xxx	G+Q+0,6*V3	373,698	-1,304	-10,148	-0,942	-7,04	0
xxx	G+Q+0,6*V4	373,296	-1,238	-10,406	-0,912	-7,166	0
xxx	G+Q+0,6*V5	360,306	-3,254	-22,598	-1,836	-12,962	-0,018
xxx	G+Q+0,6*V6	355,632	-2,492	-25,55	-1,47	-14,36	0
xxx	G+Q+0,6*V7	388,014	-2,006	1,918	-1,284	-1,298	0,018
xxx	G+Q+0,6*V8	392,688	-2,768	4,87	-1,65	0,1	0
xxx	G+V1+0,7*Q	357,653	-4,741	-10,228	-2,527	-6,971	0
xxx	G+V2+0,7*Q	358,323	-4,851	-9,798	-2,577	-6,761	0
xxx	G+V3+0,7*Q	356,113	-0,321	-9,588	-0,467	-6,671	0
xxx	G+V4+0,7*Q	355,443	-0,211	-10,018	-0,417	-6,881	0
xxx	G+V5+0,7*Q	333,793	-3,571	-30,338	-1,957	-16,541	-0,03
xxx	G+V6+0,7*Q	326,003	-2,301	-35,258	-1,347	-18,871	0
xxx	G+V7+0,7*Q	379,973	-1,491	10,522	-1,037	2,899	0,03
xxx	G+V8+0,7*Q	387,763	-2,761	15,442	-1,647	5,229	0
xxx	G+Sx	323,752047	2,04659637	-3,66620597	0,67422825	-3,6273496	0,03316625
xxx	G-Sx	309,387953	-6,64659637	-14,133794	-3,37422825	-8,5726504	-0,03316625
xxx	G+Sy	327,846657	1,12143245	-0,19093002	0,24834289	-1,9643622	0,03162278
xxx	G-Sy	305,293343	-5,72143245	-17,60907	-2,94834289	-10,2356378	-0,03162278
xxx	G+Sx+0,3*Sy	327,135044	3,0730261	-1,05348497	1,15373112	-2,38665826	0,04265308
xxx	G+Sx-0,3*Sy	320,36905	1,02016664	-6,27892696	0,19472538	-4,86804094	0,02367941
xxx	G-Sx+0,3*Sy	312,77095	-5,62016664	-11,521073	-2,89472538	-7,33195906	-0,02367941
xxx	G-Sx-0,3*Sy	306,004956	-7,6730261	-16,746515	-3,85373112	-9,81334174	-0,04265308
xxx	G+Sy+0,3*Sx	330,001271	2,42541136	1,3792082	0,85561137	-1,22256708	0,04157265
xxx	G+Sy-0,3*Sx	325,692043	-0,18254646	-1,76106823	-0,35892558	-2,70615732	0,0216729
xxx	G-Sy+0,3*Sx	307,447957	-4,41745354	-16,0389318	-2,34107442	-9,49384268	-0,0216729
xxx	G-Sy-0,3*Sx	303,138729	-7,02541136	-19,1792082	-3,55561137	-10,9774329	-0,04157265

xxx	G+Sx+0,3*Q	341,029047	1,94759637	-4,09820597	0,61122825	-3,9363496	0,03316625
xxx	G-Sx+0,3*Q	326,664953	-6,74559637	-14,565794	-3,43722825	-8,8816504	-0,03316625
xxx	G+Sy+0,3*Q	345,123657	1,02243245	-0,62293002	0,18534289	-2,2733622	0,03162278
xxx	G-Sy+0,3*Q	322,570343	-5,82043245	-18,04107	-3,01134289	-10,5446378	-0,03162278
xxx	G+Sx+0,3*Sy+0,3*Q	344,412044	2,9740261	-1,48548497	1,09073112	-2,69565826	0,04265308
xxx	G+Sx-0,3*Sy+0,3*Q	337,64605	0,92116664	-6,71092696	0,13172538	-5,17704094	0,02367941
xxx	G-Sx+0,3*Sy+0,3*Q	330,04795	-5,71916664	-11,953073	-2,95772538	-7,64095906	-0,02367941
xxx	G-Sx-0,3*Sy+0,3*Q	323,281956	-7,7720261	-17,178515	-3,91673112	-10,1223417	-0,04265308
xxx	G+Sy+0,3*Sx+0,3*Q	347,278271	2,32641136	0,9472082	0,79261137	-1,53156708	0,04157265
xxx	G+Sy-0,3*Sx+0,3*Q	342,969043	-0,28154646	-2,19306823	-0,42192558	-3,01515732	0,0216729
xxx	G-Sy+0,3*Sx+0,3*Q	324,724957	-4,51645354	-16,4709318	-2,40407442	-9,80284268	-0,0216729
xxx	G-Sy-0,3*Sx+0,3*Q	320,415729	-7,12441136	-19,6112082	-3,61861137	-11,2864329	-0,04157265
xxx	G+BOMB	313,29	-2,24	-8,39	-1,33	-5,83	0
xxx	G+BOMB+0,5*Q	342,085	-2,405	-9,11	-1,435	-6,345	0
xxx	G+BOMB+0,5*V1	313,675	-3,345	-8,55	-1,845	-5,905	0
xxx	G+BOMB+0,5*V2	314,01	-3,4	-8,335	-1,87	-5,8	0
xxx	G+BOMB+0,5*V3	312,905	-1,135	-8,23	-0,815	-5,755	0
xxx	G+BOMB+0,5*V4	312,57	-1,08	-8,445	-0,79	-5,86	0
xxx	G+BOMB+0,5*V5	301,745	-2,76	-18,605	-1,56	-10,69	-0,015
xxx	G+BOMB+0,5*V6	297,85	-2,125	-21,065	-1,255	-11,855	0
xxx	G+BOMB+0,5*V7	324,835	-1,72	1,825	-1,1	-0,97	0,015
xxx	G+BOMB+0,5*V8	328,73	-2,355	4,285	-1,405	0,195	0
xxx	G+BOMB+0,5*V1+0,3*Q	330,952	-3,444	-8,982	-1,908	-6,214	0
xxx	G+BOMB+0,5*V2+0,3*Q	331,287	-3,499	-8,767	-1,933	-6,109	0
xxx	G+BOMB+0,5*V3+0,3*Q	330,182	-1,234	-8,662	-0,878	-6,064	0
xxx	G+BOMB+0,5*V4+0,3*Q	329,847	-1,179	-8,877	-0,853	-6,169	0
xxx	G+BOMB+0,5*V5+0,3*Q	319,022	-2,859	-19,037	-1,623	-10,999	-0,015
xxx	G+BOMB+0,5*V6+0,3*Q	315,127	-2,224	-21,497	-1,318	-12,164	0
xxx	G+BOMB+0,5*V7+0,3*Q	342,112	-1,819	1,393	-1,163	-1,279	0,015
xxx	G+BOMB+0,5*V8+0,3*Q	346,007	-2,454	3,853	-1,468	-0,114	0
P20	G	217,96	-0,58	-3,92	-0,24	-2,76	0
xxx	G+Q	256,65	-0,43	-4,31	-0,13	-3,1	0
xxx	G+V1	216,39	-2,13	-4,13	-0,91	-2,89	0
xxx	G+V2	216,72	-2,2	-4,08	-0,94	-2,87	0
xxx	G+V3	219,53	0,97	-3,71	0,43	-2,63	0
xxx	G+V4	219,2	1,04	-3,76	0,46	-2,65	0
xxx	G+V5	178,54	-1,57	-18,31	-0,71	-9,72	-0,03
xxx	G+V6	174,76	-0,72	-18,92	-0,33	-9,98	0
xxx	G+V7	257,38	0,41	10,47	0,23	4,2	0,03
xxx	G+V8	261,16	-0,44	11,08	-0,15	4,46	0
xxx	G+Q+0,6*V1	255,708	-1,36	-4,436	-0,532	-3,178	0
xxx	G+Q+0,6*V2	255,906	-1,402	-4,406	-0,55	-3,166	0
xxx	G+Q+0,6*V3	257,592	0,5	-4,184	0,272	-3,022	0
xxx	G+Q+0,6*V4	257,394	0,542	-4,214	0,29	-3,034	0
xxx	G+Q+0,6*V5	232,998	-1,024	-12,944	-0,412	-7,276	-0,018
xxx	G+Q+0,6*V6	230,73	-0,514	-13,31	-0,184	-7,432	0
xxx	G+Q+0,6*V7	280,302	0,164	4,324	0,152	1,076	0,018
xxx	G+Q+0,6*V8	282,57	-0,346	4,69	-0,076	1,232	0
xxx	G+V1+0,7*Q	243,473	-2,025	-4,403	-0,833	-3,128	0
xxx	G+V2+0,7*Q	243,803	-2,095	-4,353	-0,863	-3,108	0
xxx	G+V3+0,7*Q	246,613	1,075	-3,983	0,507	-2,868	0
xxx	G+V4+0,7*Q	246,283	1,145	-4,033	0,537	-2,888	0
xxx	G+V5+0,7*Q	205,623	-1,465	-18,583	-0,633	-9,958	-0,03
xxx	G+V6+0,7*Q	201,843	-0,615	-19,193	-0,253	-10,218	0
xxx	G+V7+0,7*Q	284,463	0,515	10,197	0,307	3,962	0,03
xxx	G+V8+0,7*Q	288,243	-0,335	10,807	-0,073	4,222	0
xxx	G+Sx	227,931565	2,47450487	-0,8158415	1,07628264	-1,26417247	0,0244949
xxx	G-Sx	207,988435	-3,63450487	-7,0241585	-1,55628264	-4,25582753	-0,0244949
xxx	G+Sy	235,926104	1,87004082	1,79350155	0,83368524	0,02016187	0,02
xxx	G-Sy	199,993896	-3,03004082	-9,63350155	-1,31368524	-5,54016187	-0,02

xxx	G+Sx+0,3*Sy	233,321396	3,20951711	0,89820897	1,39838822	-0,43012391	0,0304949
xxx	G+Sx-0,3*Sy	222,541733	1,73949263	-2,52989196	0,75417707	-2,09822103	0,0184949
xxx	G-Sx+0,3*Sy	213,378267	-2,89949263	-5,31010804	-1,23417707	-3,42177897	-0,0184949
xxx	G-Sx-0,3*Sy	202,598604	-4,36951711	-8,73820897	-1,87838822	-5,08987609	-0,0304949
xxx	G+Sy+0,3*Sx	238,917574	2,78639228	2,7247491	1,22857004	0,46891012	0,02734847
xxx	G+Sy-0,3*Sx	232,934635	0,95368936	0,862254	0,43880045	-0,42858639	0,01265153
xxx	G-Sy+0,3*Sx	202,985365	-2,11368936	-8,702254	-0,91880045	-5,09141361	-0,01265153
xxx	G-Sy-0,3*Sx	197,002426	-3,94639228	-10,5647491	-1,70857004	-5,98891012	-0,02734847
xxx	G+Sx+0,3*Q	239,538565	2,51950487	-0,9328415	1,10928264	-1,36617247	0,0244949
xxx	G-Sx+0,3*Q	219,595435	-3,58950487	-7,1411585	-1,52328264	-4,35782753	-0,0244949
xxx	G+Sy+0,3*Q	247,533104	1,91504082	1,67650155	0,86668524	-0,08183813	0,02
xxx	G-Sy+0,3*Q	211,600896	-2,98504082	-9,75050155	-1,28068524	-5,64216187	-0,02
xxx	G+Sx+0,3*Sy+0,3*Q	244,928396	3,25451711	0,78120897	1,43138822	-0,53212391	0,0304949
xxx	G+Sx-0,3*Sy+0,3*Q	234,148733	1,78449263	-2,64689196	0,78717707	-2,20022103	0,0184949
xxx	G-Sx+0,3*Sy+0,3*Q	224,985267	-2,85449263	-5,42710804	-1,20117707	-3,52377897	-0,0184949
xxx	G-Sx-0,3*Sy+0,3*Q	214,205604	-4,32451711	-8,85520897	-1,84538822	-5,19187609	-0,0304949
xxx	G+Sy+0,3*Sx+0,3*Q	250,524574	2,83139228	2,6077491	1,26157004	0,36691012	0,02734847
xxx	G+Sy-0,3*Sx+0,3*Q	244,541635	0,99868936	0,745254	0,47180045	-0,53058639	0,01265153
xxx	G-Sy+0,3*Sx+0,3*Q	214,592365	-2,06868936	-8,819254	-0,88580045	-5,19341361	-0,01265153
xxx	G-Sy-0,3*Sx+0,3*Q	208,609426	-3,90139228	-10,6817491	-1,67557004	-6,09091012	-0,02734847
xxx	G+BOMB	223,49	-0,22	-3,77	-0,02	-2,73	0
xxx	G+BOMB+0,5*Q	242,835	-0,145	-3,965	0,035	-2,9	0
xxx	G+BOMB+0,5*V1	222,705	-0,995	-3,875	-0,355	-2,795	0
xxx	G+BOMB+0,5*V2	222,87	-1,03	-3,85	-0,37	-2,785	0
xxx	G+BOMB+0,5*V3	224,275	0,555	-3,665	0,315	-2,665	0
xxx	G+BOMB+0,5*V4	224,11	0,59	-3,69	0,33	-2,675	0
xxx	G+BOMB+0,5*V5	203,78	-0,715	-10,965	-0,255	-6,21	-0,015
xxx	G+BOMB+0,5*V6	201,89	-0,29	-11,27	-0,065	-6,34	0
xxx	G+BOMB+0,5*V7	243,2	0,275	3,425	0,215	0,75	0,015
xxx	G+BOMB+0,5*V8	245,09	-0,15	3,73	0,025	0,88	0
xxx	G+BOMB+0,5*V1+0,3*Q	234,312	-0,95	-3,992	-0,322	-2,897	0
xxx	G+BOMB+0,5*V2+0,3*Q	234,477	-0,985	-3,967	-0,337	-2,887	0
xxx	G+BOMB+0,5*V3+0,3*Q	235,882	0,6	-3,782	0,348	-2,767	0
xxx	G+BOMB+0,5*V4+0,3*Q	235,717	0,635	-3,807	0,363	-2,777	0
xxx	G+BOMB+0,5*V5+0,3*Q	215,387	-0,67	-11,082	-0,222	-6,312	-0,015
xxx	G+BOMB+0,5*V6+0,3*Q	213,497	-0,245	-11,387	-0,032	-6,442	0
xxx	G+BOMB+0,5*V7+0,3*Q	254,807	0,32	3,308	0,248	0,648	0,015
xxx	G+BOMB+0,5*V8+0,3*Q	256,697	-0,105	3,613	0,058	0,778	0
P21	G	116,99	5,56	-1,99	6	-1,82	0
xxx	G+Q	136,74	7,28	-2,17	7,62	-2,03	0
xxx	G+V1	117,71	-0,5	-2,15	2,97	-1,95	0
xxx	G+V2	117,64	-0,71	-2,12	2,88	-1,93	0
xxx	G+V3	116,27	11,62	-1,83	9,03	-1,69	0
xxx	G+V4	116,34	11,83	-1,86	9,12	-1,71	0
xxx	G+V5	132,2	1,43	-10,74	3,35	-7,64	-0,02
xxx	G+V6	132,94	3,83	-11,05	4,43	-7,82	0
xxx	G+V7	101,78	9,69	6,76	8,65	4	0,02
xxx	G+V8	101,04	7,29	7,07	7,57	4,18	0
xxx	G+Q+0,6*V1	137,172	3,644	-2,266	5,802	-2,108	0
xxx	G+Q+0,6*V2	137,13	3,518	-2,248	5,748	-2,096	0
xxx	G+Q+0,6*V3	136,308	10,916	-2,074	9,438	-1,952	0
xxx	G+Q+0,6*V4	136,35	11,042	-2,092	9,492	-1,964	0
xxx	G+Q+0,6*V5	145,866	4,802	-7,42	6,03	-5,522	-0,012
xxx	G+Q+0,6*V6	146,31	6,242	-7,606	6,678	-5,63	0
xxx	G+Q+0,6*V7	127,614	9,758	3,08	9,21	1,462	0,012
xxx	G+Q+0,6*V8	127,17	8,318	3,266	8,562	1,57	0
xxx	G+V1+0,7*Q	131,535	0,704	-2,276	4,104	-2,097	0
xxx	G+V2+0,7*Q	131,465	0,494	-2,246	4,014	-2,077	0
xxx	G+V3+0,7*Q	130,095	12,824	-1,956	10,164	-1,837	0
xxx	G+V4+0,7*Q	130,165	13,034	-1,986	10,254	-1,857	0

xxx	G+V5+0,7*Q	146,025	2,634	-10,866	4,484	-7,787	-0,02
xxx	G+V6+0,7*Q	146,765	5,034	-11,176	5,564	-7,967	0
xxx	G+V7+0,7*Q	115,605	10,894	6,634	9,784	3,853	0,02
xxx	G+V8+0,7*Q	114,865	8,494	6,944	8,704	4,033	0
xxx	G+Sx	120,436883	17,7820293	-0,10598832	12,1125118	-0,56912031	0,0244949
xxx	G-Sx	113,543117	-6,66202929	-3,87401168	-0,11251176	-3,07087969	-0,0244949
xxx	G+Sy	123,400226	14,7953451	1,50108866	10,7301586	0,51400943	0,02
xxx	G-Sy	110,579774	-3,67534515	-5,48108866	1,26984144	-4,15400943	-0,02
xxx	G+Sx+0,3*Sy	122,359951	20,5526328	0,94133827	13,5315593	0,13108252	0,0304949
xxx	G+Sx-0,3*Sy	118,513815	15,0114257	-1,15331492	10,6934642	-1,26932314	0,0184949
xxx	G-Sx+0,3*Sy	115,466185	-3,89142575	-2,82668508	1,30653581	-2,37067686	-0,0184949
xxx	G-Sx-0,3*Sy	111,620049	-9,43263284	-4,92133827	-1,53155933	-3,77108252	-0,0304949
xxx	G+Sy+0,3*Sx	124,434291	18,4619539	2,06629216	12,5639121	0,88927333	0,02734847
xxx	G+Sy-0,3*Sx	122,366161	11,1287364	0,93588515	8,89640503	0,13874552	0,01265153
xxx	G-Sy+0,3*Sx	111,613839	-0,00873636	-4,91588515	3,10359497	-3,77874552	-0,01265153
xxx	G-Sy-0,3*Sx	109,545709	-7,34195394	-6,04629216	-0,56391209	-4,52927333	-0,02734847
xxx	G+Sx+0,3*Q	126,361883	18,2980293	-0,15998832	12,5985118	-0,63212031	0,0244949
xxx	G-Sx+0,3*Q	119,468117	-6,14602929	-3,92801168	0,37348824	-3,13387969	-0,0244949
xxx	G+Sy+0,3*Q	129,325226	15,3113451	1,44708866	11,2161586	0,45100943	0,02
xxx	G-Sy+0,3*Q	116,504774	-3,15934515	-5,53508866	1,75584144	-4,21700943	-0,02
xxx	G+Sx+0,3*Sy+0,3*Q	128,284951	21,0686328	0,88733827	14,0175593	0,06808252	0,0304949
xxx	G+Sx-0,3*Sy+0,3*Q	124,438815	15,5274257	-1,20731492	11,1794642	-1,33232314	0,0184949
xxx	G-Sx+0,3*Sy+0,3*Q	121,391185	-3,37542575	-2,88068508	1,79253581	-2,43367686	-0,0184949
xxx	G-Sx-0,3*Sy+0,3*Q	117,545049	-8,91663284	-4,97533827	-1,04555933	-3,83408252	-0,0304949
xxx	G+Sy+0,3*Sx+0,3*Q	130,359291	18,9779539	2,01229216	13,0499121	0,82627333	0,02734847
xxx	G+Sy-0,3*Sx+0,3*Q	128,291161	11,6447364	0,88188515	9,38240503	0,07574552	0,01265153
xxx	G-Sy+0,3*Sx+0,3*Q	117,538839	0,50726364	-4,96988515	3,58959497	-3,84174552	-0,01265153
xxx	G-Sy-0,3*Sx+0,3*Q	115,470709	-6,82595394	-6,10029216	-0,07791209	-4,59227333	-0,02734847
xxx	G+BOMB	114,02	6,45	-1,91	6,68	-1,8	0
xxx	G+BOMB+0,5*Q	123,895	7,31	-2	7,49	-1,905	0
xxx	G+BOMB+0,5*V1	114,38	3,42	-1,99	5,165	-1,865	0
xxx	G+BOMB+0,5*V2	114,345	3,315	-1,975	5,12	-1,855	0
xxx	G+BOMB+0,5*V3	113,66	9,48	-1,83	8,195	-1,735	0
xxx	G+BOMB+0,5*V4	113,695	9,585	-1,845	8,24	-1,745	0
xxx	G+BOMB+0,5*V5	121,625	4,385	-6,285	5,355	-4,71	-0,01
xxx	G+BOMB+0,5*V6	121,995	5,585	-6,44	5,895	-4,8	0
xxx	G+BOMB+0,5*V7	106,415	8,515	2,465	8,005	1,11	0,01
xxx	G+BOMB+0,5*V8	106,045	7,315	2,62	7,465	1,2	0
xxx	G+BOMB+0,5*V1+0,3*Q	120,305	3,936	-2,044	5,651	-1,928	0
xxx	G+BOMB+0,5*V2+0,3*Q	120,27	3,831	-2,029	5,606	-1,918	0
xxx	G+BOMB+0,5*V3+0,3*Q	119,585	9,996	-1,884	8,681	-1,798	0
xxx	G+BOMB+0,5*V4+0,3*Q	119,62	10,101	-1,899	8,726	-1,808	0
xxx	G+BOMB+0,5*V5+0,3*Q	127,55	4,901	-6,339	5,841	-4,773	-0,01
xxx	G+BOMB+0,5*V6+0,3*Q	127,92	6,101	-6,494	6,381	-4,863	0
xxx	G+BOMB+0,5*V7+0,3*Q	112,34	9,031	2,411	8,491	1,047	0,01
xxx	G+BOMB+0,5*V8+0,3*Q	111,97	7,831	2,566	7,951	1,137	0
P22	G	231,7	0,8	-0,46	1,02	-0,45	0
xxx	G+Q	275,81	1,22	-0,96	1,39	-0,91	0
xxx	G+V1	233,28	-2,48	-0,47	-0,86	-0,46	0
xxx	G+V2	233,35	-2,6	-0,49	-0,93	-0,47	0
xxx	G+V3	230,12	4,08	-0,45	2,9	-0,44	0
xxx	G+V4	230,05	4,2	-0,43	2,97	-0,43	0
xxx	G+V5	218,35	-0,71	-5,47	0,13	-3,26	-0,01
xxx	G+V6	217,5	0,71	-5,2	0,94	-3,1	0
xxx	G+V7	245,05	2,31	4,55	1,91	2,36	0,01
xxx	G+V8	245,9	0,89	4,28	1,1	2,2	0
xxx	G+Q+0,6*V1	276,758	-0,748	-0,966	0,262	-0,916	0
xxx	G+Q+0,6*V2	276,8	-0,82	-0,978	0,22	-0,922	0
xxx	G+Q+0,6*V3	274,862	3,188	-0,954	2,518	-0,904	0
xxx	G+Q+0,6*V4	274,82	3,26	-0,942	2,56	-0,898	0

xxx	G+Q+0,6*V5	267,8	0,314	-3,966	0,856	-2,596	-0,006
xxx	G+Q+0,6*V6	267,29	1,166	-3,804	1,342	-2,5	0
xxx	G+Q+0,6*V7	283,82	2,126	2,046	1,924	0,776	0,006
xxx	G+Q+0,6*V8	284,33	1,274	1,884	1,438	0,68	0
xxx	G+V1+0,7*Q	264,157	-2,186	-0,82	-0,601	-0,782	0
xxx	G+V2+0,7*Q	264,227	-2,306	-0,84	-0,671	-0,792	0
xxx	G+V3+0,7*Q	260,997	4,374	-0,8	3,159	-0,762	0
xxx	G+V4+0,7*Q	260,927	4,494	-0,78	3,229	-0,752	0
xxx	G+V5+0,7*Q	249,227	-0,416	-5,82	0,389	-3,582	-0,01
xxx	G+V6+0,7*Q	248,377	1,004	-5,55	1,199	-3,422	0
xxx	G+V7+0,7*Q	275,927	2,604	4,2	2,169	2,038	0,01
xxx	G+V8+0,7*Q	276,777	1,184	3,93	1,359	1,878	0
xxx	G+Sx	236,864688	7,40187095	0,74482364	4,80948545	0,22149088	0,01414214
xxx	G-Sx	226,535312	-5,80187095	-1,66482364	-2,76948545	-1,12149088	-0,01414214
xxx	G+Sy	236,716612	5,64222056	1,50035711	3,80425933	0,65027269	0,01414214
xxx	G-Sy	226,683388	-4,04222056	-2,42035711	-1,76425933	-1,55027269	-0,01414214
xxx	G+Sx+0,3*Sy	238,369672	8,85453712	1,33293077	5,64476325	0,55157269	0,01838478
xxx	G+Sx-0,3*Sy	235,359704	5,94920478	0,15671651	3,97420766	-0,10859093	0,00989949
xxx	G-Sx+0,3*Sy	228,040296	-4,34920478	-1,07671651	-1,93420766	-0,79140907	-0,00989949
xxx	G-Sx-0,3*Sy	225,030328	-7,25453712	-2,25293077	-3,60476325	-1,45157269	-0,01838478
xxx	G+Sy+0,3*Sx	238,266019	7,62278185	1,8618042	4,94110496	0,85171996	0,01838478
xxx	G+Sy-0,3*Sx	235,167206	3,66165928	1,13891002	2,66741369	0,44882543	0,00989949
xxx	G-Sy+0,3*Sx	228,232794	-2,06165928	-2,05891002	-0,62741369	-1,34882543	-0,00989949
xxx	G-Sy-0,3*Sx	225,133981	-6,02278185	-2,7818042	-2,90110496	-1,75171996	-0,01838478
xxx	G+Sx+0,3*Q	250,097688	7,52787095	0,59482364	4,92048545	0,08349088	0,01414214
xxx	G-Sx+0,3*Q	239,768312	-5,67587095	-1,81482364	-2,65848545	-1,25949088	-0,01414214
xxx	G+Sy+0,3*Q	249,949612	5,76822056	1,35035711	3,91525933	0,51227269	0,01414214
xxx	G-Sy+0,3*Q	239,916388	-3,91622056	-2,57035711	-1,65325933	-1,68827269	-0,01414214
xxx	G+Sx+0,3*Sy+0,3*Q	251,602672	8,98053712	1,18293077	5,75576325	0,41357269	0,01838478
xxx	G+Sx-0,3*Sy+0,3*Q	248,592704	6,07520478	0,00671651	4,08520766	-0,24659093	0,00989949
xxx	G-Sx+0,3*Sy+0,3*Q	241,273296	-4,22320478	-1,22671651	-1,82320766	-0,92940907	-0,00989949
xxx	G-Sx-0,3*Sy+0,3*Q	238,263328	-7,12853712	-2,40293077	-3,49376325	-1,58957269	-0,01838478
xxx	G+Sy+0,3*Sx+0,3*Q	251,499019	7,74878185	1,7118042	5,05210496	0,71371996	0,01838478
xxx	G+Sy-0,3*Sx+0,3*Q	248,400206	3,78765928	0,98891002	2,77841369	0,31082543	0,00989949
xxx	G-Sy+0,3*Sx+0,3*Q	241,465794	-1,93565928	-2,20891002	-0,51641369	-1,48682543	-0,00989949
xxx	G-Sy-0,3*Sx+0,3*Q	238,366981	-5,89678185	-2,9318042	-2,79010496	-1,88971996	-0,01838478
xxx	G+BOMB	235,02	1,01	-0,87	1,15	-0,82	0
xxx	G+BOMB+0,5*Q	257,075	1,22	-1,12	1,335	-1,05	0
xxx	G+BOMB+0,5*V1	235,81	-0,63	-0,875	0,21	-0,825	0
xxx	G+BOMB+0,5*V2	235,845	-0,69	-0,885	0,175	-0,83	0
xxx	G+BOMB+0,5*V3	234,23	2,65	-0,865	2,09	-0,815	0
xxx	G+BOMB+0,5*V4	234,195	2,71	-0,855	2,125	-0,81	0
xxx	G+BOMB+0,5*V5	228,345	0,255	-3,375	0,705	-2,225	-0,005
xxx	G+BOMB+0,5*V6	227,92	0,965	-3,24	1,11	-2,145	0
xxx	G+BOMB+0,5*V7	241,695	1,765	1,635	1,595	0,585	0,005
xxx	G+BOMB+0,5*V8	242,12	1,055	1,5	1,19	0,505	0
xxx	G+BOMB+0,5*V1+0,3*Q	249,043	-0,504	-1,025	0,321	-0,963	0
xxx	G+BOMB+0,5*V2+0,3*Q	249,078	-0,564	-1,035	0,286	-0,968	0
xxx	G+BOMB+0,5*V3+0,3*Q	247,463	2,776	-1,015	2,201	-0,953	0
xxx	G+BOMB+0,5*V4+0,3*Q	247,428	2,836	-1,005	2,236	-0,948	0
xxx	G+BOMB+0,5*V5+0,3*Q	241,578	0,381	-3,525	0,816	-2,363	-0,005
xxx	G+BOMB+0,5*V6+0,3*Q	241,153	1,091	-3,39	1,221	-2,283	0
xxx	G+BOMB+0,5*V7+0,3*Q	254,928	1,891	1,485	1,706	0,447	0,005
xxx	G+BOMB+0,5*V8+0,3*Q	255,353	1,181	1,35	1,301	0,367	0
P23	G	261,21	-1,3	-2,39	-0,91	-2,47	0
xxx	G+Q	313,12	-1,43	-3,91	-1,01	-4,1	0
xxx	G+V1	261,46	-3,22	-2,21	-2,07	-2,39	0
xxx	G+V2	261,36	-3,29	-2,46	-2,11	-2,5	0
xxx	G+V3	260,96	0,62	-2,57	0,25	-2,55	0
xxx	G+V4	261,06	0,69	-2,32	0,29	-2,44	0

xxx	G+V5	251,1	-2,22	-22,46	-1,49	-11,83	-0,02
xxx	G+V6	252,31	-1,41	-19,65	-1	-10,5	0
xxx	G+V7	271,32	-0,38	17,68	-0,33	6,89	0,02
xxx	G+V8	270,11	-1,19	14,87	-0,82	5,56	0
xxx	G+Q+0,6*V1	313,27	-2,582	-3,802	-1,706	-4,052	0
xxx	G+Q+0,6*V2	313,21	-2,624	-3,952	-1,73	-4,118	0
xxx	G+Q+0,6*V3	312,97	-0,278	-4,018	-0,314	-4,148	0
xxx	G+Q+0,6*V4	313,03	-0,236	-3,868	-0,29	-4,082	0
xxx	G+Q+0,6*V5	307,054	-1,982	-15,952	-1,358	-9,716	-0,012
xxx	G+Q+0,6*V6	307,78	-1,496	-14,266	-1,064	-8,918	0
xxx	G+Q+0,6*V7	319,186	-0,878	8,132	-0,662	1,516	0,012
xxx	G+Q+0,6*V8	318,46	-1,364	6,446	-0,956	0,718	0
xxx	G+V1+0,7*Q	297,797	-3,311	-3,274	-2,14	-3,531	0
xxx	G+V2+0,7*Q	297,697	-3,381	-3,524	-2,18	-3,641	0
xxx	G+V3+0,7*Q	297,297	0,529	-3,634	0,18	-3,691	0
xxx	G+V4+0,7*Q	297,397	0,599	-3,384	0,22	-3,581	0
xxx	G+V5+0,7*Q	287,437	-2,311	-23,524	-1,56	-12,971	-0,02
xxx	G+V6+0,7*Q	288,647	-1,501	-20,714	-1,07	-11,641	0
xxx	G+V7+0,7*Q	307,657	-0,471	16,616	-0,4	5,749	0,02
xxx	G+V8+0,7*Q	306,447	-1,281	13,806	-0,89	4,419	0
xxx	G+Sx	264,610309	2,57027131	3,28947181	1,41656399	0,16814329	0,0244949
xxx	G-Sx	257,809691	-5,17027131	-8,06947181	-3,23656399	-5,10814329	-0,0244949
xxx	G+Sy	265,714775	1,54116173	5,59956194	0,80531338	1,23095934	0,02
xxx	G-Sy	256,705225	-4,14116173	-10,3795619	-2,62531338	-6,17095934	-0,02
xxx	G+Sx+0,3*Sy	265,961741	3,42261983	5,68634039	1,931158	1,27843109	0,0304949
xxx	G+Sx-0,3*Sy	263,258876	1,71792279	0,89260322	0,90196998	-0,94214451	0,0184949
xxx	G-Sx+0,3*Sy	259,161124	-4,31792279	-5,67260322	-2,72196998	-3,99785549	-0,0184949
xxx	G-Sx-0,3*Sy	256,458259	-6,02261983	-10,4663404	-3,751158	-6,21843109	-0,0304949
xxx	G+Sy+0,3*Sx	266,734868	2,70224313	7,30340348	1,50328258	2,02240232	0,02734847
xxx	G+Sy-0,3*Sx	264,694683	0,38008034	3,8957204	0,10734419	0,43951635	0,01265153
xxx	G-Sy+0,3*Sx	257,725317	-2,98008034	-8,6757204	-1,92734419	-5,37951635	-0,01265153
xxx	G-Sy-0,3*Sx	255,685132	-5,30224313	-12,0834035	-3,32328258	-6,96240232	-0,02734847
xxx	G+Sx+0,3*Q	280,183309	2,53127131	2,83347181	1,38656399	-0,32085671	0,0244949
xxx	G-Sx+0,3*Q	273,382691	-5,20927131	-8,52547181	-3,26656399	-5,59714329	-0,0244949
xxx	G+Sy+0,3*Q	281,287775	1,50216173	5,14356194	0,77531338	0,74195934	0,02
xxx	G-Sy+0,3*Q	272,278225	-4,18016173	-10,8355619	-2,65531338	-6,65995934	-0,02
xxx	G+Sx+0,3*Sy+0,3*Q	281,534741	3,38361983	5,23034039	1,901158	0,78943109	0,0304949
xxx	G+Sx-0,3*Sy+0,3*Q	278,831876	1,67892279	0,43660322	0,87196998	-1,43114451	0,0184949
xxx	G-Sx+0,3*Sy+0,3*Q	274,734124	-4,35692279	-6,12860322	-2,75196998	-4,48685549	-0,0184949
xxx	G-Sx-0,3*Sy+0,3*Q	272,031259	-6,06161983	-10,9223404	-3,781158	-6,70743109	-0,0304949
xxx	G+Sy+0,3*Sx+0,3*Q	282,307868	2,66324313	6,84740348	1,47328258	1,53340232	0,02734847
xxx	G+Sy-0,3*Sx+0,3*Q	280,267683	0,34108034	3,4397204	0,07734419	-0,04948365	0,01265153
xxx	G-Sy+0,3*Sx+0,3*Q	273,298317	-3,01908034	-9,1317204	-1,95734419	-5,86851635	-0,01265153
xxx	G-Sy-0,3*Sx+0,3*Q	271,258132	-5,34124313	-12,5394035	-3,35328258	-7,45140232	-0,02734847
xxx	G+BOMB	264,54	-1,17	-3,06	-0,83	-3,3	0
xxx	G+BOMB+0,5*Q	290,495	-1,235	-3,82	-0,88	-4,115	0
xxx	G+BOMB+0,5*V1	264,665	-2,13	-2,97	-1,41	-3,26	0
xxx	G+BOMB+0,5*V2	264,615	-2,165	-3,095	-1,43	-3,315	0
xxx	G+BOMB+0,5*V3	264,415	-0,21	-3,15	-0,25	-3,34	0
xxx	G+BOMB+0,5*V4	264,465	-0,175	-3,025	-0,23	-3,285	0
xxx	G+BOMB+0,5*V5	259,485	-1,63	-13,095	-1,12	-7,98	-0,01
xxx	G+BOMB+0,5*V6	260,09	-1,225	-11,69	-0,875	-7,315	0
xxx	G+BOMB+0,5*V7	269,595	-0,71	6,975	-0,54	1,38	0,01
xxx	G+BOMB+0,5*V8	268,99	-1,115	5,57	-0,785	0,715	0
xxx	G+BOMB+0,5*V1+0,3*Q	280,238	-2,169	-3,426	-1,44	-3,749	0
xxx	G+BOMB+0,5*V2+0,3*Q	280,188	-2,204	-3,551	-1,46	-3,804	0
xxx	G+BOMB+0,5*V3+0,3*Q	279,988	-0,249	-3,606	-0,28	-3,829	0
xxx	G+BOMB+0,5*V4+0,3*Q	280,038	-0,214	-3,481	-0,26	-3,774	0
xxx	G+BOMB+0,5*V5+0,3*Q	275,058	-1,669	-13,551	-1,15	-8,469	-0,01
xxx	G+BOMB+0,5*V6+0,3*Q	275,663	-1,264	-12,146	-0,905	-7,804	0
xxx	G+BOMB+0,5*V7+0,3*Q	285,168	-0,749	6,519	-0,57	0,891	0,01

xxx	G+BOMB+0,5*V8+0,3*Q	284,563	-1,154	5,114	-0,815	0,226	0
P24	G	234,53	-0,49	-2,58	-0,29	-2,78	0
xxx	G+Q	281,23	-0,49	-4,07	-0,28	-4,52	0
xxx	G+V1	234,37	-1,99	-2,21	-1,24	-2,59	0
xxx	G+V2	233,78	-2,05	-2,64	-1,28	-2,79	0
xxx	G+V3	234,69	1,01	-2,95	0,66	-2,97	0
xxx	G+V4	235,28	1,07	-2,52	0,7	-2,77	0
xxx	G+V5	205,2	-1,28	-26,61	-0,82	-14,15	-0,02
xxx	G+V6	212,01	-0,61	-21,6	-0,39	-11,78	0
xxx	G+V7	263,86	0,3	21,45	0,24	8,59	0,02
xxx	G+V8	257,05	-0,37	16,44	-0,19	6,22	0
xxx	G+Q+0,6*V1	281,134	-1,39	-3,848	-0,85	-4,406	0
xxx	G+Q+0,6*V2	280,78	-1,426	-4,106	-0,874	-4,526	0
xxx	G+Q+0,6*V3	281,326	0,41	-4,292	0,29	-4,634	0
xxx	G+Q+0,6*V4	281,68	0,446	-4,034	0,314	-4,514	0
xxx	G+Q+0,6*V5	263,632	-0,964	-18,488	-0,598	-11,342	-0,012
xxx	G+Q+0,6*V6	267,718	-0,562	-15,482	-0,34	-9,92	0
xxx	G+Q+0,6*V7	298,828	-0,016	10,348	0,038	2,302	0,012
xxx	G+Q+0,6*V8	294,742	-0,418	7,342	-0,22	0,88	0
xxx	G+V1+0,7*Q	267,06	-1,99	-3,253	-1,233	-3,808	0
xxx	G+V2+0,7*Q	266,47	-2,05	-3,683	-1,273	-4,008	0
xxx	G+V3+0,7*Q	267,38	1,01	-3,993	0,667	-4,188	0
xxx	G+V4+0,7*Q	267,97	1,07	-3,563	0,707	-3,988	0
xxx	G+V5+0,7*Q	237,89	-1,28	-27,653	-0,813	-15,368	-0,02
xxx	G+V6+0,7*Q	244,7	-0,61	-22,643	-0,383	-12,998	0
xxx	G+V7+0,7*Q	296,55	0,3	20,407	0,247	7,372	0,02
xxx	G+V8+0,7*Q	289,74	-0,37	15,397	-0,183	5,002	0
xxx	G+Sx	244,90986	2,51526205	5,23748041	1,61501968	0,91895931	0,01414214
xxx	G-Sx	224,15014	-3,49526205	-10,3974804	-2,19501968	-6,47895931	-0,01414214
xxx	G+Sy	248,985622	1,76268728	7,31217367	1,15104129	1,85172754	0,01414214
xxx	G-Sy	220,074378	-2,74268728	-12,4721737	-1,73104129	-7,41172754	-0,01414214
xxx	G+Sx+0,3*Sy	249,246547	3,19106824	8,20513251	2,04733207	2,30847757	0,01838478
xxx	G+Sx-0,3*Sy	240,573174	1,83945587	2,26982831	1,1827073	-0,47055895	0,00989949
xxx	G-Sx+0,3*Sy	228,486826	-2,81945587	-7,42982831	-1,7627073	-5,08944105	-0,00989949
xxx	G-Sx-0,3*Sy	219,813453	-4,17106824	-13,3651325	-2,62733207	-7,86847757	-0,01838478
xxx	G+Sy+0,3*Sx	252,09958	2,6642659	9,6574178	1,7225472	2,96141533	0,01838478
xxx	G+Sy-0,3*Sx	245,871664	0,86110867	4,96692955	0,57953538	0,74203975	0,00989949
xxx	G-Sy+0,3*Sx	223,188336	-1,84110867	-10,1269296	-1,15953538	-6,30203975	-0,00989949
xxx	G-Sy-0,3*Sx	216,96042	-3,6442659	-14,8174178	-2,3025472	-8,52141533	-0,01838478
xxx	G+Sx+0,3*Q	258,91986	2,51526205	4,79048041	1,61801968	0,39695931	0,01414214
xxx	G-Sx+0,3*Q	238,16014	-3,49526205	-10,8444804	-2,19201968	-7,00095931	-0,01414214
xxx	G+Sy+0,3*Q	262,995622	1,76268728	6,86517367	1,15404129	1,32972754	0,01414214
xxx	G-Sy+0,3*Q	234,084378	-2,74268728	-12,9191737	-1,72804129	-7,93372754	-0,01414214
xxx	G+Sx+0,3*Sy+0,3*Q	263,256547	3,19106824	7,75813251	2,05033207	1,78647757	0,01838478
xxx	G+Sx-0,3*Sy+0,3*Q	254,583174	1,83945587	1,82282831	1,1857073	-0,99255895	0,00989949
xxx	G-Sx+0,3*Sy+0,3*Q	242,496826	-2,81945587	-7,87682831	-1,7597073	-5,61144105	-0,00989949
xxx	G-Sx-0,3*Sy+0,3*Q	233,823453	-4,17106824	-13,8121325	-2,62433207	-8,39047757	-0,01838478
xxx	G+Sy+0,3*Sx+0,3*Q	266,10958	2,6642659	9,2104178	1,7255472	2,43941533	0,01838478
xxx	G+Sy-0,3*Sx+0,3*Q	259,881664	0,86110867	4,51992955	0,58253538	0,22003975	0,00989949
xxx	G-Sy+0,3*Sx+0,3*Q	237,198336	-1,84110867	-10,5739296	-1,15653538	-6,82403975	-0,00989949
xxx	G-Sy-0,3*Sx+0,3*Q	230,97042	-3,6442659	-15,2644178	-2,2995472	-9,04341533	-0,01838478
xxx	G+BOMB	238,59	-0,41	-3,18	-0,24	-3,64	0
xxx	G+BOMB+0,5*Q	261,94	-0,41	-3,925	-0,235	-4,51	0
xxx	G+BOMB+0,5*V1	238,51	-1,16	-2,995	-0,715	-3,545	0
xxx	G+BOMB+0,5*V2	238,215	-1,19	-3,21	-0,735	-3,645	0
xxx	G+BOMB+0,5*V3	238,67	0,34	-3,365	0,235	-3,735	0
xxx	G+BOMB+0,5*V4	238,965	0,37	-3,15	0,255	-3,635	0
xxx	G+BOMB+0,5*V5	223,925	-0,805	-15,195	-0,505	-9,325	-0,01
xxx	G+BOMB+0,5*V6	227,33	-0,47	-12,69	-0,29	-8,14	0
xxx	G+BOMB+0,5*V7	253,255	-0,015	8,835	0,025	2,045	0,01

xxx	G+BOMB+0,5*V8	249,85	-0,35	6,33	-0,19	0,86	0
xxx	G+BOMB+0,5*V1+0,3*Q	252,52	-1,16	-3,442	-0,712	-4,067	0
xxx	G+BOMB+0,5*V2+0,3*Q	252,225	-1,19	-3,657	-0,732	-4,167	0
xxx	G+BOMB+0,5*V3+0,3*Q	252,68	0,34	-3,812	0,238	-4,257	0
xxx	G+BOMB+0,5*V4+0,3*Q	252,975	0,37	-3,597	0,258	-4,157	0
xxx	G+BOMB+0,5*V5+0,3*Q	237,935	-0,805	-15,642	-0,502	-9,847	-0,01
xxx	G+BOMB+0,5*V6+0,3*Q	241,34	-0,47	-13,137	-0,287	-8,662	0
xxx	G+BOMB+0,5*V7+0,3*Q	267,265	-0,015	8,388	0,028	1,523	0,01
xxx	G+BOMB+0,5*V8+0,3*Q	263,86	-0,35	5,883	-0,187	0,338	0
P25	G	272,81	-1,12	0,89	-0,66	-0,03	0
xxx	G+Q	329,65	-1,01	-0,08	-0,54	-1,61	0
xxx	G+V1	272,89	-4,16	1,65	-2,51	0,38	0
xxx	G+V2	272,05	-4,26	0,86	-2,57	0,03	0
xxx	G+V3	272,73	1,92	0,13	1,19	-0,44	0
xxx	G+V4	273,57	2,02	0,92	1,25	-0,09	0
xxx	G+V5	239,13	-2,02	-32,57	-1,12	-15,31	-0,04
xxx	G+V6	248,75	-0,9	-23,66	-0,47	-11,35	0
xxx	G+V7	306,49	-0,22	34,35	-0,2	15,25	0,04
xxx	G+V8	296,87	-1,34	25,44	-0,85	11,29	0
xxx	G+Q+0,6*V1	329,698	-2,834	0,376	-1,65	-1,364	0
xxx	G+Q+0,6*V2	329,194	-2,894	-0,098	-1,686	-1,574	0
xxx	G+Q+0,6*V3	329,602	0,814	-0,536	0,57	-1,856	0
xxx	G+Q+0,6*V4	330,106	0,874	-0,062	0,606	-1,646	0
xxx	G+Q+0,6*V5	309,442	-1,55	-20,156	-0,816	-10,778	-0,024
xxx	G+Q+0,6*V6	315,214	-0,878	-14,81	-0,426	-8,402	0
xxx	G+Q+0,6*V7	349,858	-0,47	19,996	-0,264	7,558	0,024
xxx	G+Q+0,6*V8	344,086	-1,142	14,65	-0,654	5,182	0
xxx	G+V1+0,7*Q	312,678	-4,083	0,971	-2,426	-0,726	0
xxx	G+V2+0,7*Q	311,838	-4,183	0,181	-2,486	-1,076	0
xxx	G+V3+0,7*Q	312,518	1,997	-0,549	1,274	-1,546	0
xxx	G+V4+0,7*Q	313,358	2,097	0,241	1,334	-1,196	0
xxx	G+V5+0,7*Q	278,918	-1,943	-33,249	-1,036	-16,416	-0,04
xxx	G+V6+0,7*Q	288,538	-0,823	-24,339	-0,386	-12,456	0
xxx	G+V7+0,7*Q	346,278	-0,143	33,671	-0,116	14,144	0,04
xxx	G+V8+0,7*Q	336,658	-1,263	24,761	-0,766	10,184	0
xxx	G+Sx	286,20264	5,08345065	13,1378692	3,13601106	5,53980251	0,03464102
xxx	G-Sx	259,41736	-7,32345065	-11,3578692	-4,45601106	-5,59980251	-0,03464102
xxx	G+Sy	289,850197	3,15649389	15,1098136	1,89571908	6,30585827	0,03162278
xxx	G-Sy	255,769803	-5,39649389	-13,3298136	-3,21571908	-6,36585827	-0,03162278
xxx	G+Sx+0,3*Sy	291,314699	6,36639882	17,4038133	3,90272679	7,44055999	0,04412785
xxx	G+Sx-0,3*Sy	281,090581	3,80050249	8,87192511	2,36929534	3,63904503	0,02515418
xxx	G-Sx+0,3*Sy	264,529419	-6,04050249	-7,09192511	-3,68929534	-3,69904503	-0,02515418
xxx	G-Sx-0,3*Sy	254,305301	-8,60639882	-15,6238133	-5,22272679	-7,50055999	-0,04412785
xxx	G+Sy+0,3*Sx	293,867989	5,01752909	18,7841744	3,0345224	7,97679902	0,04201508
xxx	G+Sy-0,3*Sx	285,832405	1,2954587	11,4354529	0,75691576	4,63491752	0,02123047
xxx	G-Sy+0,3*Sx	259,787595	-3,5354587	-9,65545288	-2,07691576	-4,69491752	-0,02123047
xxx	G-Sy-0,3*Sx	251,752011	-7,25752909	-17,0041744	-4,3545224	-8,03679902	-0,04201508
xxx	G+Sx+0,3*Q	303,25464	5,11645065	12,8468692	3,17201106	5,06580251	0,03464102
xxx	G-Sx+0,3*Q	276,46936	-7,29045065	-11,6488692	-4,42001106	-6,07380251	-0,03464102
xxx	G+Sy+0,3*Q	306,902197	3,18949389	14,8188136	1,93171908	5,83185827	0,03162278
xxx	G-Sy+0,3*Q	272,821803	-5,36349389	-13,6208136	-3,17971908	-6,83985827	-0,03162278
xxx	G+Sx+0,3*Sy+0,3*Q	308,366699	6,39939882	17,1128133	3,93872679	6,96655999	0,04412785
xxx	G+Sx-0,3*Sy+0,3*Q	298,142581	3,83350249	8,58092511	2,40529534	3,16504503	0,02515418
xxx	G-Sx+0,3*Sy+0,3*Q	281,581419	-6,00750249	-7,38292511	-3,65329534	-4,17304503	-0,02515418
xxx	G-Sx-0,3*Sy+0,3*Q	271,357301	-8,57339882	-15,9148133	-5,18672679	-7,97455999	-0,04412785
xxx	G+Sy+0,3*Sx+0,3*Q	310,919989	5,05052909	18,4931744	3,0705224	7,50279902	0,04201508
xxx	G+Sy-0,3*Sx+0,3*Q	302,884405	1,3284587	11,1444529	0,79291576	4,16091752	0,02123047
xxx	G-Sy+0,3*Sx+0,3*Q	276,839595	-3,5024587	-9,94645288	-2,04091576	-5,16891752	-0,02123047
xxx	G-Sy-0,3*Sx+0,3*Q	268,804011	-7,22452909	-17,2951744	-4,3185224	-8,51079902	-0,04201508
xxx	G+BOMB	278,3	-0,86	0,43	-0,48	-0,97	0

xxx	G+BOMB+0,5*Q	306,72	-0,805	-0,055	-0,42	-1,76	0
xxx	G+BOMB+0,5*V1	278,34	-2,38	0,81	-1,405	-0,765	0
xxx	G+BOMB+0,5*V2	277,92	-2,43	0,415	-1,435	-0,94	0
xxx	G+BOMB+0,5*V3	278,26	0,66	0,05	0,445	-1,175	0
xxx	G+BOMB+0,5*V4	278,68	0,71	0,445	0,475	-1	0
xxx	G+BOMB+0,5*V5	261,46	-1,31	-16,3	-0,71	-8,61	-0,02
xxx	G+BOMB+0,5*V6	266,27	-0,75	-11,845	-0,385	-6,63	0
xxx	G+BOMB+0,5*V7	295,14	-0,41	17,16	-0,25	6,67	0,02
xxx	G+BOMB+0,5*V8	290,33	-0,97	12,705	-0,575	4,69	0
xxx	G+BOMB+0,5*V1+0,3*Q	295,392	-2,347	0,519	-1,369	-1,239	0
xxx	G+BOMB+0,5*V2+0,3*Q	294,972	-2,397	0,124	-1,399	-1,414	0
xxx	G+BOMB+0,5*V3+0,3*Q	295,312	0,693	-0,241	0,481	-1,649	0
xxx	G+BOMB+0,5*V4+0,3*Q	295,732	0,743	0,154	0,511	-1,474	0
xxx	G+BOMB+0,5*V5+0,3*Q	278,512	-1,277	-16,591	-0,674	-9,084	-0,02
xxx	G+BOMB+0,5*V6+0,3*Q	283,322	-0,717	-12,136	-0,349	-7,104	0
xxx	G+BOMB+0,5*V7+0,3*Q	312,192	-0,377	16,869	-0,214	6,196	0,02
xxx	G+BOMB+0,5*V8+0,3*Q	307,382	-0,937	12,414	-0,539	4,216	0
P26	G	159,49	-2,39	-0,72	-1,93	-0,9	0
xxx	G+Q	186,89	-3,32	-1,29	-2,73	-1,64	0
xxx	G+V1	163,44	-3,95	-0,48	-2,93	-0,79	0
xxx	G+V2	163,3	-4,01	-0,81	-2,96	-0,95	0
xxx	G+V3	155,54	-0,83	-0,96	-0,93	-1,01	0
xxx	G+V4	155,68	-0,77	-0,63	-0,9	-0,85	0
xxx	G+V5	150,57	-3,01	-12,59	-2,31	-6,81	-0,02
xxx	G+V6	152,13	-2,37	-8,76	-1,91	-4,93	0
xxx	G+V7	168,41	-1,77	11,15	-1,55	5,01	0,02
xxx	G+V8	166,85	-2,41	7,32	-1,95	3,13	0
xxx	G+Q+0,6*V1	189,26	-4,256	-1,146	-3,33	-1,574	0
xxx	G+Q+0,6*V2	189,176	-4,292	-1,344	-3,348	-1,67	0
xxx	G+Q+0,6*V3	184,52	-2,384	-1,434	-2,13	-1,706	0
xxx	G+Q+0,6*V4	184,604	-2,348	-1,236	-2,112	-1,61	0
xxx	G+Q+0,6*V5	181,538	-3,692	-8,412	-2,958	-5,186	-0,012
xxx	G+Q+0,6*V6	182,474	-3,308	-6,114	-2,718	-4,058	0
xxx	G+Q+0,6*V7	192,242	-2,948	5,832	-2,502	1,906	0,012
xxx	G+Q+0,6*V8	191,306	-3,332	3,534	-2,742	0,778	0
xxx	G+V1+0,7*Q	182,62	-4,601	-0,879	-3,49	-1,308	0
xxx	G+V2+0,7*Q	182,48	-4,661	-1,209	-3,52	-1,468	0
xxx	G+V3+0,7*Q	174,72	-1,481	-1,359	-1,49	-1,528	0
xxx	G+V4+0,7*Q	174,86	-1,421	-1,029	-1,46	-1,368	0
xxx	G+V5+0,7*Q	169,75	-3,661	-12,989	-2,87	-7,328	-0,02
xxx	G+V6+0,7*Q	171,31	-3,021	-9,159	-2,47	-5,448	0
xxx	G+V7+0,7*Q	187,59	-2,421	10,751	-2,11	4,492	0,02
xxx	G+V8+0,7*Q	186,03	-3,061	6,921	-2,51	2,612	0
xxx	G+Sx	169,956317	0,77646491	4,00525132	0,09445054	1,40965365	0,01414214
xxx	G-Sx	149,023683	-5,55646491	-5,44525132	-3,95445054	-3,20965365	-0,01414214
xxx	G+Sy	163,034884	-0,11969165	4,64212644	-0,49156335	1,74191219	0,01414214
xxx	G-Sy	155,945116	-4,66030835	-6,08212644	-3,36843665	-3,54191219	-0,01414214
xxx	G+Sx+0,3*Sy	171,019782	1,45755741	5,61388925	0,52598154	2,20222731	0,01838478
xxx	G+Sx-0,3*Sy	168,892852	0,0953724	2,39661338	-0,33708045	0,61708	0,00989949
xxx	G-Sx+0,3*Sy	150,087148	-4,8753724	-3,83661338	-3,52291955	-2,41708	-0,00989949
xxx	G-Sx-0,3*Sy	147,960218	-6,23755741	-7,05388925	-4,38598154	-4,00222731	-0,01838478
xxx	G+Sy+0,3*Sx	166,174779	0,83024782	6,05970184	0,11577181	2,43480828	0,01838478
xxx	G+Sy-0,3*Sx	159,894988	-1,06963112	3,22455105	-1,09889851	1,04901609	0,00989949
xxx	G-Sy+0,3*Sx	159,085012	-3,71036888	-4,66455105	-2,76110149	-2,84901609	-0,00989949
xxx	G-Sy-0,3*Sx	152,805221	-5,61024782	-7,49970184	-3,97577181	-4,23480828	-0,01838478
xxx	G+Sx+0,3*Q	178,176317	0,49746491	3,83425132	-0,14554946	1,18765365	0,01414214
xxx	G-Sx+0,3*Q	157,243683	-5,83546491	-5,61625132	-4,19445054	-3,43165365	-0,01414214
xxx	G+Sy+0,3*Q	171,254884	-0,39869165	4,47112644	-0,73156335	1,51991219	0,01414214
xxx	G-Sy+0,3*Q	164,165116	-4,93930835	-6,25312644	-3,60843665	-3,76391219	-0,01414214
xxx	G+Sx+0,3*Sy+0,3*Q	179,239782	1,17855741	5,44288925	0,28598154	1,98022731	0,01838478

xxx	G+Sx-0,3*Sy+0,3*Q	177,112852	-0,1836276	2,22561338	-0,57708045	0,39508	0,00989949
xxx	G-Sx+0,3*Sy+0,3*Q	158,307148	-5,1543724	-4,00761338	-3,76291955	-2,63908	-0,00989949
xxx	G-Sx-0,3*Sy+0,3*Q	156,180218	-6,51655741	-7,22488925	-4,62598154	-4,22422731	-0,01838478
xxx	G+Sy+0,3*Sx+0,3*Q	174,394779	0,55124782	5,88870184	-0,12422819	2,21280828	0,01838478
xxx	G+Sy-0,3*Sx+0,3*Q	168,114988	-1,34863112	3,05355105	-1,33889851	0,82701609	0,00989949
xxx	G-Sy+0,3*Sx+0,3*Q	167,305012	-3,98936888	-4,83555105	-3,00110149	-3,07101609	-0,00989949
xxx	G-Sy-0,3*Sx+0,3*Q	161,025221	-5,88924782	-7,67070184	-4,21577181	-4,45680828	-0,01838478
xxx	G+BOMB	161,16	-2,58	-0,92	-2,11	-1,25	0
xxx	G+BOMB+0,5*Q	174,86	-3,045	-1,205	-2,51	-1,62	0
xxx	G+BOMB+0,5*V1	163,135	-3,36	-0,8	-2,61	-1,195	0
xxx	G+BOMB+0,5*V2	163,065	-3,39	-0,965	-2,625	-1,275	0
xxx	G+BOMB+0,5*V3	159,185	-1,8	-1,04	-1,61	-1,305	0
xxx	G+BOMB+0,5*V4	159,255	-1,77	-0,875	-1,595	-1,225	0
xxx	G+BOMB+0,5*V5	156,7	-2,89	-6,855	-2,3	-4,205	-0,01
xxx	G+BOMB+0,5*V6	157,48	-2,57	-4,94	-2,1	-3,265	0
xxx	G+BOMB+0,5*V7	165,62	-2,27	5,015	-1,92	1,705	0,01
xxx	G+BOMB+0,5*V8	164,84	-2,59	3,1	-2,12	0,765	0
xxx	G+BOMB+0,5*V1+0,3*Q	171,355	-3,639	-0,971	-2,85	-1,417	0
xxx	G+BOMB+0,5*V2+0,3*Q	171,285	-3,669	-1,136	-2,865	-1,497	0
xxx	G+BOMB+0,5*V3+0,3*Q	167,405	-2,079	-1,211	-1,85	-1,527	0
xxx	G+BOMB+0,5*V4+0,3*Q	167,475	-2,049	-1,046	-1,835	-1,447	0
xxx	G+BOMB+0,5*V5+0,3*Q	164,92	-3,169	-7,026	-2,54	-4,427	-0,01
xxx	G+BOMB+0,5*V6+0,3*Q	165,7	-2,849	-5,111	-2,34	-3,487	0
xxx	G+BOMB+0,5*V7+0,3*Q	173,84	-2,549	4,844	-2,16	1,483	0,01
xxx	G+BOMB+0,5*V8+0,3*Q	173,06	-2,869	2,929	-2,36	0,543	0
P27	G	153,01	1,79	-0,34	1,72	-0,64	0
xxx	G+Q	192,35	3,89	0,18	3,95	-0,56	0
xxx	G+V1	149,07	0,58	-1,1	0,95	-1,11	0
xxx	G+V2	149,24	0,54	-0,64	0,92	-0,84	0
xxx	G+V3	156,95	3	0,42	2,49	-0,17	0
xxx	G+V4	156,78	3,04	-0,04	2,52	-0,44	0
xxx	G+V5	146,46	1,33	-6,83	1,39	-4,49	-0,01
xxx	G+V6	144,93	1,77	-11,37	1,65	-7,19	0
xxx	G+V7	159,56	2,25	6,15	2,05	3,21	0,01
xxx	G+V8	161,09	1,81	10,69	1,79	5,91	0
xxx	G+Q+0,6*V1	189,986	3,164	-0,276	3,488	-0,842	0
xxx	G+Q+0,6*V2	190,088	3,14	0	3,47	-0,68	0
xxx	G+Q+0,6*V3	194,714	4,616	0,636	4,412	-0,278	0
xxx	G+Q+0,6*V4	194,612	4,64	0,36	4,43	-0,44	0
xxx	G+Q+0,6*V5	188,42	3,614	-3,714	3,752	-2,87	-0,006
xxx	G+Q+0,6*V6	187,502	3,878	-6,438	3,908	-4,49	0
xxx	G+Q+0,6*V7	196,28	4,166	4,074	4,148	1,75	0,006
xxx	G+Q+0,6*V8	197,198	3,902	6,798	3,992	3,37	0
xxx	G+V1+0,7*Q	176,608	2,05	-0,736	2,511	-1,054	0
xxx	G+V2+0,7*Q	176,778	2,01	-0,276	2,481	-0,784	0
xxx	G+V3+0,7*Q	184,488	4,47	0,784	4,051	-0,114	0
xxx	G+V4+0,7*Q	184,318	4,51	0,324	4,081	-0,384	0
xxx	G+V5+0,7*Q	173,998	2,8	-6,466	2,951	-4,434	-0,01
xxx	G+V6+0,7*Q	172,468	3,24	-11,006	3,211	-7,134	0
xxx	G+V7+0,7*Q	187,098	3,72	6,514	3,611	3,266	0,01
xxx	G+V8+0,7*Q	188,628	3,28	11,054	3,351	5,966	0
xxx	G+Sx	160,162769	3,99356529	4,03739649	3,11645981	1,95988461	0,01
xxx	G-Sx	145,857231	-0,41356529	-4,71739649	0,32354019	-3,23988461	-0,01
xxx	G+Sy	158,13687	3,66837696	4,77662975	2,88978631	2,3735859	0,01
xxx	G-Sy	147,88313	-0,08837696	-5,45662975	0,55021369	-3,6535859	-0,01
xxx	G+Sx+0,3*Sy	161,70083	4,55707838	5,57238541	3,4673957	2,86396038	0,013
xxx	G+Sx-0,3*Sy	158,624708	3,43005221	2,50240756	2,76552392	1,05580884	0,007
xxx	G-Sx+0,3*Sy	147,395292	0,14994779	-3,18240756	0,67447608	-2,33580884	-0,007
xxx	G-Sx-0,3*Sy	144,31917	-0,97707838	-6,25238541	-0,0273957	-4,14396038	-0,013
xxx	G+Sy+0,3*Sx	160,282701	4,32944655	6,0898487	3,30872425	3,15355129	0,013

xxx	G+Sy-0,3*Sx	155,99104	3,00730737	3,4634108	2,47084836	1,59362052	0,007
xxx	G-Sy+0,3*Sx	150,02896	0,57269263	-4,1434108	0,96915164	-2,87362052	-0,007
xxx	G-Sy-0,3*Sx	145,737299	-0,74944655	-6,7698487	0,13127575	-4,43355129	-0,013
xxx	G+Sx+0,3*Q	171,964769	4,62356529	4,19339649	3,78545981	1,98388461	0,01
xxx	G-Sx+0,3*Q	157,659231	0,21643471	-4,56139649	0,99254019	-3,21588461	-0,01
xxx	G+Sy+0,3*Q	169,93887	4,29837696	4,93262975	3,55878631	2,3975859	0,01
xxx	G-Sy+0,3*Q	159,68513	0,54162304	-5,30062975	1,21921369	-3,6295859	-0,01
xxx	G+Sx+0,3*Sy+0,3*Q	173,50283	5,18707838	5,72838541	4,1363957	2,88796038	0,013
xxx	G+Sx-0,3*Sy+0,3*Q	170,426708	4,06005221	2,65840756	3,43452392	1,07980884	0,007
xxx	G-Sx+0,3*Sy+0,3*Q	159,197292	0,77994779	-3,02640756	1,34347608	-2,31180884	-0,007
xxx	G-Sx-0,3*Sy+0,3*Q	156,12117	-0,34707838	-6,09638541	0,6416043	-4,11996038	-0,013
xxx	G+Sy+0,3*Sx+0,3*Q	172,084701	4,95944655	6,2458487	3,97772425	3,17755129	0,013
xxx	G+Sy-0,3*Sx+0,3*Q	167,79304	3,63730737	3,6194108	3,13984836	1,61762052	0,007
xxx	G-Sy+0,3*Sx+0,3*Q	161,83096	1,20269263	-3,9874108	1,63815164	-2,84962052	-0,007
xxx	G-Sy-0,3*Sx+0,3*Q	157,539299	-0,11944655	-6,6138487	0,80027575	-4,40955129	-0,013
xxx	G+BOMB	169,11	3,3	-0,69	3,39	-2,31	0
xxx	G+BOMB+0,5*Q	188,78	4,35	-0,43	4,505	-2,27	0
xxx	G+BOMB+0,5*V1	167,14	2,695	-1,07	3,005	-2,545	0
xxx	G+BOMB+0,5*V2	167,225	2,675	-0,84	2,99	-2,41	0
xxx	G+BOMB+0,5*V3	171,08	3,905	-0,31	3,775	-2,075	0
xxx	G+BOMB+0,5*V4	170,995	3,925	-0,54	3,79	-2,21	0
xxx	G+BOMB+0,5*V5	165,835	3,07	-3,935	3,225	-4,235	-0,005
xxx	G+BOMB+0,5*V6	165,07	3,29	-6,205	3,355	-5,585	0
xxx	G+BOMB+0,5*V7	172,385	3,53	2,555	3,555	-0,385	0,005
xxx	G+BOMB+0,5*V8	173,15	3,31	4,825	3,425	0,965	0
xxx	G+BOMB+0,5*V1+0,3*Q	178,942	3,325	-0,914	3,674	-2,521	0
xxx	G+BOMB+0,5*V2+0,3*Q	179,027	3,305	-0,684	3,659	-2,386	0
xxx	G+BOMB+0,5*V3+0,3*Q	182,882	4,535	-0,154	4,444	-2,051	0
xxx	G+BOMB+0,5*V4+0,3*Q	182,797	4,555	-0,384	4,459	-2,186	0
xxx	G+BOMB+0,5*V5+0,3*Q	177,637	3,7	-3,779	3,894	-4,211	-0,005
xxx	G+BOMB+0,5*V6+0,3*Q	176,872	3,92	-6,049	4,024	-5,561	0
xxx	G+BOMB+0,5*V7+0,3*Q	184,187	4,16	2,711	4,224	-0,361	0,005
xxx	G+BOMB+0,5*V8+0,3*Q	184,952	3,94	4,981	4,094	0,989	0
P28	G	270,33	0,18	2,06	-0,29	1,48	0
xxx	G+Q	348,68	-1,53	1,65	-2,27	-0,48	0
xxx	G+V1	269,31	-2,38	0,46	-1,94	0,57	0,01
xxx	G+V2	270,25	-2,48	1,43	-2	1,08	0
xxx	G+V3	271,35	2,74	3,66	1,36	2,39	-0,01
xxx	G+V4	270,41	2,84	2,69	1,42	1,88	0
xxx	G+V5	248,3	-0,71	-19,07	-0,9	-9,84	-0,02
xxx	G+V6	239,65	0,29	-28,57	-0,26	-14,9	0,01
xxx	G+V7	292,36	1,07	23,19	0,32	12,8	0,02
xxx	G+V8	301,01	0,07	32,69	-0,32	17,86	-0,01
xxx	G+Q+0,6*V1	348,068	-3,066	0,69	-3,26	-1,026	0,006
xxx	G+Q+0,6*V2	348,632	-3,126	1,272	-3,296	-0,72	0
xxx	G+Q+0,6*V3	349,292	0,006	2,61	-1,28	0,066	-0,006
xxx	G+Q+0,6*V4	348,728	0,066	2,028	-1,244	-0,24	0
xxx	G+Q+0,6*V5	335,462	-2,064	-11,028	-2,636	-7,272	-0,012
xxx	G+Q+0,6*V6	330,272	-1,464	-16,728	-2,252	-10,308	0,006
xxx	G+Q+0,6*V7	361,898	-0,996	14,328	-1,904	6,312	0,012
xxx	G+Q+0,6*V8	367,088	-1,596	20,028	-2,288	9,348	-0,006
xxx	G+V1+0,7*Q	324,155	-3,577	0,173	-3,326	-0,802	0,01
xxx	G+V2+0,7*Q	325,095	-3,677	1,143	-3,386	-0,292	0
xxx	G+V3+0,7*Q	326,195	1,543	3,373	-0,026	1,018	-0,01
xxx	G+V4+0,7*Q	325,255	1,643	2,403	0,034	0,508	0
xxx	G+V5+0,7*Q	303,145	-1,907	-19,357	-2,286	-11,212	-0,02
xxx	G+V6+0,7*Q	294,495	-0,907	-28,857	-1,646	-16,272	0,01
xxx	G+V7+0,7*Q	347,205	-0,127	22,903	-1,066	11,428	0,02
xxx	G+V8+0,7*Q	355,855	-1,127	32,403	-1,706	16,488	-0,01
xxx	G+Sx	281,473146	4,85119899	12,4186437	2,70861635	6,98645984	0,03464102

xxx	G-Sx	259,186854	-4,49119899	-8,29864373	-3,28861635	-4,02645984	-0,03464102
xxx	G+Sy	285,997817	4,20136793	15,4180912	2,26978515	8,49687965	0,01732051
xxx	G-Sy	254,662183	-3,84136793	-11,2980912	-2,84978515	-5,53687965	-0,01732051
xxx	G+Sx+0,3*Sy	286,173491	6,05760937	16,4260711	3,47655189	9,09152374	0,03983717
xxx	G+Sx-0,3*Sy	276,772801	3,64478861	8,41121638	1,9406808	4,88139595	0,02944486
xxx	G-Sx+0,3*Sy	263,887199	-3,28478861	-4,29121638	-2,5206808	-1,92139595	-0,02944486
xxx	G-Sx-0,3*Sy	254,486509	-5,69760937	-12,3060711	-4,05655189	-6,13152374	-0,03983717
xxx	G+Sy+0,3*Sx	289,340761	5,60272762	18,5256843	3,16937005	10,1488176	0,02771281
xxx	G+Sy-0,3*Sx	282,654874	2,80000823	12,3104981	1,37020024	6,8449417	0,0069282
xxx	G-Sy+0,3*Sx	258,005126	-2,44000823	-8,19049806	-1,95020024	-3,8849417	-0,0069282
xxx	G-Sy-0,3*Sx	251,319239	-5,24272762	-14,4056843	-3,74937005	-7,1888176	-0,02771281
xxx	G+Sx+0,3*Q	304,978146	4,33819899	12,2956437	2,11461635	6,39845984	0,03464102
xxx	G-Sx+0,3*Q	282,691854	-5,00419899	-8,42164373	-3,88261635	-4,61445984	-0,03464102
xxx	G+Sy+0,3*Q	309,502817	3,68836793	15,2950912	1,67578515	7,90887965	0,01732051
xxx	G-Sy+0,3*Q	278,167183	-4,35436793	-11,4210912	-3,44378515	-6,12487965	-0,01732051
xxx	G+Sx+0,3*Sy+0,3*Q	309,678491	5,54460937	16,3030711	2,88255189	8,50352374	0,03983717
xxx	G+Sx-0,3*Sy+0,3*Q	300,277801	3,13178861	8,28821638	1,3466808	4,29339595	0,02944486
xxx	G-Sx+0,3*Sy+0,3*Q	287,392199	-3,79778861	-4,41421638	-3,1146808	-2,50939595	-0,02944486
xxx	G-Sx-0,3*Sy+0,3*Q	277,991509	-6,21060937	-12,4290711	-4,65055189	-6,71952374	-0,03983717
xxx	G+Sy+0,3*Sx+0,3*Q	312,845761	5,08972762	18,4026843	2,57537005	9,5608176	0,02771281
xxx	G+Sy-0,3*Sx+0,3*Q	306,159874	2,28700823	12,1874981	0,77620024	6,2569417	0,0069282
xxx	G-Sy+0,3*Sx+0,3*Q	281,510126	-2,95300823	-8,31349806	-2,54420024	-4,4729417	-0,0069282
xxx	G-Sy-0,3*Sx+0,3*Q	274,824239	-5,75572762	-14,5286843	-4,34337005	-7,7768176	-0,02771281
xxx	G+BOMB	312,55	-0,79	0,62	-1,32	-3,95	-0,01
xxx	G+BOMB+0,5*Q	351,725	-1,645	0,415	-2,31	-4,93	-0,01
xxx	G+BOMB+0,5*V1	312,04	-2,07	-0,18	-2,145	-4,405	-0,005
xxx	G+BOMB+0,5*V2	312,51	-2,12	0,305	-2,175	-4,15	-0,01
xxx	G+BOMB+0,5*V3	313,06	0,49	1,42	-0,495	-3,495	-0,015
xxx	G+BOMB+0,5*V4	312,59	0,54	0,935	-0,465	-3,75	-0,01
xxx	G+BOMB+0,5*V5	301,535	-1,235	-9,945	-1,625	-9,61	-0,02
xxx	G+BOMB+0,5*V6	297,21	-0,735	-14,695	-1,305	-12,14	-0,005
xxx	G+BOMB+0,5*V7	323,565	-0,345	11,185	-1,015	1,71	0
xxx	G+BOMB+0,5*V8	327,89	-0,845	15,935	-1,335	4,24	-0,015
xxx	G+BOMB+0,5*V1+0,3*Q	335,545	-2,583	-0,303	-2,739	-4,993	-0,005
xxx	G+BOMB+0,5*V2+0,3*Q	336,015	-2,633	0,182	-2,769	-4,738	-0,01
xxx	G+BOMB+0,5*V3+0,3*Q	336,565	-0,023	1,297	-1,089	-4,083	-0,015
xxx	G+BOMB+0,5*V4+0,3*Q	336,095	0,027	0,812	-1,059	-4,338	-0,01
xxx	G+BOMB+0,5*V5+0,3*Q	325,04	-1,748	-10,068	-2,219	-10,198	-0,02
xxx	G+BOMB+0,5*V6+0,3*Q	320,715	-1,248	-14,818	-1,899	-12,728	-0,005
xxx	G+BOMB+0,5*V7+0,3*Q	347,07	-0,858	11,062	-1,609	1,122	0
xxx	G+BOMB+0,5*V8+0,3*Q	351,395	-1,358	15,812	-1,929	3,652	-0,015
P29	G	247,13	1,03	-6,28	0,77	-8,01	0
xxx	G+Q	308	1,4	-9,82	1,07	-13,54	0
xxx	G+V1	247,07	-0,98	-7,34	-0,59	-8,6	0
xxx	G+V2	247,72	-1,07	-6,7	-0,65	-8,27	0
xxx	G+V3	247,19	3,04	-5,22	2,13	-7,42	0
xxx	G+V4	246,54	3,13	-5,86	2,19	-7,75	0
xxx	G+V5	226,73	0,47	-31,2	0,42	-21,04	-0,02
xxx	G+V6	220,65	1,31	-37,56	1	-24,34	0,01
xxx	G+V7	267,53	1,59	18,64	1,12	5,02	0,02
xxx	G+V8	273,61	0,75	25	0,54	8,32	-0,01
xxx	G+Q+0,6*V1	307,964	0,194	-10,456	0,254	-13,894	0
xxx	G+Q+0,6*V2	308,354	0,14	-10,072	0,218	-13,696	0
xxx	G+Q+0,6*V3	308,036	2,606	-9,184	1,886	-13,186	0
xxx	G+Q+0,6*V4	307,646	2,66	-9,568	1,922	-13,384	0
xxx	G+Q+0,6*V5	295,76	1,064	-24,772	0,86	-21,358	-0,012
xxx	G+Q+0,6*V6	292,112	1,568	-28,588	1,208	-23,338	0,006
xxx	G+Q+0,6*V7	320,24	1,736	5,132	1,28	-5,722	0,012
xxx	G+Q+0,6*V8	323,888	1,232	8,948	0,932	-3,742	-0,006
xxx	G+V1+0,7*Q	289,679	-0,721	-9,818	-0,38	-12,471	0

xxx	G+V2+0,7*Q	290,329	-0,811	-9,178	-0,44	-12,141	0
xxx	G+V3+0,7*Q	289,799	3,299	-7,698	2,34	-11,291	0
xxx	G+V4+0,7*Q	289,149	3,389	-8,338	2,4	-11,621	0
xxx	G+V5+0,7*Q	269,339	0,729	-33,678	0,63	-24,911	-0,02
xxx	G+V6+0,7*Q	263,259	1,569	-40,038	1,21	-28,211	0,01
xxx	G+V7+0,7*Q	310,139	1,849	16,162	1,33	1,149	0,02
xxx	G+V8+0,7*Q	316,219	1,009	22,522	0,75	4,449	-0,01
xxx	G+Sx	255,958244	4,71450811	3,00983853	3,26036142	-3,18226761	0,0244949
xxx	G-Sx	238,301756	-2,65450811	-15,5698385	-1,72036142	-12,8377324	-0,0244949
xxx	G+Sy	260,665919	4,25051238	6,6907016	2,95375823	-1,3231248	0,01732051
xxx	G-Sy	233,594081	-2,19051238	-19,2507016	-1,41375823	-14,6968752	-0,01732051
xxx	G+Sx+0,3*Sy	260,01902	5,68066182	6,90104901	3,91548889	-1,17620505	0,02969105
xxx	G+Sx-0,3*Sy	251,897469	3,74835439	-0,88137195	2,60523395	-5,18833017	0,01929875
xxx	G-Sx+0,3*Sy	242,362531	-1,68835439	-11,6786281	-1,06523395	-10,8316698	-0,01929875
xxx	G-Sx-0,3*Sy	234,24098	-3,62066182	-19,461049	-2,37548889	-14,8437949	-0,02969105
xxx	G+Sy+0,3*Sx	263,314392	5,35586481	9,47765316	3,70086665	0,12519492	0,02466898
xxx	G+Sy-0,3*Sx	258,017446	3,14515995	3,90375004	2,2066498	-2,77144451	0,00997204
xxx	G-Sy+0,3*Sx	236,242554	-1,08515995	-16,46375	-0,6666498	-13,2485555	-0,00997204
xxx	G-Sy-0,3*Sx	230,945608	-3,29586481	-22,0376532	-2,16086665	-16,1451949	-0,02466898
xxx	G+Sx+0,3*Q	274,219244	4,82550811	1,94783853	3,35036142	-4,84126761	0,0244949
xxx	G-Sx+0,3*Q	256,562756	-2,54350811	-16,6318385	-1,63036142	-14,4967324	-0,0244949
xxx	G+Sy+0,3*Q	278,926919	4,36151238	5,6287016	3,04375823	-2,9821248	0,01732051
xxx	G-Sy+0,3*Q	251,855081	-2,07951238	-20,3127016	-1,32375823	-16,3558752	-0,01732051
xxx	G+Sx+0,3*Sy+0,3*Q	278,28002	5,79166182	5,83904901	4,00548889	-2,83520505	0,02969105
xxx	G+Sx-0,3*Sy+0,3*Q	270,158469	3,85935439	-1,94337195	2,69523395	-6,84733017	0,01929875
xxx	G-Sx+0,3*Sy+0,3*Q	260,623531	-1,57735439	-12,7406281	-0,97523395	-12,4906698	-0,01929875
xxx	G-Sx-0,3*Sy+0,3*Q	252,50198	-3,50966182	-20,523049	-2,28548889	-16,5027949	-0,02969105
xxx	G+Sy+0,3*Sx+0,3*Q	281,575392	5,46686481	8,41565316	3,79086665	-1,53380508	0,02466898
xxx	G+Sy-0,3*Sx+0,3*Q	276,278446	3,25615995	2,84175004	2,2966498	-4,43044451	0,00997204
xxx	G-Sy+0,3*Sx+0,3*Q	254,503554	-0,97415995	-17,52575	-0,5766498	-14,9075555	-0,00997204
xxx	G-Sy-0,3*Sx+0,3*Q	249,206608	-3,18486481	-23,0996532	-2,07086665	-17,8041949	-0,02466898
xxx	G+BOMB	282,9	0,91	-9,3	0,66	-15,21	-0,01
xxx	G+BOMB+0,5*Q	313,335	1,095	-11,07	0,81	-17,975	-0,01
xxx	G+BOMB+0,5*V1	282,87	-0,095	-9,83	-0,02	-15,505	-0,01
xxx	G+BOMB+0,5*V2	283,195	-0,14	-9,51	-0,05	-15,34	-0,01
xxx	G+BOMB+0,5*V3	282,93	1,915	-8,77	1,34	-14,915	-0,01
xxx	G+BOMB+0,5*V4	282,605	1,96	-9,09	1,37	-15,08	-0,01
xxx	G+BOMB+0,5*V5	272,7	0,63	-21,76	0,485	-21,725	-0,02
xxx	G+BOMB+0,5*V6	269,66	1,05	-24,94	0,775	-23,375	-0,005
xxx	G+BOMB+0,5*V7	293,1	1,19	3,16	0,835	-8,695	0
xxx	G+BOMB+0,5*V8	296,14	0,77	6,34	0,545	-7,045	-0,015
xxx	G+BOMB+0,5*V1+0,3*Q	301,131	0,016	-10,892	0,07	-17,164	-0,01
xxx	G+BOMB+0,5*V2+0,3*Q	301,456	-0,029	-10,572	0,04	-16,999	-0,01
xxx	G+BOMB+0,5*V3+0,3*Q	301,191	2,026	-9,832	1,43	-16,574	-0,01
xxx	G+BOMB+0,5*V4+0,3*Q	300,866	2,071	-10,152	1,46	-16,739	-0,01
xxx	G+BOMB+0,5*V5+0,3*Q	290,961	0,741	-22,822	0,575	-23,384	-0,02
xxx	G+BOMB+0,5*V6+0,3*Q	287,921	1,161	-26,002	0,865	-25,034	-0,005
xxx	G+BOMB+0,5*V7+0,3*Q	311,361	1,301	2,098	0,925	-10,354	0
xxx	G+BOMB+0,5*V8+0,3*Q	314,401	0,881	5,278	0,635	-8,704	-0,015
P30	G	309,02	1,55	-6,19	1,32	-7,86	0
xxx	G+Q	383,61	2,31	-9,51	2,04	-13	0
xxx	G+V1	309,28	-0,47	-6,62	-0,05	-8,08	0
xxx	G+V2	309,44	-0,55	-6,35	-0,11	-7,95	0
xxx	G+V3	308,76	3,57	-5,76	2,69	-7,64	0
xxx	G+V4	308,6	3,65	-6,03	2,75	-7,77	0
xxx	G+V5	297,6	0,91	-33,46	0,89	-22,04	-0,02
xxx	G+V6	296,1	1,73	-36,13	1,44	-23,38	0,01
xxx	G+V7	320,44	2,19	21,08	1,75	6,32	0,02
xxx	G+V8	321,94	1,37	23,75	1,2	7,66	-0,01
xxx	G+Q+0,6*V1	383,766	1,098	-9,768	1,218	-13,132	0

xxx	G+Q+0,6*V2	383,862	1,05	-9,606	1,182	-13,054	0
xxx	G+Q+0,6*V3	383,454	3,522	-9,252	2,862	-12,868	0
xxx	G+Q+0,6*V4	383,358	3,57	-9,414	2,898	-12,946	0
xxx	G+Q+0,6*V5	376,758	1,926	-25,872	1,782	-21,508	-0,012
xxx	G+Q+0,6*V6	375,858	2,418	-27,474	2,112	-22,312	0,006
xxx	G+Q+0,6*V7	390,462	2,694	6,852	2,298	-4,492	0,012
xxx	G+Q+0,6*V8	391,362	2,202	8,454	1,968	-3,688	-0,006
xxx	G+V1+0,7*Q	361,493	0,062	-8,944	0,454	-11,678	0
xxx	G+V2+0,7*Q	361,653	-0,018	-8,674	0,394	-11,548	0
xxx	G+V3+0,7*Q	360,973	4,102	-8,084	3,194	-11,238	0
xxx	G+V4+0,7*Q	360,813	4,182	-8,354	3,254	-11,368	0
xxx	G+V5+0,7*Q	349,813	1,442	-35,784	1,394	-25,638	-0,02
xxx	G+V6+0,7*Q	348,313	2,262	-38,454	1,944	-26,978	0,01
xxx	G+V7+0,7*Q	372,653	2,722	18,756	2,254	2,722	0,02
xxx	G+V8+0,7*Q	374,153	1,902	21,426	1,704	4,062	-0,01
xxx	G+Sx	312,969468	5,25424081	2,30629331	3,82171941	-3,47769467	0,0244949
xxx	G-Sx	305,070532	-2,15424081	-14,6862933	-1,18171941	-12,2423053	-0,0244949
xxx	G+Sy	315,314307	4,76606903	5,69051767	3,49253308	-1,75883618	0,01732051
xxx	G-Sy	302,725693	-1,66606903	-18,0705177	-0,85253308	-13,9611638	-0,01732051
xxx	G+Sx+0,3*Sy	314,85776	6,21906152	5,87044861	4,47347933	-1,64734552	0,02969105
xxx	G+Sx-0,3*Sy	311,081176	4,2894201	-1,25786199	3,16995948	-5,30804382	0,01929875
xxx	G-Sx+0,3*Sy	306,958824	-1,1894201	-11,122138	-0,52995948	-10,4119562	-0,01929875
xxx	G-Sx-0,3*Sy	303,18224	-3,11906152	-18,2504486	-1,83347933	-14,0726545	-0,02969105
xxx	G+Sy+0,3*Sx	316,499147	5,87734127	8,23940566	4,24304891	-0,44414458	0,02466898
xxx	G+Sy-0,3*Sx	314,129466	3,65479679	3,14162967	2,74201726	-3,07352778	0,00997204
xxx	G-Sy+0,3*Sx	303,910534	-0,55479679	-15,5216297	-0,10201726	-12,6464722	-0,00997204
xxx	G-Sy-0,3*Sx	301,540853	-2,77734127	-20,6194057	-1,60304891	-15,2758554	-0,02466898
xxx	G+Sx+0,3*Q	335,346468	5,48224081	1,31029331	4,03771941	-5,01969467	0,0244949
xxx	G-Sx+0,3*Q	327,447532	-1,92624081	-15,6822933	-0,96571941	-13,7843053	-0,0244949
xxx	G+Sy+0,3*Q	337,691307	4,99406903	4,69451767	3,70853308	-3,30083618	0,01732051
xxx	G-Sy+0,3*Q	325,102693	-1,43806903	-19,0665177	-0,63653308	-15,5031638	-0,01732051
xxx	G+Sx+0,3*Sy+0,3*Q	337,23476	6,44706152	4,87444861	4,68947933	-3,18934552	0,02969105
xxx	G+Sx-0,3*Sy+0,3*Q	333,458176	4,5174201	-2,25386199	3,38595948	-6,85004382	0,01929875
xxx	G-Sx+0,3*Sy+0,3*Q	329,335824	-0,9614201	-12,118138	-0,31395948	-11,9539562	-0,01929875
xxx	G-Sx-0,3*Sy+0,3*Q	325,55924	-2,89106152	-19,2464486	-1,61747933	-15,6146545	-0,02969105
xxx	G+Sy+0,3*Sx+0,3*Q	338,876147	6,10534127	7,24340566	4,45904891	-1,98614458	0,02466898
xxx	G+Sy-0,3*Sx+0,3*Q	336,506466	3,88279679	2,14562967	2,95801726	-4,61552778	0,00997204
xxx	G-Sy+0,3*Sx+0,3*Q	326,287534	-0,32679679	-16,5176297	0,11398274	-14,1884722	-0,00997204
xxx	G-Sy-0,3*Sx+0,3*Q	323,917853	-2,54934127	-21,6154057	-1,38704891	-16,8178554	-0,02466898
xxx	G+BOMB	347,5	2,13	-9,69	1,96	-15,19	-0,01
xxx	G+BOMB+0,5*Q	384,795	2,51	-11,35	2,32	-17,76	-0,01
xxx	G+BOMB+0,5*V1	347,63	1,12	-9,905	1,275	-15,3	-0,01
xxx	G+BOMB+0,5*V2	347,71	1,08	-9,77	1,245	-15,235	-0,01
xxx	G+BOMB+0,5*V3	347,37	3,14	-9,475	2,645	-15,08	-0,01
xxx	G+BOMB+0,5*V4	347,29	3,18	-9,61	2,675	-15,145	-0,01
xxx	G+BOMB+0,5*V5	341,79	1,81	-23,325	1,745	-22,28	-0,02
xxx	G+BOMB+0,5*V6	341,04	2,22	-24,66	2,02	-22,95	-0,005
xxx	G+BOMB+0,5*V7	353,21	2,45	3,945	2,175	-8,1	0
xxx	G+BOMB+0,5*V8	353,96	2,04	5,28	1,9	-7,43	-0,015
xxx	G+BOMB+0,5*V1+0,3*Q	370,007	1,348	-10,901	1,491	-16,842	-0,01
xxx	G+BOMB+0,5*V2+0,3*Q	370,087	1,308	-10,766	1,461	-16,777	-0,01
xxx	G+BOMB+0,5*V3+0,3*Q	369,747	3,368	-10,471	2,861	-16,622	-0,01
xxx	G+BOMB+0,5*V4+0,3*Q	369,667	3,408	-10,606	2,891	-16,687	-0,01
xxx	G+BOMB+0,5*V5+0,3*Q	364,167	2,038	-24,321	1,961	-23,822	-0,02
xxx	G+BOMB+0,5*V6+0,3*Q	363,417	2,448	-25,656	2,236	-24,492	-0,005
xxx	G+BOMB+0,5*V7+0,3*Q	375,587	2,678	2,949	2,391	-9,642	0
xxx	G+BOMB+0,5*V8+0,3*Q	376,337	2,268	4,284	2,116	-8,972	-0,015
P31	G	202,48	-2,71	-0,17	-3,8	-0,29	0
xxx	G+Q	253,65	-4,88	-1,15	-6,43	-1,48	0
xxx	G+V1	197,09	-6,42	-0,06	-6,15	-0,19	0

xxx	G+V2	196,8	-6,58	-0,09	-6,25	-0,21	0
xxx	G+V3	207,87	1	-0,28	-1,45	-0,39	0
xxx	G+V4	208,16	1,16	-0,25	-1,35	-0,37	0
xxx	G+V5	187,55	-3,55	-6,71	-4,14	-4,9	-0,01
xxx	G+V6	190,43	-2	-6,39	-3,18	-4,69	0
xxx	G+V7	217,41	-1,87	6,37	-3,46	4,32	0,01
xxx	G+V8	214,53	-3,42	6,05	-4,42	4,11	0
xxx	G+Q+0,6*V1	250,416	-7,106	-1,084	-7,84	-1,42	0
xxx	G+Q+0,6*V2	250,242	-7,202	-1,102	-7,9	-1,432	0
xxx	G+Q+0,6*V3	256,884	-2,654	-1,216	-5,02	-1,54	0
xxx	G+Q+0,6*V4	257,058	-2,558	-1,198	-4,96	-1,528	0
xxx	G+Q+0,6*V5	244,692	-5,384	-5,074	-6,634	-4,246	-0,006
xxx	G+Q+0,6*V6	246,42	-4,454	-4,882	-6,058	-4,12	0
xxx	G+Q+0,6*V7	262,608	-4,376	2,774	-6,226	1,286	0,006
xxx	G+Q+0,6*V8	260,88	-5,306	2,582	-6,802	1,16	0
xxx	G+V1+0,7*Q	232,909	-7,939	-0,746	-7,991	-1,023	0
xxx	G+V2+0,7*Q	232,619	-8,099	-0,776	-8,091	-1,043	0
xxx	G+V3+0,7*Q	243,689	-0,519	-0,966	-3,291	-1,223	0
xxx	G+V4+0,7*Q	243,979	-0,359	-0,936	-3,191	-1,203	0
xxx	G+V5+0,7*Q	223,369	-5,069	-7,396	-5,981	-5,733	-0,01
xxx	G+V6+0,7*Q	226,249	-3,519	-7,076	-5,021	-5,523	0
xxx	G+V7+0,7*Q	253,229	-3,389	5,684	-5,301	3,487	0,01
xxx	G+V8+0,7*Q	250,349	-4,939	5,364	-6,261	3,277	0
xxx	G+Sx	215,109276	4,06453319	1,77501928	0,45268151	1,06417872	0,01
xxx	G-Sx	189,850724	-9,48453319	-2,11501928	-8,05268151	-1,64417872	-0,01
xxx	G+Sy	212,442434	3,23805851	2,23503638	-0,04440418	1,41455273	0,01
xxx	G-Sy	192,517566	-8,65805851	-2,57503638	-7,55559582	-1,99455273	-0,01
xxx	G+Sx+0,3*Sy	218,098006	5,84895075	2,49653019	1,57936025	1,57554454	0,013
xxx	G+Sx-0,3*Sy	212,120545	2,28011564	1,05350837	-0,67399724	0,5528129	0,007
xxx	G-Sx+0,3*Sy	192,839455	-7,70011564	-1,39350837	-6,92600276	-1,1328129	-0,007
xxx	G-Sx-0,3*Sy	186,861994	-11,2689507	-2,83653019	-9,17936025	-2,15554454	-0,013
xxx	G+Sy+0,3*Sx	216,231217	5,27041847	2,81854217	1,23140028	1,82080634	0,013
xxx	G+Sy-0,3*Sx	208,653652	1,20569855	1,6515306	-1,32020863	1,00829911	0,007
xxx	G-Sy+0,3*Sx	196,306348	-6,62569855	-1,9915306	-6,27979137	-1,58829911	-0,007
xxx	G-Sy-0,3*Sx	188,728783	-10,6904185	-3,15854217	-8,83140028	-2,40080634	-0,013
xxx	G+Sx+0,3*Q	230,460276	3,41353319	1,48101928	-0,33631849	0,70717872	0,01
xxx	G-Sx+0,3*Q	205,201724	-10,1355332	-2,40901928	-8,84168151	-2,00117872	-0,01
xxx	G+Sy+0,3*Q	227,793434	2,58705851	1,94103638	-0,83340418	1,05755273	0,01
xxx	G-Sy+0,3*Q	207,868566	-9,30905851	-2,86903638	-8,34459582	-2,35155273	-0,01
xxx	G+Sx+0,3*Sy+0,3*Q	233,449006	5,19795075	2,20253019	0,79036025	1,21854454	0,013
xxx	G+Sx-0,3*Sy+0,3*Q	227,471545	1,62911564	0,75950837	-1,46299724	0,1958129	0,007
xxx	G-Sx+0,3*Sy+0,3*Q	208,190455	-8,35111564	-1,68750837	-7,71500276	-1,4898129	-0,007
xxx	G-Sx-0,3*Sy+0,3*Q	202,212994	-11,9199507	-3,13053019	-9,96836025	-2,51254454	-0,013
xxx	G+Sy+0,3*Sx+0,3*Q	231,582217	4,61941847	2,52454217	0,44240028	1,46380634	0,013
xxx	G+Sy-0,3*Sx+0,3*Q	224,004652	0,55469855	1,3575306	-2,10920863	0,65129911	0,007
xxx	G-Sy+0,3*Sx+0,3*Q	211,657348	-7,27669855	-2,2855306	-7,06879137	-1,94529911	-0,007
xxx	G-Sy-0,3*Sx+0,3*Q	204,079783	-11,3414185	-3,45254217	-9,62040028	-2,75780634	-0,013
xxx	G+BOMB	232,57	-5,82	-1,8	-7,21	-2,39	0
xxx	G+BOMB+0,5*Q	258,155	-6,905	-2,29	-8,525	-2,985	0
xxx	G+BOMB+0,5*V1	229,875	-7,675	-1,745	-8,385	-2,34	0
xxx	G+BOMB+0,5*V2	229,73	-7,755	-1,76	-8,435	-2,35	0
xxx	G+BOMB+0,5*V3	235,265	-3,965	-1,855	-6,035	-2,44	0
xxx	G+BOMB+0,5*V4	235,41	-3,885	-1,84	-5,985	-2,43	0
xxx	G+BOMB+0,5*V5	225,105	-6,24	-5,07	-7,38	-4,695	-0,005
xxx	G+BOMB+0,5*V6	226,545	-5,465	-4,91	-6,9	-4,59	0
xxx	G+BOMB+0,5*V7	240,035	-5,4	1,47	-7,04	-0,085	0,005
xxx	G+BOMB+0,5*V8	238,595	-6,175	1,31	-7,52	-0,19	0
xxx	G+BOMB+0,5*V1+0,3*Q	245,226	-8,326	-2,039	-9,174	-2,697	0
xxx	G+BOMB+0,5*V2+0,3*Q	245,081	-8,406	-2,054	-9,224	-2,707	0
xxx	G+BOMB+0,5*V3+0,3*Q	250,616	-4,616	-2,149	-6,824	-2,797	0
xxx	G+BOMB+0,5*V4+0,3*Q	250,761	-4,536	-2,134	-6,774	-2,787	0

xxx	G+BOMB+0,5*V5+0,3*Q	240,456	-6,891	-5,364	-8,169	-5,052	-0,005
xxx	G+BOMB+0,5*V6+0,3*Q	241,896	-6,116	-5,204	-7,689	-4,947	0
xxx	G+BOMB+0,5*V7+0,3*Q	255,386	-6,051	1,176	-7,829	-0,442	0,005
xxx	G+BOMB+0,5*V8+0,3*Q	253,946	-6,826	1,016	-8,309	-0,547	0
P32	G	99,68	0,99	0,41	0,64	0,35	0
xxx	G+Q	112,05	1,01	0,86	0,54	0,71	0
xxx	G+V1	99,65	-1,36	0,48	-0,92	0,39	0
xxx	G+V2	99,71	-1,45	0,42	-0,98	0,35	0
xxx	G+V3	99,71	3,34	0,34	2,2	0,31	0
xxx	G+V4	99,65	3,43	0,4	2,26	0,35	0
xxx	G+V5	104,59	0,32	-5,65	0,25	-4,07	-0,01
xxx	G+V6	103,89	1,29	-5	0,88	-3,59	0
xxx	G+V7	94,77	1,66	6,47	1,03	4,77	0,01
xxx	G+V8	95,47	0,69	5,82	0,4	4,29	0
xxx	G+Q+0,6*V1	112,032	-0,4	0,902	-0,396	0,734	0
xxx	G+Q+0,6*V2	112,068	-0,454	0,866	-0,432	0,71	0
xxx	G+Q+0,6*V3	112,068	2,42	0,818	1,476	0,686	0
xxx	G+Q+0,6*V4	112,032	2,474	0,854	1,512	0,71	0
xxx	G+Q+0,6*V5	114,996	0,608	-2,776	0,306	-1,942	-0,006
xxx	G+Q+0,6*V6	114,576	1,19	-2,386	0,684	-1,654	0
xxx	G+Q+0,6*V7	109,104	1,412	4,496	0,774	3,362	0,006
xxx	G+Q+0,6*V8	109,524	0,83	4,106	0,396	3,074	0
xxx	G+V1+0,7*Q	108,309	-1,346	0,795	-0,99	0,642	0
xxx	G+V2+0,7*Q	108,369	-1,436	0,735	-1,05	0,602	0
xxx	G+V3+0,7*Q	108,369	3,354	0,655	2,13	0,562	0
xxx	G+V4+0,7*Q	108,309	3,444	0,715	2,19	0,602	0
xxx	G+V5+0,7*Q	113,249	0,334	-5,335	0,18	-3,818	-0,01
xxx	G+V6+0,7*Q	112,549	1,304	-4,685	0,81	-3,338	0
xxx	G+V7+0,7*Q	103,429	1,674	6,785	0,96	5,022	0,01
xxx	G+V8+0,7*Q	104,129	0,704	6,135	0,33	4,542	0
xxx	G+Sx	101,567618	5,27926567	2,33091124	3,46499558	1,75210556	0,01
xxx	G-Sx	97,7923825	-3,29926567	-1,51091124	-2,18499558	-1,05210556	-0,01
xxx	G+Sy	101,237113	4,72883672	2,47009709	3,10105668	1,84311754	0
xxx	G-Sy	98,1228873	-2,74883672	-1,65009709	-1,82105668	-1,14311754	0
xxx	G+Sx+0,3*Sy	102,034751	6,40091669	2,94894037	4,20331258	2,20004082	0,01
xxx	G+Sx-0,3*Sy	101,100484	4,15761466	1,71288212	2,72667857	1,3041703	0,01
xxx	G-Sx+0,3*Sy	98,2595163	-2,17761466	-0,89288212	-1,44667857	-0,6041703	-0,01
xxx	G-Sx-0,3*Sy	97,3252486	-4,42091669	-2,12894037	-2,92331258	-1,50004082	-0,01
xxx	G+Sy+0,3*Sx	101,803398	6,01561642	3,04637046	3,94855536	2,26374921	0,003
xxx	G+Sy-0,3*Sx	100,670827	3,44205702	1,89382371	2,25355801	1,42248588	-0,003
xxx	G-Sy+0,3*Sx	98,6891726	-1,46205702	-1,07382371	-0,97355801	-0,72248588	0,003
xxx	G-Sy-0,3*Sx	97,556602	-4,03561642	-2,22637046	-2,66855536	-1,56374921	-0,003
xxx	G+Sx+0,3*Q	105,278618	5,28526567	2,46591124	3,43499558	1,86010556	0,01
xxx	G-Sx+0,3*Q	101,503382	-3,29326567	-1,37591124	-2,21499558	-0,94410556	-0,01
xxx	G+Sy+0,3*Q	104,948113	4,73483672	2,60509709	3,07105668	1,95111754	0
xxx	G-Sy+0,3*Q	101,833887	-2,74283672	-1,51509709	-1,85105668	-1,03511754	0
xxx	G+Sx+0,3*Sy+0,3*Q	105,745751	6,40691669	3,08394037	4,17331258	2,30804082	0,01
xxx	G+Sx-0,3*Sy+0,3*Q	104,811484	4,16361466	1,84788212	2,69667857	1,4121703	0,01
xxx	G-Sx+0,3*Sy+0,3*Q	101,970516	-2,17161466	-0,75788212	-1,47667857	-0,4961703	-0,01
xxx	G-Sx-0,3*Sy+0,3*Q	101,036249	-4,41491669	-1,99394037	-2,95331258	-1,39204082	-0,01
xxx	G+Sy+0,3*Sx+0,3*Q	105,514398	6,02161642	3,18137046	3,91855536	2,37174921	0,003
xxx	G+Sy-0,3*Sx+0,3*Q	104,381827	3,44805702	2,02882371	2,22355801	1,53048588	-0,003
xxx	G-Sy+0,3*Sx+0,3*Q	102,400173	-1,45605702	-0,93882371	-1,00355801	-0,61448588	0,003
xxx	G-Sy-0,3*Sx+0,3*Q	101,267602	-4,02961642	-2,09137046	-2,69855536	-1,45574921	-0,003
xxx	G+BOMB	93,78	0,26	1,19	-0,14	0,9	0
xxx	G+BOMB+0,5*Q	99,965	0,27	1,415	-0,19	1,08	0
xxx	G+BOMB+0,5*V1	93,765	-0,915	1,225	-0,92	0,92	0
xxx	G+BOMB+0,5*V2	93,795	-0,96	1,195	-0,95	0,9	0
xxx	G+BOMB+0,5*V3	93,795	1,435	1,155	0,64	0,88	0
xxx	G+BOMB+0,5*V4	93,765	1,48	1,185	0,67	0,9	0

xxx	G+BOMB+0,5*V5	96,235	-0,075	-1,84	-0,335	-1,31	-0,005
xxx	G+BOMB+0,5*V6	95,885	0,41	-1,515	-0,02	-1,07	0
xxx	G+BOMB+0,5*V7	91,325	0,595	4,22	0,055	3,11	0,005
xxx	G+BOMB+0,5*V8	91,675	0,11	3,895	-0,26	2,87	0
xxx	G+BOMB+0,5*V1+0,3*Q	97,476	-0,909	1,36	-0,95	1,028	0
xxx	G+BOMB+0,5*V2+0,3*Q	97,506	-0,954	1,33	-0,98	1,008	0
xxx	G+BOMB+0,5*V3+0,3*Q	97,506	1,441	1,29	0,61	0,988	0
xxx	G+BOMB+0,5*V4+0,3*Q	97,476	1,486	1,32	0,64	1,008	0
xxx	G+BOMB+0,5*V5+0,3*Q	99,946	-0,069	-1,705	-0,365	-1,202	-0,005
xxx	G+BOMB+0,5*V6+0,3*Q	99,596	0,416	-1,38	-0,05	-0,962	0
xxx	G+BOMB+0,5*V7+0,3*Q	95,036	0,601	4,355	0,025	3,218	0,005
xxx	G+BOMB+0,5*V8+0,3*Q	95,386	0,116	4,03	-0,29	2,978	0
P33	G	103,45	-0,26	-0,64	-0,41	-0,81	0
xxx	G+Q	137,56	-1,25	-1,63	-1,5	-2,05	0
xxx	G+V1	100,47	-1,02	-0,46	-0,95	-0,67	0
xxx	G+V2	99,89	-1,08	-0,55	-0,99	-0,73	0
xxx	G+V3	106,43	0,5	-0,82	0,13	-0,95	0
xxx	G+V4	107,01	0,56	-0,73	0,17	-0,89	0
xxx	G+V5	75,78	-0,63	-8,56	-0,64	-6,4	-0,01
xxx	G+V6	81,35	-0,02	-7,7	-0,21	-5,79	0
xxx	G+V7	131,12	0,11	7,28	-0,18	4,78	0,01
xxx	G+V8	125,55	-0,5	6,42	-0,61	4,17	0
xxx	G+Q+0,6*V1	135,772	-1,706	-1,522	-1,824	-1,966	0
xxx	G+Q+0,6*V2	135,424	-1,742	-1,576	-1,848	-2,002	0
xxx	G+Q+0,6*V3	139,348	-0,794	-1,738	-1,176	-2,134	0
xxx	G+Q+0,6*V4	139,696	-0,758	-1,684	-1,152	-2,098	0
xxx	G+Q+0,6*V5	120,958	-1,472	-6,382	-1,638	-5,404	-0,006
xxx	G+Q+0,6*V6	124,3	-1,106	-5,866	-1,38	-5,038	0
xxx	G+Q+0,6*V7	154,162	-1,028	3,122	-1,362	1,304	0,006
xxx	G+Q+0,6*V8	150,82	-1,394	2,606	-1,62	0,938	0
xxx	G+V1+0,7*Q	124,347	-1,713	-1,153	-1,713	-1,538	0
xxx	G+V2+0,7*Q	123,767	-1,773	-1,243	-1,753	-1,598	0
xxx	G+V3+0,7*Q	130,307	-0,193	-1,513	-0,633	-1,818	0
xxx	G+V4+0,7*Q	130,887	-0,133	-1,423	-0,593	-1,758	0
xxx	G+V5+0,7*Q	99,657	-1,323	-9,253	-1,403	-7,268	-0,01
xxx	G+V6+0,7*Q	105,227	-0,713	-8,393	-0,973	-6,658	0
xxx	G+V7+0,7*Q	154,997	-0,583	6,587	-0,943	3,912	0,01
xxx	G+V8+0,7*Q	149,427	-1,193	5,727	-1,373	3,302	0
xxx	G+Sx	117,913378	1,29006451	1,82085351	0,68603832	0,91545646	0,01
xxx	G-Sx	88,9866221	-1,81006451	-3,10085351	-1,50603832	-2,53545646	-0,01
xxx	G+Sy	114,793518	1,14790625	2,05540349	0,58749687	1,08892075	0
xxx	G-Sy	92,106482	-1,66790625	-3,33540349	-1,40749687	-2,70892075	0
xxx	G+Sx+0,3*Sy	121,316433	1,71243639	2,62947456	0,98528738	1,48513269	0,01
xxx	G+Sx-0,3*Sy	114,510322	0,86769264	1,01223246	0,38678926	0,34578024	0,01
xxx	G-Sx+0,3*Sy	92,3896775	-1,38769264	-2,29223246	-1,20678926	-1,96578024	-0,01
xxx	G-Sx-0,3*Sy	85,5835667	-2,23243639	-3,90947456	-1,80528738	-3,10513269	-0,01
xxx	G+Sy+0,3*Sx	119,132531	1,6129256	2,79365955	0,91630836	1,60655768	0,003
xxx	G+Sy-0,3*Sx	110,454505	0,68288689	1,31714744	0,25868537	0,57128381	-0,003
xxx	G-Sy+0,3*Sx	96,4454954	-1,20288689	-2,59714744	-1,07868537	-2,19128381	0,003
xxx	G-Sy-0,3*Sx	87,7674687	-2,1329256	-4,07365955	-1,73630836	-3,22655768	-0,003
xxx	G+Sx+0,3*Q	128,146378	0,99306451	1,52385351	0,35903832	0,54345646	0,01
xxx	G-Sx+0,3*Q	99,2196221	-2,10706451	-3,39785351	-1,83303832	-2,90745646	-0,01
xxx	G+Sy+0,3*Q	125,026518	0,85090625	1,75840349	0,26049687	0,71692075	0
xxx	G-Sy+0,3*Q	102,339482	-1,96490625	-3,63240349	-1,73449687	-3,08092075	0
xxx	G+Sx+0,3*Sy+0,3*Q	131,549433	1,41543639	2,33247456	0,65828738	1,11313269	0,01
xxx	G+Sx-0,3*Sy+0,3*Q	124,743322	0,57069264	0,71523246	0,05978926	-0,02621976	0,01
xxx	G-Sx+0,3*Sy+0,3*Q	102,622678	-1,68469264	-2,58923246	-1,53378926	-2,33778024	-0,01
xxx	G-Sx-0,3*Sy+0,3*Q	95,8165667	-2,52943639	-4,20647456	-2,13228738	-3,47713269	-0,01
xxx	G+Sy+0,3*Sx+0,3*Q	129,365531	1,3159256	2,49665955	0,58930836	1,23455768	0,003
xxx	G+Sy-0,3*Sx+0,3*Q	120,687505	0,38588689	1,02014744	-0,06831463	0,19928381	-0,003

xxx	G-Sy+0,3*Sx+0,3*Q	106,678495	-1,49988689	-2,89414744	-1,40568537	-2,56328381	0,003
xxx	G-Sy-0,3*Sx+0,3*Q	98,0004687	-2,4299256	-4,37065955	-2,06330836	-3,59855768	-0,003
xxx	G+BOMB	142,22	-2,06	-1,79	-2,31	-2,45	0
xxx	G+BOMB+0,5*Q	159,275	-2,555	-2,285	-2,855	-3,07	0
xxx	G+BOMB+0,5*V1	140,73	-2,44	-1,7	-2,58	-2,38	0
xxx	G+BOMB+0,5*V2	140,44	-2,47	-1,745	-2,6	-2,41	0
xxx	G+BOMB+0,5*V3	143,71	-1,68	-1,88	-2,04	-2,52	0
xxx	G+BOMB+0,5*V4	144	-1,65	-1,835	-2,02	-2,49	0
xxx	G+BOMB+0,5*V5	128,385	-2,245	-5,75	-2,425	-5,245	-0,005
xxx	G+BOMB+0,5*V6	131,17	-1,94	-5,32	-2,21	-4,94	0
xxx	G+BOMB+0,5*V7	156,055	-1,875	2,17	-2,195	0,345	0,005
xxx	G+BOMB+0,5*V8	153,27	-2,18	1,74	-2,41	0,04	0
xxx	G+BOMB+0,5*V1+0,3*Q	150,963	-2,737	-1,997	-2,907	-2,752	0
xxx	G+BOMB+0,5*V2+0,3*Q	150,673	-2,767	-2,042	-2,927	-2,782	0
xxx	G+BOMB+0,5*V3+0,3*Q	153,943	-1,977	-2,177	-2,367	-2,892	0
xxx	G+BOMB+0,5*V4+0,3*Q	154,233	-1,947	-2,132	-2,347	-2,862	0
xxx	G+BOMB+0,5*V5+0,3*Q	138,618	-2,542	-6,047	-2,752	-5,617	-0,005
xxx	G+BOMB+0,5*V6+0,3*Q	141,403	-2,237	-5,617	-2,537	-5,312	0
xxx	G+BOMB+0,5*V7+0,3*Q	166,288	-2,172	1,873	-2,522	-0,027	0,005
xxx	G+BOMB+0,5*V8+0,3*Q	163,503	-2,477	1,443	-2,737	-0,332	0
P34	G	237,06	3,16	-0,67	2,74	-0,8	0
xxx	G+Q	292,34	5,32	-1,78	4,95	-2,11	0
xxx	G+V1	240,38	0,3	-0,45	1,24	-0,64	0
xxx	G+V2	240,3	0,06	-0,57	1,12	-0,72	0
xxx	G+V3	233,74	6,02	-0,89	4,24	-0,96	0
xxx	G+V4	233,82	6,26	-0,77	4,36	-0,88	0
xxx	G+V5	221,2	1,28	-7,24	1,64	-5,21	-0,01
xxx	G+V6	221,93	3,58	-6,12	2,86	-4,46	0
xxx	G+V7	252,92	5,04	5,9	3,84	3,61	0,01
xxx	G+V8	252,19	2,74	4,78	2,62	2,86	0
xxx	G+Q+0,6*V1	294,332	3,604	-1,648	4,05	-2,014	0
xxx	G+Q+0,6*V2	294,284	3,46	-1,72	3,978	-2,062	0
xxx	G+Q+0,6*V3	290,348	7,036	-1,912	5,85	-2,206	0
xxx	G+Q+0,6*V4	290,396	7,18	-1,84	5,922	-2,158	0
xxx	G+Q+0,6*V5	282,824	4,192	-5,722	4,29	-4,756	-0,006
xxx	G+Q+0,6*V6	283,262	5,572	-5,05	5,022	-4,306	0
xxx	G+Q+0,6*V7	301,856	6,448	2,162	5,61	0,536	0,006
xxx	G+Q+0,6*V8	301,418	5,068	1,49	4,878	0,086	0
xxx	G+V1+0,7*Q	279,076	1,812	-1,227	2,787	-1,557	0
xxx	G+V2+0,7*Q	278,996	1,572	-1,347	2,667	-1,637	0
xxx	G+V3+0,7*Q	272,436	7,532	-1,667	5,787	-1,877	0
xxx	G+V4+0,7*Q	272,516	7,772	-1,547	5,907	-1,797	0
xxx	G+V5+0,7*Q	259,896	2,792	-8,017	3,187	-6,127	-0,01
xxx	G+V6+0,7*Q	260,626	5,092	-6,897	4,407	-5,377	0
xxx	G+V7+0,7*Q	291,616	6,552	5,123	5,387	2,693	0,01
xxx	G+V8+0,7*Q	290,886	4,252	4,003	4,167	1,943	0
xxx	G+Sx	242,868373	9,01943683	1,49589473	5,79245803	0,63930539	0,01
xxx	G-Sx	231,251627	-2,69943683	-2,83589473	-0,31245803	-2,23930539	-0,01
xxx	G+Sy	245,713774	8,35213829	1,41139376	5,41263915	0,59452501	0,01
xxx	G-Sy	228,406226	-2,03213829	-2,75139376	0,06736085	-2,19452501	-0,01
xxx	G+Sx+0,3*Sy	245,464505	10,5770783	2,12031286	6,59424977	1,05766289	0,013
xxx	G+Sx-0,3*Sy	240,272241	7,46179535	0,87147661	4,99066628	0,22094789	0,007
xxx	G-Sx+0,3*Sy	233,847759	-1,14179535	-2,21147661	0,48933372	-1,82094789	-0,007
xxx	G-Sx-0,3*Sy	228,655495	-4,25707832	-3,46031286	-1,11424977	-2,65766289	-0,013
xxx	G+Sy+0,3*Sx	247,456286	10,1099693	2,06116218	6,32837655	1,02631663	0,013
xxx	G+Sy-0,3*Sx	243,971262	6,59430724	0,76162534	4,49690174	0,16273339	0,007
xxx	G-Sy+0,3*Sx	230,148738	-0,27430724	-2,10162534	0,98309826	-1,76273339	-0,007
xxx	G-Sy-0,3*Sx	226,663714	-3,78996934	-3,40116218	-0,84837655	-2,62631663	-0,013
xxx	G+Sx+0,3*Q	259,452373	9,66743683	1,16289473	6,45545803	0,24630539	0,01
xxx	G-Sx+0,3*Q	247,835627	-2,05143683	-3,16889473	0,35054197	-2,63230539	-0,01

xxx	G+Sy+0,3*Q	262,297774	9,00013829	1,07839376	6,07563915	0,20152501	0,01
xxx	G-Sy+0,3*Q	244,990226	-1,38413829	-3,08439376	0,73036085	-2,58752501	-0,01
xxx	G+Sx+0,3*Sy+0,3*Q	262,048505	11,2250783	1,78731286	7,25724977	0,66466289	0,013
xxx	G+Sx-0,3*Sy+0,3*Q	256,856241	8,10979535	0,53847661	5,65366628	-0,17205211	0,007
xxx	G-Sx+0,3*Sy+0,3*Q	250,431759	-0,49379535	-2,54447661	1,15233372	-2,21394789	-0,007
xxx	G-Sx-0,3*Sy+0,3*Q	245,239495	-3,60907832	-3,79331286	-0,45124977	-3,05066289	-0,013
xxx	G+Sy+0,3*Sx+0,3*Q	264,040286	10,7579693	1,72816218	6,99137655	0,63331663	0,013
xxx	G+Sy-0,3*Sx+0,3*Q	260,555262	7,24230724	0,42862534	5,15990174	-0,23026661	0,007
xxx	G-Sy+0,3*Sx+0,3*Q	246,732738	0,37369276	-2,43462534	1,64609826	-2,15573339	-0,007
xxx	G-Sy-0,3*Sx+0,3*Q	243,247714	-3,14196934	-3,73416218	-0,18537655	-3,01931663	-0,013
xxx	G+BOMB	263,66	5,2	-2,39	5,14	-2,91	0
xxx	G+BOMB+0,5*Q	291,3	6,28	-2,945	6,245	-3,565	0
xxx	G+BOMB+0,5*V1	265,32	3,77	-2,28	4,39	-2,83	0
xxx	G+BOMB+0,5*V2	265,28	3,65	-2,34	4,33	-2,87	0
xxx	G+BOMB+0,5*V3	262	6,63	-2,5	5,89	-2,99	0
xxx	G+BOMB+0,5*V4	262,04	6,75	-2,44	5,95	-2,95	0
xxx	G+BOMB+0,5*V5	255,73	4,26	-5,675	4,59	-5,115	-0,005
xxx	G+BOMB+0,5*V6	256,095	5,41	-5,115	5,2	-4,74	0
xxx	G+BOMB+0,5*V7	271,59	6,14	0,895	5,69	-0,705	0,005
xxx	G+BOMB+0,5*V8	271,225	4,99	0,335	5,08	-1,08	0
xxx	G+BOMB+0,5*V1+0,3*Q	281,904	4,418	-2,613	5,053	-3,223	0
xxx	G+BOMB+0,5*V2+0,3*Q	281,864	4,298	-2,673	4,993	-3,263	0
xxx	G+BOMB+0,5*V3+0,3*Q	278,584	7,278	-2,833	6,553	-3,383	0
xxx	G+BOMB+0,5*V4+0,3*Q	278,624	7,398	-2,773	6,613	-3,343	0
xxx	G+BOMB+0,5*V5+0,3*Q	272,314	4,908	-6,008	5,253	-5,508	-0,005
xxx	G+BOMB+0,5*V6+0,3*Q	272,679	6,058	-5,448	5,863	-5,133	0
xxx	G+BOMB+0,5*V7+0,3*Q	288,174	6,788	0,562	6,353	-1,098	0,005
xxx	G+BOMB+0,5*V8+0,3*Q	287,809	5,638	0,002	5,743	-1,473	0
P35	G	299,28	-1,89	-1,93	-4,98	-2,17	0
xxx	G+Q	381,05	-3,04	-5,01	-7	-5,59	0
xxx	G+V1	299,59	-9,72	-1,44	-8,25	-1,84	0
xxx	G+V2	298,99	-10,34	-1,74	-8,51	-2,04	0
xxx	G+V3	298,97	5,94	-2,42	-1,71	-2,5	0
xxx	G+V4	299,57	6,56	-2,12	-1,45	-2,3	0
xxx	G+V5	279,92	-6,32	-12,43	-6,71	-9,09	-0,02
xxx	G+V6	285,47	-0,2	-9,43	-4,2	-7,11	0,01
xxx	G+V7	318,64	2,54	8,57	-3,25	4,75	0,02
xxx	G+V8	313,09	-3,58	5,57	-5,76	2,77	-0,01
xxx	G+Q+0,6*V1	381,236	-7,738	-4,716	-8,962	-5,392	0
xxx	G+Q+0,6*V2	380,876	-8,11	-4,896	-9,118	-5,512	0
xxx	G+Q+0,6*V3	380,864	1,658	-5,304	-5,038	-5,788	0
xxx	G+Q+0,6*V4	381,224	2,03	-5,124	-4,882	-5,668	0
xxx	G+Q+0,6*V5	369,434	-5,698	-11,31	-8,038	-9,742	-0,012
xxx	G+Q+0,6*V6	372,764	-2,026	-9,51	-6,532	-8,554	0,006
xxx	G+Q+0,6*V7	392,666	-0,382	1,29	-5,962	-1,438	0,012
xxx	G+Q+0,6*V8	389,336	-4,054	-0,51	-7,468	-2,626	-0,006
xxx	G+V1+0,7*Q	356,829	-10,525	-3,596	-9,664	-4,234	0
xxx	G+V2+0,7*Q	356,229	-11,145	-3,896	-9,924	-4,434	0
xxx	G+V3+0,7*Q	356,209	5,135	-4,576	-3,124	-4,894	0
xxx	G+V4+0,7*Q	356,809	5,755	-4,276	-2,864	-4,694	0
xxx	G+V5+0,7*Q	337,159	-7,125	-14,586	-8,124	-11,484	-0,02
xxx	G+V6+0,7*Q	342,709	-1,005	-11,586	-5,614	-9,504	0,01
xxx	G+V7+0,7*Q	375,879	1,735	6,414	-4,664	2,356	0,02
xxx	G+V8+0,7*Q	370,329	-4,385	3,414	-7,174	0,376	-0,01
xxx	G+Sx	308,619245	13,9827565	2,12169101	1,49705952	0,4835448	0,0244949
xxx	G-Sx	289,940755	-17,7627565	-5,98169101	-11,4570595	-4,8235448	-0,0244949
xxx	G+Sy	305,977328	12,3090669	1,05389008	0,77372054	-0,2119142	0,01732051
xxx	G-Sy	292,582672	-16,0890669	-4,91389008	-10,7337205	-4,1280858	-0,01732051
xxx	G+Sx+0,3*Sy	310,628443	18,2424766	3,01685803	3,22317568	1,07097054	0,02969105
xxx	G+Sx-0,3*Sy	306,610047	9,72303647	1,22652398	-0,22905664	-0,10388094	0,01929875

xxx	G-Sx+0,3*Sy	291,949953	-13,5030365	-5,08652398	-9,73094336	-4,23611906	-0,01929875
xxx	G-Sx-0,3*Sy	287,931557	-22,0224766	-6,87685803	-13,1831757	-5,41097054	-0,02969105
xxx	G+Sy+0,3*Sx	308,779101	17,0708938	2,26939738	2,71683839	0,58414924	0,02466898
xxx	G+Sy-0,3*Sx	303,175554	7,54723991	-0,16161722	-1,16939732	-1,00797764	0,00997204
xxx	G-Sy+0,3*Sx	295,384446	-11,3272399	-3,69838278	-8,79060268	-3,33202236	-0,00997204
xxx	G-Sy-0,3*Sx	289,780899	-20,8508938	-6,12939738	-12,6768384	-4,92414924	-0,02466898
xxx	G+Sx+0,3*Q	333,150245	13,6377565	1,19769101	0,89105952	-0,5424552	0,0244949
xxx	G-Sx+0,3*Q	314,471755	-18,1077565	-6,90569101	-12,0630595	-5,8495448	-0,0244949
xxx	G+Sy+0,3*Q	330,508328	11,9640669	0,12989008	0,16772054	-1,2379142	0,01732051
xxx	G-Sy+0,3*Q	317,113672	-16,4340669	-5,83789008	-11,3397205	-5,1540858	-0,01732051
xxx	G+Sx+0,3*Sy+0,3*Q	335,159443	17,8974766	2,09285803	2,61717568	0,04497054	0,02969105
xxx	G+Sx-0,3*Sy+0,3*Q	331,141047	9,37803647	0,30252398	-0,83505664	-1,12988094	0,01929875
xxx	G-Sx+0,3*Sy+0,3*Q	316,480953	-13,8480365	-6,01052398	-10,3369434	-5,26211906	-0,01929875
xxx	G-Sx-0,3*Sy+0,3*Q	312,462557	-22,3674766	-7,80085803	-13,7891757	-6,43697054	-0,02969105
xxx	G+Sy+0,3*Sx+0,3*Q	333,310101	16,7258938	1,34539738	2,11083839	-0,44185076	0,02466898
xxx	G+Sy-0,3*Sx+0,3*Q	327,706554	7,20223991	-1,08561722	-1,77539732	-2,03397764	0,00997204
xxx	G-Sy+0,3*Sx+0,3*Q	319,915446	-11,6722399	-4,62238278	-9,39660268	-4,35802236	-0,00997204
xxx	G-Sy-0,3*Sx+0,3*Q	314,311899	-21,1958938	-7,05339738	-13,2828384	-5,95014924	-0,02466898
xxx	G+BOMB	347,16	-4,25	-6,89	-7,25	-7,75	-0,01
xxx	G+BOMB+0,5*Q	388,045	-4,825	-8,43	-8,26	-9,46	-0,01
xxx	G+BOMB+0,5*V1	347,315	-8,165	-6,645	-8,885	-7,585	-0,01
xxx	G+BOMB+0,5*V2	347,015	-8,475	-6,795	-9,015	-7,685	-0,01
xxx	G+BOMB+0,5*V3	347,005	-0,335	-7,135	-5,615	-7,915	-0,01
xxx	G+BOMB+0,5*V4	347,305	-0,025	-6,985	-5,485	-7,815	-0,01
xxx	G+BOMB+0,5*V5	337,48	-6,465	-12,14	-8,115	-11,21	-0,02
xxx	G+BOMB+0,5*V6	340,255	-3,405	-10,64	-6,86	-10,22	-0,005
xxx	G+BOMB+0,5*V7	356,84	-2,035	-1,64	-6,385	-4,29	0
xxx	G+BOMB+0,5*V8	354,065	-5,095	-3,14	-7,64	-5,28	-0,015
xxx	G+BOMB+0,5*V1+0,3*Q	371,846	-8,51	-7,569	-9,491	-8,611	-0,01
xxx	G+BOMB+0,5*V2+0,3*Q	371,546	-8,82	-7,719	-9,621	-8,711	-0,01
xxx	G+BOMB+0,5*V3+0,3*Q	371,536	-0,68	-8,059	-6,221	-8,941	-0,01
xxx	G+BOMB+0,5*V4+0,3*Q	371,836	-0,37	-7,909	-6,091	-8,841	-0,01
xxx	G+BOMB+0,5*V5+0,3*Q	362,011	-6,81	-13,064	-8,721	-12,236	-0,02
xxx	G+BOMB+0,5*V6+0,3*Q	364,786	-3,75	-11,564	-7,466	-11,246	-0,005
xxx	G+BOMB+0,5*V7+0,3*Q	381,371	-2,38	-2,564	-6,991	-5,316	0
xxx	G+BOMB+0,5*V8+0,3*Q	378,596	-5,44	-4,064	-8,246	-6,306	-0,015
P36	G	71,43	-0,37	1,8	-0,23	1,47	0
xxx	G+Q	81,61	-0,49	2,03	-0,32	1,66	0
xxx	G+V1	68,38	-1,18	1,55	-0,71	1,3	0
xxx	G+V2	67,93	-1,19	1,8	-0,72	1,46	0
xxx	G+V3	74,48	0,44	2,05	0,25	1,64	0
xxx	G+V4	74,93	0,45	1,8	0,26	1,48	0
xxx	G+V5	77,56	-0,49	-2,87	-0,3	-1,44	-0,01
xxx	G+V6	82,71	-0,33	-5,73	-0,2	-3,2	0
xxx	G+V7	65,3	-0,25	6,47	-0,16	4,38	0,01
xxx	G+V8	60,15	-0,41	9,33	-0,26	6,14	0
xxx	G+Q+0,6*V1	79,78	-0,976	1,88	-0,608	1,558	0
xxx	G+Q+0,6*V2	79,51	-0,982	2,03	-0,614	1,654	0
xxx	G+Q+0,6*V3	83,44	-0,004	2,18	-0,032	1,762	0
xxx	G+Q+0,6*V4	83,71	0,002	2,03	-0,026	1,666	0
xxx	G+Q+0,6*V5	85,288	-0,562	-0,772	-0,362	-0,086	-0,006
xxx	G+Q+0,6*V6	88,378	-0,466	-2,488	-0,302	-1,142	0
xxx	G+Q+0,6*V7	77,932	-0,418	4,832	-0,278	3,406	0,006
xxx	G+Q+0,6*V8	74,842	-0,514	6,548	-0,338	4,462	0
xxx	G+V1+0,7*Q	75,506	-1,264	1,711	-0,773	1,433	0
xxx	G+V2+0,7*Q	75,056	-1,274	1,961	-0,783	1,593	0
xxx	G+V3+0,7*Q	81,606	0,356	2,211	0,187	1,773	0
xxx	G+V4+0,7*Q	82,056	0,366	1,961	0,197	1,613	0
xxx	G+V5+0,7*Q	84,686	-0,574	-2,709	-0,363	-1,307	-0,01
xxx	G+V6+0,7*Q	89,836	-0,414	-5,569	-0,263	-3,067	0

xxx	G+V7+0,7*Q	72,426	-0,334	6,631	-0,223	4,513	0,01
xxx	G+V8+0,7*Q	67,276	-0,494	9,491	-0,323	6,273	0
xxx	G+Sx	77,5081329	1,33396596	4,20526506	0,78548018	2,96963329	0,01
xxx	G-Sx	65,3518671	-2,07396596	-0,60526506	-1,24548018	-0,02963329	-0,01
xxx	G+Sy	77,7731932	0,67532292	4,58700556	0,39361847	3,20326282	0
xxx	G-Sy	65,0868068	-1,41532292	-0,98700556	-0,85361847	-0,26326282	0
xxx	G+Sx+0,3*Sy	79,4110909	1,64756284	5,04136673	0,97256572	3,48961213	0,01
xxx	G+Sx-0,3*Sy	75,605175	1,02036909	3,36916339	0,59839464	2,44965444	0,01
xxx	G-Sx+0,3*Sy	67,254825	-1,76036909	0,23083661	-1,05839464	0,49034556	-0,01
xxx	G-Sx-0,3*Sy	63,4489091	-2,38756284	-1,44136673	-1,43256572	-0,54961213	-0,01
xxx	G+Sy+0,3*Sx	79,5966331	1,18651271	5,30858508	0,69826253	3,65315281	0,003
xxx	G+Sy-0,3*Sx	75,9497533	0,16413313	3,86542604	0,08897442	2,75337283	-0,003
xxx	G-Sy+0,3*Sx	66,9102467	-0,90413313	-0,26542604	-0,54897442	0,18662717	0,003
xxx	G-Sy-0,3*Sx	63,2633669	-1,92651271	-1,70858508	-1,15826253	-0,71315281	-0,003
xxx	G+Sx+0,3*Q	80,5621329	1,29796596	4,27426506	0,75848018	3,02663329	0,01
xxx	G-Sx+0,3*Q	68,4058671	-2,10996596	-0,53626506	-1,27248018	0,02736671	-0,01
xxx	G+Sy+0,3*Q	80,8271932	0,63932292	4,65600556	0,36661847	3,26026282	0
xxx	G-Sy+0,3*Q	68,1408068	-1,45132292	-0,91800556	-0,88061847	-0,20626282	0
xxx	G+Sx+0,3*Sy+0,3*Q	82,4650909	1,61156284	5,11036673	0,94556572	3,54661213	0,01
xxx	G+Sx-0,3*Sy+0,3*Q	78,659175	0,98436909	3,43816339	0,57139464	2,50665444	0,01
xxx	G-Sx+0,3*Sy+0,3*Q	70,308825	-1,79636909	0,29983661	-1,08539464	0,54734556	-0,01
xxx	G-Sx-0,3*Sy+0,3*Q	66,5029091	-2,42356284	-1,37236673	-1,45956572	-0,49261213	-0,01
xxx	G+Sy+0,3*Sx+0,3*Q	82,6506331	1,15051271	5,37758508	0,67126253	3,71015281	0,003
xxx	G+Sy-0,3*Sx+0,3*Q	79,0037533	0,12813313	3,93442604	0,06197442	2,81037283	-0,003
xxx	G-Sy+0,3*Sx+0,3*Q	69,9642467	-0,94013313	-0,19642604	-0,57597442	0,24362717	0,003
xxx	G-Sy-0,3*Sx+0,3*Q	66,3173669	-1,96251271	-1,63958508	-1,18526253	-0,65615281	-0,003
xxx	G+BOMB	71,27	-0,35	1,81	-0,22	1,47	0
xxx	G+BOMB+0,5*Q	76,36	-0,41	1,925	-0,265	1,565	0
xxx	G+BOMB+0,5*V1	69,745	-0,755	1,685	-0,46	1,385	0
xxx	G+BOMB+0,5*V2	69,52	-0,76	1,81	-0,465	1,465	0
xxx	G+BOMB+0,5*V3	72,795	0,055	1,935	0,02	1,555	0
xxx	G+BOMB+0,5*V4	73,02	0,06	1,81	0,025	1,475	0
xxx	G+BOMB+0,5*V5	74,335	-0,41	-0,525	-0,255	0,015	-0,005
xxx	G+BOMB+0,5*V6	76,91	-0,33	-1,955	-0,205	-0,865	0
xxx	G+BOMB+0,5*V7	68,205	-0,29	4,145	-0,185	2,925	0,005
xxx	G+BOMB+0,5*V8	65,63	-0,37	5,575	-0,235	3,805	0
xxx	G+BOMB+0,5*V1+0,3*Q	72,799	-0,791	1,754	-0,487	1,442	0
xxx	G+BOMB+0,5*V2+0,3*Q	72,574	-0,796	1,879	-0,492	1,522	0
xxx	G+BOMB+0,5*V3+0,3*Q	75,849	0,019	2,004	-0,007	1,612	0
xxx	G+BOMB+0,5*V4+0,3*Q	76,074	0,024	1,879	-0,002	1,532	0
xxx	G+BOMB+0,5*V5+0,3*Q	77,389	-0,446	-0,456	-0,282	0,072	-0,005
xxx	G+BOMB+0,5*V6+0,3*Q	79,964	-0,366	-1,886	-0,232	-0,808	0
xxx	G+BOMB+0,5*V7+0,3*Q	71,259	-0,326	4,214	-0,212	2,982	0,005
xxx	G+BOMB+0,5*V8+0,3*Q	68,684	-0,406	5,644	-0,262	3,862	0
P37	G	140,64	0,08	2,77	0,2	2,29	0
xxx	G+Q	166,59	0,17	3,25	0,29	2,69	0
xxx	G+V1	141,83	-1,11	2,56	-0,49	2,16	0
xxx	G+V2	141,5	-1,13	2,81	-0,5	2,32	0
xxx	G+V3	139,45	1,27	2,98	0,89	2,42	0
xxx	G+V4	139,78	1,29	2,73	0,9	2,26	0
xxx	G+V5	149,95	-0,18	-3,37	0,04	-1,57	-0,01
xxx	G+V6	153,81	0	-6,23	0,13	-3,37	0
xxx	G+V7	131,33	0,34	8,91	0,36	6,15	0,01
xxx	G+V8	127,47	0,16	11,77	0,27	7,95	0
xxx	G+Q+0,6*V1	167,304	-0,544	3,124	-0,124	2,612	0
xxx	G+Q+0,6*V2	167,106	-0,556	3,274	-0,13	2,708	0
xxx	G+Q+0,6*V3	165,876	0,884	3,376	0,704	2,768	0
xxx	G+Q+0,6*V4	166,074	0,896	3,226	0,71	2,672	0
xxx	G+Q+0,6*V5	172,176	0,014	-0,434	0,194	0,374	-0,006
xxx	G+Q+0,6*V6	174,492	0,122	-2,15	0,248	-0,706	0

xxx	G+Q+0,6*V7	161,004	0,326	6,934	0,386	5,006	0,006
xxx	G+Q+0,6*V8	158,688	0,218	8,65	0,332	6,086	0
xxx	G+V1+0,7*Q	159,995	-1,047	2,896	-0,427	2,44	0
xxx	G+V2+0,7*Q	159,665	-1,067	3,146	-0,437	2,6	0
xxx	G+V3+0,7*Q	157,615	1,333	3,316	0,953	2,7	0
xxx	G+V4+0,7*Q	157,945	1,353	3,066	0,963	2,54	0
xxx	G+V5+0,7*Q	168,115	-0,117	-3,034	0,103	-1,29	-0,01
xxx	G+V6+0,7*Q	171,975	0,063	-5,894	0,193	-3,09	0
xxx	G+V7+0,7*Q	149,495	0,403	9,246	0,423	6,43	0,01
xxx	G+V8+0,7*Q	145,635	0,223	12,106	0,333	8,23	0
xxx	G+Sx	145,457831	2,60289516	5,18470495	1,67315987	3,80469469	0,01
xxx	G-Sx	135,822169	-2,44289516	0,35529505	-1,27315987	0,77530531	-0,01
xxx	G+Sy	146,087265	1,62347012	5,94882054	1,09213228	4,28674736	0,01414214
xxx	G-Sy	135,192735	-1,46347012	-0,40882054	-0,69213228	0,29325264	-0,01414214
xxx	G+Sx+0,3*Sy	147,092011	3,0659362	6,13835111	1,94079955	4,4037189	0,01424264
xxx	G+Sx-0,3*Sy	143,823652	2,13985413	4,23105879	1,40552019	3,20567048	0,00575736
xxx	G-Sx+0,3*Sy	137,456348	-1,97985413	1,30894121	-1,00552019	1,37432952	-0,00575736
xxx	G-Sx-0,3*Sy	134,187989	-2,9059362	-0,59835111	-1,54079955	0,1762811	-0,01424264
xxx	G+Sy+0,3*Sx	147,532615	2,38033867	6,67323202	1,53408024	4,74115576	0,01714214
xxx	G+Sy-0,3*Sx	144,641916	0,86660157	5,22440905	0,65018432	3,83233895	0,01114214
xxx	G-Sy+0,3*Sx	136,638084	-0,70660157	0,31559095	-0,25018432	0,74766105	-0,01114214
xxx	G-Sy-0,3*Sx	133,747385	-2,22033867	-1,13323202	-1,13408024	-0,16115576	-0,01714214
xxx	G+Sx+0,3*Q	153,242831	2,62989516	5,32870495	1,70015987	3,92469469	0,01
xxx	G-Sx+0,3*Q	143,607169	-2,41589516	0,49929505	-1,24615987	0,89530531	-0,01
xxx	G+Sy+0,3*Q	153,872265	1,65047012	6,09282054	1,11913228	4,40674736	0,01414214
xxx	G-Sy+0,3*Q	142,977735	-1,43647012	-0,26482054	-0,66513228	0,41325264	-0,01414214
xxx	G+Sx+0,3*Sy+0,3*Q	154,877011	3,0929362	6,28235111	1,96779955	4,5237189	0,01424264
xxx	G+Sx-0,3*Sy+0,3*Q	151,608652	2,16685413	4,37505879	1,43252019	3,32567048	0,00575736
xxx	G-Sx+0,3*Sy+0,3*Q	145,241348	-1,95285413	1,45294121	-0,97852019	1,49432952	-0,00575736
xxx	G-Sx-0,3*Sy+0,3*Q	141,972989	-2,8789362	-0,45435111	-1,51379955	0,2962811	-0,01424264
xxx	G+Sy+0,3*Sx+0,3*Q	155,317615	2,40733867	6,81723202	1,56108024	4,86115576	0,01714214
xxx	G+Sy-0,3*Sx+0,3*Q	152,426916	0,89360157	5,36840905	0,67718432	3,95233895	0,01114214
xxx	G-Sy+0,3*Sx+0,3*Q	144,423084	-0,67960157	0,45959095	-0,22318432	0,86766105	-0,01114214
xxx	G-Sy-0,3*Sx+0,3*Q	141,532385	-2,19333867	-0,98923202	-1,10708024	-0,04115576	-0,01714214
xxx	G+BOMB	141,02	0,14	2,78	0,24	2,29	0
xxx	G+BOMB+0,5*Q	153,995	0,185	3,02	0,285	2,49	0
xxx	G+BOMB+0,5*V1	141,615	-0,455	2,675	-0,105	2,225	0
xxx	G+BOMB+0,5*V2	141,45	-0,465	2,8	-0,11	2,305	0
xxx	G+BOMB+0,5*V3	140,425	0,735	2,885	0,585	2,355	0
xxx	G+BOMB+0,5*V4	140,59	0,745	2,76	0,59	2,275	0
xxx	G+BOMB+0,5*V5	145,675	0,01	-0,29	0,16	0,36	-0,005
xxx	G+BOMB+0,5*V6	147,605	0,1	-1,72	0,205	-0,54	0
xxx	G+BOMB+0,5*V7	136,365	0,27	5,85	0,32	4,22	0,005
xxx	G+BOMB+0,5*V8	134,435	0,18	7,28	0,275	5,12	0
xxx	G+BOMB+0,5*V1+0,3*Q	149,4	-0,428	2,819	-0,078	2,345	0
xxx	G+BOMB+0,5*V2+0,3*Q	149,235	-0,438	2,944	-0,083	2,425	0
xxx	G+BOMB+0,5*V3+0,3*Q	148,21	0,762	3,029	0,612	2,475	0
xxx	G+BOMB+0,5*V4+0,3*Q	148,375	0,772	2,904	0,617	2,395	0
xxx	G+BOMB+0,5*V5+0,3*Q	153,46	0,037	-0,146	0,187	0,48	-0,005
xxx	G+BOMB+0,5*V6+0,3*Q	155,39	0,127	-1,576	0,232	-0,42	0
xxx	G+BOMB+0,5*V7+0,3*Q	144,15	0,297	5,994	0,347	4,34	0,005
xxx	G+BOMB+0,5*V8+0,3*Q	142,22	0,207	7,424	0,302	5,24	0
P38	G	134,86	-1,22	2,71	-0,95	2,24	0
xxx	G+Q	163,37	-1,45	3,35	-1,13	2,76	0
xxx	G+V1	134,51	-2,2	2,58	-1,56	2,17	0
xxx	G+V2	134,38	-2,22	2,8	-1,58	2,31	0
xxx	G+V3	135,21	-0,24	2,84	-0,34	2,31	0
xxx	G+V4	135,34	-0,22	2,62	-0,32	2,17	0
xxx	G+V5	138,84	-1,25	-6,96	-0,93	-4,13	-0,01
xxx	G+V6	140,33	-0,99	-9,44	-0,76	-5,76	0

xxx	G+V7	130,88	-1,19	12,38	-0,97	8,61	0,01
xxx	G+V8	129,39	-1,45	14,86	-1,14	10,24	0
xxx	G+Q+0,6*V1	163,16	-2,038	3,272	-1,496	2,718	0
xxx	G+Q+0,6*V2	163,082	-2,05	3,404	-1,508	2,802	0
xxx	G+Q+0,6*V3	163,58	-0,862	3,428	-0,764	2,802	0
xxx	G+Q+0,6*V4	163,658	-0,85	3,296	-0,752	2,718	0
xxx	G+Q+0,6*V5	165,758	-1,468	-2,452	-1,118	-1,062	-0,006
xxx	G+Q+0,6*V6	166,652	-1,312	-3,94	-1,016	-2,04	0
xxx	G+Q+0,6*V7	160,982	-1,432	9,152	-1,142	6,582	0,006
xxx	G+Q+0,6*V8	160,088	-1,588	10,64	-1,244	7,56	0
xxx	G+V1+0,7*Q	154,467	-2,361	3,028	-1,686	2,534	0
xxx	G+V2+0,7*Q	154,337	-2,381	3,248	-1,706	2,674	0
xxx	G+V3+0,7*Q	155,167	-0,401	3,288	-0,466	2,674	0
xxx	G+V4+0,7*Q	155,297	-0,381	3,068	-0,446	2,534	0
xxx	G+V5+0,7*Q	158,797	-1,411	-6,512	-1,056	-3,766	-0,01
xxx	G+V6+0,7*Q	160,287	-1,151	-8,992	-0,886	-5,396	0
xxx	G+V7+0,7*Q	150,837	-1,351	12,828	-1,096	8,974	0,01
xxx	G+V8+0,7*Q	149,347	-1,611	15,308	-1,266	10,604	0
xxx	G+Sx	136,023443	0,82650922	5,24088917	0,33011718	3,90033129	0,01
xxx	G-Sx	133,696557	-3,26650922	0,17911083	-2,23011718	0,57966871	-0,01
xxx	G+Sy	136,609629	0,04356638	6,87641333	-0,16527075	4,98040143	0,01414214
xxx	G-Sy	133,110371	-2,48356638	-1,45641333	-1,73472925	-0,50040143	-0,01414214
xxx	G+Sx+0,3*Sy	136,548332	1,20557914	6,49081317	0,56553596	4,72245172	0,01424264
xxx	G+Sx-0,3*Sy	135,498555	0,44743931	3,99096517	0,09469841	3,07821086	0,00575736
xxx	G-Sx+0,3*Sy	134,221445	-2,88743931	1,42903483	-1,99469841	1,40178914	-0,00575736
xxx	G-Sx-0,3*Sy	133,171668	-3,64557914	-1,07081317	-2,46553596	-0,24245172	-0,01424264
xxx	G+Sy+0,3*Sx	136,958661	0,65751915	7,63568008	0,21876441	5,47850082	0,01714214
xxx	G+Sy-0,3*Sx	136,260596	-0,57038639	6,11714657	-0,5493059	4,48230204	0,01114214
xxx	G-Sy+0,3*Sx	133,459404	-1,86961361	-0,69714657	-1,3506941	-0,00230204	-0,01114214
xxx	G-Sy-0,3*Sx	132,761339	-3,09751915	-2,21568008	-2,11876441	-0,99850082	-0,01714214
xxx	G+Sx+0,3*Q	144,576443	0,75750922	5,43288917	0,27611718	4,05633129	0,01
xxx	G-Sx+0,3*Q	142,249557	-3,33550922	0,37111083	-2,28411718	0,73566871	-0,01
xxx	G+Sy+0,3*Q	145,162629	-0,02543362	7,06841333	-0,21927075	5,13640143	0,01414214
xxx	G-Sy+0,3*Q	141,663371	-2,55256638	-1,26441333	-1,78872925	-0,34440143	-0,01414214
xxx	G+Sx+0,3*Sy+0,3*Q	145,101332	1,13657914	6,68281317	0,51153596	4,87845172	0,01424264
xxx	G+Sx-0,3*Sy+0,3*Q	144,051555	0,37843931	4,18296517	0,04069841	3,23421086	0,00575736
xxx	G-Sx+0,3*Sy+0,3*Q	142,774445	-2,95643931	1,62103483	-2,04869841	1,55778914	-0,00575736
xxx	G-Sx-0,3*Sy+0,3*Q	141,724668	-3,71457914	-0,87881317	-2,51953596	-0,08645172	-0,01424264
xxx	G+Sy+0,3*Sx+0,3*Q	145,511661	0,58851915	7,82768008	0,16476441	5,63450082	0,01714214
xxx	G+Sy-0,3*Sx+0,3*Q	144,813596	-0,63938639	6,30914657	-0,6033059	4,63830204	0,01114214
xxx	G-Sy+0,3*Sx+0,3*Q	142,012404	-1,93861361	-0,50514657	-1,4046941	0,15369796	-0,01114214
xxx	G-Sy-0,3*Sx+0,3*Q	141,314339	-3,16651915	-2,02368008	-2,17276441	-0,84250082	-0,01714214
xxx	G+BOMB	135,11	-1,2	2,87	-0,94	2,34	0
xxx	G+BOMB+0,5*Q	149,365	-1,315	3,19	-1,03	2,6	0
xxx	G+BOMB+0,5*V1	134,935	-1,69	2,805	-1,245	2,305	0
xxx	G+BOMB+0,5*V2	134,87	-1,7	2,915	-1,255	2,375	0
xxx	G+BOMB+0,5*V3	135,285	-0,71	2,935	-0,635	2,375	0
xxx	G+BOMB+0,5*V4	135,35	-0,7	2,825	-0,625	2,305	0
xxx	G+BOMB+0,5*V5	137,1	-1,215	-1,965	-0,93	-0,845	-0,005
xxx	G+BOMB+0,5*V6	137,845	-1,085	-3,205	-0,845	-1,66	0
xxx	G+BOMB+0,5*V7	133,12	-1,185	7,705	-0,95	5,525	0,005
xxx	G+BOMB+0,5*V8	132,375	-1,315	8,945	-1,035	6,34	0
xxx	G+BOMB+0,5*V1+0,3*Q	143,488	-1,759	2,997	-1,299	2,461	0
xxx	G+BOMB+0,5*V2+0,3*Q	143,423	-1,769	3,107	-1,309	2,531	0
xxx	G+BOMB+0,5*V3+0,3*Q	143,838	-0,779	3,127	-0,689	2,531	0
xxx	G+BOMB+0,5*V4+0,3*Q	143,903	-0,769	3,017	-0,679	2,461	0
xxx	G+BOMB+0,5*V5+0,3*Q	145,653	-1,284	-1,773	-0,984	-0,689	-0,005
xxx	G+BOMB+0,5*V6+0,3*Q	146,398	-1,154	-3,013	-0,899	-1,504	0
xxx	G+BOMB+0,5*V7+0,3*Q	141,673	-1,254	7,897	-1,004	5,681	0,005
xxx	G+BOMB+0,5*V8+0,3*Q	140,928	-1,384	9,137	-1,089	6,496	0

P39	G	114,86	1,67	0,34	1,08	0,27	0
xxx	G+Q	135,85	2,08	0,74	1,28	0,56	0
xxx	G+V1	113,51	-1,22	0,47	-0,28	0,35	0
xxx	G+V2	113,2	-1,25	0,37	-0,28	0,28	0
xxx	G+V3	116,21	4,56	0,21	2,44	0,19	0
xxx	G+V4	116,52	4,59	0,31	2,44	0,26	0
xxx	G+V5	89,78	1,34	-6,58	0,97	-4,54	-0,01
xxx	G+V6	92,89	1,59	-5,52	0,99	-3,8	0
xxx	G+V7	139,94	2	7,26	1,19	5,08	0,01
xxx	G+V8	136,83	1,75	6,2	1,17	4,34	0
xxx	G+Q+0,6*V1	135,04	0,346	0,818	0,464	0,608	0
xxx	G+Q+0,6*V2	134,854	0,328	0,758	0,464	0,566	0
xxx	G+Q+0,6*V3	136,66	3,814	0,662	2,096	0,512	0
xxx	G+Q+0,6*V4	136,846	3,832	0,722	2,096	0,554	0
xxx	G+Q+0,6*V5	120,802	1,882	-3,412	1,214	-2,326	-0,006
xxx	G+Q+0,6*V6	122,668	2,032	-2,776	1,226	-1,882	0
xxx	G+Q+0,6*V7	150,898	2,278	4,892	1,346	3,446	0,006
xxx	G+Q+0,6*V8	149,032	2,128	4,256	1,334	3,002	0
xxx	G+V1+0,7*Q	128,203	-0,933	0,75	-0,14	0,553	0
xxx	G+V2+0,7*Q	127,893	-0,963	0,65	-0,14	0,483	0
xxx	G+V3+0,7*Q	130,903	4,847	0,49	2,58	0,393	0
xxx	G+V4+0,7*Q	131,213	4,877	0,59	2,58	0,463	0
xxx	G+V5+0,7*Q	104,473	1,627	-6,3	1,11	-4,337	-0,01
xxx	G+V6+0,7*Q	107,583	1,877	-5,24	1,13	-3,597	0
xxx	G+V7+0,7*Q	154,633	2,287	7,54	1,33	5,283	0,01
xxx	G+V8+0,7*Q	151,523	2,037	6,48	1,31	4,543	0
xxx	G+Sx	125,701167	6,53796672	2,62276149	3,31280093	1,85729329	0,01
xxx	G-Sx	104,018833	-3,19796672	-1,94276149	-1,15280093	-1,31729329	-0,01
xxx	G+Sy	124,40668	5,62068349	2,5653539	2,81130009	1,81029218	0,01
xxx	G-Sy	105,31332	-2,28068349	-1,8853539	-0,65130009	-1,27029218	-0,01
xxx	G+Sx+0,3*Sy	128,565171	7,72317177	3,29036766	3,83219096	2,31938095	0,013
xxx	G+Sx-0,3*Sy	122,837163	5,35276168	1,95515531	2,7934109	1,39520564	0,007
xxx	G-Sx+0,3*Sy	106,882837	-2,01276168	-1,27515531	-0,6334109	-0,85520564	-0,007
xxx	G-Sx-0,3*Sy	101,154829	-4,38317177	-2,61036766	-1,67219096	-1,77938095	-0,013
xxx	G+Sy+0,3*Sx	127,65903	7,0810735	3,25018235	3,48114037	2,28648017	0,013
xxx	G+Sy-0,3*Sx	121,15433	4,16029347	1,88052546	2,14145981	1,33410419	0,007
xxx	G-Sy+0,3*Sx	108,56567	-0,82029347	-1,20052546	0,01854019	-0,79410419	-0,007
xxx	G-Sy-0,3*Sx	102,06097	-3,7410735	-2,57018235	-1,32114037	-1,74648017	-0,013
xxx	G+Sx+0,3*Q	131,998167	6,66096672	2,74276149	3,37280093	1,94429329	0,01
xxx	G-Sx+0,3*Q	110,315833	-3,07496672	-1,82276149	-1,09280093	-1,23029329	-0,01
xxx	G+Sy+0,3*Q	130,70368	5,74368349	2,6853539	2,87130009	1,89729218	0,01
xxx	G-Sy+0,3*Q	111,61032	-2,15768349	-1,7653539	-0,59130009	-1,18329218	-0,01
xxx	G+Sx+0,3*Sy+0,3*Q	134,862171	7,84617177	3,41036766	3,89219096	2,40638095	0,013
xxx	G+Sx-0,3*Sy+0,3*Q	129,134163	5,47576168	2,07515531	2,8534109	1,48220564	0,007
xxx	G-Sx+0,3*Sy+0,3*Q	113,179837	-1,88976168	-1,15515531	-0,5734109	-0,76820564	-0,007
xxx	G-Sx-0,3*Sy+0,3*Q	107,451829	-4,26017177	-2,49036766	-1,61219096	-1,69238095	-0,013
xxx	G+Sy+0,3*Sx+0,3*Q	133,95603	7,2040735	3,37018235	3,54114037	2,37348017	0,013
xxx	G+Sy-0,3*Sx+0,3*Q	127,45133	4,28329347	2,00052546	2,20145981	1,42110419	0,007
xxx	G-Sy+0,3*Sx+0,3*Q	114,86267	-0,69729347	-1,08052546	0,07854019	-0,70710419	-0,007
xxx	G-Sy-0,3*Sx+0,3*Q	108,35797	-3,6180735	-2,45018235	-1,26114037	-1,65948017	-0,013
xxx	G+BOMB	113,5	1,78	1,46	1,15	1,15	0
xxx	G+BOMB+0,5*Q	123,995	1,985	1,66	1,25	1,295	0
xxx	G+BOMB+0,5*V1	112,825	0,335	1,525	0,47	1,19	0
xxx	G+BOMB+0,5*V2	112,67	0,32	1,475	0,47	1,155	0
xxx	G+BOMB+0,5*V3	114,175	3,225	1,395	1,83	1,11	0
xxx	G+BOMB+0,5*V4	114,33	3,24	1,445	1,83	1,145	0
xxx	G+BOMB+0,5*V5	100,96	1,615	-2	1,095	-1,255	-0,005
xxx	G+BOMB+0,5*V6	102,515	1,74	-1,47	1,105	-0,885	0
xxx	G+BOMB+0,5*V7	126,04	1,945	4,92	1,205	3,555	0,005
xxx	G+BOMB+0,5*V8	124,485	1,82	4,39	1,195	3,185	0
xxx	G+BOMB+0,5*V1+0,3*Q	119,122	0,458	1,645	0,53	1,277	0

xxx	G+BOMB+0,5*V2+0,3*Q	118,967	0,443	1,595	0,53	1,242	0
xxx	G+BOMB+0,5*V3+0,3*Q	120,472	3,348	1,515	1,89	1,197	0
xxx	G+BOMB+0,5*V4+0,3*Q	120,627	3,363	1,565	1,89	1,232	0
xxx	G+BOMB+0,5*V5+0,3*Q	107,257	1,738	-1,88	1,155	-1,168	-0,005
xxx	G+BOMB+0,5*V6+0,3*Q	108,812	1,863	-1,35	1,165	-0,798	0
xxx	G+BOMB+0,5*V7+0,3*Q	132,337	2,068	5,04	1,265	3,642	0,005
xxx	G+BOMB+0,5*V8+0,3*Q	130,782	1,943	4,51	1,255	3,272	0
P39a	G	157,3	6,09	0,37	5,95	0,29	0
xxx	G+Q	192,67	7,96	0,75	7,76	0,56	0
xxx	G+V1	161,48	2,45	0,63	3,76	0,47	0
xxx	G+V2	161,53	2,41	0,48	3,74	0,37	0
xxx	G+V3	153,12	9,73	0,11	8,14	0,11	0
xxx	G+V4	153,07	9,77	0,26	8,16	0,21	0
xxx	G+V5	153,82	5,87	-6,72	5,96	-4,59	-0,01
xxx	G+V6	153,15	6,26	-5,25	6,13	-3,58	0
xxx	G+V7	160,78	6,31	7,46	5,94	5,17	0,01
xxx	G+V8	161,45	5,92	5,99	5,77	4,16	0
xxx	G+Q+0,6*V1	195,178	5,776	0,906	6,446	0,668	0
xxx	G+Q+0,6*V2	195,208	5,752	0,816	6,434	0,608	0
xxx	G+Q+0,6*V3	190,162	10,144	0,594	9,074	0,452	0
xxx	G+Q+0,6*V4	190,132	10,168	0,684	9,086	0,512	0
xxx	G+Q+0,6*V5	190,582	7,828	-3,504	7,766	-2,368	-0,006
xxx	G+Q+0,6*V6	190,18	8,062	-2,622	7,868	-1,762	0
xxx	G+Q+0,6*V7	194,758	8,092	5,004	7,754	3,488	0,006
xxx	G+Q+0,6*V8	195,16	7,858	4,122	7,652	2,882	0
xxx	G+V1+0,7*Q	186,239	3,759	0,896	5,027	0,659	0
xxx	G+V2+0,7*Q	186,289	3,719	0,746	5,007	0,559	0
xxx	G+V3+0,7*Q	177,879	11,039	0,376	9,407	0,299	0
xxx	G+V4+0,7*Q	177,829	11,079	0,526	9,427	0,399	0
xxx	G+V5+0,7*Q	178,579	7,179	-6,454	7,227	-4,401	-0,01
xxx	G+V6+0,7*Q	177,909	7,569	-4,984	7,397	-3,391	0
xxx	G+V7+0,7*Q	185,539	7,619	7,726	7,207	5,359	0,01
xxx	G+V8+0,7*Q	186,209	7,229	6,256	7,037	4,349	0
xxx	G+Sx	164,2314	12,2815426	2,82479123	9,62488775	1,97425058	0,01
xxx	G-Sx	150,3686	-0,10154262	-2,08479123	2,27511225	-1,39425058	-0,01
xxx	G+Sy	164,286709	11,2241796	2,52710454	8,99164429	1,77232925	0,01
xxx	G-Sy	150,313291	0,95582042	-1,78710454	2,90835571	-1,19232925	-0,01
xxx	G+Sx+0,3*Sy	166,327412	13,8217965	3,4719226	10,537381	2,41894935	0,013
xxx	G+Sx-0,3*Sy	162,135387	10,7412887	2,17765987	8,71239447	1,5295518	0,007
xxx	G-Sx+0,3*Sy	152,464613	1,43871126	-1,43765987	3,18760553	-0,9495518	-0,007
xxx	G-Sx-0,3*Sy	148,272588	-1,64179649	-2,7319226	1,36261896	-1,83894935	-0,013
xxx	G+Sy+0,3*Sx	166,366129	13,0816424	3,26354191	10,0941106	2,27760442	0,013
xxx	G+Sy-0,3*Sx	162,207289	9,3667168	1,79066717	7,88917797	1,26705408	0,007
xxx	G-Sy+0,3*Sx	152,392711	2,8132832	-1,05066717	4,01082203	-0,68705408	-0,007
xxx	G-Sy-0,3*Sx	148,233871	-0,90164237	-2,52354191	1,80588938	-1,69760442	-0,013
xxx	G+Sx+0,3*Q	174,8424	12,8425426	2,93879123	10,1678878	2,05525058	0,01
xxx	G-Sx+0,3*Q	160,9796	0,45945738	-1,97079123	2,81811225	-1,31325058	-0,01
xxx	G+Sy+0,3*Q	174,897709	11,7851796	2,64110454	9,53464429	1,85332925	0,01
xxx	G-Sy+0,3*Q	160,924291	1,51682042	-1,67310454	3,45135571	-1,11132925	-0,01
xxx	G+Sx+0,3*Sy+0,3*Q	176,938412	14,3827965	3,5859226	11,080381	2,49994935	0,013
xxx	G+Sx-0,3*Sy+0,3*Q	172,746387	11,3022887	2,29165987	9,25539447	1,6105518	0,007
xxx	G-Sx+0,3*Sy+0,3*Q	163,075613	1,99971126	-1,32365987	3,73060553	-0,8685518	-0,007
xxx	G-Sx-0,3*Sy+0,3*Q	158,883588	-1,08079649	-2,6179226	1,90561896	-1,75794935	-0,013
xxx	G+Sy+0,3*Sx+0,3*Q	176,977129	13,6426424	3,37754191	10,6371106	2,35860442	0,013
xxx	G+Sy-0,3*Sx+0,3*Q	172,818289	9,9277168	1,90466717	8,43217797	1,34805408	0,007
xxx	G-Sy+0,3*Sx+0,3*Q	163,003711	3,3742832	-0,93666717	4,55382203	-0,60605408	-0,007
xxx	G-Sy-0,3*Sx+0,3*Q	158,844871	-0,34064237	-2,40954191	2,34888938	-1,61660442	-0,013
xxx	G+BOMB	154,93	6,01	1,35	5,81	1,05	0
xxx	G+BOMB+0,5*Q	172,615	6,945	1,54	6,715	1,185	0
xxx	G+BOMB+0,5*V1	157,02	4,19	1,48	4,715	1,14	0

xxx	G+BOMB+0,5*V2	157,045	4,17	1,405	4,705	1,09	0
xxx	G+BOMB+0,5*V3	152,84	7,83	1,22	6,905	0,96	0
xxx	G+BOMB+0,5*V4	152,815	7,85	1,295	6,915	1,01	0
xxx	G+BOMB+0,5*V5	153,19	5,9	-2,195	5,815	-1,39	-0,005
xxx	G+BOMB+0,5*V6	152,855	6,095	-1,46	5,9	-0,885	0
xxx	G+BOMB+0,5*V7	156,67	6,12	4,895	5,805	3,49	0,005
xxx	G+BOMB+0,5*V8	157,005	5,925	4,16	5,72	2,985	0
xxx	G+BOMB+0,5*V1+0,3*Q	167,631	4,751	1,594	5,258	1,221	0
xxx	G+BOMB+0,5*V2+0,3*Q	167,656	4,731	1,519	5,248	1,171	0
xxx	G+BOMB+0,5*V3+0,3*Q	163,451	8,391	1,334	7,448	1,041	0
xxx	G+BOMB+0,5*V4+0,3*Q	163,426	8,411	1,409	7,458	1,091	0
xxx	G+BOMB+0,5*V5+0,3*Q	163,801	6,461	-2,081	6,358	-1,309	-0,005
xxx	G+BOMB+0,5*V6+0,3*Q	163,466	6,656	-1,346	6,443	-0,804	0
xxx	G+BOMB+0,5*V7+0,3*Q	167,281	6,681	5,009	6,348	3,571	0,005
xxx	G+BOMB+0,5*V8+0,3*Q	167,616	6,486	4,274	6,263	3,066	0
P40	G	168,76	0,07	0,63	-1,17	0,57	0
xxx	G+Q	207,55	0,18	1,36	-1,45	1,22	0
xxx	G+V1	167,93	-4,15	1,05	-2,97	0,86	0
xxx	G+V2	167,87	-4,2	0,79	-2,97	0,68	0
xxx	G+V3	169,59	4,29	0,21	0,63	0,28	0
xxx	G+V4	169,65	4,34	0,47	0,63	0,46	0
xxx	G+V5	167,61	-0,56	-8,03	-1,46	-5,29	-0,01
xxx	G+V6	168	-0,15	-5,43	-1,42	-3,53	0,01
xxx	G+V7	169,91	0,7	9,29	-0,88	6,43	0,01
xxx	G+V8	169,52	0,29	6,69	-0,92	4,67	-0,01
xxx	G+Q+0,6*V1	207,052	-2,352	1,612	-2,53	1,394	0
xxx	G+Q+0,6*V2	207,016	-2,382	1,456	-2,53	1,286	0
xxx	G+Q+0,6*V3	208,048	2,712	1,108	-0,37	1,046	0
xxx	G+Q+0,6*V4	208,084	2,742	1,264	-0,37	1,154	0
xxx	G+Q+0,6*V5	206,86	-0,198	-3,836	-1,624	-2,296	-0,006
xxx	G+Q+0,6*V6	207,094	0,048	-2,276	-1,6	-1,24	0,006
xxx	G+Q+0,6*V7	208,24	0,558	6,556	-1,276	4,736	0,006
xxx	G+Q+0,6*V8	208,006	0,312	4,996	-1,3	3,68	-0,006
xxx	G+V1+0,7*Q	195,083	-4,073	1,561	-3,166	1,315	0
xxx	G+V2+0,7*Q	195,023	-4,123	1,301	-3,166	1,135	0
xxx	G+V3+0,7*Q	196,743	4,367	0,721	0,434	0,735	0
xxx	G+V4+0,7*Q	196,803	4,417	0,981	0,434	0,915	0
xxx	G+V5+0,7*Q	194,763	-0,483	-7,519	-1,656	-4,835	-0,01
xxx	G+V6+0,7*Q	195,153	-0,073	-4,919	-1,616	-3,075	0,01
xxx	G+V7+0,7*Q	197,063	0,777	9,801	-1,076	6,885	0,01
xxx	G+V8+0,7*Q	196,673	0,367	7,201	-1,116	5,125	-0,01
xxx	G+Sx	170,552735	7,22113278	4,04177373	1,7923808	2,86168061	0,01414214
xxx	G-Sx	166,967265	-7,08113278	-2,78177373	-4,1323808	-1,72168061	-0,01414214
xxx	G+Sy	170,232617	5,8698362	3,06938517	1,11936672	2,21560019	0,01414214
xxx	G-Sy	167,287383	-5,7298362	-1,80938517	-3,45936672	-1,07560019	-0,01414214
xxx	G+Sx+0,3*Sy	170,99452	8,96108364	4,77358928	2,47919082	3,35536066	0,01838478
xxx	G+Sx-0,3*Sy	170,11095	5,48118192	3,30995818	1,10557078	2,36800055	0,00989949
xxx	G-Sx+0,3*Sy	167,40905	-5,34118192	-2,04995818	-3,44557078	-1,22800055	-0,00989949
xxx	G-Sx-0,3*Sy	166,52548	-8,82108364	-3,51358928	-4,81919082	-2,21536066	-0,01838478
xxx	G+Sy+0,3*Sx	170,770437	8,01517604	4,09291729	2,00808096	2,90310438	0,01838478
xxx	G+Sy-0,3*Sx	169,694796	3,72449637	2,04585305	0,23065248	1,52809601	0,00989949
xxx	G-Sy+0,3*Sx	167,825204	-3,58449637	-0,78585305	-2,57065248	-0,38809601	-0,00989949
xxx	G-Sy-0,3*Sx	166,749563	-7,87517604	-2,83291729	-4,34808096	-1,76310438	-0,01838478
xxx	G+Sx+0,3*Q	182,189735	7,25413278	4,26077373	1,7083808	3,05668061	0,01414214
xxx	G-Sx+0,3*Q	178,604265	-7,04813278	-2,56277373	-4,2163808	-1,52668061	-0,01414214
xxx	G+Sy+0,3*Q	181,869617	5,9028362	3,28838517	1,03536672	2,41060019	0,01414214
xxx	G-Sy+0,3*Q	178,924383	-5,6968362	-1,59038517	-3,54336672	-0,88060019	-0,01414214
xxx	G+Sx+0,3*Sy+0,3*Q	182,63152	8,99408364	4,99258928	2,39519082	3,55036066	0,01838478
xxx	G+Sx-0,3*Sy+0,3*Q	181,74795	5,51418192	3,52895818	1,02157078	2,56300055	0,00989949
xxx	G-Sx+0,3*Sy+0,3*Q	179,04605	-5,30818192	-1,83095818	-3,52957078	-1,03300055	-0,00989949

xxx	G-Sx-0,3*Sy+0,3*Q	178,16248	-8,78808364	-3,29458928	-4,90319082	-2,02036066	-0,01838478
xxx	G+Sy+0,3*Sx+0,3*Q	182,407437	8,04817604	4,31191729	1,92408096	3,09810438	0,01838478
xxx	G+Sy-0,3*Sx+0,3*Q	181,331796	3,75749637	2,26485305	0,14665248	1,72309601	0,00989949
xxx	G-Sy+0,3*Sx+0,3*Q	179,462204	-3,55149637	-0,56685305	-2,65465248	-0,19309601	-0,00989949
xxx	G-Sy-0,3*Sx+0,3*Q	178,386563	-7,84217604	-2,61391729	-4,43208096	-1,56810438	-0,01838478
xxx	G+BOMB	163,96	0,56	1,86	-0,7	1,62	0
xxx	G+BOMB+0,5*Q	183,355	0,615	2,225	-0,84	1,945	0
xxx	G+BOMB+0,5*V1	163,545	-1,55	2,07	-1,6	1,765	0
xxx	G+BOMB+0,5*V2	163,515	-1,575	1,94	-1,6	1,675	0
xxx	G+BOMB+0,5*V3	164,375	2,67	1,65	0,2	1,475	0
xxx	G+BOMB+0,5*V4	164,405	2,695	1,78	0,2	1,565	0
xxx	G+BOMB+0,5*V5	163,385	0,245	-2,47	-0,845	-1,31	-0,005
xxx	G+BOMB+0,5*V6	163,58	0,45	-1,17	-0,825	-0,43	0,005
xxx	G+BOMB+0,5*V7	164,535	0,875	6,19	-0,555	4,55	0,005
xxx	G+BOMB+0,5*V8	164,34	0,67	4,89	-0,575	3,67	-0,005
xxx	G+BOMB+0,5*V1+0,3*Q	175,182	-1,517	2,289	-1,684	1,96	0
xxx	G+BOMB+0,5*V2+0,3*Q	175,152	-1,542	2,159	-1,684	1,87	0
xxx	G+BOMB+0,5*V3+0,3*Q	176,012	2,703	1,869	0,116	1,67	0
xxx	G+BOMB+0,5*V4+0,3*Q	176,042	2,728	1,999	0,116	1,76	0
xxx	G+BOMB+0,5*V5+0,3*Q	175,022	0,278	-2,251	-0,929	-1,115	-0,005
xxx	G+BOMB+0,5*V6+0,3*Q	175,217	0,483	-0,951	-0,909	-0,235	0,005
xxx	G+BOMB+0,5*V7+0,3*Q	176,172	0,908	6,409	-0,639	4,745	0,005
xxx	G+BOMB+0,5*V8+0,3*Q	175,977	0,703	5,109	-0,659	3,865	-0,005
P41	G	118,34	-2,5	0,17	-1,64	0,1	0
xxx	G+Q	136,41	-3,09	0,25	-2,03	0,17	0
xxx	G+V1	114,39	-5,13	0,05	-2,9	0,04	0
xxx	G+V2	114,42	-5,06	0,2	-2,86	0,11	0
xxx	G+V3	122,29	0,13	0,29	-0,38	0,16	0
xxx	G+V4	122,26	0,06	0,14	-0,42	0,09	0
xxx	G+V5	119,27	-1,57	-2,42	-1,17	-1,23	-0,01
xxx	G+V6	118,88	-2,38	-4,02	-1,57	-2,04	0
xxx	G+V7	117,41	-3,43	2,76	-2,11	1,43	0,01
xxx	G+V8	117,8	-2,62	4,36	-1,71	2,24	0
xxx	G+Q+0,6*V1	134,04	-4,668	0,178	-2,786	0,134	0
xxx	G+Q+0,6*V2	134,058	-4,626	0,268	-2,762	0,176	0
xxx	G+Q+0,6*V3	138,78	-1,512	0,322	-1,274	0,206	0
xxx	G+Q+0,6*V4	138,762	-1,554	0,232	-1,298	0,164	0
xxx	G+Q+0,6*V5	136,968	-2,532	-1,304	-1,748	-0,628	-0,006
xxx	G+Q+0,6*V6	136,734	-3,018	-2,264	-1,988	-1,114	0
xxx	G+Q+0,6*V7	135,852	-3,648	1,804	-2,312	0,968	0,006
xxx	G+Q+0,6*V8	136,086	-3,162	2,764	-2,072	1,454	0
xxx	G+V1+0,7*Q	127,039	-5,543	0,106	-3,173	0,089	0
xxx	G+V2+0,7*Q	127,069	-5,473	0,256	-3,133	0,159	0
xxx	G+V3+0,7*Q	134,939	-0,283	0,346	-0,653	0,209	0
xxx	G+V4+0,7*Q	134,909	-0,353	0,196	-0,693	0,139	0
xxx	G+V5+0,7*Q	131,919	-1,983	-2,364	-1,443	-1,181	-0,01
xxx	G+V6+0,7*Q	131,529	-2,793	-3,964	-1,843	-1,991	0
xxx	G+V7+0,7*Q	130,059	-3,843	2,816	-2,383	1,479	0,01
xxx	G+V8+0,7*Q	130,449	-3,033	4,416	-1,983	2,289	0
xxx	G+Sx	127,525652	3,71774075	1,48038162	1,3482771	0,7691786	0,01
xxx	G-Sx	109,154348	-8,71774075	-1,14038162	-4,6282771	-0,5691786	-0,01
xxx	G+Sy	123,390436	0,17568683	1,70964282	-0,37643362	0,88651128	0,01414214
xxx	G-Sy	113,289564	-5,17568683	-1,36964282	-2,90356638	-0,68651128	-0,01414214
xxx	G+Sx+0,3*Sy	129,040783	4,5204468	1,94227447	1,72734701	1,00513199	0,01424264
xxx	G+Sx-0,3*Sy	126,010521	2,9150347	1,01848878	0,96920718	0,53322522	0,00575736
xxx	G-Sx+0,3*Sy	110,669479	-7,9150347	-0,67848878	-4,24920718	-0,33322522	-0,00575736
xxx	G-Sx-0,3*Sy	107,639217	-9,5204468	-1,60227447	-5,00734701	-0,80513199	-0,01424264
xxx	G+Sy+0,3*Sx	126,146131	2,04100905	2,1027573	0,52004951	1,08726486	0,01714214
xxx	G+Sy-0,3*Sx	120,63474	-1,6896354	1,31652833	-1,27291675	0,6857577	0,01114214
xxx	G-Sy+0,3*Sx	116,04526	-3,3103646	-0,97652833	-2,00708325	-0,4857577	-0,01114214

xxx	G-Sy-0,3*Sx	110,533869	-7,04100905	-1,7627573	-3,80004951	-0,88726486	-0,01714214
xxx	G+Sx+0,3*Q	132,946652	3,54074075	1,50438162	1,2312771	0,7901786	0,01
xxx	G-Sx+0,3*Q	114,575348	-8,89474075	-1,11638162	-4,7452771	-0,5481786	-0,01
xxx	G+Sy+0,3*Q	128,811436	-0,00131317	1,73364282	-0,49343362	0,90751128	0,01414214
xxx	G-Sy+0,3*Q	118,710564	-5,35268683	-1,34564282	-3,02056638	-0,66551128	-0,01414214
xxx	G+Sx+0,3*Sy+0,3*Q	134,461783	4,3434468	1,96627447	1,61034701	1,02613199	0,01424264
xxx	G+Sx-0,3*Sy+0,3*Q	131,431521	2,7380347	1,04248878	0,85220718	0,55422522	0,00575736
xxx	G-Sx+0,3*Sy+0,3*Q	116,090479	-8,0920347	-0,65448878	-4,36620718	-0,31222522	-0,00575736
xxx	G-Sx-0,3*Sy+0,3*Q	113,060217	-9,6974468	-1,57827447	-5,12434701	-0,78413199	-0,01424264
xxx	G+Sy+0,3*Sx+0,3*Q	131,567131	1,86400905	2,1267573	0,40304951	1,10826486	0,01714214
xxx	G+Sy-0,3*Sx+0,3*Q	126,05574	-1,8666354	1,34052833	-1,38991675	0,7067577	0,01114214
xxx	G-Sy+0,3*Sx+0,3*Q	121,46626	-3,4873646	-0,95252833	-2,12408325	-0,4647577	-0,01114214
xxx	G-Sy-0,3*Sx+0,3*Q	115,954869	-7,21800905	-1,7387573	-3,91704951	-0,86626486	-0,01714214
xxx	G+BOMB	118,35	-2,5	0,19	-1,64	0,11	0
xxx	G+BOMB+0,5*Q	127,385	-2,795	0,23	-1,835	0,145	0
xxx	G+BOMB+0,5*V1	116,375	-3,815	0,13	-2,27	0,08	0
xxx	G+BOMB+0,5*V2	116,39	-3,78	0,205	-2,25	0,115	0
xxx	G+BOMB+0,5*V3	120,325	-1,185	0,25	-1,01	0,14	0
xxx	G+BOMB+0,5*V4	120,31	-1,22	0,175	-1,03	0,105	0
xxx	G+BOMB+0,5*V5	118,815	-2,035	-1,105	-1,405	-0,555	-0,005
xxx	G+BOMB+0,5*V6	118,62	-2,44	-1,905	-1,605	-0,96	0
xxx	G+BOMB+0,5*V7	117,885	-2,965	1,485	-1,875	0,775	0,005
xxx	G+BOMB+0,5*V8	118,08	-2,56	2,285	-1,675	1,18	0
xxx	G+BOMB+0,5*V1+0,3*Q	121,796	-3,992	0,154	-2,387	0,101	0
xxx	G+BOMB+0,5*V2+0,3*Q	121,811	-3,957	0,229	-2,367	0,136	0
xxx	G+BOMB+0,5*V3+0,3*Q	125,746	-1,362	0,274	-1,127	0,161	0
xxx	G+BOMB+0,5*V4+0,3*Q	125,731	-1,397	0,199	-1,147	0,126	0
xxx	G+BOMB+0,5*V5+0,3*Q	124,236	-2,212	-1,081	-1,522	-0,534	-0,005
xxx	G+BOMB+0,5*V6+0,3*Q	124,041	-2,617	-1,881	-1,722	-0,939	0
xxx	G+BOMB+0,5*V7+0,3*Q	123,306	-3,142	1,509	-1,992	0,796	0,005
xxx	G+BOMB+0,5*V8+0,3*Q	123,501	-2,737	2,309	-1,792	1,201	0
P42	G	189,5	-0,78	0,16	-0,34	0,09	0
xxx	G+Q	225,97	-0,92	0,2	-0,39	0,12	0
xxx	G+V1	191,33	-2,68	0,07	-1,22	0,05	0
xxx	G+V2	191,26	-2,62	0,17	-1,19	0,09	0
xxx	G+V3	187,67	1,12	0,25	0,54	0,13	0
xxx	G+V4	187,74	1,06	0,15	0,51	0,09	0
xxx	G+V5	189,66	-0,1	-2,27	-0,01	-1,1	-0,01
xxx	G+V6	190,49	-0,72	-3,33	-0,31	-1,61	0
xxx	G+V7	189,34	-1,46	2,59	-0,67	1,28	0,01
xxx	G+V8	188,51	-0,84	3,65	-0,37	1,79	0
xxx	G+Q+0,6*V1	227,068	-2,06	0,146	-0,918	0,096	0
xxx	G+Q+0,6*V2	227,026	-2,024	0,206	-0,9	0,12	0
xxx	G+Q+0,6*V3	224,872	0,22	0,254	0,138	0,144	0
xxx	G+Q+0,6*V4	224,914	0,184	0,194	0,12	0,12	0
xxx	G+Q+0,6*V5	226,066	-0,512	-1,258	-0,192	-0,594	-0,006
xxx	G+Q+0,6*V6	226,564	-0,884	-1,894	-0,372	-0,9	0
xxx	G+Q+0,6*V7	225,874	-1,328	1,658	-0,588	0,834	0,006
xxx	G+Q+0,6*V8	225,376	-0,956	2,294	-0,408	1,14	0
xxx	G+V1+0,7*Q	216,859	-2,778	0,098	-1,255	0,071	0
xxx	G+V2+0,7*Q	216,789	-2,718	0,198	-1,225	0,111	0
xxx	G+V3+0,7*Q	213,199	1,022	0,278	0,505	0,151	0
xxx	G+V4+0,7*Q	213,269	0,962	0,178	0,475	0,111	0
xxx	G+V5+0,7*Q	215,189	-0,198	-2,242	-0,045	-1,079	-0,01
xxx	G+V6+0,7*Q	216,019	-0,818	-3,302	-0,345	-1,589	0
xxx	G+V7+0,7*Q	214,869	-1,558	2,618	-0,705	1,301	0,01
xxx	G+V8+0,7*Q	214,039	-0,938	3,678	-0,405	1,811	0
xxx	G+Sx	193,934659	3,69618141	1,06133235	1,74177809	0,52760713	0,01
xxx	G-Sx	185,065341	-5,25618141	-0,74133235	-2,42177809	-0,34760713	-0,01
xxx	G+Sy	191,798086	1,13353077	1,36958671	0,52735229	0,68016947	0,01414214

xxx	G-Sy	187,201914	-2,69353077	-1,04958671	-1,20735229	-0,50016947	-0,01414214
xxx	G+Sx+0,3*Sy	194,624085	4,27024064	1,42420836	2,00198377	0,70465797	0,01424264
xxx	G+Sx-0,3*Sy	193,245233	3,12212218	0,69845634	1,4815724	0,35055629	0,00575736
xxx	G-Sx+0,3*Sy	185,754767	-4,68212218	-0,37845634	-2,1615724	-0,17055629	-0,00575736
xxx	G-Sx-0,3*Sy	184,375915	-5,83024064	-1,10420836	-2,68198377	-0,52465797	-0,01424264
xxx	G+Sy+0,3*Sx	193,128484	2,47638519	1,63998641	1,15188572	0,81145161	0,01714214
xxx	G+Sy-0,3*Sx	190,467688	-0,20932365	1,099187	-0,09718113	0,54888733	0,01114214
xxx	G-Sy+0,3*Sx	188,532312	-1,35067635	-0,779187	-0,58281887	-0,36888733	-0,01114214
xxx	G-Sy-0,3*Sx	185,871516	-4,03638519	-1,31998641	-1,83188572	-0,63145161	-0,01714214
xxx	G+Sx+0,3*Q	204,875659	3,65418141	1,07333235	1,72677809	0,53660713	0,01
xxx	G-Sx+0,3*Q	196,006341	-5,29818141	-0,72933235	-2,43677809	-0,33860713	-0,01
xxx	G+Sy+0,3*Q	202,739086	1,09153077	1,38158671	0,51235229	0,68916947	0,01414214
xxx	G-Sy+0,3*Q	198,142914	-2,73553077	-1,03758671	-1,22235229	-0,49116947	-0,01414214
xxx	G+Sx+0,3*Sy+0,3*Q	205,565085	4,22824064	1,43620836	1,98698377	0,71365797	0,01424264
xxx	G+Sx-0,3*Sy+0,3*Q	204,186233	3,08012218	0,71045634	1,4665724	0,35955629	0,00575736
xxx	G-Sx+0,3*Sy+0,3*Q	196,695767	-4,72412218	-0,36645634	-2,1765724	-0,16155629	-0,00575736
xxx	G-Sx-0,3*Sy+0,3*Q	195,316915	-5,87224064	-1,09220836	-2,69698377	-0,51565797	-0,01424264
xxx	G+Sy+0,3*Sx+0,3*Q	204,069484	2,43438519	1,65198641	1,13688572	0,82045161	0,01714214
xxx	G+Sy-0,3*Sx+0,3*Q	201,408688	-0,25132365	1,111187	-0,11218113	0,55788733	0,01114214
xxx	G-Sy+0,3*Sx+0,3*Q	199,473312	-1,39267635	-0,767187	-0,59781887	-0,35988733	-0,01114214
xxx	G-Sy-0,3*Sx+0,3*Q	196,812516	-4,07838519	-1,30798641	-1,84688572	-0,62245161	-0,01714214
xxx	G+BOMB	189,58	-0,78	0,19	-0,34	0,11	0
xxx	G+BOMB+0,5*Q	207,815	-0,85	0,21	-0,365	0,125	0
xxx	G+BOMB+0,5*V1	190,495	-1,73	0,145	-0,78	0,09	0
xxx	G+BOMB+0,5*V2	190,46	-1,7	0,195	-0,765	0,11	0
xxx	G+BOMB+0,5*V3	188,665	0,17	0,235	0,1	0,13	0
xxx	G+BOMB+0,5*V4	188,7	0,14	0,185	0,085	0,11	0
xxx	G+BOMB+0,5*V5	189,66	-0,44	-1,025	-0,175	-0,485	-0,005
xxx	G+BOMB+0,5*V6	190,075	-0,75	-1,555	-0,325	-0,74	0
xxx	G+BOMB+0,5*V7	189,5	-1,12	1,405	-0,505	0,705	0,005
xxx	G+BOMB+0,5*V8	189,085	-0,81	1,935	-0,355	0,96	0
xxx	G+BOMB+0,5*V1+0,3*Q	201,436	-1,772	0,157	-0,795	0,099	0
xxx	G+BOMB+0,5*V2+0,3*Q	201,401	-1,742	0,207	-0,78	0,119	0
xxx	G+BOMB+0,5*V3+0,3*Q	199,606	0,128	0,247	0,085	0,139	0
xxx	G+BOMB+0,5*V4+0,3*Q	199,641	0,098	0,197	0,07	0,119	0
xxx	G+BOMB+0,5*V5+0,3*Q	200,601	-0,482	-1,013	-0,19	-0,476	-0,005
xxx	G+BOMB+0,5*V6+0,3*Q	201,016	-0,792	-1,543	-0,34	-0,731	0
xxx	G+BOMB+0,5*V7+0,3*Q	200,441	-1,162	1,417	-0,52	0,714	0,005
xxx	G+BOMB+0,5*V8+0,3*Q	200,026	-0,852	1,947	-0,37	0,969	0
P43	G	251,52	0,9	0,81	1,19	0,59	0
xxx	G+Q	300,53	1	1,01	1,36	0,73	0
xxx	G+V1	252	-2,15	0,73	-0,17	0,55	0
xxx	G+V2	251,72	-2,11	0,81	-0,15	0,58	0
xxx	G+V3	251,04	3,95	0,89	2,55	0,63	0
xxx	G+V4	251,32	3,91	0,81	2,53	0,6	0
xxx	G+V5	261,31	1,61	-2,86	1,57	-1,28	-0,01
xxx	G+V6	264,52	1,09	-3,72	1,31	-1,71	0
xxx	G+V7	241,73	0,19	4,48	0,81	2,46	0,01
xxx	G+V8	238,52	0,71	5,34	1,07	2,89	0
xxx	G+Q+0,6*V1	300,818	-0,83	0,962	0,544	0,706	0
xxx	G+Q+0,6*V2	300,65	-0,806	1,01	0,556	0,724	0
xxx	G+Q+0,6*V3	300,242	2,83	1,058	2,176	0,754	0
xxx	G+Q+0,6*V4	300,41	2,806	1,01	2,164	0,736	0
xxx	G+Q+0,6*V5	306,404	1,426	-1,192	1,588	-0,392	-0,006
xxx	G+Q+0,6*V6	308,33	1,114	-1,708	1,432	-0,65	0
xxx	G+Q+0,6*V7	294,656	0,574	3,212	1,132	1,852	0,006
xxx	G+Q+0,6*V8	292,73	0,886	3,728	1,288	2,11	0
xxx	G+V1+0,7*Q	286,307	-2,08	0,87	-0,051	0,648	0
xxx	G+V2+0,7*Q	286,027	-2,04	0,95	-0,031	0,678	0
xxx	G+V3+0,7*Q	285,347	4,02	1,03	2,669	0,728	0

xxx	G+V4+0,7*Q	285,627	3,98	0,95	2,649	0,698	0
xxx	G+V5+0,7*Q	295,617	1,68	-2,72	1,689	-1,182	-0,01
xxx	G+V6+0,7*Q	298,827	1,16	-3,58	1,429	-1,612	0
xxx	G+V7+0,7*Q	276,037	0,26	4,62	0,929	2,558	0,01
xxx	G+V8+0,7*Q	272,827	0,78	5,48	1,189	2,988	0
xxx	G+Sx	255,259545	7,85326542	1,73978492	4,29983922	1,05776062	0,01414214
xxx	G-Sx	247,780455	-6,05326542	-0,11978492	-1,91983922	0,12223938	-0,01414214
xxx	G+Sy	256,682122	4,18621363	2,37108936	2,62272468	1,38113842	0,01414214
xxx	G-Sy	246,357878	-2,38621363	-0,75108936	-0,24272468	-0,20113842	-0,01414214
xxx	G+Sx+0,3*Sy	256,808182	8,83912951	2,20811173	4,72965663	1,29510215	0,01838478
xxx	G+Sx-0,3*Sy	253,710909	6,86740133	1,27145811	3,87002182	0,8204191	0,00989949
xxx	G-Sx+0,3*Sy	249,329091	-5,06740133	0,34854189	-1,49002182	0,3595809	-0,00989949
xxx	G-Sx-0,3*Sy	246,231818	-7,03912951	-0,58811173	-2,34965663	-0,11510215	-0,01838478
xxx	G+Sy+0,3*Sx	257,803985	6,27219325	2,65002484	3,55567644	1,52146661	0,01838478
xxx	G+Sy-0,3*Sx	255,560258	2,100234	2,09215389	1,68977291	1,24081023	0,00989949
xxx	G-Sy+0,3*Sx	247,479742	-0,300234	-0,47215389	0,69022709	-0,06081023	-0,00989949
xxx	G-Sy-0,3*Sx	245,236015	-4,47219325	-1,03002484	-1,17567644	-0,34146661	-0,01838478
xxx	G+Sx+0,3*Q	269,962545	7,88326542	1,79978492	4,35083922	1,09976062	0,01414214
xxx	G-Sx+0,3*Q	262,483455	-6,02326542	-0,05978492	-1,86883922	0,16423938	-0,01414214
xxx	G+Sy+0,3*Q	271,385122	4,21621363	2,43108936	2,67372468	1,42313842	0,01414214
xxx	G-Sy+0,3*Q	261,060878	-2,35621363	-0,69108936	-0,19172468	-0,15913842	-0,01414214
xxx	G+Sx+0,3*Sy+0,3*Q	271,511182	8,86912951	2,26811173	4,78065663	1,33710215	0,01838478
xxx	G+Sx-0,3*Sy+0,3*Q	268,413909	6,89740133	1,33145811	3,92102182	0,8624191	0,00989949
xxx	G-Sx+0,3*Sy+0,3*Q	264,032091	-5,03740133	0,40854189	-1,43902182	0,4015809	-0,00989949
xxx	G-Sx-0,3*Sy+0,3*Q	260,934818	-7,00912951	-0,52811173	-2,29865663	-0,07310215	-0,01838478
xxx	G+Sy+0,3*Sx+0,3*Q	272,506985	6,30219325	2,71002484	3,60667644	1,56346661	0,01838478
xxx	G+Sy-0,3*Sx+0,3*Q	270,263258	2,130234	2,15215389	1,74077291	1,28281023	0,00989949
xxx	G-Sy+0,3*Sx+0,3*Q	262,182742	-0,270234	-0,41215389	0,74122709	-0,01881023	-0,00989949
xxx	G-Sy-0,3*Sx+0,3*Q	259,939015	-4,44219325	-0,97002484	-1,12467644	-0,29946661	-0,01838478
xxx	G+BOMB	251,56	0,93	0,89	1,21	0,63	0
xxx	G+BOMB+0,5*Q	276,065	0,98	0,99	1,295	0,7	0
xxx	G+BOMB+0,5*V1	251,8	-0,595	0,85	0,53	0,61	0
xxx	G+BOMB+0,5*V2	251,66	-0,575	0,89	0,54	0,625	0
xxx	G+BOMB+0,5*V3	251,32	2,455	0,93	1,89	0,65	0
xxx	G+BOMB+0,5*V4	251,46	2,435	0,89	1,88	0,635	0
xxx	G+BOMB+0,5*V5	256,455	1,285	-0,945	1,4	-0,305	-0,005
xxx	G+BOMB+0,5*V6	258,06	1,025	-1,375	1,27	-0,52	0
xxx	G+BOMB+0,5*V7	246,665	0,575	2,725	1,02	1,565	0,005
xxx	G+BOMB+0,5*V8	245,06	0,835	3,155	1,15	1,78	0
xxx	G+BOMB+0,5*V1+0,3*Q	266,503	-0,565	0,91	0,581	0,652	0
xxx	G+BOMB+0,5*V2+0,3*Q	266,363	-0,545	0,95	0,591	0,667	0
xxx	G+BOMB+0,5*V3+0,3*Q	266,023	2,485	0,99	1,941	0,692	0
xxx	G+BOMB+0,5*V4+0,3*Q	266,163	2,465	0,95	1,931	0,677	0
xxx	G+BOMB+0,5*V5+0,3*Q	271,158	1,315	-0,885	1,451	-0,263	-0,005
xxx	G+BOMB+0,5*V6+0,3*Q	272,763	1,055	-1,315	1,321	-0,478	0
xxx	G+BOMB+0,5*V7+0,3*Q	261,368	0,605	2,785	1,071	1,607	0,005
xxx	G+BOMB+0,5*V8+0,3*Q	259,763	0,865	3,215	1,201	1,822	0
P44	G	236,27	0,36	1,49	0,4	1,39	0
xxx	G+Q	288,32	0,58	2,23	0,63	2,05	0
xxx	G+V1	239	-0,07	1,5	0,16	1,4	0
xxx	G+V2	238,96	-0,06	1,48	0,17	1,39	0
xxx	G+V3	233,54	0,79	1,48	0,64	1,38	0
xxx	G+V4	233,58	0,78	1,5	0,63	1,39	0
xxx	G+V5	238,36	0,51	-0,77	0,48	0,41	0
xxx	G+V6	238,87	0,34	-0,6	0,38	0,5	0
xxx	G+V7	234,18	0,21	3,75	0,32	2,37	0
xxx	G+V8	233,67	0,38	3,58	0,42	2,28	0
xxx	G+Q+0,6*V1	289,958	0,322	2,236	0,486	2,056	0
xxx	G+Q+0,6*V2	289,934	0,328	2,224	0,492	2,05	0
xxx	G+Q+0,6*V3	286,682	0,838	2,224	0,774	2,044	0

xxx	G+Q+0,6*V4	286,706	0,832	2,236	0,768	2,05	0
xxx	G+Q+0,6*V5	289,574	0,67	0,874	0,678	1,462	0
xxx	G+Q+0,6*V6	289,88	0,568	0,976	0,618	1,516	0
xxx	G+Q+0,6*V7	287,066	0,49	3,586	0,582	2,638	0
xxx	G+Q+0,6*V8	286,76	0,592	3,484	0,642	2,584	0
xxx	G+V1+0,7*Q	275,435	0,084	2,018	0,321	1,862	0
xxx	G+V2+0,7*Q	275,395	0,094	1,998	0,331	1,852	0
xxx	G+V3+0,7*Q	269,975	0,944	1,998	0,801	1,842	0
xxx	G+V4+0,7*Q	270,015	0,934	2,018	0,791	1,852	0
xxx	G+V5+0,7*Q	274,795	0,664	-0,252	0,641	0,872	0
xxx	G+V6+0,7*Q	275,305	0,494	-0,082	0,541	0,962	0
xxx	G+V7+0,7*Q	270,615	0,364	4,268	0,481	2,832	0
xxx	G+V8+0,7*Q	270,105	0,534	4,098	0,581	2,742	0
xxx	G+Sx	242,575157	1,40312032	2,03516053	0,98906706	1,63289916	0
xxx	G-Sx	229,964843	-0,68312032	0,94483947	-0,18906706	1,14710084	0
xxx	G+Sy	240,485021	0,79104524	2,33468929	0,64289916	1,74594943	0
xxx	G-Sy	232,054979	-0,07104524	0,64531071	0,15710084	1,03405057	0
xxx	G+Sx+0,3*Sy	243,839663	1,53243389	2,28856731	1,06193681	1,73968399	0
xxx	G+Sx-0,3*Sy	241,31065	1,27380675	1,78175374	0,91619731	1,52611433	0
xxx	G-Sx+0,3*Sy	231,22935	-0,55380675	1,19824626	-0,11619731	1,25388567	0
xxx	G-Sx-0,3*Sy	228,700337	-0,81243389	0,69143269	-0,26193681	1,04031601	0
xxx	G+Sy+0,3*Sx	242,376568	1,10398134	2,49823745	0,81961927	1,81881918	0
xxx	G+Sy-0,3*Sx	238,593474	0,47810915	2,17114113	0,46617904	1,67307969	0
xxx	G-Sy+0,3*Sx	233,946526	0,24189085	0,80885887	0,33382096	1,10692031	0
xxx	G-Sy-0,3*Sx	230,163432	-0,38398134	0,48176255	-0,01961927	0,96118082	0
xxx	G+Sx+0,3*Q	258,190157	1,46912032	2,25716053	1,05806706	1,83089916	0
xxx	G-Sx+0,3*Q	245,579843	-0,61712032	1,16683947	-0,12006706	1,34510084	0
xxx	G+Sy+0,3*Q	256,100021	0,85704524	2,55668929	0,71189916	1,94394943	0
xxx	G-Sy+0,3*Q	247,669979	-0,00504524	0,86731071	0,22610084	1,23205057	0
xxx	G+Sx+0,3*Sy+0,3*Q	259,454663	1,59843389	2,51056731	1,13093681	1,93768399	0
xxx	G+Sx-0,3*Sy+0,3*Q	256,92565	1,33980675	2,00375374	0,98519731	1,72411433	0
xxx	G-Sx+0,3*Sy+0,3*Q	246,84435	-0,48780675	1,42024626	-0,04719731	1,45188567	0
xxx	G-Sx-0,3*Sy+0,3*Q	244,315337	-0,74643389	0,91343269	-0,19293681	1,23831601	0
xxx	G+Sy+0,3*Sx+0,3*Q	257,991568	1,16998134	2,72023745	0,88861927	2,01681918	0
xxx	G+Sy-0,3*Sx+0,3*Q	254,208474	0,54410915	2,39314113	0,53517904	1,87107969	0
xxx	G-Sy+0,3*Sx+0,3*Q	249,561526	0,30789085	1,03085887	0,40282096	1,30492031	0
xxx	G-Sy-0,3*Sx+0,3*Q	245,778432	-0,31798134	0,70376255	0,04938073	1,15918082	0
xxx	G+BOMB	235,88	0,36	1,58	0,4	1,43	0
xxx	G+BOMB+0,5*Q	261,905	0,47	1,95	0,515	1,76	0
xxx	G+BOMB+0,5*V1	237,245	0,145	1,585	0,28	1,435	0
xxx	G+BOMB+0,5*V2	237,225	0,15	1,575	0,285	1,43	0
xxx	G+BOMB+0,5*V3	234,515	0,575	1,575	0,52	1,425	0
xxx	G+BOMB+0,5*V4	234,535	0,57	1,585	0,515	1,43	0
xxx	G+BOMB+0,5*V5	236,925	0,435	0,45	0,44	0,94	0
xxx	G+BOMB+0,5*V6	237,18	0,35	0,535	0,39	0,985	0
xxx	G+BOMB+0,5*V7	234,835	0,285	2,71	0,36	1,92	0
xxx	G+BOMB+0,5*V8	234,58	0,37	2,625	0,41	1,875	0
xxx	G+BOMB+0,5*V1+0,3*Q	252,86	0,211	1,807	0,349	1,633	0
xxx	G+BOMB+0,5*V2+0,3*Q	252,84	0,216	1,797	0,354	1,628	0
xxx	G+BOMB+0,5*V3+0,3*Q	250,13	0,641	1,797	0,589	1,623	0
xxx	G+BOMB+0,5*V4+0,3*Q	250,15	0,636	1,807	0,584	1,628	0
xxx	G+BOMB+0,5*V5+0,3*Q	252,54	0,501	0,672	0,509	1,138	0
xxx	G+BOMB+0,5*V6+0,3*Q	252,795	0,416	0,757	0,459	1,183	0
xxx	G+BOMB+0,5*V7+0,3*Q	250,45	0,351	2,932	0,429	2,118	0
xxx	G+BOMB+0,5*V8+0,3*Q	250,195	0,436	2,847	0,479	2,073	0
P45	G	337,13	-0,38	1,29	0,04	1,18	0
xxx	G+Q	413,73	-0,46	1,95	0,05	1,76	0
xxx	G+V1	336,12	-2,51	1,33	-0,67	1,2	0
xxx	G+V2	336,18	-2,43	1,3	-0,64	1,19	0
xxx	G+V3	338,14	1,75	1,25	0,75	1,16	0

xxx	G+V4	338,08	1,67	1,28	0,72	1,17	0
xxx	G+V5	338,84	0,72	-0,69	0,57	0,21	-0,01
xxx	G+V6	338,17	-0,22	-0,37	0,15	0,37	0
xxx	G+V7	335,42	-1,48	3,27	-0,49	2,15	0,01
xxx	G+V8	336,09	-0,54	2,95	-0,07	1,99	0
xxx	G+Q+0,6*V1	413,124	-1,738	1,974	-0,376	1,772	0
xxx	G+Q+0,6*V2	413,16	-1,69	1,956	-0,358	1,766	0
xxx	G+Q+0,6*V3	414,336	0,818	1,926	0,476	1,748	0
xxx	G+Q+0,6*V4	414,3	0,77	1,944	0,458	1,754	0
xxx	G+Q+0,6*V5	414,756	0,2	0,762	0,368	1,178	-0,006
xxx	G+Q+0,6*V6	414,354	-0,364	0,954	0,116	1,274	0
xxx	G+Q+0,6*V7	412,704	-1,12	3,138	-0,268	2,342	0,006
xxx	G+Q+0,6*V8	413,106	-0,556	2,946	-0,016	2,246	0
xxx	G+V1+0,7*Q	389,74	-2,566	1,792	-0,663	1,606	0
xxx	G+V2+0,7*Q	389,8	-2,486	1,762	-0,633	1,596	0
xxx	G+V3+0,7*Q	391,76	1,694	1,712	0,757	1,566	0
xxx	G+V4+0,7*Q	391,7	1,614	1,742	0,727	1,576	0
xxx	G+V5+0,7*Q	392,46	0,664	-0,228	0,577	0,616	-0,01
xxx	G+V6+0,7*Q	391,79	-0,276	0,092	0,157	0,776	0
xxx	G+V7+0,7*Q	389,04	-1,536	3,732	-0,483	2,556	0,01
xxx	G+V8+0,7*Q	389,71	-0,596	3,412	-0,063	2,396	0
xxx	G+Sx	340,199984	4,86558862	1,87600341	1,88021738	1,47495762	0,01
xxx	G-Sx	334,060016	-5,62558862	0,70399659	-1,80021738	0,88504238	-0,01
xxx	G+Sy	338,053418	1,64950733	2,05406806	0,67616036	1,54728735	0
xxx	G-Sy	336,206582	-2,40950733	0,52593194	-0,59616036	0,81271265	0
xxx	G+Sx+0,3*Sy	340,477009	5,47444082	2,10522383	2,07106549	1,58514383	0,01
xxx	G+Sx-0,3*Sy	339,922958	4,25673642	1,646783	1,68936927	1,36477142	0,01
xxx	G-Sx+0,3*Sy	334,337042	-5,01673642	0,933217	-1,60936927	0,99522858	-0,01
xxx	G-Sx-0,3*Sy	333,782991	-6,23444082	0,47477617	-1,99106549	0,77485617	-0,01
xxx	G+Sy+0,3*Sx	338,974413	3,22318392	2,22986908	1,22822557	1,63577464	0,003
xxx	G+Sy-0,3*Sx	337,132422	0,07583074	1,87826704	0,12409514	1,45880007	-0,003
xxx	G-Sy+0,3*Sx	337,127578	-0,83583074	0,70173296	-0,04409514	0,90119993	0,003
xxx	G-Sy-0,3*Sx	335,285587	-3,98318392	0,35013092	-1,14822557	0,72422536	-0,003
xxx	G+Sx+0,3*Q	363,179984	4,84158862	2,07400341	1,88321738	1,64895762	0,01
xxx	G-Sx+0,3*Q	357,040016	-5,64958862	0,90199659	-1,79721738	1,05904238	-0,01
xxx	G+Sy+0,3*Q	361,033418	1,62550733	2,25206806	0,67916036	1,72128735	0
xxx	G-Sy+0,3*Q	359,186582	-2,43350733	0,72393194	-0,59316036	0,98671265	0
xxx	G+Sx+0,3*Sy+0,3*Q	363,457009	5,45044082	2,30322383	2,07406549	1,75914383	0,01
xxx	G+Sx-0,3*Sy+0,3*Q	362,902958	4,23273642	1,844783	1,69236927	1,53877142	0,01
xxx	G-Sx+0,3*Sy+0,3*Q	357,317042	-5,04073642	1,131217	-1,60636927	1,16922858	-0,01
xxx	G-Sx-0,3*Sy+0,3*Q	356,762991	-6,25844082	0,67277617	-1,98806549	0,94885617	-0,01
xxx	G+Sy+0,3*Sx+0,3*Q	361,954413	3,19918392	2,42786908	1,23122557	1,80977464	0,003
xxx	G+Sy-0,3*Sx+0,3*Q	360,112422	0,05183074	2,07626704	0,12709514	1,63280007	-0,003
xxx	G-Sy+0,3*Sx+0,3*Q	360,107578	-0,85983074	0,89973296	-0,04109514	1,07519993	0,003
xxx	G-Sy-0,3*Sx+0,3*Q	358,265587	-4,00718392	0,54813092	-1,14522557	0,89822536	-0,003
xxx	G+BOMB	336,61	-0,39	1,38	0,03	1,22	0
xxx	G+BOMB+0,5*Q	374,91	-0,43	1,71	0,035	1,51	0
xxx	G+BOMB+0,5*V1	336,105	-1,455	1,4	-0,325	1,23	0
xxx	G+BOMB+0,5*V2	336,135	-1,415	1,385	-0,31	1,225	0
xxx	G+BOMB+0,5*V3	337,115	0,675	1,36	0,385	1,21	0
xxx	G+BOMB+0,5*V4	337,085	0,635	1,375	0,37	1,215	0
xxx	G+BOMB+0,5*V5	337,465	0,16	0,39	0,295	0,735	-0,005
xxx	G+BOMB+0,5*V6	337,13	-0,31	0,55	0,085	0,815	0
xxx	G+BOMB+0,5*V7	335,755	-0,94	2,37	-0,235	1,705	0,005
xxx	G+BOMB+0,5*V8	336,09	-0,47	2,21	-0,025	1,625	0
xxx	G+BOMB+0,5*V1+0,3*Q	359,085	-1,479	1,598	-0,322	1,404	0
xxx	G+BOMB+0,5*V2+0,3*Q	359,115	-1,439	1,583	-0,307	1,399	0
xxx	G+BOMB+0,5*V3+0,3*Q	360,095	0,651	1,558	0,388	1,384	0
xxx	G+BOMB+0,5*V4+0,3*Q	360,065	0,611	1,573	0,373	1,389	0
xxx	G+BOMB+0,5*V5+0,3*Q	360,445	0,136	0,588	0,298	0,909	-0,005
xxx	G+BOMB+0,5*V6+0,3*Q	360,11	-0,334	0,748	0,088	0,989	0

xxx	G+BOMB+0,5*V7+0,3*Q	358,735	-0,964	2,568	-0,232	1,879	0,005
xxx	G+BOMB+0,5*V8+0,3*Q	359,07	-0,494	2,408	-0,022	1,799	0
P46	G	178,08	0,14	1,56	0,19	1,58	0
xxx	G+Q	217,04	0,22	2,31	0,29	2,27	0
xxx	G+V1	179,3	-0,26	1,66	-0,08	1,64	0
xxx	G+V2	179,45	-0,24	1,58	-0,07	1,6	0
xxx	G+V3	176,86	0,54	1,46	0,46	1,52	0
xxx	G+V4	176,71	0,52	1,54	0,45	1,56	0
xxx	G+V5	184,83	0,25	-2,15	0,25	-0,4	0
xxx	G+V6	183,04	0,11	-1,15	0,16	0,12	0
xxx	G+V7	171,33	0,03	5,27	0,13	3,56	0
xxx	G+V8	173,12	0,17	4,27	0,22	3,04	0
xxx	G+Q+0,6*V1	217,772	-0,02	2,37	0,128	2,306	0
xxx	G+Q+0,6*V2	217,862	-0,008	2,322	0,134	2,282	0
xxx	G+Q+0,6*V3	216,308	0,46	2,25	0,452	2,234	0
xxx	G+Q+0,6*V4	216,218	0,448	2,298	0,446	2,258	0
xxx	G+Q+0,6*V5	221,09	0,286	0,084	0,326	1,082	0
xxx	G+Q+0,6*V6	220,016	0,202	0,684	0,272	1,394	0
xxx	G+Q+0,6*V7	212,99	0,154	4,536	0,254	3,458	0
xxx	G+Q+0,6*V8	214,064	0,238	3,936	0,308	3,146	0
xxx	G+V1+0,7*Q	206,572	-0,204	2,185	-0,01	2,123	0
xxx	G+V2+0,7*Q	206,722	-0,184	2,105	0	2,083	0
xxx	G+V3+0,7*Q	204,132	0,596	1,985	0,53	2,003	0
xxx	G+V4+0,7*Q	203,982	0,576	2,065	0,52	2,043	0
xxx	G+V5+0,7*Q	212,102	0,306	-1,625	0,32	0,083	0
xxx	G+V6+0,7*Q	210,312	0,166	-0,625	0,23	0,603	0
xxx	G+V7+0,7*Q	198,602	0,086	5,795	0,2	4,043	0
xxx	G+V8+0,7*Q	200,392	0,226	4,795	0,29	3,523	0
xxx	G+Sx	180,969481	1,08863059	2,9286855	0,84015383	2,31143694	0
xxx	G-Sx	175,190519	-0,80863059	0,1913145	-0,46015383	0,84856306	0
xxx	G+Sy	182,697434	0,53673669	3,0974004	0,47248894	2,38560536	0
xxx	G-Sy	173,462566	-0,25673669	0,0225996	-0,09248894	0,77439464	0
xxx	G+Sx+0,3*Sy	182,354711	1,2076516	3,38990562	0,92490051	2,55311855	0
xxx	G+Sx-0,3*Sy	179,584251	0,96960959	2,46746538	0,75540715	2,06975533	0
xxx	G-Sx+0,3*Sy	176,575749	-0,68960959	0,65253462	-0,37540715	1,09024467	0
xxx	G-Sx-0,3*Sy	173,805289	-0,9276516	-0,26990562	-0,54490051	0,60688145	0
xxx	G+Sy+0,3*Sx	183,564279	0,82132587	3,50800605	0,66753509	2,60503645	0
xxx	G+Sy-0,3*Sx	181,83059	0,25214751	2,68679475	0,27744279	2,16617428	0
xxx	G-Sy+0,3*Sx	174,32941	0,02785249	0,43320525	0,10255721	0,99382572	0
xxx	G-Sy-0,3*Sx	172,595721	-0,54132587	-0,38800605	-0,28753509	0,55496355	0
xxx	G+Sx+0,3*Q	192,657481	1,11263059	3,1536855	0,87015383	2,51843694	0
xxx	G-Sx+0,3*Q	186,878519	-0,78463059	0,4163145	-0,43015383	1,05556306	0
xxx	G+Sy+0,3*Q	194,385434	0,56073669	3,3224004	0,50248894	2,59260536	0
xxx	G-Sy+0,3*Q	185,150566	-0,23273669	0,2475996	-0,06248894	0,98139464	0
xxx	G+Sx+0,3*Sy+0,3*Q	194,042711	1,2316516	3,61490562	0,95490051	2,76011855	0
xxx	G+Sx-0,3*Sy+0,3*Q	191,272251	0,99360959	2,69246538	0,78540715	2,27675533	0
xxx	G-Sx+0,3*Sy+0,3*Q	188,263749	-0,66560959	0,87753462	-0,34540715	1,29724467	0
xxx	G-Sx-0,3*Sy+0,3*Q	185,493289	-0,9036516	-0,04490562	-0,51490051	0,81388145	0
xxx	G+Sy+0,3*Sx+0,3*Q	195,252279	0,84532587	3,73300605	0,69753509	2,81203645	0
xxx	G+Sy-0,3*Sx+0,3*Q	193,51859	0,27614751	2,91179475	0,30744279	2,37317428	0
xxx	G-Sy+0,3*Sx+0,3*Q	186,01741	0,05185249	0,65820525	0,13255721	1,20082572	0
xxx	G-Sy-0,3*Sx+0,3*Q	184,283721	-0,51732587	-0,16300605	-0,25753509	0,76196355	0
xxx	G+BOMB	177,63	0,14	1,74	0,19	1,68	0
xxx	G+BOMB+0,5*Q	197,11	0,18	2,115	0,24	2,025	0
xxx	G+BOMB+0,5*V1	178,24	-0,06	1,79	0,055	1,71	0
xxx	G+BOMB+0,5*V2	178,315	-0,05	1,75	0,06	1,69	0
xxx	G+BOMB+0,5*V3	177,02	0,34	1,69	0,325	1,65	0
xxx	G+BOMB+0,5*V4	176,945	0,33	1,73	0,32	1,67	0
xxx	G+BOMB+0,5*V5	181,005	0,195	-0,115	0,22	0,69	0
xxx	G+BOMB+0,5*V6	180,11	0,125	0,385	0,175	0,95	0

xxx	G+BOMB+0,5*V7	174,255	0,085	3,595	0,16	2,67	0
xxx	G+BOMB+0,5*V8	175,15	0,155	3,095	0,205	2,41	0
xxx	G+BOMB+0,5*V1+0,3*Q	189,928	-0,036	2,015	0,085	1,917	0
xxx	G+BOMB+0,5*V2+0,3*Q	190,003	-0,026	1,975	0,09	1,897	0
xxx	G+BOMB+0,5*V3+0,3*Q	188,708	0,364	1,915	0,355	1,857	0
xxx	G+BOMB+0,5*V4+0,3*Q	188,633	0,354	1,955	0,35	1,877	0
xxx	G+BOMB+0,5*V5+0,3*Q	192,693	0,219	0,11	0,25	0,897	0
xxx	G+BOMB+0,5*V6+0,3*Q	191,798	0,149	0,61	0,205	1,157	0
xxx	G+BOMB+0,5*V7+0,3*Q	185,943	0,109	3,82	0,19	2,877	0
xxx	G+BOMB+0,5*V8+0,3*Q	186,838	0,179	3,32	0,235	2,617	0
P47	G	176,69	-1,39	1,26	-1,39	1,28	0
xxx	G+Q	207,35	-1,95	1,76	-1,98	1,75	0
xxx	G+V1	180,92	-2,23	1,33	-1,83	1,33	0
xxx	G+V2	180,8	-2,21	1,27	-1,82	1,29	0
xxx	G+V3	172,46	-0,55	1,19	-0,95	1,23	0
xxx	G+V4	172,58	-0,57	1,25	-0,96	1,27	0
xxx	G+V5	173,9	-1,05	-0,98	-1,22	-0,06	0
xxx	G+V6	175,25	-1,38	-0,31	-1,4	0,34	0
xxx	G+V7	179,48	-1,73	3,5	-1,56	2,62	0
xxx	G+V8	178,13	-1,4	2,83	-1,38	2,22	0
xxx	G+Q+0,6*V1	209,888	-2,454	1,802	-2,244	1,78	0
xxx	G+Q+0,6*V2	209,816	-2,442	1,766	-2,238	1,756	0
xxx	G+Q+0,6*V3	204,812	-1,446	1,718	-1,716	1,72	0
xxx	G+Q+0,6*V4	204,884	-1,458	1,754	-1,722	1,744	0
xxx	G+Q+0,6*V5	205,676	-1,746	0,416	-1,878	0,946	0
xxx	G+Q+0,6*V6	206,486	-1,944	0,818	-1,986	1,186	0
xxx	G+Q+0,6*V7	209,024	-2,154	3,104	-2,082	2,554	0
xxx	G+Q+0,6*V8	208,214	-1,956	2,702	-1,974	2,314	0
xxx	G+V1+0,7*Q	202,382	-2,622	1,68	-2,243	1,659	0
xxx	G+V2+0,7*Q	202,262	-2,602	1,62	-2,233	1,619	0
xxx	G+V3+0,7*Q	193,922	-0,942	1,54	-1,363	1,559	0
xxx	G+V4+0,7*Q	194,042	-0,962	1,6	-1,373	1,599	0
xxx	G+V5+0,7*Q	195,362	-1,442	-0,63	-1,633	0,269	0
xxx	G+V6+0,7*Q	196,712	-1,772	0,04	-1,813	0,669	0
xxx	G+V7+0,7*Q	200,942	-2,122	3,85	-1,973	2,949	0
xxx	G+V8+0,7*Q	199,592	-1,792	3,18	-1,793	2,549	0
xxx	G+Sx	187,038014	0,64828359	2,14617154	-0,30750289	1,8017279	0
xxx	G-Sx	166,341986	-3,42828359	0,37382846	-2,47249711	0,7582721	0
xxx	G+Sy	181,252697	-0,55669333	2,21467272	-0,95388075	1,84124861	0
xxx	G-Sy	172,127303	-2,22330667	0,30532728	-1,82611925	0,71875139	0
xxx	G+Sx+0,3*Sy	188,406823	0,89827559	2,43257336	-0,17666711	1,97010248	0
xxx	G+Sx-0,3*Sy	185,669205	0,39829159	1,85976973	-0,43833866	1,63335332	0
xxx	G-Sx+0,3*Sy	167,710795	-3,17829159	0,66023027	-2,34166134	0,92664668	0
xxx	G-Sx-0,3*Sy	164,973177	-3,67827559	0,08742664	-2,60333289	0,58989752	0
xxx	G+Sy+0,3*Sx	184,357101	0,05479174	2,48052418	-0,62913162	1,99776698	0
xxx	G+Sy-0,3*Sx	178,148292	-1,16817841	1,94882126	-1,27862988	1,68473024	0
xxx	G-Sy+0,3*Sx	175,231708	-1,61182159	0,57117874	-1,50137012	0,87526976	0
xxx	G-Sy-0,3*Sx	169,022899	-2,83479174	0,03947582	-2,15086838	0,56223302	0
xxx	G+Sx+0,3*Q	196,236014	0,48028359	2,29617154	-0,48450289	1,9427279	0
xxx	G-Sx+0,3*Q	175,539986	-3,59628359	0,52382846	-2,64949711	0,8992721	0
xxx	G+Sy+0,3*Q	190,450697	-0,72469333	2,36467272	-1,13088075	1,98224861	0
xxx	G-Sy+0,3*Q	181,325303	-2,39130667	0,45532728	-2,00311925	0,85975139	0
xxx	G+Sx+0,3*Sy+0,3*Q	197,604823	0,73027559	2,58257336	-0,35366711	2,11110248	0
xxx	G+Sx-0,3*Sy+0,3*Q	194,867205	0,23029159	2,00976973	-0,61533866	1,77435332	0
xxx	G-Sx+0,3*Sy+0,3*Q	176,908795	-3,34629159	0,81023027	-2,51866134	1,06764668	0
xxx	G-Sx-0,3*Sy+0,3*Q	174,171177	-3,84627559	0,23742664	-2,78033289	0,73089752	0
xxx	G+Sy+0,3*Sx+0,3*Q	193,555101	-0,11320826	2,63052418	-0,80613162	2,13876698	0
xxx	G+Sy-0,3*Sx+0,3*Q	187,346292	-1,33617841	2,09882126	-1,45562988	1,82573024	0
xxx	G-Sy+0,3*Sx+0,3*Q	184,429708	-1,77982159	0,72117874	-1,67837012	1,01626976	0
xxx	G-Sy-0,3*Sx+0,3*Q	178,220899	-3,00279174	0,18947582	-2,32786838	0,70323302	0

xxx	G+BOMB	176,49	-1,39	1,37	-1,39	1,35	0
xxx	G+BOMB+0,5*Q	191,82	-1,67	1,62	-1,685	1,585	0
xxx	G+BOMB+0,5*V1	178,605	-1,81	1,405	-1,61	1,375	0
xxx	G+BOMB+0,5*V2	178,545	-1,8	1,375	-1,605	1,355	0
xxx	G+BOMB+0,5*V3	174,375	-0,97	1,335	-1,17	1,325	0
xxx	G+BOMB+0,5*V4	174,435	-0,98	1,365	-1,175	1,345	0
xxx	G+BOMB+0,5*V5	175,095	-1,22	0,25	-1,305	0,68	0
xxx	G+BOMB+0,5*V6	175,77	-1,385	0,585	-1,395	0,88	0
xxx	G+BOMB+0,5*V7	177,885	-1,56	2,49	-1,475	2,02	0
xxx	G+BOMB+0,5*V8	177,21	-1,395	2,155	-1,385	1,82	0
xxx	G+BOMB+0,5*V1+0,3*Q	187,803	-1,978	1,555	-1,787	1,516	0
xxx	G+BOMB+0,5*V2+0,3*Q	187,743	-1,968	1,525	-1,782	1,496	0
xxx	G+BOMB+0,5*V3+0,3*Q	183,573	-1,138	1,485	-1,347	1,466	0
xxx	G+BOMB+0,5*V4+0,3*Q	183,633	-1,148	1,515	-1,352	1,486	0
xxx	G+BOMB+0,5*V5+0,3*Q	184,293	-1,388	0,4	-1,482	0,821	0
xxx	G+BOMB+0,5*V6+0,3*Q	184,968	-1,553	0,735	-1,572	1,021	0
xxx	G+BOMB+0,5*V7+0,3*Q	187,083	-1,728	2,64	-1,652	2,161	0
xxx	G+BOMB+0,5*V8+0,3*Q	186,408	-1,563	2,305	-1,562	1,961	0
P48	G	171,22	0,9	0,86	0,84	0,93	0
xxx	G+Q	215,01	1,19	1,22	1,05	1,26	0
xxx	G+V1	166,56	0,25	0,76	0,54	0,88	0
xxx	G+V2	166,65	0,29	0,81	0,56	0,9	0
xxx	G+V3	175,88	1,55	0,96	1,14	0,98	0
xxx	G+V4	175,79	1,51	0,91	1,12	0,96	0
xxx	G+V5	170,32	1,27	0,2	1,09	0,59	0
xxx	G+V6	169,36	0,89	-0,24	0,89	0,38	0
xxx	G+V7	172,12	0,53	1,52	0,59	1,27	0
xxx	G+V8	173,08	0,91	1,96	0,79	1,48	0
xxx	G+Q+0,6*V1	212,214	0,8	1,16	0,87	1,23	0
xxx	G+Q+0,6*V2	212,268	0,824	1,19	0,882	1,242	0
xxx	G+Q+0,6*V3	217,806	1,58	1,28	1,23	1,29	0
xxx	G+Q+0,6*V4	217,752	1,556	1,25	1,218	1,278	0
xxx	G+Q+0,6*V5	214,47	1,412	0,824	1,2	1,056	0
xxx	G+Q+0,6*V6	213,894	1,184	0,56	1,08	0,93	0
xxx	G+Q+0,6*V7	215,55	0,968	1,616	0,9	1,464	0
xxx	G+Q+0,6*V8	216,126	1,196	1,88	1,02	1,59	0
xxx	G+V1+0,7*Q	197,213	0,453	1,012	0,687	1,111	0
xxx	G+V2+0,7*Q	197,303	0,493	1,062	0,707	1,131	0
xxx	G+V3+0,7*Q	206,533	1,753	1,212	1,287	1,211	0
xxx	G+V4+0,7*Q	206,443	1,713	1,162	1,267	1,191	0
xxx	G+V5+0,7*Q	200,973	1,473	0,452	1,237	0,821	0
xxx	G+V6+0,7*Q	200,013	1,093	0,012	1,037	0,611	0
xxx	G+V7+0,7*Q	202,773	0,733	1,772	0,737	1,501	0
xxx	G+V8+0,7*Q	203,733	1,113	2,212	0,937	1,711	0
xxx	G+Sx	178,41112	1,90767058	1,28473521	1,2954119	1,1418962	0
xxx	G-Sx	164,02888	-0,10767058	0,43526479	0,3845881	0,7181038	0
xxx	G+Sy	176,932364	1,55352888	1,33402532	1,1205352	1,15405357	0
xxx	G-Sy	165,507636	0,24647112	0,38597468	0,5594648	0,70594643	0
xxx	G+Sx+0,3*Sy	180,124829	2,10372925	1,42694281	1,37957246	1,20911227	0
xxx	G+Sx-0,3*Sy	176,69741	1,71161192	1,14252762	1,21125134	1,07468013	0
xxx	G-Sx+0,3*Sy	165,74259	0,08838808	0,57747238	0,46874866	0,78531987	0
xxx	G-Sx-0,3*Sy	162,315171	-0,30372925	0,29305719	0,30042754	0,65088773	0
xxx	G+Sy+0,3*Sx	179,0897	1,85583006	1,46144588	1,25715877	1,21762243	0
xxx	G+Sy-0,3*Sx	174,775028	1,25122771	1,20660475	0,98391163	1,0904847	0
xxx	G-Sy+0,3*Sx	167,664972	0,54877229	0,51339525	0,69608837	0,7695153	0
xxx	G-Sy-0,3*Sx	163,3503	-0,05583006	0,25855412	0,42284123	0,64237757	0
xxx	G+Sx+0,3*Q	191,54812	1,99467058	1,39273521	1,3584119	1,2408962	0
xxx	G-Sx+0,3*Q	177,16588	-0,02067058	0,54326479	0,4475881	0,8171038	0
xxx	G+Sy+0,3*Q	190,069364	1,64052888	1,44202532	1,1835352	1,25305357	0
xxx	G-Sy+0,3*Q	178,644636	0,33347112	0,49397468	0,6224648	0,80494643	0

xxx	G+Sx+0,3*Sy+0,3*Q	193,261829	2,19072925	1,53494281	1,44257246	1,30811227	0
xxx	G+Sx-0,3*Sy+0,3*Q	189,83441	1,79861192	1,25052762	1,27425134	1,17368013	0
xxx	G-Sx+0,3*Sy+0,3*Q	178,87959	0,17538808	0,68547238	0,53174866	0,88431987	0
xxx	G-Sx-0,3*Sy+0,3*Q	175,452171	-0,21672925	0,40105719	0,36342754	0,74988773	0
xxx	G+Sy+0,3*Sx+0,3*Q	192,2267	1,94283006	1,56944588	1,32015877	1,31662243	0
xxx	G+Sy-0,3*Sx+0,3*Q	187,912028	1,33822771	1,31460475	1,04691163	1,1894847	0
xxx	G-Sy+0,3*Sx+0,3*Q	180,801972	0,63577229	0,62139525	0,75908837	0,8685153	0
xxx	G-Sy-0,3*Sx+0,3*Q	176,4873	0,03116994	0,36655412	0,48584123	0,74137757	0
xxx	G+BOMB	170,08	1,01	1,25	0,89	1,14	0
xxx	G+BOMB+0,5*Q	191,975	1,155	1,43	0,995	1,305	0
xxx	G+BOMB+0,5*V1	167,75	0,685	1,2	0,74	1,115	0
xxx	G+BOMB+0,5*V2	167,795	0,705	1,225	0,75	1,125	0
xxx	G+BOMB+0,5*V3	172,41	1,335	1,3	1,04	1,165	0
xxx	G+BOMB+0,5*V4	172,365	1,315	1,275	1,03	1,155	0
xxx	G+BOMB+0,5*V5	169,63	1,195	0,92	1,015	0,97	0
xxx	G+BOMB+0,5*V6	169,15	1,005	0,7	0,915	0,865	0
xxx	G+BOMB+0,5*V7	170,53	0,825	1,58	0,765	1,31	0
xxx	G+BOMB+0,5*V8	171,01	1,015	1,8	0,865	1,415	0
xxx	G+BOMB+0,5*V1+0,3*Q	180,887	0,772	1,308	0,803	1,214	0
xxx	G+BOMB+0,5*V2+0,3*Q	180,932	0,792	1,333	0,813	1,224	0
xxx	G+BOMB+0,5*V3+0,3*Q	185,547	1,422	1,408	1,103	1,264	0
xxx	G+BOMB+0,5*V4+0,3*Q	185,502	1,402	1,383	1,093	1,254	0
xxx	G+BOMB+0,5*V5+0,3*Q	182,767	1,282	1,028	1,078	1,069	0
xxx	G+BOMB+0,5*V6+0,3*Q	182,287	1,092	0,808	0,978	0,964	0
xxx	G+BOMB+0,5*V7+0,3*Q	183,667	0,912	1,688	0,828	1,409	0
xxx	G+BOMB+0,5*V8+0,3*Q	184,147	1,102	1,908	0,928	1,514	0
P49	G	189,32	0,07	1,34	0,02	1,47	0
xxx	G+Q	250,83	0,16	2,03	0,08	2,11	0
xxx	G+V1	187,91	-0,25	1,2	-0,19	1,4	0
xxx	G+V2	187,75	-0,23	1,26	-0,18	1,42	0
xxx	G+V3	190,73	0,39	1,48	0,23	1,54	0
xxx	G+V4	190,89	0,37	1,42	0,22	1,52	0
xxx	G+V5	192,67	0,22	0,16	0,13	1,01	0
xxx	G+V6	194,05	0,05	-0,43	0,01	0,78	0
xxx	G+V7	185,97	-0,08	2,52	-0,09	1,93	0
xxx	G+V8	184,59	0,09	3,11	0,03	2,16	0
xxx	G+Q+0,6*V1	249,984	-0,032	1,946	-0,046	2,068	0
xxx	G+Q+0,6*V2	249,888	-0,02	1,982	-0,04	2,08	0
xxx	G+Q+0,6*V3	251,676	0,352	2,114	0,206	2,152	0
xxx	G+Q+0,6*V4	251,772	0,34	2,078	0,2	2,14	0
xxx	G+Q+0,6*V5	252,84	0,25	1,322	0,146	1,834	0
xxx	G+Q+0,6*V6	253,668	0,148	0,968	0,074	1,696	0
xxx	G+Q+0,6*V7	248,82	0,07	2,738	0,014	2,386	0
xxx	G+Q+0,6*V8	247,992	0,172	3,092	0,086	2,524	0
xxx	G+V1+0,7*Q	230,967	-0,187	1,683	-0,148	1,848	0
xxx	G+V2+0,7*Q	230,807	-0,167	1,743	-0,138	1,868	0
xxx	G+V3+0,7*Q	233,787	0,453	1,963	0,272	1,988	0
xxx	G+V4+0,7*Q	233,947	0,433	1,903	0,262	1,968	0
xxx	G+V5+0,7*Q	235,727	0,283	0,643	0,172	1,458	0
xxx	G+V6+0,7*Q	237,107	0,113	0,053	0,052	1,228	0
xxx	G+V7+0,7*Q	229,027	-0,017	3,003	-0,048	2,378	0
xxx	G+V8+0,7*Q	227,647	0,153	3,593	0,072	2,608	0
xxx	G+Sx	192,23527	0,56426713	1,96056426	0,34572995	1,71207437	0
xxx	G-Sx	186,40473	-0,42426713	0,71943574	-0,30572995	1,22792563	0
xxx	G+Sy	192,967328	0,39233523	2,07198361	0,23213203	1,73683328	0
xxx	G-Sy	185,672672	-0,25233523	0,60801639	-0,19213203	1,20316672	0
xxx	G+Sx+0,3*Sy	193,329468	0,6609677	2,18015934	0,40936956	1,79212435	0
xxx	G+Sx-0,3*Sy	191,141072	0,46756657	1,74096918	0,28209034	1,63202438	0
xxx	G-Sx+0,3*Sy	187,498928	-0,32756657	0,93903082	-0,24209034	1,30797562	0
xxx	G-Sx-0,3*Sy	185,310532	-0,5209677	0,49984066	-0,36936956	1,14787565	0

xxx	G+Sy+0,3*Sx	193,841909	0,54061537	2,25815288	0,32985102	1,80945559	0
xxx	G+Sy-0,3*Sx	192,092747	0,24405509	1,88581433	0,13441305	1,66421097	0
xxx	G-Sy+0,3*Sx	186,547253	-0,10405509	0,79418567	-0,09441305	1,27578903	0
xxx	G-Sy-0,3*Sx	184,798091	-0,40061537	0,42184712	-0,28985102	1,13054441	0
xxx	G+Sx+0,3*Q	210,68827	0,59126713	2,16756426	0,36372995	1,90407437	0
xxx	G-Sx+0,3*Q	204,85773	-0,39726713	0,92643574	-0,28772995	1,41992563	0
xxx	G+Sy+0,3*Q	211,420328	0,41933523	2,27898361	0,25013203	1,92883328	0
xxx	G-Sy+0,3*Q	204,125672	-0,22533523	0,81501639	-0,17413203	1,39516672	0
xxx	G+Sx+0,3*Sy+0,3*Q	211,782468	0,6879677	2,38715934	0,42736956	1,98412435	0
xxx	G+Sx-0,3*Sy+0,3*Q	209,594072	0,49456657	1,94796918	0,30009034	1,82402438	0
xxx	G-Sx+0,3*Sy+0,3*Q	205,951928	-0,30056657	1,14603082	-0,22409034	1,49997562	0
xxx	G-Sx-0,3*Sy+0,3*Q	203,763532	-0,4939677	0,70684066	-0,35136956	1,33987565	0
xxx	G+Sy+0,3*Sx+0,3*Q	212,294909	0,56761537	2,46515288	0,34785102	2,00145559	0
xxx	G+Sy-0,3*Sx+0,3*Q	210,545747	0,27105509	2,09281433	0,15241305	1,85621097	0
xxx	G-Sy+0,3*Sx+0,3*Q	205,000253	-0,07705509	1,00118567	-0,07641305	1,46778903	0
xxx	G-Sy-0,3*Sx+0,3*Q	203,251091	-0,37361537	0,62884712	-0,27185102	1,32254441	0
xxx	G+BOMB	187,37	0,11	1,97	0,05	1,77	0
xxx	G+BOMB+0,5*Q	218,125	0,155	2,315	0,08	2,09	0
xxx	G+BOMB+0,5*V1	186,665	-0,05	1,9	-0,055	1,735	0
xxx	G+BOMB+0,5*V2	186,585	-0,04	1,93	-0,05	1,745	0
xxx	G+BOMB+0,5*V3	188,075	0,27	2,04	0,155	1,805	0
xxx	G+BOMB+0,5*V4	188,155	0,26	2,01	0,15	1,795	0
xxx	G+BOMB+0,5*V5	189,045	0,185	1,38	0,105	1,54	0
xxx	G+BOMB+0,5*V6	189,735	0,1	1,085	0,045	1,425	0
xxx	G+BOMB+0,5*V7	185,695	0,035	2,56	-0,005	2	0
xxx	G+BOMB+0,5*V8	185,005	0,12	2,855	0,055	2,115	0
xxx	G+BOMB+0,5*V1+0,3*Q	205,118	-0,023	2,107	-0,037	1,927	0
xxx	G+BOMB+0,5*V2+0,3*Q	205,038	-0,013	2,137	-0,032	1,937	0
xxx	G+BOMB+0,5*V3+0,3*Q	206,528	0,297	2,247	0,173	1,997	0
xxx	G+BOMB+0,5*V4+0,3*Q	206,608	0,287	2,217	0,168	1,987	0
xxx	G+BOMB+0,5*V5+0,3*Q	207,498	0,212	1,587	0,123	1,732	0
xxx	G+BOMB+0,5*V6+0,3*Q	208,188	0,127	1,292	0,063	1,617	0
xxx	G+BOMB+0,5*V7+0,3*Q	204,148	0,062	2,767	0,013	2,192	0
xxx	G+BOMB+0,5*V8+0,3*Q	203,458	0,147	3,062	0,073	2,307	0
P50	G	303,34	-4,93	9,88	-5,72	10,86	0
xxx	G+Q	376,1	-5,66	13,19	-6,7	14,24	0
xxx	G+V1	304,81	-6,13	9,82	-6,34	10,85	0
xxx	G+V2	304,81	-6,06	9,88	-6,3	10,88	0
xxx	G+V3	301,87	-3,73	9,94	-5,1	10,87	0
xxx	G+V4	301,87	-3,8	9,88	-5,14	10,84	0
xxx	G+V5	301,93	-4,32	6,23	-5,32	9,08	-0,01
xxx	G+V6	302,1	-5,02	5,67	-5,73	8,81	0
xxx	G+V7	304,75	-5,54	13,53	-6,12	12,64	0,01
xxx	G+V8	304,58	-4,84	14,09	-5,71	12,91	0
xxx	G+Q+0,6*V1	376,982	-6,38	13,154	-7,072	14,234	0
xxx	G+Q+0,6*V2	376,982	-6,338	13,19	-7,048	14,252	0
xxx	G+Q+0,6*V3	375,218	-4,94	13,226	-6,328	14,246	0
xxx	G+Q+0,6*V4	375,218	-4,982	13,19	-6,352	14,228	0
xxx	G+Q+0,6*V5	375,254	-5,294	11	-6,46	13,172	-0,006
xxx	G+Q+0,6*V6	375,356	-5,714	10,664	-6,706	13,01	0
xxx	G+Q+0,6*V7	376,946	-6,026	15,38	-6,94	15,308	0,006
xxx	G+Q+0,6*V8	376,844	-5,606	15,716	-6,694	15,47	0
xxx	G+V1+0,7*Q	355,742	-6,641	12,137	-7,026	13,216	0
xxx	G+V2+0,7*Q	355,742	-6,571	12,197	-6,986	13,246	0
xxx	G+V3+0,7*Q	352,802	-4,241	12,257	-5,786	13,236	0
xxx	G+V4+0,7*Q	352,802	-4,311	12,197	-5,826	13,206	0
xxx	G+V5+0,7*Q	352,862	-4,831	8,547	-6,006	11,446	-0,01
xxx	G+V6+0,7*Q	353,032	-5,531	7,987	-6,416	11,176	0
xxx	G+V7+0,7*Q	355,682	-6,051	15,847	-6,806	15,006	0,01
xxx	G+V8+0,7*Q	355,512	-5,351	16,407	-6,396	15,276	0

xxx	G+Sx	305,412559	-3,07317475	11,0296956	-4,76511781	11,4036911	0,01
xxx	G-Sx	301,267441	-6,78682525	8,73030439	-6,67488219	10,3163089	-0,01
xxx	G+Sy	305,219867	-3,71065591	11,5365929	-5,11	11,6705554	0
xxx	G-Sy	301,460133	-6,14934409	8,22340711	-6,33	10,0494446	0
xxx	G+Sx+0,3*Sy	305,976519	-2,70737153	11,5266735	-4,58211781	11,6468577	0,01
xxx	G+Sx-0,3*Sy	304,848599	-3,43897798	10,5327177	-4,94811781	11,1605245	0,01
xxx	G-Sx+0,3*Sy	301,831401	-6,42102202	9,22728225	-6,49188219	10,5594755	-0,01
xxx	G-Sx-0,3*Sy	300,703481	-7,15262847	8,23332652	-6,85788219	10,0731423	-0,01
xxx	G+Sy+0,3*Sx	305,841635	-3,15360834	11,8815016	-4,82353534	11,8336627	0,003
xxx	G+Sy-0,3*Sx	304,598099	-4,26770349	11,1916842	-5,39646466	11,507448	-0,003
xxx	G-Sy+0,3*Sx	302,081901	-5,59229651	8,56831579	-6,04353534	10,212552	0,003
xxx	G-Sy-0,3*Sx	300,838365	-6,70639166	7,87849843	-6,61646466	9,88633731	-0,003
xxx	G+Sx+0,3*Q	327,240559	-3,29217475	12,0226956	-5,05911781	12,4176911	0,01
xxx	G-Sx+0,3*Q	323,095441	-7,00582525	9,72330439	-6,96888219	11,3303089	-0,01
xxx	G+Sy+0,3*Q	327,047867	-3,92965591	12,5295929	-5,404	12,6845554	0
xxx	G-Sy+0,3*Q	323,288133	-6,36834409	9,21640711	-6,624	11,0634446	0
xxx	G+Sx+0,3*Sy+0,3*Q	327,804519	-2,92637153	12,5196735	-4,87611781	12,6608577	0,01
xxx	G+Sx-0,3*Sy+0,3*Q	326,676599	-3,65797798	11,5257177	-5,24211781	12,1745245	0,01
xxx	G-Sx+0,3*Sy+0,3*Q	323,659401	-6,64002202	10,2202823	-6,78588219	11,5734755	-0,01
xxx	G-Sx-0,3*Sy+0,3*Q	322,531481	-7,37162847	9,22632652	-7,15188219	11,0871423	-0,01
xxx	G+Sy+0,3*Sx+0,3*Q	327,669635	-3,37260834	12,8745016	-5,11753534	12,8476627	0,003
xxx	G+Sy-0,3*Sx+0,3*Q	326,426099	-4,48670349	12,1846842	-5,69046466	12,521448	-0,003
xxx	G-Sy+0,3*Sx+0,3*Q	323,909901	-5,81129651	9,56131579	-6,33753534	11,226552	0,003
xxx	G-Sy-0,3*Sx+0,3*Q	322,666365	-6,92539166	8,87149843	-6,91046466	10,9003373	-0,003
xxx	G+BOMB	301,41	-4,7	10,99	-5,57	11,39	0
xxx	G+BOMB+0,5*Q	337,79	-5,065	12,645	-6,06	13,08	0
xxx	G+BOMB+0,5*V1	302,145	-5,3	10,96	-5,88	11,385	0
xxx	G+BOMB+0,5*V2	302,145	-5,265	10,99	-5,86	11,4	0
xxx	G+BOMB+0,5*V3	300,675	-4,1	11,02	-5,26	11,395	0
xxx	G+BOMB+0,5*V4	300,675	-4,135	10,99	-5,28	11,38	0
xxx	G+BOMB+0,5*V5	300,705	-4,395	9,165	-5,37	10,5	-0,005
xxx	G+BOMB+0,5*V6	300,79	-4,745	8,885	-5,575	10,365	0
xxx	G+BOMB+0,5*V7	302,115	-5,005	12,815	-5,77	12,28	0,005
xxx	G+BOMB+0,5*V8	302,03	-4,655	13,095	-5,565	12,415	0
xxx	G+BOMB+0,5*V1+0,3*Q	323,973	-5,519	11,953	-6,174	12,399	0
xxx	G+BOMB+0,5*V2+0,3*Q	323,973	-5,484	11,983	-6,154	12,414	0
xxx	G+BOMB+0,5*V3+0,3*Q	322,503	-4,319	12,013	-5,554	12,409	0
xxx	G+BOMB+0,5*V4+0,3*Q	322,503	-4,354	11,983	-5,574	12,394	0
xxx	G+BOMB+0,5*V5+0,3*Q	322,533	-4,614	10,158	-5,664	11,514	-0,005
xxx	G+BOMB+0,5*V6+0,3*Q	322,618	-4,964	9,878	-5,869	11,379	0
xxx	G+BOMB+0,5*V7+0,3*Q	323,943	-5,224	13,808	-6,064	13,294	0,005
xxx	G+BOMB+0,5*V8+0,3*Q	323,858	-4,874	14,088	-5,859	13,429	0
P51	G	299,1	0,3	1,88	-0,01	1,94	0
xxx	G+Q	370,82	0,44	3,13	-0,08	3	0
xxx	G+V1	294,88	-1,21	1,91	-0,75	1,95	0
xxx	G+V2	294,93	-1,12	1,9	-0,7	1,95	0
xxx	G+V3	303,32	1,81	1,85	0,73	1,93	0
xxx	G+V4	303,27	1,72	1,86	0,68	1,93	0
xxx	G+V5	304,09	1,08	-1,56	0,49	0,84	-0,01
xxx	G+V6	303,59	0,2	-1,5	-0,01	0,86	0,01
xxx	G+V7	294,11	-0,48	5,32	-0,51	3,04	0,01
xxx	G+V8	294,61	0,4	5,26	-0,01	3,02	-0,01
xxx	G+Q+0,6*V1	368,288	-0,466	3,148	-0,524	3,006	0
xxx	G+Q+0,6*V2	368,318	-0,412	3,142	-0,494	3,006	0
xxx	G+Q+0,6*V3	373,352	1,346	3,112	0,364	2,994	0
xxx	G+Q+0,6*V4	373,322	1,292	3,118	0,334	2,994	0
xxx	G+Q+0,6*V5	373,814	0,908	1,066	0,22	2,34	-0,006
xxx	G+Q+0,6*V6	373,514	0,38	1,102	-0,08	2,352	0,006
xxx	G+Q+0,6*V7	367,826	-0,028	5,194	-0,38	3,66	0,006
xxx	G+Q+0,6*V8	368,126	0,5	5,158	-0,08	3,648	-0,006

xxx	G+V1+0,7*Q	345,084	-1,112	2,785	-0,799	2,692	0
xxx	G+V2+0,7*Q	345,134	-1,022	2,775	-0,749	2,692	0
xxx	G+V3+0,7*Q	353,524	1,908	2,725	0,681	2,672	0
xxx	G+V4+0,7*Q	353,474	1,818	2,735	0,631	2,672	0
xxx	G+V5+0,7*Q	354,294	1,178	-0,685	0,441	1,582	-0,01
xxx	G+V6+0,7*Q	353,794	0,298	-0,625	-0,059	1,602	0,01
xxx	G+V7+0,7*Q	344,314	-0,382	6,195	-0,559	3,782	0,01
xxx	G+V8+0,7*Q	344,814	0,498	6,135	-0,059	3,762	-0,01
xxx	G+Sx	304,871724	2,65677746	2,85519229	1,15610463	2,23698485	0,01
xxx	G-Sx	293,328276	-2,05677746	0,90480771	-1,17610463	1,64301515	-0,01
xxx	G+Sy	305,108386	1,82813612	3,13813354	0,70812255	2,32065733	0
xxx	G-Sy	293,091614	-1,22813612	0,62186646	-0,72812255	1,55934267	0
xxx	G+Sx+0,3*Sy	306,67424	3,1152183	3,23263235	1,37154139	2,35118205	0,01
xxx	G+Sx-0,3*Sy	303,069208	2,19833662	2,47775223	0,94066786	2,12278765	0,01
xxx	G-Sx+0,3*Sy	295,130792	-1,59833662	1,28224777	-0,96066786	1,75721235	-0,01
xxx	G-Sx-0,3*Sy	291,52576	-2,5152183	0,52736765	-1,39154139	1,52881795	-0,01
xxx	G+Sy+0,3*Sx	306,839903	2,53516936	3,43069122	1,05795394	2,40975278	0,003
xxx	G+Sy-0,3*Sx	303,376869	1,12110288	2,84557585	0,35829116	2,23156187	-0,003
xxx	G-Sy+0,3*Sx	294,823131	-0,52110288	0,91442415	-0,37829116	1,64843813	0,003
xxx	G-Sy-0,3*Sx	291,360097	-1,93516936	0,32930878	-1,07795394	1,47024722	-0,003
xxx	G+Sx+0,3*Q	326,387724	2,69877746	3,23019229	1,13510463	2,55498485	0,01
xxx	G-Sx+0,3*Q	314,844276	-2,01477746	1,27980771	-1,19710463	1,96101515	-0,01
xxx	G+Sy+0,3*Q	326,624386	1,87013612	3,51313354	0,68712255	2,63865733	0
xxx	G-Sy+0,3*Q	314,607614	-1,18613612	0,99686646	-0,74912255	1,87734267	0
xxx	G+Sx+0,3*Sy+0,3*Q	328,19024	3,1572183	3,60763235	1,35054139	2,66918205	0,01
xxx	G+Sx-0,3*Sy+0,3*Q	324,585208	2,24033662	2,85275223	0,91966786	2,44078765	0,01
xxx	G-Sx+0,3*Sy+0,3*Q	316,646792	-1,55633662	1,65724777	-0,98166786	2,07521235	-0,01
xxx	G-Sx-0,3*Sy+0,3*Q	313,04176	-2,4732183	0,90236765	-1,41254139	1,84681795	-0,01
xxx	G+Sy+0,3*Sx+0,3*Q	328,355903	2,57716936	3,80569122	1,03695394	2,72775278	0,003
xxx	G+Sy-0,3*Sx+0,3*Q	324,892869	1,16310288	3,22057585	0,33729116	2,54956187	-0,003
xxx	G-Sy+0,3*Sx+0,3*Q	316,339131	-0,47910288	1,28942415	-0,39929116	1,96643813	0,003
xxx	G-Sy-0,3*Sx+0,3*Q	312,876097	-1,89316936	0,70430878	-1,09895394	1,78824722	-0,003
xxx	G+BOMB	297,33	0,49	2,79	0,06	2,3	0
xxx	G+BOMB+0,5*Q	333,19	0,56	3,415	0,025	2,83	0
xxx	G+BOMB+0,5*V1	295,22	-0,265	2,805	-0,31	2,305	0
xxx	G+BOMB+0,5*V2	295,245	-0,22	2,8	-0,285	2,305	0
xxx	G+BOMB+0,5*V3	299,44	1,245	2,775	0,43	2,295	0
xxx	G+BOMB+0,5*V4	299,415	1,2	2,78	0,405	2,295	0
xxx	G+BOMB+0,5*V5	299,825	0,88	1,07	0,31	1,75	-0,005
xxx	G+BOMB+0,5*V6	299,575	0,44	1,1	0,06	1,76	0,005
xxx	G+BOMB+0,5*V7	294,835	0,1	4,51	-0,19	2,85	0,005
xxx	G+BOMB+0,5*V8	295,085	0,54	4,48	0,06	2,84	-0,005
xxx	G+BOMB+0,5*V1+0,3*Q	316,736	-0,223	3,18	-0,331	2,623	0
xxx	G+BOMB+0,5*V2+0,3*Q	316,761	-0,178	3,175	-0,306	2,623	0
xxx	G+BOMB+0,5*V3+0,3*Q	320,956	1,287	3,15	0,409	2,613	0
xxx	G+BOMB+0,5*V4+0,3*Q	320,931	1,242	3,155	0,384	2,613	0
xxx	G+BOMB+0,5*V5+0,3*Q	321,341	0,922	1,445	0,289	2,068	-0,005
xxx	G+BOMB+0,5*V6+0,3*Q	321,091	0,482	1,475	0,039	2,078	0,005
xxx	G+BOMB+0,5*V7+0,3*Q	316,351	0,142	4,885	-0,211	3,168	0,005
xxx	G+BOMB+0,5*V8+0,3*Q	316,601	0,582	4,855	0,039	3,158	-0,005
P52	G	251,47	1,7	7,12	1,37	7,34	0
xxx	G+Q	312,38	2,47	12,8	2,02	12,9	0
xxx	G+V1	256,71	-0,52	7,94	0,1	7,82	0
xxx	G+V2	256,79	-0,46	7,48	0,14	7,58	0
xxx	G+V3	246,23	3,92	6,3	2,64	6,86	0
xxx	G+V4	246,15	3,86	6,76	2,6	7,1	0
xxx	G+V5	256,6	1,98	-17,01	1,55	-4,96	-0,02
xxx	G+V6	255,81	1,4	-12,45	1,17	-2,63	0,01
xxx	G+V7	246,34	1,42	31,25	1,19	19,64	0,02
xxx	G+V8	247,13	2	26,69	1,57	17,31	-0,01

xxx	G+Q+0,6*V1	315,524	1,138	13,292	1,258	13,188	0
xxx	G+Q+0,6*V2	315,572	1,174	13,016	1,282	13,044	0
xxx	G+Q+0,6*V3	309,236	3,802	12,308	2,782	12,612	0
xxx	G+Q+0,6*V4	309,188	3,766	12,584	2,758	12,756	0
xxx	G+Q+0,6*V5	315,458	2,638	-1,678	2,128	5,52	-0,012
xxx	G+Q+0,6*V6	314,984	2,29	1,058	1,9	6,918	0,006
xxx	G+Q+0,6*V7	309,302	2,302	27,278	1,912	20,28	0,012
xxx	G+Q+0,6*V8	309,776	2,65	24,542	2,14	18,882	-0,006
xxx	G+V1+0,7*Q	299,347	0,019	11,916	0,555	11,712	0
xxx	G+V2+0,7*Q	299,427	0,079	11,456	0,595	11,472	0
xxx	G+V3+0,7*Q	288,867	4,459	10,276	3,095	10,752	0
xxx	G+V4+0,7*Q	288,787	4,399	10,736	3,055	10,992	0
xxx	G+V5+0,7*Q	299,237	2,519	-13,034	2,005	-1,068	-0,02
xxx	G+V6+0,7*Q	298,447	1,939	-8,474	1,625	1,262	0,01
xxx	G+V7+0,7*Q	288,977	1,959	35,226	1,645	23,532	0,02
xxx	G+V8+0,7*Q	289,767	2,539	30,666	2,025	21,202	-0,01
xxx	G+Sx	260,796253	5,24760483	15,2572047	3,36629657	11,4190563	0,0244949
xxx	G-Sx	242,143747	-1,84760483	-1,01720468	-0,62629657	3,26094374	-0,0244949
xxx	G+Sy	259,289859	4,32973383	14,5834978	2,822756	11,1096419	0,01732051
xxx	G-Sy	243,650141	-0,92973383	-0,34349784	-0,082756	3,57035811	-0,01732051
xxx	G+Sx+0,3*Sy	263,142211	6,03652497	17,496254	3,80212337	12,5499488	0,02969105
xxx	G+Sx-0,3*Sy	258,450295	4,45868468	13,0181553	2,93046977	10,2881637	0,01929875
xxx	G-Sx+0,3*Sy	244,489705	-1,05868468	1,22184467	-0,19046977	4,3918363	-0,01929875
xxx	G-Sx-0,3*Sy	239,797789	-2,63652497	-3,25625403	-1,06212337	2,13005117	-0,02969105
xxx	G+Sy+0,3*Sx	262,087735	5,39401527	17,0246592	3,42164497	12,3333588	0,02466898
xxx	G+Sy-0,3*Sx	256,491983	3,26545238	12,1423364	2,22386703	9,88592501	0,00997204
xxx	G-Sy+0,3*Sx	246,448017	0,13454762	2,09766356	0,51613297	4,79407499	-0,00997204
xxx	G-Sy-0,3*Sx	240,852265	-1,99401527	-2,78465924	-0,68164497	2,34664123	-0,02466898
xxx	G+Sx+0,3*Q	279,069253	5,47860483	16,9612047	3,56129657	13,0870563	0,0244949
xxx	G-Sx+0,3*Q	260,416747	-1,61660483	0,68679532	-0,43129657	4,92894374	-0,0244949
xxx	G+Sy+0,3*Q	277,562859	4,56073383	16,2874978	3,017756	12,7776419	0,01732051
xxx	G-Sy+0,3*Q	261,923141	-0,69873383	1,36050216	0,112244	5,23835811	-0,01732051
xxx	G+Sx+0,3*Sy+0,3*Q	281,415211	6,26752497	19,200254	3,99712337	14,2179488	0,02969105
xxx	G+Sx-0,3*Sy+0,3*Q	276,723295	4,68968468	14,7221553	3,12546977	11,9561637	0,01929875
xxx	G-Sx+0,3*Sy+0,3*Q	262,762705	-0,82768468	2,92584467	0,00453023	6,0598363	-0,01929875
xxx	G-Sx-0,3*Sy+0,3*Q	258,070789	-2,40552497	-1,55225403	-0,86712337	3,79805117	-0,02969105
xxx	G+Sy+0,3*Sx+0,3*Q	280,360735	5,62501527	18,7286592	3,61664497	14,0013588	0,02466898
xxx	G+Sy-0,3*Sx+0,3*Q	274,764983	3,49645238	13,8463364	2,41886703	11,553925	0,00997204
xxx	G-Sy+0,3*Sx+0,3*Q	264,721017	0,36554762	3,80166356	0,71113297	6,46207499	-0,00997204
xxx	G-Sy-0,3*Sx+0,3*Q	259,125265	-1,76301527	-1,08065924	-0,48664497	4,01464123	-0,02466898
xxx	G+BOMB	251,6	1,95	10,02	1,53	8,94	-0,01
xxx	G+BOMB+0,5*Q	282,055	2,335	12,86	1,855	11,72	-0,01
xxx	G+BOMB+0,5*V1	254,22	0,84	10,43	0,895	9,18	-0,01
xxx	G+BOMB+0,5*V2	254,26	0,87	10,2	0,915	9,06	-0,01
xxx	G+BOMB+0,5*V3	248,98	3,06	9,61	2,165	8,7	-0,01
xxx	G+BOMB+0,5*V4	248,94	3,03	9,84	2,145	8,82	-0,01
xxx	G+BOMB+0,5*V5	254,165	2,09	-2,045	1,62	2,79	-0,02
xxx	G+BOMB+0,5*V6	253,77	1,8	0,235	1,43	3,955	-0,005
xxx	G+BOMB+0,5*V7	249,035	1,81	22,085	1,44	15,09	0
xxx	G+BOMB+0,5*V8	249,43	2,1	19,805	1,63	13,925	-0,015
xxx	G+BOMB+0,5*V1+0,3*Q	272,493	1,071	12,134	1,09	10,848	-0,01
xxx	G+BOMB+0,5*V2+0,3*Q	272,533	1,101	11,904	1,11	10,728	-0,01
xxx	G+BOMB+0,5*V3+0,3*Q	267,253	3,291	11,314	2,36	10,368	-0,01
xxx	G+BOMB+0,5*V4+0,3*Q	267,213	3,261	11,544	2,34	10,488	-0,01
xxx	G+BOMB+0,5*V5+0,3*Q	272,438	2,321	-0,341	1,815	4,458	-0,02
xxx	G+BOMB+0,5*V6+0,3*Q	272,043	2,031	1,939	1,625	5,623	-0,005
xxx	G+BOMB+0,5*V7+0,3*Q	267,308	2,041	23,789	1,635	16,758	0
xxx	G+BOMB+0,5*V8+0,3*Q	267,703	2,331	21,509	1,825	15,593	-0,015
P53	G	286,57	-7,88	0,77	-9,75	0,62	0
xxx	G+Q	360,77	-10,5	1,46	-13,07	1,11	0

xxx	G+V1	286,01	-12,61	1,58	-12,3	1,16	0
xxx	G+V2	285,91	-12,39	1,11	-12,18	0,86	0
xxx	G+V3	287,13	-3,15	-0,04	-7,2	0,08	0
xxx	G+V4	287,23	-3,37	0,43	-7,32	0,38	0
xxx	G+V5	282,29	-6,53	-14,61	-8,89	-9,05	-0,02
xxx	G+V6	283,2	-8,61	-9,96	-10,11	-6,13	0,01
xxx	G+V7	290,85	-9,23	16,15	-10,61	10,29	0,02
xxx	G+V8	289,94	-7,15	11,5	-9,39	7,37	-0,01
xxx	G+Q+0,6*V1	360,434	-13,338	1,946	-14,6	1,434	0
xxx	G+Q+0,6*V2	360,374	-13,206	1,664	-14,528	1,254	0
xxx	G+Q+0,6*V3	361,106	-7,662	0,974	-11,54	0,786	0
xxx	G+Q+0,6*V4	361,166	-7,794	1,256	-11,612	0,966	0
xxx	G+Q+0,6*V5	358,202	-9,69	-7,768	-12,554	-4,692	-0,012
xxx	G+Q+0,6*V6	358,748	-10,938	-4,978	-13,286	-2,94	0,006
xxx	G+Q+0,6*V7	363,338	-11,31	10,688	-13,586	6,912	0,012
xxx	G+Q+0,6*V8	362,792	-10,062	7,898	-12,854	5,16	-0,006
xxx	G+V1+0,7*Q	337,95	-14,444	2,063	-14,624	1,503	0
xxx	G+V2+0,7*Q	337,85	-14,224	1,593	-14,504	1,203	0
xxx	G+V3+0,7*Q	339,07	-4,984	0,443	-9,524	0,423	0
xxx	G+V4+0,7*Q	339,17	-5,204	0,913	-9,644	0,723	0
xxx	G+V5+0,7*Q	334,23	-8,364	-14,127	-11,214	-8,707	-0,02
xxx	G+V6+0,7*Q	335,14	-10,444	-9,477	-12,434	-5,787	0,01
xxx	G+V7+0,7*Q	342,79	-11,064	16,633	-12,934	10,633	0,02
xxx	G+V8+0,7*Q	341,88	-8,984	11,983	-11,714	7,713	-0,01
xxx	G+Sx	289,57887	-0,47077602	6,82798646	-5,78881331	4,38742618	0,0244949
xxx	G-Sx	283,56113	-15,289224	-5,28798646	-13,7111867	-3,14742618	-0,0244949
xxx	G+Sy	288,905509	-2,73468174	5,08024361	-7,04498614	3,31788806	0,01732051
xxx	G-Sy	284,234491	-13,0253183	-3,54024361	-12,4550139	-2,07788806	-0,01732051
xxx	G+Sx+0,3*Sy	290,279523	1,07281946	8,12105955	-4,97730915	5,1967926	0,02969105
xxx	G+Sx-0,3*Sy	288,878218	-2,0143715	5,53491338	-6,60031747	3,57805976	0,01929875
xxx	G-Sx+0,3*Sy	284,261782	-13,7456285	-3,99491338	-12,8996825	-2,33805976	-0,01929875
xxx	G-Sx-0,3*Sy	282,860477	-16,8328195	-6,58105955	-14,5226908	-3,9567926	-0,02969105
xxx	G+Sy+0,3*Sx	289,80817	-0,51191455	6,89763955	-5,85663013	4,44811592	0,02466898
xxx	G+Sy-0,3*Sx	288,002847	-4,95744893	3,26284767	-8,23334214	2,18766021	0,00997204
xxx	G-Sy+0,3*Sx	285,137153	-10,8025511	-1,72284767	-11,2666579	-0,94766021	-0,00997204
xxx	G-Sy-0,3*Sx	283,33183	-15,2480855	-5,35763955	-13,6433699	-3,20811592	-0,02466898
xxx	G+Sx+0,3*Q	311,83887	-1,25677602	7,03498646	-6,78481331	4,53442618	0,0244949
xxx	G-Sx+0,3*Q	305,82113	-16,075224	-5,08098646	-14,7071867	-3,00042618	-0,0244949
xxx	G+Sy+0,3*Q	311,165509	-3,52068174	5,28724361	-8,04098614	3,46488806	0,01732051
xxx	G-Sy+0,3*Q	306,494491	-13,8113183	-3,33324361	-13,4510139	-1,93088806	-0,01732051
xxx	G+Sx+0,3*Sy+0,3*Q	312,539523	0,28681946	8,32805955	-5,97330915	5,3437926	0,02969105
xxx	G+Sx-0,3*Sy+0,3*Q	311,138218	-2,8003715	5,74191338	-7,59631747	3,72505976	0,01929875
xxx	G-Sx+0,3*Sy+0,3*Q	306,521782	-14,5316285	-3,78791338	-13,8956825	-2,19105976	-0,01929875
xxx	G-Sx-0,3*Sy+0,3*Q	305,120477	-17,6188195	-6,37405955	-15,5186908	-3,8097926	-0,02969105
xxx	G+Sy+0,3*Sx+0,3*Q	312,06817	-1,29791455	7,10463955	-6,85263013	4,59511592	0,02466898
xxx	G+Sy-0,3*Sx+0,3*Q	310,262847	-5,74344893	3,46984767	-9,22934214	2,33466021	0,00997204
xxx	G-Sy+0,3*Sx+0,3*Q	307,397153	-11,5885511	-1,51584767	-12,2626579	-0,80066021	-0,00997204
xxx	G-Sy-0,3*Sx+0,3*Q	305,59183	-16,0340855	-5,15063955	-14,6393699	-3,06111592	-0,02466898
xxx	G+BOMB	287,05	-7,24	1,93	-9,38	1,34	-0,01
xxx	G+BOMB+0,5*Q	324,15	-8,55	2,275	-11,04	1,585	-0,01
xxx	G+BOMB+0,5*V1	286,77	-9,605	2,335	-10,655	1,61	-0,01
xxx	G+BOMB+0,5*V2	286,72	-9,495	2,1	-10,595	1,46	-0,01
xxx	G+BOMB+0,5*V3	287,33	-4,875	1,525	-8,105	1,07	-0,01
xxx	G+BOMB+0,5*V4	287,38	-4,985	1,76	-8,165	1,22	-0,01
xxx	G+BOMB+0,5*V5	284,91	-6,565	-5,76	-8,95	-3,495	-0,02
xxx	G+BOMB+0,5*V6	285,365	-7,605	-3,435	-9,56	-2,035	-0,005
xxx	G+BOMB+0,5*V7	289,19	-7,915	9,62	-9,81	6,175	0
xxx	G+BOMB+0,5*V8	288,735	-6,875	7,295	-9,2	4,715	-0,015
xxx	G+BOMB+0,5*V1+0,3*Q	309,03	-10,391	2,542	-11,651	1,757	-0,01
xxx	G+BOMB+0,5*V2+0,3*Q	308,98	-10,281	2,307	-11,591	1,607	-0,01
xxx	G+BOMB+0,5*V3+0,3*Q	309,59	-5,661	1,732	-9,101	1,217	-0,01

xxx	G+BOMB+0,5*V4+0,3*Q	309,64	-5,771	1,967	-9,161	1,367	-0,01
xxx	G+BOMB+0,5*V5+0,3*Q	307,17	-7,351	-5,553	-9,946	-3,348	-0,02
xxx	G+BOMB+0,5*V6+0,3*Q	307,625	-8,391	-3,228	-10,556	-1,888	-0,005
xxx	G+BOMB+0,5*V7+0,3*Q	311,45	-8,701	9,827	-10,806	6,322	0
xxx	G+BOMB+0,5*V8+0,3*Q	310,995	-7,661	7,502	-10,196	4,862	-0,015
P54	G	166,12	-5,38	-0,84	-3,73	-0,71	0
xxx	G+Q	190,55	-6,67	-1,17	-4,58	-0,96	0
xxx	G+V1	163,59	-9,2	-1,04	-5,47	-0,81	0
xxx	G+V2	163,32	-8,92	-0,81	-5,34	-0,7	0
xxx	G+V3	168,65	-1,56	-0,64	-1,99	-0,61	0
xxx	G+V4	168,92	-1,84	-0,87	-2,12	-0,72	0
xxx	G+V5	175,18	-2,28	-4,99	-2,36	-2,75	-0,02
xxx	G+V6	178,25	-5,51	-7,54	-3,89	-4	0
xxx	G+V7	157,06	-8,48	3,31	-5,1	1,33	0,02
xxx	G+V8	153,99	-5,25	5,86	-3,57	2,58	0
xxx	G+Q+0,6*V1	189,032	-8,962	-1,29	-5,624	-1,02	0
xxx	G+Q+0,6*V2	188,87	-8,794	-1,152	-5,546	-0,954	0
xxx	G+Q+0,6*V3	192,068	-4,378	-1,05	-3,536	-0,9	0
xxx	G+Q+0,6*V4	192,23	-4,546	-1,188	-3,614	-0,966	0
xxx	G+Q+0,6*V5	195,986	-4,81	-3,66	-3,758	-2,184	-0,012
xxx	G+Q+0,6*V6	197,828	-6,748	-5,19	-4,676	-2,934	0
xxx	G+Q+0,6*V7	185,114	-8,53	1,32	-5,402	0,264	0,012
xxx	G+Q+0,6*V8	183,272	-6,592	2,85	-4,484	1,014	0
xxx	G+V1+0,7*Q	180,691	-10,103	-1,271	-6,065	-0,985	0
xxx	G+V2+0,7*Q	180,421	-9,823	-1,041	-5,935	-0,875	0
xxx	G+V3+0,7*Q	185,751	-2,463	-0,871	-2,585	-0,785	0
xxx	G+V4+0,7*Q	186,021	-2,743	-1,101	-2,715	-0,895	0
xxx	G+V5+0,7*Q	192,281	-3,183	-5,221	-2,955	-2,925	-0,02
xxx	G+V6+0,7*Q	195,351	-6,413	-7,771	-4,485	-4,175	0
xxx	G+V7+0,7*Q	174,161	-9,383	3,079	-5,695	1,155	0,02
xxx	G+V8+0,7*Q	171,091	-6,153	5,629	-4,165	2,405	0
xxx	G+Sx	171,952341	4,81644056	1,25971427	0,94784138	0,32208527	0,0244949
xxx	G-Sx	160,287659	-15,5764406	-2,93971427	-8,40784138	-1,74208527	-0,0244949
xxx	G+Sy	171,00556	-1,95421542	1,61871918	-2,16436914	0,48954158	0,01732051
xxx	G-Sy	161,23444	-8,80578458	-3,29871918	-5,29563086	-1,90954158	-0,01732051
xxx	G+Sx+0,3*Sy	173,418009	5,84417593	1,99733002	1,41753064	0,68194774	0,02969105
xxx	G+Sx-0,3*Sy	170,486673	3,78870518	0,52209851	0,47815212	-0,03777721	0,01929875
xxx	G-Sx+0,3*Sy	161,753327	-14,5487052	-2,20209851	-7,93815212	-1,38222279	-0,01929875
xxx	G-Sx-0,3*Sy	158,821991	-16,6041759	-3,67733002	-8,87753064	-2,10194774	-0,02969105
xxx	G+Sy+0,3*Sx	172,755263	1,10471675	2,24863346	-0,76101672	0,79916716	0,02466898
xxx	G+Sy-0,3*Sx	169,255858	-5,01314758	0,9888049	-3,56772155	0,179916	0,00997204
xxx	G-Sy+0,3*Sx	162,984142	-5,74685242	-2,6688049	-3,89227845	-1,599916	-0,00997204
xxx	G-Sy-0,3*Sx	159,484737	-11,8647167	-3,92863346	-6,69898328	-2,21916716	-0,02466898
xxx	G+Sx+0,3*Q	179,281341	4,42944056	1,16071427	0,69284138	0,24708527	0,0244949
xxx	G-Sx+0,3*Q	167,616659	-15,9634406	-3,03871427	-8,66284138	-1,81708527	-0,0244949
xxx	G+Sy+0,3*Q	178,33456	-2,34121542	1,51971918	-2,41936914	0,41454158	0,01732051
xxx	G-Sy+0,3*Q	168,56344	-9,19278458	-3,39771918	-5,55063086	-1,98454158	-0,01732051
xxx	G+Sx+0,3*Sy+0,3*Q	180,747009	5,45717593	1,89833002	1,16253064	0,60694774	0,02969105
xxx	G+Sx-0,3*Sy+0,3*Q	177,815673	3,40170518	0,42309851	0,22315212	-0,11277721	0,01929875
xxx	G-Sx+0,3*Sy+0,3*Q	169,082327	-14,9357052	-2,30109851	-8,19315212	-1,45722279	-0,01929875
xxx	G-Sx-0,3*Sy+0,3*Q	166,150991	-16,9911759	-3,77633002	-9,13253064	-2,17694774	-0,02969105
xxx	G+Sy+0,3*Sx+0,3*Q	180,084263	0,71771675	2,14963346	-1,01601672	0,72416716	0,02466898
xxx	G+Sy-0,3*Sx+0,3*Q	176,584858	-5,40014758	0,8898049	-3,82272155	0,104916	0,00997204
xxx	G-Sy+0,3*Sx+0,3*Q	170,313142	-6,13385242	-2,7678049	-4,14727845	-1,674916	-0,00997204
xxx	G-Sy-0,3*Sx+0,3*Q	166,813737	-12,2517167	-4,02763346	-6,95398328	-2,29416716	-0,02466898
xxx	G+BOMB	166,13	-5,51	-0,82	-3,79	-0,7	0
xxx	G+BOMB+0,5*Q	178,345	-6,155	-0,985	-4,215	-0,825	0
xxx	G+BOMB+0,5*V1	164,865	-7,42	-0,92	-4,66	-0,75	0
xxx	G+BOMB+0,5*V2	164,73	-7,28	-0,805	-4,595	-0,695	0
xxx	G+BOMB+0,5*V3	167,395	-3,6	-0,72	-2,92	-0,65	0

xxx	G+BOMB+0,5*V4	167,53	-3,74	-0,835	-2,985	-0,705	0
xxx	G+BOMB+0,5*V5	170,66	-3,96	-2,895	-3,105	-1,72	-0,01
xxx	G+BOMB+0,5*V6	172,195	-5,575	-4,17	-3,87	-2,345	0
xxx	G+BOMB+0,5*V7	161,6	-7,06	1,255	-4,475	0,32	0,01
xxx	G+BOMB+0,5*V8	160,065	-5,445	2,53	-3,71	0,945	0
xxx	G+BOMB+0,5*V1+0,3*Q	172,194	-7,807	-1,019	-4,915	-0,825	0
xxx	G+BOMB+0,5*V2+0,3*Q	172,059	-7,667	-0,904	-4,85	-0,77	0
xxx	G+BOMB+0,5*V3+0,3*Q	174,724	-3,987	-0,819	-3,175	-0,725	0
xxx	G+BOMB+0,5*V4+0,3*Q	174,859	-4,127	-0,934	-3,24	-0,78	0
xxx	G+BOMB+0,5*V5+0,3*Q	177,989	-4,347	-2,994	-3,36	-1,795	-0,01
xxx	G+BOMB+0,5*V6+0,3*Q	179,524	-5,962	-4,269	-4,125	-2,42	0
xxx	G+BOMB+0,5*V7+0,3*Q	168,929	-7,447	1,156	-4,73	0,245	0,01
xxx	G+BOMB+0,5*V8+0,3*Q	167,394	-5,832	2,431	-3,965	0,87	0
P55	G	277,51	6,71	-1,04	6,46	-0,89	0
xxx	G+Q	324,86	7,54	-1,23	7,44	-1,05	0
xxx	G+V1	278,15	1,18	-1,22	4,09	-0,98	0
xxx	G+V2	277,76	1,56	-1,04	4,26	-0,9	0
xxx	G+V3	276,87	12,24	-0,86	8,83	-0,8	0
xxx	G+V4	277,26	11,86	-1,04	8,66	-0,88	0
xxx	G+V5	286,39	11,78	-6,56	8,78	-3,55	-0,03
xxx	G+V6	290,95	7,43	-8,61	6,95	-4,52	0
xxx	G+V7	268,63	1,64	4,48	4,14	1,77	0,03
xxx	G+V8	264,07	5,99	6,53	5,97	2,74	0
xxx	G+Q+0,6*V1	325,244	4,222	-1,338	6,018	-1,104	0
xxx	G+Q+0,6*V2	325,01	4,45	-1,23	6,12	-1,056	0
xxx	G+Q+0,6*V3	324,476	10,858	-1,122	8,862	-0,996	0
xxx	G+Q+0,6*V4	324,71	10,63	-1,23	8,76	-1,044	0
xxx	G+Q+0,6*V5	330,188	10,582	-4,542	8,832	-2,646	-0,018
xxx	G+Q+0,6*V6	332,924	7,972	-5,772	7,734	-3,228	0
xxx	G+Q+0,6*V7	319,532	4,498	2,082	6,048	0,546	0,018
xxx	G+Q+0,6*V8	316,796	7,108	3,312	7,146	1,128	0
xxx	G+V1+0,7*Q	311,295	1,761	-1,353	4,776	-1,092	0
xxx	G+V2+0,7*Q	310,905	2,141	-1,173	4,946	-1,012	0
xxx	G+V3+0,7*Q	310,015	12,821	-0,993	9,516	-0,912	0
xxx	G+V4+0,7*Q	310,405	12,441	-1,173	9,346	-0,992	0
xxx	G+V5+0,7*Q	319,535	12,361	-6,693	9,466	-3,662	-0,03
xxx	G+V6+0,7*Q	324,095	8,011	-8,743	7,636	-4,632	0
xxx	G+V7+0,7*Q	301,775	2,221	4,347	4,826	1,658	0,03
xxx	G+V8+0,7*Q	297,215	6,571	6,397	6,656	2,628	0
xxx	G+Sx	282,266164	21,3189527	0,8	12,6895586	0,00342039	0,0244949
xxx	G-Sx	272,753836	-7,89895273	-2,88	0,23044143	-1,78342039	-0,0244949
xxx	G+Sy	283,274425	11,5204574	1,57950377	8,47628371	0,36079974	0,02
xxx	G-Sy	271,745575	1,89954264	-3,65950377	4,44371629	-2,14079974	-0,02
xxx	G+Sx+0,3*Sy	283,995492	22,7620899	1,58585113	13,2944437	0,37866032	0,0304949
xxx	G+Sx-0,3*Sy	280,536837	19,8758155	0,01414887	12,0846735	-0,37181953	0,0184949
xxx	G-Sx+0,3*Sy	274,483163	-6,45581553	-2,09414887	0,83532654	-1,40818047	-0,0184949
xxx	G-Sx-0,3*Sy	271,024508	-9,34208994	-3,66585113	-0,37444368	-2,15866032	-0,0304949
xxx	G+Sy+0,3*Sx	284,701275	15,9031432	2,13150377	10,3451513	0,62882586	0,02734847
xxx	G+Sy-0,3*Sx	281,847576	7,13777154	1,02750377	6,60741614	0,09277363	0,01265153
xxx	G-Sy+0,3*Sx	273,172424	6,28222846	-3,10750377	6,31258386	-1,87277363	-0,01265153
xxx	G-Sy-0,3*Sx	270,318725	-2,48314318	-4,21150377	2,57484872	-2,40882586	-0,02734847
xxx	G+Sx+0,3*Q	296,471164	21,5679527	0,743	12,9835586	-0,04457961	0,0244949
xxx	G-Sx+0,3*Q	286,958836	-7,64995273	-2,937	0,52444143	-1,83142039	-0,0244949
xxx	G+Sy+0,3*Q	297,479425	11,7694574	1,52250377	8,77028371	0,31279974	0,02
xxx	G-Sy+0,3*Q	285,950575	2,14854264	-3,71650377	4,73771629	-2,18879974	-0,02
xxx	G+Sx+0,3*Sy+0,3*Q	298,200492	23,0110899	1,52885113	13,5884437	0,33066032	0,0304949
xxx	G+Sx-0,3*Sy+0,3*Q	294,741837	20,1248155	-0,04285113	12,3786735	-0,41981953	0,0184949
xxx	G-Sx+0,3*Sy+0,3*Q	288,688163	-6,20681553	-2,15114887	1,12932654	-1,45618047	-0,0184949
xxx	G-Sx-0,3*Sy+0,3*Q	285,229508	-9,09308994	-3,72285113	-0,08044368	-2,20666032	-0,0304949
xxx	G+Sy+0,3*Sx+0,3*Q	298,906275	16,1521432	2,07450377	10,6391513	0,58082586	0,02734847

xxx	G+Sy-0,3*Sx+0,3*Q	296,052576	7,38677154	0,97050377	6,90141614	0,04477363	0,01265153
xxx	G-Sy+0,3*Sx+0,3*Q	287,377424	6,53122846	-3,16450377	6,60658386	-1,92077363	-0,01265153
xxx	G-Sy-0,3*Sx+0,3*Q	284,523725	-2,23414318	-4,26850377	2,86884872	-2,45682586	-0,02734847
xxx	G+BOMB	277,53	6,52	-0,96	6,38	-0,85	0
xxx	G+BOMB+0,5*Q	301,205	6,935	-1,055	6,87	-0,93	0
xxx	G+BOMB+0,5*V1	277,85	3,755	-1,05	5,195	-0,895	0
xxx	G+BOMB+0,5*V2	277,655	3,945	-0,96	5,28	-0,855	0
xxx	G+BOMB+0,5*V3	277,21	9,285	-0,87	7,565	-0,805	0
xxx	G+BOMB+0,5*V4	277,405	9,095	-0,96	7,48	-0,845	0
xxx	G+BOMB+0,5*V5	281,97	9,055	-3,72	7,54	-2,18	-0,015
xxx	G+BOMB+0,5*V6	284,25	6,88	-4,745	6,625	-2,665	0
xxx	G+BOMB+0,5*V7	273,09	3,985	1,8	5,22	0,48	0,015
xxx	G+BOMB+0,5*V8	270,81	6,16	2,825	6,135	0,965	0
xxx	G+BOMB+0,5*V1+0,3*Q	292,055	4,004	-1,107	5,489	-0,943	0
xxx	G+BOMB+0,5*V2+0,3*Q	291,86	4,194	-1,017	5,574	-0,903	0
xxx	G+BOMB+0,5*V3+0,3*Q	291,415	9,534	-0,927	7,859	-0,853	0
xxx	G+BOMB+0,5*V4+0,3*Q	291,61	9,344	-1,017	7,774	-0,893	0
xxx	G+BOMB+0,5*V5+0,3*Q	296,175	9,304	-3,777	7,834	-2,228	-0,015
xxx	G+BOMB+0,5*V6+0,3*Q	298,455	7,129	-4,802	6,919	-2,713	0
xxx	G+BOMB+0,5*V7+0,3*Q	287,295	4,234	1,743	5,514	0,432	0,015
xxx	G+BOMB+0,5*V8+0,3*Q	285,015	6,409	2,768	6,429	0,917	0
P56	G	255,01	-3	-2,13	-1,99	-1,8	0
xxx	G+Q	297,75	-3,72	-2,37	-2,44	-2,04	0
xxx	G+V1	252,5	-5,65	-2,21	-3,23	-1,84	0
xxx	G+V2	252,44	-5,45	-2,12	-3,13	-1,8	0
xxx	G+V3	257,52	-0,35	-2,05	-0,75	-1,76	0
xxx	G+V4	257,58	-0,55	-2,14	-0,85	-1,8	0
xxx	G+V5	268,35	-0,48	-8,97	-0,77	-5,05	-0,02
xxx	G+V6	268,96	-2,74	-9,99	-1,82	-5,51	0
xxx	G+V7	241,67	-5,52	4,71	-3,21	1,45	0,02
xxx	G+V8	241,06	-3,26	5,73	-2,16	1,91	0
xxx	G+Q+0,6*V1	296,244	-5,31	-2,418	-3,184	-2,064	0
xxx	G+Q+0,6*V2	296,208	-5,19	-2,364	-3,124	-2,04	0
xxx	G+Q+0,6*V3	299,256	-2,13	-2,322	-1,696	-2,016	0
xxx	G+Q+0,6*V4	299,292	-2,25	-2,376	-1,756	-2,04	0
xxx	G+Q+0,6*V5	305,754	-2,208	-6,474	-1,708	-3,99	-0,012
xxx	G+Q+0,6*V6	306,12	-3,564	-7,086	-2,338	-4,266	0
xxx	G+Q+0,6*V7	289,746	-5,232	1,734	-3,172	-0,09	0,012
xxx	G+Q+0,6*V8	289,38	-3,876	2,346	-2,542	0,186	0
xxx	G+V1+0,7*Q	282,418	-6,154	-2,378	-3,545	-2,008	0
xxx	G+V2+0,7*Q	282,358	-5,954	-2,288	-3,445	-1,968	0
xxx	G+V3+0,7*Q	287,438	-0,854	-2,218	-1,065	-1,928	0
xxx	G+V4+0,7*Q	287,498	-1,054	-2,308	-1,165	-1,968	0
xxx	G+V5+0,7*Q	298,268	-0,984	-9,138	-1,085	-5,218	-0,02
xxx	G+V6+0,7*Q	298,878	-3,244	-10,158	-2,135	-5,678	0
xxx	G+V7+0,7*Q	271,588	-6,024	4,542	-3,525	1,282	0,02
xxx	G+V8+0,7*Q	270,978	-3,764	5,562	-2,475	1,742	0
xxx	G+Sx	262,478996	4,079322	-0,59588788	1,31251419	-1,07868176	0,0244949
xxx	G-Sx	247,541004	-10,079322	-3,66411212	-5,29251419	-2,52131824	-0,0244949
xxx	G+Sy	259,808354	-0,70489652	0,61832676	-0,93539107	-0,51213355	0,01732051
xxx	G-Sy	250,211646	-5,29510348	-4,87832676	-3,04460893	-3,08786645	-0,01732051
xxx	G+Sx+0,3*Sy	263,918502	4,76785305	0,22861015	1,62889687	-0,69232183	0,02969105
xxx	G+Sx-0,3*Sy	261,03949	3,39079096	-1,42038591	0,99613151	-1,4650417	0,01929875
xxx	G-Sx+0,3*Sy	248,98051	-9,39079096	-2,83961409	-4,97613151	-2,1349583	-0,01929875
xxx	G-Sx-0,3*Sy	246,101498	-10,767853	-4,48861015	-5,60889687	-2,90767817	-0,02969105
xxx	G+Sy+0,3*Sx	262,049053	1,41890008	1,0785604	0,05536319	-0,29573808	0,02466898
xxx	G+Sy-0,3*Sx	257,567655	-2,82869312	0,15809313	-1,92614533	-0,72852902	0,00997204
xxx	G-Sy+0,3*Sx	252,452345	-3,17130688	-4,41809313	-2,05385467	-2,87147098	-0,00997204
xxx	G-Sy-0,3*Sx	247,970947	-7,41890008	-5,3385604	-4,03536319	-3,30426192	-0,02466898
xxx	G+Sx+0,3*Q	275,300996	3,863322	-0,66788788	1,17751419	-1,15068176	0,0244949

xxx	G-Sx+0,3*Q	260,363004	-10,295322	-3,73611212	-5,42751419	-2,59331824	-0,0244949
xxx	G+Sy+0,3*Q	272,630354	-0,92089652	0,54632676	-1,07039107	-0,58413355	0,01732051
xxx	G-Sy+0,3*Q	263,033646	-5,51110348	-4,95032676	-3,17960893	-3,15986645	-0,01732051
xxx	G+Sx+0,3*Sy+0,3*Q	276,740502	4,55185305	0,15661015	1,49389687	-0,76432183	0,02969105
xxx	G+Sx-0,3*Sy+0,3*Q	273,86149	3,17479096	-1,49238591	0,86113151	-1,5370417	0,01929875
xxx	G-Sx+0,3*Sy+0,3*Q	261,80251	-9,60679096	-2,91161409	-5,11113151	-2,2069583	-0,01929875
xxx	G-Sx-0,3*Sy+0,3*Q	258,923498	-10,983853	-4,56061015	-5,74389687	-2,97967817	-0,02969105
xxx	G+Sy+0,3*Sx+0,3*Q	274,871053	1,20290008	1,0065604	-0,07963681	-0,36773808	0,02466898
xxx	G+Sy-0,3*Sx+0,3*Q	270,389655	-3,04469312	0,08609313	-2,06114533	-0,80052902	0,00997204
xxx	G-Sy+0,3*Sx+0,3*Q	265,274345	-3,38730688	-4,49009313	-2,18885467	-2,94347098	-0,00997204
xxx	G-Sy-0,3*Sx+0,3*Q	260,792947	-7,63490008	-5,4105604	-4,17036319	-3,37626192	-0,02466898
xxx	G+BOMB	254,99	-3,1	-1,96	-2,04	-1,72	0
xxx	G+BOMB+0,5*Q	276,36	-3,46	-2,08	-2,265	-1,84	0
xxx	G+BOMB+0,5*V1	253,735	-4,425	-2	-2,66	-1,74	0
xxx	G+BOMB+0,5*V2	253,705	-4,325	-1,955	-2,61	-1,72	0
xxx	G+BOMB+0,5*V3	256,245	-1,775	-1,92	-1,42	-1,7	0
xxx	G+BOMB+0,5*V4	256,275	-1,875	-1,965	-1,47	-1,72	0
xxx	G+BOMB+0,5*V5	261,66	-1,84	-5,38	-1,43	-3,345	-0,01
xxx	G+BOMB+0,5*V6	261,965	-2,97	-5,89	-1,955	-3,575	0
xxx	G+BOMB+0,5*V7	248,32	-4,36	1,46	-2,65	-0,095	0,01
xxx	G+BOMB+0,5*V8	248,015	-3,23	1,97	-2,125	0,135	0
xxx	G+BOMB+0,5*V1+0,3*Q	266,557	-4,641	-2,072	-2,795	-1,812	0
xxx	G+BOMB+0,5*V2+0,3*Q	266,527	-4,541	-2,027	-2,745	-1,792	0
xxx	G+BOMB+0,5*V3+0,3*Q	269,067	-1,991	-1,992	-1,555	-1,772	0
xxx	G+BOMB+0,5*V4+0,3*Q	269,097	-2,091	-2,037	-1,605	-1,792	0
xxx	G+BOMB+0,5*V5+0,3*Q	274,482	-2,056	-5,452	-1,565	-3,417	-0,01
xxx	G+BOMB+0,5*V6+0,3*Q	274,787	-3,186	-5,962	-2,09	-3,647	0
xxx	G+BOMB+0,5*V7+0,3*Q	261,142	-4,576	1,388	-2,785	-0,167	0,01
xxx	G+BOMB+0,5*V8+0,3*Q	260,837	-3,446	1,898	-2,26	0,063	0
P58	G	149,4	0,17	-0,87	0,2	-0,9	0
xxx	G+Q	174,95	0,25	-1,13	0,3	-1,21	0
xxx	G+V1	145,43	-0,11	-0,86	0,06	-0,89	0
xxx	G+V2	145,64	-0,09	-0,87	0,07	-0,89	0
xxx	G+V3	153,37	0,45	-0,88	0,34	-0,91	0
xxx	G+V4	153,16	0,43	-0,87	0,33	-0,91	0
xxx	G+V5	162,23	0,46	-2,8	0,36	-1,45	0
xxx	G+V6	159,71	0,24	-2,72	0,25	-1,39	0
xxx	G+V7	136,57	-0,12	1,06	0,04	-0,35	0
xxx	G+V8	139,09	0,1	0,98	0,15	-0,41	0
xxx	G+Q+0,6*V1	172,568	0,082	-1,124	0,216	-1,204	0
xxx	G+Q+0,6*V2	172,694	0,094	-1,13	0,222	-1,204	0
xxx	G+Q+0,6*V3	177,332	0,418	-1,136	0,384	-1,216	0
xxx	G+Q+0,6*V4	177,206	0,406	-1,13	0,378	-1,216	0
xxx	G+Q+0,6*V5	182,648	0,424	-2,288	0,396	-1,54	0
xxx	G+Q+0,6*V6	181,136	0,292	-2,24	0,33	-1,504	0
xxx	G+Q+0,6*V7	167,252	0,076	0,028	0,204	-0,88	0
xxx	G+Q+0,6*V8	168,764	0,208	-0,02	0,27	-0,916	0
xxx	G+V1+0,7*Q	163,315	-0,054	-1,042	0,13	-1,107	0
xxx	G+V2+0,7*Q	163,525	-0,034	-1,052	0,14	-1,107	0
xxx	G+V3+0,7*Q	171,255	0,506	-1,062	0,41	-1,127	0
xxx	G+V4+0,7*Q	171,045	0,486	-1,052	0,4	-1,127	0
xxx	G+V5+0,7*Q	180,115	0,516	-2,982	0,43	-1,667	0
xxx	G+V6+0,7*Q	177,595	0,296	-2,902	0,32	-1,607	0
xxx	G+V7+0,7*Q	154,455	-0,064	0,878	0,11	-0,567	0
xxx	G+V8+0,7*Q	156,975	0,156	0,798	0,22	-0,627	0
xxx	G+Sx	161,030619	0,91437894	-0,42559028	0,57188708	-0,74966704	0
xxx	G-Sx	137,769381	-0,57437894	-1,31440972	-0,17188708	-1,05033296	0
xxx	G+Sy	153,625222	0,40600847	-0,1730782	0,31357817	-0,71533815	0
xxx	G-Sy	145,174778	-0,06600847	-1,5669218	0,08642183	-1,08466185	0
xxx	G+Sx+0,3*Sy	162,298186	0,98518148	-0,21651374	0,60596053	-0,69426848	0

xxx	G+Sx-0,3*Sy	159,763053	0,84357639	-0,63466682	0,53781363	-0,80506559	0
xxx	G-Sx+0,3*Sy	139,036947	-0,50357639	-1,10533318	-0,13781363	-0,99493441	0
xxx	G-Sx-0,3*Sy	136,501814	-0,64518148	-1,52348626	-0,20596053	-1,10573152	0
xxx	G+Sy+0,3*Sx	157,114408	0,62932216	-0,03975528	0,42514429	-0,67023826	0
xxx	G+Sy-0,3*Sx	150,136036	0,18269479	-0,30640111	0,20201204	-0,76043804	0
xxx	G-Sy+0,3*Sx	148,663964	0,15730521	-1,43359889	0,19798796	-1,03956196	0
xxx	G-Sy-0,3*Sx	141,685592	-0,28932216	-1,70024472	-0,02514429	-1,12976174	0
xxx	G+Sx+0,3*Q	168,695619	0,93837894	-0,50359028	0,60188708	-0,84266704	0
xxx	G-Sx+0,3*Q	145,434381	-0,55037894	-1,39240972	-0,14188708	-1,14333296	0
xxx	G+Sy+0,3*Q	161,290222	0,43000847	-0,2510782	0,34357817	-0,80833815	0
xxx	G-Sy+0,3*Q	152,839778	-0,04200847	-1,6449218	0,11642183	-1,17766185	0
xxx	G+Sx+0,3*Sy+0,3*Q	169,963186	1,00918148	-0,29451374	0,63596053	-0,78726848	0
xxx	G+Sx-0,3*Sy+0,3*Q	167,428053	0,86757639	-0,71266682	0,56781363	-0,89806559	0
xxx	G-Sx+0,3*Sy+0,3*Q	146,701947	-0,47957639	-1,18333318	-0,10781363	-1,08793441	0
xxx	G-Sx-0,3*Sy+0,3*Q	144,166814	-0,62118148	-1,60148626	-0,17596053	-1,19873152	0
xxx	G+Sy+0,3*Sx+0,3*Q	164,779408	0,65332216	-0,11775528	0,45514429	-0,76323826	0
xxx	G+Sy-0,3*Sx+0,3*Q	157,801036	0,20669479	-0,38440111	0,23201204	-0,85343804	0
xxx	G-Sy+0,3*Sx+0,3*Q	156,328964	0,18130521	-1,51159889	0,22798796	-1,13256196	0
xxx	G-Sy-0,3*Sx+0,3*Q	149,350592	-0,26532216	-1,77824472	0,00485571	-1,22276174	0
xxx	G+BOMB	149,34	0,16	-0,77	0,19	-0,86	0
xxx	G+BOMB+0,5*Q	162,115	0,2	-0,9	0,24	-1,015	0
xxx	G+BOMB+0,5*V1	147,355	0,02	-0,765	0,12	-0,855	0
xxx	G+BOMB+0,5*V2	147,46	0,03	-0,77	0,125	-0,855	0
xxx	G+BOMB+0,5*V3	151,325	0,3	-0,775	0,26	-0,865	0
xxx	G+BOMB+0,5*V4	151,22	0,29	-0,77	0,255	-0,865	0
xxx	G+BOMB+0,5*V5	155,755	0,305	-1,735	0,27	-1,135	0
xxx	G+BOMB+0,5*V6	154,495	0,195	-1,695	0,215	-1,105	0
xxx	G+BOMB+0,5*V7	142,925	0,015	0,195	0,11	-0,585	0
xxx	G+BOMB+0,5*V8	144,185	0,125	0,155	0,165	-0,615	0
xxx	G+BOMB+0,5*V1+0,3*Q	155,02	0,044	-0,843	0,15	-0,948	0
xxx	G+BOMB+0,5*V2+0,3*Q	155,125	0,054	-0,848	0,155	-0,948	0
xxx	G+BOMB+0,5*V3+0,3*Q	158,99	0,324	-0,853	0,29	-0,958	0
xxx	G+BOMB+0,5*V4+0,3*Q	158,885	0,314	-0,848	0,285	-0,958	0
xxx	G+BOMB+0,5*V5+0,3*Q	163,42	0,329	-1,813	0,3	-1,228	0
xxx	G+BOMB+0,5*V6+0,3*Q	162,16	0,219	-1,773	0,245	-1,198	0
xxx	G+BOMB+0,5*V7+0,3*Q	150,59	0,039	0,117	0,14	-0,678	0
xxx	G+BOMB+0,5*V8+0,3*Q	151,85	0,149	0,077	0,195	-0,708	0
P59	G	190,41	-0,28	-1,39	-0,15	-1,47	0
xxx	G+Q	225,01	-0,31	-1,89	-0,13	-2,08	0
xxx	G+V1	191,16	-0,99	-1,38	-0,5	-1,47	0
xxx	G+V2	191,06	-0,94	-1,41	-0,48	-1,48	0
xxx	G+V3	189,66	0,43	-1,4	0,2	-1,47	0
xxx	G+V4	189,76	0,38	-1,37	0,18	-1,46	0
xxx	G+V5	197,79	0,42	-5,29	0,2	-2,75	-0,01
xxx	G+V6	198,95	-0,15	-4,98	-0,08	-2,61	0
xxx	G+V7	183,03	-0,98	2,51	-0,5	-0,19	0,01
xxx	G+V8	181,87	-0,41	2,2	-0,22	-0,33	0
xxx	G+Q+0,6*V1	225,46	-0,736	-1,884	-0,34	-2,08	0
xxx	G+Q+0,6*V2	225,4	-0,706	-1,902	-0,328	-2,086	0
xxx	G+Q+0,6*V3	224,56	0,116	-1,896	0,08	-2,08	0
xxx	G+Q+0,6*V4	224,62	0,086	-1,878	0,068	-2,074	0
xxx	G+Q+0,6*V5	229,438	0,11	-4,23	0,08	-2,848	-0,006
xxx	G+Q+0,6*V6	230,134	-0,232	-4,044	-0,088	-2,764	0
xxx	G+Q+0,6*V7	220,582	-0,73	0,45	-0,34	-1,312	0,006
xxx	G+Q+0,6*V8	219,886	-0,388	0,264	-0,172	-1,396	0
xxx	G+V1+0,7*Q	215,38	-1,011	-1,73	-0,486	-1,897	0
xxx	G+V2+0,7*Q	215,28	-0,961	-1,76	-0,466	-1,907	0
xxx	G+V3+0,7*Q	213,88	0,409	-1,75	0,214	-1,897	0
xxx	G+V4+0,7*Q	213,98	0,359	-1,72	0,194	-1,887	0
xxx	G+V5+0,7*Q	222,01	0,399	-5,64	0,214	-3,177	-0,01

xxx	G+V6+0,7*Q	223,17	-0,171	-5,33	-0,066	-3,037	0
xxx	G+V7+0,7*Q	207,25	-1,001	2,16	-0,486	-0,617	0,01
xxx	G+V8+0,7*Q	206,09	-0,431	1,85	-0,206	-0,757	0
xxx	G+Sx	193,388439	1,6175774	-0,45865688	0,78760333	-1,15823085	0,01
xxx	G-Sx	187,431561	-2,1775774	-2,32134312	-1,08760333	-1,78176915	-0,01
xxx	G+Sy	194,680515	0,33122827	0,07167712	0,14816103	-1,00416741	0
xxx	G-Sy	186,139485	-0,89122827	-2,85167712	-0,44816103	-1,93583259	0
xxx	G+Sx+0,3*Sy	194,669594	1,80094588	-0,02015375	0,87705164	-1,01848108	0,01
xxx	G+Sx-0,3*Sy	192,107285	1,43420892	-0,89716002	0,69815502	-1,29798063	0,01
xxx	G-Sx+0,3*Sy	188,712715	-1,99420892	-1,88283998	-0,99815502	-1,64201937	-0,01
xxx	G-Sx-0,3*Sy	186,150406	-2,36094588	-2,75984625	-1,17705164	-1,92151892	-0,01
xxx	G+Sy+0,3*Sx	195,574047	0,90050149	0,35108005	0,42944203	-0,91063667	0,003
xxx	G+Sy-0,3*Sx	193,786983	-0,23804495	-0,20772582	-0,13311997	-1,09769816	-0,003
xxx	G-Sy+0,3*Sx	187,033017	-0,32195505	-2,57227418	-0,16688003	-1,84230184	0,003
xxx	G-Sy-0,3*Sx	185,245953	-1,46050149	-3,13108005	-0,72944203	-2,02936333	-0,003
xxx	G+Sx+0,3*Q	203,768439	1,6085774	-0,60865688	0,79360333	-1,34123085	0,01
xxx	G-Sx+0,3*Q	197,811561	-2,1865774	-2,47134312	-1,08160333	-1,96476915	-0,01
xxx	G+Sy+0,3*Q	205,060515	0,32222827	-0,07832288	0,15416103	-1,18716741	0
xxx	G-Sy+0,3*Q	196,519485	-0,90022827	-3,00167712	-0,44216103	-2,11883259	0
xxx	G+Sx+0,3*Sy+0,3*Q	205,049594	1,79194588	-0,17015375	0,88305164	-1,20148108	0,01
xxx	G+Sx-0,3*Sy+0,3*Q	202,487285	1,42520892	-1,04716002	0,70415502	-1,48098063	0,01
xxx	G-Sx+0,3*Sy+0,3*Q	199,092715	-2,00320892	-2,03283998	-0,99215502	-1,82501937	-0,01
xxx	G-Sx-0,3*Sy+0,3*Q	196,530406	-2,36994588	-2,90984625	-1,17105164	-2,10451892	-0,01
xxx	G+Sy+0,3*Sx+0,3*Q	205,954047	0,89150149	0,20108005	0,43544203	-1,09363667	0,003
xxx	G+Sy-0,3*Sx+0,3*Q	204,166983	-0,24704495	-0,35772582	-0,12711997	-1,28069816	-0,003
xxx	G-Sy+0,3*Sx+0,3*Q	197,413017	-0,33095505	-2,72227418	-0,16088003	-2,02530184	0,003
xxx	G-Sy-0,3*Sx+0,3*Q	195,625953	-1,46950149	-3,28108005	-0,72344203	-2,21236333	-0,003
xxx	G+BOMB	190,5	-0,31	-1,19	-0,16	-1,38	0
xxx	G+BOMB+0,5*Q	207,8	-0,325	-1,44	-0,15	-1,685	0
xxx	G+BOMB+0,5*V1	190,875	-0,665	-1,185	-0,335	-1,38	0
xxx	G+BOMB+0,5*V2	190,825	-0,64	-1,2	-0,325	-1,385	0
xxx	G+BOMB+0,5*V3	190,125	0,045	-1,195	0,015	-1,38	0
xxx	G+BOMB+0,5*V4	190,175	0,02	-1,18	0,005	-1,375	0
xxx	G+BOMB+0,5*V5	194,19	0,04	-3,14	0,015	-2,02	-0,005
xxx	G+BOMB+0,5*V6	194,77	-0,245	-2,985	-0,125	-1,95	0
xxx	G+BOMB+0,5*V7	186,81	-0,66	0,76	-0,335	-0,74	0,005
xxx	G+BOMB+0,5*V8	186,23	-0,375	0,605	-0,195	-0,81	0
xxx	G+BOMB+0,5*V1+0,3*Q	201,255	-0,674	-1,335	-0,329	-1,563	0
xxx	G+BOMB+0,5*V2+0,3*Q	201,205	-0,649	-1,35	-0,319	-1,568	0
xxx	G+BOMB+0,5*V3+0,3*Q	200,505	0,036	-1,345	0,021	-1,563	0
xxx	G+BOMB+0,5*V4+0,3*Q	200,555	0,011	-1,33	0,011	-1,558	0
xxx	G+BOMB+0,5*V5+0,3*Q	204,57	0,031	-3,29	0,021	-2,203	-0,005
xxx	G+BOMB+0,5*V6+0,3*Q	205,15	-0,254	-3,135	-0,119	-2,133	0
xxx	G+BOMB+0,5*V7+0,3*Q	197,19	-0,669	0,61	-0,329	-0,923	0,005
xxx	G+BOMB+0,5*V8+0,3*Q	196,61	-0,384	0,455	-0,189	-0,993	0
P60	G	269,1	0,25	-1,36	0,39	-1,44	0
xxx	G+Q	318,54	0,45	-1,93	0,64	-2,11	0
xxx	G+V1	270,22	-0,61	-1,33	-0,01	-1,43	0
xxx	G+V2	270,17	-0,55	-1,37	0,02	-1,45	0
xxx	G+V3	267,98	1,11	-1,39	0,79	-1,45	0
xxx	G+V4	268,03	1,05	-1,35	0,76	-1,43	0
xxx	G+V5	275,29	1,11	-5,18	0,79	-2,84	-0,01
xxx	G+V6	275,8	0,43	-4,69	0,49	-2,64	0
xxx	G+V7	262,91	-0,61	2,46	-0,01	-0,04	0,01
xxx	G+V8	262,4	0,07	1,97	0,29	-0,24	0
xxx	G+Q+0,6*V1	319,212	-0,066	-1,912	0,4	-2,104	0
xxx	G+Q+0,6*V2	319,182	-0,03	-1,936	0,418	-2,116	0
xxx	G+Q+0,6*V3	317,868	0,966	-1,948	0,88	-2,116	0
xxx	G+Q+0,6*V4	317,898	0,93	-1,924	0,862	-2,104	0
xxx	G+Q+0,6*V5	322,254	0,966	-4,222	0,88	-2,95	-0,006

xxx	G+Q+0,6*V6	322,56	0,558	-3,928	0,7	-2,83	0
xxx	G+Q+0,6*V7	314,826	-0,066	0,362	0,4	-1,27	0,006
xxx	G+Q+0,6*V8	314,52	0,342	0,068	0,58	-1,39	0
xxx	G+V1+0,7*Q	304,828	-0,47	-1,729	0,165	-1,899	0
xxx	G+V2+0,7*Q	304,778	-0,41	-1,769	0,195	-1,919	0
xxx	G+V3+0,7*Q	302,588	1,25	-1,789	0,965	-1,919	0
xxx	G+V4+0,7*Q	302,638	1,19	-1,749	0,935	-1,899	0
xxx	G+V5+0,7*Q	309,898	1,25	-5,579	0,965	-3,309	-0,01
xxx	G+V6+0,7*Q	310,408	0,57	-5,089	0,665	-3,109	0
xxx	G+V7+0,7*Q	297,518	-0,47	2,061	0,165	-0,509	0,01
xxx	G+V8+0,7*Q	297,008	0,21	1,571	0,465	-0,709	0
xxx	G+Sx	271,781194	2,54684566	-0,33150596	1,44891454	-1,06370225	0,01
xxx	G-Sx	266,418806	-2,04684566	-2,38849404	-0,66891454	-1,81629775	-0,01
xxx	G+Sy	273,09218	0,98334848	0,10023971	0,72496268	-0,91340718	0
xxx	G-Sy	265,10782	-0,48334848	-2,82023971	0,05503732	-1,96659282	0
xxx	G+Sx+0,3*Sy	272,978848	2,76685021	0,10656596	1,54940334	-0,9057244	0,01
xxx	G+Sx-0,3*Sy	270,58354	2,32684112	-0,76957787	1,34842573	-1,22168009	0,01
xxx	G-Sx+0,3*Sy	267,61646	-1,82684112	-1,95042213	-0,56842573	-1,65831991	-0,01
xxx	G-Sx-0,3*Sy	265,221152	-2,26685021	-2,82656596	-0,76940334	-1,9742756	-0,01
xxx	G+Sy+0,3*Sx	273,896538	1,67240218	0,40878792	1,04263705	-0,80051785	0,003
xxx	G+Sy-0,3*Sx	272,287822	0,29429479	-0,20830851	0,40728832	-1,0262965	-0,003
xxx	G-Sy+0,3*Sx	265,912178	0,20570521	-2,51169149	0,37271168	-1,8537035	0,003
xxx	G-Sy-0,3*Sx	264,303462	-1,17240218	-3,12878792	-0,26263705	-2,07948215	-0,003
xxx	G+Sx+0,3*Q	286,613194	2,60684566	-0,50250596	1,52391454	-1,26470225	0,01
xxx	G-Sx+0,3*Q	281,250806	-1,98684566	-2,55949404	-0,59391454	-2,01729775	-0,01
xxx	G+Sy+0,3*Q	287,92418	1,04334848	-0,07076029	0,79996268	-1,11440718	0
xxx	G-Sy+0,3*Q	279,93982	-0,42334848	-2,99123971	0,13003732	-2,16759282	0
xxx	G+Sx+0,3*Sy+0,3*Q	287,810848	2,82685021	-0,06443404	1,62440334	-1,1067244	0,01
xxx	G+Sx-0,3*Sy+0,3*Q	285,41554	2,38684112	-0,94057787	1,42342573	-1,42268009	0,01
xxx	G-Sx+0,3*Sy+0,3*Q	282,44846	-1,76684112	-2,12142213	-0,49342573	-1,85931991	-0,01
xxx	G-Sx-0,3*Sy+0,3*Q	280,053152	-2,20685021	-2,99756596	-0,69440334	-2,1752756	-0,01
xxx	G+Sy+0,3*Sx+0,3*Q	288,728538	1,73240218	0,23778792	1,11763705	-1,00151785	0,003
xxx	G+Sy-0,3*Sx+0,3*Q	287,119822	0,35429479	-0,37930851	0,48228832	-1,2272965	-0,003
xxx	G-Sy+0,3*Sx+0,3*Q	280,744178	0,26570521	-2,68269149	0,44771168	-2,0547035	0,003
xxx	G-Sy-0,3*Sx+0,3*Q	279,135462	-1,11240218	-3,29978792	-0,18763705	-2,28048215	-0,003
xxx	G+BOMB	269,24	0,22	-1,16	0,37	-1,35	0
xxx	G+BOMB+0,5*Q	293,96	0,32	-1,445	0,495	-1,685	0
xxx	G+BOMB+0,5*V1	269,8	-0,21	-1,145	0,17	-1,345	0
xxx	G+BOMB+0,5*V2	269,775	-0,18	-1,165	0,185	-1,355	0
xxx	G+BOMB+0,5*V3	268,68	0,65	-1,175	0,57	-1,355	0
xxx	G+BOMB+0,5*V4	268,705	0,62	-1,155	0,555	-1,345	0
xxx	G+BOMB+0,5*V5	272,335	0,65	-3,07	0,57	-2,05	-0,005
xxx	G+BOMB+0,5*V6	272,59	0,31	-2,825	0,42	-1,95	0
xxx	G+BOMB+0,5*V7	266,145	-0,21	0,75	0,17	-0,65	0,005
xxx	G+BOMB+0,5*V8	265,89	0,13	0,505	0,32	-0,75	0
xxx	G+BOMB+0,5*V1+0,3*Q	284,632	-0,15	-1,316	0,245	-1,546	0
xxx	G+BOMB+0,5*V2+0,3*Q	284,607	-0,12	-1,336	0,26	-1,556	0
xxx	G+BOMB+0,5*V3+0,3*Q	283,512	0,71	-1,346	0,645	-1,556	0
xxx	G+BOMB+0,5*V4+0,3*Q	283,537	0,68	-1,326	0,63	-1,546	0
xxx	G+BOMB+0,5*V5+0,3*Q	287,167	0,71	-3,241	0,645	-2,251	-0,005
xxx	G+BOMB+0,5*V6+0,3*Q	287,422	0,37	-2,996	0,495	-2,151	0
xxx	G+BOMB+0,5*V7+0,3*Q	280,977	-0,15	0,579	0,245	-0,851	0,005
xxx	G+BOMB+0,5*V8+0,3*Q	280,722	0,19	0,334	0,395	-0,951	0
P61	G	226,8	0,85	-1,14	1,27	-1,17	0
xxx	G+Q	269,46	0,63	-1,6	1,2	-1,69	0
xxx	G+V1	225,05	-1,09	-1,09	0,51	-1,15	0
xxx	G+V2	225,41	-0,95	-1,14	0,56	-1,17	0
xxx	G+V3	228,55	2,79	-1,19	2,03	-1,19	0
xxx	G+V4	228,19	2,65	-1,14	1,98	-1,17	0
xxx	G+V5	240,86	2,91	-3,73	2,17	-2,28	-0,01

xxx	G+V6	236,72	1,34	-3,24	1,56	-2,07	0
xxx	G+V7	212,74	-1,21	1,45	0,37	-0,06	0,01
xxx	G+V8	216,88	0,36	0,96	0,98	-0,27	0
xxx	G+Q+0,6*V1	268,41	-0,534	-1,57	0,744	-1,678	0
xxx	G+Q+0,6*V2	268,626	-0,45	-1,6	0,774	-1,69	0
xxx	G+Q+0,6*V3	270,51	1,794	-1,63	1,656	-1,702	0
xxx	G+Q+0,6*V4	270,294	1,71	-1,6	1,626	-1,69	0
xxx	G+Q+0,6*V5	277,896	1,866	-3,154	1,74	-2,356	-0,006
xxx	G+Q+0,6*V6	275,412	0,924	-2,86	1,374	-2,23	0
xxx	G+Q+0,6*V7	261,024	-0,606	-0,046	0,66	-1,024	0,006
xxx	G+Q+0,6*V8	263,508	0,336	-0,34	1,026	-1,15	0
xxx	G+V1+0,7*Q	254,912	-1,244	-1,412	0,461	-1,514	0
xxx	G+V2+0,7*Q	255,272	-1,104	-1,462	0,511	-1,534	0
xxx	G+V3+0,7*Q	258,412	2,636	-1,512	1,981	-1,554	0
xxx	G+V4+0,7*Q	258,052	2,496	-1,462	1,931	-1,534	0
xxx	G+V5+0,7*Q	270,722	2,756	-4,052	2,121	-2,644	-0,01
xxx	G+V6+0,7*Q	266,582	1,186	-3,562	1,511	-2,434	0
xxx	G+V7+0,7*Q	242,602	-1,364	1,128	0,321	-0,424	0,01
xxx	G+V8+0,7*Q	246,742	0,206	0,638	0,931	-0,634	0
xxx	G+Sx	235,520562	6,03819815	-0,33663209	3,31797461	-0,82489132	0,01
xxx	G-Sx	218,079438	-4,33819815	-1,94336791	-0,77797461	-1,51510868	-0,01
xxx	G+Sy	232,586597	2,47141913	-0,11892214	1,88749494	-0,74128098	0
xxx	G-Sy	221,013403	-0,77141913	-2,16107786	0,65250506	-1,59871902	0
xxx	G+Sx+0,3*Sy	237,256541	6,52462389	-0,03030873	3,50322309	-0,69627561	0,01
xxx	G+Sx-0,3*Sy	233,784583	5,55177241	-0,64295545	3,13272613	-0,95350703	0,01
xxx	G-Sx+0,3*Sy	219,815417	-3,85177241	-1,63704455	-0,59272613	-1,38649297	-0,01
xxx	G-Sx-0,3*Sy	216,343459	-4,82462389	-2,24969127	-0,96322309	-1,64372439	-0,01
xxx	G+Sy+0,3*Sx	235,202765	4,02787858	0,12208824	2,50188732	-0,63774837	0,003
xxx	G+Sy-0,3*Sx	229,970428	0,91495969	-0,35993251	1,27310256	-0,84481358	-0,003
xxx	G-Sy+0,3*Sx	223,629572	0,78504031	-1,92006749	1,26689744	-1,49518642	0,003
xxx	G-Sy-0,3*Sx	218,397235	-2,32787858	-2,40208824	0,03811268	-1,70225163	-0,003
xxx	G+Sx+0,3*Q	248,318562	5,97219815	-0,47463209	3,29697461	-0,98089132	0,01
xxx	G-Sx+0,3*Q	230,877438	-4,40419815	-2,08136791	-0,79897461	-1,67110868	-0,01
xxx	G+Sy+0,3*Q	245,384597	2,40541913	-0,25692214	1,86649494	-0,89728098	0
xxx	G-Sy+0,3*Q	233,811403	-0,83741913	-2,29907786	0,63150506	-1,75471902	0
xxx	G+Sx+0,3*Sy+0,3*Q	250,054541	6,45862389	-0,16830873	3,48222309	-0,85227561	0,01
xxx	G+Sx-0,3*Sy+0,3*Q	246,582583	5,48577241	-0,78095545	3,11172613	-1,10950703	0,01
xxx	G-Sx+0,3*Sy+0,3*Q	232,613417	-3,91777241	-1,77504455	-0,61372613	-1,54249297	-0,01
xxx	G-Sx-0,3*Sy+0,3*Q	229,141459	-4,89062389	-2,38769127	-0,98422309	-1,79972439	-0,01
xxx	G+Sy+0,3*Sx+0,3*Q	248,000765	3,96187858	-0,01591176	2,48088732	-0,79374837	0,003
xxx	G+Sy-0,3*Sx+0,3*Q	242,768428	0,84895969	-0,49793251	1,25210256	-1,00081358	-0,003
xxx	G-Sy+0,3*Sx+0,3*Q	236,427572	0,71904031	-2,05806749	1,24589744	-1,65118642	0,003
xxx	G-Sy-0,3*Sx+0,3*Q	231,195235	-2,39387858	-2,54008824	0,01711268	-1,85825163	-0,003
xxx	G+BOMB	226,8	0,77	-1	1,24	-1,1	0
xxx	G+BOMB+0,5*Q	248,13	0,66	-1,23	1,205	-1,36	0
xxx	G+BOMB+0,5*V1	225,925	-0,2	-0,975	0,86	-1,09	0
xxx	G+BOMB+0,5*V2	226,105	-0,13	-1	0,885	-1,1	0
xxx	G+BOMB+0,5*V3	227,675	1,74	-1,025	1,62	-1,11	0
xxx	G+BOMB+0,5*V4	227,495	1,67	-1	1,595	-1,1	0
xxx	G+BOMB+0,5*V5	233,83	1,8	-2,295	1,69	-1,655	-0,005
xxx	G+BOMB+0,5*V6	231,76	1,015	-2,05	1,385	-1,55	0
xxx	G+BOMB+0,5*V7	219,77	-0,26	0,295	0,79	-0,545	0,005
xxx	G+BOMB+0,5*V8	221,84	0,525	0,05	1,095	-0,65	0
xxx	G+BOMB+0,5*V1+0,3*Q	238,723	-0,266	-1,113	0,839	-1,246	0
xxx	G+BOMB+0,5*V2+0,3*Q	238,903	-0,196	-1,138	0,864	-1,256	0
xxx	G+BOMB+0,5*V3+0,3*Q	240,473	1,674	-1,163	1,599	-1,266	0
xxx	G+BOMB+0,5*V4+0,3*Q	240,293	1,604	-1,138	1,574	-1,256	0
xxx	G+BOMB+0,5*V5+0,3*Q	246,628	1,734	-2,433	1,669	-1,811	-0,005
xxx	G+BOMB+0,5*V6+0,3*Q	244,558	0,949	-2,188	1,364	-1,706	0
xxx	G+BOMB+0,5*V7+0,3*Q	232,568	-0,326	0,157	0,769	-0,701	0,005
xxx	G+BOMB+0,5*V8+0,3*Q	234,638	0,459	-0,088	1,074	-0,806	0

P62	G	150,56	-0,44	-1,2	-0,37	-1,28	0
xxx	G+Q	178,17	-0,62	-1,45	-0,53	-1,63	0
xxx	G+V1	154,52	-0,79	-1,15	-0,57	-1,27	0
xxx	G+V2	154,46	-0,76	-1,21	-0,56	-1,29	0
xxx	G+V3	146,6	-0,09	-1,25	-0,17	-1,29	0
xxx	G+V4	146,66	-0,12	-1,19	-0,18	-1,27	0
xxx	G+V5	159,7	-0,08	-4,22	-0,15	-2,39	0
xxx	G+V6	160,34	-0,37	-3,57	-0,32	-2,16	0
xxx	G+V7	141,42	-0,8	1,82	-0,59	-0,17	0
xxx	G+V8	140,78	-0,51	1,17	-0,42	-0,4	0
xxx	G+Q+0,6*V1	180,546	-0,83	-1,42	-0,65	-1,624	0
xxx	G+Q+0,6*V2	180,51	-0,812	-1,456	-0,644	-1,636	0
xxx	G+Q+0,6*V3	175,794	-0,41	-1,48	-0,41	-1,636	0
xxx	G+Q+0,6*V4	175,83	-0,428	-1,444	-0,416	-1,624	0
xxx	G+Q+0,6*V5	183,654	-0,404	-3,262	-0,398	-2,296	0
xxx	G+Q+0,6*V6	184,038	-0,578	-2,872	-0,5	-2,158	0
xxx	G+Q+0,6*V7	172,686	-0,836	0,362	-0,662	-0,964	0
xxx	G+Q+0,6*V8	172,302	-0,662	-0,028	-0,56	-1,102	0
xxx	G+V1+0,7*Q	173,847	-0,916	-1,325	-0,682	-1,515	0
xxx	G+V2+0,7*Q	173,787	-0,886	-1,385	-0,672	-1,535	0
xxx	G+V3+0,7*Q	165,927	-0,216	-1,425	-0,282	-1,535	0
xxx	G+V4+0,7*Q	165,987	-0,246	-1,365	-0,292	-1,515	0
xxx	G+V5+0,7*Q	179,027	-0,206	-4,395	-0,262	-2,635	0
xxx	G+V6+0,7*Q	179,667	-0,496	-3,745	-0,432	-2,405	0
xxx	G+V7+0,7*Q	160,747	-0,926	1,645	-0,702	-0,415	0
xxx	G+V8+0,7*Q	160,107	-0,636	0,995	-0,532	-0,645	0
xxx	G+Sx	159,182152	0,48865494	-0,22896962	0,18163394	-0,93590699	0
xxx	G-Sx	141,937848	-1,36865494	-2,17103038	-0,92163394	-1,62409301	0
xxx	G+Sy	159,164319	-0,14640163	0,02225202	-0,19708384	-0,83	0
xxx	G-Sy	141,955681	-0,73359837	-2,42225202	-0,54291616	-1,73	0
xxx	G+Sx+0,3*Sy	161,763447	0,57673445	0,13770599	0,23350879	-0,80090699	0
xxx	G+Sx-0,3*Sy	156,600856	0,40057543	-0,59564523	0,12975909	-1,07090699	0
xxx	G-Sx+0,3*Sy	144,519144	-1,28057543	-1,80435477	-0,86975909	-1,48909301	0
xxx	G-Sx-0,3*Sy	139,356553	-1,45673445	-2,53770599	-0,97350879	-1,75909301	0
xxx	G+Sy+0,3*Sx	161,750964	0,13219485	0,31356113	-0,03159365	-0,7267721	0
xxx	G+Sy-0,3*Sx	156,577673	-0,42499812	-0,26905709	-0,36257402	-0,9332279	0
xxx	G-Sy+0,3*Sx	144,542327	-0,45500188	-2,13094291	-0,37742598	-1,6267721	0
xxx	G-Sy-0,3*Sx	139,369036	-1,01219485	-2,71356113	-0,70840635	-1,8332279	0
xxx	G+Sx+0,3*Q	167,465152	0,43465494	-0,30396962	0,13363394	-1,04090699	0
xxx	G-Sx+0,3*Q	150,220848	-1,42265494	-2,24603038	-0,96963394	-1,72909301	0
xxx	G+Sy+0,3*Q	167,447319	-0,20040163	-0,05274798	-0,24508384	-0,935	0
xxx	G-Sy+0,3*Q	150,238681	-0,78759837	-2,49725202	-0,59091616	-1,835	0
xxx	G+Sx+0,3*Sy+0,3*Q	170,046447	0,52273445	0,06270599	0,18550879	-0,90590699	0
xxx	G+Sx-0,3*Sy+0,3*Q	164,883856	0,34657543	-0,67064523	0,08175909	-1,17590699	0
xxx	G-Sx+0,3*Sy+0,3*Q	152,802144	-1,33457543	-1,87935477	-0,91775909	-1,59409301	0
xxx	G-Sx-0,3*Sy+0,3*Q	147,639553	-1,51073445	-2,61270599	-1,02150879	-1,86409301	0
xxx	G+Sy+0,3*Sx+0,3*Q	170,033964	0,07819485	0,23856113	-0,07959365	-0,8317721	0
xxx	G+Sy-0,3*Sx+0,3*Q	164,860673	-0,47899812	-0,34405709	-0,41057402	-1,0382279	0
xxx	G-Sy+0,3*Sx+0,3*Q	152,825327	-0,50900188	-2,20594291	-0,42542598	-1,7317721	0
xxx	G-Sy-0,3*Sx+0,3*Q	147,652036	-1,06619485	-2,78856113	-0,75640635	-1,9382279	0
xxx	G+BOMB	150,6	-0,45	-1,04	-0,38	-1,21	0
xxx	G+BOMB+0,5*Q	164,405	-0,54	-1,165	-0,46	-1,385	0
xxx	G+BOMB+0,5*V1	152,58	-0,625	-1,015	-0,48	-1,205	0
xxx	G+BOMB+0,5*V2	152,55	-0,61	-1,045	-0,475	-1,215	0
xxx	G+BOMB+0,5*V3	148,62	-0,275	-1,065	-0,28	-1,215	0
xxx	G+BOMB+0,5*V4	148,65	-0,29	-1,035	-0,285	-1,205	0
xxx	G+BOMB+0,5*V5	155,17	-0,27	-2,55	-0,27	-1,765	0
xxx	G+BOMB+0,5*V6	155,49	-0,415	-2,225	-0,355	-1,65	0
xxx	G+BOMB+0,5*V7	146,03	-0,63	0,47	-0,49	-0,655	0
xxx	G+BOMB+0,5*V8	145,71	-0,485	0,145	-0,405	-0,77	0

xxx	G+BOMB+0,5*V1+0,3*Q	160,863	-0,679	-1,09	-0,528	-1,31	0
xxx	G+BOMB+0,5*V2+0,3*Q	160,833	-0,664	-1,12	-0,523	-1,32	0
xxx	G+BOMB+0,5*V3+0,3*Q	156,903	-0,329	-1,14	-0,328	-1,32	0
xxx	G+BOMB+0,5*V4+0,3*Q	156,933	-0,344	-1,11	-0,333	-1,31	0
xxx	G+BOMB+0,5*V5+0,3*Q	163,453	-0,324	-2,625	-0,318	-1,87	0
xxx	G+BOMB+0,5*V6+0,3*Q	163,773	-0,469	-2,3	-0,403	-1,755	0
xxx	G+BOMB+0,5*V7+0,3*Q	154,313	-0,684	0,395	-0,538	-0,76	0
xxx	G+BOMB+0,5*V8+0,3*Q	153,993	-0,539	0,07	-0,453	-0,875	0
P63	G	161,19	0,12	-1,97	0,17	-2,16	0
xxx	G+Q	190,21	0,17	-2,27	0,24	-2,6	0
xxx	G+V1	157,12	-0,2	-1,82	-0,01	-2,05	0
xxx	G+V2	157,7	-0,18	-1,94	0	-2,13	0
xxx	G+V3	165,26	0,44	-2,12	0,35	-2,27	0
xxx	G+V4	164,68	0,42	-2	0,34	-2,19	0
xxx	G+V5	175,11	0,48	-7,25	0,39	-5,5	0
xxx	G+V6	168,45	0,21	-5,95	0,24	-4,67	0
xxx	G+V7	147,27	-0,24	3,31	-0,05	1,18	0
xxx	G+V8	153,93	0,03	2,01	0,1	0,35	0
xxx	G+Q+0,6*V1	187,768	-0,022	-2,18	0,132	-2,534	0
xxx	G+Q+0,6*V2	188,116	-0,01	-2,252	0,138	-2,582	0
xxx	G+Q+0,6*V3	192,652	0,362	-2,36	0,348	-2,666	0
xxx	G+Q+0,6*V4	192,304	0,35	-2,288	0,342	-2,618	0
xxx	G+Q+0,6*V5	198,562	0,386	-5,438	0,372	-4,604	0
xxx	G+Q+0,6*V6	194,566	0,224	-4,658	0,282	-4,106	0
xxx	G+Q+0,6*V7	181,858	-0,046	0,898	0,108	-0,596	0
xxx	G+Q+0,6*V8	185,854	0,116	0,118	0,198	-1,094	0
xxx	G+V1+0,7*Q	177,434	-0,165	-2,03	0,039	-2,358	0
xxx	G+V2+0,7*Q	178,014	-0,145	-2,15	0,049	-2,438	0
xxx	G+V3+0,7*Q	185,574	0,475	-2,33	0,399	-2,578	0
xxx	G+V4+0,7*Q	184,994	0,455	-2,21	0,389	-2,498	0
xxx	G+V5+0,7*Q	195,424	0,515	-7,46	0,439	-5,808	0
xxx	G+V6+0,7*Q	188,764	0,245	-6,16	0,289	-4,978	0
xxx	G+V7+0,7*Q	167,584	-0,205	3,1	-0,001	0,872	0
xxx	G+V8+0,7*Q	174,244	0,065	1,8	0,149	0,042	0
xxx	G+Sx	175,866505	0,98486993	-0,06802734	0,66749372	-0,940984	0
xxx	G-Sx	146,513495	-0,74486993	-3,87197266	-0,32749372	-3,379016	0
xxx	G+Sy	167,01819	0,38720778	0,18088354	0,32524175	-0,81623663	0
xxx	G-Sy	155,36181	-0,14720778	-4,12088354	0,01475825	-3,50376337	0
xxx	G+Sx+0,3*Sy	177,614962	1,06503227	0,57723772	0,71406624	-0,53785499	0
xxx	G+Sx-0,3*Sy	174,118048	0,9047076	-0,7132924	0,62092119	-1,34411301	0
xxx	G-Sx+0,3*Sy	148,261952	-0,6647076	-3,2267076	-0,28092119	-2,97588699	0
xxx	G-Sx-0,3*Sy	144,765038	-0,82503227	-4,51723772	-0,37406624	-3,78214501	0
xxx	G+Sy+0,3*Sx	171,421142	0,64666876	0,75147534	0,47448986	-0,45053183	0
xxx	G+Sy-0,3*Sx	162,615239	0,1277468	-0,38970826	0,17599363	-1,18194143	0
xxx	G-Sy+0,3*Sx	159,764761	0,1122532	-3,55029174	0,16400637	-3,13805857	0
xxx	G-Sy-0,3*Sx	150,958858	-0,40666876	-4,69147534	-0,13448986	-3,86946817	0
xxx	G+Sx+0,3*Q	184,572505	0,99986993	-0,15802734	0,68849372	-1,072984	0
xxx	G-Sx+0,3*Q	155,219495	-0,72986993	-3,96197266	-0,30649372	-3,511016	0
xxx	G+Sy+0,3*Q	175,72419	0,40220778	0,09088354	0,34624175	-0,94823663	0
xxx	G-Sy+0,3*Q	164,06781	-0,13220778	-4,21088354	0,03575825	-3,63576337	0
xxx	G+Sx+0,3*Sy+0,3*Q	186,320962	1,08003227	0,48723772	0,73506624	-0,66985499	0
xxx	G+Sx-0,3*Sy+0,3*Q	182,824048	0,9197076	-0,8032924	0,64192119	-1,47611301	0
xxx	G-Sx+0,3*Sy+0,3*Q	156,967952	-0,6497076	-3,3167076	-0,25992119	-3,10788699	0
xxx	G-Sx-0,3*Sy+0,3*Q	153,471038	-0,81003227	-4,60723772	-0,35306624	-3,91414501	0
xxx	G+Sy+0,3*Sx+0,3*Q	180,127142	0,66166876	0,66147534	0,49548986	-0,58253183	0
xxx	G+Sy-0,3*Sx+0,3*Q	171,321239	0,1427468	-0,47970826	0,19699363	-1,31394143	0
xxx	G-Sy+0,3*Sx+0,3*Q	168,470761	0,1272532	-3,64029174	0,18500637	-3,27005857	0
xxx	G-Sy-0,3*Sx+0,3*Q	159,664858	-0,39166876	-4,78147534	-0,11348986	-4,00146817	0
xxx	G+BOMB	161,18	0,11	-1,7	0,16	-1,98	0
xxx	G+BOMB+0,5*Q	175,69	0,135	-1,85	0,195	-2,2	0

xxx	G+BOMB+0,5*V1	159,145	-0,05	-1,625	0,07	-1,925	0
xxx	G+BOMB+0,5*V2	159,435	-0,04	-1,685	0,075	-1,965	0
xxx	G+BOMB+0,5*V3	163,215	0,27	-1,775	0,25	-2,035	0
xxx	G+BOMB+0,5*V4	162,925	0,26	-1,715	0,245	-1,995	0
xxx	G+BOMB+0,5*V5	168,14	0,29	-4,34	0,27	-3,65	0
xxx	G+BOMB+0,5*V6	164,81	0,155	-3,69	0,195	-3,235	0
xxx	G+BOMB+0,5*V7	154,22	-0,07	0,94	0,05	-0,31	0
xxx	G+BOMB+0,5*V8	157,55	0,065	0,29	0,125	-0,725	0
xxx	G+BOMB+0,5*V1+0,3*Q	167,851	-0,035	-1,715	0,091	-2,057	0
xxx	G+BOMB+0,5*V2+0,3*Q	168,141	-0,025	-1,775	0,096	-2,097	0
xxx	G+BOMB+0,5*V3+0,3*Q	171,921	0,285	-1,865	0,271	-2,167	0
xxx	G+BOMB+0,5*V4+0,3*Q	171,631	0,275	-1,805	0,266	-2,127	0
xxx	G+BOMB+0,5*V5+0,3*Q	176,846	0,305	-4,43	0,291	-3,782	0
xxx	G+BOMB+0,5*V6+0,3*Q	173,516	0,17	-3,78	0,216	-3,367	0
xxx	G+BOMB+0,5*V7+0,3*Q	162,926	-0,055	0,85	0,071	-0,442	0
xxx	G+BOMB+0,5*V8+0,3*Q	166,256	0,08	0,2	0,146	-0,857	0
P64	G	210,35	0,28	-1,05	0,44	-1,33	0
xxx	G+Q	248,56	0,43	-1,19	0,65	-1,67	0
xxx	G+V1	212,06	-0,51	-0,92	-0,03	-1,26	0
xxx	G+V2	212,31	-0,45	-1,04	0	-1,32	0
xxx	G+V3	208,64	1,07	-1,18	0,91	-1,4	0
xxx	G+V4	208,39	1,01	-1,06	0,88	-1,34	0
xxx	G+V5	223,29	1,02	-6,07	0,86	-4,07	-0,01
xxx	G+V6	220,39	0,4	-4,74	0,51	-3,36	0
xxx	G+V7	197,41	-0,46	3,97	0,02	1,41	0,01
xxx	G+V8	200,31	0,16	2,64	0,37	0,7	0
xxx	G+Q+0,6*V1	249,586	-0,044	-1,112	0,368	-1,628	0
xxx	G+Q+0,6*V2	249,736	-0,008	-1,184	0,386	-1,664	0
xxx	G+Q+0,6*V3	247,534	0,904	-1,268	0,932	-1,712	0
xxx	G+Q+0,6*V4	247,384	0,868	-1,196	0,914	-1,676	0
xxx	G+Q+0,6*V5	256,324	0,874	-4,202	0,902	-3,314	-0,006
xxx	G+Q+0,6*V6	254,584	0,502	-3,404	0,692	-2,888	0
xxx	G+Q+0,6*V7	240,796	-0,014	1,822	0,398	-0,026	0,006
xxx	G+Q+0,6*V8	242,536	0,358	1,024	0,608	-0,452	0
xxx	G+V1+0,7*Q	238,807	-0,405	-1,018	0,117	-1,498	0
xxx	G+V2+0,7*Q	239,057	-0,345	-1,138	0,147	-1,558	0
xxx	G+V3+0,7*Q	235,387	1,175	-1,278	1,057	-1,638	0
xxx	G+V4+0,7*Q	235,137	1,115	-1,158	1,027	-1,578	0
xxx	G+V5+0,7*Q	250,037	1,125	-6,168	1,007	-4,308	-0,01
xxx	G+V6+0,7*Q	247,137	0,505	-4,838	0,657	-3,598	0
xxx	G+V7+0,7*Q	224,157	-0,355	3,872	0,167	1,172	0,01
xxx	G+V8+0,7*Q	227,057	0,265	2,542	0,517	0,462	0
xxx	G+Sx	214,569182	2,36631254	0,79190119	1,66987804	-0,33954556	0
xxx	G-Sx	206,130818	-1,80631254	-2,89190119	-0,78987804	-2,32045444	0
xxx	G+Sy	218,693111	0,95512962	1,04928559	0,83899875	-0,20390054	0
xxx	G-Sy	202,006889	-0,39512962	-3,14928559	0,04100125	-2,45609946	0
xxx	G+Sx+0,3*Sy	217,072116	2,56885142	1,42168687	1,78957767	-0,00171572	0
xxx	G+Sx-0,3*Sy	212,066249	2,16377365	0,16211551	1,55017842	-0,6773754	0
xxx	G-Sx+0,3*Sy	208,633751	-1,60377365	-2,26211551	-0,67017842	-1,9826246	0
xxx	G-Sx-0,3*Sy	203,627884	-2,00885142	-3,52168687	-0,90957767	-2,65828428	0
xxx	G+Sy+0,3*Sx	219,958866	1,58102338	1,60185595	1,20796216	0,0932358	0
xxx	G+Sy-0,3*Sx	217,427356	0,32923586	0,49671524	0,47003533	-0,50103687	0
xxx	G-Sy+0,3*Sx	203,272644	0,23076414	-2,59671524	0,40996467	-2,15896313	0
xxx	G-Sy-0,3*Sx	200,741134	-1,02102338	-3,70185595	-0,32796216	-2,7532358	0
xxx	G+Sx+0,3*Q	226,032182	2,41131254	0,74990119	1,73287804	-0,44154556	0
xxx	G-Sx+0,3*Q	217,593818	-1,76131254	-2,93390119	-0,72687804	-2,42245444	0
xxx	G+Sy+0,3*Q	230,156111	1,00012962	1,00728559	0,90199875	-0,30590054	0
xxx	G-Sy+0,3*Q	213,469889	-0,35012962	-3,19128559	0,10400125	-2,55809946	0
xxx	G+Sx+0,3*Sy+0,3*Q	228,535116	2,61385142	1,37968687	1,85257767	-0,10371572	0
xxx	G+Sx-0,3*Sy+0,3*Q	223,529249	2,20877365	0,12011551	1,61317842	-0,7793754	0

xxx	G-Sx+0,3*Sy+0,3*Q	220,096751	-1,55877365	-2,30411551	-0,60717842	-2,0846246	0
xxx	G-Sx-0,3*Sy+0,3*Q	215,090884	-1,96385142	-3,56368687	-0,84657767	-2,76028428	0
xxx	G+Sy+0,3*Sx+0,3*Q	231,421866	1,62602338	1,55985595	1,27096216	-0,0087642	0
xxx	G+Sy-0,3*Sx+0,3*Q	228,890356	0,37423586	0,45471524	0,53303533	-0,60303687	0
xxx	G-Sy+0,3*Sx+0,3*Q	214,735644	0,27576414	-2,63871524	0,47296467	-2,26096313	0
xxx	G-Sy-0,3*Sx+0,3*Q	212,204134	-0,97602338	-3,74385595	-0,26496216	-2,8552358	0
xxx	G+BOMB	210,42	0,25	-0,78	0,42	-1,17	0
xxx	G+BOMB+0,5*Q	229,525	0,325	-0,85	0,525	-1,34	0
xxx	G+BOMB+0,5*V1	211,275	-0,145	-0,715	0,185	-1,135	0
xxx	G+BOMB+0,5*V2	211,4	-0,115	-0,775	0,2	-1,165	0
xxx	G+BOMB+0,5*V3	209,565	0,645	-0,845	0,655	-1,205	0
xxx	G+BOMB+0,5*V4	209,44	0,615	-0,785	0,64	-1,175	0
xxx	G+BOMB+0,5*V5	216,89	0,62	-3,29	0,63	-2,54	-0,005
xxx	G+BOMB+0,5*V6	215,44	0,31	-2,625	0,455	-2,185	0
xxx	G+BOMB+0,5*V7	203,95	-0,12	1,73	0,21	0,2	0,005
xxx	G+BOMB+0,5*V8	205,4	0,19	1,065	0,385	-0,155	0
xxx	G+BOMB+0,5*V1+0,3*Q	222,738	-0,1	-0,757	0,248	-1,237	0
xxx	G+BOMB+0,5*V2+0,3*Q	222,863	-0,07	-0,817	0,263	-1,267	0
xxx	G+BOMB+0,5*V3+0,3*Q	221,028	0,69	-0,887	0,718	-1,307	0
xxx	G+BOMB+0,5*V4+0,3*Q	220,903	0,66	-0,827	0,703	-1,277	0
xxx	G+BOMB+0,5*V5+0,3*Q	228,353	0,665	-3,332	0,693	-2,642	-0,005
xxx	G+BOMB+0,5*V6+0,3*Q	226,903	0,355	-2,667	0,518	-2,287	0
xxx	G+BOMB+0,5*V7+0,3*Q	215,413	-0,075	1,688	0,273	0,098	0,005
xxx	G+BOMB+0,5*V8+0,3*Q	216,863	0,235	1,023	0,448	-0,257	0
P65	G	146,09	-0,55	-0,8	-0,54	-0,98	0
xxx	G+Q	168,2	-0,8	-0,91	-0,79	-1,2	0
xxx	G+V1	149,16	-0,84	-0,72	-0,71	-0,93	0
xxx	G+V2	149,23	-0,82	-0,79	-0,69	-0,97	0
xxx	G+V3	143,02	-0,26	-0,88	-0,37	-1,03	0
xxx	G+V4	142,95	-0,28	-0,81	-0,39	-0,99	0
xxx	G+V5	152,72	-0,25	-3,55	-0,36	-2,41	0
xxx	G+V6	151,93	-0,49	-2,73	-0,49	-2	0
xxx	G+V7	139,46	-0,85	1,95	-0,72	0,45	0
xxx	G+V8	140,25	-0,61	1,13	-0,59	0,04	0
xxx	G+Q+0,6*V1	170,042	-0,974	-0,862	-0,892	-1,17	0
xxx	G+Q+0,6*V2	170,084	-0,962	-0,904	-0,88	-1,194	0
xxx	G+Q+0,6*V3	166,358	-0,626	-0,958	-0,688	-1,23	0
xxx	G+Q+0,6*V4	166,316	-0,638	-0,916	-0,7	-1,206	0
xxx	G+Q+0,6*V5	172,178	-0,62	-2,56	-0,682	-2,058	0
xxx	G+Q+0,6*V6	171,704	-0,764	-2,068	-0,76	-1,812	0
xxx	G+Q+0,6*V7	164,222	-0,98	0,74	-0,898	-0,342	0
xxx	G+Q+0,6*V8	164,696	-0,836	0,248	-0,82	-0,588	0
xxx	G+V1+0,7*Q	164,637	-1,015	-0,797	-0,885	-1,084	0
xxx	G+V2+0,7*Q	164,707	-0,995	-0,867	-0,865	-1,124	0
xxx	G+V3+0,7*Q	158,497	-0,435	-0,957	-0,545	-1,184	0
xxx	G+V4+0,7*Q	158,427	-0,455	-0,887	-0,565	-1,144	0
xxx	G+V5+0,7*Q	168,197	-0,425	-3,627	-0,535	-2,564	0
xxx	G+V6+0,7*Q	167,407	-0,665	-2,807	-0,665	-2,154	0
xxx	G+V7+0,7*Q	154,937	-1,025	1,873	-0,895	0,296	0
xxx	G+V8+0,7*Q	155,727	-0,785	1,053	-0,765	-0,114	0
xxx	G+Sx	152,198838	0,22116795	0,26995327	-0,09166976	-0,43	0
xxx	G-Sx	139,981162	-1,32116795	-1,86995327	-0,98833024	-1,53	0
xxx	G+Sy	152,899949	-0,30937581	0,37447861	-0,4043534	-0,37941695	0
xxx	G-Sy	139,280051	-0,79062419	-1,97447861	-0,6756466	-1,58058305	0
xxx	G+Sx+0,3*Sy	154,241822	0,2933552	0,62229685	-0,05097578	-0,24982508	0
xxx	G+Sx-0,3*Sy	150,155853	0,14898069	-0,08239031	-0,13236374	-0,61017492	0
xxx	G-Sx+0,3*Sy	142,024147	-1,24898069	-1,51760969	-0,94763626	-1,34982508	0
xxx	G-Sx-0,3*Sy	137,938178	-1,3933552	-2,22229685	-1,02902422	-1,71017492	0
xxx	G+Sy+0,3*Sx	154,7326	-0,07802543	0,69546459	-0,26985433	-0,21441695	0
xxx	G+Sy-0,3*Sx	151,067297	-0,5407262	0,05349263	-0,53885247	-0,54441695	0

xxx	G-Sy+0,3*Sx	141,112703	-0,5592738	-1,65349263	-0,54114753	-1,41558305	0
xxx	G-Sy-0,3*Sx	137,4474	-1,02197457	-2,29546459	-0,81014567	-1,74558305	0
xxx	G+Sx+0,3*Q	158,831838	0,14616795	0,23695327	-0,16666976	-0,496	0
xxx	G-Sx+0,3*Q	146,614162	-1,39616795	-1,90295327	-1,06333024	-1,596	0
xxx	G+Sy+0,3*Q	159,532949	-0,38437581	0,34147861	-0,4793534	-0,44541695	0
xxx	G-Sy+0,3*Q	145,913051	-0,86562419	-2,00747861	-0,7506466	-1,64658305	0
xxx	G+Sx+0,3*Sy+0,3*Q	160,874822	0,2183552	0,58929685	-0,12597578	-0,31582508	0
xxx	G+Sx-0,3*Sy+0,3*Q	156,788853	0,07398069	-0,11539031	-0,20736374	-0,67617492	0
xxx	G-Sx+0,3*Sy+0,3*Q	148,657147	-1,32398069	-1,55060969	-1,02263626	-1,41582508	0
xxx	G-Sx-0,3*Sy+0,3*Q	144,571178	-1,4683552	-2,25529685	-1,10402422	-1,77617492	0
xxx	G+Sy+0,3*Sx+0,3*Q	161,3656	-0,15302543	0,66246459	-0,34485433	-0,28041695	0
xxx	G+Sy-0,3*Sx+0,3*Q	157,700297	-0,6157262	0,02049263	-0,61385247	-0,61041695	0
xxx	G-Sy+0,3*Sx+0,3*Q	147,745703	-0,6342738	-1,68649263	-0,61614753	-1,48158305	0
xxx	G-Sy-0,3*Sx+0,3*Q	144,0804	-1,09697457	-2,32846459	-0,88514567	-1,81158305	0
xxx	G+BOMB	146,16	-0,56	-0,65	-0,55	-0,89	0
xxx	G+BOMB+0,5*Q	157,215	-0,685	-0,705	-0,675	-1	0
xxx	G+BOMB+0,5*V1	147,695	-0,705	-0,61	-0,635	-0,865	0
xxx	G+BOMB+0,5*V2	147,73	-0,695	-0,645	-0,625	-0,885	0
xxx	G+BOMB+0,5*V3	144,625	-0,415	-0,69	-0,465	-0,915	0
xxx	G+BOMB+0,5*V4	144,59	-0,425	-0,655	-0,475	-0,895	0
xxx	G+BOMB+0,5*V5	149,475	-0,41	-2,025	-0,46	-1,605	0
xxx	G+BOMB+0,5*V6	149,08	-0,53	-1,615	-0,525	-1,4	0
xxx	G+BOMB+0,5*V7	142,845	-0,71	0,725	-0,64	-0,175	0
xxx	G+BOMB+0,5*V8	143,24	-0,59	0,315	-0,575	-0,38	0
xxx	G+BOMB+0,5*V1+0,3*Q	154,328	-0,78	-0,643	-0,71	-0,931	0
xxx	G+BOMB+0,5*V2+0,3*Q	154,363	-0,77	-0,678	-0,7	-0,951	0
xxx	G+BOMB+0,5*V3+0,3*Q	151,258	-0,49	-0,723	-0,54	-0,981	0
xxx	G+BOMB+0,5*V4+0,3*Q	151,223	-0,5	-0,688	-0,55	-0,961	0
xxx	G+BOMB+0,5*V5+0,3*Q	156,108	-0,485	-2,058	-0,535	-1,671	0
xxx	G+BOMB+0,5*V6+0,3*Q	155,713	-0,605	-1,648	-0,6	-1,466	0
xxx	G+BOMB+0,5*V7+0,3*Q	149,478	-0,785	0,692	-0,715	-0,241	0
xxx	G+BOMB+0,5*V8+0,3*Q	149,873	-0,665	0,282	-0,65	-0,446	0
P66	G	144,79	0,6	-1,02	0,61	-1,12	0
xxx	G+Q	176,81	0,82	-1,1	0,82	-1,29	0
xxx	G+V1	141,05	0,33	-1,15	0,45	-1,19	0
xxx	G+V2	141,06	0,36	-1,09	0,47	-1,17	0
xxx	G+V3	148,53	0,87	-0,89	0,77	-1,05	0
xxx	G+V4	148,52	0,84	-0,95	0,75	-1,07	0
xxx	G+V5	149,63	0,74	-1,88	0,68	-1,51	0
xxx	G+V6	149,43	0,47	-2,45	0,52	-1,76	0
xxx	G+V7	139,95	0,46	-0,16	0,54	-0,73	0
xxx	G+V8	140,15	0,73	0,41	0,7	-0,48	0
xxx	G+Q+0,6*V1	174,566	0,658	-1,178	0,724	-1,332	0
xxx	G+Q+0,6*V2	174,572	0,676	-1,142	0,736	-1,32	0
xxx	G+Q+0,6*V3	179,054	0,982	-1,022	0,916	-1,248	0
xxx	G+Q+0,6*V4	179,048	0,964	-1,058	0,904	-1,26	0
xxx	G+Q+0,6*V5	179,714	0,904	-1,616	0,862	-1,524	0
xxx	G+Q+0,6*V6	179,594	0,742	-1,958	0,766	-1,674	0
xxx	G+Q+0,6*V7	173,906	0,736	-0,584	0,778	-1,056	0
xxx	G+Q+0,6*V8	174,026	0,898	-0,242	0,874	-0,906	0
xxx	G+V1+0,7*Q	163,464	0,484	-1,206	0,597	-1,309	0
xxx	G+V2+0,7*Q	163,474	0,514	-1,146	0,617	-1,289	0
xxx	G+V3+0,7*Q	170,944	1,024	-0,946	0,917	-1,169	0
xxx	G+V4+0,7*Q	170,934	0,994	-1,006	0,897	-1,189	0
xxx	G+V5+0,7*Q	172,044	0,894	-1,936	0,827	-1,629	0
xxx	G+V6+0,7*Q	171,844	0,624	-2,506	0,667	-1,879	0
xxx	G+V7+0,7*Q	162,364	0,614	-0,216	0,687	-0,849	0
xxx	G+V8+0,7*Q	162,564	0,884	0,354	0,847	-0,599	0
xxx	G+Sx	150,253872	1,0276681	-0,46053597	0,86495098	-0,87120289	0
xxx	G-Sx	139,326128	0,1723319	-1,57946403	0,35504902	-1,36879711	0

xxx	G+Sy	151,001433	0,82605309	-0,40705628	0,73884099	-0,85980776	0
xxx	G-Sy	138,578567	0,37394691	-1,63294372	0,48115901	-1,38019224	0
xxx	G+Sx+0,3*Sy	152,117302	1,09548402	-0,27665286	0,90360327	-0,79314522	0
xxx	G+Sx-0,3*Sy	148,390442	0,95985217	-0,64441909	0,82629868	-0,94926056	0
xxx	G-Sx+0,3*Sy	141,189558	0,24014783	-1,39558091	0,39370132	-1,29073944	0
xxx	G-Sx-0,3*Sy	137,462698	0,10451598	-1,76334714	0,31639673	-1,44685478	0
xxx	G+Sy+0,3*Sx	152,640595	0,95435352	-0,23921707	0,81532628	-0,78516863	0
xxx	G+Sy-0,3*Sx	149,362271	0,69775266	-0,57489549	0,66235569	-0,93444469	0
xxx	G-Sy+0,3*Sx	140,217729	0,50224734	-1,46510451	0,55764431	-1,3055531	0
xxx	G-Sy-0,3*Sx	136,939405	0,24564648	-1,80078293	0,40467372	-1,45483137	0
xxx	G+Sx+0,3*Q	159,859872	1,0936681	-0,48453597	0,92795098	-0,92220289	0
xxx	G-Sx+0,3*Q	148,932128	0,2383319	-1,60346403	0,41804902	-1,41979711	0
xxx	G+Sy+0,3*Q	160,607433	0,89205309	-0,43105628	0,80184099	-0,91080776	0
xxx	G-Sy+0,3*Q	148,184567	0,43994691	-1,65694372	0,54415901	-1,43119224	0
xxx	G+Sx+0,3*Sy+0,3*Q	161,723302	1,16148402	-0,30065286	0,96660327	-0,84414522	0
xxx	G+Sx-0,3*Sy+0,3*Q	157,996442	1,02585217	-0,66841909	0,88929868	-1,00026056	0
xxx	G-Sx+0,3*Sy+0,3*Q	150,795558	0,30614783	-1,41958091	0,45670132	-1,34173944	0
xxx	G-Sx-0,3*Sy+0,3*Q	147,068698	0,17051598	-1,78734714	0,37939673	-1,49785478	0
xxx	G+Sy+0,3*Sx+0,3*Q	162,246595	1,02035352	-0,26321707	0,87832628	-0,83616863	0
xxx	G+Sy-0,3*Sx+0,3*Q	158,968271	0,76375266	-0,59889549	0,72535569	-0,9854469	0
xxx	G-Sy+0,3*Sx+0,3*Q	149,823729	0,56824734	-1,48910451	0,62064431	-1,3565531	0
xxx	G-Sy-0,3*Sx+0,3*Q	146,545405	0,31164648	-1,82478293	0,46767372	-1,50583137	0
xxx	G+BOMB	145,33	0,69	-0,45	0,67	-0,79	0
xxx	G+BOMB+0,5*Q	161,34	0,8	-0,49	0,775	-0,875	0
xxx	G+BOMB+0,5*V1	143,46	0,555	-0,515	0,59	-0,825	0
xxx	G+BOMB+0,5*V2	143,465	0,57	-0,485	0,6	-0,815	0
xxx	G+BOMB+0,5*V3	147,2	0,825	-0,385	0,75	-0,755	0
xxx	G+BOMB+0,5*V4	147,195	0,81	-0,415	0,74	-0,765	0
xxx	G+BOMB+0,5*V5	147,75	0,76	-0,88	0,705	-0,985	0
xxx	G+BOMB+0,5*V6	147,65	0,625	-1,165	0,625	-1,11	0
xxx	G+BOMB+0,5*V7	142,91	0,62	-0,02	0,635	-0,595	0
xxx	G+BOMB+0,5*V8	143,01	0,755	0,265	0,715	-0,47	0
xxx	G+BOMB+0,5*V1+0,3*Q	153,066	0,621	-0,539	0,653	-0,876	0
xxx	G+BOMB+0,5*V2+0,3*Q	153,071	0,636	-0,509	0,663	-0,866	0
xxx	G+BOMB+0,5*V3+0,3*Q	156,806	0,891	-0,409	0,813	-0,806	0
xxx	G+BOMB+0,5*V4+0,3*Q	156,801	0,876	-0,439	0,803	-0,816	0
xxx	G+BOMB+0,5*V5+0,3*Q	157,356	0,826	-0,904	0,768	-1,036	0
xxx	G+BOMB+0,5*V6+0,3*Q	157,256	0,691	-1,189	0,688	-1,161	0
xxx	G+BOMB+0,5*V7+0,3*Q	152,516	0,686	-0,044	0,698	-0,646	0
xxx	G+BOMB+0,5*V8+0,3*Q	152,616	0,821	0,241	0,778	-0,521	0
P67	G	212,41	-0,09	-1,38	-0,19	-1,52	0
xxx	G+Q	269,45	0,04	-1,49	-0,13	-1,8	0
xxx	G+V1	210,99	-0,75	-1,56	-0,56	-1,6	0
xxx	G+V2	210,72	-0,69	-1,48	-0,52	-1,57	0
xxx	G+V3	213,83	0,57	-1,2	0,18	-1,44	0
xxx	G+V4	214,1	0,51	-1,28	0,14	-1,47	0
xxx	G+V5	221,47	0,32	-2,91	0,04	-2,08	0
xxx	G+V6	223,94	-0,3	-3,66	-0,3	-2,35	0
xxx	G+V7	203,35	-0,5	0,15	-0,42	-0,96	0
xxx	G+V8	200,88	0,12	0,9	-0,08	-0,69	0
xxx	G+Q+0,6*V1	268,598	-0,356	-1,598	-0,352	-1,848	0
xxx	G+Q+0,6*V2	268,436	-0,32	-1,55	-0,328	-1,83	0
xxx	G+Q+0,6*V3	270,302	0,436	-1,382	0,092	-1,752	0
xxx	G+Q+0,6*V4	270,464	0,4	-1,43	0,068	-1,77	0
xxx	G+Q+0,6*V5	274,886	0,286	-2,408	0,008	-2,136	0
xxx	G+Q+0,6*V6	276,368	-0,086	-2,858	-0,196	-2,298	0
xxx	G+Q+0,6*V7	264,014	-0,206	-0,572	-0,268	-1,464	0
xxx	G+Q+0,6*V8	262,532	0,166	-0,122	-0,064	-1,302	0
xxx	G+V1+0,7*Q	250,918	-0,659	-1,637	-0,518	-1,796	0
xxx	G+V2+0,7*Q	250,648	-0,599	-1,557	-0,478	-1,766	0

xxx	G+V3+0,7*Q	253,758	0,661	-1,277	0,222	-1,636	0
xxx	G+V4+0,7*Q	254,028	0,601	-1,357	0,182	-1,666	0
xxx	G+V5+0,7*Q	261,398	0,411	-2,987	0,082	-2,276	0
xxx	G+V6+0,7*Q	263,868	-0,209	-3,737	-0,258	-2,546	0
xxx	G+V7+0,7*Q	243,278	-0,409	0,073	-0,378	-1,156	0
xxx	G+V8+0,7*Q	240,808	0,211	0,823	-0,038	-0,886	0
xxx	G+Sx	216,743382	0,97183803	-0,5863376	0,39668561	-1,22982764	0
xxx	G-Sx	208,076618	-1,15183803	-2,1736624	-0,77668561	-1,81017236	0
xxx	G+Sy	219,740648	0,47231664	-0,44758378	0,12606961	-1,21307981	0
xxx	G-Sy	205,079352	-0,65231664	-2,31241622	-0,50606961	-1,82692019	0
xxx	G+Sx+0,3*Sy	218,942576	1,14053302	-0,30661274	0,49150649	-1,13775158	0
xxx	G+Sx-0,3*Sy	214,544188	0,80314304	-0,86606247	0,30186472	-1,32190369	0
xxx	G-Sx+0,3*Sy	210,275812	-0,98314304	-1,89393753	-0,68186472	-1,71809631	0
xxx	G-Sx-0,3*Sy	205,877424	-1,32053302	-2,45338726	-0,87150649	-1,90224842	0
xxx	G+Sy+0,3*Sx	221,040663	0,79086805	-0,20948506	0,30207529	-1,12602811	0
xxx	G+Sy-0,3*Sx	218,440633	0,15376523	-0,6856825	-0,04993607	-1,30013152	0
xxx	G-Sy+0,3*Sx	206,379367	-0,33376523	-2,0743175	-0,33006393	-1,73986848	0
xxx	G-Sy-0,3*Sx	203,779337	-0,97086805	-2,55051494	-0,68207529	-1,91397189	0
xxx	G+Sx+0,3*Q	233,855382	1,01083803	-0,6193376	0,41468561	-1,31382764	0
xxx	G-Sx+0,3*Q	225,188618	-1,11283803	-2,2066624	-0,75868561	-1,89417236	0
xxx	G+Sy+0,3*Q	236,852648	0,51131664	-0,48058378	0,14406961	-1,29707981	0
xxx	G-Sy+0,3*Q	222,191352	-0,61331664	-2,34541622	-0,48806961	-1,91092019	0
xxx	G+Sx+0,3*Sy+0,3*Q	236,054576	1,17953302	-0,33961274	0,50950649	-1,22175158	0
xxx	G+Sx-0,3*Sy+0,3*Q	231,656188	0,84214304	-0,89906247	0,31986472	-1,40590369	0
xxx	G-Sx+0,3*Sy+0,3*Q	227,387812	-0,94414304	-1,92693753	-0,66386472	-1,80209631	0
xxx	G-Sx-0,3*Sy+0,3*Q	222,989424	-1,28153302	-2,48638726	-0,85350649	-1,98624842	0
xxx	G+Sy+0,3*Sx+0,3*Q	238,152663	0,82986805	-0,24248506	0,32007529	-1,21002811	0
xxx	G+Sy-0,3*Sx+0,3*Q	235,552633	0,19276523	-0,7186825	-0,03193607	-1,38413152	0
xxx	G-Sy+0,3*Sx+0,3*Q	223,491367	-0,29476523	-2,1073175	-0,31206393	-1,82386848	0
xxx	G-Sy-0,3*Sx+0,3*Q	220,891337	-0,93186805	-2,58351494	-0,66407529	-1,99797189	0
xxx	G+BOMB	212,97	0,12	-0,46	-0,06	-1,03	0
xxx	G+BOMB+0,5*Q	241,49	0,185	-0,515	-0,03	-1,17	0
xxx	G+BOMB+0,5*V1	212,26	-0,21	-0,55	-0,245	-1,07	0
xxx	G+BOMB+0,5*V2	212,125	-0,18	-0,51	-0,225	-1,055	0
xxx	G+BOMB+0,5*V3	213,68	0,45	-0,37	0,125	-0,99	0
xxx	G+BOMB+0,5*V4	213,815	0,42	-0,41	0,105	-1,005	0
xxx	G+BOMB+0,5*V5	217,5	0,325	-1,225	0,055	-1,31	0
xxx	G+BOMB+0,5*V6	218,735	0,015	-1,6	-0,115	-1,445	0
xxx	G+BOMB+0,5*V7	208,44	-0,085	0,305	-0,175	-0,75	0
xxx	G+BOMB+0,5*V8	207,205	0,225	0,68	-0,005	-0,615	0
xxx	G+BOMB+0,5*V1+0,3*Q	229,372	-0,171	-0,583	-0,227	-1,154	0
xxx	G+BOMB+0,5*V2+0,3*Q	229,237	-0,141	-0,543	-0,207	-1,139	0
xxx	G+BOMB+0,5*V3+0,3*Q	230,792	0,489	-0,403	0,143	-1,074	0
xxx	G+BOMB+0,5*V4+0,3*Q	230,927	0,459	-0,443	0,123	-1,089	0
xxx	G+BOMB+0,5*V5+0,3*Q	234,612	0,364	-1,258	0,073	-1,394	0
xxx	G+BOMB+0,5*V6+0,3*Q	235,847	0,054	-1,633	-0,097	-1,529	0
xxx	G+BOMB+0,5*V7+0,3*Q	225,552	-0,046	0,272	-0,157	-0,834	0
xxx	G+BOMB+0,5*V8+0,3*Q	224,317	0,264	0,647	0,013	-0,699	0
P68	G	158,76	-0,27	-1,22	-0,34	-1,37	0
xxx	G+Q	191,97	-0,31	-1,27	-0,42	-1,6	0
xxx	G+V1	163,47	-0,58	-1,36	-0,51	-1,43	0
xxx	G+V2	162,8	-0,55	-1,3	-0,49	-1,42	0
xxx	G+V3	154,05	0,04	-1,08	-0,17	-1,31	0
xxx	G+V4	154,72	0,01	-1,14	-0,19	-1,32	0
xxx	G+V5	165,79	-0,1	-2,47	-0,26	-1,54	0
xxx	G+V6	171,92	-0,39	-2,97	-0,41	-1,62	0
xxx	G+V7	151,73	-0,44	0,03	-0,42	-1,2	0
xxx	G+V8	145,6	-0,15	0,53	-0,27	-1,12	0
xxx	G+Q+0,6*V1	194,796	-0,496	-1,354	-0,522	-1,636	0
xxx	G+Q+0,6*V2	194,394	-0,478	-1,318	-0,51	-1,63	0

xxx	G+Q+0,6*V3	189,144	-0,124	-1,186	-0,318	-1,564	0
xxx	G+Q+0,6*V4	189,546	-0,142	-1,222	-0,33	-1,57	0
xxx	G+Q+0,6*V5	196,188	-0,208	-2,02	-0,372	-1,702	0
xxx	G+Q+0,6*V6	199,866	-0,382	-2,32	-0,462	-1,75	0
xxx	G+Q+0,6*V7	187,752	-0,412	-0,52	-0,468	-1,498	0
xxx	G+Q+0,6*V8	184,074	-0,238	-0,22	-0,378	-1,45	0
xxx	G+V1+0,7*Q	186,717	-0,608	-1,395	-0,566	-1,591	0
xxx	G+V2+0,7*Q	186,047	-0,578	-1,335	-0,546	-1,581	0
xxx	G+V3+0,7*Q	177,297	0,012	-1,115	-0,226	-1,471	0
xxx	G+V4+0,7*Q	177,967	-0,018	-1,175	-0,246	-1,481	0
xxx	G+V5+0,7*Q	189,037	-0,128	-2,505	-0,316	-1,701	0
xxx	G+V6+0,7*Q	195,167	-0,418	-3,005	-0,466	-1,781	0
xxx	G+V7+0,7*Q	174,977	-0,468	-0,005	-0,476	-1,361	0
xxx	G+V8+0,7*Q	168,847	-0,178	0,495	-0,326	-1,281	0
xxx	G+Sx	168,213703	0,2232545	-0,63288843	-0,06595621	-1,25083625	0
xxx	G-Sx	149,306297	-0,7632545	-1,80711157	-0,61404379	-1,48916375	0
xxx	G+Sy	165,164912	-0,0158347	-0,53261365	-0,2	-1,28693376	0
xxx	G-Sy	152,355088	-0,5241653	-1,90738635	-0,48	-1,45306624	0
xxx	G+Sx+0,3*Sy	170,135177	0,29950409	-0,42667252	-0,02395621	-1,22591638	0
xxx	G+Sx-0,3*Sy	166,292229	0,14700491	-0,83910433	-0,10795621	-1,27575612	0
xxx	G-Sx+0,3*Sy	151,227771	-0,68700491	-1,60089567	-0,57204379	-1,46424388	0
xxx	G-Sx-0,3*Sy	147,384823	-0,83950409	-2,01332748	-0,65604379	-1,51408362	0
xxx	G+Sy+0,3*Sx	168,001023	0,13214165	-0,35648017	-0,11778686	-1,25118464	0
xxx	G+Sy-0,3*Sx	162,328801	-0,16381105	-0,70874712	-0,28221314	-1,32268289	0
xxx	G-Sy+0,3*Sx	155,191199	-0,37618895	-1,73125288	-0,39778686	-1,41731711	0
xxx	G-Sy-0,3*Sx	149,518977	-0,67214165	-2,08351983	-0,56221314	-1,48881536	0
xxx	G+Sx+0,3*Q	178,176703	0,2112545	-0,64788843	-0,08995621	-1,31983625	0
xxx	G-Sx+0,3*Q	159,269297	-0,7752545	-1,82211157	-0,63804379	-1,55816375	0
xxx	G+Sy+0,3*Q	175,127912	-0,0278347	-0,54761365	-0,224	-1,35593376	0
xxx	G-Sy+0,3*Q	162,318088	-0,5361653	-1,92238635	-0,504	-1,52206624	0
xxx	G+Sx+0,3*Sy+0,3*Q	180,098177	0,28750409	-0,44167252	-0,04795621	-1,29491638	0
xxx	G+Sx-0,3*Sy+0,3*Q	176,255229	0,13500491	-0,85410433	-0,13195621	-1,34475612	0
xxx	G-Sx+0,3*Sy+0,3*Q	161,190771	-0,69900491	-1,61589567	-0,59604379	-1,53324388	0
xxx	G-Sx-0,3*Sy+0,3*Q	157,347823	-0,85150409	-2,02832748	-0,68004379	-1,58308362	0
xxx	G+Sy+0,3*Sx+0,3*Q	177,964023	0,12014165	-0,37148017	-0,14178686	-1,32018464	0
xxx	G+Sy-0,3*Sx+0,3*Q	172,291801	-0,17581105	-0,72374712	-0,30621314	-1,39168289	0
xxx	G-Sy+0,3*Sx+0,3*Q	165,154199	-0,38818895	-1,74625288	-0,42178686	-1,48631711	0
xxx	G-Sy-0,3*Sx+0,3*Q	159,481977	-0,68414165	-2,09851983	-0,58621314	-1,55781536	0
xxx	G+BOMB	158,57	-0,17	-0,46	-0,28	-1,04	0
xxx	G+BOMB+0,5*Q	175,175	-0,19	-0,485	-0,32	-1,155	0
xxx	G+BOMB+0,5*V1	160,925	-0,325	-0,53	-0,365	-1,07	0
xxx	G+BOMB+0,5*V2	160,59	-0,31	-0,5	-0,355	-1,065	0
xxx	G+BOMB+0,5*V3	156,215	-0,015	-0,39	-0,195	-1,01	0
xxx	G+BOMB+0,5*V4	156,55	-0,03	-0,42	-0,205	-1,015	0
xxx	G+BOMB+0,5*V5	162,085	-0,085	-1,085	-0,24	-1,125	0
xxx	G+BOMB+0,5*V6	165,15	-0,23	-1,335	-0,315	-1,165	0
xxx	G+BOMB+0,5*V7	155,055	-0,255	0,165	-0,32	-0,955	0
xxx	G+BOMB+0,5*V8	151,99	-0,11	0,415	-0,245	-0,915	0
xxx	G+BOMB+0,5*V1+0,3*Q	170,888	-0,337	-0,545	-0,389	-1,139	0
xxx	G+BOMB+0,5*V2+0,3*Q	170,553	-0,322	-0,515	-0,379	-1,134	0
xxx	G+BOMB+0,5*V3+0,3*Q	166,178	-0,027	-0,405	-0,219	-1,079	0
xxx	G+BOMB+0,5*V4+0,3*Q	166,513	-0,042	-0,435	-0,229	-1,084	0
xxx	G+BOMB+0,5*V5+0,3*Q	172,048	-0,097	-1,1	-0,264	-1,194	0
xxx	G+BOMB+0,5*V6+0,3*Q	175,113	-0,242	-1,35	-0,339	-1,234	0
xxx	G+BOMB+0,5*V7+0,3*Q	165,018	-0,267	0,15	-0,344	-1,024	0
xxx	G+BOMB+0,5*V8+0,3*Q	161,953	-0,122	0,4	-0,269	-0,984	0
P69	G	156,99	0,29	-1,29	0,26	-1,47	0
xxx	G+Q	186,61	0,48	-1,42	0,43	-1,79	0
xxx	G+V1	152,76	-0,04	-1,38	0,07	-1,5	0
xxx	G+V2	152,8	-0,01	-1,33	0,09	-1,48	0

xxx	G+V3	161,22	0,62	-1,2	0,45	-1,44	0
xxx	G+V4	161,18	0,59	-1,25	0,43	-1,46	0
xxx	G+V5	167,37	0,48	-2,8	0,37	-1,88	0
xxx	G+V6	166,79	0,18	-3,25	0,2	-2	0
xxx	G+V7	146,61	0,1	0,22	0,15	-1,06	0
xxx	G+V8	147,19	0,4	0,67	0,32	-0,94	0
xxx	G+Q+0,6*V1	184,072	0,282	-1,474	0,316	-1,808	0
xxx	G+Q+0,6*V2	184,096	0,3	-1,444	0,328	-1,796	0
xxx	G+Q+0,6*V3	189,148	0,678	-1,366	0,544	-1,772	0
xxx	G+Q+0,6*V4	189,124	0,66	-1,396	0,532	-1,784	0
xxx	G+Q+0,6*V5	192,838	0,594	-2,326	0,496	-2,036	0
xxx	G+Q+0,6*V6	192,49	0,414	-2,596	0,394	-2,108	0
xxx	G+Q+0,6*V7	180,382	0,366	-0,514	0,364	-1,544	0
xxx	G+Q+0,6*V8	180,73	0,546	-0,244	0,466	-1,472	0
xxx	G+V1+0,7*Q	173,494	0,093	-1,471	0,189	-1,724	0
xxx	G+V2+0,7*Q	173,534	0,123	-1,421	0,209	-1,704	0
xxx	G+V3+0,7*Q	181,954	0,753	-1,291	0,569	-1,664	0
xxx	G+V4+0,7*Q	181,914	0,723	-1,341	0,549	-1,684	0
xxx	G+V5+0,7*Q	188,104	0,613	-2,891	0,489	-2,104	0
xxx	G+V6+0,7*Q	187,524	0,313	-3,341	0,319	-2,224	0
xxx	G+V7+0,7*Q	167,344	0,233	0,129	0,269	-1,284	0
xxx	G+V8+0,7*Q	167,924	0,533	0,579	0,439	-1,164	0
xxx	G+Sx	163,20198	0,80826634	-0,70570555	0,56413813	-1,32235177	0
xxx	G-Sx	150,77802	-0,22826634	-1,87429445	-0,04413813	-1,61764823	0
xxx	G+Sy	165,180153	0,56495454	-0,50859102	0,42093477	-1,27921216	0
xxx	G-Sy	148,799847	0,01504546	-2,07140898	0,09906523	-1,66078784	0
xxx	G+Sx+0,3*Sy	165,659026	0,8907527	-0,47128286	0,61241856	-1,26511542	0
xxx	G+Sx-0,3*Sy	160,744935	0,72577998	-0,94012825	0,5158577	-1,37958812	0
xxx	G-Sx+0,3*Sy	153,235065	-0,14577998	-1,63987175	0,0041423	-1,56041188	0
xxx	G-Sx-0,3*Sy	148,320974	-0,3107527	-2,10871714	-0,09241856	-1,67488458	0
xxx	G+Sy+0,3*Sx	167,043747	0,72043444	-0,33330268	0,51217621	-1,23491769	0
xxx	G+Sy-0,3*Sx	163,316559	0,40947464	-0,68387935	0,32969333	-1,32350663	0
xxx	G-Sy+0,3*Sx	150,663441	0,17052536	-1,89612065	0,19030667	-1,61649337	0
xxx	G-Sy-0,3*Sx	146,936253	-0,14043444	-2,24669732	0,00782379	-1,70508231	0
xxx	G+Sx+0,3*Q	172,08798	0,86526634	-0,74470555	0,61513813	-1,41835177	0
xxx	G-Sx+0,3*Q	159,66402	-0,17126634	-1,91329445	0,00686187	-1,71364823	0
xxx	G+Sy+0,3*Q	174,066153	0,62195454	-0,54759102	0,47193477	-1,37521216	0
xxx	G-Sy+0,3*Q	157,685847	0,07204546	-2,11040898	0,15006523	-1,75678784	0
xxx	G+Sx+0,3*Sy+0,3*Q	174,545026	0,9477527	-0,51028286	0,66341856	-1,36111542	0
xxx	G+Sx-0,3*Sy+0,3*Q	169,630935	0,78277998	-0,97912825	0,5668577	-1,47558812	0
xxx	G-Sx+0,3*Sy+0,3*Q	162,121065	-0,08877998	-1,67887175	0,0551423	-1,65641188	0
xxx	G-Sx-0,3*Sy+0,3*Q	157,206974	-0,2537527	-2,14771714	-0,04141856	-1,77088458	0
xxx	G+Sy+0,3*Sx+0,3*Q	175,929747	0,77743444	-0,37230268	0,56317621	-1,33091769	0
xxx	G+Sy-0,3*Sx+0,3*Q	172,202559	0,46647464	-0,72287935	0,38069333	-1,41950663	0
xxx	G-Sy+0,3*Sx+0,3*Q	159,549441	0,22752536	-1,93512065	0,24130667	-1,71249337	0
xxx	G-Sy-0,3*Sx+0,3*Q	155,822253	-0,08343444	-2,28569732	0,05882379	-1,80108231	0
xxx	G+BOMB	157,19	0,39	-0,55	0,32	-1,12	0
xxx	G+BOMB+0,5*Q	172	0,485	-0,615	0,405	-1,28	0
xxx	G+BOMB+0,5*V1	155,075	0,225	-0,595	0,225	-1,135	0
xxx	G+BOMB+0,5*V2	155,095	0,24	-0,57	0,235	-1,125	0
xxx	G+BOMB+0,5*V3	159,305	0,555	-0,505	0,415	-1,105	0
xxx	G+BOMB+0,5*V4	159,285	0,54	-0,53	0,405	-1,115	0
xxx	G+BOMB+0,5*V5	162,38	0,485	-1,305	0,375	-1,325	0
xxx	G+BOMB+0,5*V6	162,09	0,335	-1,53	0,29	-1,385	0
xxx	G+BOMB+0,5*V7	152	0,295	0,205	0,265	-0,915	0
xxx	G+BOMB+0,5*V8	152,29	0,445	0,43	0,35	-0,855	0
xxx	G+BOMB+0,5*V1+0,3*Q	163,961	0,282	-0,634	0,276	-1,231	0
xxx	G+BOMB+0,5*V2+0,3*Q	163,981	0,297	-0,609	0,286	-1,221	0
xxx	G+BOMB+0,5*V3+0,3*Q	168,191	0,612	-0,544	0,466	-1,201	0
xxx	G+BOMB+0,5*V4+0,3*Q	168,171	0,597	-0,569	0,456	-1,211	0
xxx	G+BOMB+0,5*V5+0,3*Q	171,266	0,542	-1,344	0,426	-1,421	0

xxx	G+BOMB+0,5*V6+0,3*Q	170,976	0,392	-1,569	0,341	-1,481	0
xxx	G+BOMB+0,5*V7+0,3*Q	160,886	0,352	0,166	0,316	-1,011	0
xxx	G+BOMB+0,5*V8+0,3*Q	161,176	0,502	0,391	0,401	-0,951	0
P70	G	199,95	0,34	-0,99	0,25	-1,18	0
xxx	G+Q	239,2	0,64	-1,08	0,48	-1,59	0
xxx	G+V1	200,61	-0,51	-1,12	-0,24	-1,23	0
xxx	G+V2	200,35	-0,42	-1,05	-0,19	-1,21	0
xxx	G+V3	199,29	1,19	-0,86	0,74	-1,13	0
xxx	G+V4	199,55	1,1	-0,93	0,69	-1,15	0
xxx	G+V5	206,94	0,86	-3,95	0,56	-2,12	0
xxx	G+V6	209,12	0,08	-4,58	0,11	-2,33	0
xxx	G+V7	192,96	-0,18	1,97	-0,06	-0,24	0
xxx	G+V8	190,78	0,6	2,6	0,39	-0,03	0
xxx	G+Q+0,6*V1	239,596	0,13	-1,158	0,186	-1,62	0
xxx	G+Q+0,6*V2	239,44	0,184	-1,116	0,216	-1,608	0
xxx	G+Q+0,6*V3	238,804	1,15	-1,002	0,774	-1,56	0
xxx	G+Q+0,6*V4	238,96	1,096	-1,044	0,744	-1,572	0
xxx	G+Q+0,6*V5	243,394	0,952	-2,856	0,666	-2,154	0
xxx	G+Q+0,6*V6	244,702	0,484	-3,234	0,396	-2,28	0
xxx	G+Q+0,6*V7	235,006	0,328	0,696	0,294	-1,026	0
xxx	G+Q+0,6*V8	233,698	0,796	1,074	0,564	-0,9	0
xxx	G+V1+0,7*Q	228,085	-0,3	-1,183	-0,079	-1,517	0
xxx	G+V2+0,7*Q	227,825	-0,21	-1,113	-0,029	-1,497	0
xxx	G+V3+0,7*Q	226,765	1,4	-0,923	0,901	-1,417	0
xxx	G+V4+0,7*Q	227,025	1,31	-0,993	0,851	-1,437	0
xxx	G+V5+0,7*Q	234,415	1,07	-4,013	0,721	-2,407	0
xxx	G+V6+0,7*Q	236,595	0,29	-4,643	0,271	-2,617	0
xxx	G+V7+0,7*Q	220,435	0,03	1,907	0,101	-0,527	0
xxx	G+V8+0,7*Q	218,255	0,81	2,537	0,551	-0,317	0
xxx	G+Sx	203,553138	1,68955548	0,02616928	1,02967942	-0,86967759	0,01
xxx	G-Sx	196,346862	-1,00955548	-2,00616928	-0,52967942	-1,49032241	-0,01
xxx	G+Sy	204,668029	1,06235725	0,40696099	0,66844952	-0,76951248	0
xxx	G-Sy	195,231971	-0,38235725	-2,38696099	-0,16844952	-1,59048752	0
xxx	G+Sx+0,3*Sy	204,968546	1,90626266	0,44525757	1,15521428	-0,74653133	0,01
xxx	G+Sx-0,3*Sy	202,137729	1,47284831	-0,39291902	0,90414457	-0,99282384	0,01
xxx	G-Sx+0,3*Sy	197,762271	-0,79284831	-1,58708098	-0,40414457	-1,36717616	-0,01
xxx	G-Sx-0,3*Sy	194,931454	-1,22626266	-2,42525757	-0,65521428	-1,61346867	-0,01
xxx	G+Sy+0,3*Sx	205,748971	1,4672239	0,71181177	0,90235335	-0,67641576	0,003
xxx	G+Sy-0,3*Sx	203,587088	0,65749061	0,1021102	0,43454569	-0,86260921	-0,003
xxx	G-Sy+0,3*Sx	196,312912	0,02250939	-2,0821102	0,06545431	-1,49739079	0,003
xxx	G-Sy-0,3*Sx	194,151029	-0,7872239	-2,69181177	-0,40235335	-1,68358424	-0,003
xxx	G+Sx+0,3*Q	215,328138	1,77955548	-0,00083072	1,09867942	-0,99267759	0,01
xxx	G-Sx+0,3*Q	208,121862	-0,91955548	-2,03316928	-0,46067942	-1,61332241	-0,01
xxx	G+Sy+0,3*Q	216,443029	1,15235725	0,37996099	0,73744952	-0,89251248	0
xxx	G-Sy+0,3*Q	207,006971	-0,29235725	-2,41396099	-0,09944952	-1,71348752	0
xxx	G+Sx+0,3*Sy+0,3*Q	216,743546	1,99626266	0,41825757	1,22421428	-0,86953133	0,01
xxx	G+Sx-0,3*Sy+0,3*Q	213,912729	1,56284831	-0,41991902	0,97314457	-1,11582384	0,01
xxx	G-Sx+0,3*Sy+0,3*Q	209,537271	-0,70284831	-1,61408098	-0,33514457	-1,49017616	-0,01
xxx	G-Sx-0,3*Sy+0,3*Q	206,706454	-1,13626266	-2,45225757	-0,58621428	-1,73646867	-0,01
xxx	G+Sy+0,3*Sx+0,3*Q	217,523971	1,5572239	0,68481177	0,97135335	-0,79941576	0,003
xxx	G+Sy-0,3*Sx+0,3*Q	215,362088	0,74749061	0,0751102	0,50354569	-0,98560921	-0,003
xxx	G-Sy+0,3*Sx+0,3*Q	208,087912	0,11250939	-2,1091102	0,13445431	-1,62039079	0,003
xxx	G-Sy-0,3*Sx+0,3*Q	205,926029	-0,6972239	-2,71881177	-0,33335335	-1,80658424	-0,003
xxx	G+BOMB	200,47	0,59	0,3	0,4	-0,54	0
xxx	G+BOMB+0,5*Q	220,095	0,74	0,255	0,515	-0,745	0
xxx	G+BOMB+0,5*V1	200,8	0,165	0,235	0,155	-0,565	0
xxx	G+BOMB+0,5*V2	200,67	0,21	0,27	0,18	-0,555	0
xxx	G+BOMB+0,5*V3	200,14	1,015	0,365	0,645	-0,515	0
xxx	G+BOMB+0,5*V4	200,27	0,97	0,33	0,62	-0,525	0
xxx	G+BOMB+0,5*V5	203,965	0,85	-1,18	0,555	-1,01	0

xxx	G+BOMB+0,5*V6	205,055	0,46	-1,495	0,33	-1,115	0
xxx	G+BOMB+0,5*V7	196,975	0,33	1,78	0,245	-0,07	0
xxx	G+BOMB+0,5*V8	195,885	0,72	2,095	0,47	0,035	0
xxx	G+BOMB+0,5*V1+0,3*Q	212,575	0,255	0,208	0,224	-0,688	0
xxx	G+BOMB+0,5*V2+0,3*Q	212,445	0,3	0,243	0,249	-0,678	0
xxx	G+BOMB+0,5*V3+0,3*Q	211,915	1,105	0,338	0,714	-0,638	0
xxx	G+BOMB+0,5*V4+0,3*Q	212,045	1,06	0,303	0,689	-0,648	0
xxx	G+BOMB+0,5*V5+0,3*Q	215,74	0,94	-1,207	0,624	-1,133	0
xxx	G+BOMB+0,5*V6+0,3*Q	216,83	0,55	-1,522	0,399	-1,238	0
xxx	G+BOMB+0,5*V7+0,3*Q	208,75	0,42	1,753	0,314	-0,193	0
xxx	G+BOMB+0,5*V8+0,3*Q	207,66	0,81	2,068	0,539	-0,088	0
P71	G	259,43	0,43	-1,32	0,31	-1,56	0
xxx	G+Q	308,68	0,8	-1,56	0,59	-2,09	0
xxx	G+V1	260,54	-0,59	-1,36	-0,24	-1,57	0
xxx	G+V2	260,37	-0,49	-1,34	-0,19	-1,56	0
xxx	G+V3	258,32	1,45	-1,28	0,86	-1,55	0
xxx	G+V4	258,49	1,35	-1,3	0,81	-1,56	0
xxx	G+V5	266,68	1,02	-3,95	0,62	-2,39	0
xxx	G+V6	268,29	0,09	-4,23	0,13	-2,48	0
xxx	G+V7	252,18	-0,16	1,31	0	-0,73	0
xxx	G+V8	250,57	0,77	1,59	0,49	-0,64	0
xxx	G+Q+0,6*V1	309,346	0,188	-1,584	0,26	-2,096	0
xxx	G+Q+0,6*V2	309,244	0,248	-1,572	0,29	-2,09	0
xxx	G+Q+0,6*V3	308,014	1,412	-1,536	0,92	-2,084	0
xxx	G+Q+0,6*V4	308,116	1,352	-1,548	0,89	-2,09	0
xxx	G+Q+0,6*V5	313,03	1,154	-3,138	0,776	-2,588	0
xxx	G+Q+0,6*V6	313,996	0,596	-3,306	0,482	-2,642	0
xxx	G+Q+0,6*V7	304,33	0,446	0,018	0,404	-1,592	0
xxx	G+Q+0,6*V8	303,364	1,004	0,186	0,698	-1,538	0
xxx	G+V1+0,7*Q	295,015	-0,331	-1,528	-0,044	-1,941	0
xxx	G+V2+0,7*Q	294,845	-0,231	-1,508	0,006	-1,931	0
xxx	G+V3+0,7*Q	292,795	1,709	-1,448	1,056	-1,921	0
xxx	G+V4+0,7*Q	292,965	1,609	-1,468	1,006	-1,931	0
xxx	G+V5+0,7*Q	301,155	1,279	-4,118	0,816	-2,761	0
xxx	G+V6+0,7*Q	302,765	0,349	-4,398	0,326	-2,851	0
xxx	G+V7+0,7*Q	286,655	0,099	1,142	0,196	-1,101	0
xxx	G+V8+0,7*Q	285,045	1,029	1,422	0,686	-1,011	0
xxx	G+Sx	263,09846	2,05114157	-0,52740931	1,1860137	-1,32293461	0,01
xxx	G-Sx	255,76154	-1,19114157	-2,11259069	-0,5660137	-1,79706539	-0,01
xxx	G+Sy	263,473043	1,2989649	-0,21618842	0,78497368	-1,22743422	0
xxx	G-Sy	255,386957	-0,4389649	-2,42381158	-0,16497368	-1,89256578	0
xxx	G+Sx+0,3*Sy	264,311373	2,31183104	-0,19626584	1,3285058	-1,22316487	0,01
xxx	G+Sx-0,3*Sy	261,885547	1,7904521	-0,85855278	1,04352159	-1,42270434	0,01
xxx	G-Sx+0,3*Sy	256,974453	-0,9304521	-1,78144722	-0,42352159	-1,69729566	-0,01
xxx	G-Sx-0,3*Sy	254,548627	-1,45183104	-2,44373416	-0,7085058	-1,89683513	-0,01
xxx	G+Sy+0,3*Sx	264,573581	1,78530737	0,02158878	1,04777779	-1,1563146	0,003
xxx	G+Sy-0,3*Sx	262,372505	0,81262243	-0,45396563	0,52216957	-1,29855383	-0,003
xxx	G-Sy+0,3*Sx	256,487495	0,04737757	-2,18603437	0,09783043	-1,82144617	0,003
xxx	G-Sy-0,3*Sx	254,286419	-0,92530737	-2,66158878	-0,42777779	-1,9636854	-0,003
xxx	G+Sx+0,3*Q	277,87346	2,16214157	-0,59940931	1,2700137	-1,48193461	0,01
xxx	G-Sx+0,3*Q	270,53654	-1,08014157	-2,18459069	-0,4820137	-1,95606539	-0,01
xxx	G+Sy+0,3*Q	278,248043	1,4099649	-0,28818842	0,86897368	-1,38643422	0
xxx	G-Sy+0,3*Q	270,161957	-0,3279649	-2,49581158	-0,08097368	-2,05156578	0
xxx	G+Sx+0,3*Sy+0,3*Q	279,086373	2,42283104	-0,26826584	1,4125058	-1,38216487	0,01
xxx	G+Sx-0,3*Sy+0,3*Q	276,660547	1,9014521	-0,93055278	1,12752159	-1,58170434	0,01
xxx	G-Sx+0,3*Sy+0,3*Q	271,749453	-0,8194521	-1,85344722	-0,33952159	-1,85629566	-0,01
xxx	G-Sx-0,3*Sy+0,3*Q	269,323627	-1,34083104	-2,51573416	-0,6245058	-2,05583513	-0,01
xxx	G+Sy+0,3*Sx+0,3*Q	279,348581	1,89630737	-0,05041122	1,13177779	-1,3153146	0,003
xxx	G+Sy-0,3*Sx+0,3*Q	277,147505	0,92362243	-0,52596563	0,60616957	-1,45755383	-0,003
xxx	G-Sy+0,3*Sx+0,3*Q	271,262495	0,15837757	-2,25803437	0,18183043	-1,98044617	0,003

xxx	G-Sy-0,3*Sx+0,3*Q	269,061419	-0,81430737	-2,73358878	-0,34377779	-2,1226854	-0,003
xxx	G+BOMB	259,74	0,73	-0,35	0,48	-1,09	0
xxx	G+BOMB+0,5*Q	284,365	0,915	-0,47	0,62	-1,355	0
xxx	G+BOMB+0,5*V1	260,295	0,22	-0,37	0,205	-1,095	0
xxx	G+BOMB+0,5*V2	260,21	0,27	-0,36	0,23	-1,09	0
xxx	G+BOMB+0,5*V3	259,185	1,24	-0,33	0,755	-1,085	0
xxx	G+BOMB+0,5*V4	259,27	1,19	-0,34	0,73	-1,09	0
xxx	G+BOMB+0,5*V5	263,365	1,025	-1,665	0,635	-1,505	0
xxx	G+BOMB+0,5*V6	264,17	0,56	-1,805	0,39	-1,55	0
xxx	G+BOMB+0,5*V7	256,115	0,435	0,965	0,325	-0,675	0
xxx	G+BOMB+0,5*V8	255,31	0,9	1,105	0,57	-0,63	0
xxx	G+BOMB+0,5*V1+0,3*Q	275,07	0,331	-0,442	0,289	-1,254	0
xxx	G+BOMB+0,5*V2+0,3*Q	274,985	0,381	-0,432	0,314	-1,249	0
xxx	G+BOMB+0,5*V3+0,3*Q	273,96	1,351	-0,402	0,839	-1,244	0
xxx	G+BOMB+0,5*V4+0,3*Q	274,045	1,301	-0,412	0,814	-1,249	0
xxx	G+BOMB+0,5*V5+0,3*Q	278,14	1,136	-1,737	0,719	-1,664	0
xxx	G+BOMB+0,5*V6+0,3*Q	278,945	0,671	-1,877	0,474	-1,709	0
xxx	G+BOMB+0,5*V7+0,3*Q	270,89	0,546	0,893	0,409	-0,834	0
xxx	G+BOMB+0,5*V8+0,3*Q	270,085	1,011	1,033	0,654	-0,789	0
P72	G	204,84	0,16	-1,38	0,05	-1,68	0
xxx	G+Q	247,84	0,14	-1,5	-0,07	-2,13	0
xxx	G+V1	202,86	-0,67	-1,34	-0,42	-1,66	0
xxx	G+V2	203,03	-0,59	-1,35	-0,37	-1,66	0
xxx	G+V3	206,82	0,99	-1,42	0,52	-1,7	0
xxx	G+V4	206,65	0,91	-1,41	0,47	-1,7	0
xxx	G+V5	214,52	0,68	-4,59	0,35	-2,6	0
xxx	G+V6	213,19	-0,1	-4,5	-0,09	-2,57	0
xxx	G+V7	195,16	-0,36	1,83	-0,25	-0,76	0
xxx	G+V8	196,49	0,42	1,74	0,19	-0,79	0
xxx	G+Q+0,6*V1	246,652	-0,358	-1,476	-0,352	-2,118	0
xxx	G+Q+0,6*V2	246,754	-0,31	-1,482	-0,322	-2,118	0
xxx	G+Q+0,6*V3	249,028	0,638	-1,524	0,212	-2,142	0
xxx	G+Q+0,6*V4	248,926	0,59	-1,518	0,182	-2,142	0
xxx	G+Q+0,6*V5	253,648	0,452	-3,426	0,11	-2,682	0
xxx	G+Q+0,6*V6	252,85	-0,016	-3,372	-0,154	-2,664	0
xxx	G+Q+0,6*V7	242,032	-0,172	0,426	-0,25	-1,578	0
xxx	G+Q+0,6*V8	242,83	0,296	0,372	0,014	-1,596	0
xxx	G+V1+0,7*Q	232,96	-0,684	-1,424	-0,504	-1,975	0
xxx	G+V2+0,7*Q	233,13	-0,604	-1,434	-0,454	-1,975	0
xxx	G+V3+0,7*Q	236,92	0,976	-1,504	0,436	-2,015	0
xxx	G+V4+0,7*Q	236,75	0,896	-1,494	0,386	-2,015	0
xxx	G+V5+0,7*Q	244,62	0,666	-4,674	0,266	-2,915	0
xxx	G+V6+0,7*Q	243,29	-0,114	-4,584	-0,174	-2,885	0
xxx	G+V7+0,7*Q	225,26	-0,374	1,746	-0,334	-1,075	0
xxx	G+V8+0,7*Q	226,59	0,406	1,656	0,106	-1,105	0
xxx	G+Sx	208,515418	1,48510377	-0,48456714	0,79525164	-1,44569251	0,01
xxx	G-Sx	201,164582	-1,16510377	-2,27543286	-0,69525164	-1,91430749	-0,01
xxx	G+Sy	209,370243	0,86128454	-0,23296033	0,44874804	-1,37471325	0
xxx	G-Sy	200,309757	-0,54128454	-2,52703967	-0,34874804	-1,98528675	0
xxx	G+Sx+0,3*Sy	209,874491	1,69548913	-0,14045524	0,91487605	-1,35410648	0,01
xxx	G+Sx-0,3*Sy	207,156345	1,27471841	-0,82867904	0,67562722	-1,53727853	0,01
xxx	G-Sx+0,3*Sy	202,523655	-0,95471841	-1,93132096	-0,57562722	-1,82272147	-0,01
xxx	G-Sx-0,3*Sy	199,805509	-1,37548913	-2,61954476	-0,81487605	-2,00589352	-0,01
xxx	G+Sy+0,3*Sx	210,472868	1,25881567	0,03566952	0,67232353	-1,304421	0,003
xxx	G+Sy-0,3*Sx	208,267617	0,4637534	-0,50159019	0,22517255	-1,4450055	-0,003
xxx	G-Sy+0,3*Sx	201,412383	-0,1437534	-2,25840981	-0,12517255	-1,9149945	0,003
xxx	G-Sy-0,3*Sx	199,207132	-0,93881567	-2,79566952	-0,57232353	-2,055579	-0,003
xxx	G+Sx+0,3*Q	221,415418	1,47910377	-0,52056714	0,75925164	-1,58069251	0,01
xxx	G-Sx+0,3*Q	214,064582	-1,17110377	-2,31143286	-0,73125164	-2,04930749	-0,01
xxx	G+Sy+0,3*Q	222,270243	0,85528454	-0,26896033	0,41274804	-1,50971325	0

xxx	G-Sy+0,3*Q	213,209757	-0,54728454	-2,56303967	-0,38474804	-2,12028675	0
xxx	G+Sx+0,3*Sy+0,3*Q	222,774491	1,68948913	-0,17645524	0,87887605	-1,48910648	0,01
xxx	G+Sx-0,3*Sy+0,3*Q	220,056345	1,26871841	-0,86467904	0,63962722	-1,67227853	0,01
xxx	G-Sx+0,3*Sy+0,3*Q	215,423655	-0,96071841	-1,96732096	-0,61162722	-1,95772147	-0,01
xxx	G-Sx-0,3*Sy+0,3*Q	212,705509	-1,38148913	-2,65554476	-0,85087605	-2,14089352	-0,01
xxx	G+Sy+0,3*Sx+0,3*Q	223,372868	1,25281567	-0,00033048	0,63632353	-1,439421	0,003
xxx	G+Sy-0,3*Sx+0,3*Q	221,167617	0,4577534	-0,53759019	0,18917255	-1,5800055	-0,003
xxx	G-Sy+0,3*Sx+0,3*Q	214,312383	-0,1497534	-2,29440981	-0,16117255	-2,0499945	0,003
xxx	G-Sy-0,3*Sx+0,3*Q	212,107132	-0,94481567	-2,83166952	-0,60832353	-2,190579	-0,003
xxx	G+BOMB	205,29	0,42	-0,41	0,21	-1,22	0
xxx	G+BOMB+0,5*Q	226,79	0,41	-0,47	0,15	-1,445	0
xxx	G+BOMB+0,5*V1	204,3	0,005	-0,39	-0,025	-1,21	0
xxx	G+BOMB+0,5*V2	204,385	0,045	-0,395	0	-1,21	0
xxx	G+BOMB+0,5*V3	206,28	0,835	-0,43	0,445	-1,23	0
xxx	G+BOMB+0,5*V4	206,195	0,795	-0,425	0,42	-1,23	0
xxx	G+BOMB+0,5*V5	210,13	0,68	-2,015	0,36	-1,68	0
xxx	G+BOMB+0,5*V6	209,465	0,29	-1,97	0,14	-1,665	0
xxx	G+BOMB+0,5*V7	200,45	0,16	1,195	0,06	-0,76	0
xxx	G+BOMB+0,5*V8	201,115	0,55	1,15	0,28	-0,775	0
xxx	G+BOMB+0,5*V1+0,3*Q	217,2	-0,001	-0,426	-0,061	-1,345	0
xxx	G+BOMB+0,5*V2+0,3*Q	217,285	0,039	-0,431	-0,036	-1,345	0
xxx	G+BOMB+0,5*V3+0,3*Q	219,18	0,829	-0,466	0,409	-1,365	0
xxx	G+BOMB+0,5*V4+0,3*Q	219,095	0,789	-0,461	0,384	-1,365	0
xxx	G+BOMB+0,5*V5+0,3*Q	223,03	0,674	-2,051	0,324	-1,815	0
xxx	G+BOMB+0,5*V6+0,3*Q	222,365	0,284	-2,006	0,104	-1,8	0
xxx	G+BOMB+0,5*V7+0,3*Q	213,35	0,154	1,159	0,024	-0,895	0
xxx	G+BOMB+0,5*V8+0,3*Q	214,015	0,544	1,114	0,244	-0,91	0
P73	G	139,68	-0,13	-0,67	-0,18	-0,84	0
xxx	G+Q	169	-0,11	-0,49	-0,2	-0,82	0
xxx	G+V1	144,44	-0,46	-0,63	-0,37	-0,83	0
xxx	G+V2	144,16	-0,43	-0,64	-0,35	-0,83	0
xxx	G+V3	134,92	0,2	-0,71	0,01	-0,85	0
xxx	G+V4	135,2	0,17	-0,7	-0,01	-0,85	0
xxx	G+V5	148,04	0,08	-2,31	-0,06	-1,11	0
xxx	G+V6	150,88	-0,23	-2,15	-0,23	-1,08	0
xxx	G+V7	131,32	-0,34	0,97	-0,3	-0,57	0
xxx	G+V8	128,48	-0,03	0,81	-0,13	-0,6	0
xxx	G+Q+0,6*V1	171,856	-0,308	-0,466	-0,314	-0,814	0
xxx	G+Q+0,6*V2	171,688	-0,29	-0,472	-0,302	-0,814	0
xxx	G+Q+0,6*V3	166,144	0,088	-0,514	-0,086	-0,826	0
xxx	G+Q+0,6*V4	166,312	0,07	-0,508	-0,098	-0,826	0
xxx	G+Q+0,6*V5	174,016	0,016	-1,474	-0,128	-0,982	0
xxx	G+Q+0,6*V6	175,72	-0,17	-1,378	-0,23	-0,964	0
xxx	G+Q+0,6*V7	163,984	-0,236	0,494	-0,272	-0,658	0
xxx	G+Q+0,6*V8	162,28	-0,05	0,398	-0,17	-0,676	0
xxx	G+V1+0,7*Q	164,964	-0,446	-0,504	-0,384	-0,816	0
xxx	G+V2+0,7*Q	164,684	-0,416	-0,514	-0,364	-0,816	0
xxx	G+V3+0,7*Q	155,444	0,214	-0,584	-0,004	-0,836	0
xxx	G+V4+0,7*Q	155,724	0,184	-0,574	-0,024	-0,836	0
xxx	G+V5+0,7*Q	168,564	0,094	-2,184	-0,074	-1,096	0
xxx	G+V6+0,7*Q	171,404	-0,216	-2,024	-0,244	-1,066	0
xxx	G+V7+0,7*Q	151,844	-0,326	1,096	-0,314	-0,556	0
xxx	G+V8+0,7*Q	149,004	-0,016	0,936	-0,144	-0,586	0
xxx	G+Sx	148,794604	0,40113087	-0,20534959	0,12413813	-0,78	0
xxx	G-Sx	130,565396	-0,66113087	-1,13465041	-0,48413813	-0,9	0
xxx	G+Sy	146,151592	0,14495454	-0,13325052	-0,01906523	-0,7721767	0
xxx	G-Sy	133,208408	-0,40495454	-1,20674948	-0,34093477	-0,9078233	0
xxx	G+Sx+0,3*Sy	150,736081	0,48361723	-0,04432475	0,17241856	-0,75965301	0
xxx	G+Sx-0,3*Sy	146,853126	0,31864451	-0,36637444	0,0758577	-0,80034699	0
xxx	G-Sx+0,3*Sy	132,506874	-0,57864451	-0,97362556	-0,4358577	-0,87965301	0

xxx	G-Sx-0,3*Sy	128,623919	-0,74361723	-1,29567525	-0,53241856	-0,92034699	0
xxx	G+Sy+0,3*Sx	148,885973	0,3042938	0,0061446	0,07217621	-0,7541767	0
xxx	G+Sy-0,3*Sx	143,417211	-0,01438472	-0,27264565	-0,11030667	-0,7901767	0
xxx	G-Sy+0,3*Sx	135,942789	-0,24561528	-1,06735435	-0,24969333	-0,8898233	0
xxx	G-Sy-0,3*Sx	130,474027	-0,5642938	-1,3461446	-0,43217621	-0,9258233	0
xxx	G+Sx+0,3*Q	157,590604	0,40713087	-0,15134959	0,11813813	-0,774	0
xxx	G-Sx+0,3*Q	139,361396	-0,65513087	-1,08065041	-0,49013813	-0,894	0
xxx	G+Sy+0,3*Q	154,947592	0,15095454	-0,07925052	-0,02506523	-0,7661767	0
xxx	G-Sy+0,3*Q	142,004408	-0,39895454	-1,15274948	-0,34693477	-0,9018233	0
xxx	G+Sx+0,3*Sy+0,3*Q	159,532081	0,48961723	0,00967525	0,16641856	-0,75365301	0
xxx	G+Sx-0,3*Sy+0,3*Q	155,649126	0,32464451	-0,31237444	0,0698577	-0,79434699	0
xxx	G-Sx+0,3*Sy+0,3*Q	141,302874	-0,57264451	-0,91962556	-0,4418577	-0,87365301	0
xxx	G-Sx-0,3*Sy+0,3*Q	137,419919	-0,73761723	-1,24167525	-0,53841856	-0,91434699	0
xxx	G+Sy+0,3*Sx+0,3*Q	157,681973	0,3102938	0,0601446	0,06617621	-0,7481767	0
xxx	G+Sy-0,3*Sx+0,3*Q	152,213211	-0,00838472	-0,21864565	-0,11630667	-0,7841767	0
xxx	G-Sy+0,3*Sx+0,3*Q	144,738789	-0,23961528	-1,01335435	-0,25569333	-0,8838233	0
xxx	G-Sy-0,3*Sx+0,3*Q	139,270027	-0,5582938	-1,2921446	-0,43817621	-0,9198233	0
xxx	G+BOMB	139,33	-0,03	-0,21	-0,12	-0,64	0
xxx	G+BOMB+0,5*Q	153,99	-0,02	-0,12	-0,13	-0,63	0
xxx	G+BOMB+0,5*V1	141,71	-0,195	-0,19	-0,215	-0,635	0
xxx	G+BOMB+0,5*V2	141,57	-0,18	-0,195	-0,205	-0,635	0
xxx	G+BOMB+0,5*V3	136,95	0,135	-0,23	-0,025	-0,645	0
xxx	G+BOMB+0,5*V4	137,09	0,12	-0,225	-0,035	-0,645	0
xxx	G+BOMB+0,5*V5	143,51	0,075	-1,03	-0,06	-0,775	0
xxx	G+BOMB+0,5*V6	144,93	-0,08	-0,95	-0,145	-0,76	0
xxx	G+BOMB+0,5*V7	135,15	-0,135	0,61	-0,18	-0,505	0
xxx	G+BOMB+0,5*V8	133,73	0,02	0,53	-0,095	-0,52	0
xxx	G+BOMB+0,5*V1+0,3*Q	150,506	-0,189	-0,136	-0,221	-0,629	0
xxx	G+BOMB+0,5*V2+0,3*Q	150,366	-0,174	-0,141	-0,211	-0,629	0
xxx	G+BOMB+0,5*V3+0,3*Q	145,746	0,141	-0,176	-0,031	-0,639	0
xxx	G+BOMB+0,5*V4+0,3*Q	145,886	0,126	-0,171	-0,041	-0,639	0
xxx	G+BOMB+0,5*V5+0,3*Q	152,306	0,081	-0,976	-0,066	-0,769	0
xxx	G+BOMB+0,5*V6+0,3*Q	153,726	-0,074	-0,896	-0,151	-0,754	0
xxx	G+BOMB+0,5*V7+0,3*Q	143,946	-0,129	0,664	-0,186	-0,499	0
xxx	G+BOMB+0,5*V8+0,3*Q	142,526	0,026	0,584	-0,101	-0,514	0
P75	G	237,39	11,5	-5,19	11,61	-5,78	0
xxx	G+Q	306,12	15,03	-8,03	14,98	-9,13	0
xxx	G+V1	243,37	5,9	-4,86	8,35	-5,61	0
xxx	G+V2	243,17	6,45	-5,11	8,68	-5,76	0
xxx	G+V3	231,41	17,1	-5,52	14,87	-5,95	0
xxx	G+V4	231,61	16,55	-5,27	14,54	-5,8	0
xxx	G+V5	248,08	15,43	-19,04	14,19	-14,43	-0,02
xxx	G+V6	250,21	10	-16,56	10,93	-12,92	0,01
xxx	G+V7	226,7	7,57	8,66	9,03	2,87	0,02
xxx	G+V8	224,57	13	6,18	12,29	1,36	-0,01
xxx	G+Q+0,6*V1	309,708	11,67	-7,832	13,024	-9,028	0
xxx	G+Q+0,6*V2	309,588	12	-7,982	13,222	-9,118	0
xxx	G+Q+0,6*V3	302,532	18,39	-8,228	16,936	-9,232	0
xxx	G+Q+0,6*V4	302,652	18,06	-8,078	16,738	-9,142	0
xxx	G+Q+0,6*V5	312,534	17,388	-16,34	16,528	-14,32	-0,012
xxx	G+Q+0,6*V6	313,812	14,13	-14,852	14,572	-13,414	0,006
xxx	G+Q+0,6*V7	299,706	12,672	0,28	13,432	-3,94	0,012
xxx	G+Q+0,6*V8	298,428	15,93	-1,208	15,388	-4,846	-0,006
xxx	G+V1+0,7*Q	291,481	8,371	-6,848	10,709	-7,955	0
xxx	G+V2+0,7*Q	291,281	8,921	-7,098	11,039	-8,105	0
xxx	G+V3+0,7*Q	279,521	19,571	-7,508	17,229	-8,295	0
xxx	G+V4+0,7*Q	279,721	19,021	-7,258	16,899	-8,145	0
xxx	G+V5+0,7*Q	296,191	17,901	-21,028	16,549	-16,775	-0,02
xxx	G+V6+0,7*Q	298,321	12,471	-18,548	13,289	-15,265	0,01
xxx	G+V7+0,7*Q	274,811	10,041	6,672	11,389	0,525	0,02

xxx	G+V8+0,7*Q	272,681	15,471	4,192	14,649	-0,985	-0,01
xxx	G+Sx	248,977278	20,5192738	-0,50869676	16,8844099	-2,87438475	0,0244949
xxx	G-Sx	225,802722	2,48072619	-9,87130324	6,33559008	-8,68561525	-0,0244949
xxx	G+Sy	245,898149	16,2196292	-0,8528235	14,3001859	-3,07186411	0,01732051
xxx	G-Sy	228,881851	6,78037078	-9,5271765	8,91981413	-8,48813589	-0,01732051
xxx	G+Sx+0,3*Sy	251,529722	21,9351626	0,79245619	17,6914657	-2,06194398	0,02969105
xxx	G+Sx-0,3*Sy	246,424833	19,103385	-1,80984971	16,0773542	-3,68682551	0,01929875
xxx	G-Sx+0,3*Sy	228,355167	3,89661496	-8,57015029	7,14264584	-7,87317449	-0,01929875
xxx	G-Sx-0,3*Sy	223,250278	1,06483743	-11,1724562	5,52853432	-9,49805602	-0,02969105
xxx	G+Sy+0,3*Sx	249,374332	18,9254114	0,55156747	15,8825088	-2,20017953	0,02466898
xxx	G+Sy-0,3*Sx	242,421966	13,5138471	-2,25721447	12,7178629	-3,94354869	0,00997204
xxx	G-Sy+0,3*Sx	232,358034	9,48615292	-8,12278553	10,5021371	-7,61645131	-0,00997204
xxx	G-Sy-0,3*Sx	225,405668	4,07458864	-10,9315675	7,33749116	-9,35982047	-0,02466898
xxx	G+Sx+0,3*Q	269,596278	21,5782738	-1,36069676	17,8954099	-3,87938475	0,0244949
xxx	G-Sx+0,3*Q	246,421722	3,53972619	-10,7233032	7,34659008	-9,69061525	-0,0244949
xxx	G+Sy+0,3*Q	266,517149	17,2786292	-1,7048235	15,3111859	-4,07686411	0,01732051
xxx	G-Sy+0,3*Q	249,500851	7,83937078	-10,3791765	9,93081413	-9,49313589	-0,01732051
xxx	G+Sx+0,3*Sy+0,3*Q	272,148722	22,9941626	-0,05954381	18,7024657	-3,06694398	0,02969105
xxx	G+Sx-0,3*Sy+0,3*Q	267,043833	20,162385	-2,66184971	17,0883542	-4,69182551	0,01929875
xxx	G-Sx+0,3*Sy+0,3*Q	248,974167	4,95561496	-9,42215029	8,15364584	-8,87817449	-0,01929875
xxx	G-Sx-0,3*Sy+0,3*Q	243,869278	2,12383743	-12,0244562	6,53953432	-10,503056	-0,02969105
xxx	G+Sy+0,3*Sx+0,3*Q	269,993332	19,9844114	-0,30043253	16,8935088	-3,20517953	0,02466898
xxx	G+Sy-0,3*Sx+0,3*Q	263,040966	14,5728471	-3,10921447	13,7288629	-4,94854869	0,00997204
xxx	G-Sy+0,3*Sx+0,3*Q	252,977034	10,5451529	-8,97478553	11,5131371	-8,62145131	-0,00997204
xxx	G-Sy-0,3*Sx+0,3*Q	246,024668	5,13358864	-11,7835675	8,34849116	-10,3648205	-0,02466898
xxx	G+BOMB	237,24	12,86	-3,46	12,45	-4,62	-0,01
xxx	G+BOMB+0,5*Q	271,605	14,625	-4,88	14,135	-6,295	-0,01
xxx	G+BOMB+0,5*V1	240,23	10,06	-3,295	10,82	-4,535	-0,01
xxx	G+BOMB+0,5*V2	240,13	10,335	-3,42	10,985	-4,61	-0,01
xxx	G+BOMB+0,5*V3	234,25	15,66	-3,625	14,08	-4,705	-0,01
xxx	G+BOMB+0,5*V4	234,35	15,385	-3,5	13,915	-4,63	-0,01
xxx	G+BOMB+0,5*V5	242,585	14,825	-10,385	13,74	-8,945	-0,02
xxx	G+BOMB+0,5*V6	243,65	12,11	-9,145	12,11	-8,19	-0,005
xxx	G+BOMB+0,5*V7	231,895	10,895	3,465	11,16	-0,295	0
xxx	G+BOMB+0,5*V8	230,83	13,61	2,225	12,79	-1,05	-0,015
xxx	G+BOMB+0,5*V1+0,3*Q	260,849	11,119	-4,147	11,831	-5,54	-0,01
xxx	G+BOMB+0,5*V2+0,3*Q	260,749	11,394	-4,272	11,996	-5,615	-0,01
xxx	G+BOMB+0,5*V3+0,3*Q	254,869	16,719	-4,477	15,091	-5,71	-0,01
xxx	G+BOMB+0,5*V4+0,3*Q	254,969	16,444	-4,352	14,926	-5,635	-0,01
xxx	G+BOMB+0,5*V5+0,3*Q	263,204	15,884	-11,237	14,751	-9,95	-0,02
xxx	G+BOMB+0,5*V6+0,3*Q	264,269	13,169	-9,997	13,121	-9,195	-0,005
xxx	G+BOMB+0,5*V7+0,3*Q	252,514	11,954	2,613	12,171	-1,3	0
xxx	G+BOMB+0,5*V8+0,3*Q	251,449	14,669	1,373	13,801	-2,055	-0,015
P76	G	300,75	-3	-0,95	-3,95	-1,29	0
xxx	G+Q	367,31	-3,99	-1,13	-5,36	-1,79	0
xxx	G+V1	299,85	-6,71	-0,07	-6,12	-0,7	0
xxx	G+V2	300,45	-6,36	-0,58	-5,91	-1,03	0
xxx	G+V3	301,65	0,71	-1,83	-1,78	-1,88	0
xxx	G+V4	301,05	0,36	-1,32	-1,99	-1,55	0
xxx	G+V5	320,95	-0,86	-18,63	-2,68	-12,34	-0,02
xxx	G+V6	315,66	-4,26	-13,59	-4,73	-9,2	0,01
xxx	G+V7	280,55	-5,14	16,73	-5,22	9,76	0,02
xxx	G+V8	285,84	-1,74	11,69	-3,17	6,62	-0,01
xxx	G+Q+0,6*V1	366,77	-6,216	-0,602	-6,662	-1,436	0
xxx	G+Q+0,6*V2	367,13	-6,006	-0,908	-6,536	-1,634	0
xxx	G+Q+0,6*V3	367,85	-1,764	-1,658	-4,058	-2,144	0
xxx	G+Q+0,6*V4	367,49	-1,974	-1,352	-4,184	-1,946	0
xxx	G+Q+0,6*V5	379,43	-2,706	-11,738	-4,598	-8,42	-0,012
xxx	G+Q+0,6*V6	376,256	-4,746	-8,714	-5,828	-6,536	0,006
xxx	G+Q+0,6*V7	355,19	-5,274	9,478	-6,122	4,84	0,012

xxx	G+Q+0,6*V8	358,364	-3,234	6,454	-4,892	2,956	-0,006
xxx	G+V1+0,7*Q	346,442	-7,403	-0,196	-7,107	-1,05	0
xxx	G+V2+0,7*Q	347,042	-7,053	-0,706	-6,897	-1,38	0
xxx	G+V3+0,7*Q	348,242	0,017	-1,956	-2,767	-2,23	0
xxx	G+V4+0,7*Q	347,642	-0,333	-1,446	-2,977	-1,9	0
xxx	G+V5+0,7*Q	367,542	-1,553	-18,756	-3,667	-12,69	-0,02
xxx	G+V6+0,7*Q	362,252	-4,953	-13,716	-5,717	-9,55	0,01
xxx	G+V7+0,7*Q	327,142	-5,833	16,604	-6,207	9,41	0,02
xxx	G+V8+0,7*Q	332,432	-2,433	11,564	-4,157	6,27	-0,01
xxx	G+Sx	310,272967	2,90210979	5,83838714	-0,50417644	2,91819439	0,0244949
xxx	G-Sx	291,227033	-8,90210979	-7,73838714	-7,39582356	-5,49819439	-0,0244949
xxx	G+Sy	307,867998	0,20460606	4,0770369	-2,10872327	1,82977563	0,01732051
xxx	G-Sy	293,632002	-6,20460606	-5,9770369	-5,79127673	-4,40977563	-0,01732051
xxx	G+Sx+0,3*Sy	312,408366	3,86349161	7,34649821	0,04820658	3,85412708	0,02969105
xxx	G+Sx-0,3*Sy	308,137567	1,94072797	4,33027607	-1,05655946	1,9822617	0,01929875
xxx	G-Sx+0,3*Sy	293,362433	-7,94072797	-6,23027607	-6,84344054	-4,5622617	-0,01929875
xxx	G-Sx-0,3*Sy	289,091634	-9,86349161	-9,24649821	-7,94820658	-6,43412708	-0,02969105
xxx	G+Sy+0,3*Sx	310,724888	1,975239	6,11355304	-1,0749762	3,09223395	0,02466898
xxx	G+Sy-0,3*Sx	305,011108	-1,56602688	2,04052076	-3,14247034	0,56731732	0,00997204
xxx	G-Sy+0,3*Sx	296,488892	-4,43397312	-3,94052076	-4,75752966	-3,14731732	-0,00997204
xxx	G-Sy-0,3*Sx	290,775112	-7,975239	-8,01355304	-6,8250238	-5,67223395	-0,02466898
xxx	G+Sx+0,3*Q	330,240967	2,60510979	5,78438714	-0,92717644	2,76819439	0,0244949
xxx	G-Sx+0,3*Q	311,195033	-9,19910979	-7,79238714	-7,81882356	-5,64819439	-0,0244949
xxx	G+Sy+0,3*Q	327,835998	-0,09239394	4,0230369	-2,53172327	1,67977563	0,01732051
xxx	G-Sy+0,3*Q	313,600002	-6,50160606	-6,0310369	-6,21427673	-4,55977563	-0,01732051
xxx	G+Sx+0,3*Sy+0,3*Q	332,376366	3,56649161	7,29249821	-0,37479342	3,70412708	0,02969105
xxx	G+Sx-0,3*Sy+0,3*Q	328,105567	1,64372797	4,27627607	-1,47955946	1,8322617	0,01929875
xxx	G-Sx+0,3*Sy+0,3*Q	313,330433	-8,23772797	-6,28427607	-7,26644054	-4,7122617	-0,01929875
xxx	G-Sx-0,3*Sy+0,3*Q	309,059634	-10,1604916	-9,30049821	-8,37120658	-6,58412708	-0,02969105
xxx	G+Sy+0,3*Sx+0,3*Q	330,692888	1,678239	6,05955304	-1,4979762	2,94223395	0,02466898
xxx	G+Sy-0,3*Sx+0,3*Q	324,979108	-1,86302688	1,98652076	-3,56547034	0,41731732	0,00997204
xxx	G-Sy+0,3*Sx+0,3*Q	316,456892	-4,73097312	-3,99452076	-5,18052966	-3,29731732	-0,00997204
xxx	G-Sy-0,3*Sx+0,3*Q	310,743112	-8,272239	-8,06755304	-7,2480238	-5,82223395	-0,02466898
xxx	G+BOMB	300,55	-2,12	0,6	-3,4	-0,28	-0,01
xxx	G+BOMB+0,5*Q	333,83	-2,615	0,51	-4,105	-0,53	-0,01
xxx	G+BOMB+0,5*V1	300,1	-3,975	1,04	-4,485	0,015	-0,01
xxx	G+BOMB+0,5*V2	300,4	-3,8	0,785	-4,38	-0,15	-0,01
xxx	G+BOMB+0,5*V3	301	-0,265	0,16	-2,315	-0,575	-0,01
xxx	G+BOMB+0,5*V4	300,7	-0,44	0,415	-2,42	-0,41	-0,01
xxx	G+BOMB+0,5*V5	310,65	-1,05	-8,24	-2,765	-5,805	-0,02
xxx	G+BOMB+0,5*V6	308,005	-2,75	-5,72	-3,79	-4,235	-0,005
xxx	G+BOMB+0,5*V7	290,45	-3,19	9,44	-4,035	5,245	0
xxx	G+BOMB+0,5*V8	293,095	-1,49	6,92	-3,01	3,675	-0,015
xxx	G+BOMB+0,5*V1+0,3*Q	320,068	-4,272	0,986	-4,908	-0,135	-0,01
xxx	G+BOMB+0,5*V2+0,3*Q	320,368	-4,097	0,731	-4,803	-0,3	-0,01
xxx	G+BOMB+0,5*V3+0,3*Q	320,968	-0,562	0,106	-2,738	-0,725	-0,01
xxx	G+BOMB+0,5*V4+0,3*Q	320,668	-0,737	0,361	-2,843	-0,56	-0,01
xxx	G+BOMB+0,5*V5+0,3*Q	330,618	-1,347	-8,294	-3,188	-5,955	-0,02
xxx	G+BOMB+0,5*V6+0,3*Q	327,973	-3,047	-5,774	-4,213	-4,385	-0,005
xxx	G+BOMB+0,5*V7+0,3*Q	310,418	-3,487	9,386	-4,458	5,095	0
xxx	G+BOMB+0,5*V8+0,3*Q	313,063	-1,787	6,866	-3,433	3,525	-0,015
PAN1	G	267,68	1,23	1,67	1,2	0,8	0
xxx	G+Q	313,03	1,44	3,21	1,4	1,37	0
xxx	G+V1	264,44	0,86	1,26	0,96	0,63	0
xxx	G+V2	264,45	0,87	1,34	0,97	0,6	0
xxx	G+V3	270,92	1,6	2,08	1,44	0,97	0
xxx	G+V4	270,91	1,59	2	1,43	1	0
xxx	G+V5	269,27	1,27	-33,38	1,19	-5,3	-0,01
xxx	G+V6	269,15	1,14	-34,18	1,11	-4,84	0
xxx	G+V7	266,09	1,19	36,72	1,21	6,9	0,01

xxx	G+V8	266,21	1,32	37,52	1,29	6,44	0
xxx	G+Q+0,6*V1	311,086	1,218	2,964	1,256	1,268	0
xxx	G+Q+0,6*V2	311,092	1,224	3,012	1,262	1,25	0
xxx	G+Q+0,6*V3	314,974	1,662	3,456	1,544	1,472	0
xxx	G+Q+0,6*V4	314,968	1,656	3,408	1,538	1,49	0
xxx	G+Q+0,6*V5	313,984	1,464	-17,82	1,394	-2,29	-0,006
xxx	G+Q+0,6*V6	313,912	1,386	-18,3	1,346	-2,014	0
xxx	G+Q+0,6*V7	312,076	1,416	24,24	1,406	5,03	0,006
xxx	G+Q+0,6*V8	312,148	1,494	24,72	1,454	4,754	0
xxx	G+V1+0,7*Q	296,185	1,007	2,338	1,1	1,029	0
xxx	G+V2+0,7*Q	296,195	1,017	2,418	1,11	0,999	0
xxx	G+V3+0,7*Q	302,665	1,747	3,158	1,58	1,369	0
xxx	G+V4+0,7*Q	302,655	1,737	3,078	1,57	1,399	0
xxx	G+V5+0,7*Q	301,015	1,417	-32,302	1,33	-4,901	-0,01
xxx	G+V6+0,7*Q	300,895	1,287	-33,102	1,25	-4,441	0
xxx	G+V7+0,7*Q	297,835	1,337	37,798	1,35	7,299	0,01
xxx	G+V8+0,7*Q	297,955	1,467	38,598	1,43	6,839	0
xxx	G+Sx	275,880287	2,10452844	8,9308746	1,75072679	2,03166554	0
xxx	G-Sx	259,479713	0,35547156	-5,5908746	0,64927321	-0,43166554	0
xxx	G+Sy	271,818949	1,63447497	14,8465777	1,45980762	3,00766845	0
xxx	G-Sy	263,541051	0,82552503	-11,5065777	0,94019238	-1,40766845	0
xxx	G+Sx+0,3*Sy	277,121971	2,22587093	12,8838479	1,82866908	2,69396608	0
xxx	G+Sx-0,3*Sy	274,638602	1,98318595	4,97790129	1,67278451	1,369365	0
xxx	G-Sx+0,3*Sy	260,721398	0,47681405	-1,63790129	0,72721549	0,230635	0
xxx	G-Sx-0,3*Sy	258,238029	0,23412907	-9,54384791	0,57133092	-1,09396608	0
xxx	G+Sy+0,3*Sx	274,279035	1,8968335	17,0248401	1,62502566	3,37716812	0
xxx	G+Sy-0,3*Sx	269,358863	1,37211644	12,6683153	1,29458958	2,63816879	0
xxx	G-Sy+0,3*Sx	266,001137	1,08788356	-9,32831532	1,10541042	-1,03816879	0
xxx	G-Sy-0,3*Sx	261,080965	0,5631665	-13,6848401	0,77497434	-1,77716812	0
xxx	G+Sx+0,3*Q	289,485287	2,16752844	9,3928746	1,81072679	2,20266554	0
xxx	G-Sx+0,3*Q	273,084713	0,41847156	-5,1288746	0,70927321	-0,26066554	0
xxx	G+Sy+0,3*Q	285,423949	1,69747497	15,3085777	1,51980762	3,17866845	0
xxx	G-Sy+0,3*Q	277,146051	0,88852503	-11,0445777	1,00019238	-1,23666845	0
xxx	G+Sx+0,3*Sy+0,3*Q	290,726971	2,28887093	13,3458479	1,88866908	2,86496608	0
xxx	G+Sx-0,3*Sy+0,3*Q	288,243602	2,04618595	5,43990129	1,73278451	1,540365	0
xxx	G-Sx+0,3*Sy+0,3*Q	274,326398	0,53981405	-1,17590129	0,78721549	0,401635	0
xxx	G-Sx-0,3*Sy+0,3*Q	271,843029	0,29712907	-9,08184791	0,63133092	-0,92296608	0
xxx	G+Sy+0,3*Sx+0,3*Q	287,884035	1,9598335	17,4868401	1,68502566	3,54816812	0
xxx	G+Sy-0,3*Sx+0,3*Q	282,963863	1,43511644	13,1303153	1,35458958	2,80916879	0
xxx	G-Sy+0,3*Sx+0,3*Q	279,606137	1,15088356	-8,86631532	1,16541042	-0,86716879	0
xxx	G-Sy-0,3*Sx+0,3*Q	274,685965	0,6261665	-13,2228401	0,83497434	-1,60616812	0
xxx	G+BOMB	267,49	1,23	3,15	1,2	1,27	0
xxx	G+BOMB+0,5*Q	290,165	1,335	3,92	1,3	1,555	0
xxx	G+BOMB+0,5*V1	265,87	1,045	2,945	1,08	1,185	0
xxx	G+BOMB+0,5*V2	265,875	1,05	2,985	1,085	1,17	0
xxx	G+BOMB+0,5*V3	269,11	1,415	3,355	1,32	1,355	0
xxx	G+BOMB+0,5*V4	269,105	1,41	3,315	1,315	1,37	0
xxx	G+BOMB+0,5*V5	268,285	1,25	-14,375	1,195	-1,78	-0,005
xxx	G+BOMB+0,5*V6	268,225	1,185	-14,775	1,155	-1,55	0
xxx	G+BOMB+0,5*V7	266,695	1,21	20,675	1,205	4,32	0,005
xxx	G+BOMB+0,5*V8	266,755	1,275	21,075	1,245	4,09	0
xxx	G+BOMB+0,5*V1+0,3*Q	279,475	1,108	3,407	1,14	1,356	0
xxx	G+BOMB+0,5*V2+0,3*Q	279,48	1,113	3,447	1,145	1,341	0
xxx	G+BOMB+0,5*V3+0,3*Q	282,715	1,478	3,817	1,38	1,526	0
xxx	G+BOMB+0,5*V4+0,3*Q	282,71	1,473	3,777	1,375	1,541	0
xxx	G+BOMB+0,5*V5+0,3*Q	281,89	1,313	-13,913	1,255	-1,609	-0,005
xxx	G+BOMB+0,5*V6+0,3*Q	281,83	1,248	-14,313	1,215	-1,379	0
xxx	G+BOMB+0,5*V7+0,3*Q	280,3	1,273	21,137	1,265	4,491	0,005
xxx	G+BOMB+0,5*V8+0,3*Q	280,36	1,338	21,537	1,305	4,261	0
PAN2	G	249,41	-0,15	3,12	-0,11	2,67	0

xxx	G+Q	292,66	-0,13	5,25	-0,09	3,86	0
xxx	G+V1	251,47	-0,47	2,9	-0,29	2,6	0
xxx	G+V2	251,49	-0,46	2,87	-0,29	2,55	0
xxx	G+V3	247,35	0,17	3,34	0,07	2,74	0
xxx	G+V4	247,33	0,16	3,37	0,07	2,79	0
xxx	G+V5	251,28	0,04	-32,41	0,04	-1,97	-0,01
xxx	G+V6	250,97	-0,07	-31,91	-0,04	-1,3	0
xxx	G+V7	247,54	-0,34	38,65	-0,26	7,31	0,01
xxx	G+V8	247,85	-0,23	38,15	-0,18	6,64	0
xxx	G+Q+0,6*V1	293,896	-0,322	5,118	-0,198	3,818	0
xxx	G+Q+0,6*V2	293,908	-0,316	5,1	-0,198	3,788	0
xxx	G+Q+0,6*V3	291,424	0,062	5,382	0,018	3,902	0
xxx	G+Q+0,6*V4	291,412	0,056	5,4	0,018	3,932	0
xxx	G+Q+0,6*V5	293,782	-0,016	-16,068	0	1,076	-0,006
xxx	G+Q+0,6*V6	293,596	-0,082	-15,768	-0,048	1,478	0
xxx	G+Q+0,6*V7	291,538	-0,244	26,568	-0,18	6,644	0,006
xxx	G+Q+0,6*V8	291,724	-0,178	26,268	-0,132	6,242	0
xxx	G+V1+0,7*Q	281,745	-0,456	4,391	-0,276	3,433	0
xxx	G+V2+0,7*Q	281,765	-0,446	4,361	-0,276	3,383	0
xxx	G+V3+0,7*Q	277,625	0,184	4,831	0,084	3,573	0
xxx	G+V4+0,7*Q	277,605	0,174	4,861	0,084	3,623	0
xxx	G+V5+0,7*Q	281,555	0,054	-30,919	0,054	-1,137	-0,01
xxx	G+V6+0,7*Q	281,245	-0,056	-30,419	-0,026	-0,467	0
xxx	G+V7+0,7*Q	277,815	-0,326	40,141	-0,246	8,143	0,01
xxx	G+V8+0,7*Q	278,125	-0,216	39,641	-0,166	7,473	0
xxx	G+Sx	254,312163	0,61915538	10,8011913	0,34155288	3,73033014	0
xxx	G-Sx	244,507837	-0,91915538	-4,56119131	-0,56155288	1,60966986	0
xxx	G+Sy	252,636221	0,14614186	16,4269042	0,05124515	4,31590401	0
xxx	G-Sy	246,183779	-0,44614186	-10,1869042	-0,27124515	1,02409599	0
xxx	G+Sx+0,3*Sy	255,280029	0,70799794	14,7932626	0,38992642	4,22410134	0
xxx	G+Sx-0,3*Sy	253,344297	0,53031282	6,80912005	0,29317933	3,23655894	0
xxx	G-Sx+0,3*Sy	245,475703	-0,83031282	-0,56912005	-0,51317933	2,10344106	0
xxx	G-Sx-0,3*Sy	243,539971	-1,00799794	-8,55326258	-0,60992642	1,11589866	0
xxx	G+Sy+0,3*Sx	254,10687	0,37688847	18,7312616	0,18671102	4,63400305	0
xxx	G+Sy-0,3*Sx	251,165572	-0,08460476	14,1225468	-0,08422071	3,99780497	0
xxx	G-Sy+0,3*Sx	247,654428	-0,21539524	-7,88254683	-0,13577929	1,34219503	0
xxx	G-Sy-0,3*Sx	244,71313	-0,67688847	-12,4912616	-0,40671102	0,70599695	0
xxx	G+Sx+0,3*Q	267,287163	0,62515538	11,4401913	0,34755288	4,08733014	0
xxx	G-Sx+0,3*Q	257,482837	-0,91315538	-3,92219131	-0,55555288	1,96666986	0
xxx	G+Sy+0,3*Q	265,611221	0,15214186	17,0659042	0,05724515	4,67290401	0
xxx	G-Sy+0,3*Q	259,158779	-0,44014186	-9,54790422	-0,26524515	1,38109599	0
xxx	G+Sx+0,3*Sy+0,3*Q	268,255029	0,71399794	15,4322626	0,39592642	4,58110134	0
xxx	G+Sx-0,3*Sy+0,3*Q	266,319297	0,53631282	7,44812005	0,29917933	3,59355894	0
xxx	G-Sx+0,3*Sy+0,3*Q	258,450703	-0,82431282	0,06987995	-0,50717933	2,46044106	0
xxx	G-Sx-0,3*Sy+0,3*Q	256,514971	-1,00199794	-7,91426258	-0,60392642	1,47289866	0
xxx	G+Sy+0,3*Sx+0,3*Q	267,08187	0,38288847	19,3702616	0,19271102	4,99100305	0
xxx	G+Sy-0,3*Sx+0,3*Q	264,140572	-0,07860476	14,7615468	-0,07822071	4,35480497	0
xxx	G-Sy+0,3*Sx+0,3*Q	260,629428	-0,20939524	-7,24354683	-0,12977929	1,69919503	0
xxx	G-Sy-0,3*Sx+0,3*Q	257,68813	-0,67088847	-11,8522616	-0,40071102	1,06299695	0
xxx	G+BOMB	249,01	-0,15	4,67	-0,11	3,1	0
xxx	G+BOMB+0,5*Q	270,635	-0,14	5,735	-0,1	3,695	0
xxx	G+BOMB+0,5*V1	250,04	-0,31	4,56	-0,2	3,065	0
xxx	G+BOMB+0,5*V2	250,05	-0,305	4,545	-0,2	3,04	0
xxx	G+BOMB+0,5*V3	247,98	0,01	4,78	-0,02	3,135	0
xxx	G+BOMB+0,5*V4	247,97	0,005	4,795	-0,02	3,16	0
xxx	G+BOMB+0,5*V5	249,945	-0,055	-13,095	-0,035	0,78	-0,005
xxx	G+BOMB+0,5*V6	249,79	-0,11	-12,845	-0,075	1,115	0
xxx	G+BOMB+0,5*V7	248,075	-0,245	22,435	-0,185	5,42	0,005
xxx	G+BOMB+0,5*V8	248,23	-0,19	22,185	-0,145	5,085	0
xxx	G+BOMB+0,5*V1+0,3*Q	263,015	-0,304	5,199	-0,194	3,422	0
xxx	G+BOMB+0,5*V2+0,3*Q	263,025	-0,299	5,184	-0,194	3,397	0

xxx	G+BOMB+0,5*V3+0,3*Q	260,955	0,016	5,419	-0,014	3,492	0
xxx	G+BOMB+0,5*V4+0,3*Q	260,945	0,011	5,434	-0,014	3,517	0
xxx	G+BOMB+0,5*V5+0,3*Q	262,92	-0,049	-12,456	-0,029	1,137	-0,005
xxx	G+BOMB+0,5*V6+0,3*Q	262,765	-0,104	-12,206	-0,069	1,472	0
xxx	G+BOMB+0,5*V7+0,3*Q	261,05	-0,239	23,074	-0,179	5,777	0,005
xxx	G+BOMB+0,5*V8+0,3*Q	261,205	-0,184	22,824	-0,139	5,442	0
PAN3	G	275,24	-0,49	4,97	-0,43	3,29	0
xxx	G+Q	325,93	-0,76	8,87	-0,68	4,98	0
xxx	G+V1	271,07	-0,81	6,04	-0,62	3,53	0
xxx	G+V2	271,28	-0,8	5,05	-0,61	3,4	0
xxx	G+V3	279,41	-0,17	3,9	-0,24	3,05	0
xxx	G+V4	279,2	-0,18	4,89	-0,25	3,18	0
xxx	G+V5	285,89	-0,46	-45,4	-0,44	-4,03	-0,01
xxx	G+V6	283,57	-0,56	-34,23	-0,5	-2,54	0
xxx	G+V7	264,59	-0,52	55,34	-0,42	10,61	0,01
xxx	G+V8	266,91	-0,42	44,17	-0,36	9,12	0
xxx	G+Q+0,6*V1	323,428	-0,952	9,512	-0,794	5,124	0
xxx	G+Q+0,6*V2	323,554	-0,946	8,918	-0,788	5,046	0
xxx	G+Q+0,6*V3	328,432	-0,568	8,228	-0,566	4,836	0
xxx	G+Q+0,6*V4	328,306	-0,574	8,822	-0,572	4,914	0
xxx	G+Q+0,6*V5	332,32	-0,742	-21,352	-0,686	0,588	-0,006
xxx	G+Q+0,6*V6	330,928	-0,802	-14,65	-0,722	1,482	0
xxx	G+Q+0,6*V7	319,54	-0,778	39,092	-0,674	9,372	0,006
xxx	G+Q+0,6*V8	320,932	-0,718	32,39	-0,638	8,478	0
xxx	G+V1+0,7*Q	306,553	-0,999	8,77	-0,795	4,713	0
xxx	G+V2+0,7*Q	306,763	-0,989	7,78	-0,785	4,583	0
xxx	G+V3+0,7*Q	314,893	-0,359	6,63	-0,415	4,233	0
xxx	G+V4+0,7*Q	314,683	-0,369	7,62	-0,425	4,363	0
xxx	G+V5+0,7*Q	321,373	-0,649	-42,67	-0,615	-2,847	-0,01
xxx	G+V6+0,7*Q	319,053	-0,749	-31,5	-0,675	-1,357	0
xxx	G+V7+0,7*Q	300,073	-0,709	58,07	-0,595	11,793	0,01
xxx	G+V8+0,7*Q	302,393	-0,609	46,9	-0,535	10,303	0
xxx	G+Sx	286,806633	0,27197113	21,8168306	0,01022721	5,66743559	0
xxx	G-Sx	263,673367	-1,25197113	-11,8768306	-0,87022721	0,91256441	0
xxx	G+Sy	279,027308	-0,14867904	25,3003714	-0,21976204	5,94401583	0
xxx	G-Sy	271,452692	-0,83132096	-15,3603714	-0,64023796	0,63598417	0
xxx	G+Sx+0,3*Sy	287,942825	0,37436742	27,915942	0,0732986	6,46364034	0
xxx	G+Sx-0,3*Sy	285,670441	0,16957484	15,7177192	-0,05284417	4,87123085	0
xxx	G-Sx+0,3*Sy	264,809559	-1,14957484	-5,77771915	-0,80715583	1,70876915	0
xxx	G-Sx-0,3*Sy	262,537175	-1,35436742	-17,975942	-0,9332986	0,11635966	0
xxx	G+Sy+0,3*Sx	282,497298	0,0799123	30,3544205	-0,08769388	6,6572465	0
xxx	G+Sy-0,3*Sx	275,557318	-0,37727038	20,2463222	-0,3518302	5,23078515	0
xxx	G-Sy+0,3*Sx	274,922682	-0,60272962	-10,3063222	-0,5081698	1,34921485	0
xxx	G-Sy-0,3*Sx	267,982702	-1,0599123	-20,4144205	-0,77230612	-0,0772465	0
xxx	G+Sx+0,3*Q	302,013633	0,19097113	22,9868306	-0,06477279	6,17443559	0
xxx	G-Sx+0,3*Q	278,880367	-1,33297113	-10,7068306	-0,94522721	1,41956441	0
xxx	G+Sy+0,3*Q	294,234308	-0,22967904	26,4703714	-0,29476204	6,45101583	0
xxx	G-Sy+0,3*Q	286,659692	-0,91232096	-14,1903714	-0,71523796	1,14298417	0
xxx	G+Sx+0,3*Sy+0,3*Q	303,149825	0,29336742	29,085942	-0,0017014	6,97064034	0
xxx	G+Sx-0,3*Sy+0,3*Q	300,877441	0,08857484	16,8877192	-0,12784417	5,37823085	0
xxx	G-Sx+0,3*Sy+0,3*Q	280,016559	-1,23057484	-4,60771915	-0,88215583	2,21576915	0
xxx	G-Sx-0,3*Sy+0,3*Q	277,744175	-1,43536742	-16,805942	-1,0082986	0,62335966	0
xxx	G+Sy+0,3*Sx+0,3*Q	297,704298	-0,0010877	31,5244205	-0,16269388	7,1642465	0
xxx	G+Sy-0,3*Sx+0,3*Q	290,764318	-0,45827038	21,4163222	-0,4268302	5,73778515	0
xxx	G-Sy+0,3*Sx+0,3*Q	290,129682	-0,68372962	-9,1363222	-0,5831698	1,85621485	0
xxx	G-Sy-0,3*Sx+0,3*Q	283,189702	-1,1409123	-19,2444205	-0,84730612	0,4297535	0
xxx	G+BOMB	274,53	-0,49	7,56	-0,43	3,93	0
xxx	G+BOMB+0,5*Q	299,875	-0,625	9,51	-0,555	4,775	0
xxx	G+BOMB+0,5*V1	272,445	-0,65	8,095	-0,525	4,05	0
xxx	G+BOMB+0,5*V2	272,55	-0,645	7,6	-0,52	3,985	0

xxx	G+BOMB+0,5*V3	276,615	-0,33	7,025	-0,335	3,81	0
xxx	G+BOMB+0,5*V4	276,51	-0,335	7,52	-0,34	3,875	0
xxx	G+BOMB+0,5*V5	279,855	-0,475	-17,625	-0,435	0,27	-0,005
xxx	G+BOMB+0,5*V6	278,695	-0,525	-12,04	-0,465	1,015	0
xxx	G+BOMB+0,5*V7	269,205	-0,505	32,745	-0,425	7,59	0,005
xxx	G+BOMB+0,5*V8	270,365	-0,455	27,16	-0,395	6,845	0
xxx	G+BOMB+0,5*V1+0,3*Q	287,652	-0,731	9,265	-0,6	4,557	0
xxx	G+BOMB+0,5*V2+0,3*Q	287,757	-0,726	8,77	-0,595	4,492	0
xxx	G+BOMB+0,5*V3+0,3*Q	291,822	-0,411	8,195	-0,41	4,317	0
xxx	G+BOMB+0,5*V4+0,3*Q	291,717	-0,416	8,69	-0,415	4,382	0
xxx	G+BOMB+0,5*V5+0,3*Q	295,062	-0,556	-16,455	-0,51	0,777	-0,005
xxx	G+BOMB+0,5*V6+0,3*Q	293,902	-0,606	-10,87	-0,54	1,522	0
xxx	G+BOMB+0,5*V7+0,3*Q	284,412	-0,586	33,915	-0,5	8,097	0,005
xxx	G+BOMB+0,5*V8+0,3*Q	285,572	-0,536	28,33	-0,47	7,352	0
PAN4	G	258,19	0,28	7,28	0,33	6,47	0
xxx	G+Q	302,6	0,44	12,02	0,49	9,09	0
xxx	G+V1	260,68	-0,09	8,55	0,09	6,8	0
xxx	G+V2	260,76	-0,08	7,42	0,09	6,65	0
xxx	G+V3	255,7	0,65	6,01	0,57	6,14	0
xxx	G+V4	255,62	0,64	7,14	0,57	6,29	0
xxx	G+V5	262,2	0,43	-46,41	0,43	-1,51	-0,01
xxx	G+V6	261,2	0,29	-33,64	0,34	0,13	0
xxx	G+V7	254,18	0,13	60,97	0,23	14,45	0,01
xxx	G+V8	255,18	0,27	48,2	0,32	12,81	0
xxx	G+Q+0,6*V1	304,094	0,218	12,782	0,346	9,288	0
xxx	G+Q+0,6*V2	304,142	0,224	12,104	0,346	9,198	0
xxx	G+Q+0,6*V3	301,106	0,662	11,258	0,634	8,892	0
xxx	G+Q+0,6*V4	301,058	0,656	11,936	0,634	8,982	0
xxx	G+Q+0,6*V5	305,006	0,53	-20,194	0,55	4,302	-0,006
xxx	G+Q+0,6*V6	304,406	0,446	-12,532	0,496	5,286	0
xxx	G+Q+0,6*V7	300,194	0,35	44,234	0,43	13,878	0,006
xxx	G+Q+0,6*V8	300,794	0,434	36,572	0,484	12,894	0
xxx	G+V1+0,7*Q	291,767	0,022	11,868	0,202	8,634	0
xxx	G+V2+0,7*Q	291,847	0,032	10,738	0,202	8,484	0
xxx	G+V3+0,7*Q	286,787	0,762	9,328	0,682	7,974	0
xxx	G+V4+0,7*Q	286,707	0,752	10,458	0,682	8,124	0
xxx	G+V5+0,7*Q	293,287	0,542	-43,092	0,542	0,324	-0,01
xxx	G+V6+0,7*Q	292,287	0,402	-30,322	0,452	1,964	0
xxx	G+V7+0,7*Q	285,267	0,242	64,288	0,342	16,284	0,01
xxx	G+V8+0,7*Q	286,267	0,382	51,518	0,432	14,644	0
xxx	G+Sx	263,560372	1,17235643	25,8979134	0,92430632	9,15242428	0
xxx	G-Sx	252,819628	-0,61235643	-11,3379134	-0,26430632	3,78757572	0
xxx	G+Sy	262,821652	0,64619667	29,1510539	0,56685439	9,31943854	0
xxx	G-Sy	253,558348	-0,08619667	-14,5910539	0,09314561	3,62056146	0
xxx	G+Sx+0,3*Sy	264,949868	1,28221543	32,4592296	0,99536263	10,0072558	0
xxx	G+Sx-0,3*Sy	262,170877	1,06249743	19,3365972	0,85325	8,29759271	0
xxx	G-Sx+0,3*Sy	254,209123	-0,50249743	-4,77659724	-0,19325	4,64240729	0
xxx	G-Sx-0,3*Sy	251,430132	-0,72221543	-17,8992296	-0,33536263	2,93274416	0
xxx	G+Sy+0,3*Sx	264,432764	0,9139036	34,736428	0,74514628	10,1241658	0
xxx	G+Sy-0,3*Sx	261,21054	0,37848974	23,5656799	0,38856249	8,51471126	0
xxx	G-Sy+0,3*Sx	255,16946	0,18151026	-9,0056799	0,27143751	4,42528874	0
xxx	G-Sy-0,3*Sx	251,947236	-0,3539036	-20,176428	-0,08514628	2,81583418	0
xxx	G+Sx+0,3*Q	276,883372	1,22035643	27,3199134	0,97230632	9,93842428	0
xxx	G-Sx+0,3*Q	266,142628	-0,56435643	-9,91591342	-0,21630632	4,57357572	0
xxx	G+Sy+0,3*Q	276,144652	0,69419667	30,5730539	0,61485439	10,1054385	0
xxx	G-Sy+0,3*Q	266,881348	-0,03819667	-13,1690539	0,14114561	4,40656146	0
xxx	G+Sx+0,3*Sy+0,3*Q	278,272868	1,33021543	33,8812296	1,04336263	10,7932558	0
xxx	G+Sx-0,3*Sy+0,3*Q	275,493877	1,11049743	20,7585972	0,90125	9,08359271	0
xxx	G-Sx+0,3*Sy+0,3*Q	267,532123	-0,45449743	-3,35459724	-0,14525	5,42840729	0
xxx	G-Sx-0,3*Sy+0,3*Q	264,753132	-0,67421543	-16,4772296	-0,28736263	3,71874416	0

xxx	G+Sy+0,3*Sx+0,3*Q	277,755764	0,9619036	36,158428	0,79314628	10,9101658	0
xxx	G+Sy-0,3*Sx+0,3*Q	274,53354	0,42648974	24,9876799	0,43656249	9,30071126	0
xxx	G-Sy+0,3*Sx+0,3*Q	268,49246	0,22951026	-7,5836799	0,31943751	5,21128874	0
xxx	G-Sy-0,3*Sx+0,3*Q	265,270236	-0,3059036	-18,754428	-0,03714628	3,60183418	0
xxx	G+BOMB	257,63	0,28	10,09	0,33	7,18	0
xxx	G+BOMB+0,5*Q	279,835	0,36	12,46	0,41	8,49	0
xxx	G+BOMB+0,5*V1	258,875	0,095	10,725	0,21	7,345	0
xxx	G+BOMB+0,5*V2	258,915	0,1	10,16	0,21	7,27	0
xxx	G+BOMB+0,5*V3	256,385	0,465	9,455	0,45	7,015	0
xxx	G+BOMB+0,5*V4	256,345	0,46	10,02	0,45	7,09	0
xxx	G+BOMB+0,5*V5	259,635	0,355	-16,755	0,38	3,19	-0,005
xxx	G+BOMB+0,5*V6	259,135	0,285	-10,37	0,335	4,01	0
xxx	G+BOMB+0,5*V7	255,625	0,205	36,935	0,28	11,17	0,005
xxx	G+BOMB+0,5*V8	256,125	0,275	30,55	0,325	10,35	0
xxx	G+BOMB+0,5*V1+0,3*Q	272,198	0,143	12,147	0,258	8,131	0
xxx	G+BOMB+0,5*V2+0,3*Q	272,238	0,148	11,582	0,258	8,056	0
xxx	G+BOMB+0,5*V3+0,3*Q	269,708	0,513	10,877	0,498	7,801	0
xxx	G+BOMB+0,5*V4+0,3*Q	269,668	0,508	11,442	0,498	7,876	0
xxx	G+BOMB+0,5*V5+0,3*Q	272,958	0,403	-15,333	0,428	3,976	-0,005
xxx	G+BOMB+0,5*V6+0,3*Q	272,458	0,333	-8,948	0,383	4,796	0
xxx	G+BOMB+0,5*V7+0,3*Q	268,948	0,253	38,357	0,328	11,956	0,005
xxx	G+BOMB+0,5*V8+0,3*Q	269,448	0,323	31,972	0,373	11,136	0
PAN5	G	260,61	-0,11	1,42	-0,17	1,82	0
xxx	G+Q	311,66	-0,1	6,06	-0,19	3,51	0
xxx	G+V1	257	-0,45	-0,83	-0,39	1,24	0
xxx	G+V2	256,91	-0,43	0,28	-0,38	1,41	0
xxx	G+V3	264,22	0,23	3,67	0,05	2,4	0
xxx	G+V4	264,31	0,21	2,56	0,04	2,23	0
xxx	G+V5	261,94	-0,02	-27,08	-0,13	-1,99	0
xxx	G+V6	262,74	-0,22	-37,84	-0,28	-3,53	0
xxx	G+V7	259,28	-0,2	29,92	-0,21	5,63	0
xxx	G+V8	258,48	0	40,68	-0,06	7,17	0
xxx	G+Q+0,6*V1	309,494	-0,304	4,71	-0,322	3,162	0
xxx	G+Q+0,6*V2	309,44	-0,292	5,376	-0,316	3,264	0
xxx	G+Q+0,6*V3	313,826	0,104	7,41	-0,058	3,858	0
xxx	G+Q+0,6*V4	313,88	0,092	6,744	-0,064	3,756	0
xxx	G+Q+0,6*V5	312,458	-0,046	-11,04	-0,166	1,224	0
xxx	G+Q+0,6*V6	312,938	-0,166	-17,496	-0,256	0,3	0
xxx	G+Q+0,6*V7	310,862	-0,154	23,16	-0,214	5,796	0
xxx	G+Q+0,6*V8	310,382	-0,034	29,616	-0,124	6,72	0
xxx	G+V1+0,7*Q	292,735	-0,443	2,418	-0,404	2,423	0
xxx	G+V2+0,7*Q	292,645	-0,423	3,528	-0,394	2,593	0
xxx	G+V3+0,7*Q	299,955	0,237	6,918	0,036	3,583	0
xxx	G+V4+0,7*Q	300,045	0,217	5,808	0,026	3,413	0
xxx	G+V5+0,7*Q	297,675	-0,013	-23,832	-0,144	-0,807	0
xxx	G+V6+0,7*Q	298,475	-0,213	-34,592	-0,294	-2,347	0
xxx	G+V7+0,7*Q	295,015	-0,193	33,168	-0,224	6,813	0
xxx	G+V8+0,7*Q	294,215	0,007	43,928	-0,074	8,353	0
xxx	G+Sx	266,188745	0,42721504	14,0215991	0,18693137	3,6384059	0
xxx	G-Sx	255,031255	-0,64721504	-11,1815991	-0,52693137	0,0015941	0
xxx	G+Sy	265,774088	0,22778692	17,5597615	0,03880613	3,66962158	0
xxx	G-Sy	255,445912	-0,44778692	-14,7197615	-0,37880613	-0,02962158	0
xxx	G+Sx+0,3*Sy	267,737972	0,52855112	18,8635275	0,24957321	4,19329237	0
xxx	G+Sx-0,3*Sy	264,639519	0,32587897	9,17967067	0,12428953	3,08351942	0
xxx	G-Sx+0,3*Sy	256,580481	-0,54587897	-6,33967067	-0,46428953	0,55648058	0
xxx	G-Sx-0,3*Sy	253,482028	-0,74855112	-16,0235275	-0,58957321	-0,55329237	0
xxx	G+Sy+0,3*Sx	267,447711	0,38895143	21,3402412	0,14588554	4,21514335	0
xxx	G+Sy-0,3*Sx	264,100464	0,0666224	13,7792817	-0,06827328	3,12409981	0
xxx	G-Sy+0,3*Sx	257,119536	-0,2866224	-10,9392817	-0,27172672	0,51590019	0
xxx	G-Sy-0,3*Sx	253,772289	-0,60895143	-18,5002412	-0,48588554	-0,57514335	0

xxx	G+Sx+0,3*Q	281,503745	0,43021504	15,4135991	0,18093137	4,1454059	0
xxx	G-Sx+0,3*Q	270,346255	-0,64421504	-9,7895991	-0,53293137	0,5085941	0
xxx	G+Sy+0,3*Q	281,089088	0,23078692	18,9517615	0,03280613	4,17662158	0
xxx	G-Sy+0,3*Q	270,760912	-0,44478692	-13,3277615	-0,38480613	0,47737842	0
xxx	G+Sx+0,3*Sy+0,3*Q	283,052972	0,53155112	20,2555275	0,24357321	4,70029237	0
xxx	G+Sx-0,3*Sy+0,3*Q	279,954519	0,32887897	10,5716707	0,11828953	3,59051942	0
xxx	G-Sx+0,3*Sy+0,3*Q	271,895481	-0,54287897	-4,94767067	-0,47028953	1,06348058	0
xxx	G-Sx-0,3*Sy+0,3*Q	268,797028	-0,74555112	-14,6315275	-0,59557321	-0,04629237	0
xxx	G+Sy+0,3*Sx+0,3*Q	282,762711	0,39195143	22,7322412	0,13988554	4,72214335	0
xxx	G+Sy-0,3*Sx+0,3*Q	279,415464	0,0696224	15,1712817	-0,07427328	3,63109981	0
xxx	G-Sy+0,3*Sx+0,3*Q	272,434536	-0,2836224	-9,54728173	-0,27772672	1,02290019	0
xxx	G-Sy-0,3*Sx+0,3*Q	269,087289	-0,60595143	-17,1082412	-0,49188554	-0,06814335	0
xxx	G+BOMB	258,83	-0,05	14,34	-0,13	5,77	0
xxx	G+BOMB+0,5*Q	284,355	-0,045	16,66	-0,14	6,615	0
xxx	G+BOMB+0,5*V1	257,025	-0,22	13,215	-0,24	5,48	0
xxx	G+BOMB+0,5*V2	256,98	-0,21	13,77	-0,235	5,565	0
xxx	G+BOMB+0,5*V3	260,635	0,12	15,465	-0,02	6,06	0
xxx	G+BOMB+0,5*V4	260,68	0,11	14,91	-0,025	5,975	0
xxx	G+BOMB+0,5*V5	259,495	-0,005	0,09	-0,11	3,865	0
xxx	G+BOMB+0,5*V6	259,895	-0,105	-5,29	-0,185	3,095	0
xxx	G+BOMB+0,5*V7	258,165	-0,095	28,59	-0,15	7,675	0
xxx	G+BOMB+0,5*V8	257,765	0,005	33,97	-0,075	8,445	0
xxx	G+BOMB+0,5*V1+0,3*Q	272,34	-0,217	14,607	-0,246	5,987	0
xxx	G+BOMB+0,5*V2+0,3*Q	272,295	-0,207	15,162	-0,241	6,072	0
xxx	G+BOMB+0,5*V3+0,3*Q	275,95	0,123	16,857	-0,026	6,567	0
xxx	G+BOMB+0,5*V4+0,3*Q	275,995	0,113	16,302	-0,031	6,482	0
xxx	G+BOMB+0,5*V5+0,3*Q	274,81	-0,002	1,482	-0,116	4,372	0
xxx	G+BOMB+0,5*V6+0,3*Q	275,21	-0,102	-3,898	-0,191	3,602	0
xxx	G+BOMB+0,5*V7+0,3*Q	273,48	-0,092	29,982	-0,156	8,182	0
xxx	G+BOMB+0,5*V8+0,3*Q	273,08	0,008	35,362	-0,081	8,952	0
PAN6	G	270,07	0,53	1,79	0,51	2,23	0
xxx	G+Q	322,65	0,85	6,64	0,82	4,3	0
xxx	G+V1	274,69	0,18	-0,12	0,28	1,76	0
xxx	G+V2	274,59	0,2	0,85	0,29	1,91	0
xxx	G+V3	265,45	0,88	3,7	0,74	2,7	0
xxx	G+V4	265,55	0,86	2,73	0,73	2,55	0
xxx	G+V5	275,21	0,75	-27,61	0,69	-1,93	0
xxx	G+V6	276,61	0,58	-36,97	0,58	-3,4	0
xxx	G+V7	264,93	0,31	31,19	0,33	6,39	0
xxx	G+V8	263,53	0,48	40,55	0,44	7,86	0
xxx	G+Q+0,6*V1	325,422	0,64	5,494	0,682	4,018	0
xxx	G+Q+0,6*V2	325,362	0,652	6,076	0,688	4,108	0
xxx	G+Q+0,6*V3	319,878	1,06	7,786	0,958	4,582	0
xxx	G+Q+0,6*V4	319,938	1,048	7,204	0,952	4,492	0
xxx	G+Q+0,6*V5	325,734	0,982	-11	0,928	1,804	0
xxx	G+Q+0,6*V6	326,574	0,88	-16,616	0,862	0,922	0
xxx	G+Q+0,6*V7	319,566	0,718	24,28	0,712	6,796	0
xxx	G+Q+0,6*V8	318,726	0,82	29,896	0,778	7,678	0
xxx	G+V1+0,7*Q	311,496	0,404	3,275	0,497	3,209	0
xxx	G+V2+0,7*Q	311,396	0,424	4,245	0,507	3,359	0
xxx	G+V3+0,7*Q	302,256	1,104	7,095	0,957	4,149	0
xxx	G+V4+0,7*Q	302,356	1,084	6,125	0,947	3,999	0
xxx	G+V5+0,7*Q	312,016	0,974	-24,215	0,907	-0,481	0
xxx	G+V6+0,7*Q	313,416	0,804	-33,575	0,797	-1,951	0
xxx	G+V7+0,7*Q	301,736	0,534	34,585	0,547	7,839	0
xxx	G+V8+0,7*Q	300,336	0,704	43,945	0,657	9,309	0
xxx	G+Sx	277,941417	1,07092513	13,6922477	0,85957117	3,98823775	0
xxx	G-Sx	262,198583	-0,01092513	-10,1122477	0,16042883	0,47176225	0
xxx	G+Sy	275,531135	0,90509999	17,5142647	0,76059928	4,20218153	0
xxx	G-Sy	264,608865	0,15490001	-13,9342647	0,25940072	0,25781847	0

xxx	G+Sx+0,3*Sy	279,579757	1,18345513	18,4095271	0,93475095	4,57989221	0
xxx	G+Sx-0,3*Sy	276,303076	0,95839514	8,97496828	0,78439138	3,39658329	0
xxx	G-Sx+0,3*Sy	263,836924	0,10160486	-5,39496828	0,23560862	1,06341671	0
xxx	G-Sx-0,3*Sy	260,560243	-0,12345513	-14,8295271	0,08524905	-0,11989221	0
xxx	G+Sy+0,3*Sx	277,89256	1,06737753	21,084939	0,86547063	4,72965286	0
xxx	G+Sy-0,3*Sx	273,16971	0,74282245	13,9435904	0,65572793	3,67471021	0
xxx	G-Sy+0,3*Sx	266,97029	0,31717755	-10,3635904	0,36427207	0,78528979	0
xxx	G-Sy-0,3*Sx	262,24744	-0,00737753	-17,504939	0,15452937	-0,26965286	0
xxx	G+Sx+0,3*Q	293,715417	1,16692513	15,1472477	0,95257117	4,60923775	0
xxx	G-Sx+0,3*Q	277,972583	0,08507487	-8,65724769	0,25342883	1,09276225	0
xxx	G+Sy+0,3*Q	291,305135	1,00109999	18,9692647	0,85359928	4,82318153	0
xxx	G-Sy+0,3*Q	280,382865	0,25090001	-12,4792647	0,35240072	0,87881847	0
xxx	G+Sx+0,3*Sy+0,3*Q	295,353757	1,27945513	19,8645271	1,02775095	5,20089221	0
xxx	G+Sx-0,3*Sy+0,3*Q	292,077076	1,05439514	10,4299683	0,87739138	4,01758329	0
xxx	G-Sx+0,3*Sy+0,3*Q	279,610924	0,19760486	-3,93996828	0,32860862	1,68441671	0
xxx	G-Sx-0,3*Sy+0,3*Q	276,334243	-0,02745513	-13,3745271	0,17824905	0,50110779	0
xxx	G+Sy+0,3*Sx+0,3*Q	293,66656	1,16337753	22,539939	0,95847063	5,35065286	0
xxx	G+Sy-0,3*Sx+0,3*Q	288,94371	0,83882245	15,3985904	0,74872793	4,29571021	0
xxx	G-Sy+0,3*Sx+0,3*Q	282,74429	0,41317755	-8,90859038	0,45727207	1,40628979	0
xxx	G-Sy-0,3*Sx+0,3*Q	278,02144	0,08862247	-16,049939	0,24752937	0,35134714	0
xxx	G+BOMB	267,04	0,57	14,25	0,53	6,11	0
xxx	G+BOMB+0,5*Q	293,33	0,73	16,675	0,685	7,145	0
xxx	G+BOMB+0,5*V1	269,35	0,395	13,295	0,415	5,875	0
xxx	G+BOMB+0,5*V2	269,3	0,405	13,78	0,42	5,95	0
xxx	G+BOMB+0,5*V3	264,73	0,745	15,205	0,645	6,345	0
xxx	G+BOMB+0,5*V4	264,78	0,735	14,72	0,64	6,27	0
xxx	G+BOMB+0,5*V5	269,61	0,68	-0,45	0,62	4,03	0
xxx	G+BOMB+0,5*V6	270,31	0,595	-5,13	0,565	3,295	0
xxx	G+BOMB+0,5*V7	264,47	0,46	28,95	0,44	8,19	0
xxx	G+BOMB+0,5*V8	263,77	0,545	33,63	0,495	8,925	0
xxx	G+BOMB+0,5*V1+0,3*Q	285,124	0,491	14,75	0,508	6,496	0
xxx	G+BOMB+0,5*V2+0,3*Q	285,074	0,501	15,235	0,513	6,571	0
xxx	G+BOMB+0,5*V3+0,3*Q	280,504	0,841	16,66	0,738	6,966	0
xxx	G+BOMB+0,5*V4+0,3*Q	280,554	0,831	16,175	0,733	6,891	0
xxx	G+BOMB+0,5*V5+0,3*Q	285,384	0,776	1,005	0,713	4,651	0
xxx	G+BOMB+0,5*V6+0,3*Q	286,084	0,691	-3,675	0,658	3,916	0
xxx	G+BOMB+0,5*V7+0,3*Q	280,244	0,556	30,405	0,533	8,811	0
xxx	G+BOMB+0,5*V8+0,3*Q	279,544	0,641	35,085	0,588	9,546	0
PAN7	G	223,36	0,1	3,72	0,05	3,22	0
xxx	G+Q	265,13	0,16	8,93	0,08	5,81	0
xxx	G+V1	220,63	-0,25	4,73	-0,18	3,56	0
xxx	G+V2	220,61	-0,23	4,34	-0,17	3,5	0
xxx	G+V3	226,09	0,45	2,71	0,28	2,88	0
xxx	G+V4	226,11	0,43	3,1	0,27	2,94	0
xxx	G+V5	223,46	0,19	-31,27	0,09	0,33	0
xxx	G+V6	223,38	0,01	-27,61	-0,03	0,9	0
xxx	G+V7	223,26	0,01	38,71	0,01	6,11	0
xxx	G+V8	223,34	0,19	35,05	0,13	5,54	0
xxx	G+Q+0,6*V1	263,492	-0,05	9,536	-0,058	6,014	0
xxx	G+Q+0,6*V2	263,48	-0,038	9,302	-0,052	5,978	0
xxx	G+Q+0,6*V3	266,768	0,37	8,324	0,218	5,606	0
xxx	G+Q+0,6*V4	266,78	0,358	8,558	0,212	5,642	0
xxx	G+Q+0,6*V5	265,19	0,214	-12,064	0,104	4,076	0
xxx	G+Q+0,6*V6	265,142	0,106	-9,868	0,032	4,418	0
xxx	G+Q+0,6*V7	265,07	0,106	29,924	0,056	7,544	0
xxx	G+Q+0,6*V8	265,118	0,214	27,728	0,128	7,202	0
xxx	G+V1+0,7*Q	249,869	-0,208	8,377	-0,159	5,373	0
xxx	G+V2+0,7*Q	249,849	-0,188	7,987	-0,149	5,313	0
xxx	G+V3+0,7*Q	255,329	0,492	6,357	0,301	4,693	0
xxx	G+V4+0,7*Q	255,349	0,472	6,747	0,291	4,753	0

xxx	G+V5+0,7*Q	252,699	0,232	-27,623	0,111	2,143	0
xxx	G+V6+0,7*Q	252,619	0,052	-23,963	-0,009	2,713	0
xxx	G+V7+0,7*Q	252,499	0,052	42,357	0,031	7,923	0
xxx	G+V8+0,7*Q	252,579	0,232	38,697	0,151	7,353	0
xxx	G+Sx	226,63185	0,65461698	14,0195388	0,41701499	3,95763134	0
xxx	G-Sx	220,08815	-0,45461698	-6,57953882	-0,31701499	2,48236866	0
xxx	G+Sy	226,210281	0,46400549	15,2975386	0,28558438	3,91086902	0
xxx	G-Sy	220,509719	-0,26400549	-7,8575386	-0,18558438	2,52913098	0
xxx	G+Sx+0,3*Sy	227,486934	0,76381863	17,4928004	0,4876903	4,16489205	0
xxx	G+Sx-0,3*Sy	225,776765	0,54541534	10,5462772	0,34633967	3,75037064	0
xxx	G-Sx+0,3*Sy	220,943235	-0,34541534	-3,10627725	-0,24633967	2,68962936	0
xxx	G-Sx-0,3*Sy	219,233066	-0,56381863	-10,0528004	-0,3876903	2,27510795	0
xxx	G+Sy+0,3*Sx	227,191836	0,63039059	18,3874002	0,39568888	4,13215842	0
xxx	G+Sy-0,3*Sx	225,228726	0,2976204	12,207677	0,17547988	3,68957961	0
xxx	G-Sy+0,3*Sx	221,491274	-0,0976204	-4,76767695	-0,07547988	2,75042039	0
xxx	G-Sy-0,3*Sx	219,528164	-0,43039059	-10,9474002	-0,29568888	2,30784158	0
xxx	G+Sx+0,3*Q	239,16285	0,67261698	15,5825388	0,42601499	4,73463134	0
xxx	G-Sx+0,3*Q	232,61915	-0,43661698	-5,01653882	-0,30801499	3,25936866	0
xxx	G+Sy+0,3*Q	238,741281	0,48200549	16,8605386	0,29458438	4,68786902	0
xxx	G-Sy+0,3*Q	233,040719	-0,24600549	-6,2945386	-0,17658438	3,30613098	0
xxx	G+Sx+0,3*Sy+0,3*Q	240,017934	0,78181863	19,0558004	0,4966903	4,94189205	0
xxx	G+Sx-0,3*Sy+0,3*Q	238,307765	0,56341534	12,1092772	0,35533967	4,52737064	0
xxx	G-Sx+0,3*Sy+0,3*Q	233,474235	-0,32741534	-1,54327725	-0,23733967	3,46662936	0
xxx	G-Sx-0,3*Sy+0,3*Q	231,764066	-0,54581863	-8,4898004	-0,3786903	3,05210795	0
xxx	G+Sy+0,3*Sx+0,3*Q	239,722836	0,64839059	19,9504002	0,40468888	4,90915842	0
xxx	G+Sy-0,3*Sx+0,3*Q	237,759726	0,3156204	13,770677	0,18447988	4,46657961	0
xxx	G-Sy+0,3*Sx+0,3*Q	234,022274	-0,0796204	-3,20467695	-0,06647988	3,52742039	0
xxx	G-Sy-0,3*Sx+0,3*Q	232,059164	-0,41239059	-9,38440025	-0,28668888	3,08484158	0
xxx	G+BOMB	222,13	0,16	11,52	0,09	5,33	0
xxx	G+BOMB+0,5*Q	243,015	0,19	14,125	0,105	6,625	0
xxx	G+BOMB+0,5*V1	220,765	-0,015	12,025	-0,025	5,5	0
xxx	G+BOMB+0,5*V2	220,755	-0,005	11,83	-0,02	5,47	0
xxx	G+BOMB+0,5*V3	223,495	0,335	11,015	0,205	5,16	0
xxx	G+BOMB+0,5*V4	223,505	0,325	11,21	0,2	5,19	0
xxx	G+BOMB+0,5*V5	222,18	0,205	-5,975	0,11	3,885	0
xxx	G+BOMB+0,5*V6	222,14	0,115	-4,145	0,05	4,17	0
xxx	G+BOMB+0,5*V7	222,08	0,115	29,015	0,07	6,775	0
xxx	G+BOMB+0,5*V8	222,12	0,205	27,185	0,13	6,49	0
xxx	G+BOMB+0,5*V1+0,3*Q	233,296	0,003	13,588	-0,016	6,277	0
xxx	G+BOMB+0,5*V2+0,3*Q	233,286	0,013	13,393	-0,011	6,247	0
xxx	G+BOMB+0,5*V3+0,3*Q	236,026	0,353	12,578	0,214	5,937	0
xxx	G+BOMB+0,5*V4+0,3*Q	236,036	0,343	12,773	0,209	5,967	0
xxx	G+BOMB+0,5*V5+0,3*Q	234,711	0,223	-4,412	0,119	4,662	0
xxx	G+BOMB+0,5*V6+0,3*Q	234,671	0,133	-2,582	0,059	4,947	0
xxx	G+BOMB+0,5*V7+0,3*Q	234,611	0,133	30,578	0,079	7,552	0
xxx	G+BOMB+0,5*V8+0,3*Q	234,651	0,223	28,748	0,139	7,267	0
PAN8	G	210,37	-0,83	2,83	-0,94	1,24	0
xxx	G+Q	254,13	-0,97	7,6	-1,12	2,99	0
xxx	G+V1	210,59	-1,22	4,21	-1,21	1,75	0
xxx	G+V2	210,82	-1,2	3,65	-1,2	1,63	0
xxx	G+V3	210,15	-0,44	1,45	-0,67	0,73	0
xxx	G+V4	209,92	-0,46	2,01	-0,68	0,85	0
xxx	G+V5	227,39	-0,63	-33,73	-0,78	-3,24	0
xxx	G+V6	225,17	-0,83	-28,44	-0,93	-2,2	0
xxx	G+V7	193,35	-1,03	39,39	-1,1	5,72	0
xxx	G+V8	195,57	-0,83	34,1	-0,95	4,68	0
xxx	G+Q+0,6*V1	254,262	-1,204	8,428	-1,282	3,296	0
xxx	G+Q+0,6*V2	254,4	-1,192	8,092	-1,276	3,224	0
xxx	G+Q+0,6*V3	253,998	-0,736	6,772	-0,958	2,684	0
xxx	G+Q+0,6*V4	253,86	-0,748	7,108	-0,964	2,756	0

xxx	G+Q+0,6*V5	264,342	-0,85	-14,336	-1,024	0,302	0
xxx	G+Q+0,6*V6	263,01	-0,97	-11,162	-1,114	0,926	0
xxx	G+Q+0,6*V7	243,918	-1,09	29,536	-1,216	5,678	0
xxx	G+Q+0,6*V8	245,25	-0,97	26,362	-1,126	5,054	0
xxx	G+V1+0,7*Q	241,222	-1,318	7,549	-1,336	2,975	0
xxx	G+V2+0,7*Q	241,452	-1,298	6,989	-1,326	2,855	0
xxx	G+V3+0,7*Q	240,782	-0,538	4,789	-0,796	1,955	0
xxx	G+V4+0,7*Q	240,552	-0,558	5,349	-0,806	2,075	0
xxx	G+V5+0,7*Q	258,022	-0,728	-30,391	-0,906	-2,015	0
xxx	G+V6+0,7*Q	255,802	-0,928	-25,101	-1,056	-0,975	0
xxx	G+V7+0,7*Q	223,982	-1,128	42,729	-1,226	6,945	0
xxx	G+V8+0,7*Q	226,202	-0,928	37,439	-1,076	5,905	0
xxx	G+Sx	216,574603	-0,23083391	13,9561943	-0,52166999	2,52386136	0
xxx	G-Sx	204,165397	-1,42916609	-8,29619432	-1,35833001	-0,04386136	0
xxx	G+Sy	216,432664	-0,42122133	14,3658831	-0,65786528	2,35045036	0
xxx	G-Sy	204,307336	-1,23877867	-8,70588315	-1,22213472	0,12954964	0
xxx	G+Sx+0,3*Sy	218,393402	-0,10820031	17,4169593	-0,43702957	2,85699647	0
xxx	G+Sx-0,3*Sy	214,755804	-0,35346751	10,4954294	-0,6063104	2,19072626	0
xxx	G-Sx+0,3*Sy	205,984196	-1,30653249	-4,83542937	-1,2736896	0,28927374	0
xxx	G-Sx-0,3*Sy	202,346598	-1,55179969	-11,7569593	-1,44297043	-0,37699647	0
xxx	G+Sy+0,3*Sx	218,294045	-0,24147151	17,7037414	-0,53236628	2,73560877	0
xxx	G+Sy-0,3*Sx	214,571283	-0,60097116	11,0280249	-0,78336428	1,96529195	0
xxx	G-Sy+0,3*Sx	206,168717	-1,05902884	-5,36802485	-1,09663572	0,51470805	0
xxx	G-Sy-0,3*Sx	202,445955	-1,41852849	-12,0437414	-1,34763372	-0,25560877	0
xxx	G+Sx+0,3*Q	229,702603	-0,27283391	15,3871943	-0,57566999	3,04886136	0
xxx	G-Sx+0,3*Q	217,293397	-1,47116609	-6,86519432	-1,41233001	0,48113864	0
xxx	G+Sy+0,3*Q	229,560664	-0,46322133	15,7968831	-0,71186528	2,87545036	0
xxx	G-Sy+0,3*Q	217,435336	-1,28077867	-7,27488315	-1,27613472	0,65454964	0
xxx	G+Sx+0,3*Sy+0,3*Q	231,521402	-0,15020031	18,8479593	-0,49102957	3,38199647	0
xxx	G+Sx-0,3*Sy+0,3*Q	227,883804	-0,39546751	11,9264294	-0,6603104	2,71572626	0
xxx	G-Sx+0,3*Sy+0,3*Q	219,112196	-1,34853249	-3,40442937	-1,3276896	0,81427374	0
xxx	G-Sx-0,3*Sy+0,3*Q	215,474598	-1,59379969	-10,3259593	-1,49697043	0,14800353	0
xxx	G+Sy+0,3*Sx+0,3*Q	231,422045	-0,28347151	19,1347414	-0,58636628	3,26060877	0
xxx	G+Sy-0,3*Sx+0,3*Q	227,699283	-0,64297116	12,4590249	-0,83736428	2,49029195	0
xxx	G-Sy+0,3*Sx+0,3*Q	219,296717	-1,10102884	-3,93702485	-1,15063572	1,03970805	0
xxx	G-Sy-0,3*Sx+0,3*Q	215,573955	-1,46052849	-10,6127414	-1,40163372	0,26939123	0
xxx	G+BOMB	209,42	-0,79	10,26	-0,91	3,46	0
xxx	G+BOMB+0,5*Q	231,3	-0,86	12,645	-1	4,335	0
xxx	G+BOMB+0,5*V1	209,53	-0,985	10,95	-1,045	3,715	0
xxx	G+BOMB+0,5*V2	209,645	-0,975	10,67	-1,04	3,655	0
xxx	G+BOMB+0,5*V3	209,31	-0,595	9,57	-0,775	3,205	0
xxx	G+BOMB+0,5*V4	209,195	-0,605	9,85	-0,78	3,265	0
xxx	G+BOMB+0,5*V5	217,93	-0,69	-8,02	-0,83	1,22	0
xxx	G+BOMB+0,5*V6	216,82	-0,79	-5,375	-0,905	1,74	0
xxx	G+BOMB+0,5*V7	200,91	-0,89	28,54	-0,99	5,7	0
xxx	G+BOMB+0,5*V8	202,02	-0,79	25,895	-0,915	5,18	0
xxx	G+BOMB+0,5*V1+0,3*Q	222,658	-1,027	12,381	-1,099	4,24	0
xxx	G+BOMB+0,5*V2+0,3*Q	222,773	-1,017	12,101	-1,094	4,18	0
xxx	G+BOMB+0,5*V3+0,3*Q	222,438	-0,637	11,001	-0,829	3,73	0
xxx	G+BOMB+0,5*V4+0,3*Q	222,323	-0,647	11,281	-0,834	3,79	0
xxx	G+BOMB+0,5*V5+0,3*Q	231,058	-0,732	-6,589	-0,884	1,745	0
xxx	G+BOMB+0,5*V6+0,3*Q	229,948	-0,832	-3,944	-0,959	2,265	0
xxx	G+BOMB+0,5*V7+0,3*Q	214,038	-0,932	29,971	-1,044	6,225	0
xxx	G+BOMB+0,5*V8+0,3*Q	215,148	-0,832	27,326	-0,969	5,705	0
R1	G	20,48	0,04	-0,28	0,08	-0,2	0
xxx	G+Q	28,01	0,04	-0,42	0,1	-0,3	0
xxx	G+V1	19,68	-0,4	-0,33	-0,1	-0,22	0
xxx	G+V2	19,73	-0,37	-0,26	-0,09	-0,19	0
xxx	G+V3	21,28	0,48	-0,23	0,26	-0,18	0
xxx	G+V4	21,23	0,45	-0,3	0,25	-0,21	0

xxx	G+V5	21,29	0,42	-1,31	0,24	-0,62	0
xxx	G+V6	20,79	0,07	-2,12	0,1	-0,95	0
xxx	G+V7	19,67	-0,34	0,75	-0,08	0,22	0
xxx	G+V8	20,17	0,01	1,56	0,06	0,55	0
xxx	G+Q+0,6*V1	27,53	-0,224	-0,45	-0,008	-0,312	0
xxx	G+Q+0,6*V2	27,56	-0,206	-0,408	-0,002	-0,294	0
xxx	G+Q+0,6*V3	28,49	0,304	-0,39	0,208	-0,288	0
xxx	G+Q+0,6*V4	28,46	0,286	-0,432	0,202	-0,306	0
xxx	G+Q+0,6*V5	28,496	0,268	-1,038	0,196	-0,552	0
xxx	G+Q+0,6*V6	28,196	0,058	-1,524	0,112	-0,75	0
xxx	G+Q+0,6*V7	27,524	-0,188	0,198	0,004	-0,048	0
xxx	G+Q+0,6*V8	27,824	0,022	0,684	0,088	0,15	0
xxx	G+V1+0,7*Q	24,951	-0,4	-0,428	-0,086	-0,29	0
xxx	G+V2+0,7*Q	25,001	-0,37	-0,358	-0,076	-0,26	0
xxx	G+V3+0,7*Q	26,551	0,48	-0,328	0,274	-0,25	0
xxx	G+V4+0,7*Q	26,501	0,45	-0,398	0,264	-0,28	0
xxx	G+V5+0,7*Q	26,561	0,42	-1,408	0,254	-0,69	0
xxx	G+V6+0,7*Q	26,061	0,07	-2,218	0,114	-1,02	0
xxx	G+V7+0,7*Q	24,941	-0,34	0,652	-0,066	0,15	0
xxx	G+V8+0,7*Q	25,441	0,01	1,462	0,074	0,48	0
xxx	G+Sx	22,5283896	1,19516233	0,36459289	0,56507731	0,06229754	0
xxx	G-Sx	18,4316104	-1,11516233	-0,92459289	-0,40507731	-0,46229754	0
xxx	G+Sy	21,1732532	0,42118237	0,43021124	0,24792856	0,08827071	0
xxx	G-Sy	19,7867468	-0,34118237	-0,99021124	-0,08792856	-0,48827071	0
xxx	G+Sx+0,3*Sy	22,7363656	1,30951704	0,57765627	0,61545588	0,14877875	0
xxx	G+Sx-0,3*Sy	22,3204137	1,08080761	0,15152952	0,51469875	-0,02418367	0
xxx	G-Sx+0,3*Sy	18,6395863	-1,00080761	-0,71152952	-0,35469875	-0,37581633	0
xxx	G-Sx-0,3*Sy	18,2236344	-1,22951704	-1,13765627	-0,45545588	-0,54877875	0
xxx	G+Sy+0,3*Sx	21,7877701	0,76773107	0,6235891	0,39345175	0,16695997	0
xxx	G+Sy-0,3*Sx	20,5587363	0,07463367	0,23683337	0,10240536	0,00958144	0
xxx	G-Sy+0,3*Sx	20,4012637	0,00536633	-0,79683337	0,05759464	-0,40958144	0
xxx	G-Sy-0,3*Sx	19,1722299	-0,68773107	-1,1835891	-0,23345175	-0,56695997	0
xxx	G+Sx+0,3*Q	24,7873896	1,19516233	0,32259289	0,57107731	0,03229754	0
xxx	G-Sx+0,3*Q	20,6906104	-1,11516233	-0,96659289	-0,39907731	-0,49229754	0
xxx	G+Sy+0,3*Q	23,4322532	0,42118237	0,38821124	0,25392856	0,05827071	0
xxx	G-Sy+0,3*Q	22,0457468	-0,34118237	-1,03221124	-0,08192856	-0,51827071	0
xxx	G+Sx+0,3*Sy+0,3*Q	24,9953656	1,30951704	0,53565627	0,62145588	0,11877875	0
xxx	G+Sx-0,3*Sy+0,3*Q	24,5794137	1,08080761	0,10952952	0,52069875	-0,05418367	0
xxx	G-Sx+0,3*Sy+0,3*Q	20,8985863	-1,00080761	-0,75352952	-0,34869875	-0,40581633	0
xxx	G-Sx-0,3*Sy+0,3*Q	20,4826344	-1,22951704	-1,17965627	-0,44945588	-0,57877875	0
xxx	G+Sy+0,3*Sx+0,3*Q	24,0467701	0,76773107	0,5815891	0,39945175	0,13695997	0
xxx	G+Sy-0,3*Sx+0,3*Q	22,8177363	0,07463367	0,19483337	0,10840536	-0,02041856	0
xxx	G-Sy+0,3*Sx+0,3*Q	22,6602637	0,00536633	-0,83883337	0,06359464	-0,43958144	0
xxx	G-Sy-0,3*Sx+0,3*Q	21,4312299	-0,68773107	-1,2255891	-0,22745175	-0,59695997	0
xxx	G+BOMB	20,46	0,03	-0,28	0,07	-0,2	0
xxx	G+BOMB+0,5*Q	24,225	0,03	-0,35	0,08	-0,25	0
xxx	G+BOMB+0,5*V1	20,06	-0,19	-0,305	-0,02	-0,21	0
xxx	G+BOMB+0,5*V2	20,085	-0,175	-0,27	-0,015	-0,195	0
xxx	G+BOMB+0,5*V3	20,86	0,25	-0,255	0,16	-0,19	0
xxx	G+BOMB+0,5*V4	20,835	0,235	-0,29	0,155	-0,205	0
xxx	G+BOMB+0,5*V5	20,865	0,22	-0,795	0,15	-0,41	0
xxx	G+BOMB+0,5*V6	20,615	0,045	-1,2	0,08	-0,575	0
xxx	G+BOMB+0,5*V7	20,055	-0,16	0,235	-0,01	0,01	0
xxx	G+BOMB+0,5*V8	20,305	0,015	0,64	0,06	0,175	0
xxx	G+BOMB+0,5*V1+0,3*Q	22,319	-0,19	-0,347	-0,014	-0,24	0
xxx	G+BOMB+0,5*V2+0,3*Q	22,344	-0,175	-0,312	-0,009	-0,225	0
xxx	G+BOMB+0,5*V3+0,3*Q	23,119	0,25	-0,297	0,166	-0,22	0
xxx	G+BOMB+0,5*V4+0,3*Q	23,094	0,235	-0,332	0,161	-0,235	0
xxx	G+BOMB+0,5*V5+0,3*Q	23,124	0,22	-0,837	0,156	-0,44	0
xxx	G+BOMB+0,5*V6+0,3*Q	22,874	0,045	-1,242	0,086	-0,605	0
xxx	G+BOMB+0,5*V7+0,3*Q	22,314	-0,16	0,193	-0,004	-0,02	0

xxx	G+BOMB+0,5*V8+0,3*Q	22,564	0,015	0,598	0,066	0,145	0
R2	G	22,72	0,04	0,34	0,08	0,22	0
xxx	G+Q	31,52	0,05	0,46	0,1	0,31	0
xxx	G+V1	21,99	-0,38	0,28	-0,1	0,2	0
xxx	G+V2	22,01	-0,37	0,35	-0,1	0,23	0
xxx	G+V3	23,45	0,46	0,4	0,26	0,24	0
xxx	G+V4	23,43	0,45	0,33	0,26	0,21	0
xxx	G+V5	22,81	0,18	-0,7	0,14	-0,2	0
xxx	G+V6	22,54	0,05	-1,51	0,08	-0,54	0
xxx	G+V7	22,63	-0,1	1,38	0,02	0,64	0
xxx	G+V8	22,9	0,03	2,19	0,08	0,98	0
xxx	G+Q+0,6*V1	31,082	-0,202	0,424	-0,008	0,298	0
xxx	G+Q+0,6*V2	31,094	-0,196	0,466	-0,008	0,316	0
xxx	G+Q+0,6*V3	31,958	0,302	0,496	0,208	0,322	0
xxx	G+Q+0,6*V4	31,946	0,296	0,454	0,208	0,304	0
xxx	G+Q+0,6*V5	31,574	0,134	-0,164	0,136	0,058	0
xxx	G+Q+0,6*V6	31,412	0,056	-0,65	0,1	-0,146	0
xxx	G+Q+0,6*V7	31,466	-0,034	1,084	0,064	0,562	0
xxx	G+Q+0,6*V8	31,628	0,044	1,57	0,1	0,766	0
xxx	G+V1+0,7*Q	28,15	-0,373	0,364	-0,086	0,263	0
xxx	G+V2+0,7*Q	28,17	-0,363	0,434	-0,086	0,293	0
xxx	G+V3+0,7*Q	29,61	0,467	0,484	0,274	0,303	0
xxx	G+V4+0,7*Q	29,59	0,457	0,414	0,274	0,273	0
xxx	G+V5+0,7*Q	28,97	0,187	-0,616	0,154	-0,137	0
xxx	G+V6+0,7*Q	28,7	0,057	-1,426	0,094	-0,477	0
xxx	G+V7+0,7*Q	28,79	-0,093	1,464	0,034	0,703	0
xxx	G+V8+0,7*Q	29,06	0,037	2,274	0,094	1,043	0
xxx	G+Sx	24,4638177	1,0408996	0,99984847	0,50284749	0,48888659	0
xxx	G-Sx	20,9761823	-0,9608996	-0,31984847	-0,34284749	-0,04888659	0
xxx	G+Sy	23,53523	0,47794977	1,06069411	0,26867962	0,51342802	0
xxx	G-Sy	21,90477	-0,39794977	-0,38069411	-0,10867962	-0,07342802	0
xxx	G+Sx+0,3*Sy	24,7083867	1,17228453	1,2160567	0,55945138	0,576915	0
xxx	G+Sx-0,3*Sy	24,2192486	0,90951466	0,78364023	0,4462436	0,40085819	0
xxx	G-Sx+0,3*Sy	21,2207514	-0,82951466	-0,10364023	-0,2862436	0,03914181	0
xxx	G-Sx-0,3*Sy	20,7316133	-1,09228453	-0,5360567	-0,39945138	-0,136915	0
xxx	G+Sy+0,3*Sx	24,0583753	0,77821965	1,25864865	0,39553387	0,59409399	0
xxx	G+Sy-0,3*Sx	23,0120847	0,17767989	0,86273957	0,14182538	0,43276204	0
xxx	G-Sy+0,3*Sx	22,4279153	-0,09767989	-0,18273957	0,01817462	0,00723796	0
xxx	G-Sy-0,3*Sx	21,3816247	-0,69821965	-0,57864865	-0,23553387	-0,15409399	0
xxx	G+Sx+0,3*Q	27,1038177	1,0438996	1,03584847	0,50884749	0,51588659	0
xxx	G-Sx+0,3*Q	23,6161823	-0,9578996	-0,28384847	-0,33684749	-0,02188659	0
xxx	G+Sy+0,3*Q	26,17523	0,48094977	1,09669411	0,27467962	0,54042802	0
xxx	G-Sy+0,3*Q	24,54477	-0,39494977	-0,34469411	-0,10267962	-0,04642802	0
xxx	G+Sx+0,3*Sy+0,3*Q	27,3483867	1,17528453	1,2520567	0,56545138	0,603915	0
xxx	G+Sx-0,3*Sy+0,3*Q	26,8592486	0,91251466	0,81964023	0,4522436	0,42785819	0
xxx	G-Sx+0,3*Sy+0,3*Q	23,8607514	-0,82651466	-0,06764023	-0,2802436	0,06614181	0
xxx	G-Sx-0,3*Sy+0,3*Q	23,3716133	-1,08928453	-0,5000567	-0,39345138	-0,109915	0
xxx	G+Sy+0,3*Sx+0,3*Q	26,6983753	0,78121965	1,29464865	0,40153387	0,62109399	0
xxx	G+Sy-0,3*Sx+0,3*Q	25,6520847	0,18067989	0,89873957	0,14782538	0,45976204	0
xxx	G-Sy+0,3*Sx+0,3*Q	25,0679153	-0,09467989	-0,14673957	0,02417462	0,03423796	0
xxx	G-Sy-0,3*Sx+0,3*Q	24,0216247	-0,69521965	-0,54264865	-0,22953387	-0,12709399	0
xxx	G+BOMB	22,67	0,04	0,34	0,08	0,22	0
xxx	G+BOMB+0,5*Q	27,07	0,045	0,4	0,09	0,265	0
xxx	G+BOMB+0,5*V1	22,305	-0,17	0,31	-0,01	0,21	0
xxx	G+BOMB+0,5*V2	22,315	-0,165	0,345	-0,01	0,225	0
xxx	G+BOMB+0,5*V3	23,035	0,25	0,37	0,17	0,23	0
xxx	G+BOMB+0,5*V4	23,025	0,245	0,335	0,17	0,215	0
xxx	G+BOMB+0,5*V5	22,715	0,11	-0,18	0,11	0,01	0
xxx	G+BOMB+0,5*V6	22,58	0,045	-0,585	0,08	-0,16	0
xxx	G+BOMB+0,5*V7	22,625	-0,03	0,86	0,05	0,43	0

xxx	G+BOMB+0,5*V8	22,76	0,035	1,265	0,08	0,6	0
xxx	G+BOMB+0,5*V1+0,3*Q	24,945	-0,167	0,346	-0,004	0,237	0
xxx	G+BOMB+0,5*V2+0,3*Q	24,955	-0,162	0,381	-0,004	0,252	0
xxx	G+BOMB+0,5*V3+0,3*Q	25,675	0,253	0,406	0,176	0,257	0
xxx	G+BOMB+0,5*V4+0,3*Q	25,665	0,248	0,371	0,176	0,242	0
xxx	G+BOMB+0,5*V5+0,3*Q	25,355	0,113	-0,144	0,116	0,037	0
xxx	G+BOMB+0,5*V6+0,3*Q	25,22	0,048	-0,549	0,086	-0,133	0
xxx	G+BOMB+0,5*V7+0,3*Q	25,265	-0,027	0,896	0,056	0,457	0
xxx	G+BOMB+0,5*V8+0,3*Q	25,4	0,038	1,301	0,086	0,627	0
R3	G	14,51	-0,04	0,01	0,02	0	0
xxx	G+Q	20,13	-0,03	-0,03	0,03	-0,03	0
xxx	G+V1	14,01	-0,42	-0,04	-0,13	-0,02	0
xxx	G+V2	14	-0,43	0,03	-0,14	0,01	0
xxx	G+V3	15,01	0,34	0,06	0,17	0,02	0
xxx	G+V4	15,02	0,35	-0,01	0,18	-0,01	0
xxx	G+V5	14,41	-0,1	-0,99	0	-0,4	0
xxx	G+V6	14,57	-0,02	-1,76	0,03	-0,71	0
xxx	G+V7	14,61	0,02	1,01	0,04	0,4	0
xxx	G+V8	14,45	-0,06	1,78	0,01	0,71	0
xxx	G+Q+0,6*V1	19,83	-0,258	-0,06	-0,06	-0,042	0
xxx	G+Q+0,6*V2	19,824	-0,264	-0,018	-0,066	-0,024	0
xxx	G+Q+0,6*V3	20,43	0,198	0	0,12	-0,018	0
xxx	G+Q+0,6*V4	20,436	0,204	-0,042	0,126	-0,036	0
xxx	G+Q+0,6*V5	20,07	-0,066	-0,63	0,018	-0,27	0
xxx	G+Q+0,6*V6	20,166	-0,018	-1,092	0,036	-0,456	0
xxx	G+Q+0,6*V7	20,19	0,006	0,57	0,042	0,21	0
xxx	G+Q+0,6*V8	20,094	-0,042	1,032	0,024	0,396	0
xxx	G+V1+0,7*Q	17,944	-0,413	-0,068	-0,123	-0,041	0
xxx	G+V2+0,7*Q	17,934	-0,423	0,002	-0,133	-0,011	0
xxx	G+V3+0,7*Q	18,944	0,347	0,032	0,177	-0,001	0
xxx	G+V4+0,7*Q	18,954	0,357	-0,038	0,187	-0,031	0
xxx	G+V5+0,7*Q	18,344	-0,093	-1,018	0,007	-0,421	0
xxx	G+V6+0,7*Q	18,504	-0,013	-1,788	0,037	-0,731	0
xxx	G+V7+0,7*Q	18,544	0,027	0,982	0,047	0,379	0
xxx	G+V8+0,7*Q	18,384	-0,053	1,752	0,017	0,689	0
xxx	G+Sx	15,5257756	0,76479811	0,63745518	0,34954514	0,25377155	0
xxx	G-Sx	13,4942244	-0,84479811	-0,61745518	-0,30954514	-0,25377155	0
xxx	G+Sy	15,2220393	0,45578221	0,70491007	0,22518285	0,27964263	0
xxx	G-Sy	13,7979607	-0,53578221	-0,68491007	-0,18518285	-0,27964263	0
xxx	G+Sx+0,3*Sy	15,7393874	0,91353277	0,8459282	0,41109999	0,33766434	0
xxx	G+Sx-0,3*Sy	15,3121638	0,61606345	0,42898216	0,28799029	0,16987876	0
xxx	G-Sx+0,3*Sy	13,7078362	-0,69606345	-0,40898216	-0,24799029	-0,16987876	0
xxx	G-Sx-0,3*Sy	13,2806126	-0,99353277	-0,8259282	-0,37109999	-0,33766434	0
xxx	G+Sy+0,3*Sx	15,526772	0,69722164	0,89314662	0,32404639	0,35577409	0
xxx	G+Sy-0,3*Sx	14,9173067	0,21434278	0,51667351	0,1263193	0,20351116	0
xxx	G-Sy+0,3*Sx	14,1026933	-0,29434278	-0,49667351	-0,0863193	-0,20351116	0
xxx	G-Sy-0,3*Sx	13,493228	-0,77722164	-0,87314662	-0,28404639	-0,35577409	0
xxx	G+Sx+0,3*Q	17,2117756	0,76779811	0,62545518	0,35254514	0,24477155	0
xxx	G-Sx+0,3*Q	15,1802244	-0,84179811	-0,62945518	-0,30654514	-0,26277155	0
xxx	G+Sy+0,3*Q	16,9080393	0,45878221	0,69291007	0,22818285	0,27064263	0
xxx	G-Sy+0,3*Q	15,4839607	-0,53278221	-0,69691007	-0,18218285	-0,28864263	0
xxx	G+Sx+0,3*Sy+0,3*Q	17,4253874	0,91653277	0,8339282	0,41409999	0,32866434	0
xxx	G+Sx-0,3*Sy+0,3*Q	16,9981638	0,61906345	0,41698216	0,29099029	0,16087876	0
xxx	G-Sx+0,3*Sy+0,3*Q	15,3938362	-0,69306345	-0,42098216	-0,24499029	-0,17887876	0
xxx	G-Sx-0,3*Sy+0,3*Q	14,9666126	-0,99053277	-0,8379282	-0,36809999	-0,34666434	0
xxx	G+Sy+0,3*Sx+0,3*Q	17,212772	0,70022164	0,88114662	0,32704639	0,34677409	0
xxx	G+Sy-0,3*Sx+0,3*Q	16,6033067	0,21734278	0,50467351	0,1293193	0,19451116	0
xxx	G-Sy+0,3*Sx+0,3*Q	15,7886933	-0,29134278	-0,50867351	-0,0833193	-0,21251116	0
xxx	G-Sy-0,3*Sx+0,3*Q	15,179228	-0,77422164	-0,88514662	-0,28104639	-0,36477409	0
xxx	G+BOMB	14,89	-0,03	-0,02	0,02	-0,02	0

xxx	G+BOMB+0,5*Q	17,7	-0,025	-0,04	0,025	-0,035	0
xxx	G+BOMB+0,5*V1	14,64	-0,22	-0,045	-0,055	-0,03	0
xxx	G+BOMB+0,5*V2	14,635	-0,225	-0,01	-0,06	-0,015	0
xxx	G+BOMB+0,5*V3	15,14	0,16	0,005	0,095	-0,01	0
xxx	G+BOMB+0,5*V4	15,145	0,165	-0,03	0,1	-0,025	0
xxx	G+BOMB+0,5*V5	14,84	-0,06	-0,52	0,01	-0,22	0
xxx	G+BOMB+0,5*V6	14,92	-0,02	-0,905	0,025	-0,375	0
xxx	G+BOMB+0,5*V7	14,94	0	0,48	0,03	0,18	0
xxx	G+BOMB+0,5*V8	14,86	-0,04	0,865	0,015	0,335	0
xxx	G+BOMB+0,5*V1+0,3*Q	16,326	-0,217	-0,057	-0,052	-0,039	0
xxx	G+BOMB+0,5*V2+0,3*Q	16,321	-0,222	-0,022	-0,057	-0,024	0
xxx	G+BOMB+0,5*V3+0,3*Q	16,826	0,163	-0,007	0,098	-0,019	0
xxx	G+BOMB+0,5*V4+0,3*Q	16,831	0,168	-0,042	0,103	-0,034	0
xxx	G+BOMB+0,5*V5+0,3*Q	16,526	-0,057	-0,532	0,013	-0,229	0
xxx	G+BOMB+0,5*V6+0,3*Q	16,606	-0,017	-0,917	0,028	-0,384	0
xxx	G+BOMB+0,5*V7+0,3*Q	16,626	0,003	0,468	0,033	0,171	0
xxx	G+BOMB+0,5*V8+0,3*Q	16,546	-0,037	0,853	0,018	0,326	0

PILAR	HIPÓTESIS	N (T)	Mx (T*m)	My(T*m)	Qx (T)	Qy (T)	T (T*m)
PB5	G	182,92	0,55	-2,26	0,49	-2,5	0
xxx	G+Q	208,83	0,63	-2,46	0,55	-2,77	0
xxx	G+V1	186,33	-0,13	-1,95	0,1	-2,37	0
xxx	G+V2	185,99	-0,18	-2,33	0,08	-2,55	0
xxx	G+V3	179,51	1,23	-2,57	0,88	-2,63	0
xxx	G+V4	179,85	1,28	-2,19	0,9	-2,45	0
xxx	G+V5	169,27	0,26	-12,47	0,34	-7,14	-0,01
xxx	G+V6	172,49	0,77	-8,55	0,62	-5,34	0,01
xxx	G+V7	196,57	0,84	7,95	0,64	2,14	0,01
xxx	G+V8	193,35	0,33	4,03	0,36	0,34	-0,01
xxx	G+Q+0,6*V1	210,876	0,222	-2,274	0,316	-2,692	0
xxx	G+Q+0,6*V2	210,672	0,192	-2,502	0,304	-2,8	0
xxx	G+Q+0,6*V3	206,784	1,038	-2,646	0,784	-2,848	0
xxx	G+Q+0,6*V4	206,988	1,068	-2,418	0,796	-2,74	0
xxx	G+Q+0,6*V5	200,64	0,456	-8,586	0,46	-5,554	-0,006
xxx	G+Q+0,6*V6	202,572	0,762	-6,234	0,628	-4,474	0,006
xxx	G+Q+0,6*V7	217,02	0,804	3,666	0,64	0,014	0,006
xxx	G+Q+0,6*V8	215,088	0,498	1,314	0,472	-1,066	-0,006
xxx	G+V1+0,7*Q	204,467	-0,074	-2,09	0,142	-2,559	0
xxx	G+V2+0,7*Q	204,127	-0,124	-2,47	0,122	-2,739	0
xxx	G+V3+0,7*Q	197,647	1,286	-2,71	0,922	-2,819	0
xxx	G+V4+0,7*Q	197,987	1,336	-2,33	0,942	-2,639	0
xxx	G+V5+0,7*Q	187,407	0,316	-12,61	0,382	-7,329	-0,01
xxx	G+V6+0,7*Q	190,627	0,826	-8,69	0,662	-5,529	0,01
xxx	G+V7+0,7*Q	214,707	0,896	7,81	0,682	1,951	0,01
xxx	G+V8+0,7*Q	211,487	0,386	3,89	0,402	0,151	-0,01
xxx	G+Sx	188,994479	1,96155942	2,6958753	1,28743338	-0,25389226	0,0244949
xxx	G-Sx	176,845521	-0,86155942	-7,2158753	-0,30743338	-4,74610774	-0,0244949
xxx	G+Sy	188,792359	1,85870165	0,86152206	1,22586684	-1,08982271	0,01732051
xxx	G-Sy	177,047641	-0,75870165	-5,38152206	-0,24586684	-3,91017729	-0,01732051
xxx	G+Sx+0,3*Sy	190,756187	2,35416992	3,63233192	1,50819343	0,16916093	0,02969105
xxx	G+Sx-0,3*Sy	187,232772	1,56894893	1,75941868	1,06667333	-0,67694544	0,01929875
xxx	G-Sx+0,3*Sy	178,607228	-0,46894893	-6,27941868	-0,08667333	-4,32305456	-0,01929875
xxx	G-Sx-0,3*Sy	175,083813	-1,25416992	-8,15233192	-0,52819343	-5,16916093	-0,02969105
xxx	G+Sy+0,3*Sx	190,614703	2,28216947	2,34828465	1,46509685	-0,41599038	0,02466898
xxx	G+Sy-0,3*Sx	186,970015	1,43523382	-0,62524053	0,98663682	-1,76365503	0,00997204
xxx	G-Sy+0,3*Sx	178,869985	-0,33523382	-3,89475947	-0,00663682	-3,23634497	-0,00997204
xxx	G-Sy-0,3*Sx	175,225297	-1,18216947	-6,86828465	-0,48509685	-4,58400962	-0,02466898
xxx	G+Sx+0,3*Q	196,767479	1,98555942	2,6358753	1,30543338	-0,33489226	0,0244949
xxx	G-Sx+0,3*Q	184,618521	-0,83755942	-7,2758753	-0,28943338	-4,82710774	-0,0244949
xxx	G+Sy+0,3*Q	196,565359	1,88270165	0,80152206	1,24386684	-1,17082271	0,01732051
xxx	G-Sy+0,3*Q	184,820641	-0,73470165	-5,44152206	-0,22786684	-3,99117729	-0,01732051
xxx	G+Sx+0,3*Sy+0,3*Q	198,529187	2,37816992	3,57233192	1,52619343	0,08816093	0,02969105
xxx	G+Sx-0,3*Sy+0,3*Q	195,005772	1,59294893	1,69941868	1,08467333	-0,75794544	0,01929875

xxx	G-Sx+0,3*Sy+0,3*Q	186,380228	-0,44494893	-6,33941868	-0,06867333	-4,40405456	-0,01929875
xxx	G-Sx-0,3*Sy+0,3*Q	182,856813	-1,23016992	-8,21233192	-0,51019343	-5,25016093	-0,02969105
xxx	G+Sy+0,3*Sx+0,3*Q	198,387703	2,30616947	2,28828465	1,48309685	-0,49699038	0,02466898
xxx	G+Sy-0,3*Sx+0,3*Q	194,743015	1,45923382	-0,68524053	1,00463682	-1,84465503	0,00997204
xxx	G-Sy+0,3*Sx+0,3*Q	186,642985	-0,31123382	-3,95475947	0,01136318	-3,31734497	-0,00997204
xxx	G-Sy-0,3*Sx+0,3*Q	182,998297	-1,15816947	-6,92828465	-0,46709685	-4,66500962	-0,02466898
xxx	G+BOMB	183,42	0,52	-1,95	0,47	-2,33	0
xxx	G+BOMB+0,5*Q	196,375	0,56	-2,05	0,5	-2,465	0
xxx	G+BOMB+0,5*V1	185,125	0,18	-1,795	0,275	-2,265	0
xxx	G+BOMB+0,5*V2	184,955	0,155	-1,985	0,265	-2,355	0
xxx	G+BOMB+0,5*V3	181,715	0,86	-2,105	0,665	-2,395	0
xxx	G+BOMB+0,5*V4	181,885	0,885	-1,915	0,675	-2,305	0
xxx	G+BOMB+0,5*V5	176,595	0,375	-7,055	0,395	-4,65	-0,005
xxx	G+BOMB+0,5*V6	178,205	0,63	-5,095	0,535	-3,75	0,005
xxx	G+BOMB+0,5*V7	190,245	0,665	3,155	0,545	-0,01	0,005
xxx	G+BOMB+0,5*V8	188,635	0,41	1,195	0,405	-0,91	-0,005
xxx	G+BOMB+0,5*V1+0,3*Q	192,898	0,204	-1,855	0,293	-2,346	0
xxx	G+BOMB+0,5*V2+0,3*Q	192,728	0,179	-2,045	0,283	-2,436	0
xxx	G+BOMB+0,5*V3+0,3*Q	189,488	0,884	-2,165	0,683	-2,476	0
xxx	G+BOMB+0,5*V4+0,3*Q	189,658	0,909	-1,975	0,693	-2,386	0
xxx	G+BOMB+0,5*V5+0,3*Q	184,368	0,399	-7,115	0,413	-4,731	-0,005
xxx	G+BOMB+0,5*V6+0,3*Q	185,978	0,654	-5,155	0,553	-3,831	0,005
xxx	G+BOMB+0,5*V7+0,3*Q	198,018	0,689	3,095	0,563	-0,091	0,005
xxx	G+BOMB+0,5*V8+0,3*Q	196,408	0,434	1,135	0,423	-0,991	-0,005
PB6	G	146,39	1,13	0,21	1,17	0,45	0
xxx	G+Q	167,93	1,39	0,35	1,43	0,58	0
xxx	G+V1	150,16	-0,08	0,6	0,2	0,65	0
xxx	G+V2	150,51	-0,12	0,13	0,17	0,39	0
xxx	G+V3	142,62	2,34	-0,18	2,14	0,25	0
xxx	G+V4	142,27	2,38	0,29	2,17	0,51	0
xxx	G+V5	151,98	0,78	-12,31	0,84	-6,55	-0,01
xxx	G+V6	148,55	1,14	-7,53	1,14	-3,87	0,01
xxx	G+V7	140,8	1,48	12,73	1,5	7,45	0,01
xxx	G+V8	144,23	1,12	7,95	1,2	4,77	-0,01
xxx	G+Q+0,6*V1	170,192	0,664	0,584	0,848	0,7	0
xxx	G+Q+0,6*V2	170,402	0,64	0,302	0,83	0,544	0
xxx	G+Q+0,6*V3	165,668	2,116	0,116	2,012	0,46	0
xxx	G+Q+0,6*V4	165,458	2,14	0,398	2,03	0,616	0
xxx	G+Q+0,6*V5	171,284	1,18	-7,162	1,232	-3,62	-0,006
xxx	G+Q+0,6*V6	169,226	1,396	-4,294	1,412	-2,012	0,006
xxx	G+Q+0,6*V7	164,576	1,6	7,862	1,628	4,78	0,006
xxx	G+Q+0,6*V8	166,634	1,384	4,994	1,448	3,172	-0,006
xxx	G+V1+0,7*Q	165,238	0,102	0,698	0,382	0,741	0
xxx	G+V2+0,7*Q	165,588	0,062	0,228	0,352	0,481	0

xxx	G+V3+0,7*Q	157,698	2,522	-0,082	2,322	0,341	0
xxx	G+V4+0,7*Q	157,348	2,562	0,388	2,352	0,601	0
xxx	G+V5+0,7*Q	167,058	0,962	-12,212	1,022	-6,459	-0,01
xxx	G+V6+0,7*Q	163,628	1,322	-7,432	1,322	-3,779	0,01
xxx	G+V7+0,7*Q	155,878	1,662	12,828	1,682	7,541	0,01
xxx	G+V8+0,7*Q	159,308	1,302	8,048	1,382	4,861	-0,01
xxx	G+Sx	154,655634	3,36530759	6,2774212	2,98397354	3,83146418	0,0244949
xxx	G-Sx	138,124366	-1,10530759	-5,8574212	-0,64397354	-2,93146418	-0,0244949
xxx	G+Sy	153,82795	3,08133288	4,04742101	2,74413468	2,58834048	0,01732051
xxx	G-Sy	138,95205	-0,82133288	-3,62742101	-0,40413468	-1,68834048	-0,01732051
xxx	G+Sx+0,3*Sy	156,887019	3,95070745	7,4286475	3,45621394	4,47296632	0,02969105
xxx	G+Sx-0,3*Sy	152,424249	2,77990772	5,1261949	2,51173313	3,18996204	0,01929875
xxx	G-Sx+0,3*Sy	140,355751	-0,51990772	-4,7061949	-0,17173313	-2,28996204	-0,01929875
xxx	G-Sx-0,3*Sy	135,892981	-1,69070745	-7,0086475	-1,11621394	-3,57296632	-0,02969105
xxx	G+Sy+0,3*Sx	156,30764	3,75192515	5,86764737	3,28832674	3,60277973	0,02466898
xxx	G+Sy-0,3*Sx	151,34826	2,4107406	2,22719465	2,19994262	1,57390122	0,00997204
xxx	G-Sy+0,3*Sx	141,43174	-0,1507406	-1,80719465	0,14005738	-0,67390122	-0,00997204
xxx	G-Sy-0,3*Sx	136,47236	-1,49192515	-5,44764737	-0,94832674	-2,70277973	-0,02466898
xxx	G+Sx+0,3*Q	161,117634	3,44330759	6,3194212	3,06197354	3,87046418	0,0244949
xxx	G-Sx+0,3*Q	144,586366	-1,02730759	-5,8154212	-0,56597354	-2,89246418	-0,0244949
xxx	G+Sy+0,3*Q	160,28995	3,15933288	4,08942101	2,82213468	2,62734048	0,01732051
xxx	G-Sy+0,3*Q	145,41405	-0,74333288	-3,58542101	-0,32613468	-1,64934048	-0,01732051
xxx	G+Sx+0,3*Sy+0,3*Q	163,349019	4,02870745	7,4706475	3,53421394	4,51196632	0,02969105
xxx	G+Sx-0,3*Sy+0,3*Q	158,886249	2,85790772	5,1681949	2,58973313	3,22896204	0,01929875
xxx	G-Sx+0,3*Sy+0,3*Q	146,817751	-0,44190772	-4,6641949	-0,09373313	-2,25096204	-0,01929875
xxx	G-Sx-0,3*Sy+0,3*Q	142,354981	-1,61270745	-6,9666475	-1,03821394	-3,53396632	-0,02969105
xxx	G+Sy+0,3*Sx+0,3*Q	162,76964	3,82992515	5,90964737	3,36632674	3,64177973	0,02466898
xxx	G+Sy-0,3*Sx+0,3*Q	157,81026	2,4887406	2,26919465	2,27794262	1,61290122	0,00997204
xxx	G-Sy+0,3*Sx+0,3*Q	147,89374	-0,0727406	-1,76519465	0,21805738	-0,63490122	-0,00997204
xxx	G-Sy-0,3*Sx+0,3*Q	142,93436	-1,41392515	-5,40564737	-0,87032674	-2,66377973	-0,02466898
xxx	G+BOMB	146,17	1,15	0,55	1,19	0,65	0
xxx	G+BOMB+0,5*Q	156,94	1,28	0,62	1,32	0,715	0
xxx	G+BOMB+0,5*V1	148,055	0,545	0,745	0,705	0,75	0
xxx	G+BOMB+0,5*V2	148,23	0,525	0,51	0,69	0,62	0
xxx	G+BOMB+0,5*V3	144,285	1,755	0,355	1,675	0,55	0
xxx	G+BOMB+0,5*V4	144,11	1,775	0,59	1,69	0,68	0
xxx	G+BOMB+0,5*V5	148,965	0,975	-5,71	1,025	-2,85	-0,005
xxx	G+BOMB+0,5*V6	147,25	1,155	-3,32	1,175	-1,51	0,005
xxx	G+BOMB+0,5*V7	143,375	1,325	6,81	1,355	4,15	0,005
xxx	G+BOMB+0,5*V8	145,09	1,145	4,42	1,205	2,81	-0,005
xxx	G+BOMB+0,5*V1+0,3*Q	154,517	0,623	0,787	0,783	0,789	0
xxx	G+BOMB+0,5*V2+0,3*Q	154,692	0,603	0,552	0,768	0,659	0
xxx	G+BOMB+0,5*V3+0,3*Q	150,747	1,833	0,397	1,753	0,589	0
xxx	G+BOMB+0,5*V4+0,3*Q	150,572	1,853	0,632	1,768	0,719	0
xxx	G+BOMB+0,5*V5+0,3*Q	155,427	1,053	-5,668	1,103	-2,811	-0,005

xxx	G+BOMB+0,5*V6+0,3*Q	153,712	1,233	-3,278	1,253	-1,471	0,005
xxx	G+BOMB+0,5*V7+0,3*Q	149,837	1,403	6,852	1,433	4,189	0,005
xxx	G+BOMB+0,5*V8+0,3*Q	151,552	1,223	4,462	1,283	2,849	-0,005
PB7	G	100,61	-0,04	0,38	-0,22	0,62	0
xxx	G+Q	117,02	-0,05	0,57	-0,28	0,8	0
xxx	G+V1	104,72	-0,74	0,75	-0,59	0,82	0
xxx	G+V2	104,37	-0,72	0,36	-0,58	0,63	0
xxx	G+V3	96,5	0,66	0,01	0,15	0,42	0
xxx	G+V4	96,85	0,64	0,4	0,14	0,61	0
xxx	G+V5	93,57	0,05	-10,12	-0,16	-4,36	-0,01
xxx	G+V6	96,85	-0,15	-6,12	-0,27	-2,46	0,01
xxx	G+V7	107,65	-0,13	10,88	-0,28	5,6	0,01
xxx	G+V8	104,37	0,07	6,88	-0,17	3,7	-0,01
xxx	G+Q+0,6*V1	119,486	-0,47	0,792	-0,502	0,92	0
xxx	G+Q+0,6*V2	119,276	-0,458	0,558	-0,496	0,806	0
xxx	G+Q+0,6*V3	114,554	0,37	0,348	-0,058	0,68	0
xxx	G+Q+0,6*V4	114,764	0,358	0,582	-0,064	0,794	0
xxx	G+Q+0,6*V5	112,796	0,004	-5,73	-0,244	-2,188	-0,006
xxx	G+Q+0,6*V6	114,764	-0,116	-3,33	-0,31	-1,048	0,006
xxx	G+Q+0,6*V7	121,244	-0,104	6,87	-0,316	3,788	0,006
xxx	G+Q+0,6*V8	119,276	0,016	4,47	-0,25	2,648	-0,006
xxx	G+V1+0,7*Q	116,207	-0,747	0,883	-0,632	0,946	0
xxx	G+V2+0,7*Q	115,857	-0,727	0,493	-0,622	0,756	0
xxx	G+V3+0,7*Q	107,987	0,653	0,143	0,108	0,546	0
xxx	G+V4+0,7*Q	108,337	0,633	0,533	0,098	0,736	0
xxx	G+V5+0,7*Q	105,057	0,043	-9,987	-0,202	-4,234	-0,01
xxx	G+V6+0,7*Q	108,337	-0,157	-5,987	-0,312	-2,334	0,01
xxx	G+V7+0,7*Q	119,137	-0,137	11,013	-0,322	5,726	0,01
xxx	G+V8+0,7*Q	115,857	0,063	7,013	-0,212	3,826	-0,01
xxx	G+Sx	106,623543	1,11455619	5,4383693	0,39253571	2,98539637	0,0244949
xxx	G-Sx	94,596457	-1,19455619	-4,6783693	-0,83253571	-1,74539637	-0,0244949
xxx	G+Sy	104,792643	0,82544786	3,57145735	0,23343136	2,10690955	0,01732051
xxx	G-Sy	96,4273573	-0,90544786	-2,81145735	-0,67343136	-0,86690955	-0,01732051
xxx	G+Sx+0,3*Sy	107,878336	1,37419055	6,39580651	0,52856512	3,43146924	0,02969105
xxx	G+Sx-0,3*Sy	105,36875	0,85492183	4,4809321	0,2565063	2,53932351	0,01929875
xxx	G-Sx+0,3*Sy	95,8512498	-0,93492183	-3,7209321	-0,6965063	-1,29932351	-0,01929875
xxx	G-Sx-0,3*Sy	93,3416641	-1,45419055	-5,63580651	-0,96856512	-2,19146924	-0,02969105
xxx	G+Sy+0,3*Sx	106,596706	1,17181472	5,08896814	0,41719208	2,81652846	0,02466898
xxx	G+Sy-0,3*Sx	102,98858	0,479081	2,05394656	0,04967065	1,39729063	0,00997204
xxx	G-Sy+0,3*Sx	98,2314202	-0,559081	-1,29394656	-0,48967065	-0,15729063	-0,00997204
xxx	G-Sy-0,3*Sx	94,6232944	-1,25181472	-4,32896814	-0,85719208	-1,57652846	-0,02466898
xxx	G+Sx+0,3*Q	111,546543	1,11155619	5,4953693	0,37453571	3,03939637	0,0244949
xxx	G-Sx+0,3*Q	99,519457	-1,19755619	-4,6213693	-0,85053571	-1,69139637	-0,0244949
xxx	G+Sy+0,3*Q	109,715643	0,82244786	3,62845735	0,21543136	2,16090955	0,01732051

xxx	G-Sy+0,3*Q	101,350357	-0,90844786	-2,75445735	-0,69143136	-0,81290955	-0,01732051
xxx	G+Sx+0,3*Sy+0,3*Q	112,801336	1,37119055	6,45280651	0,51056512	3,48546924	0,02969105
xxx	G+Sx-0,3*Sy+0,3*Q	110,29175	0,85192183	4,5379321	0,2385063	2,59332351	0,01929875
xxx	G-Sx+0,3*Sy+0,3*Q	100,77425	-0,93792183	-3,6639321	-0,7145063	-1,24532351	-0,01929875
xxx	G-Sx-0,3*Sy+0,3*Q	98,2646641	-1,45719055	-5,57880651	-0,98656512	-2,13746924	-0,02969105
xxx	G+Sy+0,3*Sx+0,3*Q	111,519706	1,16881472	5,14596814	0,39919208	2,87052846	0,02466898
xxx	G+Sy-0,3*Sx+0,3*Q	107,91158	0,476081	2,11094656	0,03167065	1,45129063	0,00997204
xxx	G-Sy+0,3*Sx+0,3*Q	103,15442	-0,562081	-1,23694656	-0,50767065	-0,10329063	-0,00997204
xxx	G-Sy-0,3*Sx+0,3*Q	99,5462944	-1,25481472	-4,27196814	-0,87519208	-1,52252846	-0,02466898
xxx	G+BOMB	100,64	-0,01	0,69	-0,2	0,79	0
xxx	G+BOMB+0,5*Q	108,845	-0,015	0,785	-0,23	0,88	0
xxx	G+BOMB+0,5*V1	102,695	-0,36	0,875	-0,385	0,89	0
xxx	G+BOMB+0,5*V2	102,52	-0,35	0,68	-0,38	0,795	0
xxx	G+BOMB+0,5*V3	98,585	0,34	0,505	-0,015	0,69	0
xxx	G+BOMB+0,5*V4	98,76	0,33	0,7	-0,02	0,785	0
xxx	G+BOMB+0,5*V5	97,12	0,035	-4,56	-0,17	-1,7	-0,005
xxx	G+BOMB+0,5*V6	98,76	-0,065	-2,56	-0,225	-0,75	0,005
xxx	G+BOMB+0,5*V7	104,16	-0,055	5,94	-0,23	3,28	0,005
xxx	G+BOMB+0,5*V8	102,52	0,045	3,94	-0,175	2,33	-0,005
xxx	G+BOMB+0,5*V1+0,3*Q	107,618	-0,363	0,932	-0,403	0,944	0
xxx	G+BOMB+0,5*V2+0,3*Q	107,443	-0,353	0,737	-0,398	0,849	0
xxx	G+BOMB+0,5*V3+0,3*Q	103,508	0,337	0,562	-0,033	0,744	0
xxx	G+BOMB+0,5*V4+0,3*Q	103,683	0,327	0,757	-0,038	0,839	0
xxx	G+BOMB+0,5*V5+0,3*Q	102,043	0,032	-4,503	-0,188	-1,646	-0,005
xxx	G+BOMB+0,5*V6+0,3*Q	103,683	-0,068	-2,503	-0,243	-0,696	0,005
xxx	G+BOMB+0,5*V7+0,3*Q	109,083	-0,058	5,997	-0,248	3,334	0,005
xxx	G+BOMB+0,5*V8+0,3*Q	107,443	0,042	3,997	-0,193	2,384	-0,005
PB8	G	113,34	-0,18	0,7	-0,52	0,93	0
xxx	G+Q	129,21	-0,16	0,84	-0,59	1,07	0
xxx	G+V1	116,21	-1,45	0,98	-1,12	1,08	0
xxx	G+V2	116,69	-1,37	0,7	-1,08	0,95	0
xxx	G+V3	110,47	1,09	0,42	0,08	0,78	0
xxx	G+V4	109,99	1,01	0,7	0,04	0,91	0
xxx	G+V5	130,83	0,15	-6,69	-0,41	-2,31	-0,02
xxx	G+V6	126,3	-0,68	-3,86	-0,78	-1,05	0,01
xxx	G+V7	95,85	-0,51	8,09	-0,63	4,17	0,02
xxx	G+V8	100,38	0,32	5,26	-0,26	2,91	-0,01
xxx	G+Q+0,6*V1	130,932	-0,922	1,008	-0,95	1,16	0
xxx	G+Q+0,6*V2	131,22	-0,874	0,84	-0,926	1,082	0
xxx	G+Q+0,6*V3	127,488	0,602	0,672	-0,23	0,98	0
xxx	G+Q+0,6*V4	127,2	0,554	0,84	-0,254	1,058	0
xxx	G+Q+0,6*V5	139,704	0,038	-3,594	-0,524	-0,874	-0,012
xxx	G+Q+0,6*V6	136,986	-0,46	-1,896	-0,746	-0,118	0,006
xxx	G+Q+0,6*V7	118,716	-0,358	5,274	-0,656	3,014	0,012

xxx	G+Q+0,6*V8	121,434	0,14	3,576	-0,434	2,258	-0,006
xxx	G+V1+0,7*Q	127,319	-1,436	1,078	-1,169	1,178	0
xxx	G+V2+0,7*Q	127,799	-1,356	0,798	-1,129	1,048	0
xxx	G+V3+0,7*Q	121,579	1,104	0,518	0,031	0,878	0
xxx	G+V4+0,7*Q	121,099	1,024	0,798	-0,009	1,008	0
xxx	G+V5+0,7*Q	141,939	0,164	-6,592	-0,459	-2,212	-0,02
xxx	G+V6+0,7*Q	137,409	-0,666	-3,762	-0,829	-0,952	0,01
xxx	G+V7+0,7*Q	106,959	-0,496	8,188	-0,679	4,268	0,02
xxx	G+V8+0,7*Q	111,489	0,334	5,358	-0,309	3,008	-0,01
xxx	G+Sx	124,402287	1,90016826	4,24657581	0,46290386	2,46411212	0,0244949
xxx	G-Sx	102,277713	-2,26016826	-2,84657581	-1,50290386	-0,60411212	-0,0244949
xxx	G+Sy	121,748793	1,12410889	2,92688123	0,09895073	1,86994681	0,01732051
xxx	G-Sy	104,931207	-1,48410889	-1,52688123	-1,13895073	-0,00994681	-0,01732051
xxx	G+Sx+0,3*Sy	126,924925	2,29140093	4,91464018	0,64858908	2,74609616	0,02969105
xxx	G+Sx-0,3*Sy	121,879649	1,5089356	3,57851145	0,27721864	2,18212808	0,01929875
xxx	G-Sx+0,3*Sy	104,800351	-1,8689356	-2,17851145	-1,31721864	-0,32212808	-0,01929875
xxx	G-Sx-0,3*Sy	99,7550748	-2,65140093	-3,51464018	-1,68858908	-0,88609616	-0,02969105
xxx	G+Sy+0,3*Sx	125,067479	1,74815937	3,99085397	0,39382188	2,33018044	0,02466898
xxx	G+Sy-0,3*Sx	118,430107	0,50005841	1,86290848	-0,19592043	1,40971317	0,00997204
xxx	G-Sy+0,3*Sx	108,249893	-0,86005841	-0,46290848	-0,84407957	0,45028683	-0,00997204
xxx	G-Sy-0,3*Sx	101,612521	-2,10815937	-2,59085397	-1,43382188	-0,47018044	-0,02466898
xxx	G+Sx+0,3*Q	129,163287	1,90616826	4,28857581	0,44190386	2,50611212	0,0244949
xxx	G-Sx+0,3*Q	107,038713	-2,25416826	-2,80457581	-1,52390386	-0,56211212	-0,0244949
xxx	G+Sy+0,3*Q	126,509793	1,13010889	2,96888123	0,07795073	1,91194681	0,01732051
xxx	G-Sy+0,3*Q	109,692207	-1,47810889	-1,48488123	-1,15995073	0,03205319	-0,01732051
xxx	G+Sx+0,3*Sy+0,3*Q	131,685925	2,29740093	4,95664018	0,62758908	2,78809616	0,02969105
xxx	G+Sx-0,3*Sy+0,3*Q	126,640649	1,5149356	3,62051145	0,25621864	2,22412808	0,01929875
xxx	G-Sx+0,3*Sy+0,3*Q	109,561351	-1,8629356	-2,13651145	-1,33821864	-0,28012808	-0,01929875
xxx	G-Sx-0,3*Sy+0,3*Q	104,516075	-2,64540093	-3,47264018	-1,70958908	-0,84409616	-0,02969105
xxx	G+Sy+0,3*Sx+0,3*Q	129,828479	1,75415937	4,03285397	0,37282188	2,37218044	0,02466898
xxx	G+Sy-0,3*Sx+0,3*Q	123,191107	0,50605841	1,90490848	-0,21692043	1,45171317	0,00997204
xxx	G-Sy+0,3*Sx+0,3*Q	113,010893	-0,85405841	-0,42090848	-0,86507957	0,49228683	-0,00997204
xxx	G-Sy-0,3*Sx+0,3*Q	106,373521	-2,10215937	-2,54885397	-1,45482188	-0,42818044	-0,02466898
xxx	G+BOMB	113,13	-0,09	0,92	-0,47	1,04	0
xxx	G+BOMB+0,5*Q	121,065	-0,08	0,99	-0,505	1,11	0
xxx	G+BOMB+0,5*V1	114,565	-0,725	1,06	-0,77	1,115	0
xxx	G+BOMB+0,5*V2	114,805	-0,685	0,92	-0,75	1,05	0
xxx	G+BOMB+0,5*V3	111,695	0,545	0,78	-0,17	0,965	0
xxx	G+BOMB+0,5*V4	111,455	0,505	0,92	-0,19	1,03	0
xxx	G+BOMB+0,5*V5	121,875	0,075	-2,775	-0,415	-0,58	-0,01
xxx	G+BOMB+0,5*V6	119,61	-0,34	-1,36	-0,6	0,05	0,005
xxx	G+BOMB+0,5*V7	104,385	-0,255	4,615	-0,525	2,66	0,01
xxx	G+BOMB+0,5*V8	106,65	0,16	3,2	-0,34	2,03	-0,005
xxx	G+BOMB+0,5*V1+0,3*Q	119,326	-0,719	1,102	-0,791	1,157	0
xxx	G+BOMB+0,5*V2+0,3*Q	119,566	-0,679	0,962	-0,771	1,092	0

xxx	G+BOMB+0,5*V3+0,3*Q	116,456	0,551	0,822	-0,191	1,007	0
xxx	G+BOMB+0,5*V4+0,3*Q	116,216	0,511	0,962	-0,211	1,072	0
xxx	G+BOMB+0,5*V5+0,3*Q	126,636	0,081	-2,733	-0,436	-0,538	-0,01
xxx	G+BOMB+0,5*V6+0,3*Q	124,371	-0,334	-1,318	-0,621	0,092	0,005
xxx	G+BOMB+0,5*V7+0,3*Q	109,146	-0,249	4,657	-0,546	2,702	0,01
xxx	G+BOMB+0,5*V8+0,3*Q	111,411	0,166	3,242	-0,361	2,072	-0,005
P57	G	149,94	-0,35	-0,4	-0,23	-0,61	0
xxx	G+Q	174,55	-0,42	-0,42	-0,27	-0,67	0
xxx	G+V1	154,38	-0,61	-0,41	-0,39	-0,62	0
xxx	G+V2	153,88	-0,59	-0,4	-0,38	-0,61	0
xxx	G+V3	145,5	-0,09	-0,39	-0,07	-0,6	0
xxx	G+V4	146	-0,11	-0,4	-0,08	-0,61	0
xxx	G+V5	161,23	-0,1	-2,16	-0,05	-1,49	-0,01
xxx	G+V6	167,07	-0,33	-2,31	-0,18	-1,55	0
xxx	G+V7	138,65	-0,6	1,36	-0,41	0,27	0,01
xxx	G+V8	132,81	-0,37	1,51	-0,28	0,33	0
xxx	G+Q+0,6*V1	177,214	-0,576	-0,426	-0,366	-0,676	0
xxx	G+Q+0,6*V2	176,914	-0,564	-0,42	-0,36	-0,67	0
xxx	G+Q+0,6*V3	171,886	-0,264	-0,414	-0,174	-0,664	0
xxx	G+Q+0,6*V4	172,186	-0,276	-0,42	-0,18	-0,67	0
xxx	G+Q+0,6*V5	181,324	-0,27	-1,476	-0,162	-1,198	-0,006
xxx	G+Q+0,6*V6	184,828	-0,408	-1,566	-0,24	-1,234	0
xxx	G+Q+0,6*V7	167,776	-0,57	0,636	-0,378	-0,142	0,006
xxx	G+Q+0,6*V8	164,272	-0,432	0,726	-0,3	-0,106	0
xxx	G+V1+0,7*Q	171,607	-0,659	-0,424	-0,418	-0,662	0
xxx	G+V2+0,7*Q	171,107	-0,639	-0,414	-0,408	-0,652	0
xxx	G+V3+0,7*Q	162,727	-0,139	-0,404	-0,098	-0,642	0
xxx	G+V4+0,7*Q	163,227	-0,159	-0,414	-0,108	-0,652	0
xxx	G+V5+0,7*Q	178,457	-0,149	-2,174	-0,078	-1,532	-0,01
xxx	G+V6+0,7*Q	184,297	-0,379	-2,324	-0,208	-1,592	0
xxx	G+V7+0,7*Q	155,877	-0,649	1,346	-0,438	0,228	0,01
xxx	G+V8+0,7*Q	150,037	-0,419	1,496	-0,308	0,288	0
xxx	G+Sx	162,600549	0,35498227	-0,01386531	0,19178193	-0,42211706	0
xxx	G-Sx	137,279451	-1,05498227	-0,78613469	-0,65178193	-0,79788294	0
xxx	G+Sy	160,007438	-0,1189156	0,29985713	-0,09809094	-0,26532624	0
xxx	G-Sy	139,872562	-0,5810844	-1,09985713	-0,36190906	-0,95467376	0
xxx	G+Sx+0,3*Sy	165,62078	0,42430759	0,19609183	0,23135465	-0,31871493	0
xxx	G+Sx-0,3*Sy	159,580318	0,28565695	-0,22382245	0,15220922	-0,52551919	0
xxx	G-Sx+0,3*Sy	140,299682	-0,98565695	-0,57617755	-0,61220922	-0,69448081	0
xxx	G-Sx-0,3*Sy	134,25922	-1,12430759	-0,99609183	-0,69135465	-0,90128507	0
xxx	G+Sy+0,3*Sx	163,805602	0,09257908	0,41569754	0,02844364	-0,20896136	0
xxx	G+Sy-0,3*Sx	156,209273	-0,33041028	0,18401672	-0,22462552	-0,32169112	0
xxx	G-Sy+0,3*Sx	143,670727	-0,36958972	-0,98401672	-0,23537448	-0,89830888	0
xxx	G-Sy-0,3*Sx	136,074398	-0,79257908	-1,21569754	-0,48844364	-1,01103864	0

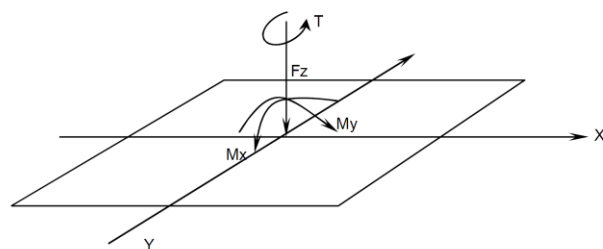
xxx	G+Sx+0,3*Q	169,983549	0,33398227	-0,01986531	0,17978193	-0,44011706	0
xxx	G-Sx+0,3*Q	144,662451	-1,07598227	-0,79213469	-0,66378193	-0,81588294	0
xxx	G+Sy+0,3*Q	167,390438	-0,1399156	0,29385713	-0,11009094	-0,28332624	0
xxx	G-Sy+0,3*Q	147,255562	-0,6020844	-1,10585713	-0,37390906	-0,97267376	0
xxx	G+Sx+0,3*Sy+0,3*Q	173,00378	0,40330759	0,19009183	0,21935465	-0,33671493	0
xxx	G+Sx-0,3*Sy+0,3*Q	166,963318	0,26465695	-0,22982245	0,14020922	-0,54351919	0
xxx	G-Sx+0,3*Sy+0,3*Q	147,682682	-1,00665695	-0,58217755	-0,62420922	-0,71248081	0
xxx	G-Sx-0,3*Sy+0,3*Q	141,64222	-1,14530759	-1,00209183	-0,70335465	-0,91928507	0
xxx	G+Sy+0,3*Sx+0,3*Q	171,188602	0,07157908	0,40969754	0,01644364	-0,22696136	0
xxx	G+Sy-0,3*Sx+0,3*Q	163,592273	-0,35141028	0,17801672	-0,23662552	-0,33969112	0
xxx	G-Sy+0,3*Sx+0,3*Q	151,053727	-0,39058972	-0,99001672	-0,24737448	-0,91630888	0
xxx	G-Sy-0,3*Sx+0,3*Q	143,457398	-0,81357908	-1,22169754	-0,50044364	-1,02903864	0
xxx	G+BOMB	149,97	-0,36	-0,36	-0,24	-0,58	0
xxx	G+BOMB+0,5*Q	162,275	-0,395	-0,37	-0,26	-0,61	0
xxx	G+BOMB+0,5*V1	152,19	-0,49	-0,365	-0,32	-0,585	0
xxx	G+BOMB+0,5*V2	151,94	-0,48	-0,36	-0,315	-0,58	0
xxx	G+BOMB+0,5*V3	147,75	-0,23	-0,355	-0,16	-0,575	0
xxx	G+BOMB+0,5*V4	148	-0,24	-0,36	-0,165	-0,58	0
xxx	G+BOMB+0,5*V5	155,615	-0,235	-1,24	-0,15	-1,02	-0,005
xxx	G+BOMB+0,5*V6	158,535	-0,35	-1,315	-0,215	-1,05	0
xxx	G+BOMB+0,5*V7	144,325	-0,485	0,52	-0,33	-0,14	0,005
xxx	G+BOMB+0,5*V8	141,405	-0,37	0,595	-0,265	-0,11	0
xxx	G+BOMB+0,5*V1+0,3*Q	159,573	-0,511	-0,371	-0,332	-0,603	0
xxx	G+BOMB+0,5*V2+0,3*Q	159,323	-0,501	-0,366	-0,327	-0,598	0
xxx	G+BOMB+0,5*V3+0,3*Q	155,133	-0,251	-0,361	-0,172	-0,593	0
xxx	G+BOMB+0,5*V4+0,3*Q	155,383	-0,261	-0,366	-0,177	-0,598	0
xxx	G+BOMB+0,5*V5+0,3*Q	162,998	-0,256	-1,246	-0,162	-1,038	-0,005
xxx	G+BOMB+0,5*V6+0,3*Q	165,918	-0,371	-1,321	-0,227	-1,068	0
xxx	G+BOMB+0,5*V7+0,3*Q	151,708	-0,506	0,514	-0,342	-0,158	0,005
xxx	G+BOMB+0,5*V8+0,3*Q	148,788	-0,391	0,589	-0,277	-0,128	0
P74	G	193,8	2,89	-0,43	1,06	-0,98	0
xxx	G+Q	234,16	3,89	-1,4	1,84	-2,69	0
xxx	G+V1	184,5	1,79	-0,37	0,8	-0,95	0
xxx	G+V2	185,37	1,91	-0,42	0,85	-0,98	0
xxx	G+V3	203,1	3,99	-0,49	1,32	-1,01	0
xxx	G+V4	202,23	3,87	-0,44	1,27	-0,98	0
xxx	G+V5	214,05	3,86	-4,36	1,45	-3,12	-0,01
xxx	G+V6	205,59	2,71	-3,85	0,99	-2,86	0,01
xxx	G+V7	173,55	1,92	3,5	0,67	1,16	0,01
xxx	G+V8	182,01	3,07	2,99	1,13	0,9	-0,01
xxx	G+Q+0,6*V1	228,58	3,23	-1,364	1,684	-2,672	0
xxx	G+Q+0,6*V2	229,102	3,302	-1,394	1,714	-2,69	0
xxx	G+Q+0,6*V3	239,74	4,55	-1,436	1,996	-2,708	0
xxx	G+Q+0,6*V4	239,218	4,478	-1,406	1,966	-2,69	0

xxx	G+Q+0,6*V5	246,31	4,472	-3,758	2,074	-3,974	-0,006
xxx	G+Q+0,6*V6	241,234	3,782	-3,452	1,798	-3,818	0,006
xxx	G+Q+0,6*V7	222,01	3,308	0,958	1,606	-1,406	0,006
xxx	G+Q+0,6*V8	227,086	3,998	0,652	1,882	-1,562	-0,006
xxx	G+V1+0,7*Q	212,752	2,49	-1,049	1,346	-2,147	0
xxx	G+V2+0,7*Q	213,622	2,61	-1,099	1,396	-2,177	0
xxx	G+V3+0,7*Q	231,352	4,69	-1,169	1,866	-2,207	0
xxx	G+V4+0,7*Q	230,482	4,57	-1,119	1,816	-2,177	0
xxx	G+V5+0,7*Q	242,302	4,56	-5,039	1,996	-4,317	-0,01
xxx	G+V6+0,7*Q	233,842	3,41	-4,529	1,536	-4,057	0,01
xxx	G+V7+0,7*Q	201,802	2,62	2,821	1,216	-0,037	0,01
xxx	G+V8+0,7*Q	210,262	3,77	2,311	1,676	-0,297	-0,01
xxx	G+Sx	208,479492	4,6169337	0,83901537	1,52076024	-0,30620478	0,02236068
xxx	G-Sx	179,120508	1,1630663	-1,69901537	0,59923976	-1,65379522	-0,02236068
xxx	G+Sy	204,401953	3,77357229	0,87453057	1,21556349	-0,274238	0,01732051
xxx	G-Sy	183,198047	2,00642771	-1,73453057	0,90443651	-1,685762	-0,01732051
xxx	G+Sx+0,3*Sy	211,660078	4,88200539	1,23037454	1,56742929	-0,09447618	0,02755683
xxx	G+Sx-0,3*Sy	205,298907	4,35186201	0,4476562	1,47409119	-0,51793338	0,01716453
xxx	G-Sx+0,3*Sy	182,301093	1,42813799	-1,3076562	0,64590881	-1,44206662	-0,01716453
xxx	G-Sx-0,3*Sy	175,939922	0,89799461	-2,09037454	0,55257071	-1,86552382	-0,02755683
xxx	G+Sy+0,3*Sx	208,8058	4,2916524	1,25523518	1,35379156	-0,07209943	0,02402871
xxx	G+Sy-0,3*Sx	199,998105	3,25549219	0,49382596	1,07733542	-0,47637657	0,0106123
xxx	G-Sy+0,3*Sx	187,601895	2,52450781	-1,35382596	1,04266458	-1,48362343	-0,0106123
xxx	G-Sy-0,3*Sx	178,7942	1,4883476	-2,11523518	0,76620844	-1,88790057	-0,02402871
xxx	G+Sx+0,3*Q	220,587492	4,9169337	0,54801537	1,75476024	-0,81920478	0,02236068
xxx	G-Sx+0,3*Q	191,228508	1,4630663	-1,99001537	0,83323976	-2,16679522	-0,02236068
xxx	G+Sy+0,3*Q	216,509953	4,07357229	0,58353057	1,44956349	-0,787238	0,01732051
xxx	G-Sy+0,3*Q	195,306047	2,30642771	-2,02553057	1,13843651	-2,198762	-0,01732051
xxx	G+Sx+0,3*Sy+0,3*Q	223,768078	5,18200539	0,93937454	1,80142929	-0,60747618	0,02755683
xxx	G+Sx-0,3*Sy+0,3*Q	217,406907	4,65186201	0,1566562	1,70809119	-1,03093338	0,01716453
xxx	G-Sx+0,3*Sy+0,3*Q	194,409093	1,72813799	-1,5986562	0,87990881	-1,95506662	-0,01716453
xxx	G-Sx-0,3*Sy+0,3*Q	188,047922	1,19799461	-2,38137454	0,78657071	-2,37852382	-0,02755683
xxx	G+Sy+0,3*Sx+0,3*Q	220,9138	4,5916524	0,96423518	1,58779156	-0,58509943	0,02402871
xxx	G+Sy-0,3*Sx+0,3*Q	212,106105	3,55549219	0,20282596	1,31133542	-0,98937657	0,0106123
xxx	G-Sy+0,3*Sx+0,3*Q	199,709895	2,82450781	-1,64482596	1,27666458	-1,99662343	-0,0106123
xxx	G-Sy-0,3*Sx+0,3*Q	190,9022	1,7883476	-2,40623518	1,00020844	-2,40090057	-0,02402871
xxx	G+BOMB	194,03	3,16	0,07	1,24	-0,64	0
xxx	G+BOMB+0,5*Q	214,21	3,66	-0,415	1,63	-1,495	0
xxx	G+BOMB+0,5*V1	189,38	2,61	0,1	1,11	-0,625	0
xxx	G+BOMB+0,5*V2	189,815	2,67	0,075	1,135	-0,64	0
xxx	G+BOMB+0,5*V3	198,68	3,71	0,04	1,37	-0,655	0
xxx	G+BOMB+0,5*V4	198,245	3,65	0,065	1,345	-0,64	0
xxx	G+BOMB+0,5*V5	204,155	3,645	-1,895	1,435	-1,71	-0,005
xxx	G+BOMB+0,5*V6	199,925	3,07	-1,64	1,205	-1,58	0,005
xxx	G+BOMB+0,5*V7	183,905	2,675	2,035	1,045	0,43	0,005
xxx	G+BOMB+0,5*V8	188,135	3,25	1,78	1,275	0,3	-0,005
xxx	G+BOMB+0,5*V1+0,3*Q	201,488	2,91	-0,191	1,344	-1,138	0
xxx	G+BOMB+0,5*V2+0,3*Q	201,923	2,97	-0,216	1,369	-1,153	0
xxx	G+BOMB+0,5*V3+0,3*Q	210,788	4,01	-0,251	1,604	-1,168	0
xxx	G+BOMB+0,5*V4+0,3*Q	210,353	3,95	-0,226	1,579	-1,153	0
xxx	G+BOMB+0,5*V5+0,3*Q	216,263	3,945	-2,186	1,669	-2,223	-0,005
xxx	G+BOMB+0,5*V6+0,3*Q	212,033	3,37	-1,931	1,439	-2,093	0,005
xxx	G+BOMB+0,5*V7+0,3*Q	196,013	2,975	1,744	1,279	-0,083	0,005
xxx	G+BOMB+0,5*V8+0,3*Q	200,243	3,55	1,489	1,509	-0,213	-0,005

8.5. Apéndice 5: Reparto de esfuerzos en pilotes

DISTRIBUCION DE ESFUERZOS EN LOS PILOTES

ESFUERZO AXIL DEBIDO A LA CARGA VERTICAL EXCENTRICA



Dadas las coordenadas (x_i, y_i) de cada pilote referidas al c.d.g. del conjunto de pilotes, la carga resultante en ese c.d.g. se repartirá en cada pilote según la siguiente expresión :

$$N_i = \frac{F_z}{n} - \frac{M_x \cdot y_i}{\sum y_i^2} + \frac{M_y \cdot x_i}{\sum x_i^2}$$

siendo n el número total de pilotes.

ESFUERZOS DEBIDOS A LAS CARGAS HORIZONTALES

Se consideran los pilotes empotrados en cabeza.

Puede considerarse que a partir de una cierta profundidad los giros y los desplazamientos son despreciables, es decir, existen condiciones de empotramiento. Por otra parte, el terreno que rodea a los pilotes ofrece resistencia al desplazamiento horizontal de éstos, por lo que se deformarán como si tuviesen una longitud de flexión bastante inferior a la total. Según Oteo (Jiménez Salas vol. III), la profundidad a que puede situarse este empotramiento ficticio responde a la siguiente relación (nota: método válido para pilotes empotrados al menos 2.5-3 veces L_e)

$$L' = 1.20 \cdot \sqrt[4]{\frac{E_{\text{pilote}} \cdot I_{\text{pilote}}}{E_{\text{terreno}} / 3}} \quad \text{caso de arcillas OC o suelos homogéneos (} E_{\text{terreno}} \text{ cte)}$$

$$L' = 1.20 \cdot f \cdot \sqrt[4]{\frac{E_{\text{pilote}} \cdot I_{\text{pilote}}}{E_{\text{terreno}}^L / 3}} \quad \text{caso de arenas o arcillas NC (} E_{\text{terreno}} \text{ creciente)}$$

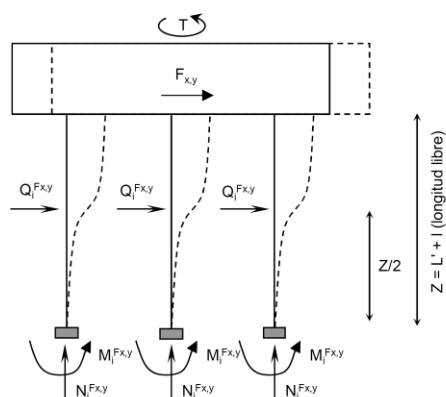
Longitud elástica del pilote

$$L_e = 4 \sqrt[4]{\frac{E_{\text{pilote}} \cdot I_{\text{pilote}}}{E_{\text{terreno}} / 3}}$$

f es un factor que tiene en cuenta, para el caso de las arenas, la variación del módulo de elasticidad con la profundidad, y que vale:

E_o/E_L	f	
0,00	1,70	E_o = módulo de elasticidad en la cota superior del pilote
0,50	1,25	E_L = módulo de elasticidad en la punta (o a una profundidad de $3 \cdot L_e$)
1,00	1,00	si el pilote tiene más longitud que este valor

Con estas consideraciones, puede sustituirse el pilotaje por un pórtico con los pilotes empotrados a la profundidad L' . Realmente, si se considera el efecto grupo, la deformación sería equivalente a aumentar esta distancia L' según indica la bibliografía mencionada, pero para los esfuerzos, tomar la longitud así calculada daría valores demasiado conservadores, lo cual queda compensado con la elección normalmente ya conservadora del módulo de deformación del terreno. Para el caso de pilotes de igual sección y longitud aparecerían unos esfuerzos debidos a la traslacionalidad del encepado dados por las siguientes expresiones:

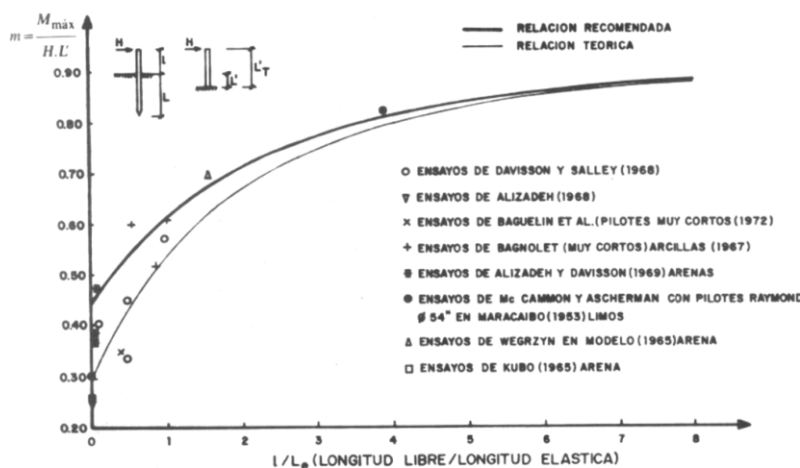


$$Q_{xi}^{Fx,T} = \frac{F_x}{n} - \frac{y_i \cdot T}{\sum (x_i^2 + y_i^2)}; Q_{yi}^{Fy,T} = \frac{F_y}{n} + \frac{x_i \cdot T}{\sum (x_i^2 + y_i^2)}$$

$$M_{xi}^{Fy,T} = \frac{-Q_{yi}^{Fy,T} \cdot Z}{2}; M_{yi}^{Fx,T} = \frac{Q_{xi}^{Fx,T} \cdot Z}{2}$$

$$\Delta N_i^{Fxy,T} = \frac{x_i \cdot \sum M_{yi}^{Fx,T}}{\sum x_i^2} - \frac{y_i \cdot \sum M_{xi}^{Fy,T}}{\sum y_i^2}$$

Debe tenerse en cuenta que el momento máximo en la parte enterrada no está realmente situado en el punto donde se considera empotrado el pilote, ni su magnitud coincide con el momento de empotramiento de la viga equivalente. Este momento máximo puede calcularse aplicando al momento resultante un factor reductor "m", que depende de la relación entre la longitud libre del pilote por encima del estrato resistente y la longitud elástica. La profundidad a la que se produce oscila entre 1,50 y 2,50 veces la longitud elástica y desaparece a menos de 4Le.



NOTA: Esta gráfica indica la fórmula para el pilote con cabeza libre. Al estar empotrado el momento será la mitad, pero igualmente afectado por este coeficiente (mHL/2).

El momento en el empotramiento con el encepado no se verá reducido por este coeficiente, por lo que será el que condicione el dimensionamiento de la armadura, y por eso es el que aparece reflejado en los cálculos. En pilotes dentro de un grupo los momentos han de mayorarse un 10% respecto al obtenido considerando el pilote como aislado y con la misma carga en cabeza. Los cálculos tienen en cuenta esta mayoración.

Cuando los pilotes tienen longitud libre y carga horizontal en el encepado, a la altura de la rasante del terreno el momento flector en los pilotes será menor, el correspondiente al de la viga biempotrada que representa a los pilotes de longitud (L'+l). La ley de momentos cuyos máximos de signo opuesto se dan en el empotramiento con el encepado y en empotramiento ficticio en el terreno, al cortar la cota del terreno toma el siguiente valor:

$$M_i^{\text{suelo}} = M_i^{\text{encepado}} \cdot \frac{(L' - 1)}{(L' + 1)} \quad (\text{como } M_i^{\text{encepado}} \text{ se ha mayorado un 10\%, también incorpora esta mayoración el resultado de } M_i^{\text{suelo}})$$

A ras de suelo el cortante será el mismo que en el empotramiento con el encepado e irá decreciendo hasta desaparecer por el efecto de confinamiento del terreno. Si existe longitud libre el peso correspondiente del pilote se ha tenido en cuenta en su axil a esa cota, axil considerado a efectos de carga admisible y tope estructural.

Para tener en cuenta la inclinación de los pilotes sobre la resultante de esfuerzos en la cara inferior del encepado, para cada uno de ellos se calcula la reacción horizontal (cortante y torsor) que generan en función de su axil mediante la fórmula:

$$\Delta F_{xi}^{\alpha} = -N_i \tan \alpha_{xi} \quad \Delta F_{yi}^{\alpha} = -N_i \tan \alpha_{yi} \quad \Delta T_i^{\alpha} = -N_i \tan \alpha_{yi} \cdot x_i + N_i \tan \alpha_{xi} \cdot y_i$$

Como la carga horizontal en los pilotes modifica por efecto de la traslacionalidad la carga vertical sobre los mismos, la hoja de cálculo resuelve la referencia cruzada mediante iteraciones sucesivas hasta que las reacciones de los pilotes están en equilibrio con las acciones en la cara inferior del encepado.

Estas reacciones son en ejes generales, que no coinciden con los ejes locales de los pilotes inclinados, por lo que han de descomponerse vectorialmente para obtener los esfuerzos reales en estos pilotes (en los verticales coinciden). Los momentos flectores no se ven afectados, pero el axil y el cortante de diseño de los pilotes resultan:

$$V_{xi} = Q_{xi} \cos \alpha_{xi} \quad V_{yi} = Q_{yi} \cos \alpha_{yi} \quad N_{Pilotei} = \frac{N_{Verti}}{\cos \alpha} + Q_{xi} \sin \alpha_{xi} + Q_{yi} \sin \alpha_{yi}$$

El método de Oteo contempla una ligera modificación en la longitud de la ménsula equivalente para los pilotes inclinados relacionada con una disminución de la rigidez aparente del terreno en pilotes contra cortante y un aumento en los pilotes a favor del mismo. Para las inclinaciones habituales, menores en todo caso a los 20°, el módulo de deformación a considerar variaría menos de un 25%. Sin embargo este parámetro del terreno viene afectado por una raíz cuarta, dejando la variación de longitud ficticia en menos de un 5%, menor que el 10% considerado por efecto grupo, que se atenuaría en estos pilotes (al alejarse de los demás con la profundidad), y del lado de la seguridad se han mantenido los esfuerzos de traslacionalidad asociados a pilotes verticales, cuando los inclinados, al abrirse, proporcionan más inercia en el empotramiento ficticio reduciendo este efecto, por lo que los resultados obtenidos son fiables y comparables a los que se obtendrían con modelos más complejos de interacción suelo-pilote.

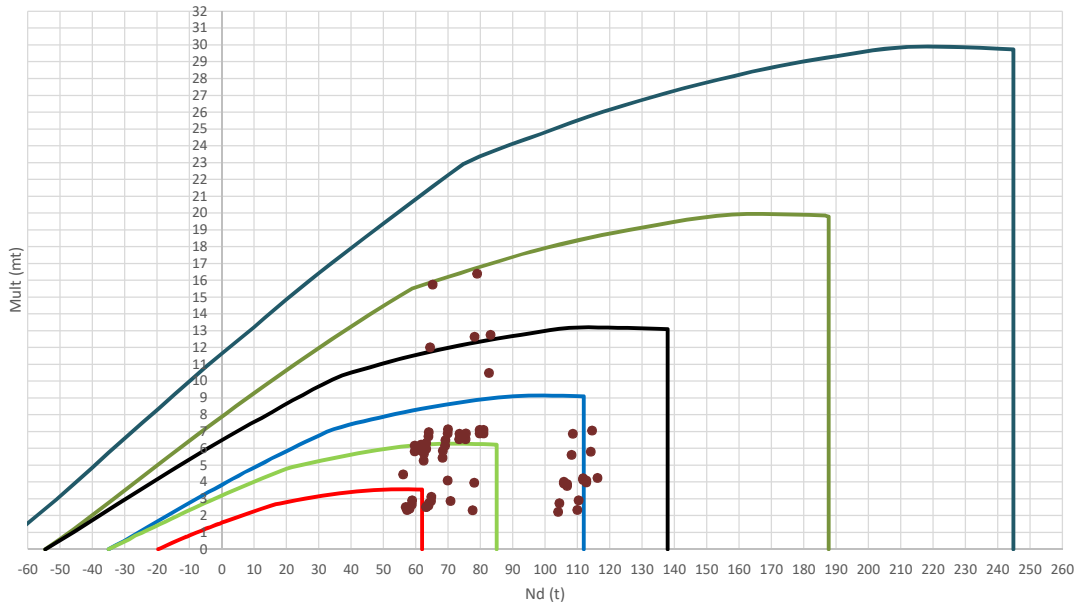
Dado que las inclinaciones son pequeñas no se ha considerado su efecto en el incremento de axil de los pilotes con longitud libre en su encuentro con el terreno, y tampoco el ligero momento flector y el cortante que aparecería en este tramo.

A continuación se adjuntan los esfuerzos obtenidos en los pilotes para las distintas hipótesis de cálculo.

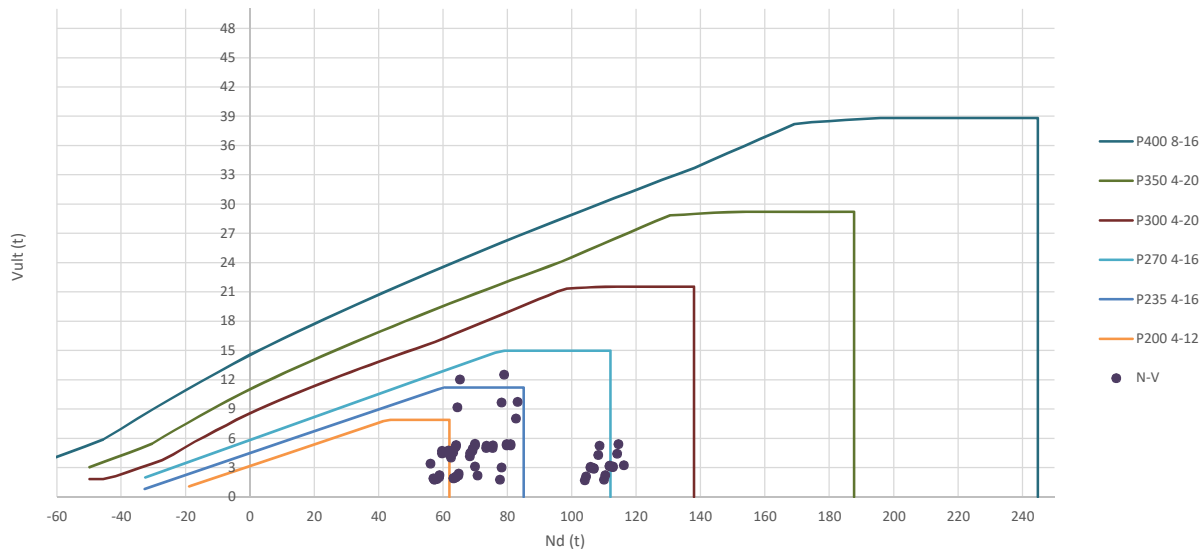
Criterio de signos CLIENTE	Criterio de signos P14
Qx	Fx
Qy	Fy
N	Fz
-My	Mx
Mx	My
T	T
ACCIONES EN BASE DE PILAR	ACCIONES EN CARA SUPERIOR DE ENCEPADO

Seccion (mm.)	e _x (m.)	e _y (m.)	Henc. (m.)
350	0,00	0,00	0,80
COMPROBACIÓN (compresión)	CUMPLE		
MAX. AXIL	116,15		(TON)
MIN. AXIL	0,00		(TON)
COMPROBACIÓN (tracción)	CUMPLE		
L.1(m)	0,00		
L.2(m)	0,00		
L.Influenc.(m)	0,00		
CERRAM.(ton.)	0,00		
αx (inclinación)	0,00		
αy (inclinación)	0,00		

Curva de resistencia axil-momento (en cualquier dirección)



Curva de resistencia axil-cortante



PILAR: P1

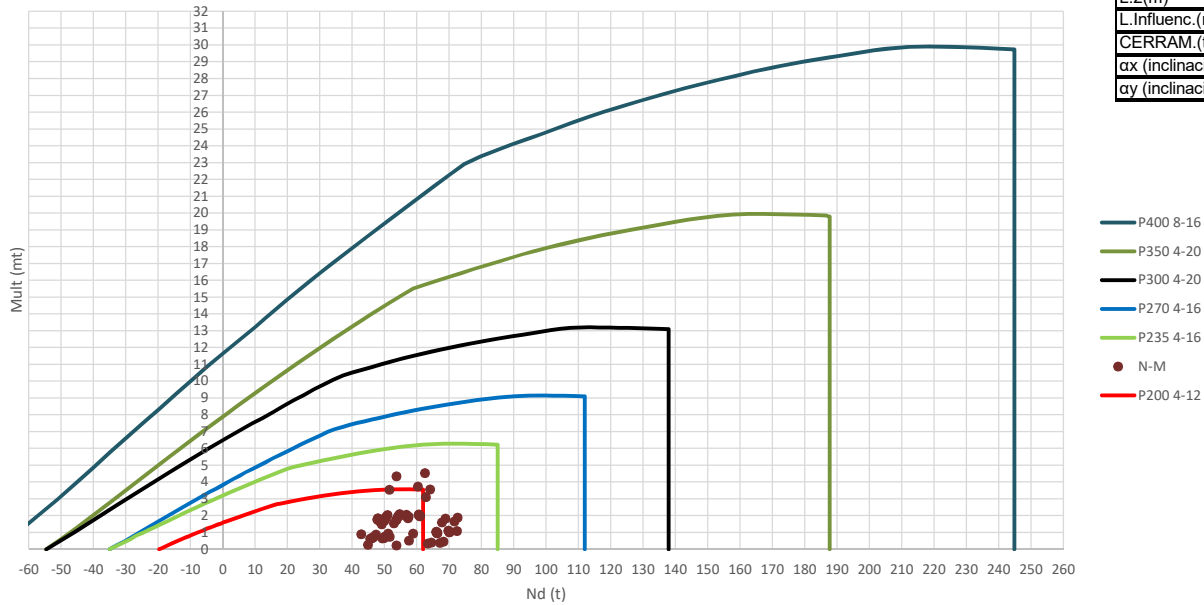
COMPROBACIÓN ESFUERZOS:

P18147P Parcela R20

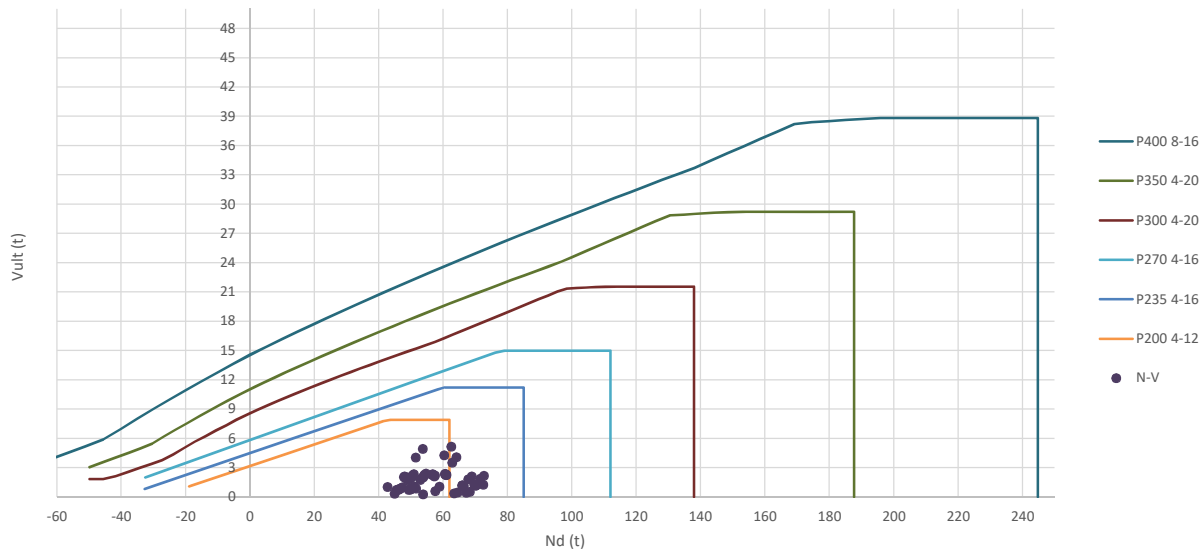
	LC: COMB.	n° PILOTE	N _{pilote} (T) a ras de suelo	M ult. Pilote (mT)	N _{pilote} (T) a ras de suelo	V ult. Pilote (T)	ESTADO LIMITE
HIP.1	G	1	60,63	5,99	60,63	4,58	ELS
HIP.2	G+Q	1	80,33	6,99	80,33	5,34	ELS
HIP.3	G+V1	1	59,61	5,84	59,61	4,46	ELS
HIP.4	G+V2	1	59,68	6,17	59,68	4,72	ELS
HIP.5	G+V3	1	61,65	6,23	61,65	4,76	ELS
HIP.6	G+V4	1	61,58	5,89	61,58	4,51	ELS
HIP.7	G+V5	1	56,90	2,51	56,90	1,92	ELS
HIP.8	G+V6	1	56,08	4,46	56,08	3,41	ELS
HIP.9	G+V7	1	64,36	12,01	64,36	9,18	ELS
HIP.10	G+V8	1	65,18	15,76	65,18	12,04	ELS
HIP.11	G+Q+0,6°V1	1	79,71	6,90	79,71	5,28	ELS
HIP.12	G+Q+0,6°V2	1	79,76	7,10	79,76	5,43	ELS
HIP.13	G+Q+0,6°V3	1	80,94	7,10	80,94	5,43	ELS
HIP.14	G+Q+0,6°V4	1	80,90	6,90	80,90	5,27	ELS
HIP.15	G+Q+0,6°V5	1	78,09	3,97	78,09	3,04	ELS
HIP.16	G+Q+0,6°V6	1	77,60	2,32	77,60	1,78	ELS
HIP.17	G+Q+0,6°V7	1	82,56	10,50	82,56	8,03	ELS
HIP.18	G+Q+0,6°V8	1	83,06	12,76	83,06	9,76	ELS
HIP.19	G+V1+0,7°Q	1	73,40	6,56	73,40	5,01	ELS
HIP.20	G+V2+0,7°Q	1	73,47	6,89	73,47	5,26	ELS
HIP.21	G+V3+0,7°Q	1	75,44	6,90	75,44	5,27	ELS
HIP.22	G+V4+0,7°Q	1	75,37	6,56	75,37	5,02	ELS
HIP.23	G+V5+0,7°Q	1	70,69	2,89	70,69	2,21	ELS
HIP.24	G+V6+0,7°Q	1	69,87	4,09	69,87	3,13	ELS
HIP.25	G+V7+0,7°Q	1	78,15	12,65	78,15	9,67	ELS
HIP.26	G+V8+0,7°Q	1	78,97	16,40	78,97	12,54	ELS
HIP.27	G+Sx	1	63,16	5,99	63,16	4,58	ELU
HIP.28	G-Sx	1	58,09	2,54	58,09	1,94	ELU
HIP.29	G+Sy	1	63,23	6,33	63,23	4,84	ELU
HIP.30	G-Sy	1	58,02	2,42	58,02	1,85	ELU
HIP.31	G+Sx+0,3°Sy	1	63,94	6,73	63,94	5,14	ELU
HIP.32	G+Sx-0,3°Sy	1	62,37	5,27	62,37	4,03	ELU
HIP.33	G-Sx+0,3°Sy	1	58,88	2,93	58,88	2,24	ELU
HIP.34	G-Sx-0,3°Sy	1	57,31	2,36	57,31	1,80	ELU
HIP.35	G+Sy+0,3°Sx	1	63,99	6,97	63,99	5,32	ELU
HIP.36	G+Sy-0,3°Sx	1	62,47	5,70	62,47	4,35	ELU
HIP.37	G-Sy+0,3°Sx	1	58,78	2,66	58,78	2,04	ELU
HIP.38	G-Sy-0,3°Sx	1	57,26	2,35	57,26	1,79	ELU
HIP.39	G+Sx+0,3°Q	1	69,07	6,17	69,07	4,72	ELU
HIP.40	G-Sx+0,3°Q	1	64,00	2,74	64,00	2,09	ELU
HIP.41	G+Sy+0,3°Q	1	69,14	6,50	69,14	4,97	ELU
HIP.42	G-Sy+0,3°Q	1	63,93	2,61	63,93	2,00	ELU
HIP.43	G+Sx+0,3°Sy+0,3°Q	1	69,85	6,90	69,85	5,28	ELU
HIP.44	G+Sx-0,3°Sy+0,3°Q	1	68,28	5,45	68,28	4,17	ELU
HIP.45	G-Sx+0,3°Sy+0,3°Q	1	64,79	3,14	64,79	2,40	ELU
HIP.46	G-Sx-0,3°Sy+0,3°Q	1	63,22	2,54	63,22	1,94	ELU
HIP.47	G+Sy+0,3°Sx+0,3°Q	1	69,90	7,14	69,90	5,46	ELU
HIP.48	G+Sy-0,3°Sx+0,3°Q	1	68,38	5,88	68,38	4,49	ELU
HIP.49	G-Sy+0,3°Sx+0,3°Q	1	64,69	2,87	64,69	2,20	ELU
HIP.50	G-Sy-0,3°Sx+0,3°Q	1	63,17	2,52	63,17	1,92	ELU
HIP.51	G+BOMB	1	106,30	3,89	106,30	2,98	ELU
HIP.52	G+BOMB+0,5°Q	1	116,15	4,24	116,15	3,24	ELU
HIP.53	G+BOMB+0,5°V1	1	105,79	3,92	105,79	3,00	ELU
HIP.54	G+BOMB+0,5°V2	1	105,82	4,02	105,82	3,07	ELU
HIP.55	G+BOMB+0,5°V3	1	106,81	3,88	106,81	2,97	ELU
HIP.56	G+BOMB+0,5°V4	1	106,77	3,78	106,77	2,89	ELU
HIP.57	G+BOMB+0,5°V5	1	104,43	2,74	104,43	2,10	ELU
HIP.58	G+BOMB+0,5°V6	1	104,02	2,23	104,02	1,70	ELU
HIP.59	G+BOMB+0,5°V7	1	108,16	5,62	108,16	4,29	ELU
HIP.60	G+BOMB+0,5°V8	1	108,57	6,87	108,57	5,25	ELU
HIP.61	G+BOMB+0,5°V1+0,3°Q	1	111,70	4,13	111,70	3,16	ELU
HIP.62	G+BOMB+0,5°V2+0,3°Q	1	111,73	4,23	111,73	3,23	ELU
HIP.63	G+BOMB+0,5°V3+0,3°Q	1	112,72	4,09	112,72	3,13	ELU
HIP.64	G+BOMB+0,5°V4+0,3°Q	1	112,68	3,99	112,68	3,05	ELU
HIP.65	G+BOMB+0,5°V5+0,3°Q	1	110,34	2,92	110,34	2,23	ELU
HIP.66	G+BOMB+0,5°V6+0,3°Q	1	109,93	2,34	109,93	1,79	ELU
HIP.67	G+BOMB+0,5°V7+0,3°Q	1	114,07	5,82	114,07	4,45	ELU
HIP.68	G+BOMB+0,5°V8+0,3°Q	1	114,48	7,07	114,48	5,41	ELU

Seccion (mm.)	e _x (m.)	e _y (m.)	Henc. (m.)
235	0,00	0,00	0,65
COMPROBACIÓN (compresión)	CUMPLE		
MAX. AXIL	72,65		(TON)
MIN. AXIL	0,00		(TON)
COMPROBACIÓN (tracción)	CUMPLE		
L.1(m)	0,00		
L.2(m)	0,00		
L.Influenc.(m)	0,00		
CERRAM.(ton.)	0,00		
αx (inclinación)	0,00		
αy (inclinación)	0,00		

Curva de resistencia axil-momento (en cualquier dirección)



Curva de resistencia axil-cortante



PILAR: P2

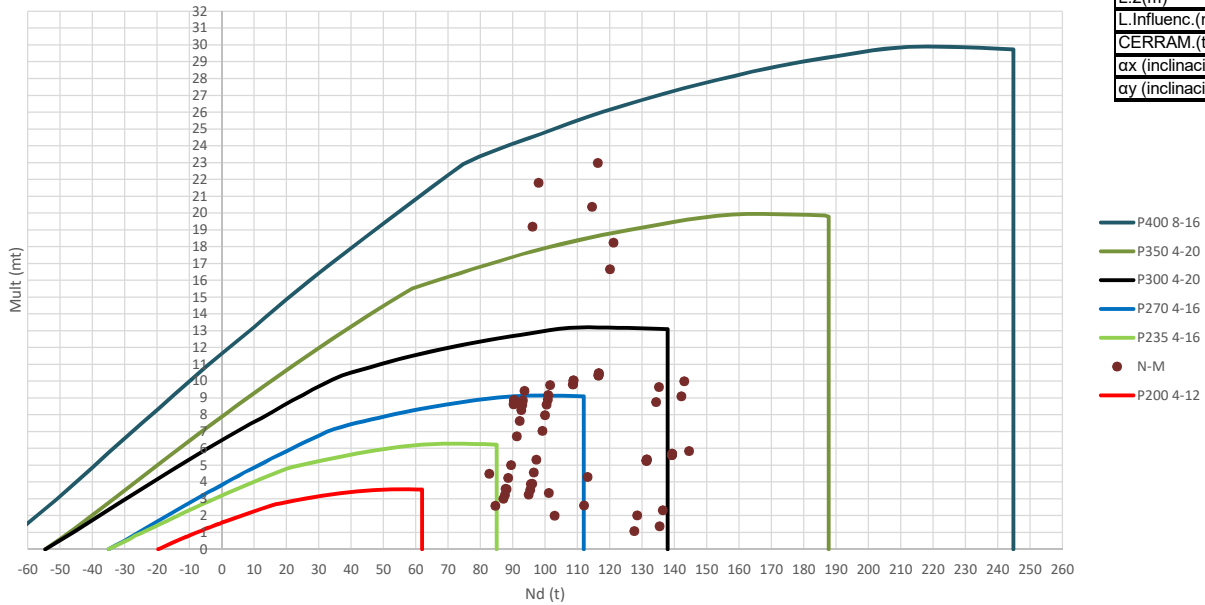
COMPROBACIÓN ESFUERZOS:

P18147P Parcela R20

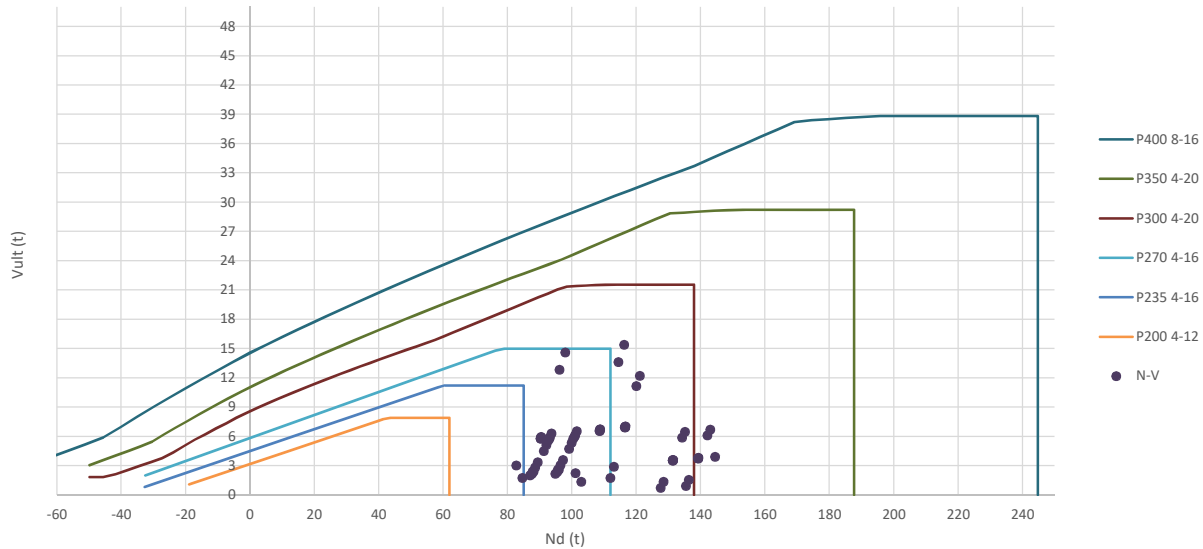
	LC: COMB.	n° PILOTE	N _{pilote} (T) a ras de suelo	M ult. Pilote (mT)	N _{pilote} (T) a ras de suelo	V ult-Pilote (T)	ESTADO LIMITE
HIP.1	G	1	48,21	1,73	48,21	1,97	ELS
HIP.2	G+Q	1	60,79	2,01	60,79	2,29	ELS
HIP.3	G+V9	1	48,47	1,68	48,47	1,92	ELS
HIP.4	G+V10	1	48,66	1,77	48,66	2,01	ELS
HIP.5	G+V11	1	47,95	1,85	47,95	2,10	ELS
HIP.6	G+V12	1	47,76	1,78	47,76	2,03	ELS
HIP.7	G+V13	1	44,92	0,28	44,92	0,32	ELS
HIP.8	G+V14	1	42,76	0,89	42,76	1,02	ELS
HIP.9	G+V15	1	51,50	3,54	51,50	4,03	ELS
HIP.10	G+V16	1	53,66	4,34	53,66	4,94	ELS
HIP.11	G+Q+0,6*V9	1	60,95	1,96	60,95	2,23	ELS
HIP.12	G+Q+0,6*V10	1	61,06	2,01	61,06	2,28	ELS
HIP.13	G+Q+0,6*V11	1	60,64	2,08	60,64	2,37	ELS
HIP.14	G+Q+0,6*V12	1	60,52	2,04	60,52	2,33	ELS
HIP.15	G+Q+0,6*V13	1	58,82	0,93	58,82	1,06	ELS
HIP.16	G+Q+0,6*V14	1	57,52	0,52	57,52	0,59	ELS
HIP.17	G+Q+0,6*V15	1	62,77	3,10	62,77	3,53	ELS
HIP.18	G+Q+0,6*V16	1	64,06	3,57	64,06	4,06	ELS
HIP.19	G+V1+0,7*Q	1	57,28	1,86	57,28	2,12	ELS
HIP.20	G+V2+0,7*Q	1	57,47	1,94	57,47	2,21	ELS
HIP.21	G+V3+0,7*Q	1	56,76	2,05	56,76	2,34	ELS
HIP.22	G+V4+0,7*Q	1	56,57	1,99	56,57	2,27	ELS
HIP.23	G+V5+0,7*Q	1	53,73	0,23	53,73	0,26	ELS
HIP.24	G+V6+0,7*Q	1	51,57	0,74	51,57	0,84	ELS
HIP.25	G+V7+0,7*Q	1	60,31	3,74	60,31	4,26	ELS
HIP.26	G+V8+0,7*Q	1	62,47	4,53	62,47	5,15	ELS
HIP.27	G+Sx	1	49,77	1,70	49,77	1,94	ELU
HIP.28	G-Sx	1	46,65	0,75	46,65	0,85	ELU
HIP.29	G+Sy	1	50,41	1,86	50,41	2,12	ELU
HIP.30	G-Sy	1	46,02	0,65	46,02	0,74	ELU
HIP.31	G+Sx+0,3*Sy	1	50,43	1,93	50,43	2,19	ELU
HIP.32	G+Sx-0,3*Sy	1	49,11	1,48	49,11	1,69	ELU
HIP.33	G-Sx+0,3*Sy	1	47,31	0,88	47,31	1,00	ELU
HIP.34	G-Sx-0,3*Sy	1	46,00	0,67	46,00	0,76	ELU
HIP.35	G+Sy+0,3*Sx	1	50,88	2,04	50,88	2,32	ELU
HIP.36	G+Sy-0,3*Sx	1	49,94	1,69	49,94	1,93	ELU
HIP.37	G-Sy+0,3*Sx	1	46,48	0,72	46,48	0,81	ELU
HIP.38	G-Sy-0,3*Sx	1	45,55	0,63	45,55	0,72	ELU
HIP.39	G+Sx+0,3*Q	1	53,55	1,76	53,55	2,01	ELU
HIP.40	G-Sx+0,3*Q	1	50,43	0,78	50,43	0,89	ELU
HIP.41	G+Sy+0,3*Q	1	54,18	1,92	54,18	2,19	ELU
HIP.42	G-Sy+0,3*Q	1	49,79	0,68	49,79	0,77	ELU
HIP.43	G+Sx+0,3*Sy+0,3*Q	1	54,20	1,99	54,20	2,26	ELU
HIP.44	G+Sx-0,3*Sy+0,3*Q	1	52,89	1,54	52,89	1,76	ELU
HIP.45	G-Sx+0,3*Sy+0,3*Q	1	51,09	0,93	51,09	1,06	ELU
HIP.46	G-Sx-0,3*Sy+0,3*Q	1	49,77	0,69	49,77	0,79	ELU
HIP.47	G+Sy+0,3*Sx+0,3*Q	1	54,65	2,10	54,65	2,39	ELU
HIP.48	G+Sy-0,3*Sx+0,3*Q	1	53,72	1,75	53,72	1,99	ELU
HIP.49	G-Sy+0,3*Sx+0,3*Q	1	50,26	0,76	50,26	0,86	ELU
HIP.50	G-Sy-0,3*Sx+0,3*Q	1	49,32	0,64	49,32	0,73	ELU
HIP.51	G+BOMB	1	66,15	1,00	66,15	1,14	ELU
HIP.52	G+BOMB+0,5*Q	1	72,44	1,10	72,44	1,25	ELU
HIP.53	G+BOMB+0,5*V9	1	66,28	0,95	66,28	1,08	ELU
HIP.54	G+BOMB+0,5*V10	1	66,38	0,97	66,38	1,11	ELU
HIP.55	G+BOMB+0,5*V11	1	66,02	1,06	66,02	1,20	ELU
HIP.56	G+BOMB+0,5*V12	1	65,93	1,04	65,93	1,18	ELU
HIP.57	G+BOMB+0,5*V13	1	64,51	0,40	64,51	0,45	ELU
HIP.58	G+BOMB+0,5*V14	1	63,43	0,34	63,43	0,38	ELU
HIP.59	G+BOMB+0,5*V15	1	67,80	1,60	67,80	1,82	ELU
HIP.60	G+BOMB+0,5*V16	1	68,88	1,84	68,88	2,10	ELU
HIP.61	G+BOMB+0,5*V1+0,3*Q	1	70,06	1,01	70,06	1,15	ELU
HIP.62	G+BOMB+0,5*V2+0,3*Q	1	70,15	1,03	70,15	1,17	ELU
HIP.63	G+BOMB+0,5*V3+0,3*Q	1	69,80	1,12	69,80	1,27	ELU
HIP.64	G+BOMB+0,5*V4+0,3*Q	1	69,70	1,10	69,70	1,25	ELU
HIP.65	G+BOMB+0,5*V5+0,3*Q	1	68,28	0,46	68,28	0,52	ELU
HIP.66	G+BOMB+0,5*V6+0,3*Q	1	67,20	0,38	67,20	0,43	ELU
HIP.67	G+BOMB+0,5*V7+0,3*Q	1	71,57	1,66	71,57	1,89	ELU
HIP.68	G+BOMB+0,5*V8+0,3*Q	1	72,65	1,90	72,65	2,16	ELU

Seccion (mm.)	e _x (m.)	e _y (m.)	Henc. (m.)
400	0,00	0,00	1,00
COMPROBACIÓN (compresión)	CUMPLE		
MAX. AXIL	144,46	(TON)	
MIN. AXIL	0,00	(TON)	
COMPROBACIÓN (tracción)	CUMPLE		
	L.1(m)	0,00	
	L.2(m)	0,00	
	L.Influenc.(m)	0,00	
	CERRAM.(ton.)	0,00	
	αx (inclinación)	0,00	
	αy (inclinación)	0,00	

Curva de resistencia axil-momento (en cualquier dirección)



Curva de resistencia axil-cortante



PILAR: P3

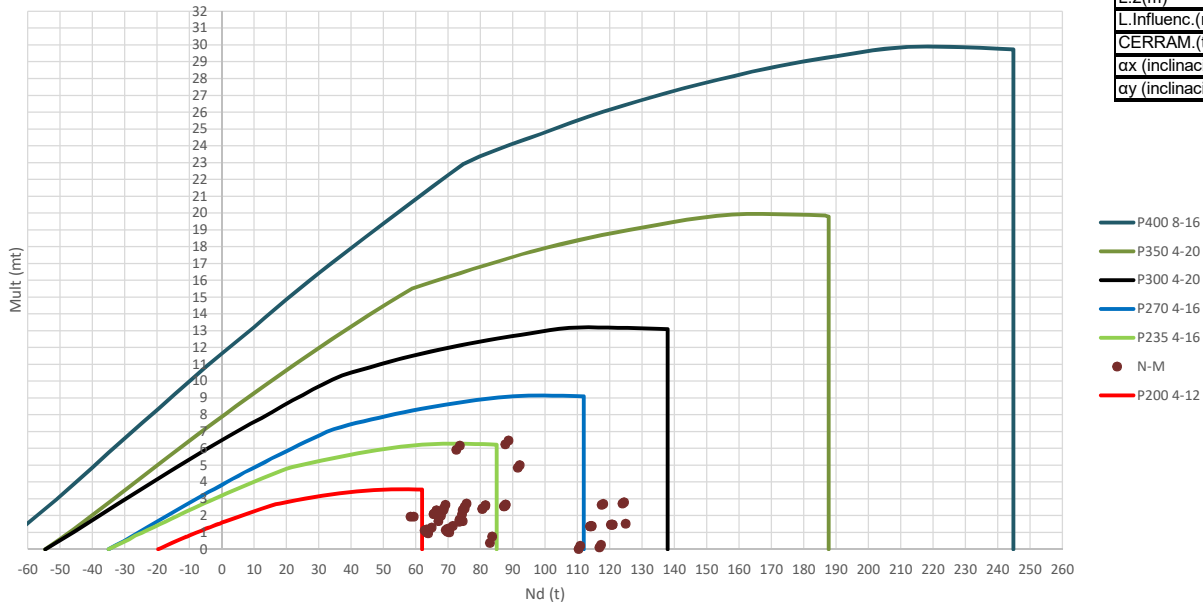
COMPROBACIÓN ESFUERZOS:

P18147P Parcela R20

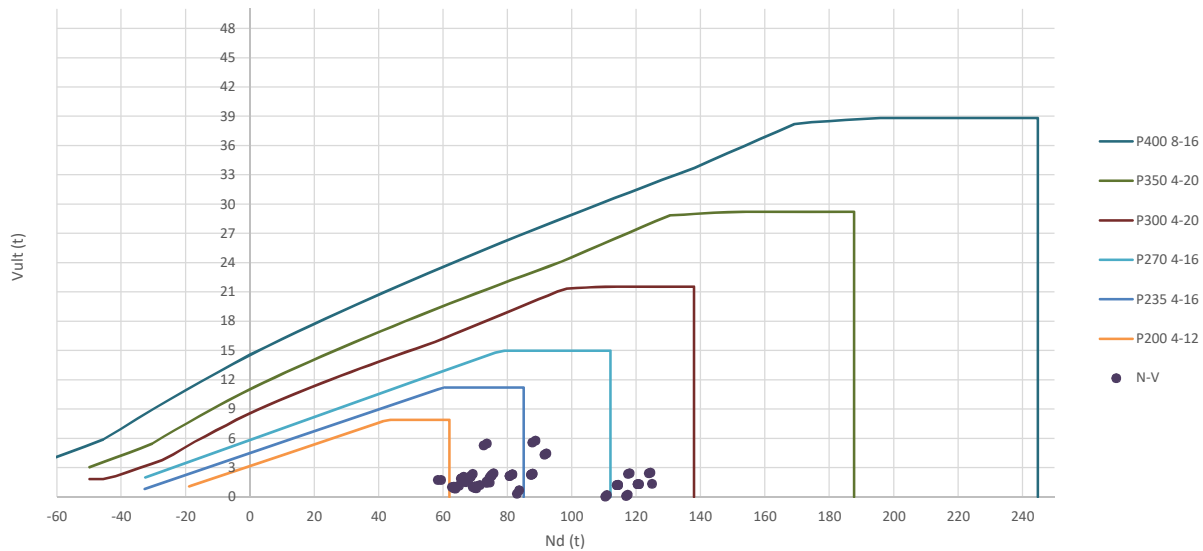
	LC: COMB.	nº PILOTE	N _{pilote} (T) a ras de suelo	M ult. Pilote (mT)	N _{pilote} (T) a ras de suelo	V ult.-Pilote (T)	ESTADO LIMITE
HIP.1	G	1	90,33	8,71	90,33	5,83	ELS
HIP.2	G+Q	1	116,53	10,39	116,53	6,95	ELS
HIP.3	G+V17	1	90,29	8,65	90,29	5,79	ELS
HIP.4	G+V18	1	90,44	8,89	90,44	5,95	ELS
HIP.5	G+V19	1	90,37	8,86	90,37	5,93	ELS
HIP.6	G+V20	1	90,22	8,64	90,22	5,78	ELS
HIP.7	G+V21	1	84,55	2,60	84,55	1,74	ELS
HIP.8	G+V22	1	82,75	4,50	82,75	3,01	ELS
HIP.9	G+V23	1	96,11	19,20	96,11	12,84	ELS
HIP.10	G+V24	1	97,91	21,81	97,91	14,59	ELS
HIP.11	G+Q+0,6*V17	1	116,51	10,34	116,51	6,92	ELS
HIP.12	G+Q+0,6*V18	1	116,60	10,48	116,60	7,01	ELS
HIP.13	G+Q+0,6*V19	1	116,55	10,47	116,55	7,00	ELS
HIP.14	G+Q+0,6*V20	1	116,46	10,34	116,46	6,91	ELS
HIP.15	G+Q+0,6*V21	1	113,06	4,31	113,06	2,88	ELS
HIP.16	G+Q+0,6*V22	1	111,98	2,62	111,98	1,75	ELS
HIP.17	G+Q+0,6*V23	1	120,00	16,67	120,00	11,15	ELS
HIP.18	G+Q+0,6*V24	1	121,08	18,25	121,08	12,21	ELS
HIP.19	G+V1+0,7*Q	1	108,63	9,82	108,63	6,57	ELS
HIP.20	G+V2+0,7*Q	1	108,78	10,06	108,78	6,73	ELS
HIP.21	G+V3+0,7*Q	1	108,71	10,03	108,71	6,71	ELS
HIP.22	G+V4+0,7*Q	1	108,56	9,81	108,56	6,56	ELS
HIP.23	G+V5+0,7*Q	1	102,89	2,00	102,89	1,34	ELS
HIP.24	G+V6+0,7*Q	1	101,09	3,35	101,09	2,24	ELS
HIP.25	G+V7+0,7*Q	1	114,45	20,37	114,45	13,63	ELS
HIP.26	G+V8+0,7*Q	1	116,25	22,99	116,25	15,38	ELS
HIP.27	G+Sx	1	92,09	7,65	92,09	5,11	ELU
HIP.28	G-Sx	1	88,57	4,25	88,57	2,84	ELU
HIP.29	G+Sy	1	93,11	8,85	93,11	5,92	ELU
HIP.30	G-Sy	1	87,55	3,25	87,55	2,17	ELU
HIP.31	G+Sx+0,3*Sy	1	92,93	8,59	92,93	5,74	ELU
HIP.32	G+Sx-0,3*Sy	1	91,26	6,72	91,26	4,49	ELU
HIP.33	G-Sx+0,3*Sy	1	89,40	5,00	89,40	3,35	ELU
HIP.34	G-Sx-0,3*Sy	1	87,73	3,60	87,73	2,41	ELU
HIP.35	G+Sy+0,3*Sx	1	93,64	9,43	93,64	6,31	ELU
HIP.36	G+Sy-0,3*Sx	1	92,58	8,28	92,58	5,54	ELU
HIP.37	G-Sy+0,3*Sx	1	88,08	3,59	88,08	2,40	ELU
HIP.38	G-Sy-0,3*Sx	1	87,02	3,00	87,02	2,01	ELU
HIP.39	G+Sx+0,3*Q	1	99,95	7,98	99,95	5,34	ELU
HIP.40	G-Sx+0,3*Q	1	96,43	4,57	96,43	3,05	ELU
HIP.41	G+Sy+0,3*Q	1	100,97	9,19	100,97	6,14	ELU
HIP.42	G-Sy+0,3*Q	1	95,41	3,54	95,41	2,37	ELU
HIP.43	G+Sx+0,3*Sy+0,3*Q	1	100,79	8,92	100,79	5,97	ELU
HIP.44	G+Sx-0,3*Sy+0,3*Q	1	99,12	7,05	99,12	4,72	ELU
HIP.45	G-Sx+0,3*Sy+0,3*Q	1	97,26	5,33	97,26	3,57	ELU
HIP.46	G-Sx-0,3*Sy+0,3*Q	1	95,59	3,90	95,59	2,61	ELU
HIP.47	G+Sy+0,3*Sx+0,3*Q	1	101,50	9,76	101,50	6,53	ELU
HIP.48	G+Sy-0,3*Sx+0,3*Q	1	100,44	8,62	100,44	5,76	ELU
HIP.49	G-Sy+0,3*Sx+0,3*Q	1	95,94	3,90	95,94	2,61	ELU
HIP.50	G-Sy-0,3*Sx+0,3*Q	1	94,88	3,27	94,88	2,18	ELU
HIP.51	G+BOMB	1	131,36	5,30	131,36	3,54	ELU
HIP.52	G+BOMB+0,5*Q	1	144,46	5,86	144,46	3,92	ELU
HIP.53	G+BOMB+0,5*V17	1	131,34	5,28	131,34	3,53	ELU
HIP.54	G+BOMB+0,5*V18	1	131,42	5,36	131,42	3,59	ELU
HIP.55	G+BOMB+0,5*V19	1	131,38	5,33	131,38	3,57	ELU
HIP.56	G+BOMB+0,5*V20	1	131,31	5,26	131,31	3,52	ELU
HIP.57	G+BOMB+0,5*V21	1	128,47	2,01	128,47	1,35	ELU
HIP.58	G+BOMB+0,5*V22	1	127,57	1,08	127,57	0,72	ELU
HIP.59	G+BOMB+0,5*V23	1	134,25	8,77	134,25	5,87	ELU
HIP.60	G+BOMB+0,5*V24	1	135,15	9,66	135,15	6,46	ELU
HIP.61	G+BOMB+0,5*V1+0,3*Q	1	139,20	5,62	139,20	3,76	ELU
HIP.62	G+BOMB+0,5*V2+0,3*Q	1	139,28	5,70	139,28	3,81	ELU
HIP.63	G+BOMB+0,5*V3+0,3*Q	1	139,24	5,67	139,24	3,79	ELU
HIP.64	G+BOMB+0,5*V4+0,3*Q	1	139,17	5,59	139,17	3,74	ELU
HIP.65	G+BOMB+0,5*V5+0,3*Q	1	136,33	2,32	136,33	1,55	ELU
HIP.66	G+BOMB+0,5*V6+0,3*Q	1	135,43	1,38	135,43	0,92	ELU
HIP.67	G+BOMB+0,5*V7+0,3*Q	1	142,11	9,11	142,11	6,09	ELU
HIP.68	G+BOMB+0,5*V8+0,3*Q	1	143,01	9,99	143,01	6,68	ELU

Seccion (mm.)	e _x (m.)	e _y (m.)	Henc. (m.)
300	0,00	0,00	1,00
COMPROBACIÓN (compresión)	CUMPLE		
MAX. AXIL	124,92	(TON)	
MIN. AXIL	0,00	(TON)	
COMPROBACIÓN (tracción)	CUMPLE		
	L.1(m)	0,00	
	L.2(m)	0,00	
	L.Influenc.(m)	0,00	
	CERRAM.(ton.)	0,00	
	αx (inclinación)	0,00	
	αy (inclinación)	0,00	

Curva de resistencia axil-momento (en cualquier dirección)



Curva de resistencia axil-cortante



PILAR: P4

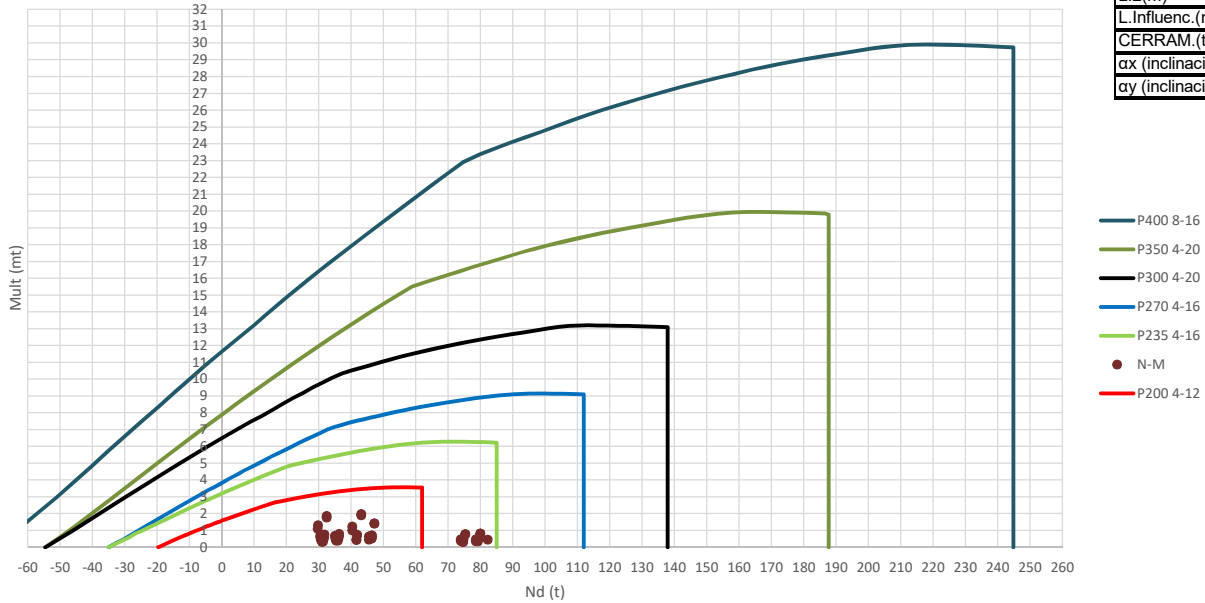
COMPROBACIÓN ESFUERZOS:

P18147P Parcela R20

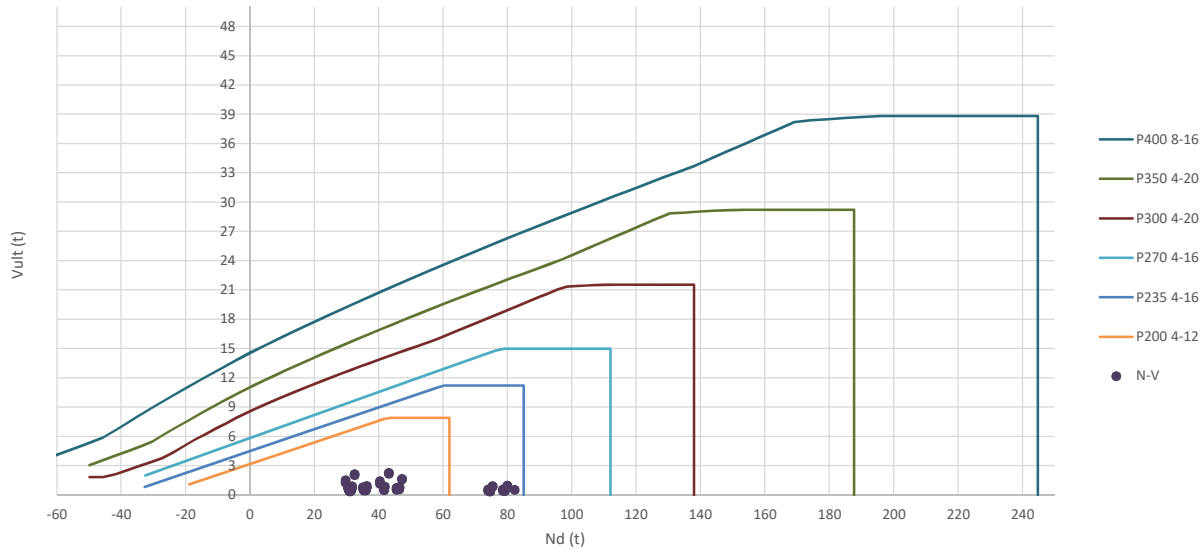
	LC: COMB.	n° PILOTE	N _{pilote} (T) a ras de suelo	M ult. Pilote (mT)	N _{pilote} (T) a ras de suelo	V ult. Pilote (T)	ESTADO LIMITE
HIP.1	G	1	65,95	2,15	65,95	1,92	ELS
HIP.2	G+Q	1	87,52	2,60	87,52	2,31	ELS
HIP.3	G+V25	1	66,34	2,28	66,34	2,03	ELS
HIP.4	G+V26	1	66,42	2,33	66,42	2,08	ELS
HIP.5	G+V27	1	65,56	2,12	65,56	1,89	ELS
HIP.6	G+V28	1	65,48	2,09	65,48	1,87	ELS
HIP.7	G+V29	1	59,35	1,94	59,35	1,73	ELS
HIP.8	G+V30	1	58,33	1,95	58,33	1,74	ELS
HIP.9	G+V31	1	72,55	5,93	72,55	5,29	ELS
HIP.10	G+V32	1	73,57	6,16	73,57	5,50	ELS
HIP.11	G+Q+0,6*V25	1	87,75	2,65	87,75	2,36	ELS
HIP.12	G+Q+0,6*V26	1	87,80	2,68	87,80	2,39	ELS
HIP.13	G+Q+0,6*V27	1	87,28	2,57	87,28	2,30	ELS
HIP.14	G+Q+0,6*V28	1	87,23	2,55	87,23	2,28	ELS
HIP.15	G+Q+0,6*V29	1	83,56	0,77	83,56	0,68	ELS
HIP.16	G+Q+0,6*V30	1	82,94	0,38	82,94	0,34	ELS
HIP.17	G+Q+0,6*V31	1	91,48	4,85	91,48	4,33	ELS
HIP.18	G+Q+0,6*V32	1	92,09	5,01	92,09	4,46	ELS
HIP.19	G+V1+0,7*Q	1	81,43	2,57	81,43	2,30	ELS
HIP.20	G+V2+0,7*Q	1	81,51	2,62	81,51	2,34	ELS
HIP.21	G+V3+0,7*Q	1	80,65	2,44	80,65	2,18	ELS
HIP.22	G+V4+0,7*Q	1	80,57	2,41	80,57	2,15	ELS
HIP.23	G+V5+0,7*Q	1	74,44	1,67	74,44	1,49	ELS
HIP.24	G+V6+0,7*Q	1	73,42	1,64	73,42	1,46	ELS
HIP.25	G+V7+0,7*Q	1	87,64	6,24	87,64	5,57	ELS
HIP.26	G+V8+0,7*Q	1	88,66	6,48	88,66	5,78	ELS
HIP.27	G+Sx	1	67,79	2,01	67,79	1,79	ELU
HIP.28	G-Sx	1	64,10	1,19	64,10	1,06	ELU
HIP.29	G+Sy	1	68,62	2,44	68,62	2,18	ELU
HIP.30	G-Sy	1	63,27	1,01	63,27	0,91	ELU
HIP.31	G+Sx+0,3*Sy	1	68,59	2,34	68,59	2,09	ELU
HIP.32	G+Sx-0,3*Sy	1	66,98	1,69	66,98	1,50	ELU
HIP.33	G-Sx+0,3*Sy	1	64,91	1,31	64,91	1,16	ELU
HIP.34	G-Sx-0,3*Sy	1	63,30	1,18	63,30	1,05	ELU
HIP.35	G+Sy+0,3*Sx	1	69,17	2,64	69,17	2,36	ELU
HIP.36	G+Sy-0,3*Sx	1	68,06	2,25	68,06	2,00	ELU
HIP.37	G-Sy+0,3*Sx	1	63,83	0,95	63,83	0,85	ELU
HIP.38	G-Sy-0,3*Sx	1	62,72	1,13	62,72	1,01	ELU
HIP.39	G+Sx+0,3*Q	1	74,26	2,10	74,26	1,87	ELU
HIP.40	G-Sx+0,3*Q	1	70,57	1,25	70,57	1,12	ELU
HIP.41	G+Sy+0,3*Q	1	75,09	2,53	75,09	2,26	ELU
HIP.42	G-Sy+0,3*Q	1	69,75	1,05	69,75	0,94	ELU
HIP.43	G+Sx+0,3*Sy+0,3*Q	1	75,06	2,43	75,06	2,17	ELU
HIP.44	G+Sx-0,3*Sy+0,3*Q	1	73,46	1,78	73,46	1,59	ELU
HIP.45	G-Sx+0,3*Sy+0,3*Q	1	71,38	1,38	71,38	1,24	ELU
HIP.46	G-Sx-0,3*Sy+0,3*Q	1	69,77	1,22	69,77	1,09	ELU
HIP.47	G+Sy+0,3*Sx+0,3*Q	1	75,64	2,73	75,64	2,44	ELU
HIP.48	G+Sy-0,3*Sx+0,3*Q	1	74,53	2,34	74,53	2,09	ELU
HIP.49	G-Sy+0,3*Sx+0,3*Q	1	70,30	1,01	70,30	0,90	ELU
HIP.50	G-Sy-0,3*Sx+0,3*Q	1	69,19	1,15	69,19	1,03	ELU
HIP.51	G+BOMB	1	114,14	1,37	114,14	1,22	ELU
HIP.52	G+BOMB+0,5*Q	1	124,92	1,52	124,92	1,36	ELU
HIP.53	G+BOMB+0,5*V25	1	114,33	1,38	114,33	1,23	ELU
HIP.54	G+BOMB+0,5*V26	1	114,37	1,39	114,37	1,24	ELU
HIP.55	G+BOMB+0,5*V27	1	113,94	1,38	113,94	1,23	ELU
HIP.56	G+BOMB+0,5*V28	1	113,90	1,37	113,90	1,22	ELU
HIP.57	G+BOMB+0,5*V29	1	110,84	0,21	110,84	0,19	ELU
HIP.58	G+BOMB+0,5*V30	1	110,33	0,03	110,33	0,02	ELU
HIP.59	G+BOMB+0,5*V31	1	117,44	2,64	117,44	2,36	ELU
HIP.60	G+BOMB+0,5*V32	1	117,95	2,71	117,95	2,42	ELU
HIP.61	G+BOMB+0,5*V1+0,3*Q	1	120,80	1,47	120,80	1,31	ELU
HIP.62	G+BOMB+0,5*V2+0,3*Q	1	120,84	1,48	120,84	1,32	ELU
HIP.63	G+BOMB+0,5*V3+0,3*Q	1	120,41	1,47	120,41	1,31	ELU
HIP.64	G+BOMB+0,5*V4+0,3*Q	1	120,37	1,46	120,37	1,30	ELU
HIP.65	G+BOMB+0,5*V5+0,3*Q	1	117,31	0,26	117,31	0,24	ELU
HIP.66	G+BOMB+0,5*V6+0,3*Q	1	116,80	0,12	116,80	0,10	ELU
HIP.67	G+BOMB+0,5*V7+0,3*Q	1	123,91	2,74	123,91	2,44	ELU
HIP.68	G+BOMB+0,5*V8+0,3*Q	1	124,42	2,80	124,42	2,50	ELU

Seccion (mm.)	e _x (m.)	e _y (m.)	Henc. (m.)
235	0,00	0,00	0,65
COMPROBACIÓN (compresión)	CUMPLE		
MAX. AXIL	82,25		(TON)
MIN. AXIL	0,00		(TON)
COMPROBACIÓN (tracción)	CUMPLE		
L.1(m)	0,00		
L.2(m)	0,00		
L.Influenc.(m)	0,00		
CERRAM.(ton.)	0,00		
αx (inclinación)	0,00		
αy (inclinación)	0,00		

Curva de resistencia axil-momento (en cualquier dirección)



Curva de resistencia axil-cortante



PILAR: P5

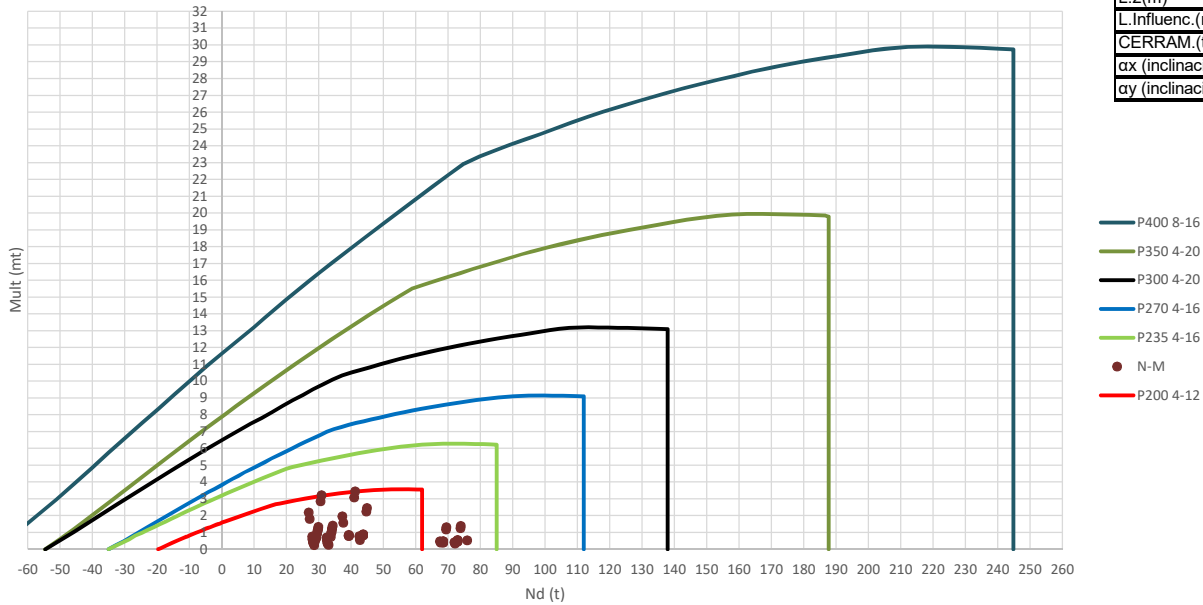
COMPROBACIÓN ESFUERZOS:

P18147P Parcela R20

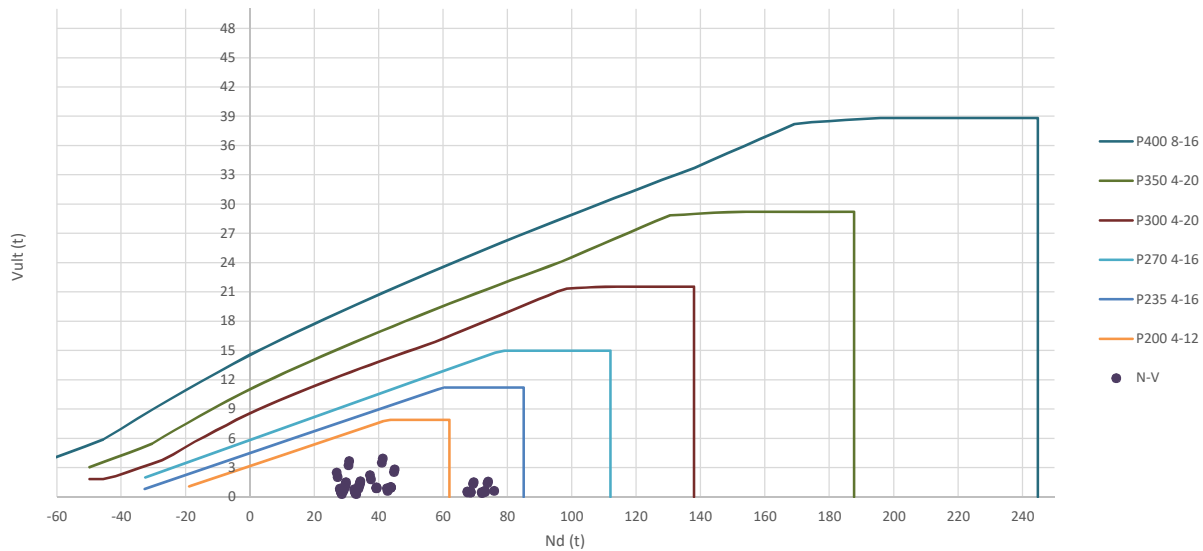
	LC: COMB.	n° PILOTE	N _{pilote} (T) a ras de suelo	M ult. Pilote (mT)	N _{pilote} (T) a ras de suelo	V ult-Pilote (T)	ESTADO LIMITE
HIP.1	G	1	31,06	0,42	31,06	0,48	ELS
HIP.2	G+Q	1	46,33	0,60	46,33	0,69	ELS
HIP.3	G+V33	1	31,15	0,62	31,15	0,71	ELS
HIP.4	G+V34	1	31,15	0,64	31,15	0,73	ELS
HIP.5	G+V35	1	30,97	0,33	30,97	0,38	ELS
HIP.6	G+V36	1	30,97	0,34	30,97	0,39	ELS
HIP.7	G+V37	1	29,68	1,32	29,68	1,50	ELS
HIP.8	G+V38	1	29,67	1,11	29,67	1,26	ELS
HIP.9	G+V39	1	32,44	1,87	32,44	2,13	ELS
HIP.10	G+V40	1	32,45	1,78	32,45	2,03	ELS
HIP.11	G+Q+0,6*V33	1	46,39	0,71	46,39	0,80	ELS
HIP.12	G+Q+0,6*V34	1	46,39	0,71	46,39	0,81	ELS
HIP.13	G+Q+0,6*V35	1	46,28	0,53	46,28	0,60	ELS
HIP.14	G+Q+0,6*V36	1	46,28	0,53	46,28	0,61	ELS
HIP.15	G+Q+0,6*V37	1	45,50	0,65	45,50	0,74	ELS
HIP.16	G+Q+0,6*V38	1	45,50	0,46	45,50	0,53	ELS
HIP.17	G+Q+0,6*V39	1	47,16	1,44	47,16	1,63	ELS
HIP.18	G+Q+0,6*V40	1	47,17	1,40	47,17	1,60	ELS
HIP.19	G+V1+0,7*Q	1	41,84	0,73	41,84	0,84	ELS
HIP.20	G+V2+0,7*Q	1	41,84	0,75	41,84	0,85	ELS
HIP.21	G+V3+0,7*Q	1	41,66	0,45	41,66	0,51	ELS
HIP.22	G+V4+0,7*Q	1	41,66	0,46	41,66	0,53	ELS
HIP.23	G+V5+0,7*Q	1	40,37	1,24	40,37	1,41	ELS
HIP.24	G+V6+0,7*Q	1	40,36	1,01	40,36	1,14	ELS
HIP.25	G+V7+0,7*Q	1	43,13	1,99	43,13	2,27	ELS
HIP.26	G+V8+0,7*Q	1	43,14	1,91	43,14	2,17	ELS
HIP.27	G+Sx	1	31,48	0,51	31,48	0,58	ELU
HIP.28	G-Sx	1	30,64	0,49	30,64	0,56	ELU
HIP.29	G+Sy	1	31,56	0,66	31,56	0,76	ELU
HIP.30	G-Sy	1	30,57	0,57	30,57	0,65	ELU
HIP.31	G+Sx+0,3*Sy	1	31,63	0,66	31,63	0,76	ELU
HIP.32	G+Sx-0,3*Sy	1	31,33	0,37	31,33	0,42	ELU
HIP.33	G-Sx+0,3*Sy	1	30,79	0,39	30,79	0,44	ELU
HIP.34	G-Sx-0,3*Sy	1	30,50	0,62	30,50	0,70	ELU
HIP.35	G+Sy+0,3*Sx	1	31,68	0,77	31,68	0,88	ELU
HIP.36	G+Sy-0,3*Sx	1	31,43	0,56	31,43	0,64	ELU
HIP.37	G-Sy+0,3*Sx	1	30,69	0,45	30,69	0,52	ELU
HIP.38	G-Sy-0,3*Sx	1	30,44	0,68	30,44	0,78	ELU
HIP.39	G+Sx+0,3*Q	1	36,06	0,54	36,06	0,62	ELU
HIP.40	G-Sx+0,3*Q	1	35,23	0,50	35,23	0,57	ELU
HIP.41	G+Sy+0,3*Q	1	36,14	0,69	36,14	0,79	ELU
HIP.42	G-Sy+0,3*Q	1	35,15	0,57	35,15	0,65	ELU
HIP.43	G+Sx+0,3*Sy+0,3*Q	1	36,21	0,69	36,21	0,79	ELU
HIP.44	G+Sx-0,3*Sy+0,3*Q	1	35,91	0,40	35,91	0,46	ELU
HIP.45	G-Sx+0,3*Sy+0,3*Q	1	35,37	0,41	35,37	0,46	ELU
HIP.46	G-Sx-0,3*Sy+0,3*Q	1	35,08	0,62	35,08	0,71	ELU
HIP.47	G+Sy+0,3*Sx+0,3*Q	1	36,26	0,80	36,26	0,91	ELU
HIP.48	G+Sy-0,3*Sx+0,3*Q	1	36,01	0,60	36,01	0,68	ELU
HIP.49	G-Sy+0,3*Sx+0,3*Q	1	35,28	0,46	35,28	0,53	ELU
HIP.50	G-Sy-0,3*Sx+0,3*Q	1	35,02	0,69	35,02	0,78	ELU
HIP.51	G+BOMB	1	74,61	0,40	74,61	0,45	ELU
HIP.52	G+BOMB+0,5*Q	1	82,25	0,45	82,25	0,52	ELU
HIP.53	G+BOMB+0,5*V33	1	74,66	0,47	74,66	0,54	ELU
HIP.54	G+BOMB+0,5*V34	1	74,66	0,48	74,66	0,54	ELU
HIP.55	G+BOMB+0,5*V35	1	74,57	0,33	74,57	0,38	ELU
HIP.56	G+BOMB+0,5*V36	1	74,57	0,33	74,57	0,38	ELU
HIP.57	G+BOMB+0,5*V37	1	73,92	0,49	73,92	0,56	ELU
HIP.58	G+BOMB+0,5*V38	1	73,92	0,38	73,92	0,43	ELU
HIP.59	G+BOMB+0,5*V39	1	75,30	0,79	75,30	0,90	ELU
HIP.60	G+BOMB+0,5*V40	1	75,31	0,79	75,31	0,90	ELU
HIP.61	G+BOMB+0,5*V1+0,3*Q	1	79,24	0,50	79,24	0,57	ELU
HIP.62	G+BOMB+0,5*V2+0,3*Q	1	79,24	0,51	79,24	0,58	ELU
HIP.63	G+BOMB+0,5*V3+0,3*Q	1	79,15	0,37	79,15	0,42	ELU
HIP.64	G+BOMB+0,5*V4+0,3*Q	1	79,15	0,37	79,15	0,42	ELU
HIP.65	G+BOMB+0,5*V5+0,3*Q	1	78,50	0,48	78,50	0,55	ELU
HIP.66	G+BOMB+0,5*V6+0,3*Q	1	78,50	0,37	78,50	0,42	ELU
HIP.67	G+BOMB+0,5*V7+0,3*Q	1	79,88	0,83	79,88	0,94	ELU
HIP.68	G+BOMB+0,5*V8+0,3*Q	1	79,89	0,83	79,89	0,94	ELU

Seccion (mm.)	e _x (m.)	e _y (m.)	Henc. (m.)
235	0,00	0,00	0,65
COMPROBACIÓN (compresión)	CUMPLE		
MAX. AXIL	75,89		(TON)
MIN. AXIL	0,00		(TON)
COMPROBACIÓN (tracción)	CUMPLE		
L.1(m)	0,00		
L.2(m)	0,00		
L.Influenc.(m)	0,00		
CERRAM.(ton.)	0,00		
αx (inclinación)	0,00		
αy (inclinación)	0,00		

Curva de resistencia axil-momento (en cualquier dirección)



Curva de resistencia axil-cortante



PILAR: P6

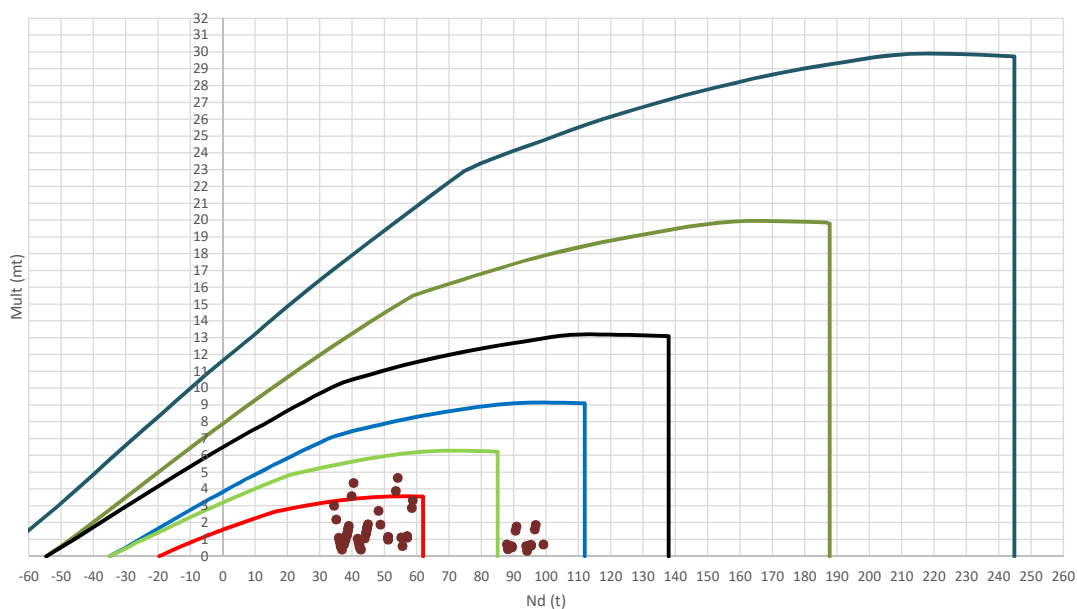
COMPROBACIÓN ESFUERZOS:

P18147P Parcela R20

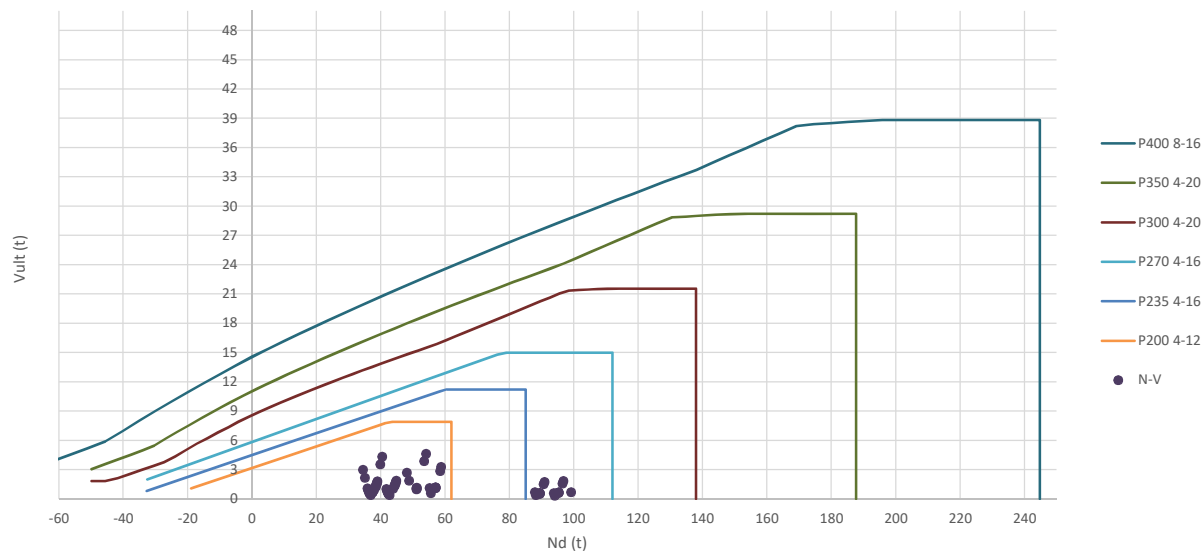
	LC: COMB.	nº PILOTE	N _{pilote} (T) a ras de suelo	M ult. Pilote (mT)	N _{pilote} (T) a ras de suelo	V ult-Pilote (T)	ESTADO LIMITE
HIP.1	G	1	28,86	0,53	28,86	0,60	ELS
HIP.2	G+Q	1	43,70	0,85	43,70	0,96	ELS
HIP.3	G+V41	1	28,90	0,64	28,90	0,73	ELS
HIP.4	G+V42	1	28,87	0,62	28,87	0,71	ELS
HIP.5	G+V43	1	28,82	0,59	28,82	0,67	ELS
HIP.6	G+V44	1	28,85	0,65	28,85	0,74	ELS
HIP.7	G+V45	1	26,90	2,19	26,90	2,49	ELS
HIP.8	G+V46	1	27,17	1,80	27,17	2,06	ELS
HIP.9	G+V47	1	30,82	3,23	30,82	3,67	ELS
HIP.10	G+V48	1	30,55	2,86	30,55	3,26	ELS
HIP.11	G+Q+0,6*V41	1	43,73	0,87	43,73	0,99	ELS
HIP.12	G+Q+0,6*V42	1	43,71	0,85	43,71	0,96	ELS
HIP.13	G+Q+0,6*V43	1	43,68	0,87	43,68	0,99	ELS
HIP.14	G+Q+0,6*V44	1	43,70	0,90	43,70	1,02	ELS
HIP.15	G+Q+0,6*V45	1	42,53	0,78	42,53	0,89	ELS
HIP.16	G+Q+0,6*V46	1	42,69	0,56	42,69	0,64	ELS
HIP.17	G+Q+0,6*V47	1	44,88	2,47	44,88	2,81	ELS
HIP.18	G+Q+0,6*V48	1	44,72	2,24	44,72	2,55	ELS
HIP.19	G+V1+0,7*Q	1	39,29	0,82	39,29	0,93	ELS
HIP.20	G+V2+0,7*Q	1	39,26	0,79	39,26	0,90	ELS
HIP.21	G+V3+0,7*Q	1	39,21	0,81	39,21	0,92	ELS
HIP.22	G+V4+0,7*Q	1	39,24	0,87	39,24	0,99	ELS
HIP.23	G+V5+0,7*Q	1	37,29	1,96	37,29	2,23	ELS
HIP.24	G+V6+0,7*Q	1	37,56	1,58	37,56	1,80	ELS
HIP.25	G+V7+0,7*Q	1	41,21	3,45	41,21	3,93	ELS
HIP.26	G+V8+0,7*Q	1	40,94	3,08	40,94	3,51	ELS
HIP.27	G+Sx	1	29,45	0,94	29,45	1,07	ELU
HIP.28	G-Sx	1	28,28	0,42	28,28	0,47	ELU
HIP.29	G+Sy	1	29,65	1,15	29,65	1,31	ELU
HIP.30	G-Sy	1	28,08	0,57	28,08	0,65	ELU
HIP.31	G+Sx+0,3*Sy	1	29,68	1,19	29,68	1,35	ELU
HIP.32	G+Sx-0,3*Sy	1	29,21	0,69	29,21	0,79	ELU
HIP.33	G-Sx+0,3*Sy	1	28,51	0,26	28,51	0,30	ELU
HIP.34	G-Sx-0,3*Sy	1	28,04	0,64	28,04	0,73	ELU
HIP.35	G+Sy+0,3*Sx	1	29,82	1,34	29,82	1,53	ELU
HIP.36	G+Sy-0,3*Sx	1	29,47	0,97	29,47	1,11	ELU
HIP.37	G-Sy+0,3*Sx	1	28,26	0,39	28,26	0,45	ELU
HIP.38	G-Sy-0,3*Sx	1	27,90	0,76	27,90	0,87	ELU
HIP.39	G+Sx+0,3*Q	1	33,90	1,00	33,90	1,14	ELU
HIP.40	G-Sx+0,3*Q	1	32,73	0,38	32,73	0,44	ELU
HIP.41	G+Sy+0,3*Q	1	34,10	1,22	34,10	1,39	ELU
HIP.42	G-Sy+0,3*Q	1	32,53	0,52	32,53	0,60	ELU
HIP.43	G+Sx+0,3*Sy+0,3*Q	1	34,13	1,25	34,13	1,43	ELU
HIP.44	G+Sx-0,3*Sy+0,3*Q	1	33,66	0,75	33,66	0,86	ELU
HIP.45	G-Sx+0,3*Sy+0,3*Q	1	32,97	0,27	32,97	0,30	ELU
HIP.46	G-Sx-0,3*Sy+0,3*Q	1	32,50	0,59	32,50	0,67	ELU
HIP.47	G+Sy+0,3*Sx+0,3*Q	1	34,27	1,40	34,27	1,60	ELU
HIP.48	G+Sy-0,3*Sx+0,3*Q	1	33,92	1,04	33,92	1,18	ELU
HIP.49	G-Sy+0,3*Sx+0,3*Q	1	32,71	0,35	32,71	0,40	ELU
HIP.50	G-Sy-0,3*Sx+0,3*Q	1	32,36	0,71	32,36	0,81	ELU
HIP.51	G+BOMB	1	68,47	0,43	68,47	0,49	ELU
HIP.52	G+BOMB+0,5*Q	1	75,89	0,54	75,89	0,61	ELU
HIP.53	G+BOMB+0,5*V41	1	68,49	0,42	68,49	0,47	ELU
HIP.54	G+BOMB+0,5*V42	1	68,48	0,40	68,48	0,46	ELU
HIP.55	G+BOMB+0,5*V43	1	68,45	0,47	68,45	0,54	ELU
HIP.56	G+BOMB+0,5*V44	1	68,47	0,49	68,47	0,56	ELU
HIP.57	G+BOMB+0,5*V45	1	67,49	0,49	67,49	0,56	ELU
HIP.58	G+BOMB+0,5*V46	1	67,63	0,40	67,63	0,46	ELU
HIP.59	G+BOMB+0,5*V47	1	69,45	1,33	69,45	1,51	ELU
HIP.60	G+BOMB+0,5*V48	1	69,32	1,19	69,32	1,36	ELU
HIP.61	G+BOMB+0,5*V1+0,3*Q	1	72,94	0,48	72,94	0,55	ELU
HIP.62	G+BOMB+0,5*V2+0,3*Q	1	72,93	0,47	72,93	0,53	ELU
HIP.63	G+BOMB+0,5*V3+0,3*Q	1	72,90	0,53	72,90	0,61	ELU
HIP.64	G+BOMB+0,5*V4+0,3*Q	1	72,92	0,55	72,92	0,63	ELU
HIP.65	G+BOMB+0,5*V5+0,3*Q	1	71,94	0,43	71,94	0,48	ELU
HIP.66	G+BOMB+0,5*V6+0,3*Q	1	72,08	0,35	72,08	0,40	ELU
HIP.67	G+BOMB+0,5*V7+0,3*Q	1	73,90	1,39	73,90	1,58	ELU
HIP.68	G+BOMB+0,5*V8+0,3*Q	1	73,77	1,26	73,77	1,43	ELU

Seccion (mm.)	e_x (m.)	e_y (m.)	Henc. (m.)
270	0,00	0,00	0,65
COMPROBACIÓN (compresión)	CUMPLE		
MAX. AXIL	99,15		(TON)
MIN. AXIL	0,00		(TON)
COMPROBACIÓN (tracción)	CUMPLE		
	L.1(m)		0,00
	L.2(m)		0,00
	L.Influenc.(m)		0,00
	CERRAM.(ton.)		0,00
	αx (inclinación)		0,00
	αy (inclinación)		0,00

Curva de resistencia axil-momento (en cualquier dirección)



Curva de resistencia axil-cortante



PILAR: P7



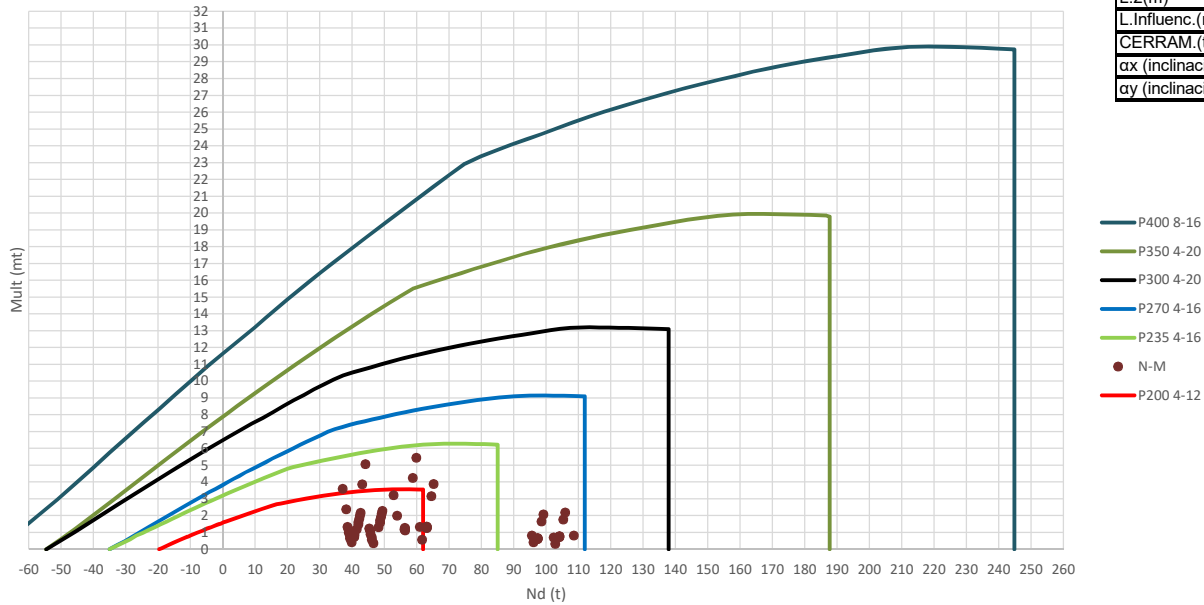
COMPROBACIÓN ESFUERZOS:

P18147P Parcela R20

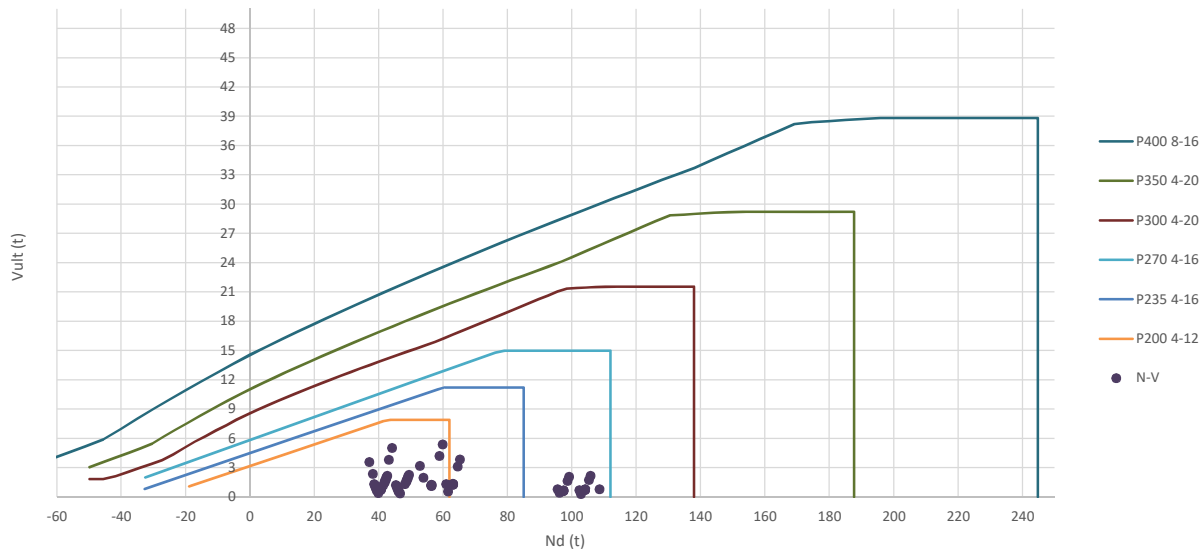
	LC: COMB.	n° PILOTE	N _{pilote} (T) a ras de suelo	M ult. Pilote (mT)	N _{pilote} (T) a ras de suelo	V ult-Pilote (T)	ESTADO LIMITE
HIP.1	G	1	37,42	0,71	37,42	0,70	ELS
HIP.2	G+Q	1	56,99	1,14	56,99	1,13	ELS
HIP.3	G+V49	1	37,44	0,91	37,44	0,90	ELS
HIP.4	G+V50	1	37,39	0,89	37,39	0,88	ELS
HIP.5	G+V51	1	37,40	0,70	37,40	0,69	ELS
HIP.6	G+V52	1	37,45	0,77	37,45	0,77	ELS
HIP.7	G+V53	1	34,43	3,02	34,43	2,99	ELS
HIP.8	G+V54	1	35,04	2,20	35,04	2,18	ELS
HIP.9	G+V55	1	40,41	4,36	40,41	4,32	ELS
HIP.10	G+V56	1	39,80	3,59	39,80	3,56	ELS
HIP.11	G+Q+0,6*V49	1	57,00	1,21	57,00	1,20	ELS
HIP.12	G+Q+0,6*V50	1	56,97	1,19	56,97	1,17	ELS
HIP.13	G+Q+0,6*V51	1	56,98	1,12	56,98	1,11	ELS
HIP.14	G+Q+0,6*V52	1	57,01	1,16	57,01	1,14	ELS
HIP.15	G+Q+0,6*V53	1	55,20	1,13	55,20	1,12	ELS
HIP.16	G+Q+0,6*V54	1	55,56	0,61	55,56	0,60	ELS
HIP.17	G+Q+0,6*V55	1	58,78	3,33	58,78	3,30	ELS
HIP.18	G+Q+0,6*V56	1	58,42	2,87	58,42	2,85	ELS
HIP.19	G+V1+0,7*Q	1	51,14	1,17	51,14	1,16	ELS
HIP.20	G+V2+0,7*Q	1	51,09	1,13	51,09	1,12	ELS
HIP.21	G+V3+0,7*Q	1	51,10	1,00	51,10	0,99	ELS
HIP.22	G+V4+0,7*Q	1	51,15	1,07	51,15	1,06	ELS
HIP.23	G+V5+0,7*Q	1	48,13	2,71	48,13	2,69	ELS
HIP.24	G+V6+0,7*Q	1	48,74	1,89	48,74	1,87	ELS
HIP.25	G+V7+0,7*Q	1	54,11	4,67	54,11	4,63	ELS
HIP.26	G+V8+0,7*Q	1	53,50	3,90	53,50	3,86	ELS
HIP.27	G+Sx	1	38,37	1,32	38,37	1,31	ELU
HIP.28	G-Sx	1	36,47	0,66	36,47	0,65	ELU
HIP.29	G+Sy	1	38,69	1,55	38,69	1,53	ELU
HIP.30	G-Sy	1	36,15	0,84	36,15	0,83	ELU
HIP.31	G+Sx+0,3*Sy	1	38,75	1,66	38,75	1,64	ELU
HIP.32	G+Sx-0,3*Sy	1	37,98	0,98	37,98	0,97	ELU
HIP.33	G-Sx+0,3*Sy	1	36,86	0,41	36,86	0,40	ELU
HIP.34	G-Sx-0,3*Sy	1	36,09	0,97	36,09	0,96	ELU
HIP.35	G+Sy+0,3*Sx	1	38,98	1,82	38,98	1,80	ELU
HIP.36	G+Sy-0,3*Sx	1	38,41	1,28	38,41	1,27	ELU
HIP.37	G-Sy+0,3*Sx	1	36,43	0,58	36,43	0,58	ELU
HIP.38	G-Sy-0,3*Sx	1	35,86	1,11	35,86	1,10	ELU
HIP.39	G+Sx+0,3*Q	1	44,24	1,40	44,24	1,39	ELU
HIP.40	G-Sx+0,3*Q	1	42,34	0,61	42,34	0,61	ELU
HIP.41	G+Sy+0,3*Q	1	44,57	1,63	44,57	1,62	ELU
HIP.42	G-Sy+0,3*Q	1	42,02	0,78	42,02	0,78	ELU
HIP.43	G+Sx+0,3*Sy+0,3*Q	1	44,62	1,74	44,62	1,73	ELU
HIP.44	G+Sx-0,3*Sy+0,3*Q	1	43,86	1,07	43,86	1,06	ELU
HIP.45	G-Sx+0,3*Sy+0,3*Q	1	42,73	0,40	42,73	0,40	ELU
HIP.46	G-Sx-0,3*Sy+0,3*Q	1	41,96	0,91	41,96	0,90	ELU
HIP.47	G+Sy+0,3*Sx+0,3*Q	1	44,85	1,90	44,85	1,89	ELU
HIP.48	G+Sy-0,3*Sx+0,3*Q	1	44,28	1,36	44,28	1,35	ELU
HIP.49	G-Sy+0,3*Sx+0,3*Q	1	42,30	0,54	42,30	0,53	ELU
HIP.50	G-Sy-0,3*Sx+0,3*Q	1	41,73	1,05	41,73	1,04	ELU
HIP.51	G+BOMB	1	89,37	0,56	89,37	0,55	ELU
HIP.52	G+BOMB+0,5*Q	1	99,15	0,70	99,15	0,70	ELU
HIP.53	G+BOMB+0,5*V49	1	89,38	0,60	89,38	0,60	ELU
HIP.54	G+BOMB+0,5*V50	1	89,35	0,59	89,35	0,58	ELU
HIP.55	G+BOMB+0,5*V51	1	89,36	0,54	89,36	0,54	ELU
HIP.56	G+BOMB+0,5*V52	1	89,38	0,57	89,38	0,56	ELU
HIP.57	G+BOMB+0,5*V53	1	87,87	0,70	87,87	0,69	ELU
HIP.58	G+BOMB+0,5*V54	1	88,18	0,41	88,18	0,41	ELU
HIP.59	G+BOMB+0,5*V55	1	90,86	1,77	90,86	1,76	ELU
HIP.60	G+BOMB+0,5*V56	1	90,56	1,52	90,56	1,51	ELU
HIP.61	G+BOMB+0,5*V1+0,3*Q	1	95,25	0,68	95,25	0,68	ELU
HIP.62	G+BOMB+0,5*V2+0,3*Q	1	95,23	0,67	95,23	0,66	ELU
HIP.63	G+BOMB+0,5*V3+0,3*Q	1	95,23	0,63	95,23	0,63	ELU
HIP.64	G+BOMB+0,5*V4+0,3*Q	1	95,26	0,65	95,26	0,65	ELU
HIP.65	G+BOMB+0,5*V5+0,3*Q	1	93,75	0,61	93,75	0,61	ELU
HIP.66	G+BOMB+0,5*V6+0,3*Q	1	94,05	0,33	94,05	0,32	ELU
HIP.67	G+BOMB+0,5*V7+0,3*Q	1	96,74	1,86	96,74	1,85	ELU
HIP.68	G+BOMB+0,5*V8+0,3*Q	1	96,43	1,61	96,43	1,59	ELU

Seccion (mm.)	e _x (m.)	e _y (m.)	Henc. (m.)
270	0,00	0,00	0,65
COMPROBACIÓN (compresión)	CUMPLE		
MAX. AXIL	108,56	(TON)	
MIN. AXIL	0,00	(TON)	
COMPROBACIÓN (tracción)	CUMPLE		
	L.1(m)	0,00	
	L.2(m)	0,00	
	L.Influenc.(m)	0,00	
	CERRAM.(ton.)	0,00	
	αx (inclinación)	0,00	
	αy (inclinación)	0,00	

Curva de resistencia axil-momento (en cualquier dirección)



Curva de resistencia axil-cortante



PILAR: P8

COMPROBACIÓN ESFUERZOS:

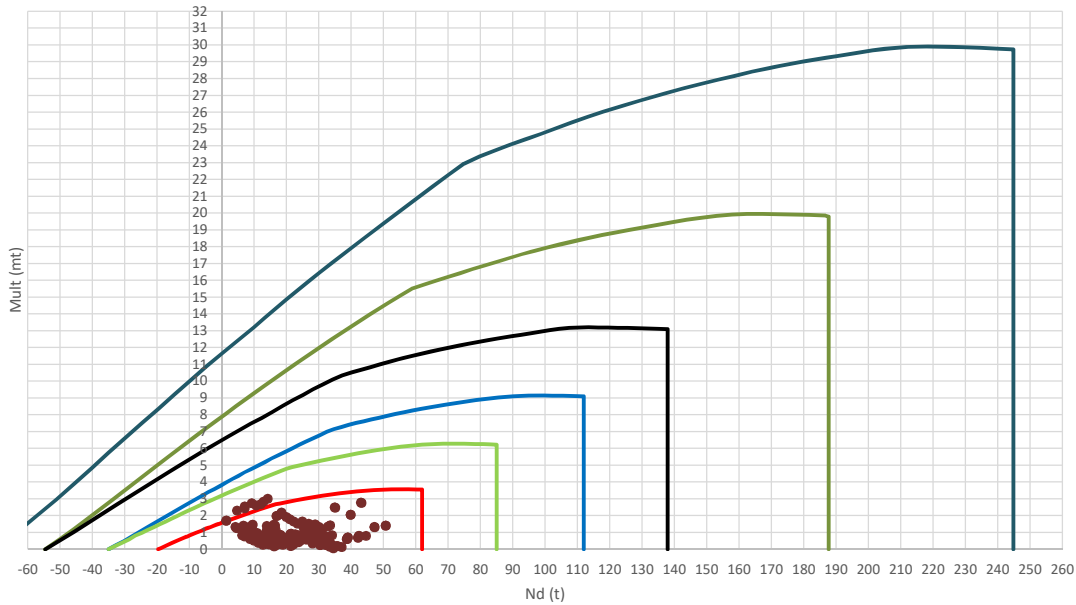
P18147P Parcela R20

	LC: COMB.	nº PILOTE	N _{pilote} (T) a ras de suelo	M ult. Pilote (mT)	N _{pilote} (T) a ras de suelo	V ult.-Pilote (T)	ESTADO LIMITE
HIP.1	G	1	40,60	0,74	40,60	0,74	ELS
HIP.2	G+Q	1	63,05	1,29	63,05	1,28	ELS
HIP.3	G+V57	1	40,59	0,95	40,59	0,94	ELS
HIP.4	G+V58	1	40,50	0,89	40,50	0,88	ELS
HIP.5	G+V59	1	40,61	0,76	40,61	0,75	ELS
HIP.6	G+V60	1	40,70	0,87	40,70	0,87	ELS
HIP.7	G+V61	1	37,09	3,61	37,09	3,58	ELS
HIP.8	G+V62	1	38,13	2,38	38,13	2,36	ELS
HIP.9	G+V63	1	44,11	5,06	44,11	5,02	ELS
HIP.10	G+V64	1	43,07	3,86	43,07	3,83	ELS
HIP.11	G+Q+0,6*V57	1	63,04	1,35	63,04	1,34	ELS
HIP.12	G+Q+0,6*V58	1	62,99	1,30	62,99	1,28	ELS
HIP.13	G+Q+0,6*V59	1	63,06	1,27	63,06	1,26	ELS
HIP.14	G+Q+0,6*V60	1	63,11	1,34	63,11	1,33	ELS
HIP.15	G+Q+0,6*V61	1	60,94	1,33	60,94	1,32	ELS
HIP.16	G+Q+0,6*V62	1	61,57	0,58	61,57	0,58	ELS
HIP.17	G+Q+0,6*V63	1	65,16	3,88	65,16	3,85	ELS
HIP.18	G+Q+0,6*V64	1	64,53	3,16	64,53	3,13	ELS
HIP.19	G+V1+0,7*Q	1	56,30	1,27	56,30	1,26	ELS
HIP.20	G+V2+0,7*Q	1	56,21	1,19	56,21	1,18	ELS
HIP.21	G+V3+0,7*Q	1	56,32	1,13	56,32	1,12	ELS
HIP.22	G+V4+0,7*Q	1	56,41	1,24	56,41	1,23	ELS
HIP.23	G+V5+0,7*Q	1	52,80	3,22	52,80	3,19	ELS
HIP.24	G+V6+0,7*Q	1	53,84	2,00	53,84	1,98	ELS
HIP.25	G+V7+0,7*Q	1	59,82	5,45	59,82	5,40	ELS
HIP.26	G+V8+0,7*Q	1	58,78	4,24	58,78	4,20	ELS
HIP.27	G+Sx	1	41,86	1,62	41,86	1,60	ELU
HIP.28	G-Sx	1	39,34	0,79	39,34	0,78	ELU
HIP.29	G+Sy	1	42,25	1,83	42,25	1,82	ELU
HIP.30	G-Sy	1	38,95	0,99	38,95	0,98	ELU
HIP.31	G+Sx+0,3*Sy	1	42,36	2,03	42,36	2,01	ELU
HIP.32	G+Sx-0,3*Sy	1	41,37	1,21	41,37	1,20	ELU
HIP.33	G-Sx+0,3*Sy	1	39,83	0,42	39,83	0,42	ELU
HIP.34	G-Sx-0,3*Sy	1	38,84	1,19	38,84	1,18	ELU
HIP.35	G+Sy+0,3*Sx	1	42,63	2,18	42,63	2,16	ELU
HIP.36	G+Sy-0,3*Sx	1	41,87	1,49	41,87	1,47	ELU
HIP.37	G-Sy+0,3*Sx	1	39,33	0,65	39,33	0,65	ELU
HIP.38	G-Sy-0,3*Sx	1	38,57	1,33	38,57	1,32	ELU
HIP.39	G+Sx+0,3*Q	1	48,60	1,73	48,60	1,71	ELU
HIP.40	G-Sx+0,3*Q	1	46,07	0,70	46,07	0,70	ELU
HIP.41	G+Sy+0,3*Q	1	48,99	1,94	48,99	1,92	ELU
HIP.42	G-Sy+0,3*Q	1	45,68	0,90	45,68	0,89	ELU
HIP.43	G+Sx+0,3*Sy+0,3*Q	1	49,09	2,14	49,09	2,12	ELU
HIP.44	G+Sx-0,3*Sy+0,3*Q	1	48,10	1,32	48,10	1,31	ELU
HIP.45	G-Sx+0,3*Sy+0,3*Q	1	46,57	0,37	46,57	0,37	ELU
HIP.46	G-Sx-0,3*Sy+0,3*Q	1	45,58	1,09	45,58	1,08	ELU
HIP.47	G+Sy+0,3*Sx+0,3*Q	1	49,37	2,29	49,37	2,27	ELU
HIP.48	G+Sy-0,3*Sx+0,3*Q	1	48,61	1,60	48,61	1,58	ELU
HIP.49	G-Sy+0,3*Sx+0,3*Q	1	46,06	0,57	46,06	0,57	ELU
HIP.50	G-Sy-0,3*Sx+0,3*Q	1	45,30	1,24	45,30	1,23	ELU
HIP.51	G+BOMB	1	97,34	0,63	97,34	0,63	ELU
HIP.52	G+BOMB+0,5*Q	1	108,56	0,81	108,56	0,81	ELU
HIP.53	G+BOMB+0,5*V57	1	97,33	0,65	97,33	0,65	ELU
HIP.54	G+BOMB+0,5*V58	1	97,29	0,62	97,29	0,61	ELU
HIP.55	G+BOMB+0,5*V59	1	97,34	0,64	97,34	0,63	ELU
HIP.56	G+BOMB+0,5*V60	1	97,39	0,68	97,39	0,67	ELU
HIP.57	G+BOMB+0,5*V61	1	95,58	0,81	95,58	0,81	ELU
HIP.58	G+BOMB+0,5*V62	1	96,10	0,42	96,10	0,42	ELU
HIP.59	G+BOMB+0,5*V63	1	99,09	2,08	99,09	2,06	ELU
HIP.60	G+BOMB+0,5*V64	1	98,57	1,67	98,57	1,65	ELU
HIP.61	G+BOMB+0,5*V1+0,3*Q	1	104,07	0,76	104,07	0,75	ELU
HIP.62	G+BOMB+0,5*V2+0,3*Q	1	104,02	0,73	104,02	0,72	ELU
HIP.63	G+BOMB+0,5*V3+0,3*Q	1	104,08	0,75	104,08	0,74	ELU
HIP.64	G+BOMB+0,5*V4+0,3*Q	1	104,12	0,79	104,12	0,78	ELU
HIP.65	G+BOMB+0,5*V5+0,3*Q	1	102,32	0,70	102,32	0,70	ELU
HIP.66	G+BOMB+0,5*V6+0,3*Q	1	102,84	0,32	102,84	0,32	ELU
HIP.67	G+BOMB+0,5*V7+0,3*Q	1	105,83	2,19	105,83	2,17	ELU
HIP.68	G+BOMB+0,5*V8+0,3*Q	1	105,31	1,78	105,31	1,76	ELU

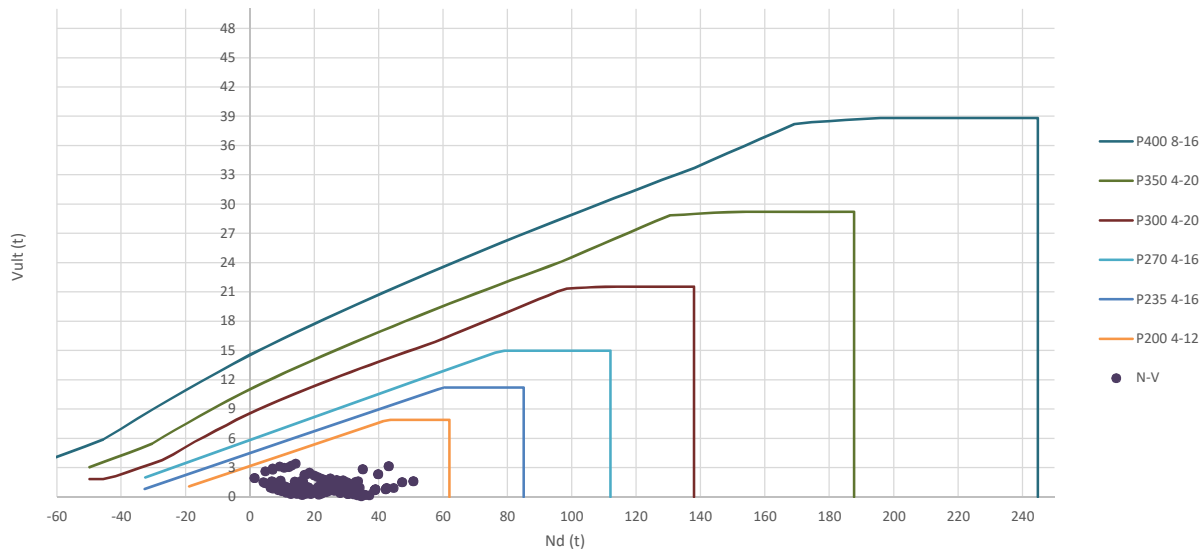
Seccion (mm.)	e _x (m.)	e _y (m.)	Henc. (m.)
235	1,20	1,20	0,70
COMPROBACIÓN (compresión)	CUMPLE		
MAX. AXIL	50,73		(TON)
MIN. AXIL	0,00		(TON)
COMPROBACIÓN (tracción)	CUMPLE		

L.1(m)	0,00
L.2(m)	0,00
L.Influenc.(m)	0,00
CERRAM.(ton.)	0,00
αx (inclinación)	0,00
αy (inclinación)	0,00

Curva de resistencia axil-momento (en cualquier dirección)



Curva de resistencia axil-cortante



PILAR: P9-P10

COMPROBACIÓN ESFUERZOS:

P18147P Parcela R20

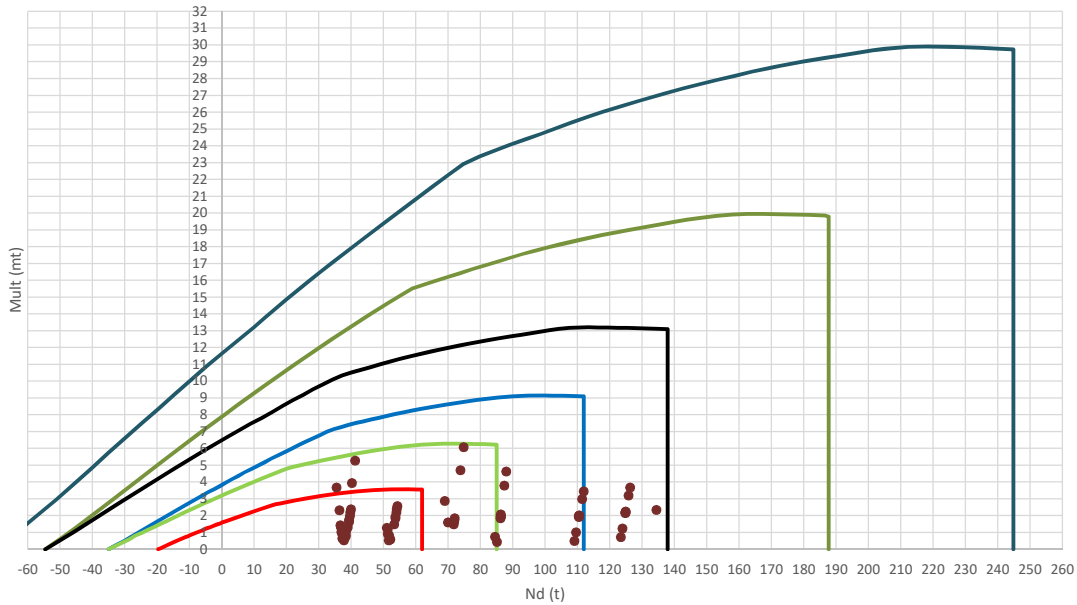
	LC: COMB.	nº PILOTE	N _{pilote} (T) a ras de suelo	M ult. Pilote (mT)	N _{pilote} (T) a ras de suelo	V ult.-Pilote (T)	ESTADO LIMITE
HIP.1	G	1	18,18	0,39	18,18	0,45	ELS
	G	2	14,03	0,39	14,03	0,44	ELS
	G	3	14,60	0,40	14,60	0,46	ELS
HIP.2	G+Q	1	29,74	0,83	29,74	0,94	ELS
	G+Q	2	22,41	0,83	22,41	0,95	ELS
	G+Q	3	21,66	0,81	21,66	0,92	ELS
HIP.3	G+V65	1	17,86	0,42	17,86	0,47	ELS
	G+V65	2	15,76	0,35	15,76	0,40	ELS
	G+V65	3	13,18	0,42	13,18	0,48	ELS
HIP.4	G+V66	1	17,91	0,43	17,91	0,48	ELS
	G+V66	2	15,95	0,40	15,95	0,46	ELS
	G+V66	3	12,94	0,42	12,94	0,48	ELS
HIP.5	G+V67	1	18,50	0,55	18,50	0,62	ELS
	G+V67	2	12,31	0,54	12,31	0,62	ELS
	G+V67	3	16,03	0,50	16,03	0,57	ELS
HIP.6	G+V68	1	18,45	0,54	18,45	0,62	ELS
	G+V68	2	12,12	0,54	12,12	0,62	ELS
	G+V68	3	16,26	0,54	16,26	0,62	ELS
HIP.7	G+V69	1	1,30	1,70	1,30	1,94	ELS
	G+V69	2	23,36	1,53	23,36	1,74	ELS
	G+V69	3	19,96	1,94	19,96	2,20	ELS
HIP.8	G+V70	1	1,45	1,72	1,45	1,96	ELS
	G+V70	2	21,04	1,79	21,04	2,04	ELS
	G+V70	3	22,19	1,65	22,19	1,88	ELS
HIP.9	G+V71	1	35,06	2,48	35,06	2,83	ELS
	G+V71	2	4,71	2,31	4,71	2,63	ELS
	G+V71	3	9,24	2,74	9,24	3,12	ELS
HIP.10	G+V72	1	34,91	2,50	34,91	2,85	ELS
	G+V72	2	7,03	2,56	7,03	2,91	ELS
	G+V72	3	7,02	2,44	7,02	2,78	ELS
HIP.11	G+Q+0,6*V65	1	29,55	0,76	29,55	0,86	ELS
	G+Q+0,6*V65	2	23,45	0,76	23,45	0,86	ELS
	G+Q+0,6*V65	3	20,81	0,76	20,81	0,87	ELS
HIP.12	G+Q+0,6*V66	1	29,58	0,76	29,58	0,87	ELS
	G+Q+0,6*V66	2	23,56	0,77	23,56	0,88	ELS
	G+Q+0,6*V66	3	20,67	0,75	20,67	0,85	ELS
HIP.13	G+Q+0,6*V67	1	29,94	0,93	29,94	1,05	ELS
	G+Q+0,6*V67	2	21,38	0,93	21,38	1,06	ELS
	G+Q+0,6*V67	3	22,52	0,87	22,52	0,99	ELS
HIP.14	G+Q+0,6*V68	1	29,91	0,92	29,91	1,05	ELS
	G+Q+0,6*V68	2	21,27	0,92	21,27	1,05	ELS
	G+Q+0,6*V68	3	22,66	0,89	22,66	1,01	ELS
HIP.15	G+Q+0,6*V69	1	19,61	0,56	19,61	0,63	ELS
	G+Q+0,6*V69	2	28,01	0,34	28,01	0,39	ELS
	G+Q+0,6*V69	3	24,88	0,62	24,88	0,71	ELS
HIP.16	G+Q+0,6*V70	1	19,70	0,57	19,70	0,64	ELS
	G+Q+0,6*V70	2	26,61	0,60	26,61	0,69	ELS
	G+Q+0,6*V70	3	26,21	0,57	26,21	0,65	ELS
HIP.17	G+Q+0,6*V71	1	39,87	2,05	39,87	2,34	ELS
	G+Q+0,6*V71	2	16,82	1,98	16,82	2,26	ELS
	G+Q+0,6*V71	3	18,45	2,20	18,45	2,51	ELS
HIP.18	G+Q+0,6*V72	1	39,78	2,06	39,78	2,35	ELS
	G+Q+0,6*V72	2	18,21	2,10	18,21	2,39	ELS
	G+Q+0,6*V72	3	17,11	2,00	17,11	2,27	ELS
HIP.19	G+V1+0,7*Q	1	25,95	0,62	25,95	0,70	ELS
	G+V1+0,7*Q	2	21,63	0,59	21,63	0,68	ELS
	G+V1+0,7*Q	3	18,12	0,64	18,12	0,72	ELS
HIP.20	G+V2+0,7*Q	1	26,00	0,63	26,00	0,71	ELS
	G+V2+0,7*Q	2	21,81	0,63	21,81	0,72	ELS
	G+V2+0,7*Q	3	17,88	0,62	17,88	0,71	ELS
HIP.21	G+V3+0,7*Q	1	26,60	0,86	26,60	0,98	ELS
	G+V3+0,7*Q	2	18,17	0,86	18,17	0,98	ELS
	G+V3+0,7*Q	3	20,97	0,79	20,97	0,90	ELS
HIP.22	G+V4+0,7*Q	1	26,55	0,86	26,55	0,98	ELS
	G+V4+0,7*Q	2	17,99	0,86	17,99	0,97	ELS
	G+V4+0,7*Q	3	21,21	0,83	21,21	0,95	ELS
HIP.23	G+V5+0,7*Q	1	9,39	1,44	9,39	1,64	ELS
	G+V5+0,7*Q	2	29,22	1,23	29,22	1,40	ELS
	G+V5+0,7*Q	3	24,90	1,66	24,90	1,90	ELS
HIP.24	G+V6+0,7*Q	1	9,54	1,46	9,54	1,66	ELS
	G+V6+0,7*Q	2	26,90	1,53	26,90	1,74	ELS
	G+V6+0,7*Q	3	27,13	1,42	27,13	1,62	ELS
HIP.25	G+V7+0,7*Q	1	43,16	2,76	43,16	3,14	ELS
	G+V7+0,7*Q	2	10,58	2,62	10,58	2,98	ELS
	G+V7+0,7*Q	3	14,19	3,02	14,19	3,43	ELS
HIP.26	G+V8+0,7*Q	1	43,01	2,78	43,01	3,16	ELS
	G+V8+0,7*Q	2	12,90	2,84	12,90	3,23	ELS
	G+V8+0,7*Q	3	11,96	2,70	11,96	3,07	ELS
HIP.27	G+Sx	1	26,47	1,01	26,47	1,15	ELU

	G+Sx	2	6,94	1,00	6,94	1,14	ELU
	G+Sx	3	14,59	1,06	14,59	1,21	ELU
HIP.28	G-Sx	1	9,89	0,51	9,89	0,58	ELU
	G-Sx	2	21,13	0,52	21,13	0,59	ELU
	G-Sx	3	14,62	0,56	14,62	0,64	ELU
HIP.29	G+Sy	1	27,58	1,11	27,58	1,27	ELU
	G+Sy	2	6,30	1,10	6,30	1,26	ELU
	G+Sy	3	13,91	1,15	13,91	1,31	ELU
HIP.30	G-Sy	1	8,78	0,61	8,78	0,69	ELU
	G-Sy	2	21,77	0,61	21,77	0,69	ELU
	G-Sy	3	15,30	0,63	15,30	0,72	ELU
HIP.31	G+Sx+0,3*Sy	1	29,29	1,27	29,29	1,44	ELU
	G+Sx+0,3*Sy	2	4,62	1,26	4,62	1,43	ELU
	G+Sx+0,3*Sy	3	14,38	1,33	14,38	1,51	ELU
HIP.32	G+Sx-0,3*Sy	1	23,65	0,75	23,65	0,86	ELU
	G+Sx-0,3*Sy	2	9,26	0,75	9,26	0,85	ELU
	G+Sx-0,3*Sy	3	14,80	0,80	14,80	0,91	ELU
HIP.33	G-Sx+0,3*Sy	1	12,70	0,27	12,70	0,30	ELU
	G-Sx+0,3*Sy	2	18,81	0,28	18,81	0,32	ELU
	G-Sx+0,3*Sy	3	14,41	0,30	14,41	0,34	ELU
HIP.34	G-Sx-0,3*Sy	1	7,07	0,77	7,07	0,87	ELU
	G-Sx-0,3*Sy	2	23,45	0,77	23,45	0,88	ELU
	G-Sx-0,3*Sy	3	14,83	0,82	14,83	0,93	ELU
HIP.35	G+Sy+0,3*Sx	1	30,07	1,34	30,07	1,52	ELU
	G+Sy+0,3*Sx	2	4,17	1,33	4,17	1,51	ELU
	G+Sy+0,3*Sx	3	13,90	1,39	13,90	1,58	ELU
HIP.36	G+Sy-0,3*Sx	1	25,09	0,89	25,09	1,01	ELU
	G+Sy-0,3*Sx	2	8,43	0,88	8,43	1,00	ELU
	G+Sy-0,3*Sx	3	13,91	0,91	13,91	1,03	ELU
HIP.37	G-Sy+0,3*Sx	1	11,27	0,38	11,27	0,43	ELU
	G-Sy+0,3*Sx	2	19,64	0,38	19,64	0,43	ELU
	G-Sy+0,3*Sx	3	15,29	0,39	15,29	0,45	ELU
HIP.38	G-Sy-0,3*Sx	1	6,29	0,83	6,29	0,95	ELU
	G-Sy-0,3*Sx	2	23,90	0,83	23,90	0,95	ELU
	G-Sy-0,3*Sx	3	15,30	0,87	15,30	0,99	ELU
HIP.39	G+Sx+0,3*Q	1	29,94	1,10	29,94	1,25	ELU
	G+Sx+0,3*Q	2	9,45	1,09	9,45	1,24	ELU
	G+Sx+0,3*Q	3	16,70	1,15	16,70	1,30	ELU
HIP.40	G-Sx+0,3*Q	1	13,35	0,42	13,35	0,48	ELU
	G-Sx+0,3*Q	2	23,64	0,43	23,64	0,49	ELU
	G-Sx+0,3*Q	3	16,74	0,47	16,74	0,54	ELU
HIP.41	G+Sy+0,3*Q	1	31,05	1,20	31,05	1,37	ELU
	G+Sy+0,3*Q	2	8,81	1,19	8,81	1,36	ELU
	G+Sy+0,3*Q	3	16,03	1,23	16,03	1,40	ELU
HIP.42	G-Sy+0,3*Q	1	12,25	0,52	12,25	0,59	ELU
	G-Sy+0,3*Q	2	24,29	0,52	24,29	0,59	ELU
	G-Sy+0,3*Q	3	17,42	0,55	17,42	0,62	ELU
HIP.43	G+Sx+0,3*Sy+0,3*Q	1	32,76	1,36	32,76	1,54	ELU
	G+Sx+0,3*Sy+0,3*Q	2	7,13	1,35	7,13	1,54	ELU
	G+Sx+0,3*Sy+0,3*Q	3	16,50	1,41	16,50	1,61	ELU
HIP.44	G+Sx-0,3*Sy+0,3*Q	1	27,12	0,84	27,12	0,96	ELU
	G+Sx-0,3*Sy+0,3*Q	2	11,77	0,84	11,77	0,95	ELU
	G+Sx-0,3*Sy+0,3*Q	3	16,91	0,88	16,91	1,00	ELU
HIP.45	G-Sx+0,3*Sy+0,3*Q	1	16,17	0,18	16,17	0,20	ELU
	G-Sx+0,3*Sy+0,3*Q	2	21,32	0,20	21,32	0,23	ELU
	G-Sx+0,3*Sy+0,3*Q	3	16,53	0,22	16,53	0,25	ELU
HIP.46	G-Sx-0,3*Sy+0,3*Q	1	10,53	0,68	10,53	0,77	ELU
	G-Sx-0,3*Sy+0,3*Q	2	25,97	0,68	25,97	0,77	ELU
	G-Sx-0,3*Sy+0,3*Q	3	16,95	0,74	16,95	0,84	ELU
HIP.47	G+Sy+0,3*Sx+0,3*Q	1	33,53	1,43	33,53	1,62	ELU
	G+Sy+0,3*Sx+0,3*Q	2	6,68	1,42	6,68	1,62	ELU
	G+Sy+0,3*Sx+0,3*Q	3	16,02	1,47	16,02	1,67	ELU
HIP.48	G+Sy-0,3*Sx+0,3*Q	1	28,56	0,97	28,56	1,11	ELU
	G+Sy-0,3*Sx+0,3*Q	2	10,94	0,97	10,94	1,10	ELU
	G+Sy-0,3*Sx+0,3*Q	3	16,03	0,99	16,03	1,13	ELU
HIP.49	G-Sy+0,3*Sx+0,3*Q	1	14,74	0,29	14,74	0,33	ELU
	G-Sy+0,3*Sx+0,3*Q	2	22,16	0,29	22,16	0,33	ELU
	G-Sy+0,3*Sx+0,3*Q	3	17,41	0,31	17,41	0,35	ELU
HIP.50	G-Sy-0,3*Sx+0,3*Q	1	9,76	0,74	9,76	0,85	ELU
	G-Sy-0,3*Sx+0,3*Q	2	26,41	0,74	26,41	0,85	ELU
	G-Sy-0,3*Sx+0,3*Q	3	17,42	0,79	17,42	0,90	ELU
HIP.51	G+BOMB	1	38,83	0,65	38,83	0,74	ELU
	G+BOMB	2	29,87	0,69	29,87	0,79	ELU
	G+BOMB	3	29,54	0,54	29,54	0,61	ELU
HIP.52	G+BOMB+0,5*Q	1	44,61	0,80	44,61	0,92	ELU
	G+BOMB+0,5*Q	2	34,06	0,84	34,06	0,95	ELU
	G+BOMB+0,5*Q	3	33,07	0,67	33,07	0,76	ELU
HIP.53	G+BOMB+0,5*V65	1	38,66	0,61	38,66	0,69	ELU
	G+BOMB+0,5*V65	2	30,73	0,66	30,73	0,75	ELU
	G+BOMB+0,5*V65	3	28,82	0,52	28,82	0,59	ELU
HIP.54	G+BOMB+0,5*V66	1	38,69	0,61	38,69	0,70	ELU
	G+BOMB+0,5*V66	2	30,82	0,67	30,82	0,76	ELU
	G+BOMB+0,5*V66	3	28,71	0,51	28,71	0,59	ELU
HIP.55	G+BOMB+0,5*V67	1	38,99	0,71	38,99	0,81	ELU
	G+BOMB+0,5*V67	2	29,00	0,73	29,00	0,83	ELU
	G+BOMB+0,5*V67	3	30,25	0,56	30,25	0,64	ELU
HIP.56	G+BOMB+0,5*V68	1	38,96	0,71	38,96	0,80	ELU
	G+BOMB+0,5*V68	2	28,91	0,73	28,91	0,83	ELU
	G+BOMB+0,5*V68	3	30,37	0,57	30,37	0,65	ELU
HIP.57	G+BOMB+0,5*V69	1	30,38	0,26	30,38	0,29	ELU
	G+BOMB+0,5*V69	2	34,53	0,06	34,53	0,07	ELU

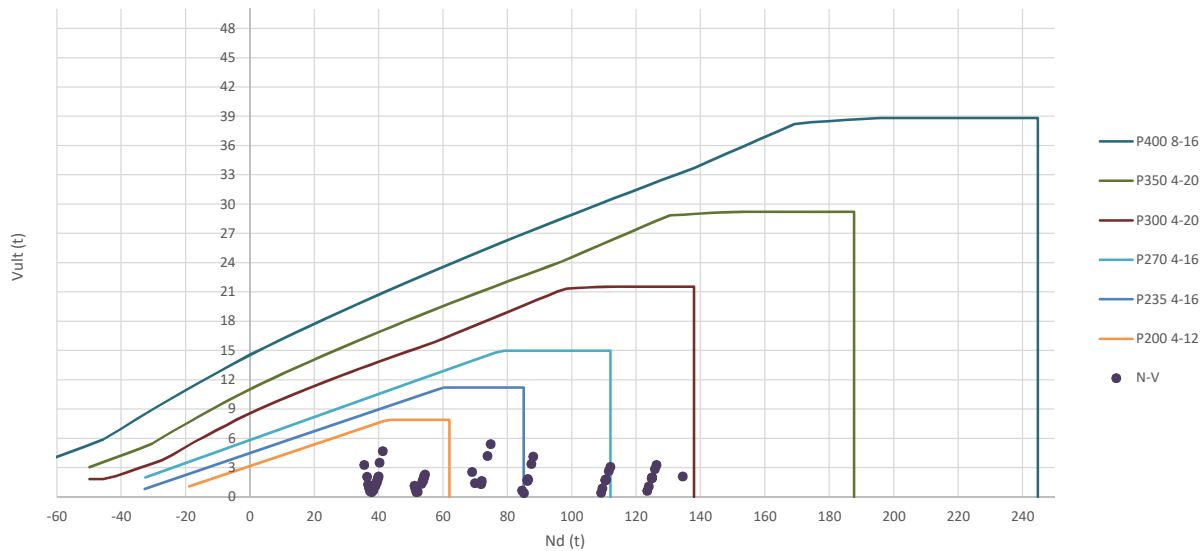
	G+BOMB+0,5*V69	3	32,22	0,24	32,22	0,28	ELU
HIP.58	G+BOMB+0,5*V70	1	30,46	0,26	30,46	0,30	ELU
	G+BOMB+0,5*V70	2	33,37	0,15	33,37	0,17	ELU
	G+BOMB+0,5*V70	3	33,33	0,21	33,33	0,24	ELU
HIP.59	G+BOMB+0,5*V71	1	47,27	1,33	47,27	1,51	ELU
	G+BOMB+0,5*V71	2	25,20	1,33	25,20	1,52	ELU
	G+BOMB+0,5*V71	3	26,86	1,32	26,86	1,50	ELU
HIP.60	G+BOMB+0,5*V72	1	47,19	1,33	47,19	1,52	ELU
	G+BOMB+0,5*V72	2	26,36	1,41	26,36	1,60	ELU
	G+BOMB+0,5*V72	3	25,75	1,21	25,75	1,38	ELU
HIP.61	G+BOMB+0,5*V1+0,3*Q	1	42,13	0,70	42,13	0,79	ELU
	G+BOMB+0,5*V1+0,3*Q	2	33,24	0,74	33,24	0,85	ELU
	G+BOMB+0,5*V1+0,3*Q	3	30,94	0,60	30,94	0,68	ELU
HIP.62	G+BOMB+0,5*V2+0,3*Q	1	42,16	0,70	42,16	0,80	ELU
	G+BOMB+0,5*V2+0,3*Q	2	33,34	0,75	33,34	0,86	ELU
	G+BOMB+0,5*V2+0,3*Q	3	30,82	0,59	30,82	0,67	ELU
HIP.63	G+BOMB+0,5*V3+0,3*Q	1	42,45	0,80	42,45	0,91	ELU
	G+BOMB+0,5*V3+0,3*Q	2	31,52	0,82	31,52	0,94	ELU
	G+BOMB+0,5*V3+0,3*Q	3	32,37	0,64	32,37	0,73	ELU
HIP.64	G+BOMB+0,5*V4+0,3*Q	1	42,43	0,80	42,43	0,91	ELU
	G+BOMB+0,5*V4+0,3*Q	2	31,42	0,82	31,42	0,93	ELU
	G+BOMB+0,5*V4+0,3*Q	3	32,48	0,66	32,48	0,75	ELU
HIP.65	G+BOMB+0,5*V5+0,3*Q	1	33,85	0,29	33,85	0,33	ELU
	G+BOMB+0,5*V5+0,3*Q	2	37,04	0,14	37,04	0,16	ELU
	G+BOMB+0,5*V5+0,3*Q	3	34,33	0,17	34,33	0,20	ELU
HIP.66	G+BOMB+0,5*V6+0,3*Q	1	33,93	0,29	33,93	0,33	ELU
	G+BOMB+0,5*V6+0,3*Q	2	35,88	0,19	35,88	0,21	ELU
	G+BOMB+0,5*V6+0,3*Q	3	35,44	0,20	35,44	0,23	ELU
HIP.67	G+BOMB+0,5*V7+0,3*Q	1	50,73	1,41	50,73	1,61	ELU
	G+BOMB+0,5*V7+0,3*Q	2	27,72	1,42	27,72	1,62	ELU
	G+BOMB+0,5*V7+0,3*Q	3	28,97	1,39	28,97	1,59	ELU
HIP.68	G+BOMB+0,5*V8+0,3*Q	1	50,66	1,42	50,66	1,61	ELU
	G+BOMB+0,5*V8+0,3*Q	2	28,88	1,49	28,88	1,70	ELU
	G+BOMB+0,5*V8+0,3*Q	3	27,86	1,28	27,86	1,46	ELU

Seccion (mm.)	e _x (m.)	e _y (m.)	Henc. (m.)
300	0,00	0,00	1,00
COMPROBACIÓN (compresión)	CUMPLE		
MAX. AXIL	134,43	(TON)	
MIN. AXIL	0,00	(TON)	
COMPROBACIÓN (tracción)	CUMPLE		
	L.1(m)	0,00	
	L.2(m)	0,00	
	L.Influenc.(m)	0,00	
	CERRAM.(ton.)	0,00	
	αx (inclinación)	0,00	
	αy (inclinación)	0,00	

Curva de resistencia axil-momento (en cualquier dirección)



Curva de resistencia axil-cortante



PILAR: P11

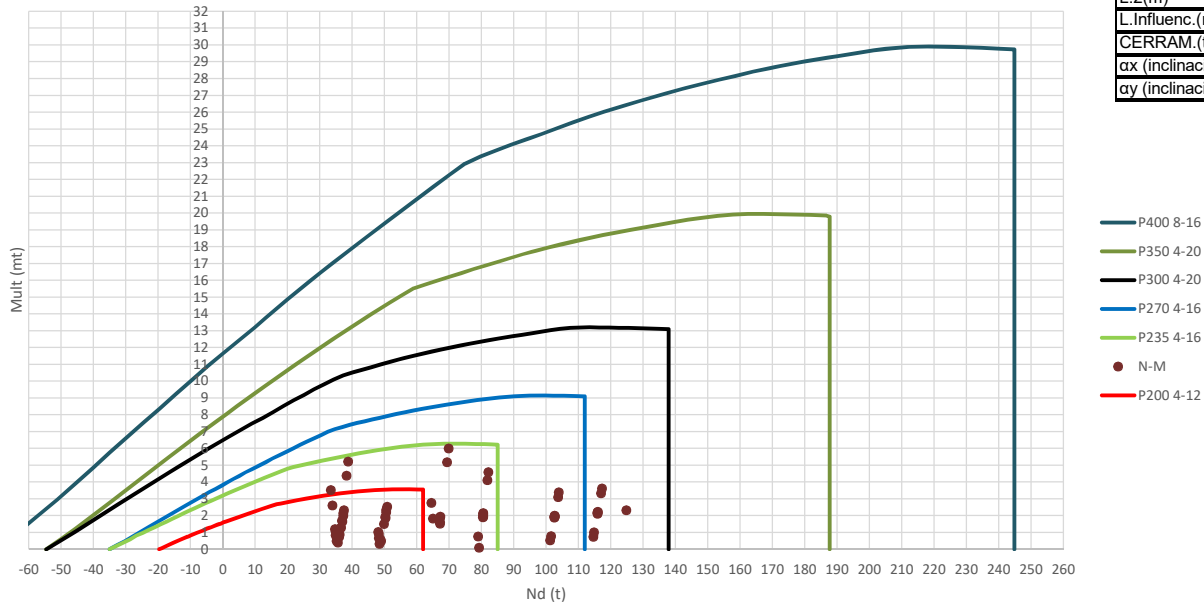
COMPROBACIÓN ESFUERZOS:

P18147P Parcela R20

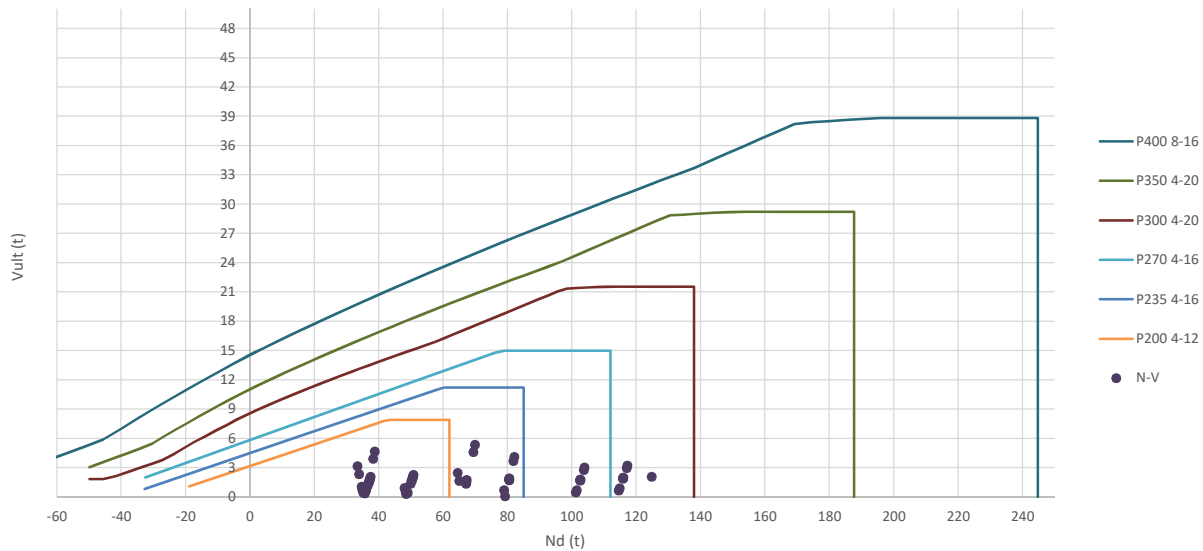
	LC: COMB.	nº PILOTE	N _{pilote} (T) a ras de suelo	M ult. Pilote (mT)	N _{pilote} (T) a ras de suelo	V ult.-Pilote (T)	ESTADO LIMITE
HIP.1	G	1	38,31	0,81	38,31	0,72	ELS
HIP.2	G+Q	1	86,24	1,94	86,24	1,73	ELS
HIP.3	G+V81	1	38,19	0,72	38,19	0,65	ELS
HIP.4	G+V82	1	38,29	0,87	38,29	0,78	ELS
HIP.5	G+V83	1	38,43	1,15	38,43	1,03	ELS
HIP.6	G+V84	1	38,33	1,07	38,33	0,95	ELS
HIP.7	G+V85	1	36,37	2,33	36,37	2,08	ELS
HIP.8	G+V86	1	35,43	3,68	35,43	3,28	ELS
HIP.9	G+V87	1	40,25	3,94	40,25	3,51	ELS
HIP.10	G+V88	1	41,19	5,28	41,19	4,71	ELS
HIP.11	G+Q+0,6*V81	1	86,16	1,85	86,16	1,65	ELS
HIP.12	G+Q+0,6*V82	1	86,22	1,94	86,22	1,73	ELS
HIP.13	G+Q+0,6*V83	1	86,31	2,07	86,31	1,85	ELS
HIP.14	G+Q+0,6*V84	1	86,25	1,99	86,25	1,78	ELS
HIP.15	G+Q+0,6*V85	1	85,07	0,43	85,07	0,39	ELS
HIP.16	G+Q+0,6*V86	1	84,51	0,75	84,51	0,67	ELS
HIP.17	G+Q+0,6*V87	1	87,40	3,79	87,40	3,38	ELS
HIP.18	G+Q+0,6*V88	1	87,96	4,63	87,96	4,13	ELS
HIP.19	G+V1+0,7*Q	1	71,74	1,48	71,74	1,32	ELS
HIP.20	G+V2+0,7*Q	1	71,84	1,63	71,84	1,46	ELS
HIP.21	G+V3+0,7*Q	1	71,98	1,86	71,98	1,66	ELS
HIP.22	G+V4+0,7*Q	1	71,88	1,74	71,88	1,55	ELS
HIP.23	G+V5+0,7*Q	1	69,92	1,60	69,92	1,43	ELS
HIP.24	G+V6+0,7*Q	1	68,98	2,88	68,98	2,57	ELS
HIP.25	G+V7+0,7*Q	1	73,80	4,71	73,80	4,20	ELS
HIP.26	G+V8+0,7*Q	1	74,74	6,08	74,74	5,42	ELS
HIP.27	G+Sx	1	39,30	1,76	39,30	1,57	ELU
HIP.28	G-Sx	1	37,31	0,89	37,31	0,80	ELU
HIP.29	G+Sy	1	39,64	2,00	39,64	1,79	ELU
HIP.30	G-Sy	1	36,97	1,04	36,97	0,93	ELU
HIP.31	G+Sx+0,3*Sy	1	39,70	2,21	39,70	1,97	ELU
HIP.32	G+Sx-0,3*Sy	1	38,90	1,31	38,90	1,17	ELU
HIP.33	G-Sx+0,3*Sy	1	37,71	0,54	37,71	0,49	ELU
HIP.34	G-Sx-0,3*Sy	1	36,91	1,31	36,91	1,16	ELU
HIP.35	G+Sy+0,3*Sx	1	39,94	2,38	39,94	2,12	ELU
HIP.36	G+Sy-0,3*Sx	1	39,34	1,64	39,34	1,46	ELU
HIP.37	G-Sy+0,3*Sx	1	37,27	0,65	37,27	0,58	ELU
HIP.38	G-Sy-0,3*Sx	1	36,67	1,42	36,67	1,27	ELU
HIP.39	G+Sx+0,3*Q	1	53,68	1,95	53,68	1,74	ELU
HIP.40	G-Sx+0,3*Q	1	51,68	0,83	51,68	0,74	ELU
HIP.41	G+Sy+0,3*Q	1	54,02	2,20	54,02	1,97	ELU
HIP.42	G-Sy+0,3*Q	1	51,35	0,91	51,35	0,81	ELU
HIP.43	G+Sx+0,3*Sy+0,3*Q	1	54,08	2,40	54,08	2,14	ELU
HIP.44	G+Sx-0,3*Sy+0,3*Q	1	53,28	1,50	53,28	1,34	ELU
HIP.45	G-Sx+0,3*Sy+0,3*Q	1	52,08	0,59	52,08	0,53	ELU
HIP.46	G-Sx-0,3*Sy+0,3*Q	1	51,28	1,20	51,28	1,07	ELU
HIP.47	G+Sy+0,3*Sx+0,3*Q	1	54,32	2,57	54,32	2,29	ELU
HIP.48	G+Sy-0,3*Sx+0,3*Q	1	53,72	1,84	53,72	1,64	ELU
HIP.49	G-Sy+0,3*Sx+0,3*Q	1	51,65	0,55	51,65	0,49	ELU
HIP.50	G-Sy-0,3*Sx+0,3*Q	1	51,05	1,29	51,05	1,15	ELU
HIP.51	G+BOMB	1	110,47	1,97	110,47	1,76	ELU
HIP.52	G+BOMB+0,5*Q	1	134,43	2,35	134,43	2,09	ELU
HIP.53	G+BOMB+0,5*V81	1	110,41	1,92	110,41	1,72	ELU
HIP.54	G+BOMB+0,5*V82	1	110,46	1,97	110,46	1,76	ELU
HIP.55	G+BOMB+0,5*V83	1	110,53	2,03	110,53	1,81	ELU
HIP.56	G+BOMB+0,5*V84	1	110,48	1,98	110,48	1,77	ELU
HIP.57	G+BOMB+0,5*V85	1	109,50	1,01	109,50	0,90	ELU
HIP.58	G+BOMB+0,5*V86	1	109,03	0,50	109,03	0,44	ELU
HIP.59	G+BOMB+0,5*V87	1	111,44	2,98	111,44	2,66	ELU
HIP.60	G+BOMB+0,5*V88	1	111,91	3,46	111,91	3,08	ELU
HIP.61	G+BOMB+0,5*V1+0,3*Q	1	124,78	2,15	124,78	1,92	ELU
HIP.62	G+BOMB+0,5*V2+0,3*Q	1	124,83	2,20	124,83	1,96	ELU
HIP.63	G+BOMB+0,5*V3+0,3*Q	1	124,90	2,25	124,90	2,01	ELU
HIP.64	G+BOMB+0,5*V4+0,3*Q	1	124,85	2,21	124,85	1,97	ELU
HIP.65	G+BOMB+0,5*V5+0,3*Q	1	123,87	1,23	123,87	1,10	ELU
HIP.66	G+BOMB+0,5*V6+0,3*Q	1	123,40	0,72	123,40	0,64	ELU
HIP.67	G+BOMB+0,5*V7+0,3*Q	1	125,81	3,21	125,81	2,86	ELU
HIP.68	G+BOMB+0,5*V8+0,3*Q	1	126,28	3,69	126,28	3,29	ELU

Seccion (mm.)	e _x (m.)	e _y (m.)	Henc. (m.)
300	0,00	0,00	1,00
COMPROBACIÓN (compresión)	CUMPLE		
MAX. AXIL	124,79	(TON)	
MIN. AXIL	0,00	(TON)	
COMPROBACIÓN (tracción)	CUMPLE		
	L.1(m)	0,00	
	L.2(m)	0,00	
	L.Influenc.(m)	0,00	
	CERRAM.(ton.)	0,00	
	αx (inclinación)	0,00	
	αy (inclinación)	0,00	

Curva de resistencia axil-momento (en cualquier dirección)



Curva de resistencia axil-cortante



PILAR: P12



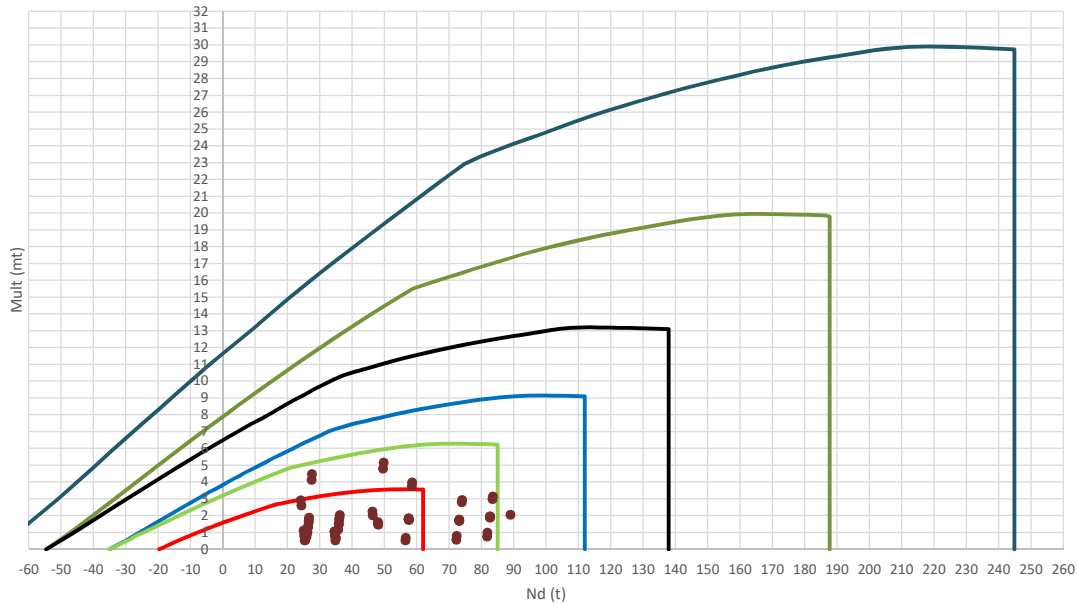
COMPROBACIÓN ESFUERZOS:

P18147P Parcela R20

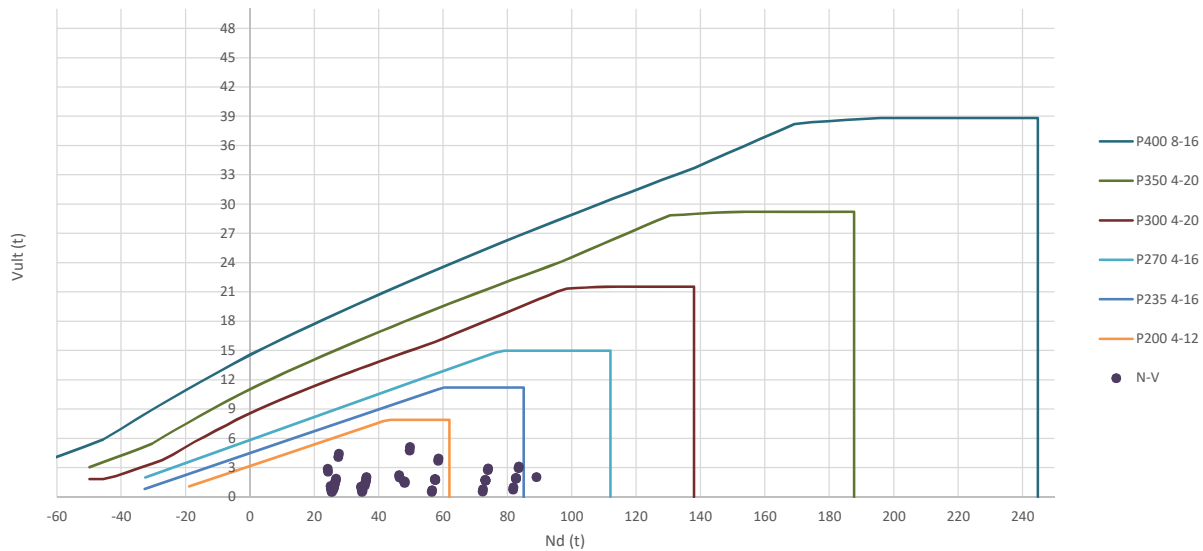
	LC: COMB.	nº PILOTE	N _{pilote} (T) a ras de suelo	M ult. Pilote (mT)	N _{pilote} (T) a ras de suelo	V ult. Pilote (T)	ESTADO LIMITE
HIP.1	G	1	36,07	0,89	36,07	0,80	ELS
HIP.2	G+Q	1	80,52	2,01	80,52	1,79	ELS
HIP.3	G+V89	1	36,00	0,76	36,00	0,67	ELS
HIP.4	G+V90	1	36,06	0,86	36,06	0,76	ELS
HIP.5	G+V91	1	36,14	1,23	36,14	1,10	ELS
HIP.6	G+V92	1	36,08	1,20	36,08	1,07	ELS
HIP.7	G+V93	1	33,90	2,62	33,90	2,34	ELS
HIP.8	G+V94	1	33,37	3,53	33,37	3,15	ELS
HIP.9	G+V95	1	38,24	4,39	38,24	3,91	ELS
HIP.10	G+V96	1	38,77	5,21	38,77	4,65	ELS
HIP.11	G+Q+0,6*V89	1	80,47	1,90	80,47	1,70	ELS
HIP.12	G+Q+0,6*V90	1	80,51	1,95	80,51	1,74	ELS
HIP.13	G+Q+0,6*V91	1	80,56	2,15	80,56	1,92	ELS
HIP.14	G+Q+0,6*V92	1	80,52	2,11	80,52	1,89	ELS
HIP.15	G+Q+0,6*V93	1	79,21	0,10	79,21	0,09	ELS
HIP.16	G+Q+0,6*V94	1	78,90	0,77	78,90	0,68	ELS
HIP.17	G+Q+0,6*V95	1	81,82	4,11	81,82	3,67	ELS
HIP.18	G+Q+0,6*V96	1	82,14	4,60	82,14	4,10	ELS
HIP.19	G+V1+0,7*Q	1	67,11	1,52	67,11	1,36	ELS
HIP.20	G+V2+0,7*Q	1	67,17	1,61	67,17	1,44	ELS
HIP.21	G+V3+0,7*Q	1	67,25	1,94	67,25	1,73	ELS
HIP.22	G+V4+0,7*Q	1	67,19	1,89	67,19	1,69	ELS
HIP.23	G+V5+0,7*Q	1	65,01	1,83	65,01	1,63	ELS
HIP.24	G+V6+0,7*Q	1	64,48	2,76	64,48	2,46	ELS
HIP.25	G+V7+0,7*Q	1	69,35	5,17	69,35	4,61	ELS
HIP.26	G+V8+0,7*Q	1	69,88	6,00	69,88	5,35	ELS
HIP.27	G+Sx	1	36,87	1,73	36,87	1,54	ELU
HIP.28	G-Sx	1	35,26	0,68	35,26	0,61	ELU
HIP.29	G+Sy	1	37,22	2,00	37,22	1,78	ELU
HIP.30	G-Sy	1	34,91	0,85	34,91	0,75	ELU
HIP.31	G+Sx+0,3*Sy	1	37,21	2,15	37,21	1,92	ELU
HIP.32	G+Sx-0,3*Sy	1	36,52	1,30	36,52	1,16	ELU
HIP.33	G-Sx+0,3*Sy	1	35,61	0,41	35,61	0,37	ELU
HIP.34	G-Sx-0,3*Sy	1	34,92	1,06	34,92	0,95	ELU
HIP.35	G+Sy+0,3*Sx	1	37,46	2,34	37,46	2,08	ELU
HIP.36	G+Sy-0,3*Sx	1	36,98	1,66	36,98	1,48	ELU
HIP.37	G-Sy+0,3*Sx	1	35,15	0,50	35,15	0,44	ELU
HIP.38	G-Sy-0,3*Sx	1	34,67	1,20	34,67	1,07	ELU
HIP.39	G+Sx+0,3*Q	1	50,20	1,92	50,20	1,72	ELU
HIP.40	G-Sx+0,3*Q	1	48,60	0,61	48,60	0,54	ELU
HIP.41	G+Sy+0,3*Q	1	50,56	2,21	50,56	1,97	ELU
HIP.42	G-Sy+0,3*Q	1	48,24	0,68	48,24	0,60	ELU
HIP.43	G+Sx+0,3*Sy+0,3*Q	1	50,55	2,35	50,55	2,09	ELU
HIP.44	G+Sx-0,3*Sy+0,3*Q	1	49,85	1,50	49,85	1,34	ELU
HIP.45	G-Sx+0,3*Sy+0,3*Q	1	48,95	0,49	48,95	0,44	ELU
HIP.46	G-Sx-0,3*Sy+0,3*Q	1	48,25	0,93	48,25	0,83	ELU
HIP.47	G+Sy+0,3*Sx+0,3*Q	1	50,80	2,54	50,80	2,27	ELU
HIP.48	G+Sy-0,3*Sx+0,3*Q	1	50,32	1,88	50,32	1,67	ELU
HIP.49	G-Sy+0,3*Sx+0,3*Q	1	48,48	0,33	48,48	0,30	ELU
HIP.50	G-Sy-0,3*Sx+0,3*Q	1	48,00	1,03	48,00	0,91	ELU
HIP.51	G+BOMB	1	102,57	1,94	102,57	1,73	ELU
HIP.52	G+BOMB+0,5*Q	1	124,79	2,32	124,79	2,07	ELU
HIP.53	G+BOMB+0,5*V89	1	102,53	1,89	102,53	1,69	ELU
HIP.54	G+BOMB+0,5*V90	1	102,56	1,92	102,56	1,72	ELU
HIP.55	G+BOMB+0,5*V91	1	102,60	2,01	102,60	1,79	ELU
HIP.56	G+BOMB+0,5*V92	1	102,57	1,98	102,57	1,77	ELU
HIP.57	G+BOMB+0,5*V93	1	101,48	0,79	101,48	0,70	ELU
HIP.58	G+BOMB+0,5*V94	1	101,22	0,53	101,22	0,47	ELU
HIP.59	G+BOMB+0,5*V95	1	103,65	3,11	103,65	2,77	ELU
HIP.60	G+BOMB+0,5*V96	1	103,92	3,39	103,92	3,03	ELU
HIP.61	G+BOMB+0,5*V1+0,3*Q	1	115,87	2,12	115,87	1,89	ELU
HIP.62	G+BOMB+0,5*V2+0,3*Q	1	115,90	2,15	115,90	1,92	ELU
HIP.63	G+BOMB+0,5*V3+0,3*Q	1	115,94	2,23	115,94	1,99	ELU
HIP.64	G+BOMB+0,5*V4+0,3*Q	1	115,91	2,21	115,91	1,97	ELU
HIP.65	G+BOMB+0,5*V5+0,3*Q	1	114,82	1,01	114,82	0,90	ELU
HIP.66	G+BOMB+0,5*V6+0,3*Q	1	114,55	0,74	114,55	0,66	ELU
HIP.67	G+BOMB+0,5*V7+0,3*Q	1	116,99	3,33	116,99	2,97	ELU
HIP.68	G+BOMB+0,5*V8+0,3*Q	1	117,25	3,62	117,25	3,23	ELU

Seccion (mm.)	e _x (m.)	e _y (m.)	Henc. (m.)
270	0,00	0,00	0,65
COMPROBACIÓN (compresión)	CUMPLE		
MAX. AXIL	88,94		(TON)
MIN. AXIL	0,00		(TON)
COMPROBACIÓN (tracción)	CUMPLE		
L.1(m)	0,00		
L.2(m)	0,00		
L.Influenc.(m)	0,00		
CERRAM.(ton.)	0,00		
αx (inclinación)	0,00		
αy (inclinación)	0,00		

Curva de resistencia axil-momento (en cualquier dirección)



Curva de resistencia axil-cortante



PILAR: P13



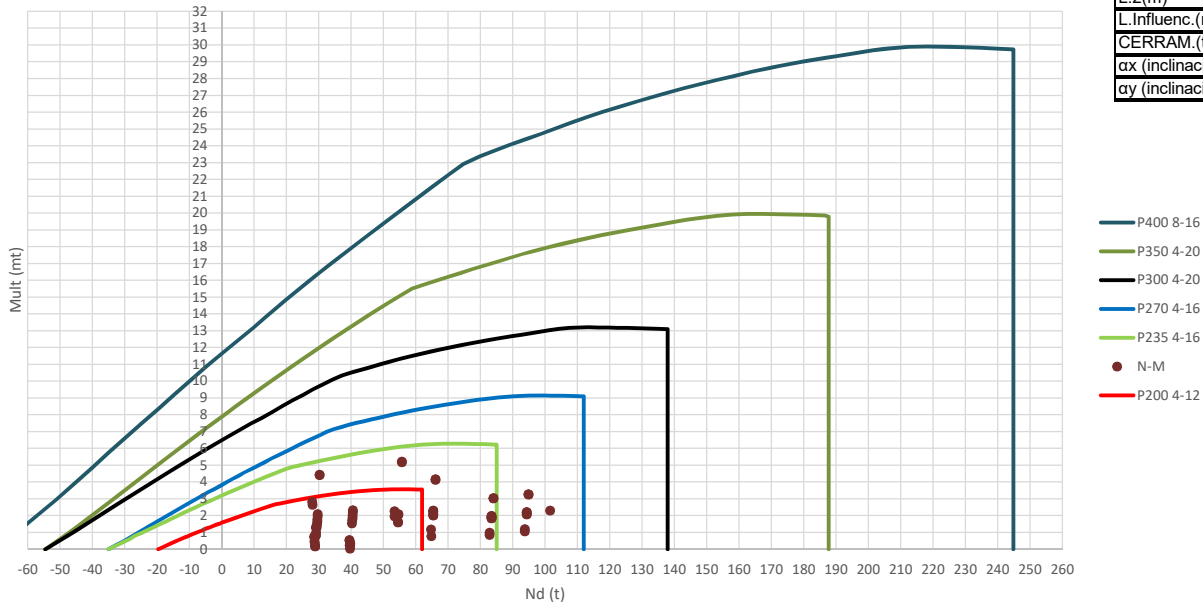
COMPROBACIÓN ESFUERZOS:

P18147P Parcela R20

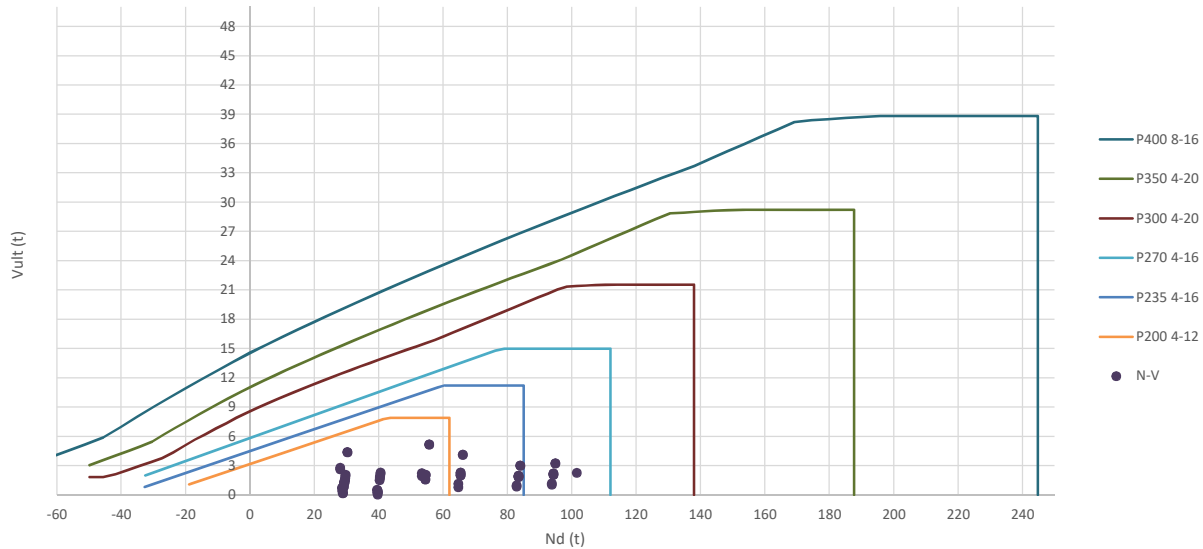
	LC: COMB.	n° PILOTE	N _{pilote} (T) a ras de suelo	M ult. Pilote (mT)	N _{pilote} (T) a ras de suelo	V ult-Pilote (T)	ESTADO LIMITE
HIP.1	G	1	25,83	0,77	25,83	0,77	ELS
HIP.2	G+Q	1	57,49	1,78	57,49	1,77	ELS
HIP.3	G+V97	1	25,77	0,86	25,77	0,85	ELS
HIP.4	G+V98	1	25,78	0,93	25,78	0,92	ELS
HIP.5	G+V99	1	25,89	0,91	25,89	0,90	ELS
HIP.6	G+V100	1	25,88	0,89	25,88	0,89	ELS
HIP.7	G+V101	1	24,25	2,62	24,25	2,59	ELS
HIP.8	G+V102	1	24,10	2,92	24,10	2,90	ELS
HIP.9	G+V103	1	27,41	4,13	27,41	4,10	ELS
HIP.10	G+V104	1	27,56	4,47	27,56	4,43	ELS
HIP.11	G+Q+0,6*V97	1	57,45	1,82	57,45	1,80	ELS
HIP.12	G+Q+0,6*V98	1	57,46	1,86	57,46	1,84	ELS
HIP.13	G+Q+0,6*V99	1	57,53	1,78	57,53	1,77	ELS
HIP.14	G+Q+0,6*V100	1	57,52	1,75	57,52	1,74	ELS
HIP.15	G+Q+0,6*V101	1	56,54	0,69	56,54	0,68	ELS
HIP.16	G+Q+0,6*V102	1	56,45	0,54	56,45	0,54	ELS
HIP.17	G+Q+0,6*V103	1	58,44	3,75	58,44	3,72	ELS
HIP.18	G+Q+0,6*V104	1	58,53	3,99	58,53	3,95	ELS
HIP.19	G+V1+0,7*Q	1	47,93	1,56	47,93	1,54	ELS
HIP.20	G+V2+0,7*Q	1	47,94	1,63	47,94	1,61	ELS
HIP.21	G+V3+0,7*Q	1	48,05	1,52	48,05	1,50	ELS
HIP.22	G+V4+0,7*Q	1	48,04	1,48	48,04	1,47	ELS
HIP.23	G+V5+0,7*Q	1	46,41	2,02	46,41	2,00	ELS
HIP.24	G+V6+0,7*Q	1	46,26	2,24	46,26	2,22	ELS
HIP.25	G+V7+0,7*Q	1	49,57	4,80	49,57	4,75	ELS
HIP.26	G+V8+0,7*Q	1	49,72	5,17	49,72	5,12	ELS
HIP.27	G+Sx	1	26,35	1,39	26,35	1,37	ELU
HIP.28	G-Sx	1	25,31	0,76	25,31	0,76	ELU
HIP.29	G-Sy	1	26,51	1,61	26,51	1,60	ELU
HIP.30	G-Sy	1	25,15	0,83	25,15	0,82	ELU
HIP.31	G+Sx+0,3*Sy	1	26,56	1,74	26,56	1,72	ELU
HIP.32	G+Sx-0,3*Sy	1	26,15	1,04	26,15	1,03	ELU
HIP.33	G-Sx+0,3*Sy	1	25,51	0,56	25,51	0,55	ELU
HIP.34	G-Sx-0,3*Sy	1	25,10	1,05	25,10	1,04	ELU
HIP.35	G+Sy+0,3*Sx	1	26,67	1,89	26,67	1,88	ELU
HIP.36	G+Sy-0,3*Sx	1	26,36	1,34	26,36	1,33	ELU
HIP.37	G-Sy+0,3*Sx	1	25,30	0,54	25,30	0,53	ELU
HIP.38	G-Sy-0,3*Sx	1	24,99	1,12	24,99	1,11	ELU
HIP.39	G+Sx+0,3*Q	1	35,85	1,53	35,85	1,52	ELU
HIP.40	G-Sx+0,3*Q	1	34,80	0,80	34,80	0,80	ELU
HIP.41	G+Sy+0,3*Q	1	36,01	1,78	36,01	1,76	ELU
HIP.42	G-Sy+0,3*Q	1	34,64	0,80	34,64	0,79	ELU
HIP.43	G+Sx+0,3*Sy+0,3*Q	1	36,06	1,88	36,06	1,87	ELU
HIP.44	G+Sx-0,3*Sy+0,3*Q	1	35,65	1,19	35,65	1,18	ELU
HIP.45	G-Sx+0,3*Sy+0,3*Q	1	35,01	0,68	35,01	0,67	ELU
HIP.46	G-Sx-0,3*Sy+0,3*Q	1	34,60	1,04	34,60	1,03	ELU
HIP.47	G+Sy+0,3*Sx+0,3*Q	1	36,17	2,05	36,17	2,03	ELU
HIP.48	G+Sy-0,3*Sx+0,3*Q	1	35,86	1,52	35,86	1,50	ELU
HIP.49	G-Sy+0,3*Sx+0,3*Q	1	34,80	0,54	34,80	0,54	ELU
HIP.50	G-Sy-0,3*Sx+0,3*Q	1	34,49	1,07	34,49	1,06	ELU
HIP.51	G+BOMB	1	73,11	1,72	73,11	1,71	ELU
HIP.52	G+BOMB+0,5*Q	1	88,94	2,06	88,94	2,04	ELU
HIP.53	G+BOMB+0,5*V97	1	73,08	1,75	73,08	1,73	ELU
HIP.54	G+BOMB+0,5*V98	1	73,08	1,77	73,08	1,75	ELU
HIP.55	G+BOMB+0,5*V99	1	73,14	1,71	73,14	1,70	ELU
HIP.56	G+BOMB+0,5*V100	1	73,13	1,69	73,13	1,68	ELU
HIP.57	G+BOMB+0,5*V101	1	72,32	0,80	72,32	0,80	ELU
HIP.58	G+BOMB+0,5*V102	1	72,24	0,58	72,24	0,57	ELU
HIP.59	G+BOMB+0,5*V103	1	73,90	2,80	73,90	2,77	ELU
HIP.60	G+BOMB+0,5*V104	1	73,97	2,94	73,97	2,91	ELU
HIP.61	G+BOMB+0,5*V1+0,3*Q	1	82,58	1,95	82,58	1,93	ELU
HIP.62	G+BOMB+0,5*V2+0,3*Q	1	82,58	1,97	82,58	1,95	ELU
HIP.63	G+BOMB+0,5*V3+0,3*Q	1	82,64	1,91	82,64	1,90	ELU
HIP.64	G+BOMB+0,5*V4+0,3*Q	1	82,63	1,90	82,63	1,88	ELU
HIP.65	G+BOMB+0,5*V5+0,3*Q	1	81,82	0,99	81,82	0,98	ELU
HIP.66	G+BOMB+0,5*V6+0,3*Q	1	81,74	0,77	81,74	0,76	ELU
HIP.67	G+BOMB+0,5*V7+0,3*Q	1	83,40	3,00	83,40	2,97	ELU
HIP.68	G+BOMB+0,5*V8+0,3*Q	1	83,47	3,14	83,47	3,11	ELU

Seccion (mm.)	e _x (m.)	e _y (m.)	Henc. (m.)
270	0,00	0,00	0,65
COMPROBACIÓN (compresión)	CUMPLE		
MAX. AXIL	101,53	(TON)	
MIN. AXIL	0,00	(TON)	
COMPROBACIÓN (tracción)	CUMPLE		
	L.1(m)	0,00	
	L.2(m)	0,00	
	L.Influenc.(m)	0,00	
	CERRAM.(ton.)	0,00	
	αx (inclinación)	0,00	
	αy (inclinación)	0,00	

Curva de resistencia axil-momento (en cualquier dirección)



Curva de resistencia axil-cortante



PILAR: P14



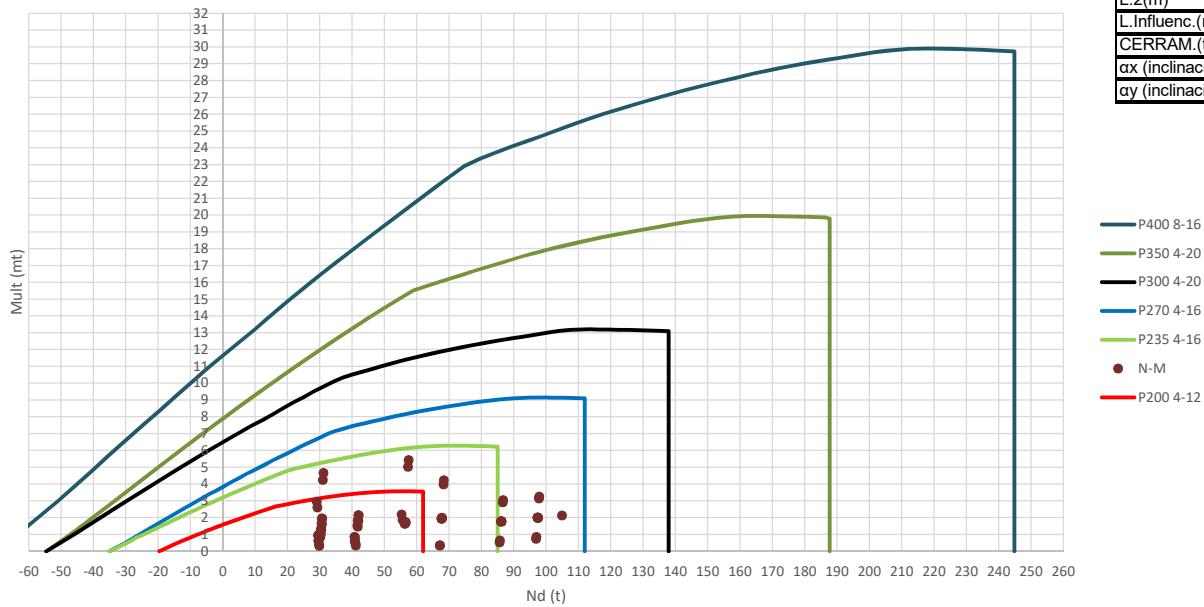
COMPROBACIÓN ESFUERZOS:

P18147P Parcela R20

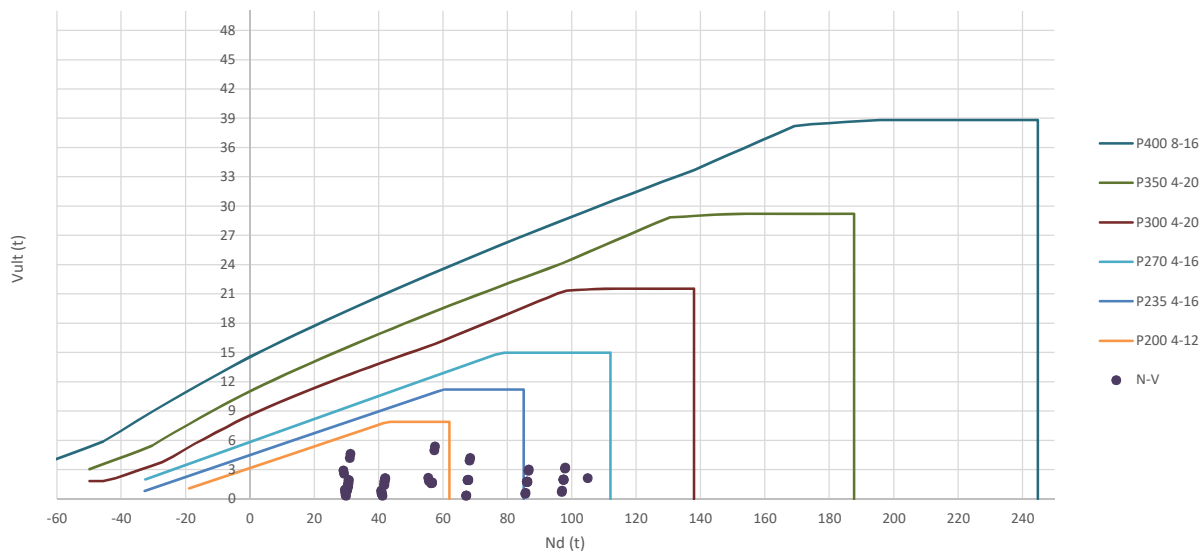
	LC: COMB.	n° PILOTE	N _{pilote} (T) a ras de suelo	M ult. Pilote (mT)	N _{pilote} (T) a ras de suelo	V ult-Pilote (T)	ESTADO LIMITE
HIP.1	G	1	29,12	0,99	29,12	0,99	ELS
HIP.2	G+Q	1	65,40	2,15	65,40	2,13	ELS
HIP.3	G+V105	1	29,08	0,83	29,08	0,82	ELS
HIP.4	G+V106	1	29,08	0,82	29,08	0,81	ELS
HIP.5	G+V107	1	29,16	1,29	29,16	1,28	ELS
HIP.6	G+V108	1	29,16	1,33	29,16	1,32	ELS
HIP.7	G+V109	1	28,01	2,65	28,01	2,63	ELS
HIP.8	G+V110	1	27,99	2,83	27,99	2,81	ELS
HIP.9	G+V111	1	30,23	4,43	30,23	4,39	ELS
HIP.10	G+V112	1	30,25	4,42	30,25	4,38	ELS
HIP.11	G+Q+0,6*V105	1	65,38	2,03	65,38	2,01	ELS
HIP.12	G+Q+0,6*V106	1	65,38	2,01	65,38	2,00	ELS
HIP.13	G+Q+0,6*V107	1	65,42	2,29	65,42	2,27	ELS
HIP.14	G+Q+0,6*V108	1	65,42	2,31	65,42	2,29	ELS
HIP.15	G+Q+0,6*V109	1	64,73	0,79	64,73	0,78	ELS
HIP.16	G+Q+0,6*V110	1	64,72	1,17	64,72	1,16	ELS
HIP.17	G+Q+0,6*V111	1	66,07	4,18	66,07	4,14	ELS
HIP.18	G+Q+0,6*V112	1	66,08	4,13	66,08	4,09	ELS
HIP.19	G+V1+0,7*Q	1	54,48	1,62	54,48	1,60	ELS
HIP.20	G+V2+0,7*Q	1	54,48	1,60	54,48	1,59	ELS
HIP.21	G+V3+0,7*Q	1	54,56	2,06	54,56	2,04	ELS
HIP.22	G+V4+0,7*Q	1	54,56	2,10	54,56	2,08	ELS
HIP.23	G+V5+0,7*Q	1	53,41	1,96	53,41	1,95	ELS
HIP.24	G+V6+0,7*Q	1	53,39	2,27	53,39	2,25	ELS
HIP.25	G+V7+0,7*Q	1	55,63	5,23	55,63	5,18	ELS
HIP.26	G+V8+0,7*Q	1	55,65	5,19	55,65	5,14	ELS
HIP.27	G+Sx	1	29,50	1,65	29,50	1,64	ELU
HIP.28	G-Sx	1	28,74	0,37	28,74	0,37	ELU
HIP.29	G-Sy	1	29,56	1,80	29,56	1,78	ELU
HIP.30	G-Sy	1	28,68	0,47	28,68	0,47	ELU
HIP.31	G+Sx+0,3*Sy	1	29,63	1,99	29,63	1,97	ELU
HIP.32	G+Sx-0,3*Sy	1	29,37	1,31	29,37	1,30	ELU
HIP.33	G-Sx+0,3*Sy	1	28,87	0,20	28,87	0,20	ELU
HIP.34	G-Sx-0,3*Sy	1	28,61	0,69	28,61	0,68	ELU
HIP.35	G+Sy+0,3*Sx	1	29,67	2,09	29,67	2,07	ELU
HIP.36	G+Sy-0,3*Sx	1	29,44	1,51	29,44	1,49	ELU
HIP.37	G-Sy+0,3*Sx	1	28,79	0,18	28,79	0,18	ELU
HIP.38	G-Sy-0,3*Sx	1	28,57	0,77	28,57	0,76	ELU
HIP.39	G+Sx+0,3*Q	1	40,38	1,88	40,38	1,86	ELU
HIP.40	G-Sx+0,3*Q	1	39,63	0,25	39,63	0,25	ELU
HIP.41	G+Sy+0,3*Q	1	40,44	2,03	40,44	2,01	ELU
HIP.42	G-Sy+0,3*Q	1	39,57	0,25	39,57	0,25	ELU
HIP.43	G+Sx+0,3*Sy+0,3*Q	1	40,51	2,22	40,51	2,20	ELU
HIP.44	G+Sx-0,3*Sy+0,3*Q	1	40,25	1,54	40,25	1,52	ELU
HIP.45	G-Sx+0,3*Sy+0,3*Q	1	39,76	0,35	39,76	0,34	ELU
HIP.46	G-Sx-0,3*Sy+0,3*Q	1	39,49	0,49	39,49	0,48	ELU
HIP.47	G+Sy+0,3*Sx+0,3*Q	1	40,56	2,32	40,56	2,30	ELU
HIP.48	G+Sy-0,3*Sx+0,3*Q	1	40,33	1,74	40,33	1,72	ELU
HIP.49	G-Sy+0,3*Sx+0,3*Q	1	39,68	0,05	39,68	0,05	ELU
HIP.50	G-Sy-0,3*Sx+0,3*Q	1	39,45	0,55	39,45	0,54	ELU
HIP.51	G+BOMB	1	83,39	1,92	83,39	1,90	ELU
HIP.52	G+BOMB+0,5*Q	1	101,53	2,30	101,53	2,28	ELU
HIP.53	G+BOMB+0,5*V105	1	83,37	1,86	83,37	1,84	ELU
HIP.54	G+BOMB+0,5*V106	1	83,37	1,85	83,37	1,84	ELU
HIP.55	G+BOMB+0,5*V107	1	83,41	1,98	83,41	1,96	ELU
HIP.56	G+BOMB+0,5*V108	1	83,41	1,99	83,41	1,97	ELU
HIP.57	G+BOMB+0,5*V109	1	82,83	0,85	82,83	0,85	ELU
HIP.58	G+BOMB+0,5*V110	1	82,82	1,00	82,82	0,99	ELU
HIP.59	G+BOMB+0,5*V111	1	83,94	3,06	83,94	3,03	ELU
HIP.60	G+BOMB+0,5*V112	1	83,95	3,03	83,95	3,00	ELU
HIP.61	G+BOMB+0,5*V1+0,3*Q	1	94,25	2,09	94,25	2,07	ELU
HIP.62	G+BOMB+0,5*V2+0,3*Q	1	94,25	2,08	94,25	2,06	ELU
HIP.63	G+BOMB+0,5*V3+0,3*Q	1	94,29	2,21	94,29	2,19	ELU
HIP.64	G+BOMB+0,5*V4+0,3*Q	1	94,29	2,22	94,29	2,20	ELU
HIP.65	G+BOMB+0,5*V5+0,3*Q	1	93,72	1,07	93,72	1,06	ELU
HIP.66	G+BOMB+0,5*V6+0,3*Q	1	93,71	1,20	93,71	1,19	ELU
HIP.67	G+BOMB+0,5*V7+0,3*Q	1	94,83	3,29	94,83	3,26	ELU
HIP.68	G+BOMB+0,5*V8+0,3*Q	1	94,84	3,26	94,84	3,23	ELU

Seccion (mm.)	e _x (m.)	e _y (m.)	Henc. (m.)
270	0,00	0,00	0,65
COMPROBACIÓN (compresión)	CUMPLE		
MAX. AXIL	104,88	(TON)	
MIN. AXIL	0,00	(TON)	
COMPROBACIÓN (tracción)	CUMPLE		
	L.1(m)	0,00	
	L.2(m)	0,00	
	L.Influenc.(m)	0,00	
	CERRAM.(ton.)	0,00	
	αx (inclinación)	0,00	
	αy (inclinación)	0,00	

Curva de resistencia axil-momento (en cualquier dirección)



Curva de resistencia axil-cortante



PILAR: P15



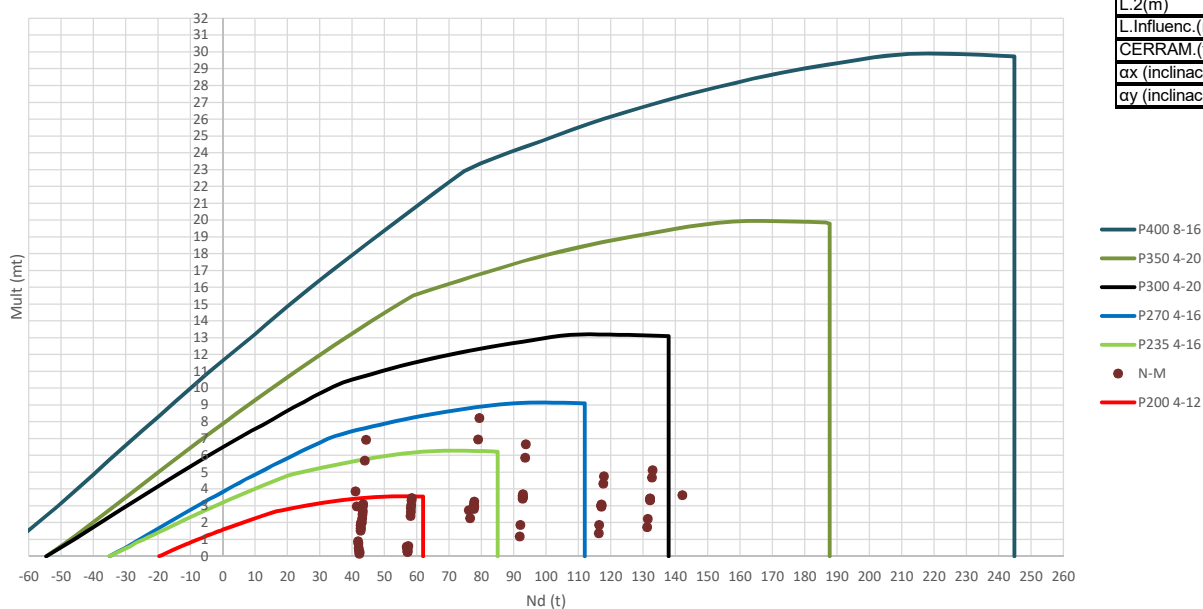
COMPROBACIÓN ESFUERZOS:

P18147P Parcela R20

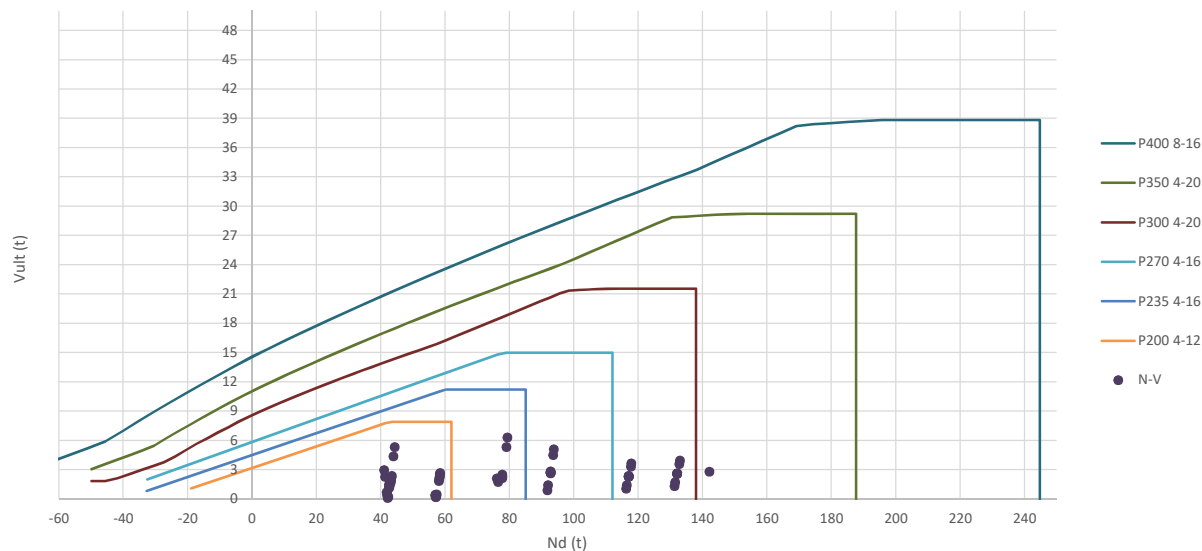
	LC: COMB.	n° PILOTE	N _{pilote} (T) a ras de suelo	M ult. Pilote (mT)	N _{pilote} (T) a ras de suelo	V ult-Pilote (T)	ESTADO LIMITE
HIP.1	G	1	30,08	0,86	30,08	0,85	ELS
HIP.2	G+Q	1	67,69	1,95	67,69	1,93	ELS
HIP.3	G+V113	1	29,98	0,90	29,98	0,89	ELS
HIP.4	G+V114	1	29,96	0,89	29,96	0,88	ELS
HIP.5	G+V115	1	30,18	0,99	30,18	0,98	ELS
HIP.6	G+V116	1	30,20	1,07	30,20	1,06	ELS
HIP.7	G+V117	1	29,00	2,96	29,00	2,93	ELS
HIP.8	G+V118	1	29,20	2,62	29,20	2,60	ELS
HIP.9	G+V119	1	31,16	4,66	31,16	4,62	ELS
HIP.10	G+V120	1	30,96	4,25	30,96	4,22	ELS
HIP.11	G+Q+0,6*V113	1	67,63	1,96	67,63	1,95	ELS
HIP.12	G+Q+0,6*V114	1	67,62	1,95	67,62	1,93	ELS
HIP.13	G+Q+0,6*V115	1	67,75	1,97	67,75	1,95	ELS
HIP.14	G+Q+0,6*V116	1	67,76	2,00	67,76	1,98	ELS
HIP.15	G+Q+0,6*V117	1	67,04	0,34	67,04	0,34	ELS
HIP.16	G+Q+0,6*V118	1	67,16	0,36	67,16	0,36	ELS
HIP.17	G+Q+0,6*V119	1	68,34	4,24	68,34	4,20	ELS
HIP.18	G+Q+0,6*V120	1	68,22	3,99	68,22	3,96	ELS
HIP.19	G+V1+0,7*Q	1	56,31	1,66	56,31	1,65	ELS
HIP.20	G+V2+0,7*Q	1	56,29	1,64	56,29	1,63	ELS
HIP.21	G+V3+0,7*Q	1	56,51	1,68	56,51	1,66	ELS
HIP.22	G+V4+0,7*Q	1	56,53	1,74	56,53	1,73	ELS
HIP.23	G+V5+0,7*Q	1	55,33	2,19	55,33	2,17	ELS
HIP.24	G+V6+0,7*Q	1	55,53	1,86	55,53	1,85	ELS
HIP.25	G+V7+0,7*Q	1	57,49	5,43	57,49	5,38	ELS
HIP.26	G+V8+0,7*Q	1	57,29	5,03	57,29	4,98	ELS
HIP.27	G+Sx	1	30,58	1,61	30,58	1,60	ELU
HIP.28	G-Sx	1	29,58	0,66	29,58	0,65	ELU
HIP.29	G+Sy	1	30,48	1,65	30,48	1,64	ELU
HIP.30	G-Sy	1	29,68	0,63	29,68	0,62	ELU
HIP.31	G+Sx+0,3*Sy	1	30,70	1,95	30,70	1,93	ELU
HIP.32	G+Sx-0,3*Sy	1	30,46	1,28	30,46	1,27	ELU
HIP.33	G-Sx+0,3*Sy	1	29,70	0,41	29,70	0,41	ELU
HIP.34	G-Sx-0,3*Sy	1	29,46	0,96	29,46	0,95	ELU
HIP.35	G+Sy+0,3*Sx	1	30,63	1,97	30,63	1,95	ELU
HIP.36	G+Sy-0,3*Sx	1	30,33	1,34	30,33	1,32	ELU
HIP.37	G-Sy+0,3*Sx	1	29,83	0,33	29,83	0,32	ELU
HIP.38	G-Sy-0,3*Sx	1	29,53	0,95	29,53	0,94	ELU
HIP.39	G+Sx+0,3*Q	1	41,86	1,80	41,86	1,79	ELU
HIP.40	G-Sx+0,3*Q	1	40,86	0,61	40,86	0,61	ELU
HIP.41	G+Sy+0,3*Q	1	41,76	1,85	41,76	1,83	ELU
HIP.42	G-Sy+0,3*Q	1	40,96	0,55	40,96	0,54	ELU
HIP.43	G+Sx+0,3*Sy+0,3*Q	1	41,98	2,13	41,98	2,12	ELU
HIP.44	G+Sx-0,3*Sy+0,3*Q	1	41,74	1,47	41,74	1,46	ELU
HIP.45	G-Sx+0,3*Sy+0,3*Q	1	40,98	0,48	40,98	0,48	ELU
HIP.46	G-Sx-0,3*Sy+0,3*Q	1	40,74	0,86	40,74	0,85	ELU
HIP.47	G+Sy+0,3*Sx+0,3*Q	1	41,91	2,16	41,91	2,14	ELU
HIP.48	G+Sy-0,3*Sx+0,3*Q	1	41,61	1,54	41,61	1,53	ELU
HIP.49	G-Sy+0,3*Sx+0,3*Q	1	41,11	0,34	41,11	0,33	ELU
HIP.50	G-Sy-0,3*Sx+0,3*Q	1	40,81	0,84	40,81	0,83	ELU
HIP.51	G+BOMB	1	86,08	1,78	86,08	1,76	ELU
HIP.52	G+BOMB+0,5*Q	1	104,88	2,15	104,88	2,13	ELU
HIP.53	G+BOMB+0,5*V113	1	86,03	1,79	86,03	1,78	ELU
HIP.54	G+BOMB+0,5*V114	1	86,02	1,78	86,02	1,77	ELU
HIP.55	G+BOMB+0,5*V115	1	86,13	1,77	86,13	1,76	ELU
HIP.56	G+BOMB+0,5*V116	1	86,14	1,78	86,14	1,77	ELU
HIP.57	G+BOMB+0,5*V117	1	85,54	0,53	85,54	0,53	ELU
HIP.58	G+BOMB+0,5*V118	1	85,64	0,65	85,64	0,64	ELU
HIP.59	G+BOMB+0,5*V119	1	86,62	3,04	86,62	3,01	ELU
HIP.60	G+BOMB+0,5*V120	1	86,52	2,92	86,52	2,89	ELU
HIP.61	G+BOMB+0,5*V1+0,3*Q	1	97,31	2,01	97,31	2,00	ELU
HIP.62	G+BOMB+0,5*V2+0,3*Q	1	97,30	2,00	97,30	1,99	ELU
HIP.63	G+BOMB+0,5*V3+0,3*Q	1	97,41	1,99	97,41	1,97	ELU
HIP.64	G+BOMB+0,5*V4+0,3*Q	1	97,42	2,00	97,42	1,99	ELU
HIP.65	G+BOMB+0,5*V5+0,3*Q	1	96,82	0,75	96,82	0,74	ELU
HIP.66	G+BOMB+0,5*V6+0,3*Q	1	96,92	0,87	96,92	0,86	ELU
HIP.67	G+BOMB+0,5*V7+0,3*Q	1	97,90	3,26	97,90	3,23	ELU
HIP.68	G+BOMB+0,5*V8+0,3*Q	1	97,80	3,14	97,80	3,11	ELU

Seccion (mm.)	e _x (m.)	e _y (m.)	Henc. (m.)
350	0,00	0,00	1,00
COMPROBACIÓN (compresión)	CUMPLE		
MAX. AXIL	142,11	(TON)	
MIN. AXIL	0,00	(TON)	
COMPROBACIÓN (tracción)	CUMPLE		
	L.1(m)	0,00	
	L.2(m)	0,00	
	L.Influenc.(m)	0,00	
	CERRAM.(ton.)	0,00	
	αx (inclinación)	0,00	
	αy (inclinación)	0,00	

Curva de resistencia axil-momento (en cualquier dirección)



Curva de resistencia axil-cortante



PILAR: P16



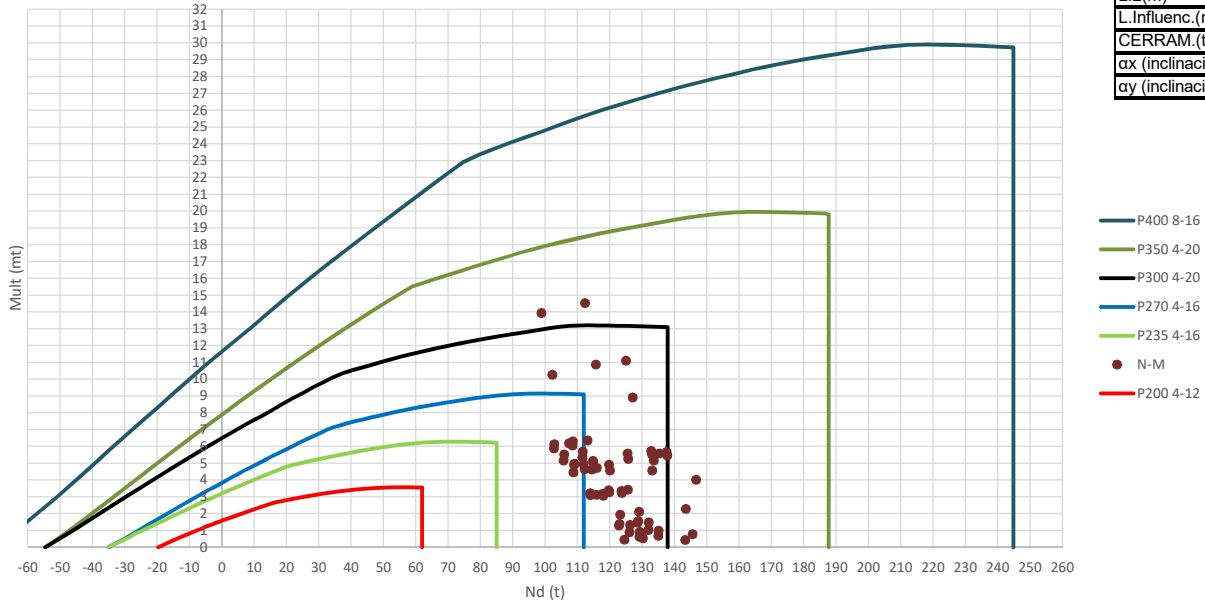
COMPROBACIÓN ESFUERZOS:

P18147P Parcela R20

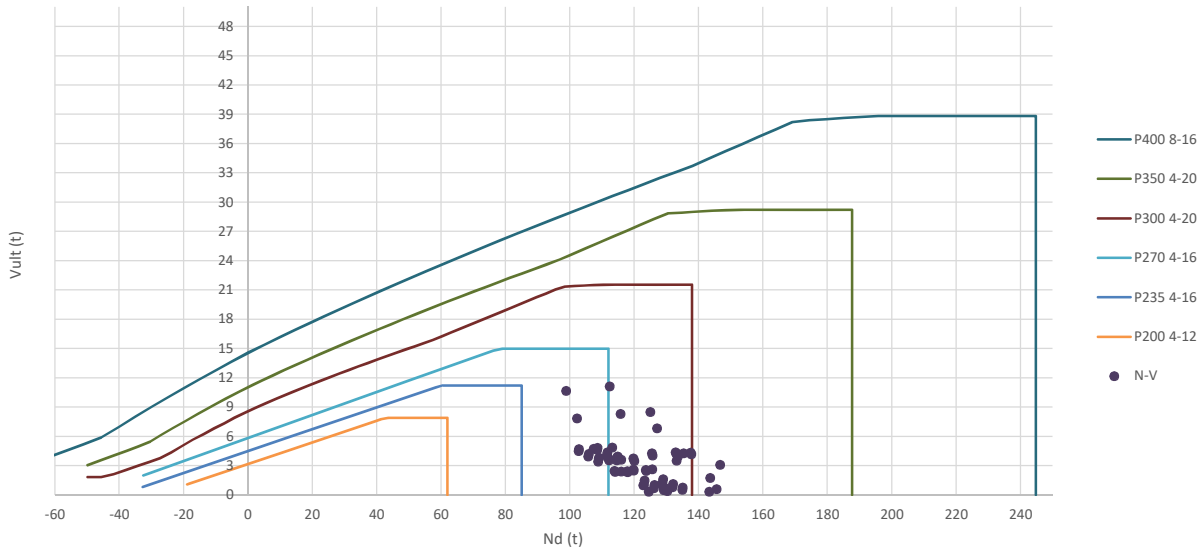
	LC: COMB.	n° PILOTE	N _{pilote} (T) a ras de suelo	M ult. Pilote (mT)	N _{pilote} (T) a ras de suelo	V ult-Pilote (T)	ESTADO LIMITE
HIP.1	G	1	42,64	1,68	42,64	1,28	ELS
HIP.2	G+Q	1	92,76	3,55	92,76	2,71	ELS
HIP.3	G+V121	1	42,66	1,66	42,66	1,27	ELS
HIP.4	G+V122	1	42,62	1,53	42,62	1,17	ELS
HIP.5	G+V123	1	42,62	1,86	42,62	1,42	ELS
HIP.6	G+V124	1	42,66	2,01	42,66	1,54	ELS
HIP.7	G+V125	1	41,01	3,87	41,01	2,96	ELS
HIP.8	G+V126	1	41,37	2,98	41,37	2,28	ELS
HIP.9	G+V127	1	44,27	6,94	44,27	5,31	ELS
HIP.10	G+V128	1	43,91	5,70	43,91	4,36	ELS
HIP.11	G+Q+0,6*V121	1	92,77	3,52	92,77	2,69	ELS
HIP.12	G+Q+0,6*V122	1	92,74	3,43	92,74	2,62	ELS
HIP.13	G+Q+0,6*V123	1	92,74	3,60	92,74	2,76	ELS
HIP.14	G+Q+0,6*V124	1	92,77	3,70	92,77	2,82	ELS
HIP.15	G+Q+0,6*V125	1	91,78	1,19	91,78	0,91	ELS
HIP.16	G+Q+0,6*V126	1	91,99	1,87	91,99	1,43	ELS
HIP.17	G+Q+0,6*V127	1	93,73	6,67	93,73	5,10	ELS
HIP.18	G+Q+0,6*V128	1	93,52	5,87	93,52	4,49	ELS
HIP.19	G+V1+0,7*Q	1	77,74	2,95	77,74	2,26	ELS
HIP.20	G+V2+0,7*Q	1	77,70	2,81	77,70	2,15	ELS
HIP.21	G+V3+0,7*Q	1	77,70	3,11	77,70	2,38	ELS
HIP.22	G+V4+0,7*Q	1	77,74	3,26	77,74	2,49	ELS
HIP.23	G+V5+0,7*Q	1	76,09	2,75	76,09	2,11	ELS
HIP.24	G+V6+0,7*Q	1	76,45	2,27	76,45	1,73	ELS
HIP.25	G+V7+0,7*Q	1	79,35	8,23	79,35	6,29	ELS
HIP.26	G+V8+0,7*Q	1	78,99	6,96	78,99	5,32	ELS
HIP.27	G+Sx	1	43,26	2,69	43,26	2,06	ELU
HIP.28	G-Sx	1	42,01	0,49	42,01	0,38	ELU
HIP.29	G-Sy	1	43,15	2,50	43,15	1,91	ELU
HIP.30	G-Sy	1	42,12	0,33	42,12	0,25	ELU
HIP.31	G+Sx+0,3*Sx	1	43,41	3,11	43,41	2,37	ELU
HIP.32	G+Sx-0,3*Sx	1	43,10	2,27	43,10	1,74	ELU
HIP.33	G-Sx+0,3*Sx	1	42,17	0,15	42,17	0,12	ELU
HIP.34	G-Sx-0,3*Sx	1	41,86	0,90	41,86	0,69	ELU
HIP.35	G+Sy+0,3*Sx	1	43,34	2,97	43,34	2,27	ELU
HIP.36	G+Sy-0,3*Sx	1	42,97	2,03	42,97	1,55	ELU
HIP.37	G-Sy+0,3*Sx	1	42,31	0,26	42,31	0,20	ELU
HIP.38	G-Sy-0,3*Sx	1	41,93	0,77	41,93	0,59	ELU
HIP.39	G+Sx+0,3*Q	1	58,29	3,06	58,29	2,34	ELU
HIP.40	G-Sx+0,3*Q	1	57,05	0,26	57,05	0,20	ELU
HIP.41	G+Sy+0,3*Q	1	58,19	2,87	58,19	2,19	ELU
HIP.42	G-Sy+0,3*Q	1	57,16	0,28	57,16	0,21	ELU
HIP.43	G+Sx+0,3*Sy+0,3*Q	1	58,45	3,47	58,45	2,66	ELU
HIP.44	G+Sx-0,3*Sy+0,3*Q	1	58,14	2,64	58,14	2,02	ELU
HIP.45	G-Sx+0,3*Sy+0,3*Q	1	57,20	0,39	57,20	0,30	ELU
HIP.46	G-Sx-0,3*Sy+0,3*Q	1	56,89	0,58	56,89	0,44	ELU
HIP.47	G+Sy+0,3*Sx+0,3*Q	1	58,38	3,34	58,38	2,56	ELU
HIP.48	G+Sy-0,3*Sx+0,3*Q	1	58,00	2,40	58,00	1,83	ELU
HIP.49	G-Sy+0,3*Sx+0,3*Q	1	57,34	0,62	57,34	0,47	ELU
HIP.50	G-Sy-0,3*Sx+0,3*Q	1	56,97	0,47	56,97	0,36	ELU
HIP.51	G+BOMB	1	117,05	3,02	117,05	2,31	ELU
HIP.52	G+BOMB+0,5*Q	1	142,11	3,64	142,11	2,78	ELU
HIP.53	G+BOMB+0,5*V121	1	117,06	3,01	117,06	2,30	ELU
HIP.54	G+BOMB+0,5*V122	1	117,04	2,96	117,04	2,26	ELU
HIP.55	G+BOMB+0,5*V123	1	117,04	3,04	117,04	2,32	ELU
HIP.56	G+BOMB+0,5*V124	1	117,06	3,09	117,06	2,36	ELU
HIP.57	G+BOMB+0,5*V125	1	116,23	1,38	116,23	1,06	ELU
HIP.58	G+BOMB+0,5*V126	1	116,41	1,87	116,41	1,43	ELU
HIP.59	G+BOMB+0,5*V127	1	117,86	4,76	117,86	3,64	ELU
HIP.60	G+BOMB+0,5*V128	1	117,68	4,32	117,68	3,30	ELU
HIP.61	G+BOMB+0,5*V1+0,3*Q	1	132,09	3,38	132,09	2,59	ELU
HIP.62	G+BOMB+0,5*V2+0,3*Q	1	132,07	3,34	132,07	2,55	ELU
HIP.63	G+BOMB+0,5*V3+0,3*Q	1	132,07	3,41	132,07	2,61	ELU
HIP.64	G+BOMB+0,5*V4+0,3*Q	1	132,09	3,46	132,09	2,64	ELU
HIP.65	G+BOMB+0,5*V5+0,3*Q	1	131,27	1,74	131,27	1,33	ELU
HIP.66	G+BOMB+0,5*V6+0,3*Q	1	131,45	2,23	131,45	1,70	ELU
HIP.67	G+BOMB+0,5*V7+0,3*Q	1	132,90	5,14	132,90	3,93	ELU
HIP.68	G+BOMB+0,5*V8+0,3*Q	1	132,72	4,69	132,72	3,59	ELU

Seccion (mm.)	e _x (m.)	e _y (m.)	Henc. (m.)
350	0,00	0,00	1,00
COMPROBACIÓN (compresión)	CUMPLE		
MAX. AXIL	146,64	(TON)	
MIN. AXIL	0,00	(TON)	
COMPROBACIÓN (tracción)	CUMPLE		
	L.1(m)	0,00	
	L.2(m)	0,00	
	L.Influenc.(m)	0,00	
	CERRAM.(ton.)	0,00	
	αx (inclinación)	0,00	
	αy (inclinación)	0,00	

Curva de resistencia axil-momento (en cualquier dirección)



Curva de resistencia axil-cortante



PILAR: P17

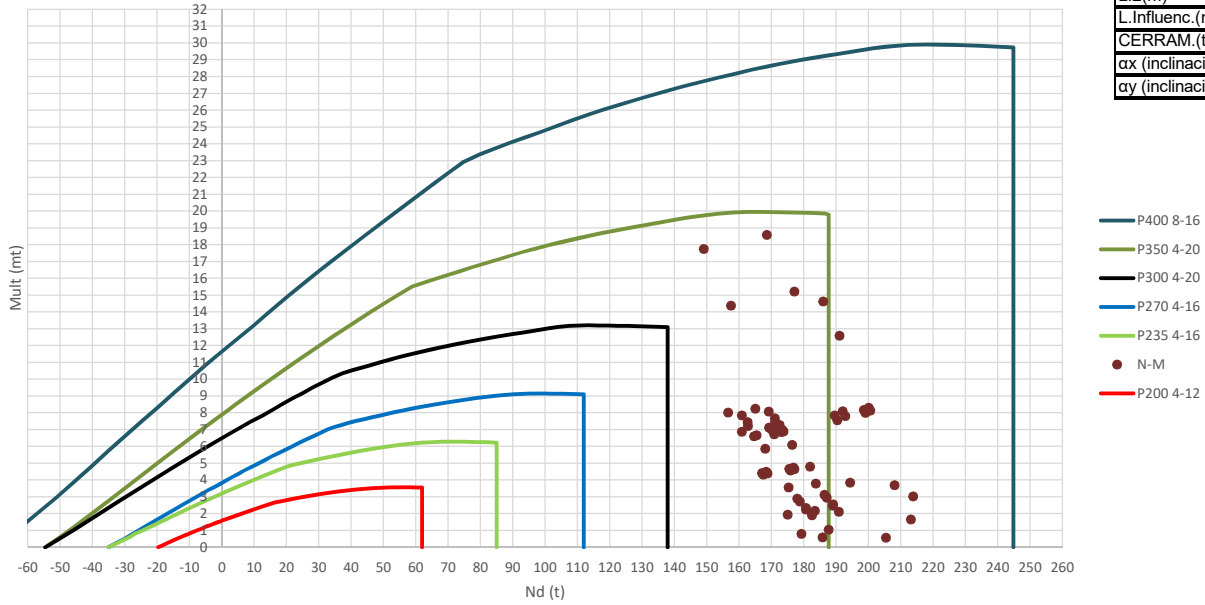
COMPROBACIÓN ESFUERZOS:

P18147P Parcela R20

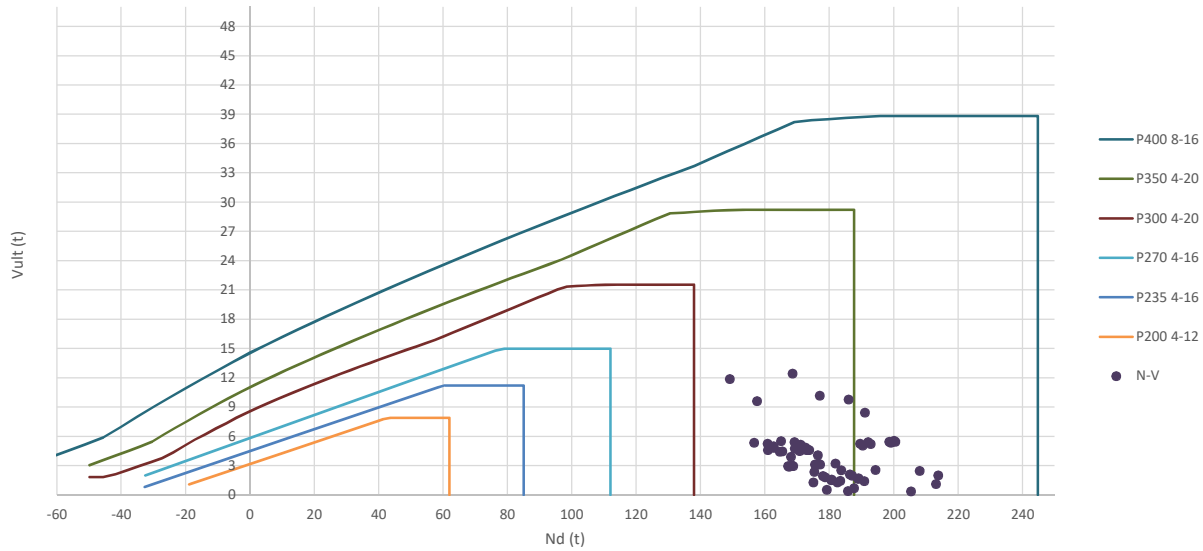
	LC: COMB.	n° PILOTE	N _{pilote} (T) a ras de suelo	M ult. Pilote (mT)	N _{pilote} (T) a ras de suelo	V ult.-Pilote (T)	ESTADO LIMITE
HIP.1	G	1	115,97	4,72	115,97	3,61	ELS
HIP.2	G+Q	1	135,29	5,59	135,29	4,27	ELS
HIP.3	G+V129	1	111,91	4,96	111,91	3,79	ELS
HIP.4	G+V130	1	112,20	4,65	112,20	3,56	ELS
HIP.5	G+V131	1	120,03	4,57	120,03	3,50	ELS
HIP.6	G+V132	1	119,74	4,91	119,74	3,75	ELS
HIP.7	G+V133	1	102,20	10,27	102,20	7,85	ELS
HIP.8	G+V134	1	98,82	13,94	98,82	10,66	ELS
HIP.9	G+V135	1	129,74	0,87	129,74	0,66	ELS
HIP.10	G+V136	1	133,12	4,58	133,12	3,50	ELS
HIP.11	G+Q+0,6*V129	1	132,85	5,73	132,85	4,38	ELS
HIP.12	G+Q+0,6*V130	1	133,02	5,54	133,02	4,24	ELS
HIP.13	G+Q+0,6*V131	1	137,72	5,48	137,72	4,19	ELS
HIP.14	G+Q+0,6*V132	1	137,55	5,68	137,55	4,34	ELS
HIP.15	G+Q+0,6*V133	1	127,02	8,91	127,02	6,81	ELS
HIP.16	G+Q+0,6*V134	1	125,00	11,11	125,00	8,49	ELS
HIP.17	G+Q+0,6*V135	1	143,55	2,29	143,55	1,75	ELS
HIP.18	G+Q+0,6*V136	1	145,58	0,78	145,58	0,60	ELS
HIP.19	G+V1+0,7*Q	1	125,43	5,58	125,43	4,26	ELS
HIP.20	G+V2+0,7*Q	1	125,72	5,27	125,72	4,03	ELS
HIP.21	G+V3+0,7*Q	1	133,55	5,16	133,55	3,95	ELS
HIP.22	G+V4+0,7*Q	1	133,26	5,50	133,26	4,20	ELS
HIP.23	G+V5+0,7*Q	1	115,72	10,87	115,72	8,31	ELS
HIP.24	G+V6+0,7*Q	1	112,34	14,54	112,34	11,12	ELS
HIP.25	G+V7+0,7*Q	1	143,26	0,44	143,26	0,34	ELS
HIP.26	G+V8+0,7*Q	1	146,64	4,02	146,64	3,07	ELS
HIP.27	G+Sx	1	126,24	1,34	126,24	1,03	ELU
HIP.28	G-Sx	1	105,70	5,17	105,70	3,95	ELU
HIP.29	G-Sy	1	126,07	0,89	126,07	0,68	ELU
HIP.30	G-Sy	1	105,86	5,52	105,86	4,22	ELU
HIP.31	G+Sx+0,3*Sx	1	129,27	0,91	129,27	0,70	ELU
HIP.32	G+Sx-0,3*Sx	1	123,21	1,95	123,21	1,49	ELU
HIP.33	G-Sx+0,3*Sx	1	108,73	4,46	108,73	3,41	ELU
HIP.34	G-Sx-0,3*Sx	1	102,66	5,89	102,66	4,50	ELU
HIP.35	G+Sy+0,3*Sx	1	129,15	0,64	129,15	0,49	ELU
HIP.36	G+Sy-0,3*Sx	1	122,99	1,40	122,99	1,07	ELU
HIP.37	G-Sy+0,3*Sx	1	108,94	4,92	108,94	3,76	ELU
HIP.38	G-Sy-0,3*Sx	1	102,78	6,13	102,78	4,69	ELU
HIP.39	G+Sx+0,3*Q	1	132,03	1,49	132,03	1,14	ELU
HIP.40	G-Sx+0,3*Q	1	111,49	5,35	111,49	4,09	ELU
HIP.41	G+Sy+0,3*Q	1	131,87	1,04	131,87	0,79	ELU
HIP.42	G-Sy+0,3*Q	1	111,66	5,70	111,66	4,35	ELU
HIP.43	G+Sx+0,3*Sx+0,3*Q	1	135,07	0,99	135,07	0,76	ELU
HIP.44	G+Sx-0,3*Sx+0,3*Q	1	129,00	2,11	129,00	1,61	ELU
HIP.45	G-Sx+0,3*Sx+0,3*Q	1	114,52	4,63	114,52	3,54	ELU
HIP.46	G-Sx-0,3*Sx+0,3*Q	1	108,46	6,06	108,46	4,64	ELU
HIP.47	G+Sy+0,3*Sx+0,3*Q	1	134,95	0,69	134,95	0,53	ELU
HIP.48	G+Sy-0,3*Sx+0,3*Q	1	128,79	1,57	128,79	1,20	ELU
HIP.49	G-Sy+0,3*Sx+0,3*Q	1	114,74	5,09	114,74	3,89	ELU
HIP.50	G-Sy-0,3*Sx+0,3*Q	1	108,57	6,30	108,57	4,82	ELU
HIP.51	G+BOMB	1	115,91	3,14	115,91	2,40	ELU
HIP.52	G+BOMB+0,5*Q	1	125,57	3,43	125,57	2,62	ELU
HIP.53	G+BOMB+0,5*V129	1	113,88	3,22	113,88	2,46	ELU
HIP.54	G+BOMB+0,5*V130	1	114,02	3,11	114,02	2,38	ELU
HIP.55	G+BOMB+0,5*V131	1	117,94	3,07	117,94	2,35	ELU
HIP.56	G+BOMB+0,5*V132	1	117,79	3,18	117,79	2,43	ELU
HIP.57	G+BOMB+0,5*V133	1	109,02	4,98	109,02	3,81	ELU
HIP.58	G+BOMB+0,5*V134	1	107,33	6,20	107,33	4,74	ELU
HIP.59	G+BOMB+0,5*V135	1	122,79	1,30	122,79	1,00	ELU
HIP.60	G+BOMB+0,5*V136	1	124,48	0,46	124,48	0,35	ELU
HIP.61	G+BOMB+0,5*V1+0,3*Q	1	119,67	3,39	119,67	2,59	ELU
HIP.62	G+BOMB+0,5*V2+0,3*Q	1	119,82	3,28	119,82	2,51	ELU
HIP.63	G+BOMB+0,5*V3+0,3*Q	1	123,73	3,24	123,73	2,48	ELU
HIP.64	G+BOMB+0,5*V4+0,3*Q	1	123,59	3,35	123,59	2,56	ELU
HIP.65	G+BOMB+0,5*V5+0,3*Q	1	114,82	5,15	114,82	3,94	ELU
HIP.66	G+BOMB+0,5*V6+0,3*Q	1	113,13	6,37	113,13	4,87	ELU
HIP.67	G+BOMB+0,5*V7+0,3*Q	1	128,59	1,48	128,59	1,13	ELU
HIP.68	G+BOMB+0,5*V8+0,3*Q	1	130,28	0,54	130,28	0,41	ELU

Seccion (mm.)	e _x (m.)	e _y (m.)	Henc. (m.)
400	0,00	0,00	1,00
COMPROBACIÓN (compresión)	CUMPLE		
MAX. AXIL	213,83	(TON)	
MIN. AXIL	0,00	(TON)	
COMPROBACIÓN (tracción)	CUMPLE		
	L.1(m)	0,00	
	L.2(m)	0,00	
	L.Influenc.(m)	0,00	
	CERRAM.(ton.)	0,00	
	αx (inclinación)	0,00	
	αy (inclinación)	0,00	

Curva de resistencia axil-momento (en cualquier dirección)



Curva de resistencia axil-cortante



PILAR: P18



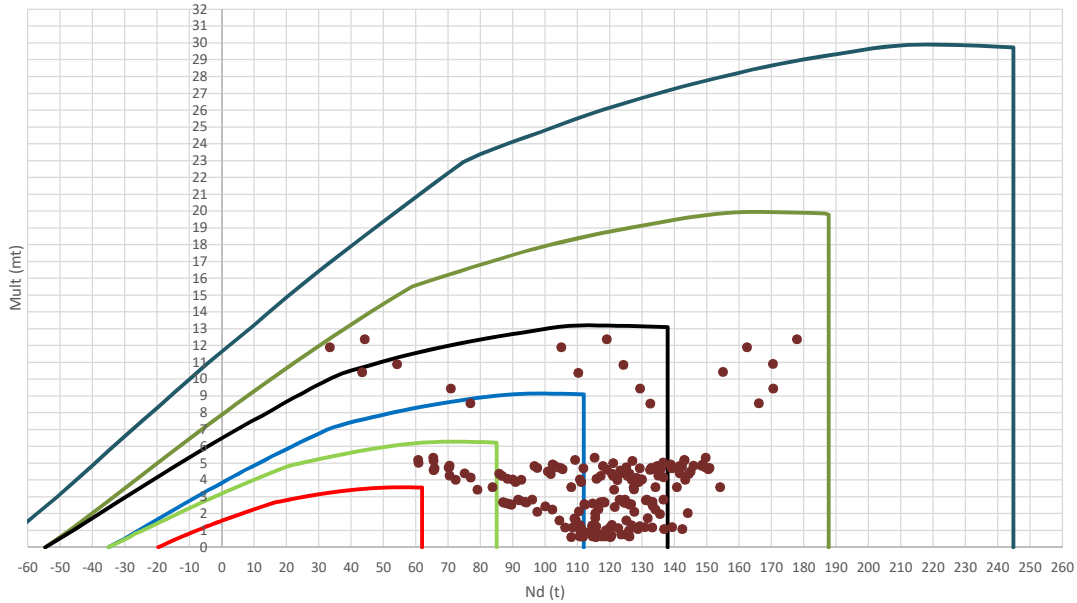
COMPROBACIÓN ESFUERZOS:

P18147P Parcela R20

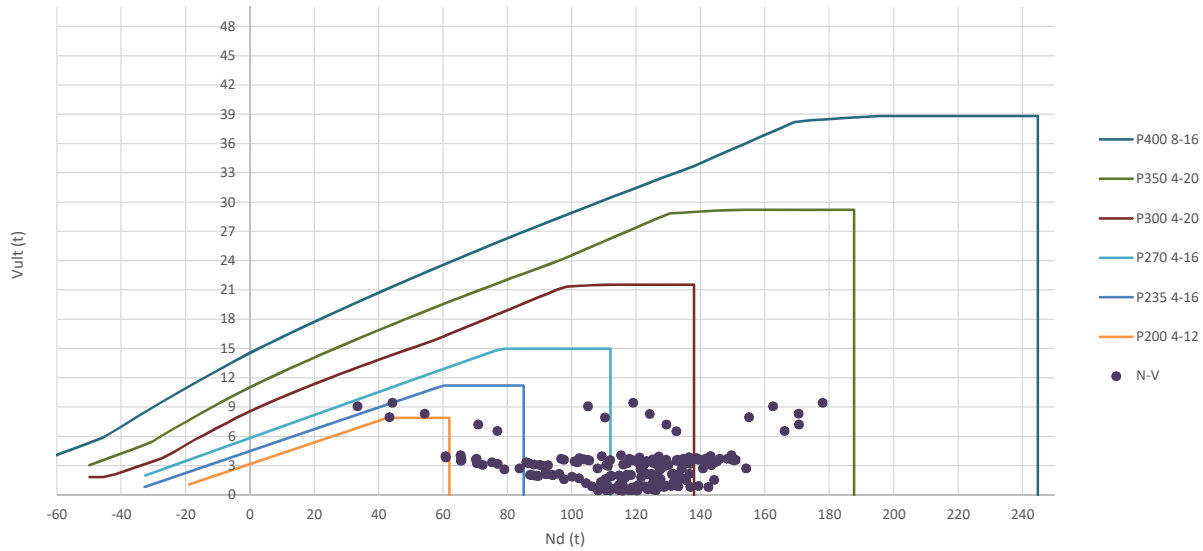
	LC: COMB.	n° PILOTE	N _{pilote} (T) a ras de suelo	M ult. Pilote (mT)	N _{pilote} (T) a ras de suelo	V ult.-Pilote (T)	ESTADO LIMITE
HIP.1	G	1	171,65	6,95	171,65	4,65	ELS
HIP.2	G+Q	1	199,56	8,14	199,56	5,45	ELS
HIP.3	G+V137	1	172,52	7,28	172,52	4,87	ELS
HIP.4	G+V138	1	173,26	6,99	173,26	4,68	ELS
HIP.5	G+V139	1	170,78	6,73	170,78	4,50	ELS
HIP.6	G+V140	1	170,04	7,02	170,04	4,70	ELS
HIP.7	G+V141	1	157,50	14,38	157,50	9,62	ELS
HIP.8	G+V142	1	149,01	17,76	149,01	11,88	ELS
HIP.9	G+V143	1	185,80	0,59	185,80	0,40	ELS
HIP.10	G+V144	1	194,29	3,86	194,29	2,58	ELS
HIP.11	G+Q+0,6*V137	1	200,08	8,31	200,08	5,56	ELS
HIP.12	G+Q+0,6*V138	1	200,53	8,14	200,53	5,45	ELS
HIP.13	G+Q+0,6*V139	1	199,04	8,00	199,04	5,35	ELS
HIP.14	G+Q+0,6*V140	1	198,59	8,17	198,59	5,47	ELS
HIP.15	G+Q+0,6*V141	1	191,07	12,60	191,07	8,43	ELS
HIP.16	G+Q+0,6*V142	1	185,98	14,63	185,98	9,78	ELS
HIP.17	G+Q+0,6*V143	1	208,05	3,70	208,05	2,47	ELS
HIP.18	G+Q+0,6*V144	1	213,14	1,66	213,14	1,11	ELS
HIP.19	G+V1+0,7*Q	1	192,06	8,09	192,06	5,41	ELS
HIP.20	G+V2+0,7*Q	1	192,80	7,81	192,80	5,22	ELS
HIP.21	G+V3+0,7*Q	1	190,32	7,56	190,32	5,06	ELS
HIP.22	G+V4+0,7*Q	1	189,58	7,86	189,58	5,26	ELS
HIP.23	G+V5+0,7*Q	1	177,04	15,21	177,04	10,18	ELS
HIP.24	G+V6+0,7*Q	1	168,55	18,59	168,55	12,44	ELS
HIP.25	G+V7+0,7*Q	1	205,34	0,57	205,34	0,38	ELS
HIP.26	G+V8+0,7*Q	1	213,83	3,03	213,83	2,02	ELS
HIP.27	G+Sx	1	177,96	2,90	177,96	1,94	ELU
HIP.28	G-Sx	1	165,34	6,66	165,34	4,46	ELU
HIP.29	G-Sy	1	180,60	2,25	180,60	1,51	ELU
HIP.30	G-Sy	1	162,70	7,23	162,70	4,83	ELU
HIP.31	G+Sx+0,3*Sx	1	180,65	2,35	180,65	1,57	ELU
HIP.32	G+Sx-0,3*Sx	1	175,28	3,56	175,28	2,38	ELU
HIP.33	G-Sx+0,3*Sx	1	168,02	5,87	168,02	3,93	ELU
HIP.34	G-Sx-0,3*Sx	1	162,65	7,46	162,65	4,99	ELU
HIP.35	G+Sy+0,3*Sx	1	182,49	1,90	182,49	1,27	ELU
HIP.36	G+Sy-0,3*Sx	1	178,70	2,72	178,70	1,82	ELU
HIP.37	G-Sy+0,3*Sx	1	164,60	6,62	164,60	4,43	ELU
HIP.38	G-Sy-0,3*Sx	1	160,81	7,85	160,81	5,25	ELU
HIP.39	G+Sx+0,3*Q	1	186,34	3,13	186,34	2,10	ELU
HIP.40	G-Sx+0,3*Q	1	173,71	6,89	173,71	4,61	ELU
HIP.41	G+Sy+0,3*Q	1	188,97	2,48	188,97	1,66	ELU
HIP.42	G-Sy+0,3*Q	1	171,08	7,46	171,08	4,99	ELU
HIP.43	G+Sx+0,3*Sx+0,3*Q	1	189,02	2,56	189,02	1,71	ELU
HIP.44	G+Sx-0,3*Sx+0,3*Q	1	183,65	3,79	183,65	2,54	ELU
HIP.45	G-Sx+0,3*Sx+0,3*Q	1	176,39	6,10	176,39	4,08	ELU
HIP.46	G-Sx-0,3*Sx+0,3*Q	1	171,03	7,69	171,03	5,14	ELU
HIP.47	G+Sy+0,3*Sx+0,3*Q	1	190,86	2,11	190,86	1,41	ELU
HIP.48	G+Sy-0,3*Sx+0,3*Q	1	187,07	2,96	187,07	1,98	ELU
HIP.49	G-Sy+0,3*Sx+0,3*Q	1	172,97	6,85	172,97	4,58	ELU
HIP.50	G-Sy-0,3*Sx+0,3*Q	1	169,18	8,08	169,18	5,40	ELU
HIP.51	G+BOMB	1	167,92	4,41	167,92	2,95	ELU
HIP.52	G+BOMB+0,5*Q	1	181,88	4,81	181,88	3,22	ELU
HIP.53	G+BOMB+0,5*V137	1	168,36	4,51	168,36	3,01	ELU
HIP.54	G+BOMB+0,5*V138	1	168,73	4,41	168,73	2,95	ELU
HIP.55	G+BOMB+0,5*V139	1	167,49	4,33	167,49	2,90	ELU
HIP.56	G+BOMB+0,5*V140	1	167,12	4,43	167,12	2,96	ELU
HIP.57	G+BOMB+0,5*V141	1	160,85	6,88	160,85	4,61	ELU
HIP.58	G+BOMB+0,5*V142	1	156,60	8,01	156,60	5,36	ELU
HIP.59	G+BOMB+0,5*V143	1	175,00	1,94	175,00	1,30	ELU
HIP.60	G+BOMB+0,5*V144	1	179,24	0,81	179,24	0,54	ELU
HIP.61	G+BOMB+0,5*V1+0,3*Q	1	176,73	4,74	176,73	3,17	ELU
HIP.62	G+BOMB+0,5*V2+0,3*Q	1	177,10	4,65	177,10	3,11	ELU
HIP.63	G+BOMB+0,5*V3+0,3*Q	1	175,86	4,57	175,86	3,06	ELU
HIP.64	G+BOMB+0,5*V4+0,3*Q	1	175,49	4,67	175,49	3,12	ELU
HIP.65	G+BOMB+0,5*V5+0,3*Q	1	169,22	7,12	169,22	4,76	ELU
HIP.66	G+BOMB+0,5*V6+0,3*Q	1	164,97	8,25	164,97	5,52	ELU
HIP.67	G+BOMB+0,5*V7+0,3*Q	1	183,37	2,18	183,37	1,46	ELU
HIP.68	G+BOMB+0,5*V8+0,3*Q	1	187,61	1,05	187,61	0,70	ELU

Seccion (mm.)	e _x (m.)	e _y (m.)	Henc. (m.)
350	1,25	1,25	1,25
COMPROBACIÓN (compresión)	CUMPLE		
MAX. AXIL	177,88		(TON)
MIN. AXIL	0,00		(TON)
COMPROBACIÓN (tracción)	CUMPLE		
L.1(m)	0,00		
L.2(m)	0,00		
L.Influenc.(m)	0,00		
CERRAM.(ton.)	0,00		
αx (inclinación)	0,00		
αy (inclinación)	0,00		

Curva de resistencia axil-momento (en cualquier dirección)



Curva de resistencia axil-cortante



PILAR: P19



COMPROBACIÓN ESFUERZOS:

P18147P Parcela R20

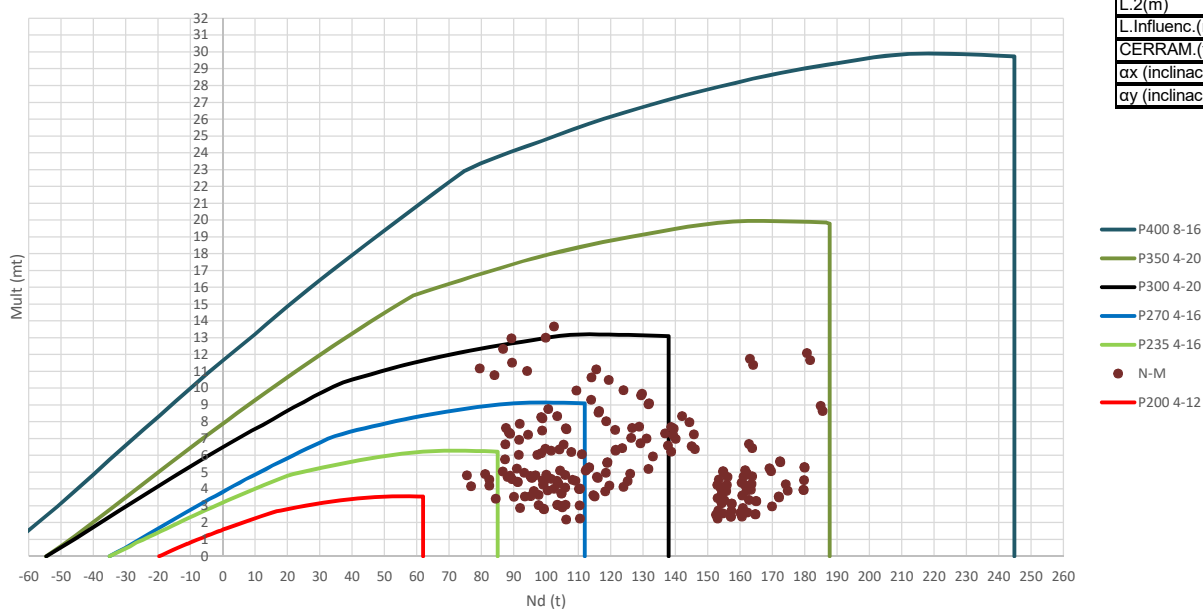
	LC: COMB.	nº PILOTE	N _{pilote} (T) a ras de suelo	M ult. Pilote (mT)	N _{pilote} (T) a ras de suelo	V ult.-Pilote (T)	ESTADO LIMITE
HIP.1	G	1	88,30	4,09	88,30	3,12	ELS
	G	2	115,88	4,09	115,88	3,12	ELS
	G	3	127,51	4,09	127,51	3,12	ELS
HIP.2	G+Q	1	103,84	4,77	103,84	3,65	ELS
	G+Q	2	135,88	4,77	135,88	3,65	ELS
	G+Q	3	149,57	4,77	149,57	3,65	ELS
HIP.3	G+V145	1	85,76	4,37	85,76	3,34	ELS
	G+V145	2	120,61	4,37	120,61	3,34	ELS
	G+V145	3	126,09	4,37	126,09	3,34	ELS
HIP.4	G+V146	1	86,65	4,26	86,65	3,26	ELS
	G+V146	2	121,05	4,26	121,05	3,26	ELS
	G+V146	3	125,43	4,26	125,43	3,26	ELS
HIP.5	G+V147	1	90,85	3,90	90,85	2,98	ELS
	G+V147	2	111,15	3,90	111,15	2,98	ELS
	G+V147	3	128,93	3,90	128,93	2,98	ELS
HIP.6	G+V148	1	89,96	4,03	89,96	3,08	ELS
	G+V148	2	110,70	4,03	110,70	3,08	ELS
	G+V148	3	129,59	4,03	129,59	3,08	ELS
HIP.7	G+V149	1	43,35	10,43	43,35	7,97	ELS
	G+V149	2	110,23	10,39	110,23	7,94	ELS
	G+V149	3	155,03	10,43	155,03	7,97	ELS
HIP.8	G+V150	1	33,35	11,90	33,35	9,09	ELS
	G+V150	2	105,02	11,90	105,02	9,09	ELS
	G+V150	3	162,44	11,90	162,44	9,09	ELS
HIP.9	G+V151	1	133,26	2,46	133,26	1,88	ELS
	G+V151	2	121,53	2,41	121,53	1,84	ELS
	G+V151	3	100,00	2,45	100,00	1,87	ELS
HIP.10	G+V152	1	143,25	4,01	143,25	3,07	ELS
	G+V152	2	126,74	4,01	126,74	3,07	ELS
	G+V152	3	92,58	4,01	92,58	3,07	ELS
HIP.11	G+Q+0,6*V145	1	102,31	4,93	102,31	3,77	ELS
	G+Q+0,6*V145	2	138,72	4,93	138,72	3,77	ELS
	G+Q+0,6*V145	3	148,72	4,93	148,72	3,77	ELS
HIP.12	G+Q+0,6*V146	1	102,85	4,86	102,85	3,71	ELS
	G+Q+0,6*V146	2	138,98	4,86	138,98	3,71	ELS
	G+Q+0,6*V146	3	148,32	4,86	148,32	3,71	ELS
HIP.13	G+Q+0,6*V147	1	105,37	4,65	105,37	3,55	ELS
	G+Q+0,6*V147	2	133,04	4,65	133,04	3,55	ELS
	G+Q+0,6*V147	3	150,42	4,65	150,42	3,55	ELS
HIP.14	G+Q+0,6*V148	1	104,83	4,72	104,83	3,61	ELS
	G+Q+0,6*V148	2	132,77	4,72	132,77	3,61	ELS
	G+Q+0,6*V148	3	150,81	4,72	150,81	3,61	ELS
HIP.15	G+Q+0,6*V149	1	76,87	8,57	76,87	6,55	ELS
	G+Q+0,6*V149	2	132,49	8,55	132,49	6,53	ELS
	G+Q+0,6*V149	3	166,08	8,57	166,08	6,55	ELS
HIP.16	G+Q+0,6*V150	1	70,87	9,44	70,87	7,22	ELS
	G+Q+0,6*V150	2	129,36	9,44	129,36	7,22	ELS
	G+Q+0,6*V150	3	170,52	9,44	170,52	7,22	ELS
HIP.17	G+Q+0,6*V151	1	130,81	1,20	130,81	0,92	ELS
	G+Q+0,6*V151	2	139,27	1,21	139,27	0,92	ELS
	G+Q+0,6*V151	3	133,06	1,18	133,06	0,90	ELS
HIP.18	G+Q+0,6*V152	1	136,81	1,08	136,81	0,83	ELS
	G+Q+0,6*V152	2	142,39	1,08	142,39	0,83	ELS
	G+Q+0,6*V152	3	128,61	1,08	128,61	0,83	ELS
HIP.19	G+V1+0,7*Q	1	96,64	4,85	96,64	3,71	ELS
	G+V1+0,7*Q	2	134,61	4,85	134,61	3,71	ELS
	G+V1+0,7*Q	3	141,53	4,85	141,53	3,71	ELS
HIP.20	G+V2+0,7*Q	1	97,52	4,73	97,52	3,62	ELS
	G+V2+0,7*Q	2	135,05	4,73	135,05	3,62	ELS
	G+V2+0,7*Q	3	140,87	4,73	140,87	3,62	ELS
HIP.21	G+V3+0,7*Q	1	101,72	4,37	101,72	3,34	ELS
	G+V3+0,7*Q	2	125,15	4,37	125,15	3,34	ELS
	G+V3+0,7*Q	3	144,37	4,37	144,37	3,34	ELS
HIP.22	G+V4+0,7*Q	1	100,84	4,51	100,84	3,45	ELS
	G+V4+0,7*Q	2	124,70	4,51	124,70	3,45	ELS
	G+V4+0,7*Q	3	145,03	4,51	145,03	3,45	ELS
HIP.23	G+V5+0,7*Q	1	54,22	10,90	54,22	8,34	ELS
	G+V5+0,7*Q	2	124,23	10,87	124,23	8,31	ELS
	G+V5+0,7*Q	3	170,47	10,91	170,47	8,34	ELS
HIP.24	G+V6+0,7*Q	1	44,23	12,37	44,23	9,46	ELS
	G+V6+0,7*Q	2	119,02	12,37	119,02	9,46	ELS
	G+V6+0,7*Q	3	177,88	12,37	177,88	9,46	ELS
HIP.25	G+V7+0,7*Q	1	144,14	2,03	144,14	1,56	ELS
	G+V7+0,7*Q	2	135,53	1,99	135,53	1,52	ELS
	G+V7+0,7*Q	3	115,44	2,02	115,44	1,54	ELS
HIP.26	G+V8+0,7*Q	1	154,13	3,59	154,13	2,74	ELS
	G+V8+0,7*Q	2	140,74	3,59	140,74	2,74	ELS
	G+V8+0,7*Q	3	108,02	3,59	108,02	2,74	ELS
HIP.27	G+Sx	1	104,34	1,60	104,34	1,22	ELU

	G+Sx	2	109,48	1,63	109,48	1,24	ELU
	G+Sx	3	125,06	1,60	125,06	1,22	ELU
HIP.28	G-Sx	1	72,26	4,02	72,26	3,07	ELU
	G-Sx	2	122,28	4,00	122,28	3,06	ELU
	G-Sx	3	129,96	4,03	129,96	3,08	ELU
HIP.29	G+Sy	1	110,96	0,85	110,96	0,65	ELU
	G+Sy	2	112,70	0,88	112,70	0,67	ELU
	G+Sy	3	119,31	0,86	119,31	0,65	ELU
HIP.30	G-Sy	1	65,65	4,65	65,65	3,55	ELU
	G-Sy	2	119,06	4,63	119,06	3,54	ELU
	G-Sy	3	135,71	4,66	135,71	3,56	ELU
HIP.31	G+Sx+0,3*Sy	1	111,14	1,13	111,14	0,87	ELU
	G+Sx+0,3*Sy	2	108,52	1,18	108,52	0,90	ELU
	G+Sx+0,3*Sy	3	122,60	1,15	122,60	0,88	ELU
HIP.32	G+Sx-0,3*Sy	1	97,55	2,12	97,55	1,62	ELU
	G+Sx-0,3*Sy	2	110,43	2,14	110,43	1,63	ELU
	G+Sx-0,3*Sy	3	127,52	2,12	127,52	1,62	ELU
HIP.33	G-Sx+0,3*Sy	1	79,06	3,44	79,06	2,63	ELU
	G-Sx+0,3*Sy	2	121,33	3,42	121,33	2,62	ELU
	G-Sx+0,3*Sy	3	127,50	3,45	127,50	2,64	ELU
HIP.34	G-Sx-0,3*Sy	1	65,47	4,60	65,47	3,52	ELU
	G-Sx-0,3*Sy	2	123,24	4,57	123,24	3,50	ELU
	G-Sx-0,3*Sy	3	132,43	4,62	132,43	3,53	ELU
HIP.35	G+Sy+0,3*Sx	1	115,77	0,63	115,77	0,48	ELU
	G+Sy+0,3*Sx	2	110,78	0,67	110,78	0,51	ELU
	G+Sy+0,3*Sx	3	118,57	0,65	118,57	0,50	ELU
HIP.36	G+Sy-0,3*Sx	1	106,15	1,19	106,15	0,91	ELU
	G+Sy-0,3*Sx	2	114,62	1,20	114,62	0,92	ELU
	G+Sy-0,3*Sx	3	120,04	1,18	120,04	0,90	ELU
HIP.37	G-Sy+0,3*Sx	1	70,46	4,27	70,46	3,26	ELU
	G-Sy+0,3*Sx	2	117,14	4,25	117,14	3,25	ELU
	G-Sy+0,3*Sx	3	134,98	4,27	134,98	3,27	ELU
HIP.38	G-Sy-0,3*Sx	1	60,83	5,04	60,83	3,85	ELU
	G-Sy-0,3*Sx	2	120,98	5,01	120,98	3,83	ELU
	G-Sy-0,3*Sx	3	136,45	5,05	136,45	3,86	ELU
HIP.39	G+Sx+0,3*Q	1	109,01	1,72	109,01	1,32	ELU
	G+Sx+0,3*Q	2	115,47	1,76	115,47	1,34	ELU
	G+Sx+0,3*Q	3	131,67	1,73	131,67	1,32	ELU
HIP.40	G-Sx+0,3*Q	1	76,92	4,16	76,92	3,18	ELU
	G-Sx+0,3*Q	2	128,28	4,13	128,28	3,16	ELU
	G-Sx+0,3*Q	3	136,58	4,17	136,58	3,19	ELU
HIP.41	G+Sy+0,3*Q	1	115,62	0,98	115,62	0,75	ELU
	G+Sy+0,3*Q	2	118,70	1,01	118,70	0,77	ELU
	G+Sy+0,3*Q	3	125,92	0,99	125,92	0,75	ELU
HIP.42	G-Sy+0,3*Q	1	70,31	4,79	70,31	3,66	ELU
	G-Sy+0,3*Q	2	125,06	4,76	125,06	3,64	ELU
	G-Sy+0,3*Q	3	142,33	4,80	142,33	3,67	ELU
HIP.43	G+Sx+0,3*Sy+0,3*Q	1	115,80	1,25	115,80	0,95	ELU
	G+Sx+0,3*Sy+0,3*Q	2	114,52	1,29	114,52	0,99	ELU
	G+Sx+0,3*Sy+0,3*Q	3	129,21	1,26	129,21	0,97	ELU
HIP.44	G+Sx-0,3*Sy+0,3*Q	1	102,21	2,25	102,21	1,72	ELU
	G+Sx-0,3*Sy+0,3*Q	2	116,43	2,27	116,43	1,74	ELU
	G+Sx-0,3*Sy+0,3*Q	3	134,13	2,25	134,13	1,72	ELU
HIP.45	G-Sx+0,3*Sy+0,3*Q	1	83,72	3,57	83,72	2,73	ELU
	G-Sx+0,3*Sy+0,3*Q	2	127,33	3,56	127,33	2,72	ELU
	G-Sx+0,3*Sy+0,3*Q	3	134,12	3,58	134,12	2,74	ELU
HIP.46	G-Sx-0,3*Sy+0,3*Q	1	70,13	4,74	70,13	3,62	ELU
	G-Sx-0,3*Sy+0,3*Q	2	129,24	4,71	129,24	3,60	ELU
	G-Sx-0,3*Sy+0,3*Q	3	139,04	4,75	139,04	3,63	ELU
HIP.47	G+Sy+0,3*Sx+0,3*Q	1	120,44	0,73	120,44	0,56	ELU
	G+Sy+0,3*Sx+0,3*Q	2	116,78	0,77	116,78	0,59	ELU
	G+Sy+0,3*Sx+0,3*Q	3	125,19	0,75	125,19	0,57	ELU
HIP.48	G+Sy-0,3*Sx+0,3*Q	1	110,81	1,32	110,81	1,01	ELU
	G+Sy-0,3*Sx+0,3*Q	2	120,62	1,34	120,62	1,02	ELU
	G+Sy-0,3*Sx+0,3*Q	3	126,66	1,32	126,66	1,01	ELU
HIP.49	G-Sy+0,3*Sx+0,3*Q	1	75,12	4,40	75,12	3,37	ELU
	G-Sy+0,3*Sx+0,3*Q	2	123,14	4,39	123,14	3,35	ELU
	G-Sy+0,3*Sx+0,3*Q	3	141,59	4,41	141,59	3,37	ELU
HIP.50	G-Sy-0,3*Sx+0,3*Q	1	65,49	5,17	65,49	3,95	ELU
	G-Sy-0,3*Sx+0,3*Q	2	126,98	5,14	126,98	3,93	ELU
	G-Sy-0,3*Sx+0,3*Q	3	143,07	5,19	143,07	3,97	ELU
HIP.51	G+BOMB	1	88,22	2,61	88,22	1,99	ELU
	G+BOMB	2	114,68	2,61	114,68	1,99	ELU
	G+BOMB	3	125,51	2,61	125,51	1,99	ELU
HIP.52	G+BOMB+0,5*Q	1	95,99	2,84	95,99	2,17	ELU
	G+BOMB+0,5*Q	2	124,68	2,84	124,68	2,17	ELU
	G+BOMB+0,5*Q	3	136,54	2,84	136,54	2,17	ELU
HIP.53	G+BOMB+0,5*V145	1	86,95	2,70	86,95	2,06	ELU
	G+BOMB+0,5*V145	2	117,05	2,70	117,05	2,06	ELU
	G+BOMB+0,5*V145	3	124,80	2,70	124,80	2,06	ELU
HIP.54	G+BOMB+0,5*V146	1	87,39	2,66	87,39	2,03	ELU
	G+BOMB+0,5*V146	2	117,27	2,66	117,27	2,03	ELU
	G+BOMB+0,5*V146	3	124,47	2,66	124,47	2,03	ELU
HIP.55	G+BOMB+0,5*V147	1	89,49	2,53	89,49	1,94	ELU
	G+BOMB+0,5*V147	2	112,32	2,53	112,32	1,94	ELU
	G+BOMB+0,5*V147	3	126,22	2,53	126,22	1,94	ELU
HIP.56	G+BOMB+0,5*V148	1	89,05	2,58	89,05	1,97	ELU
	G+BOMB+0,5*V148	2	112,10	2,58	112,10	1,97	ELU
	G+BOMB+0,5*V148	3	126,55	2,58	126,55	1,97	ELU
HIP.57	G+BOMB+0,5*V149	1	65,74	4,71	65,74	3,60	ELU
	G+BOMB+0,5*V149	2	111,86	4,70	111,86	3,59	ELU

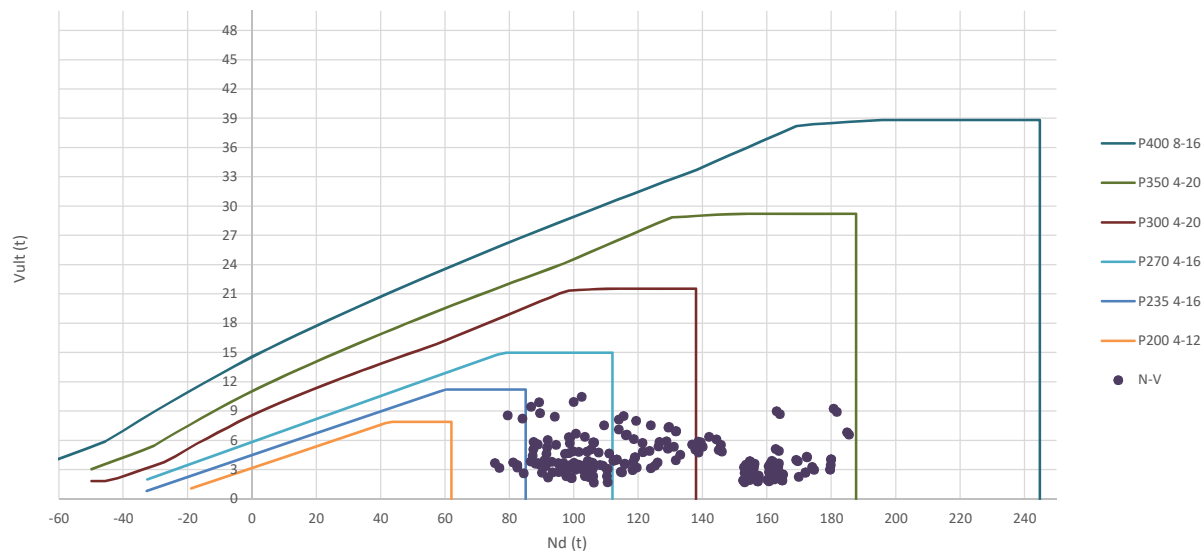
	G+BOMB+0,5*V149	3	139,27	4,72	139,27	3,61	ELU
HIP.58	G+BOMB+0,5*V150	1	60,75	5,20	60,75	3,97	ELU
	G+BOMB+0,5*V150	2	109,25	5,20	109,25	3,97	ELU
	G+BOMB+0,5*V150	3	142,97	5,20	142,97	3,97	ELU
HIP.59	G+BOMB+0,5*V151	1	110,70	0,64	110,70	0,49	ELU
	G+BOMB+0,5*V151	2	117,51	0,65	117,51	0,49	ELU
	G+BOMB+0,5*V151	3	111,75	0,63	111,75	0,48	ELU
HIP.60	G+BOMB+0,5*V152	1	115,70	0,62	115,70	0,47	ELU
	G+BOMB+0,5*V152	2	120,11	0,62	120,11	0,47	ELU
	G+BOMB+0,5*V152	3	108,04	0,62	108,04	0,47	ELU
HIP.61	G+BOMB+0,5*V1+0,3*Q	1	91,61	2,83	91,61	2,17	ELU
	G+BOMB+0,5*V1+0,3*Q	2	123,05	2,83	123,05	2,17	ELU
	G+BOMB+0,5*V1+0,3*Q	3	131,42	2,83	131,42	2,17	ELU
HIP.62	G+BOMB+0,5*V2+0,3*Q	1	92,06	2,79	92,06	2,14	ELU
	G+BOMB+0,5*V2+0,3*Q	2	123,27	2,79	123,27	2,14	ELU
	G+BOMB+0,5*V2+0,3*Q	3	131,09	2,79	131,09	2,14	ELU
HIP.63	G+BOMB+0,5*V3+0,3*Q	1	94,16	2,67	94,16	2,04	ELU
	G+BOMB+0,5*V3+0,3*Q	2	118,32	2,67	118,32	2,04	ELU
	G+BOMB+0,5*V3+0,3*Q	3	132,83	2,67	132,83	2,04	ELU
HIP.64	G+BOMB+0,5*V4+0,3*Q	1	93,71	2,72	93,71	2,08	ELU
	G+BOMB+0,5*V4+0,3*Q	2	118,10	2,72	118,10	2,08	ELU
	G+BOMB+0,5*V4+0,3*Q	3	133,16	2,72	133,16	2,08	ELU
HIP.65	G+BOMB+0,5*V5+0,3*Q	1	70,41	4,85	70,41	3,71	ELU
	G+BOMB+0,5*V5+0,3*Q	2	117,86	4,84	117,86	3,70	ELU
	G+BOMB+0,5*V5+0,3*Q	3	145,88	4,85	145,88	3,71	ELU
HIP.66	G+BOMB+0,5*V6+0,3*Q	1	65,41	5,33	65,41	4,08	ELU
	G+BOMB+0,5*V6+0,3*Q	2	115,25	5,33	115,25	4,08	ELU
	G+BOMB+0,5*V6+0,3*Q	3	149,59	5,33	149,59	4,08	ELU
HIP.67	G+BOMB+0,5*V7+0,3*Q	1	115,36	0,76	115,36	0,58	ELU
	G+BOMB+0,5*V7+0,3*Q	2	123,51	0,76	123,51	0,58	ELU
	G+BOMB+0,5*V7+0,3*Q	3	118,37	0,75	118,37	0,57	ELU
HIP.68	G+BOMB+0,5*V8+0,3*Q	1	120,36	0,64	120,36	0,49	ELU
	G+BOMB+0,5*V8+0,3*Q	2	126,11	0,64	126,11	0,49	ELU
	G+BOMB+0,5*V8+0,3*Q	3	114,66	0,64	114,66	0,49	ELU

Seccion (mm.)	e _x (m.)	e _y (m.)	Henc. (m.)
350	2,00	2,00	1,10
COMPROBACIÓN (compresión)	CUMPLE		
MAX. AXIL	185,45	(TON)	
MIN. AXIL	0,00	(TON)	
COMPROBACIÓN (tracción)	CUMPLE		
	L.1(m)	0,00	
	L.2(m)	0,00	
	L.Influenc.(m)	0,00	
	CERRAM.(ton.)	0,00	
	αx (inclinación)	0,00	
	αy (inclinación)	0,00	

Curva de resistencia axil-momento (en cualquier dirección)



Curva de resistencia axil-cortante



PILAR: P20-P21



COMPROBACIÓN ESFUERZOS:

P18147P Parcela R20

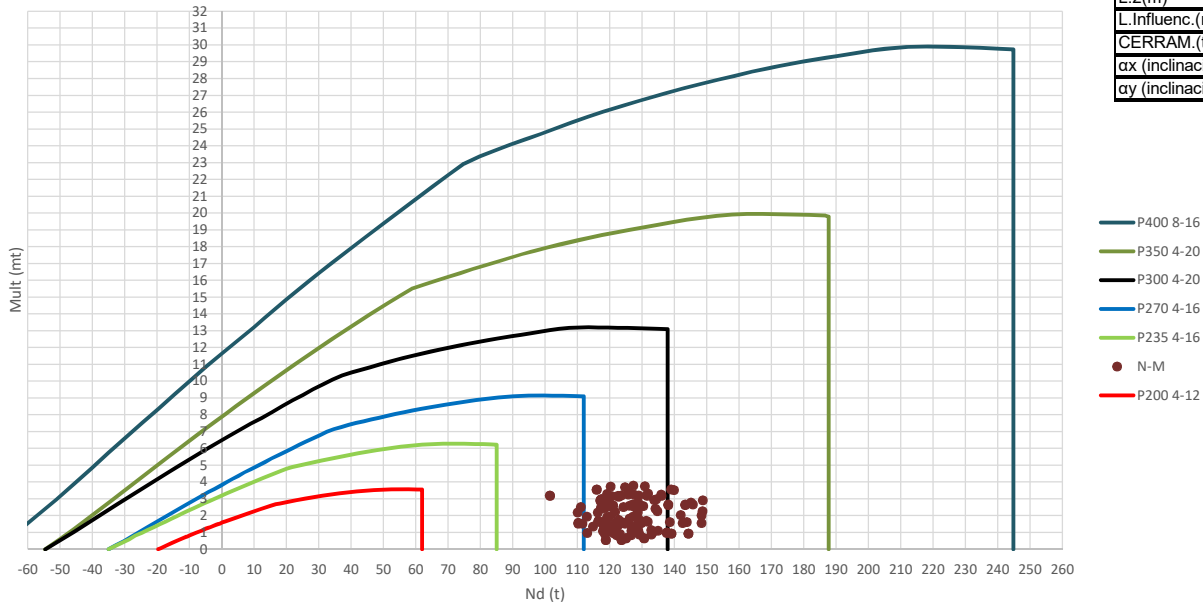
	LC: COMB.	nº PILOTE	N _{pilote} (T) a ras de suelo	M ult. Pilote (mT)	N _{pilote} (T) a ras de suelo	V ult.-Pilote (T)	ESTADO LIMITE
HIP.1	G	1	96,69	4,82	96,69	3,69	ELS
	G	2	107,72	6,21	107,72	4,75	ELS
	G	3	154,47	3,77	154,47	2,88	ELS
HIP.2	G+Q	1	110,99	6,08	110,99	4,65	ELS
	G+Q	2	126,58	7,64	126,58	5,84	ELS
	G+Q	3	179,75	4,54	179,75	3,47	ELS
HIP.3	G+V153	1	104,58	2,99	104,58	2,28	ELS
	G+V153	2	99,26	4,34	99,26	3,32	ELS
	G+V153	3	154,20	3,20	154,20	2,44	ELS
HIP.4	G+V154	1	104,96	2,92	104,96	2,24	ELS
	G+V154	2	99,05	4,27	99,05	3,26	ELS
	G+V154	3	154,28	3,16	154,28	2,42	ELS
HIP.5	G+V155	1	88,81	7,29	88,81	5,57	ELS
	G+V155	2	116,17	8,56	116,17	6,54	ELS
	G+V155	3	154,75	5,01	154,75	3,83	ELS
HIP.6	G+V156	1	88,42	7,38	88,42	5,64	ELS
	G+V156	2	116,39	8,65	116,39	6,61	ELS
	G+V156	3	154,67	5,07	154,67	3,88	ELS
HIP.7	G+V157	1	84,04	10,78	84,04	8,24	ELS
	G+V157	2	86,66	12,35	86,66	9,44	ELS
	G+V157	3	163,97	11,38	163,97	8,70	ELS
HIP.8	G+V158	1	79,46	11,19	79,46	8,56	ELS
	G+V158	2	89,20	12,97	89,20	9,91	ELS
	G+V158	3	162,98	11,75	162,98	8,99	ELS
HIP.9	G+V159	1	109,34	9,86	109,34	7,54	ELS
	G+V159	2	128,77	7,72	128,77	5,90	ELS
	G+V159	3	144,98	6,56	144,98	5,01	ELS
HIP.10	G+V160	1	113,93	9,32	113,93	7,12	ELS
	G+V160	2	126,23	7,05	126,23	5,39	ELS
	G+V160	3	145,97	6,38	145,97	4,88	ELS
HIP.11	G+Q+0,6*V153	1	115,72	4,72	115,72	3,61	ELS
	G+Q+0,6*V153	2	121,51	6,34	121,51	4,85	ELS
	G+Q+0,6*V153	3	179,58	3,97	179,58	3,03	ELS
HIP.12	G+Q+0,6*V154	1	115,95	4,67	115,95	3,57	ELS
	G+Q+0,6*V154	2	121,38	6,29	121,38	4,81	ELS
	G+Q+0,6*V154	3	179,63	3,94	179,63	3,01	ELS
HIP.13	G+Q+0,6*V155	1	106,26	7,57	106,26	5,78	ELS
	G+Q+0,6*V155	2	131,66	9,05	131,66	6,92	ELS
	G+Q+0,6*V155	3	179,92	5,29	179,92	4,04	ELS
HIP.14	G+Q+0,6*V156	1	106,03	7,62	106,03	5,82	ELS
	G+Q+0,6*V156	2	131,78	9,10	131,78	6,96	ELS
	G+Q+0,6*V156	3	179,87	5,32	179,87	4,07	ELS
HIP.15	G+Q+0,6*V157	1	103,40	8,34	103,40	6,37	ELS
	G+Q+0,6*V157	2	113,95	10,64	113,95	8,14	ELS
	G+Q+0,6*V157	3	185,45	8,65	185,45	6,61	ELS
HIP.16	G+Q+0,6*V158	1	100,65	8,76	100,65	6,70	ELS
	G+Q+0,6*V158	2	115,47	11,13	115,47	8,51	ELS
	G+Q+0,6*V158	3	184,85	8,95	184,85	6,84	ELS
HIP.17	G+Q+0,6*V159	1	118,58	8,03	118,58	6,14	ELS
	G+Q+0,6*V159	2	139,21	7,21	139,21	5,51	ELS
	G+Q+0,6*V159	3	174,05	4,29	174,05	3,28	ELS
HIP.18	G+Q+0,6*V160	1	121,33	7,53	121,33	5,76	ELS
	G+Q+0,6*V160	2	137,69	6,59	137,69	5,04	ELS
	G+Q+0,6*V160	3	174,65	3,92	174,65	2,99	ELS
HIP.19	G+V1+0,7*Q	1	114,58	3,64	114,58	2,78	ELS
	G+V1+0,7*Q	2	112,47	5,19	112,47	3,97	ELS
	G+V1+0,7*Q	3	171,89	3,56	171,89	2,72	ELS
HIP.20	G+V2+0,7*Q	1	114,97	3,56	114,97	2,72	ELS
	G+V2+0,7*Q	2	112,25	5,11	112,25	3,91	ELS
	G+V2+0,7*Q	3	171,97	3,51	171,97	2,69	ELS
HIP.21	G+V3+0,7*Q	1	98,82	8,20	98,82	6,27	ELS
	G+V3+0,7*Q	2	129,38	9,59	129,38	7,33	ELS
	G+V3+0,7*Q	3	172,44	5,59	172,44	4,28	ELS
HIP.22	G+V4+0,7*Q	1	98,43	8,29	98,43	6,34	ELS
	G+V4+0,7*Q	2	129,59	9,68	129,59	7,40	ELS
	G+V4+0,7*Q	3	172,36	5,66	172,36	4,33	ELS
HIP.23	G+V5+0,7*Q	1	94,05	11,03	94,05	8,43	ELS
	G+V5+0,7*Q	2	99,87	13,00	99,87	9,94	ELS
	G+V5+0,7*Q	3	181,66	11,68	181,66	8,93	ELS
HIP.24	G+V6+0,7*Q	1	89,47	11,52	89,47	8,81	ELS
	G+V6+0,7*Q	2	102,40	13,67	102,40	10,45	ELS
	G+V6+0,7*Q	3	180,67	12,09	180,67	9,24	ELS
HIP.25	G+V7+0,7*Q	1	119,35	10,50	119,35	8,03	ELS
	G+V7+0,7*Q	2	141,98	8,35	141,98	6,38	ELS
	G+V7+0,7*Q	3	162,67	6,69	162,67	5,11	ELS
HIP.26	G+V8+0,7*Q	1	123,93	9,89	123,93	7,56	ELS
	G+V8+0,7*Q	2	139,44	7,59	139,44	5,81	ELS
	G+V8+0,7*Q	3	163,66	6,43	163,66	4,92	ELS
HIP.27	G+Sx	1	87,37	6,67	87,37	5,10	ELU

	G+Sx	2	131,06	7,02	131,06	5,37	ELU
	G+Sx	3	153,87	4,08	153,87	3,12	ELU
HIP.28	G-Sx	1	106,01	3,07	106,01	2,35	ELU
	G-Sx	2	84,37	3,44	84,37	2,63	ELU
	G-Sx	3	155,08	3,33	155,08	2,55	ELU
HIP.29	G+Sy	1	97,21	6,05	97,21	4,62	ELU
	G+Sy	2	133,00	5,94	133,00	4,54	ELU
	G+Sy	3	153,04	3,47	153,04	2,65	ELU
HIP.30	G-Sy	1	96,17	3,89	96,17	2,97	ELU
	G-Sy	2	82,43	4,57	82,43	3,49	ELU
	G-Sy	3	155,90	4,25	155,90	3,25	ELU
HIP.31	G+Sx+0,3*Sy	1	87,53	7,63	87,53	5,83	ELU
	G+Sx+0,3*Sy	2	138,64	7,69	138,64	5,88	ELU
	G+Sx+0,3*Sy	3	153,44	4,58	153,44	3,50	ELU
HIP.32	G+Sx-0,3*Sy	1	87,22	5,78	87,22	4,42	ELU
	G+Sx-0,3*Sy	2	123,47	6,44	123,47	4,92	ELU
	G+Sx-0,3*Sy	3	154,30	3,72	154,30	2,84	ELU
HIP.33	G-Sx+0,3*Sy	1	106,17	2,19	106,17	1,68	ELU
	G-Sx+0,3*Sy	2	91,96	2,88	91,96	2,20	ELU
	G-Sx+0,3*Sy	3	154,65	2,55	154,65	1,95	ELU
HIP.34	G-Sx-0,3*Sy	1	105,85	4,10	105,85	3,13	ELU
	G-Sx-0,3*Sy	2	76,79	4,17	76,79	3,18	ELU
	G-Sx-0,3*Sy	3	155,51	4,15	155,51	3,18	ELU
HIP.35	G+Sy+0,3*Sx	1	94,42	7,25	94,42	5,54	ELU
	G+Sy+0,3*Sx	2	140,01	6,99	140,01	5,34	ELU
	G+Sy+0,3*Sx	3	152,86	4,25	152,86	3,25	ELU
HIP.36	G+Sy-0,3*Sx	1	100,01	4,86	100,01	3,71	ELU
	G+Sy-0,3*Sx	2	126,00	4,92	126,00	3,76	ELU
	G+Sy-0,3*Sx	3	153,23	2,73	153,23	2,08	ELU
HIP.37	G-Sy+0,3*Sx	1	93,38	3,56	93,38	2,72	ELU
	G-Sy+0,3*Sx	2	89,43	4,59	89,43	3,51	ELU
	G-Sy+0,3*Sx	3	155,72	3,88	155,72	2,97	ELU
HIP.38	G-Sy-0,3*Sx	1	98,97	4,54	98,97	3,47	ELU
	G-Sy-0,3*Sx	2	75,43	4,81	75,43	3,68	ELU
	G-Sy-0,3*Sx	3	156,09	4,73	156,09	3,62	ELU
HIP.39	G+Sx+0,3*Q	1	91,66	6,93	91,66	5,29	ELU
	G+Sx+0,3*Q	2	136,72	7,31	136,72	5,59	ELU
	G+Sx+0,3*Q	3	161,45	4,24	161,45	3,24	ELU
HIP.40	G-Sx+0,3*Q	1	110,30	3,04	110,30	2,32	ELU
	G-Sx+0,3*Q	2	90,03	3,54	90,03	2,70	ELU
	G-Sx+0,3*Q	3	162,66	3,36	162,66	2,57	ELU
HIP.41	G+Sy+0,3*Q	1	101,50	6,30	101,50	4,81	ELU
	G+Sy+0,3*Q	2	138,66	6,22	138,66	4,76	ELU
	G+Sy+0,3*Q	3	160,63	3,62	160,63	2,77	ELU
HIP.42	G-Sy+0,3*Q	1	100,46	3,92	100,46	3,00	ELU
	G-Sy+0,3*Q	2	88,09	4,72	88,09	3,61	ELU
	G-Sy+0,3*Q	3	163,49	4,31	163,49	3,29	ELU
HIP.43	G+Sx+0,3*Sy+0,3*Q	1	91,82	7,89	91,82	6,03	ELU
	G+Sx+0,3*Sy+0,3*Q	2	144,30	7,98	144,30	6,10	ELU
	G+Sx+0,3*Sy+0,3*Q	3	161,02	4,74	161,02	3,62	ELU
HIP.44	G+Sx-0,3*Sy+0,3*Q	1	91,51	6,04	91,51	4,62	ELU
	G+Sx-0,3*Sy+0,3*Q	2	129,13	6,73	129,13	5,15	ELU
	G+Sx-0,3*Sy+0,3*Q	3	161,88	3,89	161,88	2,97	ELU
HIP.45	G-Sx+0,3*Sy+0,3*Q	1	110,45	2,25	110,45	1,72	ELU
	G-Sx+0,3*Sy+0,3*Q	2	97,62	3,04	97,62	2,33	ELU
	G-Sx+0,3*Sy+0,3*Q	3	162,23	2,61	162,23	1,99	ELU
HIP.46	G-Sx-0,3*Sy+0,3*Q	1	110,14	4,02	110,14	3,07	ELU
	G-Sx-0,3*Sy+0,3*Q	2	82,45	4,21	82,45	3,22	ELU
	G-Sx-0,3*Sy+0,3*Q	3	163,09	4,17	163,09	3,19	ELU
HIP.47	G+Sy+0,3*Sx+0,3*Q	1	98,71	7,49	98,71	5,73	ELU
	G+Sy+0,3*Sx+0,3*Q	2	145,67	7,27	145,67	5,55	ELU
	G+Sy+0,3*Sx+0,3*Q	3	160,44	4,39	160,44	3,36	ELU
HIP.48	G+Sy-0,3*Sx+0,3*Q	1	104,30	5,11	104,30	3,91	ELU
	G+Sy-0,3*Sx+0,3*Q	2	131,66	5,21	131,66	3,98	ELU
	G+Sy-0,3*Sx+0,3*Q	3	160,81	2,88	160,81	2,20	ELU
HIP.49	G-Sy+0,3*Sx+0,3*Q	1	97,67	3,67	97,67	2,81	ELU
	G-Sy+0,3*Sx+0,3*Q	2	95,09	4,79	95,09	3,66	ELU
	G-Sy+0,3*Sx+0,3*Q	3	163,31	3,97	163,31	3,03	ELU
HIP.50	G-Sy-0,3*Sx+0,3*Q	1	103,26	4,50	103,26	3,44	ELU
	G-Sy-0,3*Sx+0,3*Q	2	81,09	4,91	81,09	3,75	ELU
	G-Sy-0,3*Sx+0,3*Q	3	163,67	4,76	163,67	3,64	ELU
HIP.51	G+BOMB	1	95,21	3,59	95,21	2,75	ELU
	G+BOMB	2	109,00	4,49	109,00	3,43	ELU
	G+BOMB	3	157,24	2,70	157,24	2,07	ELU
HIP.52	G+BOMB+0,5*Q	1	102,36	4,02	102,36	3,07	ELU
	G+BOMB+0,5*Q	2	118,43	4,97	118,43	3,80	ELU
	G+BOMB+0,5*Q	3	169,87	2,97	169,87	2,27	ELU
HIP.53	G+BOMB+0,5*V153	1	99,15	2,84	99,15	2,17	ELU
	G+BOMB+0,5*V153	2	104,77	3,76	104,77	2,88	ELU
	G+BOMB+0,5*V153	3	157,10	2,37	157,10	1,82	ELU
HIP.54	G+BOMB+0,5*V154	1	99,35	2,81	99,35	2,15	ELU
	G+BOMB+0,5*V154	2	104,66	3,73	104,66	2,86	ELU
	G+BOMB+0,5*V154	3	157,14	2,36	157,14	1,80	ELU
HIP.55	G+BOMB+0,5*V155	1	91,27	4,42	91,27	3,38	ELU
	G+BOMB+0,5*V155	2	113,22	5,27	113,22	4,03	ELU
	G+BOMB+0,5*V155	3	157,37	3,12	157,37	2,38	ELU
HIP.56	G+BOMB+0,5*V156	1	91,08	4,45	91,08	3,40	ELU
	G+BOMB+0,5*V156	2	113,33	5,31	113,33	4,06	ELU
	G+BOMB+0,5*V156	3	157,33	3,14	157,33	2,40	ELU
HIP.57	G+BOMB+0,5*V157	1	88,88	4,81	88,88	3,67	ELU
	G+BOMB+0,5*V157	2	98,47	6,13	98,47	4,69	ELU

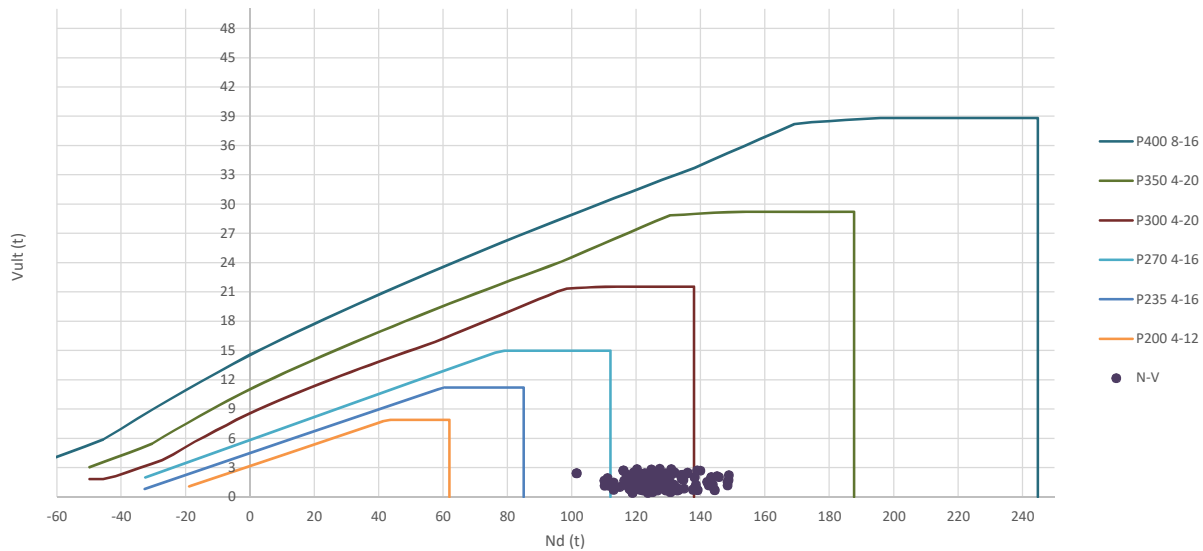
	G+BOMB+0,5*V157	3	161,98	4,95	161,98	3,78	ELU
HIP.58	G+BOMB+0,5*V158	1	86,59	5,05	86,59	3,86	ELU
	G+BOMB+0,5*V158	2	99,74	6,40	99,74	4,90	ELU
	G+BOMB+0,5*V158	3	161,49	5,12	161,49	3,91	ELU
HIP.59	G+BOMB+0,5*V159	1	101,54	4,61	101,54	3,53	ELU
	G+BOMB+0,5*V159	2	119,52	4,22	119,52	3,22	ELU
	G+BOMB+0,5*V159	3	152,49	2,48	152,49	1,89	ELU
HIP.60	G+BOMB+0,5*V160	1	103,83	4,33	103,83	3,31	ELU
	G+BOMB+0,5*V160	2	118,25	3,87	118,25	2,96	ELU
	G+BOMB+0,5*V160	3	152,98	2,26	152,98	1,73	ELU
HIP.61	G+BOMB+0,5*V1+0,3*Q	1	103,44	3,08	103,44	2,35	ELU
	G+BOMB+0,5*V1+0,3*Q	2	110,43	4,04	110,43	3,09	ELU
	G+BOMB+0,5*V1+0,3*Q	3	164,68	2,52	164,68	1,92	ELU
HIP.62	G+BOMB+0,5*V2+0,3*Q	1	103,64	3,05	103,64	2,33	ELU
	G+BOMB+0,5*V2+0,3*Q	2	110,32	4,01	110,32	3,07	ELU
	G+BOMB+0,5*V2+0,3*Q	3	164,72	2,50	164,72	1,91	ELU
HIP.63	G+BOMB+0,5*V3+0,3*Q	1	95,56	4,68	95,56	3,57	ELU
	G+BOMB+0,5*V3+0,3*Q	2	118,88	5,57	118,88	4,26	ELU
	G+BOMB+0,5*V3+0,3*Q	3	164,96	3,28	164,96	2,51	ELU
HIP.64	G+BOMB+0,5*V4+0,3*Q	1	95,36	4,70	95,36	3,60	ELU
	G+BOMB+0,5*V4+0,3*Q	2	118,99	5,60	118,99	4,28	ELU
	G+BOMB+0,5*V4+0,3*Q	3	164,91	3,31	164,91	2,53	ELU
HIP.65	G+BOMB+0,5*V5+0,3*Q	1	93,17	4,96	93,17	3,80	ELU
	G+BOMB+0,5*V5+0,3*Q	2	104,13	6,37	104,13	4,87	ELU
	G+BOMB+0,5*V5+0,3*Q	3	169,57	5,06	169,57	3,87	ELU
HIP.66	G+BOMB+0,5*V6+0,3*Q	1	90,88	5,22	90,88	3,99	ELU
	G+BOMB+0,5*V6+0,3*Q	2	105,40	6,65	105,40	5,08	ELU
	G+BOMB+0,5*V6+0,3*Q	3	169,07	5,24	169,07	4,00	ELU
HIP.67	G+BOMB+0,5*V7+0,3*Q	1	105,83	4,85	105,83	3,71	ELU
	G+BOMB+0,5*V7+0,3*Q	2	125,18	4,49	125,18	3,43	ELU
	G+BOMB+0,5*V7+0,3*Q	3	160,07	2,60	160,07	1,99	ELU
HIP.68	G+BOMB+0,5*V8+0,3*Q	1	108,12	4,56	108,12	3,49	ELU
	G+BOMB+0,5*V8+0,3*Q	2	123,91	4,14	123,91	3,16	ELU
	G+BOMB+0,5*V8+0,3*Q	3	160,57	2,37	160,57	1,81	ELU

Seccion (mm.)	e _x (m.)	e _y (m.)	Henc. (m.)
350	0,00	1,25	1,25
COMPROBACIÓN (compresión)	CUMPLE		
MAX. AXIL	148,76		(TON)
MIN. AXIL	0,00		(TON)
COMPROBACIÓN (tracción)	CUMPLE		
L.1(m)	0,00		
L.2(m)	0,00		
L.Influenc.(m)	0,00		
CERRAM.(ton.)	0,00		
αx (inclinación)	0,00		
αy (inclinación)	0,00		

Curva de resistencia axil-momento (en cualquier dirección)



Curva de resistencia axil-cortante



PILAR: P22



COMPROBACIÓN ESFUERZOS:

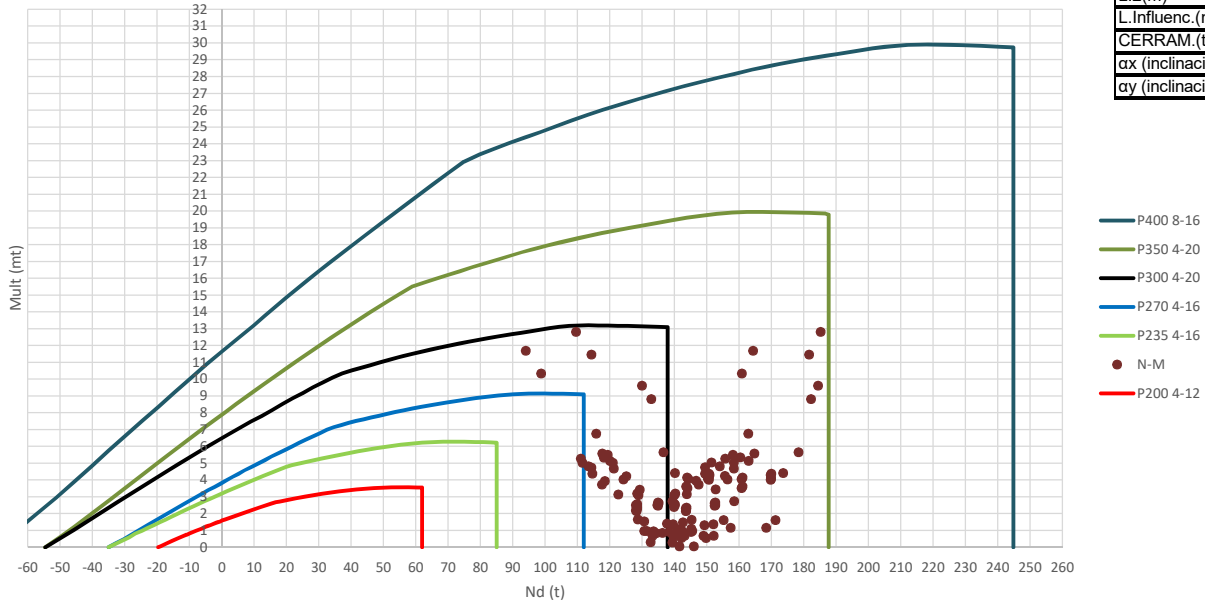
P18147P Parcela R20

	LC: COMB.	nº PILOTE	N _{pilote} (T) a ras de suelo	M ult. Pilote (mT)	N _{pilote} (T) a ras de suelo	V ult.-Pilote (T)	ESTADO LIMITE
HIP.1	G	1	117,83	1,09	117,83	0,84	ELS
	G	2	120,40	1,09	120,40	0,84	ELS
HIP.2	G+Q	1	138,54	1,63	138,54	1,25	ELS
	G+Q	2	143,80	1,63	143,80	1,25	ELS
HIP.3	G+V169	1	118,59	0,96	118,59	0,73	ELS
	G+V169	2	121,22	0,96	121,22	0,73	ELS
HIP.4	G+V170	1	118,59	1,02	118,59	0,78	ELS
	G+V170	2	121,29	1,02	121,29	0,78	ELS
HIP.5	G+V171	1	117,07	2,88	117,07	2,20	ELS
	G+V171	2	119,59	2,88	119,59	2,20	ELS
HIP.6	G+V172	1	117,07	2,94	117,07	2,25	ELS
	G+V172	2	119,51	2,94	119,51	2,25	ELS
HIP.7	G+V173	1	101,39	3,20	101,39	2,45	ELS
	G+V173	2	123,49	3,20	123,49	2,45	ELS
HIP.8	G+V174	1	101,51	3,18	101,51	2,43	ELS
	G+V174	2	122,52	3,18	122,52	2,43	ELS
HIP.9	G+V175	1	134,26	2,97	134,26	2,27	ELS
	G+V175	2	117,32	2,99	117,32	2,28	ELS
HIP.10	G+V176	1	134,14	2,41	134,14	1,84	ELS
	G+V176	2	118,29	2,41	118,29	1,84	ELS
HIP.11	G+Q+0,6*V169	1	139,00	0,93	139,00	0,71	ELS
	G+Q+0,6*V169	2	144,29	0,93	144,29	0,71	ELS
HIP.12	G+Q+0,6*V170	1	139,00	0,93	139,00	0,71	ELS
	G+Q+0,6*V170	2	144,33	0,93	144,33	0,71	ELS
HIP.13	G+Q+0,6*V171	1	138,08	2,62	138,08	2,01	ELS
	G+Q+0,6*V171	2	143,31	2,62	143,31	2,01	ELS
HIP.14	G+Q+0,6*V172	1	138,08	2,66	138,08	2,03	ELS
	G+Q+0,6*V172	2	143,27	2,66	143,27	2,03	ELS
HIP.15	G+Q+0,6*V173	1	128,68	2,68	128,68	2,05	ELS
	G+Q+0,6*V173	2	145,65	2,68	145,65	2,05	ELS
HIP.16	G+Q+0,6*V174	1	128,75	2,78	128,75	2,13	ELS
	G+Q+0,6*V174	2	145,07	2,78	145,07	2,13	ELS
HIP.17	G+Q+0,6*V175	1	148,40	2,03	148,40	1,55	ELS
	G+Q+0,6*V175	2	141,95	2,04	141,95	1,56	ELS
HIP.18	G+Q+0,6*V176	1	148,33	1,56	148,33	1,19	ELS
	G+Q+0,6*V176	2	142,53	1,56	142,53	1,19	ELS
HIP.19	G+V1+0,7*Q	1	133,09	0,97	133,09	0,74	ELS
	G+V1+0,7*Q	2	137,60	0,97	137,60	0,74	ELS
HIP.20	G+V2+0,7*Q	1	133,09	1,02	133,09	0,78	ELS
	G+V2+0,7*Q	2	137,67	1,02	137,67	0,78	ELS
HIP.21	G+V3+0,7*Q	1	131,56	3,19	131,56	2,44	ELS
	G+V3+0,7*Q	2	135,96	3,19	135,96	2,44	ELS
HIP.22	G+V4+0,7*Q	1	131,57	3,25	131,57	2,49	ELS
	G+V4+0,7*Q	2	135,89	3,25	135,89	2,49	ELS
HIP.23	G+V5+0,7*Q	1	115,89	3,54	115,89	2,70	ELS
	G+V5+0,7*Q	2	139,87	3,53	139,87	2,70	ELS
HIP.24	G+V6+0,7*Q	1	116,01	3,56	116,01	2,72	ELS
	G+V6+0,7*Q	2	138,90	3,56	138,90	2,72	ELS
HIP.25	G+V7+0,7*Q	1	148,76	2,91	148,76	2,22	ELS
	G+V7+0,7*Q	2	133,70	2,93	133,70	2,24	ELS
HIP.26	G+V8+0,7*Q	1	148,64	2,27	148,64	1,74	ELS
	G+V8+0,7*Q	2	134,67	2,27	134,67	1,74	ELS
HIP.27	G+Sx	1	122,75	3,13	122,75	2,40	ELU
	G+Sx	2	120,65	3,16	120,65	2,42	ELU
HIP.28	G-Sx	1	112,91	1,94	112,91	1,48	ELU
	G-Sx	2	120,16	1,97	120,16	1,50	ELU
HIP.29	G+Sy	1	124,15	2,51	124,15	1,92	ELU
	G+Sy	2	119,09	2,54	119,09	1,94	ELU
HIP.30	G-Sy	1	111,50	1,52	111,50	1,17	ELU
	G-Sy	2	121,72	1,55	121,72	1,18	ELU
HIP.31	G+Sx+0,3*Sy	1	124,65	3,69	124,65	2,82	ELU
	G+Sx+0,3*Sy	2	120,26	3,73	120,26	2,85	ELU
HIP.32	G+Sx-0,3*Sy	1	120,85	2,59	120,85	1,98	ELU
	G+Sx-0,3*Sy	2	121,04	2,61	121,04	2,00	ELU
HIP.33	G-Sx+0,3*Sy	1	114,80	1,36	114,80	1,04	ELU
	G-Sx+0,3*Sy	2	119,77	1,38	119,77	1,05	ELU
HIP.34	G-Sx-0,3*Sy	1	111,01	2,52	111,01	1,93	ELU
	G-Sx-0,3*Sy	2	120,55	2,56	120,55	1,96	ELU
HIP.35	G+Sy+0,3*Sx	1	125,63	3,26	125,63	2,49	ELU
	G+Sy+0,3*Sx	2	119,17	3,30	119,17	2,52	ELU
HIP.36	G+Sy-0,3*Sx	1	122,68	1,76	122,68	1,34	ELU
	G+Sy-0,3*Sx	2	119,02	1,78	119,02	1,36	ELU
HIP.37	G-Sy+0,3*Sx	1	112,97	0,97	112,97	0,74	ELU
	G-Sy+0,3*Sx	2	121,79	0,98	121,79	0,75	ELU
HIP.38	G-Sy-0,3*Sx	1	110,02	2,20	110,02	1,68	ELU
	G-Sy-0,3*Sx	2	121,64	2,23	121,64	1,71	ELU
HIP.39	G+Sx+0,3*Q	1	128,96	3,20	128,96	2,45	ELU
	G+Sx+0,3*Q	2	127,67	3,23	127,67	2,47	ELU
HIP.40	G-Sx+0,3*Q	1	119,12	1,91	119,12	1,46	ELU

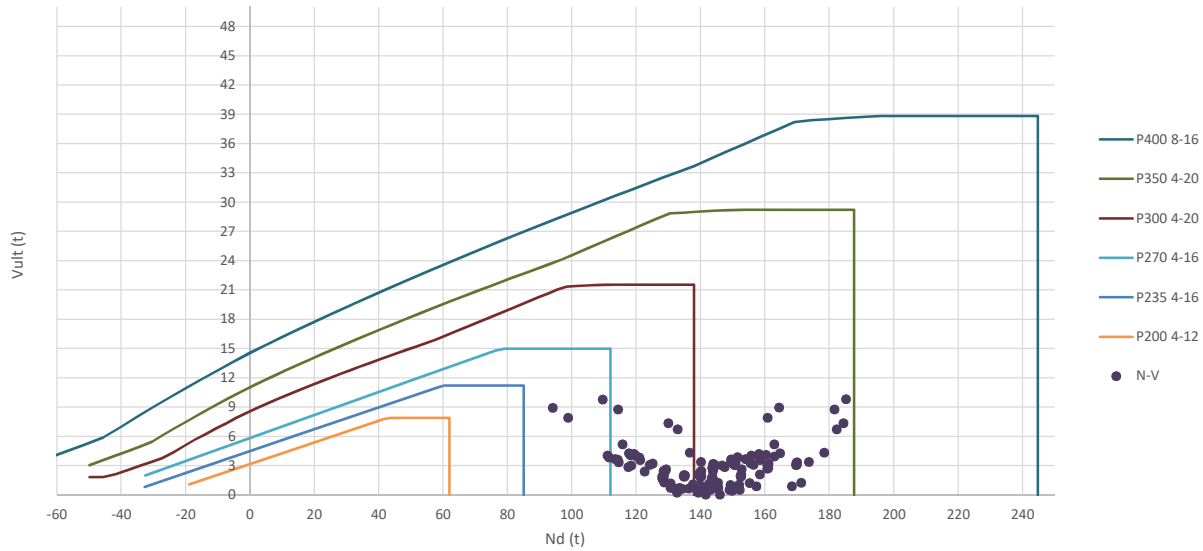
	G-Sx+0,3*Q	2	127,18	1,94	127,18	1,48	ELU
HIP.41	G+Sy+0,3*Q	1	130,37	2,57	130,37	1,96	ELU
	G+Sy+0,3*Q	2	126,11	2,60	126,11	1,99	ELU
HIP.42	G-Sy+0,3*Q	1	117,71	1,54	117,71	1,17	ELU
	G-Sy+0,3*Q	2	128,74	1,56	128,74	1,19	ELU
HIP.43	G+Sx+0,3*Sy+0,3*Q	1	130,86	3,75	130,86	2,87	ELU
	G+Sx+0,3*Sy+0,3*Q	2	127,27	3,79	127,27	2,90	ELU
HIP.44	G+Sx-0,3*Sy+0,3*Q	1	127,06	2,67	127,06	2,04	ELU
	G+Sx-0,3*Sy+0,3*Q	2	128,06	2,69	128,06	2,05	ELU
HIP.45	G-Sx+0,3*Sy+0,3*Q	1	121,02	1,33	121,02	1,02	ELU
	G-Sx+0,3*Sy+0,3*Q	2	126,79	1,35	126,79	1,03	ELU
HIP.46	G-Sx-0,3*Sy+0,3*Q	1	117,22	2,49	117,22	1,91	ELU
	G-Sx-0,3*Sy+0,3*Q	2	127,57	2,53	127,57	1,93	ELU
HIP.47	G+Sy+0,3*Sx+0,3*Q	1	131,85	3,32	131,85	2,54	ELU
	G+Sy+0,3*Sx+0,3*Q	2	126,19	3,36	126,19	2,57	ELU
HIP.48	G+Sy-0,3*Sx+0,3*Q	1	128,89	1,82	128,89	1,39	ELU
	G+Sy-0,3*Sx+0,3*Q	2	126,04	1,84	126,04	1,41	ELU
HIP.49	G-Sy+0,3*Sx+0,3*Q	1	119,19	1,03	119,19	0,78	ELU
	G-Sy+0,3*Sx+0,3*Q	2	128,81	1,03	128,81	0,79	ELU
HIP.50	G-Sy-0,3*Sx+0,3*Q	1	116,24	2,19	116,24	1,67	ELU
	G-Sy-0,3*Sx+0,3*Q	2	128,66	2,22	128,66	1,70	ELU
HIP.51	G+BOMB	1	118,40	0,92	118,40	0,71	ELU
	G+BOMB	2	123,15	0,92	123,15	0,71	ELU
HIP.52	G+BOMB+0,5*Q	1	128,76	1,11	128,76	0,85	ELU
	G+BOMB+0,5*Q	2	134,85	1,11	134,85	0,85	ELU
HIP.53	G+BOMB+0,5*V169	1	118,78	0,56	118,78	0,43	ELU
	G+BOMB+0,5*V169	2	123,56	0,56	123,56	0,43	ELU
HIP.54	G+BOMB+0,5*V170	1	118,78	0,55	118,78	0,42	ELU
	G+BOMB+0,5*V170	2	123,59	0,55	123,59	0,42	ELU
HIP.55	G+BOMB+0,5*V171	1	118,02	1,47	118,02	1,12	ELU
	G+BOMB+0,5*V171	2	122,74	1,47	122,74	1,12	ELU
HIP.56	G+BOMB+0,5*V172	1	118,02	1,49	118,02	1,14	ELU
	G+BOMB+0,5*V172	2	122,70	1,49	122,70	1,14	ELU
HIP.57	G+BOMB+0,5*V173	1	110,18	1,53	110,18	1,17	ELU
	G+BOMB+0,5*V173	2	124,69	1,52	124,69	1,17	ELU
HIP.58	G+BOMB+0,5*V174	1	110,24	1,58	110,24	1,21	ELU
	G+BOMB+0,5*V174	2	124,21	1,58	124,21	1,21	ELU
HIP.59	G+BOMB+0,5*V175	1	126,62	1,11	126,62	0,85	ELU
	G+BOMB+0,5*V175	2	121,61	1,12	121,61	0,85	ELU
HIP.60	G+BOMB+0,5*V176	1	126,56	0,85	126,56	0,65	ELU
	G+BOMB+0,5*V176	2	122,09	0,85	122,09	0,65	ELU
HIP.61	G+BOMB+0,5*V1+0,3*Q	1	125,00	0,66	125,00	0,51	ELU
	G+BOMB+0,5*V1+0,3*Q	2	130,58	0,66	130,58	0,51	ELU
HIP.62	G+BOMB+0,5*V2+0,3*Q	1	125,00	0,66	125,00	0,50	ELU
	G+BOMB+0,5*V2+0,3*Q	2	130,61	0,66	130,61	0,50	ELU
HIP.63	G+BOMB+0,5*V3+0,3*Q	1	124,23	1,57	124,23	1,20	ELU
	G+BOMB+0,5*V3+0,3*Q	2	129,76	1,57	129,76	1,20	ELU
HIP.64	G+BOMB+0,5*V4+0,3*Q	1	124,24	1,59	124,24	1,21	ELU
	G+BOMB+0,5*V4+0,3*Q	2	129,72	1,59	129,72	1,21	ELU
HIP.65	G+BOMB+0,5*V5+0,3*Q	1	116,40	1,64	116,40	1,25	ELU
	G+BOMB+0,5*V5+0,3*Q	2	131,71	1,63	131,71	1,25	ELU
HIP.66	G+BOMB+0,5*V6+0,3*Q	1	116,46	1,69	116,46	1,29	ELU
	G+BOMB+0,5*V6+0,3*Q	2	131,23	1,69	131,23	1,29	ELU
HIP.67	G+BOMB+0,5*V7+0,3*Q	1	132,83	1,15	132,83	0,88	ELU
	G+BOMB+0,5*V7+0,3*Q	2	128,63	1,16	128,63	0,89	ELU
HIP.68	G+BOMB+0,5*V8+0,3*Q	1	132,77	0,88	132,77	0,68	ELU
	G+BOMB+0,5*V8+0,3*Q	2	129,11	0,88	129,11	0,68	ELU

Seccion (mm.)	e _x (m.)	e _y (m.)	Henc. (m.)
350	0,00	1,50	1,25
COMPROBACIÓN (compresión)	CUMPLE		
MAX. AXIL	185,16		(TON)
MIN. AXIL	0,00		(TON)
COMPROBACIÓN (tracción)	CUMPLE		
L.1(m)	0,00		
L.2(m)	0,00		
L.Influenc.(m)	0,00		
CERRAM.(ton.)	0,00		
αx (inclinación)	0,00		
αy (inclinación)	0,00		

Curva de resistencia axil-momento (en cualquier dirección)



Curva de resistencia axil-cortante



PILAR: P23



COMPROBACIÓN ESFUERZOS:

P18147P Parcela R20

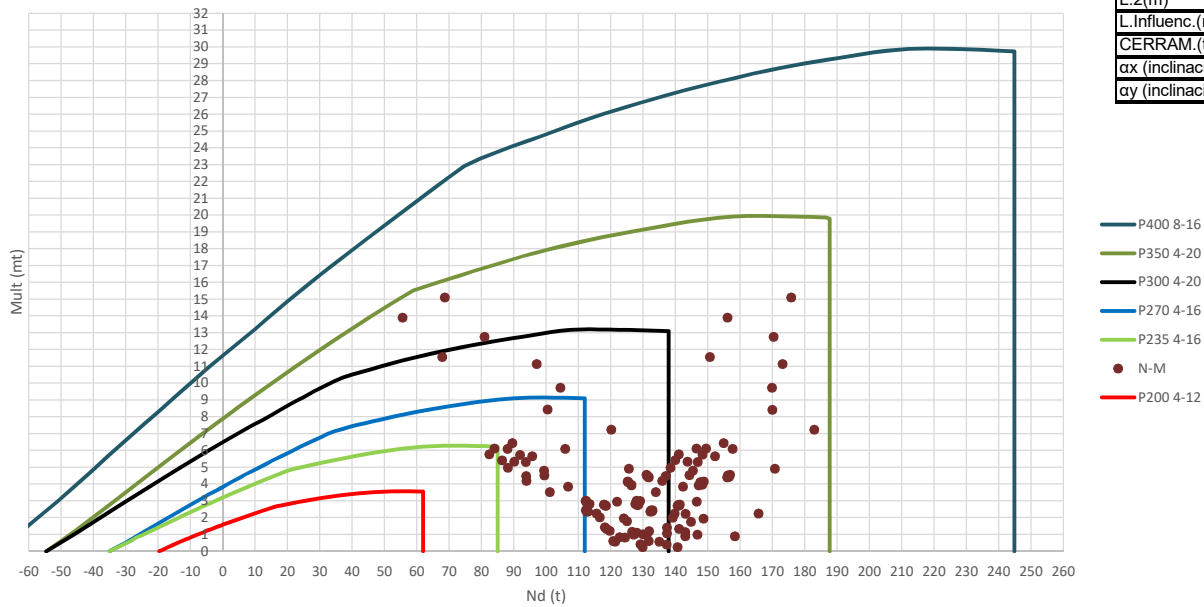
	LC: COMB.	nº PILOTE	N _{pilote} (T) a ras de suelo	M ult. Pilote (mT)	N _{pilote} (T) a ras de suelo	V ult.-Pilote (T)	ESTADO LIMITE
HIP.1	G	1	128,44	2,58	128,44	1,97	ELS
	G	2	140,05	2,58	140,05	1,97	ELS
HIP.2	G+Q	1	150,60	4,14	150,60	3,17	ELS
	G+Q	2	169,80	4,14	169,80	3,17	ELS
HIP.3	G+V177	1	128,82	3,10	128,82	2,37	ELS
	G+V177	2	139,92	3,10	139,92	2,37	ELS
HIP.4	G+V178	1	128,41	3,21	128,41	2,45	ELS
	G+V178	2	140,22	3,21	140,22	2,45	ELS
HIP.5	G+V179	1	128,05	2,51	128,05	1,92	ELS
	G+V179	2	140,18	2,51	140,18	1,92	ELS
HIP.6	G+V180	1	128,46	2,41	128,46	1,84	ELS
	G+V180	2	139,87	2,41	139,87	1,84	ELS
HIP.7	G+V181	1	94,04	11,69	94,04	8,94	ELS
	G+V181	2	164,33	11,70	164,33	8,95	ELS
HIP.8	G+V182	1	98,79	10,35	98,79	7,91	ELS
	G+V182	2	160,80	10,35	160,80	7,91	ELS
HIP.9	G+V183	1	162,83	6,77	162,83	5,17	ELS
	G+V183	2	115,76	6,77	115,76	5,17	ELS
HIP.10	G+V184	1	158,09	5,51	158,09	4,22	ELS
	G+V184	2	119,30	5,51	119,30	4,22	ELS
HIP.11	G+Q+0,6*V177	1	150,83	4,31	150,83	3,30	ELS
	G+Q+0,6*V177	2	169,72	4,31	169,72	3,30	ELS
HIP.12	G+Q+0,6*V178	1	150,58	4,38	150,58	3,35	ELS
	G+Q+0,6*V178	2	169,90	4,38	169,90	3,35	ELS
HIP.13	G+Q+0,6*V179	1	150,37	4,08	150,37	3,12	ELS
	G+Q+0,6*V179	2	169,87	4,08	169,87	3,12	ELS
HIP.14	G+Q+0,6*V180	1	150,61	4,01	150,61	3,07	ELS
	G+Q+0,6*V180	2	169,69	4,01	169,69	3,07	ELS
HIP.15	G+Q+0,6*V181	1	129,96	9,62	129,96	7,36	ELS
	G+Q+0,6*V181	2	184,37	9,63	184,37	7,36	ELS
HIP.16	G+Q+0,6*V182	1	132,81	8,81	132,81	6,74	ELS
	G+Q+0,6*V182	2	182,25	8,81	182,25	6,74	ELS
HIP.17	G+Q+0,6*V183	1	171,24	1,63	171,24	1,25	ELS
	G+Q+0,6*V183	2	155,22	1,62	155,22	1,24	ELS
HIP.18	G+Q+0,6*V184	1	168,39	1,17	168,39	0,90	ELS
	G+Q+0,6*V184	2	157,34	1,17	157,34	0,90	ELS
HIP.19	G+V1+0,7*Q	1	144,33	4,05	144,33	3,10	ELS
	G+V1+0,7*Q	2	160,74	4,05	160,74	3,10	ELS
HIP.20	G+V2+0,7*Q	1	143,93	4,16	143,93	3,18	ELS
	G+V2+0,7*Q	2	161,04	4,16	161,04	3,18	ELS
HIP.21	G+V3+0,7*Q	1	143,57	3,63	143,57	2,77	ELS
	G+V3+0,7*Q	2	161,00	3,63	161,00	2,77	ELS
HIP.22	G+V4+0,7*Q	1	143,97	3,52	143,97	2,69	ELS
	G+V4+0,7*Q	2	160,70	3,52	160,70	2,69	ELS
HIP.23	G+V5+0,7*Q	1	109,55	12,81	109,55	9,80	ELS
	G+V5+0,7*Q	2	185,16	12,82	185,16	9,80	ELS
HIP.24	G+V6+0,7*Q	1	114,30	11,47	114,30	8,77	ELS
	G+V6+0,7*Q	2	181,62	11,47	181,62	8,77	ELS
HIP.25	G+V7+0,7*Q	1	178,35	5,66	178,35	4,32	ELS
	G+V7+0,7*Q	2	136,58	5,65	136,58	4,32	ELS
HIP.26	G+V8+0,7*Q	1	173,60	4,42	173,60	3,38	ELS
	G+V8+0,7*Q	2	140,12	4,42	140,12	3,38	ELS
HIP.27	G+Sx	1	138,42	0,91	138,42	0,70	ELU
	G+Sx	2	133,46	0,95	133,46	0,73	ELU
HIP.28	G-Sx	1	118,45	3,94	118,45	3,01	ELU
	G-Sx	2	146,63	3,97	146,63	3,03	ELU
HIP.29	G+Sy	1	142,33	0,95	142,33	0,73	ELU
	G+Sy	2	130,66	0,97	130,66	0,74	ELU
HIP.30	G-Sy	1	114,55	4,38	114,55	3,35	ELU
	G-Sy	2	149,43	4,39	149,43	3,36	ELU
HIP.31	G+Sx+0,3*Sy	1	142,59	1,49	142,59	1,14	ELU
	G+Sx+0,3*Sy	2	130,65	1,54	130,65	1,17	ELU
HIP.32	G+Sx-0,3*Sy	1	134,25	0,84	134,25	0,64	ELU
	G+Sx-0,3*Sy	2	136,28	0,86	136,28	0,66	ELU
HIP.33	G-Sx+0,3*Sy	1	122,62	3,15	122,62	2,41	ELU
	G-Sx+0,3*Sy	2	143,82	3,17	143,82	2,43	ELU
HIP.34	G-Sx-0,3*Sy	1	114,28	4,74	114,28	3,62	ELU
	G-Sx-0,3*Sy	2	149,45	4,76	149,45	3,64	ELU
HIP.35	G+Sy+0,3*Sx	1	145,32	1,63	145,32	1,25	ELU
	G+Sy+0,3*Sx	2	128,69	1,66	128,69	1,27	ELU
HIP.36	G+Sy-0,3*Sx	1	139,33	0,29	139,33	0,22	ELU
	G+Sy-0,3*Sx	2	132,64	0,30	132,64	0,23	ELU
HIP.37	G-Sy+0,3*Sx	1	117,54	3,73	117,54	2,85	ELU
	G-Sy+0,3*Sx	2	147,46	3,74	147,46	2,86	ELU
HIP.38	G-Sy-0,3*Sx	1	111,55	5,04	111,55	3,85	ELU
	G-Sy-0,3*Sx	2	151,41	5,06	151,41	3,87	ELU
HIP.39	G+Sx+0,3*Q	1	145,07	0,91	145,07	0,70	ELU
	G+Sx+0,3*Q	2	142,39	0,95	142,39	0,73	ELU
HIP.40	G-Sx+0,3*Q	1	125,10	4,23	125,10	3,23	ELU

	G-Sx+0,3*Q	2	155,56	4,25	155,56	3,25	ELU
HIP.41	G+Sy+0,3*Q	1	148,97	0,69	148,97	0,53	ELU
	G+Sy+0,3*Q	2	139,59	0,71	139,59	0,55	ELU
HIP.42	G-Sy+0,3*Q	1	121,19	4,68	121,19	3,58	ELU
	G-Sy+0,3*Q	2	158,36	4,70	158,36	3,59	ELU
HIP.43	G+Sx+0,3*Sy+0,3*Q	1	149,24	1,32	149,24	1,01	ELU
	G+Sx+0,3*Sy+0,3*Q	2	139,57	1,37	139,57	1,05	ELU
HIP.44	G+Sx-0,3*Sy+0,3*Q	1	140,90	1,09	140,90	0,83	ELU
	G+Sx-0,3*Sy+0,3*Q	2	145,20	1,10	145,20	0,84	ELU
HIP.45	G-Sx+0,3*Sy+0,3*Q	1	129,27	3,43	129,27	2,63	ELU
	G-Sx+0,3*Sy+0,3*Q	2	152,74	3,45	152,74	2,64	ELU
HIP.46	G-Sx-0,3*Sy+0,3*Q	1	120,93	5,02	120,93	3,84	ELU
	G-Sx-0,3*Sy+0,3*Q	2	158,37	5,05	158,37	3,86	ELU
HIP.47	G+Sy+0,3*Sx+0,3*Q	1	151,97	1,37	151,97	1,05	ELU
	G+Sy+0,3*Sx+0,3*Q	2	137,61	1,41	137,61	1,08	ELU
HIP.48	G+Sy-0,3*Sx+0,3*Q	1	145,98	0,05	145,98	0,04	ELU
	G+Sy-0,3*Sx+0,3*Q	2	141,56	0,07	141,56	0,05	ELU
HIP.49	G-Sy+0,3*Sx+0,3*Q	1	124,19	4,04	124,19	3,09	ELU
	G-Sy+0,3*Sx+0,3*Q	2	156,38	4,05	156,38	3,10	ELU
HIP.50	G-Sy-0,3*Sx+0,3*Q	1	118,20	5,33	118,20	4,08	ELU
	G-Sy-0,3*Sx+0,3*Q	2	160,33	5,35	160,33	4,09	ELU
HIP.51	G+BOMB	1	128,24	2,23	128,24	1,70	ELU
	G+BOMB	2	143,57	2,23	143,57	1,70	ELU
HIP.52	G+BOMB+0,5*Q	1	139,32	2,75	139,32	2,10	ELU
	G+BOMB+0,5*Q	2	158,45	2,75	158,45	2,10	ELU
HIP.53	G+BOMB+0,5*V177	1	128,43	2,32	128,43	1,78	ELU
	G+BOMB+0,5*V177	2	143,51	2,32	143,51	1,78	ELU
HIP.54	G+BOMB+0,5*V178	1	128,23	2,36	128,23	1,81	ELU
	G+BOMB+0,5*V178	2	143,66	2,36	143,66	1,81	ELU
HIP.55	G+BOMB+0,5*V179	1	128,05	2,19	128,05	1,67	ELU
	G+BOMB+0,5*V179	2	143,64	2,19	143,64	1,67	ELU
HIP.56	G+BOMB+0,5*V180	1	128,25	2,15	128,25	1,65	ELU
	G+BOMB+0,5*V180	2	143,49	2,15	143,49	1,65	ELU
HIP.57	G+BOMB+0,5*V181	1	111,04	5,27	111,04	4,03	ELU
	G+BOMB+0,5*V181	2	155,72	5,27	155,72	4,03	ELU
HIP.58	G+BOMB+0,5*V182	1	113,41	4,82	113,41	3,68	ELU
	G+BOMB+0,5*V182	2	153,95	4,82	153,95	3,68	ELU
HIP.59	G+BOMB+0,5*V183	1	145,44	0,97	145,44	0,74	ELU
	G+BOMB+0,5*V183	2	131,43	0,97	131,43	0,74	ELU
HIP.60	G+BOMB+0,5*V184	1	143,06	0,69	143,06	0,53	ELU
	G+BOMB+0,5*V184	2	133,20	0,69	133,20	0,53	ELU
HIP.61	G+BOMB+0,5*V1+0,3*Q	1	135,08	2,63	135,08	2,01	ELU
	G+BOMB+0,5*V1+0,3*Q	2	152,43	2,63	152,43	2,01	ELU
HIP.62	G+BOMB+0,5*V2+0,3*Q	1	134,88	2,66	134,88	2,04	ELU
	G+BOMB+0,5*V2+0,3*Q	2	152,59	2,66	152,59	2,04	ELU
HIP.63	G+BOMB+0,5*V3+0,3*Q	1	134,70	2,51	134,70	1,92	ELU
	G+BOMB+0,5*V3+0,3*Q	2	152,56	2,51	152,56	1,92	ELU
HIP.64	G+BOMB+0,5*V4+0,3*Q	1	134,90	2,47	134,90	1,89	ELU
	G+BOMB+0,5*V4+0,3*Q	2	152,41	2,47	152,41	1,89	ELU
HIP.65	G+BOMB+0,5*V5+0,3*Q	1	117,69	5,59	117,69	4,27	ELU
	G+BOMB+0,5*V5+0,3*Q	2	164,64	5,59	164,64	4,27	ELU
HIP.66	G+BOMB+0,5*V6+0,3*Q	1	120,06	5,14	120,06	3,93	ELU
	G+BOMB+0,5*V6+0,3*Q	2	162,87	5,14	162,87	3,93	ELU
HIP.67	G+BOMB+0,5*V7+0,3*Q	1	152,09	0,70	152,09	0,53	ELU
	G+BOMB+0,5*V7+0,3*Q	2	140,36	0,69	140,36	0,53	ELU
HIP.68	G+BOMB+0,5*V8+0,3*Q	1	149,71	0,55	149,71	0,42	ELU
	G+BOMB+0,5*V8+0,3*Q	2	142,12	0,55	142,12	0,42	ELU

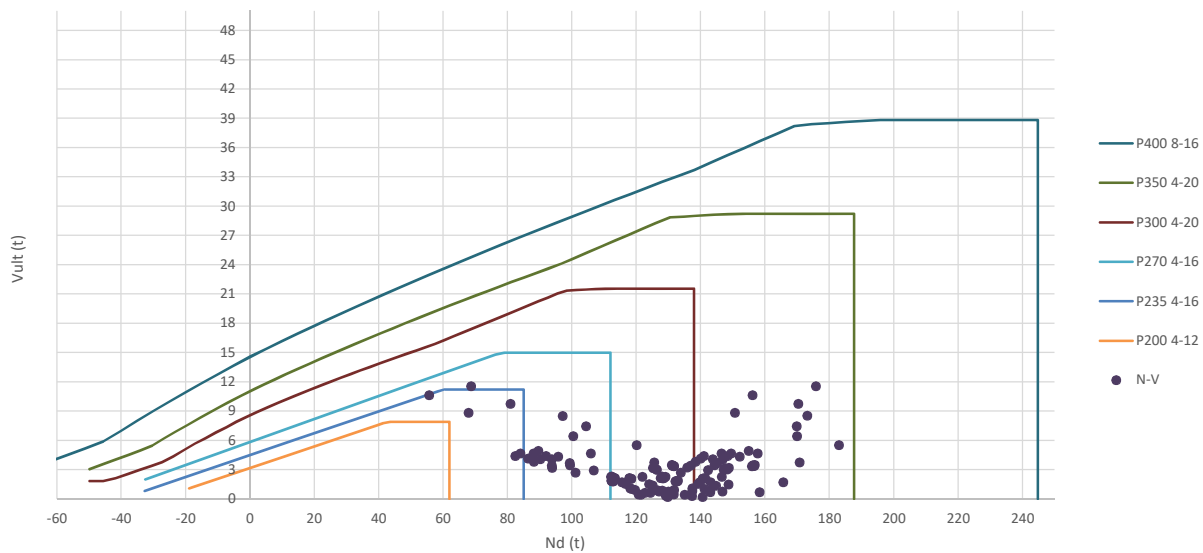
Seccion (mm.)	e _x (m.)	e _y (m.)	Henc. (m.)
350	0,00	1,25	1,25
COMPROBACIÓN (compresión)	CUMPLE		
MAX. AXIL	182,95		(TON)
MIN. AXIL	0,00		(TON)
COMPROBACIÓN (tracción)	CUMPLE		

L.1(m)	0,00
L.2(m)	0,00
L.Influenc.(m)	0,00
CERRAM.(ton.)	0,00
αx (inclinación)	0,00
αy (inclinación)	0,00

Curva de resistencia axil-momento (en cualquier dirección)



Curva de resistencia axil-cortante



PILAR: P24



COMPROBACIÓN ESFUERZOS:

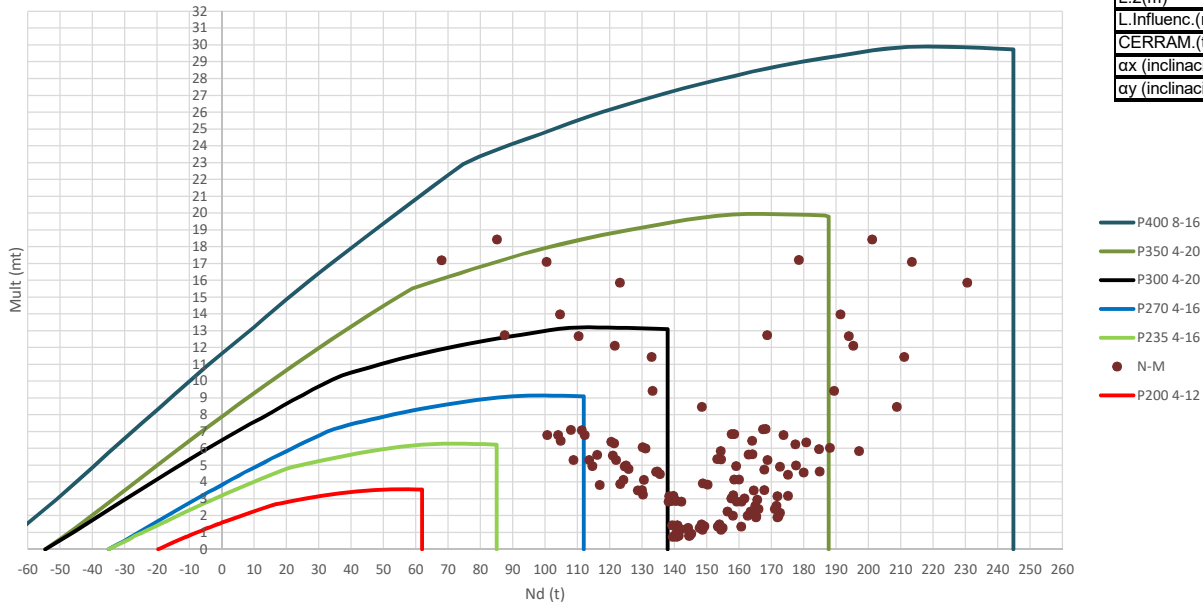
P18147P Parcela R20

	LC: COMB.	nº PILOTE	N _{pilote} (T) a ras de suelo	M ult. Pilote (mT)	N _{pilote} (T) a ras de suelo	V ult.-Pilote (T)	ESTADO LIMITE
HIP.1	G	1	112,78	2,74	112,78	2,10	ELS
	G	2	128,28	2,74	128,28	2,10	ELS
HIP.2	G+Q	1	131,37	4,44	131,37	3,40	ELS
	G+Q	2	156,39	4,44	156,39	3,40	ELS
HIP.3	G+V185	1	113,38	2,82	113,38	2,15	ELS
	G+V185	2	127,52	2,82	127,52	2,15	ELS
HIP.4	G+V186	1	112,33	3,01	112,33	2,30	ELS
	G+V186	2	127,98	3,01	127,98	2,30	ELS
HIP.5	G+V187	1	112,17	2,98	112,17	2,28	ELS
	G+V187	2	129,05	2,98	129,05	2,28	ELS
HIP.6	G+V188	1	113,22	2,80	113,22	2,14	ELS
	G+V188	2	128,59	2,80	128,59	2,14	ELS
HIP.7	G+V189	1	55,62	13,90	55,62	10,63	ELS
	G+V189	2	156,11	13,91	156,11	10,63	ELS
HIP.8	G+V190	1	67,88	11,56	67,88	8,84	ELS
	G+V190	2	150,66	11,56	150,66	8,84	ELS
HIP.9	G+V191	1	169,93	8,43	169,93	6,44	ELS
	G+V191	2	100,46	8,43	100,46	6,45	ELS
HIP.10	G+V192	1	157,67	6,11	157,67	4,67	ELS
	G+V192	2	105,91	6,11	105,91	4,67	ELS
HIP.11	G+Q+0,6*V185	1	131,74	4,40	131,74	3,37	ELS
	G+Q+0,6*V185	2	155,93	4,40	155,93	3,37	ELS
HIP.12	G+Q+0,6*V186	1	131,11	4,52	131,11	3,46	ELS
	G+Q+0,6*V186	2	156,20	4,52	156,20	3,46	ELS
HIP.13	G+Q+0,6*V187	1	131,01	4,56	131,01	3,48	ELS
	G+Q+0,6*V187	2	156,85	4,56	156,85	3,48	ELS
HIP.14	G+Q+0,6*V188	1	131,64	4,44	131,64	3,39	ELS
	G+Q+0,6*V188	2	156,57	4,44	156,57	3,39	ELS
HIP.15	G+Q+0,6*V189	1	97,08	11,14	97,08	8,52	ELS
	G+Q+0,6*V189	2	173,08	11,14	173,08	8,52	ELS
HIP.16	G+Q+0,6*V190	1	104,44	9,74	104,44	7,44	ELS
	G+Q+0,6*V190	2	169,81	9,74	169,81	7,44	ELS
HIP.17	G+Q+0,6*V191	1	165,67	2,26	165,67	1,73	ELS
	G+Q+0,6*V191	2	139,69	2,26	139,69	1,73	ELS
HIP.18	G+Q+0,6*V192	1	158,31	0,89	158,31	0,68	ELS
	G+Q+0,6*V192	2	142,96	0,89	142,96	0,68	ELS
HIP.19	G+V1+0,7*Q	1	126,40	3,93	126,40	3,00	ELS
	G+V1+0,7*Q	2	147,19	3,93	147,19	3,00	ELS
HIP.20	G+V2+0,7*Q	1	125,35	4,13	125,35	3,15	ELS
	G+V2+0,7*Q	2	147,65	4,13	147,65	3,15	ELS
HIP.21	G+V3+0,7*Q	1	125,19	4,16	125,19	3,18	ELS
	G+V3+0,7*Q	2	148,72	4,16	148,72	3,18	ELS
HIP.22	G+V4+0,7*Q	1	126,24	3,97	126,24	3,04	ELS
	G+V4+0,7*Q	2	148,26	3,97	148,26	3,04	ELS
HIP.23	G+V5+0,7*Q	1	68,64	15,10	68,64	11,54	ELS
	G+V5+0,7*Q	2	175,78	15,10	175,78	11,54	ELS
HIP.24	G+V6+0,7*Q	1	80,90	12,76	80,90	9,75	ELS
	G+V6+0,7*Q	2	170,33	12,76	170,33	9,75	ELS
HIP.25	G+V7+0,7*Q	1	182,95	7,24	182,95	5,53	ELS
	G+V7+0,7*Q	2	120,13	7,24	120,13	5,53	ELS
HIP.26	G+V8+0,7*Q	1	170,69	4,91	170,69	3,75	ELS
	G+V8+0,7*Q	2	125,58	4,91	125,58	3,75	ELS
HIP.27	G+Sx	1	131,79	1,20	131,79	0,92	ELU
	G+Sx	2	119,65	1,23	119,65	0,94	ELU
HIP.28	G-Sx	1	93,76	4,47	93,76	3,42	ELU
	G-Sx	2	136,92	4,48	136,92	3,42	ELU
HIP.29	G+Sy	1	137,40	1,42	137,40	1,08	ELU
	G+Sy	2	118,12	1,43	118,12	1,10	ELU
HIP.30	G-Sy	1	88,16	4,97	88,16	3,80	ELU
	G-Sy	2	138,45	4,98	138,45	3,81	ELU
HIP.31	G+Sx+0,3*Sy	1	139,18	2,01	139,18	1,53	ELU
	G+Sx+0,3*Sy	2	116,60	2,03	116,60	1,55	ELU
HIP.32	G+Sx-0,3*Sy	1	124,41	0,82	124,41	0,63	ELU
	G+Sx-0,3*Sy	2	122,70	0,84	122,70	0,64	ELU
HIP.33	G-Sx+0,3*Sy	1	101,15	3,52	101,15	2,69	ELU
	G-Sx+0,3*Sy	2	133,87	3,53	133,87	2,70	ELU
HIP.34	G-Sx-0,3*Sy	1	86,38	5,42	86,38	4,14	ELU
	G-Sx-0,3*Sy	2	139,97	5,43	139,97	4,15	ELU
HIP.35	G+Sy+0,3*Sx	1	143,10	2,23	143,10	1,71	ELU
	G+Sy+0,3*Sx	2	115,53	2,25	115,53	1,72	ELU
HIP.36	G+Sy-0,3*Sx	1	131,69	0,61	131,69	0,47	ELU
	G+Sy-0,3*Sx	2	120,71	0,62	120,71	0,48	ELU
HIP.37	G-Sy+0,3*Sx	1	93,86	4,19	93,86	3,20	ELU
	G-Sy+0,3*Sx	2	135,86	4,19	135,86	3,21	ELU
HIP.38	G-Sy-0,3*Sx	1	82,45	5,77	82,45	4,41	ELU
	G-Sy-0,3*Sx	2	141,04	5,78	141,04	4,42	ELU
HIP.39	G+Sx+0,3*Q	1	137,37	1,08	137,37	0,82	ELU
	G+Sx+0,3*Q	2	128,08	1,10	128,08	0,84	ELU
HIP.40	G-Sx+0,3*Q	1	99,34	4,79	99,34	3,66	ELU

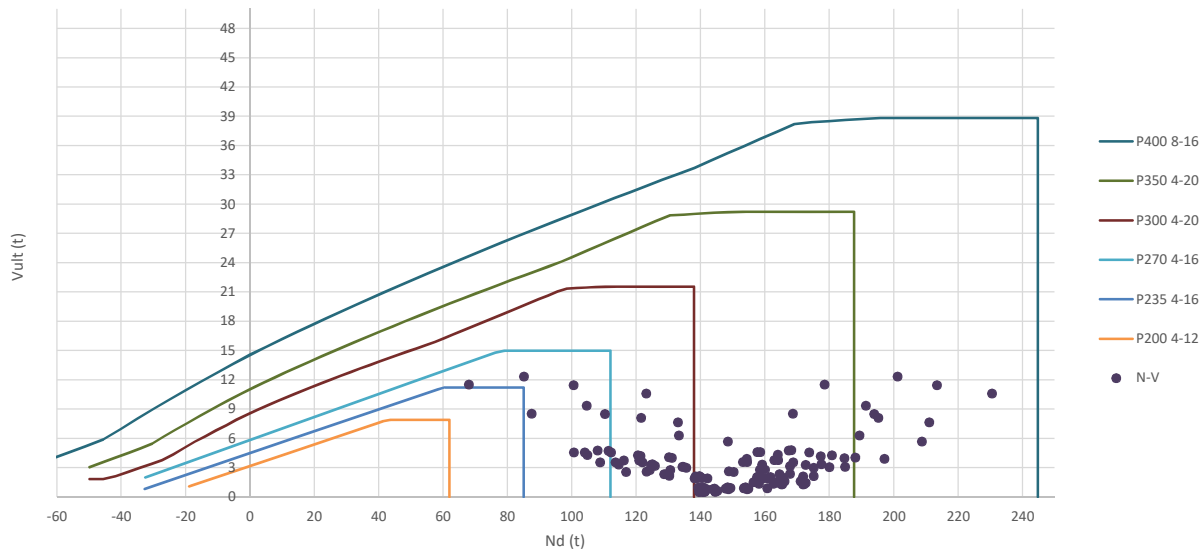
	G-Sx+0,3*Q	2	145,35	4,80	145,35	3,67	ELU
HIP.41	G+Sy+0,3*Q	1	142,98	1,14	142,98	0,87	ELU
	G+Sy+0,3*Q	2	126,55	1,16	126,55	0,89	ELU
HIP.42	G-Sy+0,3*Q	1	93,74	5,31	93,74	4,06	ELU
	G-Sy+0,3*Q	2	146,88	5,31	146,88	4,06	ELU
HIP.43	G+Sx+0,3*Sy+0,3*Q	1	144,76	1,76	144,76	1,35	ELU
	G+Sx+0,3*Sy+0,3*Q	2	125,03	1,79	125,03	1,37	ELU
HIP.44	G+Sx-0,3*Sy+0,3*Q	1	129,98	1,00	129,98	0,77	ELU
	G+Sx-0,3*Sy+0,3*Q	2	131,13	1,02	131,13	0,78	ELU
HIP.45	G-Sx+0,3*Sy+0,3*Q	1	106,73	3,84	106,73	2,94	ELU
	G-Sx+0,3*Sy+0,3*Q	2	142,30	3,85	142,30	2,94	ELU
HIP.46	G-Sx-0,3*Sy+0,3*Q	1	91,96	5,74	91,96	4,39	ELU
	G-Sx-0,3*Sy+0,3*Q	2	148,40	5,76	148,40	4,40	ELU
HIP.47	G+Sy+0,3*Sx+0,3*Q	1	148,68	1,94	148,68	1,49	ELU
	G+Sy+0,3*Sx+0,3*Q	2	123,96	1,97	123,96	1,50	ELU
HIP.48	G+Sy-0,3*Sx+0,3*Q	1	137,27	0,40	137,27	0,30	ELU
	G+Sy-0,3*Sx+0,3*Q	2	129,14	0,42	129,14	0,32	ELU
HIP.49	G-Sy+0,3*Sx+0,3*Q	1	99,44	4,53	99,44	3,46	ELU
	G-Sy+0,3*Sx+0,3*Q	2	144,29	4,53	144,29	3,46	ELU
HIP.50	G-Sy-0,3*Sx+0,3*Q	1	88,03	6,10	88,03	4,66	ELU
	G-Sy-0,3*Sx+0,3*Q	2	149,47	6,11	149,47	4,67	ELU
HIP.51	G+BOMB	1	112,57	2,39	112,57	1,82	ELU
	G+BOMB	2	132,55	2,39	132,55	1,82	ELU
HIP.52	G+BOMB+0,5*Q	1	121,87	2,95	121,87	2,26	ELU
	G+BOMB+0,5*Q	2	146,61	2,95	146,61	2,26	ELU
HIP.53	G+BOMB+0,5*V185	1	112,87	2,37	112,87	1,81	ELU
	G+BOMB+0,5*V185	2	132,17	2,37	132,17	1,81	ELU
HIP.54	G+BOMB+0,5*V186	1	112,35	2,43	112,35	1,86	ELU
	G+BOMB+0,5*V186	2	132,40	2,43	132,40	1,86	ELU
HIP.55	G+BOMB+0,5*V187	1	112,27	2,45	112,27	1,87	ELU
	G+BOMB+0,5*V187	2	132,94	2,45	132,94	1,87	ELU
HIP.56	G+BOMB+0,5*V188	1	112,79	2,38	112,79	1,82	ELU
	G+BOMB+0,5*V188	2	132,71	2,38	132,71	1,82	ELU
HIP.57	G+BOMB+0,5*V189	1	83,99	6,11	83,99	4,67	ELU
	G+BOMB+0,5*V189	2	146,47	6,11	146,47	4,67	ELU
HIP.58	G+BOMB+0,5*V190	1	90,12	5,33	90,12	4,07	ELU
	G+BOMB+0,5*V190	2	143,74	5,33	143,74	4,07	ELU
HIP.59	G+BOMB+0,5*V191	1	141,15	1,34	141,15	1,02	ELU
	G+BOMB+0,5*V191	2	118,64	1,34	118,64	1,02	ELU
HIP.60	G+BOMB+0,5*V192	1	135,01	0,58	135,01	0,44	ELU
	G+BOMB+0,5*V192	2	121,37	0,58	121,37	0,44	ELU
HIP.61	G+BOMB+0,5*V1+0,3*Q	1	118,45	2,70	118,45	2,06	ELU
	G+BOMB+0,5*V1+0,3*Q	2	140,60	2,70	140,60	2,06	ELU
HIP.62	G+BOMB+0,5*V2+0,3*Q	1	117,92	2,77	117,92	2,12	ELU
	G+BOMB+0,5*V2+0,3*Q	2	140,83	2,77	140,83	2,12	ELU
HIP.63	G+BOMB+0,5*V3+0,3*Q	1	117,84	2,79	117,84	2,13	ELU
	G+BOMB+0,5*V3+0,3*Q	2	141,37	2,79	141,37	2,13	ELU
HIP.64	G+BOMB+0,5*V4+0,3*Q	1	118,37	2,72	118,37	2,08	ELU
	G+BOMB+0,5*V4+0,3*Q	2	141,14	2,72	141,14	2,08	ELU
HIP.65	G+BOMB+0,5*V5+0,3*Q	1	89,57	6,45	89,57	4,93	ELU
	G+BOMB+0,5*V5+0,3*Q	2	154,90	6,45	154,90	4,93	ELU
HIP.66	G+BOMB+0,5*V6+0,3*Q	1	95,70	5,67	95,70	4,33	ELU
	G+BOMB+0,5*V6+0,3*Q	2	152,17	5,67	152,17	4,33	ELU
HIP.67	G+BOMB+0,5*V7+0,3*Q	1	146,73	1,00	146,73	0,76	ELU
	G+BOMB+0,5*V7+0,3*Q	2	127,07	1,00	127,07	0,76	ELU
HIP.68	G+BOMB+0,5*V8+0,3*Q	1	140,59	0,25	140,59	0,19	ELU
	G+BOMB+0,5*V8+0,3*Q	2	129,80	0,25	129,80	0,19	ELU

Seccion (mm.)	e _x (m.)	e _y (m.)	Henc. (m.)
400	0,00	1,35	1,25
COMPROBACIÓN (compresión)	CUMPLE		
MAX. AXIL	230,51		(TON)
MIN. AXIL	0,00		(TON)
COMPROBACIÓN (tracción)	CUMPLE		
L.1(m)	0,00		
L.2(m)	0,00		
L.Influenc.(m)	0,00		
CERRAM.(ton.)	0,00		
αx (inclinación)	0,00		
αy (inclinación)	0,00		

Curva de resistencia axil-momento (en cualquier dirección)



Curva de resistencia axil-cortante



PILAR: P25



COMPROBACIÓN ESFUERZOS:

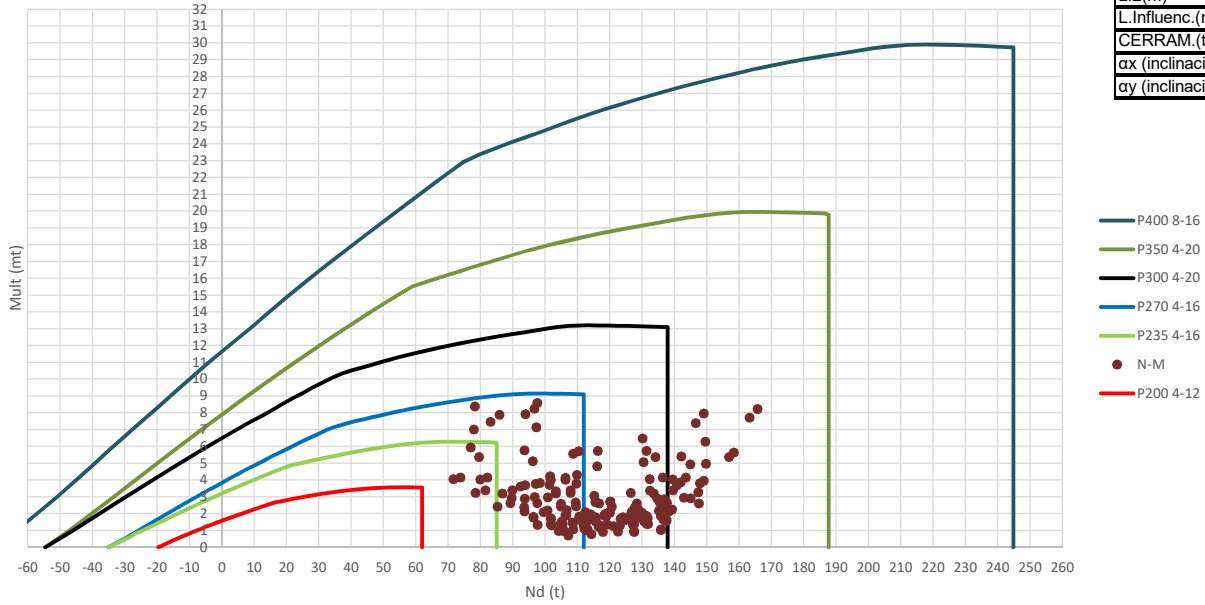
P18147P Parcela R20

	LC: COMB.	nº PILOTE	N _{pilote} (T) a ras de suelo	M ult. Pilote (mT)	N _{pilote} (T) a ras de suelo	V ult.-Pilote (T)	ESTADO LIMITE
HIP.1	G	1	140,68	0,74	140,68	0,50	ELS
	G	2	139,48	0,74	139,48	0,50	ELS
HIP.2	G+Q	1	165,16	1,90	165,16	1,27	ELS
	G+Q	2	171,83	1,90	171,83	1,27	ELS
HIP.3	G+V193	1	142,11	2,85	142,11	1,90	ELS
	G+V193	2	138,12	2,85	138,12	1,90	ELS
HIP.4	G+V194	1	140,39	2,88	140,39	1,93	ELS
	G+V194	2	139,00	2,88	139,00	1,93	ELS
HIP.5	G+V195	1	139,24	1,42	139,24	0,95	ELS
	G+V195	2	140,84	1,42	140,84	0,95	ELS
HIP.6	G+V196	1	140,96	1,41	140,96	0,94	ELS
	G+V196	2	139,96	1,41	139,96	0,94	ELS
HIP.7	G+V197	1	67,98	17,21	67,98	11,51	ELS
	G+V197	2	178,49	17,22	178,49	11,52	ELS
HIP.8	G+V198	1	87,44	12,74	87,44	8,52	ELS
	G+V198	2	168,65	12,74	168,65	8,52	ELS
HIP.9	G+V199	1	213,37	17,10	213,37	11,44	ELS
	G+V199	2	100,46	17,10	100,46	11,44	ELS
HIP.10	G+V200	1	193,91	12,69	193,91	8,49	ELS
	G+V200	2	110,31	12,69	110,31	8,49	ELS
HIP.11	G+Q+0,6*V193	1	166,03	2,40	166,03	1,61	ELS
	G+Q+0,6*V193	2	171,02	2,40	171,02	1,61	ELS
HIP.12	G+Q+0,6*V194	1	165,00	2,59	165,00	1,73	ELS
	G+Q+0,6*V194	2	171,54	2,59	171,54	1,73	ELS
HIP.13	G+Q+0,6*V195	1	164,30	2,18	164,30	1,46	ELS
	G+Q+0,6*V195	2	172,64	2,18	172,64	1,46	ELS
HIP.14	G+Q+0,6*V196	1	165,33	1,97	165,33	1,32	ELS
	G+Q+0,6*V196	2	172,12	1,97	172,12	1,32	ELS
HIP.15	G+Q+0,6*V197	1	121,55	12,12	121,55	8,10	ELS
	G+Q+0,6*V197	2	195,24	12,12	195,24	8,11	ELS
HIP.16	G+Q+0,6*V198	1	133,22	9,43	133,22	6,31	ELS
	G+Q+0,6*V198	2	189,33	9,43	189,33	6,31	ELS
HIP.17	G+Q+0,6*V199	1	208,78	8,48	208,78	5,67	ELS
	G+Q+0,6*V199	2	148,42	8,48	148,42	5,67	ELS
HIP.18	G+Q+0,6*V200	1	197,10	5,86	197,10	3,92	ELS
	G+Q+0,6*V200	2	154,33	5,86	154,33	3,92	ELS
HIP.19	G+V1+0,7*Q	1	159,25	2,84	159,25	1,90	ELS
	G+V1+0,7*Q	2	160,77	2,84	160,77	1,90	ELS
HIP.20	G+V2+0,7*Q	1	157,54	3,04	157,54	2,03	ELS
	G+V2+0,7*Q	2	161,64	3,04	161,64	2,03	ELS
HIP.21	G+V3+0,7*Q	1	156,38	2,25	156,38	1,50	ELS
	G+V3+0,7*Q	2	163,48	2,25	163,48	1,50	ELS
HIP.22	G+V4+0,7*Q	1	158,10	2,01	158,10	1,34	ELS
	G+V4+0,7*Q	2	162,60	2,01	162,60	1,34	ELS
HIP.23	G+V5+0,7*Q	1	85,12	18,44	85,12	12,33	ELS
	G+V5+0,7*Q	2	201,14	18,45	201,14	12,34	ELS
HIP.24	G+V6+0,7*Q	1	104,59	13,97	104,59	9,35	ELS
	G+V6+0,7*Q	2	191,30	13,97	191,30	9,35	ELS
HIP.25	G+V7+0,7*Q	1	230,51	15,86	230,51	10,61	ELS
	G+V7+0,7*Q	2	123,11	15,86	123,11	10,61	ELS
HIP.26	G+V8+0,7*Q	1	211,05	11,45	211,05	7,66	ELS
	G+V8+0,7*Q	2	132,95	11,45	132,95	7,66	ELS
HIP.27	G+Sx	1	167,77	4,74	167,77	3,17	ELU
	G+Sx	2	125,78	4,78	125,78	3,20	ELU
HIP.28	G-Sx	1	113,58	5,33	113,58	3,56	ELU
	G-Sx	2	153,18	5,37	153,18	3,59	ELU
HIP.29	G+Sy	1	172,61	4,91	172,61	3,29	ELU
	G+Sy	2	124,58	4,93	124,58	3,30	ELU
HIP.30	G-Sy	1	108,74	5,32	108,74	3,56	ELU
	G-Sy	2	154,37	5,35	154,37	3,58	ELU
HIP.31	G+Sx+0,3*Sy	1	177,35	6,26	177,35	4,19	ELU
	G+Sx+0,3*Sy	2	121,31	6,30	121,31	4,22	ELU
HIP.32	G+Sx-0,3*Sy	1	158,19	3,23	158,19	2,16	ELU
	G+Sx-0,3*Sy	2	130,25	3,26	130,25	2,18	ELU
HIP.33	G-Sx+0,3*Sy	1	123,16	3,89	123,16	2,60	ELU
	G-Sx+0,3*Sy	2	148,71	3,92	148,71	2,63	ELU
HIP.34	G-Sx-0,3*Sy	1	104,00	6,80	104,00	4,55	ELU
	G-Sx-0,3*Sy	2	157,65	6,86	157,65	4,59	ELU
HIP.35	G+Sy+0,3*Sx	1	180,74	6,36	180,74	4,26	ELU
	G+Sy+0,3*Sx	2	120,47	6,40	120,47	4,28	ELU
HIP.36	G+Sy-0,3*Sx	1	164,48	3,51	164,48	2,35	ELU
	G+Sy-0,3*Sx	2	128,69	3,51	128,69	2,35	ELU
HIP.37	G-Sy+0,3*Sx	1	116,87	3,83	116,87	2,56	ELU
	G-Sy+0,3*Sx	2	150,26	3,85	150,26	2,57	ELU
HIP.38	G-Sy-0,3*Sx	1	100,61	6,81	100,61	4,56	ELU
	G-Sy-0,3*Sx	2	158,48	6,85	158,48	4,59	ELU
HIP.39	G+Sx+0,3*Q	1	175,12	4,45	175,12	2,97	ELU
	G+Sx+0,3*Q	2	135,48	4,49	135,48	3,00	ELU
HIP.40	G-Sx+0,3*Q	1	120,93	5,59	120,93	3,74	ELU

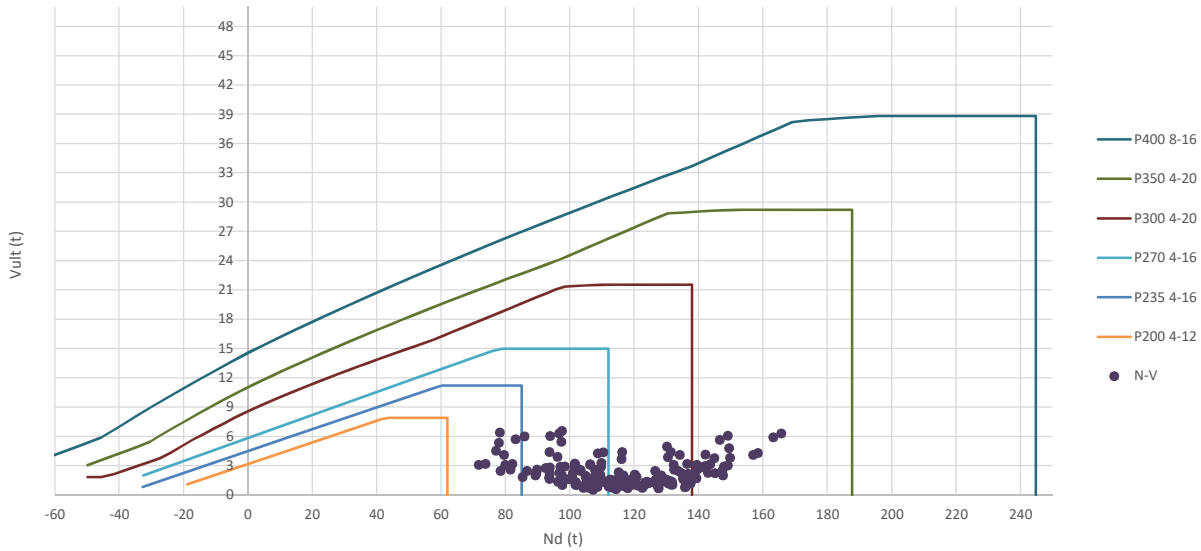
	G-Sx+0,3*Q	2	162,89	5,64	162,89	3,77	ELU
HIP.41	G+Sy+0,3*Q	1	179,96	4,58	179,96	3,06	ELU
	G+Sy+0,3*Q	2	134,29	4,60	134,29	3,08	ELU
HIP.42	G-Sy+0,3*Q	1	116,09	5,62	116,09	3,76	ELU
	G-Sy+0,3*Q	2	164,08	5,65	164,08	3,78	ELU
HIP.43	G+Sx+0,3*Sy+0,3*Q	1	184,70	5,96	184,70	3,99	ELU
	G+Sx+0,3*Sy+0,3*Q	2	131,01	6,01	131,01	4,02	ELU
HIP.44	G+Sx-0,3*Sy+0,3*Q	1	165,53	2,95	165,53	1,98	ELU
	G+Sx-0,3*Sy+0,3*Q	2	139,95	2,99	139,95	2,00	ELU
HIP.45	G-Sx+0,3*Sy+0,3*Q	1	130,51	4,13	130,51	2,76	ELU
	G-Sx+0,3*Sy+0,3*Q	2	158,42	4,16	158,42	2,79	ELU
HIP.46	G-Sx-0,3*Sy+0,3*Q	1	111,35	7,08	111,35	4,74	ELU
	G-Sx-0,3*Sy+0,3*Q	2	167,35	7,14	167,35	4,77	ELU
HIP.47	G+Sy+0,3*Sx+0,3*Q	1	188,09	6,04	188,09	4,04	ELU
	G+Sy+0,3*Sx+0,3*Q	2	130,18	6,08	130,18	4,07	ELU
HIP.48	G+Sy-0,3*Sx+0,3*Q	1	171,83	3,16	171,83	2,12	ELU
	G+Sy-0,3*Sx+0,3*Q	2	138,40	3,17	138,40	2,12	ELU
HIP.49	G-Sy+0,3*Sx+0,3*Q	1	124,21	4,15	124,21	2,77	ELU
	G-Sy+0,3*Sx+0,3*Q	2	159,97	4,16	159,97	2,78	ELU
HIP.50	G-Sy-0,3*Sx+0,3*Q	1	107,96	7,11	107,96	4,76	ELU
	G-Sy-0,3*Sx+0,3*Q	2	168,19	7,15	168,19	4,79	ELU
HIP.51	G+BOMB	1	141,17	0,81	141,17	0,54	ELU
	G+BOMB	2	144,48	0,81	144,48	0,54	ELU
HIP.52	G+BOMB+0,5*Q	1	153,41	1,35	153,41	0,90	ELU
	G+BOMB+0,5*Q	2	160,65	1,35	160,65	0,90	ELU
HIP.53	G+BOMB+0,5*V193	1	141,89	1,20	141,89	0,80	ELU
	G+BOMB+0,5*V193	2	143,80	1,20	143,80	0,80	ELU
HIP.54	G+BOMB+0,5*V194	1	141,03	1,28	141,03	0,86	ELU
	G+BOMB+0,5*V194	2	144,24	1,28	144,24	0,86	ELU
HIP.55	G+BOMB+0,5*V195	1	140,45	0,94	140,45	0,63	ELU
	G+BOMB+0,5*V195	2	145,15	0,94	145,15	0,63	ELU
HIP.56	G+BOMB+0,5*V196	1	141,31	0,83	141,31	0,55	ELU
	G+BOMB+0,5*V196	2	144,72	0,83	144,72	0,55	ELU
HIP.57	G+BOMB+0,5*V197	1	104,82	6,46	104,82	4,32	ELU
	G+BOMB+0,5*V197	2	163,98	6,46	163,98	4,32	ELU
HIP.58	G+BOMB+0,5*V198	1	114,55	4,96	114,55	3,32	ELU
	G+BOMB+0,5*V198	2	159,06	4,96	159,06	3,32	ELU
HIP.59	G+BOMB+0,5*V199	1	177,52	4,99	177,52	3,34	ELU
	G+BOMB+0,5*V199	2	124,97	4,99	124,97	3,34	ELU
HIP.60	G+BOMB+0,5*V200	1	167,78	3,53	167,78	2,36	ELU
	G+BOMB+0,5*V200	2	129,89	3,53	129,89	2,36	ELU
HIP.61	G+BOMB+0,5*V1+0,3*Q	1	149,23	1,38	149,23	0,92	ELU
	G+BOMB+0,5*V1+0,3*Q	2	153,50	1,38	153,50	0,92	ELU
HIP.62	G+BOMB+0,5*V2+0,3*Q	1	148,37	1,49	148,37	0,99	ELU
	G+BOMB+0,5*V2+0,3*Q	2	153,94	1,49	153,94	0,99	ELU
HIP.63	G+BOMB+0,5*V3+0,3*Q	1	147,80	1,28	147,80	0,86	ELU
	G+BOMB+0,5*V3+0,3*Q	2	154,86	1,28	154,86	0,86	ELU
HIP.64	G+BOMB+0,5*V4+0,3*Q	1	148,65	1,17	148,65	0,78	ELU
	G+BOMB+0,5*V4+0,3*Q	2	154,42	1,17	154,42	0,78	ELU
HIP.65	G+BOMB+0,5*V5+0,3*Q	1	112,17	6,81	112,17	4,55	ELU
	G+BOMB+0,5*V5+0,3*Q	2	173,69	6,81	173,69	4,56	ELU
HIP.66	G+BOMB+0,5*V6+0,3*Q	1	121,90	5,32	121,90	3,56	ELU
	G+BOMB+0,5*V6+0,3*Q	2	168,77	5,32	168,77	3,56	ELU
HIP.67	G+BOMB+0,5*V7+0,3*Q	1	184,86	4,63	184,86	3,10	ELU
	G+BOMB+0,5*V7+0,3*Q	2	134,67	4,63	134,67	3,10	ELU
HIP.68	G+BOMB+0,5*V8+0,3*Q	1	175,13	3,18	175,13	2,13	ELU
	G+BOMB+0,5*V8+0,3*Q	2	139,59	3,18	139,59	2,13	ELU

Seccion (mm.)	e _x (m.)	e _y (m.)	Henc. (m.)
350	1,25	1,25	1,10
COMPROBACIÓN (compresión)	CUMPLE		
MAX. AXIL	165,65		(TON)
MIN. AXIL	0,00		(TON)
COMPROBACIÓN (tracción)	CUMPLE		
L.1(m)	0,00		
L.2(m)	0,00		
L.Influenc.(m)	0,00		
CERRAM.(ton.)	0,00		
αx (inclinación)	0,00		
αy (inclinación)	0,00		

Curva de resistencia axil-momento (en cualquier dirección)



Curva de resistencia axil-cortante



PILAR: P26



COMPROBACIÓN ESFUERZOS:

P18147P Parcela R20

	LC: COMB.	nº PILOTE	N _{pilote} (T) a ras de suelo	M ult. Pilote (mT)	N _{pilote} (T) a ras de suelo	V ult.-Pilote (T)	ESTADO LIMITE
HIP.1	G	1	108,61	1,07	108,61	0,82	ELS
	G	2	104,19	0,97	104,19	0,74	ELS
	G	3	113,01	1,01	113,01	0,77	ELS
HIP.2	G+Q	1	123,97	1,79	123,97	1,37	ELS
	G+Q	2	131,81	1,40	131,81	1,07	ELS
	G+Q	3	136,77	1,78	136,77	1,36	ELS
HIP.3	G+V201	1	115,21	1,72	115,21	1,32	ELS
	G+V201	2	96,32	1,81	96,32	1,39	ELS
	G+V201	3	114,29	1,85	114,29	1,41	ELS
HIP.4	G+V202	1	115,53	1,80	115,53	1,38	ELS
	G+V202	2	96,38	1,77	96,38	1,35	ELS
	G+V202	3	113,94	1,76	113,94	1,34	ELS
HIP.5	G+V203	1	102,01	1,32	102,01	1,01	ELS
	G+V203	2	112,07	1,10	112,07	0,84	ELS
	G+V203	3	111,72	1,44	111,72	1,10	ELS
HIP.6	G+V204	1	101,68	1,37	101,68	1,05	ELS
	G+V204	2	112,01	1,27	112,01	0,97	ELS
	G+V204	3	112,08	1,43	112,08	1,09	ELS
HIP.7	G+V205	1	85,86	7,88	85,86	6,02	ELS
	G+V205	2	77,95	7,00	77,95	5,35	ELS
	G+V205	3	146,52	7,39	146,52	5,65	ELS
HIP.8	G+V206	1	83,13	7,48	83,13	5,71	ELS
	G+V206	2	78,23	8,38	78,23	6,41	ELS
	G+V206	3	149,01	7,96	149,01	6,08	ELS
HIP.9	G+V207	1	131,35	5,74	131,35	4,39	ELS
	G+V207	2	130,43	5,07	130,43	3,87	ELS
	G+V207	3	79,49	5,38	79,49	4,11	ELS
HIP.10	G+V208	1	134,09	5,37	134,09	4,11	ELS
	G+V208	2	130,16	6,48	130,16	4,96	ELS
	G+V208	3	77,00	5,94	77,00	4,54	ELS
HIP.11	G+Q+0,6*V201	1	127,93	1,73	127,93	1,32	ELS
	G+Q+0,6*V201	2	127,09	1,43	127,09	1,10	ELS
	G+Q+0,6*V201	3	137,54	1,60	137,54	1,23	ELS
HIP.12	G+Q+0,6*V202	1	128,12	1,74	128,12	1,33	ELS
	G+Q+0,6*V202	2	127,12	1,34	127,12	1,02	ELS
	G+Q+0,6*V202	3	137,33	1,57	137,33	1,20	ELS
HIP.13	G+Q+0,6*V203	1	120,01	2,07	120,01	1,58	ELS
	G+Q+0,6*V203	2	136,53	1,67	136,53	1,28	ELS
	G+Q+0,6*V203	3	136,00	2,24	136,00	1,71	ELS
HIP.14	G+Q+0,6*V204	1	119,82	2,09	119,82	1,60	ELS
	G+Q+0,6*V204	2	136,50	1,77	136,50	1,35	ELS
	G+Q+0,6*V204	3	136,21	2,23	136,21	1,71	ELS
HIP.15	G+Q+0,6*V205	1	110,32	5,72	110,32	4,38	ELS
	G+Q+0,6*V205	2	116,07	4,83	116,07	3,69	ELS
	G+Q+0,6*V205	3	156,88	5,37	156,88	4,11	ELS
HIP.16	G+Q+0,6*V206	1	108,68	5,57	108,68	4,26	ELS
	G+Q+0,6*V206	2	116,23	5,74	116,23	4,39	ELS
	G+Q+0,6*V206	3	158,37	5,63	158,37	4,31	ELS
HIP.17	G+Q+0,6*V207	1	137,62	2,64	137,62	2,02	ELS
	G+Q+0,6*V207	2	147,55	2,61	147,55	2,00	ELS
	G+Q+0,6*V207	3	116,66	2,61	116,66	2,00	ELS
HIP.18	G+Q+0,6*V208	1	139,26	2,25	139,26	1,72	ELS
	G+Q+0,6*V208	2	147,39	3,27	147,39	2,50	ELS
	G+Q+0,6*V208	3	115,17	3,06	115,17	2,34	ELS
HIP.19	G+V1+0,7*Q	1	125,96	1,73	125,96	1,32	ELS
	G+V1+0,7*Q	2	115,65	1,64	115,65	1,25	ELS
	G+V1+0,7*Q	3	130,93	1,65	130,93	1,26	ELS
HIP.20	G+V2+0,7*Q	1	126,28	1,78	126,28	1,36	ELS
	G+V2+0,7*Q	2	115,71	1,54	115,71	1,17	ELS
	G+V2+0,7*Q	3	130,57	1,56	130,57	1,19	ELS
HIP.21	G+V3+0,7*Q	1	112,76	2,03	112,76	1,55	ELS
	G+V3+0,7*Q	2	131,40	1,71	131,40	1,30	ELS
	G+V3+0,7*Q	3	128,36	2,27	128,36	1,74	ELS
HIP.22	G+V4+0,7*Q	1	112,44	2,09	112,44	1,60	ELS
	G+V4+0,7*Q	2	131,34	1,86	131,34	1,42	ELS
	G+V4+0,7*Q	3	128,71	2,25	128,71	1,72	ELS
HIP.23	G+V5+0,7*Q	1	96,62	8,25	96,62	6,31	ELS
	G+V5+0,7*Q	2	97,29	7,14	97,29	5,46	ELS
	G+V5+0,7*Q	3	163,16	7,72	163,16	5,90	ELS
HIP.24	G+V6+0,7*Q	1	93,88	7,92	93,88	6,06	ELS
	G+V6+0,7*Q	2	97,56	8,59	97,56	6,57	ELS
	G+V6+0,7*Q	3	165,65	8,23	165,65	6,29	ELS
HIP.25	G+V7+0,7*Q	1	142,11	5,41	142,11	4,14	ELS
	G+V7+0,7*Q	2	149,77	4,98	149,77	3,81	ELS
	G+V7+0,7*Q	3	96,13	5,13	96,13	3,92	ELS
HIP.26	G+V8+0,7*Q	1	144,84	4,94	144,84	3,78	ELS
	G+V8+0,7*Q	2	149,49	6,28	149,49	4,80	ELS
	G+V8+0,7*Q	3	93,64	5,76	93,64	4,41	ELS
HIP.27	G+Sx	1	113,94	1,93	113,94	1,48	ELU

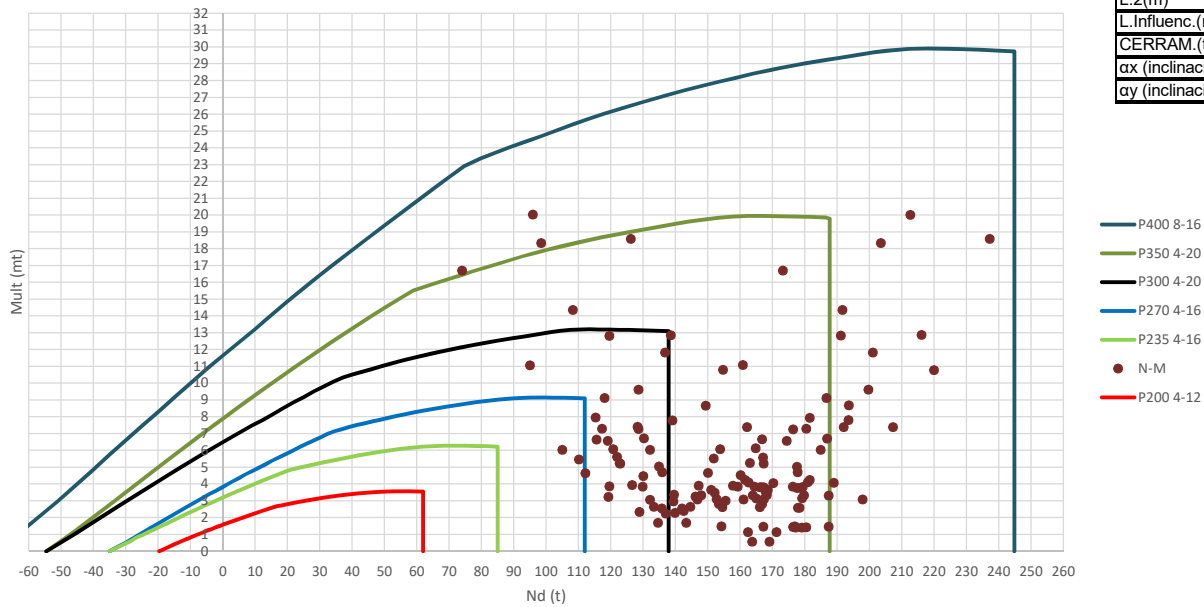
	G+Sx	2	129,94	2,06	129,94	1,57	ELU
	G+Sx	3	99,55	2,10	99,55	1,60	ELU
HIP.28	G-Sx	1	103,28	3,21	103,28	2,45	ELU
	G-Sx	2	78,45	3,24	78,45	2,47	ELU
	G-Sx	3	126,47	3,24	126,47	2,47	ELU
HIP.29	G+Sy	1	113,96	1,96	113,96	1,50	ELU
	G+Sy	2	126,88	2,13	126,88	1,63	ELU
	G+Sy	3	93,64	2,14	93,64	1,63	ELU
HIP.30	G-Sy	1	103,25	3,34	103,25	2,55	ELU
	G-Sy	2	81,51	3,39	81,51	2,59	ELU
	G-Sy	3	132,38	3,38	132,38	2,58	ELU
HIP.31	G+Sx+0,3*Sy	1	115,54	2,69	115,54	2,06	ELU
	G+Sx+0,3*Sy	2	136,75	2,86	136,75	2,19	ELU
	G+Sx+0,3*Sy	3	93,74	2,89	93,74	2,21	ELU
HIP.32	G+Sx-0,3*Sy	1	112,33	1,22	112,33	0,93	ELU
	G+Sx-0,3*Sy	2	123,14	1,29	123,14	0,99	ELU
	G+Sx-0,3*Sy	3	105,36	1,35	105,36	1,03	ELU
HIP.33	G-Sx+0,3*Sy	1	104,89	2,42	104,89	1,85	ELU
	G-Sx+0,3*Sy	2	85,25	2,41	85,25	1,85	ELU
	G-Sx+0,3*Sy	3	120,65	2,41	120,65	1,85	ELU
HIP.34	G-Sx-0,3*Sy	1	101,67	4,00	101,67	3,06	ELU
	G-Sx-0,3*Sy	2	71,64	4,06	71,64	3,10	ELU
	G-Sx-0,3*Sy	3	132,28	4,06	132,28	3,10	ELU
HIP.35	G+Sy+0,3*Sx	1	115,56	2,73	115,56	2,09	ELU
	G+Sy+0,3*Sx	2	134,61	2,92	134,61	2,23	ELU
	G+Sy+0,3*Sx	3	89,60	2,93	89,60	2,24	ELU
HIP.36	G+Sy-0,3*Sx	1	112,36	1,20	112,36	0,92	ELU
	G+Sy-0,3*Sx	2	119,16	1,35	119,16	1,03	ELU
	G+Sy-0,3*Sx	3	97,68	1,34	97,68	1,03	ELU
HIP.37	G-Sy+0,3*Sx	1	104,85	2,60	104,85	1,99	ELU
	G-Sy+0,3*Sx	2	89,23	2,62	89,23	2,01	ELU
	G-Sy+0,3*Sx	3	128,34	2,62	128,34	2,00	ELU
HIP.38	G-Sy-0,3*Sx	1	101,65	4,09	101,65	3,12	ELU
	G-Sy-0,3*Sx	2	73,78	4,16	73,78	3,18	ELU
	G-Sy-0,3*Sx	3	136,42	4,16	136,42	3,18	ELU
HIP.39	G+Sx+0,3*Q	1	118,54	1,98	118,54	1,51	ELU
	G+Sx+0,3*Q	2	138,23	2,14	138,23	1,63	ELU
	G+Sx+0,3*Q	3	106,68	2,21	106,68	1,69	ELU
HIP.40	G-Sx+0,3*Q	1	107,89	3,24	107,89	2,47	ELU
	G-Sx+0,3*Q	2	86,73	3,21	86,73	2,45	ELU
	G-Sx+0,3*Q	3	133,59	3,21	133,59	2,45	ELU
HIP.41	G+Sy+0,3*Q	1	118,57	1,96	118,57	1,50	ELU
	G+Sy+0,3*Q	2	135,17	2,17	135,17	1,66	ELU
	G+Sy+0,3*Q	3	100,77	2,20	100,77	1,68	ELU
HIP.42	G-Sy+0,3*Q	1	107,86	3,39	107,86	2,59	ELU
	G-Sy+0,3*Q	2	89,79	3,38	89,79	2,59	ELU
	G-Sy+0,3*Q	3	139,51	3,39	139,51	2,59	ELU
HIP.43	G+Sx+0,3*Sy+0,3*Q	1	120,15	2,71	120,15	2,07	ELU
	G+Sx+0,3*Sy+0,3*Q	2	145,03	2,92	145,03	2,23	ELU
	G+Sx+0,3*Sy+0,3*Q	3	100,87	2,98	100,87	2,28	ELU
HIP.44	G+Sx-0,3*Sy+0,3*Q	1	116,94	1,31	116,94	1,00	ELU
	G+Sx-0,3*Sy+0,3*Q	2	131,42	1,40	131,42	1,07	ELU
	G+Sx-0,3*Sy+0,3*Q	3	112,49	1,51	112,49	1,15	ELU
HIP.45	G-Sx+0,3*Sy+0,3*Q	1	109,49	2,44	109,49	1,87	ELU
	G-Sx+0,3*Sy+0,3*Q	2	93,54	2,38	93,54	1,82	ELU
	G-Sx+0,3*Sy+0,3*Q	3	127,78	2,39	127,78	1,82	ELU
HIP.46	G-Sx-0,3*Sy+0,3*Q	1	106,28	4,03	106,28	3,08	ELU
	G-Sx-0,3*Sy+0,3*Q	2	79,92	4,03	79,92	3,08	ELU
	G-Sx-0,3*Sy+0,3*Q	3	139,40	4,03	139,40	3,08	ELU
HIP.47	G+Sy+0,3*Sx+0,3*Q	1	120,17	2,72	120,17	2,08	ELU
	G+Sy+0,3*Sx+0,3*Q	2	142,89	2,96	142,89	2,26	ELU
	G+Sy+0,3*Sx+0,3*Q	3	96,73	2,99	96,73	2,29	ELU
HIP.48	G+Sy-0,3*Sx+0,3*Q	1	116,97	1,19	116,97	0,91	ELU
	G+Sy-0,3*Sx+0,3*Q	2	127,44	1,38	127,44	1,06	ELU
	G+Sy-0,3*Sx+0,3*Q	3	104,80	1,41	104,80	1,08	ELU
HIP.49	G-Sy+0,3*Sx+0,3*Q	1	109,46	2,67	109,46	2,04	ELU
	G-Sy+0,3*Sx+0,3*Q	2	97,52	2,63	97,52	2,01	ELU
	G-Sy+0,3*Sx+0,3*Q	3	135,47	2,64	135,47	2,02	ELU
HIP.50	G-Sy-0,3*Sx+0,3*Q	1	106,26	4,13	106,26	3,16	ELU
	G-Sy-0,3*Sx+0,3*Q	2	82,07	4,15	82,07	3,17	ELU
	G-Sy-0,3*Sx+0,3*Q	3	143,54	4,15	143,54	3,17	ELU
HIP.51	G+BOMB	1	105,16	1,55	105,16	1,18	ELU
	G+BOMB	2	114,49	1,81	114,49	1,38	ELU
	G+BOMB	3	123,93	1,60	123,93	1,22	ELU
HIP.52	G+BOMB+0,5*Q	1	112,84	1,85	112,84	1,42	ELU
	G+BOMB+0,5*Q	2	128,30	2,01	128,30	1,53	ELU
	G+BOMB+0,5*Q	3	135,81	1,86	135,81	1,42	ELU
HIP.53	G+BOMB+0,5*V201	1	108,46	1,48	108,46	1,13	ELU
	G+BOMB+0,5*V201	2	110,55	1,83	110,55	1,40	ELU
	G+BOMB+0,5*V201	3	124,58	1,63	124,58	1,25	ELU
HIP.54	G+BOMB+0,5*V202	1	108,62	1,48	108,62	1,13	ELU
	G+BOMB+0,5*V202	2	110,58	1,78	110,58	1,36	ELU
	G+BOMB+0,5*V202	3	124,40	1,61	124,40	1,23	ELU
HIP.55	G+BOMB+0,5*V203	1	101,86	1,70	101,86	1,30	ELU
	G+BOMB+0,5*V203	2	118,42	1,87	118,42	1,43	ELU
	G+BOMB+0,5*V203	3	123,29	1,69	123,29	1,29	ELU
HIP.56	G+BOMB+0,5*V204	1	101,70	1,71	101,70	1,31	ELU
	G+BOMB+0,5*V204	2	118,39	1,93	118,39	1,47	ELU
	G+BOMB+0,5*V204	3	123,47	1,70	123,47	1,30	ELU
HIP.57	G+BOMB+0,5*V205	1	93,79	3,69	93,79	2,82	ELU
	G+BOMB+0,5*V205	2	101,37	3,71	101,37	2,84	ELU

	G+BOMB+0,5*V205	3	140,69	3,70	140,69	2,83	ELU
HIP.58	G+BOMB+0,5*V206	1	92,42	3,62	92,42	2,77	ELU
	G+BOMB+0,5*V206	2	101,50	4,23	101,50	3,23	ELU
	G+BOMB+0,5*V206	3	141,94	3,86	141,94	2,95	ELU
HIP.59	G+BOMB+0,5*V207	1	116,53	1,21	116,53	0,93	ELU
	G+BOMB+0,5*V207	2	127,61	0,92	127,61	0,70	ELU
	G+BOMB+0,5*V207	3	107,18	0,70	107,18	0,54	ELU
HIP.60	G+BOMB+0,5*V208	1	117,90	0,91	117,90	0,70	ELU
	G+BOMB+0,5*V208	2	127,47	0,96	127,47	0,73	ELU
	G+BOMB+0,5*V208	3	105,93	0,96	105,93	0,74	ELU
HIP.61	G+BOMB+0,5*V1+0,3*Q	1	113,07	1,63	113,07	1,25	ELU
	G+BOMB+0,5*V1+0,3*Q	2	118,84	1,92	118,84	1,47	ELU
	G+BOMB+0,5*V1+0,3*Q	3	131,70	1,73	131,70	1,32	ELU
HIP.62	G+BOMB+0,5*V2+0,3*Q	1	113,23	1,63	113,23	1,24	ELU
	G+BOMB+0,5*V2+0,3*Q	2	118,87	1,86	118,87	1,42	ELU
	G+BOMB+0,5*V2+0,3*Q	3	131,53	1,71	131,53	1,30	ELU
HIP.63	G+BOMB+0,5*V3+0,3*Q	1	106,47	1,90	106,47	1,45	ELU
	G+BOMB+0,5*V3+0,3*Q	2	126,71	2,01	126,71	1,53	ELU
	G+BOMB+0,5*V3+0,3*Q	3	130,42	1,88	130,42	1,44	ELU
HIP.64	G+BOMB+0,5*V4+0,3*Q	1	106,31	1,91	106,31	1,46	ELU
	G+BOMB+0,5*V4+0,3*Q	2	126,68	2,07	126,68	1,58	ELU
	G+BOMB+0,5*V4+0,3*Q	3	130,60	1,89	130,60	1,44	ELU
HIP.65	G+BOMB+0,5*V5+0,3*Q	1	98,40	3,83	98,40	2,93	ELU
	G+BOMB+0,5*V5+0,3*Q	2	109,65	3,79	109,65	2,90	ELU
	G+BOMB+0,5*V5+0,3*Q	3	147,82	3,82	147,82	2,92	ELU
HIP.66	G+BOMB+0,5*V6+0,3*Q	1	97,03	3,78	97,03	2,89	ELU
	G+BOMB+0,5*V6+0,3*Q	2	109,79	4,32	109,79	3,30	ELU
	G+BOMB+0,5*V6+0,3*Q	3	149,06	3,97	149,06	3,03	ELU
HIP.67	G+BOMB+0,5*V7+0,3*Q	1	121,14	1,27	121,14	0,97	ELU
	G+BOMB+0,5*V7+0,3*Q	2	135,89	1,07	135,89	0,82	ELU
	G+BOMB+0,5*V7+0,3*Q	3	114,30	0,79	114,30	0,61	ELU
HIP.68	G+BOMB+0,5*V8+0,3*Q	1	122,51	0,94	122,51	0,72	ELU
	G+BOMB+0,5*V8+0,3*Q	2	135,75	1,02	135,75	0,78	ELU
	G+BOMB+0,5*V8+0,3*Q	3	113,06	1,06	113,06	0,81	ELU

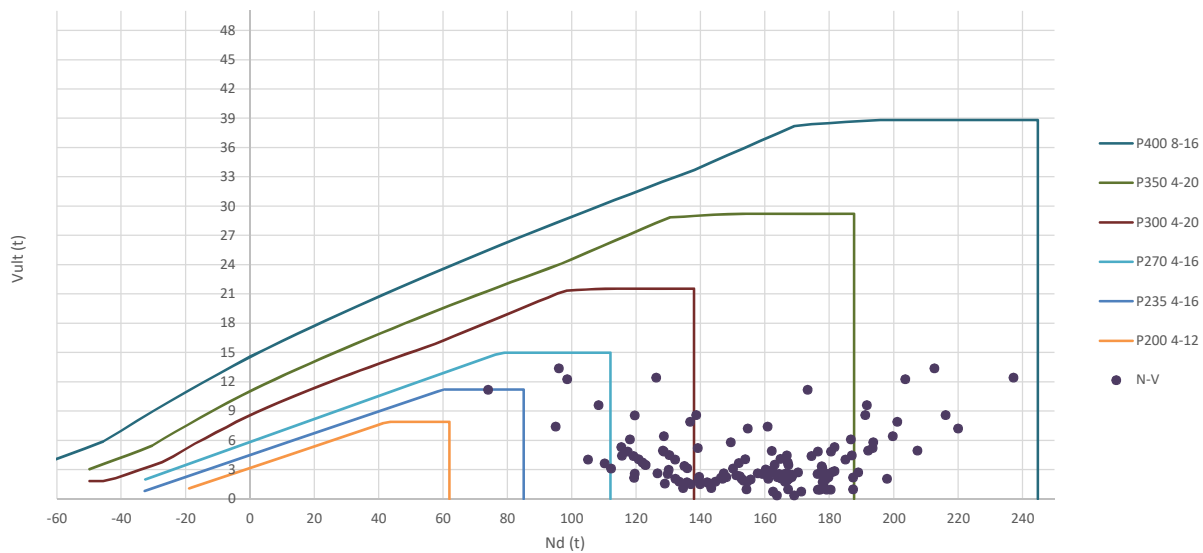
Seccion (mm.)	e _x (m.)	e _y (m.)	Henc. (m.)
400	0,00	1,40	1,25
COMPROBACIÓN (compresión)	CUMPLE		
MAX. AXIL	237,15		(TON)
MIN. AXIL	0,00		(TON)
COMPROBACIÓN (tracción)	CUMPLE		

L.1(m)	0,00
L.2(m)	0,00
L.Influenc.(m)	0,00
CERRAM.(ton.)	0,00
αx (inclinación)	0,00
αy (inclinación)	0,00

Curva de resistencia axil-momento (en cualquier dirección)



Curva de resistencia axil-cortante



PILAR: P28



COMPROBACIÓN ESFUERZOS:

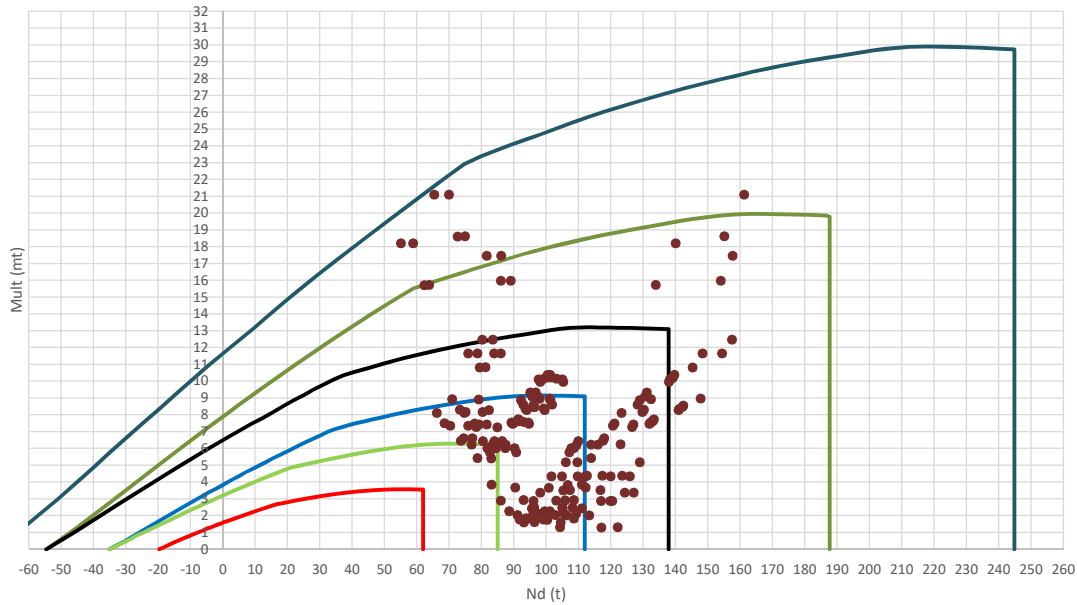
P18147P Parcela R20

	LC: COMB.	nº PILOTE	N _{pilote} (T) a ras de suelo	M ult. Pilote (mT)	N _{pilote} (T) a ras de suelo	V ult.-Pilote (T)	ESTADO LIMITE
HIP.1	G	1	143,29	1,69	143,29	1,13	ELS
	G	2	134,54	1,69	134,54	1,13	ELS
HIP.2	G+Q	1	178,33	2,60	178,33	1,74	ELS
	G+Q	2	177,85	2,60	177,85	1,74	ELS
HIP.3	G+V217	1	139,85	2,28	139,85	1,53	ELS
	G+V217	2	136,96	2,25	136,96	1,51	ELS
HIP.4	G+V218	1	142,01	2,55	142,01	1,70	ELS
	G+V218	2	135,74	2,55	135,74	1,70	ELS
HIP.5	G+V219	1	146,73	3,09	146,73	2,07	ELS
	G+V219	2	132,12	3,08	132,12	2,06	ELS
HIP.6	G+V220	1	144,56	2,64	144,56	1,77	ELS
	G+V220	2	133,35	2,64	133,35	1,77	ELS
HIP.7	G+V221	1	94,99	11,08	94,99	7,41	ELS
	G+V221	2	160,81	11,08	160,81	7,41	ELS
HIP.8	G+V222	1	73,95	16,71	73,95	11,18	ELS
	G+V222	2	173,20	16,71	173,20	11,18	ELS
HIP.9	G+V223	1	191,59	14,36	191,59	9,60	ELS
	G+V223	2	108,27	14,36	108,27	9,60	ELS
HIP.10	G+V224	1	212,62	20,03	212,62	13,40	ELS
	G+V224	2	95,89	20,03	95,89	13,40	ELS
HIP.11	G+Q+0,6*V217	1	176,27	3,84	176,27	2,57	ELS
	G+Q+0,6*V217	2	179,30	3,82	179,30	2,56	ELS
HIP.12	G+Q+0,6*V218	1	177,56	3,78	177,56	2,53	ELS
	G+Q+0,6*V218	2	178,57	3,78	178,57	2,53	ELS
HIP.13	G+Q+0,6*V219	1	180,39	1,43	180,39	0,95	ELS
	G+Q+0,6*V219	2	176,40	1,45	176,40	0,97	ELS
HIP.14	G+Q+0,6*V220	1	179,09	1,42	179,09	0,95	ELS
	G+Q+0,6*V220	2	177,14	1,42	177,14	0,95	ELS
HIP.15	G+Q+0,6*V221	1	149,35	8,67	149,35	5,80	ELS
	G+Q+0,6*V221	2	193,62	8,68	193,62	5,81	ELS
HIP.16	G+Q+0,6*V222	1	136,73	11,83	136,73	7,91	ELS
	G+Q+0,6*V222	2	201,05	11,83	201,05	7,91	ELS
HIP.17	G+Q+0,6*V223	1	207,31	7,40	207,31	4,95	ELS
	G+Q+0,6*V223	2	162,09	7,39	162,09	4,94	ELS
HIP.18	G+Q+0,6*V224	1	219,93	10,79	219,93	7,22	ELS
	G+Q+0,6*V224	2	154,66	10,79	154,66	7,22	ELS
HIP.19	G+V1+0,7*Q	1	164,38	3,85	164,38	2,58	ELS
	G+V1+0,7*Q	2	167,28	3,82	167,28	2,56	ELS
HIP.20	G+V2+0,7*Q	1	166,54	3,81	166,54	2,55	ELS
	G+V2+0,7*Q	2	166,05	3,81	166,05	2,55	ELS
HIP.21	G+V3+0,7*Q	1	171,25	1,14	171,25	0,76	ELS
	G+V3+0,7*Q	2	162,44	1,14	162,44	0,76	ELS
HIP.22	G+V4+0,7*Q	1	169,09	0,57	169,09	0,38	ELS
	G+V4+0,7*Q	2	163,67	0,57	163,67	0,38	ELS
HIP.23	G+V5+0,7*Q	1	119,51	12,82	119,51	8,58	ELS
	G+V5+0,7*Q	2	191,13	12,84	191,13	8,59	ELS
HIP.24	G+V6+0,7*Q	1	98,48	18,34	98,48	12,27	ELS
	G+V6+0,7*Q	2	203,51	18,34	203,51	12,27	ELS
HIP.25	G+V7+0,7*Q	1	216,12	12,87	216,12	8,61	ELS
	G+V7+0,7*Q	2	138,59	12,87	138,59	8,61	ELS
HIP.26	G+V8+0,7*Q	1	237,15	18,58	237,15	12,43	ELS
	G+V8+0,7*Q	2	126,20	18,59	126,20	12,43	ELS
HIP.27	G+Sx	1	167,06	5,59	167,06	3,74	ELU
	G+Sx	2	121,92	5,61	121,92	3,76	ELU
HIP.28	G-Sx	1	119,52	3,86	119,52	2,58	ELU
	G-Sx	2	147,17	3,91	147,17	2,62	ELU
HIP.29	G+Sy	1	174,42	6,57	174,42	4,39	ELU
	G+Sy	2	119,08	6,58	119,08	4,40	ELU
HIP.30	G-Sy	1	112,16	4,65	112,16	3,11	ELU
	G-Sy	2	150,01	4,66	150,01	3,12	ELU
HIP.31	G+Sx+0,3*Sy	1	176,40	7,26	176,40	4,86	ELU
	G+Sx+0,3*Sy	2	117,28	7,29	117,28	4,88	ELU
HIP.32	G+Sx-0,3*Sy	1	157,72	3,91	157,72	2,62	ELU
	G+Sx-0,3*Sy	2	126,56	3,94	126,56	2,63	ELU
HIP.33	G-Sx+0,3*Sy	1	128,86	2,34	128,86	1,57	ELU
	G-Sx+0,3*Sy	2	142,53	2,39	142,53	1,60	ELU
HIP.34	G-Sx-0,3*Sy	1	110,18	5,47	110,18	3,66	ELU
	G-Sx-0,3*Sy	2	151,81	5,52	151,81	3,69	ELU
HIP.35	G+Sy+0,3*Sx	1	181,55	7,94	181,55	5,31	ELU
	G+Sy+0,3*Sx	2	115,29	7,96	115,29	5,32	ELU
HIP.36	G+Sy-0,3*Sx	1	167,29	5,22	167,29	3,49	ELU
	G+Sy-0,3*Sx	2	122,86	5,22	122,86	3,49	ELU
HIP.37	G-Sy+0,3*Sx	1	119,29	3,25	119,29	2,17	ELU
	G-Sy+0,3*Sx	2	146,22	3,25	146,22	2,18	ELU
HIP.38	G-Sy-0,3*Sx	1	105,02	6,05	105,02	4,04	ELU
	G-Sy-0,3*Sx	2	153,79	6,07	153,79	4,06	ELU
HIP.39	G+Sx+0,3*Q	1	177,57	5,03	177,57	3,36	ELU
	G+Sx+0,3*Q	2	134,91	5,05	134,91	3,38	ELU
HIP.40	G-Sx+0,3*Q	1	130,03	4,48	130,03	3,00	ELU

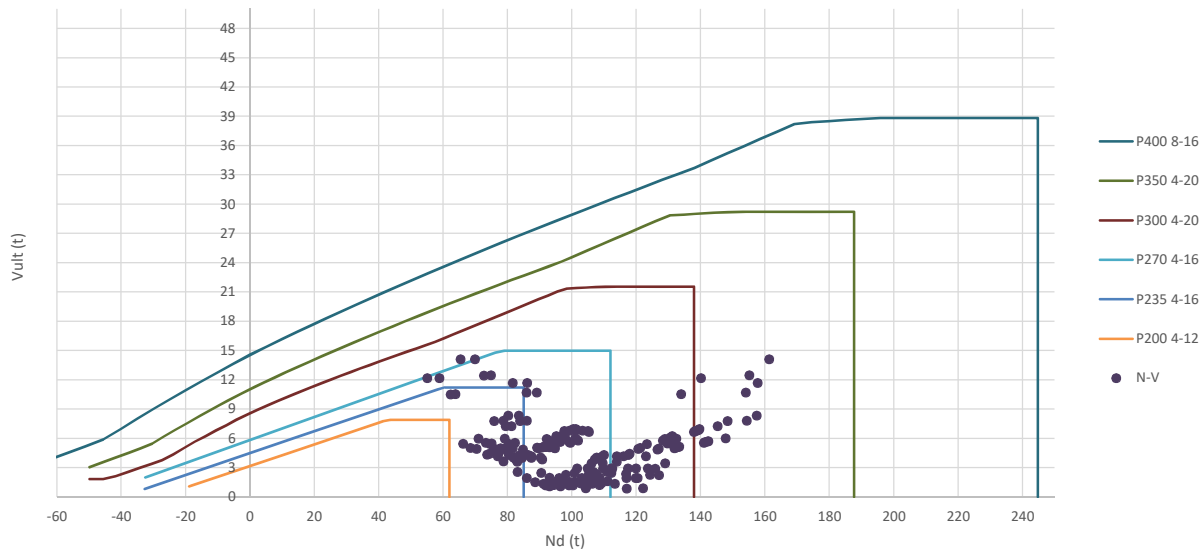
	G-Sx+0,3*Q	2	160,16	4,53	160,16	3,03	ELU
HIP.41	G+Sy+0,3*Q	1	184,93	6,04	184,93	4,04	ELU
	G+Sy+0,3*Q	2	132,07	6,05	132,07	4,04	ELU
HIP.42	G-Sy+0,3*Q	1	122,67	5,24	122,67	3,51	ELU
	G-Sy+0,3*Q	2	163,00	5,26	163,00	3,52	ELU
HIP.43	G+Sx+0,3*Sy+0,3*Q	1	186,91	6,70	186,91	4,48	ELU
	G+Sx+0,3*Sy+0,3*Q	2	130,27	6,73	130,27	4,50	ELU
HIP.44	G+Sx-0,3*Sy+0,3*Q	1	168,23	3,35	168,23	2,24	ELU
	G+Sx-0,3*Sy+0,3*Q	2	139,55	3,37	139,55	2,26	ELU
HIP.45	G-Sx+0,3*Sy+0,3*Q	1	139,37	2,97	139,37	1,98	ELU
	G-Sx+0,3*Sy+0,3*Q	2	155,52	3,01	155,52	2,02	ELU
HIP.46	G-Sx-0,3*Sy+0,3*Q	1	120,69	6,08	120,69	4,07	ELU
	G-Sx-0,3*Sy+0,3*Q	2	164,80	6,13	164,80	4,10	ELU
HIP.47	G+Sy+0,3*Sx+0,3*Q	1	192,06	7,39	192,06	4,95	ELU
	G+Sy+0,3*Sx+0,3*Q	2	128,28	7,41	128,28	4,96	ELU
HIP.48	G+Sy-0,3*Sx+0,3*Q	1	177,80	4,71	177,80	3,15	ELU
	G+Sy-0,3*Sx+0,3*Q	2	135,86	4,71	135,86	3,15	ELU
HIP.49	G-Sy+0,3*Sx+0,3*Q	1	129,80	3,84	129,80	2,57	ELU
	G-Sy+0,3*Sx+0,3*Q	2	159,21	3,85	159,21	2,58	ELU
HIP.50	G-Sy-0,3*Sx+0,3*Q	1	115,54	6,64	115,54	4,44	ELU
	G-Sy-0,3*Sx+0,3*Q	2	166,79	6,67	166,79	4,46	ELU
HIP.51	G+BOMB	1	152,72	3,11	152,72	2,08	ELU
	G+BOMB	2	167,33	3,12	167,33	2,08	ELU
HIP.52	G+BOMB+0,5*Q	1	170,24	4,06	170,24	2,72	ELU
	G+BOMB+0,5*Q	2	188,98	4,07	188,98	2,73	ELU
HIP.53	G+BOMB+0,5*V217	1	151,00	3,66	151,00	2,45	ELU
	G+BOMB+0,5*V217	2	168,54	3,66	168,54	2,45	ELU
HIP.54	G+BOMB+0,5*V218	1	152,09	3,50	152,09	2,34	ELU
	G+BOMB+0,5*V218	2	167,92	3,51	167,92	2,35	ELU
HIP.55	G+BOMB+0,5*V219	1	154,44	2,64	154,44	1,76	ELU
	G+BOMB+0,5*V219	2	166,12	2,64	166,12	1,77	ELU
HIP.56	G+BOMB+0,5*V220	1	153,36	2,82	153,36	1,89	ELU
	G+BOMB+0,5*V220	2	166,73	2,83	166,73	1,89	ELU
HIP.57	G+BOMB+0,5*V221	1	128,57	7,28	128,57	4,87	ELU
	G+BOMB+0,5*V221	2	180,46	7,29	180,46	4,88	ELU
HIP.58	G+BOMB+0,5*V222	1	118,06	9,13	118,06	6,10	ELU
	G+BOMB+0,5*V222	2	186,65	9,13	186,65	6,11	ELU
HIP.59	G+BOMB+0,5*V223	1	176,87	1,49	176,87	0,99	ELU
	G+BOMB+0,5*V223	2	154,19	1,49	154,19	0,99	ELU
HIP.60	G+BOMB+0,5*V224	1	187,39	3,32	187,39	2,22	ELU
	G+BOMB+0,5*V224	2	148,00	3,33	148,00	2,23	ELU
HIP.61	G+BOMB+0,5*V1+0,3*Q	1	161,52	4,25	161,52	2,85	ELU
	G+BOMB+0,5*V1+0,3*Q	2	181,53	4,26	181,53	2,85	ELU
HIP.62	G+BOMB+0,5*V2+0,3*Q	1	162,60	4,10	162,60	2,74	ELU
	G+BOMB+0,5*V2+0,3*Q	2	180,92	4,11	180,92	2,75	ELU
HIP.63	G+BOMB+0,5*V3+0,3*Q	1	164,95	3,15	164,95	2,11	ELU
	G+BOMB+0,5*V3+0,3*Q	2	179,11	3,16	179,11	2,12	ELU
HIP.64	G+BOMB+0,5*V4+0,3*Q	1	163,87	3,34	163,87	2,23	ELU
	G+BOMB+0,5*V4+0,3*Q	2	179,72	3,34	179,72	2,23	ELU
HIP.65	G+BOMB+0,5*V5+0,3*Q	1	139,08	7,80	139,08	5,22	ELU
	G+BOMB+0,5*V5+0,3*Q	2	193,46	7,81	193,46	5,22	ELU
HIP.66	G+BOMB+0,5*V6+0,3*Q	1	128,57	9,62	128,57	6,43	ELU
	G+BOMB+0,5*V6+0,3*Q	2	199,65	9,62	199,65	6,43	ELU
HIP.67	G+BOMB+0,5*V7+0,3*Q	1	187,39	1,47	187,39	0,98	ELU
	G+BOMB+0,5*V7+0,3*Q	2	167,18	1,47	167,18	0,98	ELU
HIP.68	G+BOMB+0,5*V8+0,3*Q	1	197,90	3,08	197,90	2,06	ELU
	G+BOMB+0,5*V8+0,3*Q	2	160,99	3,09	160,99	2,07	ELU

Seccion (mm.)	e _x (m.)	e _y (m.)	Henc. (m.)
400	2,20	2,20	1,30
COMPROBACIÓN (compresión)	CUMPLE		
MAX. AXIL	161,25		(TON)
MIN. AXIL	0,00		(TON)
COMPROBACIÓN (tracción)	CUMPLE		
L.1(m)	0,00		
L.2(m)	0,00		
L.Influenc.(m)	0,00		
CERRAM.(ton.)	0,00		
αx (inclinación)	0,00		
αy (inclinación)	0,00		

Curva de resistencia axil-momento (en cualquier dirección)



Curva de resistencia axil-cortante



PILAR: P29



COMPROBACIÓN ESFUERZOS:

P18147P Parcela R20

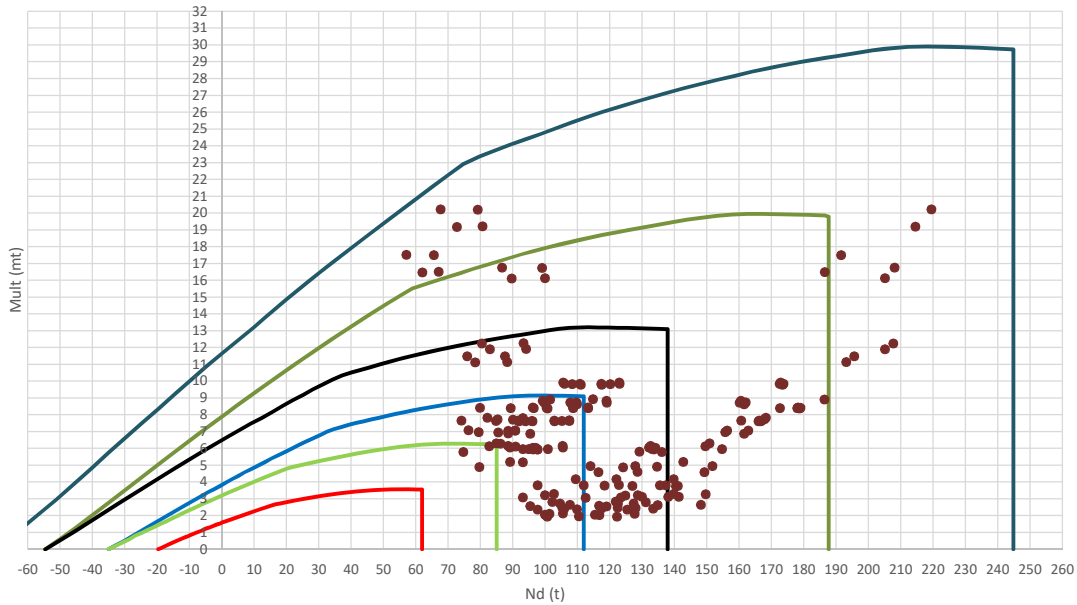
	LC: COMB.	nº PILOTE	N _{pilote} (T) a ras de suelo	M ult. Pilote (mT)	N _{pilote} (T) a ras de suelo	V ult.-Pilote (T)	ESTADO LIMITE
HIP.1	G	1	84,50	6,01	84,50	4,02	ELS
	G	2	87,39	6,01	87,39	4,02	ELS
	G	3	108,52	6,01	108,52	4,02	ELS
HIP.2	G+Q	1	99,26	10,15	99,26	6,79	ELS
	G+Q	2	103,25	10,15	103,25	6,79	ELS
	G+Q	3	138,78	10,15	138,78	6,79	ELS
HIP.3	G+V225	1	86,41	6,44	86,41	4,31	ELS
	G+V225	2	84,02	6,44	84,02	4,31	ELS
	G+V225	3	109,92	6,44	109,92	4,31	ELS
HIP.4	G+V226	1	87,15	6,20	87,15	4,15	ELS
	G+V226	2	84,53	6,20	84,53	4,15	ELS
	G+V226	3	109,32	6,20	109,32	4,15	ELS
HIP.5	G+V227	1	82,59	5,77	82,59	3,86	ELS
	G+V227	2	90,77	5,77	90,77	3,86	ELS
	G+V227	3	107,11	5,77	107,11	3,86	ELS
HIP.6	G+V228	1	81,85	6,02	81,85	4,03	ELS
	G+V228	2	90,26	6,02	90,26	4,03	ELS
	G+V228	3	107,72	6,02	107,72	4,03	ELS
HIP.7	G+V229	1	62,30	15,72	62,30	10,52	ELS
	G+V229	2	63,80	15,74	63,80	10,53	ELS
	G+V229	3	133,91	15,73	133,91	10,52	ELS
HIP.8	G+V230	1	55,07	18,21	55,07	12,18	ELS
	G+V230	2	58,80	18,20	58,80	12,18	ELS
	G+V230	3	140,06	18,21	140,06	12,18	ELS
HIP.9	G+V231	1	106,70	3,83	106,70	2,56	ELS
	G+V231	2	110,99	3,85	110,99	2,58	ELS
	G+V231	3	83,12	3,85	83,12	2,57	ELS
HIP.10	G+V232	1	113,93	6,24	113,93	4,17	ELS
	G+V232	2	115,99	6,23	115,99	4,17	ELS
	G+V232	3	76,97	6,23	76,97	4,17	ELS
HIP.11	G+Q+0,6*V225	1	100,40	10,39	100,40	6,95	ELS
	G+Q+0,6*V225	2	101,22	10,39	101,22	6,95	ELS
	G+Q+0,6*V225	3	139,62	10,39	139,62	6,95	ELS
HIP.12	G+Q+0,6*V226	1	100,85	10,24	100,85	6,85	ELS
	G+Q+0,6*V226	2	101,53	10,24	101,53	6,85	ELS
	G+Q+0,6*V226	3	139,26	10,24	139,26	6,85	ELS
HIP.13	G+Q+0,6*V227	1	98,11	9,96	98,11	6,66	ELS
	G+Q+0,6*V227	2	105,27	9,96	105,27	6,66	ELS
	G+Q+0,6*V227	3	137,94	9,96	137,94	6,66	ELS
HIP.14	G+Q+0,6*V228	1	97,66	10,11	97,66	6,76	ELS
	G+Q+0,6*V228	2	104,96	10,11	104,96	6,76	ELS
	G+Q+0,6*V228	3	138,30	10,11	138,30	6,76	ELS
HIP.15	G+Q+0,6*V229	1	85,94	15,97	85,94	10,68	ELS
	G+Q+0,6*V229	2	89,09	15,98	89,09	10,69	ELS
	G+Q+0,6*V229	3	154,01	15,98	154,01	10,69	ELS
HIP.16	G+Q+0,6*V230	1	81,60	17,47	81,60	11,69	ELS
	G+Q+0,6*V230	2	86,09	17,46	86,09	11,68	ELS
	G+Q+0,6*V230	3	157,70	17,47	157,70	11,68	ELS
HIP.17	G+Q+0,6*V231	1	112,57	4,39	112,57	2,94	ELS
	G+Q+0,6*V231	2	117,41	4,38	117,41	2,93	ELS
	G+Q+0,6*V231	3	123,54	4,38	123,54	2,93	ELS
HIP.18	G+Q+0,6*V232	1	116,92	2,88	116,92	1,93	ELS
	G+Q+0,6*V232	2	120,40	2,89	120,40	1,93	ELS
	G+Q+0,6*V232	3	119,85	2,88	119,85	1,93	ELS
HIP.19	G+V1+0,7*Q	1	96,74	9,33	96,74	6,24	ELS
	G+V1+0,7*Q	2	95,12	9,33	95,12	6,24	ELS
	G+V1+0,7*Q	3	131,10	9,33	131,10	6,24	ELS
HIP.20	G+V2+0,7*Q	1	97,48	9,08	97,48	6,07	ELS
	G+V2+0,7*Q	2	95,63	9,08	95,63	6,07	ELS
	G+V2+0,7*Q	3	130,50	9,08	130,50	6,07	ELS
HIP.21	G+V3+0,7*Q	1	92,92	8,62	92,92	5,77	ELS
	G+V3+0,7*Q	2	101,86	8,62	101,86	5,77	ELS
	G+V3+0,7*Q	3	128,30	8,62	128,30	5,77	ELS
HIP.22	G+V4+0,7*Q	1	92,17	8,87	92,17	5,93	ELS
	G+V4+0,7*Q	2	101,35	8,87	101,35	5,93	ELS
	G+V4+0,7*Q	3	128,90	8,87	128,90	5,93	ELS
HIP.23	G+V5+0,7*Q	1	72,63	18,62	72,63	12,45	ELS
	G+V5+0,7*Q	2	74,89	18,64	74,89	12,47	ELS
	G+V5+0,7*Q	3	155,09	18,63	155,09	12,46	ELS
HIP.24	G+V6+0,7*Q	1	65,40	21,11	65,40	14,12	ELS
	G+V6+0,7*Q	2	69,90	21,10	69,90	14,11	ELS
	G+V6+0,7*Q	3	161,25	21,11	161,25	14,12	ELS
HIP.25	G+V7+0,7*Q	1	117,03	1,30	117,03	0,87	ELS
	G+V7+0,7*Q	2	122,09	1,32	122,09	0,88	ELS
	G+V7+0,7*Q	3	104,30	1,32	104,30	0,88	ELS
HIP.26	G+V8+0,7*Q	1	124,26	3,38	124,26	2,26	ELS
	G+V8+0,7*Q	2	127,08	3,37	127,08	2,25	ELS
	G+V8+0,7*Q	3	98,15	3,37	98,15	2,26	ELS
HIP.27	G+Sx	1	88,58	2,27	88,58	1,52	ELU

	G+Sx	2	101,15	2,26	101,15	1,51	ELU
	G+Sx	3	99,50	2,28	99,50	1,52	ELU
HIP.28	G-Sx	1	80,42	6,45	80,42	4,31	ELU
	G-Sx	2	73,63	6,46	73,63	4,32	ELU
	G-Sx	3	117,53	6,46	117,53	4,32	ELU
HIP.29	G+Sy	1	93,08	1,61	93,08	1,08	ELU
	G+Sy	2	104,45	1,61	104,45	1,08	ELU
	G+Sy	3	96,41	1,62	96,41	1,08	ELU
HIP.30	G-Sy	1	75,92	7,35	75,92	4,92	ELU
	G-Sy	2	70,33	7,36	70,33	4,93	ELU
	G-Sy	3	120,62	7,36	120,62	4,92	ELU
HIP.31	G+Sx+0,3*Sy	1	91,16	2,03	91,16	1,36	ELU
	G+Sx+0,3*Sy	2	106,27	2,03	106,27	1,36	ELU
	G+Sx+0,3*Sy	3	95,87	2,05	95,87	1,37	ELU
HIP.32	G+Sx-0,3*Sy	1	86,01	2,90	86,01	1,94	ELU
	G+Sx-0,3*Sy	2	96,04	2,89	96,04	1,93	ELU
	G+Sx-0,3*Sy	3	103,13	2,90	103,13	1,94	ELU
HIP.33	G-Sx+0,3*Sy	1	82,99	5,42	82,99	3,62	ELU
	G-Sx+0,3*Sy	2	78,75	5,43	78,75	3,63	ELU
	G-Sx+0,3*Sy	3	113,90	5,42	113,90	3,63	ELU
HIP.34	G-Sx-0,3*Sy	1	77,84	7,48	77,84	5,00	ELU
	G-Sx-0,3*Sy	2	68,52	7,50	68,52	5,02	ELU
	G-Sx-0,3*Sy	3	121,16	7,49	121,16	5,01	ELU
HIP.35	G+Sy+0,3*Sx	1	94,31	1,84	94,31	1,23	ELU
	G+Sy+0,3*Sx	2	108,58	1,84	108,58	1,23	ELU
	G+Sy+0,3*Sx	3	93,71	1,85	93,71	1,24	ELU
HIP.36	G+Sy-0,3*Sx	1	91,86	1,77	91,86	1,18	ELU
	G+Sy-0,3*Sx	2	100,32	1,76	100,32	1,18	ELU
	G+Sy-0,3*Sx	3	99,12	1,77	99,12	1,18	ELU
HIP.37	G-Sy+0,3*Sx	1	77,14	6,61	77,14	4,42	ELU
	G-Sy+0,3*Sx	2	74,46	6,61	74,46	4,42	ELU
	G-Sy+0,3*Sx	3	117,92	6,61	117,92	4,42	ELU
HIP.38	G-Sy-0,3*Sx	1	74,69	8,11	74,69	5,42	ELU
	G-Sy-0,3*Sx	2	66,21	8,12	66,21	5,43	ELU
	G-Sy-0,3*Sx	3	123,33	8,12	123,33	5,43	ELU
HIP.39	G+Sx+0,3*Q	1	93,01	2,94	93,01	1,97	ELU
	G+Sx+0,3*Q	2	105,91	2,92	105,91	1,96	ELU
	G+Sx+0,3*Q	3	108,58	2,94	108,58	1,97	ELU
HIP.40	G-Sx+0,3*Q	1	84,84	7,26	84,84	4,86	ELU
	G-Sx+0,3*Q	2	78,39	7,28	78,39	4,87	ELU
	G-Sx+0,3*Q	3	126,61	7,27	126,61	4,86	ELU
HIP.41	G+Sy+0,3*Q	1	97,51	2,13	97,51	1,42	ELU
	G+Sy+0,3*Q	2	109,21	2,12	109,21	1,42	ELU
	G+Sy+0,3*Q	3	105,49	2,13	105,49	1,42	ELU
HIP.42	G-Sy+0,3*Q	1	80,34	8,17	80,34	5,47	ELU
	G-Sy+0,3*Q	2	75,09	8,18	75,09	5,47	ELU
	G-Sy+0,3*Q	3	129,70	8,18	129,70	5,47	ELU
HIP.43	G+Sx+0,3*Sy+0,3*Q	1	95,58	2,45	95,58	1,64	ELU
	G+Sx+0,3*Sy+0,3*Q	2	111,03	2,43	111,03	1,63	ELU
	G+Sx+0,3*Sy+0,3*Q	3	104,95	2,45	104,95	1,64	ELU
HIP.44	G+Sx-0,3*Sy+0,3*Q	1	90,44	3,67	90,44	2,46	ELU
	G+Sx-0,3*Sy+0,3*Q	2	100,79	3,66	100,79	2,45	ELU
	G+Sx-0,3*Sy+0,3*Q	3	112,21	3,67	112,21	2,45	ELU
HIP.45	G-Sx+0,3*Sy+0,3*Q	1	87,42	6,24	87,42	4,17	ELU
	G-Sx+0,3*Sy+0,3*Q	2	83,51	6,25	83,51	4,18	ELU
	G-Sx+0,3*Sy+0,3*Q	3	122,98	6,24	122,98	4,18	ELU
HIP.46	G-Sx-0,3*Sy+0,3*Q	1	82,27	8,29	82,27	5,55	ELU
	G-Sx-0,3*Sy+0,3*Q	2	73,27	8,31	73,27	5,56	ELU
	G-Sx-0,3*Sy+0,3*Q	3	130,24	8,30	130,24	5,55	ELU
HIP.47	G+Sy+0,3*Sx+0,3*Q	1	98,73	2,04	98,73	1,36	ELU
	G+Sy+0,3*Sx+0,3*Q	2	113,34	2,03	113,34	1,36	ELU
	G+Sy+0,3*Sx+0,3*Q	3	102,78	2,05	102,78	1,37	ELU
HIP.48	G+Sy-0,3*Sx+0,3*Q	1	96,28	2,49	96,28	1,66	ELU
	G+Sy-0,3*Sx+0,3*Q	2	105,08	2,48	105,08	1,66	ELU
	G+Sy-0,3*Sx+0,3*Q	3	108,19	2,49	108,19	1,66	ELU
HIP.49	G-Sy+0,3*Sx+0,3*Q	1	81,57	7,43	81,57	4,97	ELU
	G-Sy+0,3*Sx+0,3*Q	2	79,22	7,44	79,22	4,98	ELU
	G-Sy+0,3*Sx+0,3*Q	3	127,00	7,43	127,00	4,97	ELU
HIP.50	G-Sy-0,3*Sx+0,3*Q	1	79,12	8,92	79,12	5,97	ELU
	G-Sy-0,3*Sx+0,3*Q	2	70,96	8,94	70,96	5,98	ELU
	G-Sy-0,3*Sx+0,3*Q	3	132,40	8,93	132,40	5,98	ELU
HIP.51	G+BOMB	1	90,54	7,58	90,54	5,07	ELU
	G+BOMB	2	93,05	7,59	93,05	5,08	ELU
	G+BOMB	3	132,59	7,59	132,59	5,07	ELU
HIP.52	G+BOMB+0,5*Q	1	97,92	8,96	97,92	6,00	ELU
	G+BOMB+0,5*Q	2	100,98	8,97	100,98	6,00	ELU
	G+BOMB+0,5*Q	3	147,72	8,97	147,72	6,00	ELU
HIP.53	G+BOMB+0,5*V225	1	91,50	7,72	91,50	5,17	ELU
	G+BOMB+0,5*V225	2	91,36	7,73	91,36	5,17	ELU
	G+BOMB+0,5*V225	3	133,29	7,73	133,29	5,17	ELU
HIP.54	G+BOMB+0,5*V226	1	91,87	7,64	91,87	5,11	ELU
	G+BOMB+0,5*V226	2	91,62	7,65	91,62	5,12	ELU
	G+BOMB+0,5*V226	3	132,99	7,64	132,99	5,11	ELU
HIP.55	G+BOMB+0,5*V227	1	89,59	7,46	89,59	4,99	ELU
	G+BOMB+0,5*V227	2	94,73	7,47	94,73	4,99	ELU
	G+BOMB+0,5*V227	3	131,89	7,46	131,89	4,99	ELU
HIP.56	G+BOMB+0,5*V228	1	89,22	7,54	89,22	5,05	ELU
	G+BOMB+0,5*V228	2	94,48	7,55	94,48	5,05	ELU
	G+BOMB+0,5*V228	3	132,19	7,55	132,19	5,05	ELU
HIP.57	G+BOMB+0,5*V229	1	79,45	10,82	79,45	7,24	ELU
	G+BOMB+0,5*V229	2	81,25	10,84	81,25	7,25	ELU

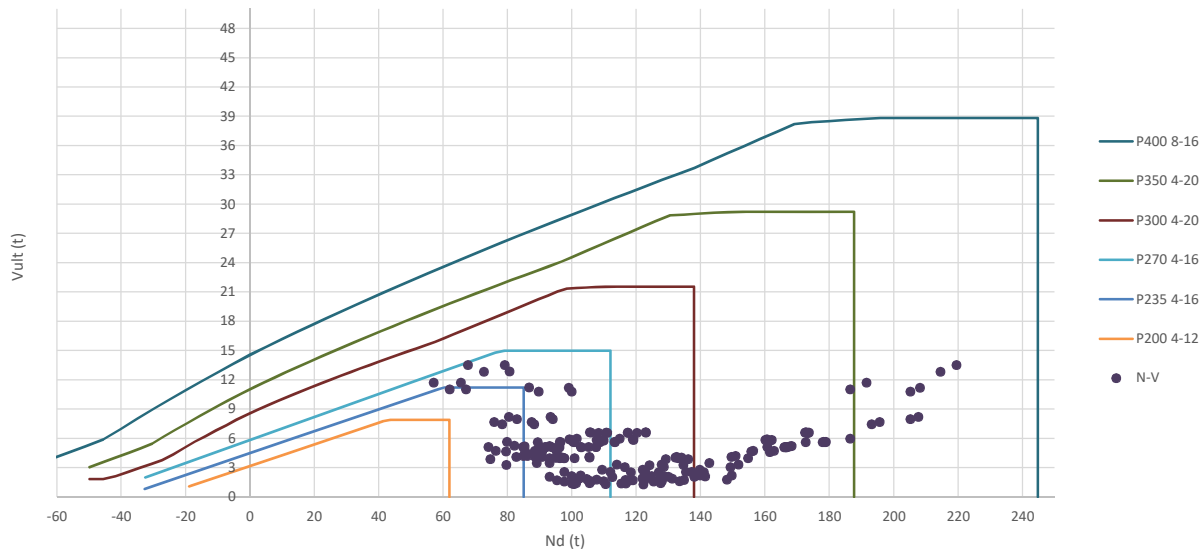
	G+BOMB+0,5*V229	3	145,28	10,83	145,28	7,24	ELU
HIP.58	G+BOMB+0,5*V230	1	75,83	11,65	75,83	7,79	ELU
	G+BOMB+0,5*V230	2	78,75	11,66	78,75	7,80	ELU
	G+BOMB+0,5*V230	3	148,36	11,65	148,36	7,80	ELU
HIP.59	G+BOMB+0,5*V231	1	101,64	4,35	101,64	2,91	ELU
	G+BOMB+0,5*V231	2	104,85	4,35	104,85	2,91	ELU
	G+BOMB+0,5*V231	3	119,89	4,35	119,89	2,91	ELU
HIP.60	G+BOMB+0,5*V232	1	105,26	3,52	105,26	2,35	ELU
	G+BOMB+0,5*V232	2	107,35	3,53	107,35	2,36	ELU
	G+BOMB+0,5*V232	3	116,81	3,52	116,81	2,36	ELU
HIP.61	G+BOMB+0,5*V1+0,3*Q	1	95,93	8,55	95,93	5,72	ELU
	G+BOMB+0,5*V1+0,3*Q	2	96,12	8,56	96,12	5,72	ELU
	G+BOMB+0,5*V1+0,3*Q	3	142,37	8,55	142,37	5,72	ELU
HIP.62	G+BOMB+0,5*V2+0,3*Q	1	96,30	8,47	96,30	5,66	ELU
	G+BOMB+0,5*V2+0,3*Q	2	96,37	8,47	96,37	5,67	ELU
	G+BOMB+0,5*V2+0,3*Q	3	142,06	8,47	142,06	5,67	ELU
HIP.63	G+BOMB+0,5*V3+0,3*Q	1	94,02	8,29	94,02	5,54	ELU
	G+BOMB+0,5*V3+0,3*Q	2	99,49	8,29	99,49	5,55	ELU
	G+BOMB+0,5*V3+0,3*Q	3	140,96	8,29	140,96	5,54	ELU
HIP.64	G+BOMB+0,5*V4+0,3*Q	1	93,64	8,37	93,64	5,60	ELU
	G+BOMB+0,5*V4+0,3*Q	2	99,24	8,38	99,24	5,60	ELU
	G+BOMB+0,5*V4+0,3*Q	3	141,27	8,37	141,27	5,60	ELU
HIP.65	G+BOMB+0,5*V5+0,3*Q	1	83,87	11,65	83,87	7,79	ELU
	G+BOMB+0,5*V5+0,3*Q	2	86,01	11,66	86,01	7,80	ELU
	G+BOMB+0,5*V5+0,3*Q	3	154,36	11,66	154,36	7,80	ELU
HIP.66	G+BOMB+0,5*V6+0,3*Q	1	80,25	12,48	80,25	8,35	ELU
	G+BOMB+0,5*V6+0,3*Q	2	83,51	12,48	83,51	8,35	ELU
	G+BOMB+0,5*V6+0,3*Q	3	157,44	12,48	157,44	8,35	ELU
HIP.67	G+BOMB+0,5*V7+0,3*Q	1	106,07	5,18	106,07	3,47	ELU
	G+BOMB+0,5*V7+0,3*Q	2	109,60	5,18	109,60	3,47	ELU
	G+BOMB+0,5*V7+0,3*Q	3	128,97	5,18	128,97	3,47	ELU
HIP.68	G+BOMB+0,5*V8+0,3*Q	1	109,69	4,34	109,69	2,91	ELU
	G+BOMB+0,5*V8+0,3*Q	2	112,10	4,35	112,10	2,91	ELU
	G+BOMB+0,5*V8+0,3*Q	3	125,89	4,35	125,89	2,91	ELU

Seccion (mm.)	e _x (m.)	e _y (m.)	Henc. (m.)
400	1,35	1,35	1,30
COMPROBACIÓN (compresión)	CUMPLE		
MAX. AXIL	219,47		(TON)
MIN. AXIL	0,00		(TON)
COMPROBACIÓN (tracción)	CUMPLE		
L.1(m)	0,00		
L.2(m)	0,00		
L.Influenc.(m)	0,00		
CERRAM.(ton.)	0,00		
αx (inclinación)	0,00		
αy (inclinación)	0,00		

Curva de resistencia axil-momento (en cualquier dirección)



Curva de resistencia axil-cortante



PILAR: P30



COMPROBACIÓN ESFUERZOS:

P18147P Parcela R20

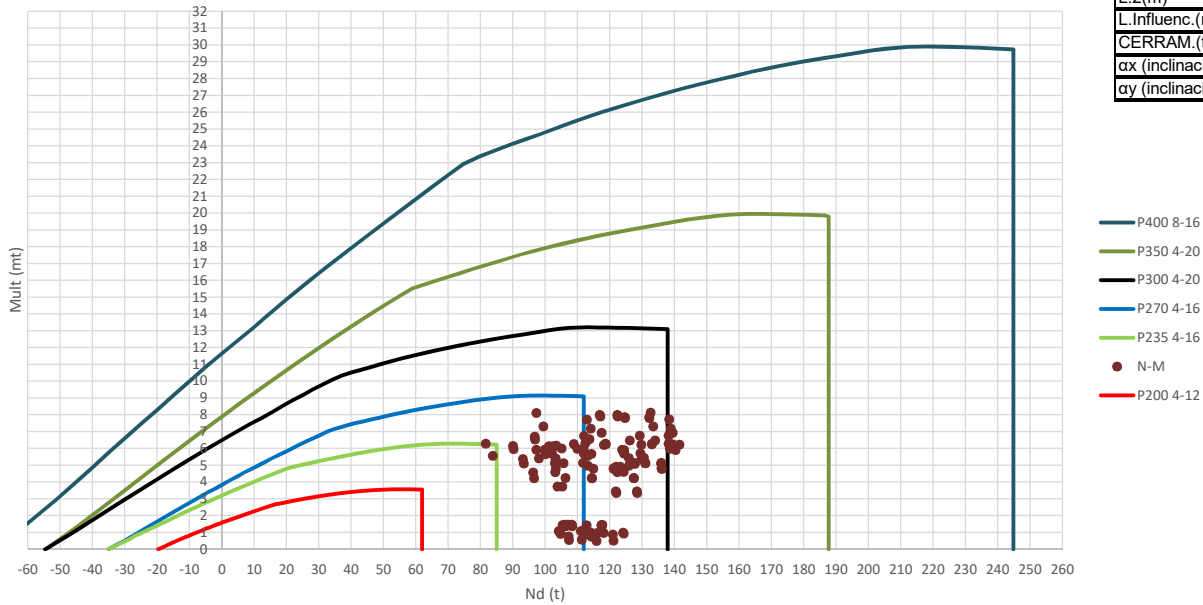
	LC: COMB.	nº PILOTE	N _{pilote} (T) a ras de suelo	M ult. Pilote (mT)	N _{pilote} (T) a ras de suelo	V ult.-Pilote (T)	ESTADO LIMITE
HIP.1	G	1	93,07	5,96	93,07	3,99	ELS
	G	2	100,83	5,96	100,83	3,99	ELS
	G	3	133,07	5,96	133,07	3,99	ELS
HIP.2	G+Q	1	108,31	9,84	108,31	6,58	ELS
	G+Q	2	120,18	9,84	120,18	6,58	ELS
	G+Q	3	173,06	9,84	173,06	6,58	ELS
HIP.3	G+V233	1	97,04	6,04	97,04	4,04	ELS
	G+V233	2	96,14	6,04	96,14	4,04	ELS
	G+V233	3	134,05	6,04	134,05	4,04	ELS
HIP.4	G+V234	1	97,55	5,94	97,55	3,98	ELS
	G+V234	2	96,28	5,94	96,28	3,98	ELS
	G+V234	3	133,57	5,94	133,57	3,98	ELS
HIP.5	G+V235	1	89,09	6,05	89,09	4,05	ELS
	G+V235	2	105,52	6,05	105,52	4,05	ELS
	G+V235	3	132,09	6,05	132,09	4,05	ELS
HIP.6	G+V236	1	88,59	6,16	88,59	4,12	ELS
	G+V236	2	105,38	6,16	105,38	4,12	ELS
	G+V236	3	132,58	6,16	132,58	4,12	ELS
HIP.7	G+V237	1	62,01	16,47	62,01	11,02	ELS
	G+V237	2	67,05	16,50	67,05	11,04	ELS
	G+V237	3	186,49	16,49	186,49	11,03	ELS
HIP.8	G+V238	1	57,02	17,52	57,02	11,72	ELS
	G+V238	2	65,55	17,50	65,55	11,71	ELS
	G+V238	3	191,48	17,51	191,48	11,71	ELS
HIP.9	G+V239	1	124,12	4,88	124,12	3,27	ELS
	G+V239	2	134,61	4,92	134,61	3,29	ELS
	G+V239	3	79,66	4,91	79,66	3,28	ELS
HIP.10	G+V240	1	129,11	5,80	129,11	3,88	ELS
	G+V240	2	136,11	5,79	136,11	3,87	ELS
	G+V240	3	74,67	5,79	74,67	3,88	ELS
HIP.11	G+Q+0,6*V233	1	110,70	9,86	110,70	6,59	ELS
	G+Q+0,6*V233	2	117,37	9,86	117,37	6,59	ELS
	G+Q+0,6*V233	3	173,65	9,86	173,65	6,59	ELS
HIP.12	G+Q+0,6*V234	1	111,00	9,80	111,00	6,55	ELS
	G+Q+0,6*V234	2	117,45	9,80	117,45	6,55	ELS
	G+Q+0,6*V234	3	173,36	9,80	173,36	6,55	ELS
HIP.13	G+Q+0,6*V235	1	105,93	9,85	105,93	6,59	ELS
	G+Q+0,6*V235	2	123,00	9,85	123,00	6,59	ELS
	G+Q+0,6*V235	3	172,48	9,85	172,48	6,59	ELS
HIP.14	G+Q+0,6*V236	1	105,62	9,92	105,62	6,63	ELS
	G+Q+0,6*V236	2	122,91	9,92	122,91	6,63	ELS
	G+Q+0,6*V236	3	172,77	9,92	172,77	6,63	ELS
HIP.15	G+Q+0,6*V237	1	89,68	16,12	89,68	10,78	ELS
	G+Q+0,6*V237	2	99,91	16,14	99,91	10,80	ELS
	G+Q+0,6*V237	3	205,12	16,13	205,12	10,79	ELS
HIP.16	G+Q+0,6*V238	1	86,69	16,76	86,69	11,21	ELS
	G+Q+0,6*V238	2	99,01	16,75	99,01	11,20	ELS
	G+Q+0,6*V238	3	208,11	16,75	208,11	11,21	ELS
HIP.17	G+Q+0,6*V239	1	126,94	3,78	126,94	2,53	ELS
	G+Q+0,6*V239	2	140,45	3,76	140,45	2,52	ELS
	G+Q+0,6*V239	3	141,01	3,78	141,01	2,53	ELS
HIP.18	G+Q+0,6*V240	1	129,94	3,12	129,94	2,09	ELS
	G+Q+0,6*V240	2	141,35	3,13	141,35	2,09	ELS
	G+Q+0,6*V240	3	138,02	3,12	138,02	2,09	ELS
HIP.19	G+V1+0,7*Q	1	107,71	8,74	107,71	5,84	ELS
	G+V1+0,7*Q	2	109,68	8,74	109,68	5,84	ELS
	G+V1+0,7*Q	3	162,05	8,74	162,05	5,84	ELS
HIP.20	G+V2+0,7*Q	1	108,22	8,64	108,22	5,78	ELS
	G+V2+0,7*Q	2	109,82	8,64	109,82	5,78	ELS
	G+V2+0,7*Q	3	161,56	8,64	161,56	5,78	ELS
HIP.21	G+V3+0,7*Q	1	99,77	8,73	99,77	5,84	ELS
	G+V3+0,7*Q	2	119,07	8,73	119,07	5,84	ELS
	G+V3+0,7*Q	3	160,09	8,73	160,09	5,84	ELS
HIP.22	G+V4+0,7*Q	1	99,26	8,84	99,26	5,91	ELS
	G+V4+0,7*Q	2	118,93	8,84	118,93	5,91	ELS
	G+V4+0,7*Q	3	160,58	8,84	160,58	5,91	ELS
HIP.23	G+V5+0,7*Q	1	72,68	19,18	72,68	12,83	ELS
	G+V5+0,7*Q	2	80,59	19,21	80,59	12,85	ELS
	G+V5+0,7*Q	3	214,48	19,19	214,48	12,84	ELS
HIP.24	G+V6+0,7*Q	1	67,69	20,23	67,69	13,53	ELS
	G+V6+0,7*Q	2	79,09	20,21	79,09	13,52	ELS
	G+V6+0,7*Q	3	219,47	20,22	219,47	13,52	ELS
HIP.25	G+V7+0,7*Q	1	134,79	2,62	134,79	1,75	ELS
	G+V7+0,7*Q	2	148,16	2,65	148,16	1,77	ELS
	G+V7+0,7*Q	3	107,65	2,65	107,65	1,78	ELS
HIP.26	G+V8+0,7*Q	1	139,78	3,30	139,78	2,21	ELS
	G+V8+0,7*Q	2	149,66	3,29	149,66	2,20	ELS
	G+V8+0,7*Q	3	102,66	3,29	102,66	2,20	ELS
HIP.27	G+Sx	1	95,33	2,58	95,33	1,72	ELU

	G+Sx	2	118,94	2,56	118,94	1,71	ELU
	G+Sx	3	116,65	2,59	116,65	1,73	ELU
HIP.28	G-Sx	1	90,80	6,11	90,80	4,09	ELU
	G-Sx	2	82,72	6,14	82,72	4,11	ELU
	G-Sx	3	149,50	6,13	149,50	4,10	ELU
HIP.29	G+Sy	1	100,66	1,95	100,66	1,30	ELU
	G+Sy	2	122,18	1,94	122,18	1,30	ELU
	G+Sy	3	110,42	1,96	110,42	1,31	ELU
HIP.30	G-Sy	1	85,47	6,96	85,47	4,66	ELU
	G-Sy	2	79,48	6,98	79,48	4,67	ELU
	G-Sy	3	155,72	6,97	155,72	4,66	ELU
HIP.31	G+Sx+0,3*Sy	1	97,61	2,37	97,61	1,59	ELU
	G+Sx+0,3*Sy	2	125,35	2,36	125,35	1,58	ELU
	G+Sx+0,3*Sy	3	109,85	2,39	109,85	1,60	ELU
HIP.32	G+Sx-0,3*Sy	1	93,05	3,09	93,05	2,06	ELU
	G+Sx-0,3*Sy	2	112,53	3,07	112,53	2,05	ELU
	G+Sx-0,3*Sy	3	123,44	3,09	123,44	2,07	ELU
HIP.33	G-Sx+0,3*Sy	1	93,08	5,18	93,08	3,47	ELU
	G-Sx+0,3*Sy	2	89,12	5,21	89,12	3,48	ELU
	G-Sx+0,3*Sy	3	142,71	5,20	142,71	3,48	ELU
HIP.34	G-Sx-0,3*Sy	1	88,52	7,05	88,52	4,72	ELU
	G-Sx-0,3*Sy	2	76,31	7,09	76,31	4,74	ELU
	G-Sx-0,3*Sy	3	156,30	7,07	156,30	4,73	ELU
HIP.35	G+Sy+0,3*Sx	1	101,34	2,12	101,34	1,42	ELU
	G+Sy+0,3*Sx	2	127,61	2,12	127,61	1,42	ELU
	G+Sy+0,3*Sx	3	105,50	2,14	105,50	1,43	ELU
HIP.36	G+Sy-0,3*Sx	1	99,98	2,05	99,98	1,37	ELU
	G+Sy-0,3*Sx	2	116,75	2,05	116,75	1,37	ELU
	G+Sy-0,3*Sx	3	115,35	2,06	115,35	1,38	ELU
HIP.37	G-Sy+0,3*Sx	1	86,15	6,30	86,15	4,21	ELU
	G-Sy+0,3*Sx	2	84,91	6,31	84,91	4,22	ELU
	G-Sy+0,3*Sx	3	150,80	6,30	150,80	4,22	ELU
HIP.38	G-Sy-0,3*Sx	1	84,79	7,64	84,79	5,11	ELU
	G-Sy-0,3*Sx	2	74,04	7,67	74,04	5,13	ELU
	G-Sy-0,3*Sx	3	160,65	7,66	160,65	5,12	ELU
HIP.39	G+Sx+0,3*Q	1	99,90	3,22	99,90	2,15	ELU
	G+Sx+0,3*Q	2	124,75	3,19	124,75	2,14	ELU
	G+Sx+0,3*Q	3	128,64	3,22	128,64	2,15	ELU
HIP.40	G-Sx+0,3*Q	1	95,37	6,87	95,37	4,60	ELU
	G-Sx+0,3*Q	2	88,52	6,90	88,52	4,61	ELU
	G-Sx+0,3*Q	3	161,50	6,89	161,50	4,61	ELU
HIP.41	G+Sy+0,3*Q	1	105,23	2,48	105,23	1,66	ELU
	G+Sy+0,3*Q	2	127,99	2,46	127,99	1,65	ELU
	G+Sy+0,3*Q	3	122,42	2,48	122,42	1,66	ELU
HIP.42	G-Sy+0,3*Q	1	90,05	7,72	90,05	5,17	ELU
	G-Sy+0,3*Q	2	85,28	7,74	85,28	5,18	ELU
	G-Sy+0,3*Q	3	167,72	7,73	167,72	5,17	ELU
HIP.43	G+Sx+0,3*Sy+0,3*Q	1	102,18	2,83	102,18	1,89	ELU
	G+Sx+0,3*Sy+0,3*Q	2	131,15	2,81	131,15	1,88	ELU
	G+Sx+0,3*Sy+0,3*Q	3	121,85	2,84	121,85	1,90	ELU
HIP.44	G+Sx-0,3*Sy+0,3*Q	1	97,63	3,81	97,63	2,55	ELU
	G+Sx-0,3*Sy+0,3*Q	2	118,34	3,80	118,34	2,54	ELU
	G+Sx-0,3*Sy+0,3*Q	3	135,44	3,81	135,44	2,55	ELU
HIP.45	G-Sx+0,3*Sy+0,3*Q	1	97,65	5,95	97,65	3,98	ELU
	G-Sx+0,3*Sy+0,3*Q	2	94,93	5,97	94,93	3,99	ELU
	G-Sx+0,3*Sy+0,3*Q	3	154,70	5,96	154,70	3,99	ELU
HIP.46	G-Sx-0,3*Sy+0,3*Q	1	93,10	7,81	93,10	5,22	ELU
	G-Sx-0,3*Sy+0,3*Q	2	82,12	7,84	82,12	5,24	ELU
	G-Sx-0,3*Sy+0,3*Q	3	168,29	7,82	168,29	5,23	ELU
HIP.47	G+Sy+0,3*Sx+0,3*Q	1	105,91	2,43	105,91	1,63	ELU
	G+Sy+0,3*Sx+0,3*Q	2	133,42	2,42	133,42	1,62	ELU
	G+Sy+0,3*Sx+0,3*Q	3	117,49	2,45	117,49	1,64	ELU
HIP.48	G+Sy-0,3*Sx+0,3*Q	1	104,55	2,73	104,55	1,83	ELU
	G+Sy-0,3*Sx+0,3*Q	2	122,55	2,73	122,55	1,82	ELU
	G+Sy-0,3*Sx+0,3*Q	3	127,35	2,74	127,35	1,83	ELU
HIP.49	G-Sy+0,3*Sx+0,3*Q	1	90,73	7,07	90,73	4,73	ELU
	G-Sy+0,3*Sx+0,3*Q	2	90,72	7,08	90,72	4,73	ELU
	G-Sy+0,3*Sx+0,3*Q	3	162,79	7,07	162,79	4,73	ELU
HIP.50	G-Sy-0,3*Sx+0,3*Q	1	89,37	8,39	89,37	5,62	ELU
	G-Sy-0,3*Sx+0,3*Q	2	79,85	8,42	79,85	5,63	ELU
	G-Sy-0,3*Sx+0,3*Q	3	172,65	8,41	172,65	5,63	ELU
HIP.51	G+BOMB	1	93,88	7,63	93,88	5,10	ELU
	G+BOMB	2	105,15	7,64	105,15	5,11	ELU
	G+BOMB	3	166,42	7,63	166,42	5,10	ELU
HIP.52	G+BOMB+0,5*Q	1	101,50	8,92	101,50	5,97	ELU
	G+BOMB+0,5*Q	2	114,83	8,93	114,83	5,97	ELU
	G+BOMB+0,5*Q	3	186,41	8,92	186,41	5,97	ELU
HIP.53	G+BOMB+0,5*V233	1	95,87	7,65	95,87	5,11	ELU
	G+BOMB+0,5*V233	2	102,80	7,66	102,80	5,12	ELU
	G+BOMB+0,5*V233	3	166,91	7,65	166,91	5,12	ELU
HIP.54	G+BOMB+0,5*V234	1	96,12	7,61	96,12	5,09	ELU
	G+BOMB+0,5*V234	2	102,87	7,62	102,87	5,10	ELU
	G+BOMB+0,5*V234	3	166,66	7,62	166,66	5,09	ELU
HIP.55	G+BOMB+0,5*V235	1	91,89	7,62	91,89	5,10	ELU
	G+BOMB+0,5*V235	2	107,50	7,64	107,50	5,11	ELU
	G+BOMB+0,5*V235	3	165,93	7,63	165,93	5,10	ELU
HIP.56	G+BOMB+0,5*V236	1	91,64	7,66	91,64	5,12	ELU
	G+BOMB+0,5*V236	2	107,43	7,67	107,43	5,13	ELU
	G+BOMB+0,5*V236	3	166,17	7,66	166,17	5,13	ELU
HIP.57	G+BOMB+0,5*V237	1	78,35	11,13	78,35	7,44	ELU
	G+BOMB+0,5*V237	2	88,26	11,15	88,26	7,46	ELU

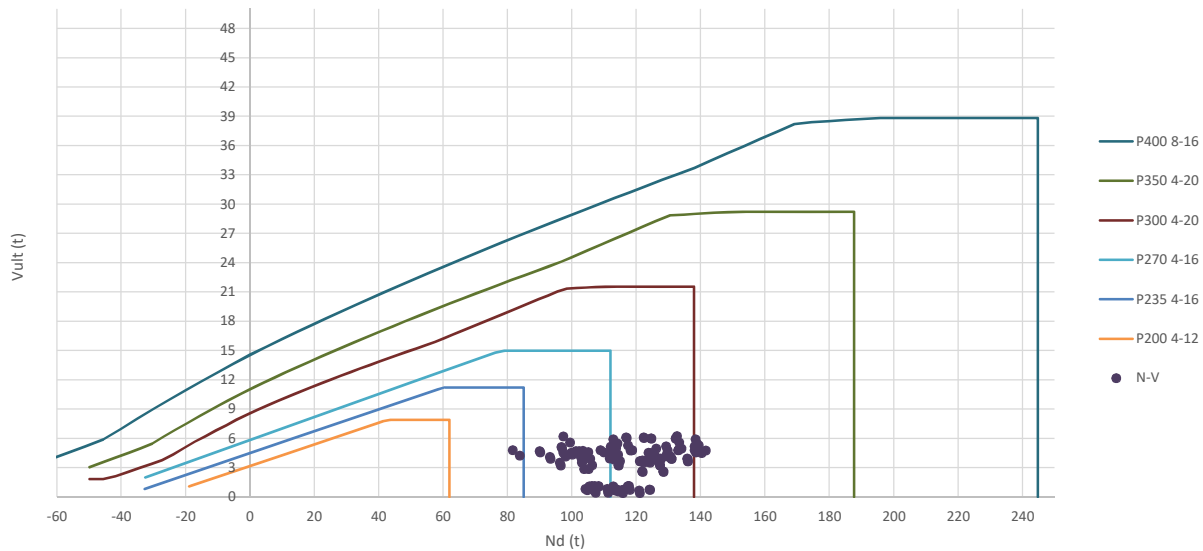
	G+BOMB+0,5*V237	3	193,13	11,14	193,13	7,45	ELU
HIP.58	G+BOMB+0,5*V238	1	75,86	11,48	75,86	7,68	ELU
	G+BOMB+0,5*V238	2	87,51	11,48	87,51	7,68	ELU
	G+BOMB+0,5*V238	3	195,62	11,48	195,62	7,68	ELU
HIP.59	G+BOMB+0,5*V239	1	109,41	4,18	109,41	2,80	ELU
	G+BOMB+0,5*V239	2	122,04	4,18	122,04	2,80	ELU
	G+BOMB+0,5*V239	3	139,71	4,18	139,71	2,80	ELU
HIP.60	G+BOMB+0,5*V240	1	111,90	3,81	111,90	2,55	ELU
	G+BOMB+0,5*V240	2	122,79	3,83	122,79	2,56	ELU
	G+BOMB+0,5*V240	3	137,22	3,82	137,22	2,55	ELU
HIP.61	G+BOMB+0,5*V1+0,3*Q	1	100,44	8,42	100,44	5,63	ELU
	G+BOMB+0,5*V1+0,3*Q	2	108,61	8,43	108,61	5,64	ELU
	G+BOMB+0,5*V1+0,3*Q	3	178,90	8,42	178,90	5,64	ELU
HIP.62	G+BOMB+0,5*V2+0,3*Q	1	100,69	8,39	100,69	5,61	ELU
	G+BOMB+0,5*V2+0,3*Q	2	108,68	8,40	108,68	5,62	ELU
	G+BOMB+0,5*V2+0,3*Q	3	178,66	8,39	178,66	5,61	ELU
HIP.63	G+BOMB+0,5*V3+0,3*Q	1	96,47	8,40	96,47	5,62	ELU
	G+BOMB+0,5*V3+0,3*Q	2	113,30	8,41	113,30	5,63	ELU
	G+BOMB+0,5*V3+0,3*Q	3	177,92	8,40	177,92	5,62	ELU
HIP.64	G+BOMB+0,5*V4+0,3*Q	1	96,21	8,43	96,21	5,64	ELU
	G+BOMB+0,5*V4+0,3*Q	2	113,23	8,45	113,23	5,65	ELU
	G+BOMB+0,5*V4+0,3*Q	3	178,17	8,44	178,17	5,64	ELU
HIP.65	G+BOMB+0,5*V5+0,3*Q	1	82,93	11,90	82,93	7,96	ELU
	G+BOMB+0,5*V5+0,3*Q	2	94,07	11,92	94,07	7,98	ELU
	G+BOMB+0,5*V5+0,3*Q	3	205,12	11,91	205,12	7,97	ELU
HIP.66	G+BOMB+0,5*V6+0,3*Q	1	80,43	12,25	80,43	8,20	ELU
	G+BOMB+0,5*V6+0,3*Q	2	93,32	12,26	93,32	8,20	ELU
	G+BOMB+0,5*V6+0,3*Q	3	207,62	12,26	207,62	8,20	ELU
HIP.67	G+BOMB+0,5*V7+0,3*Q	1	113,98	4,95	113,98	3,31	ELU
	G+BOMB+0,5*V7+0,3*Q	2	127,85	4,95	127,85	3,31	ELU
	G+BOMB+0,5*V7+0,3*Q	3	151,71	4,95	151,71	3,31	ELU
HIP.68	G+BOMB+0,5*V8+0,3*Q	1	116,48	4,59	116,48	3,07	ELU
	G+BOMB+0,5*V8+0,3*Q	2	128,60	4,60	128,60	3,08	ELU
	G+BOMB+0,5*V8+0,3*Q	3	149,21	4,59	149,21	3,07	ELU

Seccion (mm.)	e _x (m.)	e _y (m.)	Henc. (m.)
350	0,00	1,25	1,25
COMPROBACIÓN (compresión)	CUMPLE		
MAX. AXIL	141,56		(TON)
MIN. AXIL	0,00		(TON)
COMPROBACIÓN (tracción)	CUMPLE		
L.1(m)	0,00		
L.2(m)	0,00		
L.Influenc.(m)	0,00		
CERRAM.(ton.)	0,00		
αx (inclinación)	0,00		
αy (inclinación)	0,00		

Curva de resistencia axil-momento (en cualquier dirección)



Curva de resistencia axil-cortante



PILAR: P31



COMPROBACIÓN ESFUERZOS:

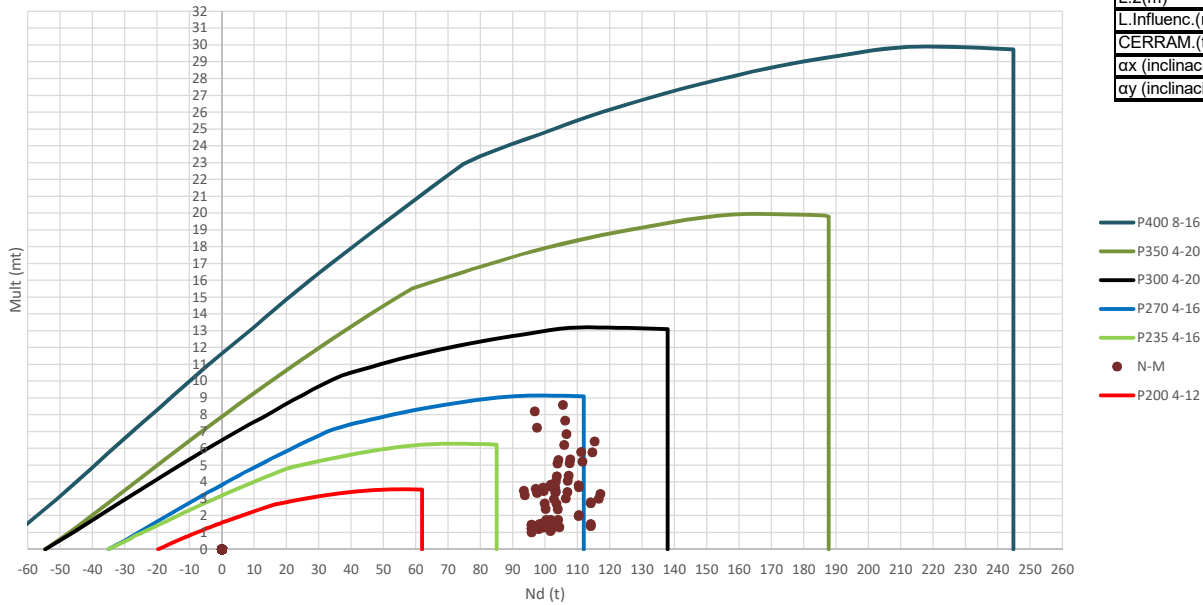
P18147P Parcela R20

	LC: COMB.	nº PILOTE	N _{pilote} (T) a ras de suelo	M ult. Pilote (mT)	N _{pilote} (T) a ras de suelo	V ult-Pilote (T)	ESTADO LIMITE
HIP.1	G	1	103,78	3,74	103,78	2,86	ELS
	G	2	105,24	3,74	105,24	2,86	ELS
HIP.2	G+Q	1	126,14	6,47	126,14	4,95	ELS
	G+Q	2	134,04	6,47	134,04	4,95	ELS
HIP.3	G+V241	1	101,37	6,04	101,37	4,61	ELS
	G+V241	2	102,25	6,04	102,25	4,61	ELS
HIP.4	G+V242	1	101,16	6,14	101,16	4,69	ELS
	G+V242	2	102,17	6,14	102,17	4,69	ELS
HIP.5	G+V243	1	106,18	1,47	106,18	1,13	ELS
	G+V243	2	108,22	1,47	108,22	1,13	ELS
HIP.6	G+V244	1	106,39	1,37	106,39	1,05	ELS
	G+V244	2	108,30	1,37	108,30	1,05	ELS
HIP.7	G+V245	1	81,64	6,28	81,64	4,80	ELS
	G+V245	2	112,44	6,30	112,44	4,82	ELS
HIP.8	G+V246	1	83,77	5,56	83,77	4,25	ELS
	G+V246	2	113,19	5,56	113,19	4,25	ELS
HIP.9	G+V247	1	125,91	5,44	125,91	4,16	ELS
	G+V247	2	98,03	5,42	98,03	4,14	ELS
HIP.10	G+V248	1	123,78	5,92	123,78	4,53	ELS
	G+V248	2	97,28	5,92	97,28	4,53	ELS
HIP.11	G+Q+0,6*V241	1	124,70	7,82	124,70	5,98	ELS
	G+Q+0,6*V241	2	132,25	7,82	132,25	5,98	ELS
HIP.12	G+Q+0,6*V242	1	124,57	7,88	124,57	6,02	ELS
	G+Q+0,6*V242	2	132,20	7,88	132,20	6,02	ELS
HIP.13	G+Q+0,6*V243	1	127,58	5,15	127,58	3,94	ELS
	G+Q+0,6*V243	2	135,83	5,15	135,83	3,94	ELS
HIP.14	G+Q+0,6*V244	1	127,71	5,09	127,71	3,89	ELS
	G+Q+0,6*V244	2	135,88	5,09	135,88	3,89	ELS
HIP.15	G+Q+0,6*V245	1	112,86	7,72	112,86	5,90	ELS
	G+Q+0,6*V245	2	138,36	7,74	138,36	5,91	ELS
HIP.16	G+Q+0,6*V246	1	114,14	7,19	114,14	5,49	ELS
	G+Q+0,6*V246	2	138,81	7,19	138,81	5,49	ELS
HIP.17	G+Q+0,6*V247	1	139,42	6,25	139,42	4,78	ELS
	G+Q+0,6*V247	2	129,72	6,23	129,72	4,76	ELS
HIP.18	G+Q+0,6*V248	1	138,15	6,77	138,15	5,18	ELS
	G+Q+0,6*V248	2	129,27	6,77	129,27	5,18	ELS
HIP.19	G+V1+0,7*Q	1	117,03	7,90	117,03	6,04	ELS
	G+V1+0,7*Q	2	122,41	7,90	122,41	6,04	ELS
HIP.20	G+V2+0,7*Q	1	116,82	8,00	116,82	6,12	ELS
	G+V2+0,7*Q	2	122,33	8,00	122,33	6,12	ELS
HIP.21	G+V3+0,7*Q	1	121,83	3,44	121,83	2,63	ELS
	G+V3+0,7*Q	2	128,39	3,44	128,39	2,63	ELS
HIP.22	G+V4+0,7*Q	1	122,04	3,35	122,04	2,56	ELS
	G+V4+0,7*Q	2	128,47	3,35	128,47	2,56	ELS
HIP.23	G+V5+0,7*Q	1	97,30	8,12	97,30	6,21	ELS
	G+V5+0,7*Q	2	132,60	8,14	132,60	6,22	ELS
HIP.24	G+V6+0,7*Q	1	99,43	7,32	99,43	5,60	ELS
	G+V6+0,7*Q	2	133,35	7,32	133,35	5,60	ELS
HIP.25	G+V7+0,7*Q	1	141,56	6,24	141,56	4,77	ELS
	G+V7+0,7*Q	2	118,20	6,21	118,20	4,75	ELS
HIP.26	G+V8+0,7*Q	1	139,44	6,93	139,44	5,30	ELS
	G+V8+0,7*Q	2	117,44	6,93	117,44	5,30	ELS
HIP.27	G+Sx	1	114,42	0,75	114,42	0,58	ELU
	G+Sx	2	107,22	0,76	107,22	0,58	ELU
HIP.28	G-Sx	1	93,13	5,37	93,13	4,10	ELU
	G-Sx	2	103,25	5,39	103,25	4,12	ELU
HIP.29	G+Sy	1	114,17	0,93	114,17	0,71	ELU
	G+Sy	2	104,80	0,93	104,80	0,71	ELU
HIP.30	G-Sy	1	93,38	5,10	93,38	3,90	ELU
	G-Sy	2	105,67	5,12	105,67	3,91	ELU
HIP.31	G+Sx+0,3*Sy	1	117,54	1,45	117,54	1,11	ELU
	G+Sx+0,3*Sy	2	107,09	1,47	107,09	1,12	ELU
HIP.32	G+Sx-0,3*Sy	1	111,30	0,58	111,30	0,44	ELU
	G+Sx-0,3*Sy	2	107,35	0,56	107,35	0,43	ELU
HIP.33	G-Sx+0,3*Sy	1	96,25	4,58	96,25	3,50	ELU
	G-Sx+0,3*Sy	2	103,12	4,60	103,12	3,51	ELU
HIP.34	G-Sx-0,3*Sy	1	90,02	6,15	90,02	4,70	ELU
	G-Sx-0,3*Sy	2	103,38	6,18	103,38	4,72	ELU
HIP.35	G+Sy+0,3*Sx	1	117,36	1,43	117,36	1,09	ELU
	G+Sy+0,3*Sx	2	105,40	1,45	105,40	1,10	ELU
HIP.36	G+Sy-0,3*Sx	1	110,98	1,09	110,98	0,84	ELU
	G+Sy-0,3*Sx	2	104,21	1,08	104,21	0,83	ELU
HIP.37	G-Sy+0,3*Sx	1	96,58	4,23	96,58	3,23	ELU
	G-Sy+0,3*Sx	2	106,26	4,24	106,26	3,24	ELU
HIP.38	G-Sy-0,3*Sx	1	90,19	5,97	90,19	4,57	ELU
	G-Sy-0,3*Sx	2	105,07	6,00	105,07	4,59	ELU
HIP.39	G+Sx+0,3*Q	1	121,13	0,52	121,13	0,40	ELU
	G+Sx+0,3*Q	2	115,86	0,51	115,86	0,39	ELU
HIP.40	G-Sx+0,3*Q	1	99,84	5,92	99,84	4,52	ELU

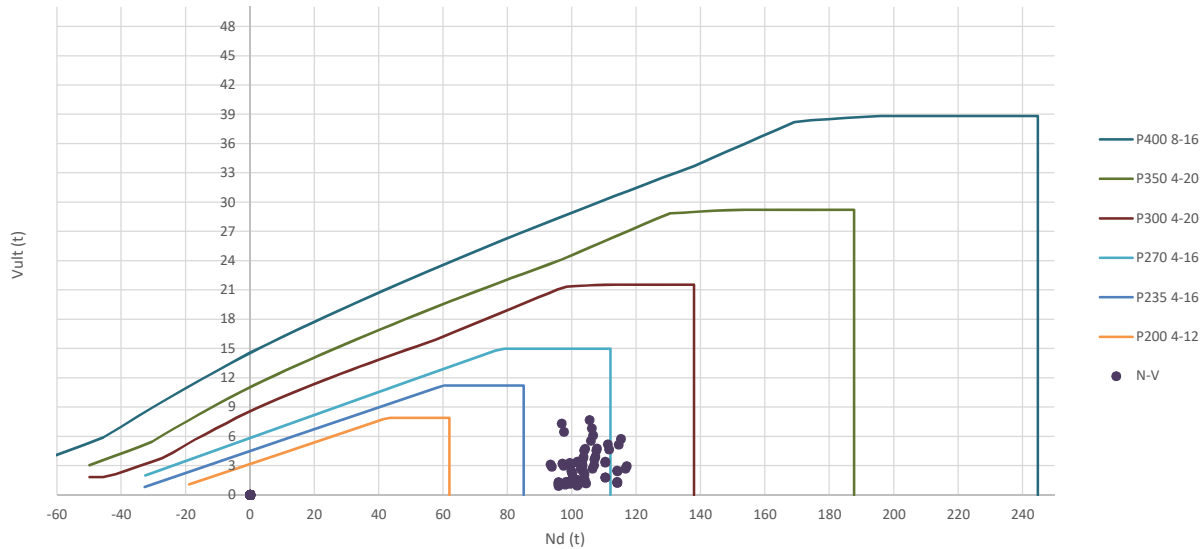
	G-Sx+0,3*Q	2	111,89	5,94	111,89	4,54	ELU
HIP.41	G+Sy+0,3*Q	1	120,88	0,89	120,88	0,68	ELU
	G+Sy+0,3*Q	2	113,45	0,87	113,45	0,67	ELU
HIP.42	G-Sy+0,3*Q	1	100,09	5,66	100,09	4,33	ELU
	G-Sy+0,3*Q	2	114,31	5,68	114,31	4,34	ELU
HIP.43	G+Sx+0,3*Sy+0,3*Q	1	124,25	0,94	124,25	0,72	ELU
	G+Sx+0,3*Sy+0,3*Q	2	115,73	0,96	115,73	0,73	ELU
HIP.44	G+Sx-0,3*Sy+0,3*Q	1	118,01	0,97	118,01	0,74	ELU
	G+Sx-0,3*Sy+0,3*Q	2	115,99	0,96	115,99	0,73	ELU
HIP.45	G-Sx+0,3*Sy+0,3*Q	1	102,96	5,13	102,96	3,92	ELU
	G-Sx+0,3*Sy+0,3*Q	2	111,76	5,15	111,76	3,93	ELU
HIP.46	G-Sx-0,3*Sy+0,3*Q	1	96,73	6,71	96,73	5,13	ELU
	G-Sx-0,3*Sy+0,3*Q	2	112,02	6,74	112,02	5,15	ELU
HIP.47	G+Sy+0,3*Sx+0,3*Q	1	124,07	1,00	124,07	0,76	ELU
	G+Sy+0,3*Sx+0,3*Q	2	114,04	1,00	114,04	0,77	ELU
HIP.48	G+Sy-0,3*Sx+0,3*Q	1	117,69	1,45	117,69	1,11	ELU
	G+Sy-0,3*Sx+0,3*Q	2	112,85	1,44	112,85	1,10	ELU
HIP.49	G-Sy+0,3*Sx+0,3*Q	1	103,28	4,79	103,28	3,66	ELU
	G-Sy+0,3*Sx+0,3*Q	2	114,90	4,80	114,90	3,67	ELU
HIP.50	G-Sy-0,3*Sx+0,3*Q	1	96,90	6,53	96,90	4,99	ELU
	G-Sy-0,3*Sx+0,3*Q	2	113,71	6,56	113,71	5,01	ELU
HIP.51	G+BOMB	1	113,22	4,97	113,22	3,80	ELU
	G+BOMB	2	125,88	4,97	125,88	3,80	ELU
HIP.52	G+BOMB+0,5*Q	1	124,40	5,91	124,40	4,52	ELU
	G+BOMB+0,5*Q	2	140,28	5,91	140,28	4,52	ELU
HIP.53	G+BOMB+0,5*V241	1	112,02	5,69	112,02	4,35	ELU
	G+BOMB+0,5*V241	2	124,39	5,69	124,39	4,35	ELU
HIP.54	G+BOMB+0,5*V242	1	111,91	5,73	111,91	4,38	ELU
	G+BOMB+0,5*V242	2	124,35	5,73	124,35	4,38	ELU
HIP.55	G+BOMB+0,5*V243	1	114,42	4,26	114,42	3,25	ELU
	G+BOMB+0,5*V243	2	127,38	4,26	127,38	3,25	ELU
HIP.56	G+BOMB+0,5*V244	1	114,53	4,22	114,53	3,23	ELU
	G+BOMB+0,5*V244	2	127,42	4,22	127,42	3,23	ELU
HIP.57	G+BOMB+0,5*V245	1	102,15	5,72	102,15	4,37	ELU
	G+BOMB+0,5*V245	2	129,48	5,73	129,48	4,38	ELU
HIP.58	G+BOMB+0,5*V246	1	103,22	5,42	103,22	4,14	ELU
	G+BOMB+0,5*V246	2	129,86	5,42	129,86	4,14	ELU
HIP.59	G+BOMB+0,5*V247	1	124,29	4,61	124,29	3,52	ELU
	G+BOMB+0,5*V247	2	122,28	4,60	122,28	3,52	ELU
HIP.60	G+BOMB+0,5*V248	1	123,22	4,92	123,22	3,76	ELU
	G+BOMB+0,5*V248	2	121,90	4,92	121,90	3,76	ELU
HIP.61	G+BOMB+0,5*V1+0,3*Q	1	118,73	6,25	118,73	4,78	ELU
	G+BOMB+0,5*V1+0,3*Q	2	133,03	6,25	133,03	4,78	ELU
HIP.62	G+BOMB+0,5*V2+0,3*Q	1	118,62	6,29	118,62	4,81	ELU
	G+BOMB+0,5*V2+0,3*Q	2	132,99	6,29	132,99	4,81	ELU
HIP.63	G+BOMB+0,5*V3+0,3*Q	1	121,13	4,82	121,13	3,69	ELU
	G+BOMB+0,5*V3+0,3*Q	2	136,02	4,82	136,02	3,69	ELU
HIP.64	G+BOMB+0,5*V4+0,3*Q	1	121,24	4,79	121,24	3,66	ELU
	G+BOMB+0,5*V4+0,3*Q	2	136,06	4,79	136,06	3,66	ELU
HIP.65	G+BOMB+0,5*V5+0,3*Q	1	108,86	6,28	108,86	4,80	ELU
	G+BOMB+0,5*V5+0,3*Q	2	138,12	6,29	138,12	4,81	ELU
HIP.66	G+BOMB+0,5*V6+0,3*Q	1	109,93	5,98	109,93	4,57	ELU
	G+BOMB+0,5*V6+0,3*Q	2	138,50	5,98	138,50	4,57	ELU
HIP.67	G+BOMB+0,5*V7+0,3*Q	1	130,99	5,13	130,99	3,92	ELU
	G+BOMB+0,5*V7+0,3*Q	2	130,92	5,12	130,92	3,92	ELU
HIP.68	G+BOMB+0,5*V8+0,3*Q	1	129,93	5,45	129,93	4,16	ELU
	G+BOMB+0,5*V8+0,3*Q	2	130,55	5,45	130,55	4,16	ELU

Seccion (mm.)	e _x (m.)	e _y (m.)	Henc. (m.)
300	0,00	0,00	1,00
COMPROBACIÓN (compresión)	CUMPLE		
MAX. AXIL	117,02	(TON)	
MIN. AXIL	0,00	(TON)	
COMPROBACIÓN (tracción)	CUMPLE		
	L.1(m)	0,00	
	L.2(m)	0,00	
	L.Influenc.(m)	0,00	
	CERRAM.(ton.)	0,00	
	αx (inclinación)	0,00	
	αy (inclinación)	0,00	

Curva de resistencia axil-momento (en cualquier dirección)



Curva de resistencia axil-cortante



PILAR: P32



COMPROBACIÓN ESFUERZOS:

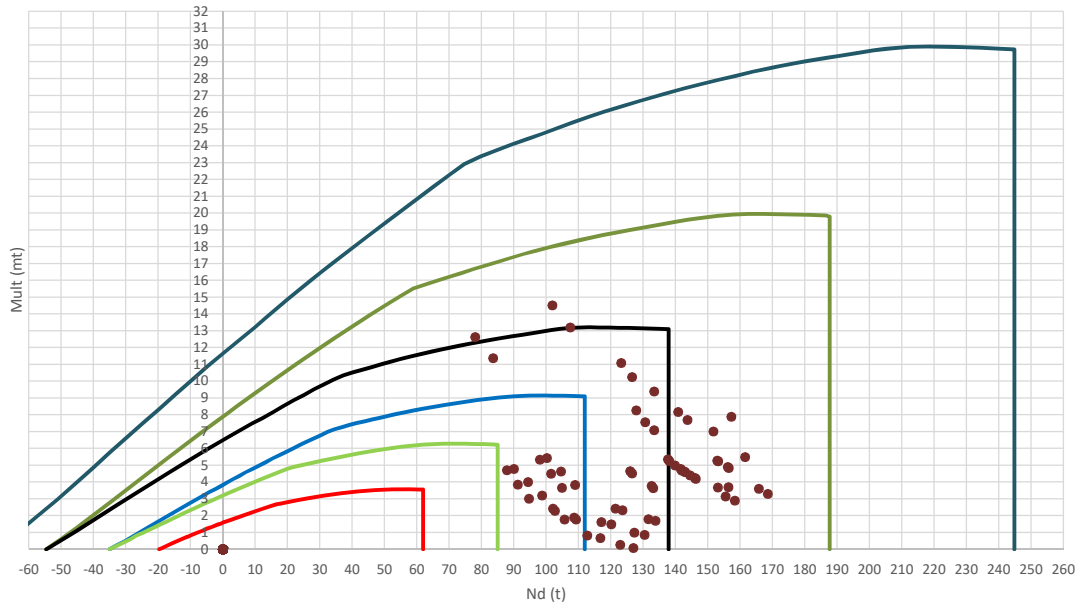
P18147P Parcela R20

	LC: COMB.	nº PILOTE	N _{pilote} (T) a ras de suelo	M ult. Pilote (mT)	N _{pilote} (T) a ras de suelo	V ult.-Pilote (T)	ESTADO LIMITE
HIP.1	G	1	101,71	1,23	101,71	1,09	ELS
	G	2	0,00	0,00	0,00	0,00	ELS
HIP.2	G+Q	1	114,08	1,50	114,08	1,34	ELS
	G+Q	2	0,00	0,00	0,00	0,00	ELS
HIP.3	G+V249	1	101,68	1,68	101,68	1,50	ELS
	G+V249	2	0,00	0,00	0,00	0,00	ELS
HIP.4	G+V250	1	101,74	1,75	101,74	1,56	ELS
	G+V250	2	0,00	0,00	0,00	0,00	ELS
HIP.5	G+V251	1	101,74	3,74	101,74	3,33	ELS
	G+V251	2	0,00	0,00	0,00	0,00	ELS
HIP.6	G+V252	1	101,68	3,85	101,68	3,43	ELS
	G+V252	2	0,00	0,00	0,00	0,00	ELS
HIP.7	G+V253	1	106,62	6,86	106,62	6,12	ELS
	G+V253	2	0,00	0,00	0,00	0,00	ELS
HIP.8	G+V254	1	105,92	6,22	105,92	5,54	ELS
	G+V254	2	0,00	0,00	0,00	0,00	ELS
HIP.9	G+V255	1	96,80	8,21	96,80	7,32	ELS
	G+V255	2	0,00	0,00	0,00	0,00	ELS
HIP.10	G+V256	1	97,50	7,25	97,50	6,46	ELS
	G+V256	2	0,00	0,00	0,00	0,00	ELS
HIP.11	G+Q+0,6*V249	1	114,06	1,40	114,06	1,25	ELS
	G+Q+0,6*V249	2	0,00	0,00	0,00	0,00	ELS
HIP.12	G+Q+0,6*V250	1	114,09	1,40	114,09	1,25	ELS
	G+Q+0,6*V250	2	0,00	0,00	0,00	0,00	ELS
HIP.13	G+Q+0,6*V251	1	114,09	2,74	114,09	2,44	ELS
	G+Q+0,6*V251	2	0,00	0,00	0,00	0,00	ELS
HIP.14	G+Q+0,6*V252	1	114,06	2,81	114,06	2,51	ELS
	G+Q+0,6*V252	2	0,00	0,00	0,00	0,00	ELS
HIP.15	G+Q+0,6*V253	1	117,02	3,31	117,02	2,95	ELS
	G+Q+0,6*V253	2	0,00	0,00	0,00	0,00	ELS
HIP.16	G+Q+0,6*V254	1	116,60	3,01	116,60	2,68	ELS
	G+Q+0,6*V254	2	0,00	0,00	0,00	0,00	ELS
HIP.17	G+Q+0,6*V255	1	111,13	5,80	111,13	5,17	ELS
	G+Q+0,6*V255	2	0,00	0,00	0,00	0,00	ELS
HIP.18	G+Q+0,6*V256	1	111,55	5,21	111,55	4,65	ELS
	G+Q+0,6*V256	2	0,00	0,00	0,00	0,00	ELS
HIP.19	G+V1+0,7*Q	1	110,33	1,98	110,33	1,77	ELS
	G+V1+0,7*Q	2	0,00	0,00	0,00	0,00	ELS
HIP.20	G+V2+0,7*Q	1	110,39	2,04	110,39	1,82	ELS
	G+V2+0,7*Q	2	0,00	0,00	0,00	0,00	ELS
HIP.21	G+V3+0,7*Q	1	110,39	3,70	110,39	3,30	ELS
	G+V3+0,7*Q	2	0,00	0,00	0,00	0,00	ELS
HIP.22	G+V4+0,7*Q	1	110,33	3,82	110,33	3,41	ELS
	G+V4+0,7*Q	2	0,00	0,00	0,00	0,00	ELS
HIP.23	G+V5+0,7*Q	1	115,27	6,43	115,27	5,73	ELS
	G+V5+0,7*Q	2	0,00	0,00	0,00	0,00	ELS
HIP.24	G+V6+0,7*Q	1	114,57	5,78	114,57	5,15	ELS
	G+V6+0,7*Q	2	0,00	0,00	0,00	0,00	ELS
HIP.25	G+V7+0,7*Q	1	105,45	8,60	105,45	7,67	ELS
	G+V7+0,7*Q	2	0,00	0,00	0,00	0,00	ELS
HIP.26	G+V8+0,7*Q	1	106,15	7,66	106,15	6,83	ELS
	G+V8+0,7*Q	2	0,00	0,00	0,00	0,00	ELS
HIP.27	G+Sx	1	103,59	4,35	103,59	3,88	ELU
	G+Sx	2	0,00	0,00	0,00	0,00	ELU
HIP.28	G-Sx	1	99,82	2,72	99,82	2,43	ELU
	G-Sx	2	0,00	0,00	0,00	0,00	ELU
HIP.29	G+Sy	1	103,26	4,04	103,26	3,61	ELU
	G+Sy	2	0,00	0,00	0,00	0,00	ELU
HIP.30	G-Sy	1	100,15	2,41	100,15	2,15	ELU
	G-Sy	2	0,00	0,00	0,00	0,00	ELU
HIP.31	G+Sx+0,3*Sy	1	104,06	5,32	104,06	4,74	ELU
	G+Sx+0,3*Sy	2	0,00	0,00	0,00	0,00	ELU
HIP.32	G+Sx-0,3*Sy	1	103,13	3,39	103,13	3,02	ELU
	G+Sx-0,3*Sy	2	0,00	0,00	0,00	0,00	ELU
HIP.33	G-Sx+0,3*Sy	1	100,28	1,76	100,28	1,57	ELU
	G-Sx+0,3*Sy	2	0,00	0,00	0,00	0,00	ELU
HIP.34	G-Sx-0,3*Sy	1	99,35	3,68	99,35	3,29	ELU
	G-Sx-0,3*Sy	2	0,00	0,00	0,00	0,00	ELU
HIP.35	G+Sy+0,3*Sx	1	103,83	5,10	103,83	4,55	ELU
	G+Sy+0,3*Sx	2	0,00	0,00	0,00	0,00	ELU
HIP.36	G+Sy-0,3*Sx	1	102,70	2,99	102,70	2,66	ELU
	G+Sy-0,3*Sx	2	0,00	0,00	0,00	0,00	ELU
HIP.37	G-Sy+0,3*Sx	1	100,71	1,36	100,71	1,21	ELU
	G-Sy+0,3*Sx	2	0,00	0,00	0,00	0,00	ELU
HIP.38	G-Sy-0,3*Sx	1	99,58	3,47	99,58	3,09	ELU
	G-Sy-0,3*Sx	2	0,00	0,00	0,00	0,00	ELU
HIP.39	G+Sx+0,3*Q	1	107,30	4,38	107,30	3,91	ELU
	G+Sx+0,3*Q	2	0,00	0,00	0,00	0,00	ELU
HIP.40	G-Sx+0,3*Q	1	103,53	2,70	103,53	2,41	ELU

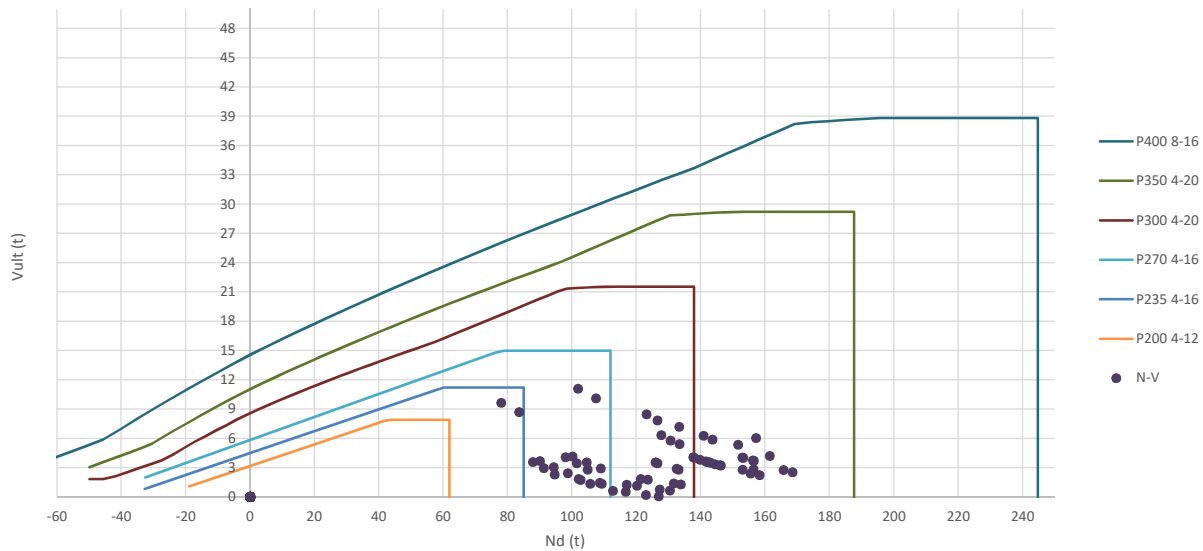
	G-Sx+0,3*Q	2	0,00	0,00	0,00	0,00	ELU
HIP.41	G+Sy+0,3*Q	1	106,97	4,08	106,97	3,64	ELU
	G+Sy+0,3*Q	2	0,00	0,00	0,00	0,00	ELU
HIP.42	G-Sy+0,3*Q	1	103,86	2,38	103,86	2,12	ELU
	G-Sy+0,3*Q	2	0,00	0,00	0,00	0,00	ELU
HIP.43	G+Sx+0,3*Sy+0,3*Q	1	107,77	5,35	107,77	4,77	ELU
	G+Sx+0,3*Sy+0,3*Q	2	0,00	0,00	0,00	0,00	ELU
HIP.44	G+Sx-0,3*Sy+0,3*Q	1	106,84	3,41	106,84	3,04	ELU
	G+Sx-0,3*Sy+0,3*Q	2	0,00	0,00	0,00	0,00	ELU
HIP.45	G-Sx+0,3*Sy+0,3*Q	1	104,00	1,75	104,00	1,56	ELU
	G-Sx+0,3*Sy+0,3*Q	2	0,00	0,00	0,00	0,00	ELU
HIP.46	G-Sx-0,3*Sy+0,3*Q	1	103,06	3,66	103,06	3,26	ELU
	G-Sx-0,3*Sy+0,3*Q	2	0,00	0,00	0,00	0,00	ELU
HIP.47	G+Sy+0,3*Sx+0,3*Q	1	107,54	5,14	107,54	4,58	ELU
	G+Sy+0,3*Sx+0,3*Q	2	0,00	0,00	0,00	0,00	ELU
HIP.48	G+Sy-0,3*Sx+0,3*Q	1	106,41	3,03	106,41	2,70	ELU
	G+Sy-0,3*Sx+0,3*Q	2	0,00	0,00	0,00	0,00	ELU
HIP.49	G-Sy+0,3*Sx+0,3*Q	1	104,43	1,32	104,43	1,18	ELU
	G-Sy+0,3*Sx+0,3*Q	2	0,00	0,00	0,00	0,00	ELU
HIP.50	G-Sy-0,3*Sx+0,3*Q	1	103,29	3,44	103,29	3,07	ELU
	G-Sy-0,3*Sx+0,3*Q	2	0,00	0,00	0,00	0,00	ELU
HIP.51	G+BOMB	1	95,81	1,02	95,81	0,91	ELU
	G+BOMB	2	0,00	0,00	0,00	0,00	ELU
HIP.52	G+BOMB+0,5*Q	1	101,99	1,23	101,99	1,10	ELU
	G+BOMB+0,5*Q	2	0,00	0,00	0,00	0,00	ELU
HIP.53	G+BOMB+0,5*V249	1	95,79	1,46	95,79	1,30	ELU
	G+BOMB+0,5*V249	2	0,00	0,00	0,00	0,00	ELU
HIP.54	G+BOMB+0,5*V250	1	95,82	1,47	95,82	1,31	ELU
	G+BOMB+0,5*V250	2	0,00	0,00	0,00	0,00	ELU
HIP.55	G+BOMB+0,5*V251	1	95,82	1,22	95,82	1,09	ELU
	G+BOMB+0,5*V251	2	0,00	0,00	0,00	0,00	ELU
HIP.56	G+BOMB+0,5*V252	1	95,79	1,26	95,79	1,12	ELU
	G+BOMB+0,5*V252	2	0,00	0,00	0,00	0,00	ELU
HIP.57	G+BOMB+0,5*V253	1	98,26	1,52	98,26	1,35	ELU
	G+BOMB+0,5*V253	2	0,00	0,00	0,00	0,00	ELU
HIP.58	G+BOMB+0,5*V254	1	97,91	1,20	97,91	1,07	ELU
	G+BOMB+0,5*V254	2	0,00	0,00	0,00	0,00	ELU
HIP.59	G+BOMB+0,5*V255	1	93,35	3,49	93,35	3,11	ELU
	G+BOMB+0,5*V255	2	0,00	0,00	0,00	0,00	ELU
HIP.60	G+BOMB+0,5*V256	1	93,70	3,23	93,70	2,88	ELU
	G+BOMB+0,5*V256	2	0,00	0,00	0,00	0,00	ELU
HIP.61	G+BOMB+0,5*V1+0,3*Q	1	99,50	1,57	99,50	1,40	ELU
	G+BOMB+0,5*V1+0,3*Q	2	0,00	0,00	0,00	0,00	ELU
HIP.62	G+BOMB+0,5*V2+0,3*Q	1	99,53	1,58	99,53	1,41	ELU
	G+BOMB+0,5*V2+0,3*Q	2	0,00	0,00	0,00	0,00	ELU
HIP.63	G+BOMB+0,5*V3+0,3*Q	1	99,53	1,30	99,53	1,16	ELU
	G+BOMB+0,5*V3+0,3*Q	2	0,00	0,00	0,00	0,00	ELU
HIP.64	G+BOMB+0,5*V4+0,3*Q	1	99,50	1,34	99,50	1,19	ELU
	G+BOMB+0,5*V4+0,3*Q	2	0,00	0,00	0,00	0,00	ELU
HIP.65	G+BOMB+0,5*V5+0,3*Q	1	101,97	1,41	101,97	1,26	ELU
	G+BOMB+0,5*V5+0,3*Q	2	0,00	0,00	0,00	0,00	ELU
HIP.66	G+BOMB+0,5*V6+0,3*Q	1	101,62	1,08	101,62	0,96	ELU
	G+BOMB+0,5*V6+0,3*Q	2	0,00	0,00	0,00	0,00	ELU
HIP.67	G+BOMB+0,5*V7+0,3*Q	1	97,06	3,61	97,06	3,22	ELU
	G+BOMB+0,5*V7+0,3*Q	2	0,00	0,00	0,00	0,00	ELU
HIP.68	G+BOMB+0,5*V8+0,3*Q	1	97,41	3,35	97,41	2,99	ELU
	G+BOMB+0,5*V8+0,3*Q	2	0,00	0,00	0,00	0,00	ELU

Seccion (mm.)	e _x (m.)	e _y (m.)	Henc. (m.)
350	0,00	0,00	1,00
COMPROBACIÓN (compresión)	CUMPLE		
MAX. AXIL	168,54		(TON)
MIN. AXIL	0,00		(TON)
COMPROBACIÓN (tracción)	CUMPLE		
L.1(m)	0,00		
L.2(m)	0,00		
L.Influenc.(m)	0,00		
CERRAM.(ton.)	0,00		
αx (inclinación)	0,00		
αy (inclinación)	0,00		

Curva de resistencia axil-momento (en cualquier dirección)



Curva de resistencia axil-cortante



PILAR: P33



COMPROBACIÓN ESFUERZOS:

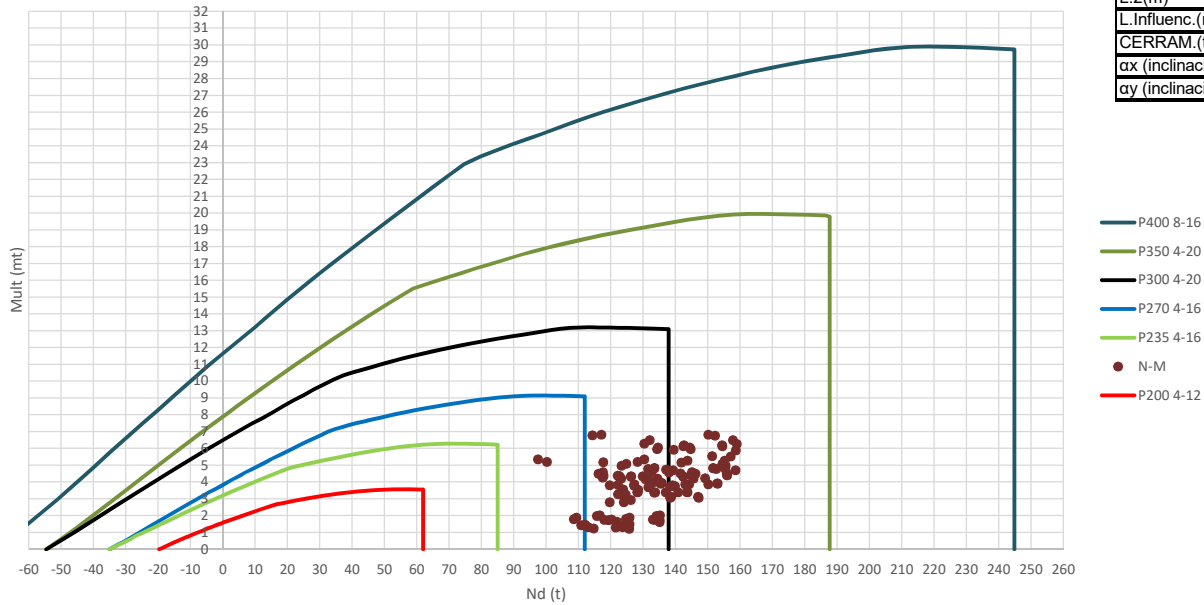
P18147P Parcela R20

	LC: COMB.	nº PILOTE	N _{pilote} (T) a ras de suelo	M ult. Pilote (mT)	N _{pilote} (T) a ras de suelo	V ult.-Pilote (T)	ESTADO LIMITE
HIP.1	G	1	105,71	1,78	105,71	1,36	ELS
	G	2	0,00	0,00	0,00	0,00	ELS
HIP.2	G+Q	1	139,82	4,98	139,82	3,81	ELS
	G+Q	2	0,00	0,00	0,00	0,00	ELS
HIP.3	G+V257	1	102,73	2,28	102,73	1,74	ELS
	G+V257	2	0,00	0,00	0,00	0,00	ELS
HIP.4	G+V258	1	102,15	2,41	102,15	1,85	ELS
	G+V258	2	0,00	0,00	0,00	0,00	ELS
HIP.5	G+V259	1	108,69	1,88	108,69	1,44	ELS
	G+V259	2	0,00	0,00	0,00	0,00	ELS
HIP.6	G+V260	1	109,27	1,78	109,27	1,36	ELS
	G+V260	2	0,00	0,00	0,00	0,00	ELS
HIP.7	G+V261	1	78,04	12,62	78,04	9,65	ELS
	G+V261	2	0,00	0,00	0,00	0,00	ELS
HIP.8	G+V262	1	83,61	11,37	83,61	8,69	ELS
	G+V262	2	0,00	0,00	0,00	0,00	ELS
HIP.9	G+V263	1	133,38	9,39	133,38	7,18	ELS
	G+V263	2	0,00	0,00	0,00	0,00	ELS
HIP.10	G+V264	1	127,81	8,27	127,81	6,32	ELS
	G+V264	2	0,00	0,00	0,00	0,00	ELS
HIP.11	G+Q+0,6*V257	1	138,03	5,26	138,03	4,02	ELS
	G+Q+0,6*V257	2	0,00	0,00	0,00	0,00	ELS
HIP.12	G+Q+0,6*V258	1	137,68	5,35	137,68	4,09	ELS
	G+Q+0,6*V258	2	0,00	0,00	0,00	0,00	ELS
HIP.13	G+Q+0,6*V259	1	141,60	4,78	141,60	3,65	ELS
	G+Q+0,6*V259	2	0,00	0,00	0,00	0,00	ELS
HIP.14	G+Q+0,6*V260	1	141,95	4,70	141,95	3,59	ELS
	G+Q+0,6*V260	2	0,00	0,00	0,00	0,00	ELS
HIP.15	G+Q+0,6*V261	1	123,21	11,08	123,21	8,47	ELS
	G+Q+0,6*V261	2	0,00	0,00	0,00	0,00	ELS
HIP.16	G+Q+0,6*V262	1	126,56	10,25	126,56	7,84	ELS
	G+Q+0,6*V262	2	0,00	0,00	0,00	0,00	ELS
HIP.17	G+Q+0,6*V263	1	156,42	3,70	156,42	2,83	ELS
	G+Q+0,6*V263	2	0,00	0,00	0,00	0,00	ELS
HIP.18	G+Q+0,6*V264	1	153,08	3,67	153,08	2,81	ELS
	G+Q+0,6*V264	2	0,00	0,00	0,00	0,00	ELS
HIP.19	G+V1+0,7*Q	1	126,60	4,52	126,60	3,45	ELS
	G+V1+0,7*Q	2	0,00	0,00	0,00	0,00	ELS
HIP.20	G+V2+0,7*Q	1	126,02	4,65	126,02	3,56	ELS
	G+V2+0,7*Q	2	0,00	0,00	0,00	0,00	ELS
HIP.21	G+V3+0,7*Q	1	132,56	3,78	132,56	2,89	ELS
	G+V3+0,7*Q	2	0,00	0,00	0,00	0,00	ELS
HIP.22	G+V4+0,7*Q	1	133,14	3,64	133,14	2,78	ELS
	G+V4+0,7*Q	2	0,00	0,00	0,00	0,00	ELS
HIP.23	G+V5+0,7*Q	1	101,91	14,52	101,91	11,10	ELS
	G+V5+0,7*Q	2	0,00	0,00	0,00	0,00	ELS
HIP.24	G+V6+0,7*Q	1	107,48	13,20	107,48	10,09	ELS
	G+V6+0,7*Q	2	0,00	0,00	0,00	0,00	ELS
HIP.25	G+V7+0,7*Q	1	157,25	7,90	157,25	6,04	ELS
	G+V7+0,7*Q	2	0,00	0,00	0,00	0,00	ELS
HIP.26	G+V8+0,7*Q	1	151,68	7,02	151,68	5,36	ELS
	G+V8+0,7*Q	2	0,00	0,00	0,00	0,00	ELS
HIP.27	G+Sx	1	120,17	1,50	120,17	1,14	ELU
	G+Sx	2	0,00	0,00	0,00	0,00	ELU
HIP.28	G-Sx	1	91,24	3,86	91,24	2,95	ELU
	G-Sx	2	0,00	0,00	0,00	0,00	ELU
HIP.29	G+Sy	1	117,05	1,62	117,05	1,24	ELU
	G+Sy	2	0,00	0,00	0,00	0,00	ELU
HIP.30	G-Sy	1	94,36	3,99	94,36	3,05	ELU
	G-Sy	2	0,00	0,00	0,00	0,00	ELU
HIP.31	G+Sx+0,3*Sy	1	123,57	2,33	123,57	1,78	ELU
	G+Sx+0,3*Sy	2	0,00	0,00	0,00	0,00	ELU
HIP.32	G+Sx-0,3*Sy	1	116,77	0,68	116,77	0,52	ELU
	G+Sx-0,3*Sy	2	0,00	0,00	0,00	0,00	ELU
HIP.33	G-Sx+0,3*Sy	1	94,65	3,02	94,65	2,31	ELU
	G-Sx+0,3*Sy	2	0,00	0,00	0,00	0,00	ELU
HIP.34	G-Sx-0,3*Sy	1	87,84	4,70	87,84	3,59	ELU
	G-Sx-0,3*Sy	2	0,00	0,00	0,00	0,00	ELU
HIP.35	G+Sy+0,3*Sx	1	121,39	2,42	121,39	1,85	ELU
	G+Sy+0,3*Sx	2	0,00	0,00	0,00	0,00	ELU
HIP.36	G+Sy-0,3*Sx	1	112,71	0,82	112,71	0,63	ELU
	G+Sy-0,3*Sx	2	0,00	0,00	0,00	0,00	ELU
HIP.37	G-Sy+0,3*Sx	1	98,70	3,19	98,70	2,44	ELU
	G-Sy+0,3*Sx	2	0,00	0,00	0,00	0,00	ELU
HIP.38	G-Sy-0,3*Sx	1	90,02	4,79	90,02	3,66	ELU
	G-Sy-0,3*Sx	2	0,00	0,00	0,00	0,00	ELU
HIP.39	G+Sx+0,3*Q	1	130,40	0,85	130,40	0,65	ELU
	G+Sx+0,3*Q	2	0,00	0,00	0,00	0,00	ELU
HIP.40	G-Sx+0,3*Q	1	101,48	4,50	101,48	3,44	ELU

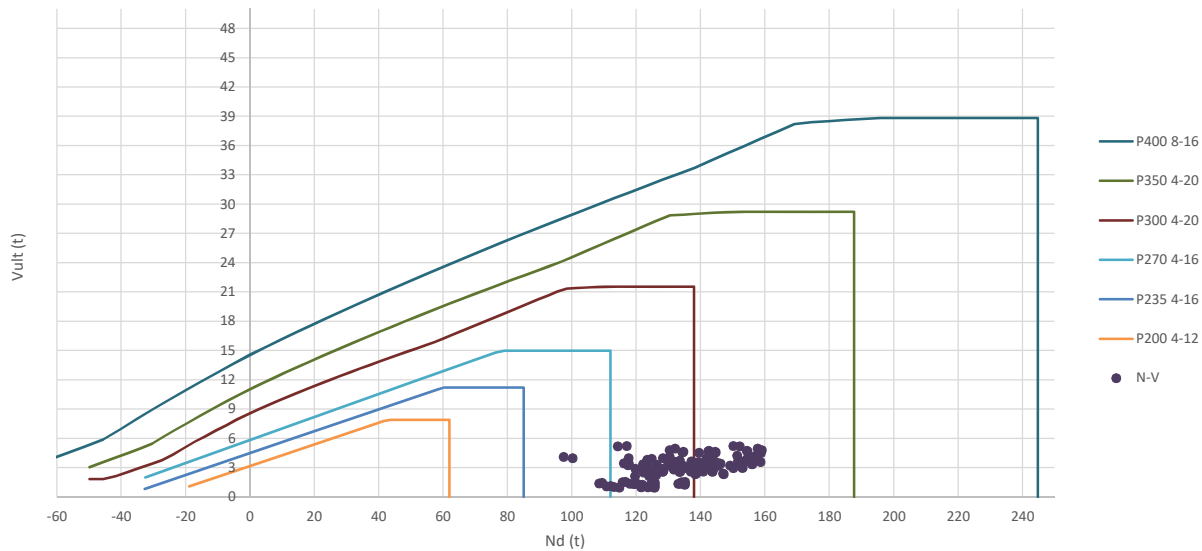
	G-Sx+0,3*Q	2	0,00	0,00	0,00	0,00	ELU
HIP.41	G+Sy+0,3*Q	1	127,28	1,00	127,28	0,76	ELU
	G+Sy+0,3*Q	2	0,00	0,00	0,00	0,00	ELU
HIP.42	G-Sy+0,3*Q	1	104,60	4,62	104,60	3,54	ELU
	G-Sy+0,3*Q	2	0,00	0,00	0,00	0,00	ELU
HIP.43	G+Sx+0,3*Sy+0,3*Q	1	133,81	1,69	133,81	1,29	ELU
	G+Sx+0,3*Sy+0,3*Q	2	0,00	0,00	0,00	0,00	ELU
HIP.44	G+Sx-0,3*Sy+0,3*Q	1	127,00	0,09	127,00	0,07	ELU
	G+Sx-0,3*Sy+0,3*Q	2	0,00	0,00	0,00	0,00	ELU
HIP.45	G-Sx+0,3*Sy+0,3*Q	1	104,88	3,66	104,88	2,80	ELU
	G-Sx+0,3*Sy+0,3*Q	2	0,00	0,00	0,00	0,00	ELU
HIP.46	G-Sx-0,3*Sy+0,3*Q	1	98,07	5,34	98,07	4,08	ELU
	G-Sx-0,3*Sy+0,3*Q	2	0,00	0,00	0,00	0,00	ELU
HIP.47	G+Sy+0,3*Sx+0,3*Q	1	131,62	1,79	131,62	1,37	ELU
	G+Sy+0,3*Sx+0,3*Q	2	0,00	0,00	0,00	0,00	ELU
HIP.48	G+Sy-0,3*Sx+0,3*Q	1	122,94	0,28	122,94	0,21	ELU
	G+Sy-0,3*Sx+0,3*Q	2	0,00	0,00	0,00	0,00	ELU
HIP.49	G-Sy+0,3*Sx+0,3*Q	1	108,93	3,82	108,93	2,92	ELU
	G-Sy+0,3*Sx+0,3*Q	2	0,00	0,00	0,00	0,00	ELU
HIP.50	G-Sy-0,3*Sx+0,3*Q	1	100,26	5,43	100,26	4,15	ELU
	G-Sy-0,3*Sx+0,3*Q	2	0,00	0,00	0,00	0,00	ELU
HIP.51	G+BOMB	1	144,48	4,40	144,48	3,37	ELU
	G+BOMB	2	0,00	0,00	0,00	0,00	ELU
HIP.52	G+BOMB+0,5*Q	1	161,53	5,48	161,53	4,19	ELU
	G+BOMB+0,5*Q	2	0,00	0,00	0,00	0,00	ELU
HIP.53	G+BOMB+0,5*V257	1	142,99	4,59	142,99	3,51	ELU
	G+BOMB+0,5*V257	2	0,00	0,00	0,00	0,00	ELU
HIP.54	G+BOMB+0,5*V258	1	142,70	4,64	142,70	3,55	ELU
	G+BOMB+0,5*V258	2	0,00	0,00	0,00	0,00	ELU
HIP.55	G+BOMB+0,5*V259	1	145,97	4,24	145,97	3,24	ELU
	G+BOMB+0,5*V259	2	0,00	0,00	0,00	0,00	ELU
HIP.56	G+BOMB+0,5*V260	1	146,26	4,19	146,26	3,21	ELU
	G+BOMB+0,5*V260	2	0,00	0,00	0,00	0,00	ELU
HIP.57	G+BOMB+0,5*V261	1	130,64	7,56	130,64	5,78	ELU
	G+BOMB+0,5*V261	2	0,00	0,00	0,00	0,00	ELU
HIP.58	G+BOMB+0,5*V262	1	133,43	7,08	133,43	5,41	ELU
	G+BOMB+0,5*V262	2	0,00	0,00	0,00	0,00	ELU
HIP.59	G+BOMB+0,5*V263	1	158,31	2,91	158,31	2,22	ELU
	G+BOMB+0,5*V263	2	0,00	0,00	0,00	0,00	ELU
HIP.60	G+BOMB+0,5*V264	1	155,53	3,15	155,53	2,41	ELU
	G+BOMB+0,5*V264	2	0,00	0,00	0,00	0,00	ELU
HIP.61	G+BOMB+0,5*V1+0,3*Q	1	153,22	5,24	153,22	4,00	ELU
	G+BOMB+0,5*V1+0,3*Q	2	0,00	0,00	0,00	0,00	ELU
HIP.62	G+BOMB+0,5*V2+0,3*Q	1	152,93	5,28	152,93	4,04	ELU
	G+BOMB+0,5*V2+0,3*Q	2	0,00	0,00	0,00	0,00	ELU
HIP.63	G+BOMB+0,5*V3+0,3*Q	1	156,20	4,89	156,20	3,74	ELU
	G+BOMB+0,5*V3+0,3*Q	2	0,00	0,00	0,00	0,00	ELU
HIP.64	G+BOMB+0,5*V4+0,3*Q	1	156,49	4,84	156,49	3,70	ELU
	G+BOMB+0,5*V4+0,3*Q	2	0,00	0,00	0,00	0,00	ELU
HIP.65	G+BOMB+0,5*V5+0,3*Q	1	140,87	8,18	140,87	6,25	ELU
	G+BOMB+0,5*V5+0,3*Q	2	0,00	0,00	0,00	0,00	ELU
HIP.66	G+BOMB+0,5*V6+0,3*Q	1	143,66	7,70	143,66	5,89	ELU
	G+BOMB+0,5*V6+0,3*Q	2	0,00	0,00	0,00	0,00	ELU
HIP.67	G+BOMB+0,5*V7+0,3*Q	1	168,54	3,30	168,54	2,52	ELU
	G+BOMB+0,5*V7+0,3*Q	2	0,00	0,00	0,00	0,00	ELU
HIP.68	G+BOMB+0,5*V8+0,3*Q	1	165,76	3,61	165,76	2,76	ELU
	G+BOMB+0,5*V8+0,3*Q	2	0,00	0,00	0,00	0,00	ELU

Seccion (mm.)	e _x (m.)	e _y (m.)	Henc. (m.)
350	0,00	1,25	1,25
COMPROBACIÓN (compresión)	CUMPLE		
MAX. AXIL	158,99	(TON)	
MIN. AXIL	0,00	(TON)	
COMPROBACIÓN (tracción)	CUMPLE		
	L.1(m)	0,00	
	L.2(m)	0,00	
	L.Influenc.(m)	0,00	
	CERRAM.(ton.)	0,00	
	αx (inclinación)	0,00	
	αy (inclinación)	0,00	

Curva de resistencia axil-momento (en cualquier dirección)



Curva de resistencia axil-cortante



PILAR: P34



COMPROBACIÓN ESFUERZOS:

P18147P Parcela R20

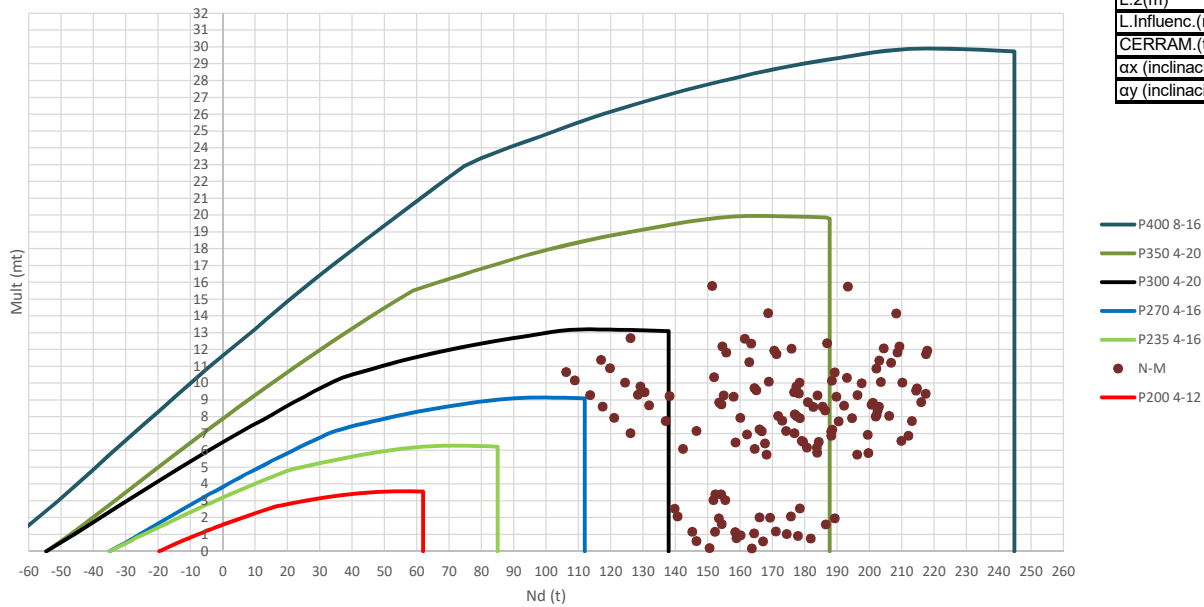
	LC: COMB.	nº PILOTE	N _{pilote} (T) a ras de suelo	M ult. Pilote (mT)	N _{pilote} (T) a ras de suelo	V ult.-Pilote (T)	ESTADO LIMITE
HIP.1	G	1	119,62	2,80	119,62	2,14	ELS
	G	2	123,97	2,80	123,97	2,14	ELS
HIP.2	G+Q	1	143,69	5,28	143,69	4,04	ELS
	G+Q	2	155,18	5,28	155,18	4,04	ELS
HIP.3	G+V265	1	121,79	1,37	121,79	1,05	ELS
	G+V265	2	125,13	1,37	125,13	1,05	ELS
HIP.4	G+V266	1	121,49	1,31	121,49	1,00	ELS
	G+V266	2	125,35	1,31	125,35	1,00	ELS
HIP.5	G+V267	1	117,46	4,26	117,46	3,26	ELS
	G+V267	2	122,81	4,26	122,81	3,26	ELS
HIP.6	G+V268	1	117,76	4,36	117,76	3,34	ELS
	G+V268	2	122,59	4,36	122,59	3,34	ELS
HIP.7	G+V269	1	97,41	5,36	97,41	4,10	ELS
	G+V269	2	130,32	5,35	130,32	4,09	ELS
HIP.8	G+V270	1	100,21	5,20	100,21	3,97	ELS
	G+V270	2	128,25	5,20	128,25	3,97	ELS
HIP.9	G+V271	1	141,83	5,16	141,83	3,94	ELS
	G+V271	2	117,62	5,18	117,62	3,96	ELS
HIP.10	G+V272	1	139,04	3,81	139,04	2,91	ELS
	G+V272	2	119,68	3,81	119,68	2,91	ELS
HIP.11	G+Q+0,6*V265	1	144,99	4,44	144,99	3,39	ELS
	G+Q+0,6*V265	2	155,87	4,44	155,87	3,39	ELS
HIP.12	G+Q+0,6*V266	1	144,81	4,40	144,81	3,36	ELS
	G+Q+0,6*V266	2	156,00	4,40	156,00	3,36	ELS
HIP.13	G+Q+0,6*V267	1	142,40	6,13	142,40	4,69	ELS
	G+Q+0,6*V267	2	154,48	6,13	154,48	4,69	ELS
HIP.14	G+Q+0,6*V268	1	142,58	6,18	142,58	4,73	ELS
	G+Q+0,6*V268	2	154,35	6,18	154,35	4,73	ELS
HIP.15	G+Q+0,6*V269	1	130,37	6,29	130,37	4,81	ELS
	G+Q+0,6*V269	2	158,99	6,28	158,99	4,80	ELS
HIP.16	G+Q+0,6*V270	1	132,04	6,49	132,04	4,96	ELS
	G+Q+0,6*V270	2	157,75	6,49	157,75	4,96	ELS
HIP.17	G+Q+0,6*V271	1	157,02	5,52	157,02	4,22	ELS
	G+Q+0,6*V271	2	151,37	5,54	151,37	4,23	ELS
HIP.18	G+Q+0,6*V272	1	155,34	4,79	155,34	3,66	ELS
	G+Q+0,6*V272	2	152,61	4,79	152,61	3,66	ELS
HIP.19	G+V1+0,7*Q	1	138,64	3,13	138,64	2,39	ELS
	G+V1+0,7*Q	2	146,97	3,13	146,97	2,39	ELS
HIP.20	G+V2+0,7*Q	1	138,34	3,07	138,34	2,35	ELS
	G+V2+0,7*Q	2	147,19	3,07	147,19	2,35	ELS
HIP.21	G+V3+0,7*Q	1	134,31	5,97	134,31	4,56	ELS
	G+V3+0,7*Q	2	144,66	5,97	144,66	4,56	ELS
HIP.22	G+V4+0,7*Q	1	134,61	6,06	134,61	4,63	ELS
	G+V4+0,7*Q	2	144,44	6,06	144,44	4,63	ELS
HIP.23	G+V5+0,7*Q	1	114,26	6,78	114,26	5,19	ELS
	G+V5+0,7*Q	2	152,17	6,77	152,17	5,17	ELS
HIP.24	G+V6+0,7*Q	1	117,06	6,82	117,06	5,21	ELS
	G+V6+0,7*Q	2	150,10	6,82	150,10	5,21	ELS
HIP.25	G+V7+0,7*Q	1	158,68	5,89	158,68	4,51	ELS
	G+V7+0,7*Q	2	139,46	5,92	139,46	4,53	ELS
HIP.26	G+V8+0,7*Q	1	155,89	4,51	155,89	3,45	ELS
	G+V8+0,7*Q	2	141,53	4,51	141,53	3,45	ELS
HIP.27	G+Sx	1	127,20	3,80	127,20	2,91	ELU
	G+Sx	2	122,19	3,82	122,19	2,92	ELU
HIP.28	G-Sx	1	112,04	1,48	112,04	1,13	ELU
	G-Sx	2	125,74	1,48	125,74	1,13	ELU
HIP.29	G+Sy	1	128,47	3,55	128,47	2,71	ELU
	G+Sy	2	123,78	3,57	123,78	2,73	ELU
HIP.30	G-Sy	1	110,78	1,44	110,78	1,10	ELU
	G-Sy	2	124,16	1,44	124,16	1,10	ELU
HIP.31	G+Sx+0,3*Sy	1	129,86	4,35	129,86	3,33	ELU
	G+Sx+0,3*Sy	2	122,14	4,38	122,14	3,35	ELU
HIP.32	G+Sx-0,3*Sy	1	124,55	3,26	124,55	2,49	ELU
	G+Sx-0,3*Sy	2	122,25	3,27	122,25	2,50	ELU
HIP.33	G-Sx+0,3*Sy	1	114,69	1,24	114,69	0,94	ELU
	G-Sx+0,3*Sy	2	125,69	1,23	125,69	0,94	ELU
HIP.34	G-Sx-0,3*Sy	1	109,39	1,88	109,39	1,44	ELU
	G-Sx-0,3*Sy	2	125,80	1,89	125,80	1,44	ELU
HIP.35	G+Sy+0,3*Sx	1	130,74	4,18	130,74	3,20	ELU
	G+Sy+0,3*Sx	2	123,24	4,21	123,24	3,22	ELU
HIP.36	G+Sy-0,3*Sx	1	126,19	2,94	126,19	2,24	ELU
	G+Sy-0,3*Sx	2	124,31	2,95	124,31	2,26	ELU
HIP.37	G-Sy+0,3*Sx	1	113,05	1,32	113,05	1,01	ELU
	G-Sy+0,3*Sx	2	123,63	1,32	123,63	1,01	ELU
HIP.38	G-Sy-0,3*Sx	1	108,50	1,80	108,50	1,38	ELU
	G-Sy-0,3*Sx	2	124,69	1,81	124,69	1,38	ELU
HIP.39	G+Sx+0,3*Q	1	134,43	4,21	134,43	3,22	ELU
	G+Sx+0,3*Q	2	131,56	4,24	131,56	3,24	ELU
HIP.40	G-Sx+0,3*Q	1	119,26	1,74	119,26	1,33	ELU

	G-Sx+0,3*Q	2	135,11	1,74	135,11	1,33	ELU
HIP.41	G+Sy+0,3*Q	1	135,69	3,97	135,69	3,03	ELU
	G+Sy+0,3*Q	2	133,14	3,99	133,14	3,05	ELU
HIP.42	G-Sy+0,3*Q	1	118,00	1,76	118,00	1,35	ELU
	G-Sy+0,3*Q	2	133,52	1,76	133,52	1,34	ELU
HIP.43	G+Sx+0,3*Sy+0,3*Q	1	137,08	4,75	137,08	3,63	ELU
	G+Sx+0,3*Sy+0,3*Q	2	131,50	4,78	131,50	3,65	ELU
HIP.44	G+Sx-0,3*Sy+0,3*Q	1	131,77	3,69	131,77	2,82	ELU
	G+Sx-0,3*Sy+0,3*Q	2	131,62	3,71	131,62	2,83	ELU
HIP.45	G-Sx+0,3*Sy+0,3*Q	1	121,92	1,64	121,92	1,25	ELU
	G-Sx+0,3*Sy+0,3*Q	2	135,05	1,63	135,05	1,25	ELU
HIP.46	G-Sx-0,3*Sy+0,3*Q	1	116,61	2,02	116,61	1,54	ELU
	G-Sx-0,3*Sy+0,3*Q	2	135,16	2,02	135,16	1,54	ELU
HIP.47	G+Sy+0,3*Sx+0,3*Q	1	137,96	4,58	137,96	3,50	ELU
	G+Sy+0,3*Sx+0,3*Q	2	132,61	4,60	132,61	3,52	ELU
HIP.48	G+Sy-0,3*Sx+0,3*Q	1	133,41	3,37	133,41	2,58	ELU
	G+Sy-0,3*Sx+0,3*Q	2	133,67	3,39	133,67	2,59	ELU
HIP.49	G-Sy+0,3*Sx+0,3*Q	1	120,27	1,78	120,27	1,36	ELU
	G-Sy+0,3*Sx+0,3*Q	2	132,99	1,77	132,99	1,35	ELU
HIP.50	G-Sy-0,3*Sx+0,3*Q	1	115,72	1,98	115,72	1,51	ELU
	G-Sy-0,3*Sx+0,3*Q	2	134,06	1,98	134,06	1,51	ELU
HIP.51	G+BOMB	1	127,23	3,86	127,23	2,95	ELU
	G+BOMB	2	142,96	3,86	142,96	2,95	ELU
HIP.52	G+BOMB+0,5*Q	1	139,26	4,70	139,26	3,60	ELU
	G+BOMB+0,5*Q	2	158,57	4,70	158,57	3,60	ELU
HIP.53	G+BOMB+0,5*V265	1	128,31	3,42	128,31	2,61	ELU
	G+BOMB+0,5*V265	2	143,54	3,42	143,54	2,61	ELU
HIP.54	G+BOMB+0,5*V266	1	128,16	3,40	128,16	2,60	ELU
	G+BOMB+0,5*V266	2	143,65	3,40	143,65	2,60	ELU
HIP.55	G+BOMB+0,5*V267	1	126,15	4,32	126,15	3,30	ELU
	G+BOMB+0,5*V267	2	142,38	4,32	142,38	3,30	ELU
HIP.56	G+BOMB+0,5*V268	1	126,30	4,34	126,30	3,32	ELU
	G+BOMB+0,5*V268	2	142,27	4,34	142,27	3,32	ELU
HIP.57	G+BOMB+0,5*V269	1	116,12	4,50	116,12	3,44	ELU
	G+BOMB+0,5*V269	2	146,14	4,49	146,14	3,43	ELU
HIP.58	G+BOMB+0,5*V270	1	117,52	4,60	117,52	3,52	ELU
	G+BOMB+0,5*V270	2	145,11	4,60	145,11	3,52	ELU
HIP.59	G+BOMB+0,5*V271	1	138,33	3,74	138,33	2,86	ELU
	G+BOMB+0,5*V271	2	139,79	3,76	139,79	2,87	ELU
HIP.60	G+BOMB+0,5*V272	1	136,94	3,40	136,94	2,60	ELU
	G+BOMB+0,5*V272	2	140,82	3,40	140,82	2,60	ELU
HIP.61	G+BOMB+0,5*V1+0,3*Q	1	135,53	3,92	135,53	3,00	ELU
	G+BOMB+0,5*V1+0,3*Q	2	152,90	3,92	152,90	3,00	ELU
HIP.62	G+BOMB+0,5*V2+0,3*Q	1	135,38	3,90	135,38	2,98	ELU
	G+BOMB+0,5*V2+0,3*Q	2	153,01	3,90	153,01	2,98	ELU
HIP.63	G+BOMB+0,5*V3+0,3*Q	1	133,37	4,82	133,37	3,69	ELU
	G+BOMB+0,5*V3+0,3*Q	2	151,75	4,82	151,75	3,69	ELU
HIP.64	G+BOMB+0,5*V4+0,3*Q	1	133,52	4,85	133,52	3,70	ELU
	G+BOMB+0,5*V4+0,3*Q	2	151,64	4,85	151,64	3,70	ELU
HIP.65	G+BOMB+0,5*V5+0,3*Q	1	123,34	4,98	123,34	3,81	ELU
	G+BOMB+0,5*V5+0,3*Q	2	155,50	4,97	155,50	3,80	ELU
HIP.66	G+BOMB+0,5*V6+0,3*Q	1	124,74	5,10	124,74	3,90	ELU
	G+BOMB+0,5*V6+0,3*Q	2	154,47	5,10	154,47	3,90	ELU
HIP.67	G+BOMB+0,5*V7+0,3*Q	1	145,56	4,21	145,56	3,22	ELU
	G+BOMB+0,5*V7+0,3*Q	2	149,15	4,22	149,15	3,23	ELU
HIP.68	G+BOMB+0,5*V8+0,3*Q	1	144,16	3,88	144,16	2,96	ELU
	G+BOMB+0,5*V8+0,3*Q	2	150,18	3,88	150,18	2,96	ELU

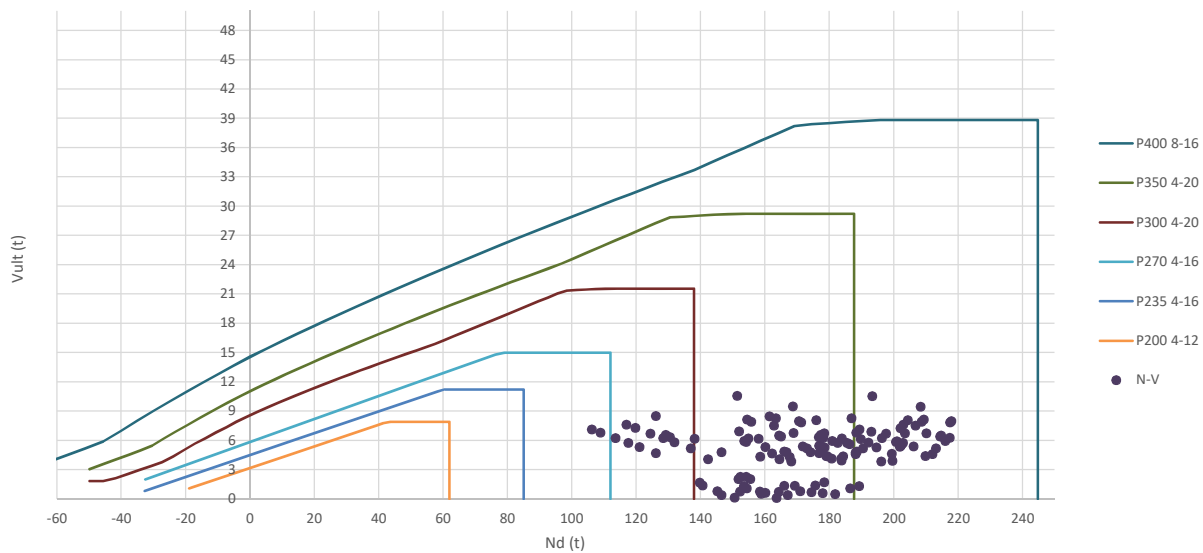
Seccion (mm.)	e _x (m.)	e _y (m.)	Henc. (m.)
400	1,40	0,00	1,25
COMPROBACIÓN (compresión)	CUMPLE		
MAX. AXIL	217,86		(TON)
MIN. AXIL	0,00		(TON)
COMPROBACIÓN (tracción)	CUMPLE		

L.1(m)	0,00
L.2(m)	0,00
L.Influenc.(m)	0,00
CERRAM.(ton.)	0,00
αx (inclinación)	0,00
αy (inclinación)	0,00

Curva de resistencia axil-momento (en cualquier dirección)



Curva de resistencia axil-cortante



PILAR: P35



COMPROBACIÓN ESFUERZOS:

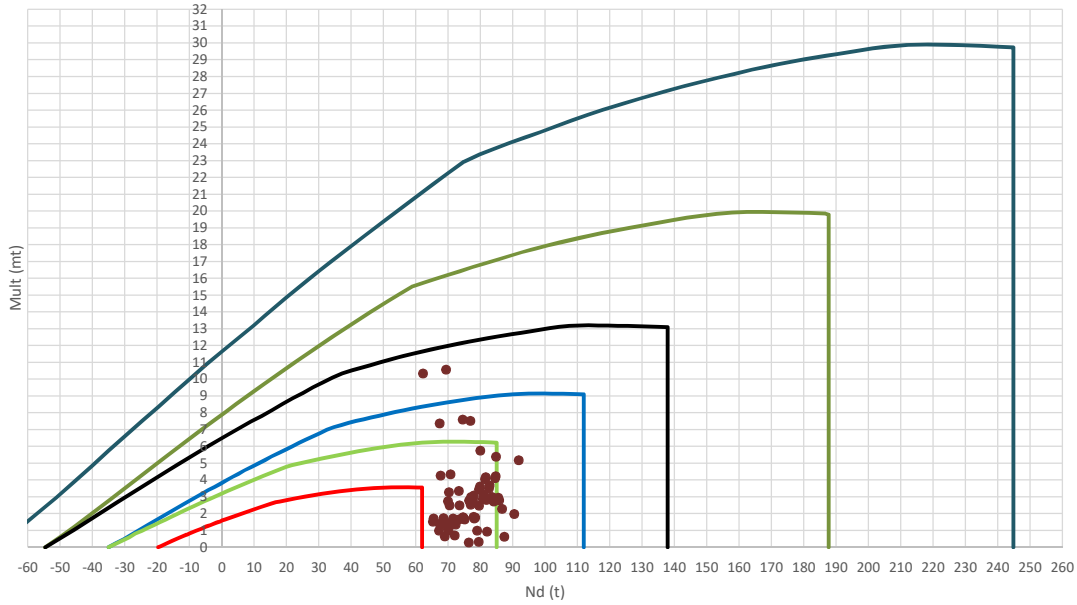
P18147P Parcela R20

	LC: COMB.	nº PILOTE	N _{pilote} (T) a ras de suelo	M ult. Pilote (mT)	N _{pilote} (T) a ras de suelo	V ult-Pilote (T)	ESTADO LIMITE
HIP.1	G	1	164,50	6,09	164,50	4,07	ELS
	G	2	142,28	6,09	142,28	4,07	ELS
HIP.2	G+Q	1	210,17	10,04	210,17	6,72	ELS
	G+Q	2	178,38	10,04	178,38	6,72	ELS
HIP.3	G+V273	1	176,66	9,48	176,66	6,34	ELS
	G+V273	2	130,43	9,48	130,43	6,34	ELS
HIP.4	G+V274	1	177,32	9,81	177,32	6,56	ELS
	G+V274	2	129,17	9,81	129,17	6,56	ELS
HIP.5	G+V275	1	152,34	3,40	152,34	2,27	ELS
	G+V275	2	154,13	3,40	154,13	2,27	ELS
HIP.6	G+V276	1	151,69	3,05	151,69	2,04	ELS
	G+V276	2	155,38	3,05	155,38	2,04	ELS
HIP.7	G+V277	1	161,38	12,64	161,38	8,46	ELS
	G+V277	2	126,04	12,69	126,04	8,49	ELS
HIP.8	G+V278	1	154,86	9,27	154,86	6,20	ELS
	G+V278	2	138,11	9,24	138,11	6,18	ELS
HIP.9	G+V279	1	167,63	6,43	167,63	4,30	ELS
	G+V279	2	158,51	6,48	158,51	4,33	ELS
HIP.10	G+V280	1	174,15	7,17	174,15	4,80	ELS
	G+V280	2	146,44	7,16	146,44	4,79	ELS
HIP.11	G+Q+0,6*V273	1	217,47	11,73	217,47	7,84	ELS
	G+Q+0,6*V273	2	171,27	11,73	171,27	7,84	ELS
HIP.12	G+Q+0,6*V274	1	217,86	11,95	217,86	7,99	ELS
	G+Q+0,6*V274	2	170,52	11,95	170,52	7,99	ELS
HIP.13	G+Q+0,6*V275	1	202,88	8,60	202,88	5,76	ELS
	G+Q+0,6*V275	2	185,49	8,60	185,49	5,76	ELS
HIP.14	G+Q+0,6*V276	1	202,48	8,39	202,48	5,61	ELS
	G+Q+0,6*V276	2	186,24	8,39	186,24	5,61	ELS
HIP.15	G+Q+0,6*V277	1	208,30	14,15	208,30	9,46	ELS
	G+Q+0,6*V277	2	168,64	14,18	168,64	9,48	ELS
HIP.16	G+Q+0,6*V278	1	204,39	12,07	204,39	8,08	ELS
	G+Q+0,6*V278	2	175,88	12,06	175,88	8,07	ELS
HIP.17	G+Q+0,6*V279	1	212,05	6,88	212,05	4,60	ELS
	G+Q+0,6*V279	2	188,12	6,87	188,12	4,60	ELS
HIP.18	G+Q+0,6*V280	1	215,96	8,87	215,96	5,94	ELS
	G+Q+0,6*V280	2	180,88	8,88	180,88	5,94	ELS
HIP.19	G+V1+0,7*Q	1	208,63	11,83	208,63	7,91	ELS
	G+V1+0,7*Q	2	155,70	11,83	155,70	7,91	ELS
HIP.20	G+V2+0,7*Q	1	209,28	12,19	209,28	8,15	ELS
	G+V2+0,7*Q	2	154,45	12,19	154,45	8,15	ELS
HIP.21	G+V3+0,7*Q	1	184,31	6,51	184,31	4,35	ELS
	G+V3+0,7*Q	2	179,40	6,51	179,40	4,35	ELS
HIP.22	G+V4+0,7*Q	1	183,66	6,17	183,66	4,12	ELS
	G+V4+0,7*Q	2	180,65	6,17	180,65	4,12	ELS
HIP.23	G+V5+0,7*Q	1	193,35	15,75	193,35	10,53	ELS
	G+V5+0,7*Q	2	151,31	15,80	151,31	10,57	ELS
HIP.24	G+V6+0,7*Q	1	186,83	12,39	186,83	8,29	ELS
	G+V6+0,7*Q	2	163,38	12,36	163,38	8,27	ELS
HIP.25	G+V7+0,7*Q	1	199,59	5,84	199,59	3,91	ELS
	G+V7+0,7*Q	2	183,78	5,87	183,78	3,93	ELS
HIP.26	G+V8+0,7*Q	1	206,11	8,06	206,11	5,39	ELS
	G+V8+0,7*Q	2	171,72	8,05	171,72	5,39	ELS
HIP.27	G+Sx	1	145,14	1,17	145,14	0,78	ELU
	G+Sx	2	170,98	1,18	170,98	0,79	ELU
HIP.28	G-Sx	1	183,87	9,28	183,87	6,21	ELU
	G-Sx	2	113,57	9,30	113,57	6,22	ELU
HIP.29	G+Sy	1	146,43	0,60	146,43	0,40	ELU
	G+Sy	2	167,05	0,60	167,05	0,40	ELU
HIP.30	G-Sy	1	182,58	8,59	182,58	5,75	ELU
	G-Sy	2	117,50	8,60	117,50	5,75	ELU
HIP.31	G+Sx+0,3*Sy	1	139,71	2,53	139,71	1,69	ELU
	G+Sx+0,3*Sy	2	178,41	2,55	178,41	1,71	ELU
HIP.32	G+Sx-0,3*Sy	1	150,56	0,20	150,56	0,13	ELU
	G+Sx-0,3*Sy	2	163,55	0,18	163,55	0,12	ELU
HIP.33	G-Sx+0,3*Sy	1	178,45	7,92	178,45	5,30	ELU
	G-Sx+0,3*Sy	2	121,00	7,94	121,00	5,31	ELU
HIP.34	G-Sx-0,3*Sy	1	189,29	10,64	189,29	7,12	ELU
	G-Sx-0,3*Sy	2	106,14	10,66	106,14	7,13	ELU
HIP.35	G+Sy+0,3*Sx	1	140,62	2,07	140,62	1,39	ELU
	G+Sy+0,3*Sx	2	175,66	2,08	175,66	1,39	ELU
HIP.36	G+Sy-0,3*Sx	1	152,24	1,16	152,24	0,78	ELU
	G+Sy-0,3*Sx	2	158,44	1,15	158,44	0,77	ELU
HIP.37	G-Sy+0,3*Sx	1	176,77	7,02	176,77	4,70	ELU
	G-Sy+0,3*Sx	2	126,12	7,03	126,12	4,70	ELU
HIP.38	G-Sy-0,3*Sx	1	188,39	10,16	188,39	6,79	ELU
	G-Sy-0,3*Sx	2	108,89	10,17	108,89	6,81	ELU
HIP.39	G+Sx+0,3*Q	1	158,84	0,79	158,84	0,53	ELU
	G+Sx+0,3*Q	2	181,81	0,77	181,81	0,51	ELU
HIP.40	G-Sx+0,3*Q	1	197,57	10,01	197,57	6,70	ELU

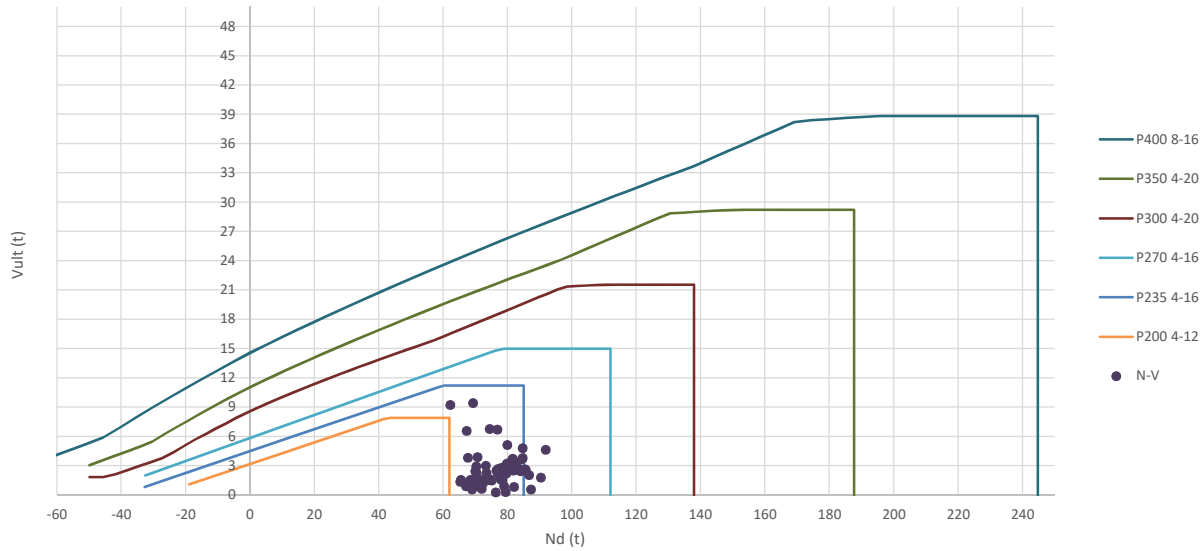
	G-Sx+0,3*Q	2	124,40	10,03	124,40	6,71	ELU
HIP.41	G+Sy+0,3*Q	1	160,13	0,95	160,13	0,64	ELU
	G+Sy+0,3*Q	2	177,88	0,92	177,88	0,61	ELU
HIP.42	G-Sy+0,3*Q	1	196,28	9,30	196,28	6,22	ELU
	G-Sy+0,3*Q	2	128,33	9,32	128,33	6,23	ELU
HIP.43	G+Sx+0,3*Sy+0,3*Q	1	153,41	1,96	153,41	1,31	ELU
	G+Sx+0,3*Sy+0,3*Q	2	189,25	1,96	189,25	1,31	ELU
HIP.44	G+Sx-0,3*Sy+0,3*Q	1	164,26	1,07	164,26	0,71	ELU
	G+Sx-0,3*Sy+0,3*Q	2	174,38	1,03	174,38	0,69	ELU
HIP.45	G-Sx+0,3*Sy+0,3*Q	1	192,15	8,66	192,15	5,79	ELU
	G-Sx+0,3*Sy+0,3*Q	2	131,83	8,68	131,83	5,81	ELU
HIP.46	G-Sx-0,3*Sy+0,3*Q	1	202,99	11,36	202,99	7,60	ELU
	G-Sx-0,3*Sy+0,3*Q	2	116,97	11,39	116,97	7,62	ELU
HIP.47	G+Sy+0,3*Sx+0,3*Q	1	154,32	1,62	154,32	1,08	ELU
	G+Sy+0,3*Sx+0,3*Q	2	186,49	1,61	186,49	1,07	ELU
HIP.48	G+Sy-0,3*Sx+0,3*Q	1	165,94	2,03	165,94	1,36	ELU
	G+Sy-0,3*Sx+0,3*Q	2	169,27	2,01	169,27	1,34	ELU
HIP.49	G-Sy+0,3*Sx+0,3*Q	1	190,47	7,74	190,47	5,18	ELU
	G-Sy+0,3*Sx+0,3*Q	2	136,95	7,75	136,95	5,18	ELU
HIP.50	G-Sy-0,3*Sx+0,3*Q	1	202,09	10,87	202,09	7,27	ELU
	G-Sy-0,3*Sx+0,3*Q	2	119,72	10,89	119,72	7,28	ELU
HIP.51	G+BOMB	1	194,58	7,92	194,58	5,30	ELU
	G+BOMB	2	160,08	7,94	160,08	5,31	ELU
HIP.52	G+BOMB+0,5*Q	1	217,41	9,38	217,41	6,27	ELU
	G+BOMB+0,5*Q	2	178,13	9,40	178,13	6,28	ELU
HIP.53	G+BOMB+0,5*V273	1	200,66	8,73	200,66	5,84	ELU
	G+BOMB+0,5*V273	2	154,15	8,74	154,15	5,85	ELU
HIP.54	G+BOMB+0,5*V274	1	200,99	8,85	200,99	5,92	ELU
	G+BOMB+0,5*V274	2	153,53	8,86	153,53	5,93	ELU
HIP.55	G+BOMB+0,5*V275	1	188,50	7,25	188,50	4,85	ELU
	G+BOMB+0,5*V275	2	166,00	7,26	166,00	4,86	ELU
HIP.56	G+BOMB+0,5*V276	1	188,17	7,13	188,17	4,77	ELU
	G+BOMB+0,5*V276	2	166,63	7,15	166,63	4,78	ELU
HIP.57	G+BOMB+0,5*V277	1	193,02	10,33	193,02	6,91	ELU
	G+BOMB+0,5*V277	2	151,96	10,36	151,96	6,93	ELU
HIP.58	G+BOMB+0,5*V278	1	189,76	9,20	189,76	6,15	ELU
	G+BOMB+0,5*V278	2	158,00	9,20	158,00	6,16	ELU
HIP.59	G+BOMB+0,5*V279	1	196,14	5,75	196,14	3,85	ELU
	G+BOMB+0,5*V279	2	168,20	5,75	168,20	3,85	ELU
HIP.60	G+BOMB+0,5*V280	1	199,40	6,93	199,40	4,64	ELU
	G+BOMB+0,5*V280	2	162,16	6,95	162,16	4,65	ELU
HIP.61	G+BOMB+0,5*V1+0,3*Q	1	214,36	9,57	214,36	6,40	ELU
	G+BOMB+0,5*V1+0,3*Q	2	164,99	9,59	164,99	6,41	ELU
HIP.62	G+BOMB+0,5*V2+0,3*Q	1	214,69	9,69	214,69	6,48	ELU
	G+BOMB+0,5*V2+0,3*Q	2	164,36	9,71	164,36	6,49	ELU
HIP.63	G+BOMB+0,5*V3+0,3*Q	1	202,20	8,13	202,20	5,44	ELU
	G+BOMB+0,5*V3+0,3*Q	2	176,83	8,15	176,83	5,45	ELU
HIP.64	G+BOMB+0,5*V4+0,3*Q	1	201,87	8,02	201,87	5,36	ELU
	G+BOMB+0,5*V4+0,3*Q	2	177,46	8,03	177,46	5,37	ELU
HIP.65	G+BOMB+0,5*V5+0,3*Q	1	206,72	11,21	206,72	7,50	ELU
	G+BOMB+0,5*V5+0,3*Q	2	162,79	11,25	162,79	7,52	ELU
HIP.66	G+BOMB+0,5*V6+0,3*Q	1	203,46	10,09	203,46	6,75	ELU
	G+BOMB+0,5*V6+0,3*Q	2	168,83	10,09	168,83	6,75	ELU
HIP.67	G+BOMB+0,5*V7+0,3*Q	1	209,84	6,56	209,84	4,39	ELU
	G+BOMB+0,5*V7+0,3*Q	2	179,03	6,56	179,03	4,39	ELU
HIP.68	G+BOMB+0,5*V8+0,3*Q	1	213,10	7,75	213,10	5,18	ELU
	G+BOMB+0,5*V8+0,3*Q	2	172,99	7,77	172,99	5,20	ELU

Seccion (mm.)	e _x (m.)	e _y (m.)	Henc. (m.)
300	0,00	0,00	1,00
COMPROBACIÓN (compresión)	CUMPLE		
MAX. AXIL	91,86	(TON)	
MIN. AXIL	0,00	(TON)	
COMPROBACIÓN (tracción)	CUMPLE		
	L.1(m)		0,00
	L.2(m)		0,00
	L.Influenc.(m)		0,00
	CERRAM.(ton.)		0,00
	αx (inclinación)		0,00
	αy (inclinación)		0,00

Curva de resistencia axil-momento (en cualquier dirección)



Curva de resistencia axil-cortante



PILAR: P36



COMPROBACIÓN ESFUERZOS:

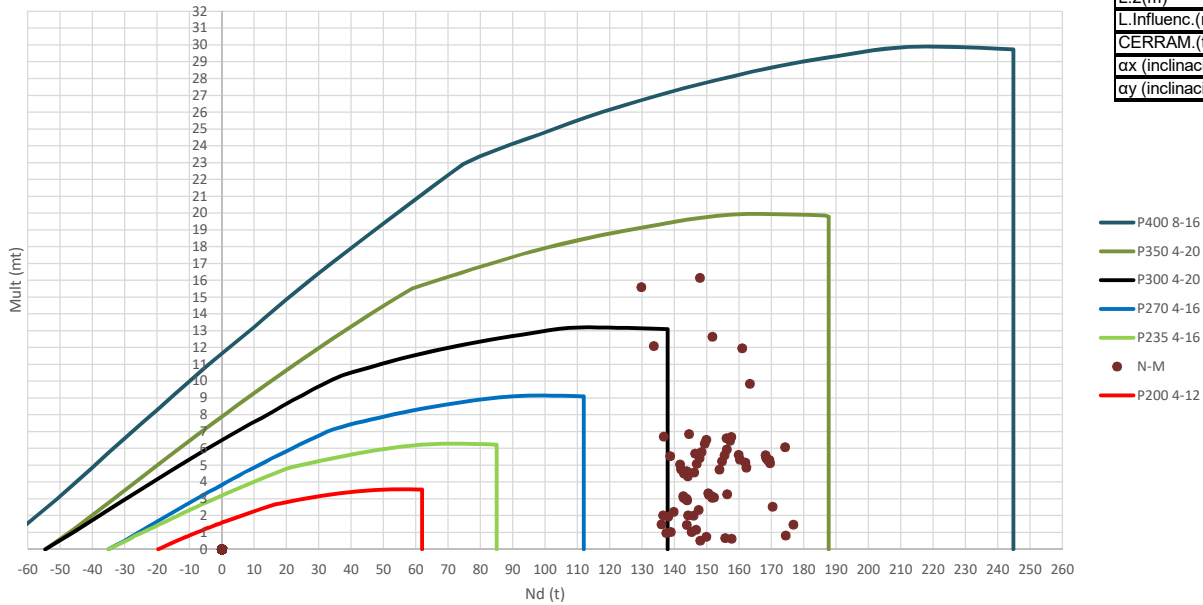
P18147P Parcela R20

	LC: COMB.	n° PILOTE	N _{pilote} (T) a ras de suelo	M ult. Pilote (mT)	N _{pilote} (T) a ras de suelo	V ult-Pilote (T)	ESTADO LIMITE
HIP.1	G	1	73,46	2,50	73,46	2,23	ELS
HIP.2	G+Q	1	83,64	2,84	83,64	2,54	ELS
HIP.3	G+V281	1	70,41	2,49	70,41	2,22	ELS
HIP.4	G+V282	1	69,96	2,74	69,96	2,44	ELS
HIP.5	G+V283	1	76,51	2,79	76,51	2,49	ELS
HIP.6	G+V284	1	76,96	2,53	76,96	2,25	ELS
HIP.7	G+V285	1	79,59	2,47	79,59	2,21	ELS
HIP.8	G+V286	1	84,74	5,39	84,74	4,81	ELS
HIP.9	G+V287	1	67,33	7,37	67,33	6,57	ELS
HIP.10	G+V288	1	62,18	10,34	62,18	9,22	ELS
HIP.11	G+Q+0,6*V281	1	81,81	2,81	81,81	2,51	ELS
HIP.12	G+Q+0,6*V282	1	81,54	2,97	81,54	2,65	ELS
HIP.13	G+Q+0,6*V283	1	85,47	2,96	85,47	2,64	ELS
HIP.14	G+Q+0,6*V284	1	85,74	2,80	85,74	2,50	ELS
HIP.15	G+Q+0,6*V285	1	87,31	0,63	87,31	0,56	ELS
HIP.16	G+Q+0,6*V286	1	90,40	1,99	90,40	1,77	ELS
HIP.17	G+Q+0,6*V287	1	79,96	5,75	79,96	5,13	ELS
HIP.18	G+Q+0,6*V288	1	76,87	7,53	76,87	6,71	ELS
HIP.19	G+V1+0,7*Q	1	77,53	2,74	77,53	2,44	ELS
HIP.20	G+V2+0,7*Q	1	77,08	2,99	77,08	2,66	ELS
HIP.21	G+V3+0,7*Q	1	83,63	3,00	83,63	2,67	ELS
HIP.22	G+V4+0,7*Q	1	84,08	2,73	84,08	2,44	ELS
HIP.23	G+V5+0,7*Q	1	86,71	2,28	86,71	2,03	ELS
HIP.24	G+V6+0,7*Q	1	91,86	5,18	91,86	4,62	ELS
HIP.25	G+V7+0,7*Q	1	74,45	7,60	74,45	6,78	ELS
HIP.26	G+V8+0,7*Q	1	69,30	10,56	69,30	9,42	ELS
HIP.27	G+Sx	1	79,53	3,44	79,53	3,07	ELU
HIP.28	G-Sx	1	67,38	1,40	67,38	1,25	ELU
HIP.29	G+Sy	1	79,80	3,62	79,80	3,23	ELU
HIP.30	G-Sy	1	67,11	1,00	67,11	0,89	ELU
HIP.31	G+Sx+0,3*Sy	1	81,44	4,06	81,44	3,62	ELU
HIP.32	G+Sx-0,3*Sy	1	77,63	2,83	77,63	2,52	ELU
HIP.33	G-Sx+0,3*Sy	1	69,28	1,31	69,28	1,17	ELU
HIP.34	G-Sx-0,3*Sy	1	65,47	1,72	65,47	1,53	ELU
HIP.35	G+Sy+0,3*Sx	1	81,62	4,17	81,62	3,72	ELU
HIP.36	G+Sy-0,3*Sx	1	77,97	3,09	77,97	2,75	ELU
HIP.37	G-Sy+0,3*Sx	1	68,94	0,65	68,94	0,58	ELU
HIP.38	G-Sy-0,3*Sx	1	65,29	1,53	65,29	1,36	ELU
HIP.39	G+Sx+0,3*Q	1	82,59	3,50	82,59	3,12	ELU
HIP.40	G-Sx+0,3*Q	1	70,43	1,43	70,43	1,27	ELU
HIP.41	G+Sy+0,3*Q	1	82,85	3,68	82,85	3,28	ELU
HIP.42	G-Sy+0,3*Q	1	70,17	1,01	70,17	0,90	ELU
HIP.43	G+Sx+0,3*Sy+0,3*Q	1	84,49	4,12	84,49	3,67	ELU
HIP.44	G+Sx-0,3*Sy+0,3*Q	1	80,68	2,88	80,68	2,57	ELU
HIP.45	G-Sx+0,3*Sy+0,3*Q	1	72,33	1,36	72,33	1,22	ELU
HIP.46	G-Sx-0,3*Sy+0,3*Q	1	68,53	1,73	68,53	1,54	ELU
HIP.47	G+Sy+0,3*Sx+0,3*Q	1	84,68	4,23	84,68	3,77	ELU
HIP.48	G+Sy-0,3*Sx+0,3*Q	1	81,03	3,15	81,03	2,81	ELU
HIP.49	G-Sy+0,3*Sx+0,3*Q	1	71,99	0,70	71,99	0,63	ELU
HIP.50	G-Sy-0,3*Sx+0,3*Q	1	68,34	1,52	68,34	1,35	ELU
HIP.51	G+BOMB	1	73,30	1,67	73,30	1,49	ELU
HIP.52	G+BOMB+0,5*Q	1	78,39	1,78	78,39	1,59	ELU
HIP.53	G+BOMB+0,5*V281	1	71,77	1,64	71,77	1,46	ELU
HIP.54	G+BOMB+0,5*V282	1	71,55	1,72	71,55	1,54	ELU
HIP.55	G+BOMB+0,5*V283	1	74,82	1,74	74,82	1,56	ELU
HIP.56	G+BOMB+0,5*V284	1	75,05	1,65	75,05	1,48	ELU
HIP.57	G+BOMB+0,5*V285	1	76,36	0,29	76,36	0,26	ELU
HIP.58	G+BOMB+0,5*V286	1	78,94	1,00	78,94	0,89	ELU
HIP.59	G+BOMB+0,5*V287	1	70,23	3,29	70,23	2,93	ELU
HIP.60	G+BOMB+0,5*V288	1	67,66	4,27	67,66	3,81	ELU
HIP.61	G+BOMB+0,5*V1+0,3*Q	1	74,82	1,71	74,82	1,52	ELU
HIP.62	G+BOMB+0,5*V2+0,3*Q	1	74,60	1,79	74,60	1,60	ELU
HIP.63	G+BOMB+0,5*V3+0,3*Q	1	77,87	1,81	77,87	1,61	ELU
HIP.64	G+BOMB+0,5*V4+0,3*Q	1	78,10	1,72	78,10	1,53	ELU
HIP.65	G+BOMB+0,5*V5+0,3*Q	1	79,41	0,33	79,41	0,29	ELU
HIP.66	G+BOMB+0,5*V6+0,3*Q	1	81,99	0,94	81,99	0,84	ELU
HIP.67	G+BOMB+0,5*V7+0,3*Q	1	73,28	3,35	73,28	2,99	ELU
HIP.68	G+BOMB+0,5*V8+0,3*Q	1	70,71	4,34	70,71	3,87	ELU

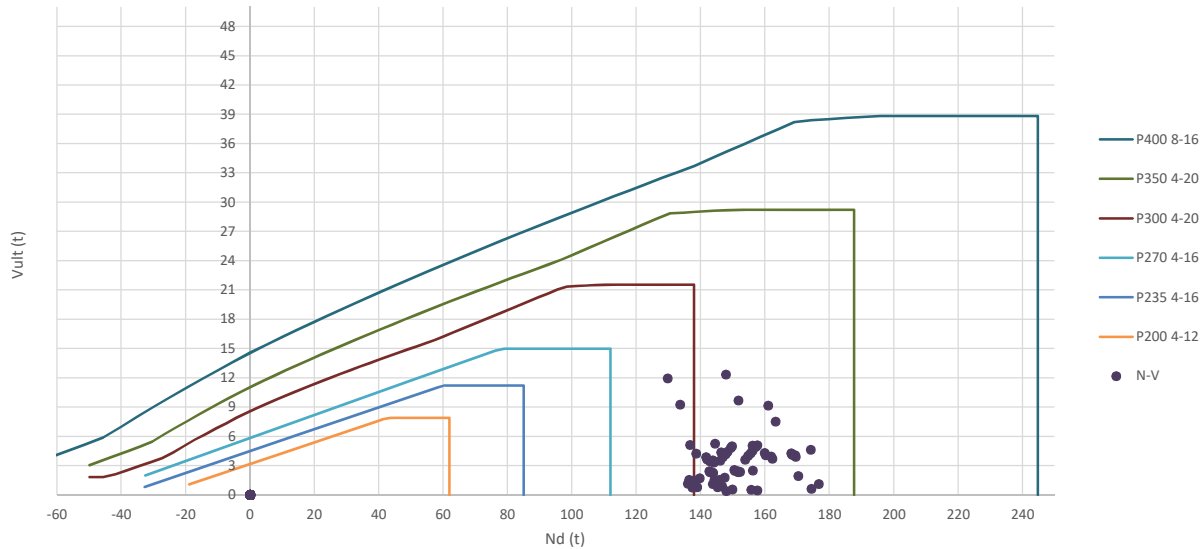
Seccion (mm.)	e _x (m.)	e _y (m.)	Henc. (m.)
350	0,00	0,00	1,00
COMPROBACIÓN (compresión)	CUMPLE		
MAX. AXIL	176,75	(TON)	
MIN. AXIL	0.00	(TON)	
COMPROBACIÓN (tracción)	CUMPLE		

L.1(m)	0,00
L.2(m)	0,00
L.Influenc.(m)	0,00
CERRAM.(ton.)	0,00
αx (inclinación)	0,00
αy (inclinación)	0,00

Curva de resistencia axil-momento (en cualquier dirección)



Curva de resistencia axil-cortante



PILAR: P37



COMPROBACIÓN ESFUERZOS:

P18147P Parcela R20

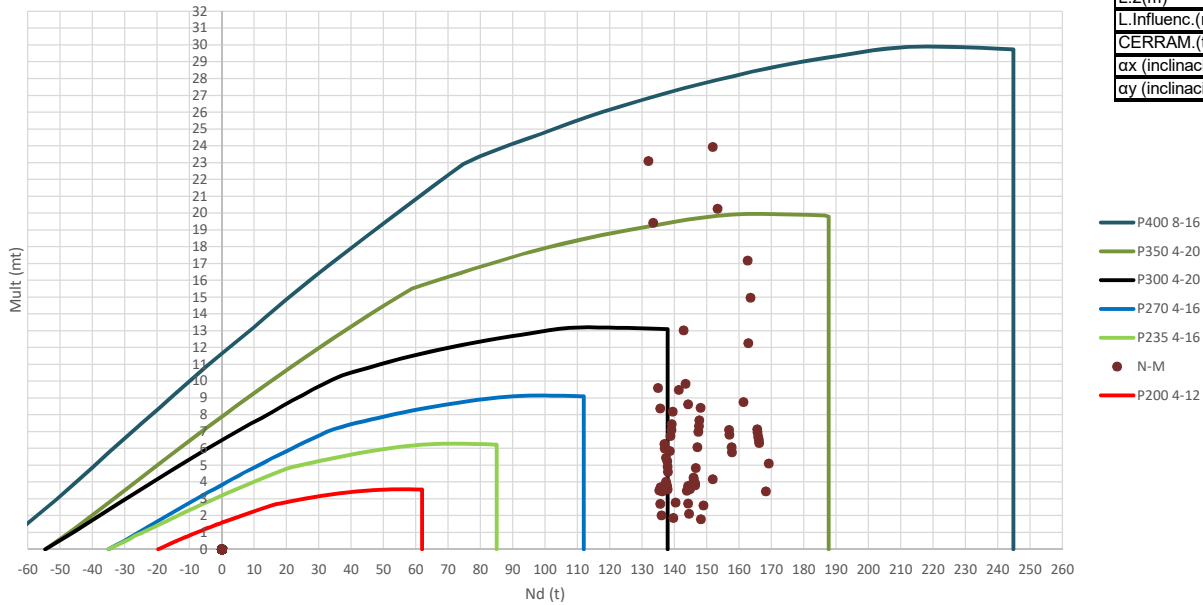
	LC: COMB.	nº PILOTE	N _{pilote} (T) a ras de suelo	M ult. Pilote (mT)	N _{pilote} (T) a ras de suelo	V ult.-Pilote (T)	ESTADO LIMITE
HIP.1	G	1	142,90	4,51	142,90	3,45	ELS
	G	2	0,00	0,00	0,00	0,00	ELS
HIP.2	G+Q	1	168,85	5,31	168,85	4,06	ELS
	G+Q	2	0,00	0,00	0,00	0,00	ELS
HIP.3	G+V289	1	144,09	4,35	144,09	3,32	ELS
	G+V289	2	0,00	0,00	0,00	0,00	ELS
HIP.4	G+V290	1	143,76	4,66	143,76	3,56	ELS
	G+V290	2	0,00	0,00	0,00	0,00	ELS
HIP.5	G+V291	1	141,71	5,06	141,71	3,87	ELS
	G+V291	2	0,00	0,00	0,00	0,00	ELS
HIP.6	G+V292	1	142,04	4,77	142,04	3,65	ELS
	G+V292	2	0,00	0,00	0,00	0,00	ELS
HIP.7	G+V293	1	152,21	3,08	152,21	2,36	ELS
	G+V293	2	0,00	0,00	0,00	0,00	ELS
HIP.8	G+V294	1	156,07	6,62	156,07	5,06	ELS
	G+V294	2	0,00	0,00	0,00	0,00	ELS
HIP.9	G+V295	1	133,59	12,09	133,59	9,24	ELS
	G+V295	2	0,00	0,00	0,00	0,00	ELS
HIP.10	G+V296	1	129,73	15,61	129,73	11,93	ELS
	G+V296	2	0,00	0,00	0,00	0,00	ELS
HIP.11	G+Q+0,6*V289	1	169,56	5,13	169,56	3,92	ELS
	G+Q+0,6*V289	2	0,00	0,00	0,00	0,00	ELS
HIP.12	G+Q+0,6*V290	1	169,36	5,32	169,36	4,07	ELS
	G+Q+0,6*V290	2	0,00	0,00	0,00	0,00	ELS
HIP.13	G+Q+0,6*V291	1	168,13	5,60	168,13	4,28	ELS
	G+Q+0,6*V291	2	0,00	0,00	0,00	0,00	ELS
HIP.14	G+Q+0,6*V292	1	168,33	5,42	168,33	4,15	ELS
	G+Q+0,6*V292	2	0,00	0,00	0,00	0,00	ELS
HIP.15	G+Q+0,6*V293	1	174,43	0,83	174,43	0,63	ELS
	G+Q+0,6*V293	2	0,00	0,00	0,00	0,00	ELS
HIP.16	G+Q+0,6*V294	1	176,75	1,47	176,75	1,12	ELS
	G+Q+0,6*V294	2	0,00	0,00	0,00	0,00	ELS
HIP.17	G+Q+0,6*V295	1	163,26	9,85	163,26	7,53	ELS
	G+Q+0,6*V295	2	0,00	0,00	0,00	0,00	ELS
HIP.18	G+Q+0,6*V296	1	160,94	11,96	160,94	9,14	ELS
	G+Q+0,6*V296	2	0,00	0,00	0,00	0,00	ELS
HIP.19	G+V1+0,7*Q	1	162,25	4,86	162,25	3,72	ELS
	G+V1+0,7*Q	2	0,00	0,00	0,00	0,00	ELS
HIP.20	G+V2+0,7*Q	1	161,92	5,17	161,92	3,95	ELS
	G+V2+0,7*Q	2	0,00	0,00	0,00	0,00	ELS
HIP.21	G+V3+0,7*Q	1	159,87	5,62	159,87	4,29	ELS
	G+V3+0,7*Q	2	0,00	0,00	0,00	0,00	ELS
HIP.22	G+V4+0,7*Q	1	160,20	5,33	160,20	4,07	ELS
	G+V4+0,7*Q	2	0,00	0,00	0,00	0,00	ELS
HIP.23	G+V5+0,7*Q	1	170,37	2,54	170,37	1,94	ELS
	G+V5+0,7*Q	2	0,00	0,00	0,00	0,00	ELS
HIP.24	G+V6+0,7*Q	1	174,23	6,07	174,23	4,64	ELS
	G+V6+0,7*Q	2	0,00	0,00	0,00	0,00	ELS
HIP.25	G+V7+0,7*Q	1	151,75	12,64	151,75	9,67	ELS
	G+V7+0,7*Q	2	0,00	0,00	0,00	0,00	ELS
HIP.26	G+V8+0,7*Q	1	147,89	16,16	147,89	12,36	ELS
	G+V8+0,7*Q	2	0,00	0,00	0,00	0,00	ELS
HIP.27	G+Sx	1	147,71	5,44	147,71	4,16	ELU
	G+Sx	2	0,00	0,00	0,00	0,00	ELU
HIP.28	G-Sx	1	138,08	1,95	138,08	1,49	ELU
	G-Sx	2	0,00	0,00	0,00	0,00	ELU
HIP.29	G+Sy	1	148,34	5,79	148,34	4,42	ELU
	G+Sy	2	0,00	0,00	0,00	0,00	ELU
HIP.30	G-Sy	1	137,45	0,98	137,45	0,75	ELU
	G-Sy	2	0,00	0,00	0,00	0,00	ELU
HIP.31	G+Sx+0,3*Sy	1	149,35	6,29	149,35	4,81	ELU
	G+Sx+0,3*Sy	2	0,00	0,00	0,00	0,00	ELU
HIP.32	G+Sx-0,3*Sy	1	146,08	4,58	146,08	3,50	ELU
	G+Sx-0,3*Sy	2	0,00	0,00	0,00	0,00	ELU
HIP.33	G-Sx+0,3*Sy	1	139,71	2,23	139,71	1,70	ELU
	G-Sx+0,3*Sy	2	0,00	0,00	0,00	0,00	ELU
HIP.34	G-Sx-0,3*Sy	1	136,44	2,03	136,44	1,55	ELU
	G-Sx-0,3*Sy	2	0,00	0,00	0,00	0,00	ELU
HIP.35	G+Sy+0,3*Sx	1	149,79	6,52	149,79	4,98	ELU
	G+Sy+0,3*Sx	2	0,00	0,00	0,00	0,00	ELU
HIP.36	G+Sy-0,3*Sx	1	146,90	5,08	146,90	3,89	ELU
	G+Sy-0,3*Sx	2	0,00	0,00	0,00	0,00	ELU
HIP.37	G-Sy+0,3*Sx	1	138,89	1,03	138,89	0,79	ELU
	G-Sy+0,3*Sx	2	0,00	0,00	0,00	0,00	ELU
HIP.38	G-Sy-0,3*Sx	1	136,00	1,50	136,00	1,15	ELU
	G-Sy-0,3*Sx	2	0,00	0,00	0,00	0,00	ELU
HIP.39	G+Sx+0,3*Q	1	155,50	5,59	155,50	4,28	ELU
	G+Sx+0,3*Q	2	0,00	0,00	0,00	0,00	ELU
HIP.40	G-Sx+0,3*Q	1	145,86	2,01	145,86	1,53	ELU

	G-Sx+0,3*Q	2	0,00	0,00	0,00	0,00	ELU
HIP.41	G+Sy+0,3*Q	1	156,13	5,95	156,13	4,55	ELU
	G+Sy+0,3*Q	2	0,00	0,00	0,00	0,00	ELU
HIP.42	G-Sy+0,3*Q	1	145,23	1,02	145,23	0,78	ELU
	G-Sy+0,3*Q	2	0,00	0,00	0,00	0,00	ELU
HIP.43	G+Sx+0,3*Sy+0,3*Q	1	157,13	6,45	157,13	4,93	ELU
	G+Sx+0,3*Sy+0,3*Q	2	0,00	0,00	0,00	0,00	ELU
HIP.44	G+Sx-0,3*Sy+0,3*Q	1	153,86	4,74	153,86	3,62	ELU
	G+Sx-0,3*Sy+0,3*Q	2	0,00	0,00	0,00	0,00	ELU
HIP.45	G-Sx+0,3*Sy+0,3*Q	1	147,50	2,34	147,50	1,79	ELU
	G-Sx+0,3*Sy+0,3*Q	2	0,00	0,00	0,00	0,00	ELU
HIP.46	G-Sx-0,3*Sy+0,3*Q	1	144,23	2,02	144,23	1,54	ELU
	G-Sx-0,3*Sy+0,3*Q	2	0,00	0,00	0,00	0,00	ELU
HIP.47	G+Sy+0,3*Sx+0,3*Q	1	157,57	6,68	157,57	5,11	ELU
	G+Sy+0,3*Sx+0,3*Q	2	0,00	0,00	0,00	0,00	ELU
HIP.48	G+Sy-0,3*Sx+0,3*Q	1	154,68	5,25	154,68	4,01	ELU
	G+Sy-0,3*Sx+0,3*Q	2	0,00	0,00	0,00	0,00	ELU
HIP.49	G-Sy+0,3*Sx+0,3*Q	1	146,68	1,17	146,68	0,90	ELU
	G-Sy+0,3*Sx+0,3*Q	2	0,00	0,00	0,00	0,00	ELU
HIP.50	G-Sy-0,3*Sx+0,3*Q	1	143,79	1,45	143,79	1,11	ELU
	G-Sy-0,3*Sx+0,3*Q	2	0,00	0,00	0,00	0,00	ELU
HIP.51	G+BOMB	1	143,28	3,01	143,28	2,30	ELU
	G+BOMB	2	0,00	0,00	0,00	0,00	ELU
HIP.52	G+BOMB+0,5*Q	1	156,25	3,28	156,25	2,51	ELU
	G+BOMB+0,5*Q	2	0,00	0,00	0,00	0,00	ELU
HIP.53	G+BOMB+0,5*V289	1	143,87	2,91	143,87	2,23	ELU
	G+BOMB+0,5*V289	2	0,00	0,00	0,00	0,00	ELU
HIP.54	G+BOMB+0,5*V290	1	143,71	3,02	143,71	2,31	ELU
	G+BOMB+0,5*V290	2	0,00	0,00	0,00	0,00	ELU
HIP.55	G+BOMB+0,5*V291	1	142,68	3,17	142,68	2,43	ELU
	G+BOMB+0,5*V291	2	0,00	0,00	0,00	0,00	ELU
HIP.56	G+BOMB+0,5*V292	1	142,85	3,07	142,85	2,35	ELU
	G+BOMB+0,5*V292	2	0,00	0,00	0,00	0,00	ELU
HIP.57	G+BOMB+0,5*V293	1	147,93	0,52	147,93	0,39	ELU
	G+BOMB+0,5*V293	2	0,00	0,00	0,00	0,00	ELU
HIP.58	G+BOMB+0,5*V294	1	149,86	0,76	149,86	0,58	ELU
	G+BOMB+0,5*V294	2	0,00	0,00	0,00	0,00	ELU
HIP.59	G+BOMB+0,5*V295	1	138,62	5,54	138,62	4,23	ELU
	G+BOMB+0,5*V295	2	0,00	0,00	0,00	0,00	ELU
HIP.60	G+BOMB+0,5*V296	1	136,69	6,71	136,69	5,13	ELU
	G+BOMB+0,5*V296	2	0,00	0,00	0,00	0,00	ELU
HIP.61	G+BOMB+0,5*V1+0,3*Q	1	151,66	3,07	151,66	2,35	ELU
	G+BOMB+0,5*V1+0,3*Q	2	0,00	0,00	0,00	0,00	ELU
HIP.62	G+BOMB+0,5*V2+0,3*Q	1	151,49	3,17	151,49	2,43	ELU
	G+BOMB+0,5*V2+0,3*Q	2	0,00	0,00	0,00	0,00	ELU
HIP.63	G+BOMB+0,5*V3+0,3*Q	1	150,47	3,33	150,47	2,55	ELU
	G+BOMB+0,5*V3+0,3*Q	2	0,00	0,00	0,00	0,00	ELU
HIP.64	G+BOMB+0,5*V4+0,3*Q	1	150,63	3,24	150,63	2,47	ELU
	G+BOMB+0,5*V4+0,3*Q	2	0,00	0,00	0,00	0,00	ELU
HIP.65	G+BOMB+0,5*V5+0,3*Q	1	155,72	0,67	155,72	0,52	ELU
	G+BOMB+0,5*V5+0,3*Q	2	0,00	0,00	0,00	0,00	ELU
HIP.66	G+BOMB+0,5*V6+0,3*Q	1	157,65	0,63	157,65	0,48	ELU
	G+BOMB+0,5*V6+0,3*Q	2	0,00	0,00	0,00	0,00	ELU
HIP.67	G+BOMB+0,5*V7+0,3*Q	1	146,41	5,70	146,41	4,35	ELU
	G+BOMB+0,5*V7+0,3*Q	2	0,00	0,00	0,00	0,00	ELU
HIP.68	G+BOMB+0,5*V8+0,3*Q	1	144,48	6,87	144,48	5,25	ELU
	G+BOMB+0,5*V8+0,3*Q	2	0,00	0,00	0,00	0,00	ELU

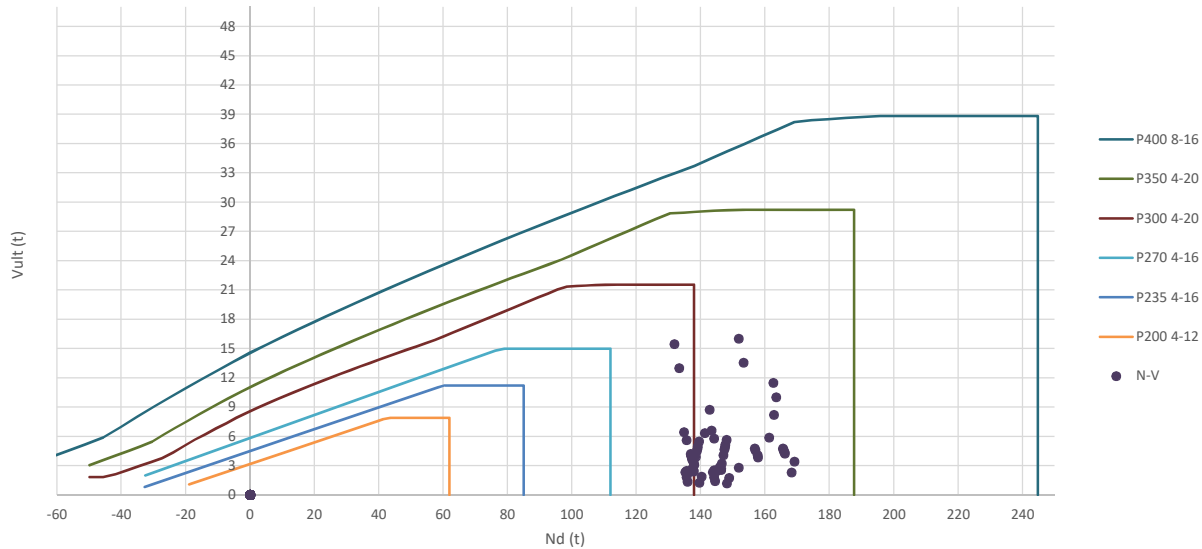
Seccion (mm.)	e _x (m.)	e _y (m.)	Henc. (m.)
400	0,00	0,00	1,00
COMPROBACIÓN (compresión)	CUMPLE		
MAX. AXIL	169,15		(TON)
MIN. AXIL	0,00		(TON)
COMPROBACIÓN (tracción)	CUMPLE		

L.1(m)	0,00
L.2(m)	0,00
L.Influenc.(m)	0,00
CERRAM.(ton.)	0,00
αx (inclinación)	0,00
αy (inclinación)	0,00

Curva de resistencia axil-momento (en cualquier dirección)



Curva de resistencia axil-cortante



PILAR: P38



COMPROBACIÓN ESFUERZOS:

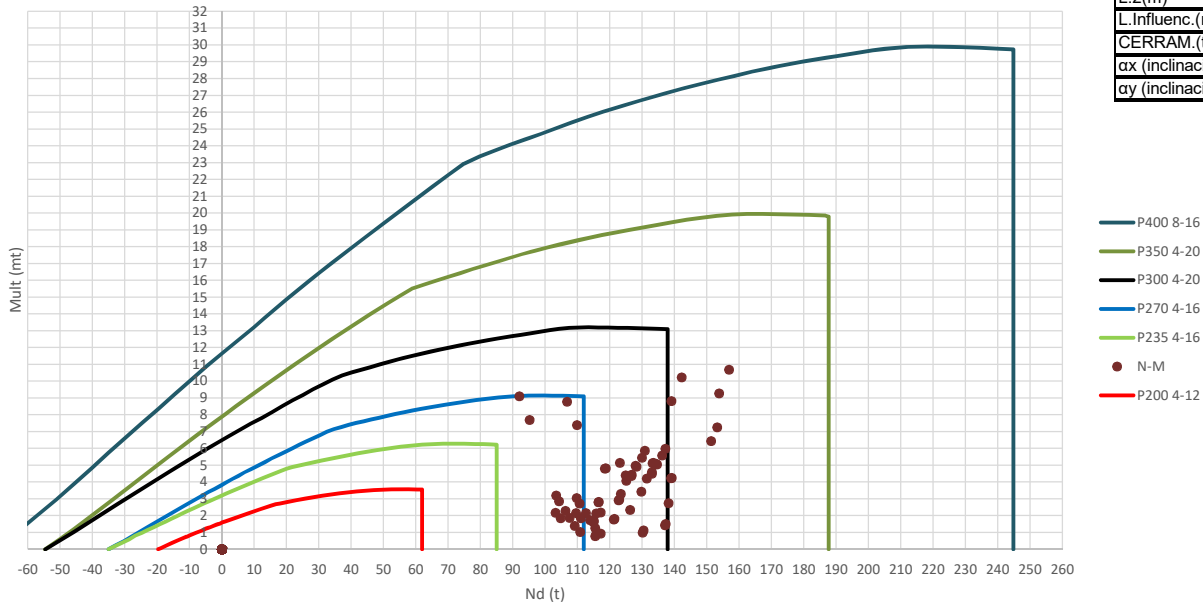
P18147P Parcela R20

	LC: COMB.	nº PILOTE	N _{pilote} (T) a ras de suelo	M ult. Pilote (mT)	N _{pilote} (T) a ras de suelo	V ult.-Pilote (T)	ESTADO LIMITE
HIP.1	G	1	137,36	5,46	137,36	3,65	ELS
	G	2	0,00	0,00	0,00	0,00	ELS
HIP.2	G+Q	1	165,87	6,69	165,87	4,47	ELS
	G+Q	2	0,00	0,00	0,00	0,00	ELS
HIP.3	G+V297	1	137,01	5,99	137,01	4,01	ELS
	G+V297	2	0,00	0,00	0,00	0,00	ELS
HIP.4	G+V298	1	136,88	6,28	136,88	4,20	ELS
	G+V298	2	0,00	0,00	0,00	0,00	ELS
HIP.5	G+V299	1	137,71	5,24	137,71	3,50	ELS
	G+V299	2	0,00	0,00	0,00	0,00	ELS
HIP.6	G+V300	1	137,84	4,92	137,84	3,29	ELS
	G+V300	2	0,00	0,00	0,00	0,00	ELS
HIP.7	G+V301	1	141,34	9,49	141,34	6,35	ELS
	G+V301	2	0,00	0,00	0,00	0,00	ELS
HIP.8	G+V302	1	142,83	13,03	142,83	8,71	ELS
	G+V302	2	0,00	0,00	0,00	0,00	ELS
HIP.9	G+V303	1	133,38	19,43	133,38	13,00	ELS
	G+V303	2	0,00	0,00	0,00	0,00	ELS
HIP.10	G+V304	1	131,89	23,10	131,89	15,45	ELS
	G+V304	2	0,00	0,00	0,00	0,00	ELS
HIP.11	G+Q+0,6*V297	1	165,66	6,96	165,66	4,65	ELS
	G+Q+0,6*V297	2	0,00	0,00	0,00	0,00	ELS
HIP.12	G+Q+0,6*V298	1	165,58	7,14	165,58	4,77	ELS
	G+Q+0,6*V298	2	0,00	0,00	0,00	0,00	ELS
HIP.13	G+Q+0,6*V299	1	166,08	6,51	166,08	4,36	ELS
	G+Q+0,6*V299	2	0,00	0,00	0,00	0,00	ELS
HIP.14	G+Q+0,6*V300	1	166,16	6,32	166,16	4,23	ELS
	G+Q+0,6*V300	2	0,00	0,00	0,00	0,00	ELS
HIP.15	G+Q+0,6*V301	1	168,26	3,46	168,26	2,31	ELS
	G+Q+0,6*V301	2	0,00	0,00	0,00	0,00	ELS
HIP.16	G+Q+0,6*V302	1	169,15	5,11	169,15	3,42	ELS
	G+Q+0,6*V302	2	0,00	0,00	0,00	0,00	ELS
HIP.17	G+Q+0,6*V303	1	163,48	14,98	163,48	10,02	ELS
	G+Q+0,6*V303	2	0,00	0,00	0,00	0,00	ELS
HIP.18	G+Q+0,6*V304	1	162,59	17,18	162,59	11,49	ELS
	G+Q+0,6*V304	2	0,00	0,00	0,00	0,00	ELS
HIP.19	G+V1+0,7*Q	1	156,97	6,83	156,97	4,57	ELS
	G+V1+0,7*Q	2	0,00	0,00	0,00	0,00	ELS
HIP.20	G+V2+0,7*Q	1	156,84	7,11	156,84	4,76	ELS
	G+V2+0,7*Q	2	0,00	0,00	0,00	0,00	ELS
HIP.21	G+V3+0,7*Q	1	157,67	6,09	157,67	4,07	ELS
	G+V3+0,7*Q	2	0,00	0,00	0,00	0,00	ELS
HIP.22	G+V4+0,7*Q	1	157,80	5,77	157,80	3,86	ELS
	G+V4+0,7*Q	2	0,00	0,00	0,00	0,00	ELS
HIP.23	G+V5+0,7*Q	1	161,30	8,77	161,30	5,87	ELS
	G+V5+0,7*Q	2	0,00	0,00	0,00	0,00	ELS
HIP.24	G+V6+0,7*Q	1	162,79	12,26	162,79	8,20	ELS
	G+V6+0,7*Q	2	0,00	0,00	0,00	0,00	ELS
HIP.25	G+V7+0,7*Q	1	153,34	20,27	153,34	13,56	ELS
	G+V7+0,7*Q	2	0,00	0,00	0,00	0,00	ELS
HIP.26	G+V8+0,7*Q	1	151,85	23,95	151,85	16,02	ELS
	G+V8+0,7*Q	2	0,00	0,00	0,00	0,00	ELS
HIP.27	G+Sx	1	138,52	5,85	138,52	3,91	ELU
	G+Sx	2	0,00	0,00	0,00	0,00	ELU
HIP.28	G-Sx	1	136,20	3,44	136,20	2,30	ELU
	G-Sx	2	0,00	0,00	0,00	0,00	ELU
HIP.29	G+Sy	1	139,11	7,45	139,11	4,98	ELU
	G+Sy	2	0,00	0,00	0,00	0,00	ELU
HIP.30	G-Sy	1	135,61	2,70	135,61	1,81	ELU
	G-Sy	2	0,00	0,00	0,00	0,00	ELU
HIP.31	G+Sx+0,3*Sy	1	139,05	7,11	139,05	4,76	ELU
	G+Sx+0,3*Sy	2	0,00	0,00	0,00	0,00	ELU
HIP.32	G+Sx-0,3*Sy	1	138,00	4,60	138,00	3,08	ELU
	G+Sx-0,3*Sy	2	0,00	0,00	0,00	0,00	ELU
HIP.33	G-Sx+0,3*Sy	1	136,72	3,64	136,72	2,44	ELU
	G-Sx+0,3*Sy	2	0,00	0,00	0,00	0,00	ELU
HIP.34	G-Sx-0,3*Sy	1	135,67	3,70	135,67	2,48	ELU
	G-Sx-0,3*Sy	2	0,00	0,00	0,00	0,00	ELU
HIP.35	G+Sy+0,3*Sx	1	139,46	8,20	139,46	5,48	ELU
	G+Sy+0,3*Sx	2	0,00	0,00	0,00	0,00	ELU
HIP.36	G+Sy-0,3*Sx	1	138,76	6,75	138,76	4,52	ELU
	G+Sy-0,3*Sx	2	0,00	0,00	0,00	0,00	ELU
HIP.37	G-Sy+0,3*Sx	1	135,96	2,02	135,96	1,35	ELU
	G-Sy+0,3*Sx	2	0,00	0,00	0,00	0,00	ELU
HIP.38	G-Sy-0,3*Sx	1	135,26	3,50	135,26	2,34	ELU
	G-Sy-0,3*Sx	2	0,00	0,00	0,00	0,00	ELU
HIP.39	G+Sx+0,3*Q	1	147,08	6,08	147,08	4,07	ELU
	G+Sx+0,3*Q	2	0,00	0,00	0,00	0,00	ELU
HIP.40	G-Sx+0,3*Q	1	144,75	3,59	144,75	2,40	ELU

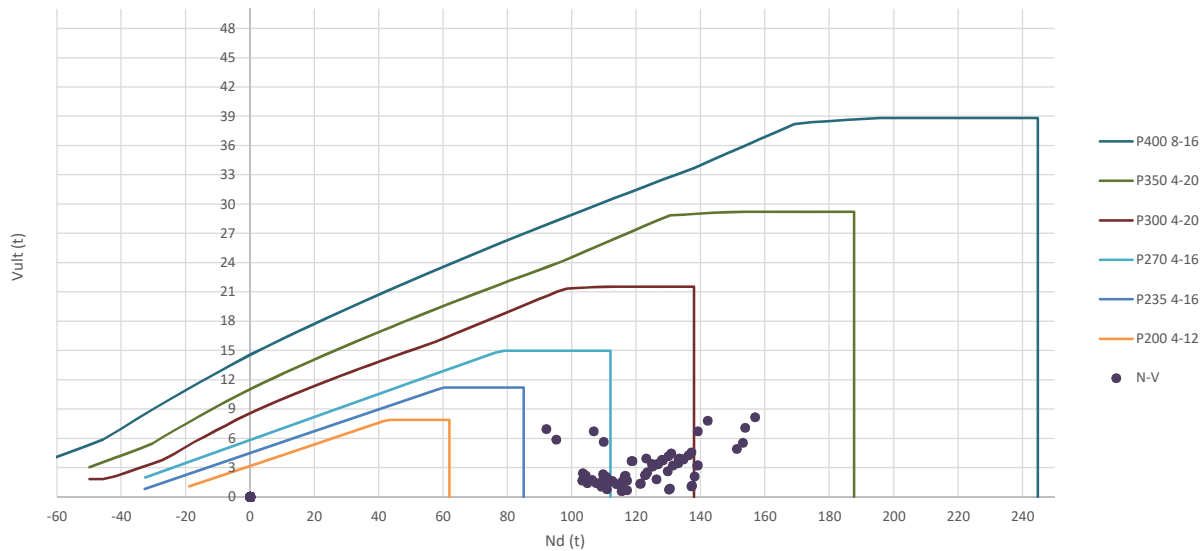
	G-Sx+0,3*Q	2	0,00	0,00	0,00	0,00	ELU
HIP.41	G+Sy+0,3*Q	1	147,66	7,69	147,66	5,14	ELU
	G+Sy+0,3*Q	2	0,00	0,00	0,00	0,00	ELU
HIP.42	G-Sy+0,3*Q	1	144,16	2,72	144,16	1,82	ELU
	G-Sy+0,3*Q	2	0,00	0,00	0,00	0,00	ELU
HIP.43	G+Sx+0,3*Sy+0,3*Q	1	147,60	7,33	147,60	4,91	ELU
	G+Sx+0,3*Sy+0,3*Q	2	0,00	0,00	0,00	0,00	ELU
HIP.44	G+Sx-0,3*Sy+0,3*Q	1	146,55	4,84	146,55	3,23	ELU
	G+Sx-0,3*Sy+0,3*Q	2	0,00	0,00	0,00	0,00	ELU
HIP.45	G-Sx+0,3*Sy+0,3*Q	1	145,27	3,85	145,27	2,57	ELU
	G-Sx+0,3*Sy+0,3*Q	2	0,00	0,00	0,00	0,00	ELU
HIP.46	G-Sx-0,3*Sy+0,3*Q	1	144,22	3,77	144,22	2,52	ELU
	G-Sx-0,3*Sy+0,3*Q	2	0,00	0,00	0,00	0,00	ELU
HIP.47	G+Sy+0,3*Sx+0,3*Q	1	148,01	8,43	148,01	5,64	ELU
	G+Sy+0,3*Sx+0,3*Q	2	0,00	0,00	0,00	0,00	ELU
HIP.48	G+Sy-0,3*Sx+0,3*Q	1	147,31	6,99	147,31	4,68	ELU
	G+Sy-0,3*Sx+0,3*Q	2	0,00	0,00	0,00	0,00	ELU
HIP.49	G-Sy+0,3*Sx+0,3*Q	1	144,51	2,11	144,51	1,41	ELU
	G-Sy+0,3*Sx+0,3*Q	2	0,00	0,00	0,00	0,00	ELU
HIP.50	G-Sy-0,3*Sx+0,3*Q	1	143,81	3,48	143,81	2,33	ELU
	G-Sy-0,3*Sx+0,3*Q	2	0,00	0,00	0,00	0,00	ELU
HIP.51	G+BOMB	1	137,61	3,77	137,61	2,52	ELU
	G+BOMB	2	0,00	0,00	0,00	0,00	ELU
HIP.52	G+BOMB+0,5*Q	1	151,87	4,18	151,87	2,80	ELU
	G+BOMB+0,5*Q	2	0,00	0,00	0,00	0,00	ELU
HIP.53	G+BOMB+0,5*V297	1	137,44	3,92	137,44	2,62	ELU
	G+BOMB+0,5*V297	2	0,00	0,00	0,00	0,00	ELU
HIP.54	G+BOMB+0,5*V298	1	137,37	4,02	137,37	2,69	ELU
	G+BOMB+0,5*V298	2	0,00	0,00	0,00	0,00	ELU
HIP.55	G+BOMB+0,5*V299	1	137,79	3,68	137,79	2,46	ELU
	G+BOMB+0,5*V299	2	0,00	0,00	0,00	0,00	ELU
HIP.56	G+BOMB+0,5*V300	1	137,85	3,57	137,85	2,39	ELU
	G+BOMB+0,5*V300	2	0,00	0,00	0,00	0,00	ELU
HIP.57	G+BOMB+0,5*V301	1	139,60	1,88	139,60	1,26	ELU
	G+BOMB+0,5*V301	2	0,00	0,00	0,00	0,00	ELU
HIP.58	G+BOMB+0,5*V302	1	140,35	2,78	140,35	1,86	ELU
	G+BOMB+0,5*V302	2	0,00	0,00	0,00	0,00	ELU
HIP.59	G+BOMB+0,5*V303	1	135,62	8,38	135,62	5,61	ELU
	G+BOMB+0,5*V303	2	0,00	0,00	0,00	0,00	ELU
HIP.60	G+BOMB+0,5*V304	1	134,88	9,60	134,88	6,42	ELU
	G+BOMB+0,5*V304	2	0,00	0,00	0,00	0,00	ELU
HIP.61	G+BOMB+0,5*V1+0,3*Q	1	145,99	4,16	145,99	2,78	ELU
	G+BOMB+0,5*V1+0,3*Q	2	0,00	0,00	0,00	0,00	ELU
HIP.62	G+BOMB+0,5*V2+0,3*Q	1	145,92	4,26	145,92	2,85	ELU
	G+BOMB+0,5*V2+0,3*Q	2	0,00	0,00	0,00	0,00	ELU
HIP.63	G+BOMB+0,5*V3+0,3*Q	1	146,34	3,92	146,34	2,62	ELU
	G+BOMB+0,5*V3+0,3*Q	2	0,00	0,00	0,00	0,00	ELU
HIP.64	G+BOMB+0,5*V4+0,3*Q	1	146,40	3,82	146,40	2,55	ELU
	G+BOMB+0,5*V4+0,3*Q	2	0,00	0,00	0,00	0,00	ELU
HIP.65	G+BOMB+0,5*V5+0,3*Q	1	148,15	1,80	148,15	1,20	ELU
	G+BOMB+0,5*V5+0,3*Q	2	0,00	0,00	0,00	0,00	ELU
HIP.66	G+BOMB+0,5*V6+0,3*Q	1	148,90	2,62	148,90	1,75	ELU
	G+BOMB+0,5*V6+0,3*Q	2	0,00	0,00	0,00	0,00	ELU
HIP.67	G+BOMB+0,5*V7+0,3*Q	1	144,17	8,62	144,17	5,77	ELU
	G+BOMB+0,5*V7+0,3*Q	2	0,00	0,00	0,00	0,00	ELU
HIP.68	G+BOMB+0,5*V8+0,3*Q	1	143,43	9,85	143,43	6,59	ELU
	G+BOMB+0,5*V8+0,3*Q	2	0,00	0,00	0,00	0,00	ELU

Seccion (mm.)	e _x (m.)	e _y (m.)	Henc. (m.)
350	0,00	0,00	1,00
COMPROBACIÓN (compresión)	CUMPLE		
MAX. AXIL	156,89	(TON)	
MIN. AXIL	0,00	(TON)	
COMPROBACIÓN (tracción)	CUMPLE		
	L.1(m)	0,00	
	L.2(m)	0,00	
	L.Influenc.(m)	0,00	
	CERRAM.(ton.)	0,00	
	αx (inclinación)	0,00	
	αy (inclinación)	0,00	

Curva de resistencia axil-momento (en cualquier dirección)



Curva de resistencia axil-cortante



PILAR: P39



COMPROBACIÓN ESFUERZOS:

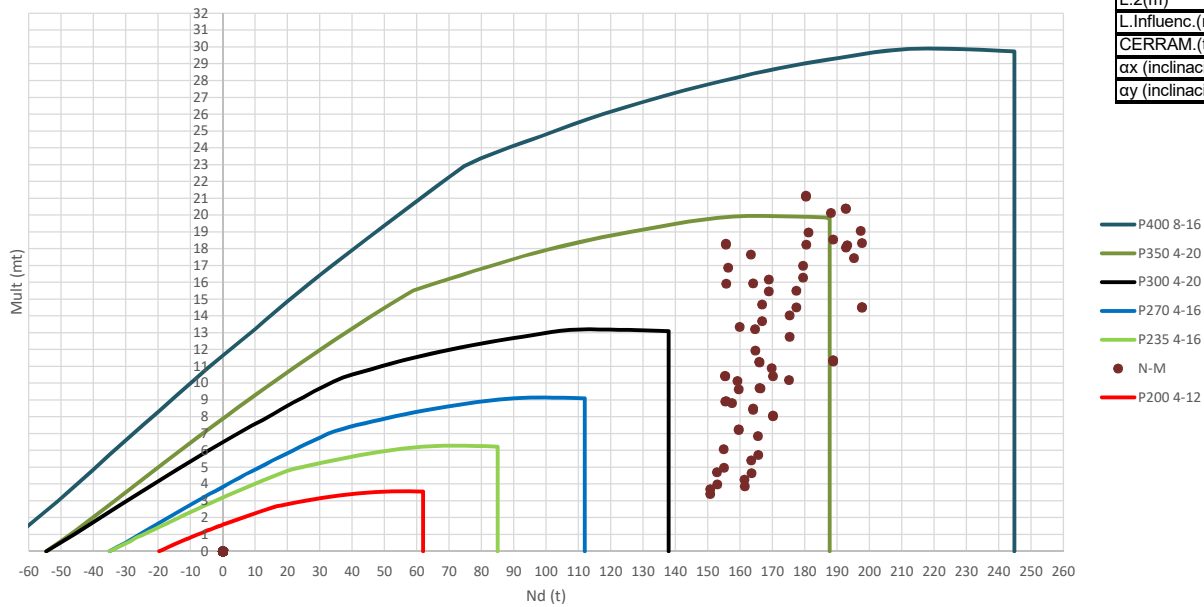
P18147P Parcela R20

	LC: COMB.	nº PILOTE	N _{pilote} (T) a ras de suelo	M ult. Pilote (mT)	N _{pilote} (T) a ras de suelo	V ult.-Pilote (T)	ESTADO LIMITE
HIP.1	G	1	117,12	2,18	117,12	1,67	ELS
	G	2	0,00	0,00	0,00	0,00	ELS
HIP.2	G+Q	1	138,11	2,74	138,11	2,10	ELS
	G+Q	2	0,00	0,00	0,00	0,00	ELS
HIP.3	G+V305	1	115,77	0,88	115,77	0,67	ELS
	G+V305	2	0,00	0,00	0,00	0,00	ELS
HIP.4	G+V306	1	115,46	0,78	115,46	0,59	ELS
	G+V306	2	0,00	0,00	0,00	0,00	ELS
HIP.5	G+V307	1	118,47	4,80	118,47	3,67	ELS
	G+V307	2	0,00	0,00	0,00	0,00	ELS
HIP.6	G+V308	1	118,78	4,81	118,78	3,68	ELS
	G+V308	2	0,00	0,00	0,00	0,00	ELS
HIP.7	G+V309	1	92,04	9,11	92,04	6,96	ELS
	G+V309	2	0,00	0,00	0,00	0,00	ELS
HIP.8	G+V310	1	95,15	7,70	95,15	5,89	ELS
	G+V310	2	0,00	0,00	0,00	0,00	ELS
HIP.9	G+V311	1	142,20	10,24	142,20	7,83	ELS
	G+V311	2	0,00	0,00	0,00	0,00	ELS
HIP.10	G+V312	1	139,09	8,82	139,09	6,74	ELS
	G+V312	2	0,00	0,00	0,00	0,00	ELS
HIP.11	G+Q+0,6*V305	1	137,30	1,50	137,30	1,15	ELS
	G+Q+0,6*V305	2	0,00	0,00	0,00	0,00	ELS
HIP.12	G+Q+0,6*V306	1	137,11	1,44	137,11	1,10	ELS
	G+Q+0,6*V306	2	0,00	0,00	0,00	0,00	ELS
HIP.13	G+Q+0,6*V307	1	138,92	4,23	138,92	3,24	ELS
	G+Q+0,6*V307	2	0,00	0,00	0,00	0,00	ELS
HIP.14	G+Q+0,6*V308	1	139,10	4,25	139,10	3,25	ELS
	G+Q+0,6*V308	2	0,00	0,00	0,00	0,00	ELS
HIP.15	G+Q+0,6*V309	1	123,06	5,15	123,06	3,94	ELS
	G+Q+0,6*V309	2	0,00	0,00	0,00	0,00	ELS
HIP.16	G+Q+0,6*V310	1	124,92	4,41	124,92	3,37	ELS
	G+Q+0,6*V310	2	0,00	0,00	0,00	0,00	ELS
HIP.17	G+Q+0,6*V311	1	153,15	7,26	153,15	5,55	ELS
	G+Q+0,6*V311	2	0,00	0,00	0,00	0,00	ELS
HIP.18	G+Q+0,6*V312	1	151,29	6,45	151,29	4,93	ELS
	G+Q+0,6*V312	2	0,00	0,00	0,00	0,00	ELS
HIP.19	G+V1+0,7*Q	1	130,46	1,12	130,46	0,86	ELS
	G+V1+0,7*Q	2	0,00	0,00	0,00	0,00	ELS
HIP.20	G+V2+0,7*Q	1	130,15	0,99	130,15	0,75	ELS
	G+V2+0,7*Q	2	0,00	0,00	0,00	0,00	ELS
HIP.21	G+V3+0,7*Q	1	133,16	5,12	133,16	3,91	ELS
	G+V3+0,7*Q	2	0,00	0,00	0,00	0,00	ELS
HIP.22	G+V4+0,7*Q	1	133,47	5,14	133,47	3,93	ELS
	G+V4+0,7*Q	2	0,00	0,00	0,00	0,00	ELS
HIP.23	G+V5+0,7*Q	1	106,73	8,78	106,73	6,72	ELS
	G+V5+0,7*Q	2	0,00	0,00	0,00	0,00	ELS
HIP.24	G+V6+0,7*Q	1	109,84	7,40	109,84	5,66	ELS
	G+V6+0,7*Q	2	0,00	0,00	0,00	0,00	ELS
HIP.25	G+V7+0,7*Q	1	156,89	10,69	156,89	8,17	ELS
	G+V7+0,7*Q	2	0,00	0,00	0,00	0,00	ELS
HIP.26	G+V8+0,7*Q	1	153,78	9,28	153,78	7,09	ELS
	G+V8+0,7*Q	2	0,00	0,00	0,00	0,00	ELS
HIP.27	G+Sx	1	127,96	4,97	127,96	3,80	ELU
	G+Sx	2	0,00	0,00	0,00	0,00	ELU
HIP.28	G-Sx	1	106,28	2,29	106,28	1,75	ELU
	G-Sx	2	0,00	0,00	0,00	0,00	ELU
HIP.29	G+Sy	1	126,66	4,37	126,66	3,34	ELU
	G+Sy	2	0,00	0,00	0,00	0,00	ELU
HIP.30	G-Sy	1	107,57	1,87	107,57	1,43	ELU
	G-Sy	2	0,00	0,00	0,00	0,00	ELU
HIP.31	G+Sx+0,3*Sy	1	130,82	5,86	130,82	4,48	ELU
	G+Sx+0,3*Sy	2	0,00	0,00	0,00	0,00	ELU
HIP.32	G+Sx-0,3*Sy	1	125,09	4,08	125,09	3,12	ELU
	G+Sx-0,3*Sy	2	0,00	0,00	0,00	0,00	ELU
HIP.33	G-Sx+0,3*Sy	1	109,14	1,39	109,14	1,06	ELU
	G-Sx+0,3*Sy	2	0,00	0,00	0,00	0,00	ELU
HIP.34	G-Sx-0,3*Sy	1	103,41	3,19	103,41	2,44	ELU
	G-Sx-0,3*Sy	2	0,00	0,00	0,00	0,00	ELU
HIP.35	G+Sy+0,3*Sx	1	129,92	5,45	129,92	4,16	ELU
	G+Sy+0,3*Sx	2	0,00	0,00	0,00	0,00	ELU
HIP.36	G+Sy-0,3*Sx	1	123,41	3,30	123,41	2,52	ELU
	G+Sy-0,3*Sx	2	0,00	0,00	0,00	0,00	ELU
HIP.37	G-Sy+0,3*Sx	1	110,82	1,04	110,82	0,79	ELU
	G-Sy+0,3*Sx	2	0,00	0,00	0,00	0,00	ELU
HIP.38	G-Sy-0,3*Sx	1	104,32	2,86	104,32	2,19	ELU
	G-Sy-0,3*Sx	2	0,00	0,00	0,00	0,00	ELU
HIP.39	G+Sx+0,3*Q	1	134,25	5,09	134,25	3,89	ELU
	G+Sx+0,3*Q	2	0,00	0,00	0,00	0,00	ELU
HIP.40	G-Sx+0,3*Q	1	112,57	2,15	112,57	1,65	ELU

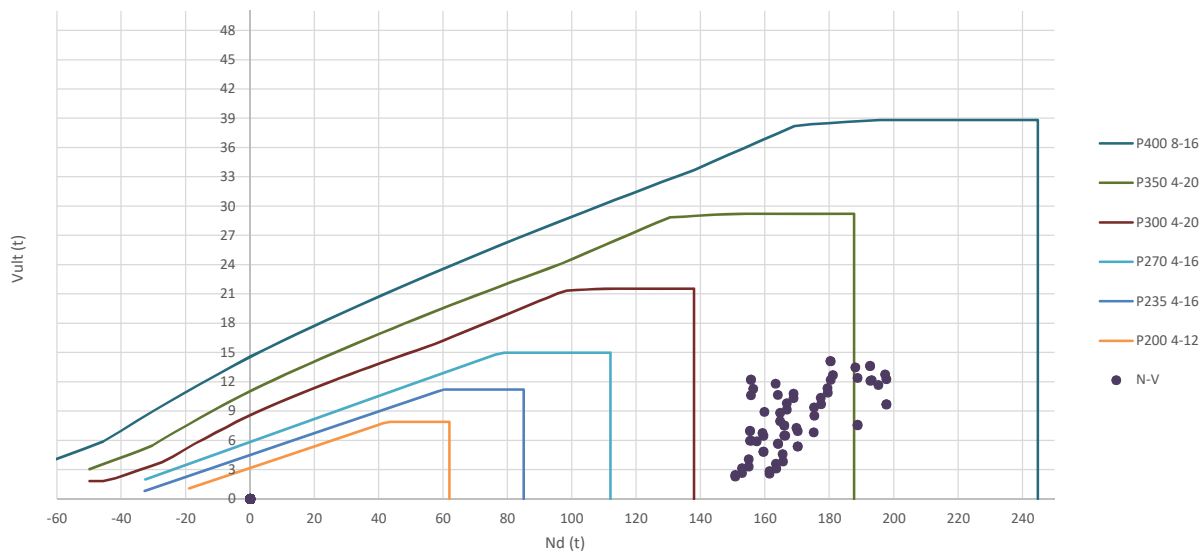
	G-Sx+0,3*Q	2	0,00	0,00	0,00	0,00	ELU
HIP.41	G+Sy+0,3*Q	1	132,96	4,50	132,96	3,44	ELU
	G+Sy+0,3*Q	2	0,00	0,00	0,00	0,00	ELU
HIP.42	G-Sy+0,3*Q	1	113,87	1,73	113,87	1,32	ELU
	G-Sy+0,3*Q	2	0,00	0,00	0,00	0,00	ELU
HIP.43	G+Sx+0,3*Sy+0,3*Q	1	137,12	5,99	137,12	4,58	ELU
	G+Sx+0,3*Sy+0,3*Q	2	0,00	0,00	0,00	0,00	ELU
HIP.44	G+Sx-0,3*Sy+0,3*Q	1	131,39	4,21	131,39	3,22	ELU
	G+Sx-0,3*Sy+0,3*Q	2	0,00	0,00	0,00	0,00	ELU
HIP.45	G-Sx+0,3*Sy+0,3*Q	1	115,44	1,25	115,44	0,96	ELU
	G-Sx+0,3*Sy+0,3*Q	2	0,00	0,00	0,00	0,00	ELU
HIP.46	G-Sx-0,3*Sy+0,3*Q	1	109,71	3,06	109,71	2,34	ELU
	G-Sx-0,3*Sy+0,3*Q	2	0,00	0,00	0,00	0,00	ELU
HIP.47	G+Sy+0,3*Sx+0,3*Q	1	136,21	5,58	136,21	4,26	ELU
	G+Sy+0,3*Sx+0,3*Q	2	0,00	0,00	0,00	0,00	ELU
HIP.48	G+Sy-0,3*Sx+0,3*Q	1	129,71	3,43	129,71	2,62	ELU
	G+Sy-0,3*Sx+0,3*Q	2	0,00	0,00	0,00	0,00	ELU
HIP.49	G-Sy+0,3*Sx+0,3*Q	1	117,12	0,93	117,12	0,71	ELU
	G-Sy+0,3*Sx+0,3*Q	2	0,00	0,00	0,00	0,00	ELU
HIP.50	G-Sy-0,3*Sx+0,3*Q	1	110,61	2,73	110,61	2,08	ELU
	G-Sy-0,3*Sx+0,3*Q	2	0,00	0,00	0,00	0,00	ELU
HIP.51	G+BOMB	1	115,76	2,13	115,76	1,63	ELU
	G+BOMB	2	0,00	0,00	0,00	0,00	ELU
HIP.52	G+BOMB+0,5*Q	1	126,25	2,35	126,25	1,80	ELU
	G+BOMB+0,5*Q	2	0,00	0,00	0,00	0,00	ELU
HIP.53	G+BOMB+0,5*V305	1	115,08	1,67	115,08	1,28	ELU
	G+BOMB+0,5*V305	2	0,00	0,00	0,00	0,00	ELU
HIP.54	G+BOMB+0,5*V306	1	114,93	1,63	114,93	1,25	ELU
	G+BOMB+0,5*V306	2	0,00	0,00	0,00	0,00	ELU
HIP.55	G+BOMB+0,5*V307	1	116,43	2,80	116,43	2,14	ELU
	G+BOMB+0,5*V307	2	0,00	0,00	0,00	0,00	ELU
HIP.56	G+BOMB+0,5*V308	1	116,59	2,82	116,59	2,16	ELU
	G+BOMB+0,5*V308	2	0,00	0,00	0,00	0,00	ELU
HIP.57	G+BOMB+0,5*V309	1	103,22	2,18	103,22	1,67	ELU
	G+BOMB+0,5*V309	2	0,00	0,00	0,00	0,00	ELU
HIP.58	G+BOMB+0,5*V310	1	104,77	1,85	104,77	1,42	ELU
	G+BOMB+0,5*V310	2	0,00	0,00	0,00	0,00	ELU
HIP.59	G+BOMB+0,5*V311	1	128,30	4,91	128,30	3,75	ELU
	G+BOMB+0,5*V311	2	0,00	0,00	0,00	0,00	ELU
HIP.60	G+BOMB+0,5*V312	1	126,74	4,45	126,74	3,40	ELU
	G+BOMB+0,5*V312	2	0,00	0,00	0,00	0,00	ELU
HIP.61	G+BOMB+0,5*V1+0,3*Q	1	121,38	1,81	121,38	1,38	ELU
	G+BOMB+0,5*V1+0,3*Q	2	0,00	0,00	0,00	0,00	ELU
HIP.62	G+BOMB+0,5*V2+0,3*Q	1	121,22	1,77	121,22	1,35	ELU
	G+BOMB+0,5*V2+0,3*Q	2	0,00	0,00	0,00	0,00	ELU
HIP.63	G+BOMB+0,5*V3+0,3*Q	1	122,73	2,93	122,73	2,24	ELU
	G+BOMB+0,5*V3+0,3*Q	2	0,00	0,00	0,00	0,00	ELU
HIP.64	G+BOMB+0,5*V4+0,3*Q	1	122,88	2,95	122,88	2,26	ELU
	G+BOMB+0,5*V4+0,3*Q	2	0,00	0,00	0,00	0,00	ELU
HIP.65	G+BOMB+0,5*V5+0,3*Q	1	109,51	2,15	109,51	1,64	ELU
	G+BOMB+0,5*V5+0,3*Q	2	0,00	0,00	0,00	0,00	ELU
HIP.66	G+BOMB+0,5*V6+0,3*Q	1	111,07	1,85	111,07	1,41	ELU
	G+BOMB+0,5*V6+0,3*Q	2	0,00	0,00	0,00	0,00	ELU
HIP.67	G+BOMB+0,5*V7+0,3*Q	1	134,59	5,04	134,59	3,86	ELU
	G+BOMB+0,5*V7+0,3*Q	2	0,00	0,00	0,00	0,00	ELU
HIP.68	G+BOMB+0,5*V8+0,3*Q	1	133,04	4,58	133,04	3,50	ELU
	G+BOMB+0,5*V8+0,3*Q	2	0,00	0,00	0,00	0,00	ELU

Seccion (mm.)	e _x (m.)	e _y (m.)	Henc. (m.)
400	0,00	0,00	1,00
COMPROBACIÓN (compresión)	CUMPLE		
MAX. AXIL	197,71		(TON)
MIN. AXIL	0,00		(TON)
COMPROBACIÓN (tracción)	CUMPLE		
L.1(m)	0,00		
L.2(m)	0,00		
L.Influenc.(m)	0,00		
CERRAM.(ton.)	0,00		
αx (inclinación)	0,00		
αy (inclinación)	0,00		

Curva de resistencia axil-momento (en cualquier dirección)



Curva de resistencia axil-cortante



PILAR: P39a



COMPROBACIÓN ESFUERZOS:

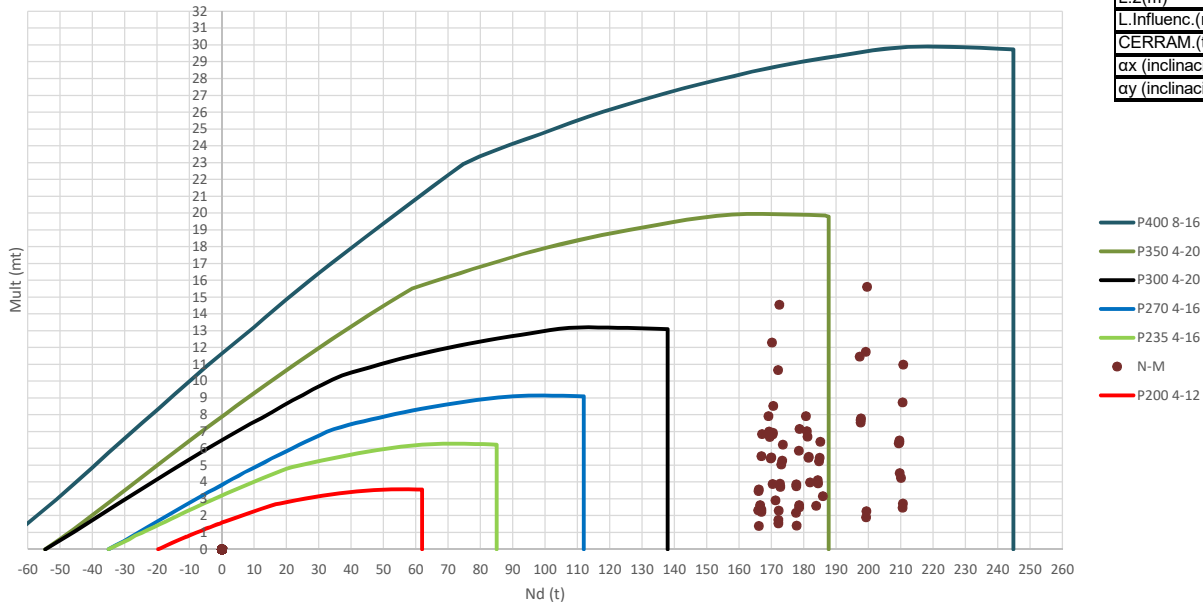
P18147P Parcela R20

	LC: COMB.	nº PILOTE	N _{pilote} (T) a ras de suelo	M ult. Pilote (mT)	N _{pilote} (T) a ras de suelo	V ult.-Pilote (T)	ESTADO LIMITE
HIP.1	G	1	159,80	13,36	159,80	8,94	ELS
	G	2	0,00	0,00	0,00	0,00	ELS
HIP.2	G+Q	1	195,17	17,45	195,17	11,67	ELS
	G+Q	2	0,00	0,00	0,00	0,00	ELS
HIP.3	G+V313	1	163,98	8,50	163,98	5,68	ELS
	G+V313	2	0,00	0,00	0,00	0,00	ELS
HIP.4	G+V314	1	164,03	8,43	164,03	5,64	ELS
	G+V314	2	0,00	0,00	0,00	0,00	ELS
HIP.5	G+V315	1	155,62	18,25	155,62	12,21	ELS
	G+V315	2	0,00	0,00	0,00	0,00	ELS
HIP.6	G+V316	1	155,57	18,30	155,57	12,24	ELS
	G+V316	2	0,00	0,00	0,00	0,00	ELS
HIP.7	G+V317	1	156,32	16,87	156,32	11,28	ELS
	G+V317	2	0,00	0,00	0,00	0,00	ELS
HIP.8	G+V318	1	155,65	15,92	155,65	10,65	ELS
	G+V318	2	0,00	0,00	0,00	0,00	ELS
HIP.9	G+V319	1	163,28	17,66	163,28	11,81	ELS
	G+V319	2	0,00	0,00	0,00	0,00	ELS
HIP.10	G+V320	1	163,95	15,95	163,95	10,67	ELS
	G+V320	2	0,00	0,00	0,00	0,00	ELS
HIP.11	G+Q+0,6*V313	1	197,68	14,53	197,68	9,72	ELS
	G+Q+0,6*V313	2	0,00	0,00	0,00	0,00	ELS
HIP.12	G+Q+0,6*V314	1	197,71	14,49	197,71	9,69	ELS
	G+Q+0,6*V314	2	0,00	0,00	0,00	0,00	ELS
HIP.13	G+Q+0,6*V315	1	192,66	20,37	192,66	13,63	ELS
	G+Q+0,6*V315	2	0,00	0,00	0,00	0,00	ELS
HIP.14	G+Q+0,6*V316	1	192,63	20,41	192,63	13,65	ELS
	G+Q+0,6*V316	2	0,00	0,00	0,00	0,00	ELS
HIP.15	G+Q+0,6*V317	1	193,08	18,21	193,08	12,18	ELS
	G+Q+0,6*V317	2	0,00	0,00	0,00	0,00	ELS
HIP.16	G+Q+0,6*V318	1	192,68	18,08	192,68	12,09	ELS
	G+Q+0,6*V318	2	0,00	0,00	0,00	0,00	ELS
HIP.17	G+Q+0,6*V319	1	197,26	19,07	197,26	12,75	ELS
	G+Q+0,6*V319	2	0,00	0,00	0,00	0,00	ELS
HIP.18	G+Q+0,6*V320	1	197,66	18,34	197,66	12,27	ELS
	G+Q+0,6*V320	2	0,00	0,00	0,00	0,00	ELS
HIP.19	G+V1+0,7*Q	1	188,74	11,37	188,74	7,61	ELS
	G+V1+0,7*Q	2	0,00	0,00	0,00	0,00	ELS
HIP.20	G+V2+0,7*Q	1	188,79	11,30	188,79	7,56	ELS
	G+V2+0,7*Q	2	0,00	0,00	0,00	0,00	ELS
HIP.21	G+V3+0,7*Q	1	180,38	21,10	180,38	14,12	ELS
	G+V3+0,7*Q	2	0,00	0,00	0,00	0,00	ELS
HIP.22	G+V4+0,7*Q	1	180,33	21,16	180,33	14,15	ELS
	G+V4+0,7*Q	2	0,00	0,00	0,00	0,00	ELS
HIP.23	G+V5+0,7*Q	1	181,08	18,97	181,08	12,69	ELS
	G+V5+0,7*Q	2	0,00	0,00	0,00	0,00	ELS
HIP.24	G+V6+0,7*Q	1	180,41	18,25	180,41	12,21	ELS
	G+V6+0,7*Q	2	0,00	0,00	0,00	0,00	ELS
HIP.25	G+V7+0,7*Q	1	188,04	20,14	188,04	13,47	ELS
	G+V7+0,7*Q	2	0,00	0,00	0,00	0,00	ELS
HIP.26	G+V8+0,7*Q	1	188,71	18,55	188,71	12,41	ELS
	G+V8+0,7*Q	2	0,00	0,00	0,00	0,00	ELS
HIP.27	G+Sx	1	166,73	14,69	166,73	9,83	ELU
	G+Sx	2	0,00	0,00	0,00	0,00	ELU
HIP.28	G-Sx	1	152,87	3,99	152,87	2,67	ELU
	G-Sx	2	0,00	0,00	0,00	0,00	ELU
HIP.29	G+Sy	1	166,79	13,70	166,79	9,16	ELU
	G+Sy	2	0,00	0,00	0,00	0,00	ELU
HIP.30	G-Sy	1	152,81	4,70	152,81	3,14	ELU
	G-Sy	2	0,00	0,00	0,00	0,00	ELU
HIP.31	G+Sx+0,3*Sy	1	168,83	16,16	168,83	10,81	ELU
	G+Sx+0,3*Sy	2	0,00	0,00	0,00	0,00	ELU
HIP.32	G+Sx-0,3*Sy	1	164,64	13,22	164,64	8,85	ELU
	G+Sx-0,3*Sy	2	0,00	0,00	0,00	0,00	ELU
HIP.33	G-Sx+0,3*Sy	1	154,96	4,97	154,96	3,33	ELU
	G-Sx+0,3*Sy	2	0,00	0,00	0,00	0,00	ELU
HIP.34	G-Sx-0,3*Sy	1	150,77	3,42	150,77	2,29	ELU
	G-Sx-0,3*Sy	2	0,00	0,00	0,00	0,00	ELU
HIP.35	G+Sy+0,3*Sx	1	168,87	15,47	168,87	10,35	ELU
	G+Sy+0,3*Sx	2	0,00	0,00	0,00	0,00	ELU
HIP.36	G+Sy-0,3*Sx	1	164,71	11,94	164,71	7,99	ELU
	G+Sy-0,3*Sx	2	0,00	0,00	0,00	0,00	ELU
HIP.37	G-Sy+0,3*Sx	1	154,89	6,08	154,89	4,07	ELU
	G-Sy+0,3*Sx	2	0,00	0,00	0,00	0,00	ELU
HIP.38	G-Sy-0,3*Sx	1	150,73	3,71	150,73	2,48	ELU
	G-Sy-0,3*Sx	2	0,00	0,00	0,00	0,00	ELU
HIP.39	G+Sx+0,3*Q	1	177,34	15,51	177,34	10,37	ELU
	G+Sx+0,3*Q	2	0,00	0,00	0,00	0,00	ELU
HIP.40	G-Sx+0,3*Q	1	163,48	4,65	163,48	3,11	ELU

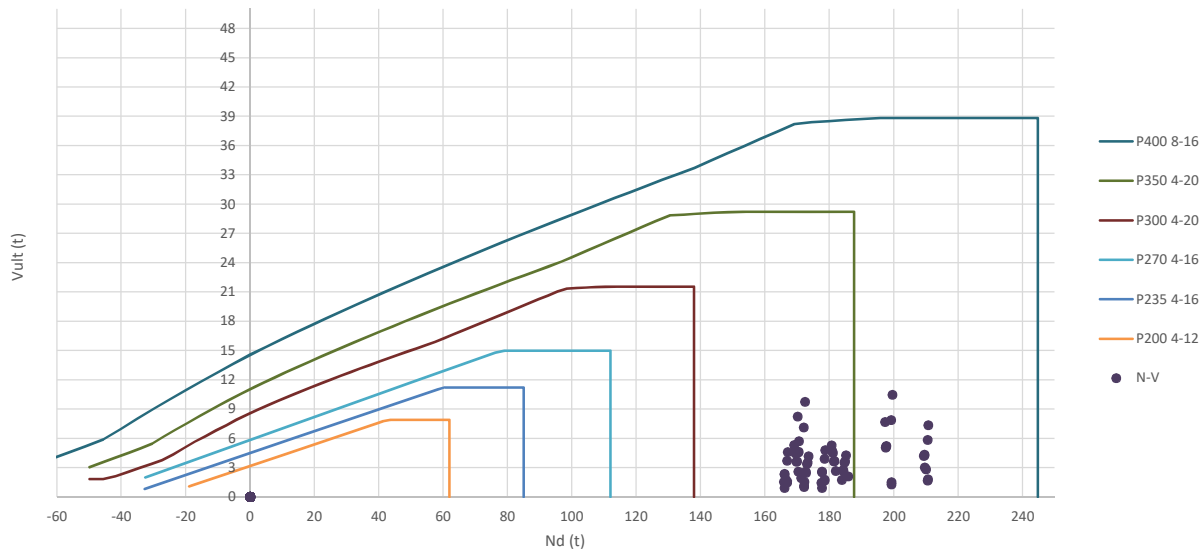
	G-Sx+0,3*Q	2	0,00	0,00	0,00	0,00	ELU
HIP.41	G+Sy+0,3*Q	1	177,40	14,52	177,40	9,71	ELU
	G+Sy+0,3*Q	2	0,00	0,00	0,00	0,00	ELU
HIP.42	G-Sy+0,3*Q	1	163,42	5,42	163,42	3,63	ELU
	G-Sy+0,3*Q	2	0,00	0,00	0,00	0,00	ELU
HIP.43	G+Sx+0,3*Sy+0,3*Q	1	179,44	16,98	179,44	11,36	ELU
	G+Sx+0,3*Sy+0,3*Q	2	0,00	0,00	0,00	0,00	ELU
HIP.44	G+Sx-0,3*Sy+0,3*Q	1	175,25	14,04	175,25	9,39	ELU
	G+Sx-0,3*Sy+0,3*Q	2	0,00	0,00	0,00	0,00	ELU
HIP.45	G-Sx+0,3*Sy+0,3*Q	1	165,58	5,73	165,58	3,83	ELU
	G-Sx+0,3*Sy+0,3*Q	2	0,00	0,00	0,00	0,00	ELU
HIP.46	G-Sx-0,3*Sy+0,3*Q	1	161,38	3,88	161,38	2,59	ELU
	G-Sx-0,3*Sy+0,3*Q	2	0,00	0,00	0,00	0,00	ELU
HIP.47	G+Sy+0,3*Sx+0,3*Q	1	179,48	16,29	179,48	10,90	ELU
	G+Sy+0,3*Sx+0,3*Q	2	0,00	0,00	0,00	0,00	ELU
HIP.48	G+Sy-0,3*Sx+0,3*Q	1	175,32	12,77	175,32	8,54	ELU
	G+Sy-0,3*Sx+0,3*Q	2	0,00	0,00	0,00	0,00	ELU
HIP.49	G-Sy+0,3*Sx+0,3*Q	1	165,50	6,87	165,50	4,59	ELU
	G-Sy+0,3*Sx+0,3*Q	2	0,00	0,00	0,00	0,00	ELU
HIP.50	G-Sy-0,3*Sx+0,3*Q	1	161,34	4,26	161,34	2,85	ELU
	G-Sy-0,3*Sx+0,3*Q	2	0,00	0,00	0,00	0,00	ELU
HIP.51	G+BOMB	1	157,43	8,83	157,43	5,90	ELU
	G+BOMB	2	0,00	0,00	0,00	0,00	ELU
HIP.52	G+BOMB+0,5*Q	1	175,12	10,19	175,12	6,82	ELU
	G+BOMB+0,5*Q	2	0,00	0,00	0,00	0,00	ELU
HIP.53	G+BOMB+0,5*V313	1	159,52	7,25	159,52	4,85	ELU
	G+BOMB+0,5*V313	2	0,00	0,00	0,00	0,00	ELU
HIP.54	G+BOMB+0,5*V314	1	159,55	7,22	159,55	4,83	ELU
	G+BOMB+0,5*V314	2	0,00	0,00	0,00	0,00	ELU
HIP.55	G+BOMB+0,5*V315	1	155,34	10,42	155,34	6,97	ELU
	G+BOMB+0,5*V315	2	0,00	0,00	0,00	0,00	ELU
HIP.56	G+BOMB+0,5*V316	1	155,32	10,45	155,32	6,99	ELU
	G+BOMB+0,5*V316	2	0,00	0,00	0,00	0,00	ELU
HIP.57	G+BOMB+0,5*V317	1	155,69	8,94	155,69	5,98	ELU
	G+BOMB+0,5*V317	2	0,00	0,00	0,00	0,00	ELU
HIP.58	G+BOMB+0,5*V318	1	155,36	8,92	155,36	5,97	ELU
	G+BOMB+0,5*V318	2	0,00	0,00	0,00	0,00	ELU
HIP.59	G+BOMB+0,5*V319	1	159,17	10,13	159,17	6,77	ELU
	G+BOMB+0,5*V319	2	0,00	0,00	0,00	0,00	ELU
HIP.60	G+BOMB+0,5*V320	1	159,51	9,65	159,51	6,45	ELU
	G+BOMB+0,5*V320	2	0,00	0,00	0,00	0,00	ELU
HIP.61	G+BOMB+0,5*V1+0,3*Q	1	170,13	8,07	170,13	5,40	ELU
	G+BOMB+0,5*V1+0,3*Q	2	0,00	0,00	0,00	0,00	ELU
HIP.62	G+BOMB+0,5*V2+0,3*Q	1	170,16	8,04	170,16	5,38	ELU
	G+BOMB+0,5*V2+0,3*Q	2	0,00	0,00	0,00	0,00	ELU
HIP.63	G+BOMB+0,5*V3+0,3*Q	1	165,95	11,24	165,95	7,52	ELU
	G+BOMB+0,5*V3+0,3*Q	2	0,00	0,00	0,00	0,00	ELU
HIP.64	G+BOMB+0,5*V4+0,3*Q	1	165,93	11,27	165,93	7,54	ELU
	G+BOMB+0,5*V4+0,3*Q	2	0,00	0,00	0,00	0,00	ELU
HIP.65	G+BOMB+0,5*V5+0,3*Q	1	166,30	9,70	166,30	6,49	ELU
	G+BOMB+0,5*V5+0,3*Q	2	0,00	0,00	0,00	0,00	ELU
HIP.66	G+BOMB+0,5*V6+0,3*Q	1	165,97	9,71	165,97	6,49	ELU
	G+BOMB+0,5*V6+0,3*Q	2	0,00	0,00	0,00	0,00	ELU
HIP.67	G+BOMB+0,5*V7+0,3*Q	1	169,78	10,89	169,78	7,28	ELU
	G+BOMB+0,5*V7+0,3*Q	2	0,00	0,00	0,00	0,00	ELU
HIP.68	G+BOMB+0,5*V8+0,3*Q	1	170,12	10,42	170,12	6,97	ELU
	G+BOMB+0,5*V8+0,3*Q	2	0,00	0,00	0,00	0,00	ELU

Seccion (mm.)	e _x (m.)	e _y (m.)	Henc. (m.)
400	0,00	0,00	1,00
COMPROBACIÓN (compresión)	CUMPLE		
MAX. AXIL	210,74		(TON)
MIN. AXIL	0,00		(TON)
COMPROBACIÓN (tracción)	CUMPLE		
L.1(m)	0,00		
L.2(m)	0,00		
L.Influenc.(m)	0,00		
CERRAM.(ton.)	0,00		
αx (inclinación)	0,00		
αy (inclinación)	0,00		

Curva de resistencia axil-momento (en cualquier dirección)



Curva de resistencia axil-cortante



PILAR: P40



COMPROBACIÓN ESFUERZOS:

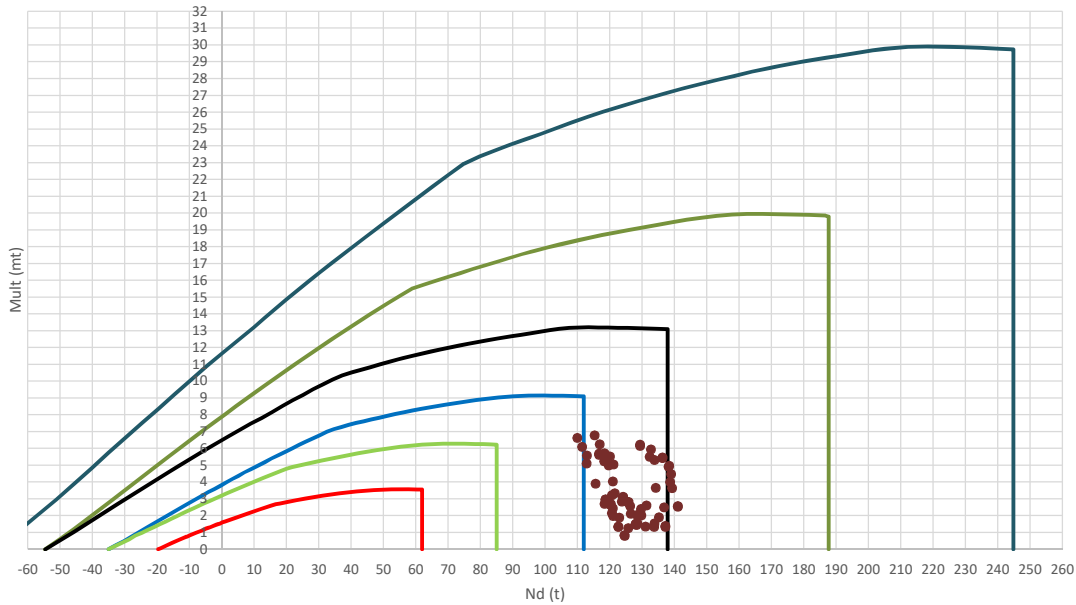
P18147P Parcela R20

	LC: COMB.	nº PILOTE	N _{pilote} (T) a ras de suelo	M ult. Pilote (mT)	N _{pilote} (T) a ras de suelo	V ult.-Pilote (T)	ESTADO LIMITE
HIP.1	G	1	171,26	2,92	171,26	1,95	ELS
	G	2	0,00	0,00	0,00	0,00	ELS
HIP.2	G+Q	1	210,05	4,25	210,05	2,84	ELS
	G+Q	2	0,00	0,00	0,00	0,00	ELS
HIP.3	G+V321	1	170,43	6,93	170,43	4,64	ELS
	G+V321	2	0,00	0,00	0,00	0,00	ELS
HIP.4	G+V322	1	170,37	6,83	170,37	4,57	ELS
	G+V322	2	0,00	0,00	0,00	0,00	ELS
HIP.5	G+V323	1	172,09	1,55	172,09	1,03	ELS
	G+V323	2	0,00	0,00	0,00	0,00	ELS
HIP.6	G+V324	1	172,15	1,75	172,15	1,17	ELS
	G+V324	2	0,00	0,00	0,00	0,00	ELS
HIP.7	G+V325	1	170,11	12,31	170,11	8,23	ELS
	G+V325	2	0,00	0,00	0,00	0,00	ELS
HIP.8	G+V326	1	170,50	8,53	170,50	5,71	ELS
	G+V326	2	0,00	0,00	0,00	0,00	ELS
HIP.9	G+V327	1	172,41	14,55	172,41	9,73	ELS
	G+V327	2	0,00	0,00	0,00	0,00	ELS
HIP.10	G+V328	1	172,02	10,67	172,02	7,14	ELS
	G+V328	2	0,00	0,00	0,00	0,00	ELS
HIP.11	G+Q+0,6*V321	1	209,55	6,48	209,55	4,33	ELS
	G+Q+0,6*V321	2	0,00	0,00	0,00	0,00	ELS
HIP.12	G+Q+0,6*V322	1	209,52	6,36	209,52	4,26	ELS
	G+Q+0,6*V322	2	0,00	0,00	0,00	0,00	ELS
HIP.13	G+Q+0,6*V323	1	210,55	2,49	210,55	1,66	ELS
	G+Q+0,6*V323	2	0,00	0,00	0,00	0,00	ELS
HIP.14	G+Q+0,6*V324	1	210,58	2,72	210,58	1,82	ELS
	G+Q+0,6*V324	2	0,00	0,00	0,00	0,00	ELS
HIP.15	G+Q+0,6*V325	1	209,36	6,31	209,36	4,22	ELS
	G+Q+0,6*V325	2	0,00	0,00	0,00	0,00	ELS
HIP.16	G+Q+0,6*V326	1	209,59	4,54	209,59	3,04	ELS
	G+Q+0,6*V326	2	0,00	0,00	0,00	0,00	ELS
HIP.17	G+Q+0,6*V327	1	210,74	11,00	210,74	7,36	ELS
	G+Q+0,6*V327	2	0,00	0,00	0,00	0,00	ELS
HIP.18	G+Q+0,6*V328	1	210,51	8,75	210,51	5,85	ELS
	G+Q+0,6*V328	2	0,00	0,00	0,00	0,00	ELS
HIP.19	G+V1+0,7*Q	1	197,58	7,69	197,58	5,14	ELS
	G+V1+0,7*Q	2	0,00	0,00	0,00	0,00	ELS
HIP.20	G+V2+0,7*Q	1	197,52	7,54	197,52	5,04	ELS
	G+V2+0,7*Q	2	0,00	0,00	0,00	0,00	ELS
HIP.21	G+V3+0,7*Q	1	199,24	1,91	199,24	1,28	ELS
	G+V3+0,7*Q	2	0,00	0,00	0,00	0,00	ELS
HIP.22	G+V4+0,7*Q	1	199,30	2,27	199,30	1,52	ELS
	G+V4+0,7*Q	2	0,00	0,00	0,00	0,00	ELS
HIP.23	G+V5+0,7*Q	1	197,26	11,46	197,26	7,67	ELS
	G+V5+0,7*Q	2	0,00	0,00	0,00	0,00	ELS
HIP.24	G+V6+0,7*Q	1	197,65	7,79	197,65	5,21	ELS
	G+V6+0,7*Q	2	0,00	0,00	0,00	0,00	ELS
HIP.25	G+V7+0,7*Q	1	199,56	15,63	199,56	10,45	ELS
	G+V7+0,7*Q	2	0,00	0,00	0,00	0,00	ELS
HIP.26	G+V8+0,7*Q	1	199,17	11,76	199,17	7,87	ELS
	G+V8+0,7*Q	2	0,00	0,00	0,00	0,00	ELS
HIP.27	G+Sx	1	173,05	5,05	173,05	3,38	ELU
	G+Sx	2	0,00	0,00	0,00	0,00	ELU
HIP.28	G-Sx	1	169,47	6,69	169,47	4,48	ELU
	G-Sx	2	0,00	0,00	0,00	0,00	ELU
HIP.29	G+Sy	1	172,73	3,71	172,73	2,48	ELU
	G+Sy	2	0,00	0,00	0,00	0,00	ELU
HIP.30	G-Sy	1	169,79	5,42	169,79	3,62	ELU
	G-Sy	2	0,00	0,00	0,00	0,00	ELU
HIP.31	G+Sx+0,3*Sy	1	173,49	6,24	173,49	4,17	ELU
	G+Sx+0,3*Sy	2	0,00	0,00	0,00	0,00	ELU
HIP.32	G+Sx-0,3*Sy	1	172,61	3,91	172,61	2,61	ELU
	G+Sx-0,3*Sy	2	0,00	0,00	0,00	0,00	ELU
HIP.33	G-Sx+0,3*Sy	1	169,91	5,47	169,91	3,66	ELU
	G-Sx+0,3*Sy	2	0,00	0,00	0,00	0,00	ELU
HIP.34	G-Sx-0,3*Sy	1	169,03	7,93	169,03	5,30	ELU
	G-Sx-0,3*Sy	2	0,00	0,00	0,00	0,00	ELU
HIP.35	G+Sy+0,3*Sx	1	173,27	5,28	173,27	3,53	ELU
	G+Sy+0,3*Sx	2	0,00	0,00	0,00	0,00	ELU
HIP.36	G+Sy-0,3*Sx	1	172,19	2,31	172,19	1,55	ELU
	G+Sy-0,3*Sx	2	0,00	0,00	0,00	0,00	ELU
HIP.37	G-Sy+0,3*Sx	1	170,33	3,89	170,33	2,60	ELU
	G-Sy+0,3*Sx	2	0,00	0,00	0,00	0,00	ELU
HIP.38	G-Sy-0,3*Sx	1	169,25	7,01	169,25	4,69	ELU
	G-Sy-0,3*Sx	2	0,00	0,00	0,00	0,00	ELU
HIP.39	G+Sx+0,3*Q	1	184,69	5,23	184,69	3,50	ELU
	G+Sx+0,3*Q	2	0,00	0,00	0,00	0,00	ELU
HIP.40	G-Sx+0,3*Q	1	181,10	6,70	181,10	4,48	ELU

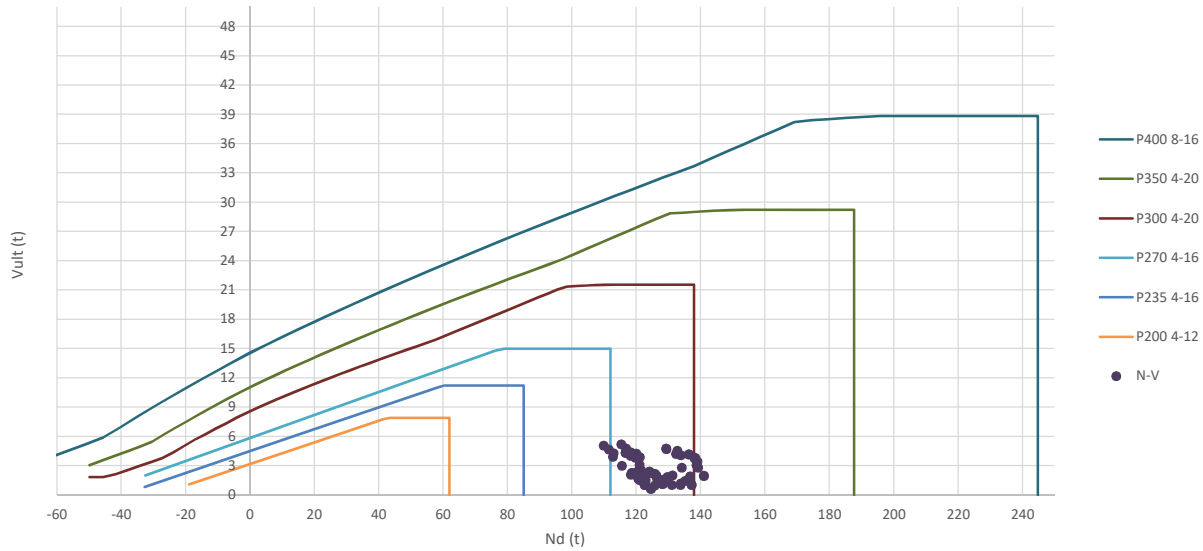
	G-Sx+0,3*Q	2	0,00	0,00	0,00	0,00	ELU
HIP.41	G+Sy+0,3*Q	1	184,37	3,92	184,37	2,62	ELU
	G+Sy+0,3*Q	2	0,00	0,00	0,00	0,00	ELU
HIP.42	G-Sy+0,3*Q	1	181,42	5,46	181,42	3,65	ELU
	G-Sy+0,3*Q	2	0,00	0,00	0,00	0,00	ELU
HIP.43	G+Sx+0,3*Sy+0,3*Q	1	185,13	6,40	185,13	4,28	ELU
	G+Sx+0,3*Sy+0,3*Q	2	0,00	0,00	0,00	0,00	ELU
HIP.44	G+Sx-0,3*Sy+0,3*Q	1	184,25	4,12	184,25	2,76	ELU
	G+Sx-0,3*Sy+0,3*Q	2	0,00	0,00	0,00	0,00	ELU
HIP.45	G-Sx+0,3*Sy+0,3*Q	1	181,55	5,50	181,55	3,68	ELU
	G-Sx+0,3*Sy+0,3*Q	2	0,00	0,00	0,00	0,00	ELU
HIP.46	G-Sx-0,3*Sy+0,3*Q	1	180,66	7,93	180,66	5,30	ELU
	G-Sx-0,3*Sy+0,3*Q	2	0,00	0,00	0,00	0,00	ELU
HIP.47	G+Sy+0,3*Sx+0,3*Q	1	184,91	5,45	184,91	3,65	ELU
	G+Sy+0,3*Sx+0,3*Q	2	0,00	0,00	0,00	0,00	ELU
HIP.48	G+Sy-0,3*Sx+0,3*Q	1	183,83	2,59	183,83	1,73	ELU
	G+Sy-0,3*Sx+0,3*Q	2	0,00	0,00	0,00	0,00	ELU
HIP.49	G-Sy+0,3*Sx+0,3*Q	1	181,96	3,98	181,96	2,66	ELU
	G-Sy+0,3*Sx+0,3*Q	2	0,00	0,00	0,00	0,00	ELU
HIP.50	G-Sy-0,3*Sx+0,3*Q	1	180,89	7,03	180,89	4,70	ELU
	G-Sy-0,3*Sx+0,3*Q	2	0,00	0,00	0,00	0,00	ELU
HIP.51	G+BOMB	1	166,46	2,64	166,46	1,76	ELU
	G+BOMB	2	0,00	0,00	0,00	0,00	ELU
HIP.52	G+BOMB+0,5*Q	1	185,86	3,17	185,86	2,12	ELU
	G+BOMB+0,5*Q	2	0,00	0,00	0,00	0,00	ELU
HIP.53	G+BOMB+0,5*V321	1	166,05	3,56	166,05	2,38	ELU
	G+BOMB+0,5*V321	2	0,00	0,00	0,00	0,00	ELU
HIP.54	G+BOMB+0,5*V322	1	166,02	3,46	166,02	2,32	ELU
	G+BOMB+0,5*V322	2	0,00	0,00	0,00	0,00	ELU
HIP.55	G+BOMB+0,5*V323	1	166,88	2,23	166,88	1,49	ELU
	G+BOMB+0,5*V323	2	0,00	0,00	0,00	0,00	ELU
HIP.56	G+BOMB+0,5*V324	1	166,91	2,36	166,91	1,58	ELU
	G+BOMB+0,5*V324	2	0,00	0,00	0,00	0,00	ELU
HIP.57	G+BOMB+0,5*V325	1	165,89	2,33	165,89	1,56	ELU
	G+BOMB+0,5*V325	2	0,00	0,00	0,00	0,00	ELU
HIP.58	G+BOMB+0,5*V326	1	166,08	1,39	166,08	0,93	ELU
	G+BOMB+0,5*V326	2	0,00	0,00	0,00	0,00	ELU
HIP.59	G+BOMB+0,5*V327	1	167,04	6,85	167,04	4,58	ELU
	G+BOMB+0,5*V327	2	0,00	0,00	0,00	0,00	ELU
HIP.60	G+BOMB+0,5*V328	1	166,84	5,55	166,84	3,71	ELU
	G+BOMB+0,5*V328	2	0,00	0,00	0,00	0,00	ELU
HIP.61	G+BOMB+0,5*V1+0,3*Q	1	177,68	3,86	177,68	2,58	ELU
	G+BOMB+0,5*V1+0,3*Q	2	0,00	0,00	0,00	0,00	ELU
HIP.62	G+BOMB+0,5*V2+0,3*Q	1	177,65	3,76	177,65	2,52	ELU
	G+BOMB+0,5*V2+0,3*Q	2	0,00	0,00	0,00	0,00	ELU
HIP.63	G+BOMB+0,5*V3+0,3*Q	1	178,51	2,50	178,51	1,67	ELU
	G+BOMB+0,5*V3+0,3*Q	2	0,00	0,00	0,00	0,00	ELU
HIP.64	G+BOMB+0,5*V4+0,3*Q	1	178,54	2,64	178,54	1,76	ELU
	G+BOMB+0,5*V4+0,3*Q	2	0,00	0,00	0,00	0,00	ELU
HIP.65	G+BOMB+0,5*V5+0,3*Q	1	177,52	2,17	177,52	1,45	ELU
	G+BOMB+0,5*V5+0,3*Q	2	0,00	0,00	0,00	0,00	ELU
HIP.66	G+BOMB+0,5*V6+0,3*Q	1	177,72	1,40	177,72	0,94	ELU
	G+BOMB+0,5*V6+0,3*Q	2	0,00	0,00	0,00	0,00	ELU
HIP.67	G+BOMB+0,5*V7+0,3*Q	1	178,67	7,16	178,67	4,79	ELU
	G+BOMB+0,5*V7+0,3*Q	2	0,00	0,00	0,00	0,00	ELU
HIP.68	G+BOMB+0,5*V8+0,3*Q	1	178,48	5,86	178,48	3,92	ELU
	G+BOMB+0,5*V8+0,3*Q	2	0,00	0,00	0,00	0,00	ELU

Seccion (mm.)	e _x (m.)	e _y (m.)	Henc. (m.)
350	0,00	0,00	1,00
COMPROBACIÓN (compresión)	CUMPLE		
MAX. AXIL	141,04	(TON)	
MIN. AXIL	0,00	(TON)	
COMPROBACIÓN (tracción)	CUMPLE		
	L.1(m)	0,00	
	L.2(m)	0,00	
	L.Influenc.(m)	0,00	
	CERRAM.(ton.)	0,00	
	αx (inclinación)	0,00	
	αy (inclinación)	0,00	

Curva de resistencia axil-momento (en cualquier dirección)



Curva de resistencia axil-cortante



PILAR: P41



COMPROBACIÓN ESFUERZOS:

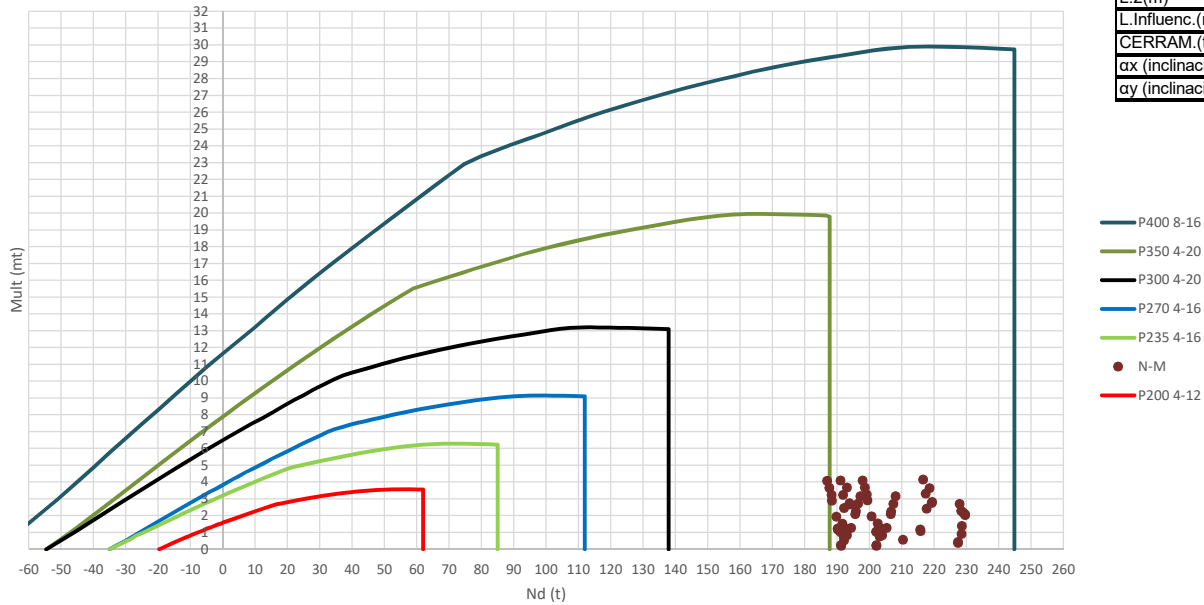
P18147P Parcela R20

	LC: COMB.	n° PILOTE	N _{pilote} (T) a ras de suelo	M ult. Pilote (mT)	N _{pilote} (T) a ras de suelo	V ult-Pilote (T)	ESTADO LIMITE
HIP.1	G	1	120,60	3,22	120,60	2,46	ELS
HIP.2	G+Q	1	138,67	4,00	138,67	3,06	ELS
HIP.3	G+V329	1	116,65	5,69	116,65	4,35	ELS
HIP.4	G+V330	1	116,68	5,62	116,68	4,29	ELS
HIP.5	G+V331	1	124,55	0,81	124,55	0,62	ELS
HIP.6	G+V332	1	124,52	0,84	124,52	0,64	ELS
HIP.7	G+V333	1	121,53	3,33	121,53	2,55	ELS
HIP.8	G+V334	1	121,14	5,05	121,14	3,86	ELS
HIP.9	G+V335	1	119,67	5,00	119,67	3,82	ELS
HIP.10	G+V336	1	120,06	5,53	120,06	4,23	ELS
HIP.11	G+Q+0,6*V329	1	136,30	5,47	136,30	4,18	ELS
HIP.12	G+Q+0,6*V330	1	136,31	5,43	136,31	4,15	ELS
HIP.13	G+Q+0,6*V331	1	141,04	2,53	141,04	1,94	ELS
HIP.14	G+Q+0,6*V332	1	141,02	2,57	141,02	1,96	ELS
HIP.15	G+Q+0,6*V333	1	139,22	3,64	139,22	2,79	ELS
HIP.16	G+Q+0,6*V334	1	138,99	4,47	138,99	3,42	ELS
HIP.17	G+Q+0,6*V335	1	138,11	4,92	138,11	3,76	ELS
HIP.18	G+Q+0,6*V336	1	138,34	4,97	138,34	3,80	ELS
HIP.19	G+V1+0,7*Q	1	129,30	6,23	129,30	4,76	ELS
HIP.20	G+V2+0,7*Q	1	129,33	6,16	129,33	4,71	ELS
HIP.21	G+V3+0,7*Q	1	137,20	1,35	137,20	1,03	ELS
HIP.22	G+V4+0,7*Q	1	137,17	1,39	137,17	1,06	ELS
HIP.23	G+V5+0,7*Q	1	134,18	3,66	134,18	2,80	ELS
HIP.24	G+V6+0,7*Q	1	133,79	5,32	133,79	4,07	ELS
HIP.25	G+V7+0,7*Q	1	132,32	5,50	132,32	4,21	ELS
HIP.26	G+V8+0,7*Q	1	132,71	5,94	132,71	4,54	ELS
HIP.27	G+Sx	1	129,78	2,03	129,78	1,55	ELU
HIP.28	G-Sx	1	111,41	6,10	111,41	4,66	ELU
HIP.29	G-Sy	1	125,65	1,26	125,65	0,96	ELU
HIP.30	G-Sy	1	115,55	3,90	115,55	2,98	ELU
HIP.31	G+Sx+0,3*Sx	1	131,30	2,61	131,30	2,00	ELU
HIP.32	G+Sx-0,3*Sx	1	128,27	1,45	128,27	1,11	ELU
HIP.33	G-Sx+0,3*Sx	1	112,93	5,58	112,93	4,26	ELU
HIP.34	G-Sx-0,3*Sx	1	109,90	6,63	109,90	5,07	ELU
HIP.35	G+Sy+0,3*Sx	1	128,40	1,58	128,40	1,21	ELU
HIP.36	G+Sy-0,3*Sx	1	122,89	1,89	122,89	1,45	ELU
HIP.37	G-Sy+0,3*Sx	1	118,30	2,70	118,30	2,07	ELU
HIP.38	G-Sy-0,3*Sx	1	112,79	5,10	112,79	3,90	ELU
HIP.39	G+Sx+0,3*Q	1	135,20	1,91	135,20	1,46	ELU
HIP.40	G-Sx+0,3*Q	1	116,83	6,25	116,83	4,78	ELU
HIP.41	G+Sy+0,3*Q	1	131,07	1,35	131,07	1,03	ELU
HIP.42	G-Sy+0,3*Q	1	120,97	4,05	120,97	3,09	ELU
HIP.43	G+Sx+0,3*Sx+0,3*Q	1	136,72	2,50	136,72	1,91	ELU
HIP.44	G+Sx-0,3*Sx+0,3*Q	1	133,69	1,33	133,69	1,02	ELU
HIP.45	G-Sx+0,3*Sx+0,3*Q	1	118,35	5,73	118,35	4,38	ELU
HIP.46	G-Sx-0,3*Sx+0,3*Q	1	115,32	6,78	115,32	5,18	ELU
HIP.47	G+Sy+0,3*Sx+0,3*Q	1	133,82	1,54	133,82	1,18	ELU
HIP.48	G+Sy-0,3*Sx+0,3*Q	1	128,31	2,04	128,31	1,56	ELU
HIP.49	G-Sy+0,3*Sx+0,3*Q	1	123,72	2,84	123,72	2,17	ELU
HIP.50	G-Sy-0,3*Sx+0,3*Q	1	118,21	5,25	118,21	4,01	ELU
HIP.51	G+BOMB	1	120,61	2,15	120,61	1,64	ELU
HIP.52	G+BOMB+0,5*Q	1	129,64	2,41	129,64	1,84	ELU
HIP.53	G+BOMB+0,5*V329	1	118,63	2,97	118,63	2,27	ELU
HIP.54	G+BOMB+0,5*V330	1	118,65	2,95	118,65	2,25	ELU
HIP.55	G+BOMB+0,5*V331	1	122,58	1,33	122,58	1,02	ELU
HIP.56	G+BOMB+0,5*V332	1	122,57	1,35	122,57	1,04	ELU
HIP.57	G+BOMB+0,5*V333	1	121,07	1,98	121,07	1,51	ELU
HIP.58	G+BOMB+0,5*V334	1	120,88	2,45	120,88	1,87	ELU
HIP.59	G+BOMB+0,5*V335	1	120,14	2,65	120,14	2,03	ELU
HIP.60	G+BOMB+0,5*V336	1	120,34	2,68	120,34	2,05	ELU
HIP.61	G+BOMB+0,5*V1+0,3*Q	1	124,05	3,13	124,05	2,39	ELU
HIP.62	G+BOMB+0,5*V2+0,3*Q	1	124,07	3,10	124,07	2,37	ELU
HIP.63	G+BOMB+0,5*V3+0,3*Q	1	128,00	1,49	128,00	1,14	ELU
HIP.64	G+BOMB+0,5*V4+0,3*Q	1	127,99	1,51	127,99	1,15	ELU
HIP.65	G+BOMB+0,5*V5+0,3*Q	1	126,49	2,11	126,49	1,61	ELU
HIP.66	G+BOMB+0,5*V6+0,3*Q	1	126,30	2,57	126,30	1,96	ELU
HIP.67	G+BOMB+0,5*V7+0,3*Q	1	125,56	2,81	125,56	2,15	ELU
HIP.68	G+BOMB+0,5*V8+0,3*Q	1	125,76	2,82	125,76	2,16	ELU

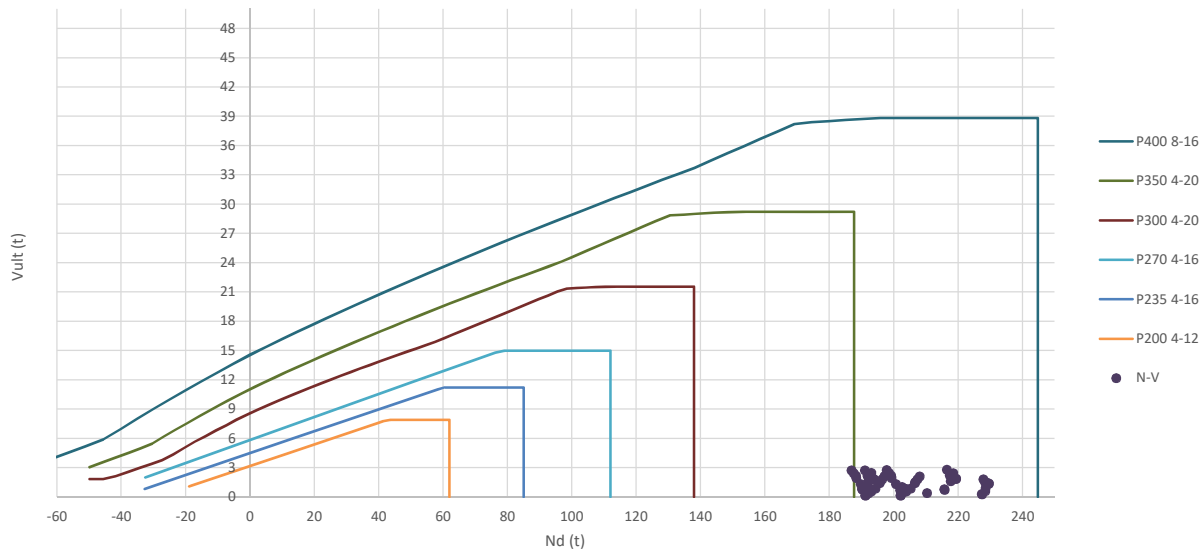
Seccion (mm.)	e _x (m.)	e _y (m.)	Henc. (m.)
400	0,00	0,00	1,00
COMPROBACIÓN (compresión)	CUMPLE		
MAX. AXIL	229,57		(TON)
MIN. AXIL	0,00		(TON)
COMPROBACIÓN (tracción)	CUMPLE		

L.1(m)	0,00
L.2(m)	0,00
L.Influenc.(m)	0,00
CERRAM.(ton.)	0,00
αx (inclinación)	0,00
αy (inclinación)	0,00

Curva de resistencia axil-momento (en cualquier dirección)



Curva de resistencia axil-cortante



PILAR: P42



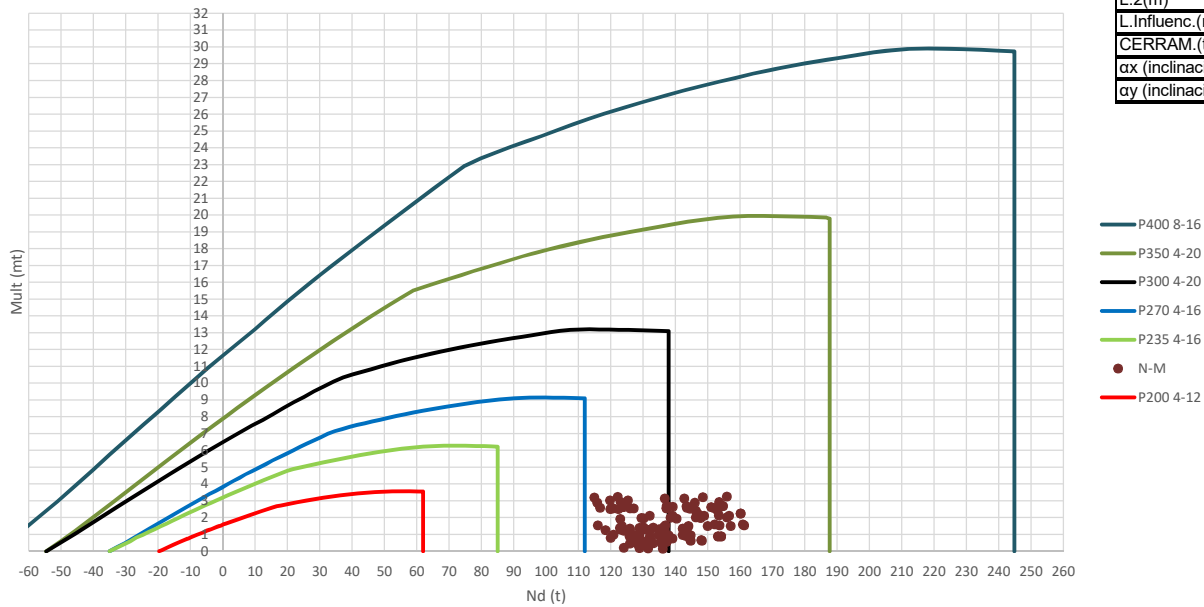
COMPROBACIÓN ESFUERZOS:

P18147P Parcela R20

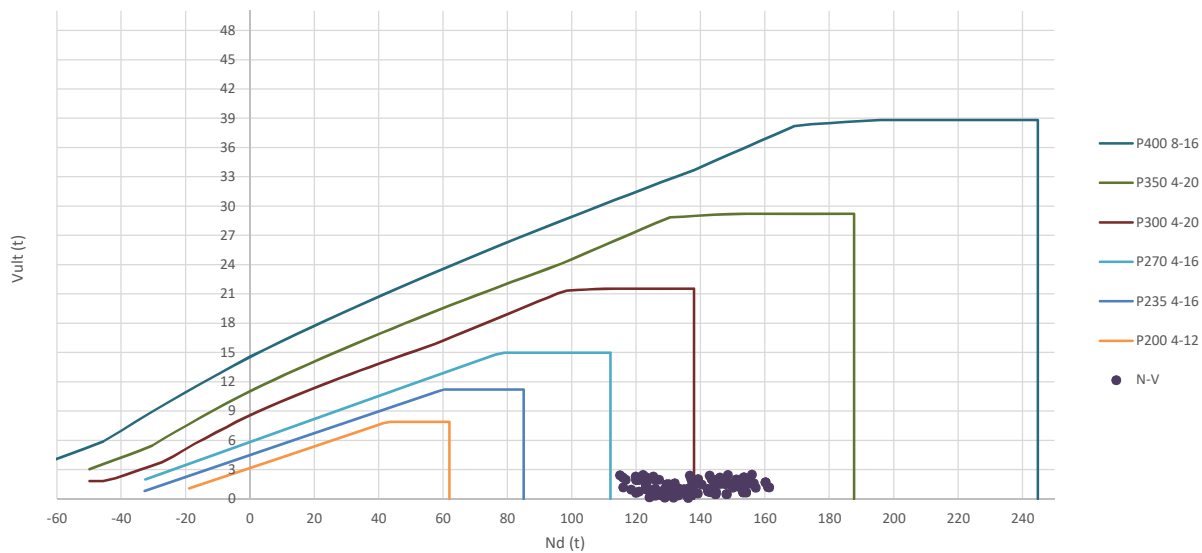
	LC: COMB.	n° PILOTE	N _{pilote} (T) a ras de suelo	M ult. Pilote (mT)	N _{pilote} (T) a ras de suelo	V ult-Pilote (T)	ESTADO LIMITE
HIP.1	G	1	192,00	0,79	192,00	0,53	ELS
HIP.2	G+Q	1	228,47	0,92	228,47	0,61	ELS
HIP.3	G+V337	1	193,83	2,74	193,83	1,83	ELS
HIP.4	G+V338	1	193,76	2,68	193,76	1,79	ELS
HIP.5	G+V339	1	190,17	1,25	190,17	0,83	ELS
HIP.6	G+V340	1	190,24	1,16	190,24	0,78	ELS
HIP.7	G+V341	1	192,16	2,47	192,16	1,65	ELS
HIP.8	G+V342	1	192,99	3,68	192,99	2,46	ELS
HIP.9	G+V343	1	191,84	3,24	191,84	2,17	ELS
HIP.10	G+V344	1	191,01	4,10	191,01	2,74	ELS
HIP.11	G+Q+0,6*V337	1	229,57	2,07	229,57	1,38	ELS
HIP.12	G+Q+0,6*V338	1	229,53	2,04	229,53	1,36	ELS
HIP.13	G+Q+0,6*V339	1	227,37	0,45	227,37	0,30	ELS
HIP.14	G+Q+0,6*V340	1	227,41	0,38	227,41	0,25	ELS
HIP.15	G+Q+0,6*V341	1	228,57	1,40	228,57	0,94	ELS
HIP.16	G+Q+0,6*V342	1	229,06	2,18	229,06	1,46	ELS
HIP.17	G+Q+0,6*V343	1	228,37	2,29	228,37	1,53	ELS
HIP.18	G+Q+0,6*V344	1	227,88	2,72	227,88	1,82	ELS
HIP.19	G+V1+0,7*Q	1	219,36	2,82	219,36	1,89	ELS
HIP.20	G+V2+0,7*Q	1	219,29	2,76	219,29	1,85	ELS
HIP.21	G+V3+0,7*Q	1	215,70	1,18	215,70	0,79	ELS
HIP.22	G+V4+0,7*Q	1	215,77	1,09	215,77	0,73	ELS
HIP.23	G+V5+0,7*Q	1	217,69	2,42	217,69	1,62	ELS
HIP.24	G+V6+0,7*Q	1	218,52	3,65	218,52	2,44	ELS
HIP.25	G+V7+0,7*Q	1	217,37	3,32	217,37	2,22	ELS
HIP.26	G+V8+0,7*Q	1	216,54	4,16	216,54	2,78	ELS
HIP.27	G+Sx	1	196,43	2,72	196,43	1,82	ELU
HIP.28	G-Sx	1	187,57	3,66	187,57	2,45	ELU
HIP.29	G+Sy	1	194,30	1,29	194,30	0,86	ELU
HIP.30	G-Sy	1	189,70	1,95	189,70	1,31	ELU
HIP.31	G+Sx+0,3*Sy	1	197,12	3,17	197,12	2,12	ELU
HIP.32	G+Sx-0,3*Sy	1	195,75	2,28	195,75	1,52	ELU
HIP.33	G-Sx+0,3*Sy	1	188,25	3,24	188,25	2,17	ELU
HIP.34	G-Sx-0,3*Sy	1	186,88	4,09	186,88	2,73	ELU
HIP.35	G+Sy+0,3*Sx	1	195,63	2,11	195,63	1,41	ELU
HIP.36	G+Sy-0,3*Sx	1	192,97	0,83	192,97	0,56	ELU
HIP.37	G-Sy+0,3*Sx	1	191,03	1,03	191,03	0,69	ELU
HIP.38	G-Sy-0,3*Sx	1	188,37	2,90	188,37	1,94	ELU
HIP.39	G+Sx+0,3*Q	1	207,38	2,70	207,38	1,81	ELU
HIP.40	G-Sx+0,3*Q	1	198,51	3,68	198,51	2,46	ELU
HIP.41	G+Sy+0,3*Q	1	205,24	1,28	205,24	0,86	ELU
HIP.42	G-Sy+0,3*Q	1	200,64	1,97	200,64	1,32	ELU
HIP.43	G+Sx+0,3*Sy+0,3*Q	1	208,07	3,16	208,07	2,11	ELU
HIP.44	G+Sx-0,3*Sy+0,3*Q	1	206,69	2,26	206,69	1,51	ELU
HIP.45	G-Sx+0,3*Sy+0,3*Q	1	199,20	3,26	199,20	2,18	ELU
HIP.46	G-Sx-0,3*Sy+0,3*Q	1	197,82	4,10	197,82	2,75	ELU
HIP.47	G+Sy+0,3*Sx+0,3*Q	1	206,57	2,10	206,57	1,40	ELU
HIP.48	G+Sy-0,3*Sx+0,3*Q	1	203,91	0,85	203,91	0,57	ELU
HIP.49	G-Sy+0,3*Sx+0,3*Q	1	201,97	1,04	201,97	0,70	ELU
HIP.50	G-Sy-0,3*Sx+0,3*Q	1	199,31	2,91	199,31	1,95	ELU
HIP.51	G+BOMB	1	192,08	0,53	192,08	0,36	ELU
HIP.52	G+BOMB+0,5*Q	1	210,32	0,58	210,32	0,39	ELU
HIP.53	G+BOMB+0,5*V337	1	193,00	1,17	193,00	0,79	ELU
HIP.54	G+BOMB+0,5*V338	1	192,96	1,16	192,96	0,77	ELU
HIP.55	G+BOMB+0,5*V339	1	191,17	0,25	191,17	0,16	ELU
HIP.56	G+BOMB+0,5*V340	1	191,20	0,21	191,20	0,14	ELU
HIP.57	G+BOMB+0,5*V341	1	192,16	0,77	192,16	0,52	ELU
HIP.58	G+BOMB+0,5*V342	1	192,58	1,21	192,58	0,81	ELU
HIP.59	G+BOMB+0,5*V343	1	192,00	1,30	192,00	0,87	ELU
HIP.60	G+BOMB+0,5*V344	1	191,59	1,53	191,59	1,02	ELU
HIP.61	G+BOMB+0,5*V1+0,3*Q	1	203,94	1,20	203,94	0,80	ELU
HIP.62	G+BOMB+0,5*V2+0,3*Q	1	203,90	1,18	203,90	0,79	ELU
HIP.63	G+BOMB+0,5*V3+0,3*Q	1	202,11	0,24	202,11	0,16	ELU
HIP.64	G+BOMB+0,5*V4+0,3*Q	1	202,14	0,21	202,14	0,14	ELU
HIP.65	G+BOMB+0,5*V5+0,3*Q	1	203,10	0,77	203,10	0,51	ELU
HIP.66	G+BOMB+0,5*V6+0,3*Q	1	203,52	1,21	203,52	0,81	ELU
HIP.67	G+BOMB+0,5*V7+0,3*Q	1	202,94	1,32	202,94	0,88	ELU
HIP.68	G+BOMB+0,5*V8+0,3*Q	1	202,53	1,55	202,53	1,04	ELU

Seccion (mm.)	e _x (m.)	e _y (m.)	Henc. (m.)
350	1,25	0,00	1,25
COMPROBACIÓN (compresión)	CUMPLE		
MAX. AXIL	161,25	(TON)	
MIN. AXIL	0,00	(TON)	
COMPROBACIÓN (tracción)	CUMPLE		
	L.1(m)	0,00	
	L.2(m)	0,00	
	L.Influenc.(m)	0,00	
	CERRAM.(ton.)	0,00	
	αx (inclinación)	0,00	
	αy (inclinación)	0,00	

Curva de resistencia axil-momento (en cualquier dirección)



Curva de resistencia axil-cortante



PILAR: P43



COMPROBACIÓN ESFUERZOS:

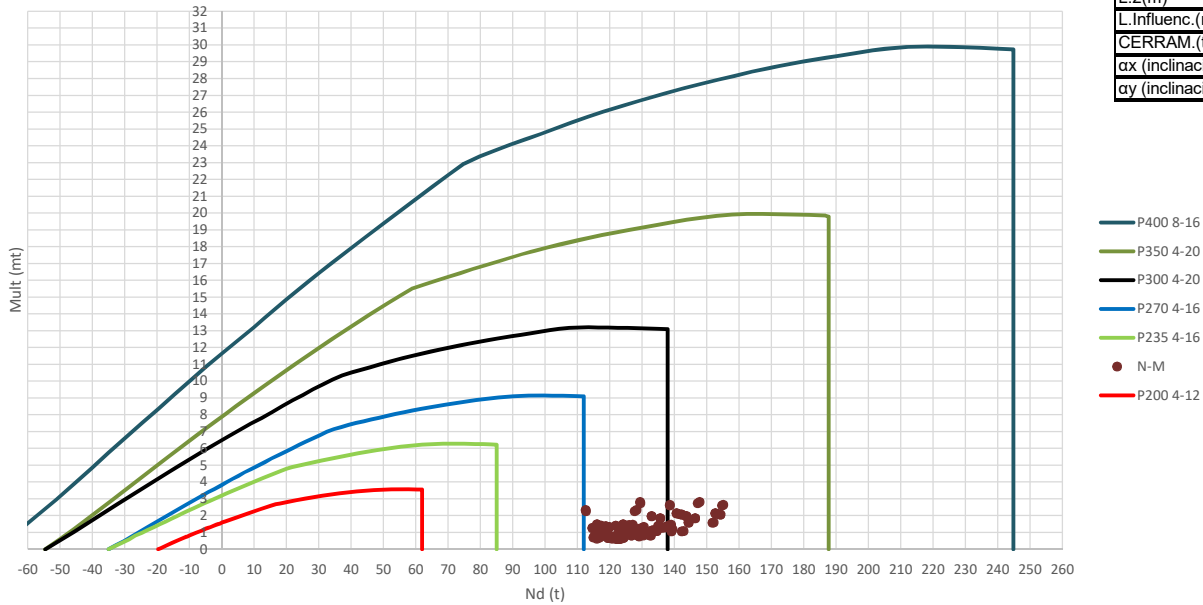
P18147P Parcela R20

	LC: COMB.	nº PILOTE	N _{pilote} (T) a ras de suelo	M ult. Pilote (mT)	N _{pilote} (T) a ras de suelo	V ult.-Pilote (T)	ESTADO LIMITE
HIP.1	G	1	125,87	1,30	125,87	1,00	ELS
	G	2	132,18	1,30	132,18	1,00	ELS
HIP.2	G+Q	1	149,95	1,51	149,95	1,16	ELS
	G+Q	2	157,11	1,51	157,11	1,16	ELS
HIP.3	G+V345	1	131,33	0,56	131,33	0,43	ELS
	G+V345	2	127,20	0,56	127,20	0,43	ELS
HIP.4	G+V346	1	131,12	0,59	131,12	0,45	ELS
	G+V346	2	127,13	0,59	127,13	0,45	ELS
HIP.5	G+V347	1	120,41	2,58	120,41	1,97	ELS
	G+V347	2	137,16	2,58	137,16	1,97	ELS
HIP.6	G+V348	1	120,62	2,55	120,62	1,95	ELS
	G+V348	2	137,23	2,55	137,23	1,95	ELS
HIP.7	G+V349	1	129,42	1,98	129,42	1,51	ELS
	G+V349	2	138,42	2,00	138,42	1,53	ELS
HIP.8	G+V350	1	131,97	2,11	131,97	1,62	ELS
	G+V350	2	139,08	2,11	139,08	1,62	ELS
HIP.9	G+V351	1	122,32	2,53	122,32	1,93	ELS
	G+V351	2	125,94	2,56	125,94	1,95	ELS
HIP.10	G+V352	1	119,77	3,02	119,77	2,31	ELS
	G+V352	2	125,28	3,02	125,28	2,31	ELS
HIP.11	G+Q+0,6*V345	1	153,23	0,87	153,23	0,67	ELS
	G+Q+0,6*V345	2	154,12	0,87	154,12	0,67	ELS
HIP.12	G+Q+0,6*V346	1	153,10	0,90	153,10	0,68	ELS
	G+Q+0,6*V346	2	154,08	0,90	154,08	0,68	ELS
HIP.13	G+Q+0,6*V347	1	146,67	2,26	146,67	1,73	ELS
	G+Q+0,6*V347	2	160,10	2,26	160,10	1,73	ELS
HIP.14	G+Q+0,6*V348	1	146,80	2,24	146,80	1,71	ELS
	G+Q+0,6*V348	2	160,14	2,24	160,14	1,71	ELS
HIP.15	G+Q+0,6*V349	1	152,08	1,60	152,08	1,23	ELS
	G+Q+0,6*V349	2	160,86	1,61	160,86	1,23	ELS
HIP.16	G+Q+0,6*V350	1	153,61	1,54	153,61	1,18	ELS
	G+Q+0,6*V350	2	161,25	1,54	161,25	1,18	ELS
HIP.17	G+Q+0,6*V351	1	147,82	2,12	147,82	1,62	ELS
	G+Q+0,6*V351	2	153,37	2,14	153,37	1,63	ELS
HIP.18	G+Q+0,6*V352	1	146,29	2,43	146,29	1,85	ELS
	G+Q+0,6*V352	2	152,98	2,43	152,98	1,85	ELS
HIP.19	G+V1+0,7*Q	1	148,19	0,64	148,19	0,49	ELS
	G+V1+0,7*Q	2	144,65	0,64	144,65	0,49	ELS
HIP.20	G+V2+0,7*Q	1	147,97	0,67	147,97	0,51	ELS
	G+V2+0,7*Q	2	144,58	0,67	144,58	0,51	ELS
HIP.21	G+V3+0,7*Q	1	137,26	2,71	137,26	2,07	ELS
	G+V3+0,7*Q	2	154,62	2,71	154,62	2,07	ELS
HIP.22	G+V4+0,7*Q	1	137,47	2,69	137,47	2,05	ELS
	G+V4+0,7*Q	2	154,68	2,69	154,68	2,05	ELS
HIP.23	G+V5+0,7*Q	1	146,27	2,01	146,27	1,54	ELS
	G+V5+0,7*Q	2	155,87	2,03	155,87	1,55	ELS
HIP.24	G+V6+0,7*Q	1	148,83	2,11	148,83	1,62	ELS
	G+V6+0,7*Q	2	156,53	2,11	156,53	1,62	ELS
HIP.25	G+V7+0,7*Q	1	139,17	2,66	139,17	2,03	ELS
	G+V7+0,7*Q	2	143,39	2,68	143,39	2,05	ELS
HIP.26	G+V8+0,7*Q	1	136,62	3,15	136,62	2,41	ELS
	G+V8+0,7*Q	2	142,74	3,15	142,74	2,41	ELS
HIP.27	G+Sx	1	115,81	2,89	115,81	2,21	ELU
	G+Sx	2	145,98	2,90	145,98	2,22	ELU
HIP.28	G-Sx	1	135,93	1,26	135,93	0,96	ELU
	G-Sx	2	118,38	1,26	118,38	0,96	ELU
HIP.29	G+Sy	1	122,89	1,93	122,89	1,48	ELU
	G+Sy	2	140,32	1,95	140,32	1,49	ELU
HIP.30	G-Sy	1	128,85	0,20	128,85	0,15	ELU
	G-Sy	2	124,04	0,22	124,04	0,17	ELU
HIP.31	G+Sx+0,3*Sy	1	114,92	3,20	114,92	2,45	ELU
	G+Sx+0,3*Sy	2	148,42	3,21	148,42	2,46	ELU
HIP.32	G+Sx-0,3*Sy	1	116,71	2,59	116,71	1,98	ELU
	G+Sx-0,3*Sy	2	143,53	2,59	143,53	1,98	ELU
HIP.33	G-Sx+0,3*Sy	1	135,03	1,00	135,03	0,77	ELU
	G-Sx+0,3*Sy	2	120,83	1,00	120,83	0,76	ELU
HIP.34	G-Sx-0,3*Sy	1	136,82	1,54	136,82	1,18	ELU
	G-Sx-0,3*Sy	2	115,94	1,54	115,94	1,18	ELU
HIP.35	G+Sy+0,3*Sx	1	119,87	2,52	119,87	1,93	ELU
	G+Sy+0,3*Sx	2	144,46	2,54	144,46	1,94	ELU
HIP.36	G+Sy-0,3*Sx	1	125,91	1,37	125,91	1,04	ELU
	G+Sy-0,3*Sx	2	136,18	1,38	136,18	1,05	ELU
HIP.37	G-Sy+0,3*Sx	1	125,83	0,45	125,83	0,35	ELU
	G-Sy+0,3*Sx	2	128,18	0,45	128,18	0,35	ELU
HIP.38	G-Sy-0,3*Sx	1	131,87	0,80	131,87	0,61	ELU
	G-Sy-0,3*Sx	2	119,90	0,81	119,90	0,62	ELU
HIP.39	G+Sx+0,3*Q	1	123,04	2,93	123,04	2,24	ELU
	G+Sx+0,3*Q	2	153,46	2,94	153,46	2,25	ELU
HIP.40	G-Sx+0,3*Q	1	143,15	1,23	143,15	0,94	ELU

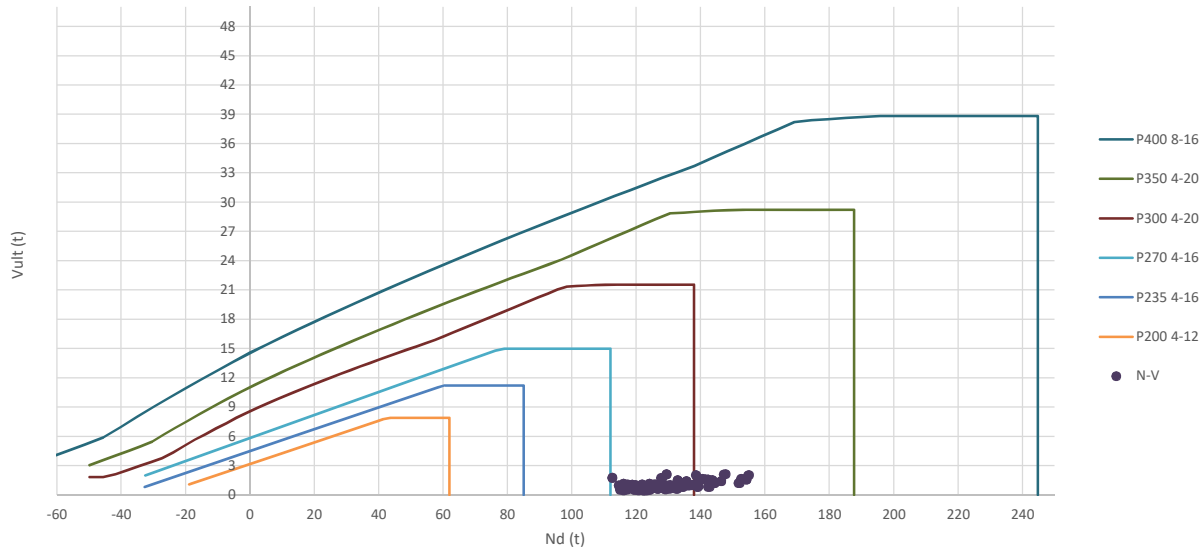
	G-Sx+0,3*Q	2	125,86	1,23	125,86	0,94	ELU
HIP.41	G+Sy+0,3*Q	1	130,11	1,97	130,11	1,51	ELU
	G+Sy+0,3*Q	2	147,80	1,99	147,80	1,52	ELU
HIP.42	G-Sy+0,3*Q	1	136,07	0,15	136,07	0,12	ELU
	G-Sy+0,3*Q	2	131,52	0,17	131,52	0,13	ELU
HIP.43	G+Sx+0,3*Sy+0,3*Q	1	122,14	3,24	122,14	2,48	ELU
	G+Sx+0,3*Sy+0,3*Q	2	155,90	3,25	155,90	2,49	ELU
HIP.44	G+Sx-0,3*Sy+0,3*Q	1	123,93	2,62	123,93	2,01	ELU
	G+Sx-0,3*Sy+0,3*Q	2	151,01	2,63	151,01	2,01	ELU
HIP.45	G-Sx+0,3*Sy+0,3*Q	1	142,26	0,98	142,26	0,75	ELU
	G-Sx+0,3*Sy+0,3*Q	2	128,31	0,97	128,31	0,74	ELU
HIP.46	G-Sx-0,3*Sy+0,3*Q	1	144,04	1,50	144,04	1,15	ELU
	G-Sx-0,3*Sy+0,3*Q	2	123,42	1,50	123,42	1,15	ELU
HIP.47	G+Sy+0,3*Sx+0,3*Q	1	127,10	2,56	127,10	1,96	ELU
	G+Sy+0,3*Sx+0,3*Q	2	151,94	2,58	151,94	1,97	ELU
HIP.48	G+Sy-0,3*Sx+0,3*Q	1	133,13	1,41	133,13	1,08	ELU
	G+Sy-0,3*Sx+0,3*Q	2	143,66	1,42	143,66	1,09	ELU
HIP.49	G-Sy+0,3*Sx+0,3*Q	1	133,06	0,48	133,06	0,37	ELU
	G-Sy+0,3*Sx+0,3*Q	2	135,66	0,49	135,66	0,37	ELU
HIP.50	G-Sy-0,3*Sx+0,3*Q	1	139,09	0,76	139,09	0,58	ELU
	G-Sy-0,3*Sx+0,3*Q	2	127,38	0,77	127,38	0,59	ELU
HIP.51	G+BOMB	1	125,83	0,89	125,83	0,68	ELU
	G+BOMB	2	132,27	0,89	132,27	0,68	ELU
HIP.52	G+BOMB+0,5*Q	1	137,86	0,96	137,86	0,74	ELU
	G+BOMB+0,5*Q	2	144,73	0,96	144,73	0,74	ELU
HIP.53	G+BOMB+0,5*V345	1	128,56	0,53	128,56	0,40	ELU
	G+BOMB+0,5*V345	2	129,77	0,53	129,77	0,40	ELU
HIP.54	G+BOMB+0,5*V346	1	128,45	0,54	128,45	0,41	ELU
	G+BOMB+0,5*V346	2	129,74	0,54	129,74	0,41	ELU
HIP.55	G+BOMB+0,5*V347	1	123,09	1,31	123,09	1,00	ELU
	G+BOMB+0,5*V347	2	134,76	1,31	134,76	1,00	ELU
HIP.56	G+BOMB+0,5*V348	1	123,20	1,30	123,20	0,99	ELU
	G+BOMB+0,5*V348	2	134,79	1,30	134,79	0,99	ELU
HIP.57	G+BOMB+0,5*V349	1	127,60	0,94	127,60	0,72	ELU
	G+BOMB+0,5*V349	2	135,39	0,94	135,39	0,72	ELU
HIP.58	G+BOMB+0,5*V350	1	128,88	0,90	128,88	0,69	ELU
	G+BOMB+0,5*V350	2	135,71	0,90	135,71	0,69	ELU
HIP.59	G+BOMB+0,5*V351	1	124,05	1,22	124,05	0,93	ELU
	G+BOMB+0,5*V351	2	129,15	1,23	129,15	0,94	ELU
HIP.60	G+BOMB+0,5*V352	1	122,77	1,39	122,77	1,06	ELU
	G+BOMB+0,5*V352	2	128,82	1,39	128,82	1,06	ELU
HIP.61	G+BOMB+0,5*V1+0,3*Q	1	135,78	0,57	135,78	0,44	ELU
	G+BOMB+0,5*V1+0,3*Q	2	137,25	0,57	137,25	0,44	ELU
HIP.62	G+BOMB+0,5*V2+0,3*Q	1	135,67	0,58	135,67	0,45	ELU
	G+BOMB+0,5*V2+0,3*Q	2	137,22	0,58	137,22	0,45	ELU
HIP.63	G+BOMB+0,5*V3+0,3*Q	1	130,32	1,35	130,32	1,03	ELU
	G+BOMB+0,5*V3+0,3*Q	2	142,24	1,35	142,24	1,03	ELU
HIP.64	G+BOMB+0,5*V4+0,3*Q	1	130,42	1,34	130,42	1,02	ELU
	G+BOMB+0,5*V4+0,3*Q	2	142,27	1,34	142,27	1,02	ELU
HIP.65	G+BOMB+0,5*V5+0,3*Q	1	134,82	0,96	134,82	0,74	ELU
	G+BOMB+0,5*V5+0,3*Q	2	142,87	0,97	142,87	0,74	ELU
HIP.66	G+BOMB+0,5*V6+0,3*Q	1	136,10	0,92	136,10	0,70	ELU
	G+BOMB+0,5*V6+0,3*Q	2	143,19	0,92	143,19	0,70	ELU
HIP.67	G+BOMB+0,5*V7+0,3*Q	1	131,27	1,26	131,27	0,96	ELU
	G+BOMB+0,5*V7+0,3*Q	2	136,63	1,27	136,63	0,97	ELU
HIP.68	G+BOMB+0,5*V8+0,3*Q	1	130,00	1,43	130,00	1,09	ELU
	G+BOMB+0,5*V8+0,3*Q	2	136,30	1,43	136,30	1,09	ELU

Seccion (mm.)	e _x (m.)	e _y (m.)	Henc. (m.)
350	0,00	1,25	1,25
COMPROBACIÓN (compresión)	CUMPLE		
MAX. AXIL	155,07	(TON)	
MIN. AXIL	0,00	(TON)	
COMPROBACIÓN (tracción)	CUMPLE		
	L.1(m)		0,00
	L.2(m)		0,00
	L.Influenc.(m)		0,00
	CERRAM.(ton.)		0,00
	αx (inclinación)		0,00
	αy (inclinación)		0,00

Curva de resistencia axil-momento (en cualquier dirección)



Curva de resistencia axil-cortante



PILAR: P44



COMPROBACIÓN ESFUERZOS:

P18147P Parcela R20

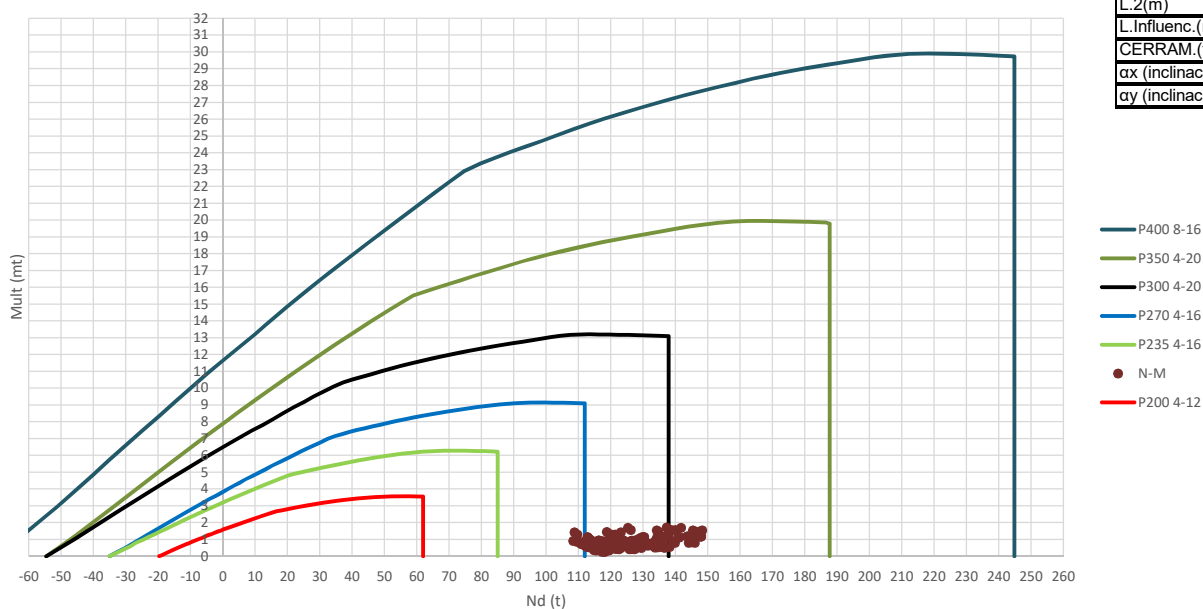
	LC: COMB.	nº PILOTE	N _{pilote} (T) a ras de suelo	M ult. Pilote (mT)	N _{pilote} (T) a ras de suelo	V ult.-Pilote (T)	ESTADO LIMITE
HIP.1	G	1	125,44	1,42	125,44	1,08	ELS
	G	2	117,36	1,42	117,36	1,08	ELS
HIP.2	G+Q	1	153,40	2,10	153,40	1,61	ELS
	G+Q	2	141,45	2,10	141,45	1,61	ELS
HIP.3	G+V353	1	126,83	1,38	126,83	1,06	ELS
	G+V353	2	118,70	1,38	118,70	1,06	ELS
HIP.4	G+V354	1	126,77	1,37	126,77	1,05	ELS
	G+V354	2	118,72	1,37	118,72	1,05	ELS
HIP.5	G+V355	1	124,04	1,49	124,04	1,14	ELS
	G+V355	2	116,03	1,49	116,03	1,14	ELS
HIP.6	G+V356	1	124,10	1,50	124,10	1,14	ELS
	G+V356	2	116,01	1,50	116,01	1,14	ELS
HIP.7	G+V357	1	122,67	0,62	122,67	0,47	ELS
	G+V357	2	122,22	0,62	122,22	0,47	ELS
HIP.8	G+V358	1	123,24	0,62	123,24	0,47	ELS
	G+V358	2	122,16	0,62	122,16	0,47	ELS
HIP.9	G+V359	1	128,21	2,35	128,21	1,79	ELS
	G+V359	2	112,51	2,35	112,51	1,79	ELS
HIP.10	G+V360	1	127,63	2,27	127,63	1,74	ELS
	G+V360	2	112,57	2,27	112,57	1,74	ELS
HIP.11	G+Q+0,6*V353	1	154,24	2,07	154,24	1,58	ELS
	G+Q+0,6*V353	2	142,25	2,07	142,25	1,58	ELS
HIP.12	G+Q+0,6*V354	1	154,21	2,07	154,21	1,58	ELS
	G+Q+0,6*V354	2	142,26	2,07	142,26	1,58	ELS
HIP.13	G+Q+0,6*V355	1	152,57	2,14	152,57	1,64	ELS
	G+Q+0,6*V355	2	140,64	2,14	140,64	1,64	ELS
HIP.14	G+Q+0,6*V356	1	152,60	2,15	152,60	1,64	ELS
	G+Q+0,6*V356	2	140,63	2,15	140,63	1,64	ELS
HIP.15	G+Q+0,6*V357	1	151,74	1,58	151,74	1,21	ELS
	G+Q+0,6*V357	2	144,36	1,58	144,36	1,21	ELS
HIP.16	G+Q+0,6*V358	1	152,09	1,61	152,09	1,23	ELS
	G+Q+0,6*V358	2	144,32	1,61	144,32	1,23	ELS
HIP.17	G+Q+0,6*V359	1	155,07	2,65	155,07	2,03	ELS
	G+Q+0,6*V359	2	138,53	2,65	138,53	2,03	ELS
HIP.18	G+Q+0,6*V360	1	154,72	2,61	154,72	2,00	ELS
	G+Q+0,6*V360	2	138,57	2,61	138,57	2,00	ELS
HIP.19	G+V1+0,7*Q	1	146,41	1,85	146,41	1,42	ELS
	G+V1+0,7*Q	2	135,56	1,85	135,56	1,42	ELS
HIP.20	G+V2+0,7*Q	1	146,35	1,85	146,35	1,41	ELS
	G+V2+0,7*Q	2	135,57	1,85	135,57	1,41	ELS
HIP.21	G+V3+0,7*Q	1	143,62	1,97	143,62	1,51	ELS
	G+V3+0,7*Q	2	132,89	1,97	132,89	1,51	ELS
HIP.22	G+V4+0,7*Q	1	143,68	1,98	143,68	1,51	ELS
	G+V4+0,7*Q	2	132,87	1,98	132,87	1,51	ELS
HIP.23	G+V5+0,7*Q	1	142,25	1,06	142,25	0,81	ELS
	G+V5+0,7*Q	2	139,08	1,06	139,08	0,81	ELS
HIP.24	G+V6+0,7*Q	1	142,82	1,08	142,82	0,83	ELS
	G+V6+0,7*Q	2	139,02	1,08	139,02	0,83	ELS
HIP.25	G+V7+0,7*Q	1	147,78	2,82	147,78	2,15	ELS
	G+V7+0,7*Q	2	129,36	2,82	129,36	2,15	ELS
HIP.26	G+V8+0,7*Q	1	147,21	2,75	147,21	2,10	ELS
	G+V8+0,7*Q	2	129,43	2,75	129,43	2,10	ELS
HIP.27	G+Sx	1	129,52	1,25	129,52	0,95	ELU
	G+Sx	2	119,58	1,25	119,58	0,95	ELU
HIP.28	G-Sx	1	121,35	0,76	121,35	0,58	ELU
	G-Sx	2	115,14	0,76	115,14	0,58	ELU
HIP.29	G+Sy	1	128,95	1,22	128,95	0,93	ELU
	G+Sy	2	118,07	1,22	118,07	0,93	ELU
HIP.30	G-Sy	1	121,93	0,68	121,93	0,52	ELU
	G-Sy	2	116,66	0,68	116,66	0,52	ELU
HIP.31	G+Sx+0,3*Sy	1	130,58	1,33	130,58	1,02	ELU
	G+Sx+0,3*Sy	2	119,79	1,33	119,79	1,02	ELU
HIP.32	G+Sx-0,3*Sy	1	128,47	1,16	128,47	0,89	ELU
	G+Sx-0,3*Sy	2	119,37	1,16	119,37	0,89	ELU
HIP.33	G-Sx+0,3*Sy	1	122,40	0,82	122,40	0,63	ELU
	G-Sx+0,3*Sy	2	115,36	0,82	115,36	0,63	ELU
HIP.34	G-Sx-0,3*Sy	1	120,30	0,70	120,30	0,54	ELU
	G-Sx-0,3*Sy	2	114,93	0,70	114,93	0,54	ELU
HIP.35	G+Sy+0,3*Sx	1	130,17	1,30	130,17	1,00	ELU
	G+Sy+0,3*Sx	2	118,73	1,30	118,73	1,00	ELU
HIP.36	G+Sy-0,3*Sx	1	127,72	1,14	127,72	0,87	ELU
	G+Sy-0,3*Sx	2	117,40	1,14	117,40	0,87	ELU
HIP.37	G-Sy+0,3*Sx	1	123,15	0,76	123,15	0,58	ELU
	G-Sy+0,3*Sx	2	117,33	0,76	117,33	0,58	ELU
HIP.38	G-Sy-0,3*Sx	1	120,70	0,63	120,70	0,48	ELU
	G-Sy-0,3*Sx	2	115,99	0,63	115,99	0,48	ELU
HIP.39	G+Sx+0,3*Q	1	137,91	1,38	137,91	1,06	ELU
	G+Sx+0,3*Q	2	126,81	1,38	126,81	1,06	ELU
HIP.40	G-Sx+0,3*Q	1	129,74	0,88	129,74	0,68	ELU

	G-Sx+0,3*Q	2	122,37	0,88	122,37	0,68	ELU
HIP.41	G+Sy+0,3*Q	1	137,34	1,35	137,34	1,04	ELU
	G+Sy+0,3*Q	2	125,29	1,35	125,29	1,04	ELU
HIP.42	G-Sy+0,3*Q	1	130,32	0,82	130,32	0,63	ELU
	G-Sy+0,3*Q	2	123,89	0,82	123,89	0,63	ELU
HIP.43	G+Sx+0,3*Sy+0,3*Q	1	138,97	1,47	138,97	1,12	ELU
	G+Sx+0,3*Sy+0,3*Q	2	127,02	1,47	127,02	1,12	ELU
HIP.44	G+Sx-0,3*Sy+0,3*Q	1	136,86	1,30	136,86	0,99	ELU
	G+Sx-0,3*Sy+0,3*Q	2	126,60	1,30	126,60	0,99	ELU
HIP.45	G-Sx+0,3*Sy+0,3*Q	1	130,80	0,95	130,80	0,73	ELU
	G-Sx+0,3*Sy+0,3*Q	2	122,58	0,95	122,58	0,73	ELU
HIP.46	G-Sx-0,3*Sy+0,3*Q	1	128,69	0,82	128,69	0,63	ELU
	G-Sx-0,3*Sy+0,3*Q	2	122,16	0,82	122,16	0,63	ELU
HIP.47	G+Sy+0,3*Sx+0,3*Q	1	138,56	1,44	138,56	1,10	ELU
	G+Sy+0,3*Sx+0,3*Q	2	125,96	1,44	125,96	1,10	ELU
HIP.48	G+Sy-0,3*Sx+0,3*Q	1	136,11	1,27	136,11	0,97	ELU
	G+Sy-0,3*Sx+0,3*Q	2	124,63	1,27	124,63	0,97	ELU
HIP.49	G-Sy+0,3*Sx+0,3*Q	1	131,54	0,89	131,54	0,68	ELU
	G-Sy+0,3*Sx+0,3*Q	2	124,55	0,89	124,55	0,68	ELU
HIP.50	G-Sy-0,3*Sx+0,3*Q	1	129,09	0,76	129,09	0,58	ELU
	G-Sy-0,3*Sx+0,3*Q	2	123,22	0,76	123,22	0,58	ELU
HIP.51	G+BOMB	1	125,40	0,97	125,40	0,74	ELU
	G+BOMB	2	117,02	0,97	117,02	0,74	ELU
HIP.52	G+BOMB+0,5*Q	1	139,38	1,20	139,38	0,92	ELU
	G+BOMB+0,5*Q	2	129,06	1,20	129,06	0,92	ELU
HIP.53	G+BOMB+0,5*V353	1	126,09	0,96	126,09	0,73	ELU
	G+BOMB+0,5*V353	2	117,68	0,96	117,68	0,73	ELU
HIP.54	G+BOMB+0,5*V354	1	126,06	0,95	126,06	0,73	ELU
	G+BOMB+0,5*V354	2	117,69	0,95	117,69	0,73	ELU
HIP.55	G+BOMB+0,5*V355	1	124,70	0,99	124,70	0,76	ELU
	G+BOMB+0,5*V355	2	116,35	0,99	116,35	0,76	ELU
HIP.56	G+BOMB+0,5*V356	1	124,73	0,99	124,73	0,76	ELU
	G+BOMB+0,5*V356	2	116,34	0,99	116,34	0,76	ELU
HIP.57	G+BOMB+0,5*V357	1	124,01	0,68	124,01	0,52	ELU
	G+BOMB+0,5*V357	2	119,44	0,68	119,44	0,52	ELU
HIP.58	G+BOMB+0,5*V358	1	124,30	0,69	124,30	0,53	ELU
	G+BOMB+0,5*V358	2	119,41	0,69	119,41	0,53	ELU
HIP.59	G+BOMB+0,5*V359	1	126,78	1,28	126,78	0,98	ELU
	G+BOMB+0,5*V359	2	114,59	1,28	114,59	0,98	ELU
HIP.60	G+BOMB+0,5*V360	1	126,49	1,26	126,49	0,96	ELU
	G+BOMB+0,5*V360	2	114,62	1,26	114,62	0,96	ELU
HIP.61	G+BOMB+0,5*V1+0,3*Q	1	134,48	1,09	134,48	0,83	ELU
	G+BOMB+0,5*V1+0,3*Q	2	124,91	1,09	124,91	0,83	ELU
HIP.62	G+BOMB+0,5*V2+0,3*Q	1	134,45	1,09	134,45	0,83	ELU
	G+BOMB+0,5*V2+0,3*Q	2	124,92	1,09	124,92	0,83	ELU
HIP.63	G+BOMB+0,5*V3+0,3*Q	1	133,09	1,13	133,09	0,86	ELU
	G+BOMB+0,5*V3+0,3*Q	2	123,57	1,13	123,57	0,86	ELU
HIP.64	G+BOMB+0,5*V4+0,3*Q	1	133,12	1,13	133,12	0,86	ELU
	G+BOMB+0,5*V4+0,3*Q	2	123,56	1,13	123,56	0,86	ELU
HIP.65	G+BOMB+0,5*V5+0,3*Q	1	132,40	0,82	132,40	0,62	ELU
	G+BOMB+0,5*V5+0,3*Q	2	126,67	0,82	126,67	0,62	ELU
HIP.66	G+BOMB+0,5*V6+0,3*Q	1	132,69	0,83	132,69	0,63	ELU
	G+BOMB+0,5*V6+0,3*Q	2	126,64	0,83	126,64	0,63	ELU
HIP.67	G+BOMB+0,5*V7+0,3*Q	1	135,17	1,41	135,17	1,08	ELU
	G+BOMB+0,5*V7+0,3*Q	2	121,81	1,41	121,81	1,08	ELU
HIP.68	G+BOMB+0,5*V8+0,3*Q	1	134,88	1,39	134,88	1,06	ELU
	G+BOMB+0,5*V8+0,3*Q	2	121,84	1,39	121,84	1,06	ELU

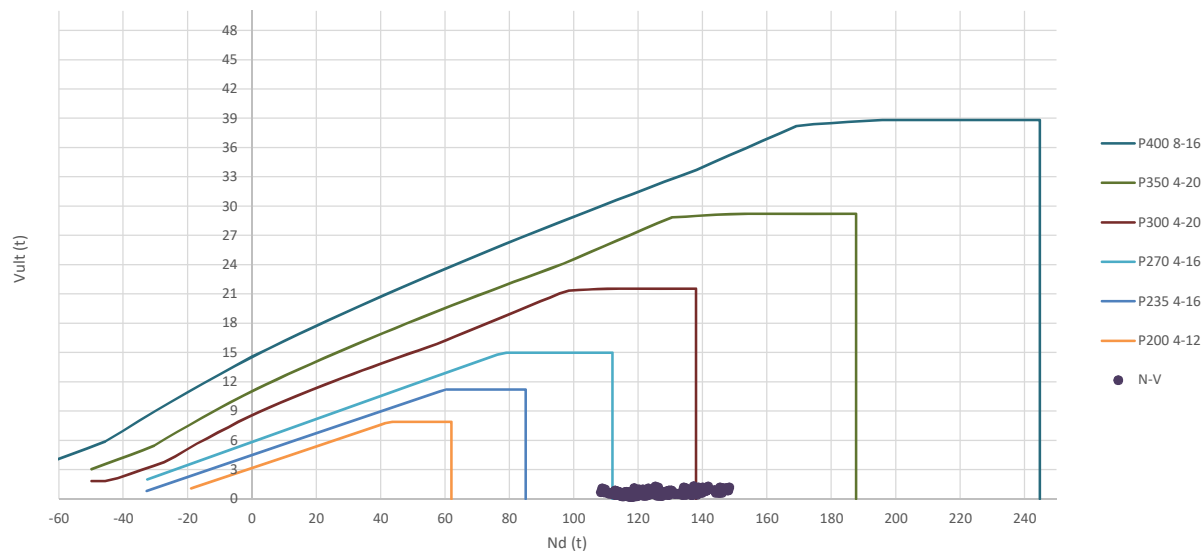
Seccion (mm.)	e _x (m.)	e _y (m.)	Henc. (m.)
350	1,25	1,25	1,25
COMPROBACIÓN (compresión)	CUMPLE		
MAX. AXIL	148,27		(TON)
MIN. AXIL	0,00		(TON)
COMPROBACIÓN (tracción)	CUMPLE		

L.1(m)	0,00
L.2(m)	0,00
L.Influenc.(m)	0,00
CERRAM.(ton.)	0,00
αx (inclinación)	0,00
αy (inclinación)	0,00

Curva de resistencia axil-momento (en cualquier dirección)



Curva de resistencia axil-cortante



PILAR: P45



COMPROBACIÓN ESFUERZOS:

P18147P Parcela R20

	LC: COMB.	nº PILOTE	N _{pilote} (T) a ras de suelo	M ult. Pilote (mT)	N _{pilote} (T) a ras de suelo	V ult.-Pilote (T)	ESTADO LIMITE
HIP.1	G	1	119,63	0,77	119,63	0,59	ELS
	G	2	119,19	0,77	119,19	0,59	ELS
	G	3	113,44	0,77	113,44	0,59	ELS
HIP.2	G+Q	1	146,20	1,15	146,20	0,88	ELS
	G+Q	2	145,67	1,15	145,67	0,88	ELS
	G+Q	3	136,99	1,15	136,99	0,88	ELS
HIP.3	G+V361	1	122,49	0,90	122,49	0,69	ELS
	G+V361	2	115,73	0,90	115,73	0,69	ELS
	G+V361	3	113,02	0,90	113,02	0,69	ELS
HIP.4	G+V362	1	122,36	0,88	122,36	0,68	ELS
	G+V362	2	115,85	0,88	115,85	0,68	ELS
	G+V362	3	113,09	0,88	113,09	0,68	ELS
HIP.5	G+V363	1	116,77	0,90	116,77	0,69	ELS
	G+V363	2	122,64	0,90	122,64	0,69	ELS
	G+V363	3	113,86	0,90	113,86	0,69	ELS
HIP.6	G+V364	1	116,90	0,90	116,90	0,69	ELS
	G+V364	2	122,52	0,90	122,52	0,69	ELS
	G+V364	3	113,79	0,90	113,79	0,69	ELS
HIP.7	G+V365	1	116,18	0,40	116,18	0,31	ELS
	G+V365	2	119,66	0,40	119,66	0,30	ELS
	G+V365	3	118,13	0,39	118,13	0,30	ELS
HIP.8	G+V366	1	117,90	0,26	117,90	0,20	ELS
	G+V366	2	118,16	0,26	118,16	0,20	ELS
	G+V366	3	117,23	0,26	117,23	0,20	ELS
HIP.9	G+V367	1	123,09	1,44	123,09	1,10	ELS
	G+V367	2	118,71	1,45	118,71	1,11	ELS
	G+V367	3	108,75	1,44	108,75	1,10	ELS
HIP.10	G+V368	1	121,36	1,30	121,36	1,00	ELS
	G+V368	2	120,21	1,30	120,21	1,00	ELS
	G+V368	3	109,64	1,30	109,64	1,00	ELS
HIP.11	G+Q+0,6*V361	1	147,91	1,18	147,91	0,91	ELS
	G+Q+0,6*V361	2	143,60	1,18	143,60	0,91	ELS
	G+Q+0,6*V361	3	136,74	1,18	136,74	0,91	ELS
HIP.12	G+Q+0,6*V362	1	147,84	1,18	147,84	0,90	ELS
	G+Q+0,6*V362	2	143,67	1,18	143,67	0,90	ELS
	G+Q+0,6*V362	3	136,78	1,18	136,78	0,90	ELS
HIP.13	G+Q+0,6*V363	1	144,48	1,18	144,48	0,91	ELS
	G+Q+0,6*V363	2	147,74	1,18	147,74	0,91	ELS
	G+Q+0,6*V363	3	137,24	1,18	137,24	0,91	ELS
HIP.14	G+Q+0,6*V364	1	144,56	1,19	144,56	0,91	ELS
	G+Q+0,6*V364	2	147,67	1,19	147,67	0,91	ELS
	G+Q+0,6*V364	3	137,20	1,19	137,20	0,91	ELS
HIP.15	G+Q+0,6*V365	1	144,12	0,81	144,12	0,62	ELS
	G+Q+0,6*V365	2	145,95	0,80	145,95	0,61	ELS
	G+Q+0,6*V365	3	139,81	0,81	139,81	0,62	ELS
HIP.16	G+Q+0,6*V366	1	145,16	0,84	145,16	0,64	ELS
	G+Q+0,6*V366	2	145,05	0,84	145,05	0,64	ELS
	G+Q+0,6*V366	3	139,27	0,84	139,27	0,64	ELS
HIP.17	G+Q+0,6*V367	1	148,27	1,54	148,27	1,18	ELS
	G+Q+0,6*V367	2	145,38	1,55	145,38	1,18	ELS
	G+Q+0,6*V367	3	134,18	1,54	134,18	1,18	ELS
HIP.18	G+Q+0,6*V368	1	147,24	1,47	147,24	1,12	ELS
	G+Q+0,6*V368	2	146,28	1,47	146,28	1,12	ELS
	G+Q+0,6*V368	3	134,71	1,47	134,71	1,12	ELS
HIP.19	G+V1+0,7*Q	1	141,09	1,14	141,09	0,87	ELS
	G+V1+0,7*Q	2	134,27	1,14	134,27	0,87	ELS
	G+V1+0,7*Q	3	129,50	1,14	129,50	0,87	ELS
HIP.20	G+V2+0,7*Q	1	140,96	1,12	140,96	0,86	ELS
	G+V2+0,7*Q	2	134,39	1,12	134,39	0,86	ELS
	G+V2+0,7*Q	3	129,58	1,12	129,58	0,86	ELS
HIP.21	G+V3+0,7*Q	1	135,36	1,14	135,36	0,87	ELS
	G+V3+0,7*Q	2	141,17	1,14	141,17	0,87	ELS
	G+V3+0,7*Q	3	130,35	1,14	130,35	0,87	ELS
HIP.22	G+V4+0,7*Q	1	135,50	1,14	135,50	0,87	ELS
	G+V4+0,7*Q	2	141,05	1,14	141,05	0,87	ELS
	G+V4+0,7*Q	3	130,27	1,14	130,27	0,87	ELS
HIP.23	G+V5+0,7*Q	1	134,77	0,56	134,77	0,43	ELS
	G+V5+0,7*Q	2	138,20	0,55	138,20	0,42	ELS
	G+V5+0,7*Q	3	134,62	0,55	134,62	0,42	ELS
HIP.24	G+V6+0,7*Q	1	136,50	0,52	136,50	0,40	ELS
	G+V6+0,7*Q	2	136,70	0,52	136,70	0,40	ELS
	G+V6+0,7*Q	3	133,72	0,52	133,72	0,40	ELS
HIP.25	G+V7+0,7*Q	1	141,68	1,69	141,68	1,30	ELS
	G+V7+0,7*Q	2	137,25	1,71	137,25	1,31	ELS
	G+V7+0,7*Q	3	125,23	1,70	125,23	1,30	ELS
HIP.26	G+V8+0,7*Q	1	139,96	1,57	139,96	1,20	ELS
	G+V8+0,7*Q	2	138,75	1,57	138,75	1,20	ELS
	G+V8+0,7*Q	3	126,13	1,57	126,13	1,20	ELS
HIP.27	G+Sx	1	113,31	1,04	113,31	0,79	ELU

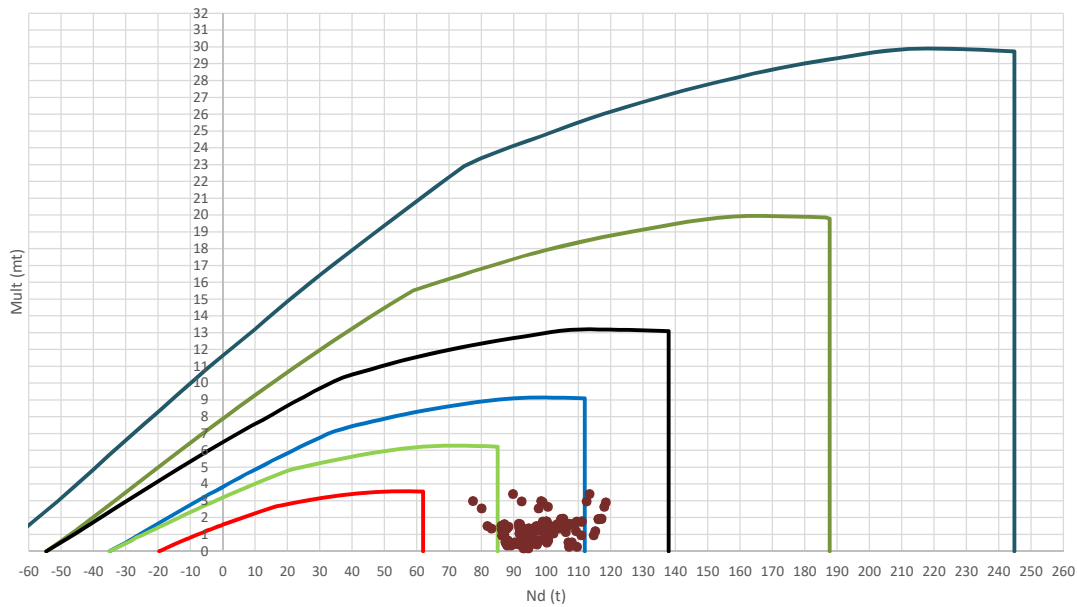
	G+Sx	2	128,79	1,04	128,79	0,80	ELU
	G+Sx	3	113,22	1,05	113,22	0,80	ELU
HIP.28	G-Sx	1	125,95	0,87	125,95	0,67	ELU
	G-Sx	2	109,58	0,87	109,58	0,66	ELU
	G-Sx	3	113,65	0,88	113,65	0,67	ELU
HIP.29	G+Sy	1	117,80	0,74	117,80	0,56	ELU
	G+Sy	2	123,21	0,74	123,21	0,56	ELU
	G+Sy	3	112,17	0,74	112,17	0,56	ELU
HIP.30	G-Sy	1	121,46	0,44	121,46	0,34	ELU
	G-Sy	2	115,17	0,44	115,17	0,34	ELU
	G-Sy	3	114,70	0,44	114,70	0,34	ELU
HIP.31	G+Sx+0,3*Sy	1	112,76	1,13	112,76	0,87	ELU
	G+Sx+0,3*Sy	2	130,00	1,14	130,00	0,87	ELU
	G+Sx+0,3*Sy	3	112,84	1,14	112,84	0,87	ELU
HIP.32	G+Sx-0,3*Sy	1	113,86	0,94	113,86	0,72	ELU
	G+Sx-0,3*Sy	2	127,59	0,95	127,59	0,72	ELU
	G+Sx-0,3*Sy	3	113,60	0,95	113,60	0,73	ELU
HIP.33	G-Sx+0,3*Sy	1	125,40	0,83	125,40	0,63	ELU
	G-Sx+0,3*Sy	2	110,79	0,82	110,79	0,63	ELU
	G-Sx+0,3*Sy	3	113,27	0,83	113,27	0,63	ELU
HIP.34	G-Sx-0,3*Sy	1	126,50	0,93	126,50	0,71	ELU
	G-Sx-0,3*Sy	2	108,38	0,93	108,38	0,71	ELU
	G-Sx-0,3*Sy	3	114,03	0,94	114,03	0,72	ELU
HIP.35	G+Sy+0,3*Sx	1	115,90	0,89	115,90	0,68	ELU
	G+Sy+0,3*Sx	2	126,09	0,89	126,09	0,68	ELU
	G+Sy+0,3*Sx	3	112,11	0,89	112,11	0,68	ELU
HIP.36	G+Sy-0,3*Sx	1	119,70	0,64	119,70	0,49	ELU
	G+Sy-0,3*Sx	2	120,32	0,64	120,32	0,49	ELU
	G+Sy-0,3*Sx	3	112,24	0,64	112,24	0,49	ELU
HIP.37	G-Sy+0,3*Sx	1	119,57	0,39	119,57	0,30	ELU
	G-Sy+0,3*Sx	2	118,05	0,40	118,05	0,30	ELU
	G-Sy+0,3*Sx	3	114,64	0,39	114,64	0,30	ELU
HIP.38	G-Sy-0,3*Sx	1	123,36	0,59	123,36	0,45	ELU
	G-Sy-0,3*Sx	2	112,28	0,59	112,28	0,45	ELU
	G-Sy-0,3*Sx	3	114,77	0,59	114,77	0,45	ELU
HIP.39	G+Sx+0,3*Q	1	121,28	1,09	121,28	0,83	ELU
	G+Sx+0,3*Q	2	136,74	1,09	136,74	0,84	ELU
	G+Sx+0,3*Q	3	120,29	1,10	120,29	0,84	ELU
HIP.40	G-Sx+0,3*Q	1	133,92	0,91	133,92	0,70	ELU
	G-Sx+0,3*Q	2	117,53	0,90	117,53	0,69	ELU
	G-Sx+0,3*Q	3	120,72	0,91	120,72	0,70	ELU
HIP.41	G+Sy+0,3*Q	1	125,77	0,81	125,77	0,62	ELU
	G+Sy+0,3*Q	2	131,15	0,81	131,15	0,62	ELU
	G+Sy+0,3*Q	3	119,24	0,81	119,24	0,62	ELU
HIP.42	G-Sy+0,3*Q	1	129,43	0,50	129,43	0,38	ELU
	G-Sy+0,3*Q	2	123,11	0,50	123,11	0,38	ELU
	G-Sy+0,3*Q	3	121,77	0,50	121,77	0,38	ELU
HIP.43	G+Sx+0,3*Sy+0,3*Q	1	120,73	1,18	120,73	0,90	ELU
	G+Sx+0,3*Sy+0,3*Q	2	137,94	1,19	137,94	0,91	ELU
	G+Sx+0,3*Sy+0,3*Q	3	119,91	1,19	119,91	0,91	ELU
HIP.44	G+Sx-0,3*Sy+0,3*Q	1	121,83	0,99	121,83	0,76	ELU
	G+Sx-0,3*Sy+0,3*Q	2	135,53	1,00	135,53	0,76	ELU
	G+Sx-0,3*Sy+0,3*Q	3	120,67	1,00	120,67	0,77	ELU
HIP.45	G-Sx+0,3*Sy+0,3*Q	1	133,37	0,87	133,37	0,66	ELU
	G-Sx+0,3*Sy+0,3*Q	2	118,73	0,86	118,73	0,66	ELU
	G-Sx+0,3*Sy+0,3*Q	3	120,34	0,87	120,34	0,67	ELU
HIP.46	G-Sx-0,3*Sy+0,3*Q	1	134,47	0,96	134,47	0,73	ELU
	G-Sx-0,3*Sy+0,3*Q	2	116,32	0,96	116,32	0,73	ELU
	G-Sx-0,3*Sy+0,3*Q	3	121,10	0,97	121,10	0,74	ELU
HIP.47	G+Sy+0,3*Sx+0,3*Q	1	123,87	0,95	123,87	0,73	ELU
	G+Sy+0,3*Sx+0,3*Q	2	134,03	0,96	134,03	0,73	ELU
	G+Sy+0,3*Sx+0,3*Q	3	119,17	0,96	119,17	0,73	ELU
HIP.48	G+Sy-0,3*Sx+0,3*Q	1	127,67	0,72	127,67	0,55	ELU
	G+Sy-0,3*Sx+0,3*Q	2	128,27	0,71	128,27	0,54	ELU
	G+Sy-0,3*Sx+0,3*Q	3	119,30	0,71	119,30	0,55	ELU
HIP.49	G-Sy+0,3*Sx+0,3*Q	1	127,54	0,47	127,54	0,36	ELU
	G-Sy+0,3*Sx+0,3*Q	2	125,99	0,47	125,99	0,36	ELU
	G-Sy+0,3*Sx+0,3*Q	3	121,71	0,47	121,71	0,36	ELU
HIP.50	G-Sy-0,3*Sx+0,3*Q	1	131,33	0,63	131,33	0,49	ELU
	G-Sy-0,3*Sx+0,3*Q	2	120,23	0,63	120,23	0,48	ELU
	G-Sy-0,3*Sx+0,3*Q	3	121,83	0,64	121,83	0,49	ELU
HIP.51	G+BOMB	1	119,57	0,53	119,57	0,41	ELU
	G+BOMB	2	119,07	0,53	119,07	0,41	ELU
	G+BOMB	3	113,09	0,53	113,09	0,41	ELU
HIP.52	G+BOMB+0,5*Q	1	132,86	0,66	132,86	0,50	ELU
	G+BOMB+0,5*Q	2	132,31	0,66	132,31	0,50	ELU
	G+BOMB+0,5*Q	3	124,86	0,66	124,86	0,50	ELU
HIP.53	G+BOMB+0,5*V361	1	121,01	0,55	121,01	0,42	ELU
	G+BOMB+0,5*V361	2	117,35	0,55	117,35	0,42	ELU
	G+BOMB+0,5*V361	3	112,88	0,55	112,88	0,42	ELU
HIP.54	G+BOMB+0,5*V362	1	120,94	0,55	120,94	0,42	ELU
	G+BOMB+0,5*V362	2	117,41	0,55	117,41	0,42	ELU
	G+BOMB+0,5*V362	3	112,91	0,55	112,91	0,42	ELU
HIP.55	G+BOMB+0,5*V363	1	118,14	0,55	118,14	0,42	ELU
	G+BOMB+0,5*V363	2	120,80	0,55	120,80	0,42	ELU
	G+BOMB+0,5*V363	3	113,30	0,55	113,30	0,42	ELU
HIP.56	G+BOMB+0,5*V364	1	118,21	0,55	118,21	0,42	ELU
	G+BOMB+0,5*V364	2	120,74	0,55	120,74	0,42	ELU
	G+BOMB+0,5*V364	3	113,26	0,55	113,26	0,42	ELU
HIP.57	G+BOMB+0,5*V365	1	117,85	0,35	117,85	0,27	ELU
	G+BOMB+0,5*V365	2	119,31	0,34	119,31	0,26	ELU

	G+BOMB+0,5*V365	3	115,43	0,34	115,43	0,26	ELU
HIP.58	G+BOMB+0,5*V366	1	118,71	0,36	118,71	0,27	ELU
	G+BOMB+0,5*V366	2	118,56	0,36	118,56	0,27	ELU
	G+BOMB+0,5*V366	3	114,98	0,36	114,98	0,27	ELU
HIP.59	G+BOMB+0,5*V367	1	121,30	0,75	121,30	0,57	ELU
	G+BOMB+0,5*V367	2	118,84	0,75	118,84	0,58	ELU
	G+BOMB+0,5*V367	3	110,74	0,75	110,74	0,57	ELU
HIP.60	G+BOMB+0,5*V368	1	120,44	0,71	120,44	0,54	ELU
	G+BOMB+0,5*V368	2	119,59	0,71	119,59	0,54	ELU
	G+BOMB+0,5*V368	3	111,19	0,71	111,19	0,54	ELU
HIP.61	G+BOMB+0,5*V1+0,3*Q	1	128,98	0,63	128,98	0,48	ELU
	G+BOMB+0,5*V1+0,3*Q	2	125,29	0,63	125,29	0,48	ELU
	G+BOMB+0,5*V1+0,3*Q	3	119,94	0,63	119,94	0,48	ELU
HIP.62	G+BOMB+0,5*V2+0,3*Q	1	128,91	0,62	128,91	0,48	ELU
	G+BOMB+0,5*V2+0,3*Q	2	125,35	0,62	125,35	0,48	ELU
	G+BOMB+0,5*V2+0,3*Q	3	119,98	0,62	119,98	0,48	ELU
HIP.63	G+BOMB+0,5*V3+0,3*Q	1	126,11	0,63	126,11	0,48	ELU
	G+BOMB+0,5*V3+0,3*Q	2	128,74	0,63	128,74	0,48	ELU
	G+BOMB+0,5*V3+0,3*Q	3	120,36	0,63	120,36	0,48	ELU
HIP.64	G+BOMB+0,5*V4+0,3*Q	1	126,18	0,63	126,18	0,48	ELU
	G+BOMB+0,5*V4+0,3*Q	2	128,68	0,63	128,68	0,48	ELU
	G+BOMB+0,5*V4+0,3*Q	3	120,33	0,63	120,33	0,48	ELU
HIP.65	G+BOMB+0,5*V5+0,3*Q	1	125,82	0,42	125,82	0,32	ELU
	G+BOMB+0,5*V5+0,3*Q	2	127,25	0,42	127,25	0,32	ELU
	G+BOMB+0,5*V5+0,3*Q	3	122,50	0,42	122,50	0,32	ELU
HIP.66	G+BOMB+0,5*V6+0,3*Q	1	126,68	0,43	126,68	0,33	ELU
	G+BOMB+0,5*V6+0,3*Q	2	126,51	0,43	126,51	0,33	ELU
	G+BOMB+0,5*V6+0,3*Q	3	122,05	0,43	122,05	0,33	ELU
HIP.67	G+BOMB+0,5*V7+0,3*Q	1	129,27	0,82	129,27	0,63	ELU
	G+BOMB+0,5*V7+0,3*Q	2	126,78	0,83	126,78	0,63	ELU
	G+BOMB+0,5*V7+0,3*Q	3	117,81	0,83	117,81	0,63	ELU
HIP.68	G+BOMB+0,5*V8+0,3*Q	1	128,41	0,78	128,41	0,60	ELU
	G+BOMB+0,5*V8+0,3*Q	2	127,53	0,78	127,53	0,60	ELU
	G+BOMB+0,5*V8+0,3*Q	3	118,26	0,78	118,26	0,60	ELU

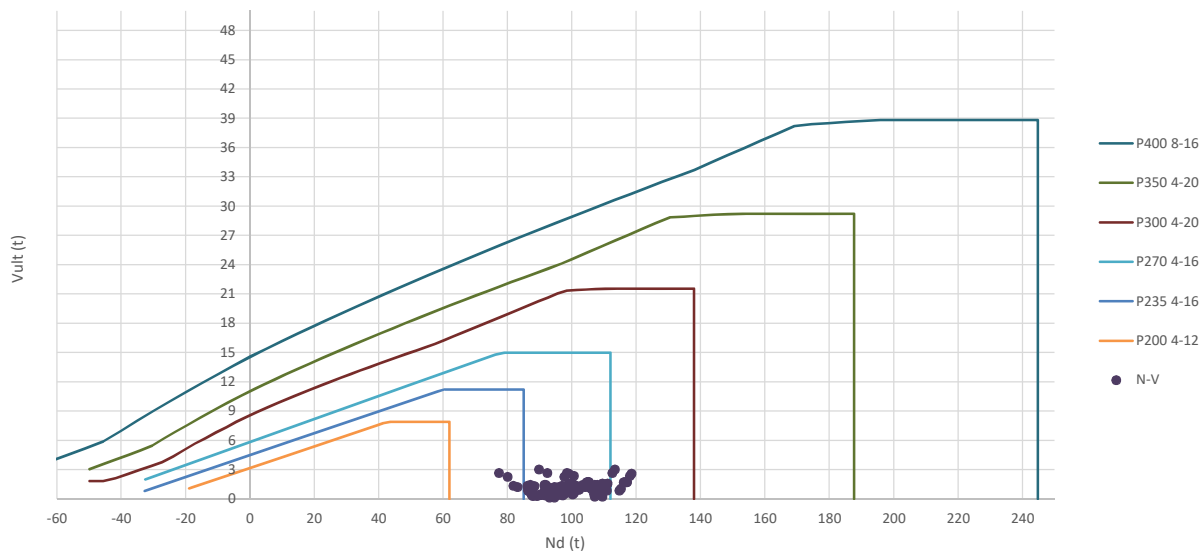
Seccion (mm.)	e _x (m.)	e _y (m.)	Henc. (m.)
300	0,00	1,20	0,95
COMPROBACIÓN (compresión)	CUMPLE		
MAX. AXIL	118,49		(TON)
MIN. AXIL	0,00		(TON)
COMPROBACIÓN (tracción)	CUMPLE		

L.1(m)	0,00
L.2(m)	0,00
L.Influenc.(m)	0,00
CERRAM.(ton.)	0,00
αx (inclinación)	0,00
αy (inclinación)	0,00

Curva de resistencia axil-momento (en cualquier dirección)



Curva de resistencia axil-cortante



PILAR: P46



COMPROBACIÓN ESFUERZOS:

P18147P Parcela R20

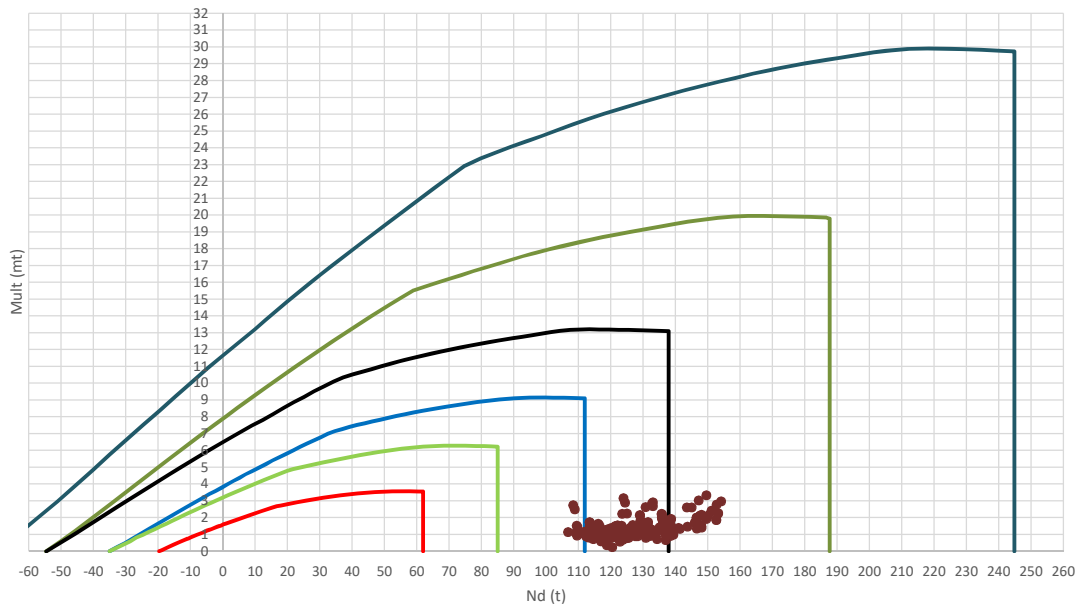
	LC: COMB.	nº PILOTE	N _{pilote} (T) a ras de suelo	M ult. Pilote (mT)	N _{pilote} (T) a ras de suelo	V ult-Pilote (T)	ESTADO LIMITE
HIP.1	G	1	95,31	1,34	95,31	1,19	ELS
	G	2	87,26	1,34	87,26	1,19	ELS
HIP.2	G+Q	1	116,61	1,92	116,61	1,72	ELS
	G+Q	2	104,92	1,92	104,92	1,72	ELS
HIP.3	G+V369	1	96,11	1,38	96,11	1,23	ELS
	G+V369	2	87,68	1,38	87,68	1,23	ELS
HIP.4	G+V370	1	96,05	1,35	96,05	1,20	ELS
	G+V370	2	87,89	1,35	87,89	1,20	ELS
HIP.5	G+V371	1	94,51	1,34	94,51	1,19	ELS
	G+V371	2	86,83	1,34	86,83	1,19	ELS
HIP.6	G+V372	1	94,58	1,37	94,58	1,22	ELS
	G+V372	2	86,62	1,37	86,62	1,22	ELS
HIP.7	G+V373	1	92,18	0,40	92,18	0,35	ELS
	G+V373	2	97,14	0,40	97,14	0,35	ELS
HIP.8	G+V374	1	93,01	0,17	93,01	0,15	ELS
	G+V374	2	94,52	0,17	94,52	0,15	ELS
HIP.9	G+V375	1	98,45	3,00	98,45	2,67	ELS
	G+V375	2	77,37	3,00	77,37	2,67	ELS
HIP.10	G+V376	1	97,61	2,56	97,61	2,29	ELS
	G+V376	2	80,00	2,56	80,00	2,29	ELS
HIP.11	G+Q+0,6*V369	1	117,09	1,94	117,09	1,73	ELS
	G+Q+0,6*V369	2	105,18	1,94	105,18	1,73	ELS
HIP.12	G+Q+0,6*V370	1	117,05	1,92	117,05	1,71	ELS
	G+Q+0,6*V370	2	105,30	1,92	105,30	1,71	ELS
HIP.13	G+Q+0,6*V371	1	116,13	1,92	116,13	1,71	ELS
	G+Q+0,6*V371	2	104,67	1,92	104,67	1,71	ELS
HIP.14	G+Q+0,6*V372	1	116,17	1,94	116,17	1,73	ELS
	G+Q+0,6*V372	2	104,54	1,94	104,54	1,73	ELS
HIP.15	G+Q+0,6*V373	1	114,73	0,95	114,73	0,85	ELS
	G+Q+0,6*V373	2	110,85	0,95	110,85	0,85	ELS
HIP.16	G+Q+0,6*V374	1	115,23	1,19	115,23	1,07	ELS
	G+Q+0,6*V374	2	109,28	1,19	109,28	1,07	ELS
HIP.17	G+Q+0,6*V375	1	118,49	2,92	118,49	2,60	ELS
	G+Q+0,6*V375	2	98,99	2,92	98,99	2,60	ELS
HIP.18	G+Q+0,6*V376	1	117,99	2,66	117,99	2,37	ELS
	G+Q+0,6*V376	2	100,57	2,66	100,57	2,37	ELS
HIP.19	G+V1+0,7*Q	1	111,02	1,79	111,02	1,59	ELS
	G+V1+0,7*Q	2	100,05	1,79	100,05	1,59	ELS
HIP.20	G+V2+0,7*Q	1	110,95	1,75	110,95	1,56	ELS
	G+V2+0,7*Q	2	100,26	1,75	100,26	1,56	ELS
HIP.21	G+V3+0,7*Q	1	109,42	1,74	109,42	1,55	ELS
	G+V3+0,7*Q	2	99,20	1,74	99,20	1,55	ELS
HIP.22	G+V4+0,7*Q	1	109,48	1,77	109,48	1,58	ELS
	G+V4+0,7*Q	2	98,99	1,77	98,99	1,58	ELS
HIP.23	G+V5+0,7*Q	1	107,08	0,28	107,08	0,25	ELS
	G+V5+0,7*Q	2	109,51	0,28	109,51	0,25	ELS
HIP.24	G+V6+0,7*Q	1	107,92	0,54	107,92	0,48	ELS
	G+V6+0,7*Q	2	106,88	0,54	106,88	0,48	ELS
HIP.25	G+V7+0,7*Q	1	113,35	3,40	113,35	3,04	ELS
	G+V7+0,7*Q	2	89,74	3,40	89,74	3,04	ELS
HIP.26	G+V8+0,7*Q	1	112,52	2,97	112,52	2,65	ELS
	G+V8+0,7*Q	2	92,36	2,97	92,36	2,65	ELS
HIP.27	G+Sx	1	99,16	1,38	99,16	1,23	ELU
	G+Sx	2	86,30	1,38	86,30	1,23	ELU
HIP.28	G-Sx	1	91,46	0,54	91,46	0,48	ELU
	G-Sx	2	88,22	0,54	88,22	0,48	ELU
HIP.29	G+Sy	1	100,29	1,36	100,29	1,22	ELU
	G+Sy	2	86,89	1,36	86,89	1,22	ELU
HIP.30	G-Sy	1	90,33	0,44	90,33	0,39	ELU
	G-Sy	2	87,62	0,44	87,62	0,39	ELU
HIP.31	G+Sx+0,3*Sy	1	100,65	1,52	100,65	1,36	ELU
	G+Sx+0,3*Sy	2	86,19	1,52	86,19	1,36	ELU
HIP.32	G+Sx-0,3*Sy	1	97,67	1,24	97,67	1,10	ELU
	G+Sx-0,3*Sy	2	86,41	1,24	86,41	1,10	ELU
HIP.33	G-Sx+0,3*Sy	1	92,96	0,65	92,96	0,58	ELU
	G-Sx+0,3*Sy	2	88,11	0,65	88,11	0,58	ELU
HIP.34	G-Sx-0,3*Sy	1	89,97	0,46	89,97	0,41	ELU
	G-Sx-0,3*Sy	2	88,32	0,46	88,32	0,41	ELU
HIP.35	G+Sy+0,3*Sx	1	101,45	1,51	101,45	1,34	ELU
	G+Sy+0,3*Sx	2	86,61	1,51	86,61	1,34	ELU
HIP.36	G+Sy-0,3*Sx	1	99,14	1,22	99,14	1,09	ELU
	G+Sy-0,3*Sx	2	87,18	1,22	87,18	1,09	ELU
HIP.37	G-Sy+0,3*Sx	1	91,49	0,56	91,49	0,50	ELU
	G-Sy+0,3*Sx	2	87,33	0,56	87,33	0,50	ELU
HIP.38	G-Sy-0,3*Sx	1	89,18	0,35	89,18	0,31	ELU
	G-Sy-0,3*Sx	2	87,91	0,35	87,91	0,31	ELU
HIP.39	G+Sx+0,3*Q	1	105,55	1,49	105,55	1,33	ELU
	G+Sx+0,3*Q	2	91,60	1,49	91,60	1,33	ELU
HIP.40	G-Sx+0,3*Q	1	97,85	0,64	97,85	0,57	ELU

	G-Sx+0,3*Q	2	93,51	0,64	93,51	0,57	ELU
HIP.41	G+Sy+0,3*Q	1	106,68	1,48	106,68	1,32	ELU
	G+Sy+0,3*Q	2	92,19	1,48	92,19	1,32	ELU
HIP.42	G-Sy+0,3*Q	1	96,72	0,55	96,72	0,49	ELU
	G-Sy+0,3*Q	2	92,92	0,55	92,92	0,49	ELU
HIP.43	G+Sx+0,3*Sy+0,3*Q	1	107,04	1,64	107,04	1,46	ELU
	G+Sx+0,3*Sy+0,3*Q	2	91,49	1,64	91,49	1,46	ELU
HIP.44	G+Sx-0,3*Sy+0,3*Q	1	104,05	1,35	104,05	1,20	ELU
	G+Sx-0,3*Sy+0,3*Q	2	91,71	1,35	91,71	1,20	ELU
HIP.45	G-Sx+0,3*Sy+0,3*Q	1	99,35	0,75	99,35	0,67	ELU
	G-Sx+0,3*Sy+0,3*Q	2	93,41	0,75	93,41	0,67	ELU
HIP.46	G-Sx-0,3*Sy+0,3*Q	1	96,36	0,54	96,36	0,48	ELU
	G-Sx-0,3*Sy+0,3*Q	2	93,62	0,54	93,62	0,48	ELU
HIP.47	G+Sy+0,3*Sx+0,3*Q	1	107,83	1,62	107,83	1,45	ELU
	G+Sy+0,3*Sx+0,3*Q	2	91,91	1,62	91,91	1,45	ELU
HIP.48	G+Sy-0,3*Sx+0,3*Q	1	105,53	1,34	105,53	1,20	ELU
	G+Sy-0,3*Sx+0,3*Q	2	92,48	1,34	92,48	1,20	ELU
HIP.49	G-Sy+0,3*Sx+0,3*Q	1	97,87	0,68	97,87	0,60	ELU
	G-Sy+0,3*Sx+0,3*Q	2	92,63	0,68	92,63	0,60	ELU
HIP.50	G-Sy-0,3*Sx+0,3*Q	1	95,57	0,45	95,57	0,40	ELU
	G-Sy-0,3*Sx+0,3*Q	2	93,21	0,45	93,21	0,40	ELU
HIP.51	G+BOMB	1	95,41	0,95	95,41	0,85	ELU
	G+BOMB	2	86,71	0,95	86,71	0,85	ELU
HIP.52	G+BOMB+0,5*Q	1	106,06	1,14	106,06	1,02	ELU
	G+BOMB+0,5*Q	2	95,54	1,14	95,54	1,02	ELU
HIP.53	G+BOMB+0,5*V369	1	95,81	0,96	95,81	0,86	ELU
	G+BOMB+0,5*V369	2	86,92	0,96	86,92	0,86	ELU
HIP.54	G+BOMB+0,5*V370	1	95,78	0,95	95,78	0,85	ELU
	G+BOMB+0,5*V370	2	87,03	0,95	87,03	0,85	ELU
HIP.55	G+BOMB+0,5*V371	1	95,01	0,94	95,01	0,84	ELU
	G+BOMB+0,5*V371	2	86,50	0,94	86,50	0,84	ELU
HIP.56	G+BOMB+0,5*V372	1	95,04	0,95	95,04	0,85	ELU
	G+BOMB+0,5*V372	2	86,39	0,95	86,39	0,85	ELU
HIP.57	G+BOMB+0,5*V373	1	93,84	0,41	93,84	0,36	ELU
	G+BOMB+0,5*V373	2	91,65	0,41	91,65	0,36	ELU
HIP.58	G+BOMB+0,5*V374	1	94,26	0,54	94,26	0,48	ELU
	G+BOMB+0,5*V374	2	90,34	0,54	90,34	0,48	ELU
HIP.59	G+BOMB+0,5*V375	1	96,98	1,50	96,98	1,34	ELU
	G+BOMB+0,5*V375	2	81,77	1,50	81,77	1,34	ELU
HIP.60	G+BOMB+0,5*V376	1	96,56	1,36	96,56	1,21	ELU
	G+BOMB+0,5*V376	2	83,08	1,36	83,08	1,21	ELU
HIP.61	G+BOMB+0,5*V1+0,3*Q	1	102,20	1,08	102,20	0,96	ELU
	G+BOMB+0,5*V1+0,3*Q	2	92,22	1,08	92,22	0,96	ELU
HIP.62	G+BOMB+0,5*V2+0,3*Q	1	102,17	1,06	102,17	0,95	ELU
	G+BOMB+0,5*V2+0,3*Q	2	92,33	1,06	92,33	0,95	ELU
HIP.63	G+BOMB+0,5*V3+0,3*Q	1	101,40	1,06	101,40	0,95	ELU
	G+BOMB+0,5*V3+0,3*Q	2	91,80	1,06	91,80	0,95	ELU
HIP.64	G+BOMB+0,5*V4+0,3*Q	1	101,43	1,07	101,43	0,95	ELU
	G+BOMB+0,5*V4+0,3*Q	2	91,69	1,07	91,69	0,95	ELU
HIP.65	G+BOMB+0,5*V5+0,3*Q	1	100,23	0,52	100,23	0,47	ELU
	G+BOMB+0,5*V5+0,3*Q	2	96,95	0,52	96,95	0,47	ELU
HIP.66	G+BOMB+0,5*V6+0,3*Q	1	100,65	0,66	100,65	0,59	ELU
	G+BOMB+0,5*V6+0,3*Q	2	95,64	0,66	95,64	0,59	ELU
HIP.67	G+BOMB+0,5*V7+0,3*Q	1	103,36	1,62	103,36	1,44	ELU
	G+BOMB+0,5*V7+0,3*Q	2	87,07	1,62	87,07	1,44	ELU
HIP.68	G+BOMB+0,5*V8+0,3*Q	1	102,95	1,47	102,95	1,31	ELU
	G+BOMB+0,5*V8+0,3*Q	2	88,38	1,47	88,38	1,31	ELU

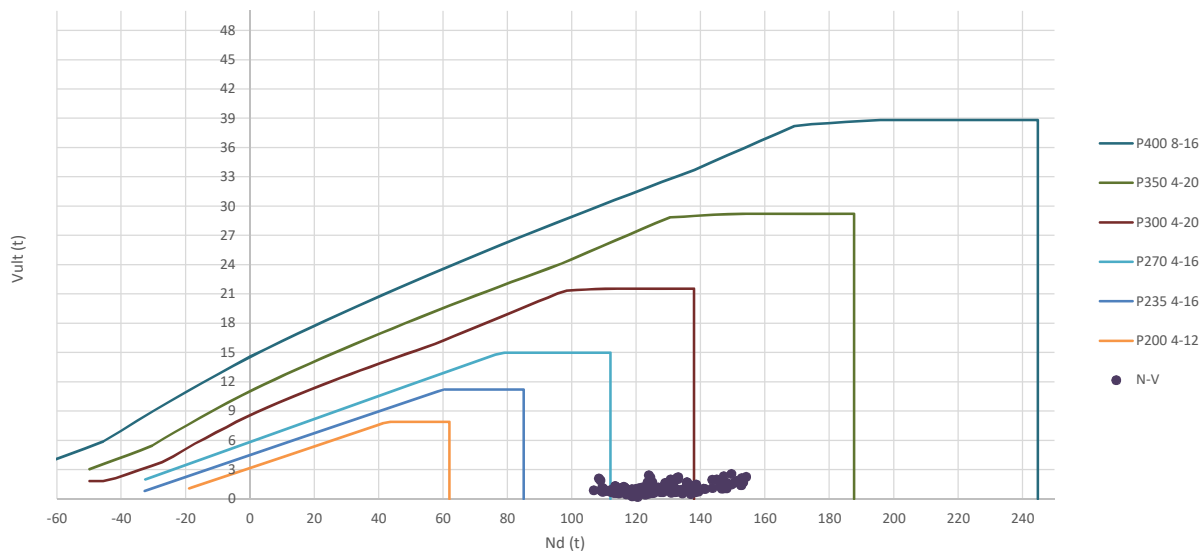
Seccion (mm.)	e _x (m.)	e _y (m.)	Henc. (m.)
350	1,25	1,25	1,10
COMPROBACIÓN (compresión)	CUMPLE		
MAX. AXIL	154,11		(TON)
MIN. AXIL	0,00		(TON)
COMPROBACIÓN (tracción)	CUMPLE		

L.1(m)	0,00
L.2(m)	0,00
L.Influenc.(m)	0,00
CERRAM.(ton.)	0,00
αx (inclinación)	0,00
αy (inclinación)	0,00

Curva de resistencia axil-momento (en cualquier dirección)



Curva de resistencia axil-cortante



PILAR: P47-P48



COMPROBACIÓN ESFUERZOS:

P18147P Parcela R20

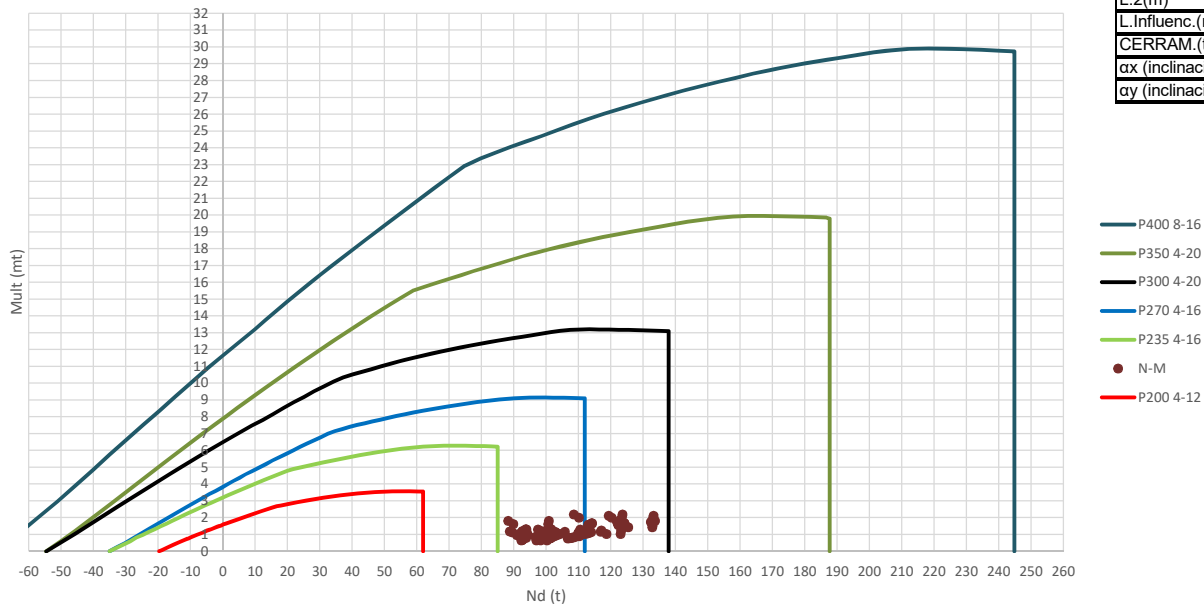
	LC: COMB.	nº PILOTE	N _{pilote} (T) a ras de suelo	M ult. Pilote (mT)	N _{pilote} (T) a ras de suelo	V ult.-Pilote (T)	ESTADO LIMITE
HIP.1	G	1	126,74	1,57	126,74	1,20	ELS
	G	2	120,95	1,39	120,95	1,06	ELS
	G	3	113,53	1,52	113,53	1,16	ELS
HIP.2	G+Q	1	150,32	2,16	150,32	1,65	ELS
	G+Q	2	149,57	1,92	149,57	1,47	ELS
	G+Q	3	135,77	2,11	135,77	1,61	ELS
HIP.3	G+V377	1	131,55	1,74	131,55	1,33	ELS
	G+V377	2	115,83	1,54	115,83	1,18	ELS
	G+V377	3	113,42	1,75	113,42	1,33	ELS
HIP.4	G+V378	1	131,35	1,71	131,35	1,31	ELS
	G+V378	2	115,95	1,54	115,95	1,17	ELS
	G+V378	3	113,46	1,71	113,46	1,31	ELS
HIP.5	G+V379	1	121,93	1,52	121,93	1,16	ELS
	G+V379	2	126,07	1,39	126,07	1,06	ELS
	G+V379	3	113,65	1,45	113,65	1,11	ELS
HIP.6	G+V380	1	122,13	1,55	122,13	1,18	ELS
	G+V380	2	125,95	1,39	125,95	1,06	ELS
	G+V380	3	113,60	1,46	113,60	1,12	ELS
HIP.7	G+V381	1	120,43	0,25	120,43	0,19	ELS
	G+V381	2	118,39	0,55	118,39	0,42	ELS
	G+V381	3	118,72	0,36	118,72	0,28	ELS
HIP.8	G+V382	1	122,78	0,57	122,78	0,44	ELS
	G+V382	2	116,92	0,59	116,92	0,45	ELS
	G+V382	3	118,21	0,57	118,21	0,44	ELS
HIP.9	G+V383	1	133,05	2,93	133,05	2,24	ELS
	G+V383	2	123,51	2,24	123,51	1,71	ELS
	G+V383	3	108,35	2,75	108,35	2,10	ELS
HIP.10	G+V384	1	130,70	2,63	130,70	2,01	ELS
	G+V384	2	124,97	2,25	124,97	1,72	ELS
	G+V384	3	108,85	2,49	108,85	1,91	ELS
HIP.11	G+Q+0,6*V377	1	153,21	2,26	153,21	1,73	ELS
	G+Q+0,6*V377	2	146,50	2,00	146,50	1,53	ELS
	G+Q+0,6*V377	3	135,71	2,24	135,71	1,71	ELS
HIP.12	G+Q+0,6*V378	1	153,09	2,25	153,09	1,72	ELS
	G+Q+0,6*V378	2	146,57	2,00	146,57	1,53	ELS
	G+Q+0,6*V378	3	135,73	2,22	135,73	1,70	ELS
HIP.13	G+Q+0,6*V379	1	147,44	2,10	147,44	1,60	ELS
	G+Q+0,6*V379	2	152,64	1,87	152,64	1,43	ELS
	G+Q+0,6*V379	3	135,84	2,02	135,84	1,54	ELS
HIP.14	G+Q+0,6*V380	1	147,56	2,11	147,56	1,62	ELS
	G+Q+0,6*V380	2	152,57	1,87	152,57	1,43	ELS
	G+Q+0,6*V380	3	135,82	2,03	135,82	1,55	ELS
HIP.15	G+Q+0,6*V381	1	146,54	1,36	146,54	1,04	ELS
	G+Q+0,6*V381	2	148,03	1,41	148,03	1,08	ELS
	G+Q+0,6*V381	3	138,89	1,37	138,89	1,05	ELS
HIP.16	G+Q+0,6*V382	1	147,95	1,55	147,95	1,19	ELS
	G+Q+0,6*V382	2	147,16	1,43	147,16	1,09	ELS
	G+Q+0,6*V382	3	138,58	1,54	138,58	1,18	ELS
HIP.17	G+Q+0,6*V383	1	154,11	2,97	154,11	2,27	ELS
	G+Q+0,6*V383	2	151,11	2,42	151,11	1,85	ELS
	G+Q+0,6*V383	3	132,66	2,85	132,66	2,18	ELS
HIP.18	G+Q+0,6*V384	1	152,70	2,79	152,70	2,13	ELS
	G+Q+0,6*V384	2	151,98	2,42	151,98	1,85	ELS
	G+Q+0,6*V384	3	132,97	2,69	132,97	2,06	ELS
HIP.19	G+V1+0,7*Q	1	148,06	2,17	148,06	1,66	ELS
	G+V1+0,7*Q	2	135,86	1,91	135,86	1,46	ELS
	G+V1+0,7*Q	3	128,99	2,16	128,99	1,65	ELS
HIP.20	G+V2+0,7*Q	1	147,86	2,14	147,86	1,63	ELS
	G+V2+0,7*Q	2	135,99	1,91	135,99	1,46	ELS
	G+V2+0,7*Q	3	129,03	2,13	129,03	1,63	ELS
HIP.21	G+V3+0,7*Q	1	138,44	1,90	138,44	1,45	ELS
	G+V3+0,7*Q	2	146,11	1,72	146,11	1,32	ELS
	G+V3+0,7*Q	3	129,22	1,82	129,22	1,39	ELS
HIP.22	G+V4+0,7*Q	1	138,64	1,93	138,64	1,48	ELS
	G+V4+0,7*Q	2	145,98	1,72	145,98	1,31	ELS
	G+V4+0,7*Q	3	129,17	1,83	129,17	1,40	ELS
HIP.23	G+V5+0,7*Q	1	136,94	0,66	136,94	0,51	ELS
	G+V5+0,7*Q	2	138,42	0,92	138,42	0,70	ELS
	G+V5+0,7*Q	3	134,29	0,72	134,29	0,55	ELS
HIP.24	G+V6+0,7*Q	1	139,29	0,99	139,29	0,75	ELS
	G+V6+0,7*Q	2	136,96	0,96	136,96	0,74	ELS
	G+V6+0,7*Q	3	133,78	0,99	133,78	0,76	ELS
HIP.25	G+V7+0,7*Q	1	149,56	3,34	149,56	2,55	ELS
	G+V7+0,7*Q	2	143,55	2,60	143,55	1,99	ELS
	G+V7+0,7*Q	3	123,92	3,16	123,92	2,42	ELS
HIP.26	G+V8+0,7*Q	1	147,21	3,03	147,21	2,32	ELS
	G+V8+0,7*Q	2	145,01	2,61	145,01	1,99	ELS
	G+V8+0,7*Q	3	124,42	2,90	124,42	2,22	ELS
HIP.27	G+Sx	1	129,44	1,48	129,44	1,13	ELU

	G+Sx	2	132,78	1,27	132,78	0,97	ELU
	G+Sx	3	116,54	1,32	116,54	1,01	ELU
HIP.28	G-Sx	1	124,04	1,12	124,04	0,85	ELU
	G-Sx	2	109,11	1,11	109,11	0,85	ELU
	G-Sx	3	110,53	1,12	110,53	0,86	ELU
HIP.29	G+Sy	1	128,82	1,43	128,82	1,09	ELU
	G+Sy	2	128,78	1,20	128,78	0,91	ELU
	G+Sy	3	113,89	1,31	113,89	1,00	ELU
HIP.30	G-Sy	1	124,65	0,83	124,65	0,64	ELU
	G-Sy	2	113,12	0,83	113,12	0,63	ELU
	G-Sy	3	113,17	0,83	113,17	0,64	ELU
HIP.31	G+Sx+0,3*Sy	1	130,07	1,63	130,07	1,25	ELU
	G+Sx+0,3*Sy	2	135,13	1,39	135,13	1,06	ELU
	G+Sx+0,3*Sy	3	116,64	1,44	116,64	1,10	ELU
HIP.32	G+Sx-0,3*Sy	1	128,82	1,34	128,82	1,02	ELU
	G+Sx-0,3*Sy	2	130,43	1,15	130,43	0,88	ELU
	G+Sx-0,3*Sy	3	116,43	1,20	116,43	0,92	ELU
HIP.33	G-Sx+0,3*Sy	1	124,66	1,11	124,66	0,85	ELU
	G-Sx+0,3*Sy	2	111,46	1,08	111,46	0,83	ELU
	G-Sx+0,3*Sy	3	110,64	1,13	110,64	0,86	ELU
HIP.34	G-Sx-0,3*Sy	1	123,41	1,14	123,41	0,87	ELU
	G-Sx-0,3*Sy	2	106,76	1,15	106,76	0,88	ELU
	G-Sx-0,3*Sy	3	110,42	1,13	110,42	0,86	ELU
HIP.35	G+Sy+0,3*Sx	1	129,63	1,58	129,63	1,21	ELU
	G+Sy+0,3*Sx	2	132,33	1,32	132,33	1,01	ELU
	G+Sy+0,3*Sx	3	114,79	1,41	114,79	1,08	ELU
HIP.36	G+Sy-0,3*Sx	1	128,01	1,31	128,01	1,00	ELU
	G+Sy-0,3*Sx	2	125,23	1,11	125,23	0,85	ELU
	G+Sy-0,3*Sx	3	112,99	1,24	112,99	0,94	ELU
HIP.37	G-Sy+0,3*Sx	1	125,47	0,81	125,47	0,62	ELU
	G-Sy+0,3*Sx	2	116,67	0,78	116,67	0,59	ELU
	G-Sy+0,3*Sx	3	114,07	0,81	114,07	0,62	ELU
HIP.38	G-Sy-0,3*Sx	1	123,84	0,92	123,84	0,70	ELU
	G-Sy-0,3*Sx	2	109,57	0,93	109,57	0,71	ELU
	G-Sy-0,3*Sx	3	112,27	0,91	112,27	0,69	ELU
HIP.39	G+Sx+0,3*Q	1	136,52	1,58	136,52	1,20	ELU
	G+Sx+0,3*Q	2	141,37	1,34	141,37	1,03	ELU
	G+Sx+0,3*Q	3	123,21	1,41	123,21	1,08	ELU
HIP.40	G-Sx+0,3*Q	1	131,11	1,22	131,11	0,93	ELU
	G-Sx+0,3*Q	2	117,70	1,20	117,70	0,92	ELU
	G-Sx+0,3*Q	3	117,20	1,23	117,20	0,94	ELU
HIP.41	G+Sy+0,3*Q	1	135,90	1,54	135,90	1,18	ELU
	G+Sy+0,3*Q	2	137,37	1,29	137,37	0,98	ELU
	G+Sy+0,3*Q	3	120,56	1,42	120,56	1,08	ELU
HIP.42	G-Sy+0,3*Q	1	131,73	0,95	131,73	0,72	ELU
	G-Sy+0,3*Q	2	121,70	0,93	121,70	0,71	ELU
	G-Sy+0,3*Q	3	119,85	0,95	119,85	0,73	ELU
HIP.43	G+Sx+0,3*Sy+0,3*Q	1	137,14	1,72	137,14	1,32	ELU
	G+Sx+0,3*Sy+0,3*Q	2	143,72	1,46	143,72	1,12	ELU
	G+Sx+0,3*Sy+0,3*Q	3	123,32	1,52	123,32	1,16	ELU
HIP.44	G+Sx-0,3*Sy+0,3*Q	1	135,89	1,43	135,89	1,09	ELU
	G+Sx-0,3*Sy+0,3*Q	2	139,02	1,23	139,02	0,94	ELU
	G+Sx-0,3*Sy+0,3*Q	3	123,10	1,30	123,10	0,99	ELU
HIP.45	G-Sx+0,3*Sy+0,3*Q	1	131,74	1,22	131,74	0,94	ELU
	G-Sx+0,3*Sy+0,3*Q	2	120,05	1,18	120,05	0,90	ELU
	G-Sx+0,3*Sy+0,3*Q	3	117,31	1,24	117,31	0,95	ELU
HIP.46	G-Sx-0,3*Sy+0,3*Q	1	130,49	1,24	130,49	0,94	ELU
	G-Sx-0,3*Sy+0,3*Q	2	115,35	1,24	115,35	0,95	ELU
	G-Sx-0,3*Sy+0,3*Q	3	117,09	1,23	117,09	0,94	ELU
HIP.47	G+Sy+0,3*Sx+0,3*Q	1	136,71	1,68	136,71	1,28	ELU
	G+Sy+0,3*Sx+0,3*Q	2	140,92	1,40	140,92	1,07	ELU
	G+Sy+0,3*Sx+0,3*Q	3	121,46	1,51	121,46	1,15	ELU
HIP.48	G+Sy-0,3*Sx+0,3*Q	1	135,09	1,43	135,09	1,09	ELU
	G+Sy-0,3*Sx+0,3*Q	2	133,82	1,21	133,82	0,93	ELU
	G+Sy-0,3*Sx+0,3*Q	3	119,66	1,35	119,66	1,03	ELU
HIP.49	G-Sy+0,3*Sx+0,3*Q	1	132,54	0,93	132,54	0,71	ELU
	G-Sy+0,3*Sx+0,3*Q	2	125,25	0,88	125,25	0,68	ELU
	G-Sy+0,3*Sx+0,3*Q	3	120,75	0,93	120,75	0,71	ELU
HIP.50	G-Sy-0,3*Sx+0,3*Q	1	130,92	1,02	130,92	0,78	ELU
	G-Sy-0,3*Sx+0,3*Q	2	118,15	1,03	118,15	0,79	ELU
	G-Sy-0,3*Sx+0,3*Q	3	118,95	1,01	118,95	0,78	ELU
HIP.51	G+BOMB	1	126,90	1,14	126,90	0,87	ELU
	G+BOMB	2	120,98	1,07	120,98	0,82	ELU
	G+BOMB	3	112,00	1,12	112,00	0,85	ELU
HIP.52	G+BOMB+0,5*Q	1	138,69	1,34	138,69	1,02	ELU
	G+BOMB+0,5*Q	2	135,29	1,24	135,29	0,95	ELU
	G+BOMB+0,5*Q	3	123,12	1,31	123,12	1,00	ELU
HIP.53	G+BOMB+0,5*V377	1	129,30	1,18	129,30	0,91	ELU
	G+BOMB+0,5*V377	2	118,42	1,10	118,42	0,84	ELU
	G+BOMB+0,5*V377	3	111,94	1,17	111,94	0,89	ELU
HIP.54	G+BOMB+0,5*V378	1	129,20	1,17	129,20	0,90	ELU
	G+BOMB+0,5*V378	2	118,48	1,10	118,48	0,84	ELU
	G+BOMB+0,5*V378	3	111,96	1,16	111,96	0,89	ELU
HIP.55	G+BOMB+0,5*V379	1	124,50	1,11	124,50	0,85	ELU
	G+BOMB+0,5*V379	2	123,54	1,06	123,54	0,81	ELU
	G+BOMB+0,5*V379	3	112,06	1,09	112,06	0,83	ELU
HIP.56	G+BOMB+0,5*V380	1	124,59	1,12	124,59	0,86	ELU
	G+BOMB+0,5*V380	2	123,48	1,06	123,48	0,81	ELU
	G+BOMB+0,5*V380	3	112,04	1,09	112,04	0,84	ELU
HIP.57	G+BOMB+0,5*V381	1	123,74	0,69	123,74	0,53	ELU
	G+BOMB+0,5*V381	2	119,70	0,79	119,70	0,60	ELU

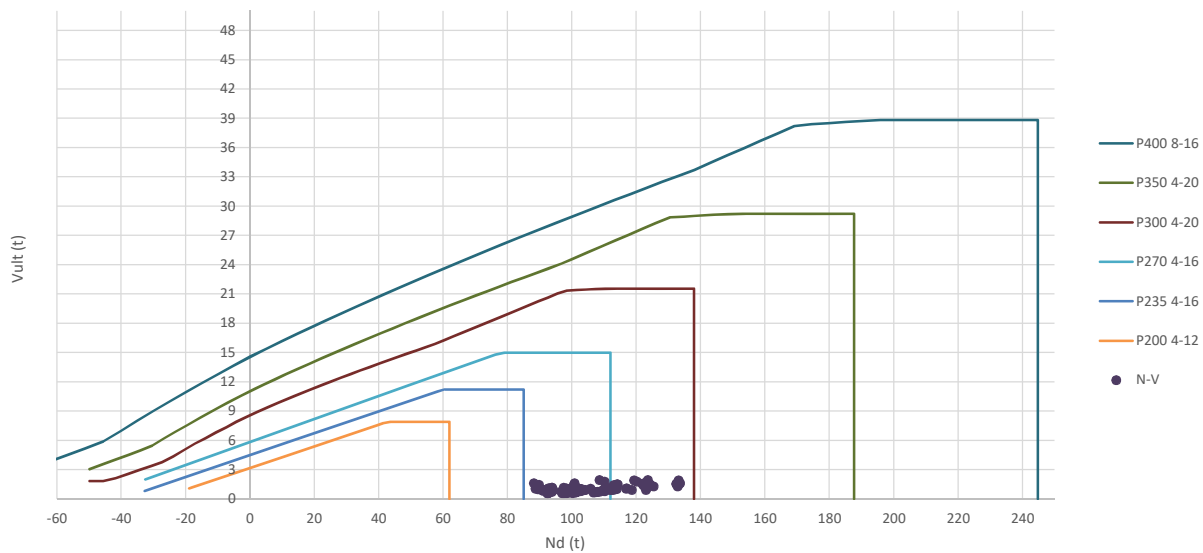
	G+BOMB+0,5*V381	3	114,59	0,72	114,59	0,55	ELU
HIP.58	G+BOMB+0,5*V382	1	124,92	0,79	124,92	0,60	ELU
	G+BOMB+0,5*V382	2	118,97	0,79	118,97	0,60	ELU
	G+BOMB+0,5*V382	3	114,34	0,79	114,34	0,60	ELU
HIP.59	G+BOMB+0,5*V383	1	130,06	1,59	130,06	1,22	ELU
	G+BOMB+0,5*V383	2	122,26	1,35	122,26	1,03	ELU
	G+BOMB+0,5*V383	3	109,41	1,52	109,41	1,16	ELU
HIP.60	G+BOMB+0,5*V384	1	128,88	1,49	128,88	1,14	ELU
	G+BOMB+0,5*V384	2	122,99	1,35	122,99	1,03	ELU
	G+BOMB+0,5*V384	3	109,66	1,44	109,66	1,10	ELU
HIP.61	G+BOMB+0,5*V1+0,3*Q	1	136,38	1,30	136,38	1,00	ELU
	G+BOMB+0,5*V1+0,3*Q	2	127,01	1,21	127,01	0,92	ELU
	G+BOMB+0,5*V1+0,3*Q	3	118,62	1,29	118,62	0,98	ELU
HIP.62	G+BOMB+0,5*V2+0,3*Q	1	136,28	1,29	136,28	0,99	ELU
	G+BOMB+0,5*V2+0,3*Q	2	127,07	1,21	127,07	0,92	ELU
	G+BOMB+0,5*V2+0,3*Q	3	118,64	1,28	118,64	0,98	ELU
HIP.63	G+BOMB+0,5*V3+0,3*Q	1	131,57	1,23	131,57	0,94	ELU
	G+BOMB+0,5*V3+0,3*Q	2	132,13	1,16	132,13	0,89	ELU
	G+BOMB+0,5*V3+0,3*Q	3	118,73	1,20	118,73	0,92	ELU
HIP.64	G+BOMB+0,5*V4+0,3*Q	1	131,67	1,24	131,67	0,95	ELU
	G+BOMB+0,5*V4+0,3*Q	2	132,07	1,16	132,07	0,89	ELU
	G+BOMB+0,5*V4+0,3*Q	3	118,71	1,21	118,71	0,92	ELU
HIP.65	G+BOMB+0,5*V5+0,3*Q	1	130,82	0,81	130,82	0,62	ELU
	G+BOMB+0,5*V5+0,3*Q	2	128,29	0,89	128,29	0,68	ELU
	G+BOMB+0,5*V5+0,3*Q	3	121,27	0,83	121,27	0,64	ELU
HIP.66	G+BOMB+0,5*V6+0,3*Q	1	132,00	0,91	132,00	0,70	ELU
	G+BOMB+0,5*V6+0,3*Q	2	127,55	0,89	127,55	0,68	ELU
	G+BOMB+0,5*V6+0,3*Q	3	121,01	0,91	121,01	0,69	ELU
HIP.67	G+BOMB+0,5*V7+0,3*Q	1	137,13	1,71	137,13	1,31	ELU
	G+BOMB+0,5*V7+0,3*Q	2	130,85	1,45	130,85	1,11	ELU
	G+BOMB+0,5*V7+0,3*Q	3	116,08	1,64	116,08	1,25	ELU
HIP.68	G+BOMB+0,5*V8+0,3*Q	1	135,95	1,61	135,95	1,23	ELU
	G+BOMB+0,5*V8+0,3*Q	2	131,58	1,46	131,58	1,11	ELU
	G+BOMB+0,5*V8+0,3*Q	3	116,33	1,56	116,33	1,19	ELU

Seccion (mm.)	e _x (m.)	e _y (m.)	Henc. (m.)
300	0,00	1,20	0,95
COMPROBACIÓN (compresión)	CUMPLE		
MAX. AXIL	133,56	(TON)	
MIN. AXIL	0,00	(TON)	
COMPROBACIÓN (tracción)	CUMPLE		
	L.1(m)	0,00	
	L.2(m)	0,00	
	L.Influenc.(m)	0,00	
	CERRAM.(ton.)	0,00	
	αx (inclinación)	0,00	
	αy (inclinación)	0,00	

Curva de resistencia axil-momento (en cualquier dirección)



Curva de resistencia axil-cortante



PILAR: P49



COMPROBACIÓN ESFUERZOS:

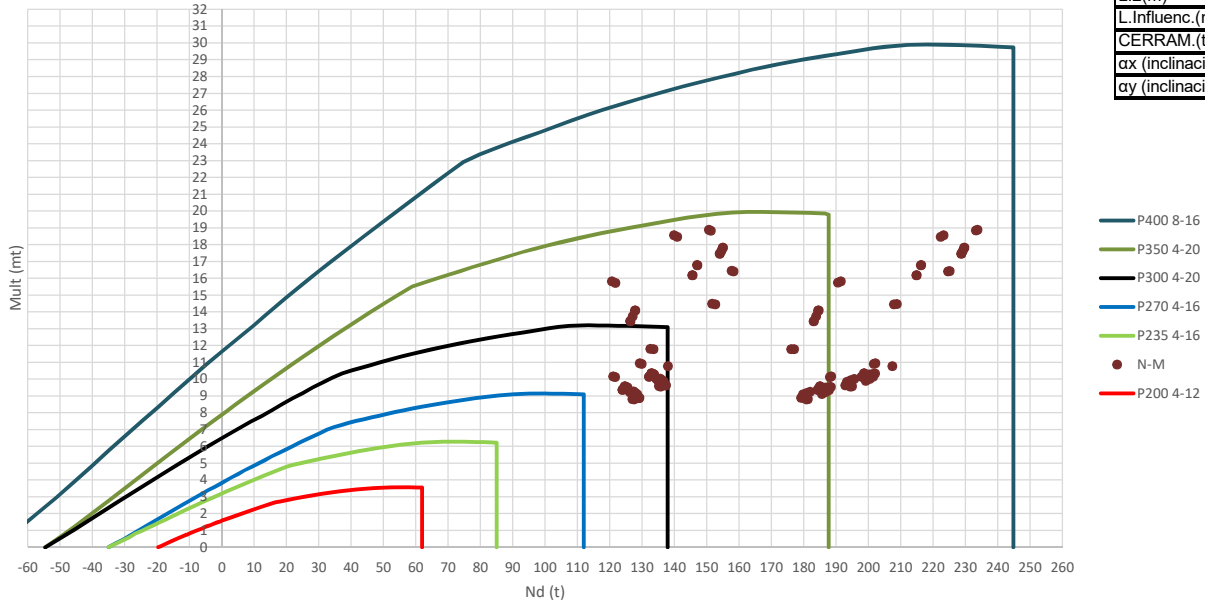
P18147P Parcela R20

	LC: COMB.	nº PILOTE	N _{pilote} (T) a ras de suelo	M ult. Pilote (mT)	N _{pilote} (T) a ras de suelo	V ult.-Pilote (T)	ESTADO LIMITE
HIP.1	G	1	100,56	1,24	100,56	1,10	ELS
	G	2	93,25	1,24	93,25	1,10	ELS
HIP.2	G+Q	1	132,99	1,78	132,99	1,58	ELS
	G+Q	2	122,33	1,78	122,33	1,58	ELS
HIP.3	G+V393	1	99,62	1,19	99,62	1,06	ELS
	G+V393	2	92,78	1,19	92,78	1,06	ELS
HIP.4	G+V394	1	99,62	1,20	99,62	1,07	ELS
	G+V394	2	92,62	1,20	92,62	1,07	ELS
HIP.5	G+V395	1	101,50	1,31	101,50	1,17	ELS
	G+V395	2	93,72	1,31	93,72	1,17	ELS
HIP.6	G+V396	1	101,50	1,29	101,50	1,15	ELS
	G+V396	2	93,88	1,29	93,88	1,15	ELS
HIP.7	G+V397	1	100,46	0,86	100,46	0,76	ELS
	G+V397	2	96,70	0,86	96,70	0,76	ELS
HIP.8	G+V398	1	100,26	0,66	100,26	0,59	ELS
	G+V398	2	98,28	0,66	98,28	0,59	ELS
HIP.9	G+V399	1	100,66	1,62	100,66	1,45	ELS
	G+V399	2	89,80	1,62	89,80	1,45	ELS
HIP.10	G+V400	1	100,86	1,82	100,86	1,62	ELS
	G+V400	2	88,22	1,82	88,22	1,62	ELS
HIP.11	G+Q+0,6°V393	1	132,43	1,74	132,43	1,55	ELS
	G+Q+0,6°V393	2	122,05	1,74	122,05	1,55	ELS
HIP.12	G+Q+0,6°V394	1	132,43	1,75	132,43	1,56	ELS
	G+Q+0,6°V394	2	121,95	1,75	121,95	1,56	ELS
HIP.13	G+Q+0,6°V395	1	133,56	1,82	133,56	1,62	ELS
	G+Q+0,6°V395	2	122,61	1,82	122,61	1,62	ELS
HIP.14	G+Q+0,6°V396	1	133,56	1,81	133,56	1,61	ELS
	G+Q+0,6°V396	2	122,71	1,81	122,71	1,61	ELS
HIP.15	G+Q+0,6°V397	1	132,93	1,55	132,93	1,38	ELS
	G+Q+0,6°V397	2	124,40	1,55	124,40	1,38	ELS
HIP.16	G+Q+0,6°V398	1	132,81	1,43	132,81	1,27	ELS
	G+Q+0,6°V398	2	125,34	1,43	125,34	1,27	ELS
HIP.17	G+Q+0,6°V399	1	133,05	2,01	133,05	1,79	ELS
	G+Q+0,6°V399	2	120,25	2,01	120,25	1,79	ELS
HIP.18	G+Q+0,6°V400	1	133,17	2,12	133,17	1,89	ELS
	G+Q+0,6°V400	2	119,31	2,12	119,31	1,89	ELS
HIP.19	G+V1+0,7°Q	1	122,32	1,56	122,32	1,39	ELS
	G+V1+0,7°Q	2	113,14	1,56	113,14	1,39	ELS
HIP.20	G+V2+0,7°Q	1	122,32	1,58	122,32	1,40	ELS
	G+V2+0,7°Q	2	112,97	1,58	112,97	1,40	ELS
HIP.21	G+V3+0,7°Q	1	124,21	1,69	124,21	1,50	ELS
	G+V3+0,7°Q	2	114,07	1,69	114,07	1,50	ELS
HIP.22	G+V4+0,7°Q	1	124,20	1,67	124,20	1,49	ELS
	G+V4+0,7°Q	2	114,24	1,67	114,24	1,49	ELS
HIP.23	G+V5+0,7°Q	1	123,16	1,23	123,16	1,10	ELS
	G+V5+0,7°Q	2	117,06	1,23	117,06	1,10	ELS
HIP.24	G+V6+0,7°Q	1	122,96	1,03	122,96	0,92	ELS
	G+V6+0,7°Q	2	118,63	1,03	118,63	0,92	ELS
HIP.25	G+V7+0,7°Q	1	123,36	2,00	123,36	1,78	ELS
	G+V7+0,7°Q	2	110,15	2,00	110,15	1,78	ELS
HIP.26	G+V8+0,7°Q	1	123,56	2,19	123,56	1,96	ELS
	G+V8+0,7°Q	2	108,57	2,19	108,57	1,96	ELS
HIP.27	G+Sx	1	102,95	0,98	102,95	0,87	ELU
	G+Sx	2	93,77	0,98	93,77	0,87	ELU
HIP.28	G-Sx	1	98,17	0,71	98,17	0,63	ELU
	G-Sx	2	92,73	0,71	92,73	0,63	ELU
HIP.29	G+Sy	1	103,45	0,98	103,45	0,88	ELU
	G+Sy	2	94,00	0,98	94,00	0,88	ELU
HIP.30	G-Sy	1	97,66	0,68	97,66	0,61	ELU
	G-Sy	2	92,50	0,68	92,50	0,61	ELU
HIP.31	G+Sx+0,3°Sy	1	103,82	1,03	103,82	0,92	ELU
	G+Sx+0,3°Sy	2	94,00	1,03	94,00	0,92	ELU
HIP.32	G+Sx-0,3°Sy	1	102,08	0,93	102,08	0,83	ELU
	G+Sx-0,3°Sy	2	93,55	0,93	93,55	0,83	ELU
HIP.33	G-Sx+0,3°Sy	1	99,03	0,75	99,03	0,67	ELU
	G-Sx+0,3°Sy	2	92,95	0,75	92,95	0,67	ELU
HIP.34	G-Sx-0,3°Sy	1	97,30	0,68	97,30	0,60	ELU
	G-Sx-0,3°Sy	2	92,50	0,68	92,50	0,60	ELU
HIP.35	G+Sy+0,3°Sx	1	104,17	1,03	104,17	0,92	ELU
	G+Sy+0,3°Sx	2	94,16	1,03	94,16	0,92	ELU
HIP.36	G+Sy-0,3°Sx	1	102,73	0,94	102,73	0,83	ELU
	G+Sy-0,3°Sx	2	93,85	0,94	93,85	0,83	ELU
HIP.37	G-Sy+0,3°Sx	1	98,38	0,72	98,38	0,64	ELU
	G-Sy+0,3°Sx	2	92,65	0,72	92,65	0,64	ELU
HIP.38	G-Sy-0,3°Sx	1	96,95	0,65	96,95	0,58	ELU
	G-Sy-0,3°Sx	2	92,34	0,65	92,34	0,58	ELU
HIP.39	G+Sx+0,3°Q	1	112,68	1,09	112,68	0,97	ELU
	G+Sx+0,3°Q	2	102,50	1,09	102,50	0,97	ELU
HIP.40	G-Sx+0,3°Q	1	107,90	0,81	107,90	0,72	ELU

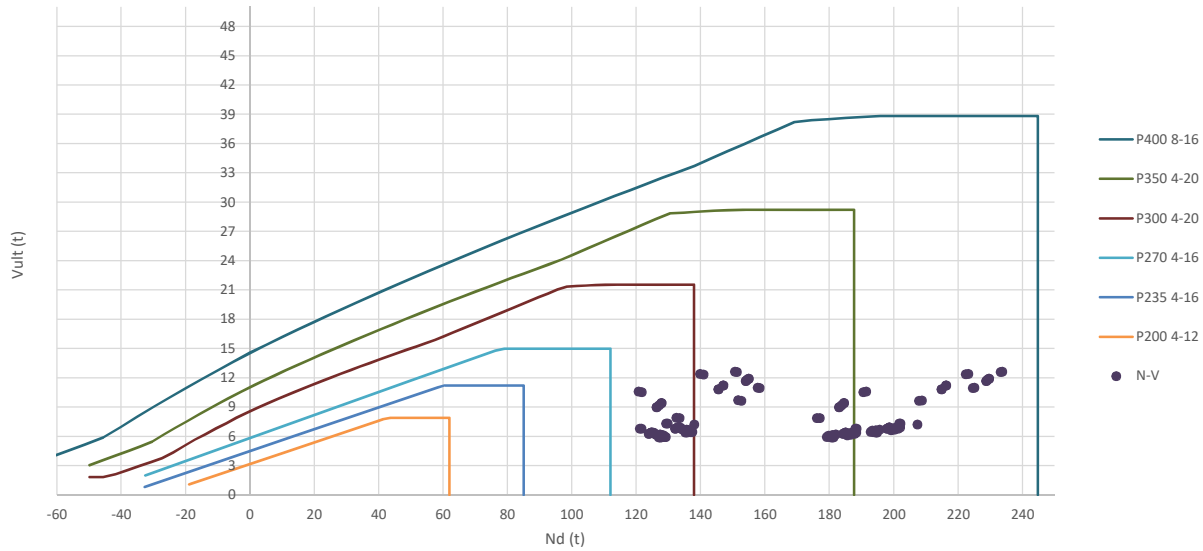
	G-Sx+0,3*Q	2	101,45	0,81	101,45	0,72	ELU
HIP.41	G+Sy+0,3*Q	1	113,18	1,09	113,18	0,97	ELU
	G+Sy+0,3*Q	2	102,73	1,09	102,73	0,97	ELU
HIP.42	G-Sy+0,3*Q	1	107,39	0,79	107,39	0,70	ELU
	G-Sy+0,3*Q	2	101,22	0,79	101,22	0,70	ELU
HIP.43	G+Sx+0,3*Sy+0,3*Q	1	113,55	1,14	113,55	1,01	ELU
	G+Sx+0,3*Sy+0,3*Q	2	102,72	1,14	102,72	1,01	ELU
HIP.44	G+Sx-0,3*Sy+0,3*Q	1	111,81	1,04	111,81	0,92	ELU
	G+Sx-0,3*Sy+0,3*Q	2	102,27	1,04	102,27	0,92	ELU
HIP.45	G-Sx+0,3*Sy+0,3*Q	1	108,76	0,85	108,76	0,76	ELU
	G-Sx+0,3*Sy+0,3*Q	2	101,68	0,85	101,68	0,76	ELU
HIP.46	G-Sx-0,3*Sy+0,3*Q	1	107,03	0,78	107,03	0,69	ELU
	G-Sx-0,3*Sy+0,3*Q	2	101,22	0,78	101,22	0,69	ELU
HIP.47	G+Sy+0,3*Sx+0,3*Q	1	113,90	1,14	113,90	1,02	ELU
	G+Sy+0,3*Sx+0,3*Q	2	102,88	1,14	102,88	1,02	ELU
HIP.48	G+Sy-0,3*Sx+0,3*Q	1	112,47	1,04	112,47	0,93	ELU
	G+Sy-0,3*Sx+0,3*Q	2	102,57	1,04	102,57	0,93	ELU
HIP.49	G-Sy+0,3*Sx+0,3*Q	1	108,11	0,82	108,11	0,73	ELU
	G-Sy+0,3*Sx+0,3*Q	2	101,38	0,82	101,38	0,73	ELU
HIP.50	G-Sy-0,3*Sx+0,3*Q	1	106,68	0,76	106,68	0,68	ELU
	G-Sy-0,3*Sx+0,3*Q	2	101,06	0,76	101,06	0,68	ELU
HIP.51	G+BOMB	1	100,63	0,99	100,63	0,89	ELU
	G+BOMB	2	91,23	0,99	91,23	0,89	ELU
HIP.52	G+BOMB+0,5*Q	1	116,84	1,17	116,84	1,05	ELU
	G+BOMB+0,5*Q	2	105,77	1,17	105,77	1,05	ELU
HIP.53	G+BOMB+0,5*V393	1	100,15	0,97	100,15	0,87	ELU
	G+BOMB+0,5*V393	2	91,00	0,97	91,00	0,87	ELU
HIP.54	G+BOMB+0,5*V394	1	100,16	0,98	100,16	0,87	ELU
	G+BOMB+0,5*V394	2	90,92	0,98	90,92	0,87	ELU
HIP.55	G+BOMB+0,5*V395	1	101,10	1,02	101,10	0,91	ELU
	G+BOMB+0,5*V395	2	91,47	1,02	91,47	0,91	ELU
HIP.56	G+BOMB+0,5*V396	1	101,10	1,01	101,10	0,90	ELU
	G+BOMB+0,5*V396	2	91,55	1,01	91,55	0,90	ELU
HIP.57	G+BOMB+0,5*V397	1	100,57	0,87	100,57	0,77	ELU
	G+BOMB+0,5*V397	2	92,96	0,87	92,96	0,77	ELU
HIP.58	G+BOMB+0,5*V398	1	100,48	0,80	100,48	0,71	ELU
	G+BOMB+0,5*V398	2	93,75	0,80	93,75	0,71	ELU
HIP.59	G+BOMB+0,5*V399	1	100,68	1,12	100,68	1,00	ELU
	G+BOMB+0,5*V399	2	89,51	1,12	89,51	1,00	ELU
HIP.60	G+BOMB+0,5*V400	1	100,78	1,19	100,78	1,06	ELU
	G+BOMB+0,5*V400	2	88,72	1,19	88,72	1,06	ELU
HIP.61	G+BOMB+0,5*V1+0,3*Q	1	109,89	1,08	109,89	0,96	ELU
	G+BOMB+0,5*V1+0,3*Q	2	99,72	1,08	99,72	0,96	ELU
HIP.62	G+BOMB+0,5*V2+0,3*Q	1	109,89	1,09	109,89	0,97	ELU
	G+BOMB+0,5*V2+0,3*Q	2	99,64	1,09	99,64	0,97	ELU
HIP.63	G+BOMB+0,5*V3+0,3*Q	1	110,83	1,12	110,83	1,00	ELU
	G+BOMB+0,5*V3+0,3*Q	2	100,19	1,12	100,19	1,00	ELU
HIP.64	G+BOMB+0,5*V4+0,3*Q	1	110,83	1,12	110,83	1,00	ELU
	G+BOMB+0,5*V4+0,3*Q	2	100,27	1,12	100,27	1,00	ELU
HIP.65	G+BOMB+0,5*V5+0,3*Q	1	110,31	0,97	110,31	0,87	ELU
	G+BOMB+0,5*V5+0,3*Q	2	101,68	0,97	101,68	0,87	ELU
HIP.66	G+BOMB+0,5*V6+0,3*Q	1	110,21	0,91	110,21	0,81	ELU
	G+BOMB+0,5*V6+0,3*Q	2	102,47	0,91	102,47	0,81	ELU
HIP.67	G+BOMB+0,5*V7+0,3*Q	1	110,41	1,23	110,41	1,10	ELU
	G+BOMB+0,5*V7+0,3*Q	2	98,23	1,23	98,23	1,10	ELU
HIP.68	G+BOMB+0,5*V8+0,3*Q	1	110,51	1,29	110,51	1,15	ELU
	G+BOMB+0,5*V8+0,3*Q	2	97,44	1,29	97,44	1,15	ELU

Seccion (mm.)	e _x (m.)	e _y (m.)	Henc. (m.)
400	0,00	1,40	1,25
COMPROBACIÓN (compresión)	CUMPLE		
MAX. AXIL	233,73	(TON)	
MIN. AXIL	0,00	(TON)	
COMPROBACIÓN (tracción)	CUMPLE		
	L.1(m)	0,00	
	L.2(m)	0,00	
	L.Influenc.(m)	0,00	
	CERRAM.(ton.)	0,00	
	αx (inclinación)	0,00	
	αy (inclinación)	0,00	

Curva de resistencia axil-momento (en cualquier dirección)



Curva de resistencia axil-cortante



PILAR: P50



COMPROBACIÓN ESFUERZOS:

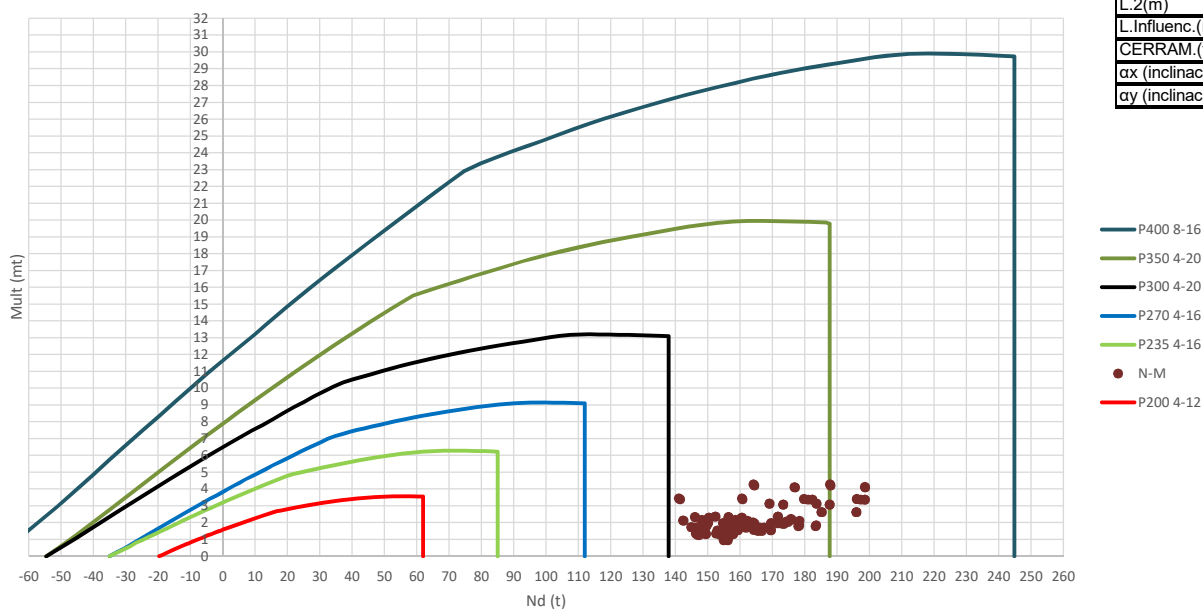
P18147P Parcela R20

	LC: COMB.	nº PILOTE	N _{pilote} (T) a ras de suelo	M ult. Pilote (mT)	N _{pilote} (T) a ras de suelo	V ult.-Pilote (T)	ESTADO LIMITE
HIP.1	G	1	183,77	13,76	183,77	9,21	ELS
	G	2	127,07	13,76	127,07	9,21	ELS
HIP.2	G+Q	1	229,14	17,64	229,14	11,80	ELS
	G+Q	2	154,46	17,64	154,46	11,80	ELS
HIP.3	G+V401	1	184,44	14,09	184,44	9,42	ELS
	G+V401	2	127,87	14,09	127,87	9,42	ELS
HIP.4	G+V402	1	184,54	14,10	184,54	9,43	ELS
	G+V402	2	127,77	14,10	127,77	9,43	ELS
HIP.5	G+V403	1	183,10	13,46	183,10	9,01	ELS
	G+V403	2	126,27	13,46	126,27	9,01	ELS
HIP.6	G+V404	1	183,00	13,45	183,00	9,00	ELS
	G+V404	2	126,37	13,45	126,37	9,00	ELS
HIP.7	G+V405	1	176,97	11,79	176,97	7,89	ELS
	G+V405	2	132,46	11,81	132,46	7,90	ELS
HIP.8	G+V406	1	176,12	11,78	176,12	7,88	ELS
	G+V406	2	133,48	11,78	133,48	7,88	ELS
HIP.9	G+V407	1	190,57	15,75	190,57	10,54	ELS
	G+V407	2	121,68	15,74	121,68	10,53	ELS
HIP.10	G+V408	1	191,42	15,83	191,42	10,59	ELS
	G+V408	2	120,66	15,83	120,66	10,59	ELS
HIP.11	G+Q+0,6*V401	1	229,54	17,82	229,54	11,92	ELS
	G+Q+0,6*V401	2	154,94	17,82	154,94	11,92	ELS
HIP.12	G+Q+0,6*V402	1	229,61	17,83	229,61	11,92	ELS
	G+Q+0,6*V402	2	154,88	17,83	154,88	11,92	ELS
HIP.13	G+Q+0,6*V403	1	228,74	17,48	228,74	11,69	ELS
	G+Q+0,6*V403	2	153,98	17,48	153,98	11,69	ELS
HIP.14	G+Q+0,6*V404	1	228,68	17,47	228,68	11,69	ELS
	G+Q+0,6*V404	2	154,04	17,47	154,04	11,69	ELS
HIP.15	G+Q+0,6*V405	1	225,06	16,44	225,06	11,00	ELS
	G+Q+0,6*V405	2	157,69	16,45	157,69	11,01	ELS
HIP.16	G+Q+0,6*V406	1	224,55	16,41	224,55	10,98	ELS
	G+Q+0,6*V406	2	158,30	16,41	158,30	10,98	ELS
HIP.17	G+Q+0,6*V407	1	233,22	18,85	233,22	12,61	ELS
	G+Q+0,6*V407	2	151,22	18,84	151,22	12,60	ELS
HIP.18	G+Q+0,6*V408	1	233,73	18,90	233,73	12,64	ELS
	G+Q+0,6*V408	2	150,61	18,90	150,61	12,64	ELS
HIP.19	G+V1+0,7*Q	1	216,20	16,78	216,20	11,23	ELS
	G+V1+0,7*Q	2	147,04	16,78	147,04	11,23	ELS
HIP.20	G+V2+0,7*Q	1	216,30	16,79	216,30	11,23	ELS
	G+V2+0,7*Q	2	146,94	16,79	146,94	11,23	ELS
HIP.21	G+V3+0,7*Q	1	214,86	16,20	214,86	10,83	ELS
	G+V3+0,7*Q	2	145,44	16,20	145,44	10,83	ELS
HIP.22	G+V4+0,7*Q	1	214,76	16,18	214,76	10,83	ELS
	G+V4+0,7*Q	2	145,55	16,18	145,55	10,83	ELS
HIP.23	G+V5+0,7*Q	1	208,73	14,49	208,73	9,69	ELS
	G+V5+0,7*Q	2	151,63	14,50	151,63	9,70	ELS
HIP.24	G+V6+0,7*Q	1	207,88	14,45	207,88	9,67	ELS
	G+V6+0,7*Q	2	152,65	14,45	152,65	9,67	ELS
HIP.25	G+V7+0,7*Q	1	222,33	18,48	222,33	12,36	ELS
	G+V7+0,7*Q	2	140,85	18,47	140,85	12,35	ELS
HIP.26	G+V8+0,7*Q	1	223,18	18,57	223,18	12,42	ELS
	G+V8+0,7*Q	2	139,84	18,57	139,84	12,42	ELS
HIP.27	G+Sx	1	186,69	9,24	186,69	6,18	ELU
	G+Sx	2	126,22	9,23	126,22	6,18	ELU
HIP.28	G-Sx	1	180,85	9,18	180,85	6,14	ELU
	G-Sx	2	127,92	9,19	127,92	6,15	ELU
HIP.29	G+Sy	1	187,48	9,52	187,48	6,37	ELU
	G+Sy	2	125,24	9,52	125,24	6,37	ELU
HIP.30	G-Sy	1	180,06	8,88	180,06	5,94	ELU
	G-Sy	2	128,90	8,88	128,90	5,94	ELU
HIP.31	G+Sx+0,3*Sy	1	187,81	9,36	187,81	6,26	ELU
	G+Sx+0,3*Sy	2	125,67	9,35	125,67	6,26	ELU
HIP.32	G+Sx-0,3*Sy	1	185,58	9,13	185,58	6,11	ELU
	G+Sx-0,3*Sy	2	126,77	9,12	126,77	6,10	ELU
HIP.33	G-Sx+0,3*Sy	1	181,96	9,26	181,96	6,19	ELU
	G-Sx+0,3*Sy	2	127,37	9,27	127,37	6,20	ELU
HIP.34	G-Sx-0,3*Sy	1	179,73	9,10	179,73	6,09	ELU
	G-Sx-0,3*Sy	2	128,47	9,11	128,47	6,10	ELU
HIP.35	G+Sy+0,3*Sx	1	188,36	9,55	188,36	6,39	ELU
	G+Sy+0,3*Sx	2	124,98	9,55	124,98	6,39	ELU
HIP.36	G+Sy-0,3*Sx	1	186,61	9,50	186,61	6,35	ELU
	G+Sy-0,3*Sx	2	125,49	9,50	125,49	6,36	ELU
HIP.37	G-Sy+0,3*Sx	1	180,93	8,87	180,93	5,93	ELU
	G-Sy+0,3*Sx	2	128,65	8,87	128,65	5,93	ELU
HIP.38	G-Sy-0,3*Sx	1	179,18	8,89	179,18	5,95	ELU
	G-Sy-0,3*Sx	2	129,16	8,89	129,16	5,95	ELU
HIP.39	G+Sx+0,3*Q	1	200,30	10,03	200,30	6,71	ELU
	G+Sx+0,3*Q	2	134,44	10,02	134,44	6,70	ELU
HIP.40	G-Sx+0,3*Q	1	194,46	9,94	194,46	6,65	ELU

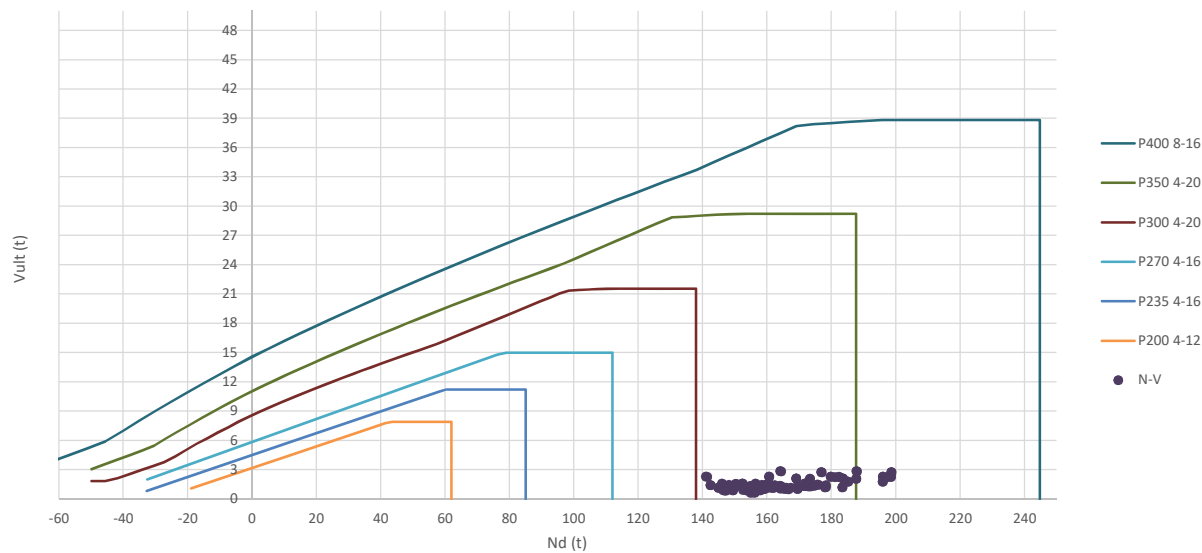
	G-Sx+0,3*Q	2	136,14	9,95	136,14	6,65	ELU
HIP.41	G+Sy+0,3*Q	1	201,09	10,31	201,09	6,89	ELU
	G+Sy+0,3*Q	2	133,45	10,31	133,45	6,89	ELU
HIP.42	G-Sy+0,3*Q	1	193,67	9,64	193,67	6,45	ELU
	G-Sy+0,3*Q	2	137,12	9,64	137,12	6,45	ELU
HIP.43	G+Sx+0,3*Sy+0,3*Q	1	201,42	10,15	201,42	6,79	ELU
	G+Sx+0,3*Sy+0,3*Q	2	133,89	10,14	133,89	6,78	ELU
HIP.44	G+Sx-0,3*Sy+0,3*Q	1	199,19	9,91	199,19	6,63	ELU
	G+Sx-0,3*Sy+0,3*Q	2	134,99	9,90	134,99	6,62	ELU
HIP.45	G-Sx+0,3*Sy+0,3*Q	1	195,57	10,02	195,57	6,70	ELU
	G-Sx+0,3*Sy+0,3*Q	2	135,59	10,03	135,59	6,71	ELU
HIP.46	G-Sx-0,3*Sy+0,3*Q	1	193,34	9,86	193,34	6,59	ELU
	G-Sx-0,3*Sy+0,3*Q	2	136,69	9,87	136,69	6,60	ELU
HIP.47	G+Sy+0,3*Sx+0,3*Q	1	201,97	10,34	201,97	6,92	ELU
	G+Sy+0,3*Sx+0,3*Q	2	133,20	10,34	133,20	6,91	ELU
HIP.48	G+Sy-0,3*Sx+0,3*Q	1	200,22	10,28	200,22	6,88	ELU
	G+Sy-0,3*Sx+0,3*Q	2	133,71	10,28	133,71	6,88	ELU
HIP.49	G-Sy+0,3*Sx+0,3*Q	1	194,55	9,64	194,55	6,45	ELU
	G-Sy+0,3*Sx+0,3*Q	2	136,86	9,63	136,86	6,44	ELU
HIP.50	G-Sy-0,3*Sx+0,3*Q	1	192,79	9,65	192,79	6,45	ELU
	G-Sy-0,3*Sx+0,3*Q	2	137,37	9,65	137,37	6,45	ELU
HIP.51	G+BOMB	1	184,64	9,48	184,64	6,34	ELU
	G+BOMB	2	124,27	9,48	124,27	6,34	ELU
HIP.52	G+BOMB+0,5*Q	1	207,32	10,78	207,32	7,21	ELU
	G+BOMB+0,5*Q	2	137,97	10,78	137,97	7,21	ELU
HIP.53	G+BOMB+0,5*V401	1	184,97	9,58	184,97	6,41	ELU
	G+BOMB+0,5*V401	2	124,67	9,58	124,67	6,41	ELU
HIP.54	G+BOMB+0,5*V402	1	185,02	9,58	185,02	6,41	ELU
	G+BOMB+0,5*V402	2	124,62	9,58	124,62	6,41	ELU
HIP.55	G+BOMB+0,5*V403	1	184,30	9,38	184,30	6,28	ELU
	G+BOMB+0,5*V403	2	123,87	9,38	123,87	6,28	ELU
HIP.56	G+BOMB+0,5*V404	1	184,25	9,38	184,25	6,27	ELU
	G+BOMB+0,5*V404	2	123,93	9,38	123,93	6,27	ELU
HIP.57	G+BOMB+0,5*V405	1	181,24	8,81	181,24	5,90	ELU
	G+BOMB+0,5*V405	2	126,97	8,82	126,97	5,90	ELU
HIP.58	G+BOMB+0,5*V406	1	180,81	8,80	180,81	5,88	ELU
	G+BOMB+0,5*V406	2	127,48	8,80	127,48	5,88	ELU
HIP.59	G+BOMB+0,5*V407	1	188,04	10,14	188,04	6,79	ELU
	G+BOMB+0,5*V407	2	121,58	10,14	121,58	6,78	ELU
HIP.60	G+BOMB+0,5*V408	1	188,46	10,17	188,46	6,80	ELU
	G+BOMB+0,5*V408	2	121,07	10,17	121,07	6,80	ELU
HIP.61	G+BOMB+0,5*V1+0,3*Q	1	198,58	10,35	198,58	6,93	ELU
	G+BOMB+0,5*V1+0,3*Q	2	132,89	10,35	132,89	6,93	ELU
HIP.62	G+BOMB+0,5*V2+0,3*Q	1	198,64	10,36	198,64	6,93	ELU
	G+BOMB+0,5*V2+0,3*Q	2	132,84	10,36	132,84	6,93	ELU
HIP.63	G+BOMB+0,5*V3+0,3*Q	1	197,91	10,16	197,91	6,80	ELU
	G+BOMB+0,5*V3+0,3*Q	2	132,09	10,16	132,09	6,80	ELU
HIP.64	G+BOMB+0,5*V4+0,3*Q	1	197,86	10,16	197,86	6,79	ELU
	G+BOMB+0,5*V4+0,3*Q	2	132,14	10,16	132,14	6,79	ELU
HIP.65	G+BOMB+0,5*V5+0,3*Q	1	194,85	9,59	194,85	6,41	ELU
	G+BOMB+0,5*V5+0,3*Q	2	135,19	9,59	135,19	6,42	ELU
HIP.66	G+BOMB+0,5*V6+0,3*Q	1	194,43	9,57	194,43	6,40	ELU
	G+BOMB+0,5*V6+0,3*Q	2	135,69	9,57	135,69	6,40	ELU
HIP.67	G+BOMB+0,5*V7+0,3*Q	1	201,65	10,92	201,65	7,31	ELU
	G+BOMB+0,5*V7+0,3*Q	2	129,79	10,92	129,79	7,30	ELU
HIP.68	G+BOMB+0,5*V8+0,3*Q	1	202,07	10,95	202,07	7,33	ELU
	G+BOMB+0,5*V8+0,3*Q	2	129,29	10,95	129,29	7,33	ELU

Seccion (mm.)	e _x (m.)	e _y (m.)	Henc. (m.)
400	0,00	1,40	1,25
COMPROBACIÓN (compresión)	CUMPLE		
MAX. AXIL	198,65		(TON)
MIN. AXIL	0,00		(TON)
COMPROBACIÓN (tracción)	CUMPLE		
L.1(m)	0,00		
L.2(m)	0,00		
L.Influenc.(m)	0,00		
CERRAM.(ton.)	0,00		
αx (inclinación)	0,00		
αy (inclinación)	0,00		

Curva de resistencia axil-momento (en cualquier dirección)



Curva de resistencia axil-cortante



PILAR: P51



COMPROBACIÓN ESFUERZOS:

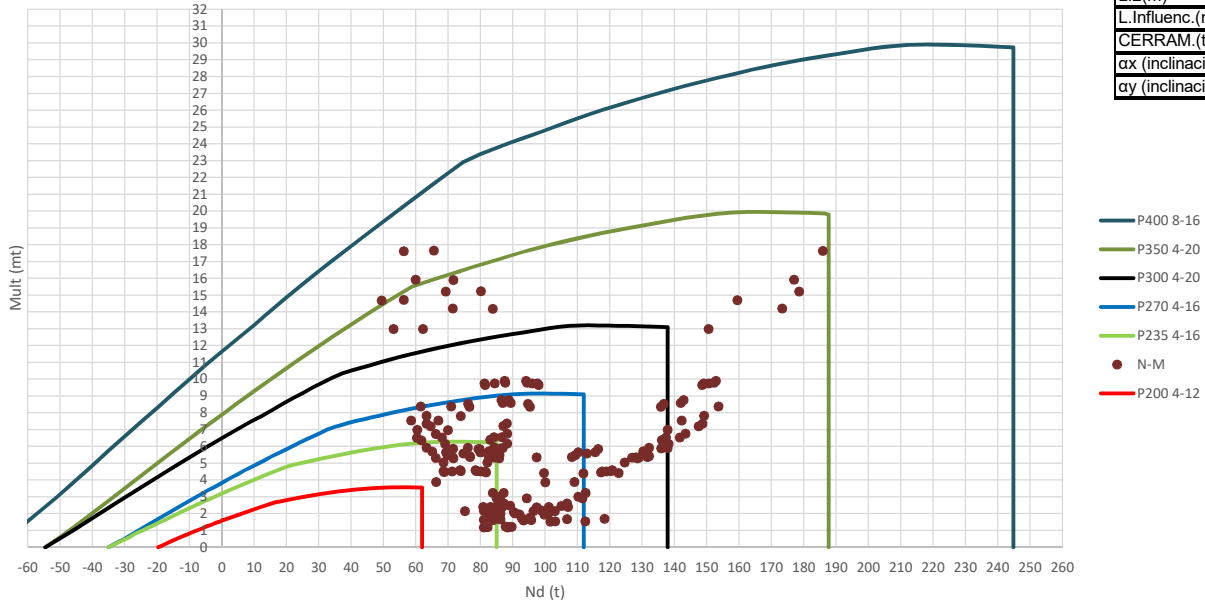
P18147P Parcela R20

	LC: COMB.	nº PILOTE	N _{pilote} (T) a ras de suelo	M ult. Pilote (mT)	N _{pilote} (T) a ras de suelo	V ult.-Pilote (T)	ESTADO LIMITE
HIP.1	G	1	158,45	2,18	158,45	1,46	ELS
	G	2	148,15	2,18	148,15	1,46	ELS
HIP.2	G+Q	1	197,28	3,36	197,28	2,25	ELS
	G+Q	2	181,04	3,36	181,04	2,25	ELS
HIP.3	G+V409	1	156,38	2,34	156,38	1,57	ELS
	G+V409	2	146,00	2,34	146,00	1,57	ELS
HIP.4	G+V410	1	156,40	2,32	156,40	1,55	ELS
	G+V410	2	146,03	2,32	146,03	1,55	ELS
HIP.5	G+V411	1	160,52	2,31	160,52	1,55	ELS
	G+V411	2	150,30	2,31	150,30	1,55	ELS
HIP.6	G+V412	1	160,50	2,29	160,50	1,53	ELS
	G+V412	2	150,27	2,29	150,27	1,53	ELS
HIP.7	G+V413	1	156,33	1,10	156,33	0,73	ELS
	G+V413	2	155,26	1,08	155,26	0,72	ELS
HIP.8	G+V414	1	156,16	0,96	156,16	0,65	ELS
	G+V414	2	154,93	0,96	154,93	0,65	ELS
HIP.9	G+V415	1	160,57	3,46	160,57	2,31	ELS
	G+V415	2	141,04	3,45	141,04	2,31	ELS
HIP.10	G+V416	1	160,73	3,39	160,73	2,27	ELS
	G+V416	2	141,38	3,39	141,38	2,27	ELS
HIP.11	G+Q+0,6*V409	1	196,04	3,42	196,04	2,29	ELS
	G+Q+0,6*V409	2	179,75	3,42	179,75	2,29	ELS
HIP.12	G+Q+0,6*V410	1	196,05	3,42	196,05	2,28	ELS
	G+Q+0,6*V410	2	179,77	3,42	179,77	2,28	ELS
HIP.13	G+Q+0,6*V411	1	198,52	3,38	198,52	2,26	ELS
	G+Q+0,6*V411	2	182,33	3,38	182,33	2,26	ELS
HIP.14	G+Q+0,6*V412	1	198,51	3,38	198,51	2,26	ELS
	G+Q+0,6*V412	2	182,31	3,38	182,31	2,26	ELS
HIP.15	G+Q+0,6*V413	1	196,01	2,64	196,01	1,76	ELS
	G+Q+0,6*V413	2	185,31	2,63	185,31	1,76	ELS
HIP.16	G+Q+0,6*V414	1	195,91	2,64	195,91	1,77	ELS
	G+Q+0,6*V414	2	185,11	2,64	185,11	1,76	ELS
HIP.17	G+Q+0,6*V415	1	198,55	4,13	198,55	2,76	ELS
	G+Q+0,6*V415	2	176,78	4,12	176,78	2,76	ELS
HIP.18	G+Q+0,6*V416	1	198,65	4,09	198,65	2,74	ELS
	G+Q+0,6*V416	2	176,98	4,09	176,98	2,74	ELS
HIP.19	G+V1+0,7*Q	1	183,56	3,15	183,56	2,11	ELS
	G+V1+0,7*Q	2	169,02	3,15	169,02	2,11	ELS
HIP.20	G+V2+0,7*Q	1	183,58	3,13	183,58	2,10	ELS
	G+V2+0,7*Q	2	169,06	3,13	169,06	2,10	ELS
HIP.21	G+V3+0,7*Q	1	187,70	3,09	187,70	2,07	ELS
	G+V3+0,7*Q	2	173,33	3,09	173,33	2,07	ELS
HIP.22	G+V4+0,7*Q	1	187,68	3,08	187,68	2,06	ELS
	G+V4+0,7*Q	2	173,29	3,08	173,29	2,06	ELS
HIP.23	G+V5+0,7*Q	1	183,51	1,85	183,51	1,23	ELS
	G+V5+0,7*Q	2	178,28	1,84	178,28	1,23	ELS
HIP.24	G+V6+0,7*Q	1	183,34	1,80	183,34	1,20	ELS
	G+V6+0,7*Q	2	177,95	1,80	177,95	1,20	ELS
HIP.25	G+V7+0,7*Q	1	187,75	4,29	187,75	2,87	ELS
	G+V7+0,7*Q	2	164,07	4,28	164,07	2,87	ELS
HIP.26	G+V8+0,7*Q	1	187,92	4,22	187,92	2,82	ELS
	G+V8+0,7*Q	2	164,40	4,22	164,40	2,82	ELS
HIP.27	G+Sx	1	162,61	1,88	162,61	1,26	ELU
	G+Sx	2	149,76	1,89	149,76	1,26	ELU
HIP.28	G-Sx	1	154,28	1,50	154,28	1,01	ELU
	G-Sx	2	146,55	1,52	146,55	1,01	ELU
HIP.29	G+Sy	1	163,10	1,81	163,10	1,21	ELU
	G+Sy	2	149,51	1,81	149,51	1,21	ELU
HIP.30	G-Sy	1	153,80	1,29	153,80	0,86	ELU
	G-Sy	2	146,79	1,29	146,79	0,86	ELU
HIP.31	G+Sx+0,3*Sy	1	164,01	2,03	164,01	1,36	ELU
	G+Sx+0,3*Sy	2	150,17	2,04	150,17	1,36	ELU
HIP.32	G+Sx-0,3*Sy	1	161,22	1,73	161,22	1,16	ELU
	G+Sx-0,3*Sy	2	149,35	1,74	149,35	1,16	ELU
HIP.33	G-Sx+0,3*Sy	1	155,68	1,49	155,68	1,00	ELU
	G-Sx+0,3*Sy	2	146,95	1,50	146,95	1,00	ELU
HIP.34	G-Sx-0,3*Sy	1	152,89	1,54	152,89	1,03	ELU
	G-Sx-0,3*Sy	2	146,14	1,55	146,14	1,04	ELU
HIP.35	G+Sy+0,3*Sx	1	164,35	1,97	164,35	1,32	ELU
	G+Sy+0,3*Sx	2	149,99	1,97	149,99	1,32	ELU
HIP.36	G+Sy-0,3*Sx	1	161,85	1,69	161,85	1,13	ELU
	G+Sy-0,3*Sx	2	149,03	1,69	149,03	1,13	ELU
HIP.37	G-Sy+0,3*Sx	1	155,05	1,26	155,05	0,85	ELU
	G-Sy+0,3*Sx	2	147,28	1,26	147,28	0,85	ELU
HIP.38	G-Sy-0,3*Sx	1	152,55	1,36	152,55	0,91	ELU
	G-Sy-0,3*Sx	2	146,31	1,36	146,31	0,91	ELU
HIP.39	G+Sx+0,3*Q	1	174,26	2,09	174,26	1,40	ELU
	G+Sx+0,3*Q	2	159,63	2,09	159,63	1,40	ELU
HIP.40	G-Sx+0,3*Q	1	165,93	1,71	165,93	1,15	ELU

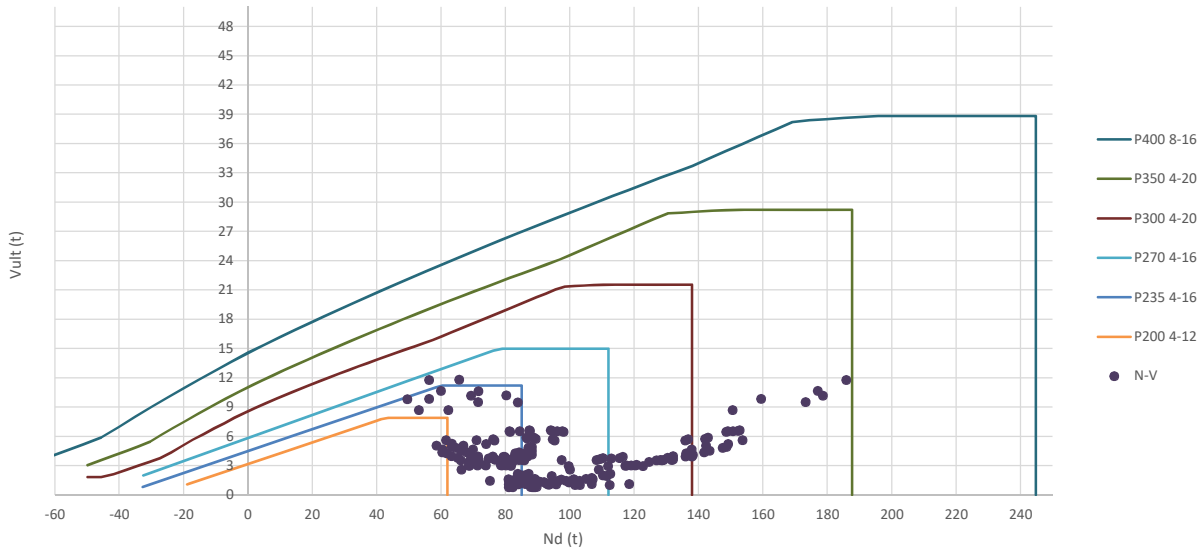
	G-Sx+0,3*Q	2	156,41	1,72	156,41	1,15	ELU
HIP.41	G+Sy+0,3*Q	1	174,75	2,04	174,75	1,36	ELU
	G+Sy+0,3*Q	2	159,38	2,04	159,38	1,36	ELU
HIP.42	G-Sy+0,3*Q	1	165,45	1,51	165,45	1,01	ELU
	G-Sy+0,3*Q	2	156,66	1,51	156,66	1,01	ELU
HIP.43	G+Sx+0,3*Sy+0,3*Q	1	175,66	2,23	175,66	1,49	ELU
	G+Sx+0,3*Sy+0,3*Q	2	160,03	2,24	160,03	1,50	ELU
HIP.44	G+Sx-0,3*Sy+0,3*Q	1	172,87	1,95	172,87	1,30	ELU
	G+Sx-0,3*Sy+0,3*Q	2	159,22	1,95	159,22	1,31	ELU
HIP.45	G-Sx+0,3*Sy+0,3*Q	1	167,33	1,71	167,33	1,14	ELU
	G-Sx+0,3*Sy+0,3*Q	2	156,82	1,72	156,82	1,15	ELU
HIP.46	G-Sx-0,3*Sy+0,3*Q	1	164,54	1,73	164,54	1,16	ELU
	G-Sx-0,3*Sy+0,3*Q	2	156,01	1,74	156,01	1,17	ELU
HIP.47	G+Sy+0,3*Sx+0,3*Q	1	175,99	2,18	175,99	1,46	ELU
	G+Sy+0,3*Sx+0,3*Q	2	159,86	2,18	159,86	1,46	ELU
HIP.48	G+Sy-0,3*Sx+0,3*Q	1	173,50	1,92	173,50	1,29	ELU
	G+Sy-0,3*Sx+0,3*Q	2	158,90	1,92	158,90	1,29	ELU
HIP.49	G-Sy+0,3*Sx+0,3*Q	1	166,70	1,50	166,70	1,00	ELU
	G-Sy+0,3*Sx+0,3*Q	2	157,14	1,50	157,14	1,00	ELU
HIP.50	G-Sy-0,3*Sx+0,3*Q	1	164,20	1,57	164,20	1,05	ELU
	G-Sy-0,3*Sx+0,3*Q	2	156,18	1,57	156,18	1,05	ELU
HIP.51	G+BOMB	1	158,92	1,72	158,92	1,15	ELU
	G+BOMB	2	145,91	1,72	145,91	1,15	ELU
HIP.52	G+BOMB+0,5*Q	1	178,33	2,12	178,33	1,42	ELU
	G+BOMB+0,5*Q	2	162,36	2,12	162,36	1,42	ELU
HIP.53	G+BOMB+0,5*V409	1	157,88	1,74	157,88	1,16	ELU
	G+BOMB+0,5*V409	2	144,84	1,74	144,84	1,16	ELU
HIP.54	G+BOMB+0,5*V410	1	157,89	1,74	157,89	1,16	ELU
	G+BOMB+0,5*V410	2	144,85	1,74	144,85	1,16	ELU
HIP.55	G+BOMB+0,5*V411	1	159,95	1,75	159,95	1,17	ELU
	G+BOMB+0,5*V411	2	146,99	1,75	146,99	1,17	ELU
HIP.56	G+BOMB+0,5*V412	1	159,94	1,74	159,94	1,17	ELU
	G+BOMB+0,5*V412	2	146,97	1,74	146,97	1,17	ELU
HIP.57	G+BOMB+0,5*V413	1	157,86	1,33	157,86	0,89	ELU
	G+BOMB+0,5*V413	2	149,47	1,33	149,47	0,89	ELU
HIP.58	G+BOMB+0,5*V414	1	157,77	1,32	157,77	0,88	ELU
	G+BOMB+0,5*V414	2	149,30	1,32	149,30	0,88	ELU
HIP.59	G+BOMB+0,5*V415	1	159,98	2,14	159,98	1,43	ELU
	G+BOMB+0,5*V415	2	142,36	2,13	142,36	1,43	ELU
HIP.60	G+BOMB+0,5*V416	1	160,06	2,12	160,06	1,42	ELU
	G+BOMB+0,5*V416	2	142,52	2,12	142,52	1,42	ELU
HIP.61	G+BOMB+0,5*V1+0,3*Q	1	169,53	1,98	169,53	1,32	ELU
	G+BOMB+0,5*V1+0,3*Q	2	154,70	1,98	154,70	1,32	ELU
HIP.62	G+BOMB+0,5*V2+0,3*Q	1	169,54	1,97	169,54	1,32	ELU
	G+BOMB+0,5*V2+0,3*Q	2	154,72	1,97	154,72	1,32	ELU
HIP.63	G+BOMB+0,5*V3+0,3*Q	1	171,60	1,98	171,60	1,32	ELU
	G+BOMB+0,5*V3+0,3*Q	2	156,85	1,98	156,85	1,32	ELU
HIP.64	G+BOMB+0,5*V4+0,3*Q	1	171,59	1,97	171,59	1,32	ELU
	G+BOMB+0,5*V4+0,3*Q	2	156,84	1,97	156,84	1,32	ELU
HIP.65	G+BOMB+0,5*V5+0,3*Q	1	169,51	1,56	169,51	1,04	ELU
	G+BOMB+0,5*V5+0,3*Q	2	159,33	1,56	159,33	1,04	ELU
HIP.66	G+BOMB+0,5*V6+0,3*Q	1	169,42	1,55	169,42	1,04	ELU
	G+BOMB+0,5*V6+0,3*Q	2	159,17	1,55	159,17	1,04	ELU
HIP.67	G+BOMB+0,5*V7+0,3*Q	1	171,63	2,37	171,63	1,59	ELU
	G+BOMB+0,5*V7+0,3*Q	2	152,22	2,37	152,22	1,59	ELU
HIP.68	G+BOMB+0,5*V8+0,3*Q	1	171,71	2,36	171,71	1,58	ELU
	G+BOMB+0,5*V8+0,3*Q	2	152,39	2,36	152,39	1,58	ELU

Seccion (mm.)	e _x (m.)	e _y (m.)	Henc. (m.)
400	1,40	1,40	1,30
COMPROBACIÓN (compresión)	CUMPLE		
MAX. AXIL	185,87		(TON)
MIN. AXIL	0,00		(TON)
COMPROBACIÓN (tracción)	CUMPLE		
L.1(m)	0,00		
L.2(m)	0,00		
L.Influenc.(m)	0,00		
CERRAM.(ton.)	0,00		
αx (inclinación)	0,00		
αy (inclinación)	0,00		

Curva de resistencia axil-momento (en cualquier dirección)



Curva de resistencia axil-cortante



PILAR: P52



COMPROBACIÓN ESFUERZOS:

P18147P Parcela R20

	LC: COMB.	nº PILOTE	N _{pilote} (T) a ras de suelo	M ult. Pilote (mT)	N _{pilote} (T) a ras de suelo	V ult.-Pilote (T)	ESTADO LIMITE
HIP.1	G	1	112,86	5,58	112,86	3,73	ELS
	G	2	74,72	5,58	74,72	3,73	ELS
	G	3	82,62	5,58	82,62	3,73	ELS
HIP.2	G+Q	1	150,66	9,76	150,66	6,53	ELS
	G+Q	2	84,42	9,76	84,42	6,53	ELS
	G+Q	3	96,02	9,76	96,02	6,53	ELS
HIP.3	G+V417	1	116,39	5,85	116,39	3,91	ELS
	G+V417	2	79,69	5,85	79,69	3,91	ELS
	G+V417	3	79,35	5,85	79,35	3,91	ELS
HIP.4	G+V418	1	115,48	5,67	115,48	3,79	ELS
	G+V418	2	80,06	5,67	80,06	3,79	ELS
	G+V418	3	79,97	5,67	79,97	3,79	ELS
HIP.5	G+V419	1	109,33	5,49	109,33	3,68	ELS
	G+V419	2	69,74	5,49	69,74	3,68	ELS
	G+V419	3	85,88	5,49	85,88	3,68	ELS
HIP.6	G+V420	1	110,23	5,65	110,23	3,78	ELS
	G+V420	2	69,37	5,65	69,37	3,78	ELS
	G+V420	3	85,27	5,65	85,27	3,78	ELS
HIP.7	G+V421	1	66,31	3,89	66,31	2,60	ELS
	G+V421	2	100,00	3,87	100,00	2,59	ELS
	G+V421	3	109,01	3,90	109,01	2,61	ELS
HIP.8	G+V422	1	75,18	2,15	75,18	1,44	ELS
	G+V422	2	96,34	2,16	96,34	1,45	ELS
	G+V422	3	103,01	2,15	103,01	1,44	ELS
HIP.9	G+V423	1	159,40	14,71	159,40	9,84	ELS
	G+V423	2	49,44	14,69	49,44	9,83	ELS
	G+V423	3	56,22	14,72	56,22	9,85	ELS
HIP.10	G+V424	1	150,53	12,99	150,53	8,69	ELS
	G+V424	2	53,10	13,00	53,10	8,70	ELS
	G+V424	3	62,22	12,98	62,22	8,68	ELS
HIP.11	G+Q+0,6*V417	1	152,78	9,90	152,78	6,62	ELS
	G+Q+0,6*V417	2	87,41	9,90	87,41	6,62	ELS
	G+Q+0,6*V417	3	94,06	9,90	94,06	6,62	ELS
HIP.12	G+Q+0,6*V418	1	152,24	9,80	152,24	6,55	ELS
	G+Q+0,6*V418	2	87,63	9,80	87,63	6,55	ELS
	G+Q+0,6*V418	3	94,43	9,80	94,43	6,55	ELS
HIP.13	G+Q+0,6*V419	1	148,54	9,65	148,54	6,46	ELS
	G+Q+0,6*V419	2	81,44	9,65	81,44	6,46	ELS
	G+Q+0,6*V419	3	97,98	9,65	97,98	6,46	ELS
HIP.14	G+Q+0,6*V420	1	149,09	9,76	149,09	6,53	ELS
	G+Q+0,6*V420	2	81,21	9,76	81,21	6,53	ELS
	G+Q+0,6*V420	3	97,61	9,76	97,61	6,53	ELS
HIP.15	G+Q+0,6*V421	1	122,73	4,43	122,73	2,96	ELS
	G+Q+0,6*V421	2	99,59	4,43	99,59	2,96	ELS
	G+Q+0,6*V421	3	111,85	4,41	111,85	2,95	ELS
HIP.16	G+Q+0,6*V422	1	128,05	5,36	128,05	3,59	ELS
	G+Q+0,6*V422	2	97,40	5,36	97,40	3,58	ELS
	G+Q+0,6*V422	3	108,25	5,37	108,25	3,59	ELS
HIP.17	G+Q+0,6*V423	1	178,59	15,22	178,59	10,18	ELS
	G+Q+0,6*V423	2	69,26	15,22	69,26	10,18	ELS
	G+Q+0,6*V423	3	80,18	15,24	80,18	10,19	ELS
HIP.18	G+Q+0,6*V424	1	173,27	14,20	173,27	9,50	ELS
	G+Q+0,6*V424	2	71,45	14,21	71,45	9,50	ELS
	G+Q+0,6*V424	3	83,78	14,20	83,78	9,50	ELS
HIP.19	G+V1+0,7*Q	1	142,85	8,76	142,85	5,86	ELS
	G+V1+0,7*Q	2	86,49	8,76	86,49	5,86	ELS
	G+V1+0,7*Q	3	88,73	8,76	88,73	5,86	ELS
HIP.20	G+V2+0,7*Q	1	141,94	8,59	141,94	5,74	ELS
	G+V2+0,7*Q	2	86,86	8,59	86,86	5,74	ELS
	G+V2+0,7*Q	3	89,35	8,59	89,35	5,74	ELS
HIP.21	G+V3+0,7*Q	1	135,79	8,36	135,79	5,59	ELS
	G+V3+0,7*Q	2	76,53	8,36	76,53	5,59	ELS
	G+V3+0,7*Q	3	95,26	8,36	95,26	5,59	ELS
HIP.22	G+V4+0,7*Q	1	136,70	8,53	136,70	5,70	ELS
	G+V4+0,7*Q	2	76,16	8,53	76,16	5,70	ELS
	G+V4+0,7*Q	3	94,65	8,53	94,65	5,70	ELS
HIP.23	G+V5+0,7*Q	1	92,77	1,71	92,77	1,15	ELS
	G+V5+0,7*Q	2	106,79	1,68	106,79	1,13	ELS
	G+V5+0,7*Q	3	118,39	1,70	118,39	1,14	ELS
HIP.24	G+V6+0,7*Q	1	101,64	1,53	101,64	1,02	ELS
	G+V6+0,7*Q	2	103,13	1,54	103,13	1,03	ELS
	G+V6+0,7*Q	3	112,39	1,55	112,39	1,03	ELS
HIP.25	G+V7+0,7*Q	1	185,87	17,63	185,87	11,79	ELS
	G+V7+0,7*Q	2	56,23	17,62	56,23	11,78	ELS
	G+V7+0,7*Q	3	65,60	17,65	65,60	11,81	ELS
HIP.26	G+V8+0,7*Q	1	177,00	15,92	177,00	10,65	ELS
	G+V8+0,7*Q	2	59,89	15,93	59,89	10,65	ELS
	G+V8+0,7*Q	3	71,60	15,91	71,60	10,64	ELS
HIP.27	G+Sx	1	132,08	5,93	132,08	3,97	ELU

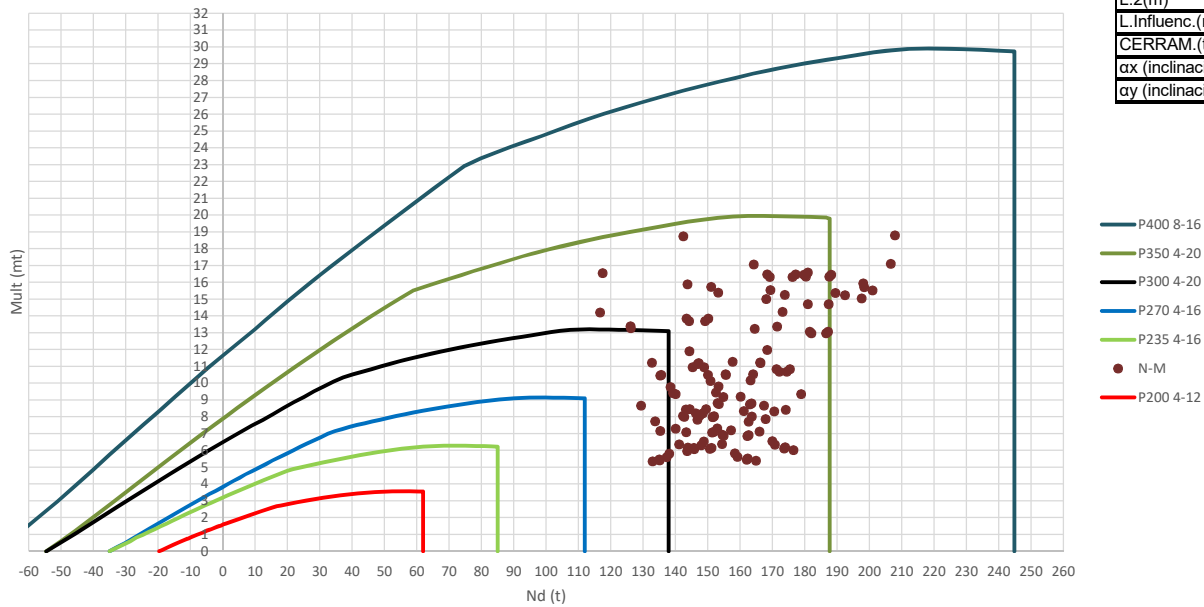
	G+Sx	2	63,25	5,92	63,25	3,96	ELU
	G+Sx	3	84,19	5,95	84,19	3,98	ELU
HIP.28	G-Sx	1	93,63	1,65	93,63	1,10	ELU
	G-Sx	2	86,19	1,67	86,19	1,12	ELU
	G-Sx	3	81,05	1,64	81,05	1,10	ELU
HIP.29	G+Sy	1	130,31	5,71	130,31	3,82	ELU
	G+Sy	2	65,12	5,70	65,12	3,82	ELU
	G+Sy	3	82,58	5,72	82,58	3,83	ELU
HIP.30	G-Sy	1	95,40	1,78	95,40	1,19	ELU
	G-Sy	2	84,31	1,79	84,31	1,20	ELU
	G-Sy	3	82,65	1,77	82,65	1,18	ELU
HIP.31	G+Sx+0,3*Sy	1	137,32	6,53	137,32	4,37	ELU
	G+Sx+0,3*Sy	2	60,37	6,52	60,37	4,36	ELU
	G+Sx+0,3*Sy	3	84,18	6,55	84,18	4,38	ELU
HIP.32	G+Sx-0,3*Sy	1	126,84	5,33	126,84	3,56	ELU
	G+Sx-0,3*Sy	2	66,13	5,32	66,13	3,56	ELU
	G+Sx-0,3*Sy	3	84,20	5,34	84,20	3,57	ELU
HIP.33	G-Sx+0,3*Sy	1	98,87	2,19	98,87	1,46	ELU
	G-Sx+0,3*Sy	2	83,31	2,20	83,31	1,47	ELU
	G-Sx+0,3*Sy	3	81,03	2,18	81,03	1,46	ELU
HIP.34	G-Sx-0,3*Sy	1	88,40	1,18	88,40	0,79	ELU
	G-Sx-0,3*Sy	2	89,06	1,20	89,06	0,81	ELU
	G-Sx-0,3*Sy	3	81,06	1,18	81,06	0,79	ELU
HIP.35	G+Sy+0,3*Sx	1	136,08	6,37	136,08	4,26	ELU
	G+Sy+0,3*Sx	2	61,68	6,37	61,68	4,26	ELU
	G+Sy+0,3*Sx	3	83,05	6,39	83,05	4,28	ELU
HIP.36	G+Sy-0,3*Sx	1	124,54	5,05	124,54	3,38	ELU
	G+Sy-0,3*Sx	2	68,56	5,04	68,56	3,37	ELU
	G+Sy-0,3*Sx	3	82,11	5,06	82,11	3,38	ELU
HIP.37	G-Sy+0,3*Sx	1	101,17	2,40	101,17	1,61	ELU
	G-Sy+0,3*Sx	2	80,87	2,41	80,87	1,61	ELU
	G-Sy+0,3*Sx	3	83,13	2,40	83,13	1,60	ELU
HIP.38	G-Sy-0,3*Sx	1	89,64	1,21	89,64	0,81	ELU
	G-Sy-0,3*Sx	2	87,75	1,23	87,75	0,82	ELU
	G-Sy-0,3*Sx	3	82,18	1,21	82,18	0,81	ELU
HIP.39	G+Sx+0,3*Q	1	143,42	6,75	143,42	4,52	ELU
	G+Sx+0,3*Q	2	66,16	6,75	66,16	4,51	ELU
	G+Sx+0,3*Q	3	88,21	6,77	88,21	4,53	ELU
HIP.40	G-Sx+0,3*Q	1	104,97	2,46	104,97	1,65	ELU
	G-Sx+0,3*Q	2	89,10	2,48	89,10	1,66	ELU
	G-Sx+0,3*Q	3	85,07	2,45	85,07	1,64	ELU
HIP.41	G+Sy+0,3*Q	1	141,65	6,54	141,65	4,37	ELU
	G+Sy+0,3*Q	2	68,03	6,53	68,03	4,37	ELU
	G+Sy+0,3*Q	3	86,60	6,55	86,60	4,38	ELU
HIP.42	G-Sy+0,3*Q	1	106,75	2,61	106,75	1,75	ELU
	G-Sy+0,3*Q	2	87,22	2,62	87,22	1,75	ELU
	G-Sy+0,3*Q	3	86,67	2,60	86,67	1,74	ELU
HIP.43	G+Sx+0,3*Sy+0,3*Q	1	148,66	7,35	148,66	4,92	ELU
	G+Sx+0,3*Sy+0,3*Q	2	63,28	7,35	63,28	4,91	ELU
	G+Sx+0,3*Sy+0,3*Q	3	88,20	7,38	88,20	4,93	ELU
HIP.44	G+Sx-0,3*Sy+0,3*Q	1	138,19	6,16	138,19	4,12	ELU
	G+Sx-0,3*Sy+0,3*Q	2	69,04	6,15	69,04	4,11	ELU
	G+Sx-0,3*Sy+0,3*Q	3	88,22	6,17	88,22	4,13	ELU
HIP.45	G-Sx+0,3*Sy+0,3*Q	1	110,21	3,02	110,21	2,02	ELU
	G-Sx+0,3*Sy+0,3*Q	2	86,22	3,03	86,22	2,03	ELU
	G-Sx+0,3*Sy+0,3*Q	3	85,05	3,01	85,05	2,01	ELU
HIP.46	G-Sx-0,3*Sy+0,3*Q	1	99,74	1,94	99,74	1,30	ELU
	G-Sx-0,3*Sy+0,3*Q	2	91,98	1,96	91,98	1,31	ELU
	G-Sx-0,3*Sy+0,3*Q	3	85,08	1,93	85,08	1,29	ELU
HIP.47	G+Sy+0,3*Sx+0,3*Q	1	147,42	7,20	147,42	4,82	ELU
	G+Sy+0,3*Sx+0,3*Q	2	64,59	7,20	64,59	4,81	ELU
	G+Sy+0,3*Sx+0,3*Q	3	87,07	7,22	87,07	4,83	ELU
HIP.48	G+Sy-0,3*Sx+0,3*Q	1	135,88	5,88	135,88	3,93	ELU
	G+Sy-0,3*Sx+0,3*Q	2	71,47	5,88	71,47	3,93	ELU
	G+Sy-0,3*Sx+0,3*Q	3	86,13	5,89	86,13	3,94	ELU
HIP.49	G-Sy+0,3*Sx+0,3*Q	1	112,51	3,24	112,51	2,17	ELU
	G-Sy+0,3*Sx+0,3*Q	2	83,78	3,24	83,78	2,17	ELU
	G-Sy+0,3*Sx+0,3*Q	3	87,15	3,23	87,15	2,16	ELU
HIP.50	G-Sy-0,3*Sx+0,3*Q	1	100,98	2,01	100,98	1,35	ELU
	G-Sy-0,3*Sx+0,3*Q	2	90,66	2,03	90,66	1,36	ELU
	G-Sy-0,3*Sx+0,3*Q	3	86,20	2,00	86,20	1,34	ELU
HIP.51	G+BOMB	1	118,98	4,52	118,98	3,02	ELU
	G+BOMB	2	71,22	4,52	71,22	3,03	ELU
	G+BOMB	3	80,12	4,51	80,12	3,02	ELU
HIP.52	G+BOMB+0,5*Q	1	137,88	5,91	137,88	3,96	ELU
	G+BOMB+0,5*Q	2	76,08	5,92	76,08	3,96	ELU
	G+BOMB+0,5*Q	3	86,82	5,91	86,82	3,95	ELU
HIP.53	G+BOMB+0,5*V417	1	120,74	4,60	120,74	3,07	ELU
	G+BOMB+0,5*V417	2	73,71	4,60	73,71	3,08	ELU
	G+BOMB+0,5*V417	3	78,48	4,59	78,48	3,07	ELU
HIP.54	G+BOMB+0,5*V418	1	120,29	4,54	120,29	3,04	ELU
	G+BOMB+0,5*V418	2	73,90	4,54	73,90	3,04	ELU
	G+BOMB+0,5*V418	3	78,79	4,53	78,79	3,03	ELU
HIP.55	G+BOMB+0,5*V419	1	117,22	4,47	117,22	2,99	ELU
	G+BOMB+0,5*V419	2	68,73	4,47	68,73	2,99	ELU
	G+BOMB+0,5*V419	3	81,75	4,46	81,75	2,98	ELU
HIP.56	G+BOMB+0,5*V420	1	117,67	4,52	117,67	3,03	ELU
	G+BOMB+0,5*V420	2	68,55	4,53	68,55	3,03	ELU
	G+BOMB+0,5*V420	3	81,44	4,52	81,44	3,02	ELU
HIP.57	G+BOMB+0,5*V421	1	95,71	1,61	95,71	1,08	ELU
	G+BOMB+0,5*V421	2	83,86	1,61	83,86	1,08	ELU

	G+BOMB+0,5*V421	3	93,32	1,60	93,32	1,07	ELU
HIP.58	G+BOMB+0,5*V422	1	100,14	2,10	100,14	1,40	ELU
	G+BOMB+0,5*V422	2	82,03	2,10	82,03	1,40	ELU
	G+BOMB+0,5*V422	3	90,32	2,09	90,32	1,40	ELU
HIP.59	G+BOMB+0,5*V423	1	142,25	7,55	142,25	5,05	ELU
	G+BOMB+0,5*V423	2	58,58	7,55	58,58	5,05	ELU
	G+BOMB+0,5*V423	3	66,92	7,55	66,92	5,05	ELU
HIP.60	G+BOMB+0,5*V424	1	137,82	6,99	137,82	4,67	ELU
	G+BOMB+0,5*V424	2	60,41	6,99	60,41	4,68	ELU
	G+BOMB+0,5*V424	3	69,92	6,98	69,92	4,67	ELU
HIP.61	G+BOMB+0,5*V1+0,3*Q	1	132,09	5,43	132,09	3,63	ELU
	G+BOMB+0,5*V1+0,3*Q	2	76,62	5,44	76,62	3,64	ELU
	G+BOMB+0,5*V1+0,3*Q	3	82,50	5,43	82,50	3,63	ELU
HIP.62	G+BOMB+0,5*V2+0,3*Q	1	131,63	5,38	131,63	3,60	ELU
	G+BOMB+0,5*V2+0,3*Q	2	76,81	5,38	76,81	3,60	ELU
	G+BOMB+0,5*V2+0,3*Q	3	82,81	5,37	82,81	3,59	ELU
HIP.63	G+BOMB+0,5*V3+0,3*Q	1	128,56	5,30	128,56	3,55	ELU
	G+BOMB+0,5*V3+0,3*Q	2	71,65	5,30	71,65	3,55	ELU
	G+BOMB+0,5*V3+0,3*Q	3	85,77	5,29	85,77	3,54	ELU
HIP.64	G+BOMB+0,5*V4+0,3*Q	1	129,01	5,36	129,01	3,58	ELU
	G+BOMB+0,5*V4+0,3*Q	2	71,46	5,36	71,46	3,58	ELU
	G+BOMB+0,5*V4+0,3*Q	3	85,46	5,35	85,46	3,58	ELU
HIP.65	G+BOMB+0,5*V5+0,3*Q	1	107,05	2,40	107,05	1,61	ELU
	G+BOMB+0,5*V5+0,3*Q	2	86,77	2,41	86,77	1,61	ELU
	G+BOMB+0,5*V5+0,3*Q	3	97,34	2,39	97,34	1,60	ELU
HIP.66	G+BOMB+0,5*V6+0,3*Q	1	111,48	2,92	111,48	1,95	ELU
	G+BOMB+0,5*V6+0,3*Q	2	84,95	2,92	84,95	1,95	ELU
	G+BOMB+0,5*V6+0,3*Q	3	94,34	2,91	94,34	1,95	ELU
HIP.67	G+BOMB+0,5*V7+0,3*Q	1	153,59	8,39	153,59	5,61	ELU
	G+BOMB+0,5*V7+0,3*Q	2	61,49	8,39	61,49	5,61	ELU
	G+BOMB+0,5*V7+0,3*Q	3	70,94	8,39	70,94	5,61	ELU
HIP.68	G+BOMB+0,5*V8+0,3*Q	1	149,16	7,82	149,16	5,23	ELU
	G+BOMB+0,5*V8+0,3*Q	2	63,32	7,83	63,32	5,24	ELU
	G+BOMB+0,5*V8+0,3*Q	3	73,94	7,81	73,94	5,23	ELU

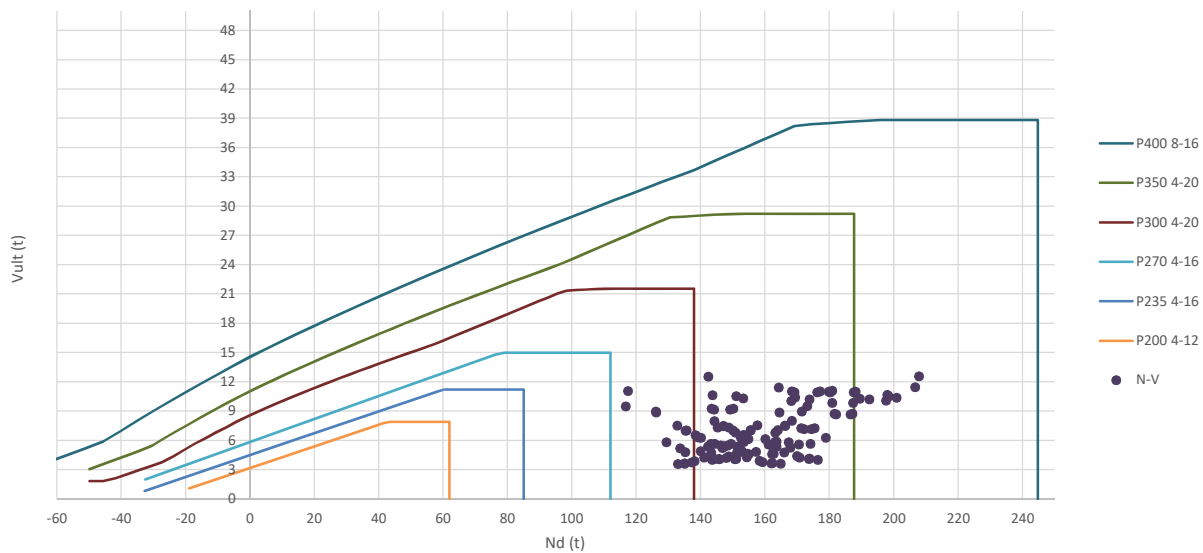
Seccion (mm.)	e _x (m.)	e _y (m.)	Henc. (m.)
400	0,00	1,40	1,25
COMPROBACIÓN (compresión)	CUMPLE		
MAX. AXIL	207,87		(TON)
MIN. AXIL	0,00		(TON)
COMPROBACIÓN (tracción)	CUMPLE		

L.1(m)	0,00
L.2(m)	0,00
L.Influenc.(m)	0,00
CERRAM.(ton.)	0,00
αx (inclinación)	0,00
αy (inclinación)	0,00

Curva de resistencia axil-momento (en cualquier dirección)



Curva de resistencia axil-cortante



PILAR: P53



COMPROBACIÓN ESFUERZOS:

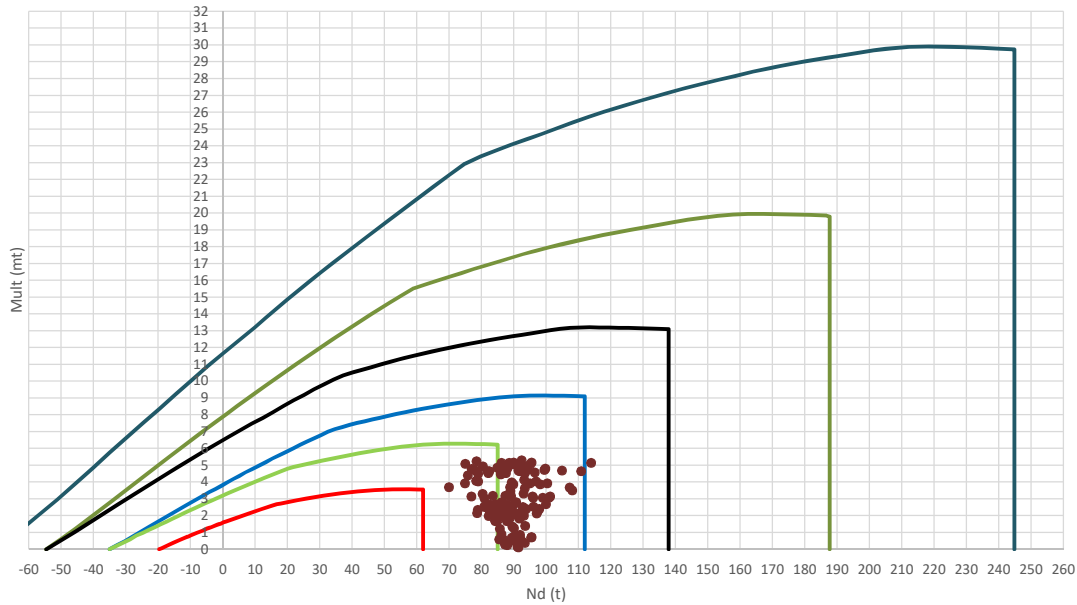
P18147P Parcela R20

	LC: COMB.	nº PILOTE	N _{pilote} (T) a ras de suelo	M ult. Pilote (mT)	N _{pilote} (T) a ras de suelo	V ult.-Pilote (T)	ESTADO LIMITE
HIP.1	G	1	148,80	10,95	148,80	7,33	ELS
	G	2	145,27	10,95	145,27	7,33	ELS
HIP.2	G+Q	1	187,35	14,71	187,35	9,84	ELS
	G+Q	2	180,92	14,71	180,92	9,84	ELS
HIP.3	G+V425	1	150,16	13,85	150,16	9,27	ELS
	G+V425	2	143,35	13,85	143,35	9,27	ELS
HIP.4	G+V426	1	149,18	13,69	149,18	9,16	ELS
	G+V426	2	144,23	13,69	144,23	9,16	ELS
HIP.5	G+V427	1	147,44	8,07	147,44	5,40	ELS
	G+V427	2	147,19	8,07	147,19	5,40	ELS
HIP.6	G+V428	1	148,42	8,22	148,42	5,50	ELS
	G+V428	2	146,31	8,22	146,31	5,50	ELS
HIP.7	G+V429	1	116,72	14,20	116,72	9,50	ELS
	G+V429	2	173,07	14,25	173,07	9,53	ELS
HIP.8	G+V430	1	126,22	13,27	126,22	8,88	ELS
	G+V430	2	164,48	13,24	164,48	8,86	ELS
HIP.9	G+V431	1	180,89	16,59	180,89	11,10	ELS
	G+V431	2	117,46	16,55	117,46	11,07	ELS
HIP.10	G+V432	1	171,38	13,37	171,38	8,94	ELS
	G+V432	2	126,06	13,40	126,06	8,96	ELS
HIP.11	G+Q+0,6*V425	1	188,17	16,45	188,17	11,00	ELS
	G+Q+0,6*V425	2	179,77	16,45	179,77	11,00	ELS
HIP.12	G+Q+0,6*V426	1	187,58	16,35	187,58	10,94	ELS
	G+Q+0,6*V426	2	180,29	16,35	180,29	10,94	ELS
HIP.13	G+Q+0,6*V427	1	186,54	12,97	186,54	8,68	ELS
	G+Q+0,6*V427	2	182,07	12,97	182,07	8,68	ELS
HIP.14	G+Q+0,6*V428	1	187,12	13,06	187,12	8,74	ELS
	G+Q+0,6*V428	2	181,54	13,06	181,54	8,74	ELS
HIP.15	G+Q+0,6*V429	1	168,10	15,01	168,10	10,04	ELS
	G+Q+0,6*V429	2	197,60	15,04	197,60	10,06	ELS
HIP.16	G+Q+0,6*V430	1	173,80	15,27	173,80	10,21	ELS
	G+Q+0,6*V430	2	192,44	15,25	192,44	10,20	ELS
HIP.17	G+Q+0,6*V431	1	206,61	17,11	206,61	11,44	ELS
	G+Q+0,6*V431	2	164,23	17,07	164,23	11,42	ELS
HIP.18	G+Q+0,6*V432	1	200,90	15,52	200,90	10,38	ELS
	G+Q+0,6*V432	2	169,39	15,54	169,39	10,39	ELS
HIP.19	G+V1+0,7*Q	1	177,15	16,48	177,15	11,03	ELS
	G+V1+0,7*Q	2	168,30	16,48	168,30	11,03	ELS
HIP.20	G+V2+0,7*Q	1	176,17	16,32	176,17	10,92	ELS
	G+V2+0,7*Q	2	169,18	16,32	169,18	10,92	ELS
HIP.21	G+V3+0,7*Q	1	174,43	10,69	174,43	7,15	ELS
	G+V3+0,7*Q	2	172,14	10,69	172,14	7,15	ELS
HIP.22	G+V4+0,7*Q	1	175,40	10,84	175,40	7,25	ELS
	G+V4+0,7*Q	2	171,27	10,84	171,27	7,25	ELS
HIP.23	G+V5+0,7*Q	1	143,70	15,89	143,70	10,63	ELS
	G+V5+0,7*Q	2	198,03	15,94	198,03	10,66	ELS
HIP.24	G+V6+0,7*Q	1	153,20	15,39	153,20	10,30	ELS
	G+V6+0,7*Q	2	189,44	15,36	189,44	10,28	ELS
HIP.25	G+V7+0,7*Q	1	207,87	18,80	207,87	12,57	ELS
	G+V7+0,7*Q	2	142,42	18,75	142,42	12,54	ELS
HIP.26	G+V8+0,7*Q	1	198,37	15,71	198,37	10,51	ELS
	G+V8+0,7*Q	2	151,01	15,74	151,01	10,53	ELS
HIP.27	G+Sx	1	162,02	5,45	162,02	3,65	ELU
	G+Sx	2	135,06	5,41	135,06	3,62	ELU
HIP.28	G-Sx	1	135,58	10,49	135,58	7,02	ELU
	G-Sx	2	155,48	10,54	155,48	7,05	ELU
HIP.29	G+Sy	1	158,34	5,84	158,34	3,90	ELU
	G+Sy	2	138,07	5,80	138,07	3,88	ELU
HIP.30	G-Sy	1	139,26	9,42	139,26	6,30	ELU
	G-Sy	2	152,47	9,46	152,47	6,33	ELU
HIP.31	G+Sx+0,3*Sy	1	164,88	5,40	164,88	3,61	ELU
	G+Sx+0,3*Sy	2	132,90	5,36	132,90	3,58	ELU
HIP.32	G+Sx-0,3*Sy	1	159,16	5,63	159,16	3,77	ELU
	G+Sx-0,3*Sy	2	137,22	5,59	137,22	3,74	ELU
HIP.33	G-Sx+0,3*Sy	1	138,44	9,78	138,44	6,54	ELU
	G-Sx+0,3*Sy	2	153,32	9,82	153,32	6,57	ELU
HIP.34	G-Sx-0,3*Sy	1	132,72	11,22	132,72	7,51	ELU
	G-Sx-0,3*Sy	2	157,64	11,28	157,64	7,55	ELU
HIP.35	G+Sy+0,3*Sx	1	162,30	5,52	162,30	3,69	ELU
	G+Sy+0,3*Sx	2	135,01	5,48	135,01	3,66	ELU
HIP.36	G+Sy-0,3*Sx	1	154,37	6,38	154,37	4,27	ELU
	G+Sy-0,3*Sx	2	141,13	6,36	141,13	4,25	ELU
HIP.37	G-Sy+0,3*Sx	1	143,23	8,44	143,23	5,65	ELU
	G-Sy+0,3*Sx	2	149,41	8,46	149,41	5,66	ELU
HIP.38	G-Sy-0,3*Sx	1	135,30	10,45	135,30	6,99	ELU
	G-Sy-0,3*Sx	2	155,53	10,50	155,53	7,02	ELU
HIP.39	G+Sx+0,3*Q	1	173,58	6,12	173,58	4,09	ELU
	G+Sx+0,3*Q	2	145,75	6,08	145,75	4,07	ELU
HIP.40	G-Sx+0,3*Q	1	147,15	11,19	147,15	7,49	ELU

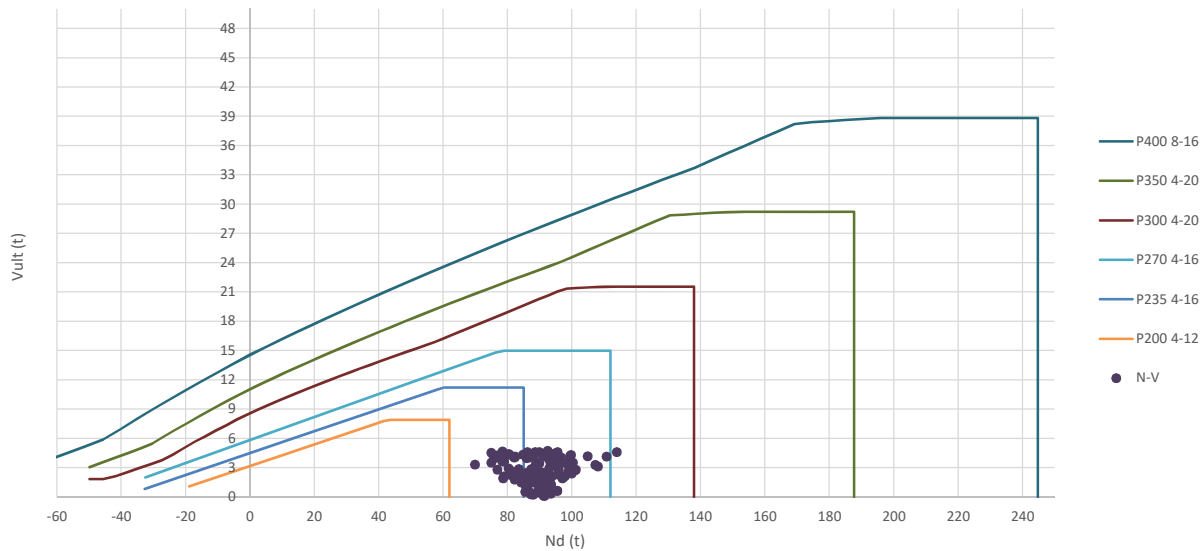
	G-Sx+0,3*Q	2	166,17	11,25	166,17	7,52	ELU
HIP.41	G+Sy+0,3*Q	1	169,90	6,56	169,90	4,39	ELU
	G+Sy+0,3*Q	2	148,76	6,53	148,76	4,37	ELU
HIP.42	G-Sy+0,3*Q	1	150,83	10,14	150,83	6,78	ELU
	G-Sy+0,3*Q	2	163,16	10,18	163,16	6,81	ELU
HIP.43	G+Sx+0,3*Sy+0,3*Q	1	176,45	6,01	176,45	4,02	ELU
	G+Sx+0,3*Sy+0,3*Q	2	143,59	5,97	143,59	3,99	ELU
HIP.44	G+Sx-0,3*Sy+0,3*Q	1	170,72	6,34	170,72	4,24	ELU
	G+Sx-0,3*Sy+0,3*Q	2	147,91	6,31	147,91	4,22	ELU
HIP.45	G-Sx+0,3*Sy+0,3*Q	1	150,01	10,49	150,01	7,02	ELU
	G-Sx+0,3*Sy+0,3*Q	2	164,01	10,54	164,01	7,05	ELU
HIP.46	G-Sx-0,3*Sy+0,3*Q	1	144,29	11,91	144,29	7,97	ELU
	G-Sx-0,3*Sy+0,3*Q	2	168,33	11,97	168,33	8,01	ELU
HIP.47	G+Sy+0,3*Sx+0,3*Q	1	173,87	6,19	173,87	4,14	ELU
	G+Sy+0,3*Sx+0,3*Q	2	145,70	6,15	145,70	4,11	ELU
HIP.48	G+Sy-0,3*Sx+0,3*Q	1	165,94	7,13	165,94	4,77	ELU
	G+Sy-0,3*Sx+0,3*Q	2	151,83	7,11	151,83	4,75	ELU
HIP.49	G-Sy+0,3*Sx+0,3*Q	1	154,80	9,17	154,80	6,14	ELU
	G-Sy+0,3*Sx+0,3*Q	2	160,10	9,20	160,10	6,15	ELU
HIP.50	G-Sy-0,3*Sx+0,3*Q	1	146,87	11,15	146,87	7,46	ELU
	G-Sy-0,3*Sx+0,3*Q	2	166,23	11,20	166,23	7,50	ELU
HIP.51	G+BOMB	1	151,28	7,07	151,28	4,73	ELU
	G+BOMB	2	143,27	7,09	143,27	4,74	ELU
HIP.52	G+BOMB+0,5*Q	1	170,56	8,33	170,56	5,57	ELU
	G+BOMB+0,5*Q	2	161,09	8,35	161,09	5,58	ELU
HIP.53	G+BOMB+0,5*V425	1	151,96	8,04	151,96	5,38	ELU
	G+BOMB+0,5*V425	2	142,31	8,07	142,31	5,40	ELU
HIP.54	G+BOMB+0,5*V426	1	151,47	7,98	151,47	5,34	ELU
	G+BOMB+0,5*V426	2	142,75	8,00	142,75	5,35	ELU
HIP.55	G+BOMB+0,5*V427	1	150,60	6,10	150,60	4,08	ELU
	G+BOMB+0,5*V427	2	144,23	6,12	144,23	4,09	ELU
HIP.56	G+BOMB+0,5*V428	1	151,09	6,16	151,09	4,12	ELU
	G+BOMB+0,5*V428	2	143,79	6,18	143,79	4,13	ELU
HIP.57	G+BOMB+0,5*V429	1	135,24	7,16	135,24	4,79	ELU
	G+BOMB+0,5*V429	2	157,17	7,20	157,17	4,82	ELU
HIP.58	G+BOMB+0,5*V430	1	139,99	7,30	139,99	4,88	ELU
	G+BOMB+0,5*V430	2	152,88	7,31	152,88	4,89	ELU
HIP.59	G+BOMB+0,5*V431	1	167,32	8,66	167,32	5,80	ELU
	G+BOMB+0,5*V431	2	129,37	8,66	129,37	5,80	ELU
HIP.60	G+BOMB+0,5*V432	1	162,57	7,71	162,57	5,16	ELU
	G+BOMB+0,5*V432	2	133,66	7,74	133,66	5,18	ELU
HIP.61	G+BOMB+0,5*V1+0,3*Q	1	163,53	8,80	163,53	5,88	ELU
	G+BOMB+0,5*V1+0,3*Q	2	153,00	8,82	153,00	5,90	ELU
HIP.62	G+BOMB+0,5*V2+0,3*Q	1	163,04	8,74	163,04	5,84	ELU
	G+BOMB+0,5*V2+0,3*Q	2	153,44	8,76	153,44	5,86	ELU
HIP.63	G+BOMB+0,5*V3+0,3*Q	1	162,17	6,85	162,17	4,58	ELU
	G+BOMB+0,5*V3+0,3*Q	2	154,92	6,87	154,92	4,60	ELU
HIP.64	G+BOMB+0,5*V4+0,3*Q	1	162,66	6,91	162,66	4,62	ELU
	G+BOMB+0,5*V4+0,3*Q	2	154,48	6,93	154,48	4,64	ELU
HIP.65	G+BOMB+0,5*V5+0,3*Q	1	146,80	7,82	146,80	5,23	ELU
	G+BOMB+0,5*V5+0,3*Q	2	167,87	7,86	167,87	5,26	ELU
HIP.66	G+BOMB+0,5*V6+0,3*Q	1	151,56	8,01	151,56	5,36	ELU
	G+BOMB+0,5*V6+0,3*Q	2	163,57	8,02	163,57	5,37	ELU
HIP.67	G+BOMB+0,5*V7+0,3*Q	1	178,89	9,36	178,89	6,26	ELU
	G+BOMB+0,5*V7+0,3*Q	2	140,06	9,36	140,06	6,26	ELU
HIP.68	G+BOMB+0,5*V8+0,3*Q	1	174,14	8,43	174,14	5,64	ELU
	G+BOMB+0,5*V8+0,3*Q	2	144,36	8,46	144,36	5,66	ELU

Seccion (mm.)	e _x (m.)	e _y (m.)	Henc. (m.)
300	0,00	1,20	1,00
COMPROBACIÓN (compresión)	CUMPLE		
MAX. AXIL	113,89		(TON)
MIN. AXIL	0,00		(TON)
COMPROBACIÓN (tracción)	CUMPLE		
	L.1(m)		0,00
	L.2(m)		0,00
	L.Influenc.(m)		0,00
	CERRAM.(ton.)		0,00
	αx (inclinación)		0,00
	αy (inclinación)		0,00

Curva de resistencia axil-momento (en cualquier dirección)



Curva de resistencia axil-cortante



PILAR: P54



COMPROBACIÓN ESFUERZOS:

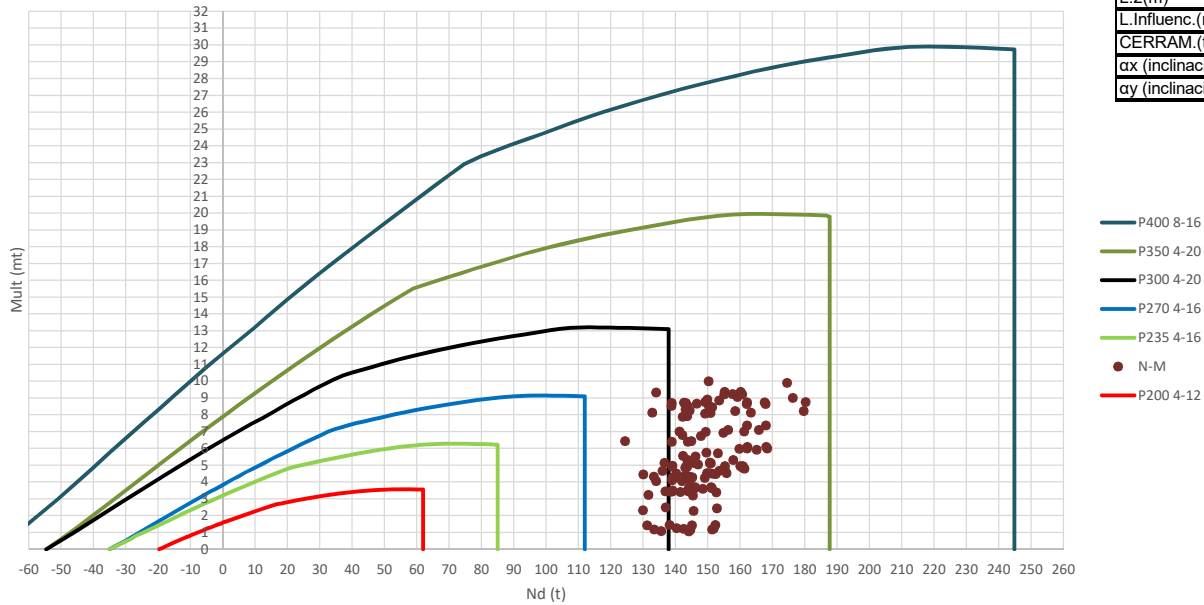
P18147P Parcela R20

	LC: COMB.	nº PILOTE	N _{pilote} (T) a ras de suelo	M ult. Pilote (mT)	N _{pilote} (T) a ras de suelo	V ult.-Pilote (T)	ESTADO LIMITE
HIP.1	G	1	83,47	3,19	83,47	2,85	ELS
	G	2	87,38	3,19	87,38	2,85	ELS
HIP.2	G+Q	1	94,97	3,94	94,97	3,51	ELS
	G+Q	2	100,31	3,94	100,31	3,51	ELS
HIP.3	G+V433	1	81,86	4,65	81,86	4,15	ELS
	G+V433	2	86,46	4,65	86,46	4,15	ELS
HIP.4	G+V434	1	82,11	4,53	82,11	4,04	ELS
	G+V434	2	85,93	4,53	85,93	4,04	ELS
HIP.5	G+V435	1	85,08	1,75	85,08	1,56	ELS
	G+V435	2	88,30	1,75	88,30	1,56	ELS
HIP.6	G+V436	1	84,82	1,88	84,82	1,68	ELS
	G+V436	2	88,82	1,88	88,82	1,68	ELS
HIP.7	G+V437	1	80,93	3,03	80,93	2,70	ELS
	G+V437	2	98,97	3,07	98,97	2,73	ELS
HIP.8	G+V438	1	78,13	4,69	78,13	4,18	ELS
	G+V438	2	104,84	4,69	104,84	4,18	ELS
HIP.9	G+V439	1	86,00	4,46	86,00	3,98	ELS
	G+V439	2	75,78	4,40	75,78	3,93	ELS
HIP.10	G+V440	1	88,80	3,70	88,80	3,30	ELS
	G+V440	2	69,91	3,70	69,91	3,30	ELS
HIP.11	G+Q+0,6*V433	1	94,00	4,81	94,00	4,29	ELS
	G+Q+0,6*V433	2	99,76	4,81	99,76	4,29	ELS
HIP.12	G+Q+0,6*V434	1	94,15	4,73	94,15	4,22	ELS
	G+Q+0,6*V434	2	99,44	4,73	99,44	4,22	ELS
HIP.13	G+Q+0,6*V435	1	95,93	3,07	95,93	2,74	ELS
	G+Q+0,6*V435	2	100,86	3,07	100,86	2,74	ELS
HIP.14	G+Q+0,6*V436	1	95,78	3,15	95,78	2,81	ELS
	G+Q+0,6*V436	2	101,18	3,15	101,18	2,81	ELS
HIP.15	G+Q+0,6*V437	1	93,44	3,64	93,44	3,25	ELS
	G+Q+0,6*V437	2	107,27	3,67	107,27	3,27	ELS
HIP.16	G+Q+0,6*V438	1	91,77	4,64	91,77	4,14	ELS
	G+Q+0,6*V438	2	110,79	4,64	110,79	4,14	ELS
HIP.17	G+Q+0,6*V439	1	96,49	4,56	96,49	4,07	ELS
	G+Q+0,6*V439	2	93,35	4,53	93,35	4,04	ELS
HIP.18	G+Q+0,6*V440	1	98,17	3,87	98,17	3,45	ELS
	G+Q+0,6*V440	2	89,83	3,87	89,83	3,45	ELS
HIP.19	G+V1+0,7*Q	1	89,91	5,17	89,91	4,61	ELS
	G+V1+0,7*Q	2	95,51	5,17	95,51	4,61	ELS
HIP.20	G+V2+0,7*Q	1	90,16	5,04	90,16	4,50	ELS
	G+V2+0,7*Q	2	94,99	5,04	94,99	4,50	ELS
HIP.21	G+V3+0,7*Q	1	93,12	2,27	93,12	2,03	ELS
	G+V3+0,7*Q	2	97,35	2,27	97,35	2,03	ELS
HIP.22	G+V4+0,7*Q	1	92,87	2,40	92,87	2,14	ELS
	G+V4+0,7*Q	2	97,87	2,40	97,87	2,14	ELS
HIP.23	G+V5+0,7*Q	1	88,98	3,48	88,98	3,10	ELS
	G+V5+0,7*Q	2	108,02	3,52	108,02	3,14	ELS
HIP.24	G+V6+0,7*Q	1	86,18	5,15	86,18	4,60	ELS
	G+V6+0,7*Q	2	113,89	5,15	113,89	4,60	ELS
HIP.25	G+V7+0,7*Q	1	94,05	4,91	94,05	4,38	ELS
	G+V7+0,7*Q	2	84,84	4,86	84,84	4,33	ELS
HIP.26	G+V8+0,7*Q	1	96,85	4,04	96,85	3,61	ELS
	G+V8+0,7*Q	2	78,97	4,04	78,97	3,61	ELS
HIP.27	G+Sx	1	89,96	0,54	89,96	0,48	ELU
	G+Sx	2	86,72	0,58	86,72	0,52	ELU
HIP.28	G-Sx	1	76,98	4,79	76,98	4,27	ELU
	G-Sx	2	88,04	4,84	88,04	4,31	ELU
HIP.29	G+Sy	1	90,08	1,26	90,08	1,12	ELU
	G+Sy	2	85,65	1,23	85,65	1,10	ELU
HIP.30	G-Sy	1	76,86	3,14	76,86	2,80	ELU
	G-Sy	2	89,10	3,17	89,10	2,83	ELU
HIP.31	G+Sx+0,3*Sy	1	91,94	0,86	91,94	0,76	ELU
	G+Sx+0,3*Sy	2	86,20	0,91	86,20	0,81	ELU
HIP.32	G+Sx-0,3*Sy	1	87,97	0,25	87,97	0,22	ELU
	G+Sx-0,3*Sy	2	87,24	0,29	87,24	0,26	ELU
HIP.33	G-Sx+0,3*Sy	1	78,96	4,50	78,96	4,01	ELU
	G-Sx+0,3*Sy	2	87,52	4,53	87,52	4,04	ELU
HIP.34	G-Sx-0,3*Sy	1	74,99	5,09	74,99	4,54	ELU
	G-Sx-0,3*Sy	2	88,55	5,14	88,55	4,59	ELU
HIP.35	G+Sy+0,3*Sx	1	92,03	0,63	92,03	0,57	ELU
	G+Sy+0,3*Sx	2	85,45	0,60	85,45	0,54	ELU
HIP.36	G+Sy-0,3*Sx	1	88,13	2,01	88,13	1,79	ELU
	G+Sy-0,3*Sx	2	85,85	1,99	85,85	1,78	ELU
HIP.37	G-Sy+0,3*Sx	1	78,80	2,35	78,80	2,10	ELU
	G-Sy+0,3*Sx	2	88,91	2,37	88,91	2,11	ELU
HIP.38	G-Sy-0,3*Sx	1	74,91	3,93	74,91	3,51	ELU
	G-Sy-0,3*Sx	2	89,30	3,98	89,30	3,55	ELU
HIP.39	G+Sx+0,3*Q	1	93,41	0,39	93,41	0,35	ELU
	G+Sx+0,3*Q	2	90,60	0,43	90,60	0,39	ELU
HIP.40	G-Sx+0,3*Q	1	80,43	4,94	80,43	4,41	ELU

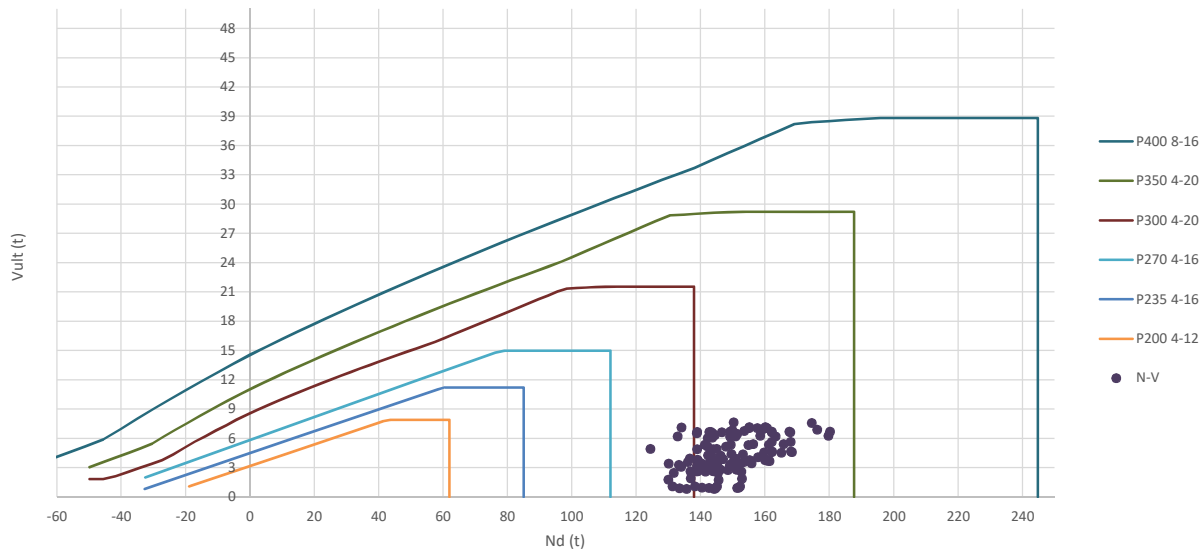
	G-Sx+0,3*Q	2	91,92	4,98	91,92	4,45	ELU
HIP.41	G+Sy+0,3*Q	1	93,53	1,39	93,53	1,24	ELU
	G+Sy+0,3*Q	2	89,53	1,36	89,53	1,21	ELU
HIP.42	G-Sy+0,3*Q	1	80,30	3,29	80,30	2,93	ELU
	G-Sy+0,3*Q	2	92,98	3,32	92,98	2,96	ELU
HIP.43	G+Sx+0,3*Sy+0,3*Q	1	95,39	0,71	95,39	0,63	ELU
	G+Sx+0,3*Sy+0,3*Q	2	90,08	0,76	90,08	0,68	ELU
HIP.44	G+Sx-0,3*Sy+0,3*Q	1	91,42	0,12	91,42	0,11	ELU
	G+Sx-0,3*Sy+0,3*Q	2	91,12	0,16	91,12	0,14	ELU
HIP.45	G-Sx+0,3*Sy+0,3*Q	1	82,41	4,65	82,41	4,15	ELU
	G-Sx+0,3*Sy+0,3*Q	2	91,40	4,68	91,40	4,18	ELU
HIP.46	G-Sx-0,3*Sy+0,3*Q	1	78,44	5,24	78,44	4,67	ELU
	G-Sx-0,3*Sy+0,3*Q	2	92,43	5,29	92,43	4,72	ELU
HIP.47	G+Sy+0,3*Sx+0,3*Q	1	95,48	0,72	95,48	0,64	ELU
	G+Sy+0,3*Sx+0,3*Q	2	89,33	0,68	89,33	0,61	ELU
HIP.48	G+Sy-0,3*Sx+0,3*Q	1	91,58	2,15	91,58	1,92	ELU
	G+Sy-0,3*Sx+0,3*Q	2	89,73	2,13	89,73	1,90	ELU
HIP.49	G-Sy+0,3*Sx+0,3*Q	1	82,25	2,50	82,25	2,23	ELU
	G-Sy+0,3*Sx+0,3*Q	2	92,79	2,52	92,79	2,24	ELU
HIP.50	G-Sy-0,3*Sx+0,3*Q	1	78,36	4,08	78,36	3,64	ELU
	G-Sy-0,3*Sx+0,3*Q	2	93,18	4,13	93,18	3,68	ELU
HIP.51	G+BOMB	1	83,51	2,16	83,51	1,93	ELU
	G+BOMB	2	87,35	2,16	87,35	1,93	ELU
HIP.52	G+BOMB+0,5*Q	1	89,26	2,41	89,26	2,15	ELU
	G+BOMB+0,5*Q	2	93,81	2,41	93,81	2,15	ELU
HIP.53	G+BOMB+0,5*V433	1	82,70	2,65	82,70	2,36	ELU
	G+BOMB+0,5*V433	2	86,89	2,65	86,89	2,36	ELU
HIP.54	G+BOMB+0,5*V434	1	82,83	2,61	82,83	2,32	ELU
	G+BOMB+0,5*V434	2	86,63	2,61	86,63	2,32	ELU
HIP.55	G+BOMB+0,5*V435	1	84,31	1,68	84,31	1,50	ELU
	G+BOMB+0,5*V435	2	87,81	1,68	87,81	1,50	ELU
HIP.56	G+BOMB+0,5*V436	1	84,19	1,72	84,19	1,53	ELU
	G+BOMB+0,5*V436	2	88,07	1,72	88,07	1,53	ELU
HIP.57	G+BOMB+0,5*V437	1	82,24	1,98	82,24	1,77	ELU
	G+BOMB+0,5*V437	2	93,15	2,00	93,15	1,78	ELU
HIP.58	G+BOMB+0,5*V438	1	80,84	2,54	80,84	2,26	ELU
	G+BOMB+0,5*V438	2	96,08	2,54	96,08	2,26	ELU
HIP.59	G+BOMB+0,5*V439	1	84,77	2,52	84,77	2,25	ELU
	G+BOMB+0,5*V439	2	81,55	2,51	81,55	2,23	ELU
HIP.60	G+BOMB+0,5*V440	1	86,17	2,15	86,17	1,91	ELU
	G+BOMB+0,5*V440	2	78,62	2,15	78,62	1,91	ELU
HIP.61	G+BOMB+0,5*V1+0,3*Q	1	86,15	2,79	86,15	2,49	ELU
	G+BOMB+0,5*V1+0,3*Q	2	90,77	2,79	90,77	2,49	ELU
HIP.62	G+BOMB+0,5*V2+0,3*Q	1	86,28	2,75	86,28	2,46	ELU
	G+BOMB+0,5*V2+0,3*Q	2	90,51	2,75	90,51	2,46	ELU
HIP.63	G+BOMB+0,5*V3+0,3*Q	1	87,76	1,83	87,76	1,63	ELU
	G+BOMB+0,5*V3+0,3*Q	2	91,69	1,83	91,69	1,63	ELU
HIP.64	G+BOMB+0,5*V4+0,3*Q	1	87,63	1,87	87,63	1,67	ELU
	G+BOMB+0,5*V4+0,3*Q	2	91,95	1,87	91,95	1,67	ELU
HIP.65	G+BOMB+0,5*V5+0,3*Q	1	85,69	2,13	85,69	1,90	ELU
	G+BOMB+0,5*V5+0,3*Q	2	97,02	2,14	97,02	1,91	ELU
HIP.66	G+BOMB+0,5*V6+0,3*Q	1	84,29	2,68	84,29	2,39	ELU
	G+BOMB+0,5*V6+0,3*Q	2	99,96	2,68	99,96	2,39	ELU
HIP.67	G+BOMB+0,5*V7+0,3*Q	1	88,22	2,66	88,22	2,38	ELU
	G+BOMB+0,5*V7+0,3*Q	2	85,43	2,65	85,43	2,36	ELU
HIP.68	G+BOMB+0,5*V8+0,3*Q	1	89,62	2,28	89,62	2,03	ELU
	G+BOMB+0,5*V8+0,3*Q	2	82,50	2,28	82,50	2,03	ELU

Seccion (mm.)	e _x (m.)	e _y (m.)	Henc. (m.)
350	0,00	1,25	1,00
COMPROBACIÓN (compresión)	CUMPLE		
MAX. AXIL	180,21		(TON)
MIN. AXIL	0,00		(TON)
COMPROBACIÓN (tracción)	CUMPLE		
L.1(m)	0,00		
L.2(m)	0,00		
L.Influenc.(m)	0,00		
CERRAM.(ton.)	0,00		
αx (inclinación)	0,00		
αy (inclinación)	0,00		

Curva de resistencia axil-momento (en cualquier dirección)



Curva de resistencia axil-cortante



PILAR: P55



COMPROBACIÓN ESFUERZOS:

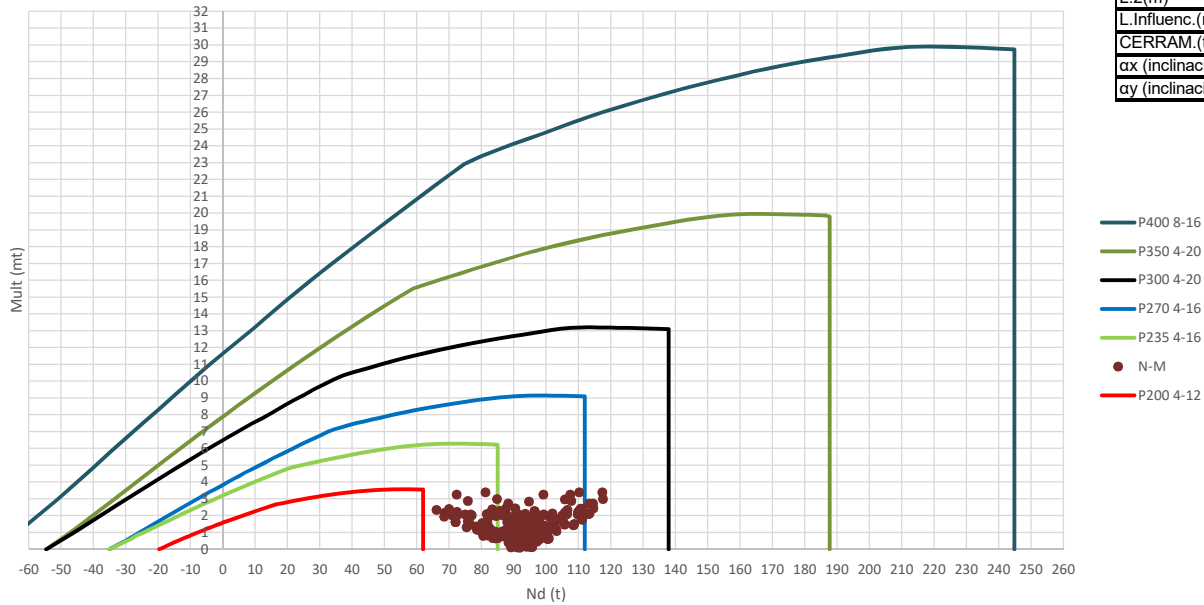
P18147P Parcela R20

	LC: COMB.	nº PILOTE	N _{pilote} (T) a ras de suelo	M ult. Pilote (mT)	N _{pilote} (T) a ras de suelo	V ult-Pilote (T)	ESTADO LIMITE
HIP.1	G	1	138,89	6,40	138,89	4,89	ELS
	G	2	143,84	6,40	143,84	4,89	ELS
HIP.2	G+Q	1	162,12	7,37	162,12	5,64	ELS
	G+Q	2	167,97	7,37	167,97	5,64	ELS
HIP.3	G+V441	1	138,90	4,13	138,90	3,15	ELS
	G+V441	2	144,47	4,13	144,47	3,15	ELS
HIP.4	G+V442	1	139,00	4,27	139,00	3,27	ELS
	G+V442	2	143,99	4,27	143,99	3,27	ELS
HIP.5	G+V443	1	138,88	8,70	138,88	6,65	ELS
	G+V443	2	143,21	8,70	143,21	6,65	ELS
HIP.6	G+V444	1	138,79	8,54	138,79	6,53	ELS
	G+V444	2	143,70	8,54	143,70	6,53	ELS
HIP.7	G+V445	1	134,00	9,33	134,00	7,14	ELS
	G+V445	2	157,61	9,25	157,61	7,07	ELS
HIP.8	G+V446	1	132,85	8,13	132,85	6,22	ELS
	G+V446	2	163,32	8,13	163,32	6,22	ELS
HIP.9	G+V447	1	143,78	4,37	143,78	3,34	ELS
	G+V447	2	130,08	4,46	130,08	3,41	ELS
HIP.10	G+V448	1	144,93	6,44	144,93	4,93	ELS
	G+V448	2	124,36	6,44	124,36	4,93	ELS
HIP.11	G+Q+0,6*V441	1	162,13	6,00	162,13	4,59	ELS
	G+Q+0,6*V441	2	168,34	6,00	168,34	4,59	ELS
HIP.12	G+Q+0,6*V442	1	162,18	6,09	162,18	4,66	ELS
	G+Q+0,6*V442	2	168,05	6,09	168,05	4,66	ELS
HIP.13	G+Q+0,6*V443	1	162,11	8,75	162,11	6,69	ELS
	G+Q+0,6*V443	2	167,59	8,75	167,59	6,69	ELS
HIP.14	G+Q+0,6*V444	1	162,06	8,65	162,06	6,62	ELS
	G+Q+0,6*V444	2	167,88	8,65	167,88	6,62	ELS
HIP.15	G+Q+0,6*V445	1	159,19	9,07	159,19	6,94	ELS
	G+Q+0,6*V445	2	176,23	9,02	176,23	6,89	ELS
HIP.16	G+Q+0,6*V446	1	158,50	8,22	158,50	6,29	ELS
	G+Q+0,6*V446	2	179,65	8,22	179,65	6,29	ELS
HIP.17	G+Q+0,6*V447	1	165,05	5,93	165,05	4,53	ELS
	G+Q+0,6*V447	2	159,70	5,99	159,70	4,58	ELS
HIP.18	G+Q+0,6*V448	1	165,74	7,10	165,74	5,43	ELS
	G+Q+0,6*V448	2	156,28	7,10	156,28	5,43	ELS
HIP.19	G+V1+0,7*Q	1	155,16	4,81	155,16	3,67	ELS
	G+V1+0,7*Q	2	161,36	4,81	161,36	3,67	ELS
HIP.20	G+V2+0,7*Q	1	155,26	4,95	155,26	3,79	ELS
	G+V2+0,7*Q	2	160,87	4,95	160,87	3,79	ELS
HIP.21	G+V3+0,7*Q	1	155,14	9,38	155,14	7,17	ELS
	G+V3+0,7*Q	2	160,10	9,38	160,10	7,17	ELS
HIP.22	G+V4+0,7*Q	1	155,04	9,22	155,04	7,05	ELS
	G+V4+0,7*Q	2	160,59	9,22	160,59	7,05	ELS
HIP.23	G+V5+0,7*Q	1	150,26	10,00	150,26	7,65	ELS
	G+V5+0,7*Q	2	174,50	9,91	174,50	7,58	ELS
HIP.24	G+V6+0,7*Q	1	149,11	8,76	149,11	6,70	ELS
	G+V6+0,7*Q	2	180,21	8,76	180,21	6,70	ELS
HIP.25	G+V7+0,7*Q	1	160,04	4,96	160,04	3,79	ELS
	G+V7+0,7*Q	2	146,96	5,05	146,96	3,86	ELS
HIP.26	G+V8+0,7*Q	1	161,19	7,02	161,19	5,37	ELS
	G+V8+0,7*Q	2	141,25	7,02	141,25	5,37	ELS
HIP.27	G+Sx	1	144,39	8,27	144,39	6,33	ELU
	G+Sx	2	143,10	8,33	143,10	6,36	ELU
HIP.28	G-Sx	1	133,39	1,18	133,39	0,90	ELU
	G-Sx	2	144,59	1,17	144,59	0,90	ELU
HIP.29	G+Sy	1	146,18	5,53	146,18	4,23	ELU
	G+Sy	2	142,32	5,57	142,32	4,26	ELU
HIP.30	G-Sy	1	131,60	3,24	131,60	2,48	ELU
	G-Sy	2	145,37	3,21	145,37	2,45	ELU
HIP.31	G+Sx+0,3*Sy	1	146,58	8,67	146,58	6,63	ELU
	G+Sx+0,3*Sy	2	142,64	8,73	142,64	6,67	ELU
HIP.32	G+Sx-0,3*Sy	1	142,21	7,89	142,21	6,03	ELU
	G+Sx-0,3*Sy	2	143,56	7,93	143,56	6,06	ELU
HIP.33	G-Sx+0,3*Sy	1	135,58	1,08	135,58	0,83	ELU
	G-Sx+0,3*Sy	2	144,13	1,06	144,13	0,81	ELU
HIP.34	G-Sx-0,3*Sy	1	131,21	1,43	131,21	1,09	ELU
	G-Sx-0,3*Sy	2	145,04	1,44	145,04	1,10	ELU
HIP.35	G+Sy+0,3*Sx	1	147,83	6,75	147,83	5,16	ELU
	G+Sy+0,3*Sx	2	142,10	6,81	142,10	5,20	ELU
HIP.36	G+Sy-0,3*Sx	1	144,53	4,31	144,53	3,29	ELU
	G+Sy-0,3*Sx	2	142,54	4,34	142,54	3,31	ELU
HIP.37	G-Sy+0,3*Sx	1	133,25	4,32	133,25	3,30	ELU
	G-Sy+0,3*Sx	2	145,14	4,29	145,14	3,28	ELU
HIP.38	G-Sy-0,3*Sx	1	129,95	2,33	129,95	1,78	ELU
	G-Sy-0,3*Sx	2	145,59	2,29	145,59	1,75	ELU
HIP.39	G+Sx+0,3*Q	1	151,36	8,47	151,36	6,47	ELU
	G+Sx+0,3*Q	2	150,34	8,52	150,34	6,51	ELU
HIP.40	G-Sx+0,3*Q	1	140,36	1,25	140,36	0,96	ELU

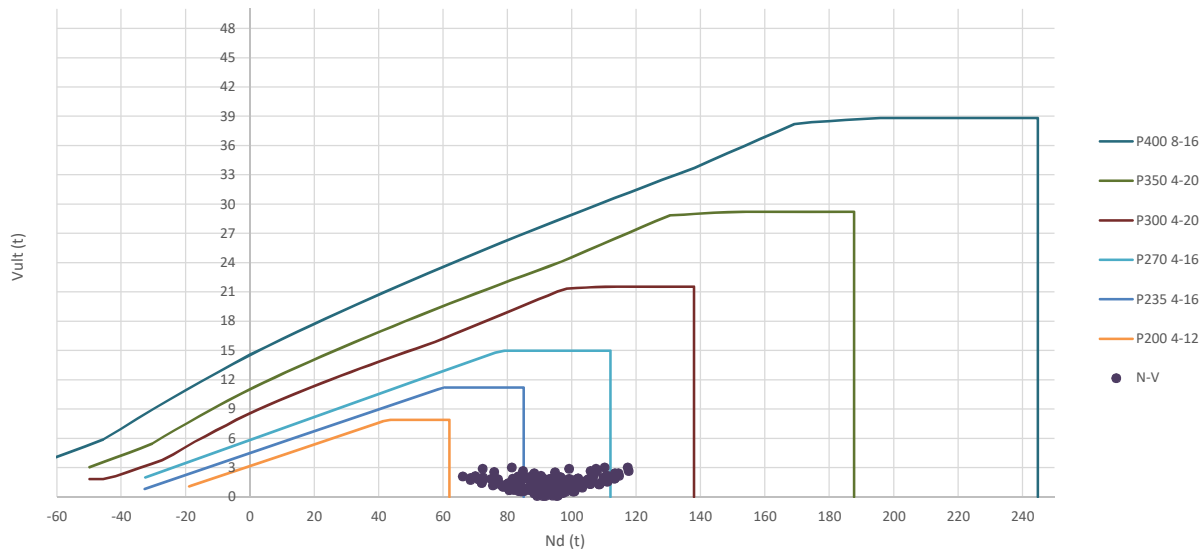
	G-Sx+0,3*Q	2	151,82	1,24	151,82	0,95	ELU
HIP.41	G+Sy+0,3*Q	1	153,15	5,72	153,15	4,37	ELU
	G+Sy+0,3*Q	2	149,56	5,76	149,56	4,40	ELU
HIP.42	G-Sy+0,3*Q	1	138,57	3,43	138,57	2,62	ELU
	G-Sy+0,3*Q	2	152,60	3,39	152,60	2,59	ELU
HIP.43	G+Sx+0,3*Sy+0,3*Q	1	153,55	8,86	153,55	6,77	ELU
	G+Sx+0,3*Sy+0,3*Q	2	149,88	8,92	149,88	6,82	ELU
HIP.44	G+Sx-0,3*Sy+0,3*Q	1	149,17	8,08	149,17	6,18	ELU
	G+Sx-0,3*Sy+0,3*Q	2	150,79	8,12	150,79	6,21	ELU
HIP.45	G-Sx+0,3*Sy+0,3*Q	1	142,55	1,22	142,55	0,93	ELU
	G-Sx+0,3*Sy+0,3*Q	2	151,37	1,19	151,37	0,91	ELU
HIP.46	G-Sx-0,3*Sy+0,3*Q	1	138,17	1,44	138,17	1,10	ELU
	G-Sx-0,3*Sy+0,3*Q	2	152,28	1,45	152,28	1,11	ELU
HIP.47	G+Sy+0,3*Sx+0,3*Q	1	154,80	6,94	154,80	5,31	ELU
	G+Sy+0,3*Sx+0,3*Q	2	149,33	7,00	149,33	5,35	ELU
HIP.48	G+Sy-0,3*Sx+0,3*Q	1	151,50	4,50	151,50	3,44	ELU
	G+Sy-0,3*Sx+0,3*Q	2	149,78	4,53	149,78	3,46	ELU
HIP.49	G-Sy+0,3*Sx+0,3*Q	1	140,22	4,51	140,22	3,45	ELU
	G-Sy+0,3*Sx+0,3*Q	2	152,38	4,49	152,38	3,43	ELU
HIP.50	G-Sy-0,3*Sx+0,3*Q	1	136,92	2,49	136,92	1,91	ELU
	G-Sy-0,3*Sx+0,3*Q	2	152,83	2,45	152,83	1,87	ELU
HIP.51	G+BOMB	1	139,04	4,21	139,04	3,22	ELU
	G+BOMB	2	143,71	4,21	143,71	3,22	ELU
HIP.52	G+BOMB+0,5*Q	1	150,65	4,53	150,65	3,47	ELU
	G+BOMB+0,5*Q	2	155,78	4,53	155,78	3,47	ELU
HIP.53	G+BOMB+0,5*V441	1	139,04	3,45	139,04	2,64	ELU
	G+BOMB+0,5*V441	2	144,03	3,45	144,03	2,64	ELU
HIP.54	G+BOMB+0,5*V442	1	139,09	3,50	139,09	2,67	ELU
	G+BOMB+0,5*V442	2	143,79	3,50	143,79	2,67	ELU
HIP.55	G+BOMB+0,5*V443	1	139,04	4,98	139,04	3,80	ELU
	G+BOMB+0,5*V443	2	143,40	4,98	143,40	3,80	ELU
HIP.56	G+BOMB+0,5*V444	1	138,99	4,92	138,99	3,76	ELU
	G+BOMB+0,5*V444	2	143,64	4,92	143,64	3,76	ELU
HIP.57	G+BOMB+0,5*V445	1	136,60	5,15	136,60	3,94	ELU
	G+BOMB+0,5*V445	2	150,60	5,12	150,60	3,91	ELU
HIP.58	G+BOMB+0,5*V446	1	136,02	4,67	136,02	3,57	ELU
	G+BOMB+0,5*V446	2	153,45	4,67	153,45	3,57	ELU
HIP.59	G+BOMB+0,5*V447	1	141,48	3,41	141,48	2,61	ELU
	G+BOMB+0,5*V447	2	136,83	3,44	136,83	2,63	ELU
HIP.60	G+BOMB+0,5*V448	1	142,06	4,06	142,06	3,11	ELU
	G+BOMB+0,5*V448	2	133,98	4,06	133,98	3,11	ELU
HIP.61	G+BOMB+0,5*V1+0,3*Q	1	146,01	3,64	146,01	2,78	ELU
	G+BOMB+0,5*V1+0,3*Q	2	151,27	3,64	151,27	2,78	ELU
HIP.62	G+BOMB+0,5*V2+0,3*Q	1	146,06	3,69	146,06	2,82	ELU
	G+BOMB+0,5*V2+0,3*Q	2	151,02	3,69	151,02	2,82	ELU
HIP.63	G+BOMB+0,5*V3+0,3*Q	1	146,00	5,17	146,00	3,95	ELU
	G+BOMB+0,5*V3+0,3*Q	2	150,64	5,17	150,64	3,95	ELU
HIP.64	G+BOMB+0,5*V4+0,3*Q	1	145,96	5,12	145,96	3,91	ELU
	G+BOMB+0,5*V4+0,3*Q	2	150,88	5,12	150,88	3,91	ELU
HIP.65	G+BOMB+0,5*V5+0,3*Q	1	143,56	5,34	143,56	4,08	ELU
	G+BOMB+0,5*V5+0,3*Q	2	157,84	5,31	157,84	4,06	ELU
HIP.66	G+BOMB+0,5*V6+0,3*Q	1	142,99	4,86	142,99	3,72	ELU
	G+BOMB+0,5*V6+0,3*Q	2	160,69	4,86	160,69	3,72	ELU
HIP.67	G+BOMB+0,5*V7+0,3*Q	1	148,45	3,60	148,45	2,75	ELU
	G+BOMB+0,5*V7+0,3*Q	2	144,07	3,63	144,07	2,78	ELU
HIP.68	G+BOMB+0,5*V8+0,3*Q	1	149,03	4,25	149,03	3,25	ELU
	G+BOMB+0,5*V8+0,3*Q	2	141,21	4,25	141,21	3,25	ELU

Seccion (mm.)	e _x (m.)	e _y (m.)	Henc. (m.)
300	1,20	1,20	0,90
COMPROBACIÓN (compresión)	CUMPLE		
MAX. AXIL	117,61		(TON)
MIN. AXIL	0,00		(TON)
COMPROBACIÓN (tracción)	CUMPLE		
L.1(m)	0,00		
L.2(m)	0,00		
L.Influenc.(m)	0,00		
CERRAM.(ton.)	0,00		
αx (inclinación)	0,00		
αy (inclinación)	0,00		

Curva de resistencia axil-momento (en cualquier dirección)



Curva de resistencia axil-cortante



PILAR: P56



COMPROBACIÓN ESFUERZOS:

P18147P Parcela R20

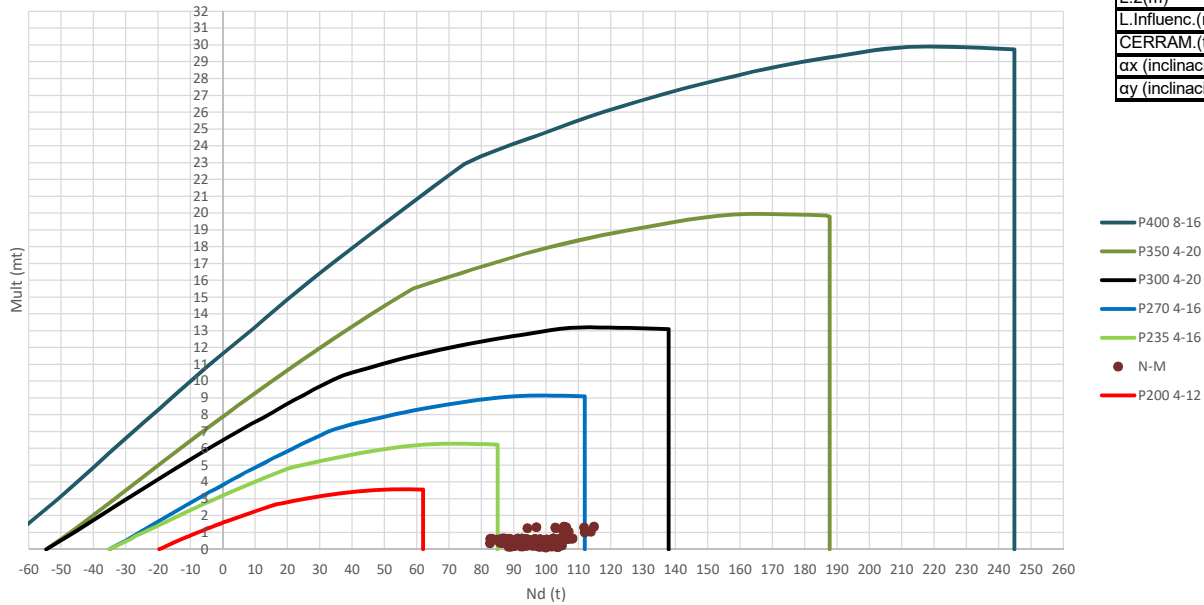
	LC: COMB.	nº PILOTE	N _{pilote} (T) a ras de suelo	M ult. Pilote (mT)	N _{pilote} (T) a ras de suelo	V ult.-Pilote (T)	ESTADO LIMITE
HIP.1	G	1	80,13	1,50	80,13	1,34	ELS
	G	2	95,07	1,50	95,07	1,34	ELS
	G	3	89,74	1,50	89,74	1,34	ELS
HIP.2	G+Q	1	92,98	1,78	92,98	1,59	ELS
	G+Q	2	110,88	1,78	110,88	1,59	ELS
	G+Q	3	103,81	1,78	103,81	1,59	ELS
HIP.3	G+V449	1	76,67	2,08	76,67	1,86	ELS
	G+V449	2	99,19	2,08	99,19	1,86	ELS
	G+V449	3	86,56	2,08	86,56	1,86	ELS
HIP.4	G+V450	1	76,99	2,02	76,99	1,81	ELS
	G+V450	2	98,79	2,02	98,79	1,81	ELS
	G+V450	3	86,59	2,02	86,59	1,81	ELS
HIP.5	G+V451	1	83,58	1,07	83,58	0,96	ELS
	G+V451	2	90,94	1,07	90,94	0,96	ELS
	G+V451	3	92,92	1,07	92,92	0,96	ELS
HIP.6	G+V452	1	83,26	1,12	83,26	1,00	ELS
	G+V452	2	91,35	1,12	91,35	1,00	ELS
	G+V452	3	92,89	1,12	92,89	1,00	ELS
HIP.7	G+V453	1	75,80	2,87	75,80	2,56	ELS
	G+V453	2	94,72	2,85	94,72	2,54	ELS
	G+V453	3	107,76	2,87	107,76	2,56	ELS
HIP.8	G+V454	1	72,27	3,25	72,27	2,90	ELS
	G+V454	2	99,14	3,25	99,14	2,90	ELS
	G+V454	3	107,48	3,25	107,48	2,90	ELS
HIP.9	G+V455	1	84,45	1,99	84,45	1,78	ELS
	G+V455	2	95,42	1,97	95,42	1,76	ELS
	G+V455	3	71,72	1,97	71,72	1,75	ELS
HIP.10	G+V456	1	87,98	1,62	87,98	1,44	ELS
	G+V456	2	91,00	1,62	91,00	1,44	ELS
	G+V456	3	72,00	1,62	72,00	1,44	ELS
HIP.11	G+Q+0,6*V449	1	90,91	2,13	90,91	1,90	ELS
	G+Q+0,6*V449	2	113,36	2,13	113,36	1,90	ELS
	G+Q+0,6*V449	3	101,90	2,13	101,90	1,90	ELS
HIP.12	G+Q+0,6*V450	1	91,10	2,09	91,10	1,87	ELS
	G+Q+0,6*V450	2	113,11	2,09	113,11	1,87	ELS
	G+Q+0,6*V450	3	101,91	2,09	101,91	1,87	ELS
HIP.13	G+Q+0,6*V451	1	95,05	1,48	95,05	1,32	ELS
	G+Q+0,6*V451	2	108,41	1,48	108,41	1,32	ELS
	G+Q+0,6*V451	3	105,72	1,48	105,72	1,32	ELS
HIP.14	G+Q+0,6*V452	1	94,87	1,51	94,87	1,35	ELS
	G+Q+0,6*V452	2	108,65	1,51	108,65	1,35	ELS
	G+Q+0,6*V452	3	105,70	1,51	105,70	1,35	ELS
HIP.15	G+Q+0,6*V453	1	90,39	2,43	90,39	2,17	ELS
	G+Q+0,6*V453	2	110,67	2,42	110,67	2,16	ELS
	G+Q+0,6*V453	3	114,62	2,44	114,62	2,18	ELS
HIP.16	G+Q+0,6*V454	1	88,27	2,73	88,27	2,43	ELS
	G+Q+0,6*V454	2	113,32	2,73	113,32	2,43	ELS
	G+Q+0,6*V454	3	114,45	2,73	114,45	2,43	ELS
HIP.17	G+Q+0,6*V455	1	95,58	1,79	95,58	1,59	ELS
	G+Q+0,6*V455	2	111,09	1,78	111,09	1,59	ELS
	G+Q+0,6*V455	3	92,99	1,77	92,99	1,58	ELS
HIP.18	G+Q+0,6*V456	1	97,70	1,43	97,70	1,27	ELS
	G+Q+0,6*V456	2	108,44	1,43	108,44	1,27	ELS
	G+Q+0,6*V456	3	93,16	1,43	93,16	1,27	ELS
HIP.19	G+V1+0,7*Q	1	85,67	2,28	85,67	2,04	ELS
	G+V1+0,7*Q	2	110,26	2,28	110,26	2,04	ELS
	G+V1+0,7*Q	3	96,40	2,28	96,40	2,04	ELS
HIP.20	G+V2+0,7*Q	1	85,99	2,22	85,99	1,98	ELS
	G+V2+0,7*Q	2	109,86	2,22	109,86	1,98	ELS
	G+V2+0,7*Q	3	96,43	2,22	96,43	1,98	ELS
HIP.21	G+V3+0,7*Q	1	92,58	1,23	92,58	1,10	ELS
	G+V3+0,7*Q	2	102,01	1,23	102,01	1,10	ELS
	G+V3+0,7*Q	3	102,77	1,23	102,77	1,10	ELS
HIP.22	G+V4+0,7*Q	1	92,26	1,28	92,26	1,14	ELS
	G+V4+0,7*Q	2	102,42	1,28	102,42	1,14	ELS
	G+V4+0,7*Q	3	102,74	1,28	102,74	1,14	ELS
HIP.23	G+V5+0,7*Q	1	84,80	2,99	84,80	2,67	ELS
	G+V5+0,7*Q	2	105,79	2,97	105,79	2,65	ELS
	G+V5+0,7*Q	3	117,61	3,00	117,61	2,67	ELS
HIP.24	G+V6+0,7*Q	1	81,27	3,40	81,27	3,03	ELS
	G+V6+0,7*Q	2	110,21	3,40	110,21	3,03	ELS
	G+V6+0,7*Q	3	117,33	3,40	117,33	3,03	ELS
HIP.25	G+V7+0,7*Q	1	93,45	2,12	93,45	1,89	ELS
	G+V7+0,7*Q	2	106,49	2,10	106,49	1,87	ELS
	G+V7+0,7*Q	3	81,57	2,09	81,57	1,87	ELS
HIP.26	G+V8+0,7*Q	1	96,98	1,70	96,98	1,51	ELS
	G+V8+0,7*Q	2	102,07	1,70	102,07	1,51	ELS
	G+V8+0,7*Q	3	81,85	1,70	81,85	1,51	ELS
HIP.27	G+Sx	1	91,73	0,62	91,73	0,55	ELU

	G+Sx	2	84,32	0,64	84,32	0,57	ELU
	G+Sx	3	96,35	0,64	96,35	0,57	ELU
HIP.28	G-Sx	1	68,52	2,18	68,52	1,95	ELU
	G-Sx	2	105,81	2,19	105,81	1,95	ELU
	G-Sx	3	83,13	2,20	83,13	1,97	ELU
HIP.29	G+Sy	1	88,31	0,40	88,31	0,36	ELU
	G+Sy	2	92,41	0,40	92,41	0,36	ELU
	G+Sy	3	89,01	0,39	89,01	0,35	ELU
HIP.30	G-Sy	1	71,94	1,62	71,94	1,44	ELU
	G-Sy	2	97,73	1,61	97,73	1,44	ELU
	G-Sy	3	90,47	1,63	90,47	1,45	ELU
HIP.31	G+Sx+0,3*Sy	1	94,18	0,65	94,18	0,58	ELU
	G+Sx+0,3*Sy	2	83,52	0,67	83,52	0,60	ELU
	G+Sx+0,3*Sy	3	96,13	0,67	96,13	0,60	ELU
HIP.32	G+Sx-0,3*Sy	1	89,27	0,65	89,27	0,58	ELU
	G+Sx-0,3*Sy	2	85,12	0,67	85,12	0,60	ELU
	G+Sx-0,3*Sy	3	96,57	0,66	96,57	0,59	ELU
HIP.33	G-Sx+0,3*Sy	1	70,98	2,02	70,98	1,80	ELU
	G-Sx+0,3*Sy	2	105,02	2,02	105,02	1,80	ELU
	G-Sx+0,3*Sy	3	82,91	2,03	82,91	1,81	ELU
HIP.34	G-Sx-0,3*Sy	1	66,07	2,35	66,07	2,10	ELU
	G-Sx-0,3*Sy	2	106,61	2,35	106,61	2,10	ELU
	G-Sx-0,3*Sy	3	83,34	2,38	83,34	2,12	ELU
HIP.35	G+Sy+0,3*Sx	1	91,79	0,10	91,79	0,09	ELU
	G+Sy+0,3*Sx	2	89,18	0,13	89,18	0,11	ELU
	G+Sy+0,3*Sx	3	90,99	0,11	90,99	0,10	ELU
HIP.36	G+Sy-0,3*Sx	1	84,83	0,77	84,83	0,69	ELU
	G+Sy-0,3*Sx	2	95,63	0,77	95,63	0,69	ELU
	G+Sy-0,3*Sx	3	87,02	0,76	87,02	0,68	ELU
HIP.37	G-Sy+0,3*Sx	1	75,42	1,32	75,42	1,18	ELU
	G-Sy+0,3*Sx	2	94,50	1,32	94,50	1,17	ELU
	G-Sy+0,3*Sx	3	92,45	1,32	92,45	1,18	ELU
HIP.38	G-Sy-0,3*Sx	1	68,46	1,94	68,46	1,73	ELU
	G-Sy-0,3*Sx	2	100,95	1,94	100,95	1,73	ELU
	G-Sy-0,3*Sx	3	88,49	1,96	88,49	1,75	ELU
HIP.39	G+Sx+0,3*Q	1	95,58	0,60	95,58	0,54	ELU
	G+Sx+0,3*Q	2	89,07	0,62	89,07	0,56	ELU
	G+Sx+0,3*Q	3	100,57	0,62	100,57	0,55	ELU
HIP.40	G-Sx+0,3*Q	1	72,38	2,24	72,38	2,00	ELU
	G-Sx+0,3*Q	2	110,56	2,24	110,56	2,00	ELU
	G-Sx+0,3*Q	3	87,35	2,26	87,35	2,02	ELU
HIP.41	G+Sy+0,3*Q	1	92,17	0,46	92,17	0,41	ELU
	G+Sy+0,3*Q	2	97,15	0,46	97,15	0,41	ELU
	G+Sy+0,3*Q	3	93,23	0,45	93,23	0,40	ELU
HIP.42	G-Sy+0,3*Q	1	75,79	1,67	75,79	1,49	ELU
	G-Sy+0,3*Q	2	102,47	1,67	102,47	1,49	ELU
	G-Sy+0,3*Q	3	94,69	1,68	94,69	1,50	ELU
HIP.43	G+Sx+0,3*Sy+0,3*Q	1	98,04	0,61	98,04	0,55	ELU
	G+Sx+0,3*Sy+0,3*Q	2	88,27	0,63	88,27	0,57	ELU
	G+Sx+0,3*Sy+0,3*Q	3	100,35	0,64	100,35	0,57	ELU
HIP.44	G+Sx-0,3*Sy+0,3*Q	1	93,13	0,65	93,13	0,58	ELU
	G+Sx-0,3*Sy+0,3*Q	2	89,86	0,67	89,86	0,60	ELU
	G+Sx-0,3*Sy+0,3*Q	3	100,79	0,66	100,79	0,59	ELU
HIP.45	G-Sx+0,3*Sy+0,3*Q	1	74,84	2,07	74,84	1,85	ELU
	G-Sx+0,3*Sy+0,3*Q	2	109,76	2,08	109,76	1,85	ELU
	G-Sx+0,3*Sy+0,3*Q	3	87,13	2,09	87,13	1,86	ELU
HIP.46	G-Sx-0,3*Sy+0,3*Q	1	69,93	2,41	69,93	2,15	ELU
	G-Sx-0,3*Sy+0,3*Q	2	111,36	2,41	111,36	2,15	ELU
	G-Sx-0,3*Sy+0,3*Q	3	87,56	2,43	87,56	2,17	ELU
HIP.47	G+Sy+0,3*Sx+0,3*Q	1	95,65	0,14	95,65	0,12	ELU
	G+Sy+0,3*Sx+0,3*Q	2	93,93	0,15	93,93	0,14	ELU
	G+Sy+0,3*Sx+0,3*Q	3	95,21	0,13	95,21	0,12	ELU
HIP.48	G+Sy-0,3*Sx+0,3*Q	1	88,69	0,83	88,69	0,74	ELU
	G+Sy-0,3*Sx+0,3*Q	2	100,38	0,83	100,38	0,74	ELU
	G+Sy-0,3*Sx+0,3*Q	3	91,24	0,82	91,24	0,73	ELU
HIP.49	G-Sy+0,3*Sx+0,3*Q	1	79,27	1,37	79,27	1,22	ELU
	G-Sy+0,3*Sx+0,3*Q	2	99,25	1,37	99,25	1,22	ELU
	G-Sy+0,3*Sx+0,3*Q	3	96,67	1,38	96,67	1,23	ELU
HIP.50	G-Sy-0,3*Sx+0,3*Q	1	72,31	2,00	72,31	1,78	ELU
	G-Sy-0,3*Sx+0,3*Q	2	105,70	2,00	105,70	1,78	ELU
	G-Sy-0,3*Sx+0,3*Q	3	92,71	2,02	92,71	1,80	ELU
HIP.51	G+BOMB	1	80,30	1,00	80,30	0,89	ELU
	G+BOMB	2	95,25	1,00	95,25	0,89	ELU
	G+BOMB	3	89,36	1,00	89,36	0,89	ELU
HIP.52	G+BOMB+0,5*Q	1	86,73	1,09	86,73	0,97	ELU
	G+BOMB+0,5*Q	2	103,16	1,09	103,16	0,97	ELU
	G+BOMB+0,5*Q	3	96,39	1,09	96,39	0,97	ELU
HIP.53	G+BOMB+0,5*V449	1	78,57	1,19	78,57	1,06	ELU
	G+BOMB+0,5*V449	2	97,32	1,19	97,32	1,06	ELU
	G+BOMB+0,5*V449	3	87,77	1,19	87,77	1,06	ELU
HIP.54	G+BOMB+0,5*V450	1	78,73	1,17	78,73	1,04	ELU
	G+BOMB+0,5*V450	2	97,11	1,17	97,11	1,04	ELU
	G+BOMB+0,5*V450	3	87,78	1,17	87,78	1,04	ELU
HIP.55	G+BOMB+0,5*V451	1	82,02	0,83	82,02	0,74	ELU
	G+BOMB+0,5*V451	2	93,19	0,83	93,19	0,74	ELU
	G+BOMB+0,5*V451	3	90,95	0,83	90,95	0,74	ELU
HIP.56	G+BOMB+0,5*V452	1	81,87	0,85	81,87	0,75	ELU
	G+BOMB+0,5*V452	2	93,40	0,85	93,40	0,75	ELU
	G+BOMB+0,5*V452	3	90,94	0,85	90,94	0,75	ELU
HIP.57	G+BOMB+0,5*V453	1	78,13	1,36	78,13	1,21	ELU
	G+BOMB+0,5*V453	2	95,08	1,35	95,08	1,21	ELU

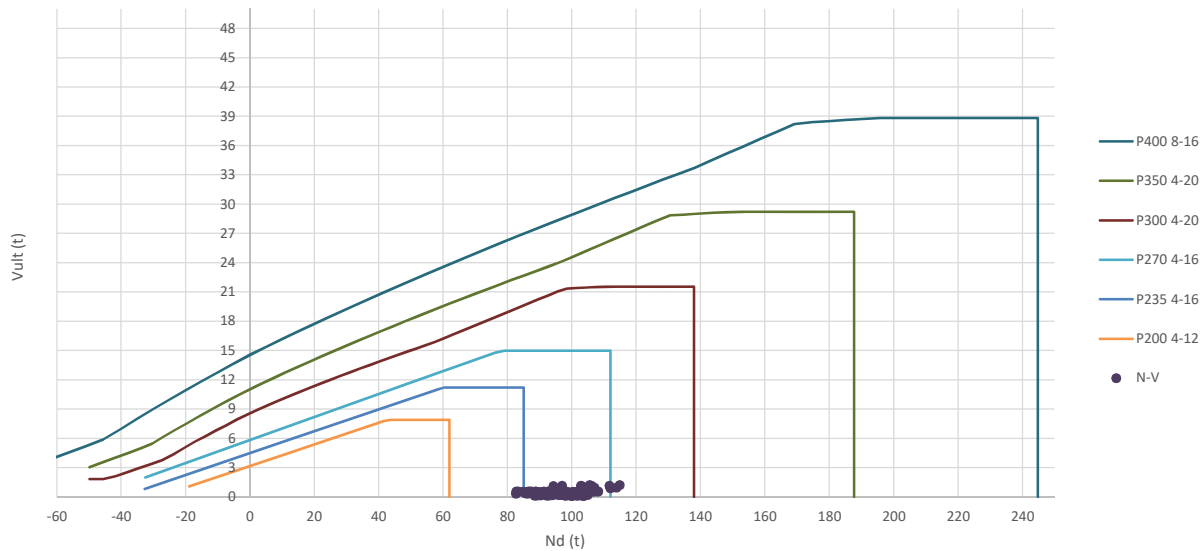
	G+BOMB+0,5*V453	3	98,37	1,36	98,37	1,22	ELU
HIP.58	G+BOMB+0,5*V454	1	76,37	1,52	76,37	1,36	ELU
	G+BOMB+0,5*V454	2	97,29	1,52	97,29	1,36	ELU
	G+BOMB+0,5*V454	3	98,23	1,52	98,23	1,36	ELU
HIP.59	G+BOMB+0,5*V455	1	82,46	1,00	82,46	0,89	ELU
	G+BOMB+0,5*V455	2	95,43	0,99	95,43	0,88	ELU
	G+BOMB+0,5*V455	3	80,35	0,99	80,35	0,88	ELU
HIP.60	G+BOMB+0,5*V456	1	84,23	0,80	84,23	0,71	ELU
	G+BOMB+0,5*V456	2	93,22	0,80	93,22	0,71	ELU
	G+BOMB+0,5*V456	3	80,49	0,80	80,49	0,71	ELU
HIP.61	G+BOMB+0,5*V1+0,3*Q	1	82,43	1,24	82,43	1,11	ELU
	G+BOMB+0,5*V1+0,3*Q	2	102,06	1,24	102,06	1,11	ELU
	G+BOMB+0,5*V1+0,3*Q	3	91,99	1,24	91,99	1,11	ELU
HIP.62	G+BOMB+0,5*V2+0,3*Q	1	82,59	1,23	82,59	1,09	ELU
	G+BOMB+0,5*V2+0,3*Q	2	101,86	1,23	101,86	1,09	ELU
	G+BOMB+0,5*V2+0,3*Q	3	92,00	1,23	92,00	1,09	ELU
HIP.63	G+BOMB+0,5*V3+0,3*Q	1	85,88	0,88	85,88	0,79	ELU
	G+BOMB+0,5*V3+0,3*Q	2	97,94	0,88	97,94	0,79	ELU
	G+BOMB+0,5*V3+0,3*Q	3	95,17	0,88	95,17	0,79	ELU
HIP.64	G+BOMB+0,5*V4+0,3*Q	1	85,72	0,90	85,72	0,80	ELU
	G+BOMB+0,5*V4+0,3*Q	2	98,14	0,90	98,14	0,80	ELU
	G+BOMB+0,5*V4+0,3*Q	3	95,16	0,90	95,16	0,80	ELU
HIP.65	G+BOMB+0,5*V5+0,3*Q	1	81,99	1,41	81,99	1,25	ELU
	G+BOMB+0,5*V5+0,3*Q	2	99,82	1,40	99,82	1,25	ELU
	G+BOMB+0,5*V5+0,3*Q	3	102,59	1,41	102,59	1,26	ELU
HIP.66	G+BOMB+0,5*V6+0,3*Q	1	80,23	1,57	80,23	1,40	ELU
	G+BOMB+0,5*V6+0,3*Q	2	102,03	1,57	102,03	1,40	ELU
	G+BOMB+0,5*V6+0,3*Q	3	102,45	1,57	102,45	1,40	ELU
HIP.67	G+BOMB+0,5*V7+0,3*Q	1	86,32	1,05	86,32	0,93	ELU
	G+BOMB+0,5*V7+0,3*Q	2	100,17	1,04	100,17	0,93	ELU
	G+BOMB+0,5*V7+0,3*Q	3	84,57	1,04	84,57	0,93	ELU
HIP.68	G+BOMB+0,5*V8+0,3*Q	1	88,09	0,84	88,09	0,75	ELU
	G+BOMB+0,5*V8+0,3*Q	2	97,96	0,84	97,96	0,75	ELU
	G+BOMB+0,5*V8+0,3*Q	3	84,71	0,84	84,71	0,75	ELU

Seccion (mm.)	e _x (m.)	e _y (m.)	Henc. (m.)
300	0,00	1,20	0,95
COMPROBACIÓN (compresión)	CUMPLE		
MAX. AXIL	114,83	(TON)	
MIN. AXIL	0,00	(TON)	
COMPROBACIÓN (tracción)	CUMPLE		
	L.1(m)	0,00	
	L.2(m)	0,00	
	L.Influenc.(m)	0,00	
	CERRAM.(ton.)	0,00	
	αx (inclinación)	0,00	
	αy (inclinación)	0,00	

Curva de resistencia axil-momento (en cualquier dirección)



Curva de resistencia axil-cortante



PILAR: P57



COMPROBACIÓN ESFUERZOS:

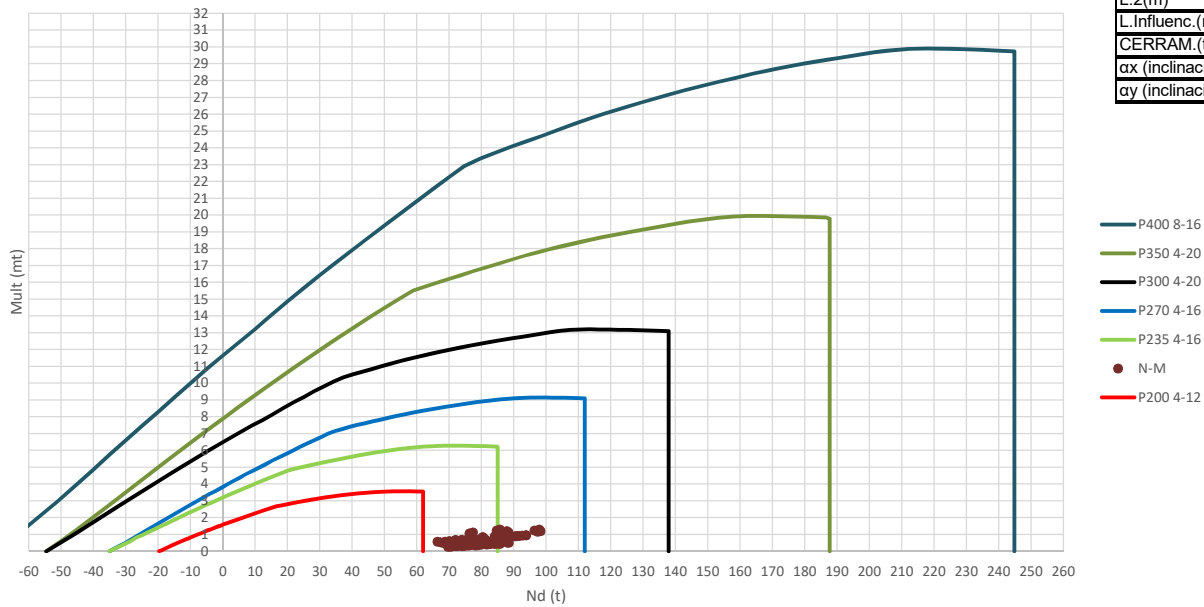
P18147P Parcela R20

	LC: COMB.	nº PILOTE	N _{pilote} (T) a ras de suelo	M ult. Pilote (mT)	N _{pilote} (T) a ras de suelo	V ult.-Pilote (T)	ESTADO LIMITE
HIP.1	G	1	91,58	0,55	91,58	0,49	ELS
	G	2	94,35	0,55	94,35	0,49	ELS
HIP.2	G+Q	1	103,76	0,61	103,76	0,54	ELS
	G+Q	2	106,78	0,61	106,78	0,54	ELS
HIP.3	G+V1	1	93,77	0,62	93,77	0,55	ELS
	G+V1	2	96,60	0,62	96,60	0,55	ELS
HIP.4	G+V2	1	93,55	0,60	93,55	0,54	ELS
	G+V2	2	96,32	0,60	96,32	0,54	ELS
HIP.5	G+V3	1	89,38	0,51	89,38	0,45	ELS
	G+V3	2	92,10	0,51	92,10	0,45	ELS
HIP.6	G+V4	1	89,61	0,52	89,61	0,46	ELS
	G+V4	2	92,38	0,52	92,38	0,46	ELS
HIP.7	G+V5	1	94,24	1,25	94,24	1,12	ELS
	G+V5	2	102,98	1,25	102,98	1,12	ELS
HIP.8	G+V6	1	96,93	1,31	96,93	1,17	ELS
	G+V6	2	106,13	1,31	106,13	1,17	ELS
HIP.9	G+V7	1	88,92	0,42	88,92	0,38	ELS
	G+V7	2	85,72	0,40	85,72	0,36	ELS
HIP.10	G+V8	1	86,23	0,36	86,23	0,32	ELS
	G+V8	2	82,57	0,36	82,57	0,32	ELS
HIP.11	G+Q+0,6°V1	1	105,08	0,65	105,08	0,58	ELS
	G+Q+0,6°V1	2	108,12	0,65	108,12	0,58	ELS
HIP.12	G+Q+0,6°V2	1	104,94	0,64	104,94	0,57	ELS
	G+Q+0,6°V2	2	107,96	0,64	107,96	0,57	ELS
HIP.13	G+Q+0,6°V3	1	102,45	0,58	102,45	0,51	ELS
	G+Q+0,6°V3	2	105,43	0,58	105,43	0,51	ELS
HIP.14	G+Q+0,6°V4	1	102,58	0,58	102,58	0,52	ELS
	G+Q+0,6°V4	2	105,59	0,58	105,59	0,52	ELS
HIP.15	G+Q+0,6°V5	1	105,36	1,02	105,36	0,91	ELS
	G+Q+0,6°V5	2	111,95	1,02	111,95	0,91	ELS
HIP.16	G+Q+0,6°V6	1	106,97	1,06	106,97	0,94	ELS
	G+Q+0,6°V6	2	113,84	1,06	113,84	0,94	ELS
HIP.17	G+Q+0,6°V7	1	102,17	0,35	102,17	0,31	ELS
	G+Q+0,6°V7	2	101,60	0,33	101,60	0,30	ELS
HIP.18	G+Q+0,6°V8	1	100,55	0,27	100,55	0,24	ELS
	G+Q+0,6°V8	2	99,71	0,27	99,71	0,24	ELS
HIP.19	G+V1+0,7°Q	1	102,30	0,66	102,30	0,59	ELS
	G+V1+0,7°Q	2	105,29	0,66	105,29	0,59	ELS
HIP.20	G+V2+0,7°Q	1	102,08	0,65	102,08	0,58	ELS
	G+V2+0,7°Q	2	105,02	0,65	105,02	0,58	ELS
HIP.21	G+V3+0,7°Q	1	97,91	0,55	97,91	0,49	ELS
	G+V3+0,7°Q	2	100,80	0,55	100,80	0,49	ELS
HIP.22	G+V4+0,7°Q	1	98,14	0,56	98,14	0,50	ELS
	G+V4+0,7°Q	2	101,08	0,56	101,08	0,50	ELS
HIP.23	G+V5+0,7°Q	1	102,77	1,29	102,77	1,15	ELS
	G+V5+0,7°Q	2	111,68	1,29	111,68	1,15	ELS
HIP.24	G+V6+0,7°Q	1	105,46	1,35	105,46	1,20	ELS
	G+V6+0,7°Q	2	114,83	1,35	114,83	1,20	ELS
HIP.25	G+V7+0,7°Q	1	97,45	0,43	97,45	0,38	ELS
	G+V7+0,7°Q	2	94,42	0,40	94,42	0,36	ELS
HIP.26	G+V8+0,7°Q	1	94,76	0,35	94,76	0,32	ELS
	G+V8+0,7°Q	2	91,27	0,35	91,27	0,32	ELS
HIP.27	G+Sx	1	98,55	0,26	98,55	0,23	ELU
	G+Sx	2	100,03	0,26	100,03	0,23	ELU
HIP.28	G-Sx	1	84,60	0,58	84,60	0,52	ELU
	G-Sx	2	88,67	0,58	88,67	0,52	ELU
HIP.29	G+Sy	1	97,79	0,16	97,79	0,14	ELU
	G+Sy	2	98,21	0,16	98,21	0,14	ELU
HIP.30	G-Sy	1	85,37	0,57	85,37	0,51	ELU
	G-Sy	2	90,49	0,57	90,49	0,51	ELU
HIP.31	G+Sx+0,3°Sy	1	100,42	0,22	100,42	0,20	ELU
	G+Sx+0,3°Sy	2	101,19	0,22	101,19	0,20	ELU
HIP.32	G+Sx-0,3°Sy	1	96,69	0,31	96,69	0,27	ELU
	G+Sx-0,3°Sy	2	98,88	0,31	98,88	0,27	ELU
HIP.33	G-Sx+0,3°Sy	1	86,47	0,52	86,47	0,46	ELU
	G-Sx+0,3°Sy	2	89,82	0,52	89,82	0,46	ELU
HIP.34	G-Sx-0,3°Sy	1	82,74	0,64	82,74	0,57	ELU
	G-Sx-0,3°Sy	2	87,51	0,64	87,51	0,57	ELU
HIP.35	G+Sy+0,3°Sx	1	99,88	0,12	99,88	0,11	ELU
	G+Sy+0,3°Sx	2	99,91	0,12	99,91	0,11	ELU
HIP.36	G+Sy-0,3°Sx	1	95,70	0,22	95,70	0,20	ELU
	G+Sy-0,3°Sx	2	96,50	0,22	96,50	0,20	ELU
HIP.37	G-Sy+0,3°Sx	1	87,46	0,52	87,46	0,46	ELU
	G-Sy+0,3°Sx	2	92,20	0,52	92,20	0,46	ELU
HIP.38	G-Sy-0,3°Sx	1	83,27	0,63	83,27	0,56	ELU
	G-Sy-0,3°Sx	2	88,79	0,63	88,79	0,56	ELU
HIP.39	G+Sx+0,3°Q	1	102,21	0,27	102,21	0,24	ELU
	G+Sx+0,3°Q	2	103,76	0,27	103,76	0,24	ELU
HIP.40	G-Sx+0,3°Q	1	88,26	0,59	88,26	0,53	ELU

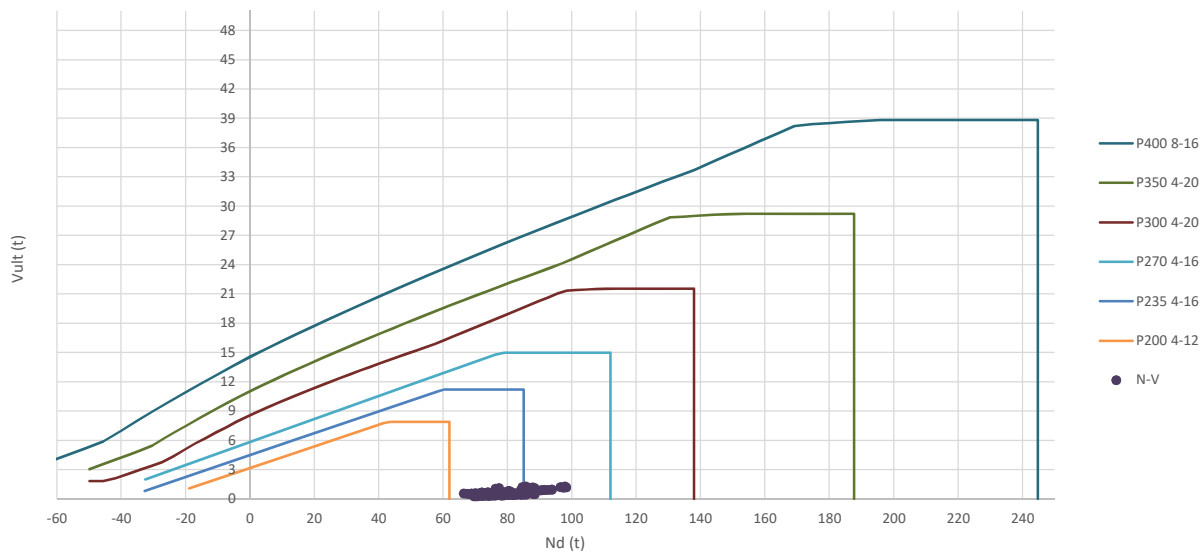
	G-Sx+0,3*Q	2	92,39	0,59	92,39	0,53	ELU
HIP.41	G+Sy+0,3*Q	1	101,45	0,17	101,45	0,15	ELU
	G+Sy+0,3*Q	2	101,93	0,17	101,93	0,15	ELU
HIP.42	G-Sy+0,3*Q	1	89,02	0,58	89,02	0,52	ELU
	G-Sy+0,3*Q	2	94,22	0,58	94,22	0,52	ELU
HIP.43	G+Sx+0,3*Sy+0,3*Q	1	104,07	0,23	104,07	0,20	ELU
	G+Sx+0,3*Sy+0,3*Q	2	104,92	0,23	104,92	0,20	ELU
HIP.44	G+Sx-0,3*Sy+0,3*Q	1	100,35	0,31	100,35	0,28	ELU
	G+Sx-0,3*Sy+0,3*Q	2	102,61	0,31	102,61	0,28	ELU
HIP.45	G-Sx+0,3*Sy+0,3*Q	1	90,12	0,53	90,12	0,47	ELU
	G-Sx+0,3*Sy+0,3*Q	2	93,55	0,53	93,55	0,47	ELU
HIP.46	G-Sx-0,3*Sy+0,3*Q	1	86,39	0,65	86,39	0,58	ELU
	G-Sx-0,3*Sy+0,3*Q	2	91,24	0,65	91,24	0,58	ELU
HIP.47	G+Sy+0,3*Sx+0,3*Q	1	103,54	0,13	103,54	0,11	ELU
	G+Sy+0,3*Sx+0,3*Q	2	103,64	0,13	103,64	0,11	ELU
HIP.48	G+Sy-0,3*Sx+0,3*Q	1	99,35	0,23	99,35	0,21	ELU
	G+Sy-0,3*Sx+0,3*Q	2	100,23	0,23	100,23	0,21	ELU
HIP.49	G-Sy+0,3*Sx+0,3*Q	1	91,11	0,53	91,11	0,47	ELU
	G-Sy+0,3*Sx+0,3*Q	2	95,93	0,53	95,93	0,47	ELU
HIP.50	G-Sy-0,3*Sx+0,3*Q	1	86,93	0,64	86,93	0,57	ELU
	G-Sy-0,3*Sx+0,3*Q	2	92,52	0,64	92,52	0,57	ELU
HIP.51	G+BOMB	1	91,68	0,35	91,68	0,31	ELU
	G+BOMB	2	94,28	0,35	94,28	0,31	ELU
HIP.52	G+BOMB+0,5*Q	1	97,77	0,37	97,77	0,33	ELU
	G+BOMB+0,5*Q	2	100,49	0,37	100,49	0,33	ELU
HIP.53	G+BOMB+0,5*V1	1	92,78	0,37	92,78	0,33	ELU
	G+BOMB+0,5*V1	2	95,40	0,37	95,40	0,33	ELU
HIP.54	G+BOMB+0,5*V2	1	92,66	0,37	92,66	0,33	ELU
	G+BOMB+0,5*V2	2	95,27	0,37	95,27	0,33	ELU
HIP.55	G+BOMB+0,5*V3	1	90,58	0,33	90,58	0,30	ELU
	G+BOMB+0,5*V3	2	93,16	0,33	93,16	0,30	ELU
HIP.56	G+BOMB+0,5*V4	1	90,69	0,34	90,69	0,30	ELU
	G+BOMB+0,5*V4	2	93,30	0,34	93,30	0,30	ELU
HIP.57	G+BOMB+0,5*V5	1	93,01	0,58	93,01	0,51	ELU
	G+BOMB+0,5*V5	2	98,60	0,58	98,60	0,52	ELU
HIP.58	G+BOMB+0,5*V6	1	94,35	0,60	94,35	0,54	ELU
	G+BOMB+0,5*V6	2	100,17	0,60	100,17	0,54	ELU
HIP.59	G+BOMB+0,5*V7	1	90,35	0,21	90,35	0,18	ELU
	G+BOMB+0,5*V7	2	89,97	0,20	89,97	0,18	ELU
HIP.60	G+BOMB+0,5*V8	1	89,00	0,16	89,00	0,14	ELU
	G+BOMB+0,5*V8	2	88,39	0,16	88,39	0,14	ELU
HIP.61	G+BOMB+0,5*V1+0,3*Q	1	96,43	0,39	96,43	0,34	ELU
	G+BOMB+0,5*V1+0,3*Q	2	99,13	0,39	99,13	0,34	ELU
HIP.62	G+BOMB+0,5*V2+0,3*Q	1	96,32	0,38	96,32	0,34	ELU
	G+BOMB+0,5*V2+0,3*Q	2	98,99	0,38	98,99	0,34	ELU
HIP.63	G+BOMB+0,5*V3+0,3*Q	1	94,24	0,35	94,24	0,31	ELU
	G+BOMB+0,5*V3+0,3*Q	2	96,89	0,35	96,89	0,31	ELU
HIP.64	G+BOMB+0,5*V4+0,3*Q	1	94,35	0,35	94,35	0,31	ELU
	G+BOMB+0,5*V4+0,3*Q	2	97,02	0,35	97,02	0,31	ELU
HIP.65	G+BOMB+0,5*V5+0,3*Q	1	96,66	0,59	96,66	0,52	ELU
	G+BOMB+0,5*V5+0,3*Q	2	102,32	0,59	102,32	0,53	ELU
HIP.66	G+BOMB+0,5*V6+0,3*Q	1	98,01	0,61	98,01	0,55	ELU
	G+BOMB+0,5*V6+0,3*Q	2	103,90	0,61	103,90	0,55	ELU
HIP.67	G+BOMB+0,5*V7+0,3*Q	1	94,00	0,22	94,00	0,19	ELU
	G+BOMB+0,5*V7+0,3*Q	2	93,69	0,21	93,69	0,18	ELU
HIP.68	G+BOMB+0,5*V8+0,3*Q	1	92,66	0,17	92,66	0,15	ELU
	G+BOMB+0,5*V8+0,3*Q	2	92,12	0,17	92,12	0,15	ELU

Seccion (mm.)	e _x (m.)	e _y (m.)	Henc. (m.)
270	0,00	1,00	0,85
COMPROBACIÓN (compresión)	CUMPLE		
MAX. AXIL	98,20		(TON)
MIN. AXIL	0,00		(TON)
COMPROBACIÓN (tracción)	CUMPLE		
L.1(m)	0,00		
L.2(m)	0,00		
L.Influenc.(m)	0,00		
CERRAM.(ton.)	0,00		
αx (inclinación)	0,00		
αy (inclinación)	0,00		

Curva de resistencia axil-momento (en cualquier dirección)



Curva de resistencia axil-cortante



PILAR: P58



COMPROBACIÓN ESFUERZOS:

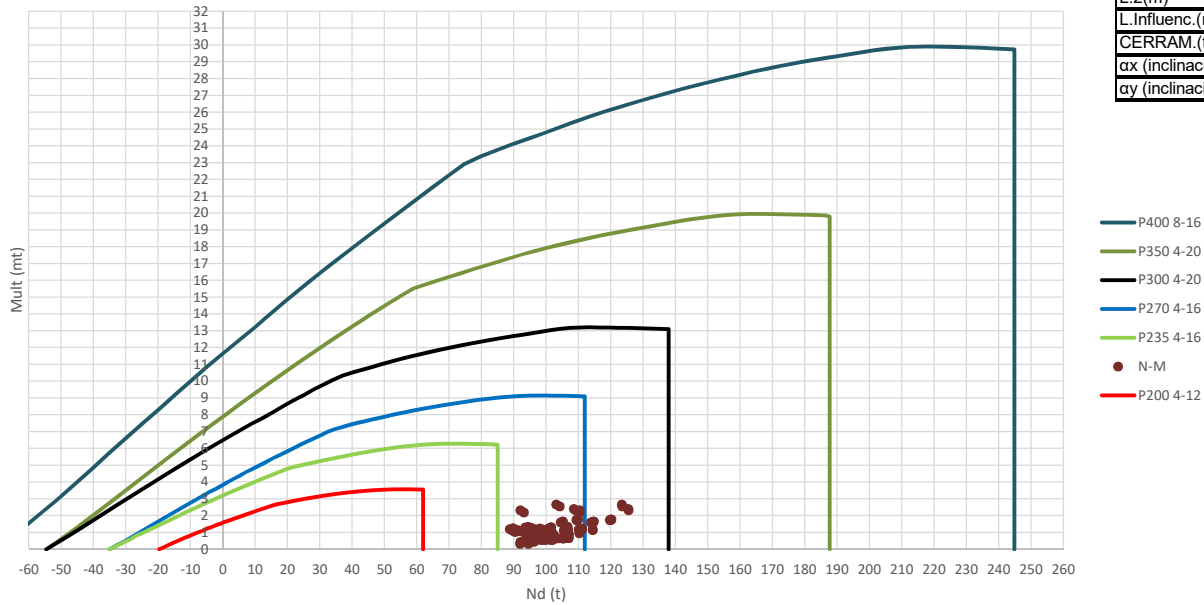
P18147P Parcela R20

	LC: COMB.	nº PILOTE	N _{pilote} (T) a ras de suelo	M ult. Pilote (mT)	N _{pilote} (T) a ras de suelo	V ult.-Pilote (T)	ESTADO LIMITE
HIP.1	G	1	73,89	0,70	73,89	0,69	ELS
	G	2	78,97	0,70	78,97	0,69	ELS
HIP.2	G+Q	1	85,82	0,94	85,82	0,93	ELS
	G+Q	2	92,58	0,94	92,58	0,93	ELS
HIP.3	G+V1	1	71,93	0,68	71,93	0,67	ELS
	G+V1	2	76,96	0,68	76,96	0,67	ELS
HIP.4	G+V2	1	72,02	0,68	72,02	0,67	ELS
	G+V2	2	77,07	0,68	77,07	0,67	ELS
HIP.5	G+V3	1	75,84	0,74	75,84	0,73	ELS
	G+V3	2	80,99	0,74	80,99	0,73	ELS
HIP.6	G+V4	1	75,75	0,73	75,75	0,73	ELS
	G+V4	2	80,87	0,73	80,87	0,73	ELS
HIP.7	G+V5	1	77,35	1,13	77,35	1,12	ELS
	G+V5	2	88,34	1,13	88,34	1,12	ELS
HIP.8	G+V6	1	76,28	1,07	76,28	1,06	ELS
	G+V6	2	86,89	1,07	86,89	1,06	ELS
HIP.9	G+V7	1	70,42	0,27	70,42	0,26	ELS
	G+V7	2	69,60	0,27	69,60	0,26	ELS
HIP.10	G+V8	1	71,49	0,33	71,49	0,33	ELS
	G+V8	2	71,06	0,33	71,06	0,33	ELS
HIP.11	G+Q+0,6°V1	1	84,65	0,93	84,65	0,92	ELS
	G+Q+0,6°V1	2	91,37	0,93	91,37	0,92	ELS
HIP.12	G+Q+0,6°V2	1	84,71	0,93	84,71	0,92	ELS
	G+Q+0,6°V2	2	91,44	0,93	91,44	0,92	ELS
HIP.13	G+Q+0,6°V3	1	87,00	0,97	87,00	0,96	ELS
	G+Q+0,6°V3	2	93,79	0,97	93,79	0,96	ELS
HIP.14	G+Q+0,6°V4	1	86,94	0,96	86,94	0,96	ELS
	G+Q+0,6°V4	2	93,72	0,96	93,72	0,96	ELS
HIP.15	G+Q+0,6°V5	1	87,90	1,20	87,90	1,19	ELS
	G+Q+0,6°V5	2	98,20	1,20	98,20	1,19	ELS
HIP.16	G+Q+0,6°V6	1	87,26	1,17	87,26	1,15	ELS
	G+Q+0,6°V6	2	97,33	1,17	97,33	1,15	ELS
HIP.17	G+Q+0,6°V7	1	83,75	0,68	83,75	0,68	ELS
	G+Q+0,6°V7	2	86,96	0,68	86,96	0,68	ELS
HIP.18	G+Q+0,6°V8	1	84,39	0,72	84,39	0,72	ELS
	G+Q+0,6°V8	2	87,83	0,72	87,83	0,72	ELS
HIP.19	G+V1+0,7°Q	1	80,29	0,84	80,29	0,84	ELS
	G+V1+0,7°Q	2	86,49	0,84	86,49	0,84	ELS
HIP.20	G+V2+0,7°Q	1	80,38	0,84	80,38	0,84	ELS
	G+V2+0,7°Q	2	86,60	0,84	86,60	0,84	ELS
HIP.21	G+V3+0,7°Q	1	84,20	0,91	84,20	0,90	ELS
	G+V3+0,7°Q	2	90,51	0,91	90,51	0,90	ELS
HIP.22	G+V4+0,7°Q	1	84,10	0,91	84,10	0,90	ELS
	G+V4+0,7°Q	2	90,40	0,91	90,40	0,90	ELS
HIP.23	G+V5+0,7°Q	1	85,70	1,30	85,70	1,29	ELS
	G+V5+0,7°Q	2	97,87	1,30	97,87	1,29	ELS
HIP.24	G+V6+0,7°Q	1	84,64	1,24	84,64	1,23	ELS
	G+V6+0,7°Q	2	96,42	1,24	96,42	1,23	ELS
HIP.25	G+V7+0,7°Q	1	78,78	0,44	78,78	0,43	ELS
	G+V7+0,7°Q	2	79,13	0,44	79,13	0,43	ELS
HIP.26	G+V8+0,7°Q	1	79,85	0,50	79,85	0,50	ELS
	G+V8+0,7°Q	2	80,58	0,50	80,58	0,50	ELS
HIP.27	G+Sx	1	80,42	0,48	80,42	0,47	ELU
	G+Sx	2	84,06	0,48	84,06	0,47	ELU
HIP.28	G-Sx	1	67,35	0,54	67,35	0,53	ELU
	G-Sx	2	73,88	0,54	73,88	0,53	ELU
HIP.29	G+Sy	1	77,04	0,39	77,04	0,39	ELU
	G+Sy	2	80,04	0,39	80,04	0,39	ELU
HIP.30	G-Sy	1	70,73	0,55	70,73	0,54	ELU
	G-Sy	2	77,90	0,55	77,90	0,54	ELU
HIP.31	G+Sx+0,3°Sy	1	81,37	0,46	81,37	0,46	ELU
	G+Sx+0,3°Sy	2	84,38	0,46	84,38	0,46	ELU
HIP.32	G+Sx-0,3°Sy	1	79,48	0,49	79,48	0,48	ELU
	G+Sx-0,3°Sy	2	83,74	0,49	83,74	0,48	ELU
HIP.33	G-Sx+0,3°Sy	1	68,29	0,51	68,29	0,50	ELU
	G-Sx+0,3°Sy	2	74,20	0,51	74,20	0,50	ELU
HIP.34	G-Sx-0,3°Sy	1	66,40	0,57	66,40	0,56	ELU
	G-Sx-0,3°Sy	2	73,56	0,57	73,56	0,56	ELU
HIP.35	G+Sy+0,3°Sx	1	79,00	0,40	79,00	0,40	ELU
	G+Sy+0,3°Sx	2	81,57	0,40	81,57	0,40	ELU
HIP.36	G+Sy-0,3°Sx	1	75,08	0,40	75,08	0,39	ELU
	G+Sy-0,3°Sx	2	78,52	0,40	78,52	0,39	ELU
HIP.37	G-Sy+0,3°Sx	1	72,69	0,53	72,69	0,53	ELU
	G-Sy+0,3°Sx	2	79,43	0,53	79,43	0,53	ELU
HIP.38	G-Sy-0,3°Sx	1	68,77	0,57	68,77	0,57	ELU
	G-Sy-0,3°Sx	2	76,37	0,57	76,37	0,57	ELU
HIP.39	G+Sx+0,3°Q	1	84,01	0,52	84,01	0,52	ELU
	G+Sx+0,3°Q	2	88,15	0,52	88,15	0,52	ELU
HIP.40	G-Sx+0,3°Q	1	70,93	0,58	70,93	0,58	ELU

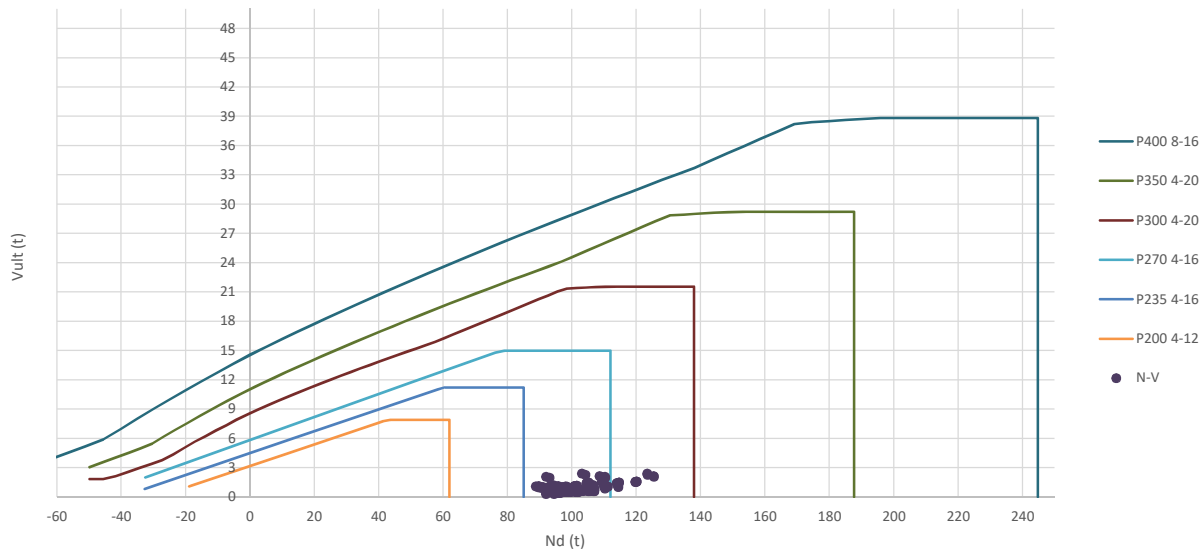
	G-Sx+0,3*Q	2	77,96	0,58	77,96	0,58	ELU
HIP.41	G+Sy+0,3*Q	1	80,62	0,44	80,62	0,44	ELU
	G+Sy+0,3*Q	2	84,13	0,44	84,13	0,44	ELU
HIP.42	G-Sy+0,3*Q	1	74,31	0,60	74,31	0,59	ELU
	G-Sy+0,3*Q	2	81,98	0,60	81,98	0,59	ELU
HIP.43	G+Sx+0,3*Sy+0,3*Q	1	84,95	0,51	84,95	0,51	ELU
	G+Sx+0,3*Sy+0,3*Q	2	88,47	0,51	88,47	0,51	ELU
HIP.44	G+Sx-0,3*Sy+0,3*Q	1	83,06	0,54	83,06	0,53	ELU
	G+Sx-0,3*Sy+0,3*Q	2	87,82	0,54	87,82	0,53	ELU
HIP.45	G-Sx+0,3*Sy+0,3*Q	1	71,87	0,55	71,87	0,55	ELU
	G-Sx+0,3*Sy+0,3*Q	2	78,29	0,55	78,29	0,55	ELU
HIP.46	G-Sx-0,3*Sy+0,3*Q	1	69,98	0,61	69,98	0,61	ELU
	G-Sx-0,3*Sy+0,3*Q	2	77,64	0,61	77,64	0,61	ELU
HIP.47	G+Sy+0,3*Sx+0,3*Q	1	82,58	0,45	82,58	0,44	ELU
	G+Sy+0,3*Sx+0,3*Q	2	85,65	0,45	85,65	0,44	ELU
HIP.48	G+Sy-0,3*Sx+0,3*Q	1	78,66	0,45	78,66	0,44	ELU
	G+Sy-0,3*Sx+0,3*Q	2	82,60	0,45	82,60	0,44	ELU
HIP.49	G-Sy+0,3*Sx+0,3*Q	1	76,28	0,58	76,28	0,58	ELU
	G-Sy+0,3*Sx+0,3*Q	2	83,51	0,58	83,51	0,58	ELU
HIP.50	G-Sy-0,3*Sx+0,3*Q	1	72,35	0,62	72,35	0,61	ELU
	G-Sy-0,3*Sx+0,3*Q	2	80,46	0,62	80,46	0,61	ELU
HIP.51	G+BOMB	1	74,03	0,44	74,03	0,44	ELU
	G+BOMB	2	78,77	0,44	78,77	0,44	ELU
HIP.52	G+BOMB+0,5*Q	1	80,00	0,53	80,00	0,52	ELU
	G+BOMB+0,5*Q	2	85,57	0,53	85,57	0,52	ELU
HIP.53	G+BOMB+0,5*V1	1	73,05	0,44	73,05	0,43	ELU
	G+BOMB+0,5*V1	2	77,76	0,44	77,76	0,43	ELU
HIP.54	G+BOMB+0,5*V2	1	73,10	0,44	73,10	0,43	ELU
	G+BOMB+0,5*V2	2	77,82	0,44	77,82	0,43	ELU
HIP.55	G+BOMB+0,5*V3	1	75,01	0,46	75,01	0,45	ELU
	G+BOMB+0,5*V3	2	79,77	0,46	79,77	0,45	ELU
HIP.56	G+BOMB+0,5*V4	1	74,96	0,45	74,96	0,45	ELU
	G+BOMB+0,5*V4	2	79,72	0,45	79,72	0,45	ELU
HIP.57	G+BOMB+0,5*V5	1	75,76	0,59	75,76	0,58	ELU
	G+BOMB+0,5*V5	2	83,45	0,59	83,45	0,58	ELU
HIP.58	G+BOMB+0,5*V6	1	75,23	0,57	75,23	0,56	ELU
	G+BOMB+0,5*V6	2	82,73	0,57	82,73	0,56	ELU
HIP.59	G+BOMB+0,5*V7	1	72,30	0,30	72,30	0,30	ELU
	G+BOMB+0,5*V7	2	74,08	0,30	74,08	0,30	ELU
HIP.60	G+BOMB+0,5*V8	1	72,83	0,32	72,83	0,32	ELU
	G+BOMB+0,5*V8	2	74,81	0,32	74,81	0,32	ELU
HIP.61	G+BOMB+0,5*V1+0,3*Q	1	76,63	0,48	76,63	0,48	ELU
	G+BOMB+0,5*V1+0,3*Q	2	81,84	0,48	81,84	0,48	ELU
HIP.62	G+BOMB+0,5*V2+0,3*Q	1	76,68	0,48	76,68	0,48	ELU
	G+BOMB+0,5*V2+0,3*Q	2	81,90	0,48	81,90	0,48	ELU
HIP.63	G+BOMB+0,5*V3+0,3*Q	1	78,59	0,51	78,59	0,50	ELU
	G+BOMB+0,5*V3+0,3*Q	2	83,86	0,51	83,86	0,50	ELU
HIP.64	G+BOMB+0,5*V4+0,3*Q	1	78,54	0,50	78,54	0,50	ELU
	G+BOMB+0,5*V4+0,3*Q	2	83,80	0,50	83,80	0,50	ELU
HIP.65	G+BOMB+0,5*V5+0,3*Q	1	79,34	0,64	79,34	0,63	ELU
	G+BOMB+0,5*V5+0,3*Q	2	87,53	0,64	87,53	0,63	ELU
HIP.66	G+BOMB+0,5*V6+0,3*Q	1	78,81	0,62	78,81	0,61	ELU
	G+BOMB+0,5*V6+0,3*Q	2	86,81	0,62	86,81	0,61	ELU
HIP.67	G+BOMB+0,5*V7+0,3*Q	1	75,88	0,35	75,88	0,35	ELU
	G+BOMB+0,5*V7+0,3*Q	2	78,17	0,35	78,17	0,35	ELU
HIP.68	G+BOMB+0,5*V8+0,3*Q	1	76,41	0,37	76,41	0,37	ELU
	G+BOMB+0,5*V8+0,3*Q	2	78,89	0,37	78,89	0,37	ELU

Seccion (mm.)	e _x (m.)	e _y (m.)	Henc. (m.)
300	0,00	1,20	0,95
COMPROBACIÓN (compresión)	CUMPLE		
MAX. AXIL	125,45		(TON)
MIN. AXIL	0,00		(TON)
COMPROBACIÓN (tracción)	CUMPLE		
L.1(m)	0,00		
L.2(m)	0,00		
L.Influenc.(m)	0,00		
CERRAM.(ton.)	0,00		
αx (inclinación)	0,00		
αy (inclinación)	0,00		

Curva de resistencia axil-momento (en cualquier dirección)



Curva de resistencia axil-cortante



PILAR: P59



COMPROBACIÓN ESFUERZOS:

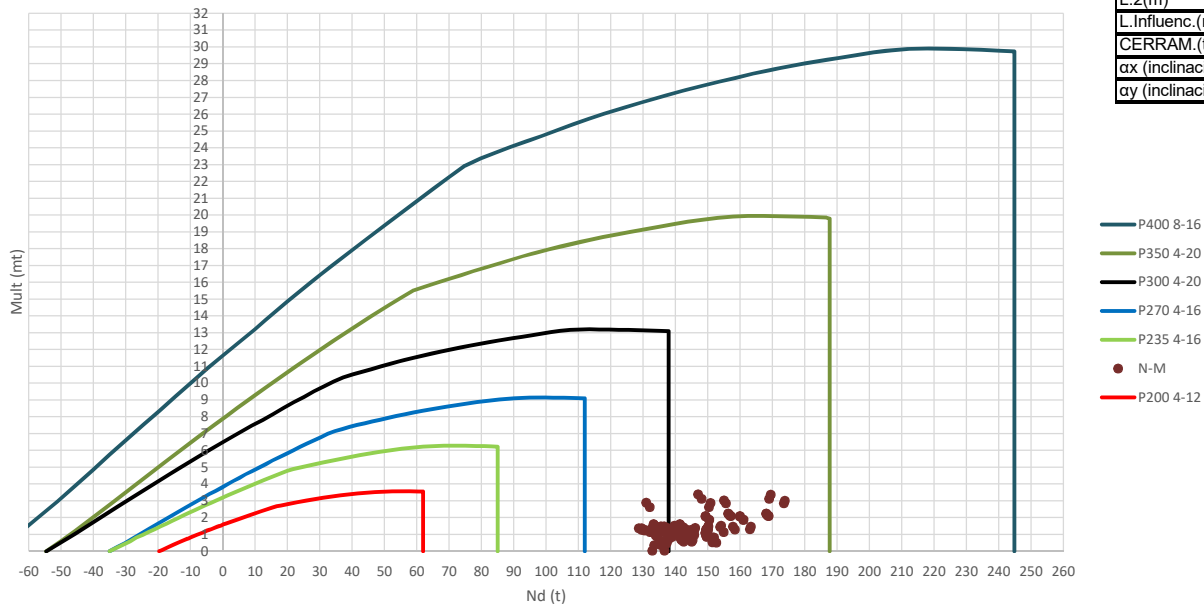
P18147P Parcela R20

	LC: COMB.	nº PILOTE	N _{pilote} (T) a ras de suelo	M ult. Pilote (mT)	N _{pilote} (T) a ras de suelo	V ult.-Pilote (T)	ESTADO LIMITE
HIP.1	G	1	93,75	1,24	93,75	1,11	ELS
	G	2	101,14	1,24	101,14	1,11	ELS
HIP.2	G+Q	1	109,58	1,75	109,58	1,56	ELS
	G+Q	2	119,91	1,75	119,91	1,56	ELS
HIP.3	G+V465	1	94,14	1,31	94,14	1,16	ELS
	G+V465	2	101,51	1,31	101,51	1,16	ELS
HIP.4	G+V466	1	94,04	1,31	94,04	1,17	ELS
	G+V466	2	101,50	1,31	101,50	1,17	ELS
HIP.5	G+V467	1	93,37	1,25	93,37	1,11	ELS
	G+V467	2	100,78	1,25	100,78	1,11	ELS
HIP.6	G+V468	1	93,46	1,24	93,46	1,10	ELS
	G+V468	2	100,79	1,24	100,79	1,10	ELS
HIP.7	G+V469	1	91,98	2,32	91,98	2,07	ELS
	G+V469	2	110,29	2,32	110,29	2,07	ELS
HIP.8	G+V470	1	93,06	2,20	93,06	1,96	ELS
	G+V470	2	110,37	2,20	110,37	1,96	ELS
HIP.9	G+V471	1	95,52	0,46	95,52	0,41	ELS
	G+V471	2	92,00	0,44	92,00	0,39	ELS
HIP.10	G+V472	1	94,44	0,33	94,44	0,30	ELS
	G+V472	2	91,92	0,33	91,92	0,30	ELS
HIP.11	G+Q+0,6*V465	1	109,81	1,77	109,81	1,58	ELS
	G+Q+0,6*V465	2	120,13	1,77	120,13	1,58	ELS
HIP.12	G+Q+0,6*V466	1	109,76	1,78	109,76	1,58	ELS
	G+Q+0,6*V466	2	120,13	1,78	120,13	1,58	ELS
HIP.13	G+Q+0,6*V467	1	109,35	1,75	109,35	1,56	ELS
	G+Q+0,6*V467	2	119,69	1,75	119,69	1,56	ELS
HIP.14	G+Q+0,6*V468	1	109,41	1,74	109,41	1,56	ELS
	G+Q+0,6*V468	2	119,70	1,74	119,70	1,56	ELS
HIP.15	G+Q+0,6*V469	1	108,52	2,40	108,52	2,14	ELS
	G+Q+0,6*V469	2	125,40	2,40	125,40	2,14	ELS
HIP.16	G+Q+0,6*V470	1	109,17	2,33	109,17	2,07	ELS
	G+Q+0,6*V470	2	125,45	2,33	125,45	2,07	ELS
HIP.17	G+Q+0,6*V471	1	110,65	1,14	110,65	1,02	ELS
	G+Q+0,6*V471	2	114,42	1,14	114,42	1,01	ELS
HIP.18	G+Q+0,6*V472	1	110,00	1,18	110,00	1,05	ELS
	G+Q+0,6*V472	2	114,38	1,18	114,38	1,05	ELS
HIP.19	G+V1+0,7*Q	1	105,22	1,65	105,22	1,47	ELS
	G+V1+0,7*Q	2	114,65	1,65	114,65	1,47	ELS
HIP.20	G+V2+0,7*Q	1	105,13	1,65	105,13	1,47	ELS
	G+V2+0,7*Q	2	114,64	1,65	114,64	1,47	ELS
HIP.21	G+V3+0,7*Q	1	104,45	1,61	104,45	1,43	ELS
	G+V3+0,7*Q	2	113,92	1,61	113,92	1,43	ELS
HIP.22	G+V4+0,7*Q	1	104,54	1,60	104,54	1,42	ELS
	G+V4+0,7*Q	2	113,92	1,60	113,92	1,42	ELS
HIP.23	G+V5+0,7*Q	1	103,07	2,68	103,07	2,39	ELS
	G+V5+0,7*Q	2	123,43	2,68	123,43	2,39	ELS
HIP.24	G+V6+0,7*Q	1	104,15	2,55	104,15	2,28	ELS
	G+V6+0,7*Q	2	123,51	2,55	123,51	2,28	ELS
HIP.25	G+V7+0,7*Q	1	106,60	0,67	106,60	0,60	ELS
	G+V7+0,7*Q	2	105,13	0,65	105,13	0,58	ELS
HIP.26	G+V8+0,7*Q	1	105,52	0,66	105,52	0,59	ELS
	G+V8+0,7*Q	2	105,05	0,66	105,05	0,59	ELS
HIP.27	G+Sx	1	96,56	0,78	96,56	0,70	ELU
	G+Sx	2	101,32	0,79	101,32	0,71	ELU
HIP.28	G-Sx	1	90,95	1,17	90,95	1,04	ELU
	G-Sx	2	100,97	1,18	100,97	1,05	ELU
HIP.29	G+Sy	1	97,91	0,57	97,91	0,51	ELU
	G+Sy	2	101,26	0,57	101,26	0,51	ELU
HIP.30	G-Sy	1	89,60	1,11	89,60	0,99	ELU
	G-Sy	2	101,03	1,11	101,03	0,99	ELU
HIP.31	G+Sx+0,3*Sy	1	97,80	0,75	97,80	0,67	ELU
	G+Sx+0,3*Sy	2	101,35	0,76	101,35	0,68	ELU
HIP.32	G+Sx-0,3*Sy	1	95,31	0,82	95,31	0,73	ELU
	G+Sx-0,3*Sy	2	101,29	0,83	101,29	0,74	ELU
HIP.33	G-Sx+0,3*Sy	1	92,20	1,07	92,20	0,96	ELU
	G-Sx+0,3*Sy	2	101,00	1,08	101,00	0,97	ELU
HIP.34	G-Sx-0,3*Sy	1	89,70	1,26	89,70	1,12	ELU
	G-Sx-0,3*Sy	2	100,94	1,27	100,94	1,13	ELU
HIP.35	G+Sy+0,3*Sx	1	98,75	0,56	98,75	0,50	ELU
	G+Sy+0,3*Sx	2	101,31	0,57	101,31	0,50	ELU
HIP.36	G+Sy-0,3*Sx	1	97,07	0,62	97,07	0,55	ELU
	G+Sy-0,3*Sx	2	101,21	0,62	101,21	0,55	ELU
HIP.37	G-Sy+0,3*Sx	1	90,44	1,04	90,44	0,93	ELU
	G-Sy+0,3*Sx	2	101,08	1,04	101,08	0,92	ELU
HIP.38	G-Sy-0,3*Sx	1	88,76	1,21	88,76	1,08	ELU
	G-Sy-0,3*Sx	2	100,98	1,21	100,98	1,08	ELU
HIP.39	G+Sx+0,3*Q	1	101,31	0,87	101,31	0,78	ELU
	G+Sx+0,3*Q	2	106,95	0,88	106,95	0,78	ELU
HIP.40	G-Sx+0,3*Q	1	95,70	1,25	95,70	1,12	ELU

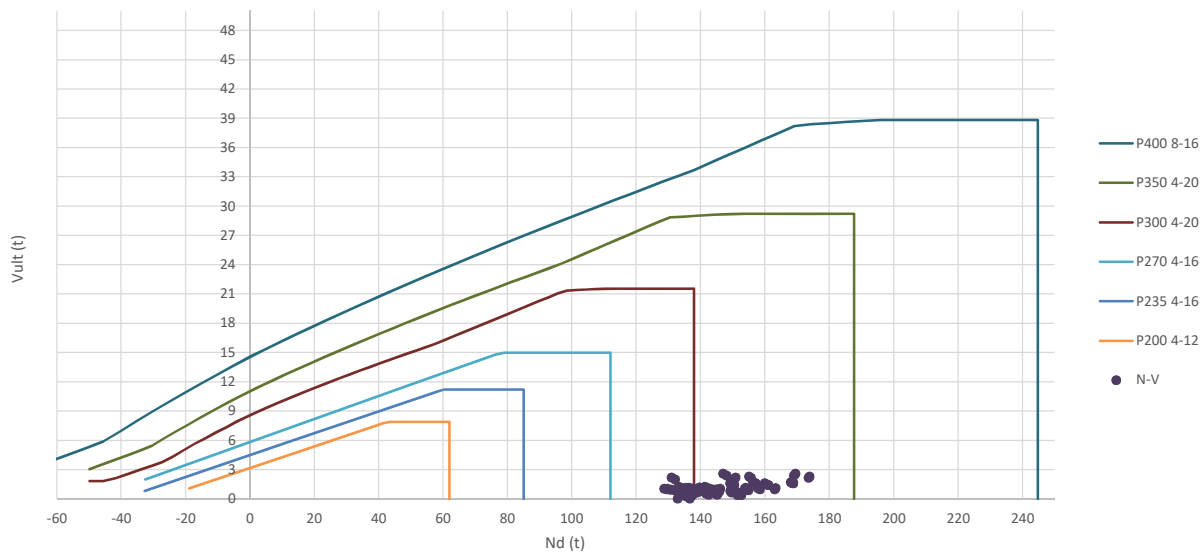
	G-Sx+0,3*Q	2	106,60	1,26	106,60	1,13	ELU
HIP.41	G+Sy+0,3*Q	1	102,66	0,67	102,66	0,60	ELU
	G+Sy+0,3*Q	2	106,89	0,67	106,89	0,60	ELU
HIP.42	G-Sy+0,3*Q	1	94,35	1,21	94,35	1,08	ELU
	G-Sy+0,3*Q	2	106,66	1,21	106,66	1,08	ELU
HIP.43	G+Sx+0,3*Sy+0,3*Q	1	102,55	0,83	102,55	0,74	ELU
	G+Sx+0,3*Sy+0,3*Q	2	106,98	0,84	106,98	0,75	ELU
HIP.44	G+Sx-0,3*Sy+0,3*Q	1	100,06	0,92	100,06	0,82	ELU
	G+Sx-0,3*Sy+0,3*Q	2	106,92	0,92	106,92	0,82	ELU
HIP.45	G-Sx+0,3*Sy+0,3*Q	1	96,95	1,16	96,95	1,03	ELU
	G-Sx+0,3*Sy+0,3*Q	2	106,63	1,17	106,63	1,04	ELU
HIP.46	G-Sx-0,3*Sy+0,3*Q	1	94,45	1,35	94,45	1,20	ELU
	G-Sx-0,3*Sy+0,3*Q	2	106,57	1,35	106,57	1,21	ELU
HIP.47	G+Sy+0,3*Sx+0,3*Q	1	103,50	0,66	103,50	0,59	ELU
	G+Sy+0,3*Sx+0,3*Q	2	106,94	0,66	106,94	0,59	ELU
HIP.48	G+Sy-0,3*Sx+0,3*Q	1	101,82	0,72	101,82	0,64	ELU
	G+Sy-0,3*Sx+0,3*Q	2	106,84	0,72	106,84	0,64	ELU
HIP.49	G-Sy+0,3*Sx+0,3*Q	1	95,19	1,14	95,19	1,02	ELU
	G-Sy+0,3*Sx+0,3*Q	2	106,72	1,14	106,72	1,02	ELU
HIP.50	G-Sy-0,3*Sx+0,3*Q	1	93,50	1,30	93,50	1,16	ELU
	G-Sy-0,3*Sx+0,3*Q	2	106,61	1,31	106,61	1,16	ELU
HIP.51	G+BOMB	1	94,12	0,78	94,12	0,69	ELU
	G+BOMB	2	100,87	0,78	100,87	0,69	ELU
HIP.52	G+BOMB+0,5*Q	1	102,04	0,95	102,04	0,85	ELU
	G+BOMB+0,5*Q	2	110,25	0,95	110,25	0,85	ELU
HIP.53	G+BOMB+0,5*V465	1	94,31	0,80	94,31	0,71	ELU
	G+BOMB+0,5*V465	2	101,05	0,80	101,05	0,71	ELU
HIP.54	G+BOMB+0,5*V466	1	94,27	0,80	94,27	0,71	ELU
	G+BOMB+0,5*V466	2	101,05	0,80	101,05	0,71	ELU
HIP.55	G+BOMB+0,5*V467	1	93,93	0,77	93,93	0,69	ELU
	G+BOMB+0,5*V467	2	100,68	0,77	100,68	0,69	ELU
HIP.56	G+BOMB+0,5*V468	1	93,98	0,77	93,98	0,69	ELU
	G+BOMB+0,5*V468	2	100,69	0,77	100,69	0,69	ELU
HIP.57	G+BOMB+0,5*V469	1	93,24	1,13	93,24	1,01	ELU
	G+BOMB+0,5*V469	2	105,44	1,13	105,44	1,01	ELU
HIP.58	G+BOMB+0,5*V470	1	93,78	1,10	93,78	0,98	ELU
	G+BOMB+0,5*V470	2	105,48	1,10	105,48	0,98	ELU
HIP.59	G+BOMB+0,5*V471	1	95,01	0,46	95,01	0,41	ELU
	G+BOMB+0,5*V471	2	96,29	0,45	96,29	0,40	ELU
HIP.60	G+BOMB+0,5*V472	1	94,47	0,47	94,47	0,42	ELU
	G+BOMB+0,5*V472	2	96,25	0,47	96,25	0,42	ELU
HIP.61	G+BOMB+0,5*V1+0,3*Q	1	99,06	0,90	99,06	0,80	ELU
	G+BOMB+0,5*V1+0,3*Q	2	106,68	0,90	106,68	0,80	ELU
HIP.62	G+BOMB+0,5*V2+0,3*Q	1	99,02	0,90	99,02	0,80	ELU
	G+BOMB+0,5*V2+0,3*Q	2	106,68	0,90	106,68	0,80	ELU
HIP.63	G+BOMB+0,5*V3+0,3*Q	1	98,68	0,88	98,68	0,78	ELU
	G+BOMB+0,5*V3+0,3*Q	2	106,32	0,88	106,32	0,78	ELU
HIP.64	G+BOMB+0,5*V4+0,3*Q	1	98,72	0,87	98,72	0,78	ELU
	G+BOMB+0,5*V4+0,3*Q	2	106,32	0,87	106,32	0,78	ELU
HIP.65	G+BOMB+0,5*V5+0,3*Q	1	97,99	1,24	97,99	1,10	ELU
	G+BOMB+0,5*V5+0,3*Q	2	111,07	1,24	111,07	1,10	ELU
HIP.66	G+BOMB+0,5*V6+0,3*Q	1	98,53	1,20	98,53	1,07	ELU
	G+BOMB+0,5*V6+0,3*Q	2	111,11	1,20	111,11	1,07	ELU
HIP.67	G+BOMB+0,5*V7+0,3*Q	1	99,75	0,55	99,75	0,49	ELU
	G+BOMB+0,5*V7+0,3*Q	2	101,92	0,55	101,92	0,49	ELU
HIP.68	G+BOMB+0,5*V8+0,3*Q	1	99,21	0,57	99,21	0,51	ELU
	G+BOMB+0,5*V8+0,3*Q	2	101,88	0,57	101,88	0,51	ELU

Seccion (mm.)	e _x (m.)	e _y (m.)	Henc. (m.)
350	0,00	1,25	1,25
COMPROBACIÓN (compresión)	CUMPLE		
MAX. AXIL	173,81		(TON)
MIN. AXIL	0,00		(TON)
COMPROBACIÓN (tracción)	CUMPLE		
	L.1(m)		0,00
	L.2(m)		0,00
	L.Influenc.(m)		0,00
	CERRAM.(ton.)		0,00
	αx (inclinación)		0,00
	αy (inclinación)		0,00

Curva de resistencia axil-momento (en cualquier dirección)



Curva de resistencia axil-cortante



PILAR: P60



COMPROBACIÓN ESFUERZOS:

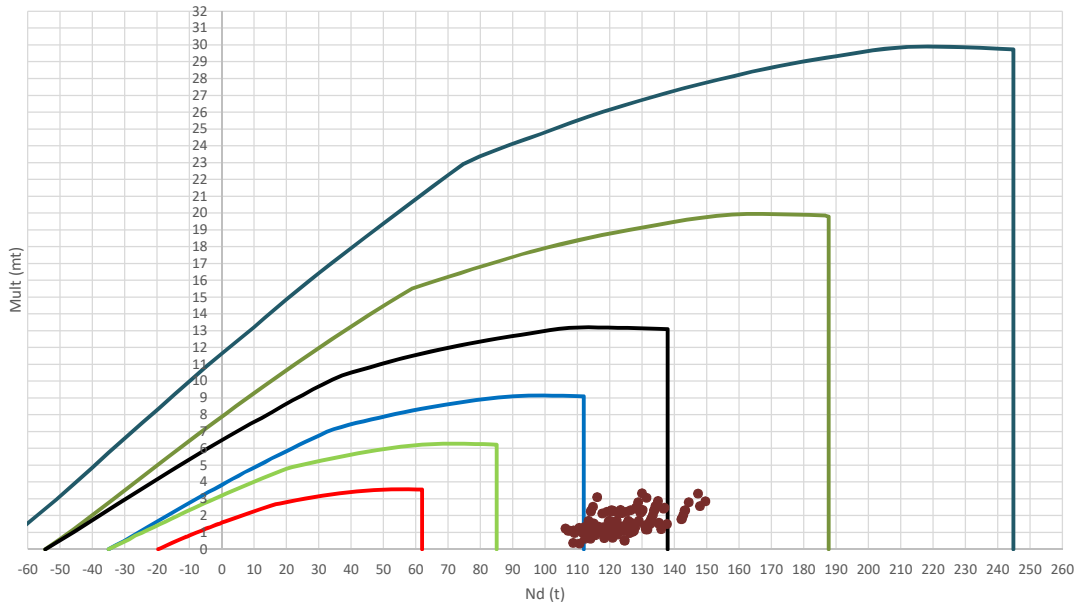
P18147P Parcela R20

	LC: COMB.	nº PILOTE	N _{pilote} (T) a ras de suelo	M ult. Pilote (mT)	N _{pilote} (T) a ras de suelo	V ult.-Pilote (T)	ESTADO LIMITE
HIP.1	G	1	133,78	1,46	133,78	1,12	ELS
	G	2	141,85	1,46	141,85	1,12	ELS
HIP.2	G+Q	1	156,67	2,16	156,67	1,65	ELS
	G+Q	2	168,40	2,16	168,40	1,65	ELS
HIP.3	G+V473	1	134,39	1,40	134,39	1,07	ELS
	G+V473	2	142,37	1,40	142,37	1,07	ELS
HIP.4	G+V474	1	134,29	1,42	134,29	1,09	ELS
	G+V474	2	142,41	1,42	142,41	1,09	ELS
HIP.5	G+V475	1	133,18	1,62	133,18	1,24	ELS
	G+V475	2	141,33	1,62	141,33	1,24	ELS
HIP.6	G+V476	1	133,27	1,59	133,27	1,21	ELS
	G+V476	2	141,29	1,59	141,29	1,21	ELS
HIP.7	G+V477	1	130,95	2,90	130,95	2,21	ELS
	G+V477	2	150,87	2,89	150,87	2,21	ELS
HIP.8	G+V478	1	132,01	2,63	132,01	2,01	ELS
	G+V478	2	150,32	2,63	150,32	2,01	ELS
HIP.9	G+V479	1	136,61	0,05	136,61	0,04	ELS
	G+V479	2	132,83	0,04	132,83	0,03	ELS
HIP.10	G+V480	1	135,55	0,37	135,55	0,28	ELS
	G+V480	2	133,38	0,37	133,38	0,28	ELS
HIP.11	G+Q+0,6*V473	1	157,04	2,10	157,04	1,61	ELS
	G+Q+0,6*V473	2	168,71	2,10	168,71	1,61	ELS
HIP.12	G+Q+0,6*V474	1	156,98	2,12	156,98	1,62	ELS
	G+Q+0,6*V474	2	168,74	2,12	168,74	1,62	ELS
HIP.13	G+Q+0,6*V475	1	156,31	2,25	156,31	1,72	ELS
	G+Q+0,6*V475	2	168,09	2,25	168,09	1,72	ELS
HIP.14	G+Q+0,6*V476	1	156,37	2,23	156,37	1,71	ELS
	G+Q+0,6*V476	2	168,06	2,23	168,06	1,71	ELS
HIP.15	G+Q+0,6*V477	1	154,98	3,02	154,98	2,31	ELS
	G+Q+0,6*V477	2	173,81	3,02	173,81	2,31	ELS
HIP.16	G+Q+0,6*V478	1	155,61	2,86	155,61	2,19	ELS
	G+Q+0,6*V478	2	173,48	2,86	173,48	2,19	ELS
HIP.17	G+Q+0,6*V479	1	158,37	1,30	158,37	1,00	ELS
	G+Q+0,6*V479	2	162,99	1,31	162,99	1,00	ELS
HIP.18	G+Q+0,6*V480	1	157,74	1,48	157,74	1,13	ELS
	G+Q+0,6*V480	2	163,32	1,48	163,32	1,13	ELS
HIP.19	G+V1+0,7*Q	1	150,41	1,87	150,41	1,43	ELS
	G+V1+0,7*Q	2	160,95	1,87	160,95	1,43	ELS
HIP.20	G+V2+0,7*Q	1	150,31	1,89	150,31	1,45	ELS
	G+V2+0,7*Q	2	161,00	1,89	161,00	1,45	ELS
HIP.21	G+V3+0,7*Q	1	149,20	2,11	149,20	1,61	ELS
	G+V3+0,7*Q	2	159,92	2,11	159,92	1,61	ELS
HIP.22	G+V4+0,7*Q	1	149,30	2,08	149,30	1,59	ELS
	G+V4+0,7*Q	2	159,87	2,08	159,87	1,59	ELS
HIP.23	G+V5+0,7*Q	1	146,98	3,39	146,98	2,59	ELS
	G+V5+0,7*Q	2	169,45	3,38	169,45	2,58	ELS
HIP.24	G+V6+0,7*Q	1	148,04	3,12	148,04	2,38	ELS
	G+V6+0,7*Q	2	168,90	3,12	168,90	2,38	ELS
HIP.25	G+V7+0,7*Q	1	152,63	0,52	152,63	0,40	ELS
	G+V7+0,7*Q	2	151,42	0,53	151,42	0,41	ELS
HIP.26	G+V8+0,7*Q	1	151,58	0,83	151,58	0,64	ELS
	G+V8+0,7*Q	2	151,96	0,83	151,96	0,64	ELS
HIP.27	G+Sx	1	136,71	1,17	136,71	0,89	ELU
	G+Sx	2	141,60	1,18	141,60	0,91	ELU
HIP.28	G-Sx	1	130,85	1,26	130,85	0,97	ELU
	G-Sx	2	142,10	1,27	142,10	0,97	ELU
HIP.29	G+Sy	1	138,02	0,76	138,02	0,58	ELU
	G+Sy	2	141,60	0,76	141,60	0,58	ELU
HIP.30	G-Sy	1	129,54	1,29	129,54	0,98	ELU
	G-Sy	2	142,10	1,29	142,10	0,98	ELU
HIP.31	G+Sx+0,3*Sy	1	137,99	1,16	137,99	0,89	ELU
	G+Sx+0,3*Sy	2	141,52	1,18	141,52	0,90	ELU
HIP.32	G+Sx-0,3*Sy	1	135,44	1,18	135,44	0,90	ELU
	G+Sx-0,3*Sy	2	141,67	1,20	141,67	0,92	ELU
HIP.33	G-Sx+0,3*Sy	1	132,12	1,14	132,12	0,87	ELU
	G-Sx+0,3*Sy	2	142,03	1,15	142,03	0,88	ELU
HIP.34	G-Sx-0,3*Sy	1	129,57	1,38	129,57	1,06	ELU
	G-Sx-0,3*Sy	2	142,18	1,39	142,18	1,06	ELU
HIP.35	G+Sy+0,3*Sx	1	138,90	0,86	138,90	0,66	ELU
	G+Sy+0,3*Sx	2	141,53	0,86	141,53	0,66	ELU
HIP.36	G+Sy-0,3*Sx	1	137,14	0,72	137,14	0,55	ELU
	G+Sy-0,3*Sx	2	141,68	0,72	141,68	0,55	ELU
HIP.37	G-Sy+0,3*Sx	1	130,42	1,24	130,42	0,94	ELU
	G-Sy+0,3*Sx	2	142,02	1,24	142,02	0,95	ELU
HIP.38	G-Sy-0,3*Sx	1	128,66	1,37	128,66	1,05	ELU
	G-Sy-0,3*Sx	2	142,18	1,37	142,18	1,05	ELU
HIP.39	G+Sx+0,3*Q	1	143,58	1,29	143,58	0,98	ELU
	G+Sx+0,3*Q	2	149,56	1,30	149,56	1,00	ELU
HIP.40	G-Sx+0,3*Q	1	137,72	1,37	137,72	1,05	ELU

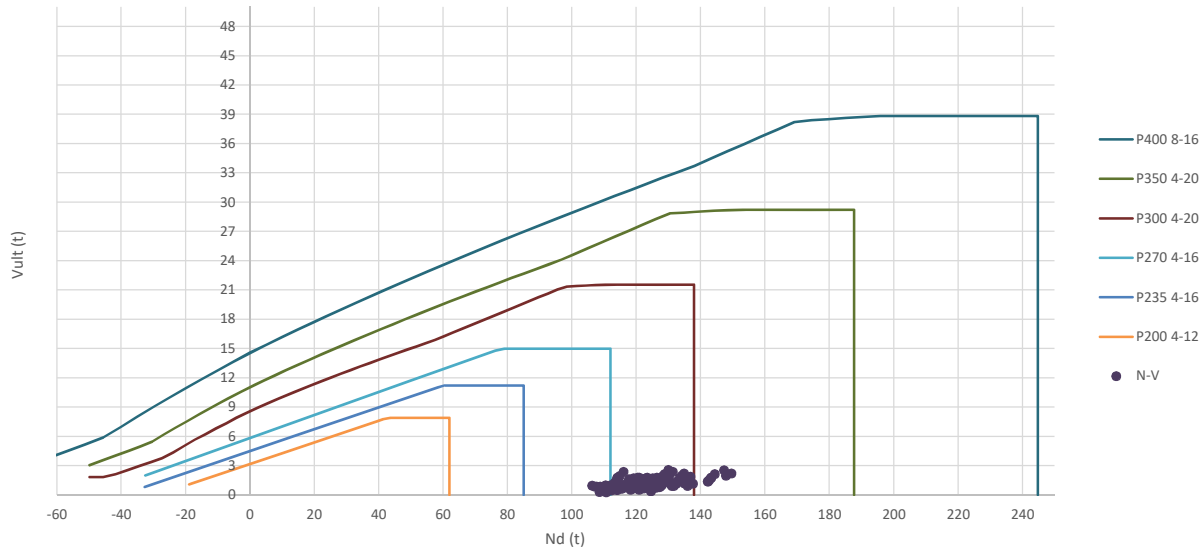
	G-Sx+0,3*Q	2	150,07	1,38	150,07	1,05	ELU
HIP.41	G+Sy+0,3*Q	1	144,89	0,90	144,89	0,69	ELU
	G+Sy+0,3*Q	2	149,56	0,90	149,56	0,69	ELU
HIP.42	G-Sy+0,3*Q	1	136,41	1,42	136,41	1,09	ELU
	G-Sy+0,3*Q	2	150,06	1,42	150,06	1,09	ELU
HIP.43	G+Sx+0,3*Sy+0,3*Q	1	144,85	1,28	144,85	0,98	ELU
	G+Sx+0,3*Sy+0,3*Q	2	149,49	1,29	149,49	0,99	ELU
HIP.44	G+Sx-0,3*Sy+0,3*Q	1	142,31	1,31	142,31	1,00	ELU
	G+Sx-0,3*Sy+0,3*Q	2	149,64	1,32	149,64	1,01	ELU
HIP.45	G-Sx+0,3*Sy+0,3*Q	1	138,99	1,26	138,99	0,96	ELU
	G-Sx+0,3*Sy+0,3*Q	2	149,99	1,26	149,99	0,96	ELU
HIP.46	G-Sx-0,3*Sy+0,3*Q	1	136,44	1,49	136,44	1,14	ELU
	G-Sx-0,3*Sy+0,3*Q	2	150,14	1,50	150,14	1,14	ELU
HIP.47	G+Sy+0,3*Sx+0,3*Q	1	145,77	0,98	145,77	0,75	ELU
	G+Sy+0,3*Sx+0,3*Q	2	149,49	0,98	149,49	0,75	ELU
HIP.48	G+Sy-0,3*Sx+0,3*Q	1	144,01	0,86	144,01	0,66	ELU
	G+Sy-0,3*Sx+0,3*Q	2	149,64	0,86	149,64	0,66	ELU
HIP.49	G-Sy+0,3*Sx+0,3*Q	1	137,29	1,37	137,29	1,05	ELU
	G-Sy+0,3*Sx+0,3*Q	2	149,99	1,38	149,99	1,05	ELU
HIP.50	G-Sy-0,3*Sx+0,3*Q	1	135,53	1,50	135,53	1,14	ELU
	G-Sy-0,3*Sx+0,3*Q	2	150,14	1,50	150,14	1,14	ELU
HIP.51	G+BOMB	1	134,19	0,92	134,19	0,70	ELU
	G+BOMB	2	141,58	0,92	141,58	0,70	ELU
HIP.52	G+BOMB+0,5*Q	1	145,64	1,15	145,64	0,88	ELU
	G+BOMB+0,5*Q	2	154,85	1,15	154,85	0,88	ELU
HIP.53	G+BOMB+0,5*V473	1	134,50	0,89	134,50	0,68	ELU
	G+BOMB+0,5*V473	2	141,83	0,89	141,83	0,68	ELU
HIP.54	G+BOMB+0,5*V474	1	134,45	0,89	134,45	0,68	ELU
	G+BOMB+0,5*V474	2	141,86	0,89	141,86	0,68	ELU
HIP.55	G+BOMB+0,5*V475	1	133,89	0,96	133,89	0,74	ELU
	G+BOMB+0,5*V475	2	141,32	0,96	141,32	0,74	ELU
HIP.56	G+BOMB+0,5*V476	1	133,94	0,95	133,94	0,73	ELU
	G+BOMB+0,5*V476	2	141,29	0,95	141,29	0,73	ELU
HIP.57	G+BOMB+0,5*V477	1	132,78	1,39	132,78	1,06	ELU
	G+BOMB+0,5*V477	2	146,08	1,39	146,08	1,06	ELU
HIP.58	G+BOMB+0,5*V478	1	133,31	1,30	133,31	1,00	ELU
	G+BOMB+0,5*V478	2	145,81	1,30	145,81	1,00	ELU
HIP.59	G+BOMB+0,5*V479	1	135,61	0,44	135,61	0,33	ELU
	G+BOMB+0,5*V479	2	137,07	0,44	137,07	0,34	ELU
HIP.60	G+BOMB+0,5*V480	1	135,08	0,53	135,08	0,41	ELU
	G+BOMB+0,5*V480	2	137,34	0,53	137,34	0,41	ELU
HIP.61	G+BOMB+0,5*V1+0,3*Q	1	141,37	1,02	141,37	0,78	ELU
	G+BOMB+0,5*V1+0,3*Q	2	149,80	1,02	149,80	0,78	ELU
HIP.62	G+BOMB+0,5*V2+0,3*Q	1	141,32	1,03	141,32	0,79	ELU
	G+BOMB+0,5*V2+0,3*Q	2	149,82	1,03	149,82	0,79	ELU
HIP.63	G+BOMB+0,5*V3+0,3*Q	1	140,76	1,10	140,76	0,84	ELU
	G+BOMB+0,5*V3+0,3*Q	2	149,28	1,10	149,28	0,84	ELU
HIP.64	G+BOMB+0,5*V4+0,3*Q	1	140,81	1,09	140,81	0,83	ELU
	G+BOMB+0,5*V4+0,3*Q	2	149,26	1,09	149,26	0,83	ELU
HIP.65	G+BOMB+0,5*V5+0,3*Q	1	139,65	1,53	139,65	1,17	ELU
	G+BOMB+0,5*V5+0,3*Q	2	154,05	1,53	154,05	1,17	ELU
HIP.66	G+BOMB+0,5*V6+0,3*Q	1	140,18	1,44	140,18	1,10	ELU
	G+BOMB+0,5*V6+0,3*Q	2	153,78	1,44	153,78	1,10	ELU
HIP.67	G+BOMB+0,5*V7+0,3*Q	1	142,48	0,58	142,48	0,44	ELU
	G+BOMB+0,5*V7+0,3*Q	2	145,03	0,58	145,03	0,44	ELU
HIP.68	G+BOMB+0,5*V8+0,3*Q	1	141,95	0,67	141,95	0,51	ELU
	G+BOMB+0,5*V8+0,3*Q	2	145,31	0,67	145,31	0,51	ELU

Seccion (mm.)	e _x (m.)	e _y (m.)	Henc. (m.)
350	0,00	1,25	1,25
COMPROBACIÓN (compresión)	CUMPLE		
MAX. AXIL	149,56	(TON)	
MIN. AXIL	0,00	(TON)	
COMPROBACIÓN (tracción)	CUMPLE		
	L.1(m)	0,00	
	L.2(m)	0,00	
	L.Influenc.(m)	0,00	
	CERRAM.(ton.)	0,00	
	αx (inclinación)	0,00	
	αy (inclinación)	0,00	

Curva de resistencia axil-momento (en cualquier dirección)



Curva de resistencia axil-cortante



PILAR: P61



COMPROBACIÓN ESFUERZOS:

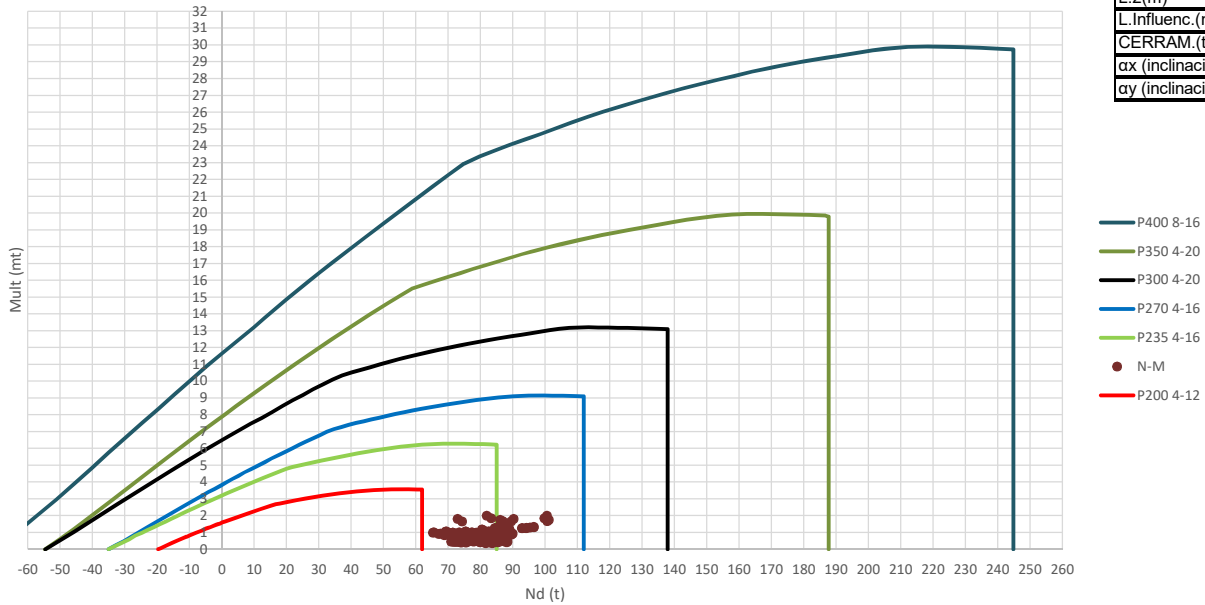
P18147P Parcela R20

	LC: COMB.	nº PILOTE	N _{pilote} (T) a ras de suelo	M ult. Pilote (mT)	N _{pilote} (T) a ras de suelo	V ult.-Pilote (T)	ESTADO LIMITE
HIP.1	G	1	113,36	1,69	113,36	1,30	ELS
	G	2	119,97	1,69	119,97	1,30	ELS
HIP.2	G+Q	1	133,26	2,03	133,26	1,55	ELS
	G+Q	2	142,73	2,03	142,73	1,55	ELS
HIP.3	G+V481	1	112,57	1,23	112,57	0,94	ELS
	G+V481	2	119,02	1,23	119,02	0,94	ELS
HIP.4	G+V482	1	112,66	1,27	112,66	0,97	ELS
	G+V482	2	119,28	1,27	119,28	0,97	ELS
HIP.5	G+V483	1	114,15	2,31	114,15	1,76	ELS
	G+V483	2	120,93	2,31	120,93	1,76	ELS
HIP.6	G+V484	1	114,05	2,26	114,05	1,72	ELS
	G+V484	2	120,67	2,26	120,67	1,72	ELS
HIP.7	G+V485	1	116,05	3,10	116,05	2,37	ELS
	G+V485	2	131,35	3,08	131,35	2,35	ELS
HIP.8	G+V486	1	114,80	2,54	114,80	1,94	ELS
	G+V486	2	128,45	2,54	128,45	1,94	ELS
HIP.9	G+V487	1	110,67	0,35	110,67	0,27	ELS
	G+V487	2	108,60	0,38	108,60	0,29	ELS
HIP.10	G+V488	1	111,92	1,00	111,92	0,76	ELS
	G+V488	2	111,49	1,00	111,49	0,76	ELS
HIP.11	G+Q+0,6*V481	1	132,78	1,80	132,78	1,38	ELS
	G+Q+0,6*V481	2	142,16	1,80	142,16	1,38	ELS
HIP.12	G+Q+0,6*V482	1	132,84	1,82	132,84	1,39	ELS
	G+Q+0,6*V482	2	142,32	1,82	142,32	1,39	ELS
HIP.13	G+Q+0,6*V483	1	133,73	2,33	133,73	1,78	ELS
	G+Q+0,6*V483	2	143,31	2,33	143,31	1,78	ELS
HIP.14	G+Q+0,6*V484	1	133,67	2,30	133,67	1,76	ELS
	G+Q+0,6*V484	2	143,15	2,30	143,15	1,76	ELS
HIP.15	G+Q+0,6*V485	1	134,87	2,88	134,87	2,20	ELS
	G+Q+0,6*V485	2	149,56	2,87	149,56	2,19	ELS
HIP.16	G+Q+0,6*V486	1	134,12	2,57	134,12	1,96	ELS
	G+Q+0,6*V486	2	147,82	2,57	147,82	1,96	ELS
HIP.17	G+Q+0,6*V487	1	131,65	1,19	131,65	0,91	ELS
	G+Q+0,6*V487	2	135,91	1,20	135,91	0,92	ELS
HIP.18	G+Q+0,6*V488	1	132,39	1,51	132,39	1,16	ELS
	G+Q+0,6*V488	2	137,65	1,51	137,65	1,16	ELS
HIP.19	G+V1+0,7*Q	1	126,49	1,55	126,49	1,19	ELS
	G+V1+0,7*Q	2	134,95	1,55	134,95	1,19	ELS
HIP.20	G+V2+0,7*Q	1	126,59	1,59	126,59	1,21	ELS
	G+V2+0,7*Q	2	135,21	1,59	135,21	1,21	ELS
HIP.21	G+V3+0,7*Q	1	128,08	2,47	128,08	1,89	ELS
	G+V3+0,7*Q	2	136,86	2,47	136,86	1,89	ELS
HIP.22	G+V4+0,7*Q	1	127,98	2,42	127,98	1,85	ELS
	G+V4+0,7*Q	2	136,60	2,42	136,60	1,85	ELS
HIP.23	G+V5+0,7*Q	1	129,97	3,34	129,97	2,55	ELS
	G+V5+0,7*Q	2	147,28	3,32	147,28	2,53	ELS
HIP.24	G+V6+0,7*Q	1	128,73	2,81	128,73	2,15	ELS
	G+V6+0,7*Q	2	144,39	2,81	144,39	2,15	ELS
HIP.25	G+V7+0,7*Q	1	124,60	0,51	124,60	0,39	ELS
	G+V7+0,7*Q	2	124,53	0,53	124,53	0,41	ELS
HIP.26	G+V8+0,7*Q	1	125,85	1,11	125,85	0,84	ELS
	G+V8+0,7*Q	2	127,42	1,11	127,42	0,84	ELS
HIP.27	G+Sx	1	119,07	2,23	119,07	1,70	ELU
	G+Sx	2	122,98	2,25	122,98	1,72	ELU
HIP.28	G-Sx	1	107,65	1,11	107,65	0,85	ELU
	G-Sx	2	116,96	1,12	116,96	0,86	ELU
HIP.29	G+Sy	1	117,95	1,33	117,95	1,01	ELU
	G+Sy	2	121,17	1,33	121,17	1,01	ELU
HIP.30	G-Sy	1	108,77	1,13	108,77	0,86	ELU
	G-Sy	2	118,77	1,13	118,77	0,86	ELU
HIP.31	G+Sx+0,3*Sy	1	120,44	2,33	120,44	1,78	ELU
	G+Sx+0,3*Sy	2	123,34	2,35	123,34	1,79	ELU
HIP.32	G+Sx-0,3*Sy	1	117,69	2,13	117,69	1,63	ELU
	G+Sx-0,3*Sy	2	122,62	2,15	122,62	1,64	ELU
HIP.33	G-Sx+0,3*Sy	1	109,03	0,98	109,03	0,75	ELU
	G-Sx+0,3*Sy	2	117,32	0,99	117,32	0,76	ELU
HIP.34	G-Sx-0,3*Sy	1	106,27	1,24	106,27	0,95	ELU
	G-Sx-0,3*Sy	2	116,60	1,25	116,60	0,96	ELU
HIP.35	G+Sy+0,3*Sx	1	119,66	1,69	119,66	1,29	ELU
	G+Sy+0,3*Sx	2	122,07	1,69	122,07	1,29	ELU
HIP.36	G+Sy-0,3*Sx	1	116,23	1,00	116,23	0,77	ELU
	G+Sy-0,3*Sx	2	120,27	1,00	120,27	0,76	ELU
HIP.37	G-Sy+0,3*Sx	1	110,48	1,28	110,48	0,98	ELU
	G-Sy+0,3*Sx	2	119,68	1,28	119,68	0,98	ELU
HIP.38	G-Sy-0,3*Sx	1	107,06	1,11	107,06	0,85	ELU
	G-Sy-0,3*Sx	2	117,87	1,11	117,87	0,85	ELU
HIP.39	G+Sx+0,3*Q	1	125,04	2,24	125,04	1,71	ELU
	G+Sx+0,3*Q	2	129,81	2,26	129,81	1,73	ELU
HIP.40	G-Sx+0,3*Q	1	113,62	1,21	113,62	0,92	ELU

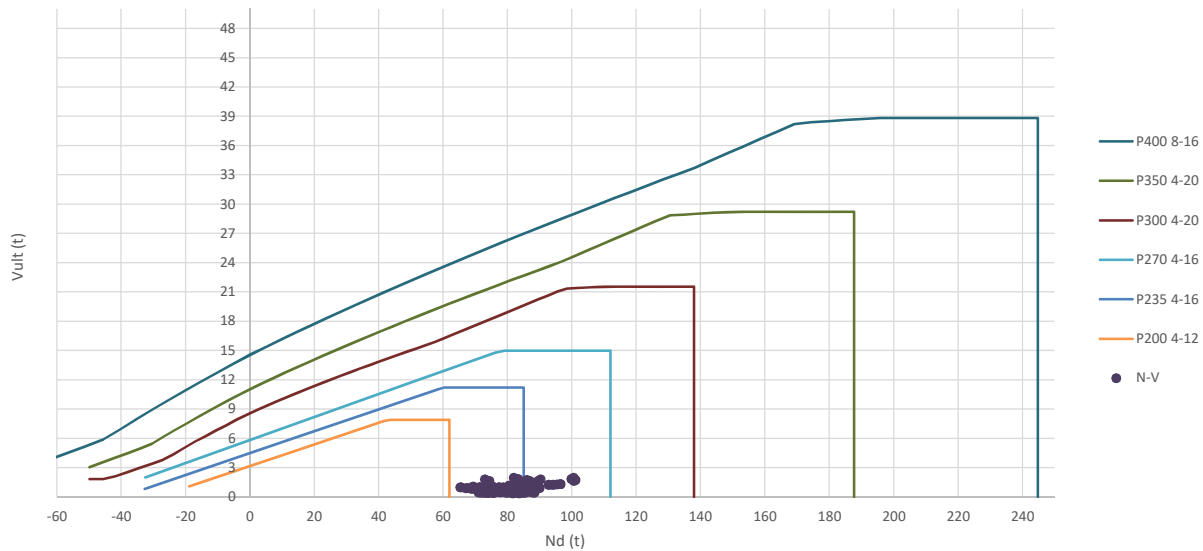
	G-Sx+0,3*Q	2	123,79	1,22	123,79	0,93	ELU
HIP.41	G+Sy+0,3*Q	1	123,92	1,35	123,92	1,04	ELU
	G+Sy+0,3*Q	2	128,00	1,35	128,00	1,04	ELU
HIP.42	G-Sy+0,3*Q	1	114,74	1,22	114,74	0,93	ELU
	G-Sy+0,3*Q	2	125,60	1,22	125,60	0,93	ELU
HIP.43	G+Sx+0,3*Sy+0,3*Q	1	126,41	2,33	126,41	1,78	ELU
	G+Sx+0,3*Sy+0,3*Q	2	130,17	2,35	130,17	1,80	ELU
HIP.44	G+Sx-0,3*Sy+0,3*Q	1	123,66	2,15	123,66	1,64	ELU
	G+Sx-0,3*Sy+0,3*Q	2	129,45	2,17	129,45	1,66	ELU
HIP.45	G-Sx+0,3*Sy+0,3*Q	1	115,00	1,08	115,00	0,83	ELU
	G-Sx+0,3*Sy+0,3*Q	2	124,15	1,09	124,15	0,83	ELU
HIP.46	G-Sx-0,3*Sy+0,3*Q	1	112,24	1,34	112,24	1,02	ELU
	G-Sx-0,3*Sy+0,3*Q	2	123,43	1,35	123,43	1,03	ELU
HIP.47	G+Sy+0,3*Sx+0,3*Q	1	125,63	1,70	125,63	1,30	ELU
	G+Sy+0,3*Sx+0,3*Q	2	128,90	1,71	128,90	1,30	ELU
HIP.48	G+Sy-0,3*Sx+0,3*Q	1	122,20	1,05	122,20	0,80	ELU
	G+Sy-0,3*Sx+0,3*Q	2	127,10	1,05	127,10	0,80	ELU
HIP.49	G-Sy+0,3*Sx+0,3*Q	1	116,45	1,35	116,45	1,03	ELU
	G-Sy+0,3*Sx+0,3*Q	2	126,50	1,35	126,50	1,04	ELU
HIP.50	G-Sy-0,3*Sx+0,3*Q	1	113,03	1,22	113,03	0,93	ELU
	G-Sy-0,3*Sx+0,3*Q	2	124,70	1,22	124,70	0,93	ELU
HIP.51	G+BOMB	1	113,61	1,08	113,61	0,83	ELU
	G+BOMB	2	119,72	1,08	119,72	0,83	ELU
HIP.52	G+BOMB+0,5*Q	1	123,56	1,19	123,56	0,91	ELU
	G+BOMB+0,5*Q	2	131,10	1,19	131,10	0,91	ELU
HIP.53	G+BOMB+0,5*V481	1	113,22	0,91	113,22	0,69	ELU
	G+BOMB+0,5*V481	2	119,24	0,91	119,24	0,69	ELU
HIP.54	G+BOMB+0,5*V482	1	113,27	0,92	113,27	0,71	ELU
	G+BOMB+0,5*V482	2	119,37	0,92	119,37	0,71	ELU
HIP.55	G+BOMB+0,5*V483	1	114,01	1,28	114,01	0,98	ELU
	G+BOMB+0,5*V483	2	120,19	1,28	120,19	0,98	ELU
HIP.56	G+BOMB+0,5*V484	1	113,96	1,27	113,96	0,97	ELU
	G+BOMB+0,5*V484	2	120,06	1,27	120,06	0,97	ELU
HIP.57	G+BOMB+0,5*V485	1	114,96	1,55	114,96	1,19	ELU
	G+BOMB+0,5*V485	2	125,40	1,54	125,40	1,18	ELU
HIP.58	G+BOMB+0,5*V486	1	114,33	1,36	114,33	1,04	ELU
	G+BOMB+0,5*V486	2	123,96	1,36	123,96	1,04	ELU
HIP.59	G+BOMB+0,5*V487	1	112,27	0,62	112,27	0,48	ELU
	G+BOMB+0,5*V487	2	114,03	0,63	114,03	0,48	ELU
HIP.60	G+BOMB+0,5*V488	1	112,90	0,83	112,90	0,64	ELU
	G+BOMB+0,5*V488	2	115,48	0,83	115,48	0,64	ELU
HIP.61	G+BOMB+0,5*V1+0,3*Q	1	119,19	0,98	119,19	0,75	ELU
	G+BOMB+0,5*V1+0,3*Q	2	126,07	0,98	126,07	0,75	ELU
HIP.62	G+BOMB+0,5*V2+0,3*Q	1	119,24	1,00	119,24	0,76	ELU
	G+BOMB+0,5*V2+0,3*Q	2	126,20	1,00	126,20	0,76	ELU
HIP.63	G+BOMB+0,5*V3+0,3*Q	1	119,98	1,33	119,98	1,02	ELU
	G+BOMB+0,5*V3+0,3*Q	2	127,02	1,33	127,02	1,02	ELU
HIP.64	G+BOMB+0,5*V4+0,3*Q	1	119,93	1,32	119,93	1,01	ELU
	G+BOMB+0,5*V4+0,3*Q	2	126,89	1,32	126,89	1,01	ELU
HIP.65	G+BOMB+0,5*V5+0,3*Q	1	120,93	1,61	120,93	1,23	ELU
	G+BOMB+0,5*V5+0,3*Q	2	132,23	1,61	132,23	1,23	ELU
HIP.66	G+BOMB+0,5*V6+0,3*Q	1	120,30	1,43	120,30	1,09	ELU
	G+BOMB+0,5*V6+0,3*Q	2	130,79	1,43	130,79	1,09	ELU
HIP.67	G+BOMB+0,5*V7+0,3*Q	1	118,24	0,68	118,24	0,52	ELU
	G+BOMB+0,5*V7+0,3*Q	2	120,86	0,68	120,86	0,52	ELU
HIP.68	G+BOMB+0,5*V8+0,3*Q	1	118,86	0,88	118,86	0,67	ELU
	G+BOMB+0,5*V8+0,3*Q	2	122,30	0,88	122,30	0,67	ELU

Seccion (mm.)	e_x (m.)	e_y (m.)	Henc. (m.)
270	0,00	1,00	0,85
COMPROBACIÓN (compresión)	CUMPLE		
MAX. AXIL	101,09		(TON)
MIN. AXIL	0,00		(TON)
COMPROBACIÓN (tracción)	CUMPLE		
	L.1(m)		0,00
	L.2(m)		0,00
	L.Influenc.(m)		0,00
	CERRAM.(ton.)		0,00
	αx (inclinación)		0,00
	αy (inclinación)		0,00

Curva de resistencia axil-momento (en cualquier dirección)



Curva de resistencia axil-cortante



PILAR: P62



COMPROBACIÓN ESFUERZOS:

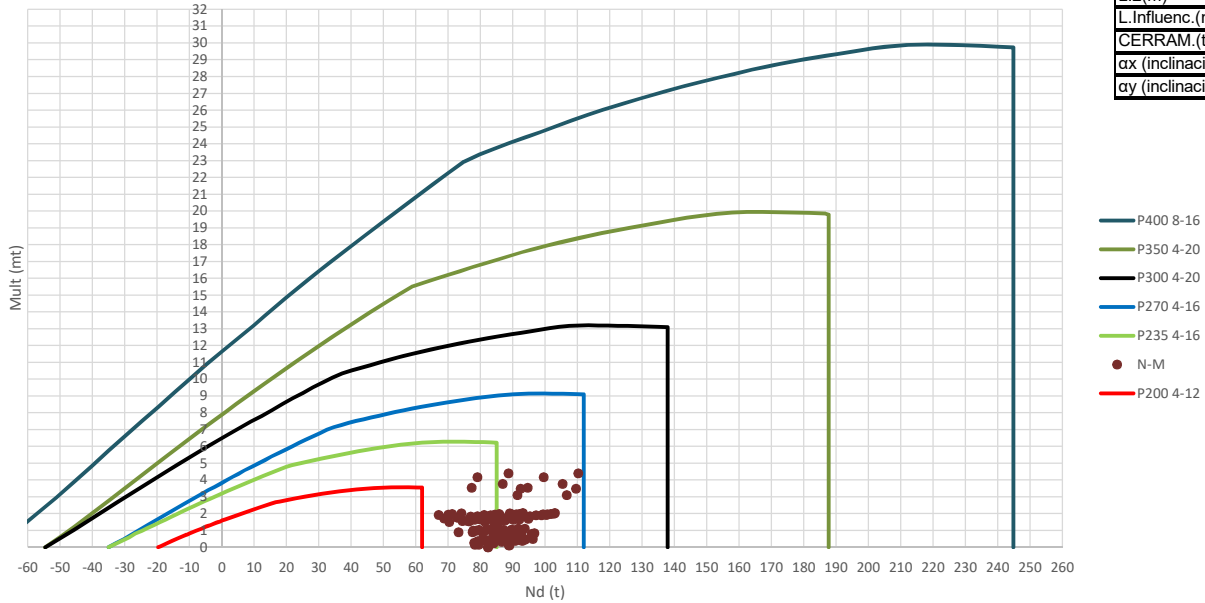
P18147P Parcela R20

	LC: COMB.	nº PILOTE	N _{pilote} (T) a ras de suelo	M ult. Pilote (mT)	N _{pilote} (T) a ras de suelo	V ult.-Pilote (T)	ESTADO LIMITE
HIP.1	G	1	73,43	1,01	73,43	1,00	ELS
	G	2	80,59	1,01	80,59	1,00	ELS
HIP.2	G+Q	1	86,33	1,30	86,33	1,29	ELS
	G+Q	2	95,29	1,30	95,29	1,29	ELS
HIP.3	G+V489	1	75,48	1,05	75,48	1,04	ELS
	G+V489	2	82,50	1,05	82,50	1,04	ELS
HIP.4	G+V490	1	75,35	1,06	75,35	1,05	ELS
	G+V490	2	82,57	1,06	82,57	1,05	ELS
HIP.5	G+V491	1	71,38	0,98	71,38	0,98	ELS
	G+V491	2	78,68	0,98	78,68	0,98	ELS
HIP.6	G+V492	1	71,51	0,97	71,51	0,96	ELS
	G+V492	2	78,61	0,97	78,61	0,96	ELS
HIP.7	G+V493	1	72,92	1,81	72,92	1,80	ELS
	G+V493	2	90,24	1,81	90,24	1,80	ELS
HIP.8	G+V494	1	74,31	1,65	74,31	1,64	ELS
	G+V494	2	89,48	1,65	89,48	1,64	ELS
HIP.9	G+V495	1	73,94	0,46	73,94	0,46	ELS
	G+V495	2	70,93	0,46	70,93	0,46	ELS
HIP.10	G+V496	1	72,54	0,44	72,54	0,43	ELS
	G+V496	2	71,69	0,44	71,69	0,44	ELS
HIP.11	G+Q+0,6°V489	1	87,56	1,32	87,56	1,31	ELS
	G+Q+0,6°V489	2	96,44	1,32	96,44	1,31	ELS
HIP.12	G+Q+0,6°V490	1	87,49	1,33	87,49	1,32	ELS
	G+Q+0,6°V490	2	96,48	1,33	96,48	1,32	ELS
HIP.13	G+Q+0,6°V491	1	85,10	1,28	85,10	1,26	ELS
	G+Q+0,6°V491	2	94,15	1,28	94,15	1,26	ELS
HIP.14	G+Q+0,6°V492	1	85,18	1,27	85,18	1,26	ELS
	G+Q+0,6°V492	2	94,11	1,27	94,11	1,26	ELS
HIP.15	G+Q+0,6°V493	1	86,03	1,76	86,03	1,75	ELS
	G+Q+0,6°V493	2	101,09	1,76	101,09	1,75	ELS
HIP.16	G+Q+0,6°V494	1	86,86	1,68	86,86	1,66	ELS
	G+Q+0,6°V494	2	100,63	1,68	100,63	1,66	ELS
HIP.17	G+Q+0,6°V495	1	86,64	0,89	86,64	0,88	ELS
	G+Q+0,6°V495	2	89,50	0,89	89,50	0,88	ELS
HIP.18	G+Q+0,6°V496	1	85,80	0,94	85,80	0,93	ELS
	G+Q+0,6°V496	2	89,96	0,94	89,96	0,93	ELS
HIP.19	G+V1+0,7°Q	1	84,51	1,26	84,51	1,25	ELS
	G+V1+0,7°Q	2	92,79	1,26	92,79	1,25	ELS
HIP.20	G+V2+0,7°Q	1	84,38	1,27	84,38	1,26	ELS
	G+V2+0,7°Q	2	92,86	1,27	92,86	1,26	ELS
HIP.21	G+V3+0,7°Q	1	80,41	1,18	80,41	1,17	ELS
	G+V3+0,7°Q	2	88,97	1,18	88,97	1,17	ELS
HIP.22	G+V4+0,7°Q	1	80,54	1,17	80,54	1,16	ELS
	G+V4+0,7°Q	2	88,90	1,17	88,90	1,16	ELS
HIP.23	G+V5+0,7°Q	1	81,95	2,00	81,95	1,99	ELS
	G+V5+0,7°Q	2	100,54	2,00	100,54	1,99	ELS
HIP.24	G+V6+0,7°Q	1	83,35	1,85	83,35	1,83	ELS
	G+V6+0,7°Q	2	99,78	1,85	99,78	1,83	ELS
HIP.25	G+V7+0,7°Q	1	82,98	0,62	82,98	0,61	ELS
	G+V7+0,7°Q	2	81,23	0,62	81,23	0,61	ELS
HIP.26	G+V8+0,7°Q	1	81,58	0,63	81,58	0,63	ELS
	G+V8+0,7°Q	2	81,99	0,63	81,99	0,63	ELS
HIP.27	G+Sx	1	79,35	0,48	79,35	0,48	ELU
	G+Sx	2	83,29	0,48	83,29	0,48	ELU
HIP.28	G-Sx	1	67,51	0,94	67,51	0,93	ELU
	G-Sx	2	77,89	0,94	77,89	0,93	ELU
HIP.29	G+Sy	1	79,79	0,43	79,79	0,43	ELU
	G+Sy	2	82,83	0,43	82,83	0,43	ELU
HIP.30	G-Sy	1	67,07	0,91	67,07	0,91	ELU
	G-Sy	2	78,34	0,91	78,34	0,91	ELU
HIP.31	G+Sx+0,3°Sy	1	81,26	0,42	81,26	0,42	ELU
	G+Sx+0,3°Sy	2	83,96	0,42	83,96	0,42	ELU
HIP.32	G+Sx-0,3°Sy	1	77,44	0,54	77,44	0,54	ELU
	G+Sx-0,3°Sy	2	82,62	0,54	82,62	0,54	ELU
HIP.33	G-Sx+0,3°Sy	1	69,42	0,87	69,42	0,86	ELU
	G-Sx+0,3°Sy	2	78,56	0,87	78,56	0,86	ELU
HIP.34	G-Sx-0,3°Sy	1	65,60	1,01	65,60	1,01	ELU
	G-Sx-0,3°Sy	2	77,21	1,01	77,21	1,01	ELU
HIP.35	G+Sy+0,3°Sx	1	81,57	0,37	81,57	0,36	ELU
	G+Sy+0,3°Sx	2	83,64	0,37	83,64	0,36	ELU
HIP.36	G+Sy-0,3°Sx	1	78,01	0,51	78,01	0,50	ELU
	G+Sy-0,3°Sx	2	82,02	0,51	82,02	0,50	ELU
HIP.37	G-Sy+0,3°Sx	1	68,84	0,84	68,84	0,83	ELU
	G-Sy+0,3°Sx	2	79,15	0,84	79,15	0,83	ELU
HIP.38	G-Sy-0,3°Sx	1	65,29	0,99	65,29	0,98	ELU
	G-Sy-0,3°Sx	2	77,53	0,99	77,53	0,98	ELU
HIP.39	G+Sx+0,3°Q	1	83,22	0,53	83,22	0,52	ELU
	G+Sx+0,3°Q	2	87,70	0,53	87,70	0,52	ELU
HIP.40	G-Sx+0,3°Q	1	71,38	1,00	71,38	0,99	ELU

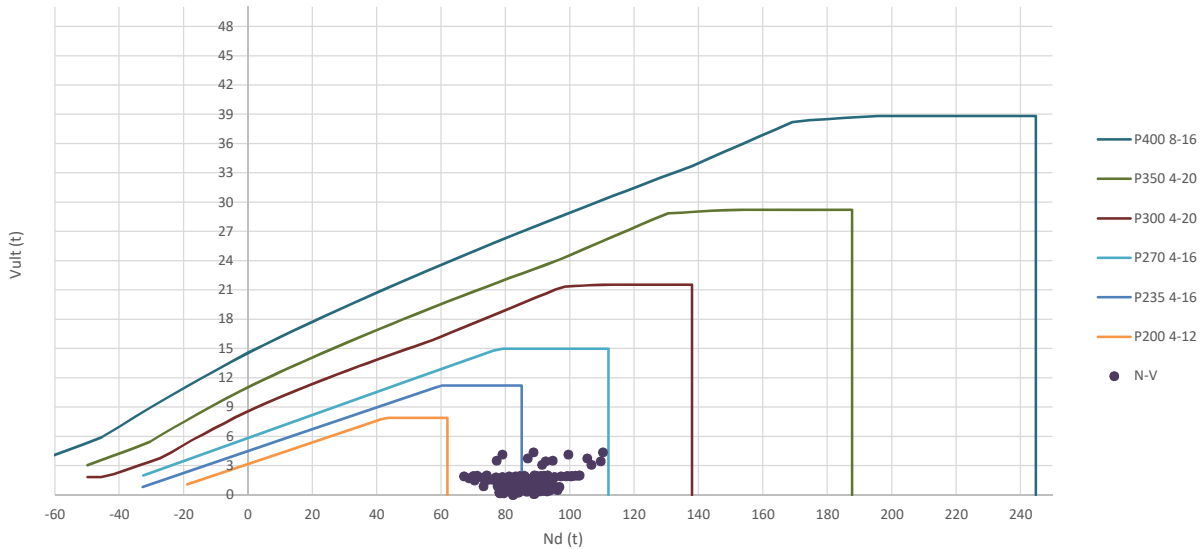
	G-Sx+0,3*Q	2	82,30	1,00	82,30	0,99	ELU
HIP.41	G+Sy+0,3*Q	1	83,66	0,49	83,66	0,48	ELU
	G+Sy+0,3*Q	2	87,24	0,49	87,24	0,48	ELU
HIP.42	G-Sy+0,3*Q	1	70,94	0,97	70,94	0,96	ELU
	G-Sy+0,3*Q	2	82,76	0,97	82,76	0,96	ELU
HIP.43	G+Sx+0,3*Sy+0,3*Q	1	85,13	0,47	85,13	0,46	ELU
	G+Sx+0,3*Sy+0,3*Q	2	88,37	0,47	88,37	0,46	ELU
HIP.44	G+Sx-0,3*Sy+0,3*Q	1	81,31	0,59	81,31	0,59	ELU
	G+Sx-0,3*Sy+0,3*Q	2	87,03	0,59	87,03	0,59	ELU
HIP.45	G-Sx+0,3*Sy+0,3*Q	1	73,29	0,93	73,29	0,92	ELU
	G-Sx+0,3*Sy+0,3*Q	2	82,97	0,93	82,97	0,92	ELU
HIP.46	G-Sx-0,3*Sy+0,3*Q	1	69,47	1,07	69,47	1,06	ELU
	G-Sx-0,3*Sy+0,3*Q	2	81,63	1,07	81,63	1,06	ELU
HIP.47	G+Sy+0,3*Sx+0,3*Q	1	85,44	0,42	85,44	0,42	ELU
	G+Sy+0,3*Sx+0,3*Q	2	88,05	0,42	88,05	0,42	ELU
HIP.48	G+Sy-0,3*Sx+0,3*Q	1	81,88	0,56	81,88	0,56	ELU
	G+Sy-0,3*Sx+0,3*Q	2	86,43	0,56	86,43	0,56	ELU
HIP.49	G-Sy+0,3*Sx+0,3*Q	1	72,72	0,90	72,72	0,89	ELU
	G-Sy+0,3*Sx+0,3*Q	2	83,57	0,90	83,57	0,89	ELU
HIP.50	G-Sy-0,3*Sx+0,3*Q	1	69,16	1,05	69,16	1,04	ELU
	G-Sy-0,3*Sx+0,3*Q	2	81,95	1,05	81,95	1,04	ELU
HIP.51	G+BOMB	1	73,74	0,64	73,74	0,63	ELU
	G+BOMB	2	80,32	0,64	80,32	0,63	ELU
HIP.52	G+BOMB+0,5*Q	1	80,19	0,74	80,19	0,73	ELU
	G+BOMB+0,5*Q	2	87,67	0,74	87,67	0,73	ELU
HIP.53	G+BOMB+0,5*V489	1	74,76	0,65	74,76	0,65	ELU
	G+BOMB+0,5*V489	2	81,27	0,65	81,27	0,65	ELU
HIP.54	G+BOMB+0,5*V490	1	74,70	0,66	74,70	0,65	ELU
	G+BOMB+0,5*V490	2	81,31	0,66	81,31	0,65	ELU
HIP.55	G+BOMB+0,5*V491	1	72,71	0,63	72,71	0,62	ELU
	G+BOMB+0,5*V491	2	79,36	0,63	79,36	0,62	ELU
HIP.56	G+BOMB+0,5*V492	1	72,78	0,62	72,78	0,62	ELU
	G+BOMB+0,5*V492	2	79,33	0,62	79,33	0,62	ELU
HIP.57	G+BOMB+0,5*V493	1	73,48	0,90	73,48	0,89	ELU
	G+BOMB+0,5*V493	2	85,14	0,90	85,14	0,89	ELU
HIP.58	G+BOMB+0,5*V494	1	74,18	0,85	74,18	0,84	ELU
	G+BOMB+0,5*V494	2	84,77	0,85	84,77	0,84	ELU
HIP.59	G+BOMB+0,5*V495	1	74,00	0,41	74,00	0,41	ELU
	G+BOMB+0,5*V495	2	75,49	0,41	75,49	0,41	ELU
HIP.60	G+BOMB+0,5*V496	1	73,30	0,44	73,30	0,44	ELU
	G+BOMB+0,5*V496	2	75,87	0,44	75,87	0,44	ELU
HIP.61	G+BOMB+0,5*V1+0,3*Q	1	78,63	0,71	78,63	0,71	ELU
	G+BOMB+0,5*V1+0,3*Q	2	85,69	0,71	85,69	0,71	ELU
HIP.62	G+BOMB+0,5*V2+0,3*Q	1	78,57	0,72	78,57	0,71	ELU
	G+BOMB+0,5*V2+0,3*Q	2	85,72	0,72	85,72	0,71	ELU
HIP.63	G+BOMB+0,5*V3+0,3*Q	1	76,59	0,69	76,59	0,68	ELU
	G+BOMB+0,5*V3+0,3*Q	2	83,77	0,69	83,77	0,68	ELU
HIP.64	G+BOMB+0,5*V4+0,3*Q	1	76,65	0,68	76,65	0,68	ELU
	G+BOMB+0,5*V4+0,3*Q	2	83,74	0,68	83,74	0,68	ELU
HIP.65	G+BOMB+0,5*V5+0,3*Q	1	77,35	0,96	77,35	0,95	ELU
	G+BOMB+0,5*V5+0,3*Q	2	89,56	0,96	89,56	0,95	ELU
HIP.66	G+BOMB+0,5*V6+0,3*Q	1	78,05	0,91	78,05	0,90	ELU
	G+BOMB+0,5*V6+0,3*Q	2	89,18	0,91	89,18	0,90	ELU
HIP.67	G+BOMB+0,5*V7+0,3*Q	1	77,87	0,47	77,87	0,47	ELU
	G+BOMB+0,5*V7+0,3*Q	2	79,90	0,47	79,90	0,47	ELU
HIP.68	G+BOMB+0,5*V8+0,3*Q	1	77,17	0,50	77,17	0,49	ELU
	G+BOMB+0,5*V8+0,3*Q	2	80,28	0,50	80,28	0,49	ELU

Seccion (mm.)	e _x (m.)	e _y (m.)	Henc. (m.)
270	0,00	1,00	0,85
COMPROBACIÓN (compresión)	CUMPLE		
MAX. AXIL	110,24		(TON)
MIN. AXIL	0,00		(TON)
COMPROBACIÓN (tracción)	CUMPLE		
L.1(m)	0,00		
L.2(m)	0,00		
L.Influenc.(m)	0,00		
CERRAM.(ton.)	0,00		
αx (inclinación)	0,00		
αy (inclinación)	0,00		

Curva de resistencia axil-momento (en cualquier dirección)



Curva de resistencia axil-cortante



PILAR: P63



COMPROBACIÓN ESFUERZOS:

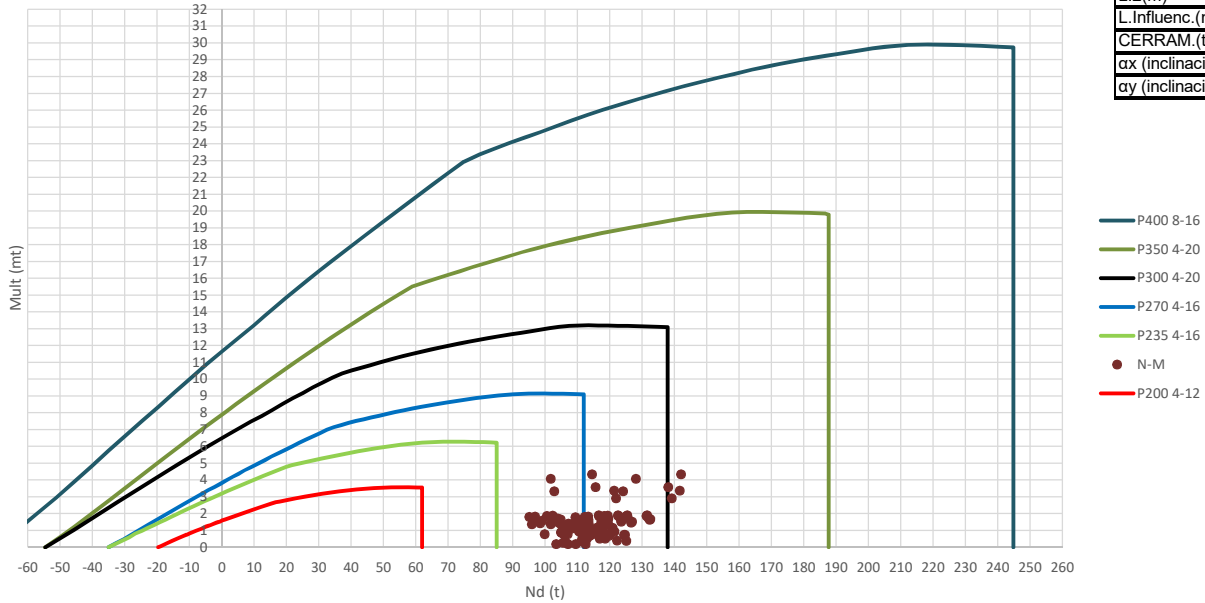
P18147P Parcela R20

	LC: COMB.	nº PILOTE	N _{pilote} (T) a ras de suelo	M ult. Pilote (mT)	N _{pilote} (T) a ras de suelo	V ult.-Pilote (T)	ESTADO LIMITE
HIP.1	G	1	82,32	0,00	82,32	0,00	ELS
	G	2	82,32	0,00	82,32	0,00	ELS
HIP.2	G+Q	1	92,00	1,98	92,00	1,96	ELS
	G+Q	2	101,67	1,98	101,67	1,96	ELS
HIP.3	G+V497	1	76,48	1,55	76,48	1,54	ELS
	G+V497	2	84,10	1,55	84,10	1,54	ELS
HIP.4	G+V498	1	76,62	1,61	76,62	1,60	ELS
	G+V498	2	84,54	1,61	84,54	1,60	ELS
HIP.5	G+V499	1	80,14	1,74	80,14	1,72	ELS
	G+V499	2	88,58	1,74	88,58	1,72	ELS
HIP.6	G+V500	1	80,00	1,68	80,00	1,66	ELS
	G+V500	2	88,14	1,68	88,14	1,66	ELS
HIP.7	G+V501	1	79,06	4,17	79,06	4,14	ELS
	G+V501	2	99,51	4,17	99,51	4,14	ELS
HIP.8	G+V502	1	77,27	3,54	77,27	3,51	ELS
	G+V502	2	94,64	3,54	94,64	3,51	ELS
HIP.9	G+V503	1	77,56	0,89	77,56	0,89	ELS
	G+V503	2	73,17	0,89	73,17	0,89	ELS
HIP.10	G+V504	1	79,34	0,28	79,34	0,27	ELS
	G+V504	2	78,04	0,28	78,04	0,27	ELS
HIP.11	G+Q+0,6*V497	1	90,90	1,92	90,90	1,90	ELS
	G+Q+0,6*V497	2	100,32	1,92	100,32	1,90	ELS
HIP.12	G+Q+0,6*V498	1	90,99	1,96	90,99	1,94	ELS
	G+Q+0,6*V498	2	100,59	1,96	100,59	1,94	ELS
HIP.13	G+Q+0,6*V499	1	93,10	2,03	93,10	2,02	ELS
	G+Q+0,6*V499	2	103,01	2,03	103,01	2,02	ELS
HIP.14	G+Q+0,6*V500	1	93,01	2,00	93,01	1,98	ELS
	G+Q+0,6*V500	2	102,75	2,00	102,75	1,98	ELS
HIP.15	G+Q+0,6*V501	1	92,45	3,50	92,45	3,46	ELS
	G+Q+0,6*V501	2	109,57	3,50	109,57	3,46	ELS
HIP.16	G+Q+0,6*V502	1	91,38	3,11	91,38	3,09	ELS
	G+Q+0,6*V502	2	106,64	3,11	106,64	3,09	ELS
HIP.17	G+Q+0,6*V503	1	91,55	0,46	91,55	0,45	ELS
	G+Q+0,6*V503	2	93,77	0,46	93,77	0,45	ELS
HIP.18	G+Q+0,6*V504	1	92,62	0,84	92,62	0,83	ELS
	G+Q+0,6*V504	2	96,69	0,84	96,69	0,83	ELS
HIP.19	G+V1+0,7*Q	1	86,06	1,78	86,06	1,77	ELS
	G+V1+0,7*Q	2	94,83	1,78	94,83	1,77	ELS
HIP.20	G+V2+0,7*Q	1	86,20	1,85	86,20	1,83	ELS
	G+V2+0,7*Q	2	95,27	1,85	95,27	1,83	ELS
HIP.21	G+V3+0,7*Q	1	89,72	1,97	89,72	1,96	ELS
	G+V3+0,7*Q	2	99,31	1,97	99,31	1,96	ELS
HIP.22	G+V4+0,7*Q	1	89,58	1,91	89,58	1,90	ELS
	G+V4+0,7*Q	2	98,87	1,91	98,87	1,90	ELS
HIP.23	G+V5+0,7*Q	1	88,64	4,41	88,64	4,37	ELS
	G+V5+0,7*Q	2	110,24	4,41	110,24	4,37	ELS
HIP.24	G+V6+0,7*Q	1	86,86	3,77	86,86	3,74	ELS
	G+V6+0,7*Q	2	105,37	3,77	105,37	3,74	ELS
HIP.25	G+V7+0,7*Q	1	87,14	0,66	87,14	0,65	ELS
	G+V7+0,7*Q	2	83,90	0,66	83,90	0,65	ELS
HIP.26	G+V8+0,7*Q	1	88,93	0,12	88,93	0,12	ELS
	G+V8+0,7*Q	2	88,77	0,12	88,77	0,12	ELS
HIP.27	G+Sx	1	87,91	0,58	87,91	0,58	ELU
	G+Sx	2	91,41	0,58	91,41	0,58	ELU
HIP.28	G-Sx	1	68,70	1,71	68,70	1,70	ELU
	G-Sx	2	81,27	1,71	81,27	1,70	ELU
HIP.29	G+Sy	1	83,72	0,44	83,72	0,44	ELU
	G+Sy	2	86,76	0,44	86,76	0,44	ELU
HIP.30	G-Sy	1	72,90	1,77	72,90	1,75	ELU
	G-Sy	2	85,92	1,77	85,92	1,75	ELU
HIP.31	G+Sx+0,3*Sy	1	89,54	0,45	89,54	0,45	ELU
	G+Sx+0,3*Sy	2	91,54	0,45	91,54	0,45	ELU
HIP.32	G+Sx-0,3*Sy	1	86,29	0,75	86,29	0,74	ELU
	G+Sx-0,3*Sy	2	91,29	0,75	91,29	0,74	ELU
HIP.33	G-Sx+0,3*Sy	1	70,33	1,51	70,33	1,49	ELU
	G-Sx+0,3*Sy	2	81,39	1,51	81,39	1,49	ELU
HIP.34	G-Sx-0,3*Sy	1	67,08	1,92	67,08	1,90	ELU
	G-Sx-0,3*Sy	2	81,14	1,92	81,14	1,90	ELU
HIP.35	G+Sy+0,3*Sx	1	86,60	0,33	86,60	0,33	ELU
	G+Sy+0,3*Sx	2	88,28	0,33	88,28	0,33	ELU
HIP.36	G+Sy-0,3*Sx	1	80,84	0,60	80,84	0,60	ELU
	G+Sy-0,3*Sx	2	85,23	0,60	85,23	0,60	ELU
HIP.37	G-Sy+0,3*Sx	1	75,78	1,59	75,78	1,57	ELU
	G-Sy+0,3*Sx	2	87,44	1,59	87,44	1,57	ELU
HIP.38	G-Sy-0,3*Sx	1	70,01	1,95	70,01	1,94	ELU
	G-Sy-0,3*Sx	2	84,40	1,95	84,40	1,94	ELU
HIP.39	G+Sx+0,3*Q	1	92,02	0,64	92,02	0,64	ELU
	G+Sx+0,3*Q	2	96,01	0,64	96,01	0,64	ELU
HIP.40	G-Sx+0,3*Q	1	72,81	1,78	72,81	1,76	ELU

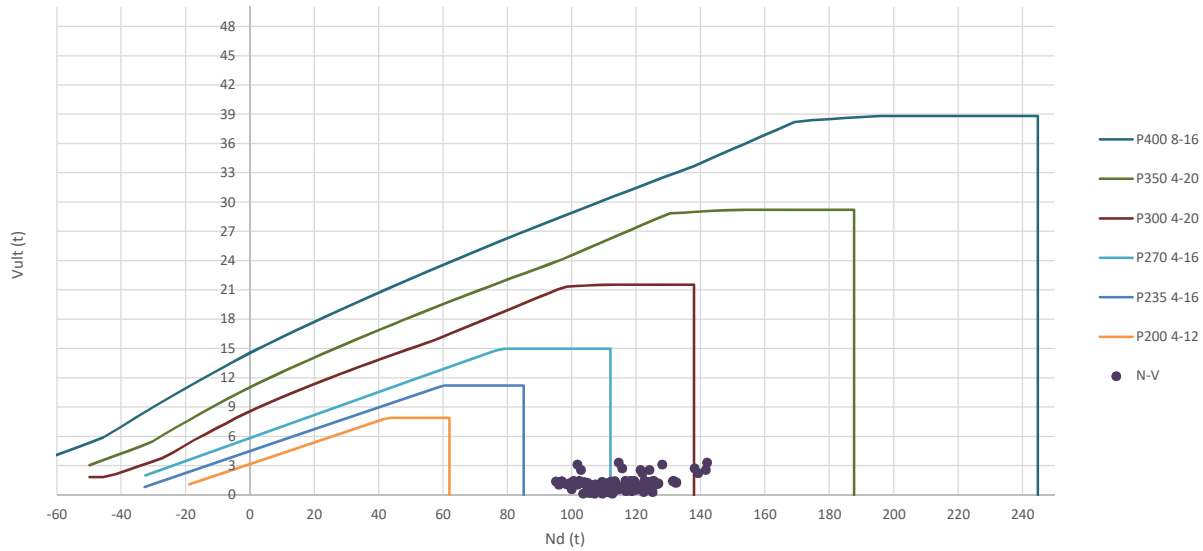
	G-Sx+0,3*Q	2	85,87	1,78	85,87	1,76	ELU
HIP.41	G+Sy+0,3*Q	1	87,83	0,51	87,83	0,50	ELU
	G+Sy+0,3*Q	2	91,35	0,51	91,35	0,50	ELU
HIP.42	G-Sy+0,3*Q	1	77,00	1,83	77,00	1,82	ELU
	G-Sy+0,3*Q	2	90,52	1,83	90,52	1,82	ELU
HIP.43	G+Sx+0,3*Sy+0,3*Q	1	93,64	0,50	93,64	0,50	ELU
	G+Sx+0,3*Sy+0,3*Q	2	96,13	0,50	96,13	0,50	ELU
HIP.44	G+Sx-0,3*Sy+0,3*Q	1	90,40	0,81	90,40	0,80	ELU
	G+Sx-0,3*Sy+0,3*Q	2	95,88	0,81	95,88	0,80	ELU
HIP.45	G-Sx+0,3*Sy+0,3*Q	1	74,43	1,57	74,43	1,56	ELU
	G-Sx+0,3*Sy+0,3*Q	2	85,99	1,57	85,99	1,56	ELU
HIP.46	G-Sx-0,3*Sy+0,3*Q	1	71,19	1,98	71,19	1,97	ELU
	G-Sx-0,3*Sy+0,3*Q	2	85,74	1,98	85,74	1,97	ELU
HIP.47	G+Sy+0,3*Sx+0,3*Q	1	90,71	0,39	90,71	0,38	ELU
	G+Sy+0,3*Sx+0,3*Q	2	92,88	0,39	92,88	0,38	ELU
HIP.48	G+Sy-0,3*Sx+0,3*Q	1	84,95	0,67	84,95	0,66	ELU
	G+Sy-0,3*Sx+0,3*Q	2	89,83	0,67	89,83	0,66	ELU
HIP.49	G-Sy+0,3*Sx+0,3*Q	1	79,88	1,65	79,88	1,64	ELU
	G-Sy+0,3*Sx+0,3*Q	2	92,04	1,65	92,04	1,64	ELU
HIP.50	G-Sy-0,3*Sx+0,3*Q	1	74,12	2,02	74,12	2,00	ELU
	G-Sy-0,3*Sx+0,3*Q	2	89,00	2,02	89,00	2,00	ELU
HIP.51	G+BOMB	1	78,64	1,00	78,64	0,99	ELU
	G+BOMB	2	86,00	1,00	86,00	0,99	ELU
HIP.52	G+BOMB+0,5*Q	1	85,48	1,11	85,48	1,10	ELU
	G+BOMB+0,5*Q	2	93,66	1,11	93,66	1,10	ELU
HIP.53	G+BOMB+0,5*V497	1	77,72	0,97	77,72	0,96	ELU
	G+BOMB+0,5*V497	2	84,88	0,97	84,88	0,96	ELU
HIP.54	G+BOMB+0,5*V498	1	77,79	0,99	77,79	0,98	ELU
	G+BOMB+0,5*V498	2	85,10	0,99	85,10	0,98	ELU
HIP.55	G+BOMB+0,5*V499	1	79,55	1,03	79,55	1,03	ELU
	G+BOMB+0,5*V499	2	87,12	1,03	87,12	1,03	ELU
HIP.56	G+BOMB+0,5*V500	1	79,48	1,01	79,48	1,00	ELU
	G+BOMB+0,5*V500	2	86,90	1,01	86,90	1,00	ELU
HIP.57	G+BOMB+0,5*V501	1	79,01	1,85	79,01	1,83	ELU
	G+BOMB+0,5*V501	2	92,58	1,85	92,58	1,83	ELU
HIP.58	G+BOMB+0,5*V502	1	78,12	1,64	78,12	1,62	ELU
	G+BOMB+0,5*V502	2	90,15	1,64	90,15	1,62	ELU
HIP.59	G+BOMB+0,5*V503	1	78,26	0,16	78,26	0,16	ELU
	G+BOMB+0,5*V503	2	79,41	0,16	79,41	0,16	ELU
HIP.60	G+BOMB+0,5*V504	1	79,16	0,37	79,16	0,37	ELU
	G+BOMB+0,5*V504	2	81,85	0,37	81,85	0,37	ELU
HIP.61	G+BOMB+0,5*V1+0,3*Q	1	81,83	1,04	81,83	1,03	ELU
	G+BOMB+0,5*V1+0,3*Q	2	89,48	1,04	89,48	1,03	ELU
HIP.62	G+BOMB+0,5*V2+0,3*Q	1	81,90	1,06	81,90	1,05	ELU
	G+BOMB+0,5*V2+0,3*Q	2	89,70	1,06	89,70	1,05	ELU
HIP.63	G+BOMB+0,5*V3+0,3*Q	1	83,66	1,10	83,66	1,09	ELU
	G+BOMB+0,5*V3+0,3*Q	2	91,72	1,10	91,72	1,09	ELU
HIP.64	G+BOMB+0,5*V4+0,3*Q	1	83,59	1,08	83,59	1,07	ELU
	G+BOMB+0,5*V4+0,3*Q	2	91,50	1,08	91,50	1,07	ELU
HIP.65	G+BOMB+0,5*V5+0,3*Q	1	83,12	1,91	83,12	1,90	ELU
	G+BOMB+0,5*V5+0,3*Q	2	97,18	1,91	97,18	1,90	ELU
HIP.66	G+BOMB+0,5*V6+0,3*Q	1	82,23	1,70	82,23	1,69	ELU
	G+BOMB+0,5*V6+0,3*Q	2	94,75	1,70	94,75	1,69	ELU
HIP.67	G+BOMB+0,5*V7+0,3*Q	1	82,37	0,23	82,37	0,22	ELU
	G+BOMB+0,5*V7+0,3*Q	2	84,01	0,23	84,01	0,22	ELU
HIP.68	G+BOMB+0,5*V8+0,3*Q	1	83,26	0,44	83,26	0,43	ELU
	G+BOMB+0,5*V8+0,3*Q	2	86,45	0,44	86,45	0,43	ELU

Seccion (mm.)	e _x (m.)	e _y (m.)	Henc. (m.)
350	0,00	1,25	1,25
COMPROBACIÓN (compresión)	CUMPLE		
MAX. AXIL	142,03	(TON)	
MIN. AXIL	0,00	(TON)	
COMPROBACIÓN (tracción)	CUMPLE		
	L.1(m)		0,00
	L.2(m)		0,00
	L.Influenc.(m)		0,00
	CERRAM.(ton.)		0,00
	αx (inclinación)		0,00
	αy (inclinación)		0,00

Curva de resistencia axil-momento (en cualquier dirección)



Curva de resistencia axil-cortante



PILAR: P64



COMPROBACIÓN ESFUERZOS:

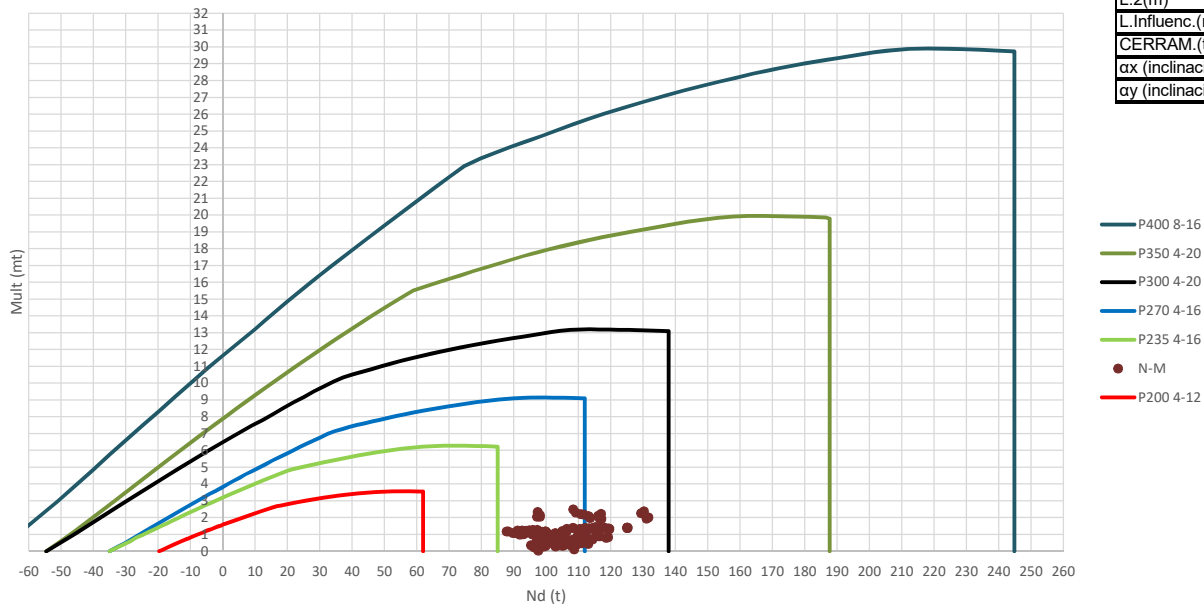
P18147P Parcela R20

	LC: COMB.	nº PILOTE	N _{pilote} (T) a ras de suelo	M ult. Pilote (mT)	N _{pilote} (T) a ras de suelo	V ult.-Pilote (T)	ESTADO LIMITE
HIP.1	G	1	104,88	1,37	104,88	1,05	ELS
	G	2	112,00	1,37	112,00	1,05	ELS
HIP.2	G+Q	1	123,18	1,76	123,18	1,34	ELS
	G+Q	2	131,92	1,76	131,92	1,34	ELS
HIP.3	G+V505	1	105,98	1,24	105,98	0,95	ELS
	G+V505	2	112,61	1,24	112,61	0,95	ELS
HIP.4	G+V506	1	105,89	1,29	105,89	0,99	ELS
	G+V506	2	112,95	1,29	112,95	0,99	ELS
HIP.5	G+V507	1	103,78	1,64	103,78	1,25	ELS
	G+V507	2	111,39	1,64	111,39	1,25	ELS
HIP.6	G+V508	1	103,87	1,57	103,87	1,20	ELS
	G+V508	2	111,05	1,57	111,05	1,20	ELS
HIP.7	G+V509	1	101,73	4,08	101,73	3,12	ELS
	G+V509	2	128,10	4,08	128,10	3,12	ELS
HIP.8	G+V510	1	102,79	3,33	102,79	2,55	ELS
	G+V510	2	124,13	3,33	124,13	2,55	ELS
HIP.9	G+V511	1	108,03	1,38	108,03	1,06	ELS
	G+V511	2	95,91	1,38	95,91	1,06	ELS
HIP.10	G+V512	1	106,97	0,78	106,97	0,59	ELS
	G+V512	2	99,88	0,78	99,88	0,59	ELS
HIP.11	G+Q+0,6*V505	1	123,84	1,64	123,84	1,25	ELS
	G+Q+0,6*V505	2	132,28	1,64	132,28	1,25	ELS
HIP.12	G+Q+0,6*V506	1	123,78	1,68	123,78	1,28	ELS
	G+Q+0,6*V506	2	132,49	1,68	132,49	1,28	ELS
HIP.13	G+Q+0,6*V507	1	122,51	1,91	122,51	1,46	ELS
	G+Q+0,6*V507	2	131,55	1,91	131,55	1,46	ELS
HIP.14	G+Q+0,6*V508	1	122,57	1,87	122,57	1,43	ELS
	G+Q+0,6*V508	2	131,34	1,87	131,34	1,43	ELS
HIP.15	G+Q+0,6*V509	1	121,28	3,37	121,28	2,58	ELS
	G+Q+0,6*V509	2	141,57	3,37	141,57	2,57	ELS
HIP.16	G+Q+0,6*V510	1	121,92	2,91	121,92	2,23	ELS
	G+Q+0,6*V510	2	139,19	2,91	139,19	2,23	ELS
HIP.17	G+Q+0,6*V511	1	125,07	0,38	125,07	0,29	ELS
	G+Q+0,6*V511	2	122,26	0,40	122,26	0,31	ELS
HIP.18	G+Q+0,6*V512	1	124,43	0,74	124,43	0,57	ELS
	G+Q+0,6*V512	2	124,64	0,74	124,64	0,57	ELS
HIP.19	G+V1+0,7*Q	1	118,79	1,47	118,79	1,13	ELS
	G+V1+0,7*Q	2	126,55	1,47	126,55	1,13	ELS
HIP.20	G+V2+0,7*Q	1	118,70	1,54	118,70	1,17	ELS
	G+V2+0,7*Q	2	126,89	1,54	126,89	1,17	ELS
HIP.21	G+V3+0,7*Q	1	116,58	1,91	116,58	1,46	ELS
	G+V3+0,7*Q	2	125,33	1,91	125,33	1,46	ELS
HIP.22	G+V4+0,7*Q	1	116,68	1,85	116,68	1,41	ELS
	G+V4+0,7*Q	2	124,99	1,85	124,99	1,41	ELS
HIP.23	G+V5+0,7*Q	1	114,53	4,34	114,53	3,32	ELS
	G+V5+0,7*Q	2	142,03	4,34	142,03	3,32	ELS
HIP.24	G+V6+0,7*Q	1	115,60	3,59	115,60	2,74	ELS
	G+V6+0,7*Q	2	138,07	3,59	138,07	2,74	ELS
HIP.25	G+V7+0,7*Q	1	120,84	1,16	120,84	0,89	ELS
	G+V7+0,7*Q	2	109,85	1,16	109,85	0,89	ELS
HIP.26	G+V8+0,7*Q	1	119,77	0,68	119,77	0,52	ELS
	G+V8+0,7*Q	2	113,82	0,68	113,82	0,52	ELS
HIP.27	G+Sx	1	110,49	1,11	110,49	0,85	ELU
	G+Sx	2	110,61	1,11	110,61	0,85	ELU
HIP.28	G-Sx	1	99,27	1,60	99,27	1,23	ELU
	G-Sx	2	113,39	1,60	113,39	1,23	ELU
HIP.29	G+Sy	1	113,03	0,56	113,03	0,43	ELU
	G+Sy	2	112,19	0,56	112,19	0,43	ELU
HIP.30	G-Sy	1	96,72	1,61	96,72	1,23	ELU
	G-Sy	2	111,81	1,61	111,81	1,23	ELU
HIP.31	G+Sx+0,3*Sy	1	112,94	1,17	112,94	0,89	ELU
	G+Sx+0,3*Sy	2	110,67	1,17	110,67	0,89	ELU
HIP.32	G+Sx-0,3*Sy	1	108,04	1,11	108,04	0,85	ELU
	G+Sx-0,3*Sy	2	110,56	1,11	110,56	0,85	ELU
HIP.33	G-Sx+0,3*Sy	1	101,72	1,37	101,72	1,05	ELU
	G-Sx+0,3*Sy	2	113,45	1,37	113,45	1,05	ELU
HIP.34	G-Sx-0,3*Sy	1	96,82	1,84	96,82	1,40	ELU
	G-Sx-0,3*Sy	2	113,34	1,84	113,34	1,40	ELU
HIP.35	G+Sy+0,3*Sx	1	114,72	0,79	114,72	0,61	ELU
	G+Sy+0,3*Sx	2	111,77	0,79	111,77	0,61	ELU
HIP.36	G+Sy-0,3*Sx	1	111,35	0,45	111,35	0,34	ELU
	G+Sy-0,3*Sx	2	112,61	0,45	112,61	0,34	ELU
HIP.37	G-Sy+0,3*Sx	1	98,41	1,44	98,41	1,10	ELU
	G-Sy+0,3*Sx	2	111,40	1,44	111,40	1,10	ELU
HIP.38	G-Sy-0,3*Sx	1	95,04	1,81	95,04	1,39	ELU
	G-Sy-0,3*Sx	2	112,23	1,81	112,23	1,39	ELU
HIP.39	G+Sx+0,3*Q	1	115,98	1,17	115,98	0,89	ELU
	G+Sx+0,3*Q	2	116,59	1,17	116,59	0,89	ELU
HIP.40	G-Sx+0,3*Q	1	104,76	1,65	104,76	1,26	ELU

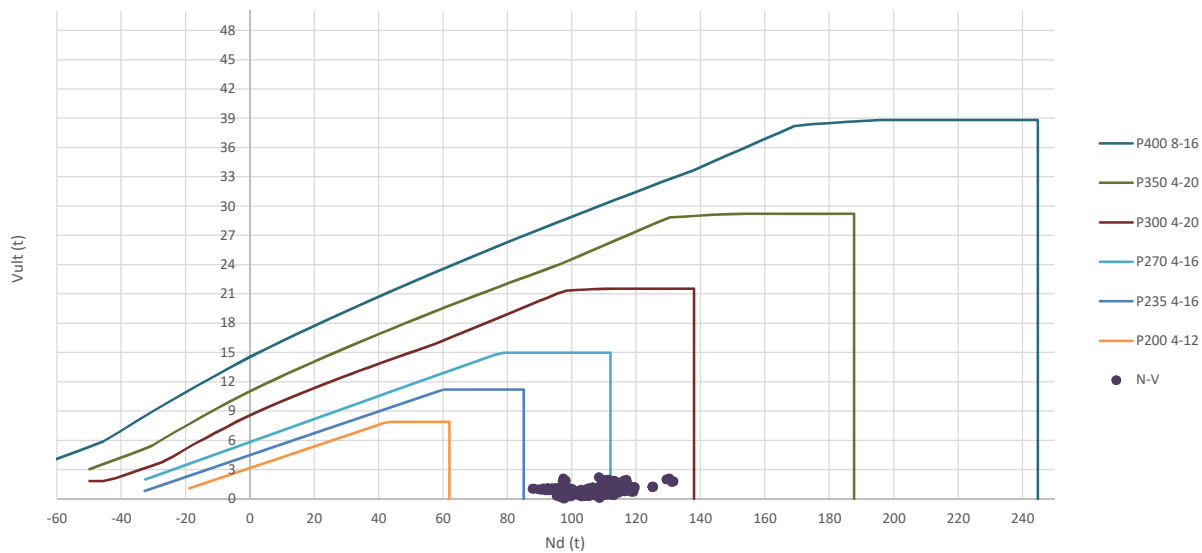
	G-Sx+0,3*Q	2	119,37	1,65	119,37	1,26	ELU
HIP.41	G+Sy+0,3*Q	1	118,52	0,62	118,52	0,48	ELU
	G+Sy+0,3*Q	2	118,16	0,62	118,16	0,48	ELU
HIP.42	G-Sy+0,3*Q	1	102,21	1,67	102,21	1,28	ELU
	G-Sy+0,3*Q	2	117,79	1,67	117,79	1,28	ELU
HIP.43	G+Sx+0,3*Sy+0,3*Q	1	118,42	1,21	118,42	0,93	ELU
	G+Sx+0,3*Sy+0,3*Q	2	116,64	1,21	116,64	0,93	ELU
HIP.44	G+Sx-0,3*Sy+0,3*Q	1	113,53	1,17	113,53	0,90	ELU
	G+Sx-0,3*Sy+0,3*Q	2	116,53	1,17	116,53	0,90	ELU
HIP.45	G-Sx+0,3*Sy+0,3*Q	1	107,20	1,42	107,20	1,09	ELU
	G-Sx+0,3*Sy+0,3*Q	2	119,42	1,42	119,42	1,09	ELU
HIP.46	G-Sx-0,3*Sy+0,3*Q	1	102,31	1,89	102,31	1,44	ELU
	G-Sx-0,3*Sy+0,3*Q	2	119,31	1,89	119,31	1,44	ELU
HIP.47	G+Sy+0,3*Sx+0,3*Q	1	120,21	0,83	120,21	0,64	ELU
	G+Sy+0,3*Sx+0,3*Q	2	117,75	0,83	117,75	0,64	ELU
HIP.48	G+Sy-0,3*Sx+0,3*Q	1	116,84	0,53	116,84	0,40	ELU
	G+Sy-0,3*Sx+0,3*Q	2	118,58	0,53	118,58	0,40	ELU
HIP.49	G-Sy+0,3*Sx+0,3*Q	1	103,90	1,51	103,90	1,15	ELU
	G-Sy+0,3*Sx+0,3*Q	2	117,37	1,51	117,37	1,15	ELU
HIP.50	G-Sy-0,3*Sx+0,3*Q	1	100,53	1,88	100,53	1,43	ELU
	G-Sy-0,3*Sx+0,3*Q	2	118,21	1,88	118,21	1,43	ELU
HIP.51	G+BOMB	1	105,46	0,81	105,46	0,62	ELU
	G+BOMB	2	111,49	0,81	111,49	0,62	ELU
HIP.52	G+BOMB+0,5*Q	1	114,61	0,94	114,61	0,72	ELU
	G+BOMB+0,5*Q	2	121,45	0,94	121,45	0,72	ELU
HIP.53	G+BOMB+0,5*V505	1	106,01	0,75	106,01	0,57	ELU
	G+BOMB+0,5*V505	2	111,80	0,75	111,80	0,57	ELU
HIP.54	G+BOMB+0,5*V506	1	105,96	0,77	105,96	0,59	ELU
	G+BOMB+0,5*V506	2	111,97	0,77	111,97	0,59	ELU
HIP.55	G+BOMB+0,5*V507	1	104,91	0,90	104,91	0,69	ELU
	G+BOMB+0,5*V507	2	111,19	0,90	111,19	0,69	ELU
HIP.56	G+BOMB+0,5*V508	1	104,95	0,88	104,95	0,67	ELU
	G+BOMB+0,5*V508	2	111,02	0,88	111,02	0,67	ELU
HIP.57	G+BOMB+0,5*V509	1	103,88	1,71	103,88	1,31	ELU
	G+BOMB+0,5*V509	2	119,54	1,71	119,54	1,31	ELU
HIP.58	G+BOMB+0,5*V510	1	104,41	1,46	104,41	1,12	ELU
	G+BOMB+0,5*V510	2	117,56	1,46	117,56	1,12	ELU
HIP.59	G+BOMB+0,5*V511	1	107,03	0,19	107,03	0,14	ELU
	G+BOMB+0,5*V511	2	103,45	0,19	103,45	0,15	ELU
HIP.60	G+BOMB+0,5*V512	1	106,50	0,27	106,50	0,21	ELU
	G+BOMB+0,5*V512	2	105,43	0,27	105,43	0,21	ELU
HIP.61	G+BOMB+0,5*V1+0,3*Q	1	111,50	0,83	111,50	0,63	ELU
	G+BOMB+0,5*V1+0,3*Q	2	117,77	0,83	117,77	0,63	ELU
HIP.62	G+BOMB+0,5*V2+0,3*Q	1	111,45	0,85	111,45	0,65	ELU
	G+BOMB+0,5*V2+0,3*Q	2	117,94	0,85	117,94	0,65	ELU
HIP.63	G+BOMB+0,5*V3+0,3*Q	1	110,40	0,98	110,40	0,75	ELU
	G+BOMB+0,5*V3+0,3*Q	2	117,16	0,98	117,16	0,75	ELU
HIP.64	G+BOMB+0,5*V4+0,3*Q	1	110,44	0,95	110,44	0,73	ELU
	G+BOMB+0,5*V4+0,3*Q	2	116,99	0,95	116,99	0,73	ELU
HIP.65	G+BOMB+0,5*V5+0,3*Q	1	109,37	1,79	109,37	1,37	ELU
	G+BOMB+0,5*V5+0,3*Q	2	125,51	1,79	125,51	1,36	ELU
HIP.66	G+BOMB+0,5*V6+0,3*Q	1	109,90	1,53	109,90	1,17	ELU
	G+BOMB+0,5*V6+0,3*Q	2	123,53	1,53	123,53	1,17	ELU
HIP.67	G+BOMB+0,5*V7+0,3*Q	1	112,52	0,18	112,52	0,14	ELU
	G+BOMB+0,5*V7+0,3*Q	2	109,42	0,19	109,42	0,15	ELU
HIP.68	G+BOMB+0,5*V8+0,3*Q	1	111,99	0,34	111,99	0,26	ELU
	G+BOMB+0,5*V8+0,3*Q	2	111,40	0,34	111,40	0,26	ELU

Seccion (mm.)	e _x (m.)	e _y (m.)	Henc. (m.)
300	1,20	1,20	0,90
COMPROBACIÓN (compresión)	CUMPLE		
MAX. AXIL	131,59		(TON)
MIN. AXIL	0,00		(TON)
COMPROBACIÓN (tracción)	CUMPLE		
L.1(m)	0,00		
L.2(m)	0,00		
L.Influenc.(m)	0,00		
CERRAM.(ton.)	0,00		
αx (inclinación)	0,00		
αy (inclinación)	0,00		

Curva de resistencia axil-momento (en cualquier dirección)



Curva de resistencia axil-cortante



PILAR: P65



COMPROBACIÓN ESFUERZOS:

P18147P Parcela R20

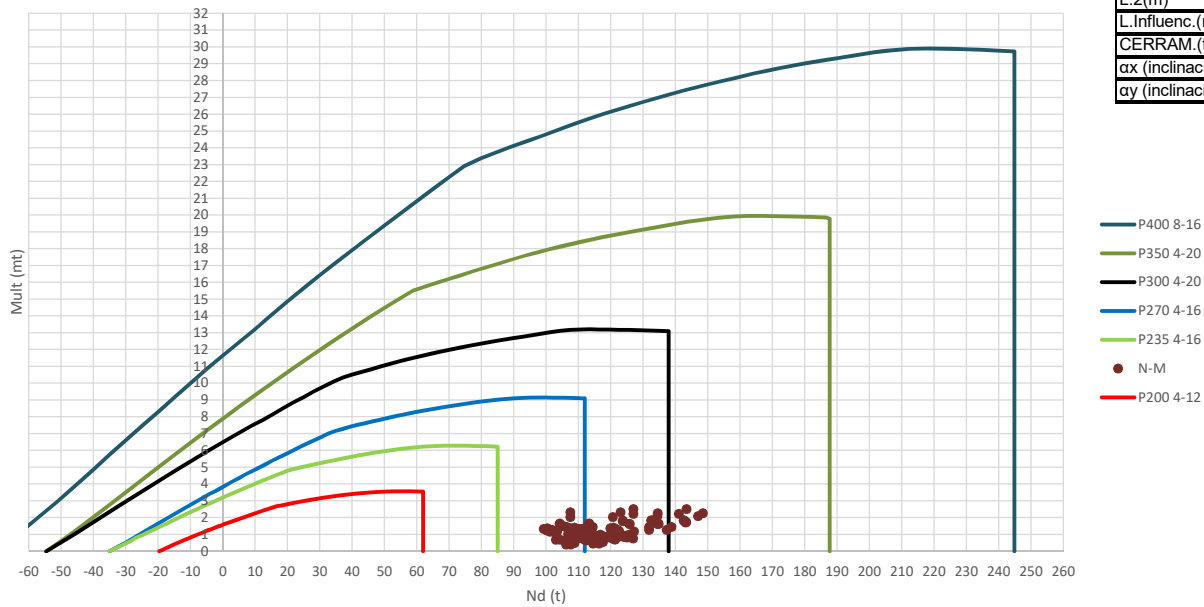
	LC: COMB.	nº PILOTE	N _{pilote} (T) a ras de suelo	M ult. Pilote (mT)	N _{pilote} (T) a ras de suelo	V ult.-Pilote (T)	ESTADO LIMITE
HIP.1	G	1	97,44	1,16	97,44	1,03	ELS
	G	2	97,26	1,20	97,26	1,07	ELS
	G	3	106,10	1,18	106,10	1,05	ELS
HIP.2	G+Q	1	113,20	1,38	113,20	1,23	ELS
	G+Q	2	116,64	1,41	116,64	1,26	ELS
	G+Q	3	125,09	1,40	125,09	1,25	ELS
HIP.3	G+V513	1	99,50	1,15	99,50	1,03	ELS
	G+V513	2	94,67	1,24	94,67	1,10	ELS
	G+V513	3	105,97	1,20	105,97	1,07	ELS
HIP.4	G+V514	1	99,41	1,17	99,41	1,05	ELS
	G+V514	2	94,77	1,24	94,77	1,10	ELS
	G+V514	3	106,04	1,21	106,04	1,08	ELS
HIP.5	G+V515	1	95,38	1,18	95,38	1,06	ELS
	G+V515	2	99,85	1,19	99,85	1,06	ELS
	G+V515	3	106,24	1,19	106,24	1,06	ELS
HIP.6	G+V516	1	95,47	1,16	95,47	1,04	ELS
	G+V516	2	99,75	1,19	99,75	1,06	ELS
	G+V516	3	106,16	1,17	106,16	1,04	ELS
HIP.7	G+V517	1	97,31	2,34	97,31	2,09	ELS
	G+V517	2	98,02	2,05	98,02	1,83	ELS
	G+V517	3	116,94	2,22	116,94	1,98	ELS
HIP.8	G+V518	1	98,06	2,15	98,06	1,91	ELS
	G+V518	2	97,17	2,07	97,17	1,85	ELS
	G+V518	3	116,06	2,11	116,06	1,88	ELS
HIP.9	G+V519	1	97,57	0,03	97,57	0,03	ELS
	G+V519	2	96,50	0,35	96,50	0,31	ELS
	G+V519	3	95,27	0,36	95,27	0,32	ELS
HIP.10	G+V520	1	96,82	0,20	96,82	0,18	ELS
	G+V520	2	97,35	0,35	97,35	0,31	ELS
	G+V520	3	96,15	0,25	96,15	0,22	ELS
HIP.11	G+Q+0,6*V513	1	114,44	1,38	114,44	1,23	ELS
	G+Q+0,6*V513	2	115,08	1,43	115,08	1,28	ELS
	G+Q+0,6*V513	3	125,01	1,41	125,01	1,26	ELS
HIP.12	G+Q+0,6*V514	1	114,38	1,39	114,38	1,24	ELS
	G+Q+0,6*V514	2	115,14	1,43	115,14	1,28	ELS
	G+Q+0,6*V514	3	125,05	1,41	125,05	1,26	ELS
HIP.13	G+Q+0,6*V515	1	111,97	1,39	111,97	1,24	ELS
	G+Q+0,6*V515	2	118,20	1,40	118,20	1,25	ELS
	G+Q+0,6*V515	3	125,17	1,39	125,17	1,24	ELS
HIP.14	G+Q+0,6*V516	1	112,03	1,38	112,03	1,23	ELS
	G+Q+0,6*V516	2	118,14	1,40	118,14	1,25	ELS
	G+Q+0,6*V516	3	125,12	1,39	125,12	1,24	ELS
HIP.15	G+Q+0,6*V517	1	113,13	2,09	113,13	1,87	ELS
	G+Q+0,6*V517	2	117,10	1,92	117,10	1,71	ELS
	G+Q+0,6*V517	3	131,59	2,02	131,59	1,80	ELS
HIP.16	G+Q+0,6*V518	1	113,58	1,98	113,58	1,76	ELS
	G+Q+0,6*V518	2	116,58	1,93	116,58	1,72	ELS
	G+Q+0,6*V518	3	131,06	1,95	131,06	1,74	ELS
HIP.17	G+Q+0,6*V519	1	113,28	0,67	113,28	0,60	ELS
	G+Q+0,6*V519	2	116,18	0,90	116,18	0,80	ELS
	G+Q+0,6*V519	3	118,59	0,81	118,59	0,72	ELS
HIP.18	G+Q+0,6*V520	1	112,83	0,79	112,83	0,70	ELS
	G+Q+0,6*V520	2	116,70	0,89	116,70	0,79	ELS
	G+Q+0,6*V520	3	119,11	0,84	119,11	0,75	ELS
HIP.19	G+V1+0,7*Q	1	110,54	1,31	110,54	1,17	ELS
	G+V1+0,7*Q	2	108,23	1,38	108,23	1,24	ELS
	G+V1+0,7*Q	3	119,26	1,36	119,26	1,21	ELS
HIP.20	G+V2+0,7*Q	1	110,44	1,33	110,44	1,19	ELS
	G+V2+0,7*Q	2	108,33	1,38	108,33	1,24	ELS
	G+V2+0,7*Q	3	119,33	1,36	119,33	1,22	ELS
HIP.21	G+V3+0,7*Q	1	106,41	1,34	106,41	1,19	ELS
	G+V3+0,7*Q	2	113,42	1,33	113,42	1,19	ELS
	G+V3+0,7*Q	3	119,53	1,34	119,53	1,19	ELS
HIP.22	G+V4+0,7*Q	1	106,51	1,31	106,51	1,17	ELS
	G+V4+0,7*Q	2	113,32	1,33	113,32	1,19	ELS
	G+V4+0,7*Q	3	119,45	1,32	119,45	1,18	ELS
HIP.23	G+V5+0,7*Q	1	108,35	2,50	108,35	2,23	ELS
	G+V5+0,7*Q	2	111,59	2,20	111,59	1,96	ELS
	G+V5+0,7*Q	3	130,23	2,37	130,23	2,12	ELS
HIP.24	G+V6+0,7*Q	1	109,09	2,31	109,09	2,06	ELS
	G+V6+0,7*Q	2	110,73	2,22	110,73	1,98	ELS
	G+V6+0,7*Q	3	129,35	2,26	129,35	2,02	ELS
HIP.25	G+V7+0,7*Q	1	108,60	0,13	108,60	0,11	ELS
	G+V7+0,7*Q	2	110,06	0,49	110,06	0,44	ELS
	G+V7+0,7*Q	3	108,56	0,45	108,56	0,40	ELS
HIP.26	G+V8+0,7*Q	1	107,86	0,33	107,86	0,30	ELS
	G+V8+0,7*Q	2	110,92	0,49	110,92	0,43	ELS
	G+V8+0,7*Q	3	109,44	0,40	109,44	0,36	ELS
HIP.27	G+Sx	1	100,80	0,54	100,80	0,48	ELU

	G+Sx	2	104,74	0,62	104,74	0,55	ELU
	G+Sx	3	106,84	0,54	106,84	0,48	ELU
HIP.28	G-Sx	1	94,08	1,13	94,08	1,01	ELU
	G-Sx	2	89,78	1,09	89,78	0,98	ELU
	G-Sx	3	105,37	1,10	105,37	0,99	ELU
HIP.29	G+Sy	1	102,76	0,44	102,76	0,39	ELU
	G+Sy	2	104,02	0,54	104,02	0,48	ELU
	G+Sy	3	107,05	0,47	107,05	0,42	ELU
HIP.30	G-Sy	1	92,12	1,13	92,12	1,01	ELU
	G-Sy	2	90,50	1,09	90,50	0,97	ELU
	G-Sy	3	105,16	1,11	105,16	0,99	ELU
HIP.31	G+Sx+0,3*Sy	1	102,39	0,48	102,39	0,43	ELU
	G+Sx+0,3*Sy	2	106,77	0,57	106,77	0,51	ELU
	G+Sx+0,3*Sy	3	107,12	0,46	107,12	0,41	ELU
HIP.32	G+Sx-0,3*Sy	1	99,20	0,61	99,20	0,55	ELU
	G+Sx-0,3*Sy	2	102,71	0,68	102,71	0,61	ELU
	G+Sx-0,3*Sy	3	106,56	0,62	106,56	0,55	ELU
HIP.33	G-Sx+0,3*Sy	1	95,68	1,02	95,68	0,91	ELU
	G-Sx+0,3*Sy	2	91,81	1,00	91,81	0,89	ELU
	G-Sx+0,3*Sy	3	105,65	1,01	105,65	0,90	ELU
HIP.34	G-Sx-0,3*Sy	1	92,49	1,24	92,49	1,11	ELU
	G-Sx-0,3*Sy	2	87,75	1,19	87,75	1,06	ELU
	G-Sx-0,3*Sy	3	105,08	1,20	105,08	1,07	ELU
HIP.35	G+Sy+0,3*Sx	1	103,76	0,39	103,76	0,35	ELU
	G+Sy+0,3*Sx	2	106,26	0,50	106,26	0,44	ELU
	G+Sy+0,3*Sx	3	107,27	0,40	107,27	0,35	ELU
HIP.36	G+Sy-0,3*Sx	1	101,75	0,52	101,75	0,46	ELU
	G+Sy-0,3*Sx	2	101,77	0,60	101,77	0,53	ELU
	G+Sy-0,3*Sx	3	106,83	0,55	106,83	0,49	ELU
HIP.37	G-Sy+0,3*Sx	1	93,13	1,03	93,13	0,92	ELU
	G-Sy+0,3*Sx	2	92,75	1,01	92,75	0,90	ELU
	G-Sy+0,3*Sx	3	105,38	1,02	105,38	0,91	ELU
HIP.38	G-Sy-0,3*Sx	1	91,11	1,24	91,11	1,11	ELU
	G-Sy-0,3*Sx	2	88,26	1,18	88,26	1,05	ELU
	G-Sy-0,3*Sx	3	104,94	1,20	104,94	1,07	ELU
HIP.39	G+Sx+0,3*Q	1	105,53	0,58	105,53	0,51	ELU
	G+Sx+0,3*Q	2	110,55	0,65	110,55	0,58	ELU
	G+Sx+0,3*Q	3	112,53	0,58	112,53	0,52	ELU
HIP.40	G-Sx+0,3*Q	1	98,81	1,17	98,81	1,05	ELU
	G-Sx+0,3*Q	2	95,60	1,14	95,60	1,01	ELU
	G-Sx+0,3*Q	3	111,06	1,15	111,06	1,02	ELU
HIP.41	G+Sy+0,3*Q	1	107,49	0,48	107,49	0,43	ELU
	G+Sy+0,3*Q	2	109,83	0,58	109,83	0,51	ELU
	G+Sy+0,3*Q	3	112,74	0,51	112,74	0,46	ELU
HIP.42	G-Sy+0,3*Q	1	96,85	1,18	96,85	1,05	ELU
	G-Sy+0,3*Q	2	96,32	1,13	96,32	1,01	ELU
	G-Sy+0,3*Q	3	110,85	1,15	110,85	1,03	ELU
HIP.43	G+Sx+0,3*Sy+0,3*Q	1	107,12	0,51	107,12	0,46	ELU
	G+Sx+0,3*Sy+0,3*Q	2	112,58	0,60	112,58	0,54	ELU
	G+Sx+0,3*Sy+0,3*Q	3	112,82	0,50	112,82	0,45	ELU
HIP.44	G+Sx-0,3*Sy+0,3*Q	1	103,93	0,65	103,93	0,58	ELU
	G+Sx-0,3*Sy+0,3*Q	2	108,53	0,72	108,53	0,64	ELU
	G+Sx-0,3*Sy+0,3*Q	3	112,25	0,66	112,25	0,59	ELU
HIP.45	G-Sx+0,3*Sy+0,3*Q	1	100,41	1,06	100,41	0,95	ELU
	G-Sx+0,3*Sy+0,3*Q	2	97,62	1,05	97,62	0,93	ELU
	G-Sx+0,3*Sy+0,3*Q	3	111,35	1,05	111,35	0,94	ELU
HIP.46	G-Sx-0,3*Sy+0,3*Q	1	97,22	1,29	97,22	1,15	ELU
	G-Sx-0,3*Sy+0,3*Q	2	93,57	1,23	93,57	1,10	ELU
	G-Sx-0,3*Sy+0,3*Q	3	110,78	1,25	110,78	1,11	ELU
HIP.47	G+Sy+0,3*Sx+0,3*Q	1	108,49	0,43	108,49	0,38	ELU
	G+Sy+0,3*Sx+0,3*Q	2	112,07	0,53	112,07	0,47	ELU
	G+Sy+0,3*Sx+0,3*Q	3	112,97	0,44	112,97	0,39	ELU
HIP.48	G+Sy-0,3*Sx+0,3*Q	1	106,48	0,56	106,48	0,50	ELU
	G+Sy-0,3*Sx+0,3*Q	2	107,59	0,64	107,59	0,57	ELU
	G+Sy-0,3*Sx+0,3*Q	3	112,52	0,60	112,52	0,53	ELU
HIP.49	G-Sy+0,3*Sx+0,3*Q	1	97,86	1,07	97,86	0,96	ELU
	G-Sy+0,3*Sx+0,3*Q	2	98,56	1,05	98,56	0,93	ELU
	G-Sy+0,3*Sx+0,3*Q	3	111,07	1,06	111,07	0,95	ELU
HIP.50	G-Sy-0,3*Sx+0,3*Q	1	95,84	1,28	95,84	1,15	ELU
	G-Sy-0,3*Sx+0,3*Q	2	94,07	1,22	94,07	1,09	ELU
	G-Sy-0,3*Sx+0,3*Q	3	110,63	1,25	110,63	1,11	ELU
HIP.51	G+BOMB	1	98,16	0,64	98,16	0,57	ELU
	G+BOMB	2	98,46	0,62	98,46	0,55	ELU
	G+BOMB	3	104,80	0,63	104,80	0,56	ELU
HIP.52	G+BOMB+0,5*Q	1	106,04	0,71	106,04	0,64	ELU
	G+BOMB+0,5*Q	2	108,15	0,69	108,15	0,61	ELU
	G+BOMB+0,5*Q	3	114,29	0,70	114,29	0,63	ELU
HIP.53	G+BOMB+0,5*V513	1	99,19	0,64	99,19	0,57	ELU
	G+BOMB+0,5*V513	2	97,16	0,63	97,16	0,56	ELU
	G+BOMB+0,5*V513	3	104,73	0,63	104,73	0,56	ELU
HIP.54	G+BOMB+0,5*V514	1	99,14	0,64	99,14	0,57	ELU
	G+BOMB+0,5*V514	2	97,21	0,63	97,21	0,56	ELU
	G+BOMB+0,5*V514	3	104,77	0,64	104,77	0,57	ELU
HIP.55	G+BOMB+0,5*V515	1	97,13	0,65	97,13	0,58	ELU
	G+BOMB+0,5*V515	2	99,76	0,61	99,76	0,55	ELU
	G+BOMB+0,5*V515	3	104,86	0,64	104,86	0,57	ELU
HIP.56	G+BOMB+0,5*V516	1	97,17	0,64	97,17	0,57	ELU
	G+BOMB+0,5*V516	2	99,71	0,61	99,71	0,55	ELU
	G+BOMB+0,5*V516	3	104,83	0,63	104,83	0,56	ELU
HIP.57	G+BOMB+0,5*V517	1	98,09	1,04	98,09	0,92	ELU
	G+BOMB+0,5*V517	2	98,84	0,90	98,84	0,81	ELU

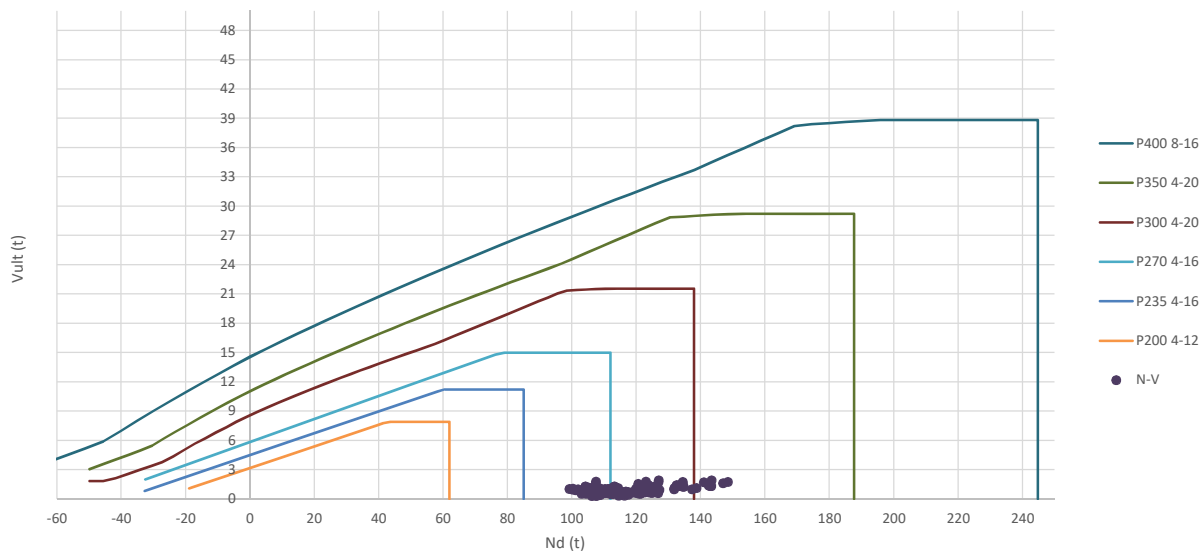
	G+BOMB+0,5*V517	3	110,22	0,98	110,22	0,88	ELU
HIP.58	G+BOMB+0,5*V518	1	98,47	0,97	98,47	0,86	ELU
	G+BOMB+0,5*V518	2	98,41	0,91	98,41	0,81	ELU
	G+BOMB+0,5*V518	3	109,77	0,94	109,77	0,84	ELU
HIP.59	G+BOMB+0,5*V519	1	98,22	0,24	98,22	0,22	ELU
	G+BOMB+0,5*V519	2	98,08	0,33	98,08	0,30	ELU
	G+BOMB+0,5*V519	3	99,38	0,29	99,38	0,26	ELU
HIP.60	G+BOMB+0,5*V520	1	97,85	0,31	97,85	0,28	ELU
	G+BOMB+0,5*V520	2	98,51	0,33	98,51	0,30	ELU
	G+BOMB+0,5*V520	3	99,82	0,32	99,82	0,29	ELU
HIP.61	G+BOMB+0,5*V1+0,3*Q	1	103,92	0,68	103,92	0,61	ELU
	G+BOMB+0,5*V1+0,3*Q	2	102,98	0,67	102,98	0,60	ELU
	G+BOMB+0,5*V1+0,3*Q	3	110,42	0,68	110,42	0,60	ELU
HIP.62	G+BOMB+0,5*V2+0,3*Q	1	103,87	0,69	103,87	0,61	ELU
	G+BOMB+0,5*V2+0,3*Q	2	103,03	0,67	103,03	0,60	ELU
	G+BOMB+0,5*V2+0,3*Q	3	110,46	0,68	110,46	0,61	ELU
HIP.63	G+BOMB+0,5*V3+0,3*Q	1	101,86	0,69	101,86	0,62	ELU
	G+BOMB+0,5*V3+0,3*Q	2	105,57	0,66	105,57	0,58	ELU
	G+BOMB+0,5*V3+0,3*Q	3	110,56	0,68	110,56	0,61	ELU
HIP.64	G+BOMB+0,5*V4+0,3*Q	1	101,90	0,69	101,90	0,61	ELU
	G+BOMB+0,5*V4+0,3*Q	2	105,52	0,65	105,52	0,58	ELU
	G+BOMB+0,5*V4+0,3*Q	3	110,52	0,67	110,52	0,60	ELU
HIP.65	G+BOMB+0,5*V5+0,3*Q	1	102,82	1,08	102,82	0,96	ELU
	G+BOMB+0,5*V5+0,3*Q	2	104,65	0,94	104,65	0,84	ELU
	G+BOMB+0,5*V5+0,3*Q	3	115,91	1,03	115,91	0,91	ELU
HIP.66	G+BOMB+0,5*V6+0,3*Q	1	103,20	1,01	103,20	0,90	ELU
	G+BOMB+0,5*V6+0,3*Q	2	104,23	0,95	104,23	0,85	ELU
	G+BOMB+0,5*V6+0,3*Q	3	115,47	0,98	115,47	0,88	ELU
HIP.67	G+BOMB+0,5*V7+0,3*Q	1	102,95	0,29	102,95	0,26	ELU
	G+BOMB+0,5*V7+0,3*Q	2	103,89	0,38	103,89	0,33	ELU
	G+BOMB+0,5*V7+0,3*Q	3	105,07	0,34	105,07	0,30	ELU
HIP.68	G+BOMB+0,5*V8+0,3*Q	1	102,58	0,36	102,58	0,32	ELU
	G+BOMB+0,5*V8+0,3*Q	2	104,32	0,37	104,32	0,33	ELU
	G+BOMB+0,5*V8+0,3*Q	3	105,51	0,36	105,51	0,32	ELU

Seccion (mm.)	e _x (m.)	e _y (m.)	Henc. (m.)
350	0,00	1,25	1,25
COMPROBACIÓN (compresión)	CUMPLE		
MAX. AXIL	148,44	(TON)	
MIN. AXIL	0,00	(TON)	
COMPROBACIÓN (tracción)	CUMPLE		
	L.1(m)	0,00	
	L.2(m)	0,00	
	L.Influenc.(m)	0,00	
	CERRAM.(ton.)	0,00	
	αx (inclinación)	0,00	
	αy (inclinación)	0,00	

Curva de resistencia axil-momento (en cualquier dirección)



Curva de resistencia axil-cortante



PILAR: P67



COMPROBACIÓN ESFUERZOS:

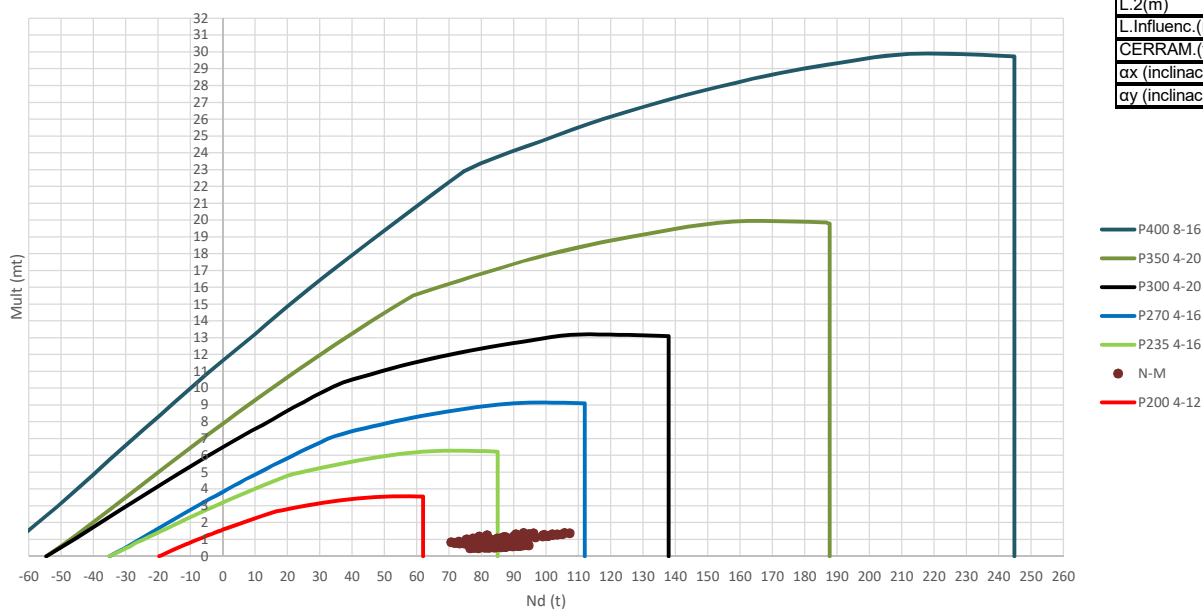
P18147P Parcela R20

	LC: COMB.	nº PILOTE	N _{pilote} (T) a ras de suelo	M ult. Pilote (mT)	N _{pilote} (T) a ras de suelo	V ult.-Pilote (T)	ESTADO LIMITE
HIP.1	G	1	105,26	1,50	105,26	1,15	ELS
	G	2	113,69	1,50	113,69	1,15	ELS
HIP.2	G+Q	1	133,12	1,77	133,12	1,35	ELS
	G+Q	2	142,87	1,77	142,87	1,35	ELS
HIP.3	G+V529	1	104,24	1,66	104,24	1,27	ELS
	G+V529	2	113,28	1,66	113,28	1,27	ELS
HIP.4	G+V530	1	104,23	1,62	104,23	1,24	ELS
	G+V530	2	113,02	1,62	113,02	1,24	ELS
HIP.5	G+V531	1	106,27	1,42	106,27	1,09	ELS
	G+V531	2	114,09	1,42	114,09	1,09	ELS
HIP.6	G+V532	1	106,28	1,45	106,28	1,11	ELS
	G+V532	2	114,35	1,45	114,35	1,11	ELS
HIP.7	G+V533	1	107,42	2,04	107,42	1,56	ELS
	G+V533	2	120,59	2,04	120,59	1,56	ELS
HIP.8	G+V534	1	107,50	2,32	107,50	1,78	ELS
	G+V534	2	122,97	2,32	122,97	1,78	ELS
HIP.9	G+V535	1	103,10	1,03	103,10	0,79	ELS
	G+V535	2	106,79	1,03	106,79	0,79	ELS
HIP.10	G+V536	1	103,01	0,68	103,01	0,52	ELS
	G+V536	2	104,40	0,68	104,40	0,52	ELS
HIP.11	G+Q+0,6*V529	1	132,50	1,85	132,50	1,41	ELS
	G+Q+0,6*V529	2	142,62	1,85	142,62	1,41	ELS
HIP.12	G+Q+0,6*V530	1	132,50	1,82	132,50	1,39	ELS
	G+Q+0,6*V530	2	142,47	1,82	142,47	1,39	ELS
HIP.13	G+Q+0,6*V531	1	133,73	1,72	133,73	1,32	ELS
	G+Q+0,6*V531	2	143,11	1,72	143,11	1,32	ELS
HIP.14	G+Q+0,6*V532	1	133,73	1,74	133,73	1,33	ELS
	G+Q+0,6*V532	2	143,26	1,74	143,26	1,33	ELS
HIP.15	G+Q+0,6*V533	1	134,41	2,10	134,41	1,60	ELS
	G+Q+0,6*V533	2	147,01	2,10	147,01	1,60	ELS
HIP.16	G+Q+0,6*V534	1	134,46	2,26	134,46	1,73	ELS
	G+Q+0,6*V534	2	148,44	2,26	148,44	1,73	ELS
HIP.17	G+Q+0,6*V535	1	131,82	1,46	131,82	1,12	ELS
	G+Q+0,6*V535	2	138,73	1,46	138,73	1,12	ELS
HIP.18	G+Q+0,6*V536	1	131,77	1,28	131,77	0,98	ELS
	G+Q+0,6*V536	2	137,29	1,28	137,29	0,98	ELS
HIP.19	G+V1+0,7*Q	1	123,74	1,83	123,74	1,40	ELS
	G+V1+0,7*Q	2	133,71	1,83	133,71	1,40	ELS
HIP.20	G+V2+0,7*Q	1	123,73	1,79	123,73	1,37	ELS
	G+V2+0,7*Q	2	133,45	1,79	133,45	1,37	ELS
HIP.21	G+V3+0,7*Q	1	125,78	1,62	125,78	1,24	ELS
	G+V3+0,7*Q	2	134,51	1,62	134,51	1,24	ELS
HIP.22	G+V4+0,7*Q	1	125,78	1,64	125,78	1,26	ELS
	G+V4+0,7*Q	2	134,77	1,64	134,77	1,26	ELS
HIP.23	G+V5+0,7*Q	1	126,92	2,23	126,92	1,71	ELS
	G+V5+0,7*Q	2	141,01	2,23	141,01	1,71	ELS
HIP.24	G+V6+0,7*Q	1	127,00	2,51	127,00	1,92	ELS
	G+V6+0,7*Q	2	143,40	2,51	143,40	1,92	ELS
HIP.25	G+V7+0,7*Q	1	122,60	1,19	122,60	0,91	ELS
	G+V7+0,7*Q	2	127,21	1,19	127,21	0,91	ELS
HIP.26	G+V8+0,7*Q	1	122,51	0,87	122,51	0,67	ELS
	G+V8+0,7*Q	2	124,82	0,87	124,82	0,67	ELS
HIP.27	G+Sx	1	108,65	0,85	108,65	0,65	ELU
	G+Sx	2	114,62	0,85	114,62	0,65	ELU
HIP.28	G-Sx	1	101,86	1,29	101,86	0,98	ELU
	G-Sx	2	112,75	1,29	112,75	0,98	ELU
HIP.29	G+Sy	1	110,30	0,80	110,30	0,61	ELU
	G+Sy	2	115,98	0,80	115,98	0,61	ELU
HIP.30	G-Sy	1	100,22	1,24	100,22	0,95	ELU
	G-Sy	2	111,39	1,24	111,39	0,95	ELU
HIP.31	G+Sx+0,3*Sy	1	110,16	0,81	110,16	0,62	ELU
	G+Sx+0,3*Sy	2	115,31	0,81	115,31	0,62	ELU
HIP.32	G+Sx-0,3*Sy	1	107,14	0,89	107,14	0,68	ELU
	G+Sx-0,3*Sy	2	113,94	0,89	113,94	0,68	ELU
HIP.33	G-Sx+0,3*Sy	1	103,37	1,21	103,37	0,92	ELU
	G-Sx+0,3*Sy	2	113,43	1,21	113,43	0,92	ELU
HIP.34	G-Sx-0,3*Sy	1	100,35	1,37	100,35	1,05	ELU
	G-Sx-0,3*Sy	2	112,06	1,37	112,06	1,05	ELU
HIP.35	G+Sy+0,3*Sx	1	111,31	0,76	111,31	0,58	ELU
	G+Sy+0,3*Sx	2	116,26	0,76	116,26	0,58	ELU
HIP.36	G+Sy-0,3*Sx	1	109,28	0,85	109,28	0,65	ELU
	G+Sy-0,3*Sx	2	115,70	0,85	115,70	0,65	ELU
HIP.37	G-Sy+0,3*Sx	1	101,24	1,16	101,24	0,89	ELU
	G-Sy+0,3*Sx	2	111,68	1,16	111,68	0,89	ELU
HIP.38	G-Sy-0,3*Sx	1	99,20	1,33	99,20	1,02	ELU
	G-Sy-0,3*Sx	2	111,11	1,33	111,11	1,02	ELU
HIP.39	G+Sx+0,3*Q	1	117,01	0,90	117,01	0,69	ELU
	G+Sx+0,3*Q	2	123,38	0,90	123,38	0,69	ELU
HIP.40	G-Sx+0,3*Q	1	110,22	1,33	110,22	1,02	ELU

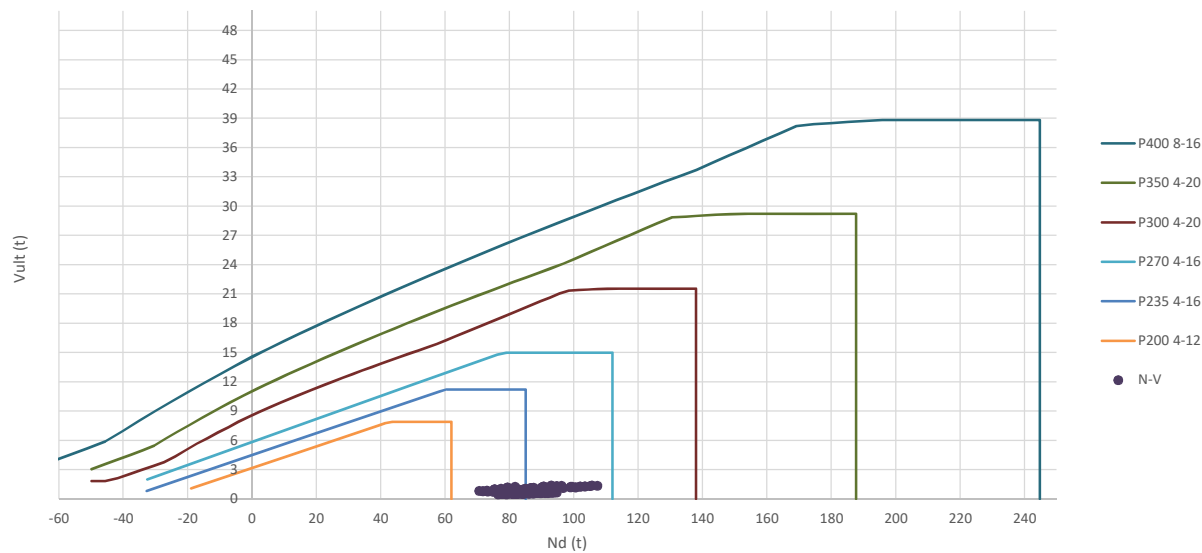
	G-Sx+0,3*Q	2	121,50	1,33	121,50	1,02	ELU
HIP.41	G+Sy+0,3*Q	1	118,65	0,85	118,65	0,65	ELU
	G+Sy+0,3*Q	2	124,73	0,85	124,73	0,65	ELU
HIP.42	G-Sy+0,3*Q	1	108,57	1,29	108,57	0,99	ELU
	G-Sy+0,3*Q	2	120,15	1,29	120,15	0,99	ELU
HIP.43	G+Sx+0,3*Sy+0,3*Q	1	118,52	0,87	118,52	0,66	ELU
	G+Sx+0,3*Sy+0,3*Q	2	124,06	0,87	124,06	0,66	ELU
HIP.44	G+Sx-0,3*Sy+0,3*Q	1	115,50	0,94	115,50	0,72	ELU
	G+Sx-0,3*Sy+0,3*Q	2	122,69	0,94	122,69	0,72	ELU
HIP.45	G-Sx+0,3*Sy+0,3*Q	1	111,73	1,26	111,73	0,96	ELU
	G-Sx+0,3*Sy+0,3*Q	2	122,19	1,26	122,19	0,96	ELU
HIP.46	G-Sx-0,3*Sy+0,3*Q	1	108,71	1,41	108,71	1,08	ELU
	G-Sx-0,3*Sy+0,3*Q	2	120,81	1,41	120,81	1,08	ELU
HIP.47	G+Sy+0,3*Sx+0,3*Q	1	119,67	0,82	119,67	0,63	ELU
	G+Sy+0,3*Sx+0,3*Q	2	125,01	0,82	125,01	0,63	ELU
HIP.48	G+Sy-0,3*Sx+0,3*Q	1	117,63	0,91	117,63	0,69	ELU
	G+Sy-0,3*Sx+0,3*Q	2	124,45	0,91	124,45	0,69	ELU
HIP.49	G-Sy+0,3*Sx+0,3*Q	1	109,59	1,21	109,59	0,93	ELU
	G-Sy+0,3*Sx+0,3*Q	2	120,43	1,21	120,43	0,93	ELU
HIP.50	G-Sy-0,3*Sx+0,3*Q	1	107,56	1,38	107,56	1,05	ELU
	G-Sy-0,3*Sx+0,3*Q	2	119,87	1,38	119,87	1,05	ELU
HIP.51	G+BOMB	1	107,27	0,67	107,27	0,52	ELU
	G+BOMB	2	112,23	0,67	112,23	0,52	ELU
HIP.52	G+BOMB+0,5*Q	1	121,20	0,77	121,20	0,59	ELU
	G+BOMB+0,5*Q	2	126,82	0,77	126,82	0,59	ELU
HIP.53	G+BOMB+0,5*V529	1	106,77	0,72	106,77	0,55	ELU
	G+BOMB+0,5*V529	2	112,03	0,72	112,03	0,55	ELU
HIP.54	G+BOMB+0,5*V530	1	106,76	0,71	106,76	0,54	ELU
	G+BOMB+0,5*V530	2	111,90	0,71	111,90	0,54	ELU
HIP.55	G+BOMB+0,5*V531	1	107,78	0,65	107,78	0,50	ELU
	G+BOMB+0,5*V531	2	112,43	0,65	112,43	0,50	ELU
HIP.56	G+BOMB+0,5*V532	1	107,79	0,66	107,79	0,51	ELU
	G+BOMB+0,5*V532	2	112,56	0,66	112,56	0,51	ELU
HIP.57	G+BOMB+0,5*V533	1	108,35	0,86	108,35	0,66	ELU
	G+BOMB+0,5*V533	2	115,68	0,86	115,68	0,66	ELU
HIP.58	G+BOMB+0,5*V534	1	108,40	0,95	108,40	0,72	ELU
	G+BOMB+0,5*V534	2	116,87	0,95	116,87	0,72	ELU
HIP.59	G+BOMB+0,5*V535	1	106,19	0,50	106,19	0,39	ELU
	G+BOMB+0,5*V535	2	108,78	0,50	108,78	0,39	ELU
HIP.60	G+BOMB+0,5*V536	1	106,15	0,40	106,15	0,31	ELU
	G+BOMB+0,5*V536	2	107,58	0,40	107,58	0,31	ELU
HIP.61	G+BOMB+0,5*V1+0,3*Q	1	115,12	0,77	115,12	0,59	ELU
	G+BOMB+0,5*V1+0,3*Q	2	120,78	0,77	120,78	0,59	ELU
HIP.62	G+BOMB+0,5*V2+0,3*Q	1	115,12	0,76	115,12	0,58	ELU
	G+BOMB+0,5*V2+0,3*Q	2	120,65	0,76	120,65	0,58	ELU
HIP.63	G+BOMB+0,5*V3+0,3*Q	1	116,14	0,71	116,14	0,54	ELU
	G+BOMB+0,5*V3+0,3*Q	2	121,18	0,71	121,18	0,54	ELU
HIP.64	G+BOMB+0,5*V4+0,3*Q	1	116,15	0,72	116,15	0,55	ELU
	G+BOMB+0,5*V4+0,3*Q	2	121,31	0,72	121,31	0,55	ELU
HIP.65	G+BOMB+0,5*V5+0,3*Q	1	116,71	0,91	116,71	0,70	ELU
	G+BOMB+0,5*V5+0,3*Q	2	124,43	0,91	124,43	0,70	ELU
HIP.66	G+BOMB+0,5*V6+0,3*Q	1	116,75	1,00	116,75	0,77	ELU
	G+BOMB+0,5*V6+0,3*Q	2	125,62	1,00	125,62	0,77	ELU
HIP.67	G+BOMB+0,5*V7+0,3*Q	1	114,55	0,56	114,55	0,42	ELU
	G+BOMB+0,5*V7+0,3*Q	2	117,53	0,56	117,53	0,42	ELU
HIP.68	G+BOMB+0,5*V8+0,3*Q	1	114,51	0,46	114,51	0,35	ELU
	G+BOMB+0,5*V8+0,3*Q	2	116,34	0,46	116,34	0,35	ELU

Seccion (mm.)	e_x (m.)	e_y (m.)	Henc. (m.)
270	0,00	1,00	0,85
COMPROBACIÓN (compresión)	CUMPLE		
MAX. AXIL	107,23		(TON)
MIN. AXIL	0,00		(TON)
COMPROBACIÓN (tracción)	CUMPLE		
	L.1(m)		0,00
	L.2(m)		0,00
	L.Influenc.(m)		0,00
	CERRAM.(ton.)		0,00
	αx (inclinación)		0,00
	αy (inclinación)		0,00

Curva de resistencia axil-momento (en cualquier dirección)



Curva de resistencia axil-cortante



PILAR: P68



COMPROBACIÓN ESFUERZOS:

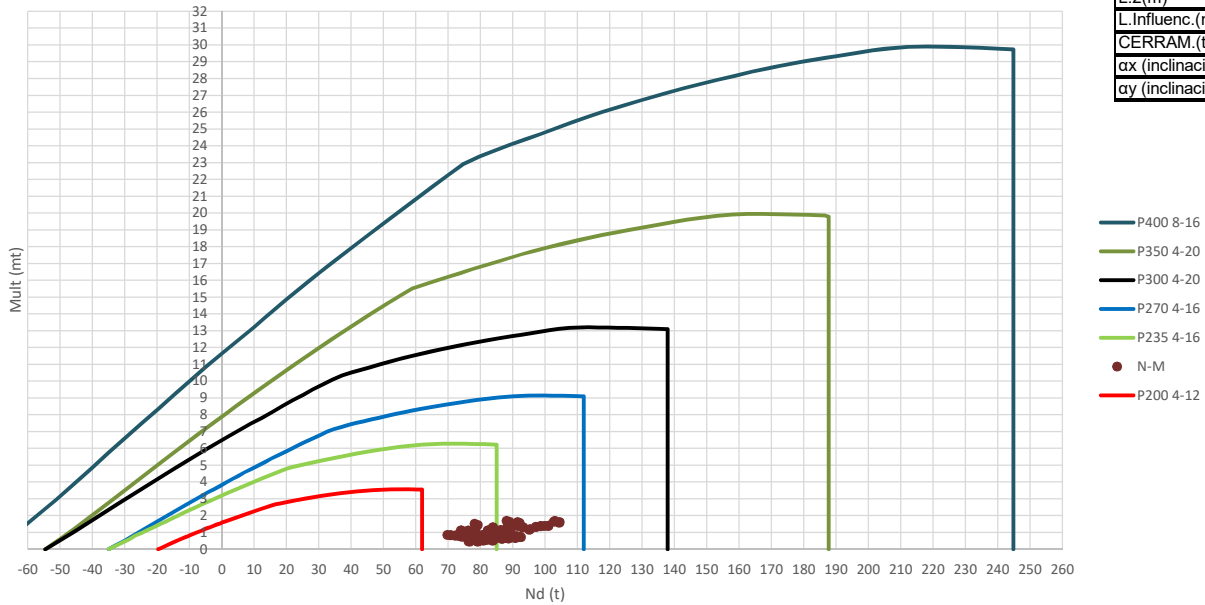
P18147P Parcela R20

	LC: COMB.	nº PILOTE	N _{pilote} (T) a ras de suelo	M ult. Pilote (mT)	N _{pilote} (T) a ras de suelo	V ult.-Pilote (T)	ESTADO LIMITE
HIP.1	G	1	77,34	1,07	77,34	1,06	ELS
	G	2	84,88	1,07	84,88	1,06	ELS
HIP.2	G+Q	1	93,47	1,25	93,47	1,24	ELS
	G+Q	2	101,96	1,25	101,96	1,24	ELS
HIP.3	G+V537	1	79,45	1,15	79,45	1,14	ELS
	G+V537	2	87,48	1,15	87,48	1,14	ELS
HIP.4	G+V538	1	79,19	1,14	79,19	1,13	ELS
	G+V538	2	87,07	1,14	87,07	1,13	ELS
HIP.5	G+V539	1	75,24	1,00	75,24	0,99	ELS
	G+V539	2	82,27	1,00	82,27	0,99	ELS
HIP.6	G+V540	1	75,49	1,01	75,49	1,00	ELS
	G+V540	2	82,68	1,01	82,68	1,00	ELS
HIP.7	G+V541	1	79,29	1,18	79,29	1,17	ELS
	G+V541	2	89,96	1,18	89,96	1,17	ELS
HIP.8	G+V542	1	81,71	1,26	81,71	1,25	ELS
	G+V542	2	93,67	1,26	93,67	1,25	ELS
HIP.9	G+V543	1	75,39	0,96	75,39	0,95	ELS
	G+V543	2	79,79	0,96	79,79	0,95	ELS
HIP.10	G+V544	1	72,98	0,87	72,98	0,86	ELS
	G+V544	2	76,08	0,87	76,08	0,86	ELS
HIP.11	G+Q+0,6*V537	1	94,73	1,30	94,73	1,29	ELS
	G+Q+0,6*V537	2	103,52	1,30	103,52	1,29	ELS
HIP.12	G+Q+0,6*V538	1	94,58	1,29	94,58	1,28	ELS
	G+Q+0,6*V538	2	103,27	1,29	103,27	1,28	ELS
HIP.13	G+Q+0,6*V539	1	92,21	1,21	92,21	1,20	ELS
	G+Q+0,6*V539	2	100,39	1,21	100,39	1,20	ELS
HIP.14	G+Q+0,6*V540	1	92,36	1,21	92,36	1,20	ELS
	G+Q+0,6*V540	2	100,64	1,21	100,64	1,20	ELS
HIP.15	G+Q+0,6*V541	1	94,64	1,32	94,64	1,31	ELS
	G+Q+0,6*V541	2	105,01	1,32	105,01	1,31	ELS
HIP.16	G+Q+0,6*V542	1	96,09	1,37	96,09	1,36	ELS
	G+Q+0,6*V542	2	107,23	1,37	107,23	1,36	ELS
HIP.17	G+Q+0,6*V543	1	92,30	1,19	92,30	1,18	ELS
	G+Q+0,6*V543	2	98,91	1,19	98,91	1,18	ELS
HIP.18	G+Q+0,6*V544	1	90,85	1,13	90,85	1,12	ELS
	G+Q+0,6*V544	2	96,68	1,13	96,68	1,12	ELS
HIP.19	G+V1+0,7*Q	1	90,73	1,28	90,73	1,27	ELS
	G+V1+0,7*Q	2	99,44	1,28	99,44	1,27	ELS
HIP.20	G+V2+0,7*Q	1	90,48	1,27	90,48	1,25	ELS
	G+V2+0,7*Q	2	99,03	1,27	99,03	1,25	ELS
HIP.21	G+V3+0,7*Q	1	86,53	1,13	86,53	1,12	ELS
	G+V3+0,7*Q	2	94,23	1,13	94,23	1,12	ELS
HIP.22	G+V4+0,7*Q	1	86,78	1,14	86,78	1,13	ELS
	G+V4+0,7*Q	2	94,64	1,14	94,64	1,13	ELS
HIP.23	G+V5+0,7*Q	1	90,58	1,31	90,58	1,30	ELS
	G+V5+0,7*Q	2	101,91	1,31	101,91	1,30	ELS
HIP.24	G+V6+0,7*Q	1	93,00	1,39	93,00	1,38	ELS
	G+V6+0,7*Q	2	105,63	1,39	105,63	1,38	ELS
HIP.25	G+V7+0,7*Q	1	86,68	1,09	86,68	1,08	ELS
	G+V7+0,7*Q	2	91,75	1,09	91,75	1,08	ELS
HIP.26	G+V8+0,7*Q	1	84,27	1,00	84,27	0,99	ELS
	G+V8+0,7*Q	2	88,04	1,00	88,04	0,99	ELS
HIP.27	G+Sx	1	82,88	0,63	82,88	0,63	ELU
	G+Sx	2	88,79	0,63	88,79	0,63	ELU
HIP.28	G-Sx	1	71,81	0,81	71,81	0,81	ELU
	G-Sx	2	80,96	0,81	80,96	0,81	ELU
HIP.29	G+Sy	1	81,39	0,66	81,39	0,65	ELU
	G+Sy	2	87,24	0,66	87,24	0,65	ELU
HIP.30	G-Sy	1	73,30	0,77	73,30	0,77	ELU
	G-Sy	2	82,51	0,77	82,51	0,77	ELU
HIP.31	G+Sx+0,3*Sy	1	84,09	0,62	84,09	0,61	ELU
	G+Sx+0,3*Sy	2	89,50	0,62	89,50	0,61	ELU
HIP.32	G+Sx-0,3*Sy	1	81,66	0,65	81,66	0,64	ELU
	G+Sx-0,3*Sy	2	88,09	0,65	88,09	0,64	ELU
HIP.33	G-Sx+0,3*Sy	1	73,02	0,79	73,02	0,79	ELU
	G-Sx+0,3*Sy	2	81,67	0,79	81,67	0,79	ELU
HIP.34	G-Sx-0,3*Sy	1	70,59	0,83	70,59	0,83	ELU
	G-Sx-0,3*Sy	2	80,25	0,83	80,25	0,83	ELU
HIP.35	G+Sy+0,3*Sx	1	83,05	0,63	83,05	0,63	ELU
	G+Sy+0,3*Sx	2	88,41	0,63	88,41	0,63	ELU
HIP.36	G+Sy-0,3*Sx	1	79,73	0,68	79,73	0,68	ELU
	G+Sy-0,3*Sx	2	86,06	0,68	86,06	0,68	ELU
HIP.37	G-Sy+0,3*Sx	1	74,96	0,74	74,96	0,74	ELU
	G-Sy+0,3*Sx	2	83,69	0,74	83,69	0,74	ELU
HIP.38	G-Sy-0,3*Sx	1	71,64	0,80	71,64	0,80	ELU
	G-Sy-0,3*Sx	2	81,34	0,80	81,34	0,80	ELU
HIP.39	G+Sx+0,3*Q	1	87,72	0,67	87,72	0,66	ELU
	G+Sx+0,3*Q	2	93,92	0,67	93,92	0,66	ELU
HIP.40	G-Sx+0,3*Q	1	76,64	0,85	76,64	0,84	ELU

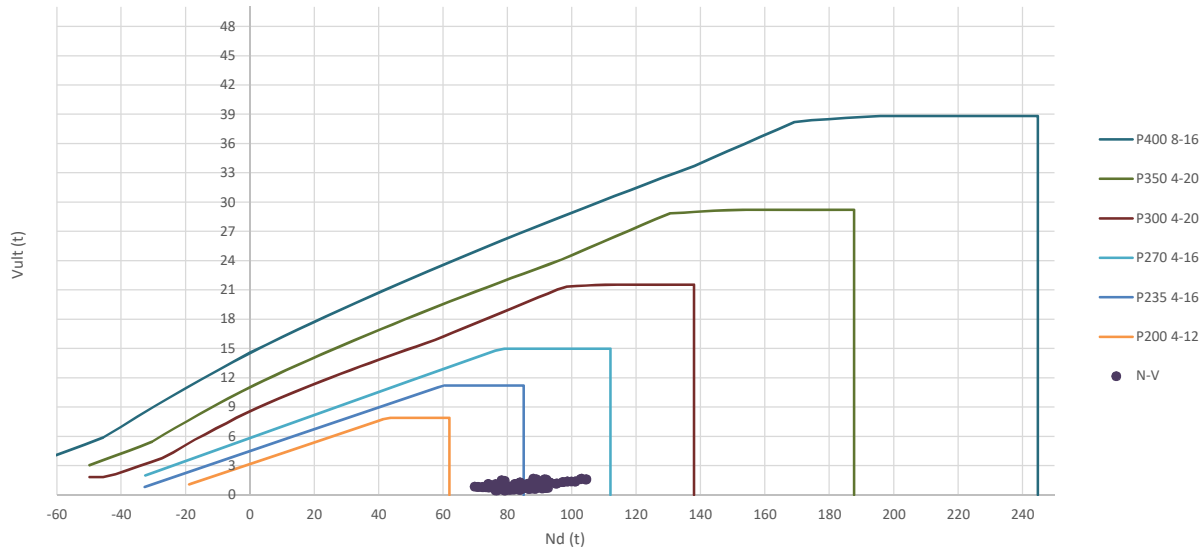
	G-Sx+0,3*Q	2	86,08	0,85	86,08	0,84	ELU
HIP.41	G+Sy+0,3*Q	1	86,22	0,69	86,22	0,69	ELU
	G+Sy+0,3*Q	2	92,36	0,69	92,36	0,69	ELU
HIP.42	G-Sy+0,3*Q	1	78,14	0,81	78,14	0,80	ELU
	G-Sy+0,3*Q	2	87,64	0,81	87,64	0,80	ELU
HIP.43	G+Sx+0,3*Sy+0,3*Q	1	88,93	0,65	88,93	0,65	ELU
	G+Sx+0,3*Sy+0,3*Q	2	94,63	0,65	94,63	0,65	ELU
HIP.44	G+Sx-0,3*Sy+0,3*Q	1	86,50	0,68	86,50	0,68	ELU
	G+Sx-0,3*Sy+0,3*Q	2	93,21	0,68	93,21	0,68	ELU
HIP.45	G-Sx+0,3*Sy+0,3*Q	1	77,86	0,83	77,86	0,82	ELU
	G-Sx+0,3*Sy+0,3*Q	2	86,79	0,83	86,79	0,82	ELU
HIP.46	G-Sx-0,3*Sy+0,3*Q	1	75,43	0,87	75,43	0,86	ELU
	G-Sx-0,3*Sy+0,3*Q	2	85,37	0,87	85,37	0,86	ELU
HIP.47	G+Sy+0,3*Sx+0,3*Q	1	87,88	0,67	87,88	0,66	ELU
	G+Sy+0,3*Sx+0,3*Q	2	93,54	0,67	93,54	0,66	ELU
HIP.48	G+Sy-0,3*Sx+0,3*Q	1	84,56	0,72	84,56	0,71	ELU
	G+Sy-0,3*Sx+0,3*Q	2	91,19	0,72	91,19	0,71	ELU
HIP.49	G-Sy+0,3*Sx+0,3*Q	1	79,80	0,78	79,80	0,77	ELU
	G-Sy+0,3*Sx+0,3*Q	2	88,82	0,78	88,82	0,77	ELU
HIP.50	G-Sy-0,3*Sx+0,3*Q	1	76,47	0,84	76,47	0,83	ELU
	G-Sy-0,3*Sx+0,3*Q	2	86,46	0,84	86,46	0,83	ELU
HIP.51	G+BOMB	1	78,62	0,54	78,62	0,54	ELU
	G+BOMB	2	83,41	0,54	83,41	0,54	ELU
HIP.52	G+BOMB+0,5*Q	1	86,68	0,60	86,68	0,60	ELU
	G+BOMB+0,5*Q	2	91,95	0,60	91,95	0,60	ELU
HIP.53	G+BOMB+0,5*V537	1	79,67	0,57	79,67	0,57	ELU
	G+BOMB+0,5*V537	2	84,71	0,57	84,71	0,57	ELU
HIP.54	G+BOMB+0,5*V538	1	79,54	0,57	79,54	0,56	ELU
	G+BOMB+0,5*V538	2	84,50	0,57	84,50	0,56	ELU
HIP.55	G+BOMB+0,5*V539	1	77,57	0,52	77,57	0,51	ELU
	G+BOMB+0,5*V539	2	82,10	0,52	82,10	0,51	ELU
HIP.56	G+BOMB+0,5*V540	1	77,70	0,52	77,70	0,52	ELU
	G+BOMB+0,5*V540	2	82,31	0,52	82,31	0,52	ELU
HIP.57	G+BOMB+0,5*V541	1	79,59	0,58	79,59	0,58	ELU
	G+BOMB+0,5*V541	2	85,95	0,58	85,95	0,58	ELU
HIP.58	G+BOMB+0,5*V542	1	80,80	0,61	80,80	0,60	ELU
	G+BOMB+0,5*V542	2	87,80	0,61	87,80	0,60	ELU
HIP.59	G+BOMB+0,5*V543	1	77,65	0,51	77,65	0,50	ELU
	G+BOMB+0,5*V543	2	80,87	0,51	80,87	0,50	ELU
HIP.60	G+BOMB+0,5*V544	1	76,44	0,48	76,44	0,47	ELU
	G+BOMB+0,5*V544	2	79,01	0,48	79,01	0,47	ELU
HIP.61	G+BOMB+0,5*V1+0,3*Q	1	84,51	0,61	84,51	0,60	ELU
	G+BOMB+0,5*V1+0,3*Q	2	89,84	0,61	89,84	0,60	ELU
HIP.62	G+BOMB+0,5*V2+0,3*Q	1	84,38	0,60	84,38	0,60	ELU
	G+BOMB+0,5*V2+0,3*Q	2	89,63	0,60	89,63	0,60	ELU
HIP.63	G+BOMB+0,5*V3+0,3*Q	1	82,41	0,56	82,41	0,55	ELU
	G+BOMB+0,5*V3+0,3*Q	2	87,23	0,56	87,23	0,55	ELU
HIP.64	G+BOMB+0,5*V4+0,3*Q	1	82,53	0,56	82,53	0,55	ELU
	G+BOMB+0,5*V4+0,3*Q	2	87,44	0,56	87,44	0,55	ELU
HIP.65	G+BOMB+0,5*V5+0,3*Q	1	84,43	0,62	84,43	0,61	ELU
	G+BOMB+0,5*V5+0,3*Q	2	91,07	0,62	91,07	0,61	ELU
HIP.66	G+BOMB+0,5*V6+0,3*Q	1	85,64	0,65	85,64	0,64	ELU
	G+BOMB+0,5*V6+0,3*Q	2	92,93	0,65	92,93	0,64	ELU
HIP.67	G+BOMB+0,5*V7+0,3*Q	1	82,48	0,55	82,48	0,54	ELU
	G+BOMB+0,5*V7+0,3*Q	2	85,99	0,55	85,99	0,54	ELU
HIP.68	G+BOMB+0,5*V8+0,3*Q	1	81,28	0,51	81,28	0,51	ELU
	G+BOMB+0,5*V8+0,3*Q	2	84,13	0,51	84,13	0,51	ELU

Seccion (mm.)	e _x (m.)	e _y (m.)	Henc. (m.)
270	0,00	1,00	0,85
COMPROBACIÓN (compresión)	CUMPLE		
MAX. AXIL	104,49	(TON)	
MIN. AXIL	0,00	(TON)	
COMPROBACIÓN (tracción)	CUMPLE		
	L.1(m)		0,00
	L.2(m)		0,00
	L.Influenc.(m)		0,00
	CERRAM.(ton.)		0,00
	αx (inclinación)		0,00
	αy (inclinación)		0,00

Curva de resistencia axil-momento (en cualquier dirección)



Curva de resistencia axil-cortante



PILAR: P69



COMPROBACIÓN ESFUERZOS:

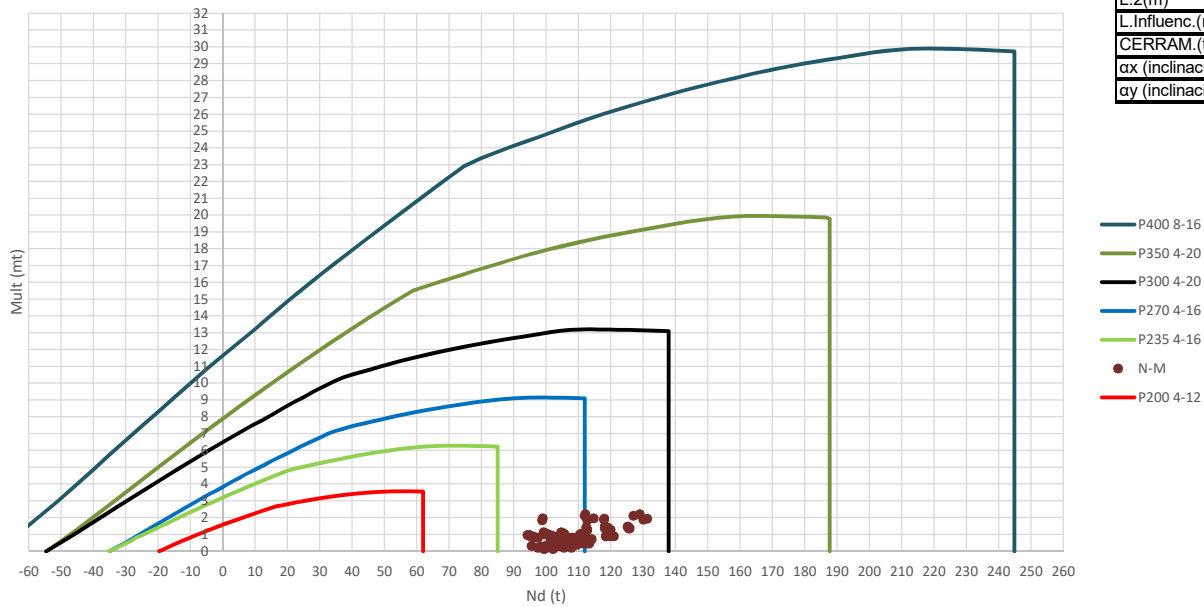
P18147P Parcela R20

	LC: COMB.	nº PILOTE	N _{pilote} (T) a ras de suelo	M ult. Pilote (mT)	N _{pilote} (T) a ras de suelo	V ult.-Pilote (T)	ESTADO LIMITE
HIP.1	G	1	76,20	1,13	76,20	1,12	ELS
	G	2	84,25	1,13	84,25	1,12	ELS
HIP.2	G+Q	1	90,29	1,39	90,29	1,38	ELS
	G+Q	2	99,78	1,39	99,78	1,38	ELS
HIP.3	G+V545	1	73,94	1,14	73,94	1,13	ELS
	G+V545	2	82,28	1,14	82,28	1,13	ELS
HIP.4	G+V546	1	74,05	1,12	74,05	1,11	ELS
	G+V546	2	82,21	1,12	82,21	1,11	ELS
HIP.5	G+V547	1	78,46	1,14	78,46	1,13	ELS
	G+V547	2	86,22	1,14	86,22	1,13	ELS
HIP.6	G+V548	1	78,35	1,15	78,35	1,14	ELS
	G+V548	2	86,28	1,15	86,28	1,14	ELS
HIP.7	G+V549	1	79,12	1,45	79,12	1,44	ELS
	G+V549	2	91,71	1,45	91,71	1,44	ELS
HIP.8	G+V550	1	78,16	1,52	78,16	1,51	ELS
	G+V550	2	92,09	1,52	92,09	1,51	ELS
HIP.9	G+V551	1	73,28	0,81	73,28	0,80	ELS
	G+V551	2	76,78	0,81	76,78	0,80	ELS
HIP.10	G+V552	1	74,25	0,75	74,25	0,74	ELS
	G+V552	2	76,40	0,75	76,40	0,74	ELS
HIP.11	G+Q+0,6*V545	1	88,93	1,39	88,93	1,38	ELS
	G+Q+0,6*V545	2	98,60	1,39	98,60	1,38	ELS
HIP.12	G+Q+0,6*V546	1	88,99	1,38	88,99	1,37	ELS
	G+Q+0,6*V546	2	98,56	1,38	98,56	1,37	ELS
HIP.13	G+Q+0,6*V547	1	91,64	1,40	91,64	1,39	ELS
	G+Q+0,6*V547	2	100,96	1,40	100,96	1,39	ELS
HIP.14	G+Q+0,6*V548	1	91,58	1,41	91,58	1,40	ELS
	G+Q+0,6*V548	2	101,00	1,41	101,00	1,40	ELS
HIP.15	G+Q+0,6*V549	1	92,04	1,59	92,04	1,57	ELS
	G+Q+0,6*V549	2	104,26	1,59	104,26	1,57	ELS
HIP.16	G+Q+0,6*V550	1	91,46	1,62	91,46	1,61	ELS
	G+Q+0,6*V550	2	104,49	1,62	104,49	1,61	ELS
HIP.17	G+Q+0,6*V551	1	88,54	1,20	88,54	1,19	ELS
	G+Q+0,6*V551	2	95,30	1,20	95,30	1,19	ELS
HIP.18	G+Q+0,6*V552	1	89,11	1,17	89,11	1,16	ELS
	G+Q+0,6*V552	2	95,07	1,17	95,07	1,16	ELS
HIP.19	G+V1+0,7*Q	1	83,80	1,31	83,80	1,30	ELS
	G+V1+0,7*Q	2	93,15	1,31	93,15	1,30	ELS
HIP.20	G+V2+0,7*Q	1	83,91	1,30	83,91	1,29	ELS
	G+V2+0,7*Q	2	93,08	1,30	93,08	1,29	ELS
HIP.21	G+V3+0,7*Q	1	88,32	1,33	88,32	1,32	ELS
	G+V3+0,7*Q	2	97,09	1,33	97,09	1,32	ELS
HIP.22	G+V4+0,7*Q	1	88,21	1,34	88,21	1,33	ELS
	G+V4+0,7*Q	2	97,16	1,34	97,16	1,33	ELS
HIP.23	G+V5+0,7*Q	1	88,98	1,63	88,98	1,62	ELS
	G+V5+0,7*Q	2	102,58	1,63	102,58	1,62	ELS
HIP.24	G+V6+0,7*Q	1	88,01	1,70	88,01	1,69	ELS
	G+V6+0,7*Q	2	102,97	1,70	102,97	1,69	ELS
HIP.25	G+V7+0,7*Q	1	83,14	0,99	83,14	0,98	ELS
	G+V7+0,7*Q	2	87,66	0,99	87,66	0,98	ELS
HIP.26	G+V8+0,7*Q	1	84,11	0,94	84,11	0,93	ELS
	G+V8+0,7*Q	2	87,28	0,94	87,28	0,93	ELS
HIP.27	G+Sx	1	80,17	0,73	80,17	0,72	ELU
	G+Sx	2	86,49	0,73	86,49	0,72	ELU
HIP.28	G-Sx	1	72,24	0,82	72,24	0,81	ELU
	G-Sx	2	82,00	0,82	82,00	0,81	ELU
HIP.29	G+Sy	1	81,43	0,68	81,43	0,67	ELU
	G+Sy	2	87,21	0,68	87,21	0,67	ELU
HIP.30	G-Sy	1	70,97	0,84	70,97	0,83	ELU
	G-Sy	2	81,29	0,84	81,29	0,83	ELU
HIP.31	G+Sx+0,3*Sy	1	81,73	0,71	81,73	0,70	ELU
	G+Sx+0,3*Sy	2	87,38	0,71	87,38	0,70	ELU
HIP.32	G+Sx-0,3*Sy	1	78,60	0,74	78,60	0,74	ELU
	G+Sx-0,3*Sy	2	85,61	0,74	85,61	0,74	ELU
HIP.33	G-Sx+0,3*Sy	1	73,81	0,79	73,81	0,78	ELU
	G-Sx+0,3*Sy	2	82,89	0,79	82,89	0,78	ELU
HIP.34	G-Sx-0,3*Sy	1	70,67	0,85	70,67	0,84	ELU
	G-Sx-0,3*Sy	2	81,11	0,85	81,11	0,84	ELU
HIP.35	G+Sy+0,3*Sx	1	82,62	0,67	82,62	0,67	ELU
	G+Sy+0,3*Sx	2	87,88	0,67	87,88	0,67	ELU
HIP.36	G+Sy-0,3*Sx	1	80,24	0,69	80,24	0,68	ELU
	G+Sy-0,3*Sx	2	86,53	0,69	86,53	0,68	ELU
HIP.37	G-Sy+0,3*Sx	1	72,16	0,82	72,16	0,81	ELU
	G-Sy+0,3*Sx	2	81,96	0,82	81,96	0,81	ELU
HIP.38	G-Sy-0,3*Sx	1	69,78	0,86	69,78	0,85	ELU
	G-Sy-0,3*Sx	2	80,61	0,86	80,61	0,85	ELU
HIP.39	G+Sx+0,3*Q	1	84,39	0,78	84,39	0,77	ELU
	G+Sx+0,3*Q	2	91,15	0,78	91,15	0,77	ELU
HIP.40	G-Sx+0,3*Q	1	76,46	0,86	76,46	0,86	ELU

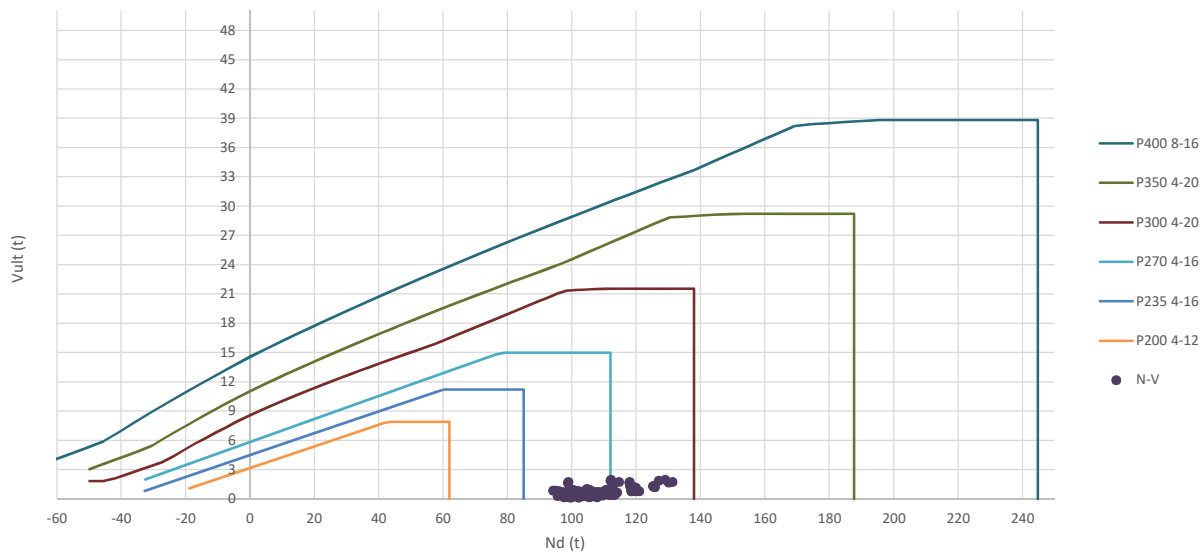
	G-Sx+0,3*Q	2	86,66	0,86	86,66	0,86	ELU
HIP.41	G+Sy+0,3*Q	1	85,66	0,73	85,66	0,73	ELU
	G+Sy+0,3*Q	2	91,87	0,73	91,87	0,73	ELU
HIP.42	G-Sy+0,3*Q	1	75,20	0,89	75,20	0,88	ELU
	G-Sy+0,3*Q	2	85,95	0,89	85,95	0,88	ELU
HIP.43	G+Sx+0,3*Sy+0,3*Q	1	85,96	0,76	85,96	0,76	ELU
	G+Sx+0,3*Sy+0,3*Q	2	92,04	0,76	92,04	0,76	ELU
HIP.44	G+Sx-0,3*Sy+0,3*Q	1	82,82	0,80	82,82	0,79	ELU
	G+Sx-0,3*Sy+0,3*Q	2	90,27	0,80	90,27	0,79	ELU
HIP.45	G-Sx+0,3*Sy+0,3*Q	1	78,03	0,84	78,03	0,83	ELU
	G-Sx+0,3*Sy+0,3*Q	2	87,55	0,84	87,55	0,83	ELU
HIP.46	G-Sx-0,3*Sy+0,3*Q	1	74,89	0,89	74,89	0,89	ELU
	G-Sx-0,3*Sy+0,3*Q	2	85,77	0,89	85,77	0,89	ELU
HIP.47	G+Sy+0,3*Sx+0,3*Q	1	86,85	0,73	86,85	0,72	ELU
	G+Sy+0,3*Sx+0,3*Q	2	92,54	0,73	92,54	0,72	ELU
HIP.48	G+Sy-0,3*Sx+0,3*Q	1	84,47	0,74	84,47	0,73	ELU
	G+Sy-0,3*Sx+0,3*Q	2	91,19	0,74	91,19	0,73	ELU
HIP.49	G-Sy+0,3*Sx+0,3*Q	1	76,38	0,87	76,38	0,86	ELU
	G-Sy+0,3*Sx+0,3*Q	2	86,62	0,87	86,62	0,86	ELU
HIP.50	G-Sy-0,3*Sx+0,3*Q	1	74,01	0,91	74,01	0,90	ELU
	G-Sy-0,3*Sx+0,3*Q	2	85,27	0,91	85,27	0,90	ELU
HIP.51	G+BOMB	1	77,69	0,59	77,69	0,58	ELU
	G+BOMB	2	82,96	0,59	82,96	0,58	ELU
HIP.52	G+BOMB+0,5*Q	1	84,73	0,68	84,73	0,67	ELU
	G+BOMB+0,5*Q	2	90,72	0,68	90,72	0,67	ELU
HIP.53	G+BOMB+0,5*V545	1	76,56	0,58	76,56	0,58	ELU
	G+BOMB+0,5*V545	2	81,97	0,58	81,97	0,58	ELU
HIP.54	G+BOMB+0,5*V546	1	76,61	0,58	76,61	0,57	ELU
	G+BOMB+0,5*V546	2	81,94	0,58	81,94	0,57	ELU
HIP.55	G+BOMB+0,5*V547	1	78,82	0,60	78,82	0,59	ELU
	G+BOMB+0,5*V547	2	83,94	0,60	83,94	0,59	ELU
HIP.56	G+BOMB+0,5*V548	1	78,77	0,60	78,77	0,59	ELU
	G+BOMB+0,5*V548	2	83,97	0,60	83,97	0,59	ELU
HIP.57	G+BOMB+0,5*V549	1	79,15	0,69	79,15	0,69	ELU
	G+BOMB+0,5*V549	2	86,69	0,69	86,69	0,69	ELU
HIP.58	G+BOMB+0,5*V550	1	78,67	0,71	78,67	0,71	ELU
	G+BOMB+0,5*V550	2	86,88	0,71	86,88	0,71	ELU
HIP.59	G+BOMB+0,5*V551	1	76,23	0,48	76,23	0,48	ELU
	G+BOMB+0,5*V551	2	79,22	0,48	79,22	0,48	ELU
HIP.60	G+BOMB+0,5*V552	1	76,71	0,47	76,71	0,46	ELU
	G+BOMB+0,5*V552	2	79,03	0,47	79,03	0,46	ELU
HIP.61	G+BOMB+0,5*V1+0,3*Q	1	80,79	0,64	80,79	0,63	ELU
	G+BOMB+0,5*V1+0,3*Q	2	86,63	0,64	86,63	0,63	ELU
HIP.62	G+BOMB+0,5*V2+0,3*Q	1	80,84	0,63	80,84	0,63	ELU
	G+BOMB+0,5*V2+0,3*Q	2	86,60	0,63	86,60	0,63	ELU
HIP.63	G+BOMB+0,5*V3+0,3*Q	1	83,05	0,65	83,05	0,64	ELU
	G+BOMB+0,5*V3+0,3*Q	2	88,60	0,65	88,60	0,64	ELU
HIP.64	G+BOMB+0,5*V4+0,3*Q	1	82,99	0,65	82,99	0,65	ELU
	G+BOMB+0,5*V4+0,3*Q	2	88,63	0,65	88,63	0,65	ELU
HIP.65	G+BOMB+0,5*V5+0,3*Q	1	83,38	0,75	83,38	0,74	ELU
	G+BOMB+0,5*V5+0,3*Q	2	91,35	0,75	91,35	0,74	ELU
HIP.66	G+BOMB+0,5*V6+0,3*Q	1	82,89	0,77	82,89	0,76	ELU
	G+BOMB+0,5*V6+0,3*Q	2	91,54	0,77	91,54	0,76	ELU
HIP.67	G+BOMB+0,5*V7+0,3*Q	1	80,46	0,53	80,46	0,53	ELU
	G+BOMB+0,5*V7+0,3*Q	2	83,89	0,53	83,89	0,53	ELU
HIP.68	G+BOMB+0,5*V8+0,3*Q	1	80,94	0,52	80,94	0,52	ELU
	G+BOMB+0,5*V8+0,3*Q	2	83,69	0,52	83,69	0,52	ELU

Seccion (mm.)	e _x (m.)	e _y (m.)	Henc. (m.)
300	0,00	1,20	0,95
COMPROBACIÓN (compresión)	CUMPLE		
MAX. AXIL	131,23		(TON)
MIN. AXIL	0,00		(TON)
COMPROBACIÓN (tracción)	CUMPLE		
L.1(m)	0,00		
L.2(m)	0,00		
L.Influenc.(m)	0,00		
CERRAM.(ton.)	0,00		
αx (inclinación)	0,00		
αy (inclinación)	0,00		

Curva de resistencia axil-momento (en cualquier dirección)



Curva de resistencia axil-cortante



PILAR: P70



COMPROBACIÓN ESFUERZOS:

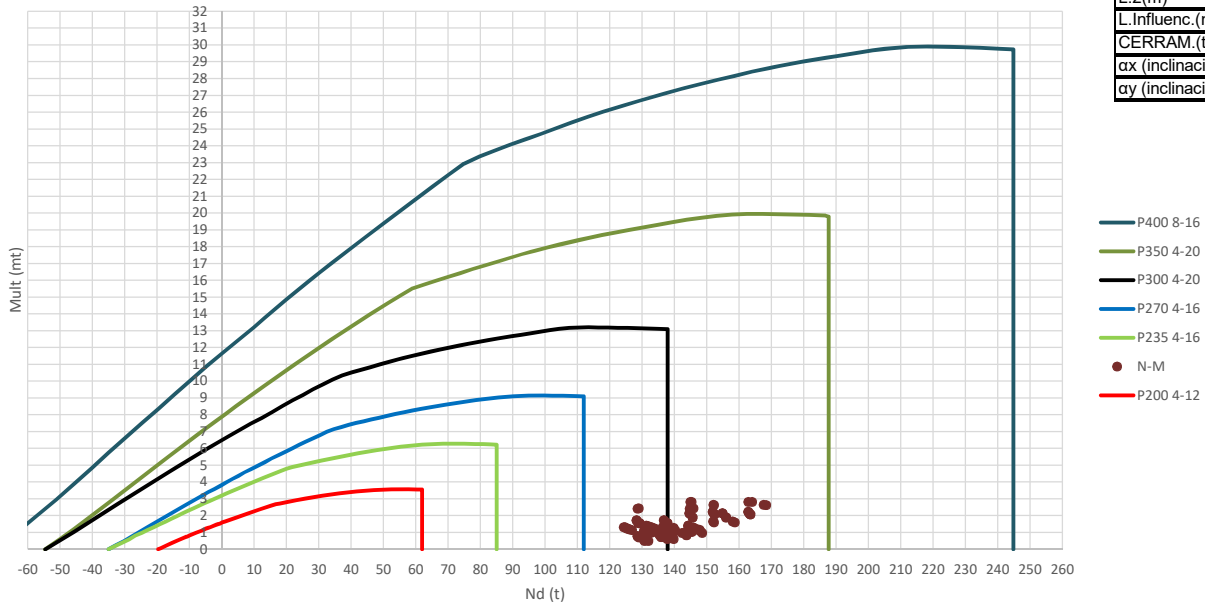
P18147P Parcela R20

	LC: COMB.	nº PILOTE	N _{pilote} (T) a ras de suelo	M ult. Pilote (mT)	N _{pilote} (T) a ras de suelo	V ult-Pilote (T)	ESTADO LIMITE
HIP.1	G	1	99,36	1,01	99,36	0,90	ELS
	G	2	105,08	1,01	105,08	0,90	ELS
HIP.2	G+Q	1	118,20	1,40	118,20	1,25	ELS
	G+Q	2	125,49	1,40	125,49	1,25	ELS
HIP.3	G+V553	1	99,49	1,05	99,49	0,94	ELS
	G+V553	2	105,61	1,05	105,61	0,94	ELS
HIP.4	G+V554	1	99,46	1,03	99,46	0,92	ELS
	G+V554	2	105,38	1,03	105,38	0,92	ELS
HIP.5	G+V555	1	99,22	1,14	99,22	1,01	ELS
	G+V555	2	104,56	1,14	104,56	1,01	ELS
HIP.6	G+V556	1	99,26	1,13	99,26	1,01	ELS
	G+V556	2	104,78	1,13	104,78	1,01	ELS
HIP.7	G+V557	1	98,76	1,84	98,76	1,64	ELS
	G+V557	2	112,67	1,84	112,67	1,64	ELS
HIP.8	G+V558	1	98,97	1,96	98,97	1,75	ELS
	G+V558	2	114,64	1,96	114,64	1,75	ELS
HIP.9	G+V559	1	99,95	0,21	99,95	0,19	ELS
	G+V559	2	97,50	0,21	97,50	0,19	ELS
HIP.10	G+V560	1	99,75	0,33	99,75	0,29	ELS
	G+V560	2	95,52	0,33	95,52	0,29	ELS
HIP.11	G+Q+0,6*V553	1	118,28	1,37	118,28	1,22	ELS
	G+Q+0,6*V553	2	125,80	1,37	125,80	1,22	ELS
HIP.12	G+Q+0,6*V554	1	118,26	1,36	118,26	1,22	ELS
	G+Q+0,6*V554	2	125,67	1,36	125,67	1,22	ELS
HIP.13	G+Q+0,6*V555	1	118,12	1,46	118,12	1,31	ELS
	G+Q+0,6*V555	2	125,17	1,46	125,17	1,31	ELS
HIP.14	G+Q+0,6*V556	1	118,14	1,46	118,14	1,30	ELS
	G+Q+0,6*V556	2	125,31	1,46	125,31	1,30	ELS
HIP.15	G+Q+0,6*V557	1	117,84	1,90	117,84	1,69	ELS
	G+Q+0,6*V557	2	130,04	1,90	130,04	1,69	ELS
HIP.16	G+Q+0,6*V558	1	117,97	1,95	117,97	1,74	ELS
	G+Q+0,6*V558	2	131,23	1,95	131,23	1,74	ELS
HIP.17	G+Q+0,6*V559	1	118,56	0,90	118,56	0,80	ELS
	G+Q+0,6*V559	2	120,94	0,90	120,94	0,80	ELS
HIP.18	G+Q+0,6*V560	1	118,43	0,89	118,43	0,80	ELS
	G+Q+0,6*V560	2	119,75	0,89	119,75	0,80	ELS
HIP.19	G+V1+0,7*Q	1	112,68	1,28	112,68	1,14	ELS
	G+V1+0,7*Q	2	119,89	1,28	119,89	1,14	ELS
HIP.20	G+V2+0,7*Q	1	112,65	1,26	112,65	1,12	ELS
	G+V2+0,7*Q	2	119,67	1,26	119,67	1,12	ELS
HIP.21	G+V3+0,7*Q	1	112,41	1,41	112,41	1,26	ELS
	G+V3+0,7*Q	2	118,84	1,41	118,84	1,26	ELS
HIP.22	G+V4+0,7*Q	1	112,45	1,40	112,45	1,25	ELS
	G+V4+0,7*Q	2	119,06	1,40	119,06	1,25	ELS
HIP.23	G+V5+0,7*Q	1	111,95	2,11	111,95	1,88	ELS
	G+V5+0,7*Q	2	126,95	2,11	126,95	1,88	ELS
HIP.24	G+V6+0,7*Q	1	112,16	2,21	112,16	1,97	ELS
	G+V6+0,7*Q	2	128,93	2,21	128,93	1,97	ELS
HIP.25	G+V7+0,7*Q	1	113,14	0,45	113,14	0,40	ELS
	G+V7+0,7*Q	2	111,78	0,45	111,78	0,40	ELS
HIP.26	G+V8+0,7*Q	1	112,94	0,53	112,94	0,48	ELS
	G+V8+0,7*Q	2	109,80	0,53	109,80	0,48	ELS
HIP.27	G+Sx	1	102,54	0,75	102,54	0,67	ELU
	G+Sx	2	105,50	0,76	105,50	0,68	ELU
HIP.28	G-Sx	1	96,17	0,88	96,17	0,79	ELU
	G-Sx	2	104,66	0,89	104,66	0,79	ELU
HIP.29	G+Sy	1	103,59	0,57	103,59	0,51	ELU
	G+Sy	2	105,57	0,57	105,57	0,51	ELU
HIP.30	G-Sy	1	95,13	0,90	95,13	0,80	ELU
	G-Sy	2	104,59	0,90	104,59	0,80	ELU
HIP.31	G+Sx+0,3*Sy	1	103,81	0,76	103,81	0,68	ELU
	G+Sx+0,3*Sy	2	105,65	0,78	105,65	0,69	ELU
HIP.32	G+Sx-0,3*Sy	1	101,27	0,75	101,27	0,67	ELU
	G+Sx-0,3*Sy	2	105,35	0,76	105,35	0,68	ELU
HIP.33	G-Sx+0,3*Sy	1	97,44	0,80	97,44	0,71	ELU
	G-Sx+0,3*Sy	2	104,81	0,80	104,81	0,72	ELU
HIP.34	G-Sx-0,3*Sy	1	94,90	0,97	94,90	0,87	ELU
	G-Sx-0,3*Sy	2	104,52	0,98	104,52	0,87	ELU
HIP.35	G+Sy+0,3*Sx	1	104,54	0,63	104,54	0,56	ELU
	G+Sy+0,3*Sx	2	105,69	0,63	105,69	0,57	ELU
HIP.36	G+Sy-0,3*Sx	1	102,63	0,54	102,63	0,48	ELU
	G+Sy-0,3*Sx	2	105,44	0,54	105,44	0,48	ELU
HIP.37	G-Sy+0,3*Sx	1	96,08	0,84	96,08	0,75	ELU
	G-Sy+0,3*Sx	2	104,72	0,84	104,72	0,75	ELU
HIP.38	G-Sy-0,3*Sx	1	94,17	0,97	94,17	0,86	ELU
	G-Sy-0,3*Sx	2	104,47	0,97	104,47	0,87	ELU
HIP.39	G+Sx+0,3*Q	1	108,19	0,82	108,19	0,73	ELU
	G+Sx+0,3*Q	2	111,62	0,84	111,62	0,75	ELU
HIP.40	G-Sx+0,3*Q	1	101,83	0,94	101,83	0,84	ELU

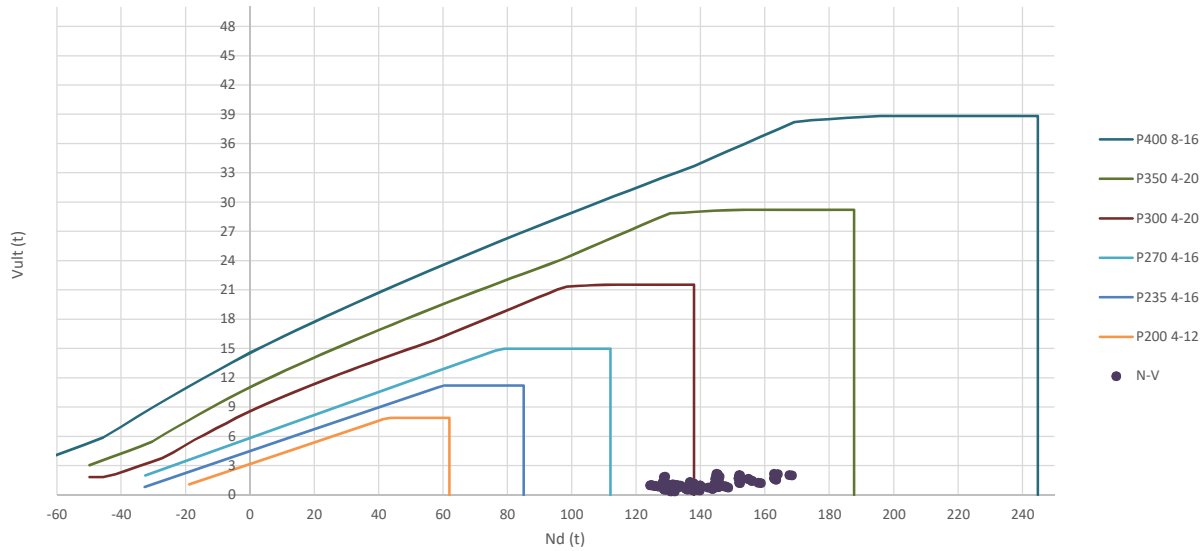
	G-Sx+0,3*Q	2	110,78	0,94	110,78	0,84	ELU
HIP.41	G+Sy+0,3*Q	1	109,24	0,65	109,24	0,58	ELU
	G+Sy+0,3*Q	2	111,69	0,65	111,69	0,58	ELU
HIP.42	G-Sy+0,3*Q	1	100,78	0,96	100,78	0,86	ELU
	G-Sy+0,3*Q	2	110,72	0,96	110,72	0,86	ELU
HIP.43	G+Sx+0,3*Sy+0,3*Q	1	109,46	0,83	109,46	0,74	ELU
	G+Sx+0,3*Sy+0,3*Q	2	111,77	0,85	111,77	0,76	ELU
HIP.44	G+Sx-0,3*Sy+0,3*Q	1	106,92	0,82	106,92	0,73	ELU
	G+Sx-0,3*Sy+0,3*Q	2	111,48	0,84	111,48	0,75	ELU
HIP.45	G-Sx+0,3*Sy+0,3*Q	1	103,10	0,85	103,10	0,76	ELU
	G-Sx+0,3*Sy+0,3*Q	2	110,93	0,86	110,93	0,77	ELU
HIP.46	G-Sx-0,3*Sy+0,3*Q	1	100,56	1,02	100,56	0,91	ELU
	G-Sx-0,3*Sy+0,3*Q	2	110,64	1,03	110,64	0,92	ELU
HIP.47	G+Sy+0,3*Sx+0,3*Q	1	110,20	0,70	110,20	0,63	ELU
	G+Sy+0,3*Sx+0,3*Q	2	111,82	0,71	111,82	0,63	ELU
HIP.48	G+Sy-0,3*Sx+0,3*Q	1	108,29	0,62	108,29	0,55	ELU
	G+Sy-0,3*Sx+0,3*Q	2	111,56	0,62	111,56	0,55	ELU
HIP.49	G-Sy+0,3*Sx+0,3*Q	1	101,73	0,91	101,73	0,81	ELU
	G-Sy+0,3*Sx+0,3*Q	2	110,84	0,91	110,84	0,81	ELU
HIP.50	G-Sy-0,3*Sx+0,3*Q	1	99,82	1,03	99,82	0,92	ELU
	G-Sy-0,3*Sx+0,3*Q	2	110,59	1,03	110,59	0,92	ELU
HIP.51	G+BOMB	1	101,80	0,38	101,80	0,34	ELU
	G+BOMB	2	103,16	0,38	103,16	0,34	ELU
HIP.52	G+BOMB+0,5*Q	1	111,22	0,51	111,22	0,45	ELU
	G+BOMB+0,5*Q	2	113,37	0,51	113,37	0,45	ELU
HIP.53	G+BOMB+0,5*V553	1	101,87	0,33	101,87	0,29	ELU
	G+BOMB+0,5*V553	2	103,42	0,33	103,42	0,29	ELU
HIP.54	G+BOMB+0,5*V554	1	101,85	0,33	101,85	0,29	ELU
	G+BOMB+0,5*V554	2	103,31	0,33	103,31	0,29	ELU
HIP.55	G+BOMB+0,5*V555	1	101,73	0,46	101,73	0,41	ELU
	G+BOMB+0,5*V555	2	102,90	0,46	102,90	0,41	ELU
HIP.56	G+BOMB+0,5*V556	1	101,75	0,46	101,75	0,41	ELU
	G+BOMB+0,5*V556	2	103,01	0,46	103,01	0,41	ELU
HIP.57	G+BOMB+0,5*V557	1	101,50	0,65	101,50	0,58	ELU
	G+BOMB+0,5*V557	2	106,95	0,65	106,95	0,58	ELU
HIP.58	G+BOMB+0,5*V558	1	101,60	0,65	101,60	0,58	ELU
	G+BOMB+0,5*V558	2	107,94	0,65	107,94	0,58	ELU
HIP.59	G+BOMB+0,5*V559	1	102,09	0,14	102,09	0,13	ELU
	G+BOMB+0,5*V559	2	99,37	0,14	99,37	0,13	ELU
HIP.60	G+BOMB+0,5*V560	1	101,99	0,26	101,99	0,24	ELU
	G+BOMB+0,5*V560	2	98,38	0,26	98,38	0,24	ELU
HIP.61	G+BOMB+0,5*V1+0,3*Q	1	107,52	0,41	107,52	0,36	ELU
	G+BOMB+0,5*V1+0,3*Q	2	109,55	0,41	109,55	0,36	ELU
HIP.62	G+BOMB+0,5*V2+0,3*Q	1	107,50	0,40	107,50	0,36	ELU
	G+BOMB+0,5*V2+0,3*Q	2	109,43	0,40	109,43	0,36	ELU
HIP.63	G+BOMB+0,5*V3+0,3*Q	1	107,38	0,54	107,38	0,48	ELU
	G+BOMB+0,5*V3+0,3*Q	2	109,02	0,54	109,02	0,48	ELU
HIP.64	G+BOMB+0,5*V4+0,3*Q	1	107,40	0,53	107,40	0,47	ELU
	G+BOMB+0,5*V4+0,3*Q	2	109,13	0,53	109,13	0,47	ELU
HIP.65	G+BOMB+0,5*V5+0,3*Q	1	107,15	0,73	107,15	0,65	ELU
	G+BOMB+0,5*V5+0,3*Q	2	113,08	0,73	113,08	0,65	ELU
HIP.66	G+BOMB+0,5*V6+0,3*Q	1	107,25	0,73	107,25	0,65	ELU
	G+BOMB+0,5*V6+0,3*Q	2	114,06	0,73	114,06	0,65	ELU
HIP.67	G+BOMB+0,5*V7+0,3*Q	1	107,75	0,21	107,75	0,18	ELU
	G+BOMB+0,5*V7+0,3*Q	2	105,49	0,21	105,49	0,18	ELU
HIP.68	G+BOMB+0,5*V8+0,3*Q	1	107,65	0,31	107,65	0,27	ELU
	G+BOMB+0,5*V8+0,3*Q	2	104,50	0,31	104,50	0,27	ELU

Seccion (mm.)	e _x (m.)	e _y (m.)	Henc. (m.)
350	0,00	1,25	1,25
COMPROBACIÓN (compresión)	CUMPLE		
MAX. AXIL	168,32		(TON)
MIN. AXIL	0,00		(TON)
COMPROBACIÓN (tracción)	CUMPLE		
L.1(m)	0,00		
L.2(m)	0,00		
L.Influenc.(m)	0,00		
CERRAM.(ton.)	0,00		
αx (inclinación)	0,00		
αy (inclinación)	0,00		

Curva de resistencia axil-momento (en cualquier dirección)



Curva de resistencia axil-cortante



PILAR: P71



COMPROBACIÓN ESFUERZOS:

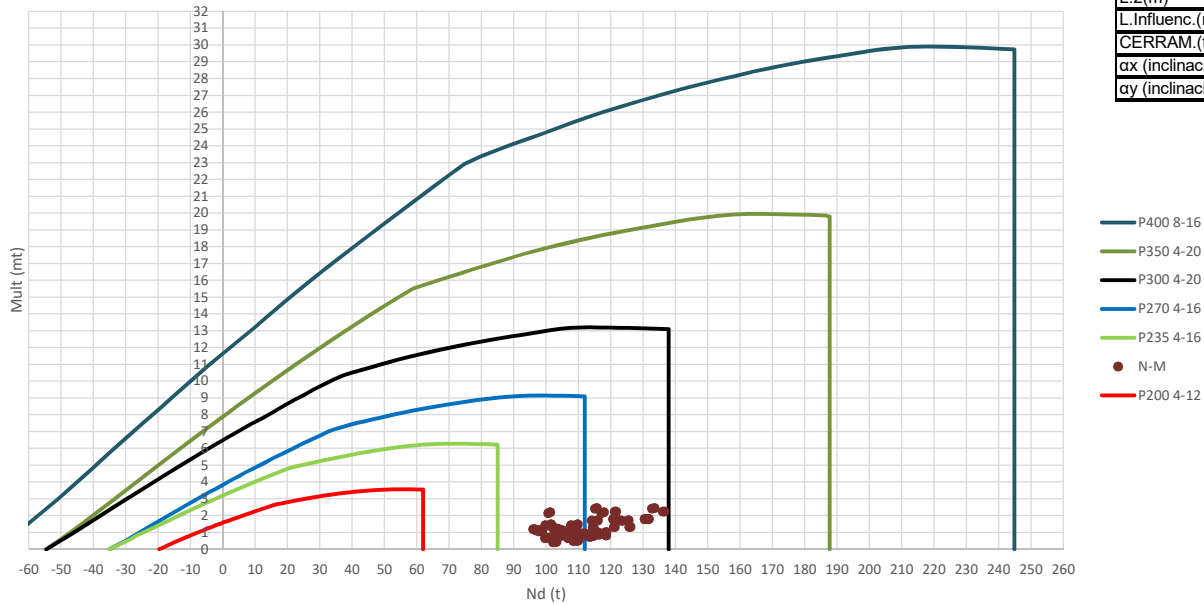
P18147P Parcela R20

	LC: COMB.	nº PILOTE	N _{pilote} (T) a ras de suelo	M ult. Pilote (mT)	N _{pilote} (T) a ras de suelo	V ult.-Pilote (T)	ESTADO LIMITE
HIP.1	G	1	128,73	1,56	128,73	1,19	ELS
	G	2	137,23	1,56	137,23	1,19	ELS
HIP.2	G+Q	1	152,08	2,13	152,08	1,63	ELS
	G+Q	2	163,13	2,13	163,13	1,63	ELS
HIP.3	G+V561	1	129,23	1,56	129,23	1,19	ELS
	G+V561	2	137,84	1,56	137,84	1,19	ELS
HIP.4	G+V562	1	129,19	1,54	129,19	1,18	ELS
	G+V562	2	137,72	1,54	137,72	1,18	ELS
HIP.5	G+V563	1	128,23	1,74	128,23	1,33	ELS
	G+V563	2	136,62	1,74	136,62	1,33	ELS
HIP.6	G+V564	1	128,28	1,72	128,28	1,32	ELS
	G+V564	2	136,74	1,72	136,74	1,32	ELS
HIP.7	G+V565	1	128,55	2,42	128,55	1,85	ELS
	G+V565	2	144,66	2,42	144,66	1,85	ELS
HIP.8	G+V566	1	128,95	2,44	128,95	1,86	ELS
	G+V566	2	145,87	2,44	145,87	1,86	ELS
HIP.9	G+V567	1	128,91	0,72	128,91	0,55	ELS
	G+V567	2	129,80	0,72	129,80	0,55	ELS
HIP.10	G+V568	1	128,51	0,79	128,51	0,60	ELS
	G+V568	2	128,59	0,79	128,59	0,60	ELS
HIP.11	G+Q+0,6*V561	1	152,38	2,07	152,38	1,58	ELS
	G+Q+0,6*V561	2	163,50	2,07	163,50	1,58	ELS
HIP.12	G+Q+0,6*V562	1	152,35	2,07	152,35	1,58	ELS
	G+Q+0,6*V562	2	163,42	2,07	163,42	1,58	ELS
HIP.13	G+Q+0,6*V563	1	151,78	2,23	151,78	1,71	ELS
	G+Q+0,6*V563	2	162,77	2,23	162,77	1,71	ELS
HIP.14	G+Q+0,6*V564	1	151,81	2,23	151,81	1,70	ELS
	G+Q+0,6*V564	2	162,84	2,23	162,84	1,70	ELS
HIP.15	G+Q+0,6*V565	1	151,97	2,65	151,97	2,03	ELS
	G+Q+0,6*V565	2	167,59	2,65	167,59	2,03	ELS
HIP.16	G+Q+0,6*V566	1	152,21	2,63	152,21	2,01	ELS
	G+Q+0,6*V566	2	168,32	2,63	168,32	2,01	ELS
HIP.17	G+Q+0,6*V567	1	152,19	1,61	152,19	1,23	ELS
	G+Q+0,6*V567	2	158,67	1,61	158,67	1,23	ELS
HIP.18	G+Q+0,6*V568	1	151,95	1,66	151,95	1,27	ELS
	G+Q+0,6*V568	2	157,95	1,66	157,95	1,27	ELS
HIP.19	G+V1+0,7*Q	1	145,58	1,90	145,58	1,46	ELS
	G+V1+0,7*Q	2	155,97	1,90	155,97	1,46	ELS
HIP.20	G+V2+0,7*Q	1	145,53	1,89	145,53	1,45	ELS
	G+V2+0,7*Q	2	155,85	1,89	155,85	1,45	ELS
HIP.21	G+V3+0,7*Q	1	144,57	2,15	144,57	1,64	ELS
	G+V3+0,7*Q	2	154,75	2,15	154,75	1,64	ELS
HIP.22	G+V4+0,7*Q	1	144,62	2,14	144,62	1,63	ELS
	G+V4+0,7*Q	2	154,87	2,14	154,87	1,63	ELS
HIP.23	G+V5+0,7*Q	1	144,90	2,82	144,90	2,16	ELS
	G+V5+0,7*Q	2	162,79	2,82	162,79	2,16	ELS
HIP.24	G+V6+0,7*Q	1	145,30	2,82	145,30	2,15	ELS
	G+V6+0,7*Q	2	164,00	2,82	164,00	2,15	ELS
HIP.25	G+V7+0,7*Q	1	145,25	1,10	145,25	0,84	ELS
	G+V7+0,7*Q	2	147,93	1,10	147,93	0,84	ELS
HIP.26	G+V8+0,7*Q	1	144,86	1,20	144,86	0,92	ELS
	G+V8+0,7*Q	2	146,72	1,20	146,72	0,92	ELS
HIP.27	G+Sx	1	131,69	1,16	131,69	0,88	ELU
	G+Sx	2	137,94	1,17	137,94	0,89	ELU
HIP.28	G-Sx	1	125,78	1,23	125,78	0,94	ELU
	G-Sx	2	136,51	1,24	136,51	0,94	ELU
HIP.29	G+Sy	1	132,32	0,95	132,32	0,73	ELU
	G+Sy	2	137,69	0,95	137,69	0,73	ELU
HIP.30	G-Sy	1	125,15	1,24	125,15	0,95	ELU
	G-Sy	2	136,77	1,24	136,77	0,95	ELU
HIP.31	G+Sx+0,3*Sy	1	132,76	1,17	132,76	0,90	ELU
	G+Sx+0,3*Sy	2	138,08	1,19	138,08	0,91	ELU
HIP.32	G+Sx-0,3*Sy	1	130,61	1,15	130,61	0,88	ELU
	G+Sx-0,3*Sy	2	137,81	1,16	137,81	0,89	ELU
HIP.33	G-Sx+0,3*Sy	1	126,85	1,14	126,85	0,87	ELU
	G-Sx+0,3*Sy	2	136,65	1,15	136,65	0,88	ELU
HIP.34	G-Sx-0,3*Sy	1	124,70	1,32	124,70	1,01	ELU
	G-Sx-0,3*Sy	2	136,38	1,33	136,38	1,02	ELU
HIP.35	G+Sy+0,3*Sx	1	133,20	1,02	133,20	0,78	ELU
	G+Sy+0,3*Sx	2	137,90	1,02	137,90	0,78	ELU
HIP.36	G+Sy-0,3*Sx	1	131,43	0,92	131,43	0,70	ELU
	G+Sy-0,3*Sx	2	137,47	0,91	137,47	0,70	ELU
HIP.37	G-Sy+0,3*Sx	1	126,03	1,19	126,03	0,91	ELU
	G-Sy+0,3*Sx	2	136,99	1,19	136,99	0,91	ELU
HIP.38	G-Sy-0,3*Sx	1	124,26	1,31	124,26	1,00	ELU
	G-Sy-0,3*Sx	2	136,56	1,32	136,56	1,01	ELU
HIP.39	G+Sx+0,3*Q	1	138,69	1,27	138,69	0,97	ELU
	G+Sx+0,3*Q	2	145,71	1,28	145,71	0,98	ELU
HIP.40	G-Sx+0,3*Q	1	132,78	1,32	132,78	1,01	ELU

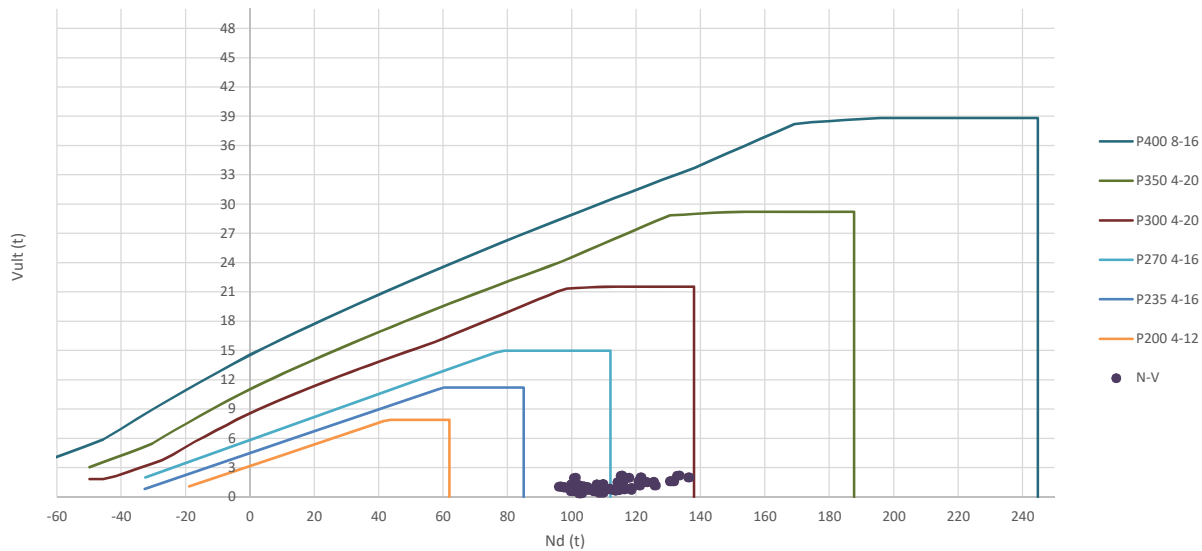
	G-Sx+0,3*Q	2	144,28	1,32	144,28	1,01	ELU
HIP.41	G+Sy+0,3*Q	1	139,32	1,07	139,32	0,82	ELU
	G+Sy+0,3*Q	2	145,46	1,07	145,46	0,82	ELU
HIP.42	G-Sy+0,3*Q	1	132,15	1,34	132,15	1,03	ELU
	G-Sy+0,3*Q	2	144,54	1,34	144,54	1,03	ELU
HIP.43	G+Sx+0,3*Sy+0,3*Q	1	139,77	1,29	139,77	0,98	ELU
	G+Sx+0,3*Sy+0,3*Q	2	145,85	1,30	145,85	0,99	ELU
HIP.44	G+Sx-0,3*Sy+0,3*Q	1	137,61	1,26	137,61	0,97	ELU
	G+Sx-0,3*Sy+0,3*Q	2	145,58	1,28	145,58	0,98	ELU
HIP.45	G-Sx+0,3*Sy+0,3*Q	1	133,86	1,23	133,86	0,94	ELU
	G-Sx+0,3*Sy+0,3*Q	2	144,42	1,24	144,42	0,95	ELU
HIP.46	G-Sx-0,3*Sy+0,3*Q	1	131,71	1,40	131,71	1,07	ELU
	G-Sx-0,3*Sy+0,3*Q	2	144,15	1,41	144,15	1,08	ELU
HIP.47	G+Sy+0,3*Sx+0,3*Q	1	140,21	1,13	140,21	0,87	ELU
	G+Sy+0,3*Sx+0,3*Q	2	145,67	1,14	145,67	0,87	ELU
HIP.48	G+Sy-0,3*Sx+0,3*Q	1	138,44	1,03	138,44	0,79	ELU
	G+Sy-0,3*Sx+0,3*Q	2	145,24	1,03	145,24	0,79	ELU
HIP.49	G-Sy+0,3*Sx+0,3*Q	1	133,04	1,30	133,04	0,99	ELU
	G-Sy+0,3*Sx+0,3*Q	2	144,76	1,30	144,76	0,99	ELU
HIP.50	G-Sy-0,3*Sx+0,3*Q	1	131,27	1,41	131,27	1,07	ELU
	G-Sy-0,3*Sx+0,3*Q	2	144,33	1,41	144,33	1,08	ELU
HIP.51	G+BOMB	1	130,62	0,78	130,62	0,60	ELU
	G+BOMB	2	135,65	0,78	135,65	0,60	ELU
HIP.52	G+BOMB+0,5*Q	1	142,30	0,97	142,30	0,75	ELU
	G+BOMB+0,5*Q	2	148,60	0,97	148,60	0,75	ELU
HIP.53	G+BOMB+0,5*V561	1	130,88	0,73	130,88	0,56	ELU
	G+BOMB+0,5*V561	2	135,95	0,73	135,95	0,56	ELU
HIP.54	G+BOMB+0,5*V562	1	130,85	0,73	130,85	0,56	ELU
	G+BOMB+0,5*V562	2	135,89	0,73	135,89	0,56	ELU
HIP.55	G+BOMB+0,5*V563	1	130,37	0,86	130,37	0,66	ELU
	G+BOMB+0,5*V563	2	135,34	0,86	135,34	0,66	ELU
HIP.56	G+BOMB+0,5*V564	1	130,40	0,86	130,40	0,66	ELU
	G+BOMB+0,5*V564	2	135,40	0,86	135,40	0,66	ELU
HIP.57	G+BOMB+0,5*V565	1	130,54	1,07	130,54	0,82	ELU
	G+BOMB+0,5*V565	2	139,36	1,07	139,36	0,82	ELU
HIP.58	G+BOMB+0,5*V566	1	130,73	1,05	130,73	0,80	ELU
	G+BOMB+0,5*V566	2	139,97	1,05	139,97	0,80	ELU
HIP.59	G+BOMB+0,5*V567	1	130,71	0,49	130,71	0,37	ELU
	G+BOMB+0,5*V567	2	131,93	0,49	131,93	0,37	ELU
HIP.60	G+BOMB+0,5*V568	1	130,52	0,56	130,52	0,42	ELU
	G+BOMB+0,5*V568	2	131,33	0,56	131,33	0,42	ELU
HIP.61	G+BOMB+0,5*V1+0,3*Q	1	137,88	0,84	137,88	0,64	ELU
	G+BOMB+0,5*V1+0,3*Q	2	143,72	0,84	143,72	0,64	ELU
HIP.62	G+BOMB+0,5*V2+0,3*Q	1	137,86	0,84	137,86	0,64	ELU
	G+BOMB+0,5*V2+0,3*Q	2	143,66	0,84	143,66	0,64	ELU
HIP.63	G+BOMB+0,5*V3+0,3*Q	1	137,38	0,98	137,38	0,75	ELU
	G+BOMB+0,5*V3+0,3*Q	2	143,11	0,98	143,11	0,75	ELU
HIP.64	G+BOMB+0,5*V4+0,3*Q	1	137,40	0,98	137,40	0,75	ELU
	G+BOMB+0,5*V4+0,3*Q	2	143,17	0,98	143,17	0,75	ELU
HIP.65	G+BOMB+0,5*V5+0,3*Q	1	137,54	1,19	137,54	0,91	ELU
	G+BOMB+0,5*V5+0,3*Q	2	147,13	1,19	147,13	0,91	ELU
HIP.66	G+BOMB+0,5*V6+0,3*Q	1	137,74	1,16	137,74	0,89	ELU
	G+BOMB+0,5*V6+0,3*Q	2	147,74	1,16	147,74	0,89	ELU
HIP.67	G+BOMB+0,5*V7+0,3*Q	1	137,72	0,61	137,72	0,46	ELU
	G+BOMB+0,5*V7+0,3*Q	2	139,70	0,61	139,70	0,46	ELU
HIP.68	G+BOMB+0,5*V8+0,3*Q	1	137,52	0,67	137,52	0,51	ELU
	G+BOMB+0,5*V8+0,3*Q	2	139,10	0,67	139,10	0,51	ELU

Seccion (mm.)	e _x (m.)	e _y (m.)	Henc. (m.)
300	0,00	1,20	0,95
COMPROBACIÓN (compresión)	CUMPLE		
MAX. AXIL	136,55	(TON)	
MIN. AXIL	0,00	(TON)	
COMPROBACIÓN (tracción)	CUMPLE		
	L.1(m)	0,00	
	L.2(m)	0,00	
	L.Influenc.(m)	0,00	
	CERRAM.(ton.)	0,00	
	αx (inclinación)	0,00	
	αy (inclinación)	0,00	

Curva de resistencia axil-momento (en cualquier dirección)



Curva de resistencia axil-cortante



PILAR: P72



COMPROBACIÓN ESFUERZOS:

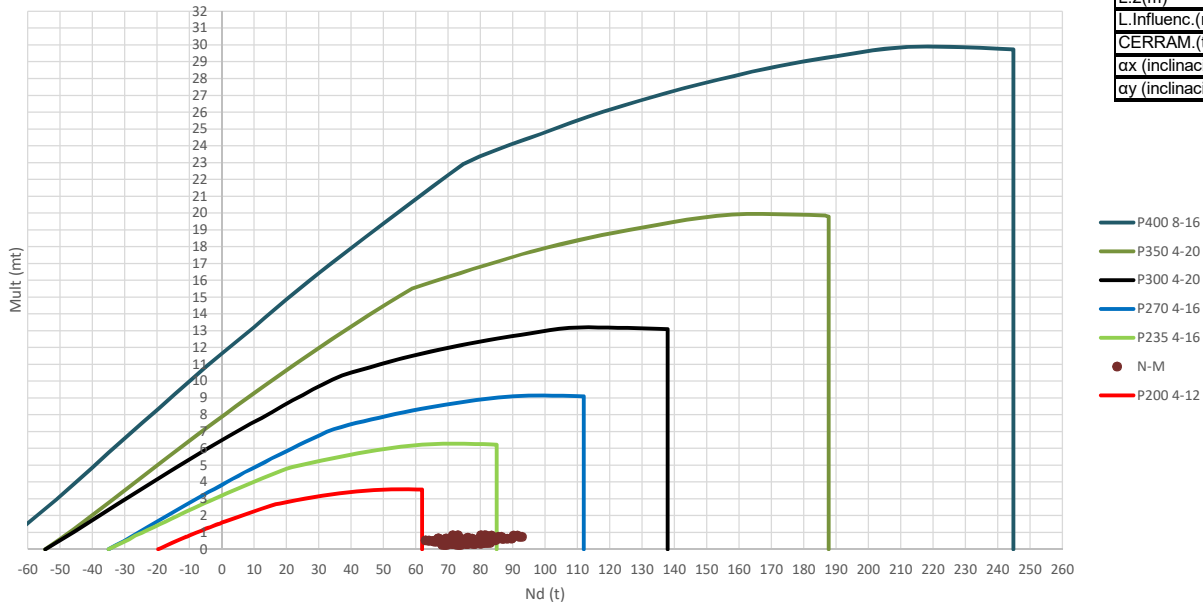
P18147P Parcela R20

	LC: COMB.	nº PILOTE	N _{pilote} (T) a ras de suelo	M ult. Pilote (mT)	N _{pilote} (T) a ras de suelo	V ult.-Pilote (T)	ESTADO LIMITE
HIP.1	G	1	100,61	1,41	100,61	1,26	ELS
	G	2	108,71	1,41	108,71	1,26	ELS
HIP.2	G+Q	1	121,24	1,79	121,24	1,60	ELS
	G+Q	2	131,09	1,79	131,09	1,60	ELS
HIP.3	G+V569	1	99,69	1,44	99,69	1,28	ELS
	G+V569	2	107,66	1,44	107,66	1,28	ELS
HIP.4	G+V570	1	99,77	1,43	99,77	1,28	ELS
	G+V570	2	107,75	1,43	107,75	1,28	ELS
HIP.5	G+V571	1	101,54	1,49	101,54	1,33	ELS
	G+V571	2	109,77	1,49	109,77	1,33	ELS
HIP.6	G+V572	1	101,46	1,48	101,46	1,32	ELS
	G+V572	2	109,68	1,48	109,68	1,32	ELS
HIP.7	G+V573	1	101,19	2,21	101,19	1,97	ELS
	G+V573	2	117,82	2,21	117,82	1,97	ELS
HIP.8	G+V574	1	100,65	2,16	100,65	1,93	ELS
	G+V574	2	117,03	2,16	117,03	1,93	ELS
HIP.9	G+V575	1	100,04	0,67	100,04	0,60	ELS
	G+V575	2	99,61	0,67	99,61	0,60	ELS
HIP.10	G+V576	1	100,58	0,68	100,58	0,61	ELS
	G+V576	2	100,40	0,68	100,40	0,61	ELS
HIP.11	G+Q+0,6*V569	1	120,68	1,81	120,68	1,61	ELS
	G+Q+0,6*V569	2	130,46	1,81	130,46	1,61	ELS
HIP.12	G+Q+0,6*V570	1	120,73	1,80	120,73	1,61	ELS
	G+Q+0,6*V570	2	130,51	1,80	130,51	1,61	ELS
HIP.13	G+Q+0,6*V571	1	121,79	1,81	121,79	1,61	ELS
	G+Q+0,6*V571	2	131,73	1,81	131,73	1,61	ELS
HIP.14	G+Q+0,6*V572	1	121,75	1,81	121,75	1,61	ELS
	G+Q+0,6*V572	2	131,67	1,81	131,67	1,61	ELS
HIP.15	G+Q+0,6*V573	1	121,58	2,26	121,58	2,01	ELS
	G+Q+0,6*V573	2	136,55	2,26	136,55	2,01	ELS
HIP.16	G+Q+0,6*V574	1	121,26	2,24	121,26	2,00	ELS
	G+Q+0,6*V574	2	136,08	2,24	136,08	2,00	ELS
HIP.17	G+Q+0,6*V575	1	120,89	1,34	120,89	1,20	ELS
	G+Q+0,6*V575	2	125,63	1,34	125,63	1,20	ELS
HIP.18	G+Q+0,6*V576	1	121,21	1,34	121,21	1,20	ELS
	G+Q+0,6*V576	2	126,10	1,34	126,10	1,20	ELS
HIP.19	G+V1+0,7*Q	1	114,13	1,71	114,13	1,53	ELS
	G+V1+0,7*Q	2	123,32	1,71	123,32	1,53	ELS
HIP.20	G+V2+0,7*Q	1	114,21	1,70	114,21	1,52	ELS
	G+V2+0,7*Q	2	123,41	1,70	123,41	1,52	ELS
HIP.21	G+V3+0,7*Q	1	115,97	1,73	115,97	1,55	ELS
	G+V3+0,7*Q	2	125,44	1,73	125,44	1,55	ELS
HIP.22	G+V4+0,7*Q	1	115,90	1,73	115,90	1,54	ELS
	G+V4+0,7*Q	2	125,34	1,73	125,34	1,54	ELS
HIP.23	G+V5+0,7*Q	1	115,63	2,46	115,63	2,20	ELS
	G+V5+0,7*Q	2	133,48	2,46	133,48	2,20	ELS
HIP.24	G+V6+0,7*Q	1	115,09	2,43	115,09	2,17	ELS
	G+V6+0,7*Q	2	132,69	2,43	132,69	2,17	ELS
HIP.25	G+V7+0,7*Q	1	114,47	0,95	114,47	0,84	ELS
	G+V7+0,7*Q	2	115,27	0,95	115,27	0,84	ELS
HIP.26	G+V8+0,7*Q	1	115,01	0,93	115,01	0,83	ELS
	G+V8+0,7*Q	2	116,07	0,93	116,07	0,83	ELS
HIP.27	G+Sx	1	103,60	0,92	103,60	0,82	ELU
	G+Sx	2	109,40	0,93	109,40	0,83	ELU
HIP.28	G-Sx	1	97,63	1,14	97,63	1,02	ELU
	G-Sx	2	108,03	1,14	108,03	1,02	ELU
HIP.29	G+Sy	1	104,36	0,81	104,36	0,72	ELU
	G+Sy	2	109,50	0,81	109,50	0,72	ELU
HIP.30	G-Sy	1	96,87	1,13	96,87	1,01	ELU
	G-Sy	2	107,93	1,13	107,93	1,01	ELU
HIP.31	G+Sx+0,3*Sy	1	104,73	0,91	104,73	0,81	ELU
	G+Sx+0,3*Sy	2	109,64	0,92	109,64	0,82	ELU
HIP.32	G+Sx-0,3*Sy	1	102,48	0,94	102,48	0,84	ELU
	G+Sx-0,3*Sy	2	109,17	0,95	109,17	0,84	ELU
HIP.33	G-Sx+0,3*Sy	1	98,75	1,07	98,75	0,95	ELU
	G-Sx+0,3*Sy	2	108,26	1,07	108,26	0,96	ELU
HIP.34	G-Sx-0,3*Sy	1	96,50	1,21	96,50	1,08	ELU
	G-Sx-0,3*Sy	2	107,79	1,22	107,79	1,09	ELU
HIP.35	G+Sy+0,3*Sx	1	105,26	0,82	105,26	0,73	ELU
	G+Sy+0,3*Sx	2	109,70	0,82	109,70	0,73	ELU
HIP.36	G+Sy-0,3*Sx	1	103,47	0,82	103,47	0,73	ELU
	G+Sy-0,3*Sx	2	109,29	0,82	109,29	0,73	ELU
HIP.37	G-Sy+0,3*Sx	1	97,76	1,08	97,76	0,96	ELU
	G-Sy+0,3*Sx	2	108,14	1,08	108,14	0,96	ELU
HIP.38	G-Sy-0,3*Sx	1	95,97	1,20	95,97	1,07	ELU
	G-Sy-0,3*Sx	2	107,73	1,20	107,73	1,07	ELU
HIP.39	G+Sx+0,3*Q	1	109,79	0,98	109,79	0,87	ELU
	G+Sx+0,3*Q	2	116,11	0,99	116,11	0,88	ELU
HIP.40	G-Sx+0,3*Q	1	103,81	1,22	103,81	1,09	ELU

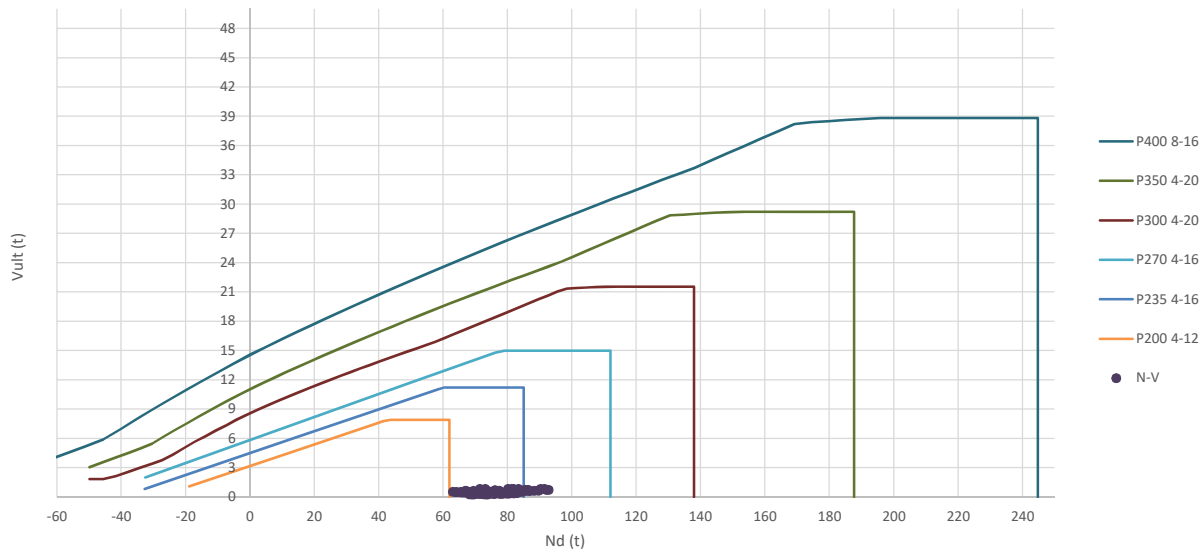
	G-Sx+0,3*Q	2	114,74	1,22	114,74	1,09	ELU
HIP.41	G+Sy+0,3*Q	1	110,55	0,88	110,55	0,78	ELU
	G+Sy+0,3*Q	2	116,21	0,88	116,21	0,78	ELU
HIP.42	G-Sy+0,3*Q	1	103,05	1,21	103,05	1,08	ELU
	G-Sy+0,3*Q	2	114,64	1,21	114,64	1,08	ELU
HIP.43	G+Sx+0,3*Sy+0,3*Q	1	110,91	0,96	110,91	0,86	ELU
	G+Sx+0,3*Sy+0,3*Q	2	116,35	0,97	116,35	0,87	ELU
HIP.44	G+Sx-0,3*Sy+0,3*Q	1	108,67	1,00	108,67	0,89	ELU
	G+Sx-0,3*Sy+0,3*Q	2	115,88	1,01	115,88	0,90	ELU
HIP.45	G-Sx+0,3*Sy+0,3*Q	1	104,94	1,15	104,94	1,02	ELU
	G-Sx+0,3*Sy+0,3*Q	2	114,97	1,15	114,97	1,03	ELU
HIP.46	G-Sx-0,3*Sy+0,3*Q	1	102,69	1,29	102,69	1,15	ELU
	G-Sx-0,3*Sy+0,3*Q	2	114,51	1,29	114,51	1,15	ELU
HIP.47	G+Sy+0,3*Sx+0,3*Q	1	111,45	0,88	111,45	0,79	ELU
	G+Sy+0,3*Sx+0,3*Q	2	116,42	0,88	116,42	0,79	ELU
HIP.48	G+Sy-0,3*Sx+0,3*Q	1	109,65	0,89	109,65	0,80	ELU
	G+Sy-0,3*Sx+0,3*Q	2	116,00	0,89	116,00	0,80	ELU
HIP.49	G-Sy+0,3*Sx+0,3*Q	1	103,95	1,15	103,95	1,03	ELU
	G-Sy+0,3*Sx+0,3*Q	2	114,85	1,15	114,85	1,03	ELU
HIP.50	G-Sy-0,3*Sx+0,3*Q	1	102,16	1,27	102,16	1,14	ELU
	G-Sy-0,3*Sx+0,3*Q	2	114,44	1,28	114,44	1,14	ELU
HIP.51	G+BOMB	1	102,44	0,69	102,44	0,62	ELU
	G+BOMB	2	107,34	0,69	107,34	0,62	ELU
HIP.52	G+BOMB+0,5*Q	1	112,75	0,81	112,75	0,73	ELU
	G+BOMB+0,5*Q	2	118,53	0,81	118,53	0,73	ELU
HIP.53	G+BOMB+0,5*V569	1	101,98	0,68	101,98	0,61	ELU
	G+BOMB+0,5*V569	2	106,81	0,68	106,81	0,61	ELU
HIP.54	G+BOMB+0,5*V570	1	102,02	0,68	102,02	0,61	ELU
	G+BOMB+0,5*V570	2	106,85	0,68	106,85	0,61	ELU
HIP.55	G+BOMB+0,5*V571	1	102,90	0,73	102,90	0,65	ELU
	G+BOMB+0,5*V571	2	107,87	0,73	107,87	0,65	ELU
HIP.56	G+BOMB+0,5*V572	1	102,86	0,73	102,86	0,65	ELU
	G+BOMB+0,5*V572	2	107,82	0,73	107,82	0,65	ELU
HIP.57	G+BOMB+0,5*V573	1	102,73	0,96	102,73	0,86	ELU
	G+BOMB+0,5*V573	2	111,89	0,96	111,89	0,86	ELU
HIP.58	G+BOMB+0,5*V574	1	102,46	0,94	102,46	0,84	ELU
	G+BOMB+0,5*V574	2	111,49	0,94	111,49	0,84	ELU
HIP.59	G+BOMB+0,5*V575	1	102,15	0,43	102,15	0,38	ELU
	G+BOMB+0,5*V575	2	102,79	0,43	102,79	0,38	ELU
HIP.60	G+BOMB+0,5*V576	1	102,42	0,46	102,42	0,41	ELU
	G+BOMB+0,5*V576	2	103,18	0,46	103,18	0,41	ELU
HIP.61	G+BOMB+0,5*V1+0,3*Q	1	108,17	0,75	108,17	0,67	ELU
	G+BOMB+0,5*V1+0,3*Q	2	113,52	0,75	113,52	0,67	ELU
HIP.62	G+BOMB+0,5*V2+0,3*Q	1	108,21	0,75	108,21	0,67	ELU
	G+BOMB+0,5*V2+0,3*Q	2	113,57	0,75	113,57	0,67	ELU
HIP.63	G+BOMB+0,5*V3+0,3*Q	1	109,09	0,80	109,09	0,71	ELU
	G+BOMB+0,5*V3+0,3*Q	2	114,58	0,80	114,58	0,71	ELU
HIP.64	G+BOMB+0,5*V4+0,3*Q	1	109,05	0,79	109,05	0,71	ELU
	G+BOMB+0,5*V4+0,3*Q	2	114,53	0,79	114,53	0,71	ELU
HIP.65	G+BOMB+0,5*V5+0,3*Q	1	108,92	1,03	108,92	0,92	ELU
	G+BOMB+0,5*V5+0,3*Q	2	118,60	1,03	118,60	0,92	ELU
HIP.66	G+BOMB+0,5*V6+0,3*Q	1	108,65	1,01	108,65	0,90	ELU
	G+BOMB+0,5*V6+0,3*Q	2	118,21	1,01	118,21	0,90	ELU
HIP.67	G+BOMB+0,5*V7+0,3*Q	1	108,34	0,50	108,34	0,45	ELU
	G+BOMB+0,5*V7+0,3*Q	2	109,50	0,50	109,50	0,45	ELU
HIP.68	G+BOMB+0,5*V8+0,3*Q	1	108,61	0,53	108,61	0,47	ELU
	G+BOMB+0,5*V8+0,3*Q	2	109,89	0,53	109,89	0,47	ELU

Seccion (mm.)	e _x (m.)	e _y (m.)	Henc. (m.)
270	0,00	1,00	0,85
COMPROBACIÓN (compresión)	CUMPLE		
MAX. AXIL	92,76	(TON)	
MIN. AXIL	0,00	(TON)	
COMPROBACIÓN (tracción)	CUMPLE		
	L.1(m)	0,00	
	L.2(m)	0,00	
	L.Influenc.(m)	0,00	
	CERRAM.(ton.)	0,00	
	αx (inclinación)	0,00	
	αy (inclinación)	0,00	

Curva de resistencia axil-momento (en cualquier dirección)



Curva de resistencia axil-cortante



PILAR: P73



COMPROBACIÓN ESFUERZOS:

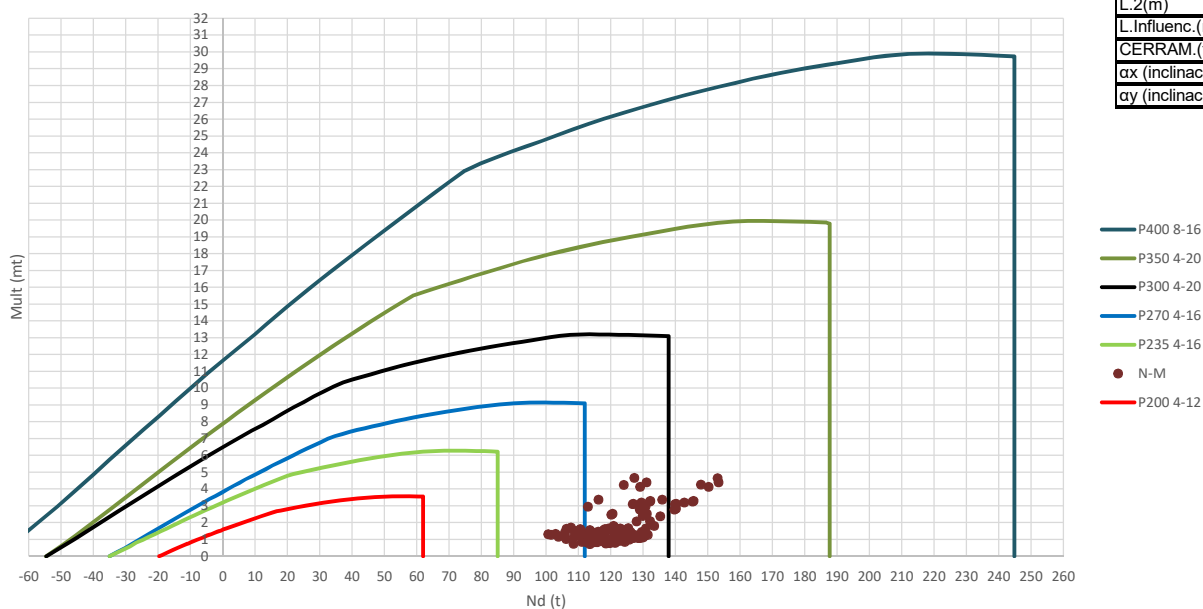
P18147P Parcela R20

	LC: COMB.	nº PILOTE	N _{pilote} (T) a ras de suelo	M ult. Pilote (mT)	N _{pilote} (T) a ras de suelo	V ult.-Pilote (T)	ESTADO LIMITE
HIP.1	G	1	69,34	0,65	69,34	0,64	ELS
	G	2	73,80	0,65	73,80	0,64	ELS
HIP.2	G+Q	1	84,21	0,64	84,21	0,63	ELS
	G+Q	2	88,24	0,64	88,24	0,63	ELS
HIP.3	G+V577	1	71,78	0,69	71,78	0,68	ELS
	G+V577	2	76,12	0,69	76,12	0,68	ELS
HIP.4	G+V578	1	71,63	0,68	71,63	0,68	ELS
	G+V578	2	75,99	0,68	75,99	0,68	ELS
HIP.5	G+V579	1	66,90	0,64	66,90	0,64	ELS
	G+V579	2	71,48	0,64	71,48	0,64	ELS
HIP.6	G+V580	1	67,05	0,64	67,05	0,64	ELS
	G+V580	2	71,61	0,64	71,61	0,64	ELS
HIP.7	G+V581	1	71,37	0,84	71,37	0,83	ELS
	G+V581	2	80,12	0,84	80,12	0,83	ELS
HIP.8	G+V582	1	73,01	0,84	73,01	0,83	ELS
	G+V582	2	81,33	0,84	81,33	0,83	ELS
HIP.9	G+V583	1	67,30	0,49	67,30	0,48	ELS
	G+V583	2	67,48	0,49	67,48	0,48	ELS
HIP.10	G+V584	1	65,66	0,46	65,66	0,46	ELS
	G+V584	2	66,27	0,46	66,27	0,46	ELS
HIP.11	G+Q+0,6*V577	1	85,68	0,66	85,68	0,65	ELS
	G+Q+0,6*V577	2	89,64	0,66	89,64	0,65	ELS
HIP.12	G+Q+0,6*V578	1	85,59	0,66	85,59	0,65	ELS
	G+Q+0,6*V578	2	89,56	0,66	89,56	0,65	ELS
HIP.13	G+Q+0,6*V579	1	82,75	0,63	82,75	0,62	ELS
	G+Q+0,6*V579	2	86,85	0,63	86,85	0,62	ELS
HIP.14	G+Q+0,6*V580	1	82,84	0,63	82,84	0,62	ELS
	G+Q+0,6*V580	2	86,93	0,63	86,93	0,62	ELS
HIP.15	G+Q+0,6*V581	1	85,44	0,75	85,44	0,74	ELS
	G+Q+0,6*V581	2	92,04	0,75	92,04	0,74	ELS
HIP.16	G+Q+0,6*V582	1	86,42	0,75	86,42	0,74	ELS
	G+Q+0,6*V582	2	92,76	0,75	92,76	0,74	ELS
HIP.17	G+Q+0,6*V583	1	82,99	0,54	82,99	0,53	ELS
	G+Q+0,6*V583	2	84,45	0,54	84,45	0,53	ELS
HIP.18	G+Q+0,6*V584	1	82,01	0,53	82,01	0,52	ELS
	G+Q+0,6*V584	2	83,73	0,53	83,73	0,52	ELS
HIP.19	G+V1+0,7*Q	1	82,19	0,68	82,19	0,68	ELS
	G+V1+0,7*Q	2	86,23	0,68	86,23	0,68	ELS
HIP.20	G+V2+0,7*Q	1	82,04	0,68	82,04	0,67	ELS
	G+V2+0,7*Q	2	86,10	0,68	86,10	0,67	ELS
HIP.21	G+V3+0,7*Q	1	77,31	0,63	77,31	0,63	ELS
	G+V3+0,7*Q	2	81,59	0,63	81,59	0,63	ELS
HIP.22	G+V4+0,7*Q	1	77,46	0,63	77,46	0,63	ELS
	G+V4+0,7*Q	2	81,72	0,63	81,72	0,63	ELS
HIP.23	G+V5+0,7*Q	1	81,79	0,83	81,79	0,82	ELS
	G+V5+0,7*Q	2	90,23	0,83	90,23	0,82	ELS
HIP.24	G+V6+0,7*Q	1	83,42	0,83	83,42	0,82	ELS
	G+V6+0,7*Q	2	91,44	0,83	91,44	0,82	ELS
HIP.25	G+V7+0,7*Q	1	77,71	0,48	77,71	0,48	ELS
	G+V7+0,7*Q	2	77,59	0,48	77,59	0,48	ELS
HIP.26	G+V8+0,7*Q	1	76,08	0,46	76,08	0,45	ELS
	G+V8+0,7*Q	2	76,38	0,46	76,38	0,45	ELS
HIP.27	G+Sx	1	74,47	0,40	74,47	0,39	ELU
	G+Sx	2	77,78	0,40	77,78	0,39	ELU
HIP.28	G-Sx	1	64,20	0,52	64,20	0,51	ELU
	G-Sx	2	69,82	0,52	69,82	0,51	ELU
HIP.29	G+Sy	1	73,24	0,39	73,24	0,39	ELU
	G+Sy	2	76,37	0,39	76,37	0,39	ELU
HIP.30	G-Sy	1	65,44	0,49	65,44	0,48	ELU
	G-Sy	2	71,23	0,49	71,23	0,48	ELU
HIP.31	G+Sx+0,3*Sy	1	75,64	0,39	75,64	0,39	ELU
	G+Sx+0,3*Sy	2	78,55	0,39	78,55	0,39	ELU
HIP.32	G+Sx-0,3*Sy	1	73,30	0,41	73,30	0,40	ELU
	G+Sx-0,3*Sy	2	77,01	0,41	77,01	0,40	ELU
HIP.33	G-Sx+0,3*Sy	1	65,37	0,50	65,37	0,49	ELU
	G-Sx+0,3*Sy	2	70,59	0,50	70,59	0,49	ELU
HIP.34	G-Sx-0,3*Sy	1	63,03	0,54	63,03	0,53	ELU
	G-Sx-0,3*Sy	2	69,05	0,54	69,05	0,53	ELU
HIP.35	G+Sy+0,3*Sx	1	74,78	0,38	74,78	0,38	ELU
	G+Sy+0,3*Sx	2	77,57	0,38	77,57	0,38	ELU
HIP.36	G+Sy-0,3*Sx	1	71,70	0,40	71,70	0,40	ELU
	G+Sy-0,3*Sx	2	75,18	0,40	75,18	0,40	ELU
HIP.37	G-Sy+0,3*Sx	1	66,98	0,47	66,98	0,46	ELU
	G-Sy+0,3*Sx	2	72,42	0,47	72,42	0,46	ELU
HIP.38	G-Sy-0,3*Sx	1	63,90	0,52	63,90	0,51	ELU
	G-Sy-0,3*Sx	2	70,03	0,52	70,03	0,51	ELU
HIP.39	G+Sx+0,3*Q	1	78,93	0,40	78,93	0,39	ELU
	G+Sx+0,3*Q	2	82,11	0,40	82,11	0,39	ELU
HIP.40	G-Sx+0,3*Q	1	68,67	0,51	68,67	0,51	ELU

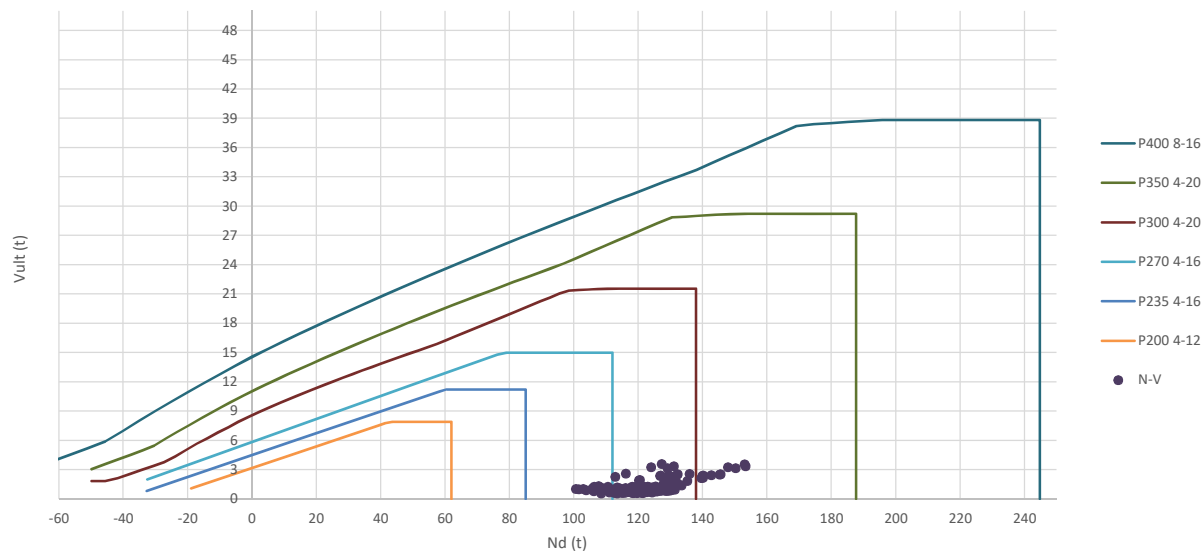
	G-Sx+0,3*Q	2	74,15	0,51	74,15	0,51	ELU
HIP.41	G+Sy+0,3*Q	1	77,70	0,39	77,70	0,38	ELU
	G+Sy+0,3*Q	2	80,71	0,39	80,71	0,38	ELU
HIP.42	G-Sy+0,3*Q	1	69,90	0,49	69,90	0,48	ELU
	G-Sy+0,3*Q	2	75,56	0,49	75,56	0,48	ELU
HIP.43	G+Sx+0,3*Sy+0,3*Q	1	80,10	0,39	80,10	0,39	ELU
	G+Sx+0,3*Sy+0,3*Q	2	82,89	0,39	82,89	0,39	ELU
HIP.44	G+Sx-0,3*Sy+0,3*Q	1	77,76	0,40	77,76	0,40	ELU
	G+Sx-0,3*Sy+0,3*Q	2	81,34	0,40	81,34	0,40	ELU
HIP.45	G-Sx+0,3*Sy+0,3*Q	1	69,84	0,49	69,84	0,49	ELU
	G-Sx+0,3*Sy+0,3*Q	2	74,92	0,49	74,92	0,49	ELU
HIP.46	G-Sx-0,3*Sy+0,3*Q	1	67,50	0,54	67,50	0,53	ELU
	G-Sx-0,3*Sy+0,3*Q	2	73,38	0,54	73,38	0,53	ELU
HIP.47	G+Sy+0,3*Sx+0,3*Q	1	79,24	0,38	79,24	0,38	ELU
	G+Sy+0,3*Sx+0,3*Q	2	81,90	0,38	81,90	0,38	ELU
HIP.48	G+Sy-0,3*Sx+0,3*Q	1	76,16	0,40	76,16	0,40	ELU
	G+Sy-0,3*Sx+0,3*Q	2	79,51	0,40	79,51	0,40	ELU
HIP.49	G-Sy+0,3*Sx+0,3*Q	1	71,44	0,46	71,44	0,46	ELU
	G-Sy+0,3*Sx+0,3*Q	2	76,75	0,46	76,75	0,46	ELU
HIP.50	G-Sy-0,3*Sx+0,3*Q	1	68,36	0,51	68,36	0,51	ELU
	G-Sy-0,3*Sx+0,3*Q	2	74,37	0,51	74,37	0,51	ELU
HIP.51	G+BOMB	1	69,99	0,33	69,99	0,33	ELU
	G+BOMB	2	72,79	0,33	72,79	0,33	ELU
HIP.52	G+BOMB+0,5*Q	1	77,43	0,32	77,43	0,32	ELU
	G+BOMB+0,5*Q	2	80,01	0,32	80,01	0,32	ELU
HIP.53	G+BOMB+0,5*V577	1	71,21	0,34	71,21	0,34	ELU
	G+BOMB+0,5*V577	2	73,95	0,34	73,95	0,34	ELU
HIP.54	G+BOMB+0,5*V578	1	71,14	0,34	71,14	0,33	ELU
	G+BOMB+0,5*V578	2	73,89	0,34	73,89	0,33	ELU
HIP.55	G+BOMB+0,5*V579	1	68,77	0,33	68,77	0,32	ELU
	G+BOMB+0,5*V579	2	71,63	0,33	71,63	0,32	ELU
HIP.56	G+BOMB+0,5*V580	1	68,85	0,33	68,85	0,32	ELU
	G+BOMB+0,5*V580	2	71,70	0,33	71,70	0,32	ELU
HIP.57	G+BOMB+0,5*V581	1	71,01	0,39	71,01	0,39	ELU
	G+BOMB+0,5*V581	2	75,95	0,39	75,95	0,39	ELU
HIP.58	G+BOMB+0,5*V582	1	71,83	0,39	71,83	0,39	ELU
	G+BOMB+0,5*V582	2	76,56	0,39	76,56	0,39	ELU
HIP.59	G+BOMB+0,5*V583	1	68,97	0,27	68,97	0,27	ELU
	G+BOMB+0,5*V583	2	69,63	0,27	69,63	0,27	ELU
HIP.60	G+BOMB+0,5*V584	1	68,16	0,27	68,16	0,26	ELU
	G+BOMB+0,5*V584	2	69,03	0,27	69,03	0,26	ELU
HIP.61	G+BOMB+0,5*V1+0,3*Q	1	75,68	0,34	75,68	0,33	ELU
	G+BOMB+0,5*V1+0,3*Q	2	78,29	0,34	78,29	0,33	ELU
HIP.62	G+BOMB+0,5*V2+0,3*Q	1	75,60	0,33	75,60	0,33	ELU
	G+BOMB+0,5*V2+0,3*Q	2	78,22	0,33	78,22	0,33	ELU
HIP.63	G+BOMB+0,5*V3+0,3*Q	1	73,24	0,32	73,24	0,32	ELU
	G+BOMB+0,5*V3+0,3*Q	2	75,97	0,32	75,97	0,32	ELU
HIP.64	G+BOMB+0,5*V4+0,3*Q	1	73,31	0,32	73,31	0,32	ELU
	G+BOMB+0,5*V4+0,3*Q	2	76,03	0,32	76,03	0,32	ELU
HIP.65	G+BOMB+0,5*V5+0,3*Q	1	75,48	0,39	75,48	0,39	ELU
	G+BOMB+0,5*V5+0,3*Q	2	80,29	0,39	80,29	0,39	ELU
HIP.66	G+BOMB+0,5*V6+0,3*Q	1	76,29	0,39	76,29	0,38	ELU
	G+BOMB+0,5*V6+0,3*Q	2	80,89	0,39	80,89	0,38	ELU
HIP.67	G+BOMB+0,5*V7+0,3*Q	1	73,44	0,27	73,44	0,27	ELU
	G+BOMB+0,5*V7+0,3*Q	2	73,97	0,27	73,97	0,27	ELU
HIP.68	G+BOMB+0,5*V8+0,3*Q	1	72,62	0,26	72,62	0,26	ELU
	G+BOMB+0,5*V8+0,3*Q	2	73,36	0,26	73,36	0,26	ELU

Seccion (mm.)	e _x (m.)	e _y (m.)	Henc. (m.)
350	0,00	1,25	1,25
COMPROBACIÓN (compresión)	CUMPLE		
MAX. AXIL	153,31	(TON)	
MIN. AXIL	0,00	(TON)	
COMPROBACIÓN (tracción)	CUMPLE		
	L.1(m)	0,00	
	L.2(m)	0,00	
	L.Influenc.(m)	0,00	
	CERRAM.(ton.)	0,00	
	αx (inclinación)	0,00	
	αy (inclinación)	0,00	

Curva de resistencia axil-momento (en cualquier dirección)



Curva de resistencia axil-cortante



PILAR: P74



COMPROBACIÓN ESFUERZOS:

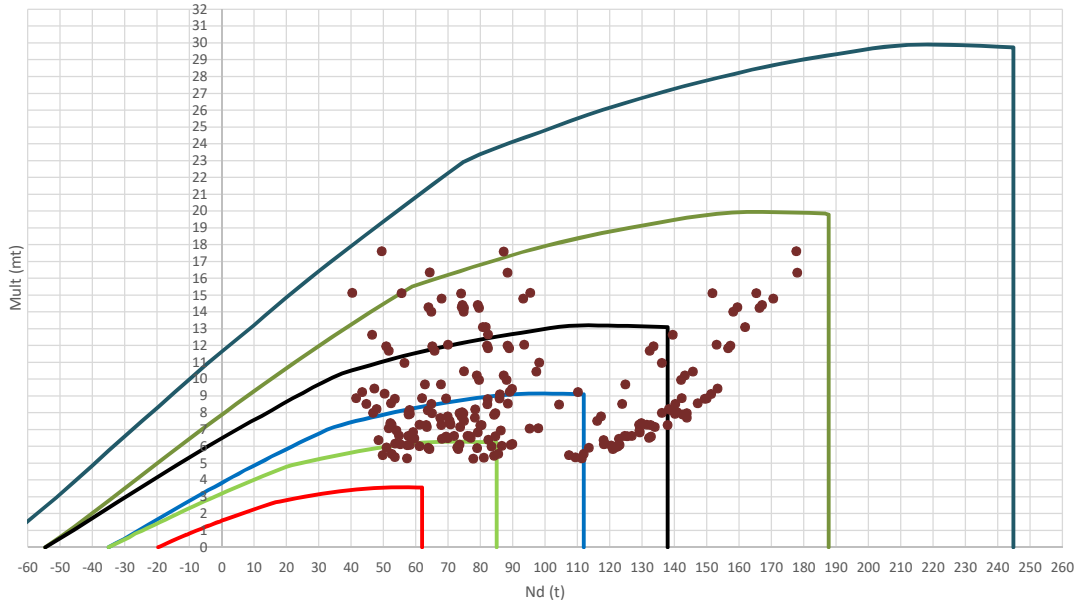
P18147P Parcela R20

	LC: COMB.	nº PILOTE	N _{pilote} (T) a ras de suelo	M ult. Pilote (mT)	N _{pilote} (T) a ras de suelo	V ult.-Pilote (T)	ESTADO LIMITE
HIP.1	G	1	113,57	1,42	113,57	1,08	ELS
	G	2	118,27	1,42	118,27	1,08	ELS
HIP.2	G+Q	1	129,47	3,20	129,47	2,44	ELS
	G+Q	2	142,72	3,20	142,72	2,44	ELS
HIP.3	G+V1	1	109,03	1,22	109,03	0,93	ELS
	G+V1	2	113,51	1,22	113,51	0,93	ELS
HIP.4	G+V2	1	109,36	1,27	109,36	0,97	ELS
	G+V2	2	114,04	1,27	114,04	0,97	ELS
HIP.5	G+V3	1	118,11	1,63	118,11	1,25	ELS
	G+V3	2	123,02	1,63	123,02	1,25	ELS
HIP.6	G+V4	1	117,77	1,57	117,77	1,20	ELS
	G+V4	2	122,49	1,57	122,49	1,20	ELS
HIP.7	G+V5	1	116,17	3,38	116,17	2,59	ELS
	G+V5	2	135,91	3,37	135,91	2,58	ELS
HIP.8	G+V6	1	112,88	2,96	112,88	2,27	ELS
	G+V6	2	130,74	2,97	130,74	2,27	ELS
HIP.9	G+V7	1	110,96	1,31	110,96	1,00	ELS
	G+V7	2	100,62	1,32	100,62	1,01	ELS
HIP.10	G+V8	1	114,25	1,43	114,25	1,09	ELS
	G+V8	2	105,79	1,40	105,79	1,07	ELS
HIP.11	G+Q+0,6°V1	1	126,75	3,10	126,75	2,37	ELS
	G+Q+0,6°V1	2	139,86	3,10	139,86	2,37	ELS
HIP.12	G+Q+0,6°V2	1	126,95	3,13	126,95	2,39	ELS
	G+Q+0,6°V2	2	140,19	3,13	140,19	2,39	ELS
HIP.13	G+Q+0,6°V3	1	132,20	3,30	132,20	2,52	ELS
	G+Q+0,6°V3	2	145,58	3,30	145,58	2,52	ELS
HIP.14	G+Q+0,6°V4	1	131,99	3,27	131,99	2,50	ELS
	G+Q+0,6°V4	2	145,25	3,27	145,25	2,50	ELS
HIP.15	G+Q+0,6°V5	1	131,03	4,40	131,03	3,37	ELS
	G+Q+0,6°V5	2	153,31	4,39	153,31	3,36	ELS
HIP.16	G+Q+0,6°V6	1	129,06	4,14	129,06	3,16	ELS
	G+Q+0,6°V6	2	150,21	4,14	150,21	3,17	ELS
HIP.17	G+Q+0,6°V7	1	127,91	2,09	127,91	1,60	ELS
	G+Q+0,6°V7	2	132,13	2,10	132,13	1,61	ELS
HIP.18	G+Q+0,6°V8	1	129,88	2,41	129,88	1,84	ELS
	G+Q+0,6°V8	2	135,23	2,39	135,23	1,83	ELS
HIP.19	G+V1+0,7°Q	1	120,16	2,49	120,16	1,90	ELS
	G+V1+0,7°Q	2	130,62	2,49	130,62	1,90	ELS
HIP.20	G+V2+0,7°Q	1	120,49	2,54	120,49	1,94	ELS
	G+V2+0,7°Q	2	131,16	2,54	131,16	1,94	ELS
HIP.21	G+V3+0,7°Q	1	129,24	2,84	129,24	2,17	ELS
	G+V3+0,7°Q	2	140,14	2,84	140,14	2,17	ELS
HIP.22	G+V4+0,7°Q	1	128,91	2,78	128,91	2,13	ELS
	G+V4+0,7°Q	2	139,61	2,78	139,61	2,13	ELS
HIP.23	G+V5+0,7°Q	1	127,30	4,67	127,30	3,57	ELS
	G+V5+0,7°Q	2	153,03	4,66	153,03	3,56	ELS
HIP.24	G+V6+0,7°Q	1	124,01	4,25	124,01	3,25	ELS
	G+V6+0,7°Q	2	147,86	4,26	147,86	3,26	ELS
HIP.25	G+V7+0,7°Q	1	122,10	1,18	122,10	0,90	ELS
	G+V7+0,7°Q	2	117,74	1,21	117,74	0,92	ELS
HIP.26	G+V8+0,7°Q	1	125,39	1,69	125,39	1,29	ELS
	G+V8+0,7°Q	2	122,91	1,65	122,91	1,26	ELS
HIP.27	G+Sx	1	123,30	0,99	123,30	0,76	ELU
	G+Sx	2	123,21	1,04	123,21	0,79	ELU
HIP.28	G-Sx	1	103,83	1,16	103,83	0,89	ELU
	G-Sx	2	113,32	1,14	113,32	0,87	ELU
HIP.29	G+Sy	1	121,36	0,80	121,36	0,61	ELU
	G+Sy	2	121,08	0,83	121,08	0,64	ELU
HIP.30	G-Sy	1	105,78	1,26	105,78	0,96	ELU
	G-Sy	2	115,45	1,24	115,45	0,95	ELU
HIP.31	G+Sx+0,3°Sy	1	125,64	1,00	125,64	0,76	ELU
	G+Sx+0,3°Sy	2	124,05	1,06	124,05	0,81	ELU
HIP.32	G+Sx-0,3°Sy	1	120,96	1,00	120,96	0,77	ELU
	G+Sx-0,3°Sy	2	122,37	1,04	122,37	0,79	ELU
HIP.33	G-Sx+0,3°Sy	1	106,17	1,04	106,17	0,80	ELU
	G-Sx+0,3°Sy	2	114,16	1,03	114,16	0,78	ELU
HIP.34	G-Sx-0,3°Sy	1	101,50	1,28	101,50	0,98	ELU
	G-Sx-0,3°Sy	2	112,48	1,26	112,48	0,97	ELU
HIP.35	G+Sy+0,3°Sx	1	124,28	0,86	124,28	0,66	ELU
	G+Sy+0,3°Sx	2	122,56	0,91	122,56	0,70	ELU
HIP.36	G+Sy-0,3°Sx	1	118,43	0,76	118,43	0,58	ELU
	G+Sy-0,3°Sx	2	119,59	0,78	119,59	0,60	ELU
HIP.37	G-Sy+0,3°Sx	1	108,70	1,19	108,70	0,91	ELU
	G-Sy+0,3°Sx	2	116,94	1,18	116,94	0,90	ELU
HIP.38	G-Sy-0,3°Sx	1	102,86	1,34	102,86	1,03	ELU
	G-Sy-0,3°Sx	2	113,97	1,32	113,97	1,01	ELU
HIP.39	G+Sx+0,3°Q	1	128,07	1,25	128,07	0,95	ELU
	G+Sx+0,3°Q	2	130,55	1,29	130,55	0,98	ELU
HIP.40	G-Sx+0,3°Q	1	108,60	1,53	108,60	1,17	ELU

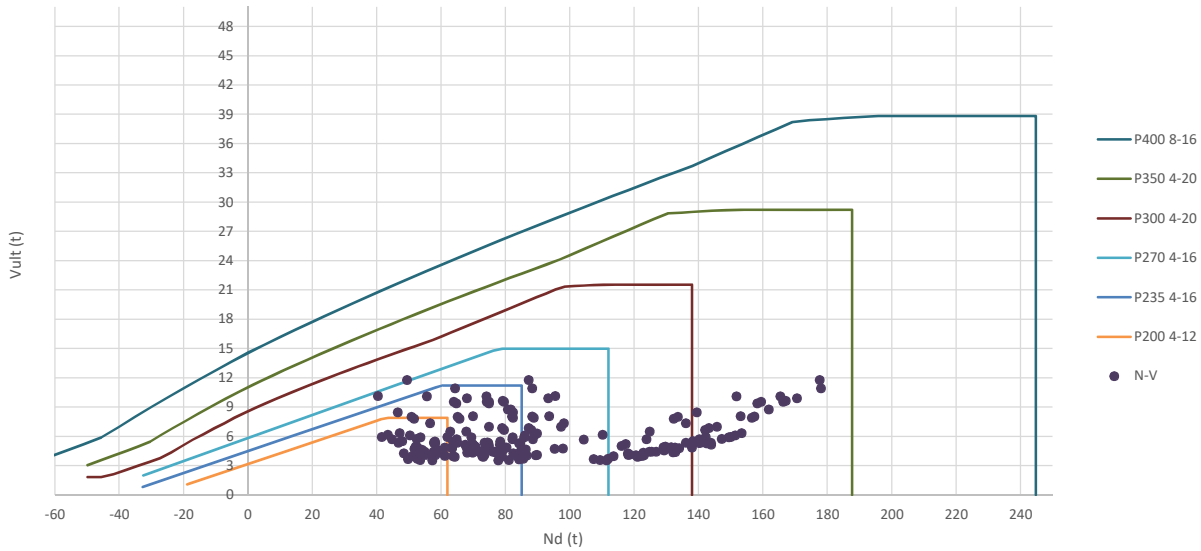
	G-Sx+0,3*Q	2	120,66	1,51	120,66	1,15	ELU
HIP.41	G+Sy+0,3*Q	1	126,13	1,06	126,13	0,81	ELU
	G+Sy+0,3*Q	2	128,41	1,09	128,41	0,84	ELU
HIP.42	G-Sy+0,3*Q	1	110,55	1,63	110,55	1,24	ELU
	G-Sy+0,3*Q	2	122,79	1,61	122,79	1,23	ELU
HIP.43	G+Sx+0,3*Sy+0,3*Q	1	130,41	1,22	130,41	0,93	ELU
	G+Sx+0,3*Sy+0,3*Q	2	131,39	1,27	131,39	0,97	ELU
HIP.44	G+Sx-0,3*Sy+0,3*Q	1	125,73	1,29	125,73	0,99	ELU
	G+Sx-0,3*Sy+0,3*Q	2	129,70	1,32	129,70	1,01	ELU
HIP.45	G-Sx+0,3*Sy+0,3*Q	1	110,94	1,41	110,94	1,08	ELU
	G-Sx+0,3*Sy+0,3*Q	2	121,50	1,39	121,50	1,07	ELU
HIP.46	G-Sx-0,3*Sy+0,3*Q	1	106,27	1,65	106,27	1,26	ELU
	G-Sx-0,3*Sy+0,3*Q	2	119,81	1,63	119,81	1,25	ELU
HIP.47	G+Sy+0,3*Sx+0,3*Q	1	129,05	1,08	129,05	0,83	ELU
	G+Sy+0,3*Sx+0,3*Q	2	129,90	1,13	129,90	0,86	ELU
HIP.48	G+Sy-0,3*Sx+0,3*Q	1	123,21	1,07	123,21	0,81	ELU
	G+Sy-0,3*Sx+0,3*Q	2	126,93	1,08	126,93	0,83	ELU
HIP.49	G-Sy+0,3*Sx+0,3*Q	1	113,47	1,56	113,47	1,19	ELU
	G-Sy+0,3*Sx+0,3*Q	2	124,27	1,54	124,27	1,18	ELU
HIP.50	G-Sy-0,3*Sx+0,3*Q	1	107,63	1,71	107,63	1,31	ELU
	G-Sy-0,3*Sx+0,3*Q	2	121,31	1,69	121,31	1,29	ELU
HIP.51	G+BOMB	1	114,78	0,91	114,78	0,70	ELU
	G+BOMB	2	117,28	0,91	117,28	0,70	ELU
HIP.52	G+BOMB+0,5*Q	1	122,73	1,45	122,73	1,11	ELU
	G+BOMB+0,5*Q	2	129,51	1,45	129,51	1,11	ELU
HIP.53	G+BOMB+0,5*V1	1	112,51	0,83	112,51	0,64	ELU
	G+BOMB+0,5*V1	2	114,90	0,83	114,90	0,64	ELU
HIP.54	G+BOMB+0,5*V2	1	112,67	0,85	112,67	0,65	ELU
	G+BOMB+0,5*V2	2	115,17	0,85	115,17	0,65	ELU
HIP.55	G+BOMB+0,5*V3	1	117,05	0,99	117,05	0,76	ELU
	G+BOMB+0,5*V3	2	119,66	0,99	119,66	0,76	ELU
HIP.56	G+BOMB+0,5*V4	1	116,88	0,97	116,88	0,74	ELU
	G+BOMB+0,5*V4	2	119,40	0,97	119,40	0,74	ELU
HIP.57	G+BOMB+0,5*V5	1	116,08	1,46	116,08	1,12	ELU
	G+BOMB+0,5*V5	2	126,11	1,46	126,11	1,11	ELU
HIP.58	G+BOMB+0,5*V6	1	114,43	1,30	114,43	0,99	ELU
	G+BOMB+0,5*V6	2	123,52	1,30	123,52	1,00	ELU
HIP.59	G+BOMB+0,5*V7	1	113,48	0,73	113,48	0,56	ELU
	G+BOMB+0,5*V7	2	108,46	0,74	108,46	0,57	ELU
HIP.60	G+BOMB+0,5*V8	1	115,12	0,86	115,12	0,66	ELU
	G+BOMB+0,5*V8	2	111,05	0,85	111,05	0,65	ELU
HIP.61	G+BOMB+0,5*V1+0,3*Q	1	117,28	1,15	117,28	0,88	ELU
	G+BOMB+0,5*V1+0,3*Q	2	122,24	1,15	122,24	0,88	ELU
HIP.62	G+BOMB+0,5*V2+0,3*Q	1	117,44	1,17	117,44	0,89	ELU
	G+BOMB+0,5*V2+0,3*Q	2	122,51	1,17	122,51	0,89	ELU
HIP.63	G+BOMB+0,5*V3+0,3*Q	1	121,82	1,30	121,82	0,99	ELU
	G+BOMB+0,5*V3+0,3*Q	2	127,00	1,30	127,00	0,99	ELU
HIP.64	G+BOMB+0,5*V4+0,3*Q	1	121,65	1,28	121,65	0,98	ELU
	G+BOMB+0,5*V4+0,3*Q	2	126,73	1,28	126,73	0,98	ELU
HIP.65	G+BOMB+0,5*V5+0,3*Q	1	120,85	1,82	120,85	1,39	ELU
	G+BOMB+0,5*V5+0,3*Q	2	133,45	1,81	133,45	1,39	ELU
HIP.66	G+BOMB+0,5*V6+0,3*Q	1	119,20	1,66	119,20	1,27	ELU
	G+BOMB+0,5*V6+0,3*Q	2	130,86	1,66	130,86	1,27	ELU
HIP.67	G+BOMB+0,5*V7+0,3*Q	1	118,25	0,83	118,25	0,64	ELU
	G+BOMB+0,5*V7+0,3*Q	2	115,80	0,84	115,80	0,64	ELU
HIP.68	G+BOMB+0,5*V8+0,3*Q	1	119,89	1,00	119,89	0,77	ELU
	G+BOMB+0,5*V8+0,3*Q	2	118,38	0,99	118,38	0,76	ELU

Seccion (mm.)	e _x (m.)	e _y (m.)	Henc. (m.)
400	1,40	1,40	1,25
COMPROBACIÓN (compresión)	CUMPLE		
MAX. AXIL	177,95		(TON)
MIN. AXIL	0,00		(TON)
COMPROBACIÓN (tracción)	CUMPLE		
L.1(m)	0,00		
L.2(m)	0,00		
L.Influenc.(m)	0,00		
CERRAM.(ton.)	0,00		
αx (inclinación)	0,00		
αy (inclinación)	0,00		

Curva de resistencia axil-momento (en cualquier dirección)



Curva de resistencia axil-cortante



PILAR: P75



COMPROBACIÓN ESFUERZOS:

P18147P Parcela R20

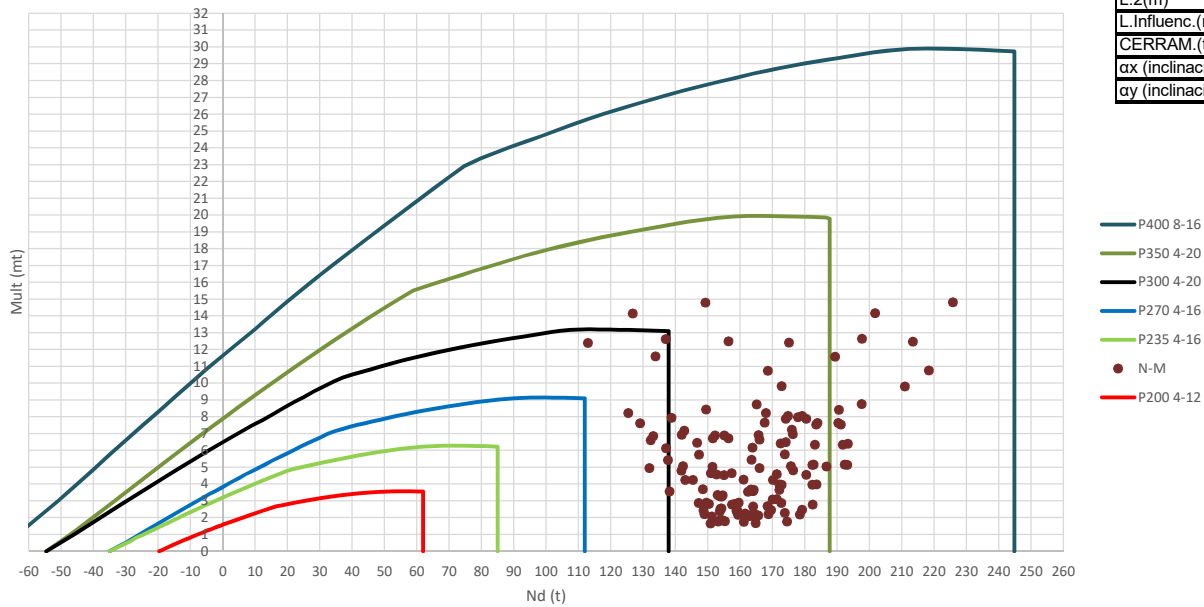
	LC: COMB.	nº PILOTE	N _{pilote} (T) a ras de suelo	M ult. Pilote (mT)	N _{pilote} (T) a ras de suelo	V ult. Pilote (T)	ESTADO LIMITE
HIP.1	G	1	67,76	9,69	67,76	6,48	ELS
	G	2	62,84	9,69	62,84	6,48	ELS
	G	3	124,79	9,69	124,79	6,48	ELS
HIP.2	G+Q	1	80,75	13,11	80,75	8,77	ELS
	G+Q	2	81,58	13,11	81,58	8,77	ELS
	G+Q	3	161,79	13,11	161,79	8,77	ELS
HIP.3	G+V585	1	70,41	7,52	70,41	5,03	ELS
	G+V585	2	74,89	7,52	74,89	5,03	ELS
	G+V585	3	116,06	7,52	116,06	5,03	ELS
HIP.4	G+V586	1	69,80	7,79	69,80	5,21	ELS
	G+V586	2	74,06	7,79	74,06	5,21	ELS
	G+V586	3	117,31	7,79	117,31	5,21	ELS
HIP.5	G+V587	1	65,11	11,97	65,11	8,01	ELS
	G+V587	2	50,78	11,97	50,78	8,01	ELS
	G+V587	3	133,52	11,97	133,52	8,01	ELS
HIP.6	G+V588	1	65,73	11,70	65,73	7,83	ELS
	G+V588	2	51,61	11,70	51,61	7,83	ELS
	G+V588	3	132,27	11,70	132,27	7,83	ELS
HIP.7	G+V589	1	40,32	15,14	40,32	10,13	ELS
	G+V589	2	74,04	15,11	74,04	10,11	ELS
	G+V589	3	151,72	15,13	151,72	10,12	ELS
HIP.8	G+V590	1	46,49	12,64	46,49	8,46	ELS
	G+V590	2	82,28	12,66	82,28	8,47	ELS
	G+V590	3	139,43	12,65	139,43	8,46	ELS
HIP.9	G+V591	1	95,21	7,06	95,21	4,73	ELS
	G+V591	2	51,63	7,09	51,63	4,74	ELS
	G+V591	3	97,86	7,10	97,86	4,75	ELS
HIP.10	G+V592	1	89,03	9,25	89,03	6,19	ELS
	G+V592	2	43,39	9,24	43,39	6,18	ELS
	G+V592	3	110,15	9,24	110,15	6,18	ELS
HIP.11	G+Q+0,6*V585	1	82,34	11,85	82,34	7,92	ELS
	G+Q+0,6*V585	2	88,81	11,85	88,81	7,92	ELS
	G+Q+0,6*V585	3	156,56	11,85	156,56	7,92	ELS
HIP.12	G+Q+0,6*V586	1	81,97	12,01	81,97	8,03	ELS
	G+Q+0,6*V586	2	88,31	12,01	88,31	8,03	ELS
	G+Q+0,6*V586	3	157,30	12,01	157,30	8,03	ELS
HIP.13	G+Q+0,6*V587	1	79,16	14,42	79,16	9,64	ELS
	G+Q+0,6*V587	2	74,35	14,42	74,35	9,64	ELS
	G+Q+0,6*V587	3	167,03	14,42	167,03	9,64	ELS
HIP.14	G+Q+0,6*V588	1	79,52	14,26	79,52	9,54	ELS
	G+Q+0,6*V588	2	74,85	14,26	74,85	9,54	ELS
	G+Q+0,6*V588	3	166,28	14,26	166,28	9,54	ELS
HIP.15	G+Q+0,6*V589	1	64,28	16,35	64,28	10,94	ELS
	G+Q+0,6*V589	2	88,30	16,34	88,30	10,93	ELS
	G+Q+0,6*V589	3	177,95	16,35	177,95	10,94	ELS
HIP.16	G+Q+0,6*V590	1	67,99	14,80	67,99	9,90	ELS
	G+Q+0,6*V590	2	93,25	14,81	93,25	9,91	ELS
	G+Q+0,6*V590	3	170,58	14,80	170,58	9,90	ELS
HIP.17	G+Q+0,6*V591	1	97,21	10,45	97,21	6,99	ELS
	G+Q+0,6*V591	2	74,86	10,47	74,86	7,00	ELS
	G+Q+0,6*V591	3	145,63	10,47	145,63	7,00	ELS
HIP.18	G+Q+0,6*V592	1	93,51	12,06	93,51	8,07	ELS
	G+Q+0,6*V592	2	69,91	12,05	69,91	8,06	ELS
	G+Q+0,6*V592	3	153,01	12,06	153,01	8,07	ELS
HIP.19	G+V1+0,7*Q	1	79,50	9,97	79,50	6,67	ELS
	G+V1+0,7*Q	2	88,01	9,97	88,01	6,67	ELS
	G+V1+0,7*Q	3	141,97	9,97	141,97	6,67	ELS
HIP.20	G+V2+0,7*Q	1	78,89	10,24	78,89	6,85	ELS
	G+V2+0,7*Q	2	87,18	10,24	87,18	6,85	ELS
	G+V2+0,7*Q	3	143,21	10,24	143,21	6,85	ELS
HIP.21	G+V3+0,7*Q	1	74,20	14,29	74,20	9,56	ELS
	G+V3+0,7*Q	2	63,90	14,29	63,90	9,56	ELS
	G+V3+0,7*Q	3	159,42	14,29	159,42	9,56	ELS
HIP.22	G+V4+0,7*Q	1	74,81	14,02	74,81	9,38	ELS
	G+V4+0,7*Q	2	64,73	14,02	64,73	9,38	ELS
	G+V4+0,7*Q	3	158,17	14,02	158,17	9,38	ELS
HIP.23	G+V5+0,7*Q	1	49,41	17,63	49,41	11,79	ELS
	G+V5+0,7*Q	2	87,16	17,60	87,16	11,77	ELS
	G+V5+0,7*Q	3	177,62	17,62	177,62	11,79	ELS
HIP.24	G+V6+0,7*Q	1	55,58	15,12	55,58	10,12	ELS
	G+V6+0,7*Q	2	95,41	15,14	95,41	10,13	ELS
	G+V6+0,7*Q	3	165,33	15,13	165,33	10,12	ELS
HIP.25	G+V7+0,7*Q	1	104,30	8,50	104,30	5,69	ELS
	G+V7+0,7*Q	2	64,76	8,53	64,76	5,71	ELS
	G+V7+0,7*Q	3	123,76	8,53	123,76	5,71	ELS
HIP.26	G+V8+0,7*Q	1	98,12	10,98	98,12	7,35	ELS
	G+V8+0,7*Q	2	56,51	10,97	56,51	7,34	ELS
	G+V8+0,7*Q	3	136,05	10,97	136,05	7,34	ELS
HIP.27	G+Sx	1	82,07	8,52	82,07	5,70	ELU

	G+Sx	2	44,69	8,54	44,69	5,72	ELU
	G+Sx	3	140,22	8,54	140,22	5,71	ELU
HIP.28	G-Sx	1	53,46	5,37	53,46	3,59	ELU
	G-Sx	2	80,98	5,34	80,98	3,57	ELU
	G-Sx	3	109,36	5,36	109,36	3,59	ELU
HIP.29	G+Sy	1	80,31	7,28	80,31	4,87	ELU
	G+Sy	2	52,17	7,30	52,17	4,88	ELU
	G+Sy	3	131,42	7,29	131,42	4,88	ELU
HIP.30	G-Sy	1	55,22	6,14	55,22	4,11	ELU
	G-Sy	2	73,50	6,13	73,50	4,10	ELU
	G-Sy	3	118,16	6,14	118,16	4,11	ELU
HIP.31	G+Sx+0,3*Sy	1	85,83	8,86	85,83	5,92	ELU
	G+Sx+0,3*Sy	2	41,50	8,89	41,50	5,94	ELU
	G+Sx+0,3*Sy	3	142,21	8,88	142,21	5,94	ELU
HIP.32	G+Sx-0,3*Sy	1	78,30	8,21	78,30	5,49	ELU
	G+Sx-0,3*Sy	2	47,89	8,23	47,89	5,50	ELU
	G+Sx-0,3*Sy	3	138,23	8,22	138,23	5,50	ELU
HIP.33	G-Sx+0,3*Sy	1	57,23	5,31	57,23	3,55	ELU
	G-Sx+0,3*Sy	2	77,78	5,29	77,78	3,54	ELU
	G-Sx+0,3*Sy	3	111,35	5,30	111,35	3,55	ELU
HIP.34	G-Sx-0,3*Sy	1	49,70	5,49	49,70	3,67	ELU
	G-Sx-0,3*Sy	2	84,18	5,46	84,18	3,65	ELU
	G-Sx-0,3*Sy	3	107,38	5,49	107,38	3,67	ELU
HIP.35	G+Sy+0,3*Sx	1	84,60	7,97	84,60	5,33	ELU
	G+Sy+0,3*Sx	2	46,73	8,00	46,73	5,35	ELU
	G+Sy+0,3*Sx	3	136,05	8,00	136,05	5,35	ELU
HIP.36	G+Sy-0,3*Sx	1	76,02	6,63	76,02	4,43	ELU
	G+Sy-0,3*Sx	2	57,61	6,64	57,61	4,44	ELU
	G+Sy-0,3*Sx	3	126,79	6,64	126,79	4,44	ELU
HIP.37	G-Sy+0,3*Sx	1	59,51	6,47	59,51	4,33	ELU
	G-Sy+0,3*Sx	2	68,06	6,46	68,06	4,32	ELU
	G-Sy+0,3*Sx	3	122,79	6,47	122,79	4,32	ELU
HIP.38	G-Sy-0,3*Sx	1	50,93	5,94	50,93	3,97	ELU
	G-Sy-0,3*Sx	2	78,94	5,91	78,94	3,95	ELU
	G-Sy-0,3*Sx	3	113,54	5,93	113,54	3,97	ELU
HIP.39	G+Sx+0,3*Q	1	85,96	9,11	85,96	6,09	ELU
	G+Sx+0,3*Q	2	50,32	9,13	50,32	6,11	ELU
	G+Sx+0,3*Q	3	151,32	9,13	151,32	6,11	ELU
HIP.40	G-Sx+0,3*Q	1	57,36	6,07	57,36	4,06	ELU
	G-Sx+0,3*Q	2	86,60	6,04	86,60	4,04	ELU
	G-Sx+0,3*Q	3	120,47	6,07	120,47	4,06	ELU
HIP.41	G+Sy+0,3*Q	1	84,20	7,89	84,20	5,27	ELU
	G+Sy+0,3*Q	2	57,80	7,90	57,80	5,29	ELU
	G+Sy+0,3*Q	3	142,52	7,90	142,52	5,28	ELU
HIP.42	G-Sy+0,3*Q	1	59,11	6,85	59,11	4,58	ELU
	G-Sy+0,3*Q	2	79,12	6,84	79,12	4,57	ELU
	G-Sy+0,3*Q	3	129,26	6,85	129,26	4,58	ELU
HIP.43	G+Sx+0,3*Sy+0,3*Q	1	89,72	9,43	89,72	6,31	ELU
	G+Sx+0,3*Sy+0,3*Q	2	47,12	9,46	47,12	6,33	ELU
	G+Sx+0,3*Sy+0,3*Q	3	153,31	9,45	153,31	6,32	ELU
HIP.44	G+Sx-0,3*Sy+0,3*Q	1	82,20	8,82	82,20	5,90	ELU
	G+Sx-0,3*Sy+0,3*Q	2	53,52	8,84	53,52	5,91	ELU
	G+Sx-0,3*Sy+0,3*Q	3	149,33	8,83	149,33	5,91	ELU
HIP.45	G-Sx+0,3*Sy+0,3*Q	1	61,12	6,01	61,12	4,02	ELU
	G-Sx+0,3*Sy+0,3*Q	2	83,40	6,00	83,40	4,01	ELU
	G-Sx+0,3*Sy+0,3*Q	3	122,45	6,01	122,45	4,02	ELU
HIP.46	G-Sx-0,3*Sy+0,3*Q	1	53,59	6,18	53,59	4,13	ELU
	G-Sx-0,3*Sy+0,3*Q	2	89,80	6,15	89,80	4,11	ELU
	G-Sx-0,3*Sy+0,3*Q	3	118,48	6,17	118,48	4,13	ELU
HIP.47	G+Sy+0,3*Sx+0,3*Q	1	88,49	8,55	88,49	5,72	ELU
	G+Sy+0,3*Sx+0,3*Q	2	52,35	8,58	52,35	5,74	ELU
	G+Sy+0,3*Sx+0,3*Q	3	147,15	8,57	147,15	5,73	ELU
HIP.48	G+Sy-0,3*Sx+0,3*Q	1	79,91	7,27	79,91	4,86	ELU
	G+Sy-0,3*Sx+0,3*Q	2	63,24	7,28	63,24	4,87	ELU
	G+Sy-0,3*Sx+0,3*Q	3	137,89	7,27	137,89	4,87	ELU
HIP.49	G-Sy+0,3*Sx+0,3*Q	1	63,40	7,17	63,40	4,80	ELU
	G-Sy+0,3*Sx+0,3*Q	2	73,68	7,16	73,68	4,79	ELU
	G-Sy+0,3*Sx+0,3*Q	3	133,89	7,17	133,89	4,79	ELU
HIP.50	G-Sy-0,3*Sx+0,3*Q	1	54,82	6,64	54,82	4,44	ELU
	G-Sy-0,3*Sx+0,3*Q	2	84,57	6,62	84,57	4,43	ELU
	G-Sy-0,3*Sx+0,3*Q	3	124,64	6,64	124,64	4,44	ELU
HIP.51	G+BOMB	1	71,77	6,62	71,77	4,43	ELU
	G+BOMB	2	58,14	6,61	58,14	4,42	ELU
	G+BOMB	3	125,33	6,62	125,33	4,43	ELU
HIP.52	G+BOMB+0,5*Q	1	78,26	7,72	78,26	5,16	ELU
	G+BOMB+0,5*Q	2	67,51	7,71	67,51	5,15	ELU
	G+BOMB+0,5*Q	3	143,83	7,71	143,83	5,16	ELU
HIP.53	G+BOMB+0,5*V585	1	73,09	5,85	73,09	3,91	ELU
	G+BOMB+0,5*V585	2	64,17	5,84	64,17	3,91	ELU
	G+BOMB+0,5*V585	3	120,97	5,85	120,97	3,91	ELU
HIP.54	G+BOMB+0,5*V586	1	72,79	5,94	72,79	3,97	ELU
	G+BOMB+0,5*V586	2	63,75	5,93	63,75	3,97	ELU
	G+BOMB+0,5*V586	3	121,59	5,94	121,59	3,97	ELU
HIP.55	G+BOMB+0,5*V587	1	70,44	7,40	70,44	4,95	ELU
	G+BOMB+0,5*V587	2	52,11	7,39	52,11	4,95	ELU
	G+BOMB+0,5*V587	3	129,70	7,40	129,70	4,95	ELU
HIP.56	G+BOMB+0,5*V588	1	70,75	7,31	70,75	4,89	ELU
	G+BOMB+0,5*V588	2	52,53	7,30	52,53	4,89	ELU
	G+BOMB+0,5*V588	3	129,07	7,31	129,07	4,89	ELU
HIP.57	G+BOMB+0,5*V589	1	58,04	8,18	58,04	5,47	ELU
	G+BOMB+0,5*V589	2	63,74	8,16	63,74	5,46	ELU

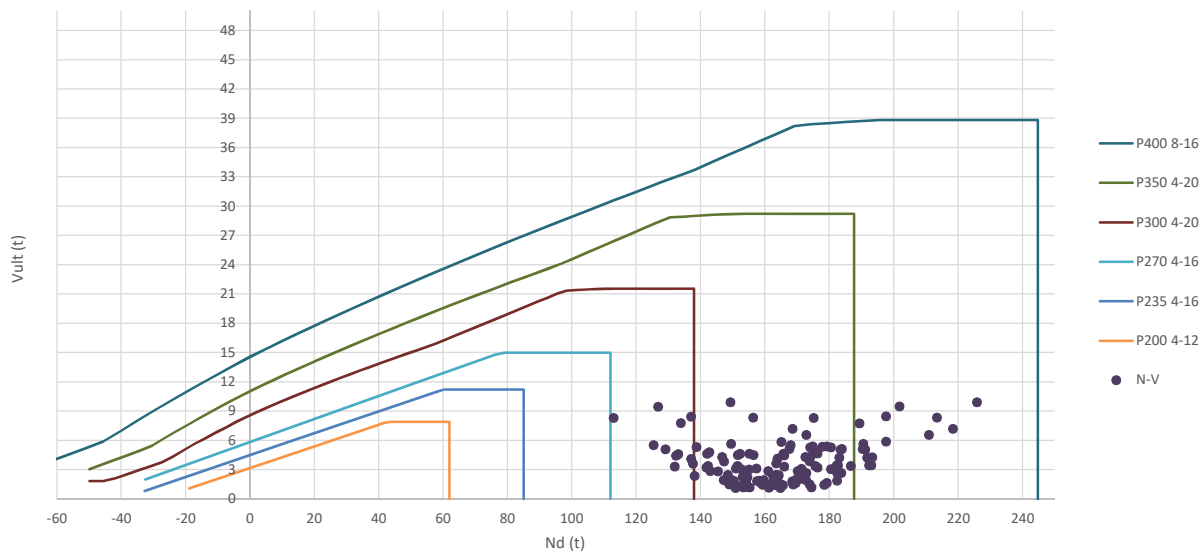
	G+BOMB+0,5*V589	3	138,80	8,17	138,80	5,47	ELU
HIP.58	G+BOMB+0,5*V590	1	61,13	7,29	61,13	4,87	ELU
	G+BOMB+0,5*V590	2	67,87	7,28	67,87	4,87	ELU
	G+BOMB+0,5*V590	3	132,65	7,29	132,65	4,87	ELU
HIP.59	G+BOMB+0,5*V591	1	85,49	5,56	85,49	3,72	ELU
	G+BOMB+0,5*V591	2	52,54	5,56	52,54	3,72	ELU
	G+BOMB+0,5*V591	3	111,87	5,56	111,87	3,72	ELU
HIP.60	G+BOMB+0,5*V592	1	82,40	6,40	82,40	4,28	ELU
	G+BOMB+0,5*V592	2	48,42	6,39	48,42	4,27	ELU
	G+BOMB+0,5*V592	3	118,01	6,39	118,01	4,28	ELU
HIP.61	G+BOMB+0,5*V1+0,3*Q	1	76,99	6,52	76,99	4,36	ELU
	G+BOMB+0,5*V1+0,3*Q	2	69,79	6,50	69,79	4,35	ELU
	G+BOMB+0,5*V1+0,3*Q	3	132,07	6,51	132,07	4,35	ELU
HIP.62	G+BOMB+0,5*V2+0,3*Q	1	76,68	6,61	76,68	4,42	ELU
	G+BOMB+0,5*V2+0,3*Q	2	69,38	6,60	69,38	4,41	ELU
	G+BOMB+0,5*V2+0,3*Q	3	132,69	6,60	132,69	4,41	ELU
HIP.63	G+BOMB+0,5*V3+0,3*Q	1	74,34	8,05	74,34	5,38	ELU
	G+BOMB+0,5*V3+0,3*Q	2	57,74	8,04	57,74	5,38	ELU
	G+BOMB+0,5*V3+0,3*Q	3	140,80	8,04	140,80	5,38	ELU
HIP.64	G+BOMB+0,5*V4+0,3*Q	1	74,64	7,96	74,64	5,32	ELU
	G+BOMB+0,5*V4+0,3*Q	2	58,15	7,95	58,15	5,31	ELU
	G+BOMB+0,5*V4+0,3*Q	3	140,17	7,95	140,17	5,32	ELU
HIP.65	G+BOMB+0,5*V5+0,3*Q	1	61,94	8,88	61,94	5,94	ELU
	G+BOMB+0,5*V5+0,3*Q	2	69,36	8,86	69,36	5,92	ELU
	G+BOMB+0,5*V5+0,3*Q	3	149,90	8,87	149,90	5,93	ELU
HIP.66	G+BOMB+0,5*V6+0,3*Q	1	65,03	7,99	65,03	5,34	ELU
	G+BOMB+0,5*V6+0,3*Q	2	73,49	7,98	73,49	5,34	ELU
	G+BOMB+0,5*V6+0,3*Q	3	143,75	7,98	143,75	5,34	ELU
HIP.67	G+BOMB+0,5*V7+0,3*Q	1	89,38	6,10	89,38	4,08	ELU
	G+BOMB+0,5*V7+0,3*Q	2	58,16	6,10	58,16	4,08	ELU
	G+BOMB+0,5*V7+0,3*Q	3	122,97	6,10	122,97	4,08	ELU
HIP.68	G+BOMB+0,5*V8+0,3*Q	1	86,30	6,96	86,30	4,66	ELU
	G+BOMB+0,5*V8+0,3*Q	2	54,04	6,95	54,04	4,65	ELU
	G+BOMB+0,5*V8+0,3*Q	3	129,11	6,95	129,11	4,65	ELU

Seccion (mm.)	e _x (m.)	e _y (m.)	Henc. (m.)
400	0,00	1,40	1,25
COMPROBACIÓN (compresión)	CUMPLE		
MAX. AXIL	225,80		(TON)
MIN. AXIL	0,00		(TON)
COMPROBACIÓN (tracción)	CUMPLE		
L.1(m)	0,00		
L.2(m)	0,00		
L.Influenc.(m)	0,00		
CERRAM.(ton.)	0,00		
αx (inclinación)	0,00		
αy (inclinación)	0,00		

Curva de resistencia axil-momento (en cualquier dirección)



Curva de resistencia axil-cortante



PILAR: P76



COMPROBACIÓN ESFUERZOS:

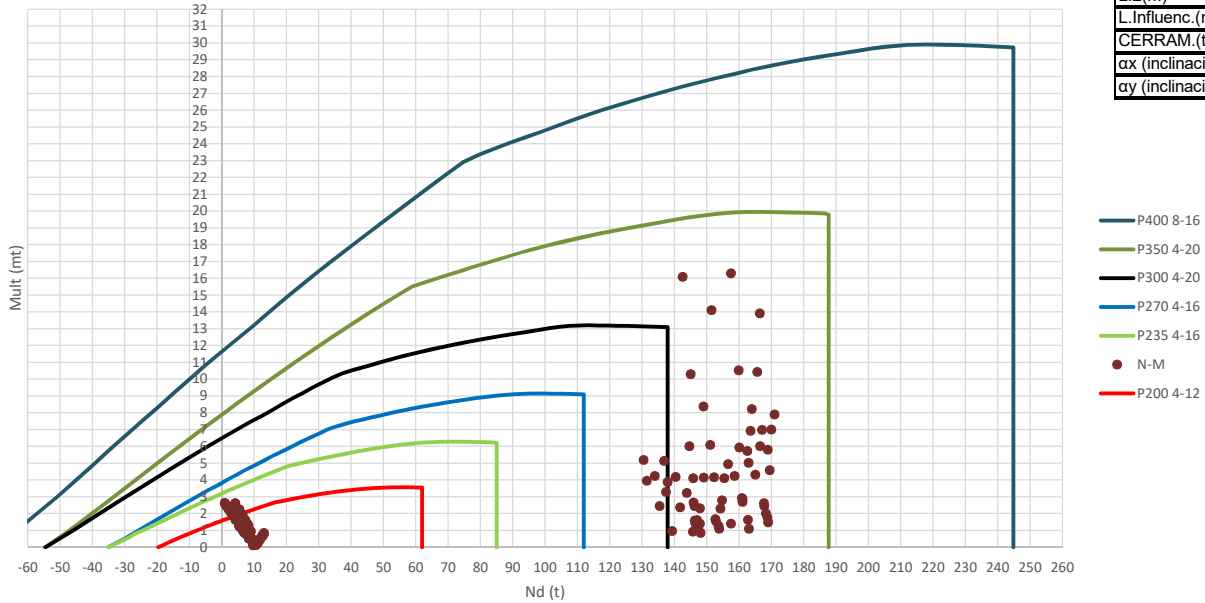
P18147P Parcela R20

	LC: COMB.	nº PILOTE	N _{pilote} (T) a ras de suelo	M ult. Pilote (mT)	N _{pilote} (T) a ras de suelo	V ult.-Pilote (T)	ESTADO LIMITE
HIP.1	G	1	150,92	4,66	150,92	3,12	ELS
	G	2	157,33	4,66	157,33	3,12	ELS
HIP.2	G+Q	1	183,09	6,34	183,09	4,24	ELS
	G+Q	2	191,72	6,34	191,72	4,24	ELS
HIP.3	G+V593	1	152,25	6,91	152,25	4,62	ELS
	G+V593	2	155,10	6,91	155,10	4,62	ELS
HIP.4	G+V594	1	151,54	6,73	151,54	4,50	ELS
	G+V594	2	156,41	6,73	156,41	4,50	ELS
HIP.5	G+V595	1	149,58	2,90	149,58	1,94	ELS
	G+V595	2	159,57	2,90	159,57	1,94	ELS
HIP.6	G+V596	1	150,29	2,83	150,29	1,89	ELS
	G+V596	2	158,26	2,83	158,26	1,89	ELS
HIP.7	G+V597	1	126,72	14,15	126,72	9,47	ELS
	G+V597	2	201,73	14,17	201,73	9,48	ELS
HIP.8	G+V598	1	133,83	11,61	133,83	7,76	ELS
	G+V598	2	189,33	11,59	189,33	7,75	ELS
HIP.9	G+V599	1	175,11	12,42	175,11	8,31	ELS
	G+V599	2	112,94	12,39	112,94	8,29	ELS
HIP.10	G+V600	1	168,00	8,22	168,00	5,50	ELS
	G+V600	2	125,34	8,24	125,34	5,51	ELS
HIP.11	G+Q+0,6*V593	1	183,89	7,64	183,89	5,11	ELS
	G+Q+0,6*V593	2	190,38	7,64	190,38	5,11	ELS
HIP.12	G+Q+0,6*V594	1	183,46	7,55	183,46	5,05	ELS
	G+Q+0,6*V594	2	191,17	7,55	191,17	5,05	ELS
HIP.13	G+Q+0,6*V595	1	182,29	5,15	182,29	3,44	ELS
	G+Q+0,6*V595	2	193,06	5,15	193,06	3,44	ELS
HIP.14	G+Q+0,6*V596	1	182,71	5,17	182,71	3,46	ELS
	G+Q+0,6*V596	2	192,28	5,17	192,28	3,46	ELS
HIP.15	G+Q+0,6*V597	1	168,57	10,75	168,57	7,19	ELS
	G+Q+0,6*V597	2	218,36	10,77	218,36	7,20	ELS
HIP.16	G+Q+0,6*V598	1	172,84	9,82	172,84	6,57	ELS
	G+Q+0,6*V598	2	210,92	9,81	210,92	6,56	ELS
HIP.17	G+Q+0,6*V599	1	197,60	8,77	197,60	5,86	ELS
	G+Q+0,6*V599	2	165,09	8,73	165,09	5,84	ELS
HIP.18	G+Q+0,6*V600	1	193,34	6,40	193,34	4,28	ELS
	G+Q+0,6*V600	2	172,53	6,42	172,53	4,29	ELS
HIP.19	G+V1+0,7*Q	1	174,77	8,05	174,77	5,39	ELS
	G+V1+0,7*Q	2	179,17	8,05	179,17	5,39	ELS
HIP.20	G+V2+0,7*Q	1	174,06	7,89	174,06	5,28	ELS
	G+V2+0,7*Q	2	180,48	7,89	180,48	5,28	ELS
HIP.21	G+V3+0,7*Q	1	172,10	3,98	172,10	2,67	ELS
	G+V3+0,7*Q	2	183,64	3,98	183,64	2,67	ELS
HIP.22	G+V4+0,7*Q	1	172,81	3,96	172,81	2,65	ELS
	G+V4+0,7*Q	2	182,33	3,96	182,33	2,65	ELS
HIP.23	G+V5+0,7*Q	1	149,24	14,80	149,24	9,90	ELS
	G+V5+0,7*Q	2	225,80	14,82	225,80	9,91	ELS
HIP.24	G+V6+0,7*Q	1	156,35	12,49	156,35	8,35	ELS
	G+V6+0,7*Q	2	213,40	12,47	213,40	8,34	ELS
HIP.25	G+V7+0,7*Q	1	197,63	12,66	197,63	8,47	ELS
	G+V7+0,7*Q	2	137,01	12,62	137,01	8,44	ELS
HIP.26	G+V8+0,7*Q	1	190,52	8,43	190,52	5,64	ELS
	G+V8+0,7*Q	2	149,41	8,44	149,41	5,65	ELS
HIP.27	G+Sx	1	168,78	2,22	168,78	1,48	ELU
	G+Sx	2	148,99	2,21	148,99	1,48	ELU
HIP.28	G-Sx	1	133,06	6,87	133,06	4,59	ELU
	G-Sx	2	165,67	6,91	165,67	4,62	ELU
HIP.29	G+Sy	1	164,18	2,10	164,18	1,41	ELU
	G+Sy	2	151,18	2,07	151,18	1,39	ELU
HIP.30	G-Sy	1	137,65	5,43	137,65	3,63	ELU
	G-Sy	2	163,48	5,46	163,48	3,65	ELU
HIP.31	G+Sx+0,3*Sy	1	172,76	2,88	172,76	1,93	ELU
	G+Sx+0,3*Sy	2	147,15	2,88	147,15	1,93	ELU
HIP.32	G+Sx-0,3*Sy	1	164,80	1,69	164,80	1,13	ELU
	G+Sx-0,3*Sy	2	150,84	1,67	150,84	1,12	ELU
HIP.33	G-Sx+0,3*Sy	1	137,04	6,13	137,04	4,10	ELU
	G-Sx+0,3*Sy	2	163,83	6,16	163,83	4,12	ELU
HIP.34	G-Sx-0,3*Sy	1	129,08	7,62	129,08	5,10	ELU
	G-Sx-0,3*Sy	2	167,52	7,67	167,52	5,13	ELU
HIP.35	G+Sy+0,3*Sx	1	169,54	2,46	169,54	1,64	ELU
	G+Sy+0,3*Sx	2	148,68	2,44	148,68	1,63	ELU
HIP.36	G+Sy-0,3*Sx	1	158,83	2,40	158,83	1,60	ELU
	G+Sy-0,3*Sx	2	153,69	2,38	153,69	1,59	ELU
HIP.37	G-Sy+0,3*Sx	1	143,01	4,25	143,01	2,85	ELU
	G-Sy+0,3*Sx	2	160,98	4,27	160,98	2,86	ELU
HIP.38	G-Sy-0,3*Sx	1	132,29	6,61	132,29	4,42	ELU
	G-Sy-0,3*Sx	2	165,98	6,65	165,98	4,45	ELU
HIP.39	G+Sx+0,3*Q	1	178,43	2,19	178,43	1,47	ELU
	G+Sx+0,3*Q	2	159,31	2,17	159,31	1,45	ELU
HIP.40	G-Sx+0,3*Q	1	142,71	7,19	142,71	4,81	ELU

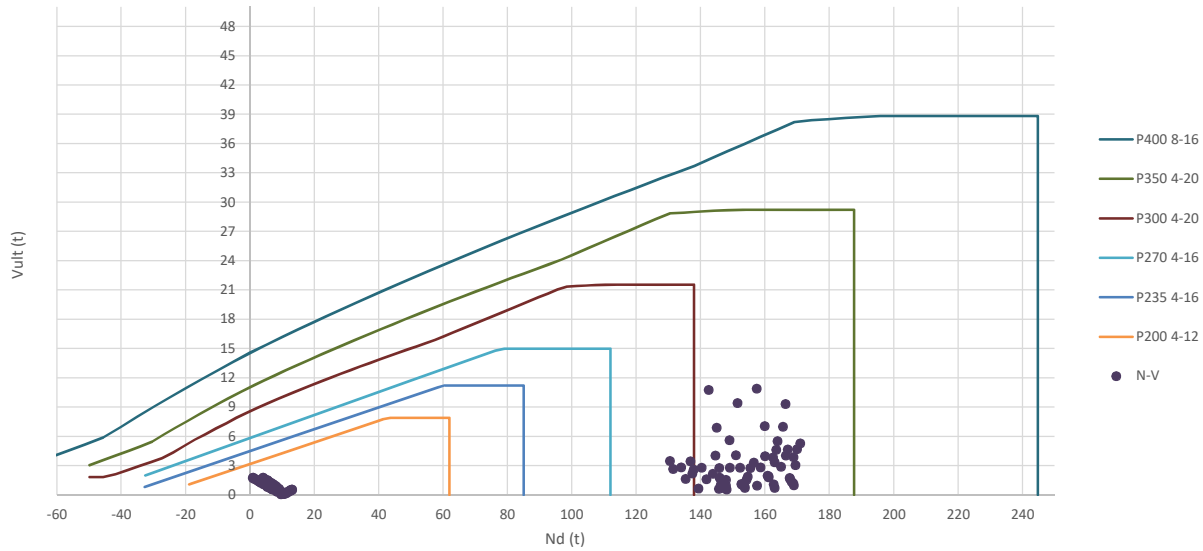
	G-Sx+0,3*Q	2	175,99	7,23	175,99	4,84	ELU
HIP.41	G+Sy+0,3*Q	1	173,84	2,29	173,84	1,53	ELU
	G+Sy+0,3*Q	2	161,50	2,26	161,50	1,51	ELU
HIP.42	G-Sy+0,3*Q	1	147,30	5,75	147,30	3,84	ELU
	G-Sy+0,3*Q	2	173,80	5,78	173,80	3,86	ELU
HIP.43	G+Sx+0,3*Sy+0,3*Q	1	182,41	2,79	182,41	1,86	ELU
	G+Sx+0,3*Sy+0,3*Q	2	157,47	2,78	157,47	1,86	ELU
HIP.44	G+Sx-0,3*Sy+0,3*Q	1	174,45	1,77	174,45	1,19	ELU
	G+Sx-0,3*Sy+0,3*Q	2	161,16	1,75	161,16	1,17	ELU
HIP.45	G-Sx+0,3*Sy+0,3*Q	1	146,69	6,46	146,69	4,32	ELU
	G-Sx+0,3*Sy+0,3*Q	2	174,14	6,49	174,14	4,34	ELU
HIP.46	G-Sx-0,3*Sy+0,3*Q	1	138,73	7,94	138,73	5,31	ELU
	G-Sx-0,3*Sy+0,3*Q	2	177,83	7,99	177,83	5,34	ELU
HIP.47	G+Sy+0,3*Sx+0,3*Q	1	179,19	2,48	179,19	1,66	ELU
	G+Sy+0,3*Sx+0,3*Q	2	159,00	2,46	159,00	1,64	ELU
HIP.48	G+Sy-0,3*Sx+0,3*Q	1	168,48	2,69	168,48	1,80	ELU
	G+Sy-0,3*Sx+0,3*Q	2	164,00	2,67	164,00	1,79	ELU
HIP.49	G-Sy+0,3*Sx+0,3*Q	1	152,66	4,58	152,66	3,06	ELU
	G-Sy+0,3*Sx+0,3*Q	2	171,30	4,60	171,30	3,08	ELU
HIP.50	G-Sy-0,3*Sx+0,3*Q	1	141,94	6,93	141,94	4,63	ELU
	G-Sy-0,3*Sx+0,3*Q	2	176,30	6,97	176,30	4,66	ELU
HIP.51	G+BOMB	1	153,90	2,54	153,90	1,70	ELU
	G+BOMB	2	154,15	2,56	154,15	1,71	ELU
HIP.52	G+BOMB+0,5*Q	1	169,99	3,08	169,99	2,06	ELU
	G+BOMB+0,5*Q	2	171,34	3,10	171,34	2,08	ELU
HIP.53	G+BOMB+0,5*V593	1	154,57	3,34	154,57	2,24	ELU
	G+BOMB+0,5*V593	2	153,03	3,36	153,03	2,25	ELU
HIP.54	G+BOMB+0,5*V594	1	154,22	3,27	154,22	2,18	ELU
	G+BOMB+0,5*V594	2	153,68	3,29	153,68	2,20	ELU
HIP.55	G+BOMB+0,5*V595	1	153,24	1,77	153,24	1,19	ELU
	G+BOMB+0,5*V595	2	155,26	1,79	155,26	1,20	ELU
HIP.56	G+BOMB+0,5*V596	1	153,59	1,82	153,59	1,22	ELU
	G+BOMB+0,5*V596	2	154,61	1,85	154,61	1,23	ELU
HIP.57	G+BOMB+0,5*V597	1	141,81	4,80	141,81	3,21	ELU
	G+BOMB+0,5*V597	2	176,34	4,82	176,34	3,22	ELU
HIP.58	G+BOMB+0,5*V598	1	145,36	4,24	145,36	2,84	ELU
	G+BOMB+0,5*V598	2	170,14	4,25	170,14	2,84	ELU
HIP.59	G+BOMB+0,5*V599	1	166,00	4,95	166,00	3,31	ELU
	G+BOMB+0,5*V599	2	131,95	4,95	131,95	3,31	ELU
HIP.60	G+BOMB+0,5*V600	1	162,45	3,54	162,45	2,37	ELU
	G+BOMB+0,5*V600	2	138,15	3,56	138,15	2,38	ELU
HIP.61	G+BOMB+0,5*V1+0,3*Q	1	164,22	3,66	164,22	2,45	ELU
	G+BOMB+0,5*V1+0,3*Q	2	163,34	3,68	163,34	2,46	ELU
HIP.62	G+BOMB+0,5*V2+0,3*Q	1	163,87	3,59	163,87	2,40	ELU
	G+BOMB+0,5*V2+0,3*Q	2	164,00	3,61	164,00	2,41	ELU
HIP.63	G+BOMB+0,5*V3+0,3*Q	1	162,89	2,11	162,89	1,41	ELU
	G+BOMB+0,5*V3+0,3*Q	2	165,58	2,13	165,58	1,42	ELU
HIP.64	G+BOMB+0,5*V4+0,3*Q	1	163,24	2,16	163,24	1,44	ELU
	G+BOMB+0,5*V4+0,3*Q	2	164,92	2,18	164,92	1,46	ELU
HIP.65	G+BOMB+0,5*V5+0,3*Q	1	151,46	5,04	151,46	3,37	ELU
	G+BOMB+0,5*V5+0,3*Q	2	186,66	5,06	186,66	3,38	ELU
HIP.66	G+BOMB+0,5*V6+0,3*Q	1	155,01	4,54	155,01	3,04	ELU
	G+BOMB+0,5*V6+0,3*Q	2	180,46	4,55	180,46	3,04	ELU
HIP.67	G+BOMB+0,5*V7+0,3*Q	1	175,65	5,06	175,65	3,38	ELU
	G+BOMB+0,5*V7+0,3*Q	2	142,27	5,06	142,27	3,38	ELU
HIP.68	G+BOMB+0,5*V8+0,3*Q	1	172,10	3,67	172,10	2,45	ELU
	G+BOMB+0,5*V8+0,3*Q	2	148,47	3,69	148,47	2,47	ELU

Seccion (mm.)	e _x (m.)	e _y (m.)	Henc. (m.)
400	1,40	0,00	1,25
COMPROBACIÓN (compresión)	CUMPLE		
MAX. AXIL	170,95		(TON)
MIN. AXIL	0,00		(TON)
COMPROBACIÓN (tracción)	CUMPLE		
L.1(m)	0,00		
L.2(m)	0,00		
L.Influenc.(m)	0,00		
CERRAM.(ton.)	0,00		
αx (inclinación)	0,00		
αy (inclinación)	0,00		

Curva de resistencia axil-momento (en cualquier dirección)



Curva de resistencia axil-cortante



PILAR: PB6



COMPROBACIÓN ESFUERZOS:

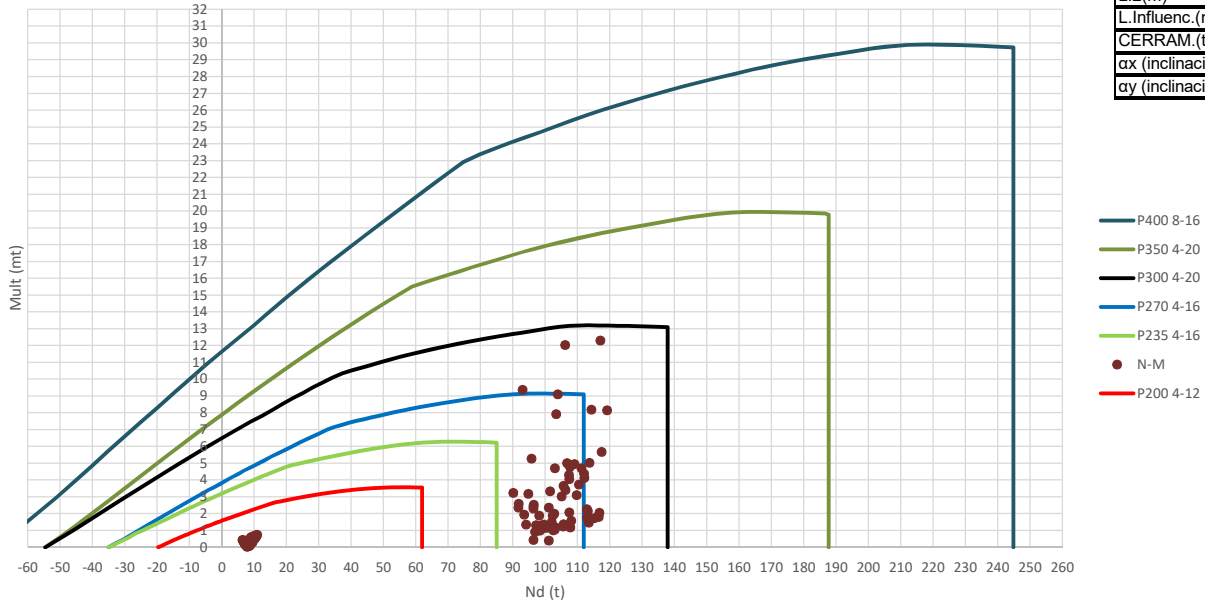
P18147P Parcela R20

	LC: COMB.	nº PILOTE	N _{pilote} (T) a ras de suelo	M ult. Pilote (mT)	N _{pilote} (T) a ras de suelo	V ult.-Pilote (T)	ESTADO LIMITE
HIP.1	G	1	6,92	1,31	6,92	0,88	ELS
	G	2	146,97	1,63	146,97	1,09	ELS
HIP.2	G+Q	1	7,15	1,60	7,15	1,07	ELS
	G+Q	2	168,28	2,03	168,28	1,36	ELS
HIP.3	G+V1	1	9,85	0,23	9,85	0,16	ELS
	G+V1	2	147,81	1,41	147,81	0,95	ELS
HIP.4	G+V2	1	9,95	0,19	9,95	0,13	ELS
	G+V2	2	148,06	0,86	148,06	0,57	ELS
HIP.5	G+V3	1	4,00	2,40	4,00	1,61	ELS
	G+V3	2	146,12	2,46	146,12	1,64	ELS
HIP.6	G+V4	1	3,89	2,43	3,89	1,63	ELS
	G+V4	2	145,88	2,67	145,88	1,78	ELS
HIP.7	G+V5	1	8,06	1,12	8,06	0,75	ELS
	G+V5	2	151,42	14,11	151,42	9,44	ELS
HIP.8	G+V6	1	7,07	1,34	7,07	0,89	ELS
	G+V6	2	148,98	8,39	148,98	5,61	ELS
HIP.9	G+V7	1	5,79	1,82	5,79	1,22	ELS
	G+V7	2	142,51	16,09	142,51	10,77	ELS
HIP.10	G+V8	1	6,78	1,43	6,78	0,95	ELS
	G+V8	2	144,95	10,31	144,95	6,90	ELS
HIP.11	G+Q+0,6°V1	1	8,91	0,95	8,91	0,64	ELS
	G+Q+0,6°V1	2	168,78	1,78	168,78	1,19	ELS
HIP.12	G+Q+0,6°V2	1	8,97	0,93	8,97	0,62	ELS
	G+Q+0,6°V2	2	168,93	1,49	168,93	1,00	ELS
HIP.13	G+Q+0,6°V3	1	5,39	2,26	5,39	1,51	ELS
	G+Q+0,6°V3	2	167,77	2,46	167,77	1,65	ELS
HIP.14	G+Q+0,6°V4	1	5,33	2,28	5,33	1,52	ELS
	G+Q+0,6°V4	2	167,63	2,63	167,63	1,76	ELS
HIP.15	G+Q+0,6°V5	1	7,83	1,42	7,83	0,95	ELS
	G+Q+0,6°V5	2	170,95	7,90	170,95	5,29	ELS
HIP.16	G+Q+0,6°V6	1	7,24	1,60	7,24	1,07	ELS
	G+Q+0,6°V6	2	169,49	4,59	169,49	3,07	ELS
HIP.17	G+Q+0,6°V7	1	6,47	1,88	6,47	1,26	ELS
	G+Q+0,6°V7	2	165,61	10,43	165,61	6,98	ELS
HIP.18	G+Q+0,6°V8	1	7,06	1,65	7,06	1,11	ELS
	G+Q+0,6°V8	2	167,07	6,99	167,07	4,68	ELS
HIP.19	G+V1+0,7°Q	1	10,01	0,43	10,01	0,29	ELS
	G+V1+0,7°Q	2	162,73	1,65	162,73	1,10	ELS
HIP.20	G+V2+0,7°Q	1	10,11	0,40	10,11	0,27	ELS
	G+V2+0,7°Q	2	162,98	1,11	162,98	0,74	ELS
HIP.21	G+V3+0,7°Q	1	4,15	2,60	4,15	1,74	ELS
	G+V3+0,7°Q	2	161,04	2,70	161,04	1,81	ELS
HIP.22	G+V4+0,7°Q	1	4,05	2,64	4,05	1,76	ELS
	G+V4+0,7°Q	2	160,80	2,94	160,80	1,96	ELS
HIP.23	G+V5+0,7°Q	1	8,22	1,30	8,22	0,87	ELS
	G+V5+0,7°Q	2	166,34	13,93	166,34	9,32	ELS
HIP.24	G+V6+0,7°Q	1	7,23	1,53	7,23	1,02	ELS
	G+V6+0,7°Q	2	163,90	8,23	163,90	5,50	ELS
HIP.25	G+V7+0,7°Q	1	5,95	2,01	5,95	1,35	ELS
	G+V7+0,7°Q	2	157,43	16,31	157,43	10,91	ELS
HIP.26	G+V8+0,7°Q	1	6,94	1,62	6,94	1,09	ELS
	G+V8+0,7°Q	2	159,87	10,53	159,87	7,04	ELS
HIP.27	G+Sx	1	2,12	2,24	2,12	1,50	ELU
	G+Sx	2	160,03	5,94	160,03	3,98	ELU
HIP.28	G-Sx	1	11,72	0,51	11,72	0,34	ELU
	G-Sx	2	133,90	4,25	133,90	2,84	ELU
HIP.29	G+Sy	1	2,76	2,06	2,76	1,38	ELU
	G+Sy	2	158,57	4,25	158,57	2,84	ELU
HIP.30	G-Sy	1	11,08	0,32	11,08	0,21	ELU
	G-Sy	2	135,37	2,45	135,37	1,64	ELU
HIP.31	G+Sx+0,3°Sy	1	0,88	2,60	0,88	1,74	ELU
	G+Sx+0,3°Sy	2	163,51	6,93	163,51	4,64	ELU
HIP.32	G+Sx-0,3°Sy	1	3,37	1,89	3,37	1,26	ELU
	G+Sx-0,3°Sy	2	156,55	4,95	156,55	3,31	ELU
HIP.33	G-Sx+0,3°Sy	1	10,47	0,18	10,47	0,12	ELU
	G-Sx+0,3°Sy	2	137,38	3,30	137,38	2,21	ELU
HIP.34	G-Sx-0,3°Sy	1	12,97	0,86	12,97	0,57	ELU
	G-Sx-0,3°Sy	2	130,42	5,21	130,42	3,49	ELU
HIP.35	G+Sy+0,3°Sx	1	1,32	2,47	1,32	1,65	ELU
	G+Sy+0,3°Sx	2	162,49	5,73	162,49	3,84	ELU
HIP.36	G+Sy-0,3°Sx	1	4,20	1,65	4,20	1,10	ELU
	G+Sy-0,3°Sx	2	154,65	2,80	154,65	1,87	ELU
HIP.37	G-Sy+0,3°Sx	1	9,64	0,11	9,64	0,07	ELU
	G-Sy+0,3°Sx	2	139,29	0,98	139,29	0,66	ELU
HIP.38	G-Sy-0,3°Sx	1	12,52	0,72	12,52	0,48	ELU
	G-Sy-0,3°Sx	2	131,45	3,96	131,45	2,65	ELU
HIP.39	G+Sx+0,3°Q	1	2,19	2,30	2,19	1,54	ELU
	G+Sx+0,3°Q	2	166,43	6,02	166,43	4,02	ELU
HIP.40	G-Sx+0,3°Q	1	11,79	0,45	11,79	0,30	ELU

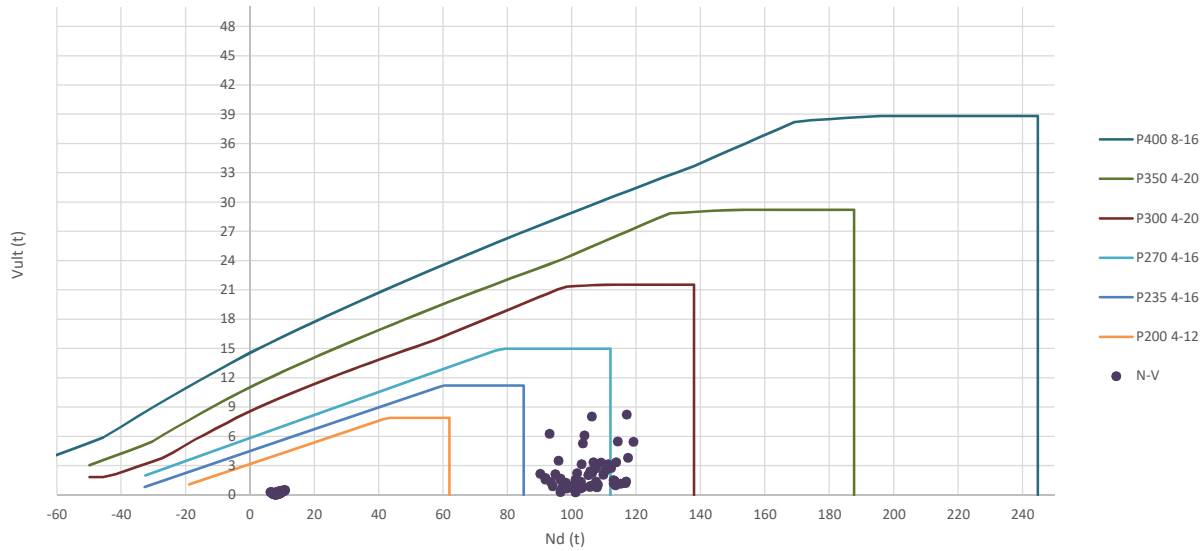
	G-Sx+0,3*Q	2	140,30	4,19	140,30	2,80	ELU
HIP.41	G+Sy+0,3*Q	1	2,83	2,11	2,83	1,41	ELU
	G+Sy+0,3*Q	2	164,96	4,33	164,96	2,89	ELU
HIP.42	G-Sy+0,3*Q	1	11,15	0,26	11,15	0,17	ELU
	G-Sy+0,3*Q	2	141,76	2,39	141,76	1,60	ELU
HIP.43	G+Sx+0,3*Sy+0,3*Q	1	0,94	2,65	0,94	1,78	ELU
	G+Sx+0,3*Sy+0,3*Q	2	169,91	7,00	169,91	4,69	ELU
HIP.44	G+Sx-0,3*Sy+0,3*Q	1	3,44	1,94	3,44	1,30	ELU
	G+Sx-0,3*Sy+0,3*Q	2	162,95	5,03	162,95	3,36	ELU
HIP.45	G-Sx+0,3*Sy+0,3*Q	1	10,54	0,14	10,54	0,10	ELU
	G-Sx+0,3*Sy+0,3*Q	2	143,78	3,24	143,78	2,17	ELU
HIP.46	G-Sx-0,3*Sy+0,3*Q	1	13,04	0,80	13,04	0,54	ELU
	G-Sx-0,3*Sy+0,3*Q	2	136,82	5,15	136,82	3,44	ELU
HIP.47	G+Sy+0,3*Sx+0,3*Q	1	1,39	2,52	1,39	1,69	ELU
	G+Sy+0,3*Sx+0,3*Q	2	168,88	5,81	168,88	3,89	ELU
HIP.48	G+Sy-0,3*Sx+0,3*Q	1	4,27	1,71	4,27	1,14	ELU
	G+Sy-0,3*Sx+0,3*Q	2	161,04	2,88	161,04	1,92	ELU
HIP.49	G-Sy+0,3*Sx+0,3*Q	1	9,71	0,17	9,71	0,11	ELU
	G-Sy+0,3*Sx+0,3*Q	2	145,68	0,93	145,68	0,62	ELU
HIP.50	G-Sy-0,3*Sx+0,3*Q	1	12,59	0,67	12,59	0,45	ELU
	G-Sy-0,3*Sx+0,3*Q	2	137,84	3,89	137,84	2,60	ELU
HIP.51	G+BOMB	1	6,86	0,89	6,86	0,60	ELU
	G+BOMB	2	146,81	1,29	146,81	0,86	ELU
HIP.52	G+BOMB+0,5*Q	1	6,97	0,99	6,97	0,66	ELU
	G+BOMB+0,5*Q	2	157,47	1,42	157,47	0,95	ELU
HIP.53	G+BOMB+0,5*V1	1	8,32	0,53	8,32	0,35	ELU
	G+BOMB+0,5*V1	2	147,23	1,20	147,23	0,80	ELU
HIP.54	G+BOMB+0,5*V2	1	8,37	0,52	8,37	0,35	ELU
	G+BOMB+0,5*V2	2	147,36	1,03	147,36	0,69	ELU
HIP.55	G+BOMB+0,5*V3	1	5,40	1,25	5,40	0,84	ELU
	G+BOMB+0,5*V3	2	146,39	1,48	146,39	0,99	ELU
HIP.56	G+BOMB+0,5*V4	1	5,34	1,26	5,34	0,85	ELU
	G+BOMB+0,5*V4	2	146,27	1,59	146,27	1,07	ELU
HIP.57	G+BOMB+0,5*V5	1	7,43	0,79	7,43	0,53	ELU
	G+BOMB+0,5*V5	2	149,04	4,15	149,04	2,78	ELU
HIP.58	G+BOMB+0,5*V6	1	6,93	0,88	6,93	0,59	ELU
	G+BOMB+0,5*V6	2	147,82	2,33	147,82	1,56	ELU
HIP.59	G+BOMB+0,5*V7	1	6,29	1,05	6,29	0,70	ELU
	G+BOMB+0,5*V7	2	144,58	6,03	144,58	4,03	ELU
HIP.60	G+BOMB+0,5*V8	1	6,79	0,92	6,79	0,62	ELU
	G+BOMB+0,5*V8	2	145,80	4,12	145,80	2,75	ELU
HIP.61	G+BOMB+0,5*V1+0,3*Q	1	8,39	0,59	8,39	0,39	ELU
	G+BOMB+0,5*V1+0,3*Q	2	153,63	1,27	153,63	0,85	ELU
HIP.62	G+BOMB+0,5*V2+0,3*Q	1	8,44	0,58	8,44	0,39	ELU
	G+BOMB+0,5*V2+0,3*Q	2	153,75	1,10	153,75	0,74	ELU
HIP.63	G+BOMB+0,5*V3+0,3*Q	1	5,46	1,31	5,46	0,88	ELU
	G+BOMB+0,5*V3+0,3*Q	2	152,78	1,56	152,78	1,04	ELU
HIP.64	G+BOMB+0,5*V4+0,3*Q	1	5,41	1,32	5,41	0,88	ELU
	G+BOMB+0,5*V4+0,3*Q	2	152,66	1,67	152,66	1,12	ELU
HIP.65	G+BOMB+0,5*V5+0,3*Q	1	7,50	0,84	7,50	0,56	ELU
	G+BOMB+0,5*V5+0,3*Q	2	155,43	4,11	155,43	2,75	ELU
HIP.66	G+BOMB+0,5*V6+0,3*Q	1	7,00	0,94	7,00	0,63	ELU
	G+BOMB+0,5*V6+0,3*Q	2	154,21	2,30	154,21	1,54	ELU
HIP.67	G+BOMB+0,5*V7+0,3*Q	1	6,36	1,10	6,36	0,74	ELU
	G+BOMB+0,5*V7+0,3*Q	2	150,98	6,09	150,98	4,08	ELU
HIP.68	G+BOMB+0,5*V8+0,3*Q	1	6,86	0,98	6,86	0,65	ELU
	G+BOMB+0,5*V8+0,3*Q	2	152,20	4,18	152,20	2,80	ELU

Seccion (mm.)	e _x (m.)	e _y (m.)	Henc. (m.)
400	1,40	0,00	1,25
COMPROBACIÓN (compresión)	CUMPLE		
MAX. AXIL	119,10	(TON)	
MIN. AXIL	0,00	(TON)	
COMPROBACIÓN (tracción)	CUMPLE		
	L.1(m)	0,00	
	L.2(m)	0,00	
	L.Influenc.(m)	0,00	
	CERRAM.(ton.)	0,00	
	αx (inclinación)	0,00	
	αy (inclinación)	0,00	

Curva de resistencia axil-momento (en cualquier dirección)



Curva de resistencia axil-cortante



PILAR: PB7



COMPROBACIÓN ESFUERZOS:

P18147P Parcela R20

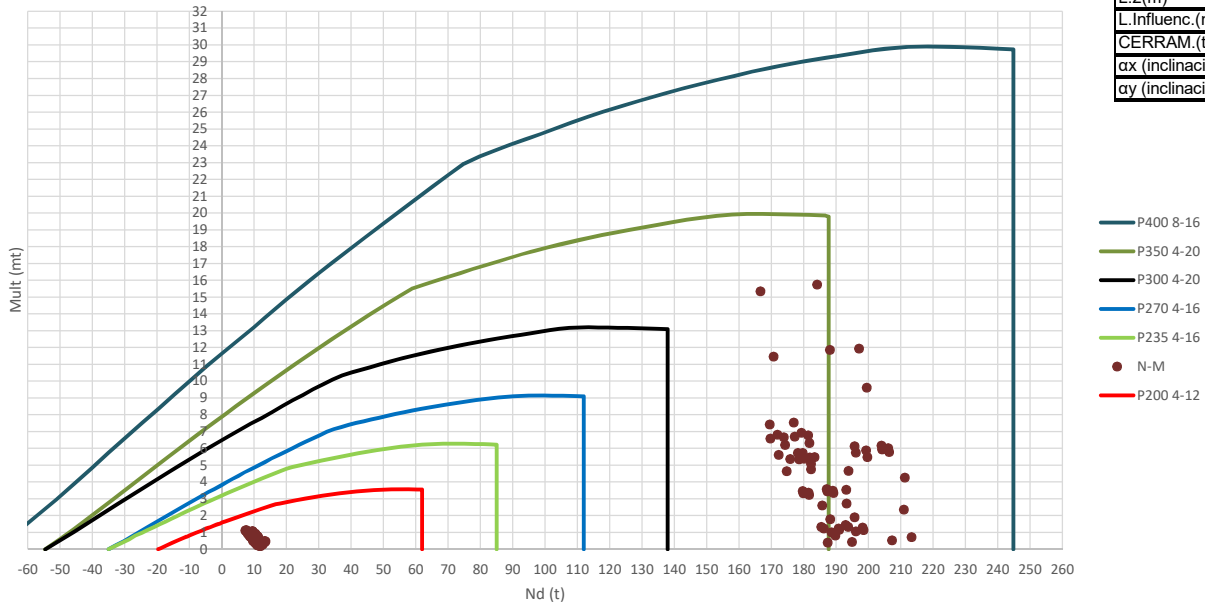
	LC: COMB.	nº PILOTE	N _{pilote} (T) a ras de suelo	M ult. Pilote (mT)	N _{pilote} (T) a ras de suelo	V ult.-Pilote (T)	ESTADO LIMITE
HIP.1	G	1	8,52	0,25	8,52	0,17	ELS
	G	2	99,59	1,35	99,59	0,91	ELS
HIP.2	G+Q	1	9,35	0,32	9,35	0,22	ELS
	G+Q	2	115,17	1,75	115,17	1,17	ELS
HIP.3	G+V17	1	9,92	0,67	9,92	0,45	ELS
	G+V17	2	102,30	1,88	102,30	1,26	ELS
HIP.4	G+V18	1	9,87	0,65	9,87	0,44	ELS
	G+V18	2	102,00	1,50	102,00	1,00	ELS
HIP.5	G+V19	1	7,12	0,17	7,12	0,12	ELS
	G+V19	2	96,88	0,92	96,88	0,61	ELS
HIP.6	G+V20	1	7,17	0,17	7,17	0,11	ELS
	G+V20	2	97,18	1,32	97,18	0,88	ELS
HIP.7	G+V21	1	8,04	0,44	8,04	0,30	ELS
	G+V21	2	93,03	9,38	93,03	6,27	ELS
HIP.8	G+V22	1	8,54	0,39	8,54	0,26	ELS
	G+V22	2	95,81	5,27	95,81	3,53	ELS
HIP.9	G+V23	1	9,01	0,61	9,01	0,41	ELS
	G+V23	2	106,14	12,04	106,14	8,05	ELS
HIP.10	G+V24	1	8,51	0,42	8,51	0,28	ELS
	G+V24	2	103,36	7,93	103,36	5,30	ELS
HIP.11	G+Q+0,6*V17	1	10,19	0,57	10,19	0,38	ELS
	G+Q+0,6*V17	2	116,80	2,05	116,80	1,37	ELS
HIP.12	G+Q+0,6*V18	1	10,16	0,56	10,16	0,38	ELS
	G+Q+0,6*V18	2	116,61	1,82	116,61	1,22	ELS
HIP.13	G+Q+0,6*V19	1	8,51	0,09	8,51	0,06	ELS
	G+Q+0,6*V19	2	113,55	1,46	113,55	0,98	ELS
HIP.14	G+Q+0,6*V20	1	8,54	0,10	8,54	0,07	ELS
	G+Q+0,6*V20	2	113,73	1,71	113,73	1,14	ELS
HIP.15	G+Q+0,6*V21	1	9,06	0,34	9,06	0,23	ELS
	G+Q+0,6*V21	2	111,24	4,71	111,24	3,15	ELS
HIP.16	G+Q+0,6*V22	1	9,36	0,36	9,36	0,24	ELS
	G+Q+0,6*V22	2	112,90	2,27	112,90	1,52	ELS
HIP.17	G+Q+0,6*V23	1	9,64	0,50	9,64	0,34	ELS
	G+Q+0,6*V23	2	119,10	8,15	119,10	5,45	ELS
HIP.18	G+Q+0,6*V24	1	9,34	0,39	9,34	0,26	ELS
	G+Q+0,6*V24	2	117,44	5,68	117,44	3,80	ELS
HIP.19	G+V1+0,7*Q	1	10,50	0,71	10,50	0,48	ELS
	G+V1+0,7*Q	2	113,20	2,15	113,20	1,44	ELS
HIP.20	G+V2+0,7*Q	1	10,45	0,70	10,45	0,47	ELS
	G+V2+0,7*Q	2	112,90	1,77	112,90	1,18	ELS
HIP.21	G+V3+0,7*Q	1	7,70	0,13	7,70	0,09	ELS
	G+V3+0,7*Q	2	107,79	1,18	107,79	0,79	ELS
HIP.22	G+V4+0,7*Q	1	7,75	0,13	7,75	0,09	ELS
	G+V4+0,7*Q	2	108,09	1,58	108,09	1,06	ELS
HIP.23	G+V5+0,7*Q	1	8,62	0,45	8,62	0,30	ELS
	G+V5+0,7*Q	2	103,94	9,11	103,94	6,09	ELS
HIP.24	G+V6+0,7*Q	1	9,12	0,42	9,12	0,28	ELS
	G+V6+0,7*Q	2	106,72	5,01	106,72	3,35	ELS
HIP.25	G+V7+0,7*Q	1	9,59	0,64	9,59	0,43	ELS
	G+V7+0,7*Q	2	117,05	12,31	117,05	8,24	ELS
HIP.26	G+V8+0,7*Q	1	9,09	0,45	9,09	0,30	ELS
	G+V8+0,7*Q	2	114,27	8,20	114,27	5,48	ELS
HIP.27	G+Sx	1	6,75	0,34	6,75	0,23	ELU
	G+Sx	2	107,37	4,31	107,37	2,88	ELU
HIP.28	G-Sx	1	10,29	0,63	10,29	0,42	ELU
	G-Sx	2	91,81	2,60	91,81	1,74	ELU
HIP.29	G+Sy	1	7,19	0,21	7,19	0,14	ELU
	G+Sy	2	105,10	3,04	105,10	2,03	ELU
HIP.30	G-Sy	1	9,85	0,50	9,85	0,34	ELU
	G-Sy	2	94,08	1,36	94,08	0,91	ELU
HIP.31	G+Sx+0,3*Sy	1	6,36	0,44	6,36	0,29	ELU
	G+Sx+0,3*Sy	2	109,02	4,96	109,02	3,32	ELU
HIP.32	G+Sx-0,3*Sy	1	7,15	0,24	7,15	0,16	ELU
	G+Sx-0,3*Sy	2	105,72	3,66	105,72	2,45	ELU
HIP.33	G-Sx+0,3*Sy	1	9,89	0,52	9,89	0,35	ELU
	G-Sx+0,3*Sy	2	93,46	1,95	93,46	1,30	ELU
HIP.34	G-Sx-0,3*Sy	1	10,69	0,73	10,69	0,49	ELU
	G-Sx-0,3*Sy	2	90,15	3,25	90,15	2,17	ELU
HIP.35	G+Sy+0,3*Sx	1	6,66	0,35	6,66	0,23	ELU
	G+Sy+0,3*Sx	2	107,43	4,07	107,43	2,72	ELU
HIP.36	G+Sy-0,3*Sx	1	7,72	0,09	7,72	0,06	ELU
	G+Sy-0,3*Sx	2	102,76	2,01	102,76	1,34	ELU
HIP.37	G-Sy+0,3*Sx	1	9,32	0,37	9,32	0,24	ELU
	G-Sy+0,3*Sx	2	96,41	0,44	96,41	0,29	ELU
HIP.38	G-Sy-0,3*Sx	1	10,38	0,65	10,38	0,43	ELU
	G-Sy-0,3*Sx	2	91,74	2,37	91,74	1,59	ELU
HIP.39	G+Sx+0,3*Q	1	7,00	0,33	7,00	0,22	ELU
	G+Sx+0,3*Q	2	112,04	4,38	112,04	2,93	ELU
HIP.40	G-Sx+0,3*Q	1	10,54	0,64	10,54	0,43	ELU

	G-Sx+0,3*Q	2	96,48	2,53	96,48	1,69	ELU
HIP.41	G+Sy+0,3*Q	1	7,44	0,20	7,44	0,13	ELU
	G+Sy+0,3*Q	2	109,77	3,11	109,77	2,08	ELU
HIP.42	G-Sy+0,3*Q	1	10,10	0,52	10,10	0,35	ELU
	G-Sy+0,3*Q	2	98,75	1,29	98,75	0,86	ELU
HIP.43	G+Sx+0,3*Sy+0,3*Q	1	6,60	0,43	6,60	0,29	ELU
	G+Sx+0,3*Sy+0,3*Q	2	113,70	5,03	113,70	3,37	ELU
HIP.44	G+Sx-0,3*Sy+0,3*Q	1	7,40	0,23	7,40	0,15	ELU
	G+Sx-0,3*Sy+0,3*Q	2	110,39	3,74	110,39	2,50	ELU
HIP.45	G-Sx+0,3*Sy+0,3*Q	1	10,14	0,54	10,14	0,36	ELU
	G-Sx+0,3*Sy+0,3*Q	2	98,13	1,88	98,13	1,26	ELU
HIP.46	G-Sx-0,3*Sy+0,3*Q	1	10,94	0,74	10,94	0,50	ELU
	G-Sx-0,3*Sy+0,3*Q	2	94,83	3,18	94,83	2,13	ELU
HIP.47	G+Sy+0,3*Sx+0,3*Q	1	6,91	0,34	6,91	0,23	ELU
	G+Sy+0,3*Sx+0,3*Q	2	112,11	4,14	112,11	2,77	ELU
HIP.48	G+Sy-0,3*Sx+0,3*Q	1	7,97	0,09	7,97	0,06	ELU
	G+Sy-0,3*Sx+0,3*Q	2	107,44	2,09	107,44	1,40	ELU
HIP.49	G-Sy+0,3*Sx+0,3*Q	1	9,57	0,38	9,57	0,25	ELU
	G-Sy+0,3*Sx+0,3*Q	2	101,09	0,41	101,09	0,28	ELU
HIP.50	G-Sy-0,3*Sx+0,3*Q	1	10,63	0,66	10,63	0,44	ELU
	G-Sy-0,3*Sx+0,3*Q	2	96,42	2,30	96,42	1,54	ELU
HIP.51	G+BOMB	1	8,46	0,16	8,46	0,11	ELU
	G+BOMB	2	99,68	1,14	99,68	0,76	ELU
HIP.52	G+BOMB+0,5*Q	1	8,88	0,18	8,88	0,12	ELU
	G+BOMB+0,5*Q	2	107,47	1,27	107,47	0,85	ELU
HIP.53	G+BOMB+0,5*V17	1	9,16	0,29	9,16	0,20	ELU
	G+BOMB+0,5*V17	2	101,03	1,31	101,03	0,87	ELU
HIP.54	G+BOMB+0,5*V18	1	9,14	0,29	9,14	0,19	ELU
	G+BOMB+0,5*V18	2	100,88	1,17	100,88	0,78	ELU
HIP.55	G+BOMB+0,5*V19	1	7,76	0,05	7,76	0,03	ELU
	G+BOMB+0,5*V19	2	98,32	0,99	98,32	0,66	ELU
HIP.56	G+BOMB+0,5*V20	1	7,79	0,05	7,79	0,04	ELU
	G+BOMB+0,5*V20	2	98,47	1,12	98,47	0,75	ELU
HIP.57	G+BOMB+0,5*V21	1	8,22	0,16	8,22	0,11	ELU
	G+BOMB+0,5*V21	2	96,40	2,44	96,40	1,63	ELU
HIP.58	G+BOMB+0,5*V22	1	8,47	0,18	8,47	0,12	ELU
	G+BOMB+0,5*V22	2	97,79	1,08	97,79	0,72	ELU
HIP.59	G+BOMB+0,5*V23	1	8,70	0,27	8,70	0,18	ELU
	G+BOMB+0,5*V23	2	102,96	4,70	102,96	3,15	ELU
HIP.60	G+BOMB+0,5*V24	1	8,45	0,20	8,45	0,14	ELU
	G+BOMB+0,5*V24	2	101,57	3,33	101,57	2,23	ELU
HIP.61	G+BOMB+0,5*V1+0,3*Q	1	9,41	0,31	9,41	0,21	ELU
	G+BOMB+0,5*V1+0,3*Q	2	105,71	1,38	105,71	0,93	ELU
HIP.62	G+BOMB+0,5*V2+0,3*Q	1	9,39	0,30	9,39	0,20	ELU
	G+BOMB+0,5*V2+0,3*Q	2	105,56	1,25	105,56	0,84	ELU
HIP.63	G+BOMB+0,5*V3+0,3*Q	1	8,01	0,05	8,01	0,04	ELU
	G+BOMB+0,5*V3+0,3*Q	2	103,00	1,06	103,00	0,71	ELU
HIP.64	G+BOMB+0,5*V4+0,3*Q	1	8,03	0,06	8,03	0,04	ELU
	G+BOMB+0,5*V4+0,3*Q	2	103,15	1,20	103,15	0,80	ELU
HIP.65	G+BOMB+0,5*V5+0,3*Q	1	8,47	0,17	8,47	0,12	ELU
	G+BOMB+0,5*V5+0,3*Q	2	101,07	2,36	101,07	1,58	ELU
HIP.66	G+BOMB+0,5*V6+0,3*Q	1	8,72	0,19	8,72	0,13	ELU
	G+BOMB+0,5*V6+0,3*Q	2	102,46	1,01	102,46	0,67	ELU
HIP.67	G+BOMB+0,5*V7+0,3*Q	1	8,95	0,28	8,95	0,19	ELU
	G+BOMB+0,5*V7+0,3*Q	2	107,63	4,78	107,63	3,20	ELU
HIP.68	G+BOMB+0,5*V8+0,3*Q	1	8,70	0,21	8,70	0,14	ELU
	G+BOMB+0,5*V8+0,3*Q	2	106,24	3,41	106,24	2,28	ELU

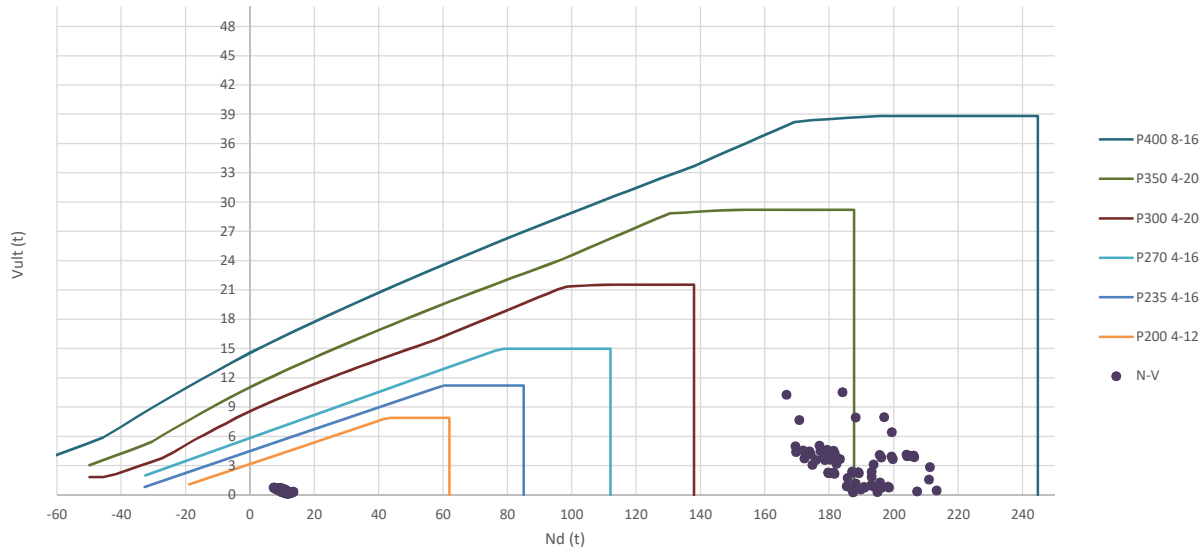
Seccion (mm.)	e _x (m.)	e _y (m.)	Henc. (m.)
400	1,40	0,00	1,25
COMPROBACIÓN (compresión)	CUMPLE		
MAX. AXIL	213,30		(TON)
MIN. AXIL	0,00		(TON)
COMPROBACIÓN (tracción)	CUMPLE		

L.1(m)	0,00
L.2(m)	0,00
L.Influenc.(m)	0,00
CERRAM.(ton.)	0,00
αx (inclinación)	0,00
αy (inclinación)	0,00

Curva de resistencia axil-momento (en cualquier dirección)



Curva de resistencia axil-cortante



PILAR: PB5



COMPROBACIÓN ESFUERZOS:

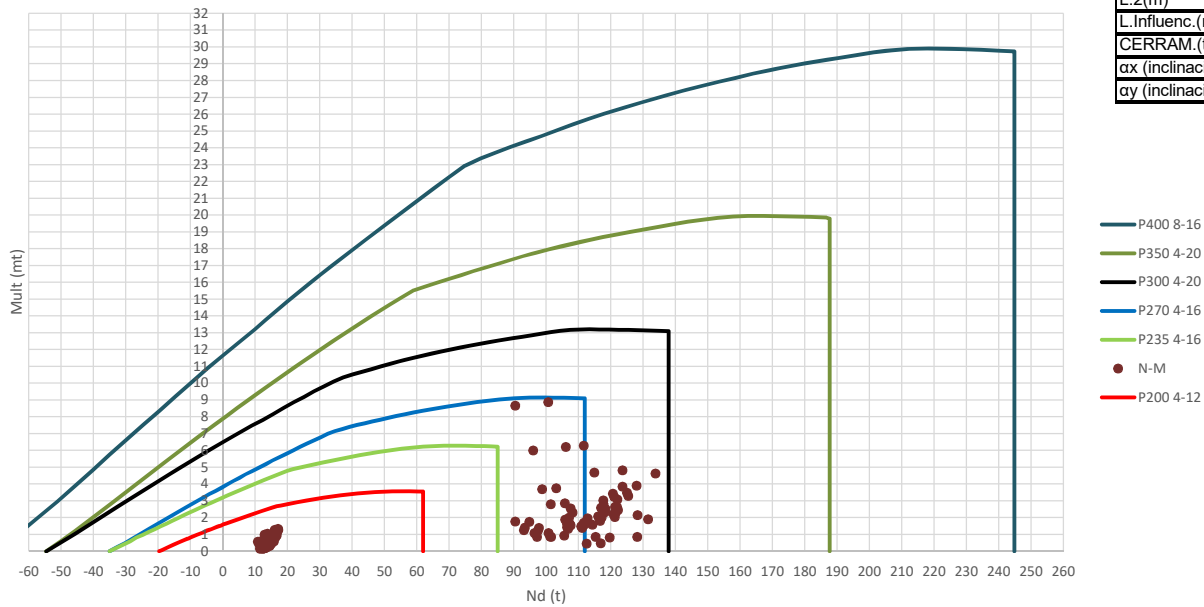
P18147P Parcela R20

	LC: COMB.	nº PILOTE	N _{pilote} (T) a ras de suelo	M ult. Pilote (mT)	N _{pilote} (T) a ras de suelo	V ult-Pilote (T)	ESTADO LIMITE
HIP.1	G	1	10,24	0,60	10,24	0,40	ELS
	G	2	180,18	5,39	180,18	3,61	ELS
HIP.2	G+Q	1	11,17	0,67	11,17	0,45	ELS
	G+Q	2	205,16	5,98	205,16	4,00	ELS
HIP.3	G+V1	1	11,63	0,25	11,63	0,17	ELS
	G+V1	2	182,20	5,09	182,20	3,40	ELS
HIP.4	G+V2	1	11,69	0,26	11,69	0,17	ELS
	G+V2	2	181,80	5,47	181,80	3,66	ELS
HIP.5	G+V3	1	8,84	1,02	8,84	0,68	ELS
	G+V3	2	178,17	5,73	178,17	3,83	ELS
HIP.6	G+V4	1	8,78	1,04	8,78	0,69	ELS
	G+V4	2	178,57	5,35	178,57	3,58	ELS
HIP.7	G+V5	1	10,15	0,77	10,15	0,52	ELS
	G+V5	2	166,62	15,35	166,62	10,26	ELS
HIP.8	G+V6	1	9,38	0,87	9,38	0,58	ELS
	G+V6	2	170,61	11,47	170,61	7,67	ELS
HIP.9	G+V7	1	10,32	0,74	10,32	0,50	ELS
	G+V7	2	193,75	4,66	193,75	3,12	ELS
HIP.10	G+V8	1	11,09	0,41	11,09	0,27	ELS
	G+V8	2	189,76	0,82	189,76	0,55	ELS
HIP.11	G+Q+0,6°V1	1	12,01	0,44	12,01	0,29	ELS
	G+Q+0,6°V1	2	206,37	5,79	206,37	3,87	ELS
HIP.12	G+Q+0,6°V2	1	12,05	0,43	12,05	0,29	ELS
	G+Q+0,6°V2	2	206,13	6,02	206,13	4,03	ELS
HIP.13	G+Q+0,6°V3	1	10,33	0,92	10,33	0,62	ELS
	G+Q+0,6°V3	2	203,95	6,18	203,95	4,13	ELS
HIP.14	G+Q+0,6°V4	1	10,30	0,93	10,30	0,62	ELS
	G+Q+0,6°V4	2	204,19	5,95	204,19	3,98	ELS
HIP.15	G+Q+0,6°V5	1	11,12	0,74	11,12	0,49	ELS
	G+Q+0,6°V5	2	197,02	11,94	197,02	7,99	ELS
HIP.16	G+Q+0,6°V6	1	10,66	0,83	10,66	0,56	ELS
	G+Q+0,6°V6	2	199,42	9,62	199,42	6,43	ELS
HIP.17	G+Q+0,6°V7	1	11,22	0,72	11,22	0,48	ELS
	G+Q+0,6°V7	2	213,30	0,72	213,30	0,48	ELS
HIP.18	G+Q+0,6°V8	1	11,69	0,54	11,69	0,36	ELS
	G+Q+0,6°V8	2	210,90	2,36	210,90	1,58	ELS
HIP.19	G+V1+0,7°Q	1	12,29	0,29	12,29	0,20	ELS
	G+V1+0,7°Q	2	199,68	5,49	199,68	3,68	ELS
HIP.20	G+V2+0,7°Q	1	12,35	0,30	12,35	0,20	ELS
	G+V2+0,7°Q	2	199,28	5,88	199,28	3,93	ELS
HIP.21	G+V3+0,7°Q	1	9,49	1,07	9,49	0,71	ELS
	G+V3+0,7°Q	2	195,65	6,14	195,65	4,11	ELS
HIP.22	G+V4+0,7°Q	1	9,43	1,09	9,43	0,73	ELS
	G+V4+0,7°Q	2	196,05	5,76	196,05	3,85	ELS
HIP.23	G+V5+0,7°Q	1	10,81	0,81	10,81	0,54	ELS
	G+V5+0,7°Q	2	184,10	15,75	184,10	10,54	ELS
HIP.24	G+V6+0,7°Q	1	10,03	0,92	10,03	0,62	ELS
	G+V6+0,7°Q	2	188,10	11,87	188,10	7,94	ELS
HIP.25	G+V7+0,7°Q	1	10,97	0,78	10,97	0,52	ELS
	G+V7+0,7°Q	2	211,23	4,27	211,23	2,86	ELS
HIP.26	G+V8+0,7°Q	1	11,75	0,45	11,75	0,30	ELS
	G+V8+0,7°Q	2	207,24	0,55	207,24	0,37	ELS
HIP.27	G+Sx	1	7,92	0,96	7,92	0,64	ELU
	G+Sx	2	188,57	1,02	188,57	0,68	ELU
HIP.28	G-Sx	1	12,55	0,36	12,55	0,24	ELU
	G-Sx	2	171,80	6,82	171,80	4,56	ELU
HIP.29	G+Sy	1	8,11	0,92	8,11	0,62	ELU
	G+Sy	2	188,18	1,79	188,18	1,20	ELU
HIP.30	G-Sy	1	12,36	0,30	12,36	0,20	ELU
	G-Sy	2	172,19	5,62	172,19	3,76	ELU
HIP.31	G+Sx+0,3°Sy	1	7,29	1,13	7,29	0,75	ELU
	G+Sx+0,3°Sy	2	190,97	1,16	190,97	0,78	ELU
HIP.32	G+Sx-0,3°Sy	1	8,56	0,80	8,56	0,54	ELU
	G+Sx-0,3°Sy	2	186,17	1,24	186,17	0,83	ELU
HIP.33	G-Sx+0,3°Sy	1	11,91	0,26	11,91	0,18	ELU
	G-Sx+0,3°Sy	2	174,20	6,21	174,20	4,15	ELU
HIP.34	G-Sx-0,3°Sy	1	13,19	0,50	13,19	0,33	ELU
	G-Sx-0,3°Sy	2	169,40	7,44	169,40	4,98	ELU
HIP.35	G+Sy+0,3°Sx	1	7,42	1,10	7,42	0,73	ELU
	G+Sy+0,3°Sx	2	190,70	1,23	190,70	0,83	ELU
HIP.36	G+Sy-0,3°Sx	1	8,80	0,75	8,80	0,50	ELU
	G+Sy-0,3°Sx	2	185,67	2,62	185,67	1,75	ELU
HIP.37	G-Sy+0,3°Sx	1	11,67	0,20	11,67	0,13	ELU
	G-Sy+0,3°Sx	2	174,70	4,64	174,70	3,10	ELU
HIP.38	G-Sy-0,3°Sx	1	13,06	0,45	13,06	0,30	ELU
	G-Sy-0,3°Sx	2	169,67	6,60	169,67	4,41	ELU
HIP.39	G+Sx+0,3°Q	1	8,21	0,98	8,21	0,65	ELU
	G+Sx+0,3°Q	2	196,06	1,08	196,06	0,72	ELU
HIP.40	G-Sx+0,3°Q	1	12,83	0,36	12,83	0,24	ELU

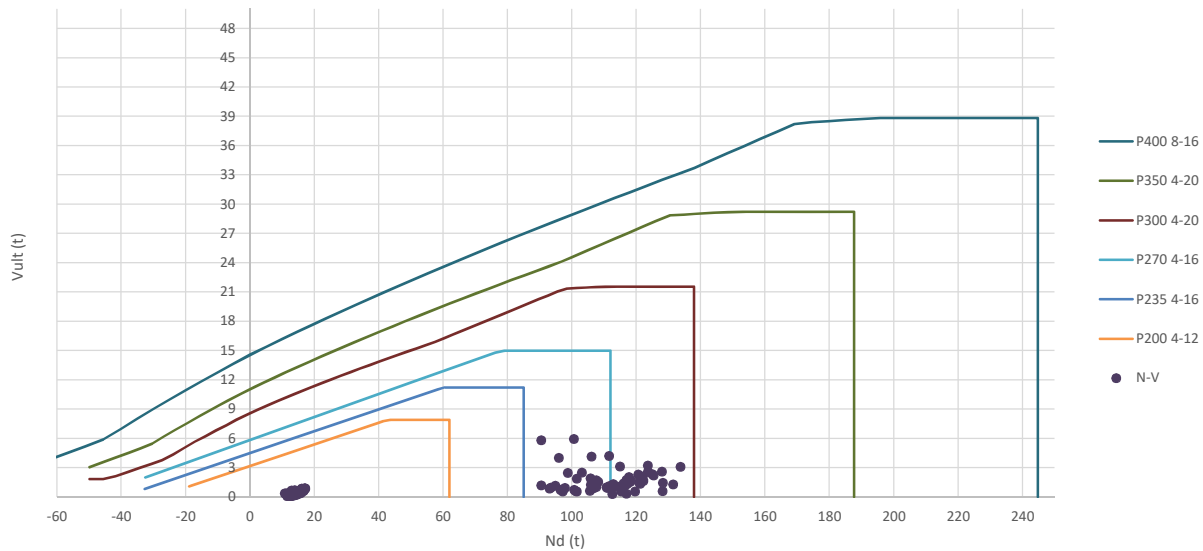
	G-Sx+0,3*Q	2	179,29	6,94	179,29	4,64	ELU
HIP.41	G+Sy+0,3*Q	1	8,39	0,93	8,39	0,63	ELU
	G+Sy+0,3*Q	2	195,67	1,90	195,67	1,27	ELU
HIP.42	G-Sy+0,3*Q	1	12,64	0,29	12,64	0,20	ELU
	G-Sy+0,3*Q	2	179,68	5,73	179,68	3,83	ELU
HIP.43	G+Sx+0,3*Sy+0,3*Q	1	7,57	1,14	7,57	0,76	ELU
	G+Sx+0,3*Sy+0,3*Q	2	198,46	1,15	198,46	0,77	ELU
HIP.44	G+Sx-0,3*Sy+0,3*Q	1	8,84	0,81	8,84	0,54	ELU
	G+Sx-0,3*Sy+0,3*Q	2	193,66	1,34	193,66	0,89	ELU
HIP.45	G-Sx+0,3*Sy+0,3*Q	1	12,19	0,27	12,19	0,18	ELU
	G-Sx+0,3*Sy+0,3*Q	2	181,69	6,32	181,69	4,23	ELU
HIP.46	G-Sx-0,3*Sy+0,3*Q	1	13,47	0,49	13,47	0,33	ELU
	G-Sx-0,3*Sy+0,3*Q	2	176,89	7,55	176,89	5,05	ELU
HIP.47	G+Sy+0,3*Sx+0,3*Q	1	7,70	1,11	7,70	0,74	ELU
	G+Sy+0,3*Sx+0,3*Q	2	198,19	1,30	198,19	0,87	ELU
HIP.48	G+Sy-0,3*Sx+0,3*Q	1	9,08	0,76	9,08	0,51	ELU
	G+Sy-0,3*Sx+0,3*Q	2	193,16	2,73	193,16	1,83	ELU
HIP.49	G-Sy+0,3*Sx+0,3*Q	1	11,95	0,20	11,95	0,14	ELU
	G-Sy+0,3*Sx+0,3*Q	2	182,19	4,76	182,19	3,18	ELU
HIP.50	G-Sy-0,3*Sx+0,3*Q	1	13,34	0,44	13,34	0,30	ELU
	G-Sy-0,3*Sx+0,3*Q	2	177,16	6,71	177,16	4,49	ELU
HIP.51	G+BOMB	1	10,32	0,38	10,32	0,26	ELU
	G+BOMB	2	180,60	3,35	180,60	2,24	ELU
HIP.52	G+BOMB+0,5*Q	1	10,79	0,41	10,79	0,27	ELU
	G+BOMB+0,5*Q	2	193,09	3,55	193,09	2,37	ELU
HIP.53	G+BOMB+0,5*V1	1	11,02	0,25	11,02	0,17	ELU
	G+BOMB+0,5*V1	2	181,61	3,25	181,61	2,17	ELU
HIP.54	G+BOMB+0,5*V2	1	11,05	0,25	11,05	0,17	ELU
	G+BOMB+0,5*V2	2	181,41	3,38	181,41	2,26	ELU
HIP.55	G+BOMB+0,5*V3	1	9,62	0,52	9,62	0,35	ELU
	G+BOMB+0,5*V3	2	179,60	3,46	179,60	2,32	ELU
HIP.56	G+BOMB+0,5*V4	1	9,59	0,53	9,59	0,35	ELU
	G+BOMB+0,5*V4	2	179,80	3,34	179,80	2,23	ELU
HIP.57	G+BOMB+0,5*V5	1	10,28	0,42	10,28	0,28	ELU
	G+BOMB+0,5*V5	2	173,82	6,67	173,82	4,46	ELU
HIP.58	G+BOMB+0,5*V6	1	9,89	0,47	9,89	0,31	ELU
	G+BOMB+0,5*V6	2	175,82	5,38	175,82	3,60	ELU
HIP.59	G+BOMB+0,5*V7	1	10,36	0,41	10,36	0,27	ELU
	G+BOMB+0,5*V7	2	187,39	0,41	187,39	0,27	ELU
HIP.60	G+BOMB+0,5*V8	1	10,75	0,31	10,75	0,21	ELU
	G+BOMB+0,5*V8	2	185,39	1,34	185,39	0,90	ELU
HIP.61	G+BOMB+0,5*V1+0,3*Q	1	11,30	0,27	11,30	0,18	ELU
	G+BOMB+0,5*V1+0,3*Q	2	189,10	3,36	189,10	2,25	ELU
HIP.62	G+BOMB+0,5*V2+0,3*Q	1	11,33	0,26	11,33	0,18	ELU
	G+BOMB+0,5*V2+0,3*Q	2	188,90	3,49	188,90	2,34	ELU
HIP.63	G+BOMB+0,5*V3+0,3*Q	1	9,90	0,53	9,90	0,36	ELU
	G+BOMB+0,5*V3+0,3*Q	2	187,09	3,58	187,09	2,39	ELU
HIP.64	G+BOMB+0,5*V4+0,3*Q	1	9,87	0,54	9,87	0,36	ELU
	G+BOMB+0,5*V4+0,3*Q	2	187,29	3,45	187,29	2,31	ELU
HIP.65	G+BOMB+0,5*V5+0,3*Q	1	10,56	0,43	10,56	0,29	ELU
	G+BOMB+0,5*V5+0,3*Q	2	181,31	6,78	181,31	4,54	ELU
HIP.66	G+BOMB+0,5*V6+0,3*Q	1	10,17	0,48	10,17	0,32	ELU
	G+BOMB+0,5*V6+0,3*Q	2	183,31	5,49	183,31	3,67	ELU
HIP.67	G+BOMB+0,5*V7+0,3*Q	1	10,64	0,42	10,64	0,28	ELU
	G+BOMB+0,5*V7+0,3*Q	2	194,88	0,44	194,88	0,29	ELU
HIP.68	G+BOMB+0,5*V8+0,3*Q	1	11,03	0,32	11,03	0,22	ELU
	G+BOMB+0,5*V8+0,3*Q	2	192,88	1,46	192,88	0,98	ELU

Seccion (mm.)	e _x (m.)	e _y (m.)	Henc. (m.)
400	1,40	0,00	1,25
COMPROBACIÓN (compresión)	CUMPLE		
MAX. AXIL	133,75		(TON)
MIN. AXIL	0,00		(TON)
COMPROBACIÓN (tracción)	CUMPLE		
L.1(m)	0,00		
L.2(m)	0,00		
L.Influenc.(m)	0,00		
CERRAM.(ton.)	0,00		
αx (inclinación)	0,00		
αy (inclinación)	0,00		

Curva de resistencia axil-momento (en cualquier dirección)



Curva de resistencia axil-cortante



PILAR: PB8



COMPROBACIÓN ESFUERZOS:

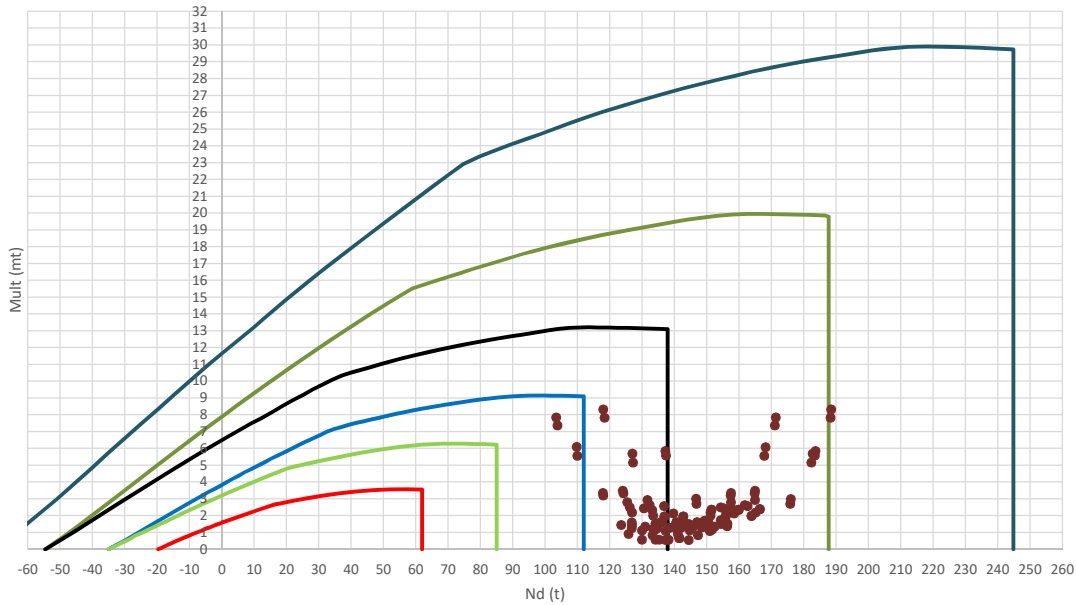
P18147P Parcela R20

	LC: COMB.	nº PILOTE	N _{pilote} (T) a ras de suelo	M ult. Pilote (mT)	N _{pilote} (T) a ras de suelo	V ult.-Pilote (T)	ESTADO LIMITE
HIP.1	G	1	13,80	0,61	13,80	0,41	ELS
	G	2	107,04	2,01	107,04	1,34	ELS
HIP.2	G+Q	1	15,17	0,69	15,17	0,46	ELS
	G+Q	2	121,54	2,31	121,54	1,54	ELS
HIP.3	G+V25	1	16,11	1,27	16,11	0,85	ELS
	G+V25	2	107,60	2,56	107,60	1,71	ELS
HIP.4	G+V26	1	16,01	1,22	16,01	0,82	ELS
	G+V26	2	108,18	2,31	108,18	1,54	ELS
HIP.5	G+V27	1	11,49	0,16	11,49	0,11	ELS
	G+V27	2	106,48	1,61	106,48	1,08	ELS
HIP.6	G+V28	1	11,59	0,17	11,59	0,11	ELS
	G+V28	2	105,90	1,88	105,90	1,26	ELS
HIP.7	G+V29	1	14,73	0,59	14,73	0,40	ELS
	G+V29	2	123,60	4,83	123,60	3,23	ELS
HIP.8	G+V30	1	15,69	0,90	15,69	0,60	ELS
	G+V30	2	118,11	2,32	118,11	1,55	ELS
HIP.9	G+V31	1	12,88	1,00	12,88	0,67	ELS
	G+V31	2	90,47	8,68	90,47	5,80	ELS
HIP.10	G+V32	1	11,92	0,60	11,92	0,40	ELS
	G+V32	2	95,96	6,00	95,96	4,02	ELS
HIP.11	G+Q+0,6*V25	1	16,56	1,08	16,56	0,73	ELS
	G+Q+0,6*V25	2	121,87	2,62	121,87	1,75	ELS
HIP.12	G+Q+0,6*V26	1	16,50	1,06	16,50	0,71	ELS
	G+Q+0,6*V26	2	122,22	2,46	122,22	1,65	ELS
HIP.13	G+Q+0,6*V27	1	13,79	0,31	13,79	0,21	ELS
	G+Q+0,6*V27	2	121,20	2,04	121,20	1,37	ELS
HIP.14	G+Q+0,6*V28	1	13,85	0,34	13,85	0,23	ELS
	G+Q+0,6*V28	2	120,85	2,20	120,85	1,47	ELS
HIP.15	G+Q+0,6*V29	1	15,73	0,60	15,73	0,40	ELS
	G+Q+0,6*V29	2	131,48	1,92	131,48	1,28	ELS
HIP.16	G+Q+0,6*V30	1	16,30	0,84	16,30	0,56	ELS
	G+Q+0,6*V30	2	128,18	0,87	128,18	0,58	ELS
HIP.17	G+Q+0,6*V31	1	14,62	0,90	14,62	0,60	ELS
	G+Q+0,6*V31	2	111,60	6,29	111,60	4,21	ELS
HIP.18	G+Q+0,6*V32	1	14,04	0,63	14,04	0,42	ELS
	G+Q+0,6*V32	2	114,89	4,68	114,89	3,13	ELS
HIP.19	G+V1+0,7*Q	1	17,07	1,33	17,07	0,89	ELS
	G+V1+0,7*Q	2	117,75	2,76	117,75	1,85	ELS
HIP.20	G+V2+0,7*Q	1	16,97	1,28	16,97	0,86	ELS
	G+V2+0,7*Q	2	118,33	2,51	118,33	1,68	ELS
HIP.21	G+V3+0,7*Q	1	12,45	0,16	12,45	0,11	ELS
	G+V3+0,7*Q	2	116,63	1,81	116,63	1,21	ELS
HIP.22	G+V4+0,7*Q	1	12,55	0,18	12,55	0,12	ELS
	G+V4+0,7*Q	2	116,05	2,08	116,05	1,39	ELS
HIP.23	G+V5+0,7*Q	1	15,69	0,63	15,69	0,42	ELS
	G+V5+0,7*Q	2	133,75	4,63	133,75	3,10	ELS
HIP.24	G+V6+0,7*Q	1	16,65	0,95	16,65	0,63	ELS
	G+V6+0,7*Q	2	128,26	2,16	128,26	1,45	ELS
HIP.25	G+V7+0,7*Q	1	13,84	1,05	13,84	0,70	ELS
	G+V7+0,7*Q	2	100,62	8,88	100,62	5,94	ELS
HIP.26	G+V8+0,7*Q	1	12,88	0,65	12,88	0,43	ELS
	G+V8+0,7*Q	2	106,11	6,21	106,11	4,15	ELS
HIP.27	G+Sx	1	11,26	0,43	11,26	0,29	ELU
	G+Sx	2	120,64	3,44	120,64	2,30	ELU
HIP.28	G-Sx	1	16,35	1,12	16,35	0,75	ELU
	G-Sx	2	93,43	1,41	93,43	0,95	ELU
HIP.29	G+Sy	1	12,32	0,21	12,32	0,14	ELU
	G+Sy	2	116,93	2,60	116,93	1,74	ELU
HIP.30	G-Sy	1	15,29	0,85	15,29	0,57	ELU
	G-Sy	2	97,14	0,85	97,14	0,57	ELU
HIP.31	G+Sx+0,3*Sy	1	10,81	0,57	10,81	0,38	ELU
	G+Sx+0,3*Sy	2	123,61	3,85	123,61	2,57	ELU
HIP.32	G+Sx-0,3*Sy	1	11,70	0,31	11,70	0,21	ELU
	G+Sx-0,3*Sy	2	117,67	3,03	117,67	2,03	ELU
HIP.33	G-Sx+0,3*Sy	1	15,90	0,98	15,90	0,66	ELU
	G-Sx+0,3*Sy	2	96,40	1,09	96,40	0,73	ELU
HIP.34	G-Sx-0,3*Sy	1	16,79	1,26	16,79	0,85	ELU
	G-Sx-0,3*Sy	2	90,46	1,78	90,46	1,19	ELU
HIP.35	G+Sy+0,3*Sx	1	11,56	0,38	11,56	0,26	ELU
	G+Sy+0,3*Sx	2	121,01	3,25	121,01	2,17	ELU
HIP.36	G+Sy-0,3*Sx	1	13,08	0,21	13,08	0,14	ELU
	G+Sy-0,3*Sx	2	112,85	1,96	112,85	1,31	ELU
HIP.37	G-Sy+0,3*Sx	1	14,52	0,63	14,52	0,42	ELU
	G-Sy+0,3*Sx	2	101,23	0,88	101,23	0,59	ELU
HIP.38	G-Sy-0,3*Sx	1	16,05	1,07	16,05	0,72	ELU
	G-Sy-0,3*Sx	2	93,06	1,27	93,06	0,85	ELU
HIP.39	G+Sx+0,3*Q	1	11,67	0,43	11,67	0,28	ELU
	G+Sx+0,3*Q	2	124,99	3,49	124,99	2,34	ELU
HIP.40	G-Sx+0,3*Q	1	16,76	1,14	16,76	0,76	ELU

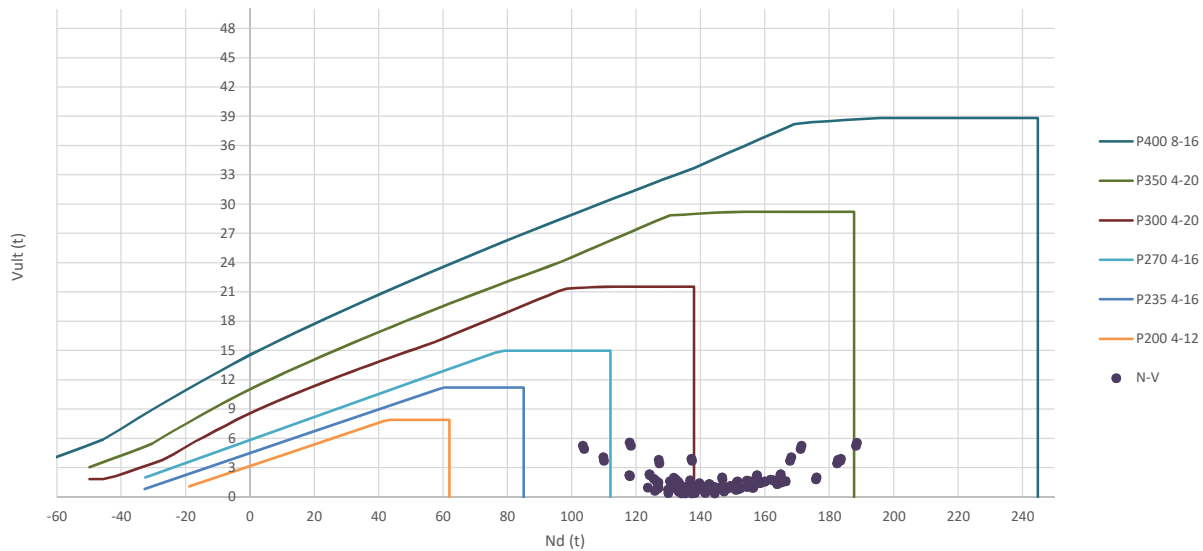
	G-Sx+0,3*Q	2	97,78	1,39	97,78	0,93	ELU
HIP.41	G+Sy+0,3*Q	1	12,73	0,21	12,73	0,14	ELU
	G+Sy+0,3*Q	2	121,28	2,65	121,28	1,77	ELU
HIP.42	G-Sy+0,3*Q	1	15,70	0,87	15,70	0,58	ELU
	G-Sy+0,3*Q	2	101,49	0,87	101,49	0,58	ELU
HIP.43	G+Sx+0,3*Sy+0,3*Q	1	11,23	0,55	11,23	0,37	ELU
	G+Sx+0,3*Sy+0,3*Q	2	127,96	3,90	127,96	2,61	ELU
HIP.44	G+Sx-0,3*Sy+0,3*Q	1	12,12	0,31	12,12	0,21	ELU
	G+Sx-0,3*Sy+0,3*Q	2	122,02	3,09	122,02	2,07	ELU
HIP.45	G-Sx+0,3*Sy+0,3*Q	1	16,31	1,00	16,31	0,67	ELU
	G-Sx+0,3*Sy+0,3*Q	2	100,75	1,08	100,75	0,72	ELU
HIP.46	G-Sx-0,3*Sy+0,3*Q	1	17,20	1,28	17,20	0,86	ELU
	G-Sx-0,3*Sy+0,3*Q	2	94,81	1,75	94,81	1,17	ELU
HIP.47	G+Sy+0,3*Sx+0,3*Q	1	11,97	0,38	11,97	0,25	ELU
	G+Sy+0,3*Sx+0,3*Q	2	125,36	3,31	125,36	2,21	ELU
HIP.48	G+Sy-0,3*Sx+0,3*Q	1	13,49	0,23	13,49	0,15	ELU
	G+Sy-0,3*Sx+0,3*Q	2	117,20	2,02	117,20	1,35	ELU
HIP.49	G-Sy+0,3*Sx+0,3*Q	1	14,94	0,65	14,94	0,43	ELU
	G-Sy+0,3*Sx+0,3*Q	2	105,58	0,93	105,58	0,62	ELU
HIP.50	G-Sy-0,3*Sx+0,3*Q	1	16,46	1,09	16,46	0,73	ELU
	G-Sy-0,3*Sx+0,3*Q	2	97,41	1,25	97,41	0,84	ELU
HIP.51	G+BOMB	1	13,62	0,37	13,62	0,25	ELU
	G+BOMB	2	107,01	1,48	107,01	0,99	ELU
HIP.52	G+BOMB+0,5*Q	1	14,31	0,40	14,31	0,27	ELU
	G+BOMB+0,5*Q	2	114,26	1,57	114,26	1,05	ELU
HIP.53	G+BOMB+0,5*V25	1	14,78	0,59	14,78	0,39	ELU
	G+BOMB+0,5*V25	2	107,29	1,64	107,29	1,10	ELU
HIP.54	G+BOMB+0,5*V26	1	14,73	0,57	14,73	0,38	ELU
	G+BOMB+0,5*V26	2	107,57	1,55	107,57	1,04	ELU
HIP.55	G+BOMB+0,5*V27	1	12,47	0,17	12,47	0,11	ELU
	G+BOMB+0,5*V27	2	106,72	1,34	106,72	0,89	ELU
HIP.56	G+BOMB+0,5*V28	1	12,52	0,19	12,52	0,12	ELU
	G+BOMB+0,5*V28	2	106,44	1,43	106,44	0,95	ELU
HIP.57	G+BOMB+0,5*V29	1	14,09	0,32	14,09	0,21	ELU
	G+BOMB+0,5*V29	2	115,29	0,87	115,29	0,58	ELU
HIP.58	G+BOMB+0,5*V30	1	14,57	0,45	14,57	0,30	ELU
	G+BOMB+0,5*V30	2	112,54	0,45	112,54	0,30	ELU
HIP.59	G+BOMB+0,5*V31	1	13,16	0,50	13,16	0,33	ELU
	G+BOMB+0,5*V31	2	98,72	3,70	98,72	2,47	ELU
HIP.60	G+BOMB+0,5*V32	1	12,68	0,35	12,68	0,24	ELU
	G+BOMB+0,5*V32	2	101,47	2,80	101,47	1,87	ELU
HIP.61	G+BOMB+0,5*V1+0,3*Q	1	15,19	0,61	15,19	0,41	ELU
	G+BOMB+0,5*V1+0,3*Q	2	111,64	1,70	111,64	1,14	ELU
HIP.62	G+BOMB+0,5*V2+0,3*Q	1	15,14	0,59	15,14	0,39	ELU
	G+BOMB+0,5*V2+0,3*Q	2	111,92	1,61	111,92	1,08	ELU
HIP.63	G+BOMB+0,5*V3+0,3*Q	1	12,88	0,19	12,88	0,12	ELU
	G+BOMB+0,5*V3+0,3*Q	2	111,07	1,39	111,07	0,93	ELU
HIP.64	G+BOMB+0,5*V4+0,3*Q	1	12,93	0,20	12,93	0,13	ELU
	G+BOMB+0,5*V4+0,3*Q	2	110,79	1,49	110,79	0,99	ELU
HIP.65	G+BOMB+0,5*V5+0,3*Q	1	14,50	0,33	14,50	0,22	ELU
	G+BOMB+0,5*V5+0,3*Q	2	119,64	0,82	119,64	0,55	ELU
HIP.66	G+BOMB+0,5*V6+0,3*Q	1	14,98	0,46	14,98	0,31	ELU
	G+BOMB+0,5*V6+0,3*Q	2	116,89	0,48	116,89	0,32	ELU
HIP.67	G+BOMB+0,5*V7+0,3*Q	1	13,57	0,51	13,57	0,34	ELU
	G+BOMB+0,5*V7+0,3*Q	2	103,07	3,75	103,07	2,51	ELU
HIP.68	G+BOMB+0,5*V8+0,3*Q	1	13,09	0,37	13,09	0,25	ELU
	G+BOMB+0,5*V8+0,3*Q	2	105,82	2,86	105,82	1,91	ELU

Seccion (mm.)	e _x (m.)	e _y (m.)	Henc. (m.)
400	0,00	1,65	1,30
COMPROBACIÓN (compresión)	CUMPLE		
MAX. AXIL	188,50		(TON)
MIN. AXIL	0,00		(TON)
COMPROBACIÓN (tracción)	CUMPLE		
	L.1(m)		0,00
	L.2(m)		0,00
	L.Influenc.(m)		0,00
	CERRAM.(ton.)		0,00
	αx (inclinación)		0,00
	αy (inclinación)		0,00

Curva de resistencia axil-momento (en cualquier dirección)



Curva de resistencia axil-cortante



PILAR: PAN1



COMPROBACIÓN ESFUERZOS:

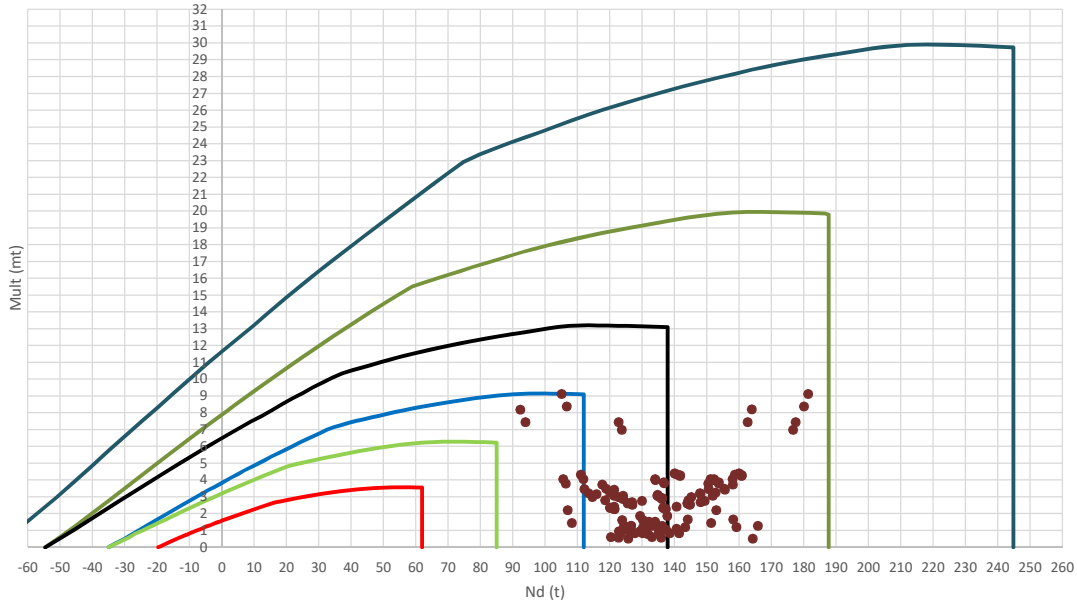
P18147P Parcela R20

	LC: COMB.	nº PILOTE	N _{pilote} (T) a ras de suelo	M ult. Pilote (mT)	N _{pilote} (T) a ras de suelo	V ult.-Pilote (T)	ESTADO LIMITE
HIP.1	G	1	140,51	1,62	140,51	1,08	ELS
	G	2	135,78	1,62	135,78	1,08	ELS
HIP.2	G+Q	1	165,09	2,20	165,09	1,47	ELS
	G+Q	2	156,56	2,20	156,56	1,47	ELS
HIP.3	G+V1	1	138,36	1,29	138,36	0,86	ELS
	G+V1	2	134,70	1,29	134,70	0,86	ELS
HIP.4	G+V2	1	138,36	1,28	138,36	0,86	ELS
	G+V2	2	134,70	1,28	134,70	0,86	ELS
HIP.5	G+V3	1	142,67	1,95	142,67	1,30	ELS
	G+V3	2	136,86	1,95	136,86	1,30	ELS
HIP.6	G+V4	1	142,67	1,96	142,67	1,31	ELS
	G+V4	2	136,86	1,96	136,86	1,31	ELS
HIP.7	G+V5	1	109,73	6,09	109,73	4,08	ELS
	G+V5	2	168,15	6,09	168,15	4,07	ELS
HIP.8	G+V6	1	109,97	5,57	109,97	3,72	ELS
	G+V6	2	167,79	5,57	167,79	3,72	ELS
HIP.9	G+V7	1	171,29	7,85	171,29	5,25	ELS
	G+V7	2	103,41	7,86	103,41	5,26	ELS
HIP.10	G+V8	1	171,06	7,36	171,06	4,93	ELS
	G+V8	2	103,76	7,36	103,76	4,93	ELS
HIP.11	G+Q+0,6°V1	1	163,79	2,00	163,79	1,34	ELS
	G+Q+0,6°V1	2	155,91	2,00	155,91	1,34	ELS
HIP.12	G+Q+0,6°V2	1	163,80	1,99	163,80	1,33	ELS
	G+Q+0,6°V2	2	155,91	1,99	155,91	1,33	ELS
HIP.13	G+Q+0,6°V3	1	166,38	2,39	166,38	1,60	ELS
	G+Q+0,6°V3	2	157,21	2,39	157,21	1,60	ELS
HIP.14	G+Q+0,6°V4	1	166,38	2,40	166,38	1,61	ELS
	G+Q+0,6°V4	2	157,20	2,40	157,20	1,61	ELS
HIP.15	G+Q+0,6°V5	1	146,62	3,01	146,62	2,01	ELS
	G+Q+0,6°V5	2	175,98	3,00	175,98	2,01	ELS
HIP.16	G+Q+0,6°V6	1	146,76	2,72	146,76	1,82	ELS
	G+Q+0,6°V6	2	175,76	2,72	175,76	1,82	ELS
HIP.17	G+Q+0,6°V7	1	183,56	5,85	183,56	3,92	ELS
	G+Q+0,6°V7	2	137,13	5,86	137,13	3,92	ELS
HIP.18	G+Q+0,6°V8	1	183,41	5,57	183,41	3,73	ELS
	G+Q+0,6°V8	2	137,35	5,57	137,35	3,73	ELS
HIP.19	G+V1+0,7°Q	1	155,56	1,69	155,56	1,13	ELS
	G+V1+0,7°Q	2	149,24	1,69	149,24	1,13	ELS
HIP.20	G+V2+0,7°Q	1	155,56	1,67	155,56	1,12	ELS
	G+V2+0,7°Q	2	149,25	1,67	149,25	1,12	ELS
HIP.21	G+V3+0,7°Q	1	159,87	2,34	159,87	1,57	ELS
	G+V3+0,7°Q	2	151,41	2,34	151,41	1,57	ELS
HIP.22	G+V4+0,7°Q	1	159,87	2,36	159,87	1,58	ELS
	G+V4+0,7°Q	2	151,40	2,36	151,40	1,58	ELS
HIP.23	G+V5+0,7°Q	1	126,93	5,70	126,93	3,81	ELS
	G+V5+0,7°Q	2	182,69	5,69	182,69	3,81	ELS
HIP.24	G+V6+0,7°Q	1	127,17	5,17	127,17	3,46	ELS
	G+V6+0,7°Q	2	182,34	5,17	182,34	3,46	ELS
HIP.25	G+V7+0,7°Q	1	188,50	8,32	188,50	5,57	ELS
	G+V7+0,7°Q	2	117,95	8,32	117,95	5,57	ELS
HIP.26	G+V8+0,7°Q	1	188,26	7,83	188,26	5,24	ELS
	G+V8+0,7°Q	2	118,31	7,83	118,31	5,24	ELS
HIP.27	G+Sx	1	151,10	2,00	151,10	1,34	ELU
	G+Sx	2	133,39	2,00	133,39	1,34	ELU
HIP.28	G-Sx	1	129,93	0,58	129,93	0,39	ELU
	G-Sx	2	138,17	0,58	138,17	0,39	ELU
HIP.29	G+Sy	1	154,31	2,50	154,31	1,67	ELU
	G+Sy	2	126,12	2,50	126,12	1,67	ELU
HIP.30	G-Sy	1	126,72	1,27	126,72	0,85	ELU
	G-Sy	2	145,43	1,27	145,43	0,85	ELU
HIP.31	G+Sx+0,3°Sy	1	155,24	2,43	155,24	1,63	ELU
	G+Sx+0,3°Sy	2	130,50	2,43	130,50	1,63	ELU
HIP.32	G+Sx-0,3°Sy	1	146,96	1,62	146,96	1,08	ELU
	G+Sx-0,3°Sy	2	136,29	1,62	136,29	1,08	ELU
HIP.33	G-Sx+0,3°Sy	1	134,06	0,57	134,06	0,38	ELU
	G-Sx+0,3°Sy	2	135,27	0,57	135,27	0,38	ELU
HIP.34	G-Sx-0,3°Sy	1	125,79	0,92	125,79	0,62	ELU
	G-Sx-0,3°Sy	2	141,06	0,92	141,06	0,62	ELU
HIP.35	G+Sy+0,3°Sx	1	157,48	2,80	157,48	1,87	ELU
	G+Sy+0,3°Sx	2	125,41	2,80	125,41	1,87	ELU
HIP.36	G+Sy-0,3°Sx	1	151,13	2,20	151,13	1,47	ELU
	G+Sy-0,3°Sx	2	126,84	2,20	126,84	1,47	ELU
HIP.37	G-Sy+0,3°Sx	1	129,89	1,13	129,89	0,76	ELU
	G-Sy+0,3°Sx	2	144,72	1,13	144,72	0,76	ELU
HIP.38	G-Sy-0,3°Sx	1	123,54	1,45	123,54	0,97	ELU
	G-Sy-0,3°Sx	2	146,15	1,45	146,15	0,97	ELU
HIP.39	G+Sx+0,3°Q	1	158,47	2,13	158,47	1,43	ELU
	G+Sx+0,3°Q	2	139,63	2,13	139,63	1,43	ELU
HIP.40	G-Sx+0,3°Q	1	137,30	0,56	137,30	0,38	ELU

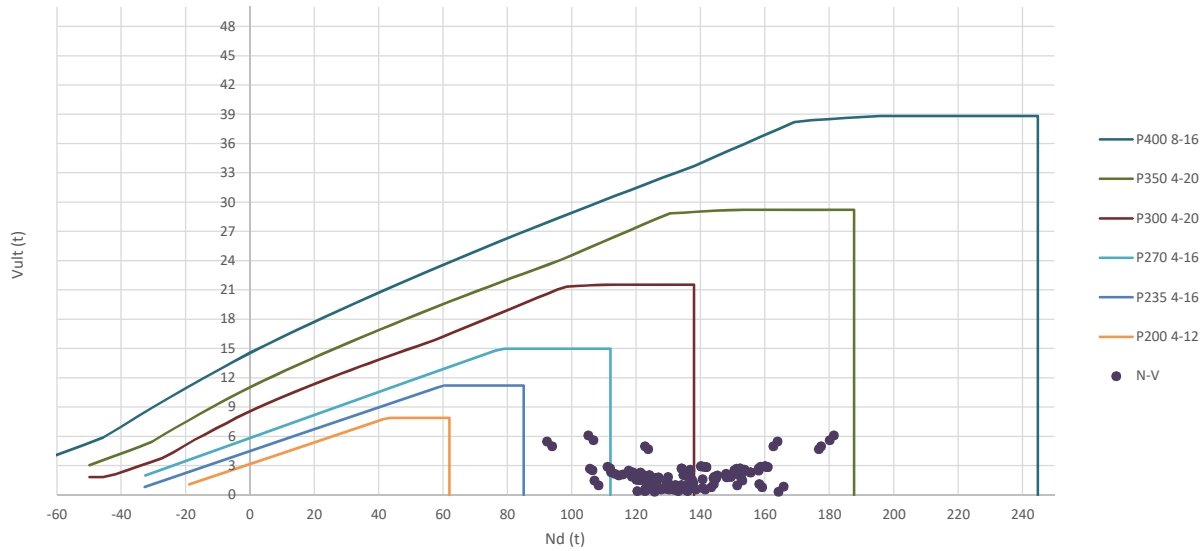
	G-Sx+0,3*Q	2	144,40	0,56	144,40	0,38	ELU
HIP.41	G+Sy+0,3*Q	1	161,68	2,63	161,68	1,76	ELU
	G+Sy+0,3*Q	2	132,36	2,63	132,36	1,76	ELU
HIP.42	G-Sy+0,3*Q	1	134,09	1,19	134,09	0,80	ELU
	G-Sy+0,3*Q	2	151,67	1,19	151,67	0,80	ELU
HIP.43	G+Sx+0,3*Sy+0,3*Q	1	162,61	2,56	162,61	1,72	ELU
	G+Sx+0,3*Sy+0,3*Q	2	136,73	2,56	136,73	1,72	ELU
HIP.44	G+Sx-0,3*Sy+0,3*Q	1	154,33	1,73	154,33	1,16	ELU
	G+Sx-0,3*Sy+0,3*Q	2	142,52	1,73	142,52	1,16	ELU
HIP.45	G-Sx+0,3*Sy+0,3*Q	1	141,44	0,66	141,44	0,44	ELU
	G-Sx+0,3*Sy+0,3*Q	2	141,50	0,66	141,50	0,44	ELU
HIP.46	G-Sx-0,3*Sy+0,3*Q	1	133,16	0,84	133,16	0,56	ELU
	G-Sx-0,3*Sy+0,3*Q	2	147,30	0,84	147,30	0,56	ELU
HIP.47	G+Sy+0,3*Sx+0,3*Q	1	164,86	2,94	164,86	1,96	ELU
	G+Sy+0,3*Sx+0,3*Q	2	131,64	2,94	131,64	1,96	ELU
HIP.48	G+Sy-0,3*Sx+0,3*Q	1	158,50	2,33	158,50	1,56	ELU
	G+Sy-0,3*Sx+0,3*Q	2	133,07	2,33	133,07	1,56	ELU
HIP.49	G-Sy+0,3*Sx+0,3*Q	1	137,27	1,09	137,27	0,73	ELU
	G-Sy+0,3*Sx+0,3*Q	2	150,95	1,09	150,95	0,73	ELU
HIP.50	G-Sy-0,3*Sx+0,3*Q	1	130,91	1,35	130,91	0,91	ELU
	G-Sy-0,3*Sx+0,3*Q	2	152,38	1,35	152,38	0,91	ELU
HIP.51	G+BOMB	1	142,11	1,31	142,11	0,87	ELU
	G+BOMB	2	133,99	1,31	133,99	0,87	ELU
HIP.52	G+BOMB+0,5*Q	1	154,40	1,51	154,40	1,01	ELU
	G+BOMB+0,5*Q	2	144,38	1,51	144,38	1,01	ELU
HIP.53	G+BOMB+0,5*V1	1	141,03	1,20	141,03	0,80	ELU
	G+BOMB+0,5*V1	2	133,45	1,20	133,45	0,80	ELU
HIP.54	G+BOMB+0,5*V2	1	141,03	1,19	141,03	0,80	ELU
	G+BOMB+0,5*V2	2	133,45	1,19	133,45	0,80	ELU
HIP.55	G+BOMB+0,5*V3	1	143,19	1,41	143,19	0,95	ELU
	G+BOMB+0,5*V3	2	134,53	1,41	134,53	0,95	ELU
HIP.56	G+BOMB+0,5*V4	1	143,19	1,42	143,19	0,95	ELU
	G+BOMB+0,5*V4	2	134,53	1,42	134,53	0,95	ELU
HIP.57	G+BOMB+0,5*V5	1	126,72	1,61	126,72	1,07	ELU
	G+BOMB+0,5*V5	2	150,18	1,60	150,18	1,07	ELU
HIP.58	G+BOMB+0,5*V6	1	126,84	1,44	126,84	0,97	ELU
	G+BOMB+0,5*V6	2	150,00	1,44	150,00	0,97	ELU
HIP.59	G+BOMB+0,5*V7	1	157,50	3,35	157,50	2,24	ELU
	G+BOMB+0,5*V7	2	117,81	3,35	117,81	2,24	ELU
HIP.60	G+BOMB+0,5*V8	1	157,38	3,20	157,38	2,14	ELU
	G+BOMB+0,5*V8	2	117,98	3,20	117,98	2,14	ELU
HIP.61	G+BOMB+0,5*V1+0,3*Q	1	148,41	1,32	148,41	0,89	ELU
	G+BOMB+0,5*V1+0,3*Q	2	139,68	1,32	139,68	0,89	ELU
HIP.62	G+BOMB+0,5*V2+0,3*Q	1	148,41	1,32	148,41	0,88	ELU
	G+BOMB+0,5*V2+0,3*Q	2	139,69	1,32	139,69	0,88	ELU
HIP.63	G+BOMB+0,5*V3+0,3*Q	1	150,56	1,54	150,56	1,03	ELU
	G+BOMB+0,5*V3+0,3*Q	2	140,77	1,54	140,77	1,03	ELU
HIP.64	G+BOMB+0,5*V4+0,3*Q	1	150,56	1,54	150,56	1,03	ELU
	G+BOMB+0,5*V4+0,3*Q	2	140,76	1,54	140,76	1,03	ELU
HIP.65	G+BOMB+0,5*V5+0,3*Q	1	134,09	1,53	134,09	1,02	ELU
	G+BOMB+0,5*V5+0,3*Q	2	156,41	1,52	156,41	1,02	ELU
HIP.66	G+BOMB+0,5*V6+0,3*Q	1	134,21	1,37	134,21	0,92	ELU
	G+BOMB+0,5*V6+0,3*Q	2	156,23	1,37	156,23	0,92	ELU
HIP.67	G+BOMB+0,5*V7+0,3*Q	1	164,87	3,49	164,87	2,33	ELU
	G+BOMB+0,5*V7+0,3*Q	2	124,04	3,49	124,04	2,33	ELU
HIP.68	G+BOMB+0,5*V8+0,3*Q	1	164,76	3,33	164,76	2,23	ELU
	G+BOMB+0,5*V8+0,3*Q	2	124,22	3,33	124,22	2,23	ELU

Seccion (mm.)	e _x (m.)	e _y (m.)	Henc. (m.)
400	0,00	1,65	1,30
COMPROBACIÓN (compresión)	CUMPLE		
MAX. AXIL	181,34	(TON)	
MIN. AXIL	0,00	(TON)	
COMPROBACIÓN (tracción)	CUMPLE		
	L.1(m)		0,00
	L.2(m)		0,00
	L.Influenc.(m)		0,00
	CERRAM.(ton.)		0,00
	αx (inclinación)		0,00
	αy (inclinación)		0,00

Curva de resistencia axil-momento (en cualquier dirección)



Curva de resistencia axil-cortante



PILAR: PAN2



COMPROBACIÓN ESFUERZOS:

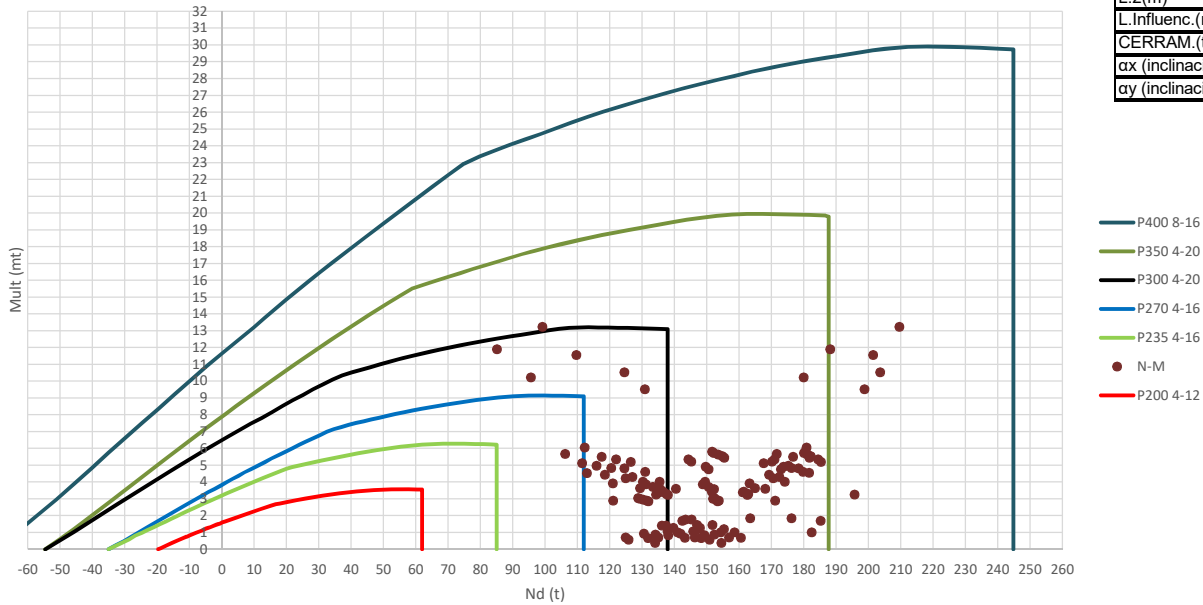
P18147P Parcela R20

	LC: COMB.	nº PILOTE	N _{pilote} (T) a ras de suelo	M ult. Pilote (mT)	N _{pilote} (T) a ras de suelo	V ult-Pilote (T)	ESTADO LIMITE
HIP.1	G	1	135,42	3,00	135,42	2,00	ELS
	G	2	122,60	3,00	122,60	2,00	ELS
HIP.2	G+Q	1	160,36	4,33	160,36	2,90	ELS
	G+Q	2	140,92	4,33	140,92	2,90	ELS
HIP.3	G+V1	1	136,20	2,93	136,20	1,96	ELS
	G+V1	2	123,88	2,93	123,88	1,96	ELS
HIP.4	G+V2	1	136,11	2,88	136,11	1,92	ELS
	G+V2	2	123,99	2,88	123,99	1,92	ELS
HIP.5	G+V3	1	134,65	3,07	134,65	2,06	ELS
	G+V3	2	121,32	3,07	121,32	2,06	ELS
HIP.6	G+V4	1	134,74	3,13	134,74	2,09	ELS
	G+V4	2	121,20	3,13	121,20	2,09	ELS
HIP.7	G+V5	1	106,97	2,21	106,97	1,48	ELS
	G+V5	2	152,93	2,21	152,93	1,48	ELS
HIP.8	G+V6	1	108,25	1,46	108,25	0,98	ELS
	G+V6	2	151,33	1,46	151,33	0,98	ELS
HIP.9	G+V7	1	163,88	8,20	163,88	5,49	ELS
	G+V7	2	92,27	8,20	92,27	5,49	ELS
HIP.10	G+V8	1	162,60	7,45	162,60	4,98	ELS
	G+V8	2	93,86	7,45	93,86	4,98	ELS
HIP.11	G+Q+0,6°V1	1	160,82	4,29	160,82	2,87	ELS
	G+Q+0,6°V1	2	141,69	4,29	141,69	2,87	ELS
HIP.12	G+Q+0,6°V2	1	160,77	4,25	160,77	2,84	ELS
	G+Q+0,6°V2	2	141,75	4,25	141,75	2,84	ELS
HIP.13	G+Q+0,6°V3	1	159,89	4,37	159,89	2,93	ELS
	G+Q+0,6°V3	2	140,15	4,37	140,15	2,93	ELS
HIP.14	G+Q+0,6°V4	1	159,95	4,41	159,95	2,95	ELS
	G+Q+0,6°V4	2	140,08	4,41	140,08	2,95	ELS
HIP.15	G+Q+0,6°V5	1	143,28	1,21	143,28	0,81	ELS
	G+Q+0,6°V5	2	159,11	1,21	159,11	0,81	ELS
HIP.16	G+Q+0,6°V6	1	144,05	1,66	144,05	1,11	ELS
	G+Q+0,6°V6	2	158,16	1,66	158,16	1,11	ELS
HIP.17	G+Q+0,6°V7	1	177,43	7,45	177,43	4,98	ELS
	G+Q+0,6°V7	2	122,72	7,45	122,72	4,98	ELS
HIP.18	G+Q+0,6°V8	1	176,66	7,00	176,66	4,68	ELS
	G+Q+0,6°V8	2	123,67	7,00	123,67	4,68	ELS
HIP.19	G+V1+0,7°Q	1	153,66	3,86	153,66	2,58	ELS
	G+V1+0,7°Q	2	136,70	3,86	136,70	2,58	ELS
HIP.20	G+V2+0,7°Q	1	153,56	3,81	153,56	2,55	ELS
	G+V2+0,7°Q	2	136,82	3,81	136,82	2,55	ELS
HIP.21	G+V3+0,7°Q	1	152,10	4,01	152,10	2,68	ELS
	G+V3+0,7°Q	2	134,14	4,01	134,14	2,68	ELS
HIP.22	G+V4+0,7°Q	1	152,19	4,06	152,19	2,72	ELS
	G+V4+0,7°Q	2	134,03	4,06	134,03	2,72	ELS
HIP.23	G+V5+0,7°Q	1	124,42	1,28	124,42	0,85	ELS
	G+V5+0,7°Q	2	165,75	1,28	165,75	0,85	ELS
HIP.24	G+V6+0,7°Q	1	125,70	0,52	125,70	0,35	ELS
	G+V6+0,7°Q	2	164,16	0,52	164,16	0,35	ELS
HIP.25	G+V7+0,7°Q	1	181,34	9,13	181,34	6,11	ELS
	G+V7+0,7°Q	2	105,09	9,13	105,09	6,11	ELS
HIP.26	G+V8+0,7°Q	1	180,05	8,38	180,05	5,61	ELS
	G+V8+0,7°Q	2	106,69	8,38	106,69	5,61	ELS
HIP.27	G+Sx	1	144,33	2,80	144,33	1,87	ELU
	G+Sx	2	118,60	2,80	118,60	1,87	ELU
HIP.28	G-Sx	1	126,52	1,27	126,52	0,85	ELU
	G-Sx	2	126,60	1,27	126,60	0,85	ELU
HIP.29	G+Sy	1	147,89	3,23	147,89	2,16	ELU
	G+Sy	2	113,36	3,23	113,36	2,16	ELU
HIP.30	G-Sy	1	122,96	0,79	122,96	0,53	ELU
	G-Sy	2	131,84	0,79	131,84	0,53	ELU
HIP.31	G+Sx+0,3°Sy	1	148,07	3,17	148,07	2,12	ELU
	G+Sx+0,3°Sy	2	115,83	3,17	115,83	2,12	ELU
HIP.32	G+Sx-0,3°Sy	1	140,59	2,43	140,59	1,62	ELU
	G+Sx-0,3°Sy	2	121,37	2,43	121,37	1,62	ELU
HIP.33	G-Sx+0,3°Sy	1	130,26	1,62	130,26	1,08	ELU
	G-Sx+0,3°Sy	2	123,83	1,62	123,83	1,08	ELU
HIP.34	G-Sx-0,3°Sy	1	122,78	0,95	122,78	0,64	ELU
	G-Sx-0,3°Sy	2	129,37	0,95	129,37	0,64	ELU
HIP.35	G+Sy+0,3°Sx	1	150,56	3,47	150,56	2,32	ELU
	G+Sy+0,3°Sx	2	112,16	3,47	112,16	2,32	ELU
HIP.36	G+Sy-0,3°Sx	1	145,22	2,99	145,22	2,00	ELU
	G+Sy-0,3°Sx	2	114,56	2,99	114,56	2,00	ELU
HIP.37	G-Sy+0,3°Sx	1	125,63	1,01	125,63	0,67	ELU
	G-Sy+0,3°Sx	2	130,64	1,01	130,64	0,67	ELU
HIP.38	G-Sy-0,3°Sx	1	120,29	0,61	120,29	0,41	ELU
	G-Sy-0,3°Sx	2	133,04	0,61	133,04	0,41	ELU
HIP.39	G+Sx+0,3°Q	1	151,81	3,07	151,81	2,05	ELU
	G+Sx+0,3°Q	2	124,09	3,07	124,09	2,05	ELU
HIP.40	G-Sx+0,3°Q	1	134,00	1,53	134,00	1,02	ELU

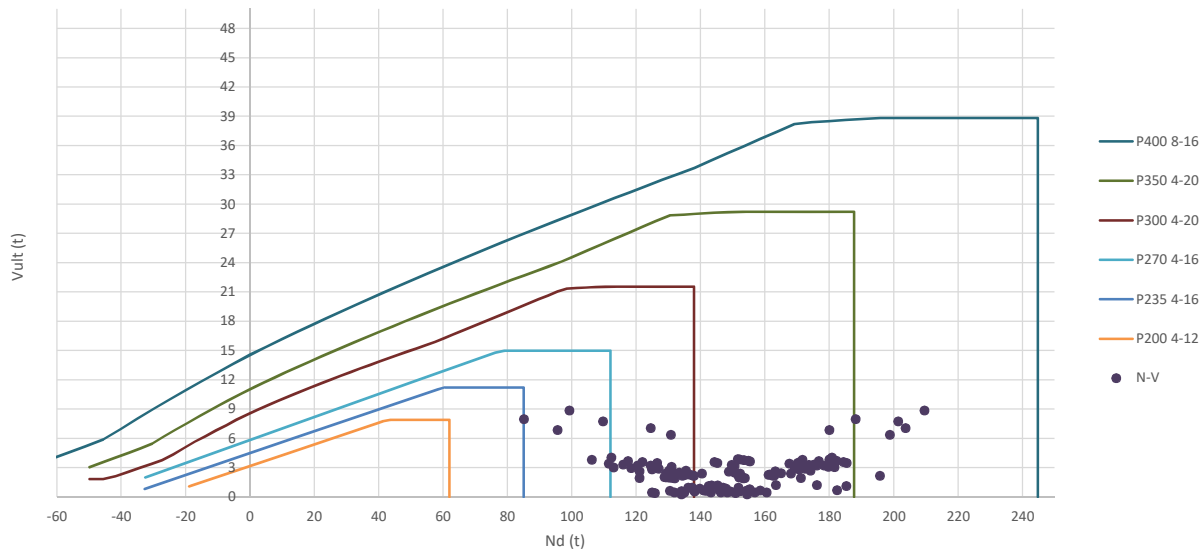
	G-Sx+0,3*Q	2	132,09	1,53	132,09	1,02	ELU
HIP.41	G+Sy+0,3*Q	1	155,37	3,49	155,37	2,34	ELU
	G+Sy+0,3*Q	2	118,85	3,49	118,85	2,34	ELU
HIP.42	G-Sy+0,3*Q	1	130,44	1,05	130,44	0,70	ELU
	G-Sy+0,3*Q	2	137,33	1,05	137,33	0,70	ELU
HIP.43	G+Sx+0,3*Sy+0,3*Q	1	155,55	3,44	155,55	2,30	ELU
	G+Sx+0,3*Sy+0,3*Q	2	121,32	3,44	121,32	2,30	ELU
HIP.44	G+Sx-0,3*Sy+0,3*Q	1	148,07	2,70	148,07	1,80	ELU
	G+Sx-0,3*Sy+0,3*Q	2	126,86	2,70	126,86	1,80	ELU
HIP.45	G-Sx+0,3*Sy+0,3*Q	1	137,74	1,88	137,74	1,26	ELU
	G-Sx+0,3*Sy+0,3*Q	2	129,32	1,88	129,32	1,26	ELU
HIP.46	G-Sx-0,3*Sy+0,3*Q	1	130,26	1,19	130,26	0,80	ELU
	G-Sx-0,3*Sy+0,3*Q	2	134,87	1,19	134,87	0,80	ELU
HIP.47	G+Sy+0,3*Sx+0,3*Q	1	158,04	3,73	158,04	2,50	ELU
	G+Sy+0,3*Sx+0,3*Q	2	117,65	3,73	117,65	2,50	ELU
HIP.48	G+Sy-0,3*Sx+0,3*Q	1	152,70	3,26	152,70	2,18	ELU
	G+Sy-0,3*Sx+0,3*Q	2	120,05	3,26	120,05	2,18	ELU
HIP.49	G-Sy+0,3*Sx+0,3*Q	1	133,11	1,27	133,11	0,85	ELU
	G-Sy+0,3*Sx+0,3*Q	2	136,13	1,27	136,13	0,85	ELU
HIP.50	G-Sy-0,3*Sx+0,3*Q	1	127,77	0,85	127,77	0,57	ELU
	G-Sy-0,3*Sx+0,3*Q	2	138,53	0,85	138,53	0,57	ELU
HIP.51	G+BOMB	1	136,89	2,32	136,89	1,55	ELU
	G+BOMB	2	120,73	2,32	120,73	1,55	ELU
HIP.52	G+BOMB+0,5*Q	1	149,36	2,76	149,36	1,85	ELU
	G+BOMB+0,5*Q	2	129,89	2,76	129,89	1,85	ELU
HIP.53	G+BOMB+0,5*V1	1	137,28	2,30	137,28	1,54	ELU
	G+BOMB+0,5*V1	2	121,37	2,30	121,37	1,54	ELU
HIP.54	G+BOMB+0,5*V2	1	137,24	2,28	137,24	1,52	ELU
	G+BOMB+0,5*V2	2	121,43	2,28	121,43	1,52	ELU
HIP.55	G+BOMB+0,5*V3	1	136,50	2,34	136,50	1,57	ELU
	G+BOMB+0,5*V3	2	120,09	2,34	120,09	1,57	ELU
HIP.56	G+BOMB+0,5*V4	1	136,55	2,36	136,55	1,58	ELU
	G+BOMB+0,5*V4	2	120,03	2,36	120,03	1,58	ELU
HIP.57	G+BOMB+0,5*V5	1	122,66	0,58	122,66	0,39	ELU
	G+BOMB+0,5*V5	2	135,89	0,58	135,89	0,39	ELU
HIP.58	G+BOMB+0,5*V6	1	123,31	0,84	123,31	0,56	ELU
	G+BOMB+0,5*V6	2	135,10	0,84	135,10	0,56	ELU
HIP.59	G+BOMB+0,5*V7	1	151,12	4,05	151,12	2,71	ELU
	G+BOMB+0,5*V7	2	105,57	4,05	105,57	2,71	ELU
HIP.60	G+BOMB+0,5*V8	1	150,48	3,80	150,48	2,54	ELU
	G+BOMB+0,5*V8	2	106,36	3,80	106,36	2,54	ELU
HIP.61	G+BOMB+0,5*V1+0,3*Q	1	144,76	2,56	144,76	1,71	ELU
	G+BOMB+0,5*V1+0,3*Q	2	126,87	2,56	126,87	1,71	ELU
HIP.62	G+BOMB+0,5*V2+0,3*Q	1	144,71	2,54	144,71	1,70	ELU
	G+BOMB+0,5*V2+0,3*Q	2	126,92	2,54	126,92	1,70	ELU
HIP.63	G+BOMB+0,5*V3+0,3*Q	1	143,98	2,61	143,98	1,75	ELU
	G+BOMB+0,5*V3+0,3*Q	2	125,58	2,61	125,58	1,75	ELU
HIP.64	G+BOMB+0,5*V4+0,3*Q	1	144,03	2,63	144,03	1,76	ELU
	G+BOMB+0,5*V4+0,3*Q	2	125,53	2,63	125,53	1,76	ELU
HIP.65	G+BOMB+0,5*V5+0,3*Q	1	130,14	0,85	130,14	0,57	ELU
	G+BOMB+0,5*V5+0,3*Q	2	141,39	0,85	141,39	0,57	ELU
HIP.66	G+BOMB+0,5*V6+0,3*Q	1	130,78	1,10	130,78	0,74	ELU
	G+BOMB+0,5*V6+0,3*Q	2	140,59	1,10	140,59	0,74	ELU
HIP.67	G+BOMB+0,5*V7+0,3*Q	1	158,60	4,32	158,60	2,89	ELU
	G+BOMB+0,5*V7+0,3*Q	2	111,06	4,32	111,06	2,89	ELU
HIP.68	G+BOMB+0,5*V8+0,3*Q	1	157,96	4,07	157,96	2,72	ELU
	G+BOMB+0,5*V8+0,3*Q	2	111,86	4,07	111,86	2,72	ELU

Seccion (mm.)	e _x (m.)	e _y (m.)	Henc. (m.)
400	0,00	1,65	1,30
COMPROBACIÓN (compresión)	CUMPLE		
MAX. AXIL	209,51		(TON)
MIN. AXIL	0,00		(TON)
COMPROBACIÓN (tracción)	CUMPLE		
L.1(m)	0,00		
L.2(m)	0,00		
L.Influenc.(m)	0,00		
CERRAM.(ton.)	0,00		
αx (inclinación)	0,00		
αy (inclinación)	0,00		

Curva de resistencia axil-momento (en cualquier dirección)



Curva de resistencia axil-cortante



PILAR: PAN3



COMPROBACIÓN ESFUERZOS:

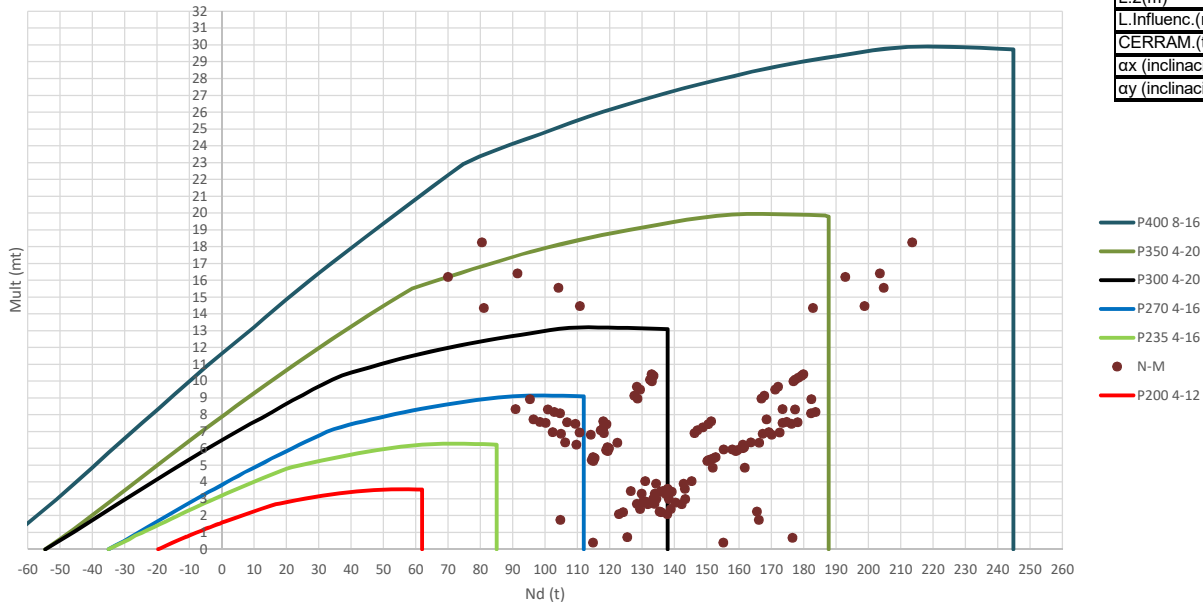
P18147P Parcela R20

	LC: COMB.	nº PILOTE	N _{pilote} (T) a ras de suelo	M ult. Pilote (mT)	N _{pilote} (T) a ras de suelo	V ult-Pilote (T)	ESTADO LIMITE
HIP.1	G	1	150,51	3,72	150,51	2,49	ELS
	G	2	133,34	3,72	133,34	2,49	ELS
HIP.2	G+Q	1	181,08	5,64	181,08	3,77	ELS
	G+Q	2	153,46	5,64	153,46	3,77	ELS
HIP.3	G+V1	1	149,48	4,02	149,48	2,69	ELS
	G+V1	2	130,20	4,02	130,20	2,69	ELS
HIP.4	G+V2	1	148,77	3,87	148,77	2,59	ELS
	G+V2	2	131,13	3,87	131,13	2,59	ELS
HIP.5	G+V3	1	151,54	3,43	151,54	2,29	ELS
	G+V3	2	136,48	3,43	136,48	2,29	ELS
HIP.6	G+V4	1	152,26	3,58	152,26	2,39	ELS
	G+V4	2	135,56	3,58	135,56	2,39	ELS
HIP.7	G+V5	1	112,91	4,54	112,91	3,04	ELS
	G+V5	2	181,59	4,55	181,59	3,04	ELS
HIP.8	G+V6	1	121,04	2,90	121,04	1,94	ELS
	G+V6	2	171,14	2,90	171,14	1,94	ELS
HIP.9	G+V7	1	188,11	11,91	188,11	7,96	ELS
	G+V7	2	85,09	11,90	85,09	7,96	ELS
HIP.10	G+V8	1	179,98	10,23	179,98	6,85	ELS
	G+V8	2	95,54	10,23	95,54	6,85	ELS
HIP.11	G+Q+0,6°V1	1	180,46	5,81	180,46	3,89	ELS
	G+Q+0,6°V1	2	151,58	5,81	151,58	3,89	ELS
HIP.12	G+Q+0,6°V2	1	180,04	5,73	180,04	3,83	ELS
	G+Q+0,6°V2	2	152,13	5,73	152,13	3,83	ELS
HIP.13	G+Q+0,6°V3	1	181,70	5,46	181,70	3,65	ELS
	G+Q+0,6°V3	2	155,34	5,46	155,34	3,65	ELS
HIP.14	G+Q+0,6°V4	1	182,13	5,55	182,13	3,71	ELS
	G+Q+0,6°V4	2	154,79	5,55	154,79	3,71	ELS
HIP.15	G+Q+0,6°V5	1	158,52	1,01	158,52	0,67	ELS
	G+Q+0,6°V5	2	182,41	1,02	182,41	0,68	ELS
HIP.16	G+Q+0,6°V6	1	163,40	1,85	163,40	1,24	ELS
	G+Q+0,6°V6	2	176,14	1,85	176,14	1,24	ELS
HIP.17	G+Q+0,6°V7	1	203,64	10,54	203,64	7,05	ELS
	G+Q+0,6°V7	2	124,51	10,53	124,51	7,05	ELS
HIP.18	G+Q+0,6°V8	1	198,76	9,53	198,76	6,38	ELS
	G+Q+0,6°V8	2	130,78	9,53	130,78	6,38	ELS
HIP.19	G+V1+0,7°Q	1	170,88	5,36	170,88	3,58	ELS
	G+V1+0,7°Q	2	144,28	5,36	144,28	3,58	ELS
HIP.20	G+V2+0,7°Q	1	170,17	5,21	170,17	3,49	ELS
	G+V2+0,7°Q	2	145,21	5,21	145,21	3,49	ELS
HIP.21	G+V3+0,7°Q	1	172,94	4,77	172,94	3,19	ELS
	G+V3+0,7°Q	2	150,56	4,77	150,56	3,19	ELS
HIP.22	G+V4+0,7°Q	1	173,66	4,91	173,66	3,29	ELS
	G+V4+0,7°Q	2	149,64	4,91	149,64	3,29	ELS
HIP.23	G+V5+0,7°Q	1	134,31	3,26	134,31	2,18	ELS
	G+V5+0,7°Q	2	195,68	3,27	195,68	2,19	ELS
HIP.24	G+V6+0,7°Q	1	142,44	1,70	142,44	1,14	ELS
	G+V6+0,7°Q	2	185,22	1,70	185,22	1,14	ELS
HIP.25	G+V7+0,7°Q	1	209,51	13,24	209,51	8,86	ELS
	G+V7+0,7°Q	2	99,17	13,24	99,17	8,86	ELS
HIP.26	G+V8+0,7°Q	1	201,38	11,57	201,38	7,74	ELS
	G+V8+0,7°Q	2	109,63	11,57	109,63	7,74	ELS
HIP.27	G+Sx	1	170,53	4,24	170,53	2,83	ELU
	G+Sx	2	124,89	4,24	124,89	2,83	ELU
HIP.28	G-Sx	1	130,49	0,94	130,49	0,63	ELU
	G-Sx	2	141,80	0,94	141,80	0,63	ELU
HIP.29	G+Sy	1	169,22	4,45	169,22	2,97	ELU
	G+Sy	2	118,42	4,45	118,42	2,97	ELU
HIP.30	G-Sy	1	131,80	0,67	131,80	0,45	ELU
	G-Sy	2	148,26	0,67	148,26	0,45	ELU
HIP.31	G+Sx+0,3°Sy	1	176,15	4,83	176,15	3,23	ELU
	G+Sx+0,3°Sy	2	120,41	4,83	120,41	3,23	ELU
HIP.32	G+Sx-0,3°Sy	1	164,92	3,64	164,92	2,44	ELU
	G+Sx-0,3°Sy	2	129,36	3,64	129,36	2,44	ELU
HIP.33	G-Sx+0,3°Sy	1	136,10	1,41	136,10	0,94	ELU
	G-Sx+0,3°Sy	2	137,32	1,41	137,32	0,94	ELU
HIP.34	G-Sx-0,3°Sy	1	124,88	0,70	124,88	0,47	ELU
	G-Sx-0,3°Sy	2	146,27	0,70	146,27	0,47	ELU
HIP.35	G+Sy+0,3°Sx	1	175,23	4,98	175,23	3,33	ELU
	G+Sy+0,3°Sx	2	115,88	4,98	115,88	3,33	ELU
HIP.36	G+Sy-0,3°Sx	1	163,22	3,92	163,22	2,62	ELU
	G+Sy-0,3°Sx	2	120,95	3,92	120,95	2,62	ELU
HIP.37	G-Sy+0,3°Sx	1	137,81	1,08	137,81	0,72	ELU
	G-Sy+0,3°Sx	2	145,73	1,08	145,73	0,72	ELU
HIP.38	G-Sy-0,3°Sx	1	125,79	0,58	125,79	0,39	ELU
	G-Sy-0,3°Sx	2	150,80	0,58	150,80	0,39	ELU
HIP.39	G+Sx+0,3°Q	1	179,70	4,62	179,70	3,09	ELU
	G+Sx+0,3°Q	2	130,92	4,62	130,92	3,09	ELU
HIP.40	G-Sx+0,3°Q	1	139,66	1,27	139,66	0,85	ELU

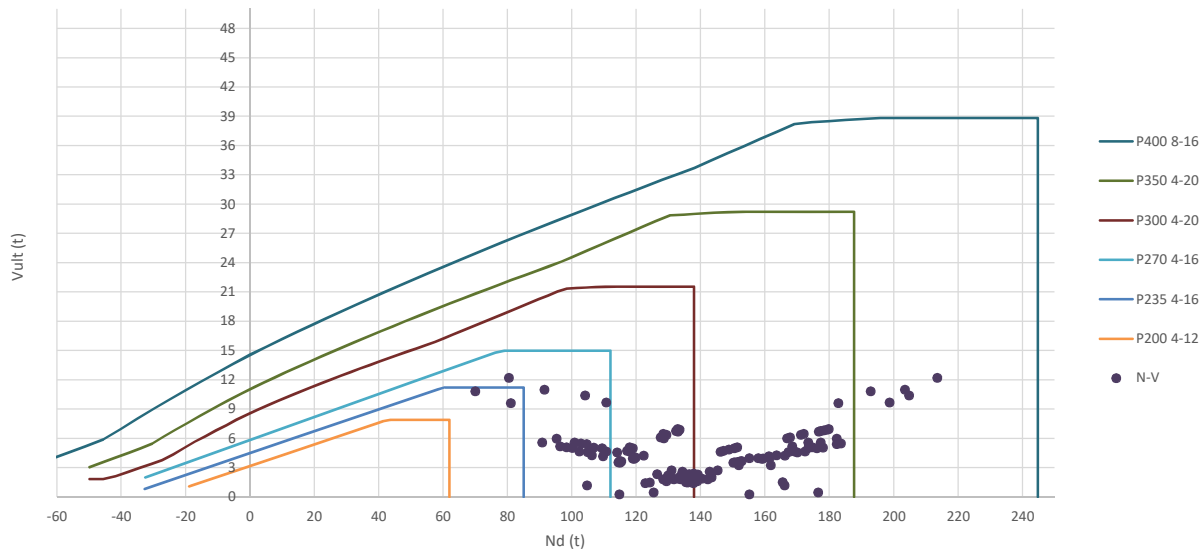
	G-Sx+0,3*Q	2	147,83	1,27	147,83	0,85	ELU
HIP.41	G+Sy+0,3*Q	1	178,39	4,83	178,39	3,23	ELU
	G+Sy+0,3*Q	2	124,45	4,83	124,45	3,23	ELU
HIP.42	G-Sy+0,3*Q	1	140,97	1,01	140,97	0,67	ELU
	G-Sy+0,3*Q	2	154,30	1,01	154,30	0,67	ELU
HIP.43	G+Sx+0,3*Sy+0,3*Q	1	185,32	5,21	185,32	3,49	ELU
	G+Sx+0,3*Sy+0,3*Q	2	126,45	5,21	126,45	3,49	ELU
HIP.44	G+Sx-0,3*Sy+0,3*Q	1	174,09	4,02	174,09	2,69	ELU
	G+Sx-0,3*Sy+0,3*Q	2	135,40	4,02	135,40	2,69	ELU
HIP.45	G-Sx+0,3*Sy+0,3*Q	1	145,28	1,78	145,28	1,19	ELU
	G-Sx+0,3*Sy+0,3*Q	2	143,35	1,78	143,35	1,19	ELU
HIP.46	G-Sx-0,3*Sy+0,3*Q	1	134,05	0,89	134,05	0,59	ELU
	G-Sx-0,3*Sy+0,3*Q	2	152,31	0,89	152,31	0,59	ELU
HIP.47	G+Sy+0,3*Sx+0,3*Q	1	184,40	5,36	184,40	3,58	ELU
	G+Sy+0,3*Sx+0,3*Q	2	121,92	5,36	121,92	3,58	ELU
HIP.48	G+Sy-0,3*Sx+0,3*Q	1	172,39	4,30	172,39	2,88	ELU
	G+Sy-0,3*Sx+0,3*Q	2	126,99	4,30	126,99	2,88	ELU
HIP.49	G-Sy+0,3*Sx+0,3*Q	1	146,98	1,45	146,98	0,97	ELU
	G-Sy+0,3*Sx+0,3*Q	2	151,76	1,45	151,76	0,97	ELU
HIP.50	G-Sy-0,3*Sx+0,3*Q	1	134,97	0,71	134,97	0,48	ELU
	G-Sy-0,3*Sx+0,3*Q	2	156,84	0,71	156,84	0,48	ELU
HIP.51	G+BOMB	1	152,81	2,96	152,81	1,98	ELU
	G+BOMB	2	130,33	2,96	130,33	1,98	ELU
HIP.52	G+BOMB+0,5*Q	1	168,10	3,59	168,10	2,40	ELU
	G+BOMB+0,5*Q	2	140,39	3,59	140,39	2,40	ELU
HIP.53	G+BOMB+0,5*V1	1	152,30	3,05	152,30	2,04	ELU
	G+BOMB+0,5*V1	2	128,76	3,05	128,76	2,04	ELU
HIP.54	G+BOMB+0,5*V2	1	151,94	3,00	151,94	2,01	ELU
	G+BOMB+0,5*V2	2	129,22	3,00	129,22	2,01	ELU
HIP.55	G+BOMB+0,5*V3	1	153,33	2,86	153,33	1,91	ELU
	G+BOMB+0,5*V3	2	131,90	2,86	131,90	1,91	ELU
HIP.56	G+BOMB+0,5*V4	1	153,68	2,91	153,68	1,94	ELU
	G+BOMB+0,5*V4	2	131,44	2,91	131,44	1,94	ELU
HIP.57	G+BOMB+0,5*V5	1	134,01	0,38	134,01	0,25	ELU
	G+BOMB+0,5*V5	2	154,46	0,39	154,46	0,26	ELU
HIP.58	G+BOMB+0,5*V6	1	138,08	0,83	138,08	0,56	ELU
	G+BOMB+0,5*V6	2	149,23	0,83	149,23	0,56	ELU
HIP.59	G+BOMB+0,5*V7	1	171,61	5,68	171,61	3,80	ELU
	G+BOMB+0,5*V7	2	106,21	5,68	106,21	3,80	ELU
HIP.60	G+BOMB+0,5*V8	1	167,54	5,12	167,54	3,43	ELU
	G+BOMB+0,5*V8	2	111,43	5,12	111,43	3,43	ELU
HIP.61	G+BOMB+0,5*V1+0,3*Q	1	161,47	3,44	161,47	2,30	ELU
	G+BOMB+0,5*V1+0,3*Q	2	134,80	3,44	134,80	2,30	ELU
HIP.62	G+BOMB+0,5*V2+0,3*Q	1	161,11	3,39	161,11	2,27	ELU
	G+BOMB+0,5*V2+0,3*Q	2	135,26	3,39	135,26	2,27	ELU
HIP.63	G+BOMB+0,5*V3+0,3*Q	1	162,50	3,24	162,50	2,17	ELU
	G+BOMB+0,5*V3+0,3*Q	2	137,94	3,24	137,94	2,17	ELU
HIP.64	G+BOMB+0,5*V4+0,3*Q	1	162,85	3,29	162,85	2,20	ELU
	G+BOMB+0,5*V4+0,3*Q	2	137,48	3,29	137,48	2,20	ELU
HIP.65	G+BOMB+0,5*V5+0,3*Q	1	143,18	0,69	143,18	0,46	ELU
	G+BOMB+0,5*V5+0,3*Q	2	160,49	0,70	160,49	0,47	ELU
HIP.66	G+BOMB+0,5*V6+0,3*Q	1	147,25	1,21	147,25	0,81	ELU
	G+BOMB+0,5*V6+0,3*Q	2	155,27	1,21	155,27	0,81	ELU
HIP.67	G+BOMB+0,5*V7+0,3*Q	1	180,78	6,06	180,78	4,06	ELU
	G+BOMB+0,5*V7+0,3*Q	2	112,24	6,06	112,24	4,06	ELU
HIP.68	G+BOMB+0,5*V8+0,3*Q	1	176,72	5,51	176,72	3,68	ELU
	G+BOMB+0,5*V8+0,3*Q	2	117,47	5,51	117,47	3,68	ELU

Seccion (mm.)	e _x (m.)	e _y (m.)	Henc. (m.)
400	0,00	1,65	1,30
COMPROBACIÓN (compresión)	CUMPLE		
MAX. AXIL	213,49		(TON)
MIN. AXIL	0,00		(TON)
COMPROBACIÓN (tracción)	CUMPLE		
L.1(m)	0,00		
L.2(m)	0,00		
L.Influenc.(m)	0,00		
CERRAM.(ton.)	0,00		
αx (inclinación)	0,00		
αy (inclinación)	0,00		

Curva de resistencia axil-momento (en cualquier dirección)



Curva de resistencia axil-cortante



PILAR: PAN4



COMPROBACIÓN ESFUERZOS:

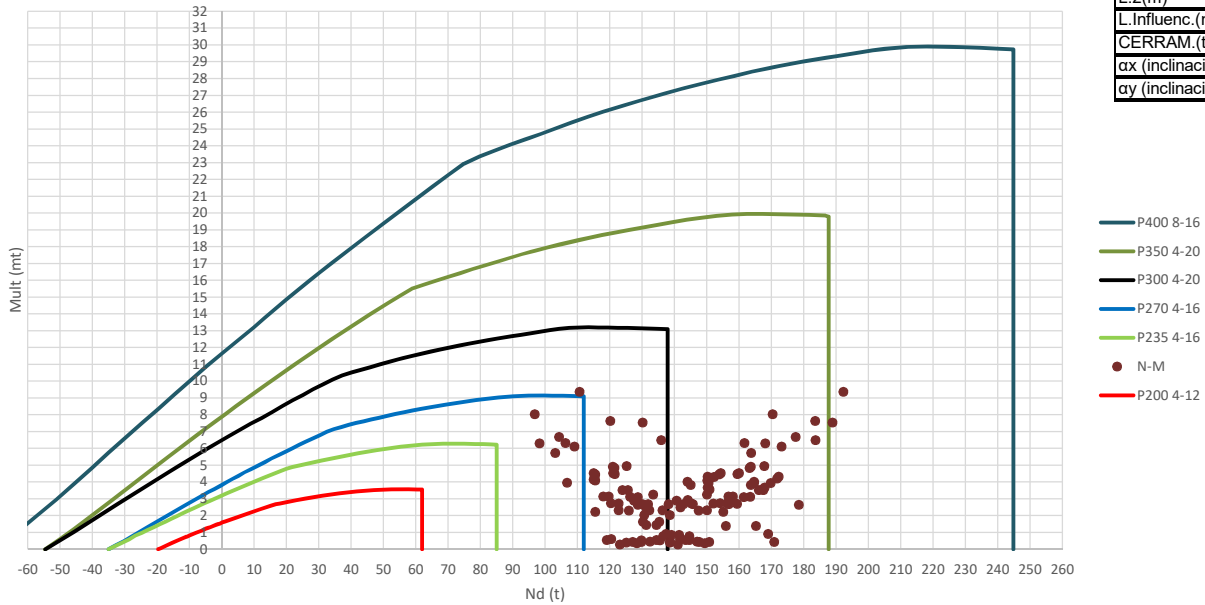
P18147P Parcela R20

	LC: COMB.	nº PILOTE	N _{pilote} (T) a ras de suelo	M ult. Pilote (mT)	N _{pilote} (T) a ras de suelo	V ult.-Pilote (T)	ESTADO LIMITE
HIP.1	G	1	148,77	7,26	148,77	4,86	ELS
	G	2	118,03	7,26	118,03	4,86	ELS
HIP.2	G+Q	1	178,29	10,21	178,29	6,83	ELS
	G+Q	2	132,92	10,21	132,92	6,83	ELS
HIP.3	G+V1	1	151,35	7,62	151,35	5,10	ELS
	G+V1	2	117,95	7,62	117,95	5,10	ELS
HIP.4	G+V2	1	150,45	7,46	150,45	4,99	ELS
	G+V2	2	118,92	7,46	118,92	4,99	ELS
HIP.5	G+V3	1	146,20	6,91	146,20	4,62	ELS
	G+V3	2	118,11	6,91	118,11	4,62	ELS
HIP.6	G+V4	1	147,10	7,08	147,10	4,74	ELS
	G+V4	2	117,13	7,08	117,13	4,74	ELS
HIP.7	G+V5	1	104,72	1,76	104,72	1,18	ELS
	G+V5	2	166,09	1,76	166,09	1,18	ELS
HIP.8	G+V6	1	114,74	0,41	114,74	0,27	ELS
	G+V6	2	155,07	0,41	155,07	0,27	ELS
HIP.9	G+V7	1	192,82	16,20	192,82	10,84	ELS
	G+V7	2	69,97	16,20	69,97	10,84	ELS
HIP.10	G+V8	1	182,81	14,37	182,81	9,61	ELS
	G+V8	2	80,99	14,37	80,99	9,61	ELS
HIP.11	G+Q+0,6°V1	1	179,83	10,42	179,83	6,97	ELS
	G+Q+0,6°V1	2	132,87	10,42	132,87	6,97	ELS
HIP.12	G+Q+0,6°V2	1	179,29	10,32	179,29	6,90	ELS
	G+Q+0,6°V2	2	133,46	10,32	133,46	6,90	ELS
HIP.13	G+Q+0,6°V3	1	176,74	10,00	176,74	6,69	ELS
	G+Q+0,6°V3	2	132,97	10,00	132,97	6,69	ELS
HIP.14	G+Q+0,6°V4	1	177,28	10,10	177,28	6,75	ELS
	G+Q+0,6°V4	2	132,39	10,10	132,39	6,75	ELS
HIP.15	G+Q+0,6°V5	1	151,86	4,86	151,86	3,25	ELS
	G+Q+0,6°V5	2	161,76	4,86	161,76	3,25	ELS
HIP.16	G+Q+0,6°V6	1	157,87	5,95	157,87	3,98	ELS
	G+Q+0,6°V6	2	155,15	5,95	155,15	3,98	ELS
HIP.17	G+Q+0,6°V7	1	204,72	15,57	204,72	10,41	ELS
	G+Q+0,6°V7	2	104,09	15,57	104,09	10,41	ELS
HIP.18	G+Q+0,6°V8	1	198,71	14,47	198,71	9,68	ELS
	G+Q+0,6°V8	2	110,70	14,47	110,70	9,68	ELS
HIP.19	G+V1+0,7°Q	1	172,01	9,68	172,01	6,48	ELS
	G+V1+0,7°Q	2	128,37	9,68	128,37	6,48	ELS
HIP.20	G+V2+0,7°Q	1	171,11	9,51	171,11	6,36	ELS
	G+V2+0,7°Q	2	129,35	9,51	129,35	6,36	ELS
HIP.21	G+V3+0,7°Q	1	166,86	8,97	166,86	6,00	ELS
	G+V3+0,7°Q	2	128,54	8,97	128,54	6,00	ELS
HIP.22	G+V4+0,7°Q	1	167,76	9,14	167,76	6,11	ELS
	G+V4+0,7°Q	2	127,56	9,14	127,56	6,11	ELS
HIP.23	G+V5+0,7°Q	1	125,38	0,72	125,38	0,48	ELS
	G+V5+0,7°Q	2	176,52	0,70	176,52	0,47	ELS
HIP.24	G+V6+0,7°Q	1	135,40	2,26	135,40	1,51	ELS
	G+V6+0,7°Q	2	165,50	2,26	165,50	1,51	ELS
HIP.25	G+V7+0,7°Q	1	213,49	18,26	213,49	12,22	ELS
	G+V7+0,7°Q	2	80,39	18,26	80,39	12,22	ELS
HIP.26	G+V8+0,7°Q	1	203,47	16,43	203,47	10,99	ELS
	G+V8+0,7°Q	2	91,41	16,43	91,41	10,99	ELS
HIP.27	G+Sx	1	167,29	6,88	167,29	4,60	ELU
	G+Sx	2	104,89	6,88	104,89	4,60	ELU
HIP.28	G-Sx	1	130,26	2,84	130,26	1,90	ELU
	G-Sx	2	131,17	2,84	131,17	1,90	ELU
HIP.29	G+Sy	1	169,17	6,98	169,17	4,67	ELU
	G+Sy	2	102,26	6,98	102,26	4,67	ELU
HIP.30	G-Sy	1	128,38	2,71	128,38	1,81	ELU
	G-Sy	2	133,80	2,71	133,80	1,81	ELU
HIP.31	G+Sx+0,3°Sy	1	173,40	7,52	173,40	5,03	ELU
	G+Sx+0,3°Sy	2	100,16	7,52	100,16	5,03	ELU
HIP.32	G+Sx+0,3°Sy	1	161,17	6,23	161,17	4,17	ELU
	G+Sx-0,3°Sy	2	109,62	6,23	109,62	4,17	ELU
HIP.33	G-Sx+0,3°Sy	1	136,38	3,47	136,38	2,32	ELU
	G-Sx+0,3°Sy	2	126,44	3,47	126,44	2,32	ELU
HIP.34	G-Sx-0,3°Sy	1	124,14	2,21	124,14	1,48	ELU
	G-Sx-0,3°Sy	2	135,90	2,21	135,90	1,48	ELU
HIP.35	G+Sy+0,3°Sx	1	174,72	7,59	174,72	5,08	ELU
	G+Sy+0,3°Sx	2	98,32	7,59	98,32	5,08	ELU
HIP.36	G+Sy-0,3°Sx	1	163,62	6,37	163,62	4,26	ELU
	G+Sy-0,3°Sx	2	106,21	6,37	106,21	4,26	ELU
HIP.37	G-Sy+0,3°Sx	1	133,93	3,31	133,93	2,22	ELU
	G-Sy+0,3°Sx	2	129,85	3,31	129,85	2,22	ELU
HIP.38	G-Sy-0,3°Sx	1	122,82	2,11	122,82	1,41	ELU
	G-Sy-0,3°Sx	2	137,74	2,11	137,74	1,41	ELU
HIP.39	G+Sx+0,3°Q	1	176,14	7,46	176,14	4,99	ELU
	G+Sx+0,3°Q	2	109,36	7,46	109,36	4,99	ELU
HIP.40	G-Sx+0,3°Q	1	139,12	3,42	139,12	2,29	ELU

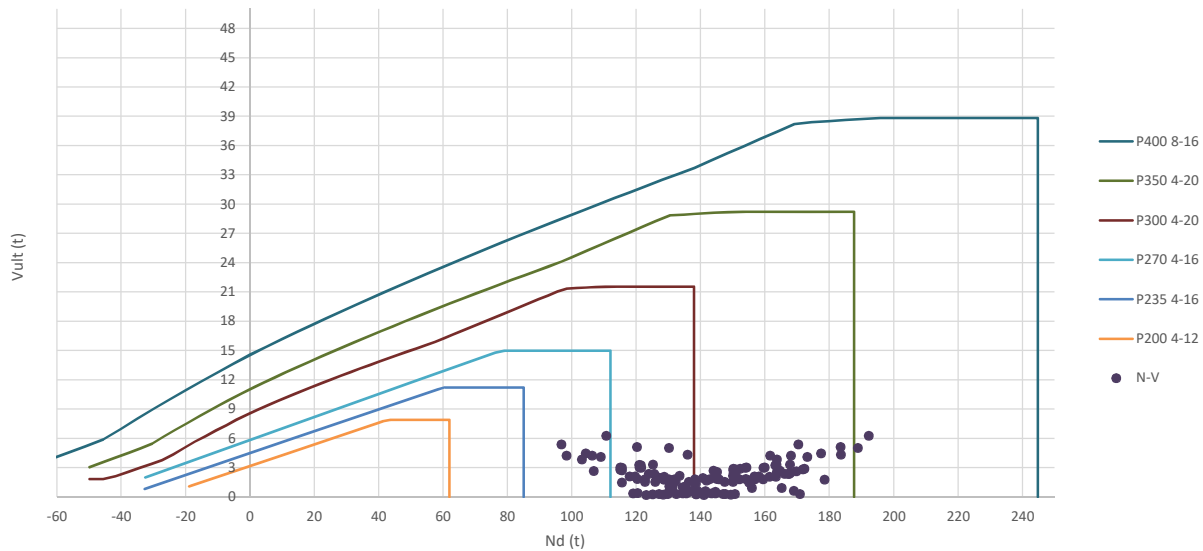
	G-Sx+0,3*Q	2	135,64	3,42	135,64	2,29	ELU
HIP.41	G+Sy+0,3*Q	1	178,03	7,57	178,03	5,06	ELU
	G+Sy+0,3*Q	2	106,73	7,57	106,73	5,06	ELU
HIP.42	G-Sy+0,3*Q	1	137,23	3,30	137,23	2,20	ELU
	G-Sy+0,3*Q	2	138,26	3,30	138,26	2,20	ELU
HIP.43	G+Sx+0,3*Sy+0,3*Q	1	182,26	8,11	182,26	5,42	ELU
	G+Sx+0,3*Sy+0,3*Q	2	104,63	8,11	104,63	5,42	ELU
HIP.44	G+Sx-0,3*Sy+0,3*Q	1	170,02	6,82	170,02	4,56	ELU
	G+Sx-0,3*Sy+0,3*Q	2	114,09	6,82	114,09	4,56	ELU
HIP.45	G-Sx+0,3*Sy+0,3*Q	1	145,23	4,06	145,23	2,72	ELU
	G-Sx+0,3*Sy+0,3*Q	2	130,91	4,06	130,91	2,72	ELU
HIP.46	G-Sx-0,3*Sy+0,3*Q	1	133,00	2,79	133,00	1,86	ELU
	G-Sx-0,3*Sy+0,3*Q	2	140,37	2,79	140,37	1,86	ELU
HIP.47	G+Sy+0,3*Sx+0,3*Q	1	183,58	8,18	183,58	5,47	ELU
	G+Sy+0,3*Sx+0,3*Q	2	102,79	8,18	102,79	5,47	ELU
HIP.48	G+Sy-0,3*Sx+0,3*Q	1	172,47	6,96	172,47	4,66	ELU
	G+Sy-0,3*Sx+0,3*Q	2	110,67	6,96	110,67	4,66	ELU
HIP.49	G-Sy+0,3*Sx+0,3*Q	1	142,78	3,90	142,78	2,61	ELU
	G-Sy+0,3*Sx+0,3*Q	2	134,32	3,90	134,32	2,61	ELU
HIP.50	G-Sy-0,3*Sx+0,3*Q	1	131,68	2,69	131,68	1,80	ELU
	G-Sy-0,3*Sx+0,3*Q	2	142,21	2,69	142,21	1,80	ELU
HIP.51	G+BOMB	1	151,40	5,37	151,40	3,59	ELU
	G+BOMB	2	114,84	5,37	114,84	3,59	ELU
HIP.52	G+BOMB+0,5*Q	1	166,16	6,35	166,16	4,25	ELU
	G+BOMB+0,5*Q	2	122,29	6,35	122,29	4,25	ELU
HIP.53	G+BOMB+0,5*V1	1	152,69	5,49	152,69	3,67	ELU
	G+BOMB+0,5*V1	2	114,80	5,49	114,80	3,67	ELU
HIP.54	G+BOMB+0,5*V2	1	152,24	5,44	152,24	3,64	ELU
	G+BOMB+0,5*V2	2	115,29	5,44	115,29	3,64	ELU
HIP.55	G+BOMB+0,5*V3	1	150,11	5,25	150,11	3,51	ELU
	G+BOMB+0,5*V3	2	114,89	5,25	114,89	3,51	ELU
HIP.56	G+BOMB+0,5*V4	1	150,56	5,31	150,56	3,55	ELU
	G+BOMB+0,5*V4	2	114,40	5,31	114,40	3,55	ELU
HIP.57	G+BOMB+0,5*V5	1	129,37	2,40	129,37	1,61	ELU
	G+BOMB+0,5*V5	2	138,87	2,40	138,87	1,61	ELU
HIP.58	G+BOMB+0,5*V6	1	134,38	3,01	134,38	2,01	ELU
	G+BOMB+0,5*V6	2	133,37	3,01	133,37	2,01	ELU
HIP.59	G+BOMB+0,5*V7	1	173,42	8,35	173,42	5,59	ELU
	G+BOMB+0,5*V7	2	90,81	8,35	90,81	5,59	ELU
HIP.60	G+BOMB+0,5*V8	1	168,42	7,74	168,42	5,18	ELU
	G+BOMB+0,5*V8	2	96,32	7,74	96,32	5,18	ELU
HIP.61	G+BOMB+0,5*V1+0,3*Q	1	161,54	6,08	161,54	4,07	ELU
	G+BOMB+0,5*V1+0,3*Q	2	119,27	6,08	119,27	4,07	ELU
HIP.62	G+BOMB+0,5*V2+0,3*Q	1	161,09	6,02	161,09	4,03	ELU
	G+BOMB+0,5*V2+0,3*Q	2	119,76	6,02	119,76	4,03	ELU
HIP.63	G+BOMB+0,5*V3+0,3*Q	1	158,97	5,84	158,97	3,91	ELU
	G+BOMB+0,5*V3+0,3*Q	2	119,35	5,84	119,35	3,91	ELU
HIP.64	G+BOMB+0,5*V4+0,3*Q	1	159,42	5,90	159,42	3,95	ELU
	G+BOMB+0,5*V4+0,3*Q	2	118,86	5,90	118,86	3,95	ELU
HIP.65	G+BOMB+0,5*V5+0,3*Q	1	138,23	2,99	138,23	2,00	ELU
	G+BOMB+0,5*V5+0,3*Q	2	143,34	2,99	143,34	2,00	ELU
HIP.66	G+BOMB+0,5*V6+0,3*Q	1	143,24	3,60	143,24	2,41	ELU
	G+BOMB+0,5*V6+0,3*Q	2	137,83	3,60	137,83	2,41	ELU
HIP.67	G+BOMB+0,5*V7+0,3*Q	1	182,28	8,94	182,28	5,98	ELU
	G+BOMB+0,5*V7+0,3*Q	2	95,28	8,94	95,28	5,98	ELU
HIP.68	G+BOMB+0,5*V8+0,3*Q	1	177,27	8,33	177,27	5,57	ELU
	G+BOMB+0,5*V8+0,3*Q	2	100,79	8,33	100,79	5,57	ELU

Seccion (mm.)	e _x (m.)	e _y (m.)	Henc. (m.)
400	0,00	1,65	1,30
COMPROBACIÓN (compresión)	CUMPLE		
MAX. AXIL	192,19		(TON)
MIN. AXIL	0,00		(TON)
COMPROBACIÓN (tracción)	CUMPLE		
	L.1(m)		0,00
	L.2(m)		0,00
	L.Influenc.(m)		0,00
	CERRAM.(ton.)		0,00
	αx (inclinación)		0,00
	αy (inclinación)		0,00

Curva de resistencia axil-momento (en cualquier dirección)



Curva de resistencia axil-cortante



PILAR: PAN5



COMPROBACIÓN ESFUERZOS:

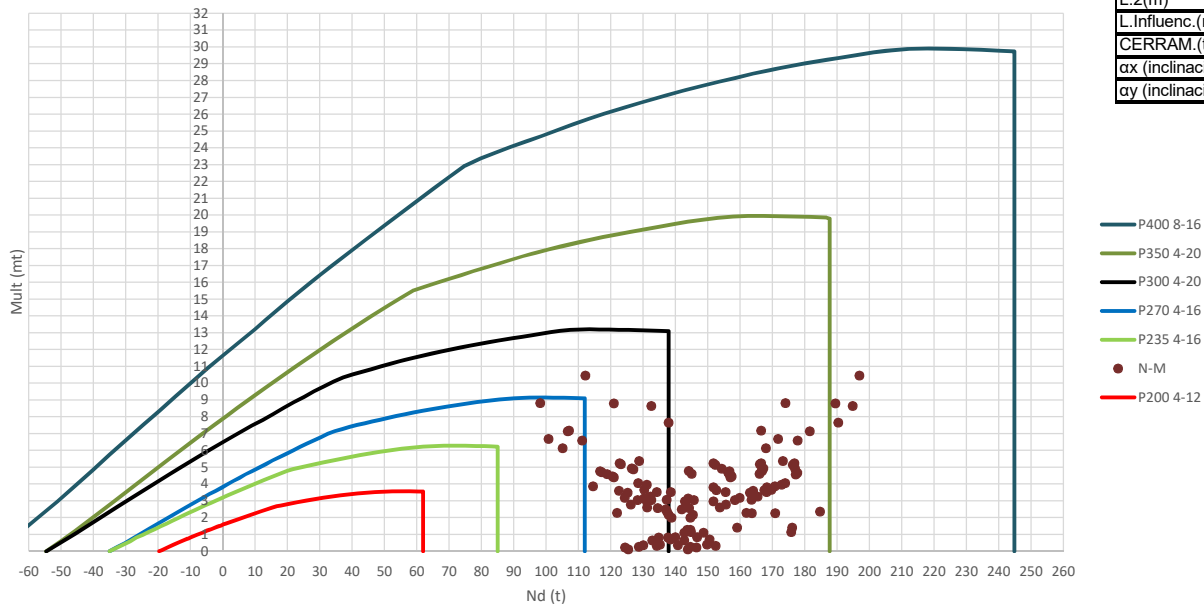
P18147P Parcela R20

	LC: COMB.	nº PILOTE	N _{pilote} (T) a ras de suelo	M ult. Pilote (mT)	N _{pilote} (T) a ras de suelo	V ult.-Pilote (T)	ESTADO LIMITE
HIP.1	G	1	138,55	2,05	138,55	1,37	ELS
	G	2	130,67	2,05	130,67	1,37	ELS
HIP.2	G+Q	1	169,75	3,94	169,75	2,64	ELS
	G+Q	2	150,52	3,94	150,52	2,64	ELS
HIP.3	G+V1	1	134,40	1,46	134,40	0,97	ELS
	G+V1	2	131,21	1,46	131,21	0,97	ELS
HIP.4	G+V2	1	135,32	1,64	135,32	1,10	ELS
	G+V2	2	130,20	1,64	130,20	1,10	ELS
HIP.5	G+V3	1	142,71	2,69	142,71	1,80	ELS
	G+V3	2	130,13	2,69	130,13	1,80	ELS
HIP.6	G+V4	1	141,79	2,50	141,79	1,67	ELS
	G+V4	2	131,13	2,50	131,13	1,67	ELS
HIP.7	G+V5	1	115,49	2,24	115,49	1,50	ELS
	G+V5	2	155,06	2,24	155,06	1,50	ELS
HIP.8	G+V6	1	106,76	3,97	106,76	2,66	ELS
	G+V6	2	164,59	3,97	164,59	2,66	ELS
HIP.9	G+V7	1	161,62	6,32	161,62	4,23	ELS
	G+V7	2	106,28	6,32	106,28	4,23	ELS
HIP.10	G+V8	1	170,35	8,04	170,35	5,38	ELS
	G+V8	2	96,75	8,04	96,75	5,38	ELS
HIP.11	G+Q+0,6°V1	1	167,26	3,56	167,26	2,38	ELS
	G+Q+0,6°V1	2	150,84	3,56	150,84	2,38	ELS
HIP.12	G+Q+0,6°V2	1	167,81	3,68	167,81	2,46	ELS
	G+Q+0,6°V2	2	150,24	3,68	150,24	2,46	ELS
HIP.13	G+Q+0,6°V3	1	172,25	4,33	172,25	2,89	ELS
	G+Q+0,6°V3	2	150,19	4,33	150,19	2,89	ELS
HIP.14	G+Q+0,6°V4	1	171,70	4,21	171,70	2,82	ELS
	G+Q+0,6°V4	2	150,80	4,21	150,80	2,82	ELS
HIP.15	G+Q+0,6°V5	1	155,92	1,38	155,92	0,93	ELS
	G+Q+0,6°V5	2	165,15	1,38	165,15	0,93	ELS
HIP.16	G+Q+0,6°V6	1	150,68	0,44	150,68	0,30	ELS
	G+Q+0,6°V6	2	170,87	0,44	170,87	0,30	ELS
HIP.17	G+Q+0,6°V7	1	183,59	6,50	183,59	4,35	ELS
	G+Q+0,6°V7	2	135,88	6,50	135,88	4,35	ELS
HIP.18	G+Q+0,6°V8	1	188,83	7,54	188,83	5,04	ELS
	G+Q+0,6°V8	2	130,17	7,54	130,17	5,04	ELS
HIP.19	G+V1+0,7°Q	1	156,24	2,75	156,24	1,84	ELS
	G+V1+0,7°Q	2	145,10	2,75	145,10	1,84	ELS
HIP.20	G+V2+0,7°Q	1	157,16	2,94	157,16	1,97	ELS
	G+V2+0,7°Q	2	144,10	2,94	144,10	1,97	ELS
HIP.21	G+V3+0,7°Q	1	164,55	4,02	164,55	2,69	ELS
	G+V3+0,7°Q	2	144,02	4,02	144,02	2,69	ELS
HIP.22	G+V4+0,7°Q	1	163,63	3,83	163,63	2,56	ELS
	G+V4+0,7°Q	2	145,03	3,83	145,03	2,56	ELS
HIP.23	G+V5+0,7°Q	1	137,33	0,92	137,33	0,61	ELS
	G+V5+0,7°Q	2	168,95	0,92	168,95	0,61	ELS
HIP.24	G+V6+0,7°Q	1	128,60	2,65	128,60	1,77	ELS
	G+V6+0,7°Q	2	178,48	2,65	178,48	1,77	ELS
HIP.25	G+V7+0,7°Q	1	183,46	7,64	183,46	5,11	ELS
	G+V7+0,7°Q	2	120,17	7,64	120,17	5,11	ELS
HIP.26	G+V8+0,7°Q	1	192,19	9,37	192,19	6,26	ELS
	G+V8+0,7°Q	2	110,64	9,37	110,64	6,26	ELS
HIP.27	G+Sx	1	152,06	2,72	152,06	1,82	ELU
	G+Sx	2	122,74	2,72	122,74	1,82	ELU
HIP.28	G-Sx	1	125,05	0,39	125,05	0,26	ELU
	G-Sx	2	138,60	0,39	138,60	0,26	ELU
HIP.29	G+Sy	1	154,05	2,74	154,05	1,83	ELU
	G+Sy	2	120,34	2,74	120,34	1,83	ELU
HIP.30	G-Sy	1	123,06	0,28	123,06	0,19	ELU
	G-Sy	2	141,00	0,28	141,00	0,19	ELU
HIP.31	G+Sx+0,3°Sy	1	156,71	3,14	156,71	2,10	ELU
	G+Sx+0,3°Sy	2	119,64	3,14	119,64	2,10	ELU
HIP.32	G+Sx-0,3°Sy	1	147,41	2,31	147,41	1,54	ELU
	G+Sx-0,3°Sy	2	125,84	2,31	125,84	1,54	ELU
HIP.33	G-Sx+0,3°Sy	1	129,70	0,54	129,70	0,36	ELU
	G-Sx+0,3°Sy	2	135,50	0,54	135,50	0,36	ELU
HIP.34	G-Sx-0,3°Sy	1	120,40	0,60	120,40	0,40	ELU
	G-Sx-0,3°Sy	2	141,70	0,60	141,70	0,40	ELU
HIP.35	G+Sy+0,3°Sx	1	158,10	3,15	158,10	2,11	ELU
	G+Sy+0,3°Sx	2	117,96	3,15	117,96	2,11	ELU
HIP.36	G+Sy-0,3°Sx	1	150,00	2,34	150,00	1,56	ELU
	G+Sy-0,3°Sx	2	122,71	2,34	122,71	1,56	ELU
HIP.37	G-Sy+0,3°Sx	1	127,11	0,44	127,11	0,29	ELU
	G-Sy+0,3°Sx	2	138,62	0,44	138,62	0,29	ELU
HIP.38	G-Sy-0,3°Sx	1	119,01	0,56	119,01	0,38	ELU
	G-Sy-0,3°Sx	2	143,38	0,56	143,38	0,38	ELU
HIP.39	G+Sx+0,3°Q	1	161,42	3,10	161,42	2,07	ELU
	G+Sx+0,3°Q	2	128,69	3,10	128,69	2,07	ELU
HIP.40	G-Sx+0,3°Q	1	134,41	0,55	134,41	0,37	ELU

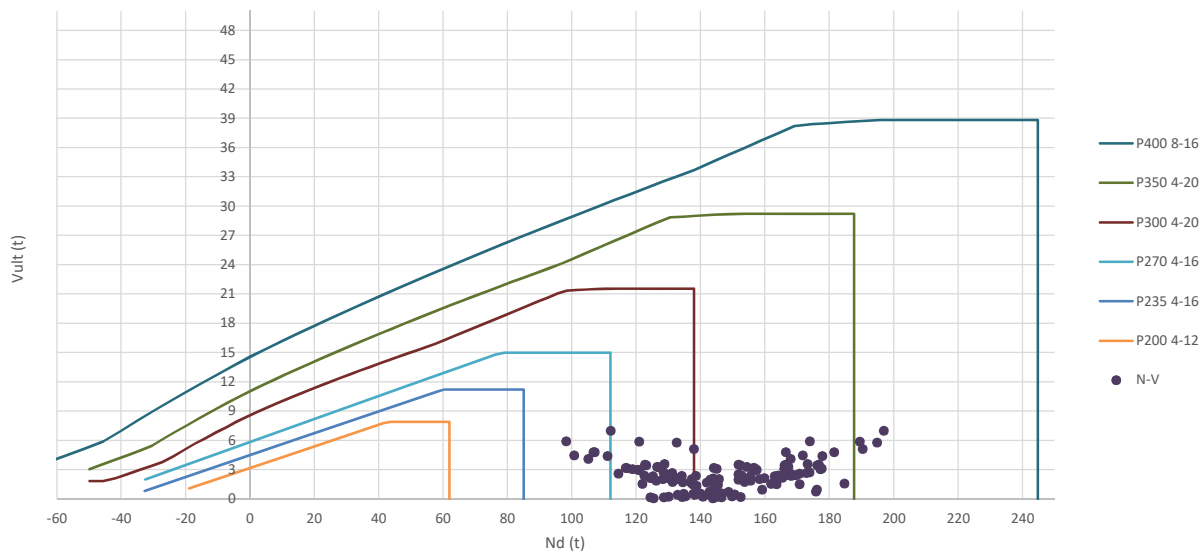
	G-Sx+0,3*Q	2	144,55	0,55	144,55	0,37	ELU
HIP.41	G+Sy+0,3*Q	1	163,41	3,12	163,41	2,09	ELU
	G+Sy+0,3*Q	2	126,29	3,12	126,29	2,09	ELU
HIP.42	G-Sy+0,3*Q	1	132,42	0,46	132,42	0,31	ELU
	G-Sy+0,3*Q	2	146,96	0,46	146,96	0,31	ELU
HIP.43	G+Sx+0,3*Sy+0,3*Q	1	166,07	3,52	166,07	2,35	ELU
	G+Sx+0,3*Sy+0,3*Q	2	125,59	3,52	125,59	2,35	ELU
HIP.44	G+Sx-0,3*Sy+0,3*Q	1	156,77	2,69	156,77	1,80	ELU
	G+Sx-0,3*Sy+0,3*Q	2	131,79	2,69	131,79	1,80	ELU
HIP.45	G-Sx+0,3*Sy+0,3*Q	1	139,06	0,87	139,06	0,58	ELU
	G-Sx+0,3*Sy+0,3*Q	2	141,45	0,87	141,45	0,58	ELU
HIP.46	G-Sx-0,3*Sy+0,3*Q	1	129,76	0,45	129,76	0,30	ELU
	G-Sx-0,3*Sy+0,3*Q	2	147,65	0,45	147,65	0,30	ELU
HIP.47	G+Sy+0,3*Sx+0,3*Q	1	167,46	3,53	167,46	2,36	ELU
	G+Sy+0,3*Sx+0,3*Q	2	123,91	3,53	123,91	2,36	ELU
HIP.48	G+Sy-0,3*Sx+0,3*Q	1	159,36	2,71	159,36	1,82	ELU
	G+Sy-0,3*Sx+0,3*Q	2	128,67	2,71	128,67	1,82	ELU
HIP.49	G-Sy+0,3*Sx+0,3*Q	1	136,47	0,79	136,47	0,53	ELU
	G-Sy+0,3*Sx+0,3*Q	2	144,58	0,79	144,58	0,53	ELU
HIP.50	G-Sy-0,3*Sx+0,3*Q	1	128,37	0,37	128,37	0,25	ELU
	G-Sy-0,3*Sx+0,3*Q	2	149,33	0,37	149,33	0,25	ELU
HIP.51	G+BOMB	1	152,19	4,31	152,19	2,89	ELU
	G+BOMB	2	115,26	4,31	115,26	2,89	ELU
HIP.52	G+BOMB+0,5*Q	1	167,79	4,95	167,79	3,31	ELU
	G+BOMB+0,5*Q	2	125,18	4,95	125,18	3,31	ELU
HIP.53	G+BOMB+0,5*V1	1	150,11	4,10	150,11	2,74	ELU
	G+BOMB+0,5*V1	2	115,53	4,10	115,53	2,74	ELU
HIP.54	G+BOMB+0,5*V2	1	150,57	4,16	150,57	2,78	ELU
	G+BOMB+0,5*V2	2	115,02	4,16	115,02	2,78	ELU
HIP.55	G+BOMB+0,5*V3	1	154,26	4,53	154,26	3,03	ELU
	G+BOMB+0,5*V3	2	114,99	4,53	114,99	3,03	ELU
HIP.56	G+BOMB+0,5*V4	1	153,80	4,47	153,80	2,99	ELU
	G+BOMB+0,5*V4	2	115,49	4,47	115,49	2,99	ELU
HIP.57	G+BOMB+0,5*V5	1	140,66	2,89	140,66	1,93	ELU
	G+BOMB+0,5*V5	2	127,45	2,89	127,45	1,93	ELU
HIP.58	G+BOMB+0,5*V6	1	136,29	2,32	136,29	1,55	ELU
	G+BOMB+0,5*V6	2	132,22	2,32	132,22	1,55	ELU
HIP.59	G+BOMB+0,5*V7	1	163,72	5,74	163,72	3,84	ELU
	G+BOMB+0,5*V7	2	103,06	5,74	103,06	3,84	ELU
HIP.60	G+BOMB+0,5*V8	1	168,08	6,31	168,08	4,22	ELU
	G+BOMB+0,5*V8	2	98,30	6,31	98,30	4,22	ELU
HIP.61	G+BOMB+0,5*V1+0,3*Q	1	159,47	4,48	159,47	3,00	ELU
	G+BOMB+0,5*V1+0,3*Q	2	121,48	4,48	121,48	3,00	ELU
HIP.62	G+BOMB+0,5*V2+0,3*Q	1	159,93	4,54	159,93	3,04	ELU
	G+BOMB+0,5*V2+0,3*Q	2	120,98	4,54	120,98	3,04	ELU
HIP.63	G+BOMB+0,5*V3+0,3*Q	1	163,62	4,91	163,62	3,28	ELU
	G+BOMB+0,5*V3+0,3*Q	2	120,94	4,91	120,94	3,28	ELU
HIP.64	G+BOMB+0,5*V4+0,3*Q	1	163,16	4,85	163,16	3,24	ELU
	G+BOMB+0,5*V4+0,3*Q	2	121,44	4,85	121,44	3,24	ELU
HIP.65	G+BOMB+0,5*V5+0,3*Q	1	150,02	3,27	150,02	2,19	ELU
	G+BOMB+0,5*V5+0,3*Q	2	133,41	3,27	133,41	2,19	ELU
HIP.66	G+BOMB+0,5*V6+0,3*Q	1	145,65	2,70	145,65	1,80	ELU
	G+BOMB+0,5*V6+0,3*Q	2	138,17	2,70	138,17	1,80	ELU
HIP.67	G+BOMB+0,5*V7+0,3*Q	1	173,08	6,12	173,08	4,09	ELU
	G+BOMB+0,5*V7+0,3*Q	2	109,02	6,12	109,02	4,09	ELU
HIP.68	G+BOMB+0,5*V8+0,3*Q	1	177,44	6,69	177,44	4,48	ELU
	G+BOMB+0,5*V8+0,3*Q	2	104,25	6,69	104,25	4,48	ELU

Seccion (mm.)	e _x (m.)	e _y (m.)	Henc. (m.)
400	0,00	1,65	1,30
COMPROBACIÓN (compresión)	CUMPLE		
MAX. AXIL	196,88		(TON)
MIN. AXIL	0,00		(TON)
COMPROBACIÓN (tracción)	CUMPLE		
L.1(m)	0,00		
L.2(m)	0,00		
L.Influenc.(m)	0,00		
CERRAM.(ton.)	0,00		
αx (inclinación)	0,00		
αy (inclinación)	0,00		

Curva de resistencia axil-momento (en cualquier dirección)



Curva de resistencia axil-cortante



PILAR: PAN6



COMPROBACIÓN ESFUERZOS:

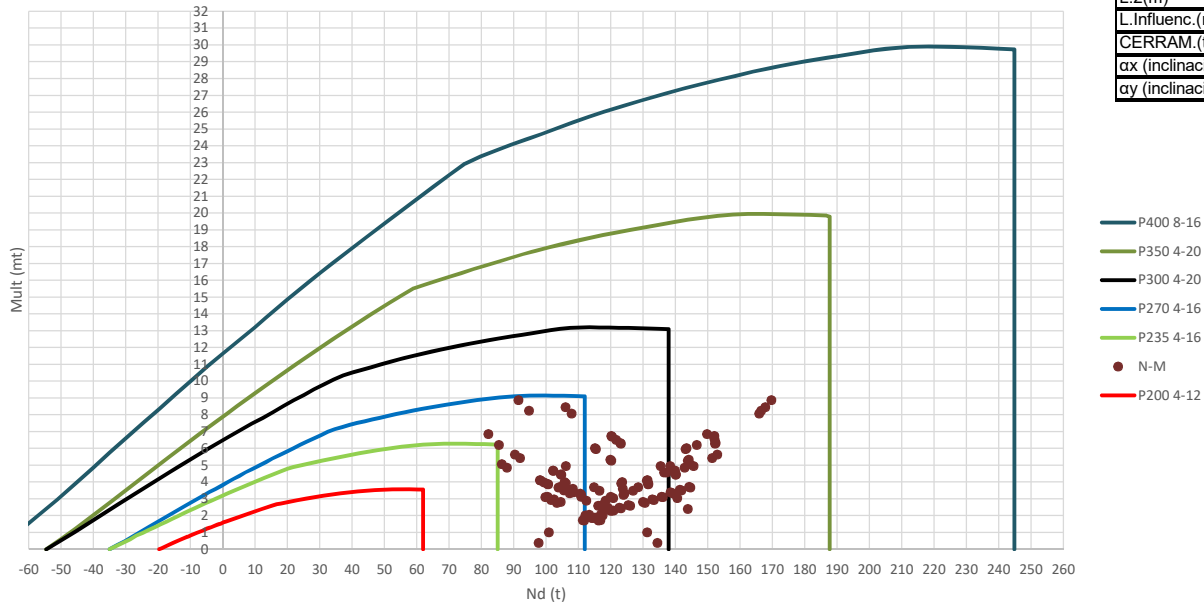
P18147P Parcela R20

	LC: COMB.	nº PILOTE	N _{pilote} (T) a ras de suelo	M ult. Pilote (mT)	N _{pilote} (T) a ras de suelo	V ult-Pilote (T)	ESTADO LIMITE
HIP.1	G	1	144,20	2,56	144,20	1,72	ELS
	G	2	134,48	2,56	134,48	1,72	ELS
HIP.2	G+Q	1	176,94	4,91	176,94	3,28	ELS
	G+Q	2	154,32	4,91	154,32	3,28	ELS
HIP.3	G+V1	1	144,56	2,00	144,56	1,34	ELS
	G+V1	2	138,74	2,00	138,74	1,34	ELS
HIP.4	G+V2	1	145,35	2,17	145,35	1,45	ELS
	G+V2	2	137,85	2,17	137,85	1,45	ELS
HIP.5	G+V3	1	143,85	3,14	143,85	2,10	ELS
	G+V3	2	130,22	3,14	130,22	2,10	ELS
HIP.6	G+V4	1	143,06	2,97	143,06	1,99	ELS
	G+V4	2	131,11	2,97	131,11	1,99	ELS
HIP.7	G+V5	1	121,91	2,30	121,91	1,54	ELS
	G+V5	2	161,91	2,30	161,91	1,54	ELS
HIP.8	G+V6	1	114,45	3,87	114,45	2,59	ELS
	G+V6	2	170,78	3,87	170,78	2,59	ELS
HIP.9	G+V7	1	166,50	7,17	166,50	4,80	ELS
	G+V7	2	107,04	7,17	107,04	4,80	ELS
HIP.10	G+V8	1	173,96	8,83	173,96	5,90	ELS
	G+V8	2	98,18	8,83	98,18	5,90	ELS
HIP.11	G+Q+0,6°V1	1	177,15	4,57	177,15	3,06	ELS
	G+Q+0,6°V1	2	156,88	4,57	156,88	3,06	ELS
HIP.12	G+Q+0,6°V2	1	177,63	4,67	177,63	3,12	ELS
	G+Q+0,6°V2	2	156,35	4,67	156,35	3,12	ELS
HIP.13	G+Q+0,6°V3	1	176,73	5,25	176,73	3,51	ELS
	G+Q+0,6°V3	2	151,77	5,25	151,77	3,51	ELS
HIP.14	G+Q+0,6°V4	1	176,25	5,15	176,25	3,44	ELS
	G+Q+0,6°V4	2	152,30	5,15	152,30	3,44	ELS
HIP.15	G+Q+0,6°V5	1	163,56	2,27	163,56	1,52	ELS
	G+Q+0,6°V5	2	170,78	2,27	170,78	1,52	ELS
HIP.16	G+Q+0,6°V6	1	159,08	1,42	159,08	0,95	ELS
	G+Q+0,6°V6	2	176,10	1,42	176,10	0,95	ELS
HIP.17	G+Q+0,6°V7	1	190,32	7,66	190,32	5,12	ELS
	G+Q+0,6°V7	2	137,86	7,66	137,86	5,12	ELS
HIP.18	G+Q+0,6°V8	1	194,79	8,65	194,79	5,79	ELS
	G+Q+0,6°V8	2	132,54	8,65	132,54	5,79	ELS
HIP.19	G+V1+0,7°Q	1	167,47	3,64	167,47	2,44	ELS
	G+V1+0,7°Q	2	152,63	3,64	152,63	2,44	ELS
HIP.20	G+V2+0,7°Q	1	168,27	3,81	168,27	2,55	ELS
	G+V2+0,7°Q	2	151,74	3,81	151,74	2,55	ELS
HIP.21	G+V3+0,7°Q	1	166,76	4,77	166,76	3,19	ELS
	G+V3+0,7°Q	2	144,11	4,77	144,11	3,19	ELS
HIP.22	G+V4+0,7°Q	1	165,97	4,61	165,97	3,08	ELS
	G+V4+0,7°Q	2	145,00	4,61	145,00	3,08	ELS
HIP.23	G+V5+0,7°Q	1	144,82	1,15	144,82	0,77	ELS
	G+V5+0,7°Q	2	175,80	1,15	175,80	0,77	ELS
HIP.24	G+V6+0,7°Q	1	137,36	2,36	137,36	1,58	ELS
	G+V6+0,7°Q	2	184,67	2,36	184,67	1,58	ELS
HIP.25	G+V7+0,7°Q	1	189,41	8,81	189,41	5,89	ELS
	G+V7+0,7°Q	2	120,94	8,81	120,94	5,89	ELS
HIP.26	G+V8+0,7°Q	1	196,88	10,46	196,88	7,00	ELS
	G+V8+0,7°Q	2	112,07	10,46	112,07	7,00	ELS
HIP.27	G+Sx	1	158,33	3,05	158,33	2,04	ELU
	G+Sx	2	128,22	3,05	128,22	2,04	ELU
HIP.28	G-Sx	1	130,08	0,37	130,08	0,25	ELU
	G-Sx	2	140,74	0,37	140,74	0,25	ELU
HIP.29	G+Sy	1	159,80	3,19	159,80	2,14	ELU
	G+Sy	2	124,34	3,19	124,34	2,14	ELU
HIP.30	G-Sy	1	128,60	0,27	128,60	0,18	ELU
	G-Sy	2	144,62	0,27	144,62	0,18	ELU
HIP.31	G+Sx+0,3°Sy	1	163,01	3,49	163,01	2,34	ELU
	G+Sx+0,3°Sy	2	125,18	3,49	125,18	2,34	ELU
HIP.32	G+Sx-0,3°Sy	1	153,65	2,61	153,65	1,74	ELU
	G+Sx-0,3°Sy	2	131,26	2,61	131,26	1,74	ELU
HIP.33	G-Sx+0,3°Sy	1	134,76	0,81	134,76	0,54	ELU
	G-Sx+0,3°Sy	2	137,69	0,81	137,69	0,54	ELU
HIP.34	G-Sx-0,3°Sy	1	125,40	0,11	125,40	0,07	ELU
	G-Sx-0,3°Sy	2	143,78	0,11	143,78	0,07	ELU
HIP.35	G+Sy+0,3°Sx	1	164,04	3,59	164,04	2,40	ELU
	G+Sy+0,3°Sx	2	122,46	3,59	122,46	2,40	ELU
HIP.36	G+Sy-0,3°Sx	1	155,57	2,79	155,57	1,87	ELU
	G+Sy-0,3°Sx	2	126,22	2,79	126,22	1,87	ELU
HIP.37	G-Sy+0,3°Sx	1	132,84	0,65	132,84	0,43	ELU
	G-Sy+0,3°Sx	2	142,74	0,65	142,74	0,43	ELU
HIP.38	G-Sy-0,3°Sx	1	124,36	0,23	124,36	0,16	ELU
	G-Sy-0,3°Sx	2	146,50	0,23	146,50	0,16	ELU
HIP.39	G+Sx+0,3°Q	1	168,15	3,52	168,15	2,35	ELU
	G+Sx+0,3°Q	2	134,18	3,52	134,18	2,35	ELU
HIP.40	G-Sx+0,3°Q	1	139,90	0,84	139,90	0,56	ELU

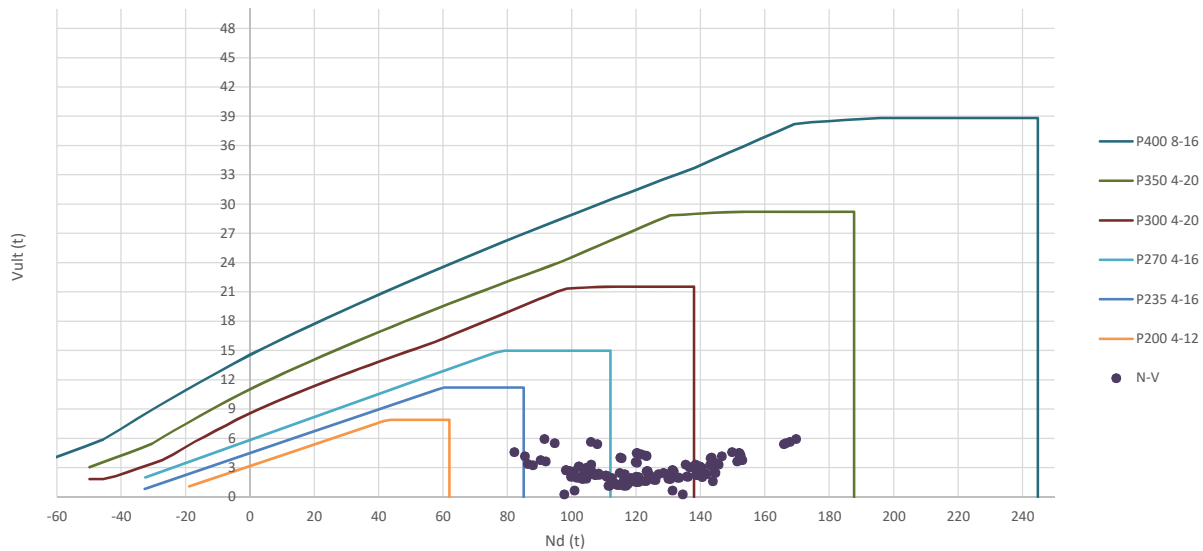
	G-Sx+0,3*Q	2	146,69	0,84	146,69	0,56	ELU
HIP.41	G+Sy+0,3*Q	1	169,63	3,66	169,63	2,45	ELU
	G+Sy+0,3*Q	2	130,29	3,66	130,29	2,45	ELU
HIP.42	G-Sy+0,3*Q	1	138,42	0,71	138,42	0,47	ELU
	G-Sy+0,3*Q	2	150,57	0,71	150,57	0,47	ELU
HIP.43	G+Sx+0,3*Sy+0,3*Q	1	172,83	3,96	172,83	2,65	ELU
	G+Sx+0,3*Sy+0,3*Q	2	131,13	3,96	131,13	2,65	ELU
HIP.44	G+Sx-0,3*Sy+0,3*Q	1	163,47	3,07	163,47	2,06	ELU
	G+Sx-0,3*Sy+0,3*Q	2	137,22	3,07	137,22	2,06	ELU
HIP.45	G-Sx+0,3*Sy+0,3*Q	1	144,58	1,28	144,58	0,86	ELU
	G-Sx+0,3*Sy+0,3*Q	2	143,65	1,28	143,65	0,86	ELU
HIP.46	G-Sx-0,3*Sy+0,3*Q	1	135,22	0,40	135,22	0,27	ELU
	G-Sx-0,3*Sy+0,3*Q	2	149,73	0,40	149,73	0,27	ELU
HIP.47	G+Sy+0,3*Sx+0,3*Q	1	173,86	4,06	173,86	2,72	ELU
	G+Sy+0,3*Sx+0,3*Q	2	128,42	4,06	128,42	2,72	ELU
HIP.48	G+Sy-0,3*Sx+0,3*Q	1	165,39	3,26	165,39	2,18	ELU
	G+Sy-0,3*Sx+0,3*Q	2	132,17	3,26	132,17	2,18	ELU
HIP.49	G-Sy+0,3*Sx+0,3*Q	1	142,66	1,11	142,66	0,74	ELU
	G-Sy+0,3*Sx+0,3*Q	2	148,70	1,11	148,70	0,74	ELU
HIP.50	G-Sy-0,3*Sx+0,3*Q	1	134,18	0,32	134,18	0,21	ELU
	G-Sy-0,3*Sx+0,3*Q	2	152,45	0,32	152,45	0,21	ELU
HIP.51	G+BOMB	1	156,81	4,58	156,81	3,07	ELU
	G+BOMB	2	118,84	4,58	118,84	3,07	ELU
HIP.52	G+BOMB+0,5*Q	1	173,18	5,37	173,18	3,59	ELU
	G+BOMB+0,5*Q	2	128,76	5,37	128,76	3,59	ELU
HIP.53	G+BOMB+0,5*V1	1	156,99	4,40	156,99	2,94	ELU
	G+BOMB+0,5*V1	2	120,97	4,40	120,97	2,94	ELU
HIP.54	G+BOMB+0,5*V2	1	157,39	4,46	157,39	2,98	ELU
	G+BOMB+0,5*V2	2	120,53	4,46	120,53	2,98	ELU
HIP.55	G+BOMB+0,5*V3	1	156,63	4,77	156,63	3,19	ELU
	G+BOMB+0,5*V3	2	116,71	4,77	116,71	3,19	ELU
HIP.56	G+BOMB+0,5*V4	1	156,24	4,71	156,24	3,15	ELU
	G+BOMB+0,5*V4	2	117,15	4,71	117,15	3,15	ELU
HIP.57	G+BOMB+0,5*V5	1	145,66	3,05	145,66	2,04	ELU
	G+BOMB+0,5*V5	2	132,56	3,05	132,56	2,04	ELU
HIP.58	G+BOMB+0,5*V6	1	141,93	2,50	141,93	1,67	ELU
	G+BOMB+0,5*V6	2	136,99	2,50	136,99	1,67	ELU
HIP.59	G+BOMB+0,5*V7	1	167,96	6,13	167,96	4,10	ELU
	G+BOMB+0,5*V7	2	105,12	6,13	105,12	4,10	ELU
HIP.60	G+BOMB+0,5*V8	1	171,69	6,68	171,69	4,47	ELU
	G+BOMB+0,5*V8	2	100,69	6,68	100,69	4,47	ELU
HIP.61	G+BOMB+0,5*V1+0,3*Q	1	166,81	4,87	166,81	3,26	ELU
	G+BOMB+0,5*V1+0,3*Q	2	126,93	4,87	126,93	3,26	ELU
HIP.62	G+BOMB+0,5*V2+0,3*Q	1	167,21	4,93	167,21	3,30	ELU
	G+BOMB+0,5*V2+0,3*Q	2	126,48	4,93	126,48	3,30	ELU
HIP.63	G+BOMB+0,5*V3+0,3*Q	1	166,45	5,24	166,45	3,50	ELU
	G+BOMB+0,5*V3+0,3*Q	2	122,66	5,24	122,66	3,50	ELU
HIP.64	G+BOMB+0,5*V4+0,3*Q	1	166,06	5,18	166,06	3,46	ELU
	G+BOMB+0,5*V4+0,3*Q	2	123,11	5,18	123,11	3,46	ELU
HIP.65	G+BOMB+0,5*V5+0,3*Q	1	155,49	3,52	155,49	2,35	ELU
	G+BOMB+0,5*V5+0,3*Q	2	138,51	3,52	138,51	2,35	ELU
HIP.66	G+BOMB+0,5*V6+0,3*Q	1	151,75	2,97	151,75	1,99	ELU
	G+BOMB+0,5*V6+0,3*Q	2	142,94	2,97	142,94	1,99	ELU
HIP.67	G+BOMB+0,5*V7+0,3*Q	1	177,78	6,60	177,78	4,41	ELU
	G+BOMB+0,5*V7+0,3*Q	2	111,08	6,60	111,08	4,41	ELU
HIP.68	G+BOMB+0,5*V8+0,3*Q	1	181,51	7,15	181,51	4,78	ELU
	G+BOMB+0,5*V8+0,3*Q	2	106,64	7,15	106,64	4,78	ELU

Seccion (mm.)	e _x (m.)	e _y (m.)	Henc. (m.)
400	0,00	1,65	1,30
COMPROBACIÓN (compresión)	CUMPLE		
MAX. AXIL	169,65		(TON)
MIN. AXIL	0,00		(TON)
COMPROBACIÓN (tracción)	CUMPLE		
L.1(m)	0,00		
L.2(m)	0,00		
L.Influenc.(m)	0,00		
CERRAM.(ton.)	0,00		
αx (inclinación)	0,00		
αy (inclinación)	0,00		

Curva de resistencia axil-momento (en cualquier dirección)



Curva de resistencia axil-cortante



PILAR: PAN7



COMPROBACIÓN ESFUERZOS:

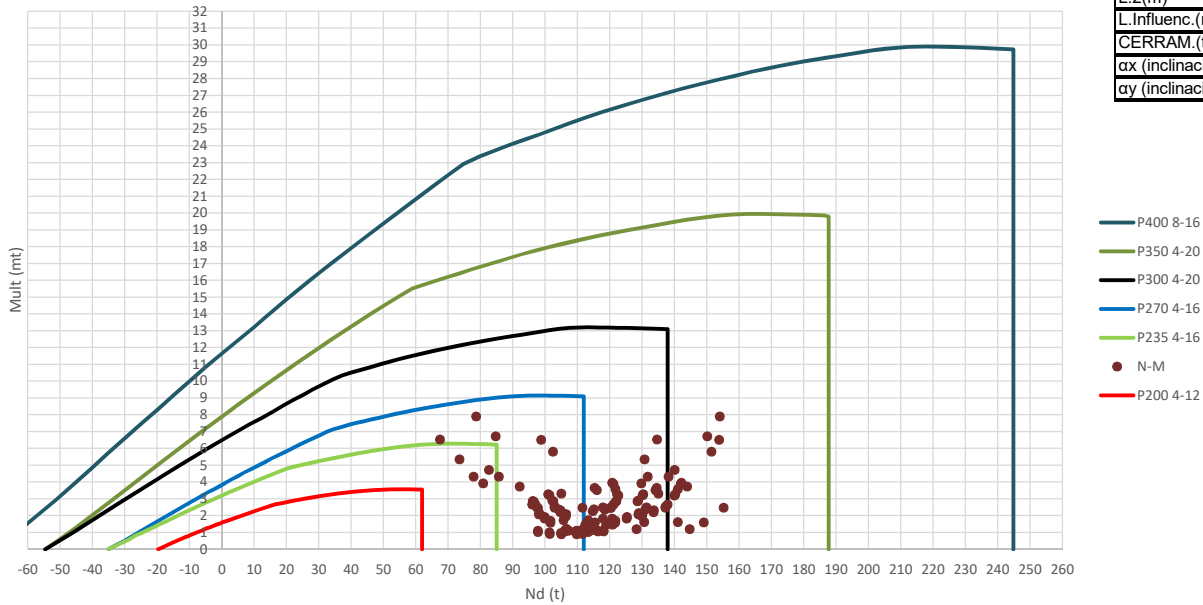
P18147P Parcela R20

	LC: COMB.	nº PILOTE	N _{pilote} (T) a ras de suelo	M ult. Pilote (mT)	N _{pilote} (T) a ras de suelo	V ult-Pilote (T)	ESTADO LIMITE
HIP.1	G	1	123,70	3,61	123,70	2,42	ELS
	G	2	108,28	3,61	108,28	2,42	ELS
HIP.2	G+Q	1	152,12	6,51	152,12	4,36	ELS
	G+Q	2	121,62	6,51	121,62	4,36	ELS
HIP.3	G+V1	1	123,52	4,00	123,52	2,67	ELS
	G+V1	2	105,72	4,00	105,72	2,67	ELS
HIP.4	G+V2	1	123,17	3,93	123,17	2,63	ELS
	G+V2	2	106,05	3,93	106,05	2,63	ELS
HIP.5	G+V3	1	123,87	3,24	123,87	2,17	ELS
	G+V3	2	110,83	3,24	110,83	2,17	ELS
HIP.6	G+V4	1	124,22	3,31	124,22	2,21	ELS
	G+V4	2	110,50	3,31	110,50	2,21	ELS
HIP.7	G+V5	1	97,64	0,38	97,64	0,26	ELS
	G+V5	2	134,43	0,38	134,43	0,26	ELS
HIP.8	G+V6	1	100,79	1,01	100,79	0,68	ELS
	G+V6	2	131,21	1,01	131,21	0,68	ELS
HIP.9	G+V7	1	149,75	6,85	149,75	4,58	ELS
	G+V7	2	82,13	6,85	82,13	4,58	ELS
HIP.10	G+V8	1	146,60	6,21	146,60	4,16	ELS
	G+V8	2	85,35	6,21	85,35	4,16	ELS
HIP.11	G+Q+0,6°V1	1	152,02	6,74	152,02	4,51	ELS
	G+Q+0,6°V1	2	120,09	6,74	120,09	4,51	ELS
HIP.12	G+Q+0,6°V2	1	151,81	6,70	151,81	4,48	ELS
	G+Q+0,6°V2	2	120,28	6,70	120,28	4,48	ELS
HIP.13	G+Q+0,6°V3	1	152,23	6,29	152,23	4,21	ELS
	G+Q+0,6°V3	2	123,15	6,29	123,15	4,21	ELS
HIP.14	G+Q+0,6°V4	1	152,44	6,33	152,44	4,23	ELS
	G+Q+0,6°V4	2	122,95	6,33	122,95	4,23	ELS
HIP.15	G+Q+0,6°V5	1	136,49	4,57	136,49	3,06	ELS
	G+Q+0,6°V5	2	137,31	4,57	137,31	3,06	ELS
HIP.16	G+Q+0,6°V6	1	138,38	4,95	138,38	3,31	ELS
	G+Q+0,6°V6	2	135,37	4,95	135,37	3,31	ELS
HIP.17	G+Q+0,6°V7	1	167,76	8,46	167,76	5,66	ELS
	G+Q+0,6°V7	2	105,93	8,46	105,93	5,66	ELS
HIP.18	G+Q+0,6°V8	1	165,87	8,08	165,87	5,40	ELS
	G+Q+0,6°V8	2	107,86	8,08	107,86	5,40	ELS
HIP.19	G+V1+0,7°Q	1	143,42	6,03	143,42	4,03	ELS
	G+V1+0,7°Q	2	115,06	6,03	115,06	4,03	ELS
HIP.20	G+V2+0,7°Q	1	143,07	5,96	143,07	3,99	ELS
	G+V2+0,7°Q	2	115,39	5,96	115,39	3,99	ELS
HIP.21	G+V3+0,7°Q	1	143,77	5,27	143,77	3,53	ELS
	G+V3+0,7°Q	2	120,17	5,27	120,17	3,53	ELS
HIP.22	G+V4+0,7°Q	1	144,12	5,34	144,12	3,57	ELS
	G+V4+0,7°Q	2	119,84	5,34	119,84	3,57	ELS
HIP.23	G+V5+0,7°Q	1	117,54	2,41	117,54	1,61	ELS
	G+V5+0,7°Q	2	143,77	2,41	143,77	1,61	ELS
HIP.24	G+V6+0,7°Q	1	120,69	3,04	120,69	2,03	ELS
	G+V6+0,7°Q	2	140,54	3,04	140,54	2,03	ELS
HIP.25	G+V7+0,7°Q	1	169,65	8,88	169,65	5,94	ELS
	G+V7+0,7°Q	2	91,46	8,88	91,46	5,94	ELS
HIP.26	G+V8+0,7°Q	1	166,50	8,25	166,50	5,52	ELS
	G+V8+0,7°Q	2	94,69	8,25	94,69	5,52	ELS
HIP.27	G+Sx	1	132,82	2,97	132,82	1,99	ELU
	G+Sx	2	102,42	2,97	102,42	1,99	ELU
HIP.28	G-Sx	1	114,57	1,87	114,57	1,25	ELU
	G-Sx	2	114,13	1,87	114,13	1,25	ELU
HIP.29	G+Sy	1	133,31	2,93	133,31	1,96	ELU
	G+Sy	2	101,52	2,93	101,52	1,96	ELU
HIP.30	G-Sy	1	114,08	1,90	114,08	1,27	ELU
	G-Sy	2	115,04	1,90	115,04	1,27	ELU
HIP.31	G+Sx+0,3°Sy	1	135,71	3,13	135,71	2,10	ELU
	G+Sx+0,3°Sy	2	100,39	3,13	100,39	2,10	ELU
HIP.32	G+Sx-0,3°Sy	1	129,94	2,82	129,94	1,88	ELU
	G+Sx-0,3°Sy	2	104,45	2,82	104,45	1,88	ELU
HIP.33	G-Sx+0,3°Sy	1	117,45	2,02	117,45	1,35	ELU
	G-Sx+0,3°Sy	2	112,10	2,02	112,10	1,35	ELU
HIP.34	G-Sx-0,3°Sy	1	111,68	1,73	111,68	1,15	ELU
	G-Sx-0,3°Sy	2	116,16	1,73	116,16	1,15	ELU
HIP.35	G+Sy+0,3°Sx	1	136,05	3,10	136,05	2,08	ELU
	G+Sy+0,3°Sx	2	99,76	3,10	99,76	2,08	ELU
HIP.36	G+Sy-0,3°Sx	1	130,57	2,76	130,57	1,85	ELU
	G+Sy-0,3°Sx	2	103,27	2,76	103,27	1,85	ELU
HIP.37	G-Sy+0,3°Sx	1	116,82	2,06	116,82	1,38	ELU
	G-Sy+0,3°Sx	2	113,28	2,06	113,28	1,38	ELU
HIP.38	G-Sy-0,3°Sx	1	111,34	1,74	111,34	1,16	ELU
	G-Sy-0,3°Sx	2	116,80	1,74	116,80	1,16	ELU
HIP.39	G+Sx+0,3°Q	1	141,35	3,55	141,35	2,38	ELU
	G+Sx+0,3°Q	2	106,42	3,55	106,42	2,38	ELU
HIP.40	G-Sx+0,3°Q	1	123,10	2,45	123,10	1,64	ELU

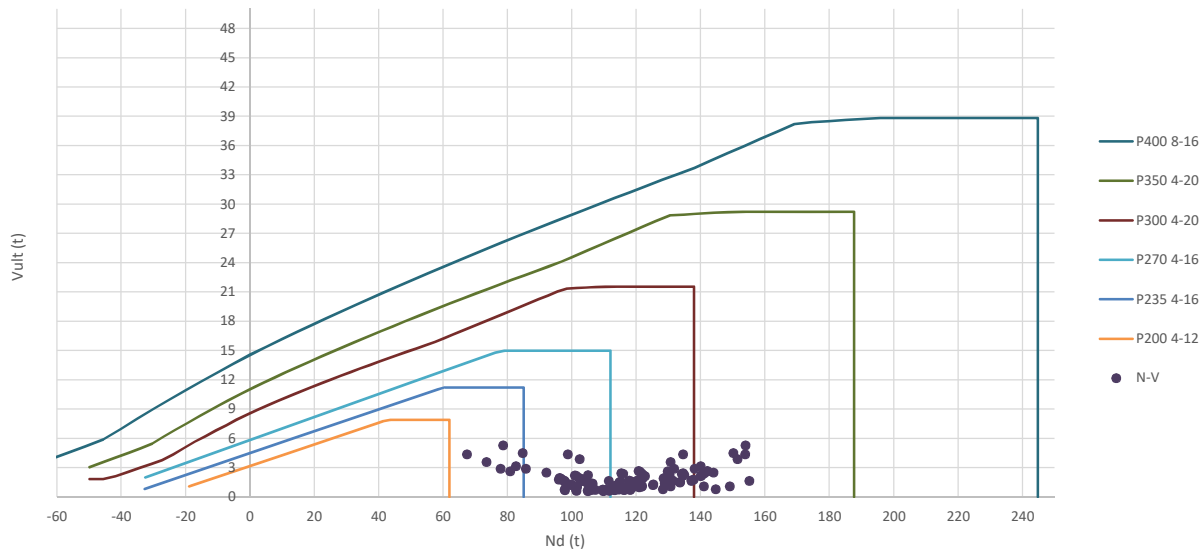
	G-Sx+0,3*Q	2	118,14	2,45	118,14	1,64	ELU
HIP.41	G+Sy+0,3*Q	1	141,84	3,51	141,84	2,35	ELU
	G+Sy+0,3*Q	2	105,52	3,51	105,52	2,35	ELU
HIP.42	G-Sy+0,3*Q	1	122,61	2,47	122,61	1,66	ELU
	G-Sy+0,3*Q	2	119,04	2,47	119,04	1,66	ELU
HIP.43	G+Sx+0,3*Sy+0,3*Q	1	144,24	3,71	144,24	2,48	ELU
	G+Sx+0,3*Sy+0,3*Q	2	104,40	3,71	104,40	2,48	ELU
HIP.44	G+Sx-0,3*Sy+0,3*Q	1	138,47	3,39	138,47	2,27	ELU
	G+Sx-0,3*Sy+0,3*Q	2	108,45	3,39	108,45	2,27	ELU
HIP.45	G-Sx+0,3*Sy+0,3*Q	1	125,98	2,60	125,98	1,74	ELU
	G-Sx+0,3*Sy+0,3*Q	2	116,11	2,60	116,11	1,74	ELU
HIP.46	G-Sx-0,3*Sy+0,3*Q	1	120,21	2,30	120,21	1,54	ELU
	G-Sx-0,3*Sy+0,3*Q	2	120,16	2,30	120,16	1,54	ELU
HIP.47	G+Sy+0,3*Sx+0,3*Q	1	144,57	3,68	144,57	2,46	ELU
	G+Sy+0,3*Sx+0,3*Q	2	103,76	3,68	103,76	2,46	ELU
HIP.48	G+Sy-0,3*Sx+0,3*Q	1	139,10	3,34	139,10	2,24	ELU
	G+Sy-0,3*Sx+0,3*Q	2	107,27	3,34	107,27	2,24	ELU
HIP.49	G-Sy+0,3*Sx+0,3*Q	1	125,35	2,64	125,35	1,76	ELU
	G-Sy+0,3*Sx+0,3*Q	2	117,28	2,64	117,28	1,76	ELU
HIP.50	G-Sy-0,3*Sx+0,3*Q	1	119,87	2,32	119,87	1,55	ELU
	G-Sy-0,3*Sx+0,3*Q	2	120,80	2,32	120,80	1,55	ELU
HIP.51	G+BOMB	1	131,38	3,98	131,38	2,67	ELU
	G+BOMB	2	99,36	3,98	99,36	2,67	ELU
HIP.52	G+BOMB+0,5*Q	1	145,60	4,95	145,60	3,31	ELU
	G+BOMB+0,5*Q	2	106,03	4,95	106,03	3,31	ELU
HIP.53	G+BOMB+0,5*V1	1	131,29	4,11	131,29	2,75	ELU
	G+BOMB+0,5*V1	2	98,08	4,11	98,08	2,75	ELU
HIP.54	G+BOMB+0,5*V2	1	131,12	4,09	131,12	2,74	ELU
	G+BOMB+0,5*V2	2	98,25	4,09	98,25	2,74	ELU
HIP.55	G+BOMB+0,5*V3	1	131,47	3,86	131,47	2,58	ELU
	G+BOMB+0,5*V3	2	100,64	3,86	100,64	2,58	ELU
HIP.56	G+BOMB+0,5*V4	1	131,64	3,88	131,64	2,60	ELU
	G+BOMB+0,5*V4	2	100,47	3,88	100,47	2,60	ELU
HIP.57	G+BOMB+0,5*V5	1	118,36	2,91	118,36	1,94	ELU
	G+BOMB+0,5*V5	2	112,44	2,91	112,44	1,94	ELU
HIP.58	G+BOMB+0,5*V6	1	119,93	3,12	119,93	2,09	ELU
	G+BOMB+0,5*V6	2	110,82	3,12	110,82	2,09	ELU
HIP.59	G+BOMB+0,5*V7	1	144,41	5,06	144,41	3,39	ELU
	G+BOMB+0,5*V7	2	86,29	5,06	86,29	3,39	ELU
HIP.60	G+BOMB+0,5*V8	1	142,84	4,85	142,84	3,25	ELU
	G+BOMB+0,5*V8	2	87,90	4,85	87,90	3,25	ELU
HIP.61	G+BOMB+0,5*V1+0,3*Q	1	139,82	4,69	139,82	3,14	ELU
	G+BOMB+0,5*V1+0,3*Q	2	102,09	4,69	102,09	3,14	ELU
HIP.62	G+BOMB+0,5*V2+0,3*Q	1	139,65	4,67	139,65	3,12	ELU
	G+BOMB+0,5*V2+0,3*Q	2	102,25	4,67	102,25	3,12	ELU
HIP.63	G+BOMB+0,5*V3+0,3*Q	1	140,00	4,44	140,00	2,97	ELU
	G+BOMB+0,5*V3+0,3*Q	2	104,64	4,44	104,64	2,97	ELU
HIP.64	G+BOMB+0,5*V4+0,3*Q	1	140,17	4,46	140,17	2,99	ELU
	G+BOMB+0,5*V4+0,3*Q	2	104,48	4,46	104,48	2,99	ELU
HIP.65	G+BOMB+0,5*V5+0,3*Q	1	126,88	3,49	126,88	2,33	ELU
	G+BOMB+0,5*V5+0,3*Q	2	116,44	3,49	116,44	2,33	ELU
HIP.66	G+BOMB+0,5*V6+0,3*Q	1	128,46	3,70	128,46	2,47	ELU
	G+BOMB+0,5*V6+0,3*Q	2	114,83	3,70	114,83	2,47	ELU
HIP.67	G+BOMB+0,5*V7+0,3*Q	1	152,94	5,65	152,94	3,78	ELU
	G+BOMB+0,5*V7+0,3*Q	2	90,29	5,65	90,29	3,78	ELU
HIP.68	G+BOMB+0,5*V8+0,3*Q	1	151,36	5,43	151,36	3,63	ELU
	G+BOMB+0,5*V8+0,3*Q	2	91,90	5,43	91,90	3,63	ELU

Seccion (mm.)	e _x (m.)	e _y (m.)	Henc. (m.)
400	0,00	1,65	1,30
COMPROBACIÓN (compresión)	CUMPLE		
MAX. AXIL	155,15	(TON)	
MIN. AXIL	0,00	(TON)	
COMPROBACIÓN (tracción)	CUMPLE		
	L.1(m)	0,00	
	L.2(m)	0,00	
	L.Influenc.(m)	0,00	
	CERRAM.(ton.)	0,00	
	αx (inclinación)	0,00	
	αy (inclinación)	0,00	

Curva de resistencia axil-momento (en cualquier dirección)



Curva de resistencia axil-cortante



PILAR: PAN8



COMPROBACIÓN ESFUERZOS:

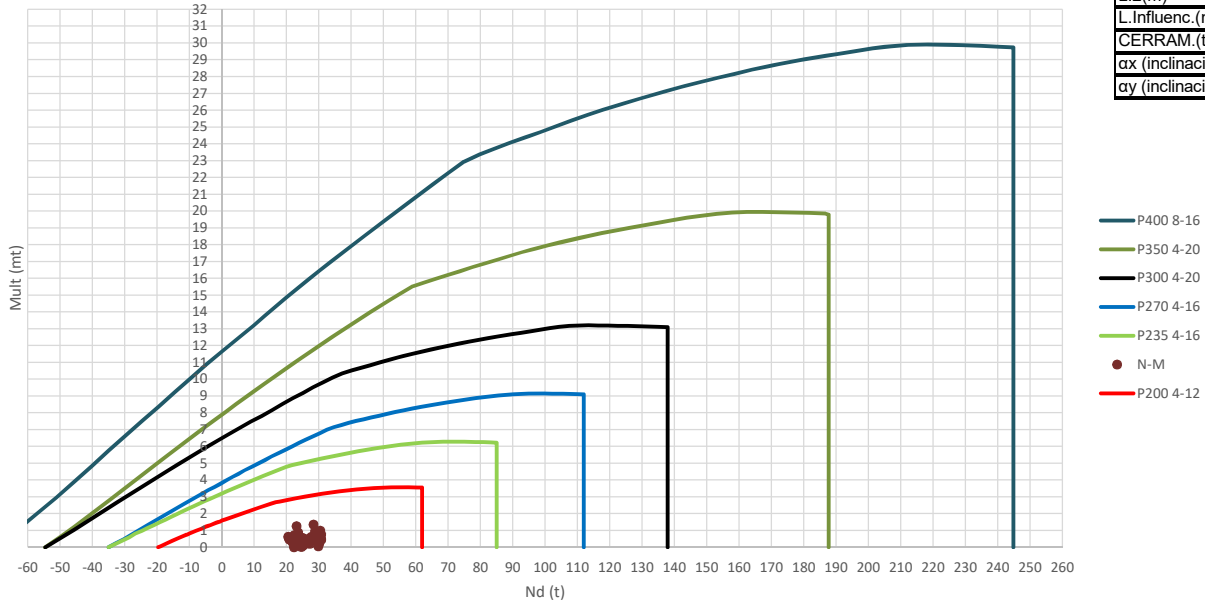
P18147P Parcela R20

	LC: COMB.	nº PILOTE	N _{pilote} (T) a ras de suelo	M ult. Pilote (mT)	N _{pilote} (T) a ras de suelo	V ult.-Pilote (T)	ESTADO LIMITE
HIP.1	G	1	113,31	1,74	113,31	1,17	ELS
	G	2	105,68	1,74	105,68	1,17	ELS
HIP.2	G+Q	1	141,04	3,58	141,04	2,39	ELS
	G+Q	2	121,70	3,58	121,70	2,39	ELS
HIP.3	G+V1	1	115,12	2,39	115,12	1,60	ELS
	G+V1	2	104,09	2,39	104,09	1,60	ELS
HIP.4	G+V2	1	114,69	2,27	114,69	1,52	ELS
	G+V2	2	104,74	2,27	104,74	1,52	ELS
HIP.5	G+V3	1	111,50	1,11	111,50	0,74	ELS
	G+V3	2	107,27	1,11	107,27	0,74	ELS
HIP.6	G+V4	1	111,92	1,22	111,92	0,82	ELS
	G+V4	2	106,61	1,22	106,61	0,82	ELS
HIP.7	G+V5	1	92,07	3,74	92,07	2,50	ELS
	G+V5	2	143,93	3,74	143,93	2,50	ELS
HIP.8	G+V6	1	95,93	2,68	95,93	1,79	ELS
	G+V6	2	137,85	2,68	137,85	1,79	ELS
HIP.9	G+V7	1	134,54	6,53	134,54	4,37	ELS
	G+V7	2	67,42	6,53	67,42	4,37	ELS
HIP.10	G+V8	1	130,69	5,35	130,69	3,58	ELS
	G+V8	2	73,50	5,35	73,50	3,58	ELS
HIP.11	G+Q+0,6°V1	1	142,13	3,97	142,13	2,65	ELS
	G+Q+0,6°V1	2	120,75	3,97	120,75	2,65	ELS
HIP.12	G+Q+0,6°V2	1	141,87	3,89	141,87	2,60	ELS
	G+Q+0,6°V2	2	121,14	3,89	121,14	2,60	ELS
HIP.13	G+Q+0,6°V3	1	139,96	3,20	139,96	2,14	ELS
	G+Q+0,6°V3	2	122,65	3,20	122,65	2,14	ELS
HIP.14	G+Q+0,6°V4	1	140,21	3,27	140,21	2,19	ELS
	G+Q+0,6°V4	2	122,26	3,27	122,26	2,19	ELS
HIP.15	G+Q+0,6°V5	1	128,30	1,20	128,30	0,80	ELS
	G+Q+0,6°V5	2	144,65	1,20	144,65	0,80	ELS
HIP.16	G+Q+0,6°V6	1	130,61	1,62	130,61	1,09	ELS
	G+Q+0,6°V6	2	141,01	1,62	141,01	1,09	ELS
HIP.17	G+Q+0,6°V7	1	153,78	6,51	153,78	4,36	ELS
	G+Q+0,6°V7	2	98,75	6,51	98,75	4,36	ELS
HIP.18	G+Q+0,6°V8	1	151,47	5,81	151,47	3,88	ELS
	G+Q+0,6°V8	2	102,39	5,81	102,39	3,88	ELS
HIP.19	G+V1+0,7°Q	1	134,53	3,66	134,53	2,45	ELS
	G+V1+0,7°Q	2	115,30	3,66	115,30	2,45	ELS
HIP.20	G+V2+0,7°Q	1	134,10	3,53	134,10	2,36	ELS
	G+V2+0,7°Q	2	115,96	3,53	115,96	2,36	ELS
HIP.21	G+V3+0,7°Q	1	130,91	2,37	130,91	1,58	ELS
	G+V3+0,7°Q	2	118,48	2,37	118,48	1,58	ELS
HIP.22	G+V4+0,7°Q	1	131,34	2,50	131,34	1,67	ELS
	G+V4+0,7°Q	2	117,83	2,50	117,83	1,67	ELS
HIP.23	G+V5+0,7°Q	1	111,49	2,48	111,49	1,66	ELS
	G+V5+0,7°Q	2	155,15	2,48	155,15	1,66	ELS
HIP.24	G+V6+0,7°Q	1	115,34	1,61	115,34	1,08	ELS
	G+V6+0,7°Q	2	149,07	1,61	149,07	1,08	ELS
HIP.25	G+V7+0,7°Q	1	153,96	7,91	153,96	5,29	ELS
	G+V7+0,7°Q	2	78,64	7,91	78,64	5,29	ELS
HIP.26	G+V8+0,7°Q	1	150,10	6,73	150,10	4,50	ELS
	G+V8+0,7°Q	2	84,71	6,73	84,71	4,50	ELS
HIP.27	G+Sx	1	125,33	1,93	125,33	1,29	ELU
	G+Sx	2	99,86	1,93	99,86	1,29	ELU
HIP.28	G-Sx	1	101,29	1,02	101,29	0,68	ELU
	G-Sx	2	111,49	1,02	111,49	0,68	ELU
HIP.29	G+Sy	1	125,21	1,82	125,21	1,22	ELU
	G+Sy	2	99,83	1,82	99,83	1,22	ELU
HIP.30	G-Sy	1	101,40	0,92	101,40	0,61	ELU
	G-Sy	2	111,52	0,92	111,52	0,61	ELU
HIP.31	G+Sx+0,3°Sy	1	128,90	2,16	128,90	1,45	ELU
	G+Sx+0,3°Sy	2	98,11	2,16	98,11	1,45	ELU
HIP.32	G+Sx-0,3°Sy	1	121,76	1,70	121,76	1,14	ELU
	G+Sx-0,3°Sy	2	101,61	1,70	101,61	1,14	ELU
HIP.33	G-Sx+0,3°Sy	1	104,86	0,98	104,86	0,65	ELU
	G-Sx+0,3°Sy	2	109,74	0,98	109,74	0,65	ELU
HIP.34	G-Sx-0,3°Sy	1	97,72	1,11	97,72	0,75	ELU
	G-Sx-0,3°Sy	2	113,24	1,11	113,24	0,75	ELU
HIP.35	G+Sy+0,3°Sx	1	128,82	2,08	128,82	1,39	ELU
	G+Sy+0,3°Sx	2	98,09	2,08	98,09	1,39	ELU
HIP.36	G+Sy-0,3°Sx	1	121,60	1,58	121,60	1,06	ELU
	G+Sy-0,3°Sx	2	101,58	1,58	101,58	1,06	ELU
HIP.37	G-Sy+0,3°Sx	1	105,01	0,91	105,01	0,61	ELU
	G-Sy+0,3°Sx	2	109,77	0,91	109,77	0,61	ELU
HIP.38	G-Sy-0,3°Sx	1	97,80	1,03	97,80	0,69	ELU
	G-Sy-0,3°Sx	2	113,26	1,03	113,26	0,69	ELU
HIP.39	G+Sx+0,3°Q	1	133,65	2,32	133,65	1,55	ELU
	G+Sx+0,3°Q	2	104,67	2,32	104,67	1,55	ELU
HIP.40	G-Sx+0,3°Q	1	109,61	1,12	109,61	0,75	ELU

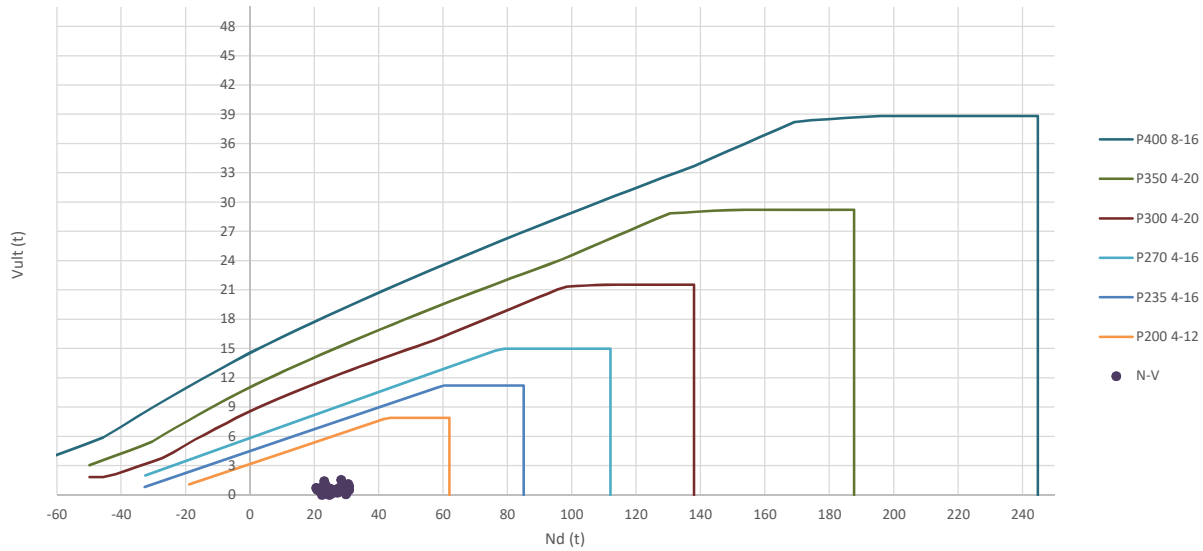
	G-Sx+0,3*Q	2	116,30	1,12	116,30	0,75	ELU
HIP.41	G+Sy+0,3*Q	1	133,53	2,21	133,53	1,48	ELU
	G+Sy+0,3*Q	2	104,64	2,21	104,64	1,48	ELU
HIP.42	G-Sy+0,3*Q	1	109,72	1,07	109,72	0,72	ELU
	G-Sy+0,3*Q	2	116,32	1,07	116,32	0,72	ELU
HIP.43	G+Sx+0,3*Sy+0,3*Q	1	137,22	2,55	137,22	1,71	ELU
	G+Sx+0,3*Sy+0,3*Q	2	102,92	2,55	102,92	1,71	ELU
HIP.44	G+Sx-0,3*Sy+0,3*Q	1	130,08	2,09	130,08	1,40	ELU
	G+Sx-0,3*Sy+0,3*Q	2	106,42	2,09	106,42	1,40	ELU
HIP.45	G-Sx+0,3*Sy+0,3*Q	1	113,18	1,16	113,18	0,78	ELU
	G-Sx+0,3*Sy+0,3*Q	2	114,55	1,16	114,55	0,78	ELU
HIP.46	G-Sx-0,3*Sy+0,3*Q	1	106,04	1,12	106,04	0,75	ELU
	G-Sx-0,3*Sy+0,3*Q	2	118,05	1,12	118,05	0,75	ELU
HIP.47	G+Sy+0,3*Sx+0,3*Q	1	137,14	2,48	137,14	1,66	ELU
	G+Sy+0,3*Sx+0,3*Q	2	102,90	2,48	102,90	1,66	ELU
HIP.48	G+Sy-0,3*Sx+0,3*Q	1	129,93	1,96	129,93	1,31	ELU
	G+Sy-0,3*Sx+0,3*Q	2	106,39	1,96	106,39	1,31	ELU
HIP.49	G-Sy+0,3*Sx+0,3*Q	1	113,33	1,16	113,33	0,78	ELU
	G-Sy+0,3*Sx+0,3*Q	2	114,58	1,16	114,58	0,78	ELU
HIP.50	G-Sy-0,3*Sx+0,3*Q	1	106,12	1,07	106,12	0,71	ELU
	G-Sy-0,3*Sx+0,3*Q	2	118,07	1,07	118,07	0,71	ELU
HIP.51	G+BOMB	1	121,10	2,67	121,10	1,79	ELU
	G+BOMB	2	96,94	2,67	96,94	1,79	ELU
HIP.52	G+BOMB+0,5*Q	1	134,96	3,33	134,96	2,22	ELU
	G+BOMB+0,5*Q	2	104,95	3,33	104,95	2,22	ELU
HIP.53	G+BOMB+0,5*V1	1	122,00	2,88	122,00	1,93	ELU
	G+BOMB+0,5*V1	2	96,14	2,88	96,14	1,93	ELU
HIP.54	G+BOMB+0,5*V2	1	121,79	2,84	121,79	1,90	ELU
	G+BOMB+0,5*V2	2	96,47	2,84	96,47	1,90	ELU
HIP.55	G+BOMB+0,5*V3	1	120,19	2,46	120,19	1,65	ELU
	G+BOMB+0,5*V3	2	97,73	2,46	97,73	1,65	ELU
HIP.56	G+BOMB+0,5*V4	1	120,40	2,51	120,40	1,68	ELU
	G+BOMB+0,5*V4	2	97,40	2,51	97,40	1,68	ELU
HIP.57	G+BOMB+0,5*V5	1	110,48	1,10	110,48	0,74	ELU
	G+BOMB+0,5*V5	2	116,07	1,10	116,07	0,74	ELU
HIP.58	G+BOMB+0,5*V6	1	112,41	1,47	112,41	0,98	ELU
	G+BOMB+0,5*V6	2	113,03	1,47	113,03	0,98	ELU
HIP.59	G+BOMB+0,5*V7	1	131,71	4,32	131,71	2,89	ELU
	G+BOMB+0,5*V7	2	77,81	4,32	77,81	2,89	ELU
HIP.60	G+BOMB+0,5*V8	1	129,78	3,93	129,78	2,63	ELU
	G+BOMB+0,5*V8	2	80,85	3,93	80,85	2,63	ELU
HIP.61	G+BOMB+0,5*V1+0,3*Q	1	130,32	3,27	130,32	2,19	ELU
	G+BOMB+0,5*V1+0,3*Q	2	100,95	3,27	100,95	2,19	ELU
HIP.62	G+BOMB+0,5*V2+0,3*Q	1	130,11	3,23	130,11	2,16	ELU
	G+BOMB+0,5*V2+0,3*Q	2	101,28	3,23	101,28	2,16	ELU
HIP.63	G+BOMB+0,5*V3+0,3*Q	1	128,51	2,86	128,51	1,91	ELU
	G+BOMB+0,5*V3+0,3*Q	2	102,54	2,86	102,54	1,91	ELU
HIP.64	G+BOMB+0,5*V4+0,3*Q	1	128,72	2,90	128,72	1,94	ELU
	G+BOMB+0,5*V4+0,3*Q	2	102,21	2,90	102,21	1,94	ELU
HIP.65	G+BOMB+0,5*V5+0,3*Q	1	118,80	1,46	118,80	0,98	ELU
	G+BOMB+0,5*V5+0,3*Q	2	120,87	1,46	120,87	0,98	ELU
HIP.66	G+BOMB+0,5*V6+0,3*Q	1	120,73	1,84	120,73	1,23	ELU
	G+BOMB+0,5*V6+0,3*Q	2	117,83	1,84	117,83	1,23	ELU
HIP.67	G+BOMB+0,5*V7+0,3*Q	1	140,03	4,72	140,03	3,16	ELU
	G+BOMB+0,5*V7+0,3*Q	2	82,62	4,72	82,62	3,16	ELU
HIP.68	G+BOMB+0,5*V8+0,3*Q	1	138,11	4,33	138,11	2,89	ELU
	G+BOMB+0,5*V8+0,3*Q	2	85,66	4,33	85,66	2,89	ELU

Seccion (mm.)	e _x (m.)	e _y (m.)	Henc. (m.)
235	0,00	0,00	1,30
COMPROBACIÓN (compresión)	CUMPLE		
MAX. AXIL	30,76		(TON)
MIN. AXIL	0,00		(TON)
COMPROBACIÓN (tracción)	CUMPLE		
L.1(m)	0,00		
L.2(m)	0,00		
L.Influenc.(m)	0,00		
CERRAM.(ton.)	0,00		
αx (inclinación)	0,00		
αy (inclinación)	0,00		

Curva de resistencia axil-momento (en cualquier dirección)



Curva de resistencia axil-cortante



PILAR: R1



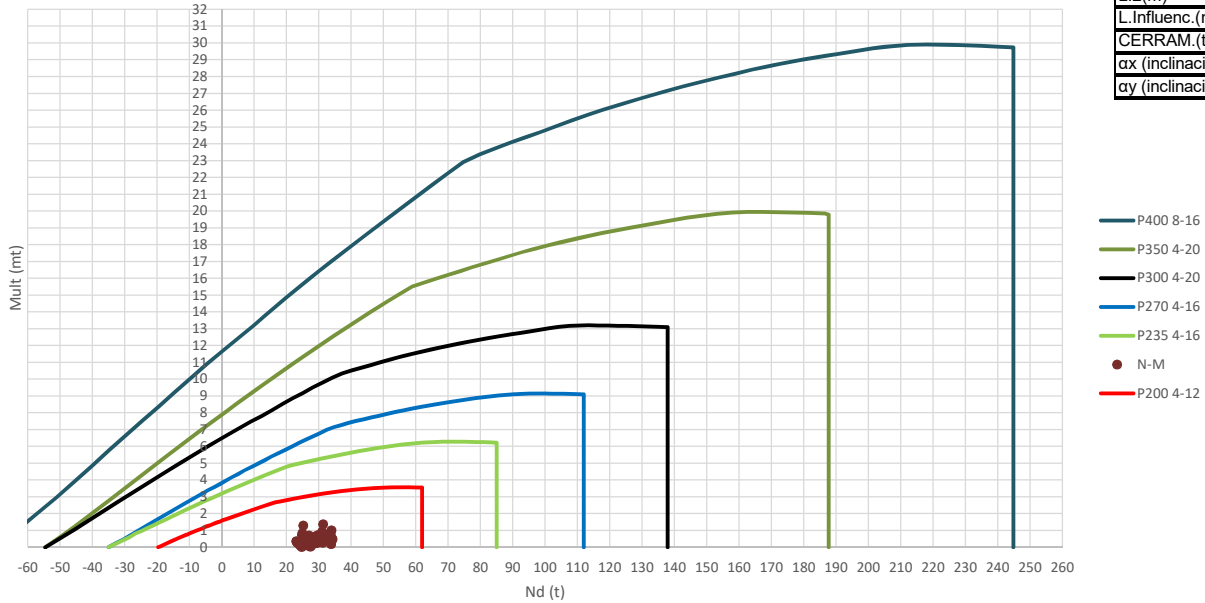
COMPROBACIÓN ESFUERZOS:

P18147P Parcela R20

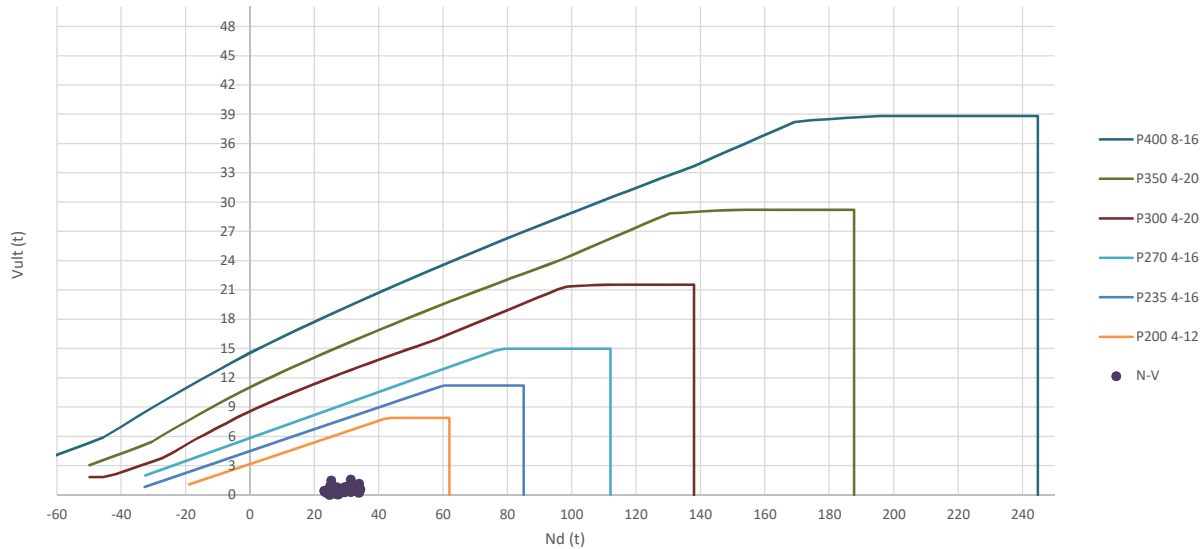
	LC: COMB.	nº PILOTE	N _{pilote} (T) a ras de suelo	M ult. Pilote (mT)	N _{pilote} (T) a ras de suelo	V ult-Pilote (T)	ESTADO LIMITE
HIP.1	G	1	22,75	0,28	22,75	0,32	ELS
HIP.2	G+Q	1	30,28	0,42	30,28	0,47	ELS
HIP.3	G+V1	1	21,95	0,32	21,95	0,36	ELS
HIP.4	G+V2	1	22,00	0,28	22,00	0,32	ELS
HIP.5	G+V3	1	23,55	0,42	23,55	0,47	ELS
HIP.6	G+V4	1	23,50	0,43	23,50	0,49	ELS
HIP.7	G+V5	1	23,56	0,88	23,56	1,00	ELS
HIP.8	G+V6	1	23,06	1,26	23,06	1,43	ELS
HIP.9	G+V7	1	21,94	0,31	21,94	0,35	ELS
HIP.10	G+V8	1	22,44	0,73	22,44	0,83	ELS
HIP.11	G+Q+0,6°V1	1	29,80	0,41	29,80	0,47	ELS
HIP.12	G+Q+0,6°V2	1	29,83	0,39	29,83	0,44	ELS
HIP.13	G+Q+0,6°V3	1	30,76	0,47	30,76	0,53	ELS
HIP.14	G+Q+0,6°V4	1	30,73	0,48	30,73	0,55	ELS
HIP.15	G+Q+0,6°V5	1	30,76	0,77	30,76	0,88	ELS
HIP.16	G+Q+0,6°V6	1	30,46	1,00	30,46	1,14	ELS
HIP.17	G+Q+0,6°V7	1	29,79	0,06	29,79	0,07	ELS
HIP.18	G+Q+0,6°V8	1	30,09	0,23	30,09	0,26	ELS
HIP.19	G+V1+0,7°Q	1	27,22	0,40	27,22	0,45	ELS
HIP.20	G+V2+0,7°Q	1	27,27	0,36	27,27	0,41	ELS
HIP.21	G+V3+0,7°Q	1	28,82	0,49	28,82	0,56	ELS
HIP.22	G+V4+0,7°Q	1	28,77	0,51	28,77	0,58	ELS
HIP.23	G+V5+0,7°Q	1	28,83	0,97	28,83	1,10	ELS
HIP.24	G+V6+0,7°Q	1	28,33	1,35	28,33	1,54	ELS
HIP.25	G+V7+0,7°Q	1	27,21	0,22	27,21	0,25	ELS
HIP.26	G+V8+0,7°Q	1	27,71	0,64	27,71	0,73	ELS
HIP.27	G+Sx	1	24,79	0,50	24,79	0,57	ELU
HIP.28	G-Sx	1	20,70	0,54	20,70	0,61	ELU
HIP.29	G+Sy	1	23,44	0,23	23,44	0,26	ELU
HIP.30	G-Sy	1	22,05	0,44	22,05	0,50	ELU
HIP.31	G+Sx+0,3°Sy	1	25,00	0,56	25,00	0,63	ELU
HIP.32	G+Sx-0,3°Sy	1	24,59	0,45	24,59	0,52	ELU
HIP.33	G-Sx+0,3°Sy	1	20,91	0,45	20,91	0,52	ELU
HIP.34	G-Sx-0,3°Sy	1	20,49	0,63	20,49	0,71	ELU
HIP.35	G+Sy+0,3°Sx	1	24,05	0,38	24,05	0,43	ELU
HIP.36	G+Sy-0,3°Sx	1	22,82	0,09	22,82	0,10	ELU
HIP.37	G-Sy+0,3°Sx	1	22,67	0,36	22,67	0,41	ELU
HIP.38	G-Sy-0,3°Sx	1	21,44	0,54	21,44	0,61	ELU
HIP.39	G+Sx+0,3°Q	1	27,05	0,50	27,05	0,57	ELU
HIP.40	G-Sx+0,3°Q	1	22,96	0,56	22,96	0,63	ELU
HIP.41	G+Sy+0,3°Q	1	25,70	0,23	25,70	0,26	ELU
HIP.42	G-Sy+0,3°Q	1	24,31	0,46	24,31	0,52	ELU
HIP.43	G+Sx+0,3°Sy+0,3°Q	1	27,26	0,56	27,26	0,63	ELU
HIP.44	G+Sx-0,3°Sy+0,3°Q	1	26,85	0,46	26,85	0,52	ELU
HIP.45	G-Sx+0,3°Sy+0,3°Q	1	23,16	0,47	23,16	0,54	ELU
HIP.46	G-Sx-0,3°Sy+0,3°Q	1	22,75	0,64	22,75	0,73	ELU
HIP.47	G+Sy+0,3°Sx+0,3°Q	1	26,31	0,37	26,31	0,42	ELU
HIP.48	G+Sy-0,3°Sx+0,3°Q	1	25,08	0,10	25,08	0,11	ELU
HIP.49	G-Sy+0,3°Sx+0,3°Q	1	24,93	0,39	24,93	0,44	ELU
HIP.50	G-Sy-0,3°Sx+0,3°Q	1	23,70	0,56	23,70	0,64	ELU
HIP.51	G+BOMB	1	22,73	0,19	22,73	0,21	ELU
HIP.52	G+BOMB+0,5°Q	1	26,49	0,23	26,49	0,26	ELU
HIP.53	G+BOMB+0,5°V1	1	22,33	0,19	22,33	0,21	ELU
HIP.54	G+BOMB+0,5°V2	1	22,35	0,17	22,35	0,20	ELU
HIP.55	G+BOMB+0,5°V3	1	23,13	0,22	23,13	0,25	ELU
HIP.56	G+BOMB+0,5°V4	1	23,10	0,23	23,10	0,26	ELU
HIP.57	G+BOMB+0,5°V5	1	23,13	0,38	23,13	0,44	ELU
HIP.58	G+BOMB+0,5°V6	1	22,88	0,51	22,88	0,58	ELU
HIP.59	G+BOMB+0,5°V7	1	22,32	0,01	22,32	0,01	ELU
HIP.60	G+BOMB+0,5°V8	1	22,57	0,16	22,57	0,18	ELU
HIP.61	G+BOMB+0,5°V1+0,3°Q	1	24,58	0,21	24,58	0,24	ELU
HIP.62	G+BOMB+0,5°V2+0,3°Q	1	24,61	0,20	24,61	0,23	ELU
HIP.63	G+BOMB+0,5°V3+0,3°Q	1	25,38	0,24	25,38	0,28	ELU
HIP.64	G+BOMB+0,5°V4+0,3°Q	1	25,36	0,25	25,36	0,28	ELU
HIP.65	G+BOMB+0,5°V5+0,3°Q	1	25,39	0,41	25,39	0,47	ELU
HIP.66	G+BOMB+0,5°V6+0,3°Q	1	25,14	0,54	25,14	0,61	ELU
HIP.67	G+BOMB+0,5°V7+0,3°Q	1	24,58	0,02	24,58	0,02	ELU
HIP.68	G+BOMB+0,5°V8+0,3°Q	1	24,83	0,14	24,83	0,16	ELU

Seccion (mm.)	e _x (m.)	e _y (m.)	Henc. (m.)
235	0,00	0,00	1,30
COMPROBACIÓN (compresión)	CUMPLE		
MAX. AXIL	34,22		(TON)
MIN. AXIL	0,00		(TON)
COMPROBACIÓN (tracción)	CUMPLE		
L.1(m)	0,00		
L.2(m)	0,00		
L.Influenc.(m)	0,00		
CERRAM.(ton.)	0,00		
αx (inclinación)	0,00		
αy (inclinación)	0,00		

Curva de resistencia axil-momento (en cualquier dirección)



Curva de resistencia axil-cortante



PILAR: R2

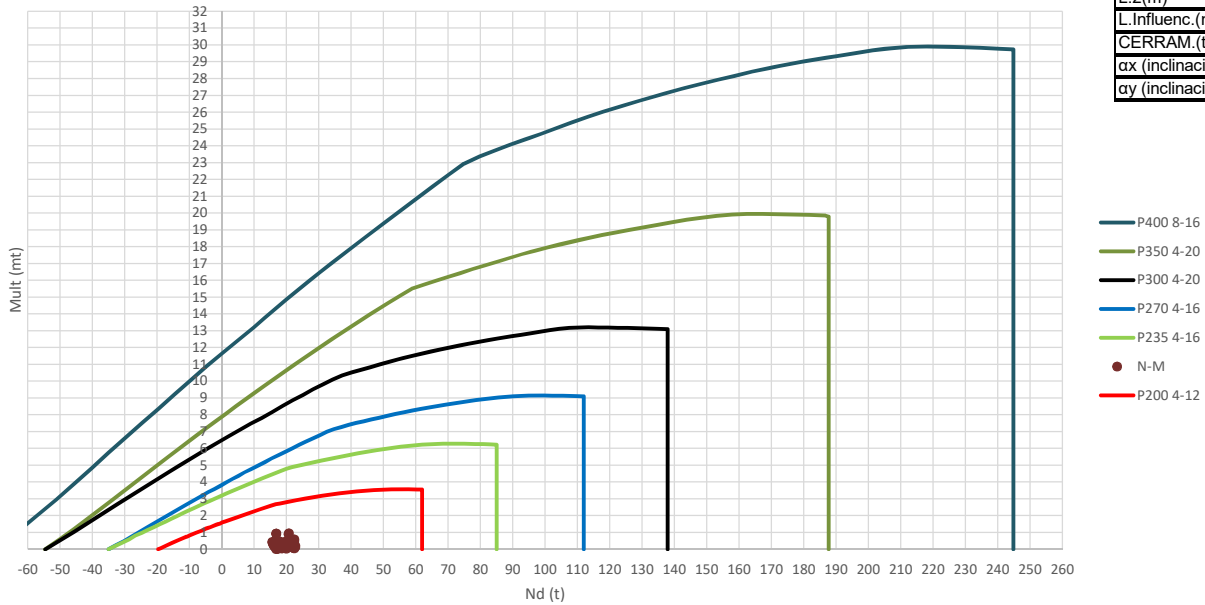
COMPROBACIÓN ESFUERZOS:

P18147P Parcela R20

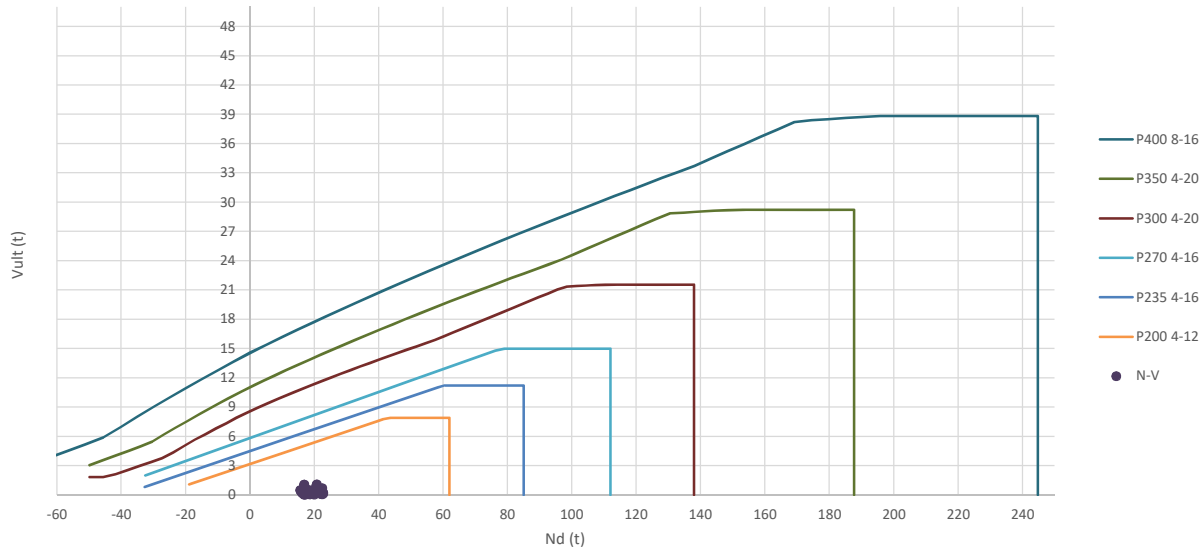
	LC: COMB.	n° PILOTE	N _{pilote} (T) a ras de suelo	M ult. Pilote (mT)	N _{pilote} (T) a ras de suelo	V ult-Pilote (T)	ESTADO LIMITE
HIP.1	G	1	24,99	0,31	24,99	0,35	ELS
HIP.2	G+Q	1	33,79	0,43	33,79	0,49	ELS
HIP.3	G+V1	1	24,26	0,29	24,26	0,34	ELS
HIP.4	G+V2	1	24,28	0,33	24,28	0,38	ELS
HIP.5	G+V3	1	25,72	0,47	25,72	0,53	ELS
HIP.6	G+V4	1	25,70	0,44	25,70	0,50	ELS
HIP.7	G+V5	1	25,08	0,32	25,08	0,37	ELS
HIP.8	G+V6	1	24,81	0,72	24,81	0,82	ELS
HIP.9	G+V7	1	24,90	0,84	24,90	0,96	ELS
HIP.10	G+V8	1	25,17	1,30	25,17	1,47	ELS
HIP.11	G+Q+0,6°V1	1	33,35	0,39	33,35	0,45	ELS
HIP.12	G+Q+0,6°V2	1	33,36	0,42	33,36	0,47	ELS
HIP.13	G+Q+0,6°V3	1	34,22	0,51	34,22	0,58	ELS
HIP.14	G+Q+0,6°V4	1	34,21	0,49	34,21	0,55	ELS
HIP.15	G+Q+0,6°V5	1	33,84	0,19	33,84	0,22	ELS
HIP.16	G+Q+0,6°V6	1	33,68	0,23	33,68	0,27	ELS
HIP.17	G+Q+0,6°V7	1	33,73	0,75	33,73	0,85	ELS
HIP.18	G+Q+0,6°V8	1	33,89	1,02	33,89	1,16	ELS
HIP.19	G+V1+0,7°Q	1	30,42	0,36	30,42	0,42	ELS
HIP.20	G+V2+0,7°Q	1	30,44	0,40	30,44	0,46	ELS
HIP.21	G+V3+0,7°Q	1	31,88	0,54	31,88	0,61	ELS
HIP.22	G+V4+0,7°Q	1	31,86	0,51	31,86	0,58	ELS
HIP.23	G+V5+0,7°Q	1	31,24	0,27	31,24	0,31	ELS
HIP.24	G+V6+0,7°Q	1	30,97	0,64	30,97	0,73	ELS
HIP.25	G+V7+0,7°Q	1	31,06	0,93	31,06	1,06	ELS
HIP.26	G+V8+0,7°Q	1	31,33	1,38	31,33	1,57	ELS
HIP.27	G+Sx	1	26,73	0,62	26,73	0,70	ELU
HIP.28	G-Sx	1	23,24	0,30	23,24	0,35	ELU
HIP.29	G+Sy	1	25,80	0,51	25,80	0,58	ELU
HIP.30	G-Sy	1	24,17	0,12	24,17	0,13	ELU
HIP.31	G+Sx+0,3°Sy	1	26,97	0,71	26,97	0,80	ELU
HIP.32	G+Sx-0,3°Sy	1	26,49	0,53	26,49	0,60	ELU
HIP.33	G-Sx+0,3°Sy	1	23,49	0,25	23,49	0,29	ELU
HIP.34	G-Sx-0,3°Sy	1	23,00	0,37	23,00	0,42	ELU
HIP.35	G+Sy+0,3°Sx	1	26,32	0,63	26,32	0,71	ELU
HIP.36	G+Sy-0,3°Sx	1	25,28	0,40	25,28	0,46	ELU
HIP.37	G-Sy+0,3°Sx	1	24,69	0,02	24,69	0,02	ELU
HIP.38	G-Sy-0,3°Sx	1	23,65	0,25	23,65	0,28	ELU
HIP.39	G+Sx+0,3°Q	1	29,37	0,64	29,37	0,72	ELU
HIP.40	G-Sx+0,3°Q	1	25,88	0,30	25,88	0,34	ELU
HIP.41	G+Sy+0,3°Q	1	28,44	0,53	28,44	0,61	ELU
HIP.42	G-Sy+0,3°Q	1	26,81	0,10	26,81	0,11	ELU
HIP.43	G+Sx+0,3°Sy+0,3°Q	1	29,61	0,73	29,61	0,83	ELU
HIP.44	G+Sx-0,3°Sy+0,3°Q	1	29,13	0,55	29,13	0,62	ELU
HIP.45	G-Sx+0,3°Sy+0,3°Q	1	26,13	0,25	26,13	0,29	ELU
HIP.46	G-Sx-0,3°Sy+0,3°Q	1	25,64	0,36	25,64	0,41	ELU
HIP.47	G+Sy+0,3°Sx+0,3°Q	1	28,96	0,65	28,96	0,74	ELU
HIP.48	G+Sy-0,3°Sx+0,3°Q	1	27,92	0,42	27,92	0,48	ELU
HIP.49	G-Sy+0,3°Sx+0,3°Q	1	27,33	0,04	27,33	0,04	ELU
HIP.50	G-Sy-0,3°Sx+0,3°Q	1	26,29	0,23	26,29	0,26	ELU
HIP.51	G+BOMB	1	24,94	0,21	24,94	0,23	ELU
HIP.52	G+BOMB+0,5°Q	1	29,34	0,25	29,34	0,28	ELU
HIP.53	G+BOMB+0,5°V1	1	24,57	0,18	24,57	0,21	ELU
HIP.54	G+BOMB+0,5°V2	1	24,58	0,20	24,58	0,23	ELU
HIP.55	G+BOMB+0,5°V3	1	25,30	0,25	25,30	0,29	ELU
HIP.56	G+BOMB+0,5°V4	1	25,29	0,24	25,29	0,27	ELU
HIP.57	G+BOMB+0,5°V5	1	24,98	0,10	24,98	0,11	ELU
HIP.58	G+BOMB+0,5°V6	1	24,85	0,16	24,85	0,18	ELU
HIP.59	G+BOMB+0,5°V7	1	24,89	0,38	24,89	0,43	ELU
HIP.60	G+BOMB+0,5°V8	1	25,03	0,53	25,03	0,61	ELU
HIP.61	G+BOMB+0,5°V1+0,3°Q	1	27,21	0,21	27,21	0,24	ELU
HIP.62	G+BOMB+0,5°V2+0,3°Q	1	27,22	0,22	27,22	0,25	ELU
HIP.63	G+BOMB+0,5°V3+0,3°Q	1	27,94	0,27	27,94	0,31	ELU
HIP.64	G+BOMB+0,5°V4+0,3°Q	1	27,93	0,26	27,93	0,30	ELU
HIP.65	G+BOMB+0,5°V5+0,3°Q	1	27,62	0,11	27,62	0,12	ELU
HIP.66	G+BOMB+0,5°V6+0,3°Q	1	27,49	0,14	27,49	0,16	ELU
HIP.67	G+BOMB+0,5°V7+0,3°Q	1	27,53	0,40	27,53	0,46	ELU
HIP.68	G+BOMB+0,5°V8+0,3°Q	1	27,67	0,56	27,67	0,63	ELU

Seccion (mm.)	e _x (m.)	e _y (m.)	Henc. (m.)
235	0,00	0,00	1,30
COMPROBACIÓN (compresión)	CUMPLE		
MAX. AXIL	22,70		(TON)
MIN. AXIL	0,00		(TON)
COMPROBACIÓN (tracción)	CUMPLE		
L.1(m)	0,00		
L.2(m)	0,00		
L.Influenc.(m)	0,00		
CERRAM.(ton.)	0,00		
αx (inclinación)	0,00		
αy (inclinación)	0,00		

Curva de resistencia axil-momento (en cualquier dirección)



Curva de resistencia axil-cortante



PILAR: R3

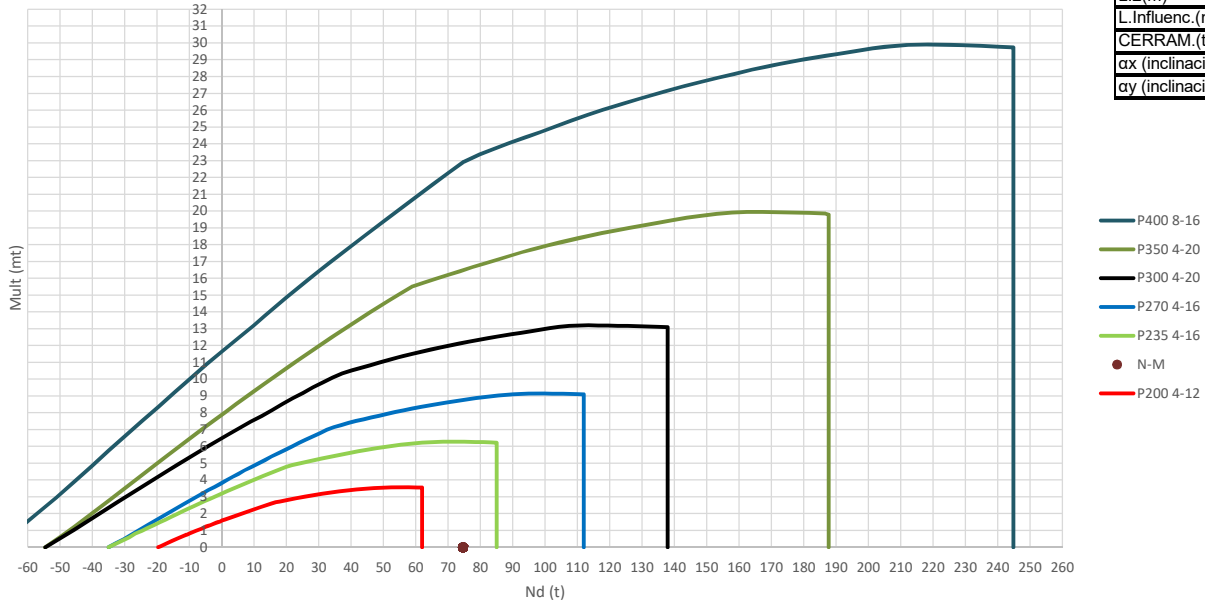
COMPROBACIÓN ESFUERZOS:

P18147P Parcela R20

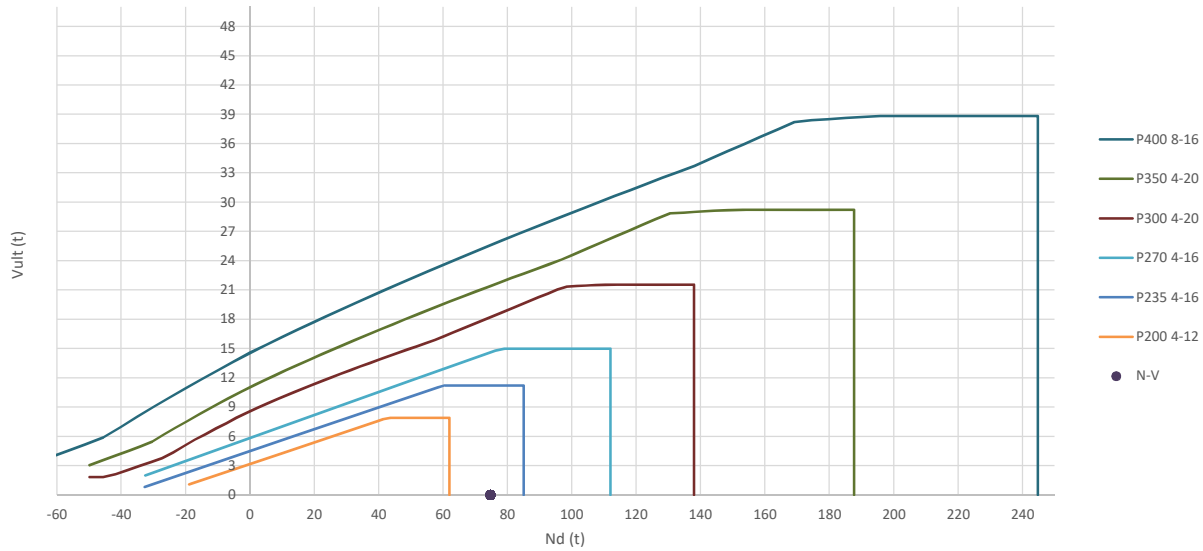
	LC: COMB.	n° PILOTE	N _{pilote} (T) a ras de suelo	M ult. Pilote (mT)	N _{pilote} (T) a ras de suelo	V ult-Pilote (T)	ESTADO LIMITE
HIP.1	G	1	16,78	0,03	16,78	0,03	ELS
HIP.2	G+Q	1	22,40	0,06	22,40	0,06	ELS
HIP.3	G+V1	1	16,28	0,17	16,28	0,20	ELS
HIP.4	G+V2	1	16,27	0,18	16,27	0,21	ELS
HIP.5	G+V3	1	17,28	0,23	17,28	0,26	ELS
HIP.6	G+V4	1	17,29	0,24	17,29	0,27	ELS
HIP.7	G+V5	1	16,68	0,53	16,68	0,60	ELS
HIP.8	G+V6	1	16,84	0,94	16,84	1,07	ELS
HIP.9	G+V7	1	16,88	0,53	16,88	0,60	ELS
HIP.10	G+V8	1	16,72	0,94	16,72	1,07	ELS
HIP.11	G+Q+0,6°V1	1	22,10	0,10	22,10	0,11	ELS
HIP.12	G+Q+0,6°V2	1	22,09	0,09	22,09	0,11	ELS
HIP.13	G+Q+0,6°V3	1	22,70	0,16	22,70	0,18	ELS
HIP.14	G+Q+0,6°V4	1	22,70	0,17	22,70	0,20	ELS
HIP.15	G+Q+0,6°V5	1	22,34	0,36	22,34	0,41	ELS
HIP.16	G+Q+0,6°V6	1	22,43	0,60	22,43	0,69	ELS
HIP.17	G+Q+0,6°V7	1	22,46	0,28	22,46	0,32	ELS
HIP.18	G+Q+0,6°V8	1	22,36	0,52	22,36	0,60	ELS
HIP.19	G+V1+0,7°Q	1	20,21	0,17	20,21	0,19	ELS
HIP.20	G+V2+0,7°Q	1	20,20	0,18	20,20	0,20	ELS
HIP.21	G+V3+0,7°Q	1	21,21	0,23	21,21	0,27	ELS
HIP.22	G+V4+0,7°Q	1	21,22	0,25	21,22	0,28	ELS
HIP.23	G+V5+0,7°Q	1	20,61	0,55	20,61	0,63	ELS
HIP.24	G+V6+0,7°Q	1	20,77	0,96	20,77	1,10	ELS
HIP.25	G+V7+0,7°Q	1	20,81	0,50	20,81	0,57	ELS
HIP.26	G+V8+0,7°Q	1	20,65	0,91	20,65	1,03	ELS
HIP.27	G+Sx	1	17,79	0,38	17,79	0,43	ELU
HIP.28	G-Sx	1	15,76	0,35	15,76	0,40	ELU
HIP.29	G+Sy	1	17,49	0,32	17,49	0,36	ELU
HIP.30	G-Sy	1	16,06	0,29	16,06	0,34	ELU
HIP.31	G+Sx+0,3°Sy	1	18,01	0,47	18,01	0,53	ELU
HIP.32	G+Sx-0,3°Sy	1	17,58	0,29	17,58	0,33	ELU
HIP.33	G-Sx+0,3°Sy	1	15,97	0,26	15,97	0,30	ELU
HIP.34	G-Sx-0,3°Sy	1	15,55	0,44	15,55	0,50	ELU
HIP.35	G+Sy+0,3°Sx	1	17,79	0,42	17,79	0,48	ELU
HIP.36	G+Sy-0,3°Sx	1	17,18	0,21	17,18	0,24	ELU
HIP.37	G-Sy+0,3°Sx	1	16,37	0,19	16,37	0,22	ELU
HIP.38	G-Sy-0,3°Sx	1	15,76	0,40	15,76	0,46	ELU
HIP.39	G+Sx+0,3°Q	1	19,48	0,38	19,48	0,43	ELU
HIP.40	G-Sx+0,3°Q	1	17,45	0,35	17,45	0,40	ELU
HIP.41	G+Sy+0,3°Q	1	19,17	0,31	19,17	0,35	ELU
HIP.42	G-Sy+0,3°Q	1	17,75	0,30	17,75	0,34	ELU
HIP.43	G+Sx+0,3°Sy+0,3°Q	1	19,69	0,46	19,69	0,53	ELU
HIP.44	G+Sx-0,3°Sy+0,3°Q	1	19,26	0,29	19,26	0,33	ELU
HIP.45	G-Sx+0,3°Sy+0,3°Q	1	17,66	0,27	17,66	0,30	ELU
HIP.46	G-Sx-0,3°Sy+0,3°Q	1	17,23	0,44	17,23	0,51	ELU
HIP.47	G+Sy+0,3°Sx+0,3°Q	1	19,48	0,42	19,48	0,48	ELU
HIP.48	G+Sy-0,3°Sx+0,3°Q	1	18,87	0,21	18,87	0,23	ELU
HIP.49	G-Sy+0,3°Sx+0,3°Q	1	18,05	0,20	18,05	0,23	ELU
HIP.50	G-Sy-0,3°Sx+0,3°Q	1	17,45	0,40	17,45	0,46	ELU
HIP.51	G+BOMB	1	17,16	0,02	17,16	0,03	ELU
HIP.52	G+BOMB+0,5°Q	1	19,97	0,04	19,97	0,04	ELU
HIP.53	G+BOMB+0,5°V1	1	16,91	0,06	16,91	0,06	ELU
HIP.54	G+BOMB+0,5°V2	1	16,90	0,05	16,90	0,06	ELU
HIP.55	G+BOMB+0,5°V3	1	17,41	0,08	17,41	0,10	ELU
HIP.56	G+BOMB+0,5°V4	1	17,41	0,09	17,41	0,10	ELU
HIP.57	G+BOMB+0,5°V5	1	17,11	0,19	17,11	0,22	ELU
HIP.58	G+BOMB+0,5°V6	1	17,19	0,33	17,19	0,38	ELU
HIP.59	G+BOMB+0,5°V7	1	17,21	0,16	17,21	0,18	ELU
HIP.60	G+BOMB+0,5°V8	1	17,13	0,29	17,13	0,34	ELU
HIP.61	G+BOMB+0,5°V1+0,3°Q	1	18,59	0,06	18,59	0,07	ELU
HIP.62	G+BOMB+0,5°V2+0,3°Q	1	18,59	0,05	18,59	0,06	ELU
HIP.63	G+BOMB+0,5°V3+0,3°Q	1	19,09	0,09	19,09	0,10	ELU
HIP.64	G+BOMB+0,5°V4+0,3°Q	1	19,10	0,10	19,10	0,11	ELU
HIP.65	G+BOMB+0,5°V5+0,3°Q	1	18,79	0,20	18,79	0,23	ELU
HIP.66	G+BOMB+0,5°V6+0,3°Q	1	18,87	0,34	18,87	0,39	ELU
HIP.67	G+BOMB+0,5°V7+0,3°Q	1	18,89	0,15	18,89	0,17	ELU
HIP.68	G+BOMB+0,5°V8+0,3°Q	1	18,81	0,29	18,81	0,33	ELU

Seccion (mm.)	e _x (m.)	e _y (m.)	Henc. (m.)
235	0,00	0,00	0,65
COMPROBACIÓN (compresión)	CUMPLE		
MAX. AXIL	74,63		(TON)
MIN. AXIL	0,00		(TON)
COMPROBACIÓN (tracción)	CUMPLE		
L.1(m)	0,00		
L.2(m)	0,00		
L.Influenc.(m)	0,00		
CERRAM.(ton.)	0,00		
αx (inclinación)	0,00		
αy (inclinación)	0,00		

Curva de resistencia axil-momento (en cualquier dirección)



Curva de resistencia axil-cortante



PILAR: Pilote Muro

COMPROBACIÓN ESFUERZOS:

P18147P Parcela R20

	LC: COMB.	nº PILOTE	N _{pilote} (T) a ras de suelo	M ult. Pilote (mT)	N _{pilote} (T) a ras de suelo	V ult-Pilote (T)	ESTADO LIMITE
HIP.1	G	1	74,63	0,00	74,63	0,00	ELS
HIP.2	G+Q	1	74,63	0,00	74,63	0,00	ELS
HIP.3	G+V1	1	74,63	0,00	74,63	0,00	ELS
HIP.4	G+V2	1	74,63	0,00	74,63	0,00	ELS
HIP.5	G+V3	1	74,63	0,00	74,63	0,00	ELS
HIP.6	G+V4	1	74,63	0,00	74,63	0,00	ELS
HIP.7	G+V5	1	74,63	0,00	74,63	0,00	ELS
HIP.8	G+V6	1	74,63	0,00	74,63	0,00	ELS
HIP.9	G+V7	1	74,63	0,00	74,63	0,00	ELS
HIP.10	G+V8	1	74,63	0,00	74,63	0,00	ELS
HIP.11	G+Q+0,6°V1	1	74,63	0,00	74,63	0,00	ELS
HIP.12	G+Q+0,6°V2	1	74,63	0,00	74,63	0,00	ELS
HIP.13	G+Q+0,6°V3	1	74,63	0,00	74,63	0,00	ELS
HIP.14	G+Q+0,6°V4	1	74,63	0,00	74,63	0,00	ELS
HIP.15	G+Q+0,6°V5	1	74,63	0,00	74,63	0,00	ELS
HIP.16	G+Q+0,6°V6	1	74,63	0,00	74,63	0,00	ELS
HIP.17	G+Q+0,6°V7	1	74,63	0,00	74,63	0,00	ELS
HIP.18	G+Q+0,6°V8	1	74,63	0,00	74,63	0,00	ELS
HIP.19	G+V1+0,7°Q	1	74,63	0,00	74,63	0,00	ELS
HIP.20	G+V2+0,7°Q	1	74,63	0,00	74,63	0,00	ELS
HIP.21	G+V3+0,7°Q	1	74,63	0,00	74,63	0,00	ELS
HIP.22	G+V4+0,7°Q	1	74,63	0,00	74,63	0,00	ELS
HIP.23	G+V5+0,7°Q	1	74,63	0,00	74,63	0,00	ELS
HIP.24	G+V6+0,7°Q	1	74,63	0,00	74,63	0,00	ELS
HIP.25	G+V7+0,7°Q	1	74,63	0,00	74,63	0,00	ELS
HIP.26	G+V8+0,7°Q	1	74,63	0,00	74,63	0,00	ELS
HIP.27	G+Sx	1	74,63	0,00	74,63	0,00	ELU
HIP.28	G-Sx	1	74,63	0,00	74,63	0,00	ELU
HIP.29	G+Sy	1	74,63	0,00	74,63	0,00	ELU
HIP.30	G-Sy	1	74,63	0,00	74,63	0,00	ELU
HIP.31	G+Sx+0,3°Sy	1	74,63	0,00	74,63	0,00	ELU
HIP.32	G+Sx-0,3°Sy	1	74,63	0,00	74,63	0,00	ELU
HIP.33	G-Sx+0,3°Sy	1	74,63	0,00	74,63	0,00	ELU
HIP.34	G-Sx-0,3°Sy	1	74,63	0,00	74,63	0,00	ELU
HIP.35	G+Sy+0,3°Sx	1	74,63	0,00	74,63	0,00	ELU
HIP.36	G+Sy-0,3°Sx	1	74,63	0,00	74,63	0,00	ELU
HIP.37	G-Sy+0,3°Sx	1	74,63	0,00	74,63	0,00	ELU
HIP.38	G-Sy-0,3°Sx	1	74,63	0,00	74,63	0,00	ELU
HIP.39	G+Sx+0,3°Q	1	74,63	0,00	74,63	0,00	ELU
HIP.40	G-Sx+0,3°Q	1	74,63	0,00	74,63	0,00	ELU
HIP.41	G+Sy+0,3°Q	1	74,63	0,00	74,63	0,00	ELU
HIP.42	G-Sy+0,3°Q	1	74,63	0,00	74,63	0,00	ELU
HIP.43	G+Sx+0,3°Sy+0,3°Q	1	74,63	0,00	74,63	0,00	ELU
HIP.44	G+Sx-0,3°Sy+0,3°Q	1	74,63	0,00	74,63	0,00	ELU
HIP.45	G-Sx+0,3°Sy+0,3°Q	1	74,63	0,00	74,63	0,00	ELU
HIP.46	G-Sx-0,3°Sy+0,3°Q	1	74,63	0,00	74,63	0,00	ELU
HIP.47	G+Sy+0,3°Sx+0,3°Q	1	74,63	0,00	74,63	0,00	ELU
HIP.48	G+Sy-0,3°Sx+0,3°Q	1	74,63	0,00	74,63	0,00	ELU
HIP.49	G-Sy+0,3°Sx+0,3°Q	1	74,63	0,00	74,63	0,00	ELU
HIP.50	G-Sy-0,3°Sx+0,3°Q	1	74,63	0,00	74,63	0,00	ELU
HIP.51	G+BOMB	1	74,63	0,00	74,63	0,00	ELU
HIP.52	G+BOMB+0,5°Q	1	74,63	0,00	74,63	0,00	ELU
HIP.53	G+BOMB+0,5°V1	1	74,63	0,00	74,63	0,00	ELU
HIP.54	G+BOMB+0,5°V2	1	74,63	0,00	74,63	0,00	ELU
HIP.55	G+BOMB+0,5°V3	1	74,63	0,00	74,63	0,00	ELU
HIP.56	G+BOMB+0,5°V4	1	74,63	0,00	74,63	0,00	ELU
HIP.57	G+BOMB+0,5°V5	1	74,63	0,00	74,63	0,00	ELU
HIP.58	G+BOMB+0,5°V6	1	74,63	0,00	74,63	0,00	ELU
HIP.59	G+BOMB+0,5°V7	1	74,63	0,00	74,63	0,00	ELU
HIP.60	G+BOMB+0,5°V8	1	74,63	0,00	74,63	0,00	ELU
HIP.61	G+BOMB+0,5°V1+0,3°Q	1	74,63	0,00	74,63	0,00	ELU
HIP.62	G+BOMB+0,5°V2+0,3°Q	1	74,63	0,00	74,63	0,00	ELU
HIP.63	G+BOMB+0,5°V3+0,3°Q	1	74,63	0,00	74,63	0,00	ELU
HIP.64	G+BOMB+0,5°V4+0,3°Q	1	74,63	0,00	74,63	0,00	ELU
HIP.65	G+BOMB+0,5°V5+0,3°Q	1	74,63	0,00	74,63	0,00	ELU
HIP.66	G+BOMB+0,5°V6+0,3°Q	1	74,63	0,00	74,63	0,00	ELU
HIP.67	G+BOMB+0,5°V7+0,3°Q	1	74,63	0,00	74,63	0,00	ELU
HIP.68	G+BOMB+0,5°V8+0,3°Q	1	74,63	0,00	74,63	0,00	ELU

8.6. Apéndice 6: Vigas

CUADRO DE CARACTERÍSTICAS:

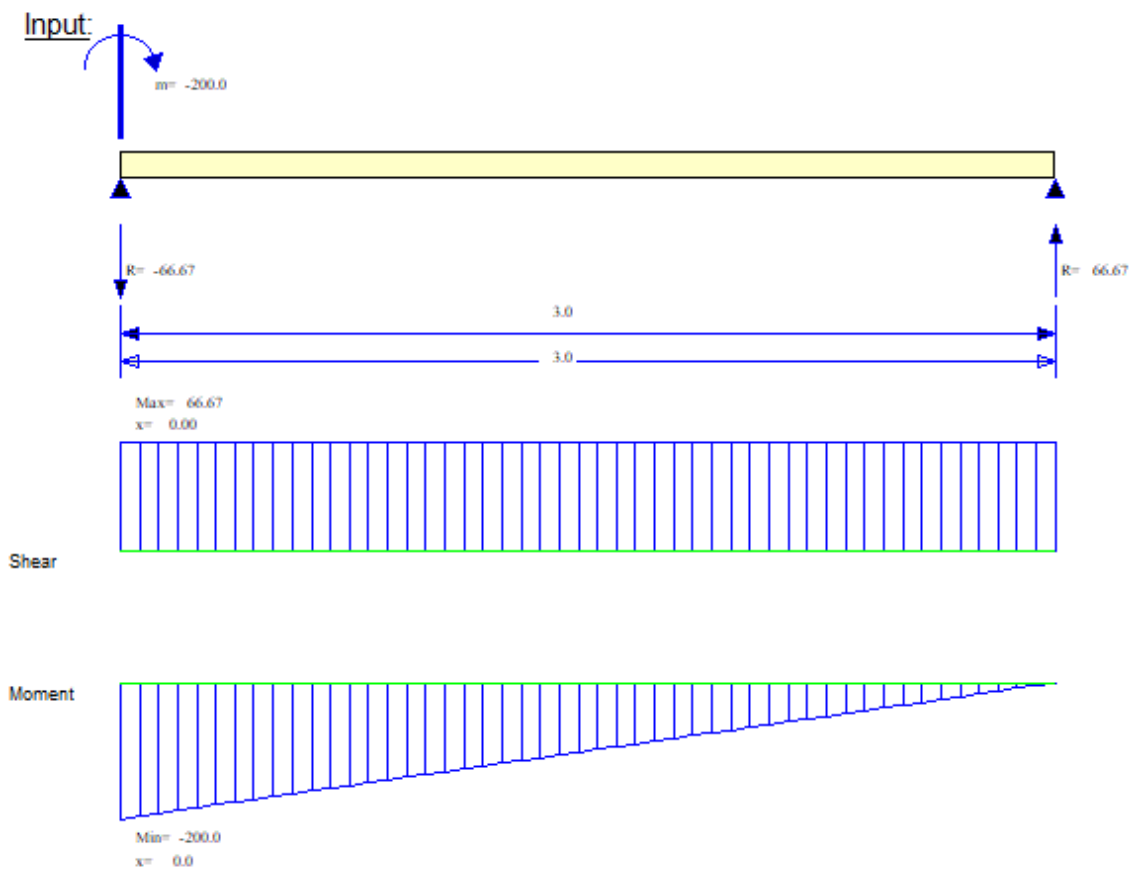
- $F_{ck} = 300 \text{ kp/cm}^2$ $\gamma_c = 1,50$
- $F_{yk} = 5.000 \text{ kp/cm}^2$ $\gamma_s = 1,15$
- Recubrimientos = 50 mm. $\gamma_f = 1,50$

1.1. VIGA VA

ACCIONES A CONSIDERAR

- Excentricidad Pilar = 0,1 m.
- Acciones actuantes sobre la Viga (Anejo2).

LEYES DE ESFUERZOS



GEOMETRÍA Y ARMADO

Materiales		Acciones		Coeficientes de Seguridad		Elemento	
Hormigón	HA - 30	Axil	Nk 0	Hormigón	1,50	Tipo	Viga
Acero	B - 500 S	Cortante	Vk 66,67	Acero	1,15	<input type="checkbox"/> Armadura Simétrica	
T.m. Árido	15 mm	Flector	Mk 200	Acciones	1,50	Recubrimiento	50 mm
(Unidades en kN y kN.m)							

Resultados	
fcd	20.00 MPa
fyd	434.78 MPa
Nd	0.0 kN
Vd	100.0 kN
Md	300.0 kN.m
d'	6.60 cm
z	6.80 cm
d	53.20 cm
Uo	3617.6 kN
Us2	0.0 kN
Us1	616.4 kN
Usm	192.0 kN
As2	0.00 cm ²
As1	14.18 cm ²
Asm	6.72 cm ²
Vu1	1276.8 kN
Vcu	93.2 kN
Vsu	6.8 kN
Ast	2.13 cm ²
Atm	2.13 cm ²

Geometría y Armado	
h	60 cm
b	40 cm
At	5 r 20
Ac	5 r 20
c/	25 cm
ρ	0.24 m ³ /m.l
γ	15 Kg/m.l
γ _s	65 Kg/m ³
U _d	5013 Ud/m.l

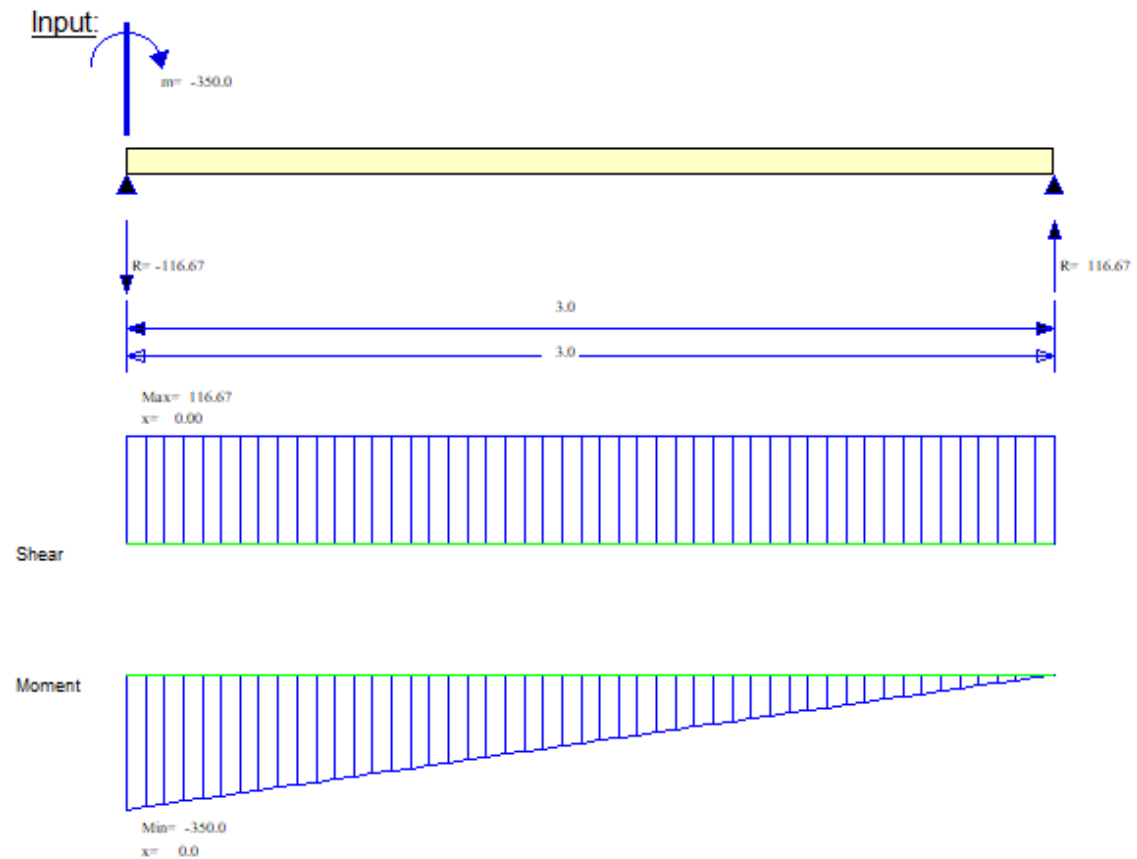
Con estos esfuerzos se obtiene una Viga VA de dimensiones **h=60cm, b=40cm** y armada con **At=5Ø20, Ac=5Ø20, cØ8 a 25cm** y una armadura de piel de **2Ø12**.

1.2. VIGA VB

ACCIONES A CONSIDERAR

- Excentricidad Pilar = 0,1 m.
- Acciones actuantes sobre la Viga (Anejo2).

LEYES DE ESFUERZOS



GEOMETRÍA Y ARMADO

Materiales		Acciones		Coeficientes de Seguridad		Elemento	
Hormigón	HA - 30	Axil	Nk 0	Hormigón	1,50	Tipo	Viga
Acero	B - 500 S	Cortante	Vk 116,67	Acero	1,15	Armadura Simétrica	<input type="checkbox"/>
T.m. Árido	15 mm	Flector	Mk 350	Acciones	1,50	Recubrimiento	50 mm
		(Unidades en kN y kN.m)					

Resultados	
fed	20.00 MPa
fyd	434.78 MPa
Nd	0.0 kN
Vd	175.0 kN
Md	525.0 kN.m
d'	6.60 cm
z	7.05 cm
d	57.95 cm
Uo	3940.6 kN
Us2	0.0 kN
Us1	1044.3 kN
Usm	208.0 kN
As2	0.00 cm ²
As1	24.02 cm ²
Asm	7.28 cm ²
Vu1	1390.8 kN
Vcu	115.7 kN
Vsu	59.3 kN
Ast	2.32 cm ²
Atm	2.32 cm ²

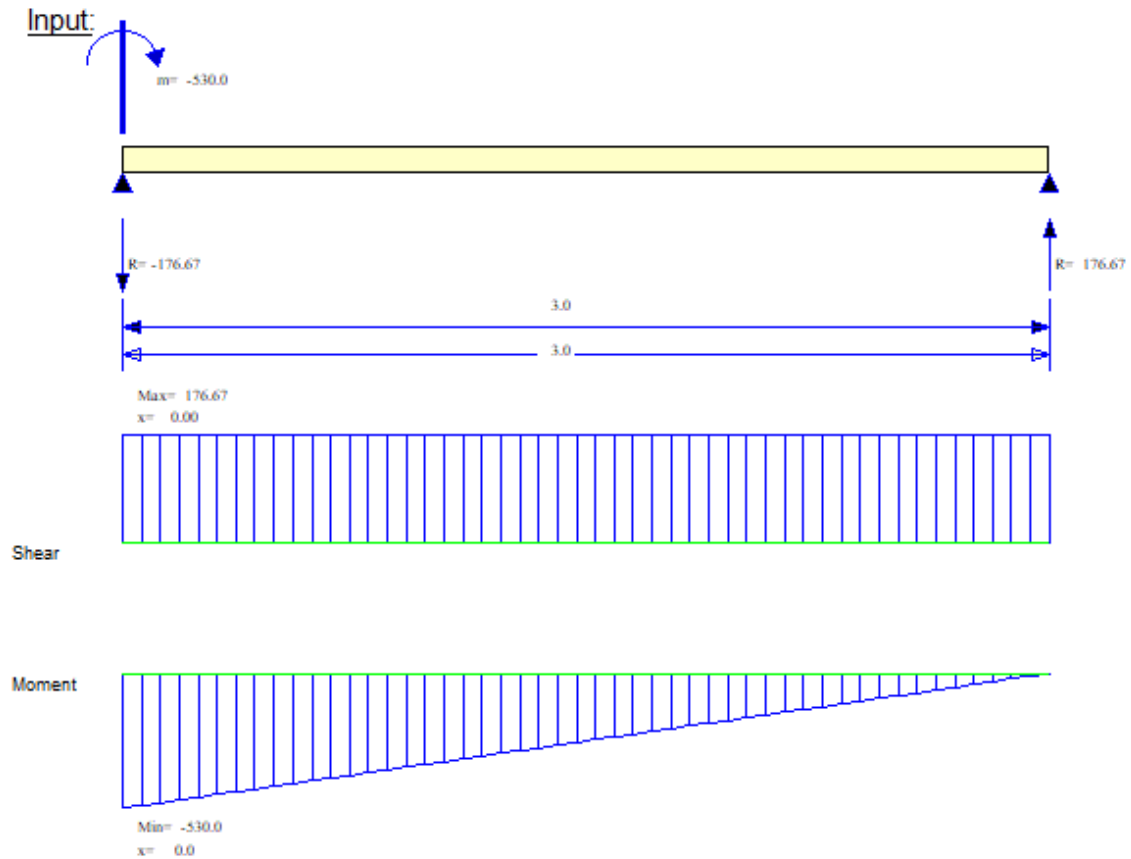
Con estos esfuerzos se obtiene una Viga VA de dimensiones **h=50cm, b=40cm** y armada con **At=5Ø25, Ac=5Ø25, cØ8 a 25cm** y una armadura de piel de **2Ø12**.

1.3. VIGA VC

ACCIONES A CONSIDERAR

- Excentricidad Pilar = 0,1 m.
- Acciones actuantes sobre la Viga (Anejo2).

LEYES DE ESFUERZOS



GEOMETRÍA Y ARMADO

Materiales		Acciones		Coeficientes de Seguridad		Elemento	
Hormigón	HA - 30	Axil	Nk 0	Hormigón	1.50	Tipo	Viga
Acero	B - 500 S	Cortante	Vk 176.67	Acero	1.15	Armadura Simétrica	<input type="checkbox"/>
T.m. Árido	15 mm	Flector	Mk 530	Acciones	1.50	Recubrimiento	50 mm
		(Unidades en kN y kN.m)					

Resultados	
fed	20.00 MPa
fyd	434.78 MPa
Nd	0.0 kN
Vd	265.0 kN
Md	795.0 kN.m
d'	6.60 cm
z	7.05 cm
d	62.95 cm
Uo	5350.8 kN
Us2	0.0 kN
Us1	1462.9 kN
Usm	280.0 kN
As2	0.00 cm ²
As1	33.65 cm ²
Asm	9.80 cm ²
Vu1	1888.5 kN
Vcu	156.4 kN
Vsu	108.6 kN
Ast	3.15 cm ²
Atm	3.15 cm ²

Con estos esfuerzos se obtiene una Viga VA de dimensiones **h=70cm**, **b=40cm** y armada con **At=7Ø25**, **Ac=7Ø25**, **cØ8 a 20cm** y una armadura de piel de **4Ø12**.

8.7. Apéndice 7: Encepados

Anejo 5: Cálculo de la cimentación

Los encepados, elementos de unión y transición de los pilares con los pilotes, están calculados según lo indicado en el artículo 58 de la Instrucción EHE-08 y comprobados de acuerdo el artículo 61 de la misma como macizos sometidos a cargas concentradas.

Del lado de la seguridad se adopta como coeficiente de mayoración de las acciones un valor de 1,5 para las comprobaciones estructurales en estos elementos.

En la fecha de realización de la presente memoria, no se conoce el sistema de conexión de la cimentación con la estructura, por lo que se han dimensionado los encepados simplemente para absorber los esfuerzos generados sin ningún otro condicionante de diseño.

CÁLCULO DE ENCEPADOS - 2 PILOTES

Nº Expte: P18147P

Obra: PARCELA R-20 SANT ADRIÁ DEL BESÓS

Cliente: 0-ene.-00

Fecha: 4-jul.-19

DATOS DE LOS MATERIALES		DATOS DE LOS PILOTES	
Hormigón		Tipo de pilote	P270
Resist. característica del hormigón de los pilotes (MPa)	50	Lado del pilote (mm)	270
Resist. característica del hormigón del encepado (MPa)	30	Área de la sección del pilote (cm ²)	746,6
Coefficiente de seguridad del hormigón	1,5	Diámetro equivalente de la punta (cm)	30,8
Resistencia de cálculo del hormigón del encepado (MPa)	20	Tope estructural del pilote (MPa) (Artículo 5.3.4.1.4 CTE DB 5	15
Tamaño máximo del árido (mm)	20	Axil caract. a compresión máx. a soportar por la sec	1119,9
Tipo de cemento utilizado	CEM I	Porcentaje de aprovech. del tope estructural	100%
Acero		Axil caract. a compresión en el pilote (kN)	1119,9
Resist. Caract. del acero (MPa)	500	Axil de diseño a compresión en el pilote (kN)	1679,9
Coefficiente de seguridad del acero	1,15	Axil caract. a tracción en el pilote (kN)	0
Resistencia de cálculo del acero (MPa) (Se limita su valor para un control indi	400	Axil de diseño a tracción en el pilote (kN)	0

DATOS DEL PROYECTO			
Recubr. mínimo nominal de la arm. superior (mm)	26	Vida útil	50 años
Recubr. mínimo nominal de la arm. inferior (mm)	26	Clase de exposición	Ila
Recubr. mínimo nominal de las arm. laterales (mm)	80	Tipo de control de ejecución	Normal
Recubrimiento mecánico de la armadura superior (mm)	50	Coef. de mayoración de acciones	1,5
R.mec.inf = Recubrimiento mecánico de la armadura inferior (mm)	150	¿Existen efectos dinámicos?	SI
Recubrimiento mecánico de las armaduras laterales (mm)	90	Diámetro del vibrador (mm)	45

DATOS DEL ENCEPADO	
e = Separación entre ejes de pilotes (cm)	100
Sep. mín. para desprejar el efecto de grupo (cm)	92
Comprobación efecto de grupo (Artículo 5.3.4.1.4 CTE DB SE-C)	CUMPLE
L1 = Lado mayor del encepado (m)	2
L2 = Lado menor del encepado (m)	1
H = Canto del encepado (m)	0,85
Comprobación canto mínimo (Artículo 58.8.1 EHE-08)	CUMPLE
Vuelo del encepado (m)	0,3
Comprobación encepado rígido (Artículo 58.2.1 EHE-08)	CUMPLE
Distancia del paramento exterior del pilote al paramento exterior del encepado (m)	0,35
Comprobación de la distancia existente entre cualquier punto del perímetro del pilote y el contorno exterior del encepado (Artículo 58.8.1 EHE-08)	CUMPLE
t = Penetración del pilote en el encepado (cm)	5
Espesor del hormigón de limpieza (cm)	10

DATOS DEL PILAR	
Lado del pilar en la direc. del lado mayor del encep. (cm)	40
Lado del pilar en la direc. del lado menor del encep. (cm)	40
Área de la sección del pilar (cm ²)	1600

CÁLCULO DE ENCEPADOS - 2 PILOTES

B3 = CERCOS HORIZONTALES

Diámetro del redondo (mm)	16
Número de ramas	2
Nº Cercos	4
Separación entre ejes de los cercos (cm)	20
Comprobación distancia mínima entre barras paralelas (Artículo 69.4.1.1 EHE 08)	CUMPLE
Comprobación distancia máxima entre centros de barras paralelas (Artículo 58.8.2 EHE 08)	CUMPLE

B4 = CERCOS VERTICALES

Diámetro del redondo (mm)	12
Número de ramas	2
Nº Cercos	16
Separación entre ejes de los cercos (cm)	11
Comprobación distancia mínima entre barras paralelas (Artículo 69.4.1.1 EHE 08)	CUMPLE
Comprobación distancia máxima entre centros de barras paralelas (Artículo 58.8.2 EHE 08)	CUMPLE

B2 = ARMADURA LONGITUDINAL INFERIOR

Tipo de disposición	Una fila
Diámetro del redondo (mm)	20
Nº Barras	9
Separación entre ejes de las barras (cm)	9
Comprobación distancia mínima entre barras paralelas (Artículo 69.4.1.1 EHE 08)	CUMPLE
Comprobación distancia máxima entre centros de barras paralelas (Artículo 58.8.2 EHE 08)	CUMPLE

B1 = ARMADURA LONGITUDINAL SUPERIOR

Diámetro del redondo (mm)	12
Nº Barras	4
Separación entre ejes de las barras (cm)	25
Comprobación distancia mínima entre barras paralelas (Artículo 69.4.1.1 EHE 08)	CUMPLE
Comprobación distancia máxima entre centros de barras paralelas (Artículo 58.8.2 EHE 08)	CUMPLE

LONGITUD DE ANCLAJE DE LA ARMADURA INFERIOR

Tipo de anclaje	Patilla
Esfuerzo en las barras	Tracción
Long. de anclaje horizontal desde el eje del pilote (cm)	39
S = Longitud de la patilla (cm)	36

COMPROBACIÓN DE LA BIELA INCLINADA DE COMPRESIÓN

Ángulo de inclinación de la biela (°)	56,1
Comprobación de la inclinación de la biela	CUMPLE
Esfuerzo solicitante pésimo (kN)	2024,2
Ancho de la biela (mm)	391,4
Espesor de la biela (mm)	570
Área de la biela (mm ²)	223124,8
Tensión admisible en la biela (Mpa)	14
Tensión actuante en la biela (Mpa)	9,1
Comprobación tensional	CUMPLE

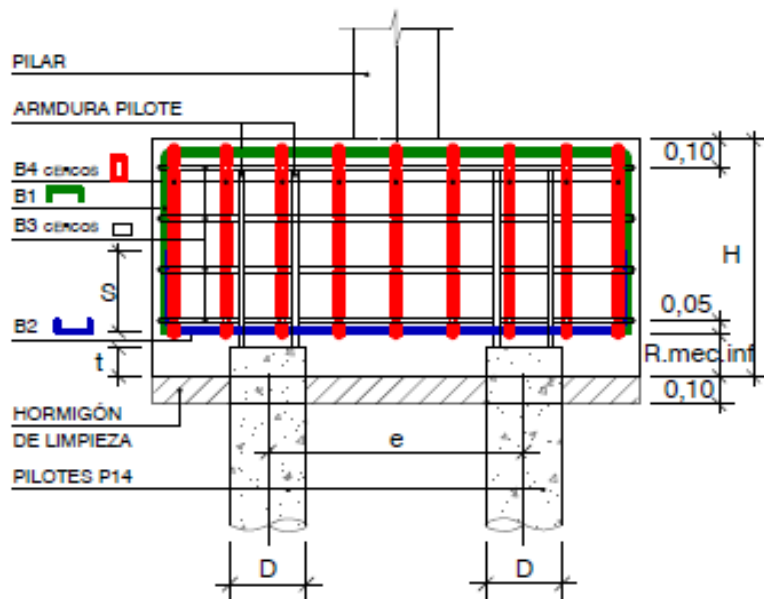
CÁLCULO DE ENCEPADOS - 2 PILOTES

COMPROBACIÓN DE LA BIELA VERTICAL DE COMPRESIÓN	
Esfuerzo solicitante pésimo (kN)	1679,9
Área de la biela (mm2)	324900,0
Tensión admisible en la biela (MPa)	14
Tensión producida en la biela (Mpa)	5,2
Comprobación tensional	CUMPLE

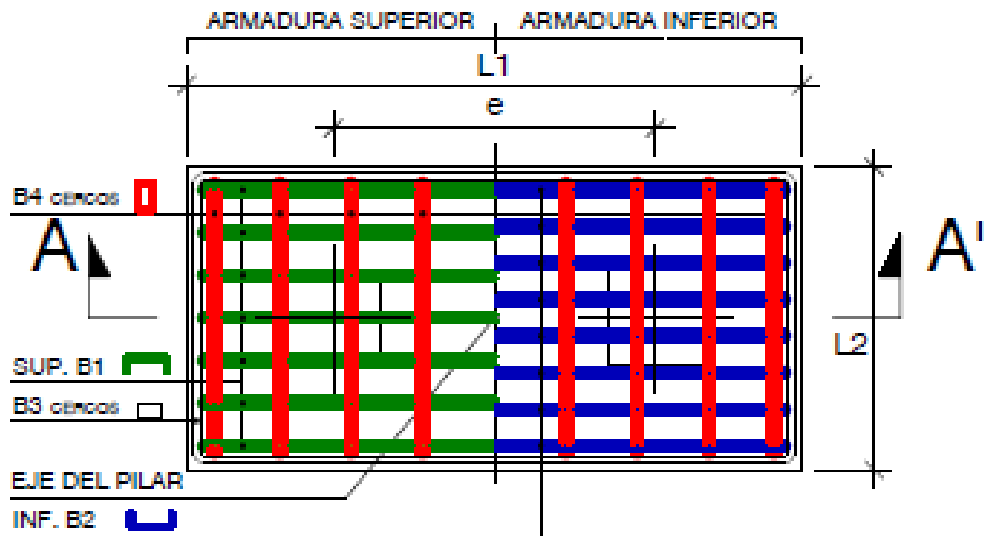
D (mm)	e (m)	L1 (m)	L2 (m)	H (m)	t (m)
270	1	2	1	0,85	0,05

B1	B2	B3	B4	S (m)	R.mec.inf. (m)
4 Φ 12	9 Φ 20	4 Φ 16	16 Φ 12	0,36	0,15

SECCIÓN A - A'



PLANTA



CÁLCULO DE ENCEPADOS - 2 PILOTES

Nº Expte: P18147P

Obra: PARCELA R-20 SANT ADRIÁ DEL BESÓS

Cliente: 0-ene.-00

Fecha: 4-jul.-19

DATOS DE LOS MATERIALES		DATOS DE LOS PILOTES	
Hormigón		Tipo de pilote	P300
Resist. característica del hormigón de los pilotes (MPa)	50	Lado del pilote (mm)	300
Resist. característica del hormigón del encepado (MPa)	30	Área de la sección del pilote (cm ²)	919,6
Coefficiente de seguridad del hormigón	1,5	Diámetro equivalente de la punta (cm)	34,2
Resistencia de cálculo del hormigón del encepado (MPa)	20	Tope estructural del pilote (MPa) (Artículo 5.3.4.1.4 CTE DB 5)	15
Tamaño máximo del árido (mm)	20	Axil caract. a compresión máx. a soportar por la sec	1379,4
Tipo de cemento utilizado	CEM I	Porcentaje de aprovech. del tope estructural	100%
Acero		Axil caract. a compresión en el pilote (kN)	1379,4
Resist. Caract. del acero (MPa)	500	Axil de diseño a compresión en el pilote (kN)	2069,1
Coefficiente de seguridad del acero	1,15	Axil caract. a tracción en el pilote (kN)	0
Resistencia de cálculo del acero (MPa) (Se limita su valor para un control indi	400	Axil de diseño a tracción en el pilote (kN)	0

DATOS DEL PROYECTO			
Recubr. mínimo nominal de la arm. superior (mm)	26	Vida útil	50 años
Recubr. mínimo nominal de la arm. inferior (mm)	26	Clase de exposición	Ila
Recubr. mínimo nominal de las arm. laterales (mm)	80	Tipo de control de ejecución	Normal
Recubrimiento mecánico de la armadura superior (mm)	50	Coef. de mayoración de acciones	1,5
R.mec.inf = Recubrimiento mecánico de la armadura inferior (mm)	150	¿Existen efectos dinámicos?	SI
Recubrimiento mecánico de las armaduras laterales (mm)	90	Diámetro del vibrador (mm)	45

DATOS DEL ENCEPADO	
e = Separación entre ejes de pilotes (cm)	120
Sep. mín. para despreciar el efecto de grupo (cm)	102
Comprobación efecto de grupo (Artículo 5.3.4.1.4 CTE DB SE-C)	CUMPLE
L1 = Lado mayor del encepado (m)	2,2
L2 = Lado menor del encepado (m)	1
H = Canto del encepado (m)	0,95
Comprobación canto mínimo (Artículo 58.8.1 EHE-08)	CUMPLE
Vuelo del encepado (m)	0,4
Comprobación encepado rígido (Artículo 58.2.1 EHE-08)	CUMPLE
Distancia del paramento exterior del pilote al paramento exterior del encepado (m)	0,35
Comprobación de la distancia existente entre cualquier punto del perímetro del pilote y el contorno exterior del encepado (Artículo 58.8.1 EHE-08)	CUMPLE
t = Penetración del pilote en el encepado (cm)	5
Espesor del hormigón de limpieza (cm)	10

DATOS DEL PILAR	
Lado del pilar en la direc. del lado mayor del encep. (cm)	40
Lado del pilar en la direc. del lado menor del encep. (cm)	40
Área de la sección del pilar (cm ²)	1600

CÁLCULO DE ENCEPADOS - 2 PILOTES

B3 = CERCOS HORIZONTALES

Diámetro del redondo (mm)	16
Número de ramas	2
Nº Cercos	5
Separación entre ejes de los cercos (cm)	17
Comprobación distancia mínima entre barras paralelas (Artículo 69.4.1.1 EHE 08)	CUMPLE
Comprobación distancia máxima entre centros de barras paralelas (Artículo 58.8.2 EHE 08)	CUMPLE

B4 = CERCOS VERTICALES

Diámetro del redondo (mm)	12
Número de ramas	2
Nº Cercos	19
Separación entre ejes de los cercos (cm)	10
Comprobación distancia mínima entre barras paralelas (Artículo 69.4.1.1 EHE 08)	CUMPLE
Comprobación distancia máxima entre centros de barras paralelas (Artículo 58.8.2 EHE 08)	CUMPLE

B2 = ARMADURA LONGITUDINAL INFERIOR

Tipo de disposición	Una fila
Diámetro del redondo (mm)	25
Nº Barras	8
Separación entre ejes de las barras (cm)	10
Comprobación distancia mínima entre barras paralelas (Artículo 69.4.1.1 EHE 08)	CUMPLE
Comprobación distancia máxima entre centros de barras paralelas (Artículo 58.8.2 EHE 08)	CUMPLE

B1 = ARMADURA LONGITUDINAL SUPERIOR

Diámetro del redondo (mm)	12
Nº Barras	4
Separación entre ejes de las barras (cm)	25
Comprobación distancia mínima entre barras paralelas (Artículo 69.4.1.1 EHE 08)	CUMPLE
Comprobación distancia máxima entre centros de barras paralelas (Artículo 58.8.2 EHE 08)	CUMPLE

LONGITUD DE ANCLAJE DE LA ARMADURA INFERIOR

Tipo de anclaje	Patilla
Esfuerzo en las barras	Tracción
Long. de anclaje horizontal desde el eje del pilote (cm)	38
S = Longitud de la patilla (cm)	73

COMPROBACIÓN DE LA BIELA INCLINADA DE COMPRESIÓN

Ángulo de inclinación de la biela (º)	53,7
Comprobación de la inclinación de la biela	CUMPLE
Esfuerzo solicitante pésimo (kN)	2568,2
Ancho de la biela (mm)	419,4
Espesor de la biela (mm)	600
Área de la biela (mm2)	251647,5
Tensión admisible en la biela (Mpa)	14
Tensión actuante en la biela (Mpa)	10,2
Comprobación tensional	CUMPLE

CÁLCULO DE ENCEPADOS - 2 PILOTES

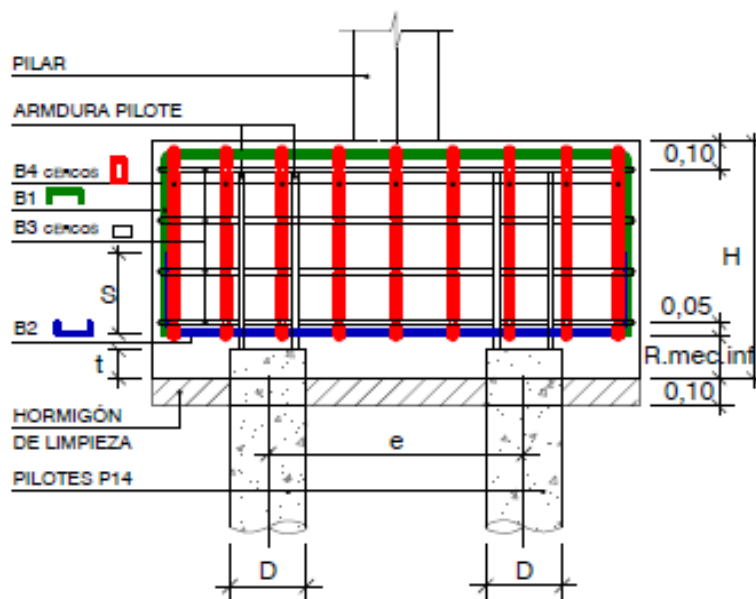
COMPROBACIÓN DE LA BIELA VERTICAL DE COMPRESIÓN

Esfuerzo solicitante pésimo (kN)	2069,1
Área de la biela (mm ²)	360000,0
Tensión admisible en la biela (MPa)	14
Tensión producida en la biela (MPa)	5,7
Comprobación tensional	CUMPLE

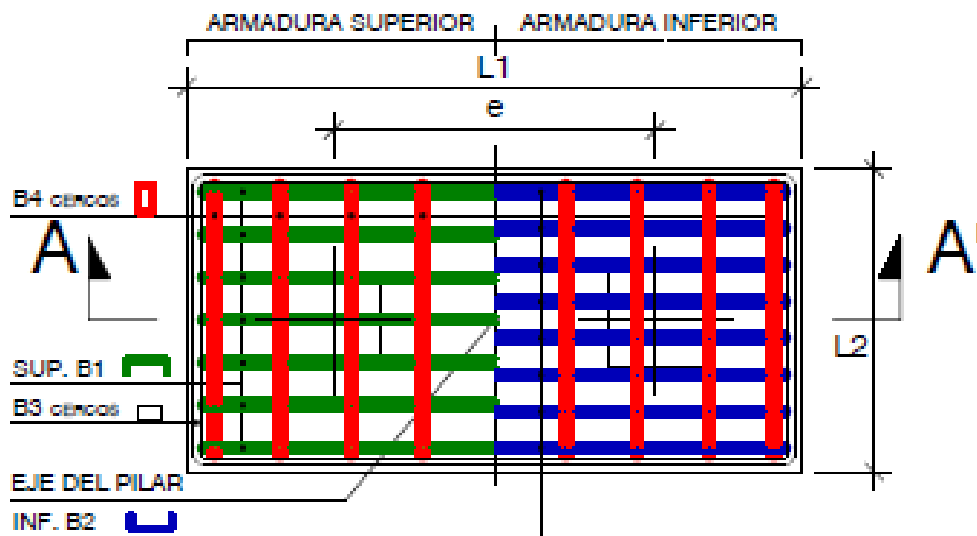
D (mm)	e (m)	L1 (m)	L2 (m)	H (m)	t (m)
300	1,2	2,2	1	0,95	0,05

B1	B2	B3	B4	S (m)	R.mec.inf. (m)
4 Φ 12	8 Φ 25	5 Φ 16	19 Φ 12	0,73	0,15

SECCIÓN A - A'



PLANTA



CÁLCULO DE ENCEPADOS - 2 PILOTES

Nº Expte: P18147P

Obra: PARCELA R-20 SANT ADRIÁ DEL BESÓS

Cliente: 0-ene.-00

Fecha: 4-jul.-19

DATOS DE LOS MATERIALES		DATOS DE LOS PILOTES	
Hormigón		Tipo de pilote	P350
Resist. característica del hormigón de los pilotes (MPa)	50	Lado del pilote (mm)	350
Resist. característica del hormigón del encepado (MPa)	30	Área de la sección del pilote (cm ²)	1251,4
Coefficiente de seguridad del hormigón	1,5	Diámetro equivalente de la punta (cm)	39,9
Resistencia de cálculo del hormigón del encepado (MPa)	20	Tope estructural del pilote (MPa) (Artículo 5.3.4.1.4 CTE DB 5)	15
Tamaño máximo del árido (mm)	20	Axil caract. a compresión máx. a soportar por la sec	1877,1
Tipo de cemento utilizado	CEM I	Porcentaje de aprovech. del tope estructural	100%
Acero		Axil caract. a compresión en el pilote (kN)	1877,1
Resist. Caract. del acero (MPa)	500	Axil de diseño a compresión en el pilote (kN)	2815,7
Coefficiente de seguridad del acero	1,15	Axil caract. a tracción en el pilote (kN)	0
Resistencia de cálculo del acero (MPa) (Se limita su valor para un control indi	400	Axil de diseño a tracción en el pilote (kN)	0

DATOS DEL PROYECTO			
Recubr. mínimo nominal de la arm. superior (mm)	26	Vida útil	50 años
Recubr. mínimo nominal de la arm. inferior (mm)	26	Clase de exposición	Ila
Recubr. mínimo nominal de las arm. laterales (mm)	80	Tipo de control de ejecución	Normal
Recubrimiento mecánico de la armadura superior (mm)	50	Coef. de mayoración de acciones	1,5
R.mec.inf = Recubrimiento mecánico de la armadura inferior (mm)	150	¿Existen efectos dinámicos?	SI
Recubrimiento mecánico de las armaduras laterales (mm)	90	Diámetro del vibrador (mm)	45

DATOS DEL ENCEPADO	
e = Separación entre ejes de pilotes (cm)	150
Sep. mín. para despreciar el efecto de grupo (cm)	119
Comprobación efecto de grupo (Artículo 5.3.4.1.4 CTE DB SE-C)	CUMPLE
L1 = Lado mayor del encepado (m)	2,55
L2 = Lado menor del encepado (m)	1,05
H = Canto del encepado (m)	1,25
Comprobación canto mínimo (Artículo 58.8.1 EHE-08)	CUMPLE
Vuelo del encepado (m)	0,55
Comprobación encepado rígido (Artículo 58.2.1 EHE-08)	CUMPLE
Distancia del paramento exterior del pilote al paramento exterior del encepado (m)	0,35
Comprobación de la distancia existente entre cualquier punto del perímetro del pilote y el contorno exterior del encepado (Artículo 58.8.1 EHE-08)	CUMPLE
t = Penetración del pilote en el encepado (cm)	5
Espesor del hormigón de limpieza (cm)	10

DATOS DEL PILAR	
Lado del pilar en la direc. del lado mayor del encep. (cm)	40
Lado del pilar en la direc. del lado menor del encep. (cm)	40
Área de la sección del pilar (cm ²)	1600

CÁLCULO DE ENCEPADOS - 2 PILOTES

B3 = CERCOS HORIZONTALES

Diámetro del redondo (mm)	16
Número de ramas	2
Nº Cercos	8
Separación entre ejes de los cercos (cm)	14
Comprobación distancia mínima entre barras paralelas (Artículo 69.4.1.1 EHE 08)	CUMPLE
Comprobación distancia máxima entre centros de barras paralelas (Artículo 58.8.2 EHE 08)	CUMPLE

B4 = CERCOS VERTICALES

Diámetro del redondo (mm)	12
Número de ramas	2
Nº Cercos	29
Separación entre ejes de los cercos (cm)	8
Comprobación distancia mínima entre barras paralelas (Artículo 69.4.1.1 EHE 08)	CUMPLE
Comprobación distancia máxima entre centros de barras paralelas (Artículo 58.8.2 EHE 08)	CUMPLE

B2 = ARMADURA LONGITUDINAL INFERIOR

Tipo de disposición	Una fila
Diámetro del redondo (mm)	25
Nº Barras	10
Separación entre ejes de las barras (cm)	8
Comprobación distancia mínima entre barras paralelas (Artículo 69.4.1.1 EHE 08)	CUMPLE
Comprobación distancia máxima entre centros de barras paralelas (Artículo 58.8.2 EHE 08)	CUMPLE

B1 = ARMADURA LONGITUDINAL SUPERIOR

Diámetro del redondo (mm)	12
Nº Barras	5
Separación entre ejes de las barras (cm)	20
Comprobación distancia mínima entre barras paralelas (Artículo 69.4.1.1 EHE 08)	CUMPLE
Comprobación distancia máxima entre centros de barras paralelas (Artículo 58.8.2 EHE 08)	CUMPLE

LONGITUD DE ANCLAJE DE LA ARMADURA INFERIOR

Tipo de anclaje	Patilla
Esfuerzo en las barras	Tracción
Long. de anclaje horizontal desde el eje del pilote (cm)	41
S = Longitud de la patilla (cm)	72

COMPROBACIÓN DE LA BIELA INCLINADA DE COMPRESIÓN

Ángulo de inclinación de la biela (°)	55,2
Comprobación de la inclinación de la biela	CUMPLE
Esfuerzo solicitante pésimo (kN)	3429,2
Ancho de la biela (mm)	458,6
Espesor de la biela (mm)	650
Área de la biela (mm ²)	298104,0
Tensión admisible en la biela (Mpa)	14
Tensión actuante en la biela (Mpa)	11,5
Comprobación tensional	CUMPLE

CÁLCULO DE ENCEPADOS - 2 PILOTES

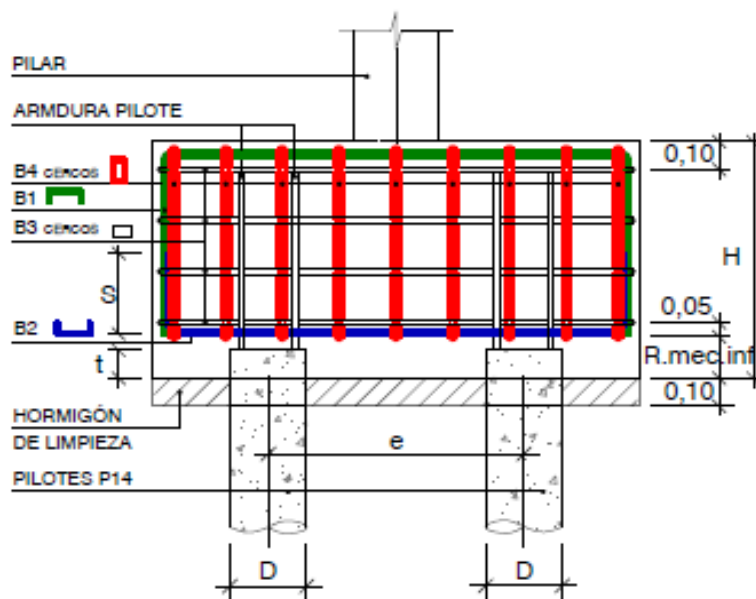
COMPROBACIÓN DE LA BIELA VERTICAL DE COMPRESIÓN

Esfuerzo solicitante pésimo (kN)	2815,7
Área de la biela (mm ²)	422500,0
Tensión admisible en la biela (MPa)	14
Tensión producida en la biela (MPa)	6,7
Comprobación tensional	CUMPLE

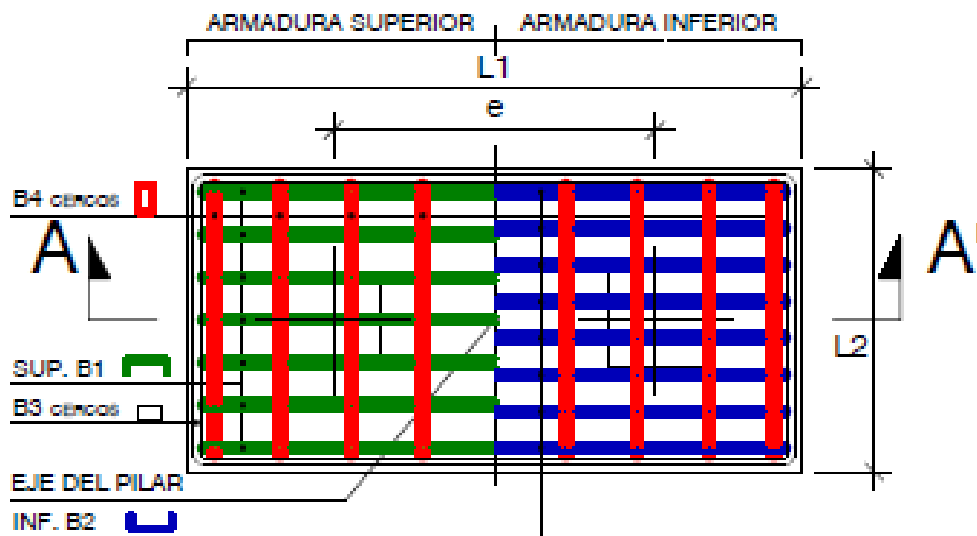
D (mm)	e (m)	L1 (m)	L2 (m)	H (m)	t (m)
350	1,5	2,55	1,05	1,25	0,05

B1	B2	B3	B4	S (m)	R.mec.inf. (m)
5 Φ 12	10 Φ 25	8 Φ 16	29 Φ 12	0,72	0,15

SECCIÓN A - A'



PLANTA



CÁLCULO DE ENCEPADOS - 2 PILOTES

Nº Expte: P18147P

Obra: PARCELA R-20 SANT ADRIÁ DEL BESÓS

Cliente: 0-ene.-00

Fecha: 4-jul.-19

DATOS DE LOS MATERIALES		DATOS DE LOS PILOTES	
Hormigón		Tipo de pilote	P350
Resist. característica del hormigón de los pilotes (MPa)	50	Lado del pilote (mm)	350
Resist. característica del hormigón del encepado (MPa)	30	Área de la sección del pilote (cm ²)	1251,4
Coefficiente de seguridad del hormigón	1,5	Diámetro equivalente de la punta (cm)	39,9
Resistencia de cálculo del hormigón del encepado (MPa)	20	Tope estructural del pilote (MPa) (Artículo 5.3.4.1.4 CTE DB 5)	15
Tamaño máximo del árido (mm)	20	Axil caract. a compresión máx. a soportar por la sec	1877,1
Tipo de cemento utilizado	CEM I	Porcentaje de aprovech. del tope estructural	100%
Acero		Axil caract. a compresión en el pilote (kN)	1877,1
Resist. Caract. del acero (MPa)	500	Axil de diseño a compresión en el pilote (kN)	2815,7
Coefficiente de seguridad del acero	1,15	Axil caract. a tracción en el pilote (kN)	0
Resistencia de cálculo del acero (MPa) (Se limita su valor para un control indi	400	Axil de diseño a tracción en el pilote (kN)	0

DATOS DEL PROYECTO			
Recubr. mínimo nominal de la arm. superior (mm)	26	Vida útil	50 años
Recubr. mínimo nominal de la arm. inferior (mm)	26	Clase de exposición	Ila
Recubr. mínimo nominal de las arm. laterales (mm)	80	Tipo de control de ejecución	Normal
Recubrimiento mecánico de la armadura superior (mm)	50	Coef. de mayoración de acciones	1,5
R.mec.inf = Recubrimiento mecánico de la armadura inferior (mm)	150	¿Existen efectos dinámicos?	SI
Recubrimiento mecánico de las armaduras laterales (mm)	90	Diámetro del vibrador (mm)	45

DATOS DEL ENCEPADO	
e = Separación entre ejes de pilotes (cm)	125
Sep. mín. para despreciar el efecto de grupo (cm)	119
Comprobación efecto de grupo (Artículo 5.3.4.1.4 CTE DB SE-C)	CUMPLE
L1 = Lado mayor del encepado (m)	2,3
L2 = Lado menor del encepado (m)	1,05
H = Canto del encepado (m)	1,25
Comprobación canto mínimo (Artículo 58.8.1 EHE-08)	CUMPLE
Vuelo del encepado (m)	0,425
Comprobación encepado rígido (Artículo 58.2.1 EHE-08)	CUMPLE
Distancia del paramento exterior del pilote al paramento exterior del encepado (m)	0,35
Comprobación de la distancia existente entre cualquier punto del perímetro del pilote y el contorno exterior del encepado (Artículo 58.8.1 EHE-08)	CUMPLE
t = Penetración del pilote en el encepado (cm)	5
Espesor del hormigón de limpieza (cm)	10

DATOS DEL PILAR	
Lado del pilar en la direc. del lado mayor del encep. (cm)	40
Lado del pilar en la direc. del lado menor del encep. (cm)	40
Área de la sección del pilar (cm ²)	1600

CÁLCULO DE ENCEPADOS - 2 PILOTES

B3 = CERCOS HORIZONTALES

Diámetro del redondo (mm)	16
Número de ramas	2
Nº Cercos	8
Separación entre ejes de los cercos (cm)	14
Comprobación distancia mínima entre barras paralelas (Artículo 69.4.1.1 EHE 08)	CUMPLE
Comprobación distancia máxima entre centros de barras paralelas (Artículo 58.8.2 EHE 08)	CUMPLE

B4 = CERCOS VERTICALES

Diámetro del redondo (mm)	12
Número de ramas	2
Nº Cercos	26
Separación entre ejes de los cercos (cm)	8
Comprobación distancia mínima entre barras paralelas (Artículo 69.4.1.1 EHE 08)	CUMPLE
Comprobación distancia máxima entre centros de barras paralelas (Artículo 58.8.2 EHE 08)	CUMPLE

B2 = ARMADURA LONGITUDINAL INFERIOR

Tipo de disposición	Una fila
Diámetro del redondo (mm)	25
Nº Barras	9
Separación entre ejes de las barras (cm)	10
Comprobación distancia mínima entre barras paralelas (Artículo 69.4.1.1 EHE 08)	CUMPLE
Comprobación distancia máxima entre centros de barras paralelas (Artículo 58.8.2 EHE 08)	CUMPLE

B1 = ARMADURA LONGITUDINAL SUPERIOR

Diámetro del redondo (mm)	12
Nº Barras	5
Separación entre ejes de las barras (cm)	20
Comprobación distancia mínima entre barras paralelas (Artículo 69.4.1.1 EHE 08)	CUMPLE
Comprobación distancia máxima entre centros de barras paralelas (Artículo 58.8.2 EHE 08)	CUMPLE

LONGITUD DE ANCLAJE DE LA ARMADURA INFERIOR

Tipo de anclaje	Patilla
Esfuerzo en las barras	Tracción
Long. de anclaje horizontal desde el eje del pilote (cm)	41
S = Longitud de la patilla (cm)	64

COMPROBACIÓN DE LA BIELA INCLINADA DE COMPRESIÓN

Ángulo de inclinación de la biela (°)	60,7
Comprobación de la inclinación de la biela	CUMPLE
Esfuerzo solicitante pésimo (kN)	3229,1
Ancho de la biela (mm)	452,1
Espesor de la biela (mm)	650
Área de la biela (mm2)	293839,8
Tensión admisible en la biela (Mpa)	14
Tensión actuante en la biela (Mpa)	11,0
Comprobación tensional	CUMPLE

CÁLCULO DE ENCEPADOS - 2 PILOTES

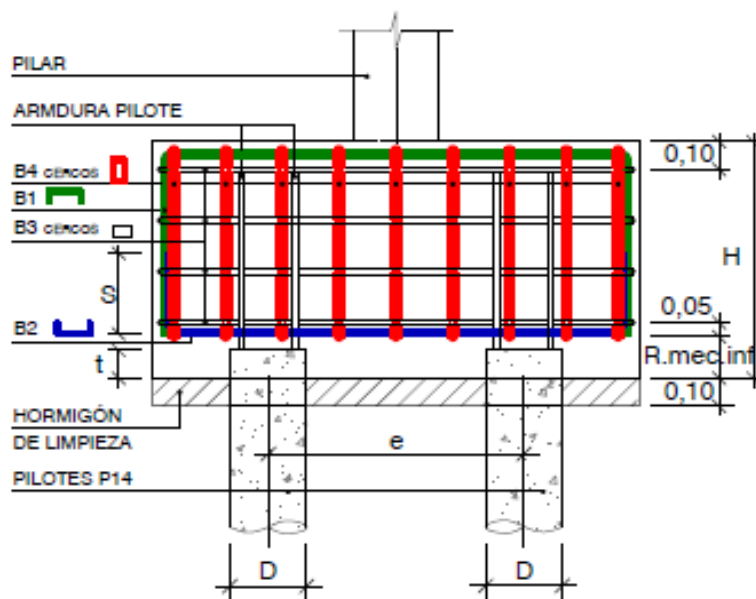
COMPROBACIÓN DE LA BIELA VERTICAL DE COMPRESIÓN

Esfuerzo solicitante pésimo (kN)	2815,7
Área de la biela (mm ²)	422500,0
Tensión admisible en la biela (MPa)	14
Tensión producida en la biela (MPa)	6,7
Comprobación tensional	CUMPLE

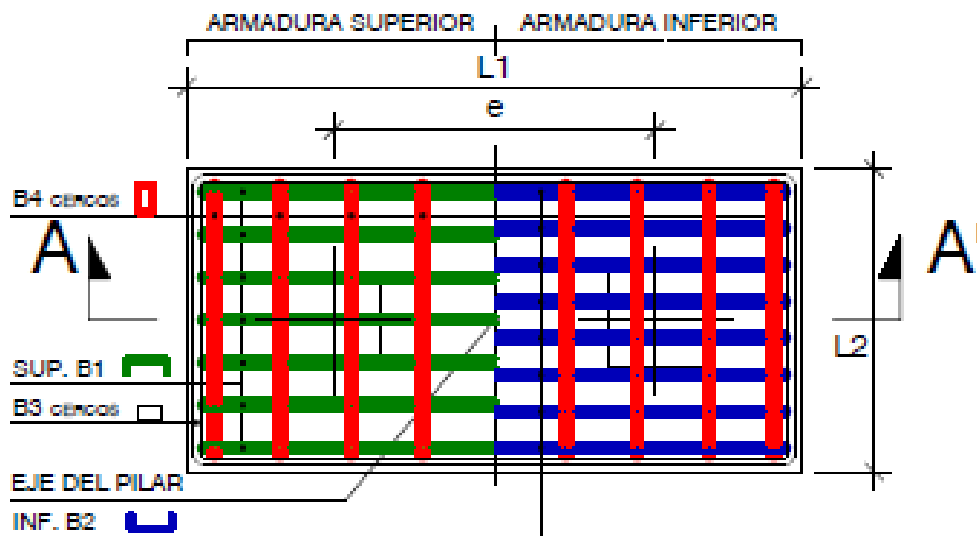
D (mm)	e (m)	L1 (m)	L2 (m)	H (m)	t (m)
350	1,25	2,3	1,05	1,25	0,05

B1	B2	B3	B4	S (m)	R.mec.inf. (m)
5 Φ 12	9 Φ 25	8 Φ 16	26 Φ 12	0,64	0,15

SECCIÓN A - A'



PLANTA



CÁLCULO DE ENCEPADOS - 2 PILOTES

Nº Expte: P18147P

Obra: PARCELA R-20 SANT ADRIÁ DEL BESÓS

Cliente: 0-ene.-00

Fecha: 4-jul.-19

DATOS DE LOS MATERIALES		DATOS DE LOS PILOTES	
Hormigón		Tipo de pilote	P400
Resist. característica del hormigón de los pilotes (MPa)	50	Lado del pilote (mm)	400
Resist. característica del hormigón del encepado (MPa)	30	Área de la sección del pilote (cm ²)	1632,1
Coefficiente de seguridad del hormigón	1,5	Diámetro equivalente de la punta (cm)	45,6
Resistencia de cálculo del hormigón del encepado (MPa)	20	Tope estructural del pilote (MPa) (Artículo 5.3.4.1.4 CTE DB 5)	15
Tamaño máximo del árido (mm)	20	Axil caract. a compresión máx. a soportar por la sec	2448,15
Tipo de cemento utilizado	CEM I	Porcentaje de aprovech. del tope estructural	100%
Acero		Axil caract. a compresión en el pilote (kN)	2448,15
Resist. Caract. del acero (MPa)	500	Axil de diseño a compresión en el pilote (kN)	3672,2
Coefficiente de seguridad del acero	1,15	Axil caract. a tracción en el pilote (kN)	0
Resistencia de cálculo del acero (MPa) (Se limita su valor para un control indi	400	Axil de diseño a tracción en el pilote (kN)	0

DATOS DEL PROYECTO			
Recubr. mínimo nominal de la arm. superior (mm)	26	Vida útil	50 años
Recubr. mínimo nominal de la arm. inferior (mm)	26	Clase de exposición	Ila
Recubr. mínimo nominal de las arm. laterales (mm)	80	Tipo de control de ejecución	Normal
Recubrimiento mecánico de la armadura superior (mm)	50	Coef. de mayoración de acciones	1,5
R.mec.inf = Recubrimiento mecánico de la armadura inferior (mm)	150	¿Existen efectos dinámicos?	SI
Recubrimiento mecánico de las armaduras laterales (mm)	90	Diámetro del vibrador (mm)	45

DATOS DEL ENCEPADO	
e = Separación entre ejes de pilotes (cm)	140
Sep. mín. para despreciar el efecto de grupo (cm)	136
Comprobación efecto de grupo (Artículo 5.3.4.1.4 CTE DB SE-C)	CUMPLE
L1 = Lado mayor del encepado (m)	2,5
L2 = Lado menor del encepado (m)	1,1
H = Canto del encepado (m)	1,25
Comprobación canto mínimo (Artículo 58.8.1 EHE-08)	CUMPLE
Vuelo del encepado (m)	0,5
Comprobación encepado rígido (Artículo 58.2.1 EHE-08)	CUMPLE
Distancia del paramento exterior del pilote al paramento exterior del encepado (m)	0,35
Comprobación de la distancia existente entre cualquier punto del perímetro del pilote y el contorno exterior del encepado (Artículo 58.8.1 EHE-08)	CUMPLE
t = Penetración del pilote en el encepado (cm)	5
Espesor del hormigón de limpieza (cm)	10

DATOS DEL PILAR	
Lado del pilar en la direc. del lado mayor del encep. (cm)	40
Lado del pilar en la direc. del lado menor del encep. (cm)	40
Área de la sección del pilar (cm ²)	1600

CÁLCULO DE ENCEPADOS - 2 PILOTES

B3 = CERCOS HORIZONTALES

Diámetro del redondo (mm)	16
Número de ramas	2
Nº Cercos	8
Separación entre ejes de los cercos (cm)	14
Comprobación distancia mínima entre barras paralelas (Artículo 69.4.1.1 EHE 08)	CUMPLE
Comprobación distancia máxima entre centros de barras paralelas (Artículo 58.8.2 EHE 08)	CUMPLE

B4 = CERCOS VERTICALES

Diámetro del redondo (mm)	12
Número de ramas	2
Nº Cercos	28
Separación entre ejes de los cercos (cm)	8
Comprobación distancia mínima entre barras paralelas (Artículo 69.4.1.1 EHE 08)	CUMPLE
Comprobación distancia máxima entre centros de barras paralelas (Artículo 58.8.2 EHE 08)	CUMPLE

B2 = ARMADURA LONGITUDINAL INFERIOR

Tipo de disposición	Una fila
Diámetro del redondo (mm)	25
Nº Barras	13
Separación entre ejes de las barras (cm)	7
Comprobación distancia mínima entre barras paralelas (Artículo 69.4.1.1 EHE 08)	CUMPLE
Comprobación distancia máxima entre centros de barras paralelas (Artículo 58.8.2 EHE 08)	CUMPLE

B1 = ARMADURA LONGITUDINAL SUPERIOR

Diámetro del redondo (mm)	12
Nº Barras	6
Separación entre ejes de las barras (cm)	17
Comprobación distancia mínima entre barras paralelas (Artículo 69.4.1.1 EHE 08)	CUMPLE
Comprobación distancia máxima entre centros de barras paralelas (Artículo 58.8.2 EHE 08)	CUMPLE

LONGITUD DE ANCLAJE DE LA ARMADURA INFERIOR

Tipo de anclaje	Patilla
Esfuerzo en las barras	Tracción
Long. de anclaje horizontal desde el eje del pilote (cm)	43
S = Longitud de la patilla (cm)	62

COMPROBACIÓN DE LA BIELA INCLINADA DE COMPRESIÓN

Ángulo de inclinación de la biela (º)	57,3
Comprobación de la inclinación de la biela	CUMPLE
Esfuerzo solicitante pésimo (kN)	4363,3
Ancho de la biela (mm)	498,7
Espesor de la biela (mm)	700
Área de la biela (mm2)	349068,5
Tensión admisible en la biela (Mpa)	14
Tensión actuante en la biela (Mpa)	12,5
Comprobación tensional	CUMPLE

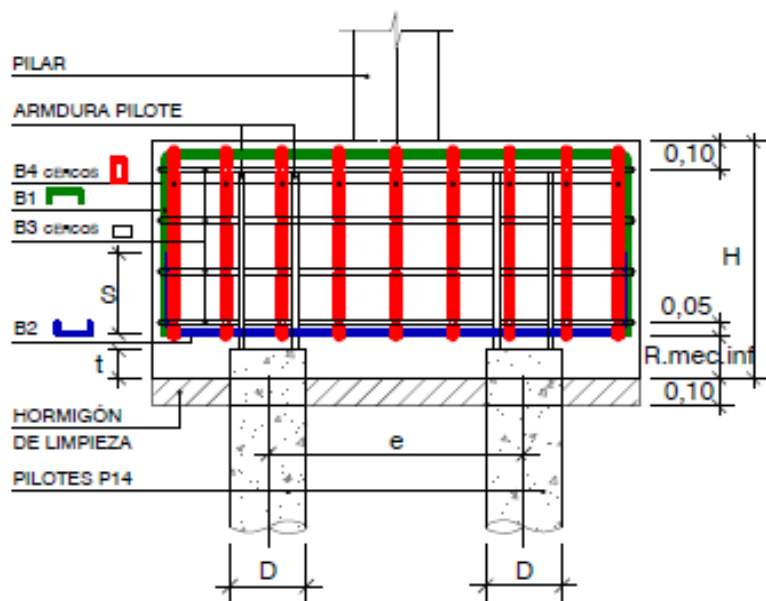
CÁLCULO DE ENCEPADOS - 2 PILOTES

COMPROBACIÓN DE LA BIELA VERTICAL DE COMPRESIÓN	
Esfuerzo solicitante pésimo (kN)	3672,2
Área de la biela (mm2)	490000,0
Tensión admisible en la biela (MPa)	14
Tensión producida en la biela (MPa)	7,5
Comprobación tensional	CUMPLE

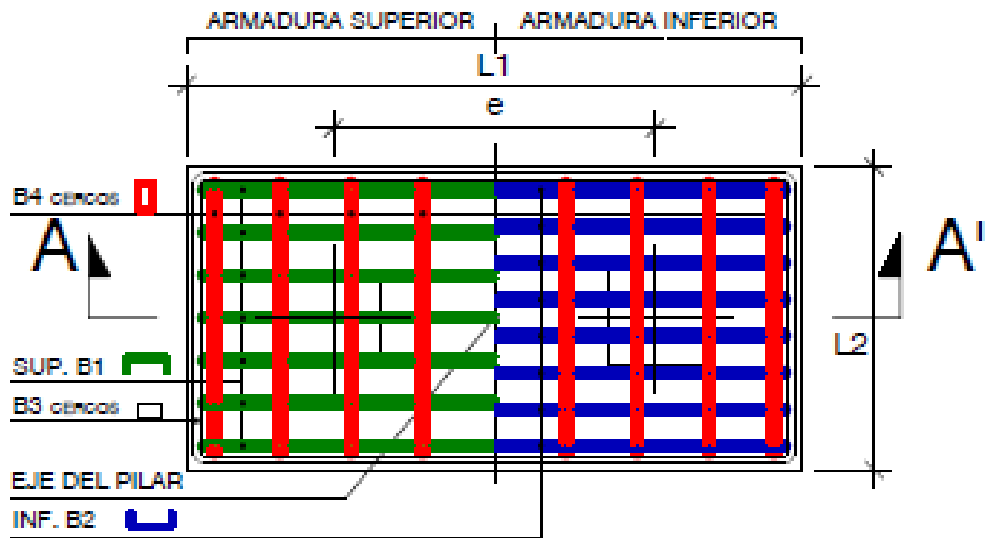
D (mm)	e (m)	L1 (m)	L2 (m)	H (m)	t (m)
400	1,4	2,5	1,1	1,25	0,05

B1	B2	B3	B4	S (m)	R.mec.inf. (m)
6 Φ 12	13 Φ 25	8 Φ 16	28 Φ 12	0,62	0,15

SECCIÓN A - A'



PLANTA



CÁLCULO DE ENCEPADOS - 2 PILOTES

Nº Expte: P18147P

Obra: PARCELA R-20 SANT ADRIÁ DEL BESÓS

Cliente: 0-ene.-00

Fecha: 4-jul.-19

DATOS DE LOS MATERIALES		DATOS DE LOS PILOTES	
Hormigón		Tipo de pilote	P400
Resist. característica del hormigón de los pilotes (MPa)	50	Lado del pilote (mm)	400
Resist. característica del hormigón del encepado (MPa)	30	Área de la sección del pilote (cm ²)	1632,1
Coefficiente de seguridad del hormigón	1,5	Diámetro equivalente de la punta (cm)	45,6
Resistencia de cálculo del hormigón del encepado (MPa)	20	Tope estructural del pilote (MPa) (Artículo 5.3.4.1.4 CTE DB 5)	15
Tamaño máximo del árido (mm)	20	Axil caract. a compresión máx. a soportar por la sec	2448,15
Tipo de cemento utilizado	CEM I	Porcentaje de aprovech. del tope estructural	90%
Acero		Axil caract. a compresión en el pilote (kN)	2203,335
Resist. Caract. del acero (MPa)	500	Axil de diseño a compresión en el pilote (kN)	3305,0
Coefficiente de seguridad del acero	1,15	Axil caract. a tracción en el pilote (kN)	0
Resistencia de cálculo del acero (MPa) (Se limita su valor para un control indi	400	Axil de diseño a tracción en el pilote (kN)	0

DATOS DEL PROYECTO			
Recubr. mínimo nominal de la arm. superior (mm)	26	Vida útil	50 años
Recubr. mínimo nominal de la arm. inferior (mm)	26	Clase de exposición	Ila
Recubr. mínimo nominal de las arm. laterales (mm)	80	Tipo de control de ejecución	Normal
Recubrimiento mecánico de la armadura superior (mm)	50	Coef. de mayoración de acciones	1,5
R.mec.inf = Recubrimiento mecánico de la armadura inferior (mm)	150	¿Existen efectos dinámicos?	SI
Recubrimiento mecánico de las armaduras laterales (mm)	90	Diámetro del vibrador (mm)	45

DATOS DEL ENCEPADO	
e = Separación entre ejes de pilotes (cm)	165
Sep. mín. para despreciar el efecto de grupo (cm)	136
Comprobación efecto de grupo (Artículo 5.3.4.1.4 CTE DB SE-C)	CUMPLE
L1 = Lado mayor del encepado (m)	2,75
L2 = Lado menor del encepado (m)	1,1
H = Canto del encepado (m)	1,3
Comprobación canto mínimo (Artículo 58.8.1 EHE-08)	CUMPLE
Vuelo del encepado (m)	0,625
Comprobación encepado rígido (Artículo 58.2.1 EHE-08)	CUMPLE
Distancia del paramento exterior del pilote al paramento exterior del encepado (m)	0,35
Comprobación de la distancia existente entre cualquier punto del perímetro del pilote y el contorno exterior del encepado (Artículo 58.8.1 EHE-08)	CUMPLE
t = Penetración del pilote en el encepado (cm)	5
Espesor del hormigón de limpieza (cm)	10

DATOS DEL PILAR	
Lado del pilar en la direc. del lado mayor del encep. (cm)	40
Lado del pilar en la direc. del lado menor del encep. (cm)	40
Área de la sección del pilar (cm ²)	1600

CÁLCULO DE ENCEPADOS - 2 PILOTES

B3 = CERCOS HORIZONTALES

Diámetro del redondo (mm)	16
Número de ramas	2
Nº Cercos	9
Separación entre ejes de los cercos (cm)	13
Comprobación distancia mínima entre barras paralelas (Artículo 69.4.1.1 EHE 08)	CUMPLE
Comprobación distancia máxima entre centros de barras paralelas (Artículo 58.8.2 EHE 08)	CUMPLE

B4 = CERCOS VERTICALES

Diámetro del redondo (mm)	12
Número de ramas	2
Nº Cercos	32
Separación entre ejes de los cercos (cm)	7
Comprobación distancia mínima entre barras paralelas (Artículo 69.4.1.1 EHE 08)	CUMPLE
Comprobación distancia máxima entre centros de barras paralelas (Artículo 58.8.2 EHE 08)	CUMPLE

B2 = ARMADURA LONGITUDINAL INFERIOR

Tipo de disposición	Una fila
Diámetro del redondo (mm)	25
Nº Barras	13
Separación entre ejes de las barras (cm)	7
Comprobación distancia mínima entre barras paralelas (Artículo 69.4.1.1 EHE 08)	CUMPLE
Comprobación distancia máxima entre centros de barras paralelas (Artículo 58.8.2 EHE 08)	CUMPLE

B1 = ARMADURA LONGITUDINAL SUPERIOR

Diámetro del redondo (mm)	12
Nº Barras	6
Separación entre ejes de las barras (cm)	17
Comprobación distancia mínima entre barras paralelas (Artículo 69.4.1.1 EHE 08)	CUMPLE
Comprobación distancia máxima entre centros de barras paralelas (Artículo 58.8.2 EHE 08)	CUMPLE

LONGITUD DE ANCLAJE DE LA ARMADURA INFERIOR

Tipo de anclaje	Patilla
Esfuerzo en las barras	Tracción
Long. de anclaje horizontal desde el eje del pilote (cm)	43
S = Longitud de la patilla (cm)	65

COMPROBACIÓN DE LA BIELA INCLINADA DE COMPRESIÓN

Ángulo de inclinación de la biela (°)	53,4
Comprobación de la inclinación de la biela	CUMPLE
Esfuerzo solicitante pésimo (kN)	4114,8
Ancho de la biela (mm)	500,0
Espesor de la biela (mm)	700
Área de la biela (mm ²)	349995,0
Tensión admisible en la biela (Mpa)	14
Tensión actuante en la biela (Mpa)	11,8
Comprobación tensional	CUMPLE

CÁLCULO DE ENCEPADOS - 2 PILOTES

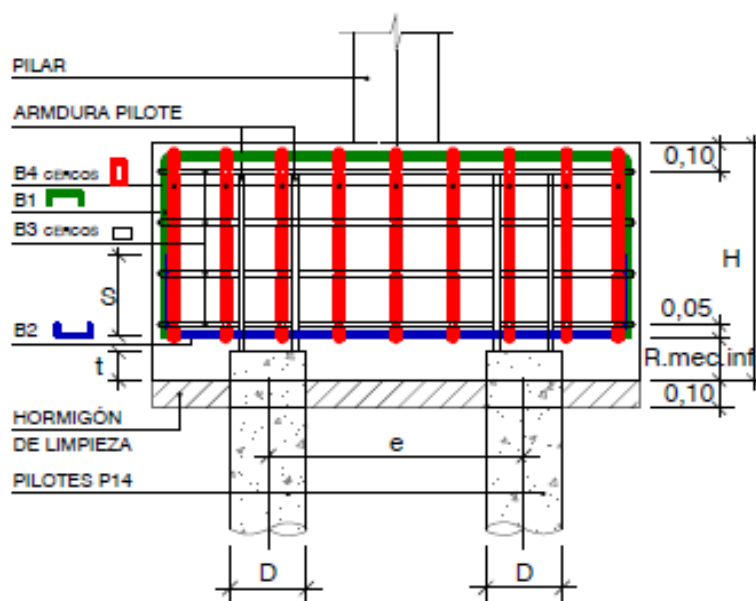
COMPROBACIÓN DE LA BIELA VERTICAL DE COMPRESIÓN

Esfuerzo solicitante pésimo (kN)	3305,0
Área de la biela (mm ²)	490000,0
Tensión admisible en la biela (MPa)	14
Tensión producida en la biela (MPa)	6,7
Comprobación tensional	CUMPLE

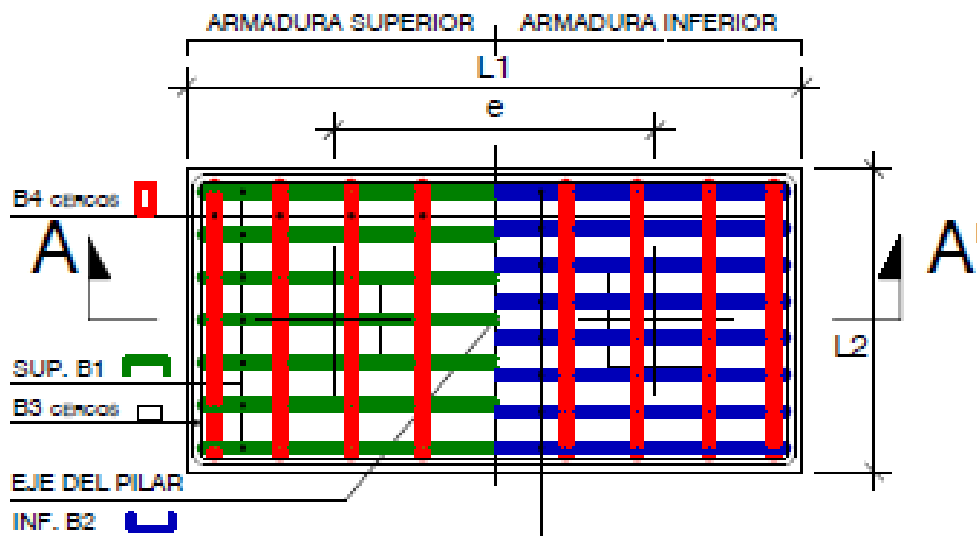
D (mm)	e (m)	L1 (m)	L2 (m)	H (m)	t (m)
400	1,65	2,75	1,1	1,3	0,05

B1	B2	B3	B4	S (m)	R.mec.inf. (m)
6 Φ 12	13 Φ 25	9 Φ 16	32 Φ 12	0,65	0,15

SECCIÓN A - A'



PLANTA



CÁLCULO DE ENCEPADOS - 3 PILOTES

Nº Expte: P18147P

Obra: PARCELA R-20 SANT ADRIÀ DEL BESÓS

Cliente: 0-ene.-00

Fecha: 4-jul.-19

DATOS DE LOS MATERIALES		DATOS DE LOS PILOTES	
Hormigón		Tipo de pilote	P235
Resist. característica del hormigón de los pilotes (MPa)	50	Lado del pilote (mm)	235
Resist. característica del hormigón del encepado (MPa)	30	Área de la sección del pilote (cm ²)	566,7
Coefficiente de seguridad del hormigón	1,5	Diámetro equivalente de la punta (cm)	26,9
Resistencia de cálculo del hormigón del encepado (MPa)	20	Tope estructural del pilote (MPa) (Artículo 5.3.4.1.4 CTE DB 5)	15
Tamaño máximo del árido (mm)	20	Axil caract. a compresión máx. a soportar por la sec	850,1
Tipo de cemento utilizado	CEM I	Porcentaje de aprovech. del tope estructural	70%
Acero		Axil caract. a compresión en el pilote (kN)	595,0
Resist. Caract. del acero (MPa)	500	Axil de diseño a compresión en el pilote (kN)	892,6
Coefficiente de seguridad del acero	1,15	Axil caract. a tracción en el pilote (kN)	0
Resistencia de cálculo del acero (MPa) (Se limita su valor para un control indi	400	Axil de diseño a tracción en el pilote (kN)	0

DATOS DEL PROYECTO			
Recubr. mínimo nominal de la arm. superior (mm)	26	Vida útil	50 años
Recubr. mínimo nominal de la arm. inferior (mm)	26	Clase de exposición	Ila
Recubr. mínimo nominal de las arm. laterales (mm)	80	Tipo de control de ejecución	Normal
Recubrimiento mecánico de la armadura superior (mm)	50	Coef. de mayoración de acciones	1,5
R.mec.inf = Recubrimiento mecánico de la armadura inferior (mm)	150	¿Existen efectos dinámicos?	SI
Recubrimiento mecánico de las armaduras laterales (mm)	90	Diámetro del vibrador (mm)	45

DATOS DEL ENCEPADO	
e = Separación mayor entre ejes de pilotes (cm)	120
e = Separación menor entre ejes de pilotes (cm)	120
Sep. mín. para despreciar el efecto de grupo (cm)	80
Comprobación efecto de grupo (Artículo 5.3.4.1.4 CTE DB SE-C)	CUMPLE
L1=Dist. del CGD del enc. al eje del pil. más alejado (cm)	69
L2=Dist. del CGD del enc. al eje del pil. más cercano en la direc. de L1 (cm)	35
b1=Dist. del eje del pil. al paramento exterior del encep. en la direc. L1 (cm)	47
Canto del encepado (m)	0,7
Comprobación canto mínimo (Artículo 58.8.1 EHE-08)	CUMPLE
v1 = Vuelo mayor del encepado (cm)	49
v2 = Vuelo menor del encepado (cm)	49
Comprobación encepado rígido (Artículo 58.2.1 EHE-08)	CUMPLE
Dist. paramento ext. pilote al paramento ext. encepado (m)	0,35
Comprobación de la dist. existente entre cualquier punto del perímetro del pilote y el contorno exterior del encepado (Artículo 58.8.1 EHE-08)	CUMPLE
t = Penetración del pilote en el encepado (cm)	5
Espesor del hormigón de limpieza (cm)	10

DATOS DEL PILAR	
Lado del pilar en la direc. mayor del encep. (cm)	40
Lado del pilar en la direc. menor del encep. (cm)	40
Área de la sección del pilar (cm ²)	1600

CÁLCULO DE ENCEPADOS - 3 PILOTES

C3 = CERCOS HORIZONTALES

Diámetro del redondo (mm)	12
Número de ramas	2
Nº Cercos	3
Separación entre ejes de los cercos (cm)	22
Comprobación distancia mínima entre barras paralelas (Artículo 69.4.1.1 EHE 08)	CUMPLE
Comprobación distancia máxima entre centros de barras paralelas (Artículo 58.8.2 EHE 08)	CUMPLE

C4 = CERCOS VERTICALES

BANDA LARGA (Se distribuirán los cercos entre las caras de los pilotes)

Diámetro del redondo (mm)	12
Número de ramas	2
Nº Cercos	7
Separación entre ejes de los cercos (cm)	16
Comprobación distancia mínima entre barras paralelas (Artículo 69.4.1.1 EHE 08)	CUMPLE
Comprobación distancia máxima entre centros de barras paralelas (Artículo 58.8.2 EHE 08)	CUMPLE

BANDA CORTA (Se distribuirán los cercos entre las caras de los pilotes)

Diámetro del redondo (mm)	12
Número de ramas	2
Nº Cercos	7
Separación entre ejes de los cercos (cm)	16
Comprobación distancia mínima entre barras paralelas (Artículo 69.4.1.1 EHE 08)	CUMPLE
Comprobación distancia máxima entre centros de barras paralelas (Artículo 58.8.2 EHE 08)	CUMPLE

C2 = ARMADURA LONGITUDINAL INFERIOR (A disponer en cada banda)

BANDA LARGA

Tipo de disposición	Una fila
Diámetro del redondo (mm)	16
Nº Barras	9
Separación entre ejes de las barras (cm)	6
Comprobación distancia mínima entre barras paralelas (Artículo 69.4.1.1 EHE 08)	CUMPLE
Comprobación distancia máxima entre centros de barras paralelas (Artículo 58.8.2 EHE 08)	CUMPLE

BANDA CORTA

Tipo de disposición	Una fila
Diámetro del redondo (mm)	16
Nº Barras	9
Separación entre ejes de las barras (cm)	6
Comprobación distancia mínima entre barras paralelas (Artículo 69.4.1.1 EHE 08)	CUMPLE
Comprobación distancia máxima entre centros de barras paralelas (Artículo 58.8.2 EHE 08)	CUMPLE

CÁLCULO DE ENCEPADOS - 3 PILOTES

C1 = ARMADURA LONGITUDINAL SUPERIOR (A disponer en cada banda)	
BANDA LARGA	
Diámetro del redondo (mm)	16
Nº Barras	3
Separación entre ejes de las barras (cm)	26
Comprobación distancia mínima entre barras paralelas (Artículo 69.4.1.1 EHE 08)	CUMPLE
Comprobación distancia máxima entre centros de barras paralelas (Artículo 58.8.2 EHE 08)	CUMPLE
BANDA CORTA	
Diámetro del redondo (mm)	16
Nº Barras	3
Separación entre ejes de las barras (cm)	26
Comprobación distancia mínima entre barras paralelas (Artículo 69.4.1.1 EHE 08)	CUMPLE
Comprobación distancia máxima entre centros de barras paralelas (Artículo 58.8.2 EHE 08)	CUMPLE

LONGITUD DE ANCLAJE DE LA ARMADURA INFERIOR	
BANDA LARGA	
Tipo de anclaje	Patilla
Esfuerzo en las barras	Tracción
Long. de anclaje horizontal desde el eje del pilote (cm)	47
S = Longitud de la patilla (cm)	8
BANDA CORTA	
Tipo de anclaje	Patilla
Esfuerzo en las barras	Tracción
Long. de anclaje horizontal desde el eje del pilote (cm)	47
S = Longitud de la patilla (cm)	8

COMPROBACIÓN DE LA BIELA INCLINADA DE COMPRESIÓN	
Ángulo de inclinación de la biela (°)	38,3
Comprobación de la inclinación de la biela	CUMPLE
Esfuerzo solicitante pésimo (kN)	1441,4
Ancho de la biela (mm)	381,1
Espesor de la biela (mm)	535
Área de la biela (mm ²)	203878,8
Tensión admisible en la biela (Mpa)	14
Tensión actuante en la biela (Mpa)	7,1
Comprobación tensional	CUMPLE

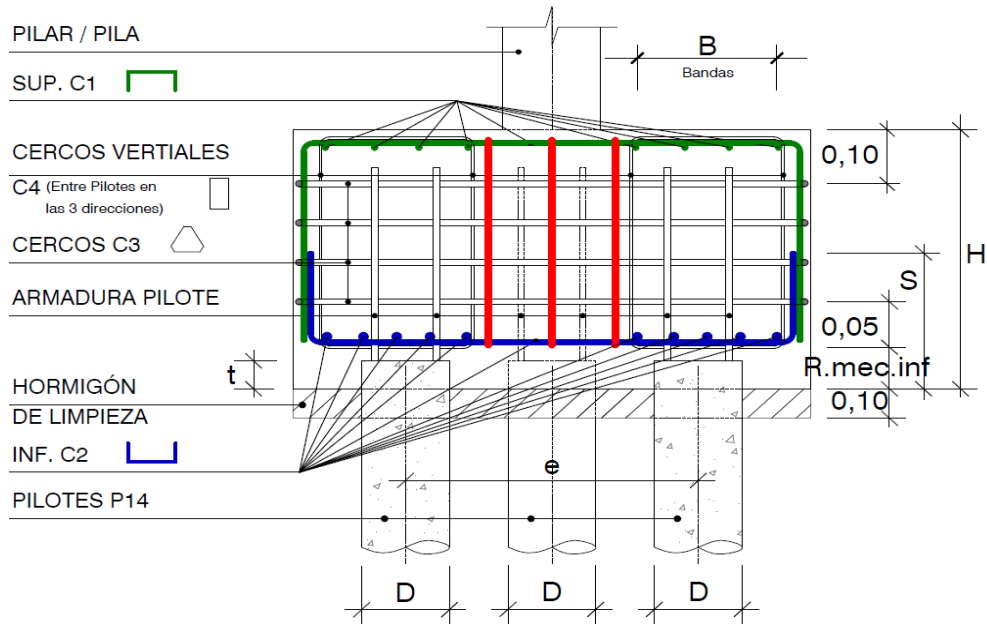
COMPROBACIÓN DE LA BIELA VERTICAL DE COMPRESIÓN	
Esfuerzo solicitante pésimo (kN)	892,6
Área de la biela (mm ²)	286225,0
Tensión admisible en la biela (MPa)	14
Tensión producida en la biela (Mpa)	3,1
Comprobación tensional	CUMPLE

CÁLCULO DE ENCEPADOS - 3 PILOTES

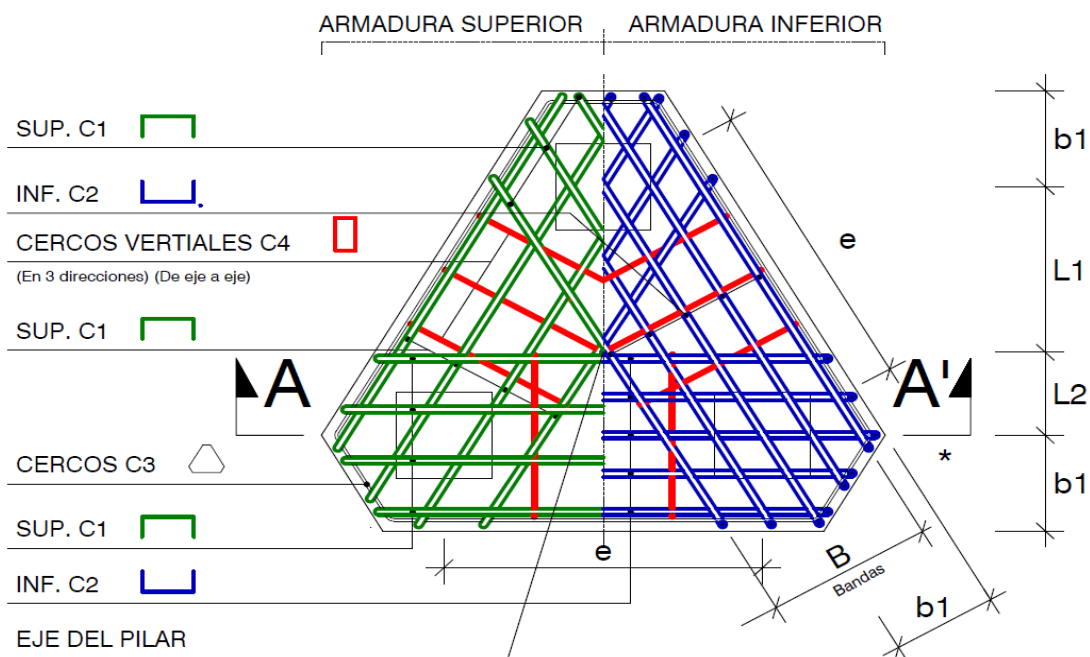
D (mm)	e (m)	L1 (m)	L2 (m)	b1 (m)	H (m)	S (m)
235	1,20	0,69	0,35	0,47	0,70	0,08

C1	C2	C3	C4	t (m)	R.mec.inf. (m)	B (m)
3 Φ 16	9 Φ 16	3 Φ 12	7 Φ 12	0,05	0,15	0,535
		Separación (cm)	Separación (cm)			
		22	16			

SECCIÓN A - A'



PLANTA



CÁLCULO DE ENCEPADOS - 3 PILOTES

Nº Expte: P18147P

Obra: PARCELA R-20 SANT ADRIÀ DEL BESÓS

Cliente: 0-ene.-00

Fecha: 4-jul.-19

DATOS DE LOS MATERIALES		DATOS DE LOS PILOTES	
Hormigón		Tipo de pilote	P300
Resist. característica del hormigón de los pilotes (MPa)	50	Lado del pilote (mm)	300
Resist. característica del hormigón del encepado (MPa)	30	Área de la sección del pilote (cm ²)	919,6
Coefficiente de seguridad del hormigón	1,5	Diámetro equivalente de la punta (cm)	34,2
Resistencia de cálculo del hormigón del encepado (MPa)	20	Tope estructural del pilote (MPa) (Artículo 5.3.4.1.4 CTE DB 5)	15
Tamaño máximo del árido (mm)	20	Axil caract. a compresión máx. a soportar por la sec	1379,4
Tipo de cemento utilizado	CEM I	Porcentaje de aprovech. del tope estructural	100%
Acero		Axil caract. a compresión en el pilote (kN)	1379,4
Resist. Caract. del acero (MPa)	500	Axil de diseño a compresión en el pilote (kN)	2069,1
Coefficiente de seguridad del acero	1,15	Axil caract. a tracción en el pilote (kN)	0
Resistencia de cálculo del acero (MPa) (Se limita su valor para un control indi	400	Axil de diseño a tracción en el pilote (kN)	0

DATOS DEL PROYECTO			
Recubr. mínimo nominal de la arm. superior (mm)	26	Vida útil	50 años
Recubr. mínimo nominal de la arm. inferior (mm)	26	Clase de exposición	Ila
Recubr. mínimo nominal de las arm. laterales (mm)	80	Tipo de control de ejecución	Normal
Recubrimiento mecánico de la armadura superior (mm)	50	Coef. de mayoración de acciones	1,5
R.mec.inf = Recubrimiento mecánico de la armadura inferior (mm)	150	¿Existen efectos dinámicos?	SI
Recubrimiento mecánico de las armaduras laterales (mm)	90	Diámetro del vibrador (mm)	45

DATOS DEL ENCEPADO	
e = Separación mayor entre ejes de pilotes (cm)	120
e = Separación menor entre ejes de pilotes (cm)	120
Sep. mín. para despreciar el efecto de grupo (cm)	102
Comprobación efecto de grupo (Artículo 5.3.4.1.4 CTE DB SE-C)	CUMPLE
L1=Dist. del CGD del enc. al eje del pil. más alejado (cm)	69
L2=Dist. del CGD del enc. al eje del pil. más cercano en la direc. de L1 (cm)	35
b1=Dist. del eje del pil. al paramento exterior del encep. en la direc. L1 (cm)	50
Canto del encepado (m)	0,9
Comprobación canto mínimo (Artículo 58.8.1 EHE-08)	CUMPLE
v1 = Vuelo mayor del encepado (cm)	49
v2 = Vuelo menor del encepado (cm)	49
Comprobación encepado rígido (Artículo 58.2.1 EHE-08)	CUMPLE
Dist. paramento ext. pilote al paramento ext. encepado (m)	0,35
Comprobación de la dist. existente entre cualquier punto del perímetro del pilote y el contorno exterior del encepado (Artículo 58.8.1 EHE-08)	CUMPLE
t = Penetración del pilote en el encepado (cm)	5
Espesor del hormigón de limpieza (cm)	10

DATOS DEL PILAR	
Lado del pilar en la direc. mayor del encep. (cm)	40
Lado del pilar en la direc. menor del encep. (cm)	40
Área de la sección del pilar (cm ²)	1600

CÁLCULO DE ENCEPADOS - 3 PILOTES

C3 = CERCOS HORIZONTALES

Diámetro del redondo (mm)	12
Número de ramas	2
Nº Cercos	5
Separación entre ejes de los cercos (cm)	16
Comprobación distancia mínima entre barras paralelas (Artículo 69.4.1.1 EHE 08)	CUMPLE
Comprobación distancia máxima entre centros de barras paralelas (Artículo 58.8.2 EHE 08)	CUMPLE

C4 = CERCOS VERTICALES

BANDA LARGA (Se distribuirán los cercos entre las caras de los pilotes)

Diámetro del redondo (mm)	12
Número de ramas	2
Nº Cercos	16
Separación entre ejes de los cercos (cm)	6
Comprobación distancia mínima entre barras paralelas (Artículo 69.4.1.1 EHE 08)	CUMPLE
Comprobación distancia máxima entre centros de barras paralelas (Artículo 58.8.2 EHE 08)	CUMPLE

BANDA CORTA (Se distribuirán los cercos entre las caras de los pilotes)

Diámetro del redondo (mm)	12
Número de ramas	2
Nº Cercos	16
Separación entre ejes de los cercos (cm)	6
Comprobación distancia mínima entre barras paralelas (Artículo 69.4.1.1 EHE 08)	CUMPLE
Comprobación distancia máxima entre centros de barras paralelas (Artículo 58.8.2 EHE 08)	CUMPLE

C2 = ARMADURA LONGITUDINAL INFERIOR (A disponer en cada banda)

BANDA LARGA

Tipo de disposición	Una fila
Diámetro del redondo (mm)	20
Nº Barras	9
Separación entre ejes de las barras (cm)	7
Comprobación distancia mínima entre barras paralelas (Artículo 69.4.1.1 EHE 08)	CUMPLE
Comprobación distancia máxima entre centros de barras paralelas (Artículo 58.8.2 EHE 08)	CUMPLE

BANDA CORTA

Tipo de disposición	Una fila
Diámetro del redondo (mm)	20
Nº Barras	9
Separación entre ejes de las barras (cm)	7
Comprobación distancia mínima entre barras paralelas (Artículo 69.4.1.1 EHE 08)	CUMPLE
Comprobación distancia máxima entre centros de barras paralelas (Artículo 58.8.2 EHE 08)	CUMPLE

CÁLCULO DE ENCEPADOS - 3 PILOTES

C1 = ARMADURA LONGITUDINAL SUPERIOR (A disponer en cada banda)	
BANDA LARGA	
Diámetro del redondo (mm)	16
Nº Barras	3
Separación entre ejes de las barras (cm)	30
Comprobación distancia mínima entre barras paralelas (Artículo 69.4.1.1 EHE 08)	CUMPLE
Comprobación distancia máxima entre centros de barras paralelas (Artículo 58.8.2 EHE 08)	CUMPLE
BANDA CORTA	
Diámetro del redondo (mm)	16
Nº Barras	3
Separación entre ejes de las barras (cm)	30
Comprobación distancia mínima entre barras paralelas (Artículo 69.4.1.1 EHE 08)	CUMPLE
Comprobación distancia máxima entre centros de barras paralelas (Artículo 58.8.2 EHE 08)	CUMPLE

LONGITUD DE ANCLAJE DE LA ARMADURA INFERIOR	
BANDA LARGA	
Tipo de anclaje	Patilla
Esfuerzo en las barras	Tracción
Long. de anclaje horizontal desde el eje del pilote (cm)	50
S = Longitud de la patilla (cm)	19
BANDA CORTA	
Tipo de anclaje	Patilla
Esfuerzo en las barras	Tracción
Long. de anclaje horizontal desde el eje del pilote (cm)	50
S = Longitud de la patilla (cm)	19

COMPROBACIÓN DE LA BIELA INCLINADA DE COMPRESIÓN	
Ángulo de inclinación de la biela (°)	47,1
Comprobación de la inclinación de la biela	CUMPLE
Esfuerzo solicitante pésimo (kN)	2825,5
Ancho de la biela (mm)	424,0
Espesor de la biela (mm)	600
Área de la biela (mm ²)	254390,7
Tensión admisible en la biela (Mpa)	14
Tensión actuante en la biela (Mpa)	11,1
Comprobación tensional	CUMPLE

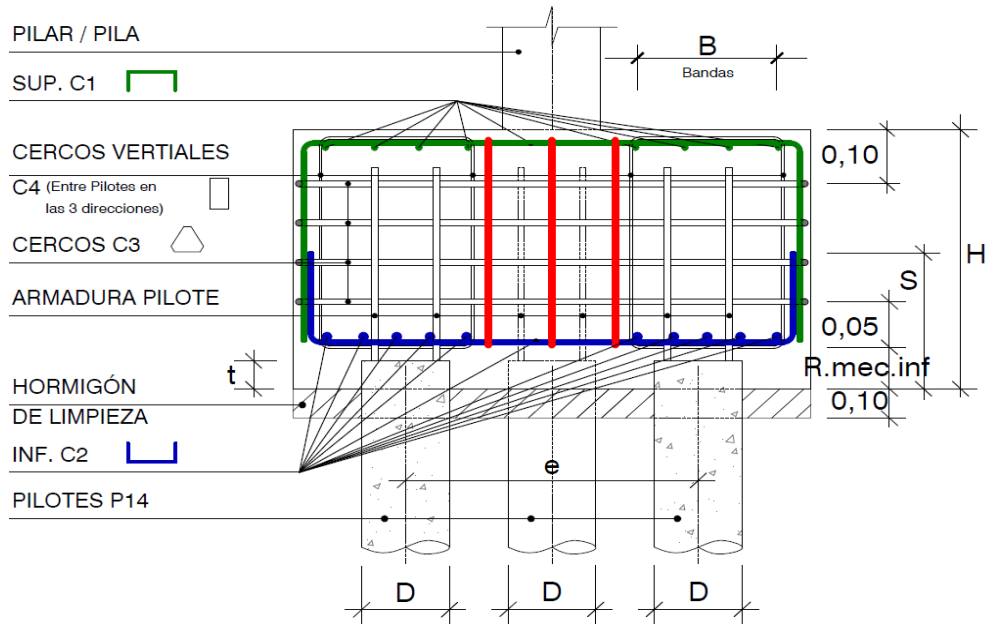
COMPROBACIÓN DE LA BIELA VERTICAL DE COMPRESIÓN	
Esfuerzo solicitante pésimo (kN)	2069,1
Área de la biela (mm ²)	360000,0
Tensión admisible en la biela (MPa)	14
Tensión producida en la biela (Mpa)	5,7
Comprobación tensional	CUMPLE

CÁLCULO DE ENCEPADOS - 3 PILOTES

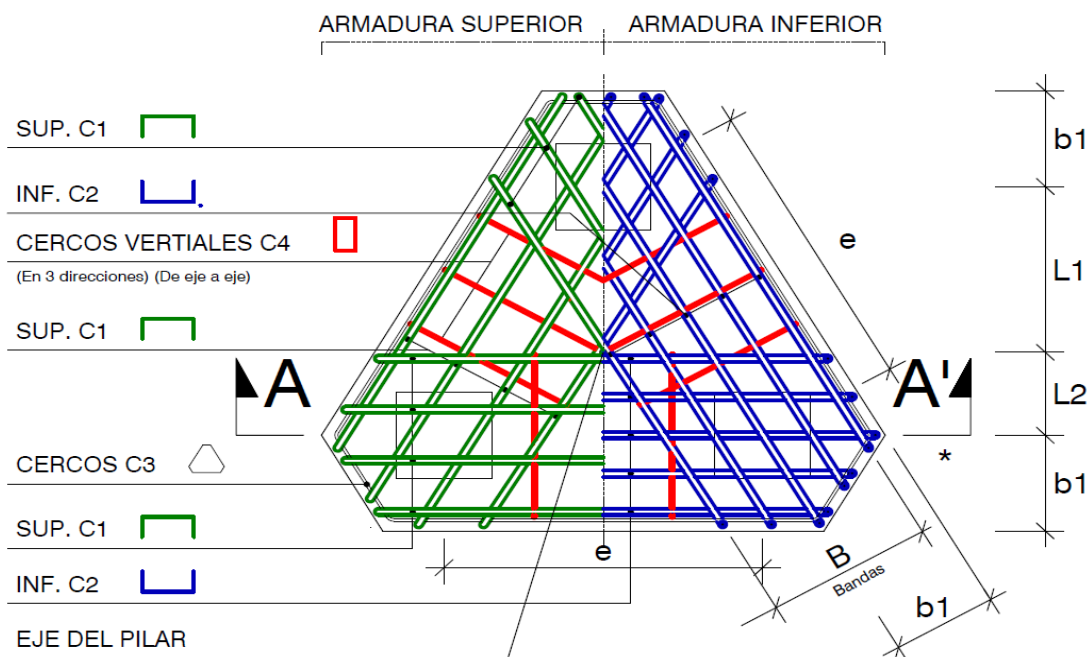
D (mm)	e (m)	L1 (m)	L2 (m)	b1 (m)	H (m)	S (m)
300	1,20	0,69	0,35	0,50	0,90	0,19

C1	C2	C3	C4	t (m)	R.mec.inf. (m)	B (m)
3 Φ 16	9 Φ 20	5 Φ 12	16 Φ 12	0,05	0,15	0,6
		Separación (cm)	Separación (cm)			
		16	6			

SECCIÓN A - A'



PLANTA



CÁLCULO DE ENCEPADOS - 3 PILOTES

Nº Expte: P18147P

Obra: PARCELA R-20 SANT ADRIÀ DEL BESÓS

Cliente: 0-ene.-00

Fecha: 4-jul.-19

DATOS DE LOS MATERIALES		DATOS DE LOS PILOTES	
Hormigón		Tipo de pilote	P350
Resist. característica del hormigón de los pilotes (MPa)	50	Lado del pilote (mm)	350
Resist. característica del hormigón del encepado (MPa)	30	Área de la sección del pilote (cm ²)	1251,4
Coefficiente de seguridad del hormigón	1,5	Diámetro equivalente de la punta (cm)	39,9
Resistencia de cálculo del hormigón del encepado (MPa)	20	Tope estructural del pilote (MPa) (Artículo 5.3.4.1.4 CTE DB 5)	15
Tamaño máximo del árido (mm)	20	Axil caract. a compresión máx. a soportar por la sec	1877,1
Tipo de cemento utilizado	CEM I	Porcentaje de aprovech. del tope estructural	100%
Acero		Axil caract. a compresión en el pilote (kN)	1877,1
Resist. Caract. del acero (MPa)	500	Axil de diseño a compresión en el pilote (kN)	2815,7
Coefficiente de seguridad del acero	1,15	Axil caract. a tracción en el pilote (kN)	0
Resistencia de cálculo del acero (MPa) (Se limita su valor para un control indi	400	Axil de diseño a tracción en el pilote (kN)	0

DATOS DEL PROYECTO			
Recubr. mínimo nominal de la arm. superior (mm)	26	Vida útil	50 años
Recubr. mínimo nominal de la arm. inferior (mm)	26	Clase de exposición	Ila
Recubr. mínimo nominal de las arm. laterales (mm)	80	Tipo de control de ejecución	Normal
Recubrimiento mecánico de la armadura superior (mm)	50	Coef. de mayoración de acciones	1,5
R.mec.inf = Recubrimiento mecánico de la armadura inferior (mm)	150	¿Existen efectos dinámicos?	SI
Recubrimiento mecánico de las armaduras laterales (mm)	90	Diámetro del vibrador (mm)	45

DATOS DEL ENCEPADO	
e = Separación mayor entre ejes de pilotes (cm)	125
e = Separación menor entre ejes de pilotes (cm)	125
Sep. mín. para despreciar el efecto de grupo (cm)	119
Comprobación efecto de grupo (Artículo 5.3.4.1.4 CTE DB SE-C)	CUMPLE
L1=Dist. del CGD del enc. al eje del pil. más alejado (cm)	72
L2=Dist. del CGD del enc. al eje del pil. más cercano en la direc. de L1 (cm)	36
b1=Dist. del eje del pil. al paramento exterior del encep. en la direc. L1 (cm)	53
Canto del encepado (m)	1,25
Comprobación canto mínimo (Artículo 58.8.1 EHE-08)	CUMPLE
v1 = Vuelo mayor del encepado (cm)	52
v2 = Vuelo menor del encepado (cm)	52
Comprobación encepado rígido (Artículo 58.2.1 EHE-08)	CUMPLE
Dist. paramento ext. pilote al paramento ext. encepado (m)	0,35
Comprobación de la dist. existente entre cualquier punto del perímetro del pilote y el contorno exterior del encepado (Artículo 58.8.1 EHE-08)	CUMPLE
t = Penetración del pilote en el encepado (cm)	5
Espesor del hormigón de limpieza (cm)	10

DATOS DEL PILAR	
Lado del pilar en la direc. mayor del encep. (cm)	40
Lado del pilar en la direc. menor del encep. (cm)	40
Área de la sección del pilar (cm ²)	1600

CÁLCULO DE ENCEPADOS - 3 PILOTES

C3 = CERCOS HORIZONTALES

Diámetro del redondo (mm)	12
Número de ramas	2
Nº Cercos	8
Separación entre ejes de los cercos (cm)	14
Comprobación distancia mínima entre barras paralelas (Artículo 69.4.1.1 EHE 08)	CUMPLE
Comprobación distancia máxima entre centros de barras paralelas (Artículo 58.8.2 EHE 08)	CUMPLE

C4 = CERCOS VERTICALES

BANDA LARGA (Se distribuirán los cercos entre las caras de los pilotes)

Diámetro del redondo (mm)	16
Número de ramas	2
Nº Cercos	12
Separación entre ejes de los cercos (cm)	8
Comprobación distancia mínima entre barras paralelas (Artículo 69.4.1.1 EHE 08)	CUMPLE
Comprobación distancia máxima entre centros de barras paralelas (Artículo 58.8.2 EHE 08)	CUMPLE

BANDA CORTA (Se distribuirán los cercos entre las caras de los pilotes)

Diámetro del redondo (mm)	16
Número de ramas	2
Nº Cercos	12
Separación entre ejes de los cercos (cm)	8
Comprobación distancia mínima entre barras paralelas (Artículo 69.4.1.1 EHE 08)	CUMPLE
Comprobación distancia máxima entre centros de barras paralelas (Artículo 58.8.2 EHE 08)	CUMPLE

C2 = ARMADURA LONGITUDINAL INFERIOR (A disponer en cada banda)

BANDA LARGA

Tipo de disposición	Una fila
Diámetro del redondo (mm)	20
Nº Barras	9
Separación entre ejes de las barras (cm)	8
Comprobación distancia mínima entre barras paralelas (Artículo 69.4.1.1 EHE 08)	CUMPLE
Comprobación distancia máxima entre centros de barras paralelas (Artículo 58.8.2 EHE 08)	CUMPLE

BANDA CORTA

Tipo de disposición	Una fila
Diámetro del redondo (mm)	20
Nº Barras	9
Separación entre ejes de las barras (cm)	8
Comprobación distancia mínima entre barras paralelas (Artículo 69.4.1.1 EHE 08)	CUMPLE
Comprobación distancia máxima entre centros de barras paralelas (Artículo 58.8.2 EHE 08)	CUMPLE

CÁLCULO DE ENCEPADOS - 3 PILOTES

C1 = ARMADURA LONGITUDINAL SUPERIOR (A disponer en cada banda)	
BANDA LARGA	
Diámetro del redondo (mm)	16
Nº Barras	4
Separación entre ejes de las barras (cm)	21
Comprobación distancia mínima entre barras paralelas (Artículo 69.4.1.1 EHE 08)	CUMPLE
Comprobación distancia máxima entre centros de barras paralelas (Artículo 58.8.2 EHE 08)	CUMPLE
BANDA CORTA	
Diámetro del redondo (mm)	16
Nº Barras	4
Separación entre ejes de las barras (cm)	21
Comprobación distancia mínima entre barras paralelas (Artículo 69.4.1.1 EHE 08)	CUMPLE
Comprobación distancia máxima entre centros de barras paralelas (Artículo 58.8.2 EHE 08)	CUMPLE

LONGITUD DE ANCLAJE DE LA ARMADURA INFERIOR	
BANDA LARGA	
Tipo de anclaje	Patilla
Esfuerzo en las barras	Tracción
Long. de anclaje horizontal desde el eje del pilote (cm)	53
S = Longitud de la patilla (cm)	14
BANDA CORTA	
Tipo de anclaje	Patilla
Esfuerzo en las barras	Tracción
Long. de anclaje horizontal desde el eje del pilote (cm)	53
S = Longitud de la patilla (cm)	14

COMPROBACIÓN DE LA BIELA INCLINADA DE COMPRESIÓN	
Ángulo de inclinación de la biela (°)	56,4
Comprobación de la inclinación de la biela	CUMPLE
Esfuerzo solicitante pésimo (kN)	3381,2
Ancho de la biela (mm)	457,6
Espesor de la biela (mm)	650
Área de la biela (mm ²)	297413,8
Tensión admisible en la biela (Mpa)	14
Tensión actuante en la biela (Mpa)	11,4
Comprobación tensional	CUMPLE

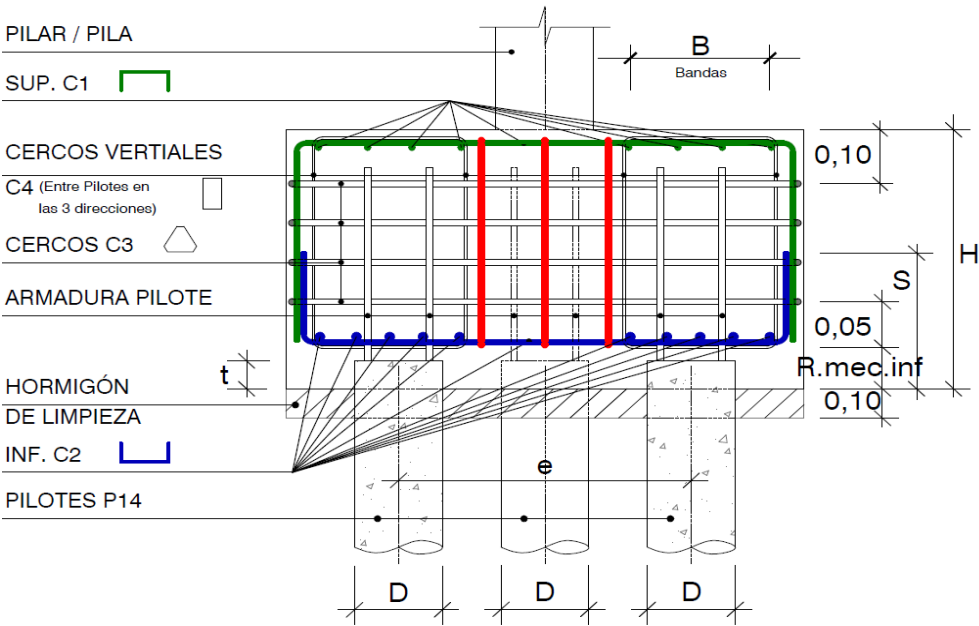
COMPROBACIÓN DE LA BIELA VERTICAL DE COMPRESIÓN	
Esfuerzo solicitante pésimo (kN)	2815,7
Área de la biela (mm ²)	422500,0
Tensión admisible en la biela (MPa)	14
Tensión producida en la biela (Mpa)	6,7
Comprobación tensional	CUMPLE

CÁLCULO DE ENCEPADOS - 3 PILOTES

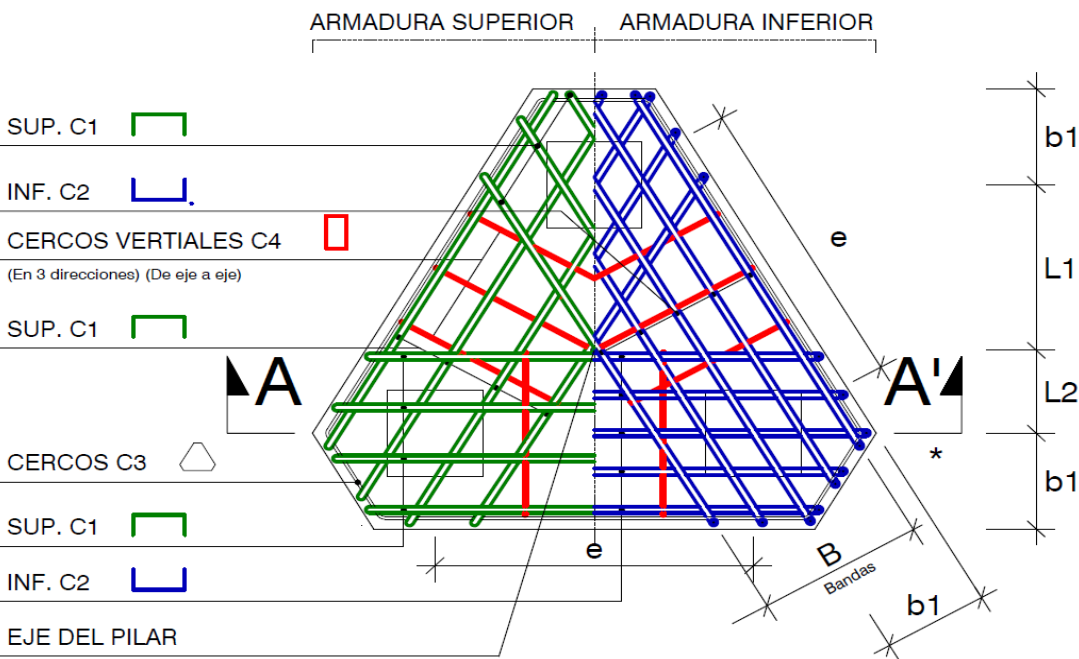
D (mm)	e (m)	L1 (m)	L2 (m)	b1 (m)	H (m)	S (m)
350	1,25	0,72	0,36	0,53	1,25	0,14

C1	C2	C3	C4	t (m)	R.mec.inf. (m)	B (m)
4 Φ 16	9 Φ 20	8 Φ 12	12 Φ 16	0,05	0,15	0,65
		Separación (cm)	Separación (cm)			
		14	8			

SECCIÓN A - A'



PLANTA



CÁLCULO DE ENCEPADOS - 3 PILOTES

Nº Expte: P18147P

Obra: PARCELA R-20 SANT ADRIÀ DEL BESÓS

Cliente: 0-ene.-00

Fecha: 4-jul.-19

DATOS DE LOS MATERIALES		DATOS DE LOS PILOTES	
Hormigón		Tipo de pilote	P350
Resist. característica del hormigón de los pilotes (MPa)	50	Lado del pilote (mm)	350
Resist. característica del hormigón del encepado (MPa)	30	Área de la sección del pilote (cm ²)	1251,4
Coefficiente de seguridad del hormigón	1,5	Diámetro equivalente de la punta (cm)	39,9
Resistencia de cálculo del hormigón del encepado (MPa)	20	Tope estructural del pilote (MPa) (Artículo 5.3.4.1.4 CTE DB 5)	15
Tamaño máximo del árido (mm)	20	Axil caract. a compresión máx. a soportar por la sec	1877,1
Tipo de cemento utilizado	CEM I	Porcentaje de aprovech. del tope estructural	100%
Acero		Axil caract. a compresión en el pilote (kN)	1877,1
Resist. Caract. del acero (MPa)	500	Axil de diseño a compresión en el pilote (kN)	2815,7
Coefficiente de seguridad del acero	1,15	Axil caract. a tracción en el pilote (kN)	0
Resistencia de cálculo del acero (MPa) (Se limita su valor para un control indi	400	Axil de diseño a tracción en el pilote (kN)	0

DATOS DEL PROYECTO			
Recubr. mínimo nominal de la arm. superior (mm)	26	Vida útil	50 años
Recubr. mínimo nominal de la arm. inferior (mm)	26	Clase de exposición	Ila
Recubr. mínimo nominal de las arm. laterales (mm)	80	Tipo de control de ejecución	Normal
Recubrimiento mecánico de la armadura superior (mm)	50	Coef. de mayoración de acciones	1,5
R.mec.inf = Recubrimiento mecánico de la armadura inferior (mm)	150	¿Existen efectos dinámicos?	SI
Recubrimiento mecánico de las armaduras laterales (mm)	90	Diámetro del vibrador (mm)	45

DATOS DEL ENCEPADO	
e = Separación mayor entre ejes de pilotes (cm)	200
e = Separación menor entre ejes de pilotes (cm)	200
Sep. mín. para despreciar el efecto de grupo (cm)	119
Comprobación efecto de grupo (Artículo 5.3.4.1.4 CTE DB SE-C)	CUMPLE
L1=Dist. del CGD del enc. al eje del pil. más alejado (cm)	115
L2=Dist. del CGD del enc. al eje del pil. más cercano en la direc. de L1 (cm)	58
b1=Dist. del eje del pil. al paramento exterior del encep. en la direc. L1 (cm)	53
Canto del encepado (m)	1,25
Comprobación canto mínimo (Artículo 58.8.1 EHE-08)	CUMPLE
v1 = Vuelo mayor del encepado (cm)	85
v2 = Vuelo menor del encepado (cm)	85
Comprobación encepado rígido (Artículo 58.2.1 EHE-08)	CUMPLE
Dist. paramento ext. pilote al paramento ext. encepado (m)	0,35
Comprobación de la dist. existente entre cualquier punto del perímetro del pilote y el contorno exterior del encepado (Artículo 58.8.1 EHE-08)	CUMPLE
t = Penetración del pilote en el encepado (cm)	5
Espesor del hormigón de limpieza (cm)	10

DATOS DEL PILAR	
Lado del pilar en la direc. mayor del encep. (cm)	60
Lado del pilar en la direc. menor del encep. (cm)	60
Área de la sección del pilar (cm ²)	3600

CÁLCULO DE ENCEPADOS - 3 PILOTES

C3 = CERCOS HORIZONTALES

Diámetro del redondo (mm)	12
Número de ramas	2
Nº Cercos	9
Separación entre ejes de los cercos (cm)	12
Comprobación distancia mínima entre barras paralelas (Artículo 69.4.1.1 EHE 08)	CUMPLE
Comprobación distancia máxima entre centros de barras paralelas (Artículo 58.8.2 EHE 08)	CUMPLE

C4 = CERCOS VERTICALES

BANDA LARGA (Se distribuirán los cercos entre las caras de los pilotes)

Diámetro del redondo (mm)	16
Número de ramas	2
Nº Cercos	12
Separación entre ejes de los cercos (cm)	15
Comprobación distancia mínima entre barras paralelas (Artículo 69.4.1.1 EHE 08)	CUMPLE
Comprobación distancia máxima entre centros de barras paralelas (Artículo 58.8.2 EHE 08)	CUMPLE

BANDA CORTA (Se distribuirán los cercos entre las caras de los pilotes)

Diámetro del redondo (mm)	16
Número de ramas	2
Nº Cercos	12
Separación entre ejes de los cercos (cm)	15
Comprobación distancia mínima entre barras paralelas (Artículo 69.4.1.1 EHE 08)	CUMPLE
Comprobación distancia máxima entre centros de barras paralelas (Artículo 58.8.2 EHE 08)	CUMPLE

C2 = ARMADURA LONGITUDINAL INFERIOR (A disponer en cada banda)

BANDA LARGA

Tipo de disposición	Una fila
Diámetro del redondo (mm)	25
Nº Barras	9
Separación entre ejes de las barras (cm)	8
Comprobación distancia mínima entre barras paralelas (Artículo 69.4.1.1 EHE 08)	CUMPLE
Comprobación distancia máxima entre centros de barras paralelas (Artículo 58.8.2 EHE 08)	CUMPLE

BANDA CORTA

Tipo de disposición	Una fila
Diámetro del redondo (mm)	25
Nº Barras	9
Separación entre ejes de las barras (cm)	8
Comprobación distancia mínima entre barras paralelas (Artículo 69.4.1.1 EHE 08)	CUMPLE
Comprobación distancia máxima entre centros de barras paralelas (Artículo 58.8.2 EHE 08)	CUMPLE

CÁLCULO DE ENCEPADOS - 3 PILOTES

C1 = ARMADURA LONGITUDINAL SUPERIOR (A disponer en cada banda)	
BANDA LARGA	
Diámetro del redondo (mm)	16
Nº Barras	4
Separación entre ejes de las barras (cm)	21
Comprobación distancia mínima entre barras paralelas (Artículo 69.4.1.1 EHE 08)	CUMPLE
Comprobación distancia máxima entre centros de barras paralelas (Artículo 58.8.2 EHE 08)	CUMPLE
BANDA CORTA	
Diámetro del redondo (mm)	16
Nº Barras	4
Separación entre ejes de las barras (cm)	21
Comprobación distancia mínima entre barras paralelas (Artículo 69.4.1.1 EHE 08)	CUMPLE
Comprobación distancia máxima entre centros de barras paralelas (Artículo 58.8.2 EHE 08)	CUMPLE

LONGITUD DE ANCLAJE DE LA ARMADURA INFERIOR	
BANDA LARGA	
Tipo de anclaje	Patilla
Esfuerzo en las barras	Tracción
Long. de anclaje horizontal desde el eje del pilote (cm)	53
S = Longitud de la patilla (cm)	54
BANDA CORTA	
Tipo de anclaje	Patilla
Esfuerzo en las barras	Tracción
Long. de anclaje horizontal desde el eje del pilote (cm)	53
S = Longitud de la patilla (cm)	54

COMPROBACIÓN DE LA BIELA INCLINADA DE COMPRESIÓN	
Ángulo de inclinación de la biela (°)	42,9
Comprobación de la inclinación de la biela	CUMPLE
Esfuerzo solicitante pésimo (kN)	4133,0
Ancho de la biela (mm)	458,1
Espesor de la biela (mm)	650
Área de la biela (mm ²)	297734,7
Tensión admisible en la biela (Mpa)	14
Tensión actuante en la biela (Mpa)	13,9
Comprobación tensional	CUMPLE

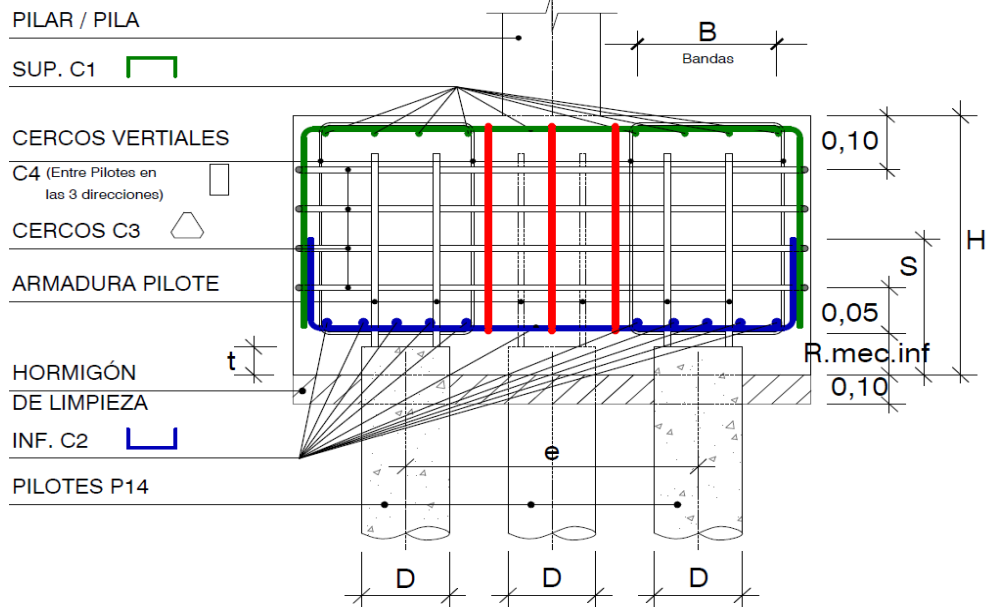
COMPROBACIÓN DE LA BIELA VERTICAL DE COMPRESIÓN	
Esfuerzo solicitante pésimo (kN)	2815,7
Área de la biela (mm ²)	422500,0
Tensión admisible en la biela (MPa)	14
Tensión producida en la biela (Mpa)	6,7
Comprobación tensional	CUMPLE

CÁLCULO DE ENCEPADOS - 3 PILOTES

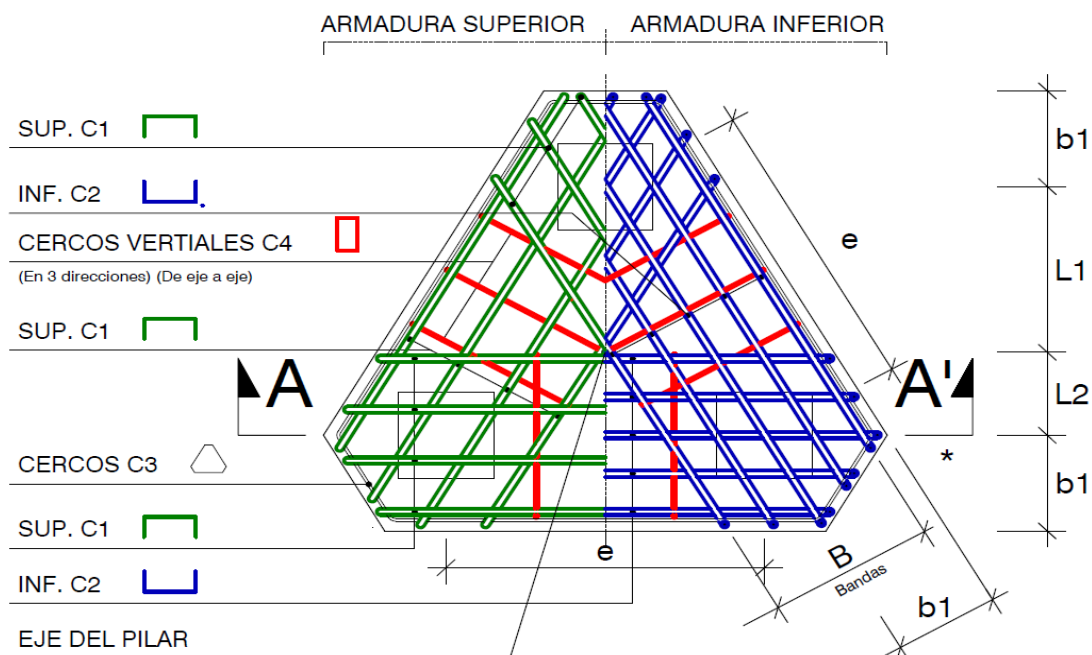
D (mm)	e (m)	L1 (m)	L2 (m)	b1 (m)	H (m)	S (m)
350	2,00	1,15	0,58	0,53	1,25	0,54

C1	C2	C3	C4	t (m)	R.mec.inf. (m)	B (m)
4 Φ 16	9 Φ 25	9 Φ 12	12 Φ 16	0,05	0,15	0,65
		Separación (cm)	Separación (cm)			
		12	15			

SECCIÓN A - A'



PLANTA



CÁLCULO DE ENCEPADOS - 3 PILOTES

Nº Expte: P18147P

Obra: PARCELA R-20 SANT ADRIÀ DEL BESÓS

Cliente: 0-ene.-00

Fecha: 4-jul.-19

DATOS DE LOS MATERIALES		DATOS DE LOS PILOTES	
Hormigón		Tipo de pilote	P400
Resist. característica del hormigón de los pilotes (MPa)	50	Lado del pilote (mm)	400
Resist. característica del hormigón del encepado (MPa)	30	Área de la sección del pilote (cm ²)	1632,1
Coefficiente de seguridad del hormigón	1,5	Diámetro equivalente de la punta (cm)	45,6
Resistencia de cálculo del hormigón del encepado (MPa)	20	Tope estructural del pilote (MPa) (Artículo 5.3.4.1.4 CTE DB 5)	15
Tamaño máximo del árido (mm)	20	Axil caract. a compresión máx. a soportar por la sec	2448,2
Tipo de cemento utilizado	CEM I	Porcentaje de aprovech. del tope estructural	100%
Acero		Axil caract. a compresión en el pilote (kN)	2448,2
Resist. Caract. del acero (MPa)	500	Axil de diseño a compresión en el pilote (kN)	3672,2
Coefficiente de seguridad del acero	1,15	Axil caract. a tracción en el pilote (kN)	0
Resistencia de cálculo del acero (MPa) (Se limita su valor para un control indi	400	Axil de diseño a tracción en el pilote (kN)	0

DATOS DEL PROYECTO			
Recubr. mínimo nominal de la arm. superior (mm)	26	Vida útil	50 años
Recubr. mínimo nominal de la arm. inferior (mm)	26	Clase de exposición	Ila
Recubr. mínimo nominal de las arm. laterales (mm)	80	Tipo de control de ejecución	Normal
Recubrimiento mecánico de la armadura superior (mm)	50	Coef. de mayoración de acciones	1,5
R.mec.inf = Recubrimiento mecánico de la armadura inferior (mm)	150	¿Existen efectos dinámicos?	SI
Recubrimiento mecánico de las armaduras laterales (mm)	90	Diámetro del vibrador (mm)	45

DATOS DEL ENCEPADO	
e = Separación mayor entre ejes de pilotes (cm)	140
e = Separación menor entre ejes de pilotes (cm)	140
Sep. mín. para despreciar el efecto de grupo (cm)	136
Comprobación efecto de grupo (Artículo 5.3.4.1.4 CTE DB SE-C)	CUMPLE
L1=Dist. del CGD del enc. al eje del pil. más alejado (cm)	81
L2=Dist. del CGD del enc. al eje del pil. más cercano en la direc. de L1 (cm)	40
b1=Dist. del eje del pil. al paramento exterior del encep. en la direc. L1 (cm)	55
Canto del encepado (m)	1,25
Comprobación canto mínimo (Artículo 58.8.1 EHE-08)	CUMPLE
v1 = Vuelo mayor del encepado (cm)	56
v2 = Vuelo menor del encepado (cm)	56
Comprobación encepado rígido (Artículo 58.2.1 EHE-08)	CUMPLE
Dist. paramento ext. pilote al paramento ext. encepado (m)	0,35
Comprobación de la dist. existente entre cualquier punto del perímetro del pilote y el contorno exterior del encepado (Artículo 58.8.1 EHE-08)	CUMPLE
t = Penetración del pilote en el encepado (cm)	5
Espesor del hormigón de limpieza (cm)	10

DATOS DEL PILAR	
Lado del pilar en la direc. mayor del encep. (cm)	50
Lado del pilar en la direc. menor del encep. (cm)	50
Área de la sección del pilar (cm ²)	2500

CÁLCULO DE ENCEPADOS - 3 PILOTES

C3 = CERCOS HORIZONTALES

Diámetro del redondo (mm)	12
Número de ramas	2
Nº Cercos	9
Separación entre ejes de los cercos (cm)	12
Comprobación distancia mínima entre barras paralelas (Artículo 69.4.1.1 EHE 08)	CUMPLE
Comprobación distancia máxima entre centros de barras paralelas (Artículo 58.8.2 EHE 08)	CUMPLE

C4 = CERCOS VERTICALES

BANDA LARGA (Se distribuirán los cercos entre las caras de los pilotes)

Diámetro del redondo (mm)	16
Número de ramas	2
Nº Cercos	16
Separación entre ejes de los cercos (cm)	6
Comprobación distancia mínima entre barras paralelas (Artículo 69.4.1.1 EHE 08)	CUMPLE
Comprobación distancia máxima entre centros de barras paralelas (Artículo 58.8.2 EHE 08)	CUMPLE

BANDA CORTA (Se distribuirán los cercos entre las caras de los pilotes)

Diámetro del redondo (mm)	16
Número de ramas	2
Nº Cercos	16
Separación entre ejes de los cercos (cm)	6
Comprobación distancia mínima entre barras paralelas (Artículo 69.4.1.1 EHE 08)	CUMPLE
Comprobación distancia máxima entre centros de barras paralelas (Artículo 58.8.2 EHE 08)	CUMPLE

C2 = ARMADURA LONGITUDINAL INFERIOR (A disponer en cada banda)

BANDA LARGA

Tipo de disposición	Una fila
Diámetro del redondo (mm)	25
Nº Barras	8
Separación entre ejes de las barras (cm)	10
Comprobación distancia mínima entre barras paralelas (Artículo 69.4.1.1 EHE 08)	CUMPLE
Comprobación distancia máxima entre centros de barras paralelas (Artículo 58.8.2 EHE 08)	CUMPLE

BANDA CORTA

Tipo de disposición	Una fila
Diámetro del redondo (mm)	25
Nº Barras	8
Separación entre ejes de las barras (cm)	10
Comprobación distancia mínima entre barras paralelas (Artículo 69.4.1.1 EHE 08)	CUMPLE
Comprobación distancia máxima entre centros de barras paralelas (Artículo 58.8.2 EHE 08)	CUMPLE

CÁLCULO DE ENCEPADOS - 3 PILOTES

C1 = ARMADURA LONGITUDINAL SUPERIOR (A disponer en cada banda)	
BANDA LARGA	
Diámetro del redondo (mm)	16
Nº Barras	4
Separación entre ejes de las barras (cm)	23
Comprobación distancia mínima entre barras paralelas (Artículo 69.4.1.1 EHE 08)	CUMPLE
Comprobación distancia máxima entre centros de barras paralelas (Artículo 58.8.2 EHE 08)	CUMPLE
BANDA CORTA	
Diámetro del redondo (mm)	16
Nº Barras	4
Separación entre ejes de las barras (cm)	23
Comprobación distancia mínima entre barras paralelas (Artículo 69.4.1.1 EHE 08)	CUMPLE
Comprobación distancia máxima entre centros de barras paralelas (Artículo 58.8.2 EHE 08)	CUMPLE

LONGITUD DE ANCLAJE DE LA ARMADURA INFERIOR	
BANDA LARGA	
Tipo de anclaje	Patilla
Esfuerzo en las barras	Tracción
Long. de anclaje horizontal desde el eje del pilote (cm)	55
S = Longitud de la patilla (cm)	50
BANDA CORTA	
Tipo de anclaje	Patilla
Esfuerzo en las barras	Tracción
Long. de anclaje horizontal desde el eje del pilote (cm)	55
S = Longitud de la patilla (cm)	50

COMPROBACIÓN DE LA BIELA INCLINADA DE COMPRESIÓN	
Ángulo de inclinación de la biela (º)	53,8
Comprobación de la inclinación de la biela	CUMPLE
Esfuerzo solicitante pésimo (kN)	4548,3
Ancho de la biela (mm)	500,0
Espesor de la biela (mm)	700
Área de la biela (mm ²)	349973,1
Tensión admisible en la biela (Mpa)	14
Tensión actuante en la biela (Mpa)	13,0
Comprobación tensional	CUMPLE

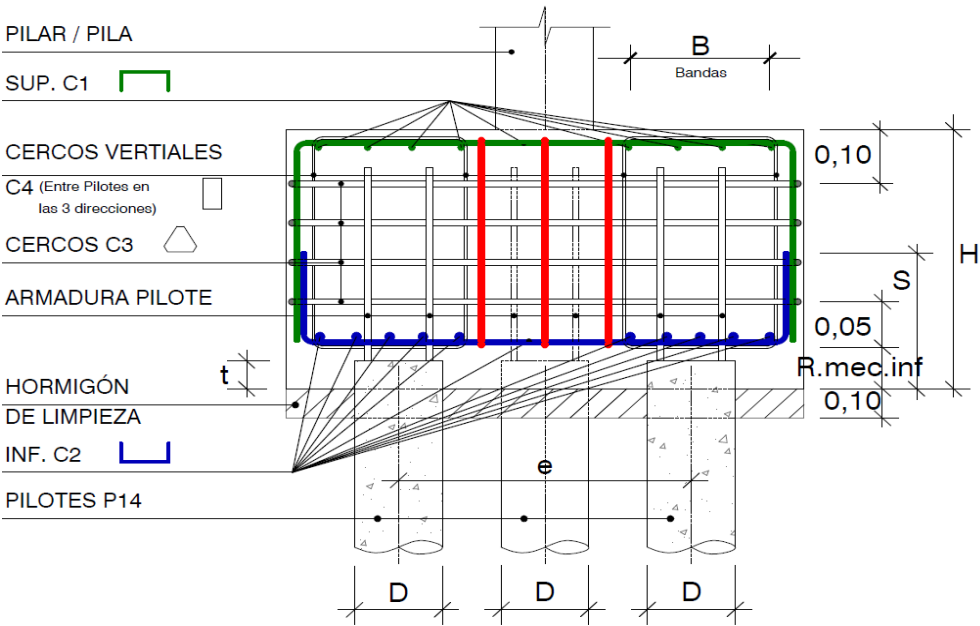
COMPROBACIÓN DE LA BIELA VERTICAL DE COMPRESIÓN	
Esfuerzo solicitante pésimo (kN)	3672,2
Área de la biela (mm ²)	490000,0
Tensión admisible en la biela (MPa)	14
Tensión producida en la biela (Mpa)	7,5
Comprobación tensional	CUMPLE

CÁLCULO DE ENCEPADOS - 3 PILOTES

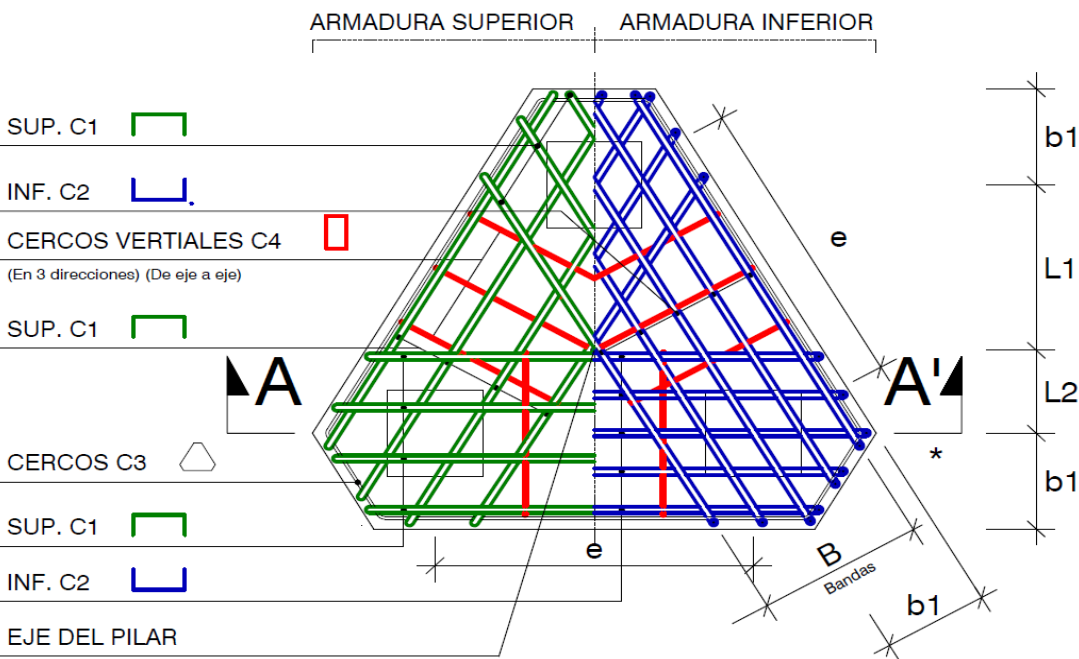
D (mm)	e (m)	L1 (m)	L2 (m)	b1 (m)	H (m)	S (m)
400	1,40	0,81	0,40	0,55	1,25	0,50

C1	C2	C3	C4	t (m)	R.mec.inf. (m)	B (m)
4 Φ 16	8 Φ 25	9 Φ 12	16 Φ 16	0,05	0,15	0,7
		Separación (cm)	Separación (cm)			
		12	6			

SECCIÓN A - A'



PLANTA



CÁLCULO DE ENCEPADOS - 3 PILOTES

Nº Expte: P18147P

Obra: PARCELA R-20 SANT ADRIÀ DEL BESÓS

Cliente: 0-ene.-00

Fecha: 4-jul.-19

DATOS DE LOS MATERIALES		DATOS DE LOS PILOTES	
Hormigón		Tipo de pilote	P400
Resist. característica del hormigón de los pilotes (MPa)	50	Lado del pilote (mm)	400
Resist. característica del hormigón del encepado (MPa)	30	Área de la sección del pilote (cm ²)	1632,1
Coefficiente de seguridad del hormigón	1,5	Diámetro equivalente de la punta (cm)	45,6
Resistencia de cálculo del hormigón del encepado (MPa)	20	Tope estructural del pilote (MPa) (Artículo 5.3.4.1.4 CTE DB 5)	15
Tamaño máximo del árido (mm)	20	Axil caract. a compresión máx. a soportar por la sec	2448,2
Tipo de cemento utilizado	CEM I	Porcentaje de aprovech. del tope estructural	70%
Acero		Axil caract. a compresión en el pilote (kN)	1713,7
Resist. Caract. del acero (MPa)	500	Axil de diseño a compresión en el pilote (kN)	2570,6
Coefficiente de seguridad del acero	1,15	Axil caract. a tracción en el pilote (kN)	0
Resistencia de cálculo del acero (MPa) (Se limita su valor para un control indi	400	Axil de diseño a tracción en el pilote (kN)	0

DATOS DEL PROYECTO			
Recubr. mínimo nominal de la arm. superior (mm)	26	Vida útil	50 años
Recubr. mínimo nominal de la arm. inferior (mm)	26	Clase de exposición	Ila
Recubr. mínimo nominal de las arm. laterales (mm)	80	Tipo de control de ejecución	Normal
Recubrimiento mecánico de la armadura superior (mm)	50	Coef. de mayoración de acciones	1,5
R.mec.inf = Recubrimiento mecánico de la armadura inferior (mm)	150	¿Existen efectos dinámicos?	SI
Recubrimiento mecánico de las armaduras laterales (mm)	90	Diámetro del vibrador (mm)	45

DATOS DEL ENCEPADO	
e = Separación mayor entre ejes de pilotes (cm)	220
e = Separación menor entre ejes de pilotes (cm)	220
Sep. mín. para despreciar el efecto de grupo (cm)	136
Comprobación efecto de grupo (Artículo 5.3.4.1.4 CTE DB SE-C)	CUMPLE
L1=Dist. del CGD del enc. al eje del pil. más alejado (cm)	127
L2=Dist. del CGD del enc. al eje del pil. más cercano en la direc. de L1 (cm)	64
b1=Dist. del eje del pil. al paramento exterior del encep. en la direc. L1 (cm)	55
Canto del encepado (m)	1,25
Comprobación canto mínimo (Artículo 58.8.1 EHE-08)	CUMPLE
v1 = Vuelo mayor del encepado (cm)	102
v2 = Vuelo menor del encepado (cm)	102
Comprobación encepado rígido (Artículo 58.2.1 EHE-08)	CUMPLE
Dist. paramento ext. pilote al paramento ext. encepado (m)	0,35
Comprobación de la dist. existente entre cualquier punto del perímetro del pilote y el contorno exterior del encepado (Artículo 58.8.1 EHE-08)	CUMPLE
t = Penetración del pilote en el encepado (cm)	5
Espesor del hormigón de limpieza (cm)	10

DATOS DEL PILAR	
Lado del pilar en la direc. mayor del encep. (cm)	50
Lado del pilar en la direc. menor del encep. (cm)	50
Área de la sección del pilar (cm ²)	2500

CÁLCULO DE ENCEPADOS - 3 PILOTES

C3 = CERCOS HORIZONTALES

Diámetro del redondo (mm)	12
Número de ramas	2
Nº Cercos	9
Separación entre ejes de los cercos (cm)	12
Comprobación distancia mínima entre barras paralelas (Artículo 69.4.1.1 EHE 08)	CUMPLE
Comprobación distancia máxima entre centros de barras paralelas (Artículo 58.8.2 EHE 08)	CUMPLE

C4 = CERCOS VERTICALES

BANDA LARGA (Se distribuirán los cercos entre las caras de los pilotes)

Diámetro del redondo (mm)	16
Número de ramas	2
Nº Cercos	11
Separación entre ejes de los cercos (cm)	18
Comprobación distancia mínima entre barras paralelas (Artículo 69.4.1.1 EHE 08)	CUMPLE
Comprobación distancia máxima entre centros de barras paralelas (Artículo 58.8.2 EHE 08)	CUMPLE

BANDA CORTA (Se distribuirán los cercos entre las caras de los pilotes)

Diámetro del redondo (mm)	16
Número de ramas	2
Nº Cercos	11
Separación entre ejes de los cercos (cm)	18
Comprobación distancia mínima entre barras paralelas (Artículo 69.4.1.1 EHE 08)	CUMPLE
Comprobación distancia máxima entre centros de barras paralelas (Artículo 58.8.2 EHE 08)	CUMPLE

C2 = ARMADURA LONGITUDINAL INFERIOR (A disponer en cada banda)

BANDA LARGA

Tipo de disposición	Una fila
Diámetro del redondo (mm)	25
Nº Barras	10
Separación entre ejes de las barras (cm)	7
Comprobación distancia mínima entre barras paralelas (Artículo 69.4.1.1 EHE 08)	CUMPLE
Comprobación distancia máxima entre centros de barras paralelas (Artículo 58.8.2 EHE 08)	CUMPLE

BANDA CORTA

Tipo de disposición	Una fila
Diámetro del redondo (mm)	25
Nº Barras	10
Separación entre ejes de las barras (cm)	7
Comprobación distancia mínima entre barras paralelas (Artículo 69.4.1.1 EHE 08)	CUMPLE
Comprobación distancia máxima entre centros de barras paralelas (Artículo 58.8.2 EHE 08)	CUMPLE

CÁLCULO DE ENCEPADOS - 3 PILOTES

C1 = ARMADURA LONGITUDINAL SUPERIOR (A disponer en cada banda)	
BANDA LARGA	
Diámetro del redondo (mm)	16
Nº Barras	4
Separación entre ejes de las barras (cm)	23
Comprobación distancia mínima entre barras paralelas (Artículo 69.4.1.1 EHE 08)	CUMPLE
Comprobación distancia máxima entre centros de barras paralelas (Artículo 58.8.2 EHE 08)	CUMPLE
BANDA CORTA	
Diámetro del redondo (mm)	16
Nº Barras	4
Separación entre ejes de las barras (cm)	23
Comprobación distancia mínima entre barras paralelas (Artículo 69.4.1.1 EHE 08)	CUMPLE
Comprobación distancia máxima entre centros de barras paralelas (Artículo 58.8.2 EHE 08)	CUMPLE

LONGITUD DE ANCLAJE DE LA ARMADURA INFERIOR	
BANDA LARGA	
Tipo de anclaje	Patilla
Esfuerzo en las barras	Tracción
Long. de anclaje horizontal desde el eje del pilote (cm)	55
S = Longitud de la patilla (cm)	45
BANDA CORTA	
Tipo de anclaje	Patilla
Esfuerzo en las barras	Tracción
Long. de anclaje horizontal desde el eje del pilote (cm)	55
S = Longitud de la patilla (cm)	45

COMPROBACIÓN DE LA BIELA INCLINADA DE COMPRESIÓN	
Ángulo de inclinación de la biela (º)	39,2
Comprobación de la inclinación de la biela	CUMPLE
Esfuerzo solicitante pésimo (kN)	4064,5
Ancho de la biela (mm)	485,4
Espesor de la biela (mm)	700
Área de la biela (mm ²)	339751,6
Tensión admisible en la biela (Mpa)	14
Tensión actuante en la biela (Mpa)	12,0
Comprobación tensional	CUMPLE

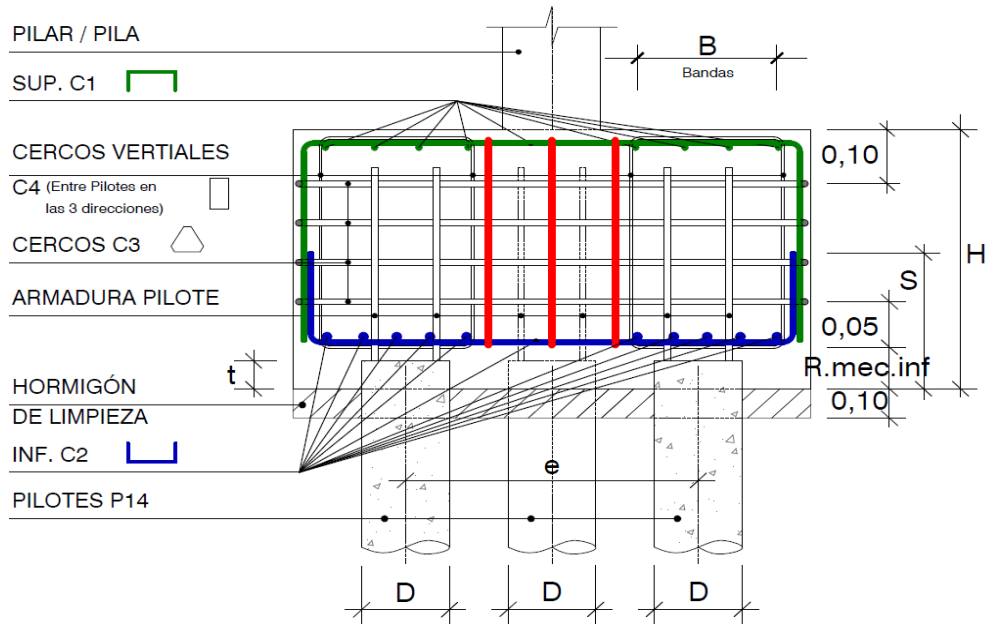
COMPROBACIÓN DE LA BIELA VERTICAL DE COMPRESIÓN	
Esfuerzo solicitante pésimo (kN)	2570,6
Área de la biela (mm ²)	490000,0
Tensión admisible en la biela (MPa)	14
Tensión producida en la biela (Mpa)	5,2
Comprobación tensional	CUMPLE

CÁLCULO DE ENCEPADOS - 3 PILOTES

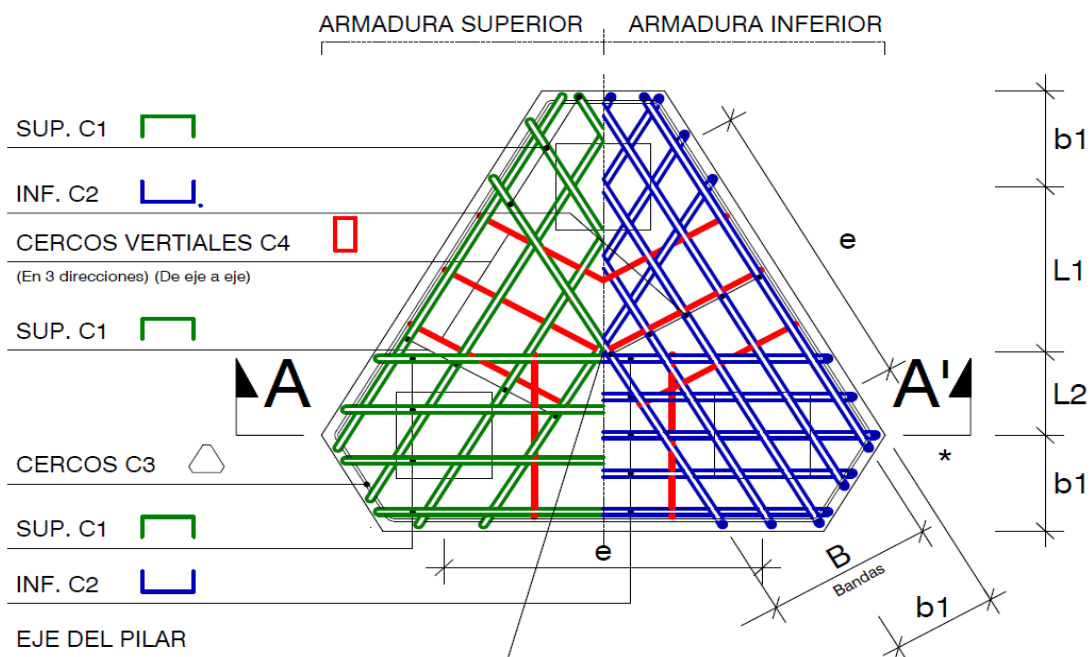
D (mm)	e (m)	L1 (m)	L2 (m)	b1 (m)	H (m)	S (m)
400	2,20	1,27	0,64	0,55	1,25	0,45

C1	C2	C3	C4	t (m)	R.mec.inf. (m)	B (m)
4 Φ 16	10 Φ 25	9 Φ 12	11 Φ 16	0,05	0,15	0,7
		Separación (cm)	Separación (cm)			
		12	18			

SECCIÓN A - A'



PLANTA



8.8. Apéndice 8: Propuesta de solución de contención

Se propone como solución de contención de las tierras una pantalla de pilotes prefabricados de sección P400. En el intradós de la pantalla, se realizará una excavación de 3,45 metros.

A continuación, se muestran los datos, hipótesis y formulaciones adoptadas en el modelo de cálculo de la pantalla. Se considera que la fase más desfavorable en cuanto al nivel de cargas que recibe la pantalla es la fase provisional en la que se realiza la excavación sin estar hormigonado el forjado que la arriostrará en cabeza en fase definitiva.

Considerando una separación entre caras de pilotes de 30cm, las características por metro lineal de pantalla serían las características mecánicas de un pilote.

DATOS DE LOS PILOTES:

$$f_{ck} := 50 \text{ MPa}$$

$$f_{cm} := f_{ck} + 8 \text{ MPa} = 58 \text{ MPa}$$

$$E_{cm} := 8500 \cdot \sqrt[3]{\frac{f_{cm}}{\text{MPa}}} \cdot \text{MPa} = (3.29 \cdot 10^4) \text{ MPa} \quad E_{cm} \rightarrow 32902.451445336272 \cdot \text{MPa}$$

$$\nu := 0.2$$

$$E_{cm} = (3.355 \cdot 10^5) \frac{\text{kgf}}{\text{cm}^2}$$

$$G := \frac{E_{cm}}{2 \cdot (1 + \nu)} = (1.371 \cdot 10^4) \text{ MPa}$$

$$G = (1.398 \cdot 10^5) \frac{\text{kgf}}{\text{cm}^2}$$

$$l_{pilote} := 400 \text{ mm}$$

$$A_{pilote} := l_{pilote}^2 = (1.6 \cdot 10^3) \text{ cm}^2$$

$$A_{cortante} := \frac{5}{6} \cdot A_{pilote} = (1.333 \cdot 10^3) \text{ cm}^2$$

$$A_{cortante} \rightarrow 1333.3333333333335 \cdot \text{cm}^2$$

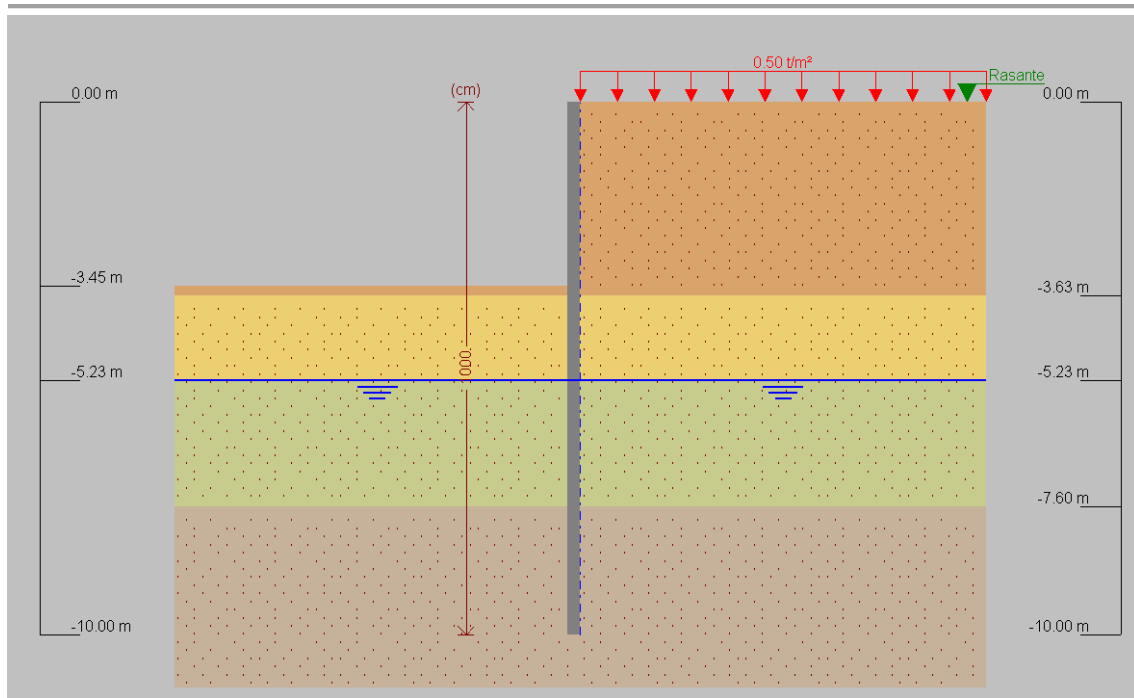
$$I_{pilote} := \frac{1}{12} \cdot l_{pilote}^4 = (2.133 \cdot 10^5) \text{ cm}^4$$

$$I_{pilote} \rightarrow 213333.33333333343 \cdot \text{cm}^4$$

Nota: Se ha escogido un área de cortante para la pantalla de un valor de 5/6 el valor de la sección transversal tal y como recomienda el manual del programa SAP2000.

En cuanto a la sobrecarga considerada en el trasdós de las pantallas, se ha considerado una sobrecarga de 0,5 t/m2.

Anejo 5: Cálculo de la cimentación



DATOS DEL TERRENO:

Se muestran las tablas resumen del informe geotécnico realizado en la parcela R-14 que recoge los parámetros que caracterizan las diferentes unidades geotécnicas. Se han utilizado estos parámetros puesto que se realizó una pantalla de pilotes de la misma sección, separación entre ejes y longitud que la que se propone en esta obra. En base a nuestra experiencia y a petición del cliente se ha adoptado esta medida, pues el resultado en la parcela R-14 fue satisfactorio.

Unidad geotécnica	Φ' (°)	C' (T/m ²)	γ_{ap} (T/m ³)	E (T/m ²)
Relleno (R)	27	0,0	1,80	800

Unidad geotécnica	Φ' (°)	C' (T/m ²)	γ_{ap} (T/m ³)	E (T/m ²)	q_u (kg/cm ²)	C_u (kg/cm ²)
Arcilla limosa (Q1)	26	1,0	1,80	700	0,7	0,35

Unidad geotécnica	Φ' (°)	C' (T/m ²)	γ_{ap} (T/m ³)	E (T/m ²)
Arena media (Q2)	32	0,0	1,90	2500

Módulo de balasto horizontal de la unidad geotécnica R:

Se ha realizado el cálculo del coeficiente de balasto horizontal utilizando diferentes formulaciones. Los resultados obtenidos son los siguientes:

Anejo 5: Cálculo de la cimentación

Resultados kh	Vesic (1961)	8,78 MN/m ³
	Biot (1937)	11,23 MN/m ³
	Meyerhof and Baike (1965)	21,98 MN/m ³
	Kloppe y Glock	36,70 MN/m ³
	Selvadurai (1984)	14,29 MN/m ³
	Bazin (2001)	8,15 MN/m ³

A la vista de los resultados, dado que en el estudio geotécnico no se han realizado ensayos específicos para determinar el coeficiente de balasto horizontal, se adopta la formulación de Vesic (1961). Además, tal y como comentan Sanhuela Plaza, Carola y Oteo Mazo, Carlos en en la publicación con ISSN: 0717-7925 “ESTUDIO COMPARATIVO SOBRE DIFERENTES MODELOS DE CÁLCULOS APLICADOS A LA CONSTRUCCIÓN DE MUROS PANTALLA”, el valor del módulo de balasto propuesto por Vesic es el que proporcionó los valores más semejantes entre los modelos de cálculo evaluados.

$$E_s := 8 \quad \nu_s := 0.3 \quad E := \frac{E_{cm}}{MPa} \quad I := \frac{I_{pilote}}{m^4} \quad B := \frac{l_{pilote}}{m} = 0.4$$

$$k_s := \frac{0.65 \cdot E_s}{B \cdot (1 - \nu_s^2)} \cdot \sqrt[12]{\left(\frac{B^4 \cdot E_s}{E \cdot I}\right)} \cdot \frac{MN}{m^3} = 8.783 \frac{MN}{m^3} \quad k_s = (8.956 \cdot 10^5) \frac{kgf}{m^3}$$

Módulo de balasto horizontal de la unidad geotécnica Q1:

Se ha realizado el cálculo del coeficiente de balasto horizontal utilizando diferentes formulaciones. Los resultados obtenidos son los siguientes:

Anejo 5: Cálculo de la cimentación

Resultados kh	Vesic (1961)	7,60 MN/m ³
	Biot (1937)	9,69 MN/m ³
	Meyerhof and Baike (1965)	19,23 MN/m ³
	Kloppe y Glock	32,11 MN/m ³
	Selvadurai (1984)	12,50 MN/m ³
	Bazin (2001)	6,82 MN/m ³

A la vista de los resultados, dado que en el estudio geotécnico no se han realizado ensayos específicos para determinar el coeficiente de balasto horizontal, se adopta la formulación de Vesic (1961). Además, tal y como comentan Sanhuela Plaza, Carola y Oteo Mazo, Carlos en en la publicación con ISSN: 0717-7925 “ESTUDIO COMPARATIVO SOBRE DIFERENTES MODELOS DE CÁLCULOS APLICADOS A LA CONSTRUCCIÓN DE MUROS PANTALLA”, el valor del módulo de balasto propuesto por Vesic es el que proporcionó los valores más semejantes entre los modelos de cálculo evaluados.

$$E_s := 7 \quad \nu_s := 0.3 \quad E := \frac{E_{cm}}{MPa} \quad I := \frac{I_{pilot}}{m^4} \quad B := \frac{l_{pilot}}{m} = 0.4$$

$$k_s := \frac{0.65 \cdot E_s}{B \cdot (1 - \nu_s^2)} \cdot \sqrt[12]{\left(\frac{B^4 \cdot E_s}{E \cdot I}\right)} \cdot \frac{MN}{m^3} = 7.6 \frac{MN}{m^3} \quad k_s = (7.75 \cdot 10^5) \frac{kgf}{m^3}$$

Módulo de balasto horizontal de la unidad geotécnica Q2:

Se ha realizado el cálculo del coeficiente de balasto horizontal utilizando diferentes formulaciones. Los resultados obtenidos son los siguientes:

Anejo 5: Cálculo de la cimentación

Resultados kh

Vesic (1961)	30,18 MN/m ³
Biot (1937)	39,69 MN/m ³
Meyerhof and Baike (1965)	68,68 MN/m ³
Kloppe y Glock	114,68 MN/m ³
Selvadurai (1984)	44,64 MN/m ³
Bazin (2001)	37,21 MN/m ³

A la vista de los resultados, dado que en el estudio geotécnico no se han realizado ensayos específicos para determinar el coeficiente de balasto horizontal, se adopta la formulación de Vesic (1961). Además, tal y como comentan Sanhuela Plaza, Carola y Oteo Mazo, Carlos en en la publicación con ISSN: 0717-7925 “ESTUDIO COMPARATIVO SOBRE DIFERENTES MODELOS DE CÁLCULOS APLICADOS A LA CONSTRUCCIÓN DE MUROS PANTALLA”, el valor del módulo de balasto propuesto por Vesic es el que proporcionó los valores más semejantes entre los modelos de cálculo evaluados.

$$E_s := 25 \quad \nu_s := 0.3 \quad E := \frac{E_{cm}}{MPa} \quad I := \frac{I_{pilote}}{m^4} \quad B := \frac{l_{pilote}}{m} = 0.4$$

$$k_s := \frac{0.65 \cdot E_s}{B \cdot (1 - \nu_s^2)} \cdot \sqrt[12]{\left(\frac{B^4 \cdot E_s}{E \cdot I}\right)} \cdot \frac{MN}{m^3} = 30.182 \frac{MN}{m^3} \quad k_s = (3.078 \cdot 10^6) \frac{kgf}{m^3}$$

Los cálculos de los esfuerzos y deformaciones de las pantallas de pilotes, obtenidos del cálculo con el programa CYPE, se adjuntan a continuación:

Los esfuerzos máximos que solicitan los pilotes de la pantalla son:

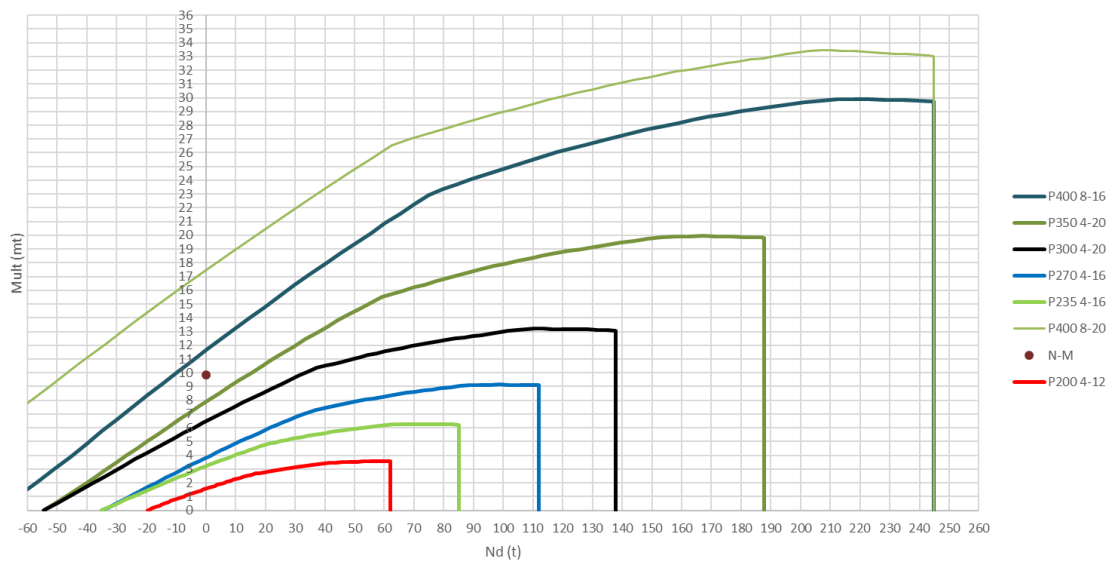
Cota (m)	Desplazamientos (mm)	Ley de axiles (t/m)	Ley de cortantes (t/m)	Ley de momento flector (t·m/m)	Ley de empujes (t/m²)	Presión hidrostática (t/m²)
Máximos	-0.09 Cota: -10.00 m	4.08 Cota: -10.00 m	5.06 Cota: -3.75 m	9.87 Cota: -4.75 m	2.51 Cota: -10.00 m	0.00 Cota: 0.00 m
Mínimos	-32.01 Cota: 0.00 m	-0.00 Cota: 0.00 m	-3.05 Cota: -6.50 m	-0.00 Cota: 0.00 m	-4.96 Cota: -4.25 m	0.00 Cota: 0.00 m

Para estos esfuerzos se ha realizado la comprobación seccional de los pilotes mediante los diagramas de interacción Axil-Momento Flector y Axil-Cortante.

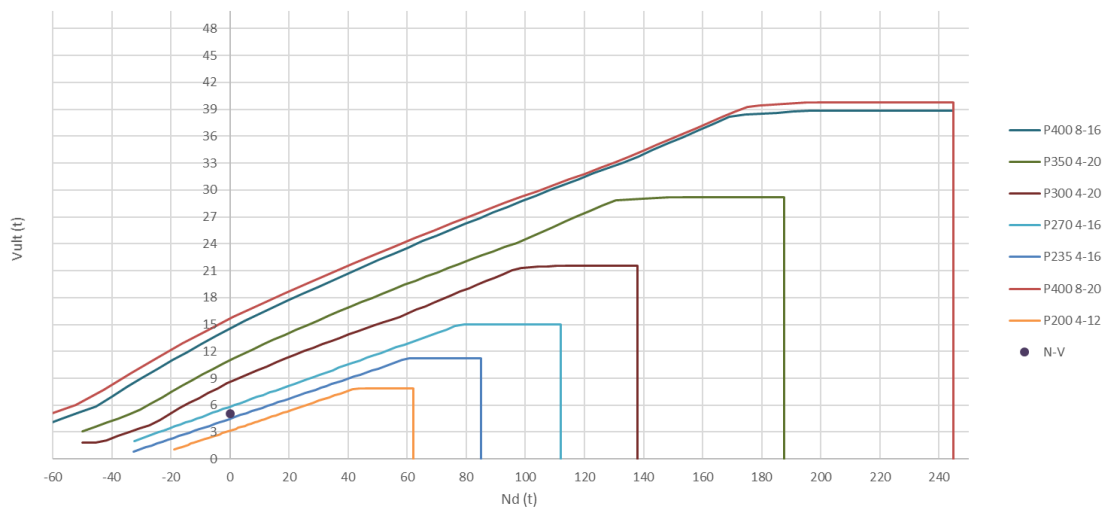
Los resultados se muestran a continuación:

Anejo 5: Cálculo de la cimentación

Curva de resistencia axil-momento (en cualquier dirección)



Curva de resistencia axil-cortante



Cabe indicar que los esfuerzos sobre los pilotes obtenidos en el cálculo de la pantalla no se han mayorado por tratarse de una fase provisional.

CONCLUSIONES:

A la vista de los resultados obtenidos, se propone que las pantallas sean configuradas con pilotes de sección P400 armados con una armadura longitudinal de 8Ø16 con una separación entre ejes de pilotes de 70 cm y una longitud de 10 metros.